LIDO
Em, 10/10/19
Secretaria Legislativa

**GOVERNO DO DISTRITO FEDERAL**

**MENSAGEM**

Nº 264 /2019-GAG

Brasília, 09 de outubro de 2019.

**Excelentíssimo Senhor Presidente da Câmara Legislativa,**

Dirijo-me a Vossa Excelência e aos demais Deputados Distritais para, submeter à apreciação dessa Casa o anexo Projeto de Lei Complementar que,"*Define os limites físicos das Regiões Administrativas do Distrito Federal e dá outras providências*".

A justificação para a apreciação do Projeto ora proposto encontra-se na Exposição de Motivos do Senhor Secretário de Estado de Desenvolvimento Urbano e Habitação do Distrito Federal.

Dado que a matéria necessita de apreciação com relativa brevidade, solicito, com base no art. 73 da Lei Orgânica do Distrito Federal, que a presente Proposição seja apreciada em regime de urgência.

Atenciosamente,

**IBANEIS ROCHA**
*Governador*

SECRETARIA LEGISLATIVA
Recebi em 10/10/2019 às 15:20
Assinatura
Matrícula

A Sua Excelência o Senhor
**Deputado RAFAEL PRUDENTE**
Presidente da Câmara Legislativa do Distrito Federal
NESTA

SPL - PLC 0019/2019 folha 000001

**GOVERNO DO DISTRITO FEDERAL**

**PROJETO DE LEI COMPLEMENTAR Nº** **PLC 019 /2019**
(Autoria: Poder Executivo)

**Define os limites físicos das Regiões Administrativas do Distrito Federal e dá outras providências.**

**A CÂMARA LEGISLATIVA DO DISTRITO FEDERAL** decreta:

**Art. 1º** Ficam definidas as poligonais das Regiões Administrativas do Distrito Federal, em conformidade com os memoriais descritivos e mapas constante do Anexo Único.

**Art. 2º** Para fins de criação, extinção ou alteração dos limites das Regiões Administrativas do Distrito Federal devem ser observados os seguintes critérios:

I- proximidade do núcleo urbano principal;

II- preservação da dinâmica urbana, viabilizando áreas para equipamentos públicos e áreas de expansão urbana e rural;

III- morfologia urbana existente;

IV- manutenção, em uma única Região Administrativa, de:

a) núcleos urbanos isolados;

b) setores habitacionais;

c) Áreas de Regularização de Interesse Social –ARIS;

d) Áreas de Regularização de Interesse Específico –ARINE;

e) Áreas de Relevante Interesse Ecológico –ARIEs;

f) Áreas de Desenvolvimento Econômico –ADEs;

g) unidades de conservação;

h) parques e lotes urbanos e rurais.

V- endereçamento;

VI- limites de setores censitários existentes, visando à manutenção de séries históricas de dados estatísticos;

VII- limites físicos naturais, tais como hidrografia e acidentes geográficos;

VIII- rodovias, ferrovias e obras de caráter permanente.

*Parágrafo único*. A iniciativa das leis para os fins de que trata o caput deste artigo deve observar o disposto no art. 219, inciso X, da Lei Complementar nº 803, de 25 de abril de 2009, que aprova a revisão do Plano Diretor de Ordenamento Territorial do Distrito Federal –PDOT.

**Art. 3º** Esta Lei entra em vigor na data de sua publicação.

SPL - PLC 0019/2019 folha 000002

**GOVERNO DO DISTRITO FEDERAL**

SECRETARIA DE ESTADO DE DESENVOLVIMENTO URBANO E HABITAÇÃO DO DISTRITO FEDERAL

Exposição de Motivos SEI-GDF n.º 40/2019 - SEDUH/GAB

Brasília-DF, 16 de setembro de 2019

Excelentíssimo Senhor Governador,

Submeto à elevada consideração de Vossa Excelência a anexa minuta do Projeto de Lei Complementar (28341757) e o seu Anexo Único (28341587), integrando os respectivos mapas e coordenadas, que definem os limites físicos das Poligonais das Regiões Administrativas do Distrito Federal já criadas.

Inicialmente, é pertinente mencionar que o quadrilátero do Distrito Federal atualmente é composto por 31 (trinta e uma) Regiões Administrativas, das quais apenas 19 (dezenove) detiveram suas poligonais definidas oficialmente. A partir de 2003, 12 (doze) RAs foram criadas sem a delimitação de suas fronteiras, sendo elas: Águas Claras, Riacho Fundo II, Sudoeste/Octogonal, Varjão, Park Way, SCIA, Sobradinho II, Jardim Botânico, Itapoã, SIA, Vicente Pires e Fercal.

Diante da indefinição acima exposta, a gestão administrativa, a gestão das políticas públicas e a gestão do território encontram graves empecilhos em todos os setores da estrutura administrativa do Distrito Federal, dentre eles destacam-se: a inexatidão da área de atuação das Administrações Regionais e dos órgãos do Judiciário; a desatualização do censo demográfico, dos Códigos de Endereçamento Postal (CEP), e dos livros didáticos escolares; e impacto nas estimativas e projeções de população no Distrito Federal.

Há que se enfatizar que a delimitação e atualização das poligonais do Distrito Federal vem sendo requerida há anos por vários órgãos públicos e privados, dado a magnitude que representa no âmbito da sociedade, do planejamento regional e das pesquisas. No entanto, a sociedade assume o maior prejuízo quando tal precariedade é refletida diretamente na qualidade de serviços prestados à população.

Por conseguinte, foi instituído, por meio do Decreto nº 35.020, de 26 de dezembro de 2013, Grupo de Trabalho com objetivo de analisar e definir as Poligonais das RAs do Distrito Federal.

O Grupo de Trabalho era constituído por representantes da Casa Civil, da Governadoria do Distrito Federal, da então Secretaria de Estado de Gestão Território e Habitação –SEGETH, da Agência de Desenvolvimento do Distrito Federal –TERRACAP, da Companhia de Saneamento Ambiental do Distrito Federal –CAESB , da Companhia Energética de Brasília –CEB e coordenado pela Companhia de Planejamento do Distrito Federal CODEPLAN.

No período compreendido entre 26 de dezembro de 2013 e 25 de março de 2014, foram realizadas diversas pesquisas e reuniões, resultando no relatório que apresentou uma proposta da definição dos referidos limites geográficos. Em 2017, de forma a dar continuidade ao processo, foram realizadas diversas reuniões, coordenadas por esta Pasta, em conjunto com a Secretaria das Cidades, como intuito de articular e mediar as decisões em que haviam impasses e conflitos entre específicas Regiões Administrativas.

Desta forma, o anteprojeto foi apresentado à sociedade por meio de duas audiências públicas realizadas no Museu Nacional da República, em cumprimento aos requisitos dispostos na Lei 3.827/2006, que estabelece critérios para a delimitação das poligonais das áreas de atuação das Administrações Regionais. A participação popular também foi exercida através da divulgação do projeto

SFL - PLC 0019/2019 folha 000003

no Geoportal e em consulta *on-line*, na qual o cidadão pôde apresentar, via cadastro de e-mail, sugestão ou crítica à proposta.

Considerando que é prerrogativa do Poder Executivo iniciar os debates relativos à ocupação de área pública e espaços urbanos, à destinação do solo, bem como ao planejamento urbano, cumpre ressaltar que o resultado deste trabalho possibilitará a realização dos projetos de planejamento e gestão do território e das políticas públicas com maior eficiência, beneficiando principalmente a sociedade do Distrito Federal.

Cabe acrescentar já na gestão de Vossa Excelência, foram recentemente encaminhadas e aprovadas pela Câmara Legislativa do Distrito Federal (CLDF), as Leis que criaram a Região Administrativa do Sol Nascente/Pôr do Sol –RA XXXII e a Região Administrativa de Arniqueira/Areal –RA XXXIII. Dessa forma, o Projeto de Lei Complementar ora proposto, tem por escopo definem os limites físicos das Poligonais das 33 (trinta e três) Regiões Administrativas atualmente existentes no Distrito Federal.

Há que se destacar, por último, que a proposição apresentada no presente Projeto de Lei Complementar não acarretará aumento de despesas, conforme demonstrado pela unidade orçamentária desta Secretaria, em cumprimento ao Decreto nº 39.680, de 21 de fevereiro de 2019, que dispõe sobre as normas e as diretrizes para elaboração, redação e alteração de decreto e para o encaminhamento e exame de propostas de decreto e projeto de lei, no âmbito da administração direta e indireta do Distrito Federal.

Na oportunidade renovo minhas expressões de apreço e consideração.

Respeitosamente,

**MATEUS LEANDRO DE OLIVEIRA**

Secretário de Estado

A Sua Excelência o Senhor

**IBANEIS ROCHA**

Governador do Distrito Federal

GOVERNO DO DISTRITO FEDERAL

Brasília-DF

Documento assinado eletronicamente por **MATEUS LEANDRO DE OLIVEIRA - Matr.2715678**, **Secretário(a) de Estado de Desenvolvimento Urbano e Habitação do Distrito Federal**, em 16/09/2019, às 15:53, conforme art. 6º do Decreto n° 36.756, de 16 de setembro de 2015, publicado no Diário Oficial do Distrito Federal nº 180, quinta-feira, 17 de setembro de 2015.

A autenticidade do documento pode ser conferida no site: http://sei.df.gov.br/sei/controlador_externo.php?acao=documento_conferir&id_orgao_acesso_externo=0 verificador= **28342086** código CRC= **DC2E12FA**.



SPL - PLC 0019/2019 folha 000004

# MEMORIAL DESCRITIVO

## PLANO PILOTO – RA I

Perímetro: 184.204,687 m  Área: 43.720,1374 ha

Inicia-se a descrição deste perímetro no vértice **1** na interseção da rodovia DF-001 com a rodovia DF-003, de coordenadas **N 8.263.481,141**m e **E 193.478,148**m; deste, segue pelo eixo da rodovia DF-003, até o vértice **2** no eixo da referida rodovia, de coordenadas **N 8.262.569,008**m e **E 191.784,192**m; deste segue por linha divisória com os seguintes azimutes e distâncias: 357°28'19" e 1.234,778 m até o vértice **3**, de coordenadas **N 8.263.802,584**m e **E 191.729,725**m; 357°24'53" e 613,193 m até o vértice **4**, de coordenadas **N 8.264.415,153**m e **E 191.702,067**m; 214°51'53" e 459,487 m até o vértice **5**, de coordenadas **N 8.264.038,142**m e **E 191.439,405**m; 242°03'15" e 3.260,604 m até o vértice **6**, de coordenadas **N 8.262.510,110**m e **E 188.559,013**m; 315°10'39" e 449,361 m até o vértice **7**, de coordenadas **N 8.262.828,840**m e **E 188.242,253**m; 268°57'36" e 108,548 m até o vértice **8**, de coordenadas **N 8.262.826,870**m e **E 188.133,723**m; 252°11'33" e 96,724 m até o vértice **9**, de coordenadas **N 8.262.797,290**m e **E 188.041,633**m; 183°17'32" e 85,501 m até o vértice **10**, de coordenadas **N 8.262.711,930**m e **E 188.036,723**m; 275°33'32" e 49,232 m até o vértice **11**, de coordenadas **N 8.262.716,699**m e **E 187.987,723**m; 219°10'37" e 26,547 m até o vértice **12**, de coordenadas **N 8.262.696,120**m e **E 187.970,953**m; 182°11'35" e 18,293 m até o vértice **13**, de coordenadas **N 8.262.677,840**m e **E 187.970,253**m; 270°00'00" e 26,000 m até o vértice **14**, de coordenadas **N 8.262.677,840**m e **E 187.944,253**m; 299°14'53" e 27,198 m até o vértice **15**, de coordenadas **N 8.262.691,129**m e **E 187.920,522**m; 240°17'25" e 10,672 m até o vértice **16**, de coordenadas **N 8.262.685,840**m e **E 187.911,253**m; 194°37'12" e 22,230 m até o vértice **17**, de coordenadas **N 8.262.664,330**m e **E 187.905,642**m; 160°36'00" e 43,988 m até o vértice **18**, de coordenadas **N 8.262.622,840**m e **E 187.920,253**m; 248°44'03" e 198,517 m até o vértice **19**, de coordenadas **N 8.262.550,839**m e **E 187.735,253**m; 322°30'26" e 276,018 m até o vértice **20**, de coordenadas **N 8.262.769,840**m e **E 187.567,252**m; 340°51'59" e 51,865 m até o vértice **21**, de coordenadas **N 8.262.818,840**m e **E 187.550,252**m; 207°19'03" e 1.191,928 m até o vértice **22**, de coordenadas **N 8.261.759,839**m e **E 187.003,252**m; 192°04'26" e 223,350 m até o vértice **23**, de coordenadas **N 8.261.541,430**m e **E 186.956,533**m; 192°04'26" e 621,255 m até o vértice **24**, de coordenadas **N 8.260.933,918**m e **E 186.826,583**m; 186°46'03" e 226,419 m até o vértice **25**, de coordenadas **N 8.260.709,077**m e **E 186.799,902**m; 190°18'13" e 368,096 m



SPL - PLC 0019/2019 folha 000005

até o vértice **26**, de coordenadas **N 8.260.346,917**m e **E 186.734,063**m; 189°32'59" e 80,318 m até o vértice **27** no meio do Ribeirão Bananal, de coordenadas **N 8.260.267,712**m e **E 186.720,738**m; segue pelo meio do referido Ribeirão até o vértice **28** confluência do mesmo com a margem do Lago Paranoá, de coordenadas **N 8.259.037,654**m e **E 189.101,992**m; deste segue pela margem do Lago Paranoá até atingir o vértice **29** situado a margem do referido lago, de coordenadas **N 8.251.452,400**m e **E 201.741,460**m; deste, segue por linha divisória com o seguinte azimute e distância: 110°22'59" e 4,846 m até o vértice **30** situado no eixo da rodovia DF-001, de coordenadas **N 8.251.450,712**m e **E 201.746,003**m; deste segue pelo eixo da referida rodovia até atingir o vértice **31**, de coordenadas **N 8.250.963,519**m e **E 201.544,698**m; deste segue por linha divisória com o seguinte azimute e distância 298°25'24" e 25,843 m até o vértice **32** situado a margem do Lago Paranoá, de coordenadas **N 8.250.975,820**m e **E 201.521,970**m; deste, segue pela margem do referido lago até atingir o vértice 33, de coordenadas **N 8.246.148,794**m e **E 188.919,760**m; deste, segue por linha divisória com os seguintes azimutes e distâncias: 248°51'14" e 5,228 m até o vértice **34**, de coordenadas **N 8.246.146,908**m e **E 188.914,884**m; 279°38'55" e 4,093 m até o vértice **35**, de coordenadas **N 8.246.147,594**m e **E 188.910,849**m; 304°38'52" e 6,107 m até atingir o vértice 36 **na confluência do Lago Paranoá com o Riacho Fundo**, de coordenadas **N 8.246.151,066**m e **E 188.905,825**m; deste, segue pelo meio do Riacho Fundo até atingir o vértice 37 interseção do referido riacho com a rodovia DF-047, de coordenadas **N 8.245.317,554**m e **E 185.918,037**m; deixando o referido riacho, segue pelo eixo da rodovia DF-047 até atingir o vértice **38** interseção da referida rodovia com a rodovia DF-051, de coordenadas **N 8.246.004,150**m e **E 185.998,118**m; deste, deixando a rodovia DF-047, segue pelo eixo da rodovia DF-051 até atingir o vértice **39** interseção da referida rodovia com a rodovia DF-003, de coordenadas **N 8.246.471,855**m e **E 183.652,767**m; deste, deixando a rodovia DF-051, segue pelo eixo da rodovia DF-003 até atingir o vértice **40** na interseção da referida rodovia com a rodovia DF-011, de coordenadas **N 8.249.848,614**m e **E 184.130,335**m; deste, deixando a rodovia DF-003, segue pelo eixo da rodovia DF-011 até atingir o vértice **41**, de coordenadas **N 8.251.454,330**m e **E 187.904,962**m; deste, deixando a referida rodovia, segue por linha divisória com os seguintes azimutes e distâncias: 106°30'18" e 183,872 m até o vértice **42**, de coordenadas **N 8.251.402,092**m e **E 188.081,258**m; 82°58'59" e 10,789 m até o vértice **43**, de coordenadas **N 8.251.403,410**m e **E 188.091,966**m; 35°43'24" e 10,936 m até o vértice **44**, de coordenadas **N 8.251.412,288**m e **E 188.098,351**m; 17°17'31" e 939,430 m até o vértice **45**, de coordenadas **N 8.252.309,258**m e **E 188.377,590**m;



SFL - PLC 0019/2019 folha 000006

287°02'11" e 168,745 m até o vértice **46**, de coordenadas **N 8.252.358,697**m e **E 188.216,250**m; 308°32'01" e 45,477 m até o vértice **47**, de coordenadas **N 8.252.387,028**m e **E 188.180,676**m; 289°34'24" e 28,506 m até o vértice **48**, de coordenadas **N 8.252.396,578**m e **E 188.153,817**m; 287°05'08" e 106,512 m até o vértice **49**, de coordenadas **N 8.252.427,871**m e **E 188.052,006**m; 287°05'04" e 53,162 m até o vértice **50**, de coordenadas **N 8.252.443,489**m e **E 188.001,190**m; 287°05'06" e 231,225 m até o vértice **51**, de coordenadas **N 8.252.511,421**m e **E 187.780,169**m; 288°56'41" e 45,642 m até o vértice **52**, de coordenadas **N 8.252.526,239**m e **E 187.736,999**m; 17°40'25" e 158,985 m até o vértice **53**, de coordenadas **N 8.252.677,720**m e **E 187.785,266**m; 15°18'10" e 10,962 m até o vértice **54**, de coordenadas **N 8.252.688,293**m e **E 187.788,159**m; 287°16'09" e 60,396 m até o vértice **55**, de coordenadas **N 8.252.706,222**m e **E 187.730,486**m; 287°16'09" e 195,282 m até o vértice **56**, de coordenadas **N 8.252.764,194**m e **E 187.544,007**m; 287°16'08" e 159,027 m até o vértice **57**, de coordenadas **N 8.252.811,402**m e **E 187.392,149**m; 287°16'09" e 235,006 m até o vértice **58**, de coordenadas **N 8.252.881,166**m e **E 187.167,737**m; 287°16'08" e 315,759 m até o vértice **59**, de coordenadas **N 8.252.974,901**m e **E 186.866,212**m; 287°08'51" e 230,433 m até o vértice **60**, de coordenadas **N 8.253.042,840**m e **E 186.646,022**m; 287°03'17" e 256,693 m até o vértice **61**, de coordenadas **N 8.253.118,124**m e **E 186.400,617**m; 287°03'18" e 277,551 m até o vértice **62**, de coordenadas **N 8.253.199,527**m e **E 186.135,272**m; 287°11'10" e 277,060 m até o vértice **63**, de coordenadas **N 8.253.281,392**m e **E 185.870,583**m; 287°16'16" e 89,742 m até o vértice **64**, de coordenadas **N 8.253.308,036**m e **E 185.784,887**m; 287°16'17" e 64,194 m até o vértice **65**, de coordenadas **N 8.253.327,095**m e **E 185.723,588**m; 287°16'16" e 89,679 m até o vértice **66**, de coordenadas **N 8.253.353,720**m e **E 185.637,953**m; 287°16'17" e 128,331 m até o vértice **67**, de coordenadas **N 8.253.391,821**m e **E 185.515,409**m; 287°16'16" e 121,187 m até o vértice **68**, de coordenadas **N 8.253.427,801**m e **E 185.399,686**m; 286°31'15" e 21,490 m até o vértice **69**, de coordenadas **N 8.253.433,912**m e **E 185.379,083**m; 286°31'17" e 86,449 m até o vértice **70**, de coordenadas **N 8.253.458,496**m e **E 185.296,203**m; 286°31'16" e 102,637 m até o vértice **71**, de coordenadas **N 8.253.487,683**m e **E 185.197,803**m; 286°31'21" e 31,499 m até o vértice **72**, de coordenadas **N 8.253.496,641**m e **E 185.167,605**m; 285°46'55" e 29,385 m até atingir o vértice **73**, de coordenadas **N 8.253.504,633**m e **E 185.139,328**m, localizado no eixo da Rodovia DF-003; deste segue pelo eixo da rodovia DF-003 até atingir o vértice **74**, de coordenadas **N 8.257.642,711**m e **E 187.388,403**m; deste, deixando o eixo da referida rodovia, segue por linha divisória com os



SPL - PLC 0019/2019 folha 000007

seguintes azimutes e distâncias: 300°03'11" e 40,172 m até o vértice **75**, de coordenadas **N 8.257.662,829**m e **E 187.353,632**m; 270°14'50" e 233,057 m até o vértice **76**, de coordenadas **N 8.257.663,835**m e **E 187.120,577**m; 210°18'16" e 342,848 m até o vértice **77**, de coordenadas **N 8.257.367,835**m e **E 186.947,577**m; 178°00'49" e 173,104 m até o vértice **78**, de coordenadas **N 8.257.194,835**m e **E 186.953,577**m; 300°05'13" e 851,763 m até o vértice **79**, de coordenadas **N 8.257.621,835**m e **E 186.216,576**m; 240°23'46" e 1.763,160 m até o vértice **80**, de coordenadas **N 8.256.750,834**m e **E 184.683,575**m; 270°33'42" e 714,034 m até o vértice **81**, de coordenadas **N 8.256.757,833**m e **E 183.969,575**m; 264°38'14" e 874,725 m até o vértice **82**, de coordenadas **N 8.256.676,080**m e **E 183.098,679**m; 264°38'14" e 666,020 m até o vértice **83**, de coordenadas **N 8.256.613,833**m e **E 182.435,574**m; 237°21'22" e 473,200 m até o vértice **84**, de coordenadas **N 8.256.358,582**m e **E 182.037,120**m; 237°21'23" e 142,418 m até o vértice **85**, de coordenadas **N 8.256.281,760**m e **E 181.917,198**m; 237°21'23" e 174,130 m até o vértice **86**, de coordenadas **N 8.256.187,832**m e **E 181.770,573**m; 222°56'44" e 97,010 m até o vértice **87**, de coordenadas **N 8.256.116,821**m e **E 181.704,480**m; 222°56'45" e 396,161 m até o vértice **88**, de coordenadas **N 8.255.826,832**m e **E 181.434,573**m; 202°51'42" e 892,350 m até o vértice **89**, de coordenadas **N 8.255.004,580**m e **E 181.087,889**m; 190°34'54" e 110,630 m até o vértice **90**, de coordenadas **N 8.254.895,831**m e **E 181.067,573**m; 165°26'10" e 210,773 m até o vértice **91**, de coordenadas **N 8.254.691,831**m e **E 181.120,574**m; 177°29'16" e 370,267 m até o vértice **92**, de coordenadas **N 8.254.321,920**m e **E 181.136,803**m; 177°29'16" e 291,328 m até o vértice **93**, de coordenadas **N 8.254.030,872**m e **E 181.149,572**m; 136°28'16" e 77,558 m até o vértice **94**, de coordenadas **N 8.253.974,640**m e **E 181.202,988**m; 136°27'03" e 549,423 m até o vértice **95**, de coordenadas **N 8.253.576,427**m e **E 181.581,527**m; 136°27'03" e 71,190 m até o vértice **96**, de coordenadas **N 8.253.524,830**m e **E 181.630,575**m; 226°36'02" e 890,605 m até o vértice **97**, de coordenadas **N 8.252.912,912**m e **E 180.983,479**m; 226°36'02" e 71,437 m até o vértice **98**, de coordenadas **N 8.252.863,829**m e **E 180.931,574**m; 233°07'48" e 10,000 m até o vértice **99**, de coordenadas **N 8.252.857,829**m e **E 180.923,574**m; 246°48'05" e 7,616 m até o vértice **100**, de coordenadas **N 8.252.854,829**m e **E 180.916,574**m; 255°57'50" e 8,246 m até o vértice **101**, de coordenadas **N 8.252.852,829**m e **E 180.908,574**m; 270°00'00" e 7,000 m até o vértice **102**, de coordenadas **N 8.252.852,829**m e **E 180.901,574**m; 278°07'48" e 7,071 m até o vértice **103**, de coordenadas **N 8.252.853,829**m e **E 180.894,574**m; 284°02'10" e 8,246 m até o vértice **104**, de coordenadas **N 8.252.855,829**m e **E 180.886,574**m; 303°41'24" e 7,211 m até



SRL - PLC 0019/2019 folha 000008

o vértice **105**, de coordenadas **N 8.252.859,829**m e **E 180.880,574**m; 309°48'20" e 7,810 m até o vértice **106**, de coordenadas **N 8.252.864,829**m e **E 180.874,574**m; 316°48'37" e 33,485 m até o vértice **107**, de coordenadas **N 8.252.889,243**m e **E 180.851,656**m; 316°48'35" e 224,519 m até o vértice **108**, de coordenadas **N 8.253.052,936**m e **E 180.697,990**m; 316°48'35" e 1.264,193 m até o vértice **109**, de coordenadas **N 8.253.974,640**m e **E 179.832,747**m; 316°48'35" e 134,674 m até o vértice **110**, de coordenadas **N 8.254.072,829**m e **E 179.740,573**m; 317°03'59" e 340,221 m até o vértice **111**, de coordenadas **N 8.254.321,920**m e **E 179.508,832**m; 317°03'59" e 208,853 m até o vértice **112**, de coordenadas **N 8.254.474,830**m e **E 179.366,572**m; 317°10'17" e 147,439 m até o vértice **113**, de coordenadas **N 8.254.582,960**m e **E 179.266,342**m; 317°10'17" e 449,788 m até o vértice **114**, de coordenadas **N 8.254.912,830**m e **E 178.960,572**m; 317°02'43" e 194,224 m até o vértice **115**, de coordenadas **N 8.255.054,981**m e **E 178.828,224**m; 317°02'43" e 360,502 m até o vértice **116**, de coordenadas **N 8.255.318,830**m e **E 178.582,571**m; 318°51'02" e 147,411 m até o vértice **117**, de coordenadas **N 8.255.429,830**m e **E 178.485,571**m; 316°42'22" e 168,236 m até o vértice **118**, de coordenadas **N 8.255.552,280**m e **E 178.370,205**m; 316°42'22" e 164,252 m até o vértice **119**, de coordenadas **N 8.255.671,830**m e **E 178.257,571**m; 318°15'25" e 134,987 m até o vértice **120**, de coordenadas **N 8.255.772,549**m e **E 178.167,698**m; 318°15'29" e 39,243 m até o vértice **121**, de coordenadas **N 8.255.801,830**m e **E 178.141,571**m; 320°42'35" e 25,096 m até o vértice **122**, de coordenadas **N 8.255.821,253**m e **E 178.125,679**m; 320°43'00" e 3,329 m até o vértice **123**, de coordenadas **N 8.255.823,830**m e **E 178.123,571**m; 308°47'45" e 46,415 m até o vértice **124**, de coordenadas **N 8.255.852,911**m e **E 178.087,396**m; 308°47'55" e 19,022 m até o vértice **125**, de coordenadas **N 8.255.864,830**m e **E 178.072,571**m; 302°11'45" e 31,906 m até o vértice **126**, de coordenadas **N 8.255.881,830**m e **E 178.045,571**m; 291°17'54" e 269,778 m até o vértice **127**, de coordenadas **N 8.255.979,820**m e **E 177.794,218**m; 289°05'37" e 27,514 m até o vértice **128**, de coordenadas **N 8.255.988,820**m e **E 177.768,218**m; 283°32'16" e 121,784 m até o vértice **129**, de coordenadas **N 8.256.017,328**m e **E 177.649,818**m; 283°24'58" e 372,773 m até o vértice **130**, de coordenadas **N 8.256.103,820**m e **E 177.287,218**m; 281°39'43" e 610,879 m até o vértice **131**, de coordenadas **N 8.256.227,302**m e **E 176.688,949**m; 281°39'47" e 27,296 m até o vértice **132**, de coordenadas **N 8.256.232,820**m e **E 176.662,217**m; 264°58'27" e 875,568 m até o vértice **133**, de coordenadas **N 8.256.156,115**m e **E 175.790,015**m; 264°58'27" e 456,892 m até o vértice **134**, de coordenadas **N 8.256.116,089**m e **E 175.334,880**m; 264°58'27" e 334,647 m



SPL - PLC 0019/2019 folha 000009

até o vértice **135**, de coordenadas **N 8.256.086,772**m e **E 175.001,520**m; 264°58'26" e 106,619 m até o vértice **136**, de coordenadas **N 8.256.077,431**m e **E 174.895,311**m; 264°58'27" e 349,439 m até o vértice **137**, de coordenadas **N 8.256.046,819**m e **E 174.547,215**m; 265°04'10" e 578,408 m até o vértice **138**, de coordenadas **N 8.255.997,105**m e **E 173.970,947**m; 265°04'10" e 548,484 m até o vértice **139**, de coordenadas **N 8.255.949,963**m e **E 173.424,493**m; 265°16'25" e 22,829 m até o vértice **140**, de coordenadas **N 8.255.948,082**m e **E 173.401,742**m, localizado no eixo da Rodovia DF-001; deste, segue pelo eixo da rodovia DF-001 até atingir o vértice **1**, ponto inicial da descrição deste perímetro. Todas as coordenadas aqui descritas estão georreferenciadas ao Sistema Geodésico Brasileiro e encontram-se representadas no Sistema UTM, referenciadas ao **Meridiano Central 45° WGr, Fuso 23**, tendo como o Datum o **SICAD-SIRGAS 2000.** Todos os azimutes e distâncias, áreas e perímetros foram calculados no plano de projeção UTM.



SRL - PLC 0019/2019 folha 000010

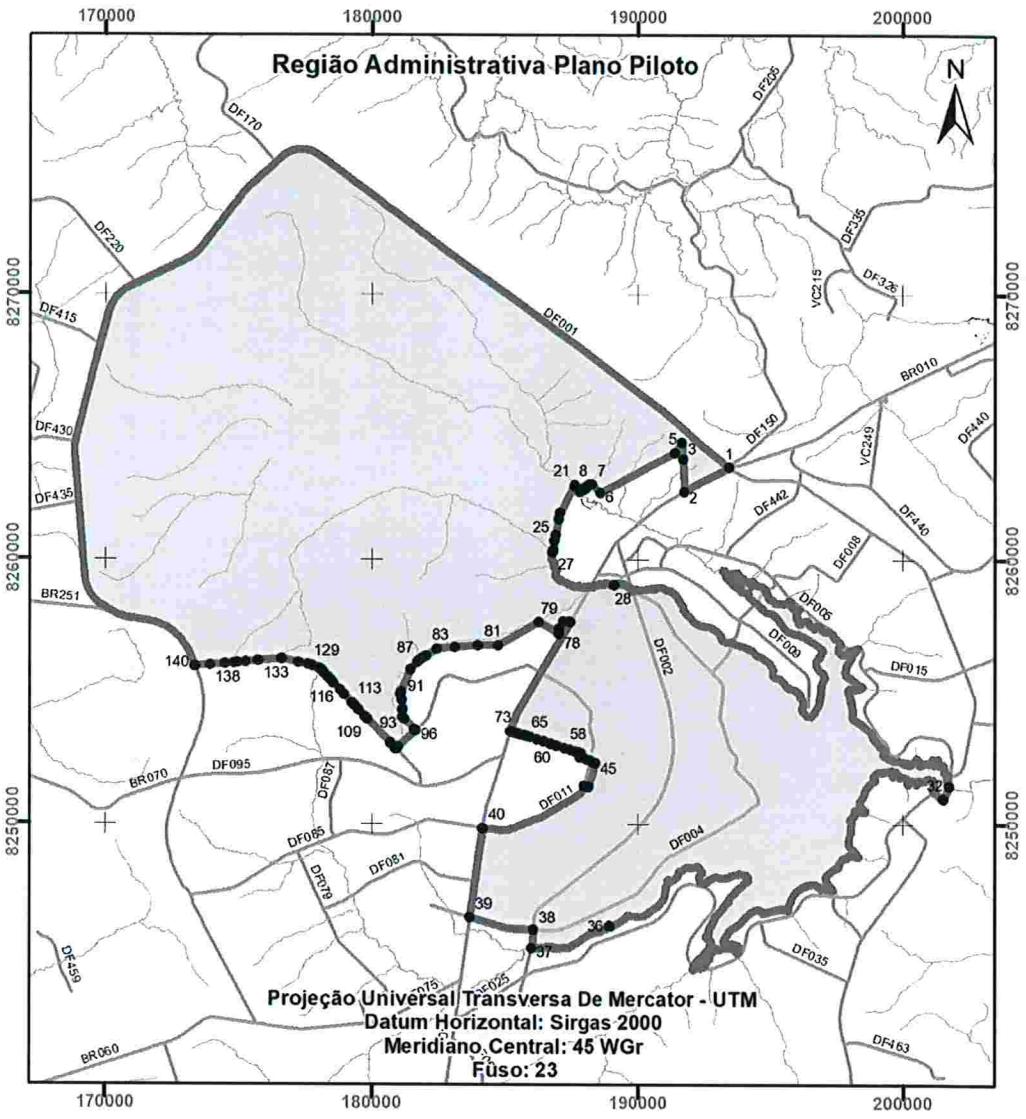




SPL - PLC 0019/2019 folha 000011

# MEMORIAL DESCRITIVO

## GAMA – RA II

Perímetro: 88.897,980 m  Área: 27.605,341 ha

Inicia-se a descrição deste perímetro no vértice **1**, de coordenadas **N 8.236.101,47** m. e **E 168.679,17** m., situado às Margens do Córrego Monjolo, deste, segue com azimute de 118°15'14" e distância de 29,61 m, até o vértice **2**, de coordenadas **N 8.236.087,45** m. e **E 168.705,25** m.; deste, segue com azimute de 118°15'13" e distância de 7,10 m, até o vértice **3**, de coordenadas **N 8.236.084,09** m. e **E 168.711,50** m.; deste, segue com azimute de 118°15'14" e distância de 132,46 m, até o vértice **4**, de coordenadas **N 8.236.021,39** m. e **E 168.828,18** m.; deste, segue com azimute de 118°15'14" e distância de 36,50 m, até o vértice **5**, de coordenadas **N 8.236.004,10** m. e **E 168.860,34** m.; deste, segue com azimute de 118°15'14" e distância de 18,58 m, até o vértice **6**, de coordenadas **N 8.235.995,31** m. e **E 168.876,70** m.; deste, segue com azimute de 125°40'51" e distância de 34,29 m, até o vértice **7**, de coordenadas **N 8.235.975,31** m. e **E 168.904,56** m.; deste, segue com azimute de 125°40'50" e distância de 18,85 m, até o vértice **8**, de coordenadas **N 8.235.964,31** m. e **E 168.919,88** m.; deste, segue com azimute de 138°21'37" e distância de 48,20 m, até o vértice **9**, de coordenadas **N 8.235.928,29** m. e **E 168.951,90** m.; deste, segue com azimute de 138°21'37" e distância de 26,06 m, até o vértice **10**, de coordenadas **N 8.235.908,81** m. e **E 168.969,22** m.; deste, segue com azimute de 142°56'36" e distância de 61,40 m, até o vértice **11**, de coordenadas **N 8.235.859,81** m. e **E 169.006,22** m.; deste, segue com azimute de 168°39'53" e distância de 28,14 m, até o vértice **12**, de coordenadas **N 8.235.832,22** m. e **E 169.011,75** m.; deste, segue com azimute de 168°39'53" e distância de 34,58 m, até o vértice **13**, de coordenadas **N 8.235.798,31** m. e **E 169.018,55** m.; deste, segue com azimute de 129°00'43" e distância de 124,41 m, até o vértice **14**, de coordenadas **N 8.235.720,00** m. e **E 169.115,21** m.; deste, segue com azimute de 128°56'49" e distância de 377,41 m, até o vértice **15**, de coordenadas **N 8.235.482,76** m. e **E 169.408,74** m.; deste, segue com azimute de 128°00'12" e distância de 281,78 m, até o vértice **16**, de coordenadas **N 8.235.309,26** m. e **E 169.630,77** m.; deste, segue com azimute de 128°11'44" e distância de 129,52 m, até o vértice **17**, de coordenadas **N 8.235.229,18** m. e **E 169.732,56** m.; deste, segue com azimute de 128°04'00" e distância de 238,78 m, até o vértice **18**, de coordenadas **N 8.235.081,95** m. e **E 169.920,55** m.; deste, segue com azimute de 120°48'54" e distância de 12,55 m, até o vértice **19**, de coordenadas **N 8.235.075,52** m. e **E 169.931,33** m.; deste, segue com azimute



SPL - PLC 0019/2019 folha 000012

de 96°16'22" e distância de 11,47 m, até o vértice **20**, de coordenadas **N 8.235.074,27** m. e **E 169.942,73** m.; deste, segue com azimute de 72°35'36" e distância de 5,16 m, até o vértice **21**, de coordenadas **N 8.235.075,81** m. e **E 169.947,65** m.; deste, segue com azimute de 38°08'08" e distância de 50,70 m, até o vértice **22**, de coordenadas **N 8.235.115,69** m. e **E 169.978,96** m.; deste, segue com azimute de 40°19'00" e distância de 63,29 m, até o vértice **23**, de coordenadas **N 8.235.163,94** m. e **E 170.019,91** m.; deste, segue com azimute de 40°19'00" e distância de 72,57 m, até o vértice **24**, de coordenadas **N 8.235.219,28** m. e **E 170.066,86** m.; deste, segue com azimute de 41°48'00" e distância de 53,09 m, até o vértice **25**, de coordenadas **N 8.235.258,86** m. e **E 170.102,25** m.; deste, segue com azimute de 44°55'54" e distância de 60,48 m, até o vértice **26**, de coordenadas **N 8.235.301,67** m. e **E 170.144,96** m.; deste, segue com azimute de 48°31'14" e distância de 31,43 m, até o vértice **27**, de coordenadas **N 8.235.322,48** m. e **E 170.168,50** m.; deste, segue com azimute de 53°46'42" e distância de 23,01 m, até o vértice **28**, de coordenadas **N 8.235.336,08** m. e **E 170.187,07** m.; deste, segue com azimute de 58°37'50" e distância de 22,32 m, até o vértice **29**, de coordenadas **N 8.235.347,70** m. e **E 170.206,13** m.; deste, segue com azimute de 63°07'09" e distância de 26,97 m, até o vértice **30**, de coordenadas **N 8.235.359,90** m. e **E 170.230,19** m.; deste, segue com azimute de 66°43'10" e distância de 35,03 m, até o vértice **31**, de coordenadas **N 8.235.373,74** m. e **E 170.262,36** m.; deste, segue com azimute de 73°14'34" e distância de 56,96 m, até o vértice **32**, de coordenadas **N 8.235.390,16** m. e **E 170.316,90** m.; deste, segue com azimute de 78°07'39" e distância de 56,32 m, até o vértice **33**, de coordenadas **N 8.235.401,75** m. e **E 170.372,02** m.; deste, segue com azimute de 81°34'58" e distância de 34,86 m, até o vértice **34**, de coordenadas **N 8.235.406,85** m. e **E 170.406,51** m.; deste, segue com azimute de 94°23'36" e distância de 44,40 m, até o vértice **35**, de coordenadas **N 8.235.403,45** m. e **E 170.450,78** m.; deste, segue com azimute de 101°50'05" e distância de 67,70 m, até o vértice **36**, de coordenadas **N 8.235.389,57** m. e **E 170.517,04** m.; deste, segue com azimute de 107°13'19" e distância de 65,01 m, até o vértice **37**, de coordenadas **N 8.235.370,32** m. e **E 170.579,14** m.; deste, segue com azimute de 109°47'11" e distância de 97,53 m, até o vértice **38**, de coordenadas **N 8.235.337,30** m. e **E 170.670,91** m.; deste, segue com azimute de 114°35'43" e distância de 35,30 m, até o vértice **39**, de coordenadas **N 8.235.322,61** m. e **E 170.703,01** m.; deste, segue com azimute de 119°53'04" e distância de 37,10 m, até o vértice **40**, de coordenadas **N 8.235.304,13** m. e **E 170.735,18** m.; deste, segue com azimute de 126°59'24" e distância de 66,39 m, até o vértice **41**, de coordenadas **N 8.235.264,18** m. e **E 170.788,21** m.; deste, segue com azimute de



SPL - PLC 0019/2019 folha 000013

124°17'59" e distância de 65,07 m, até o vértice **42**, de coordenadas **N 8.235.227,51** m. e **E 170.841,97** m.**;** deste, segue com azimute de 121°38'34" e distância de 53,32 m, até o vértice **43**, de coordenadas **N 8.235.199,53** m. e **E 170.887,36** m.**;** deste, segue com azimute de 121°22'51" e distância de 153,29 m, até o vértice **44**, de coordenadas **N 8.235.119,71** m. e **E 171.018,23** m.**;** deste, segue com azimute de 122°04'33" e distância de 177,94 m, até o vértice **45**, de coordenadas **N 8.235.025,22** m. e **E 171.169,00** m.**;** deste, segue com azimute de 122°01'42" e distância de 133,69 m, até o vértice **46**, de coordenadas **N 8.234.954,32** m. e **E 171.282,35** m.**;** deste, segue com azimute de 121°53'04" e distância de 100,14 m, até o vértice **47**, de coordenadas **N 8.234.901,42** m. e **E 171.367,38** m.**;** deste, segue com azimute de 122°02'14" e distância de 112,69 m, até o vértice **48**, de coordenadas **N 8.234.841,64** m. e **E 171.462,91** m.**;** deste, segue com azimute de 120°48'07" e distância de 147,42 m, até o vértice **49**, de coordenadas **N 8.234.766,15** m. e **E 171.589,54** m.**;** deste, segue com azimute de 122°01'47" e distância de 308,28 m, até o vértice **50**, de coordenadas **N 8.234.602,65** m. e **E 171.850,89** m.**;** deste, segue com azimute de 122°34'37" e distância de 121,51 m, até o vértice **51**, de coordenadas **N 8.234.537,22** m. e **E 171.953,28** m.**;** deste, segue com azimute de 122°09'00" e distância de 155,77 m, até o vértice **52**, de coordenadas **N 8.234.454,33** m. e **E 172.085,16** m.**;** deste, segue com azimute de 120°49'29" e distância de 32,66 m, até o vértice **53**, de coordenadas **N 8.234.437,60** m. e **E 172.113,21** m.**;** deste, segue com azimute de 131°27'45" e distância de 10,99 m, até o vértice **54**, de coordenadas **N 8.234.430,32** m. e **E 172.121,44** m.**;** deste, segue com azimute de 110°15'39" e distância de 7,76 m, até o vértice **55**, de coordenadas **N 8.234.427,63** m. e **E 172.128,73** m.**;** deste, segue com azimute de 120°43'36" e distância de 30,26 m, até o vértice **56**, de coordenadas **N 8.234.412,18** m. e **E 172.154,74** m.**;** deste, segue com azimute de 80°50'55" e distância de 1,54 m, até o vértice **57**, de coordenadas **N 8.234.412,42** m. e **E 172.156,26** m.**;** eixo da Rodovia DF-475, deste segue pela Rodovia DF-475 até o vértice **58**, de coordenadas **N 8.234.729,91** m. e **E 174.717,48** m.; interseção da Rodovia DF-475 com Rodovia DF-001 deste, segue pela Rodovia DF-001, até o vértice **59**, de coordenadas **N 8.231.194,36** m. e **E 178.379,76** m.**;** deste, segue com azimute de 195°37'33" e distância de 953,795 m, até o vértice **60**, de coordenadas **N 8.230.275,81** m. e **E 178.122,85** m.; as margens do Rio Alagado**,** deste, segue pelo Rio Alagado, até o vértice **61**, de coordenadas **N 8.224.511,71** m. e **E 173.171,59** m.**;** cruzamento entre o Rio Alagado com a DF-290 deste, segue pela Rodovia DF-290, até o vértice **62**, de coordenadas **N 8.223.916,71** m. e **E 174.367,93** m.**;** deste, segue com azimute de 217°13'28" e distância de 226,03 m, até o vértice **63**, de coordenadas **N 8.223.736,73** m.



SPL - PLC 0019/2019 folha 000014

e **E 174.231,20** m.**;** deste, segue com azimute de 216°50'49" e distância de 445,13 m, até o vértice **64**, de coordenadas **N 8.223.380,52** m. e **E 173.964,26** m.**;** deste, segue com azimute de 216°50'49" e distância de 157,73 m, até o vértice **65**, de coordenadas **N 8.223.254,29** m. e **E 173.869,67** m.**;** deste, segue com azimute de 216°50'49" e distância de 85,06 m, até o vértice **66**, de coordenadas **N 8.223.186,22** m. e **E 173.818,66** m.**;** deste, segue com azimute de 214°18'07" e distância de 76,33 m, até o vértice **67**, de coordenadas **N 8.223.123,17** m. e **E 173.775,64** m.**;** Limite Sul do Distrito Federal, deste, segue pelo Limite Sul do Distrito Federal, até o vértice **68**, de coordenadas **N 8.222.803,46** m. e **E 149.228,46** m.**;** às Margens do Rio Descoberto, deste, segue pelo Rio Descoberto, até o vértice **69**, de coordenadas **N 8.230.693,10** m. e **E 150.984,31** m.**;** confluência entre o Rio Descoberto e o Córrego Tiobo, deste, segue pelo Córrego Tiobo, até o vértice **70**, de coordenadas **N 8.234.373,07** m. e **E 161.337,50** m.**;** confluência entre Córrego Tiobo e Córrego Buriti deste, segue pelo Córrego Buriti, até o vértice **71**, de coordenadas **N 8.234.886,29** m. e **E 165.153,60** m.**;** confluência entre o Córrego Buruti e Córrego Estiva, deste, segue pelo Córrego, até o vértice **72**, de coordenadas **N 8.233.457,67** m. e **E 165.758,39** m.**;** confluência entre o Córrego Estiva e Córrego Monjolo deste, segue pelo Córrego Monjolo, até o vértice **1**, de coordenadas **N 8.236.101,47** m. e **E 168.679,17** m.**;** ponto inicial da descrição deste perímetro. Todas as coordenadas aqui descritas estão georreferenciadas ao Sistema Geodésico Brasileiro e encontram-se representadas no Sistema UTM, referenciadas ao **Meridiano Central 45° WGr, Fuso 23**, tendo como o Datum o **SICAD-SIRGAS 2000.** Todos os azimutes e distâncias, áreas e perímetros foram calculados no plano de projeção UTM.



SFL - PLC 0019/2019 folha 000015

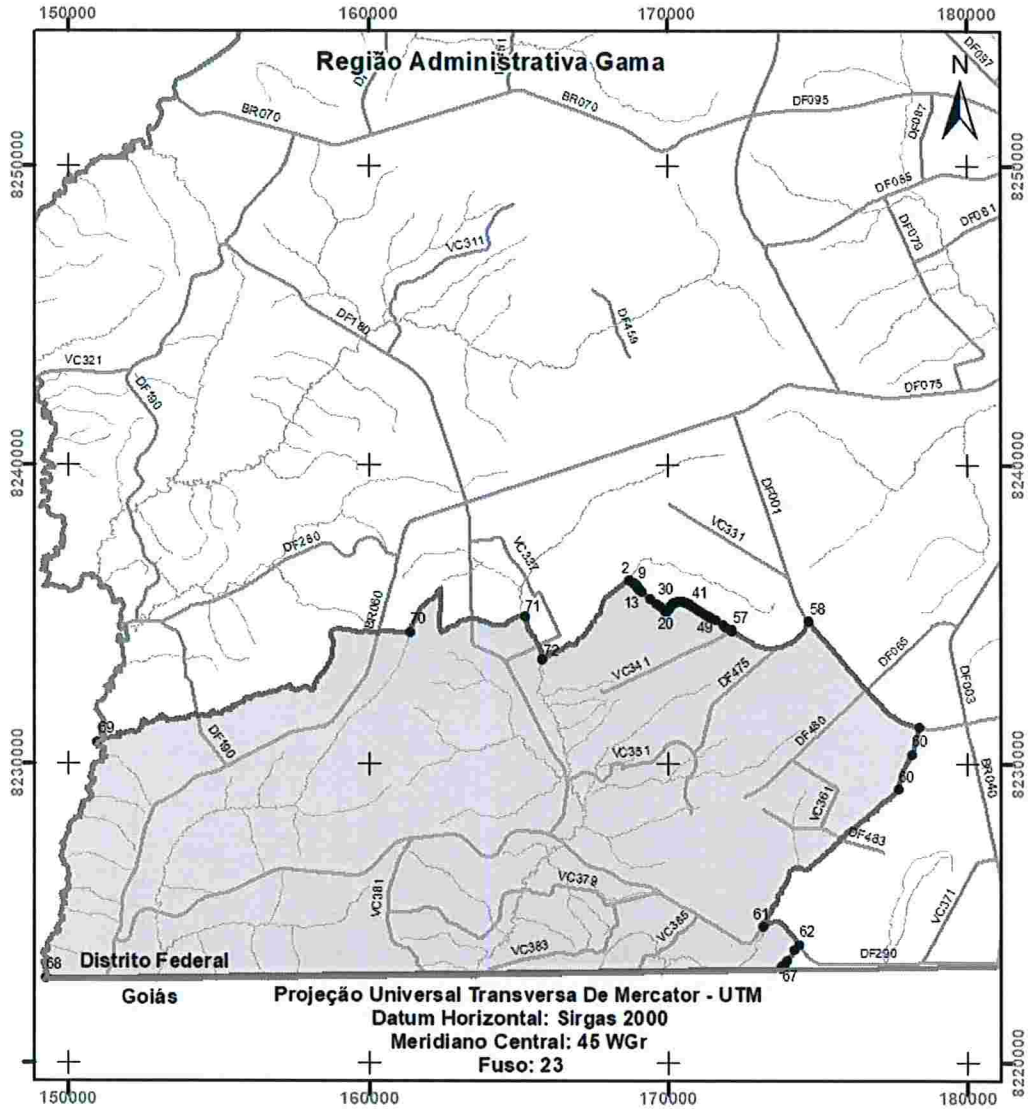




SRL - PLC 0019/2019 folha 000016

# MEMORIAL DESCRITIVO

## TAGUATINGA – RA III

Perímetro: 52.655,120 m  Área: 6.304,462 ha

Inicia-se a descrição deste perímetro no vértice **1**, de coordenadas **N 8.257.818,99** m e **E 170.661,70** m, situado no eixo da Rodovia DF001, deste, segue até o vértice **2**, de coordenadas **N 8.251.670,58** m e **E 172.837,47** m, situado na interseção entre as Rodovias BR070, DF001 e DF095 deste, segue pelo eixo da DF095 até o vértice **3**, de coordenadas **N 8.251.716,54** m e **E 173.041,54** m; deste, segue com azimute de 174°41'59" e distância de 41,28 m, até o vértice **4**, de coordenadas **N 8.251.675,44** m e **E 173.045,35** m; deste, segue com azimute de 238°03'59" e distância de 41,55 m, até o vértice **5**, de coordenadas **N 8.251.653,46** m e **E 173.010,10** m; deste, segue com azimute de 238°04'00" e distância de 10,54 m, até o vértice **6**, de coordenadas **N 8.251.647,89** m e **E 173.001,15** m; deste, segue com azimute de 228°21'59" e distância de 29,71 m, até o vértice **7**, de coordenadas **N 8.251.628,15** m e **E 172.978,95** m; deste, segue com azimute de 221°06'45" e distância de 15,01 m, até o vértice **8**, de coordenadas **N 8.251.616,85** m e **E 172.969,08** m; deste, segue com azimute de 208°41'10" e distância de 12,42 m, até o vértice **9**, de coordenadas **N 8.251.605,95** m e **E 172.963,12** m; deste, segue com azimute de 196°36'31" e distância de 13,85 m, até o vértice **10**, de coordenadas **N 8.251.592,68** m e **E 172.959,16** m; deste, segue com azimute de 196°50'24" e distância de 104,57 m, até o vértice **11**, de coordenadas **N 8.251.492,59** m e **E 172.928,86** m; deste, segue com azimute de 196°50'24" e distância de 63,53 m, até o vértice **12**, de coordenadas **N 8.251.431,78** m e **E 172.910,46** m; deste, segue com azimute de 176°59'18" e distância de 12,31 m, até o vértice **13**, de coordenadas **N 8.251.419,48** m e **E 172.911,11** m; deste, segue com azimute de 178°42'46" e distância de 10,50 m, até o vértice **14**, de coordenadas **N 8.251.408,99** m e **E 172.911,34** m; deste, segue com azimute de 178°42'47" e distância de 7,80 m, até o vértice **15**, de coordenadas **N 8.251.401,19** m e **E 172.911,52** m; deste, segue com azimute de 195°26'23" e distância de 44,79 m, até o vértice **16**, de coordenadas **N 8.251.358,01** m e **E 172.899,59** m; deste, segue com azimute de 194°38'38" e distância de 48,05 m, até o vértice **17**, de coordenadas **N 8.251.311,52** m e **E 172.887,45** m; deste, segue com azimute de 194°38'37" e distância de 60,11 m, até o vértice **18**, de coordenadas **N 8.251.253,37** m e **E 172.872,25** m; deste, segue com azimute de 192°02'54" e distância de 43,56 m, até o vértice **19**, de coordenadas **N 8.251.210,77** m e **E 172.863,16** m; deste, segue com azimute de 193°40'12" e distância de



SFL - PLC 0019/2019 folha 000017

129,99 m, até o vértice **20**, de coordenadas **N 8.251.084,46** m e **E 172.832,44** m; deste, segue com azimute de 217°18'41" e distância de 9,62 m, até o vértice **21**, de coordenadas **N 8.251.076,81** m e **E 172.826,61** m; deste, segue com azimute de 217°18'41" e distância de 23,58 m, até o vértice **22**, de coordenadas **N 8.251.058,06** m e **E 172.812,32** m; deste, segue com azimute de 207°12'55" e distância de 17,09 m, até o vértice **23**, de coordenadas **N 8.251.042,86** m e **E 172.804,50** m; deste, segue com azimute de 198°58'40" e distância de 19,47 m, até o vértice **24**, de coordenadas **N 8.251.024,45** m e **E 172.798,17** m; deste, segue com azimute de 198°58'41" e distância de 49,62 m, até o vértice **25**, de coordenadas **N 8.250.977,53** m e **E 172.782,03** m; deste, segue com azimute de 198°58'40" e distância de 46,82 m, até o vértice **26**, de coordenadas **N 8.250.933,25** m e **E 172.766,81** m; deste, segue com azimute de 251°47'18" e distância de 15,13 m, até o vértice **27**, de coordenadas **N 8.250.928,53** m e **E 172.752,44** m; deste, segue com azimute de 193°49'05" e distância de 310,97 m, até o vértice **28**, de coordenadas **N 8.250.626,55** m e **E 172.678,17** m; deste, segue com azimute de 193°33'31" e distância de 68,02 m, até o vértice **29**, de coordenadas **N 8.250.560,43** m e **E 172.662,22** m; deste, segue com azimute de 206°45'52" e distância de 56,06 m, até o vértice **30**, de coordenadas **N 8.250.510,37** m e **E 172.636,97** m; deste, segue com azimute de 190°14'47" e distância de 18,68 m, até o vértice **31**, de coordenadas **N 8.250.491,98** m e **E 172.633,65** m; deste, segue com azimute de 225°21'07" e distância de 13,69 m, até o vértice **32**, de coordenadas **N 8.250.482,37** m e **E 172.623,91** m; deste, segue com azimute de 225°21'07" e distância de 29,76 m, até o vértice **33**, de coordenadas **N 8.250.461,45** m e **E 172.602,74** m; deste, segue com azimute de 127°18'18" e distância de 14,40 m, até o vértice **34**, de coordenadas **N 8.250.452,72** m e **E 172.614,20** m; deste, segue com azimute de 127°18'17" e distância de 19,84 m, até o vértice **35**, de coordenadas **N 8.250.440,70** m e **E 172.629,98** m; deste, segue com azimute de 211°25'51" e distância de 28,00 m, até o vértice **36**, de coordenadas **N 8.250.416,81** m e **E 172.615,38** m; deste, segue com azimute de 213°50'22" e distância de 39,78 m, até o vértice **37**, de coordenadas **N 8.250.383,77** m e **E 172.593,22** m; deste, segue com azimute de 220°13'23" e distância de 8,76 m, até o vértice **38**, de coordenadas **N 8.250.377,08** m e **E 172.587,57** m; deste, segue com azimute de 220°13'23" e distância de 28,58 m, até o vértice **39**, de coordenadas **N 8.250.355,26** m e **E 172.569,11** m; deste, segue com azimute de 209°38'59" e distância de 17,75 m, até o vértice **40**, de coordenadas **N 8.250.339,83** m e **E 172.560,33** m; deste, segue com azimute de 196°45'28" e distância de 21,63 m, até o vértice **41**, de coordenadas **N 8.250.319,13** m e **E 172.554,09** m; deste, segue com azimute de 195°46'54" e distância de



SPL - PLC 0019/2019 folha 000018

20,42 m, até o vértice **42**, de coordenadas **N 8.250.299,47** m e **E 172.548,54** m; deste, segue com azimute de 190°40'45" e distância de 12,57 m, até o vértice **43**, de coordenadas **N 8.250.287,13** m e **E 172.546,21** m; deste, segue com azimute de 189°53'41" e distância de 14,05 m, até o vértice **44**, de coordenadas **N 8.250.273,29** m e **E 172.543,80** m; deste, segue com azimute de 174°18'50" e distância de 26,52 m, até o vértice **45**, de coordenadas **N 8.250.246,90** m e **E 172.546,42** m; deste, segue com azimute de 184°06'15" e distância de 46,55 m, até o vértice **46**, de coordenadas **N 8.250.200,47** m e **E 172.543,09** m; deste, segue com azimute de 177°35'13" e distância de 13,42 m, até o vértice **47**, de coordenadas **N 8.250.187,06** m e **E 172.543,66** m; deste, segue com azimute de 155°14'57" e distância de 15,57 m, até o vértice **48**, de coordenadas **N 8.250.172,92** m e **E 172.550,18** m; deste, segue com azimute de 125°43'54" e distância de 16,85 m, até o vértice **49**, de coordenadas **N 8.250.163,08** m e **E 172.563,86** m; deste, segue com azimute de 125°27'42" e distância de 148,49 m, até o vértice **50**, de coordenadas **N 8.250.076,93** m e **E 172.684,80** m; deste, segue com azimute de 125°16'42" e distância de 39,62 m, até o vértice **51**, de coordenadas **N 8.250.054,05** m e **E 172.717,14** m; deste, segue com azimute de 102°44'03" e distância de 28,84 m, até o vértice **52**, de coordenadas **N 8.250.047,70** m e **E 172.745,28** m; deste, segue com azimute de 128°02'18" e distância de 14,84 m, até o vértice **53**, de coordenadas **N 8.250.038,55** m e **E 172.756,97** m; deste, segue com azimute de 131°08'26" e distância de 16,62 m, até o vértice **54**, de coordenadas **N 8.250.027,61** m e **E 172.769,49** m; deste, segue com azimute de 237°59'23" e distância de 21,31 m, até o vértice **55**, de coordenadas **N 8.250.016,32** m e **E 172.751,42** m; deste, segue com azimute de 241°19'33" e distância de 80,98 m, até o vértice **56**, de coordenadas **N 8.249.977,46** m e **E 172.680,37** m; deste, segue com azimute de 241°19'33" e distância de 139,86 m, até o vértice **57**, de coordenadas **N 8.249.910,36** m e **E 172.557,66** m; deste, segue com azimute de 158°30'06" e distância de 72,64 m, até o vértice **58**, de coordenadas **N 8.249.842,77** m e **E 172.584,28** m; deste, segue com azimute de 158°05'05" e distância de 58,86 m, até o vértice **59**, de coordenadas **N 8.249.788,16** m e **E 172.606,25** m; deste, segue com azimute de 157°32'54" e distância de 136,75 m, até o vértice **60**, de coordenadas **N 8.249.661,78** m e **E 172.658,48** m; deste, segue com azimute de 156°41'40" e distância de 69,22 m, até o vértice **61**, de coordenadas **N 8.249.598,21** m e **E 172.685,86** m; deste, segue com azimute de 157°32'01" e distância de 52,40 m, até o vértice **62**, de coordenadas **N 8.249.549,78** m e **E 172.705,89** m; deste, segue com azimute de 159°16'28" e distância de 24,33 m, até o vértice **63**, de coordenadas **N 8.249.527,03** m e **E 172.714,50** m; deste, segue com azimute de 161°48'50" e distância de



SFL - PLC 0019/2019 folha 000019

28,71 m, até o vértice **64**, de coordenadas **N 8.249.499,75** m e **E 172.723,46** m; deste, segue com azimute de 166°35'35" e distância de 22,34 m, até o vértice **65**, de coordenadas **N 8.249.478,02** m e **E 172.728,64** m; deste, segue com azimute de 175°15'44" e distância de 10,24 m, até o vértice **66**, de coordenadas **N 8.249.467,82** m e **E 172.729,48** m; deste, segue com azimute de 176°17'33" e distância de 11,14 m, até o vértice **67**, de coordenadas **N 8.249.456,69** m e **E 172.730,20** m; deste, segue com azimute de 176°17'30" e distância de 7,08 m, até o vértice **68**, de coordenadas **N 8.249.449,63** m e **E 172.730,66** m; deste, segue com azimute de 182°15'28" e distância de 8,94 m, até o vértice **69**, de coordenadas **N 8.249.440,70** m e **E 172.730,31** m; deste, segue com azimute de 183°43'17" e distância de 16,59 m, até o vértice **70**, de coordenadas **N 8.249.424,15** m e **E 172.729,23** m; deste, segue com azimute de 187°27'22" e distância de 47,86 m, até o vértice **71**, de coordenadas **N 8.249.376,69** m e **E 172.723,02** m; deste, segue com azimute de 180°36'03" e distância de 51,55 m, até o vértice **72**, de coordenadas **N 8.249.325,14** m e **E 172.722,48** m; deste, segue com azimute de 180°13'40" e distância de 87,05 m, até o vértice **73**, de coordenadas **N 8.249.238,09** m e **E 172.722,14** m; deste, segue com azimute de 172°36'25" e distância de 2,82 m, até o vértice **74**, de coordenadas **N 8.249.235,29** m e **E 172.722,50** m; deste, segue com azimute de 132°24'13" e distância de 4,92 m, até o vértice **75**, de coordenadas **N 8.249.231,98** m e **E 172.726,13** m; deste, segue com azimute de 101°57'35" e distância de 3,30 m, até o vértice **76**, de coordenadas **N 8.249.231,29** m e **E 172.729,36** m; deste, segue com azimute de 86°30'53" e distância de 6,28 m, até o vértice **77**, de coordenadas **N 8.249.231,67** m e **E 172.735,63** m; deste, segue com azimute de 86°30'53" e distância de 43,10 m, até o vértice **78**, de coordenadas **N 8.249.234,29** m e **E 172.778,65** m; deste, segue com azimute de 70°47'42" e distância de 6,65 m, até o vértice **79**, de coordenadas **N 8.249.236,48** m e **E 172.784,93** m; deste, segue com azimute de 165°33'47" e distância de 3,87 m, até o vértice **80**, de coordenadas **N 8.249.232,74** m e **E 172.785,89** m; deste, segue com azimute de 171°45'24" e distância de 2,81 m, até o vértice **81**, de coordenadas **N 8.249.229,96** m e **E 172.786,29** m; deste, segue com azimute de 171°45'22" e distância de 128,96 m, até o vértice **82**, de coordenadas **N 8.249.102,33** m e **E 172.804,78** m; deste, segue com azimute de 172°38'23" e distância de 114,52 m, até o vértice **83**, de coordenadas **N 8.248.988,75** m e **E 172.819,46** m; deste, segue com azimute de 172°29'31" e distância de 71,34 m, até o vértice **84**, de coordenadas **N 8.248.918,03** m e **E 172.828,78** m; deste, segue com azimute de 170°27'56" e distância de 27,36 m, até o vértice **85**, de coordenadas **N 8.248.891,04** m e **E 172.833,31** m; deste, segue com azimute de 144°10'42" e distância de



SPL - PLC 0019/2019 folha 000020

11,34 m, até o vértice **86**, de coordenadas **N 8.248.881,85** m e **E 172.839,94** m; deste, segue com azimute de 165°21'48" e distância de 35,21 m, até o vértice **87**, de coordenadas **N 8.248.847,78** m e **E 172.848,84** m; deste, segue com azimute de 166°05'19" e distância de 124,34 m, até o vértice **88**, de coordenadas **N 8.248.727,08** m e **E 172.878,74** m; deste, segue com azimute de 166°14'40" e distância de 149,37 m, até o vértice **89**, de coordenadas **N 8.248.582,00** m e **E 172.914,25** m; deste, segue com azimute de 166°24'29" e distância de 133,13 m, até o vértice **90**, de coordenadas **N 8.248.452,60** m e **E 172.945,54** m; deste, segue com azimute de 166°36'10" e distância de 93,59 m, até o vértice **91**, de coordenadas **N 8.248.361,55** m e **E 172.967,22** m; deste, segue com azimute de 165°40'12" e distância de 74,23 m, até o vértice **92**, de coordenadas **N 8.248.289,64** m e **E 172.985,60** m; deste, segue com azimute de 165°07'53" e distância de 79,79 m, até o vértice **93**, de coordenadas **N 8.248.212,52** m e **E 173.006,07** m; deste, segue com azimute de 162°33'17" e distância de 26,83 m, até o vértice **94**, de coordenadas **N 8.248.186,92** m e **E 173.014,11** m; deste, segue com azimute de 162°33'16" e distância de 48,05 m, até o vértice **95**, de coordenadas **N 8.248.141,08** m e **E 173.028,52** m; deste, segue com azimute de 161°28'14" e distância de 90,00 m, até o vértice **96**, de coordenadas **N 8.248.055,75** m e **E 173.057,12** m; deste, segue com azimute de 159°28'20" e distância de 21,82 m, até o vértice **97**, de coordenadas **N 8.248.035,31** m e **E 173.064,77** m; deste, segue com azimute de 156°31'07" e distância de 28,52 m, até o vértice **98**, de coordenadas **N 8.248.009,16** m e **E 173.076,14** m; deste, segue com azimute de 154°52'13" e distância de 13,47 m, até o vértice **99**, de coordenadas **N 8.247.996,96** m e **E 173.081,86** m; deste, segue com azimute de 154°05'39" e distância de 47,64 m, até o vértice **100**, de coordenadas **N 8.247.954,11** m e **E 173.102,67** m; deste, segue com azimute de 246°05'39" e distância de 8,12 m, até o vértice **101**, de coordenadas **N 8.247.950,82** m e **E 173.095,25** m; deste, segue com azimute de 243°03'36" e distância de 285,00 m, até o vértice **102**, de coordenadas **N 8.247.821,70** m e **E 172.841,17** m; ponto este situado na Rodovia DF001 e segue por seu eixo até o vértice **103**, de coordenadas **N 8.246.855,41** m e **E 173.397,45** m; deste, segue com azimute de 62°56'33" e distância de 393,31 m, até o vértice **104**, de coordenadas **N 8.247.034,32** m e **E 173.747,70** m; deste, segue com azimute de 128°40'00" e distância de 19,52 m, até o vértice **105**, de coordenadas **N 8.247.022,12** m e **E 173.762,95** m; deste, segue com azimute de 152°51'44" e distância de 371,38 m, até o vértice **106**, de coordenadas **N 8.246.691,62** m e **E 173.932,35** m; deste, segue com azimute de 151°46'12" e distância de 472,58 m, até o vértice **107**, de coordenadas **N 8.246.275,25** m e **E 174.155,88** m; deste, segue com azimute de 151°46'12" e distância de



SFL - PLC 0019/2019 folha 000021

547,09 m, até o vértice **108**, de coordenadas **N 8.245.793,24** m e **E 174.414,66** m; deste, segue com azimute de 151°46'12" e distância de 487,28 m, até o vértice **109**, de coordenadas **N 8.245.363,92** m e **E 174.645,15** m; deste, segue com azimute de 144°14'28" e distância de 65,27 m, até o vértice **110**, de coordenadas **N 8.245.310,96** m e **E 174.683,29** m; deste, segue com azimute de 156°59'29" e distância de 73,74 m, até o vértice **111**, de coordenadas **N 8.245.243,09** m e **E 174.712,11** m; deste, segue com azimute de 65°54'52" e distância de 437,62 m, até o vértice **112**, de coordenadas **N 8.245.421,68** m e **E 175.111,63** m; deste, segue com azimute de 166°36'27" e distância de 85,67 m, até o vértice **113**, de coordenadas **N 8.245.338,34** m e **E 175.131,48** m; deste, segue com azimute de 159°07'16" e distância de 137,34 m, até o vértice **114**, de coordenadas **N 8.245.210,01** m e **E 175.180,43** m; deste, segue com azimute de 156°42'01" e distância de 11,35 m, até o vértice **115**, de coordenadas **N 8.245.199,59** m e **E 175.184,92** m; deste, segue com azimute de 156°42'02" e distância de 165,24 m, até o vértice **116**, de coordenadas **N 8.245.047,83** m e **E 175.250,27** m; deste, segue com azimute de 158°40'45" e distância de 113,63 m, até o vértice **117**, de coordenadas **N 8.244.941,97** m e **E 175.291,59** m; deste, segue com azimute de 159°07'16" e distância de 115,66 m, até o vértice **118**, de coordenadas **N 8.244.833,90** m e **E 175.332,81** m; deste, segue com azimute de 159°07'16" e distância de 66,12 m, até o vértice **119**, de coordenadas **N 8.244.772,13** m e **E 175.356,37** m; deste, segue com azimute de 158°17'58" e distância de 102,06 m, até o vértice **120**, de coordenadas **N 8.244.677,30** m e **E 175.394,11** m; deste, segue com azimute de 154°15'28" e distância de 77,02 m, até o vértice **121**, de coordenadas **N 8.244.607,93** m e **E 175.427,56** m; deste, segue com azimute de 150°26'42" e distância de 43,91 m, até o vértice **122**, de coordenadas **N 8.244.569,74** m e **E 175.449,22** m; deste, segue com azimute de 151°35'50" e distância de 135,53 m, até o vértice **123**, de coordenadas **N 8.244.450,52** m e **E 175.513,68** m; deste, segue com azimute de 151°13'29" e distância de 115,91 m, até o vértice **124**, de coordenadas **N 8.244.348,92** m e **E 175.569,48** m; deste, segue com azimute de 241°30'43" e distância de 149,58 m, até o vértice **125**, de coordenadas **N 8.244.277,13** m e **E 175.438,25** m; deste, segue com azimute de 151°32'05" e distância de 449,65 m, até o vértice **126**, de coordenadas **N 8.243.881,85** m e **E 175.652,56** m; deste, segue com azimute de 151°25'20" e distância de 444,70 m, até o vértice **127**, de coordenadas **N 8.243.491,32** m e **E 175.865,29** m; deste, segue com azimute de 151°52'41" e distância de 189,45 m, até o vértice **128**, de coordenadas **N 8.243.324,23** m e **E 175.954,58** m; deste, segue com azimute de 241°58'59" e distância de 614,49 m, até o vértice **129**, de coordenadas **N 8.243.035,59** m e **E 175.412,11** m, situado no eixo da Rodovia DF001 , seguindo até o



SPL - PLC 0019/2019 folha 000022

vértice **130**, de coordenadas **N 8.242.444,77** m e **E 175.726,70** m, ponto de interseção entre as Rodovias DF001 e DF075; deste, segue pela Rodovia DF001 até o vértice **131**, de coordenadas **N 8.242.472,06** m e **E 173.614,97** m; deste, segue com azimute de 324°18'56" e distância de 47,35 m, até o vértice **132**, de coordenadas **N 8.242.510,52** m e **E 173.587,35** m; deste, segue com azimute de 54°31'52" e distância de 309,87 m, até o vértice **133**, de coordenadas **N 8.242.690,32** m e **E 173.839,71** m; deste, segue com azimute de 54°31'52" e distância de 599,46 m, até o vértice **134**, de coordenadas **N 8.243.038,16** m e **E 174.327,93** m; deste, segue com azimute de 54°31'52" e distância de 424,74 m, até o vértice **135**, de coordenadas **N 8.243.284,62** m e **E 174.673,85** m; deste, segue com azimute de 331°44'22" e distância de 569,82 m, até o vértice **136**, de coordenadas **N 8.243.786,52** m e **E 174.404,05** m; deste, segue com azimute de 310°22'48" e distância de 14,05 m, até o vértice **137**, de coordenadas **N 8.243.795,62** m e **E 174.393,35** m; deste, segue com azimute de 271°45'42" e distância de 393,59 m, até o vértice **138**, de coordenadas **N 8.243.807,72** m e **E 173.999,95** m; deste, segue com azimute de 331°46'41" e distância de 56,71 m, até o vértice **139**, de coordenadas **N 8.243.857,68** m e **E 173.973,13** m; deste, segue com azimute de 331°46'41" e distância de 73,92 m, até o vértice **140**, de coordenadas **N 8.243.922,82** m e **E 173.938,18** m; deste, segue com azimute de 331°46'41" e distância de 110,65 m, até o vértice **141**, de coordenadas **N 8.244.020,32** m e **E 173.885,85** m; deste, segue com azimute de 241°50'15" e distância de 44,92 m, até o vértice **142**, de coordenadas **N 8.243.999,12** m e **E 173.846,25** m; deste, segue com azimute de 331°43'25" e distância de 106,73 m, até o vértice **143**, de coordenadas **N 8.244.093,11** m e **E 173.795,69** m; deste, segue com azimute de 241°26'11" e distância de 29,04 m, até o vértice **144**, de coordenadas **N 8.244.079,23** m e **E 173.770,18** m; deste, segue com azimute de 241°22'03" e distância de 3,09 m, até o vértice **145**, de coordenadas **N 8.244.077,74** m e **E 173.767,46** m; deste, segue com azimute de 331°49'53" e distância de 99,72 m, até o vértice **146**, de coordenadas **N 8.244.165,65** m e **E 173.720,39** m; deste, segue com azimute de 240°45'51" e distância de 31,50 m, até o vértice **147**, de coordenadas **N 8.244.150,27** m e **E 173.692,91** m; deste, segue com azimute de 309°55'00" e distância de 130,55 m, até o vértice **148**, de coordenadas **N 8.244.234,04** m e **E 173.592,78** m; deste, segue com azimute de 248°11'36" e distância de 62,77 m, até o vértice **149**, de coordenadas **N 8.244.210,72** m e **E 173.534,50** m, ponto às margens Ribeirão Taguatinga; deste, segue margeando este ribeirão, até o vértice **150**, de coordenadas **N 8.244.674,00** m e **E 173.284,80** m; deste, segue com azimute de 243°20'38" e distância de 1,38 m, até o vértice **151**, de coordenadas **N 8.244.673,38** m e **E 173.283,56** m; deste, segue com azimute



SPL - PLC 0019/2019 folha 000023

de 243°20'41" e distância de 1,02 m, até o vértice **152**, de coordenadas **N 8.244.672,92** m e **E 173.282,65** m; deste, segue com azimute de 245°44'55" e distância de 245,92 m, até o vértice **153**, de coordenadas **N 8.244.571,91** m e **E 173.058,43** m; deste, segue com azimute de 246°18'10" e distância de 168,68 m, até o vértice **154**, de coordenadas **N 8.244.504,11** m e **E 172.903,97** m; deste, segue com azimute de 246°03'18" e distância de 1,66 m, até o vértice **155**, de coordenadas **N 8.244.503,44** m e **E 172.902,45** m; deste, segue com azimute de 269°21'25" e distância de 9,80 m, até o vértice **156**, de coordenadas **N 8.244.503,33** m e **E 172.892,65** m; deste, segue com azimute de 286°59'11" e distância de 13,76 m, até o vértice **157**, de coordenadas **N 8.244.507,35** m e **E 172.879,49** m; deste, segue com azimute de 301°38'26" e distância de 12,49 m, até o vértice **158**, de coordenadas **N 8.244.513,90** m e **E 172.868,86** m; deste, segue com azimute de 323°29'58" e distância de 15,72 m, até o vértice **159**, de coordenadas **N 8.244.526,54** m e **E 172.859,51** m; deste, segue com azimute de 338°26'28" e distância de 24,73 m, até o vértice **160**, de coordenadas **N 8.244.549,54** m e **E 172.850,42** m; deste, segue com azimute de 338°26'26" e distância de 3,64 m, até o vértice **161**, de coordenadas **N 8.244.552,93** m e **E 172.849,08** m; deste, segue com azimute de 265°57'22" e distância de 8,85 m, até o vértice **162**, de coordenadas **N 8.244.552,30** m e **E 172.840,25** m; deste, segue com azimute de 245°19'04" e distância de 43,16 m, até o vértice **163**, de coordenadas **N 8.244.534,28** m e **E 172.801,04** m; deste, segue com azimute de 245°19'02" e distância de 7,27 m, até o vértice **164**, de coordenadas **N 8.244.531,25** m e **E 172.794,43** m; deste, segue com azimute de 245°19'03" e distância de 72,12 m, até o vértice **165**, de coordenadas **N 8.244.501,13** m e **E 172.728,90** m; deste, segue com azimute de 245°19'03" e distância de 101,07 m, até o vértice **166**, de coordenadas **N 8.244.458,92** m e **E 172.637,06** m; deste, segue com azimute de 245°19'03" e distância de 27,33 m, até o vértice **167**, de coordenadas **N 8.244.447,51** m e **E 172.612,23** m; deste, segue com azimute de 268°44'40" e distância de 63,80 m, até o vértice **168**, de coordenadas **N 8.244.446,11** m e **E 172.548,44** m; deste, segue com azimute de 246°00'22" e distância de 102,12 m, até o vértice **169**, de coordenadas **N 8.244.404,59** m e **E 172.455,15** m; deste, segue com azimute de 246°00'22" e distância de 109,71 m, até o vértice **170**, de coordenadas **N 8.244.359,98** m e **E 172.354,92** m; deste, segue com azimute de 246°00'23" e distância de 13,54 m, até o vértice **171**, de coordenadas **N 8.244.354,47** m e **E 172.342,55** m; deste, segue com azimute de 246°00'22" e distância de 48,74 m, até o vértice **172**, de coordenadas **N 8.244.334,65** m e **E 172.298,02** m; deste, segue com azimute de 264°13'13" e distância de 62,05 m, até o vértice **173**, de coordenadas **N 8.244.328,40** m e **E 172.236,29** m; deste, segue com azimute de



SPL - PLC 0019/2019 folha 000024

247°49'32" e distância de 73,92 m, até o vértice **174**, de coordenadas **N 8.244.300,50** m e **E 172.167,83** m; deste, segue com azimute de 268°08'14" e distância de 16,32 m, até o vértice **175**, de coordenadas **N 8.244.299,97** m e **E 172.151,52** m; deste, segue com azimute de 268°08'14" e distância de 43,30 m, até o vértice **176**, de coordenadas **N 8.244.298,56** m e **E 172.108,24** m; deste, segue com azimute de 283°11'51" e distância de 56,36 m, até o vértice **177**, de coordenadas **N 8.244.311,43** m e **E 172.053,36** m; deste, segue com azimute de 297°19'12" e distância de 98,01 m, até o vértice **178**, de coordenadas **N 8.244.356,41** m e **E 171.966,29** m; deste, segue com azimute de 297°53'55" e distância de 62,51 m, até o vértice **179**, de coordenadas **N 8.244.385,66** m e **E 171.911,04** m; deste, segue com azimute de 297°53'55" e distância de 105,36 m, até o vértice **180**, de coordenadas **N 8.244.434,96** m e **E 171.817,92** m; deste, segue com azimute de 297°53'55" e distância de 52,92 m, até o vértice **181**, de coordenadas **N 8.244.459,73** m e **E 171.771,15** m; deste, segue com azimute de 312°48'03" e distância de 40,06 m, até o vértice **182**, de coordenadas **N 8.244.486,94** m e **E 171.741,76** m; deste, segue com azimute de 324°26'51" e distância de 52,03 m, até o vértice **183**, de coordenadas **N 8.244.529,27** m e **E 171.711,51** m; deste, segue com azimute de 324°26'49" e distância de 4,26 m, até o vértice **184**, de coordenadas **N 8.244.532,74** m e **E 171.709,03** m; deste, segue com azimute de 312°29'30" e distância de 62,39 m, até o vértice **185**, de coordenadas **N 8.244.574,88** m e **E 171.663,03** m; deste, segue com azimute de 329°12'33" e distância de 28,68 m, até o vértice **186**, de coordenadas **N 8.244.599,52** m e **E 171.648,34** m; deste, segue com azimute de 329°12'33" e distância de 36,00 m, até o vértice **187**, de coordenadas **N 8.244.630,44** m e **E 171.629,92** m; deste, segue com azimute de 329°12'32" e distância de 74,86 m, até o vértice **188**, de coordenadas **N 8.244.694,75** m e **E 171.591,59** m; deste, segue com azimute de 345°56'46" e distância de 31,13 m, até o vértice **189**, de coordenadas **N 8.244.724,95** m e **E 171.584,04** m; deste, segue com azimute de 345°56'45" e distância de 30,28 m, até o vértice **190**, de coordenadas **N 8.244.754,32** m e **E 171.576,68** m; deste, segue com azimute de 345°56'48" e distância de 3,09 m, até o vértice **191**, de coordenadas **N 8.244.757,32** m e **E 171.575,93** m; deste, segue com azimute de 329°14'19" e distância de 100,05 m, até o vértice **192**, de coordenadas **N 8.244.843,29** m e **E 171.524,76** m; deste, segue com azimute de 329°14'17" e distância de 14,91 m, até o vértice **193**, de coordenadas **N 8.244.856,11** m e **E 171.517,13** m; deste, segue com azimute de 329°14'16" e distância de 1,92 m, até o vértice **194**, de coordenadas **N 8.244.857,76** m e **E 171.516,15** m; deste, segue com azimute de 305°23'45" e distância de 45,63 m, até o vértice **195**, de coordenadas **N 8.244.884,19** m e **E 171.478,96** m; deste, segue com azimute de



SPL - PLC 0019/2019 folha 000025

327°58'32" e distância de 68,44 m, até o vértice **196**, de coordenadas **N 8.244.942,21** m e **E 171.442,66** m; deste, segue com azimute de 327°58'32" e distância de 20,32 m, até o vértice **197**, de coordenadas **N 8.244.959,44** m e **E 171.431,89** m; deste, segue com azimute de 334°05'23" e distância de 37,05 m, até o vértice **198**, de coordenadas **N 8.244.992,77** m e **E 171.415,70** m; deste, segue com azimute de 355°50'17" e distância de 40,91 m, até o vértice **199**, de coordenadas **N 8.245.033,57** m e **E 171.412,73** m; deste, segue com azimute de 359°52'14" e distância de 39,14 m, até o vértice **200**, de coordenadas **N 8.245.072,70** m e **E 171.412,64** m; deste, segue com azimute de 270°08'47" e distância de 49,31 m, até o vértice **201**, de coordenadas **N 8.245.072,83** m e **E 171.363,34** m; deste, segue com azimute de 259°56'54" e distância de 21,66 m, até o vértice **202**, de coordenadas **N 8.245.069,05** m e **E 171.342,01** m; deste, segue com azimute de 252°38'56" e distância de 38,99 m, até o vértice **203**, de coordenadas **N 8.245.057,42** m e **E 171.304,80** m; deste, segue com azimute de 243°46'24" e distância de 49,09 m, até o vértice **204**, de coordenadas **N 8.245.035,73** m e **E 171.260,76** m; deste, segue com azimute de 243°46'24" e distância de 35,36 m, até o vértice **205**, de coordenadas **N 8.245.020,10** m e **E 171.229,04** m; deste, segue com azimute de 243°46'25" e distância de 13,99 m, até o vértice **206**, de coordenadas **N 8.245.013,92** m e **E 171.216,49** m; deste, segue com azimute de 243°46'21" e distância de 1,35 m, até o vértice **207**, de coordenadas **N 8.245.013,32** m e **E 171.215,28** m; deste, segue com azimute de 328°57'26" e distância de 137,88 m, até o vértice **208**, de coordenadas **N 8.245.131,46** m e **E 171.144,17** m; deste, segue com azimute de 324°46'33" e distância de 123,63 m, até o vértice **209**, de coordenadas **N 8.245.232,45** m e **E 171.072,87** m; deste, segue com azimute de 324°36'22" e distância de 100,30 m, até o vértice **210**, de coordenadas **N 8.245.314,21** m e **E 171.014,78** m; deste, segue com azimute de 331°58'05" e distância de 64,96 m, até o vértice **211**, de coordenadas **N 8.245.371,54** m e **E 170.984,25** m; deste, segue com azimute de 331°58'05" e distância de 16,05 m, até o vértice **212**, de coordenadas **N 8.245.385,71** m e **E 170.976,71** m; deste, segue com azimute de 331°58'06" e distância de 19,78 m, até o vértice **213**, de coordenadas **N 8.245.403,17** m e **E 170.967,41** m; deste, segue com azimute de 311°24'53" e distância de 196,51 m, até o vértice **214**, de coordenadas **N 8.245.533,16** m e **E 170.820,04** m; deste, segue com azimute de 293°34'58" e distância de 10,47 m, até o vértice **215**, de coordenadas **N 8.245.537,35** m e **E 170.810,45** m; deste, segue com azimute de 270°00'00" e distância de 7,06 m, até o vértice **216**, de coordenadas **N 8.245.537,35** m e **E 170.803,39** m; deste, segue com azimute de 270°00'00" e distância de 4,39 m, até o vértice **217**, de coordenadas **N 8.245.537,35** m e **E 170.799,01** m; deste, segue com azimute de



SFL - PLC 0019/2019 folha 000026

243°55'17" e distância de 69,45 m, até o vértice **218**, de coordenadas **N 8.245.506,82** m e **E 170.736,63** m; deste, segue com azimute de 243°55'17" e distância de 55,14 m, até o vértice **219**, de coordenadas **N 8.245.482,58** m e **E 170.687,11** m; deste, segue com azimute de 243°39'55" e distância de 18,18 m, até o vértice **220**, de coordenadas **N 8.245.474,52** m e **E 170.670,81** m; deste, segue com azimute de 337°00'36" e distância de 93,35 m, até o vértice **221**, de coordenadas **N 8.245.560,45** m e **E 170.634,35** m; deste, segue com azimute de 343°54'16" e distância de 111,37 m, até o vértice **222**, de coordenadas **N 8.245.667,45** m e **E 170.603,48** m; deste, segue com azimute de 349°01'27" e distância de 84,04 m, até o vértice **223**, de coordenadas **N 8.245.749,95** m e **E 170.587,48** m; deste, segue com azimute de 354°21'52" e distância de 3,90 m, até o vértice **224**, de coordenadas **N 8.245.753,84** m e **E 170.587,09** m; deste, segue com azimute de 354°21'47" e distância de 13,76 m, até o vértice **225**, de coordenadas **N 8.245.767,53** m e **E 170.585,74** m; deste, segue com azimute de 354°21'48" e distância de 49,29 m, até o vértice **226**, de coordenadas **N 8.245.816,58** m e **E 170.580,90** m; deste, segue com azimute de 356°28'04" e distância de 8,36 m, até o vértice **227**, de coordenadas **N 8.245.824,92** m e **E 170.580,39** m; deste, segue com azimute de 356°28'04" e distância de 47,08 m, até o vértice **228**, de coordenadas **N 8.245.871,91** m e **E 170.577,49** m; deste, segue com azimute de 357°57'16" e distância de 46,70 m, até o vértice **229**, de coordenadas **N 8.245.918,59** m e **E 170.575,82** m; deste, segue com azimute de 357°57'16" e distância de 19,68 m, até o vértice **230**, de coordenadas **N 8.245.938,25** m e **E 170.575,12** m; deste, segue com azimute de 348°22'59" e distância de 9,73 m, até o vértice **231**, de coordenadas **N 8.245.947,78** m e **E 170.573,16** m; deste, segue com azimute de 348°22'55" e distância de 1,34 m, até o vértice **232**, de coordenadas **N 8.245.949,09** m e **E 170.572,89** m, ponto às margens do Ribeirão Taguatinga; deste, segue margeando este ribeirão até o vértice **233**, de coordenadas **N 8.245.084,25** m e **E 169.266,32** m; deste, segue com azimute de 331°39'36" e distância de 65,77 m, até o vértice **234**, de coordenadas **N 8.245.142,13** m e **E 169.235,10** m; deste, segue com azimute de 331°44'21" e distância de 26,16 m, até o vértice **235**, de coordenadas **N 8.245.165,17** m e **E 169.222,71** m; deste, segue com azimute de 331°44'22" e distância de 30,82 m, até o vértice **236**, de coordenadas **N 8.245.192,32** m e **E 169.208,12** m; deste, segue com azimute de 332°08'24" e distância de 423,60 m, até o vértice **237**, de coordenadas **N 8.245.566,82** m e **E 169.010,17** m; deste, segue com azimute de 318°25'23" e distância de 77,53 m, até o vértice **238**, de coordenadas **N 8.245.624,82** m e **E 168.958,71** m; deste, segue com azimute de 327°41'59" e distância de 51,46 m, até o vértice **239**, de coordenadas **N 8.245.668,32** m e **E 168.931,21** m; deste, segue



SFL - PLC 0019/2019 folha 000027

com azimute de 351°09'07" e distância de 131,97 m, até o vértice **240**, de coordenadas **N 8.245.798,72** m e **E 168.910,92** m; deste, segue com azimute de 351°09'06" e distância de 31,48 m, até o vértice **241**, de coordenadas **N 8.245.829,82** m e **E 168.906,07** m; deste, segue com azimute de 1°08'33" e distância de 175,54 m, até o vértice **242**, de coordenadas **N 8.246.005,32** m e **E 168.909,57** m; deste, segue com azimute de 6°09'17" e distância de 116,54 m, até o vértice **243**, de coordenadas **N 8.246.121,18** m e **E 168.922,07** m; deste, segue com azimute de 6°23'10" e distância de 38,97 m, até o vértice **244**, de coordenadas **N 8.246.159,92** m e **E 168.926,40** m; deste, segue com azimute de 247°49'19" e distância de 21,96 m, até o vértice **245**, de coordenadas **N 8.246.151,63** m e **E 168.906,07** m; deste, segue com azimute de 247°49'20" e distância de 43,86 m, até o vértice **246**, de coordenadas **N 8.246.135,07** m e **E 168.865,45** m; deste, segue com azimute de 251°39'37" e distância de 72,16 m, até o vértice **247**, de coordenadas **N 8.246.112,36** m e **E 168.796,95** m; deste, segue com azimute de 340°59'08" e distância de 25,68 m, até o vértice **248**, de coordenadas **N 8.246.136,65** m e **E 168.788,59** m; deste, segue com azimute de 340°59'08" e distância de 459,43 m, até o vértice **249**, de coordenadas **N 8.246.571,00** m e **E 168.638,90** m; deste, segue com azimute de 69°41'12" e distância de 617,72 m, até o vértice **250**, de coordenadas **N 8.246.785,45** m e **E 169.218,21** m; deste, segue com azimute de 342°24'23" e distância de 81,40 m, até o vértice **251**, de coordenadas **N 8.246.863,04** m e **E 169.193,60** m; deste, segue com azimute de 335°00'29" e distância de 38,11 m, até o vértice **252**, de coordenadas **N 8.246.897,59** m e **E 169.177,50** m; deste, segue com azimute de 338°30'40" e distância de 75,51 m, até o vértice **253**, de coordenadas **N 8.246.967,84** m e **E 169.149,84** m; deste, segue com azimute de 338°30'40" e distância de 52,97 m, até o vértice **254**, de coordenadas **N 8.247.017,13** m e **E 169.130,44** m; deste, segue com azimute de 338°30'40" e distância de 53,86 m, até o vértice **255**, de coordenadas **N 8.247.067,25** m e **E 169.110,71** m; deste, segue com azimute de 338°30'40" e distância de 54,70 m, até o vértice **256**, de coordenadas **N 8.247.118,14** m e **E 169.090,67** m; deste, segue com azimute de 338°52'05" e distância de 54,15 m, até o vértice **257**, de coordenadas **N 8.247.168,65** m e **E 169.071,15** m; deste, segue com azimute de 338°53'06" e distância de 51,71 m, até o vértice **258**, de coordenadas **N 8.247.216,89** m e **E 169.052,52** m; deste, segue com azimute de 338°53'05" e distância de 42,27 m, até o vértice **259**, de coordenadas **N 8.247.256,32** m e **E 169.037,29** m; deste, segue com azimute de 338°53'05" e distância de 11,09 m, até o vértice **260**, de coordenadas **N 8.247.266,66** m e **E 169.033,30** m; deste, segue com azimute de 338°53'06" e distância de 49,05 m, até o vértice **261**, de coordenadas **N 8.247.312,42** m e **E 169.015,63** m; deste, segue



SRL - PLC 0019/2019 folha 000028

com azimute de 338°53'06" e distância de 53,49 m, até o vértice **262**, de coordenadas **N 8.247.362,32** m e **E 168.996,36** m; deste, segue com azimute de 338°53'06" e distância de 55,51 m, até o vértice **263**, de coordenadas **N 8.247.414,10** m e **E 168.976,36** m; deste, segue com azimute de 338°53'06" e distância de 48,53 m, até o vértice **264**, de coordenadas **N 8.247.459,38** m e **E 168.958,88** m; deste, segue com azimute de 338°53'06" e distância de 56,80 m, até o vértice **265**, de coordenadas **N 8.247.512,37** m e **E 168.938,42** m; deste, segue com azimute de 338°53'05" e distância de 50,39 m, até o vértice **266**, de coordenadas **N 8.247.559,37** m e **E 168.920,27** m; deste, segue com azimute de 338°53'06" e distância de 58,91 m, até o vértice **267**, de coordenadas **N 8.247.614,33** m e **E 168.899,04** m; deste, segue com azimute de 338°53'06" e distância de 45,43 m, até o vértice **268**, de coordenadas **N 8.247.656,70** m e **E 168.882,68** m; deste, segue com azimute de 338°53'06" e distância de 39,97 m, até o vértice **269**, de coordenadas **N 8.247.693,99** m e **E 168.868,28** m; deste, segue com azimute de 338°53'06" e distância de 24,50 m, até o vértice **270**, de coordenadas **N 8.247.716,85** m e **E 168.859,45** m; deste, segue com azimute de 338°53'05" e distância de 35,90 m, até o vértice **271**, de coordenadas **N 8.247.750,34** m e **E 168.846,52** m; deste, segue com azimute de 338°53'06" e distância de 12,32 m, até o vértice **272**, de coordenadas **N 8.247.761,84** m e **E 168.842,08** m; deste, segue com azimute de 338°53'06" e distância de 34,96 m, até o vértice **273**, de coordenadas **N 8.247.794,45** m e **E 168.829,49** m; deste, segue com azimute de 338°53'06" e distância de 54,56 m, até o vértice **274**, de coordenadas **N 8.247.845,34** m e **E 168.809,83** m; deste, segue com azimute de 338°53'06" e distância de 46,78 m, até o vértice **275**, de coordenadas **N 8.247.888,98** m e **E 168.792,98** m; deste, segue com azimute de 338°53'06" e distância de 45,67 m, até o vértice **276**, de coordenadas **N 8.247.931,59** m e **E 168.776,53** m; deste, segue com azimute de 338°53'06" e distância de 16,30 m, até o vértice **277**, de coordenadas **N 8.247.946,79** m e **E 168.770,66** m; deste, segue com azimute de 335°38'33" e distância de 28,05 m, até o vértice **278**, de coordenadas **N 8.247.972,34** m e **E 168.759,09** m; deste, segue com azimute de 335°38'33" e distância de 8,33 m, até o vértice **279**, de coordenadas **N 8.247.979,93** m e **E 168.755,65** m; deste, segue com azimute de 330°53'46" e distância de 30,85 m, até o vértice **280**, de coordenadas **N 8.248.006,88** m e **E 168.740,65** m; deste, segue com azimute de 338°35'06" e distância de 10,59 m, até o vértice **281**, de coordenadas **N 8.248.016,74** m e **E 168.736,78** m; deste, segue com azimute de 338°35'07" e distância de 8,50 m, até o vértice **282**, de coordenadas **N 8.248.024,65** m e **E 168.733,68** m; deste, segue com azimute de 338°35'07" e distância de 36,06 m, até o vértice **283**, de coordenadas **N 8.248.058,22** m e **E 168.720,51** m; deste, segue



SFL - PLC 0019/2019 folha 000029

com azimute de 338°35'07" e distância de 44,04 m, até o vértice **284**, de coordenadas **N 8.248.099,22** m e **E 168.704,43** m; deste, segue com azimute de 338°35'07" e distância de 47,98 m, até o vértice **285**, de coordenadas **N 8.248.143,89** m e **E 168.686,92** m; deste, segue com azimute de 338°35'07" e distância de 47,42 m, até o vértice **286**, de coordenadas **N 8.248.188,03** m e **E 168.669,60** m; deste, segue com azimute de 338°35'07" e distância de 18,14 m, até o vértice **287**, de coordenadas **N 8.248.204,92** m e **E 168.662,98** m; deste, segue com azimute de 338°35'07" e distância de 26,13 m, até o vértice **288**, de coordenadas **N 8.248.229,24** m e **E 168.653,44** m; deste, segue com azimute de 338°35'07" e distância de 48,11 m, até o vértice **289**, de coordenadas **N 8.248.274,03** m e **E 168.635,87** m; deste, segue com azimute de 338°35'07" e distância de 63,96 m, até o vértice **290**, de coordenadas **N 8.248.333,57** m e **E 168.612,52** m; deste, segue com azimute de 68°33'54" e distância de 78,92 m, até o vértice **291**, de coordenadas **N 8.248.362,42** m e **E 168.685,99** m; deste, segue com azimute de 68°33'54" e distância de 16,86 m, até o vértice **292**, de coordenadas **N 8.248.368,58** m e **E 168.701,68** m; deste, segue com azimute de 339°07'05" e distância de 138,31 m, até o vértice **293**, de coordenadas **N 8.248.497,80** m e **E 168.652,38** m; deste, segue com azimute de 339°07'05" e distância de 46,07 m, até o vértice **294**, de coordenadas **N 8.248.540,84** m e **E 168.635,96** m; deste, segue com azimute de 339°07'05" e distância de 40,63 m, até o vértice **295**, de coordenadas **N 8.248.578,80** m e **E 168.621,48** m; deste, segue com azimute de 6°03'49" e distância de 6,73 m, até o vértice **296**, de coordenadas **N 8.248.585,49** m e **E 168.622,19** m; deste, segue com azimute de 6°03'49" e distância de 47,43 m, até o vértice **297**, de coordenadas **N 8.248.632,66** m e **E 168.627,20** m; deste, segue com azimute de 338°41'41" e distância de 3,12 m, até o vértice **298**, de coordenadas **N 8.248.635,57** m e **E 168.626,07** m; deste, segue com azimute de 338°41'36" e distância de 43,73 m, até o vértice **299**, de coordenadas **N 8.248.676,31** m e **E 168.610,18** m; deste, segue com azimute de 338°41'36" e distância de 46,10 m, até o vértice **300**, de coordenadas **N 8.248.719,26** m e **E 168.593,43** m; deste, segue com azimute de 338°41'36" e distância de 47,89 m, até o vértice **301**, de coordenadas **N 8.248.763,88** m e **E 168.576,03** m; deste, segue com azimute de 338°41'36" e distância de 43,81 m, até o vértice **302**, de coordenadas **N 8.248.804,69** m e **E 168.560,11** m; deste, segue com azimute de 338°41'36" e distância de 45,46 m, até o vértice **303**, de coordenadas **N 8.248.847,05** m e **E 168.543,59** m; deste, segue com azimute de 338°41'37" e distância de 22,88 m, até o vértice **304**, de coordenadas **N 8.248.868,36** m e **E 168.535,28** m; deste, segue com azimute de 338°41'36" e distância de 20,78 m, até o vértice **305**, de coordenadas **N 8.248.887,72** m e **E 168.527,72** m; deste, segue



SFL - PLC 0019/2019 folha 000030

com azimute de 318°05'21" e distância de 5,75 m, até o vértice **306**, de coordenadas **N 8.248.892,00** m e **E 168.523,89** m; deste, segue com azimute de 318°05'23" e distância de 51,11 m, até o vértice **307**, de coordenadas **N 8.248.930,03** m e **E 168.489,75** m; deste, segue com azimute de 318°05'23" e distância de 15,82 m, até o vértice **308**, de coordenadas **N 8.248.941,80** m e **E 168.479,18** m; deste, segue com azimute de 339°09'27" e distância de 60,36 m, até o vértice **309**, de coordenadas **N 8.248.998,21** m e **E 168.457,71** m; deste, segue com azimute de 334°44'32" e distância de 17,95 m, até o vértice **310**, de coordenadas **N 8.249.014,44** m e **E 168.450,05** m; deste, segue com azimute de 334°44'32" e distância de 16,72 m, até o vértice **311**, de coordenadas **N 8.249.029,56** m e **E 168.442,91** m; deste, segue com azimute de 334°44'32" e distância de 31,81 m, até o vértice **312**, de coordenadas **N 8.249.058,33** m e **E 168.429,34** m; deste, segue com azimute de 334°44'32" e distância de 29,67 m, até o vértice **313**, de coordenadas **N 8.249.085,16** m e **E 168.416,68** m; deste, segue com azimute de 334°44'32" e distância de 14,82 m, até o vértice **314**, de coordenadas **N 8.249.098,56** m e **E 168.410,36** m; deste, segue com azimute de 334°44'32" e distância de 24,66 m, até o vértice **315**, de coordenadas **N 8.249.120,86** m e **E 168.399,84** m; deste, segue com azimute de 334°44'32" e distância de 19,93 m, até o vértice **316**, de coordenadas **N 8.249.138,89** m e **E 168.391,33** m; deste, segue com azimute de 334°44'35" e distância de 12,10 m, até o vértice **317**, de coordenadas **N 8.249.149,83** m e **E 168.386,17** m; deste, segue com azimute de 334°44'31" e distância de 16,81 m, até o vértice **318**, de coordenadas **N 8.249.165,04** m e **E 168.379,00** m; deste, segue com azimute de 334°44'32" e distância de 20,07 m, até o vértice **319**, de coordenadas **N 8.249.183,19** m e **E 168.370,43** m; deste, segue com azimute de 334°44'32" e distância de 47,72 m, até o vértice **320**, de coordenadas **N 8.249.226,34** m e **E 168.350,07** m; deste, segue com azimute de 334°44'32" e distância de 46,70 m, até o vértice **321**, de coordenadas **N 8.249.268,58** m e **E 168.330,15** m; deste, segue com azimute de 334°44'31" e distância de 17,40 m, até o vértice **322**, de coordenadas **N 8.249.284,32** m e **E 168.322,72** m; deste, segue com azimute de 333°53'49" e distância de 59,56 m, até o vértice **323**, de coordenadas **N 8.249.337,80** m e **E 168.296,52** m; deste, segue com azimute de 331°06'20" e distância de 126,84 m, até o vértice **324**, de coordenadas **N 8.249.448,85** m e **E 168.235,23** m; deste, segue com azimute de 323°57'24" e distância de 278,79 m, até o vértice **325**, de coordenadas **N 8.249.674,28** m e **E 168.071,19** m; deste, segue com azimute de 323°19'04" e distância de 273,92 m, até o vértice **326**, de coordenadas **N 8.249.893,96** m e **E 167.907,55** m; deste, segue com azimute de 322°27'51" e distância de 82,57 m, até o vértice **327**, de coordenadas **N 8.249.959,43** m e **E 167.857,24** m; deste, segue



SFL - PLC 0019/2019 folha 000031

com azimute de 322°27'51" e distância de 146,43 m, até o vértice **328**, de coordenadas **N 8.250.075,54** m e **E 167.768,03** m; deste, segue com azimute de 322°27'48" e distância de 7,72 m, até o vértice **329**, de coordenadas **N 8.250.081,67** m e **E 167.763,33** m; deste, segue com azimute de 322°27'51" e distância de 61,75 m, até o vértice **330**, de coordenadas **N 8.250.130,63** m e **E 167.725,70** m; deste, segue com azimute de 322°27'50" e distância de 22,47 m, até o vértice **331**, de coordenadas **N 8.250.148,45** m e **E 167.712,01** m; deste, segue com azimute de 223°34'28" e distância de 24,12 m, até o vértice **332**, de coordenadas **N 8.250.130,97** m e **E 167.695,39** m; deste, segue com azimute de 309°29'40" e distância de 16,19 m, até o vértice **333**, de coordenadas **N 8.250.141,27** m e **E 167.682,89** m; deste, segue com azimute de 317°12'11" e distância de 75,88 m, até o vértice **334**, de coordenadas **N 8.250.196,95** m e **E 167.631,34** m; deste, segue com azimute de 317°22'21" e distância de 12,93 m, até o vértice **335**, de coordenadas **N 8.250.206,46** m e **E 167.622,59** m; deste, segue com azimute de 317°35'01" e distância de 36,19 m, até o vértice **336**, de coordenadas **N 8.250.233,18** m e **E 167.598,17** m; deste, segue com azimute de 317°13'17" e distância de 128,38 m, até o vértice **337**, de coordenadas **N 8.250.327,41** m e **E 167.510,98** m; deste, segue com azimute de 315°50'21" e distância de 91,16 m, até o vértice **338**, de coordenadas **N 8.250.392,80** m e **E 167.447,47** m; deste, segue com azimute de 317°35'14" e distância de 130,01 m, até o vértice **339**, de coordenadas **N 8.250.488,79** m e **E 167.359,78** m; deste, segue com azimute de 317°15'20" e distância de 140,30 m, até o vértice **340**, de coordenadas **N 8.250.591,83** m e **E 167.264,56** m; deste, segue com azimute de 317°18'37" e distância de 83,09 m, até o vértice **341**, de coordenadas **N 8.250.652,90** m e **E 167.208,22** m; deste, segue com azimute de 318°43'42" e distância de 108,69 m, até o vértice **342**, de coordenadas **N 8.250.734,59** m e **E 167.136,53** m; deste, segue com azimute de 322°00'06" e distância de 153,62 m, até o vértice **343**, de coordenadas **N 8.250.855,65** m e **E 167.041,95** m; deste, segue com azimute de 232°55'23" e distância de 112,10 m, até o vértice **344**, de coordenadas **N 8.250.788,07** m e **E 166.952,51** m; deste, segue com azimute de 231°49'59" e distância de 20,02 m, até o vértice **345**, de coordenadas **N 8.250.775,69** m e **E 166.936,77** m; deste, segue com azimute de 322°33'55" e distância de 382,59 m, até o vértice **346**, de coordenadas **N 8.251.079,48** m e **E 166.704,21** m; deste, segue com azimute de 323°03'05" e distância de 308,56 m, até o vértice **347**, de coordenadas **N 8.251.326,08** m e **E 166.518,74** m; deste, segue com azimute de 52°11'01" e distância de 62,52 m, até o vértice **348**, de coordenadas **N 8.251.364,41** m e **E 166.568,13** m; deste, segue com azimute de 52°42'36" e distância de 32,37 m, até o vértice **349**, de coordenadas **N 8.251.384,02** m e **E 166.593,88** m; deste, segue



SFL - PLC 0019/2019 folha 000032

com azimute de 71°04'31" e distância de 29,37 m, até o vértice **350**, de coordenadas **N 8.251.393,55** m e **E 166.621,66** m; deste, segue com azimute de 85°32'08" e distância de 21,27 m, até o vértice **351**, de coordenadas **N 8.251.395,20** m e **E 166.642,86** m; deste, segue com azimute de 111°33'28" e distância de 16,75 m, até o vértice **352**, de coordenadas **N 8.251.389,05** m e **E 166.658,44** m; deste, segue com azimute de 116°27'12" e distância de 9,94 m, até o vértice **353**, de coordenadas **N 8.251.384,62** m e **E 166.667,34** m; deste, segue com azimute de 33°54'33" e distância de 81,13 m, até o vértice **354**, de coordenadas **N 8.251.451,95** m e **E 166.712,60** m; deste, segue com azimute de 33°50'32" e distância de 62,01 m, até o vértice **355**, de coordenadas **N 8.251.503,45** m e **E 166.747,13** m; deste, segue com azimute de 33°50'35" e distância de 43,76 m, até o vértice **356**, de coordenadas **N 8.251.539,80** m e **E 166.771,50** m; deste, segue com azimute de 33°50'36" e distância de 19,45 m, até o vértice **357**, de coordenadas **N 8.251.555,95** m e **E 166.782,33** m; deste, segue com azimute de 33°32'26" e distância de 61,35 m, até o vértice **358**, de coordenadas **N 8.251.607,09** m e **E 166.816,23** m; deste, segue com azimute de 34°12'51" e distância de 19,15 m, até o vértice **359**, de coordenadas **N 8.251.622,93** m e **E 166.827,00** m; deste, segue com azimute de 34°12'52" e distância de 22,61 m, até o vértice **360**, de coordenadas **N 8.251.641,62** m e **E 166.839,71** m; deste, segue com azimute de 34°12'52" e distância de 20,61 m, até o vértice **361**, de coordenadas **N 8.251.658,66** m e **E 166.851,30** m; deste, segue com azimute de 34°18'28" e distância de 21,62 m, até o vértice **362**, de coordenadas **N 8.251.676,52** m e **E 166.863,48** m; deste, segue com azimute de 34°18'28" e distância de 19,43 m, até o vértice **363**, de coordenadas **N 8.251.692,56** m e **E 166.874,43** m; deste, segue com azimute de 34°18'28" e distância de 20,74 m, até o vértice **364**, de coordenadas **N 8.251.709,69** m e **E 166.886,12** m; deste, segue com azimute de 33°16'09" e distância de 50,65 m, até o vértice **365**, de coordenadas **N 8.251.752,04** m e **E 166.913,90** m; deste, segue com azimute de 33°16'10" e distância de 16,03 m, até o vértice **366**, de coordenadas **N 8.251.765,44** m e **E 166.922,69** m; deste, segue com azimute de 33°16'07" e distância de 8,01 m, até o vértice **367**, de coordenadas **N 8.251.772,13** m e **E 166.927,09** m; deste, segue com azimute de 33°16'11" e distância de 8,75 m, até o vértice **368**, de coordenadas **N 8.251.779,45** m e **E 166.931,89** m; deste, segue com azimute de 33°16'09" e distância de 8,46 m, até o vértice **369**, de coordenadas **N 8.251.786,52** m e **E 166.936,53** m; deste, segue com azimute de 33°16'10" e distância de 8,34 m, até o vértice **370**, de coordenadas **N 8.251.793,50** m e **E 166.941,10** m; deste, segue com azimute de 33°16'09" e distância de 10,05 m, até o vértice **371**, de coordenadas **N 8.251.801,90** m e **E 166.946,62** m; deste, segue



SPL - PLC 0019/2019 folha 000033

com azimute de 33°16'13" e distância de 3,20 m, até o vértice **372**, de coordenadas **N 8.251.804,58** m e **E 166.948,37** m; deste, segue com azimute de 33°16'11" e distância de 2,63 m, até o vértice **373**, de coordenadas **N 8.251.806,78** m e **E 166.949,82** m; deste, segue com azimute de 33°16'07" e distância de 4,78 m, até o vértice **374**, de coordenadas **N 8.251.810,77** m e **E 166.952,44** m; deste, segue com azimute de 33°16'12" e distância de 1,92 m, até o vértice **375**, de coordenadas **N 8.251.812,38** m e **E 166.953,49** m; deste, segue com azimute de 33°16'08" e distância de 7,33 m, até o vértice **376**, de coordenadas **N 8.251.818,50** m e **E 166.957,51** m; deste, segue com azimute de 44°06'19" e distância de 1,23 m, até o vértice **377**, de coordenadas **N 8.251.819,39** m e **E 166.958,37** m; situado na Rodovia BR070 e segue por seu eixo até o vértice **378**, de coordenadas **N 8.251.779,73** m e **E 167.064,70** m; deste, segue com azimute de 48°22'00" e distância de 7,97 m, até o vértice **379**, de coordenadas **N 8.251.785,02** m e **E 167.070,65** m; deste, segue com azimute de 28°26'37" e distância de 0,55 m, até o vértice **380**, de coordenadas **N 8.251.785,51** m e **E 167.070,92** m; deste, segue com azimute de 28°26'35" e distância de 5,09 m, até o vértice **381**, de coordenadas **N 8.251.789,98** m e **E 167.073,34** m; deste, segue com azimute de 28°26'35" e distância de 12,41 m, até o vértice **382**, de coordenadas **N 8.251.800,90** m e **E 167.079,25** m; deste, segue com azimute de 26°33'54" e distância de 17,75 m, até o vértice **383**, de coordenadas **N 8.251.816,77** m e **E 167.087,19** m; deste, segue com azimute de 3°10'44" e distância de 4,83 m, até o vértice **384**, de coordenadas **N 8.251.821,60** m e **E 167.087,46** m; deste, segue com azimute de 3°10'48" e distância de 7,09 m, até o vértice **385**, de coordenadas **N 8.251.828,68** m e **E 167.087,85** m; deste, segue com azimute de 354°35'31" e distância de 15,33 m, até o vértice **386**, de coordenadas **N 8.251.843,94** m e **E 167.086,41** m; deste, segue com azimute de 354°35'30" e distância de 12,75 m, até o vértice **387**, de coordenadas **N 8.251.856,63** m e **E 167.085,21** m; deste, segue com azimute de 73°35'00" e distância de 27,32 m, até o vértice **388**, de coordenadas **N 8.251.864,35** m e **E 167.111,41** m; deste, segue com azimute de 343°13'53" e distância de 5,65 m, até o vértice **389**, de coordenadas **N 8.251.869,75** m e **E 167.109,78** m; deste, segue com azimute de 20°48'51" e distância de 6,73 m, até o vértice **390**, de coordenadas **N 8.251.876,05** m e **E 167.112,17** m; deste, segue com azimute de 43°09'16" e distância de 13,07 m, até o vértice **391**, de coordenadas **N 8.251.885,58** m e **E 167.121,11** m; deste, segue com azimute de 38°54'18" e distância de 29,91 m, até o vértice **392**, de coordenadas **N 8.251.908,86** m e **E 167.139,90** m; deste, segue com azimute de 56°32'29" e distância de 8,23 m, até o vértice **393**, de coordenadas **N 8.251.913,40** m e **E 167.146,77** m; deste, segue com azimute de



SPL - PLC 0019/2019 folha 000034

69°01'07" e distância de 65,13 m, até o vértice **394**, de coordenadas **N 8.251.936,72** m e **E 167.207,58** m; deste, segue com azimute de 56°11'19" e distância de 14,39 m, até o vértice **395**, de coordenadas **N 8.251.944,73** m e **E 167.219,54** m; deste, segue com azimute de 36°47'13" e distância de 31,78 m, até o vértice **396**, de coordenadas **N 8.251.970,18** m e **E 167.238,57** m; deste, segue com azimute de 48°22'15" e distância de 32,47 m, até o vértice **397**, de coordenadas **N 8.251.991,75** m e **E 167.262,84** m; deste, segue com azimute de 39°15'08" e distância de 20,55 m, até o vértice **398**, de coordenadas **N 8.252.007,66** m e **E 167.275,84** m; deste, segue com azimute de 30°46'02" e distância de 18,00 m, até o vértice **399**, de coordenadas **N 8.252.023,13** m e **E 167.285,05** m; deste, segue com azimute de 48°44'50" e distância de 26,62 m, até o vértice **400**, de coordenadas **N 8.252.040,68** m e **E 167.305,06** m; deste, segue com azimute de 33°30'49" e distância de 28,80 m, até o vértice **401**, de coordenadas **N 8.252.064,69** m e **E 167.320,96** m; deste, segue com azimute de 20°49'10" e distância de 45,30 m, até o vértice **402**, de coordenadas **N 8.252.107,03** m e **E 167.337,06** m; deste, segue com azimute de 30°20'20" e distância de 16,51 m, até o vértice **403**, de coordenadas **N 8.252.121,28** m e **E 167.345,40** m; deste, segue com azimute de 43°56'53" e distância de 17,33 m, até o vértice **404**, de coordenadas **N 8.252.133,76** m e **E 167.357,43** m; deste, segue com azimute de 37°50'01" e distância de 20,69 m, até o vértice **405**, de coordenadas **N 8.252.150,10** m e **E 167.370,12** m; deste, segue com azimute de 30°09'06" e distância de 20,09 m, até o vértice **406**, de coordenadas **N 8.252.167,47** m e **E 167.380,21** m; deste, segue com azimute de 54°47'09" e distância de 30,79 m, até o vértice **407**, de coordenadas **N 8.252.185,22** m e **E 167.405,37** m; deste, segue com azimute de 45°47'06" e distância de 8,73 m, até o vértice **408**, de coordenadas **N 8.252.191,31** m e **E 167.411,62** m; deste, segue com azimute de 61°42'25" e distância de 20,17 m, até o vértice **409**, de coordenadas **N 8.252.200,87** m e **E 167.429,38** m; deste, segue com azimute de 30°26'50" e distância de 9,51 m, até o vértice **410**, de coordenadas **N 8.252.209,07** m e **E 167.434,20** m; deste, segue com azimute de 57°26'26" e distância de 6,47 m, até o vértice **411**, de coordenadas **N 8.252.212,55** m e **E 167.439,65** m; deste, segue com azimute de 81°13'03" e distância de 20,37 m, até o vértice **412**, de coordenadas **N 8.252.215,66** m e **E 167.459,78** m; deste, segue com azimute de 65°44'55" e distância de 8,86 m, até o vértice **413**, de coordenadas **N 8.252.219,30** m e **E 167.467,86** m; deste, segue com azimute de 54°41'00" e distância de 17,78 m, até o vértice **414**, de coordenadas **N 8.252.229,58** m e **E 167.482,37** m; deste, segue com azimute de 17°56'25" e distância de 9,16 m, até o vértice **415**, de coordenadas **N 8.252.238,29** m e **E 167.485,19** m; deste, segue com azimute de



SRL - PLC 0019/2019 folha 000035

33°23'08" e distância de 17,74 m, até o vértice **416**, de coordenadas **N 8.252.253,10** m e **E 167.494,95** m; deste, segue com azimute de 358°11'22" e distância de 13,93 m, até o vértice **417**, de coordenadas **N 8.252.267,02** m e **E 167.494,51** m; deste, segue com azimute de 51°01'03" e distância de 2,50 m, até o vértice **418**, de coordenadas **N 8.252.268,59** m e **E 167.496,45** m; deste, segue com azimute de 84°13'57" e distância de 14,03 m, até o vértice **419**, de coordenadas **N 8.252.270,00** m e **E 167.510,41** m; deste, segue com azimute de 33°17'28" e distância de 8,36 m, até o vértice **420**, de coordenadas **N 8.252.276,99** m e **E 167.515,00** m; deste, segue com azimute de 9°27'44" e distância de 13,81 m, até o vértice **421**, de coordenadas **N 8.252.290,61** m e **E 167.517,27** m; deste, segue com azimute de 20°25'06" e distância de 11,69 m, até o vértice **422**, de coordenadas **N 8.252.301,57** m e **E 167.521,35** m; deste, segue com azimute de 338°53'39" e distância de 55,37 m, até o vértice **423**, de coordenadas **N 8.252.353,23** m e **E 167.501,41** m; deste, segue com azimute de 4°15'23" e distância de 12,66 m, até o vértice **424**, de coordenadas **N 8.252.365,86** m e **E 167.502,35** m; deste, segue com azimute de 356°00'15" e distância de 15,93 m, até o vértice **425**, de coordenadas **N 8.252.381,75** m e **E 167.501,24** m; deste, segue com azimute de 6°32'47" e distância de 7,37 m, até o vértice **426**, de coordenadas **N 8.252.389,07** m e **E 167.502,08** m; deste, segue com azimute de 17°35'57" e distância de 76,30 m, até o vértice **427**, de coordenadas **N 8.252.461,80** m e **E 167.525,15** m; deste, segue com azimute de 11°43'16" e distância de 10,93 m, até o vértice **428**, de coordenadas **N 8.252.472,50** m e **E 167.527,37** m; deste, segue com azimute de 0°46'15" e distância de 16,35 m, até o vértice **429**, de coordenadas **N 8.252.488,85** m e **E 167.527,59** m; deste, segue com azimute de 354°46'28" e distância de 28,33 m, até o vértice **430**, de coordenadas **N 8.252.517,06** m e **E 167.525,01** m; deste, segue com azimute de 5°52'32" e distância de 8,99 m, até o vértice **431**, de coordenadas **N 8.252.526,00** m e **E 167.525,93** m; deste, segue com azimute de 350°49'12" e distância de 27,02 m, até o vértice **432**, de coordenadas **N 8.252.552,67** m e **E 167.521,62** m; deste, segue com azimute de 355°49'19" e distância de 30,47 m, até o vértice **433**, de coordenadas **N 8.252.583,06** m e **E 167.519,40** m; deste, segue com azimute de 344°26'43" e distância de 134,36 m, até o vértice **434**, de coordenadas **N 8.252.712,50** m e **E 167.483,37** m; deste, segue com azimute de 340°32'22" e distância de 17,14 m, até o vértice **435**, de coordenadas **N 8.252.728,66** m e **E 167.477,66** m; deste, segue com azimute de 350°51'14" e distância de 19,06 m, até o vértice **436**, de coordenadas **N 8.252.747,48** m e **E 167.474,63** m; deste, segue com azimute de 340°31'52" e distância de 26,46 m, até o vértice **437**, de coordenadas **N 8.252.772,43** m e **E 167.465,81** m; deste, segue com azimute de



SFL - PLC 0019/2019 folha 000036

355°17'21" e distância de 18,87 m, até o vértice **438**, de coordenadas **N 8.252.791,24** m e **E 167.464,26** m; deste, segue com azimute de 332°29'48" e distância de 28,13 m, até o vértice **439**, de coordenadas **N 8.252.816,19** m e **E 167.451,27** m; deste, segue com azimute de 339°28'09" e distância de 23,87 m, até o vértice **440**, de coordenadas **N 8.252.838,54** m e **E 167.442,90** m; deste, segue com azimute de 0°16'20" e distância de 8,42 m, até o vértice **441**, de coordenadas **N 8.252.846,96** m e **E 167.442,94** m; deste, segue com azimute de 30°37'23" e distância de 4,61 m, até o vértice **442**, de coordenadas **N 8.252.850,93** m e **E 167.445,29** m; deste, segue com azimute de 57°33'09" e distância de 11,13 m, até o vértice **443**, de coordenadas **N 8.252.856,90** m e **E 167.454,68** m; deste, segue com azimute de 87°17'34" e distância de 11,43 m, até o vértice **444**, de coordenadas **N 8.252.857,44** m e **E 167.466,10** m; deste, segue com azimute de 77°17'36" e distância de 12,23 m, até o vértice **445**, de coordenadas **N 8.252.860,13** m e **E 167.478,03** m; deste, segue com azimute de 59°02'10" e distância de 6,47 m, até o vértice **446**, de coordenadas **N 8.252.863,46** m e **E 167.483,58** m; deste, segue com azimute de 45°29'01" e distância de 18,43 m, até o vértice **447**, de coordenadas **N 8.252.876,38** m e **E 167.496,72** m; deste, segue com azimute de 71°48'04" e distância de 19,18 m, até o vértice **448**, de coordenadas **N 8.252.882,37** m e **E 167.514,94** m; deste, segue com azimute de 60°20'44" e distância de 13,36 m, até o vértice **449**, de coordenadas **N 8.252.888,98** m e **E 167.526,55** m; deste, segue com azimute de 45°47'36" e distância de 22,47 m, até o vértice **450**, de coordenadas **N 8.252.904,65** m e **E 167.542,66** m; deste, segue com azimute de 26°16'37" e distância de 7,31 m, até o vértice **451**, de coordenadas **N 8.252.911,21** m e **E 167.545,90** m; deste, segue com azimute de 16°40'17" e distância de 4,25 m, até o vértice **452**, de coordenadas **N 8.252.915,28** m e **E 167.547,12** m, ponto às margens do Córrego Cortado e segue margeando este córrego até o vértice **453**, de coordenadas **N 8.253.994,37** m e **E 166.533,08** m, ponto de confluência entre o Córrego Cortado e o Ribeirão das Pedras; segue margeando o Ribeirão das Pedras até o vértice **454**, de coordenadas **N 8.257.275,94** m e **E 170.712,29** m; deste, segue com azimute de 19°25'38" e distância de 87,90 m, até o vértice **455**, de coordenadas **N 8.257.358,84** m e **E 170.741,53** m; deste, segue com azimute de 11°38'28" e distância de 28,94 m, até o vértice **456**, de coordenadas **N 8.257.387,18** m e **E 170.747,37** m; deste, segue com azimute de 357°00'57" e distância de 33,71 m, até o vértice **457**, de coordenadas **N 8.257.420,85** m e **E 170.745,61** m; deste, segue com azimute de 344°01'37" e distância de 29,47 m, até o vértice **458**, de coordenadas **N 8.257.449,18** m e **E 170.737,50** m; deste, segue com azimute de 333°31'06" e distância de 50,85 m, até o vértice **459**, de coordenadas **N 8.257.494,70** m e **E**



SPL - PLC 0019/2019 folha 000037

**170.714,83** m; deste, segue com azimute de 339°30'56" e distância de 45,23 m, até o vértice **460**, de coordenadas **N 8.257.537,06** m e **E 170.699,00** m; deste, segue com azimute de 326°12'16" e distância de 18,26 m, até o vértice **461**, de coordenadas **N 8.257.552,24** m e **E 170.688,84** m; deste, segue com azimute de 314°49'10" e distância de 40,62 m, até o vértice **462**, de coordenadas **N 8.257.580,88** m e **E 170.660,03** m; deste, segue com azimute de 317°19'23" e distância de 23,41 m, até o vértice **463**, de coordenadas **N 8.257.598,09** m e **E 170.644,16** m; deste, segue com azimute de 309°17'21" e distância de 11,28 m, até o vértice **464**, de coordenadas **N 8.257.605,23** m e **E 170.635,43** m; deste, segue com azimute de 315°00'02" e distância de 6,74 m, até o vértice **465**, de coordenadas **N 8.257.609,99** m e **E 170.630,67** m; deste, segue com azimute de 305°32'16" e distância de 13,66 m, até o vértice **466**, de coordenadas **N 8.257.617,93** m e **E 170.619,55** m; deste, segue com azimute de 337°22'48" e distância de 20,64 m, até o vértice **467**, de coordenadas **N 8.257.636,98** m e **E 170.611,62** m; deste, segue com azimute de 333°26'06" e distância de 10,65 m, até o vértice **468**, de coordenadas **N 8.257.646,50** m e **E 170.606,85** m; deste, segue com azimute de 311°38'00" e distância de 9,56 m, até o vértice **469**, de coordenadas **N 8.257.652,85** m e **E 170.599,71** m; deste, segue com azimute de 327°31'43" e distância de 10,35 m, até o vértice **470**, de coordenadas **N 8.257.661,59** m e **E 170.594,15** m; deste, segue com azimute de 325°29'30" e distância de 15,41 m, até o vértice **471**, de coordenadas **N 8.257.674,29** m e **E 170.585,42** m; deste, segue com azimute de 347°44'06" e distância de 18,68 m, até o vértice **472**, de coordenadas **N 8.257.692,54** m e **E 170.581,45** m; deste, segue com azimute de 13°14'26" e distância de 13,86 m, até o vértice **473**, de coordenadas **N 8.257.706,04** m e **E 170.584,63** m; deste, segue com azimute de 26°33'55" e distância de 12,42 m, até o vértice **474**, de coordenadas **N 8.257.717,15** m e **E 170.590,19** m; deste, segue com azimute de 29°03'16" e distância de 16,34 m, até o vértice **475**, de coordenadas **N 8.257.731,44** m e **E 170.598,12** m; deste, segue com azimute de 47°17'27" e distância de 14,04 m, até o vértice **476**, de coordenadas **N 8.257.740,96** m e **E 170.608,44** m; deste, segue com azimute de 41°38'01" e distância de 9,56 m, até o vértice **477**, de coordenadas **N 8.257.748,10** m e **E 170.614,79** m; deste, segue com azimute de 33°41'23" e distância de 11,45 m, até o vértice **478**, de coordenadas **N 8.257.757,63** m e **E 170.621,14** m; deste, segue com azimute de 75°22'45" e distância de 18,87 m, até o vértice **479**, de coordenadas **N 8.257.762,39** m e **E 170.639,40** m; deste, segue com azimute de 73°04'22" e distância de 19,08 m, até o vértice **480**, de coordenadas **N 8.257.767,95** m e **E 170.657,65** m; deste, segue com azimute de 33°41'24" e distância de 8,59 m, até o vértice **481**, de coordenadas **N 8.257.775,09** m e **E**



SFL - PLC 0019/2019 folha 000038

**170.662,42** m; deste, segue com azimute de 0°00'00" e distância de 15,08 m, até o vértice **482**, de coordenadas **N 8.257.790,17** m e **E 170.662,42** m; deste, segue com azimute de 357°08'15" e distância de 15,89 m, até o vértice **483**, de coordenadas **N 8.257.806,05** m e **E 170.661,62** m; deste, segue com azimute de 0°19'34" e distância de 12,94 m, até o vértice **1**, de coordenadas **N 8.257.818,99** m e **E 170.661,70** m; ponto inicial da descrição deste perímetro. Todas as coordenadas aqui descritas estão georreferenciadas ao Sistema Geodésico Brasileiro e encontram-se representadas no Sistema UTM, referenciadas ao **Meridiano Central 45° WGr, Fuso 23**, tendo como o Datum o **SICAD-SIRGAS 2000.** Todos os azimutes e distâncias, áreas e perímetros foram calculados no plano de projeção UTM



SPL - PLC 0019/2019 folha 000039

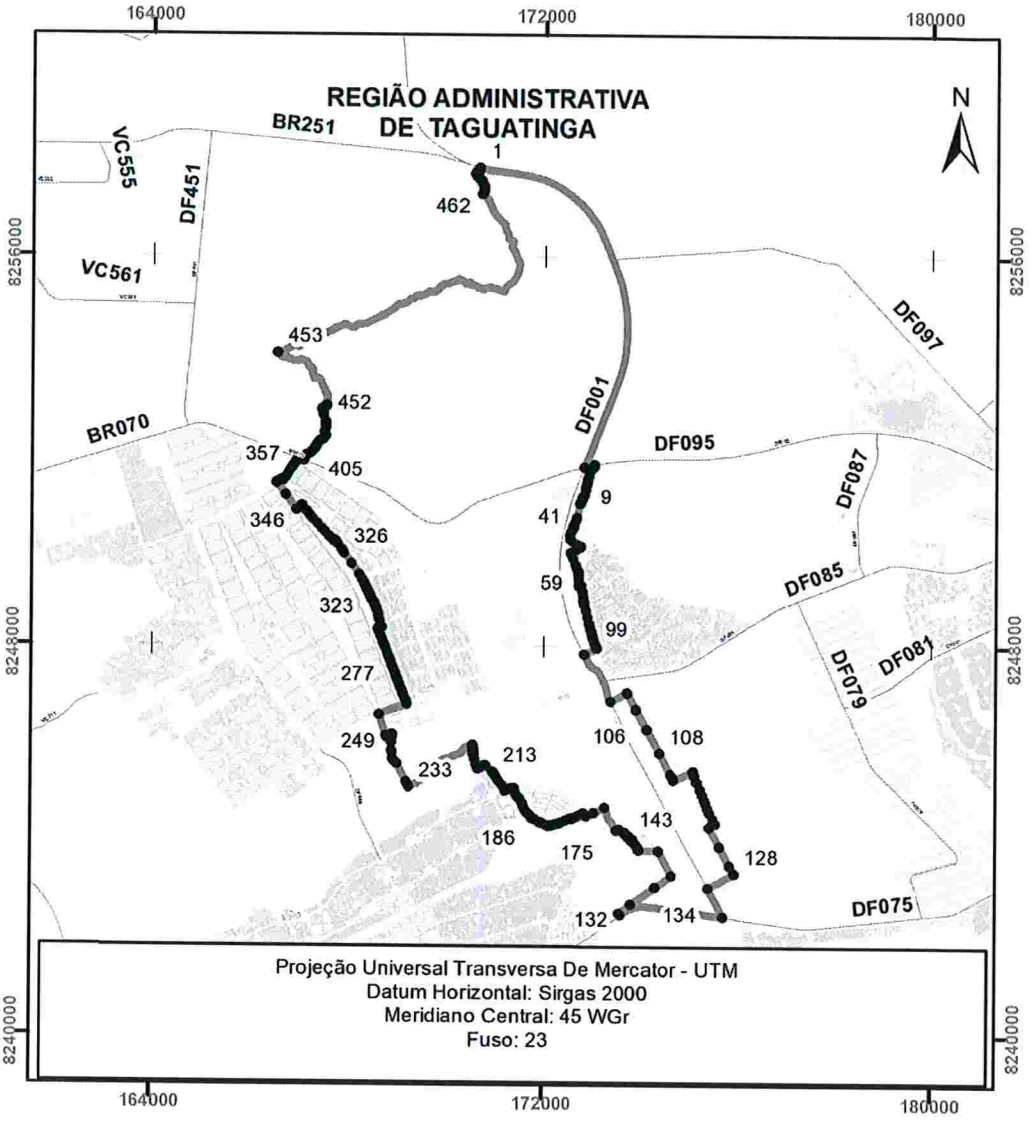




SFL - PLC 0019/2019 folha 000040

# MEMORIAL DESCRITIVO

## BRAZLÂNDIA – RA IV

Perímetro: 107.050,467 m  Área: 47.018,356 ha

Inicia-se a descrição deste perímetro no vértice **1**, de coordenadas **N 8.283.797,32** m. e **E 174.381,77** m., situado na interseção do Limite Norte do Distrito Federal com o eixo da Rodovia DF-170, deste, segue pela Rodovia DF-170, até o vértice **2**, de coordenadas **N 8.274.966,00** m. e **E 176.415,81** m.**;** interseção entre a Rodovia DF-170 e Rodovia DF-001 deste, segue pela Rodovia DF-001, até o vértice **3**, de coordenadas **N 8.257.818,99** m. e **E 170.661,70** m.**;** situado no cruzamento da Rodovia DF-001 com o Ribeirão das Pedras deste, segue margeando o Ribeirão das Pedras, até o vértice **4**, de coordenadas **N 8.256.069,85** m. e **E 156.450,37** m.**;** confluência entre o Ribeirão das Pedras e o Rio Descoberto deste, segue pelo Rio Descoberto, até o vértice **5**, de coordenadas **N 8.270.170,80** m. e **E 156.838,02** m.**;** situado no cruzamento entre o Rio Descoberto e o Limite Oeste do Distrito Federal deste, segue pelo Limite Oeste do Distrito Federal, até o vértice **6**, de coordenadas **N 8.283.553,85** m. e **E 156.637,27** m.**;** ponto de encontro entre o Limite Oeste do Distrito Federal e Limite Norte do Distrito Federal deste, segue pelo Limite Norte do Distrito Federal, até o vértice **1**, de coordenadas **N 8.283.797,32** m. e **E 174.381,77** m.**;** ponto inicial da descrição deste perímetro. Todos os azimutes e distâncias, áreas e perímetros foram calculados no plano de projeção UTM. Todas as coordenadas aqui descritas estão georreferenciadas ao Sistema Geodésico Brasileiro e encontram-se representadas no Sistema UTM, referenciadas ao **Meridiano Central 45° WGr, Fuso 23**, tendo como o *Datum* o **SICAD-SIRGAS 2000.** Todos os azimutes e distâncias, áreas e perímetros foram calculados no plano de projeção UTM.



SPL - PLC 0019/2019 folha 000041

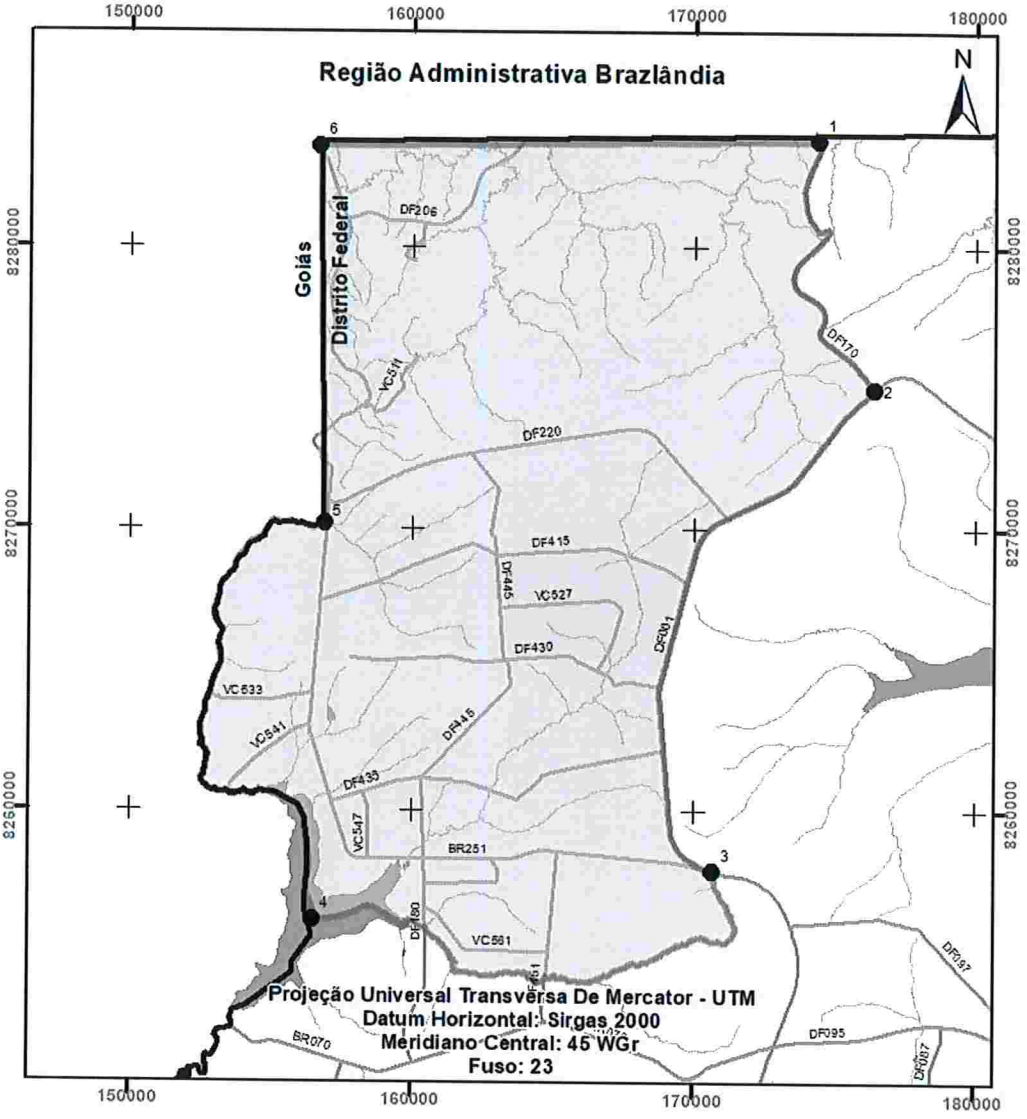




SPL - PLC 0019/2019 folha 000042

# MEMORIAL DESCRITIVO

## SOBRADINHO – RA V

Perímetro: 102.972,806 m  Área: 19.352,648 ha

Inicia-se a descrição deste perímetro no vértice **1**, de coordenadas **N 8.281.431,44** m. e **E 203.513,96** m., situado no cruzamento entre o eixo da Rodovia DF-205 e o Ribeirão Palmeiras deste, segue margeando o Ribeirão Palmeiras, até o vértice **2**, de coordenadas **N 8.281.190,74** m. e **E 204.598,24** m.; ponto de confluência entre o Ribeirão Palmeiras e o Córrego João Pires deste, segue margeando o Córrego João Pires, até o vértice **3**, de coordenadas **N 8.277.896,83** m. e **E 203.280,76** m.; confluência entre o Córrego João Pires e o Córrego Grotão deste, segue margeando o Córrego Grotão, até o vértice **4**, de coordenadas **N 8.275.684,12** m. e **E 203.916,67** m.; confluência entre o Córrego Grotão e Córrego Taquara deste, segue margeando o Córrego Taquara, até o vértice **5**, de coordenadas **N 8.274.808,33** m. e **E 203.507,15** m.; deste, segue com azimute de 174°24'38" e distância de 53,59 m., até o vértice **6**, de coordenadas **N 8.274.754,99** m. e **E 203.512,37** m.; deste, segue com azimute de 245°25'32" e distância de 39,27 m., até o vértice **7**, de coordenadas **N 8.274.738,66** m. e **E 203.476,66** m.; deste, segue com azimute de 246°12'54" e distância de 20,65 m., até o vértice **8**, de coordenadas **N 8.274.730,33** m. e **E 203.457,76** m.; deste, segue com azimute de 246°04'18" e distância de 32,37 m., até o vértice **9**, de coordenadas **N 8.274.717,20** m. e **E 203.428,17** m.; deste, segue com azimute de 251°45'43" e distância de 10,13 m., até o vértice **10**, de coordenadas **N 8.274.714,03** m. e **E 203.418,55** m.; deste, segue com azimute de 264°24'15" e distância de 6,46 m., até o vértice **11**, de coordenadas **N 8.274.713,40** m. e **E 203.412,12** m.; deste, segue com azimute de 264°24'46" e distância de 6,47 m., até o vértice **12**, de coordenadas **N 8.274.712,77** m. e **E 203.405,68** m.; deste, segue com azimute de 273°18'22" e distância de 5,03 m., até o vértice **13**, de coordenadas **N 8.274.713,06** m. e **E 203.400,66** m.; deste, segue com azimute de 279°29'00" e distância de 4,49 m., até o vértice **14**, de coordenadas **N 8.274.713,80** m. e **E 203.396,23** m.; deste, segue com azimute de 281°06'39" e distância de 4,51 m., até o vértice **15**, de coordenadas **N 8.274.714,67** m. e **E 203.391,80** m.; deste, segue com azimute de 267°48'29" e distância de 16,73 m., até o vértice **16**, de coordenadas **N 8.274.714,03** m. e **E 203.375,08** m.; deste, segue com azimute de 266°03'46" e distância de 32,48 m., até o vértice **17**, de coordenadas **N 8.274.711,80** m. e **E 203.342,68** m.; deste, segue com azimute de 266°02'04" e distância de 36,24 m., até o vértice **18**, de coordenadas **N 8.274.709,29** m. e **E 203.306,53**



SPL - PLC 0019/2019 folha 000043

m.; deste, segue com azimute de 266°02'05" e distância de 16,40 m., até o vértice **19**, de coordenadas **N 8.274.708,16** m. e **E 203.290,17** m.; deste, segue com azimute de 267°26'38" e distância de 31,84 m., até o vértice **20**, de coordenadas **N 8.274.706,74** m. e **E 203.258,36** m.; deste, segue com azimute de 260°18'25" e distância de 6,53 m., até o vértice **21**, de coordenadas **N 8.274.705,64** m. e **E 203.251,92** m.; deste, segue com azimute de 249°24'59" e distância de 26,82 m., até o vértice **22**, de coordenadas **N 8.274.696,21** m. e **E 203.226,81** m.; deste, segue com azimute de 250°39'51" e distância de 19,51 m., até o vértice **23**, de coordenadas **N 8.274.689,75** m. e **E 203.208,40** m.; deste, segue com azimute de 246°40'29" e distância de 38,62 m., até o vértice **24**, de coordenadas **N 8.274.674,46** m. e **E 203.172,94** m.; deste, segue com azimute de 248°35'17" e distância de 37,69 m., até o vértice **25**, de coordenadas **N 8.274.660,70** m. e **E 203.137,85** m.; deste, segue com azimute de 250°43'18" e distância de 39,53 m., até o vértice **26**, de coordenadas **N 8.274.647,65** m. e **E 203.100,54** m.; deste, segue com azimute de 247°28'17" e distância de 46,38 m., até o vértice **27**, de coordenadas **N 8.274.629,88** m. e **E 203.057,70** m.; deste, segue com azimute de 249°01'07" e distância de 24,13 m., até o vértice **28**, de coordenadas **N 8.274.621,24** m. e **E 203.035,17** m.; deste, segue com azimute de 251°25'18" e distância de 7,56 m., até o vértice **29**, de coordenadas **N 8.274.618,83** m. e **E 203.028,00** m.; deste, segue com azimute de 248°03'01" e distância de 4,21 m., até o vértice **30**, de coordenadas **N 8.274.617,26** m. e **E 203.024,10** m.; deste, segue com azimute de 159°16'08" e distância de 54,20 m., até o vértice **31**, de coordenadas **N 8.274.566,56** m. e **E 203.043,29** m.; deste, segue com azimute de 157°43'27" e distância de 36,23 m., até o vértice **32**, de coordenadas **N 8.274.533,04** m. e **E 203.057,02** m.; deste, segue com azimute de 103°32'48" e distância de 4,31 m., até o vértice **33**, de coordenadas **N 8.274.532,03** m. e **E 203.061,21** m.; deste, segue com azimute de 103°32'46" e distância de 74,16 m., até o vértice **34**, de coordenadas **N 8.274.514,66** m. e **E 203.133,30** m.; deste, segue com azimute de 103°09'20" e distância de 70,10 m., até o vértice **35**, de coordenadas **N 8.274.498,70** m. e **E 203.201,57** m.; deste, segue com azimute de 86°24'50" e distância de 96,87 m., até o vértice **36**, de coordenadas **N 8.274.504,76** m. e **E 203.298,25** m.; deste, segue com azimute de 86°25'25" e distância de 45,33 m., até o vértice **37**, de coordenadas **N 8.274.507,59** m. e **E 203.343,49** m.; deste, segue com azimute de 86°23'18" e distância de 44,89 m., até o vértice **38**, de coordenadas **N 8.274.510,42** m. e **E 203.388,29** m.; deste, segue com azimute de 86°54'21" e distância de 44,90 m., até o vértice **39**, de coordenadas **N 8.274.512,84** m. e **E 203.433,12** m.; deste, segue com azimute de 85°58'05" e distância de 43,09 m., até o vértice **40**, de coordenadas **N 8.274.515,87** m. e **E 203.476,10**



SPL - PLC 0019/2019 folha 000044

m.; deste, segue com azimute de 85°38'26" e distância de 45,17 m., até o vértice **41**, de coordenadas **N 8.274.519,30** m. e **E 203.521,14** m.; deste, segue com azimute de 139°44'35" e distância de 68,91 m., até o vértice **42**, de coordenadas **N 8.274.466,71** m. e **E 203.565,67** m.; deste, segue com azimute de 140°52'23" e distância de 135,38 m., até o vértice **43**, de coordenadas **N 8.274.361,69** m. e **E 203.651,11** m.; deste, segue com azimute de 147°14'36" e distância de 13,06 m., até o vértice **44**, de coordenadas **N 8.274.350,70** m. e **E 203.658,17** m.; deste, segue com azimute de 149°34'28" e distância de 14,76 m., até o vértice **45**, de coordenadas **N 8.274.337,98** m. e **E 203.665,65** m.; ponto situado no eixo da Rodovia DF-335 deste, segue pela Rodovia DF-335, até o vértice **46**, de coordenadas **N 8.274.098,15** m. e **E 201.815,88** m.; deste, segue com azimute de 183°56'43" e distância de 53,84 m., até o vértice **47**, de coordenadas **N 8.274.044,44** m. e **E 201.812,18** m.; deste, segue com azimute de 184°32'16" e distância de 50,16 m., até o vértice **48**, de coordenadas **N 8.273.994,43** m. e **E 201.808,21** m.; deste, segue com azimute de 184°20'55" e distância de 69,79 m., até o vértice **49**, de coordenadas **N 8.273.924,85** m. e **E 201.802,92** m.; deste, segue com azimute de 184°33'53" e distância de 132,98 m., até o vértice **50**, de coordenadas **N 8.273.792,29** m. e **E 201.792,33** m.; deste, segue com azimute de 183°58'57" e distância de 41,91 m., até o vértice **51**, de coordenadas **N 8.273.750,49** m. e **E 201.789,42** m.; deste, segue com azimute de 184°14'58" e distância de 171,39 m., até o vértice **52**, de coordenadas **N 8.273.579,57** m. e **E 201.776,72** m.; deste, segue com azimute de 184°29'59" e distância de 138,27 m., até o vértice **53**, de coordenadas **N 8.273.441,72** m. e **E 201.765,87** m.; deste, segue com azimute de 184°16'11" e distância de 117,27 m., até o vértice **54**, de coordenadas **N 8.273.324,77** m. e **E 201.757,14** m.; deste, segue com azimute de 184°18'38" e distância de 52,80 m., até o vértice **55**, de coordenadas **N 8.273.272,12** m. e **E 201.753,17** m.; deste, segue com azimute de 134°16'51" e distância de 44,72 m., até o vértice **56**, de coordenadas **N 8.273.240,90** m. e **E 201.785,19** m.; deste, segue com azimute de 135°14'16" e distância de 45,09 m., até o vértice **57**, de coordenadas **N 8.273.208,88** m. e **E 201.816,94** m.; deste, segue com azimute de 134°32'51" e distância de 260,62 m., até o vértice **58**, de coordenadas **N 8.273.026,06** m. e **E 202.002,68** m.; deste, segue com azimute de 134°29'53" e distância de 256,32 m., até o vértice **59**, de coordenadas **N 8.272.846,40** m. e **E 202.185,50** m.; deste, segue com azimute de 134°42'02" e distância de 250,52 m., até o vértice **60**, de coordenadas **N 8.272.670,19** m. e **E 202.363,57** m.; deste, segue com azimute de 134°34'09" e distância de 49,77 m., até o vértice **61**, de coordenadas **N 8.272.635,27** m. e **E 202.399,02** m.; deste, segue com azimute de 135°00'00" e distância de 50,51 m., até o vértice **62**, de coordenadas **N 8.272.599,55** m. e



SPL - PLC 0019/2019 folha 000045

**E 202.434,74** m.; deste, segue com azimute de 158°46'19" e distância de 129,32 m., até o vértice **63**, de coordenadas **N 8.272.479,00** m. e **E 202.481,57** m.; deste, segue com azimute de 137°57'43" e distância de 28,86 m., até o vértice **64**, de coordenadas **N 8.272.457,57** m. e **E 202.500,89** m.; deste, segue com azimute de 130°53'43" e distância de 26,95 m., até o vértice **65**, de coordenadas **N 8.272.439,92** m. e **E 202.521,27** m.; deste, segue com azimute de 130°53'43" e distância de 39,79 m., até o vértice **66**, de coordenadas **N 8.272.413,88** m. e **E 202.551,34** m.; deste, segue com azimute de 130°58'33" e distância de 55,41 m., até o vértice **67**, de coordenadas **N 8.272.377,54** m. e **E 202.593,17** m.; deste, segue com azimute de 126°00'51" e distância de 60,77 m., até o vértice **68**, de coordenadas **N 8.272.341,81** m. e **E 202.642,33** m.; deste, segue com azimute de 125°21'47" e distância de 24,44 m., até o vértice **69**, de coordenadas **N 8.272.327,67** m. e **E 202.662,26** m.; deste, segue com azimute de 125°21'50" e distância de 11,53 m., até o vértice **70**, de coordenadas **N 8.272.321,00** m. e **E 202.671,66** m.; deste, segue com azimute de 123°42'06" e distância de 38,32 m., até o vértice **71**, de coordenadas **N 8.272.299,74** m. e **E 202.703,53** m.; deste, segue com azimute de 123°42'07" e distância de 69,63 m., até o vértice **72**, de coordenadas **N 8.272.261,10** m. e **E 202.761,46** m.; deste, segue com azimute de 124°35'20" e distância de 75,31 m., até o vértice **73**, de coordenadas **N 8.272.218,35** m. e **E 202.823,46** m.; deste, segue com azimute de 123°44'26" e distância de 0,88 m., até o vértice **74**, de coordenadas **N 8.272.217,86** m. e **E 202.824,19** m.; deste, segue com azimute de 123°44'34" e distância de 222,90 m., até o vértice **75**, de coordenadas **N 8.272.094,05** m. e **E 203.009,54** m.; deste, segue com azimute de 123°48'12" e distância de 73,60 m., até o vértice **76**, de coordenadas **N 8.272.053,10** m. e **E 203.070,70** m.; deste, segue com azimute de 123°48'12" e distância de 82,92 m., até o vértice **77**, de coordenadas **N 8.272.006,97** m. e **E 203.139,60** m.; deste, segue com azimute de 121°53'06" e distância de 70,81 m., até o vértice **78**, de coordenadas **N 8.271.969,57** m. e **E 203.199,72** m.; deste, segue com azimute de 119°07'53" e distância de 88,77 m., até o vértice **79**, de coordenadas **N 8.271.926,35** m. e **E 203.277,26** m.; deste, segue com azimute de 120°37'23" e distância de 81,90 m., até o vértice **80**, de coordenadas **N 8.271.884,64** m. e **E 203.347,74** m.; deste, segue com azimute de 120°37'23" e distância de 61,36 m., até o vértice **81**, de coordenadas **N 8.271.853,38** m. e **E 203.400,54** m.; deste, segue com azimute de 120°37'24" e distância de 49,20 m., até o vértice **82**, de coordenadas **N 8.271.828,32** m. e **E 203.442,88** m.; deste, segue com azimute de 119°12'54" e distância de 117,94 m., até o vértice **83**, de coordenadas **N 8.271.770,76** m. e **E 203.545,81** m.; deste, segue com azimute de 121°20'02" e distância de 46,52 m., até o vértice **84**, de coordenadas **N 8.271.746,57** m. e



SPL - PLC 0019/2019 folha 000046

**E 203.585,54** m.; deste, segue com azimute de 121°20'02" e distância de 28,59 m., até o vértice **85**, de coordenadas **N 8.271.731,70** m. e **E 203.609,96** m.; deste, segue com azimute de 121°19'58" e distância de 10,43 m., até o vértice **86**, de coordenadas **N 8.271.726,28** m. e **E 203.618,87** m.; deste, segue com azimute de 121°20'02" e distância de 99,57 m., até o vértice **87**, de coordenadas **N 8.271.674,50** m. e **E 203.703,91** m.; deste, segue com azimute de 122°40'00" e distância de 52,00 m., até o vértice **88**, de coordenadas **N 8.271.646,43** m. e **E 203.747,69** m.; deste, segue com azimute de 126°59'47" e distância de 136,77 m., até o vértice **89**, de coordenadas **N 8.271.564,13** m. e **E 203.856,92** m.; deste, segue com azimute de 127°01'23" e distância de 89,94 m., até o vértice **90**, de coordenadas **N 8.271.509,97** m. e **E 203.928,73** m.; deste, segue com azimute de 127°01'24" e distância de 26,25 m., até o vértice **91**, de coordenadas **N 8.271.494,16** m. e **E 203.949,69** m.; deste, segue com azimute de 127°55'59" e distância de 42,76 m., até o vértice **92**, de coordenadas **N 8.271.467,88** m. e **E 203.983,42** m.; deste, segue com azimute de 156°13'32" e distância de 21,37 m., até o vértice **93**, de coordenadas **N 8.271.448,32** m. e **E 203.992,03** m.; deste, segue com azimute de 154°45'12" e distância de 26,87 m., até o vértice **94**, de coordenadas **N 8.271.424,02** m. e **E 204.003,50** m.; deste, segue com azimute de 155°31'48" e distância de 18,90 m., até o vértice **95**, de coordenadas **N 8.271.406,81** m. e **E 204.011,33** m.; deste, segue com azimute de 164°24'06" e distância de 67,55 m., até o vértice **96**, de coordenadas **N 8.271.341,75** m. e **E 204.029,49** m.; deste, segue com azimute de 161°34'58" e distância de 41,70 m., até o vértice **97**, de coordenadas **N 8.271.302,19** m. e **E 204.042,66** m.; deste, segue com azimute de 159°48'24" e distância de 16,33 m., até o vértice **98**, de coordenadas **N 8.271.286,86** m. e **E 204.048,30** m.; deste, segue com azimute de 153°50'03" e distância de 6,49 m., até o vértice **99**, de coordenadas **N 8.271.281,04** m. e **E 204.051,16** m.; deste, segue com azimute de 167°45'40" e distância de 27,17 m., até o vértice **100**, de coordenadas **N 8.271.254,49** m. e **E 204.056,92** m.; deste, segue com azimute de 164°34'50" e distância de 60,63 m., até o vértice **101**, de coordenadas **N 8.271.196,04** m. e **E 204.073,04** m.; deste, segue com azimute de 163°12'54" e distância de 79,87 m., até o vértice **102**, de coordenadas **N 8.271.119,57** m. e **E 204.096,11** m.; deste, segue com azimute de 164°15'35" e distância de 27,37 m., até o vértice **103**, de coordenadas **N 8.271.093,22** m. e **E 204.103,53** m.; deste, segue com azimute de 166°09'21" e distância de 32,28 m., até o vértice **104**, de coordenadas **N 8.271.061,88** m. e **E 204.111,26** m.; deste, segue com azimute de 174°16'38" e distância de 24,90 m., até o vértice **105**, de coordenadas **N 8.271.037,11** m. e **E 204.113,74** m.; deste, segue com azimute de 175°14'58" e distância de 32,30 m., até o vértice **106**, de coordenadas



SPL - PLC 0019/2019 folha 000047

**N 8.271.004,92** m. e **E 204.116,42** m.; deste, segue com azimute de 178°07'12" e distância de 23,08 m., até o vértice **107**, de coordenadas **N 8.270.981,86** m. e **E 204.117,17** m.; deste, segue com azimute de 182°56'48" e distância de 21,04 m., até o vértice **108**, de coordenadas **N 8.270.960,84** m. e **E 204.116,09** m.; deste, segue com azimute de 182°56'49" e distância de 21,04 m., até o vértice **109**, de coordenadas **N 8.270.939,83** m. e **E 204.115,01** m.; deste, segue com azimute de 188°35'09" e distância de 25,32 m., até o vértice **110**, de coordenadas **N 8.270.914,79** m. e **E 204.111,23** m.; deste, segue com azimute de 193°04'40" e distância de 59,27 m., até o vértice **111**, de coordenadas **N 8.270.857,05** m. e **E 204.097,82** m.; deste, segue com azimute de 190°41'20" e distância de 104,79 m., até o vértice **112**, de coordenadas **N 8.270.754,08** m. e **E 204.078,38** m.; deste, segue com azimute de 181°17'04" e distância de 35,59 m., até o vértice **113**, de coordenadas **N 8.270.718,50** m. e **E 204.077,58** m.; deste, segue com azimute de 178°20'56" e distância de 45,46 m., até o vértice **114**, de coordenadas **N 8.270.673,07** m. e **E 204.078,89** m.; deste, segue com azimute de 168°27'11" e distância de 9,23 m., até o vértice **115**, de coordenadas **N 8.270.664,02** m. e **E 204.080,74** m.; deste, segue com azimute de 184°36'58" e distância de 5,69 m., até o vértice **116**, de coordenadas **N 8.270.658,35** m. e **E 204.080,28** m.; deste, segue com azimute de 176°04'34" e distância de 12,56 m., até o vértice **117**, de coordenadas **N 8.270.645,82** m. e **E 204.081,14** m.; deste, segue com azimute de 167°38'39" e distância de 6,78 m., até o vértice **118**, de coordenadas **N 8.270.639,19** m. e **E 204.082,59** m.; deste, segue com azimute de 161°17'38" e distância de 7,43 m., até o vértice **119**, de coordenadas **N 8.270.632,15** m. e **E 204.084,98** m.; deste, segue com azimute de 148°58'04" e distância de 7,67 m., até o vértice **120**, de coordenadas **N 8.270.625,59** m. e **E 204.088,93** m.; deste, segue com azimute de 152°35'42" e distância de 26,12 m., até o vértice **121**, de coordenadas **N 8.270.602,40** m. e **E 204.100,95** m.; deste, segue com azimute de 153°37'08" e distância de 64,38 m., até o vértice **122**, de coordenadas **N 8.270.544,72** m. e **E 204.129,56** m.; deste, segue com azimute de 153°46'58" e distância de 58,70 m., até o vértice **123**, de coordenadas **N 8.270.492,06** m. e **E 204.155,49** m.; deste, segue com azimute de 154°34'54" e distância de 38,64 m., até o vértice **124**, de coordenadas **N 8.270.457,16** m. e **E 204.172,07** m.; deste, segue com azimute de 155°58'50" e distância de 33,53 m., até o vértice **125**, de coordenadas **N 8.270.426,54** m. e **E 204.185,72** m.; deste, segue com azimute de 153°35'55" e distância de 18,20 m., até o vértice **126**, de coordenadas **N 8.270.410,23** m. e **E 204.193,82** m.; deste, segue com azimute de 154°50'00" e distância de 53,37 m., até o vértice **127**, de coordenadas **N 8.270.361,93** m. e **E 204.216,51** m.; deste, segue com azimute de 155°10'37" e distância de 64,48 m., até o vértice **128**, de coordenadas



SPL - PLC 0019/2019 folha 000048

**N 8.270.303,41** m. e **E 204.243,58 m.;** deste, segue com azimute de 155°16'22" e distância de 97,41 m., até o vértice **129**, de coordenadas **N 8.270.214,93** m. e **E 204.284,33 m.;** deste, segue com azimute de 155°34'38" e distância de 113,40 m., até o vértice **130**, de coordenadas **N 8.270.111,68** m. e **E 204.331,21 m.;** deste, segue com azimute de 155°48'43" e distância de 28,00 m., até o vértice **131**, de coordenadas **N 8.270.086,13** m. e **E 204.342,69 m.;** deste, segue com azimute de 155°22'04" e distância de 24,86 m., até o vértice **132**, de coordenadas **N 8.270.063,54** m. e **E 204.353,05 m.;** deste, segue com azimute de 153°46'25" e distância de 3,04 m., até o vértice **133**, de coordenadas **N 8.270.060,81** m. e **E 204.354,39 m.;** deste, segue com azimute de 153°46'27" e distância de 59,50 m., até o vértice **134**, de coordenadas **N 8.270.007,44** m. e **E 204.380,69 m.;** deste, segue com azimute de 156°10'45" e distância de 55,92 m., até o vértice **135**, de coordenadas **N 8.269.956,28** m. e **E 204.403,27 m.;** deste, segue com azimute de 157°15'26" e distância de 26,48 m., até o vértice **136**, de coordenadas **N 8.269.931,86** m. e **E 204.413,51 m.;** deste, segue com azimute de 159°50'15" e distância de 63,09 m., até o vértice **137**, de coordenadas **N 8.269.872,63** m. e **E 204.435,26 m.;** deste, segue com azimute de 157°53'16" e distância de 14,78 m., até o vértice **138**, de coordenadas **N 8.269.858,93** m. e **E 204.440,82 m.;** deste, segue com azimute de 154°50'17" e distância de 48,50 m., até o vértice **139**, de coordenadas **N 8.269.815,04** m. e **E 204.461,44 m.;** deste, segue com azimute de 154°50'41" e distância de 1,35 m., até o vértice **140**, de coordenadas **N 8.269.813,82** m. e **E 204.462,01 m.;** deste, segue com azimute de 155°57'43" e distância de 29,86 m., até o vértice **141**, de coordenadas **N 8.269.786,54** m. e **E 204.474,18 m.;** deste, segue com azimute de 158°07'05" e distância de 29,46 m., até o vértice **142**, de coordenadas **N 8.269.759,21** m. e **E 204.485,16 m.;** deste, segue com azimute de 155°29'12" e distância de 47,17 m., até o vértice **143**, de coordenadas **N 8.269.716,29** m. e **E 204.504,73 m.;** deste, segue com azimute de 152°38'37" e distância de 30,52 m., até o vértice **144**, de coordenadas **N 8.269.689,18** m. e **E 204.518,76 m.;** deste, segue com azimute de 152°38'37" e distância de 57,65 m., até o vértice **145**, de coordenadas **N 8.269.637,98** m. e **E 204.545,25 m.;** deste, segue com azimute de 152°32'12" e distância de 35,65 m., até o vértice **146**, de coordenadas **N 8.269.606,34** m. e **E 204.561,69 m.;** deste, segue com azimute de 155°53'49" e distância de 50,34 m., até o vértice **147**, de coordenadas **N 8.269.560,39** m. e **E 204.582,25 m.;** deste, segue com azimute de 155°53'49" e distância de 52,36 m., até o vértice **148**, de coordenadas **N 8.269.512,60** m. e **E 204.603,63 m.;** deste, segue com azimute de 155°45'21" e distância de 79,60 m., até o vértice **149**, de coordenadas **N 8.269.440,02** m. e **E 204.636,31 m.;** deste, segue com azimute de 155°41'47" e distância de 147,44 m., até o vértice **150**, de coordenadas



SPL - PLC 0019/2019 folha 000049

**N 8.269.305,64** m. e **E 204.697,00** m.; deste, segue com azimute de 155°36'34" e distância de 144,61 m., até o vértice **151**, de coordenadas **N 8.269.173,94** m. e **E 204.756,72** m.; deste, segue com azimute de 154°43'00" e distância de 106,37 m., até o vértice **152**, de coordenadas **N 8.269.077,76** m. e **E 204.802,15** m.; deste, segue com azimute de 154°43'35" e distância de 45,61 m., até o vértice **153**, de coordenadas **N 8.269.036,51** m. e **E 204.821,62** m.; deste, segue com azimute de 154°46'03" e distância de 23,79 m., até o vértice **154**, de coordenadas **N 8.269.014,99** m. e **E 204.831,76** m.; deste, segue com azimute de 132°27'30" e distância de 18,79 m., até o vértice **155**, de coordenadas **N 8.269.002,31** m. e **E 204.845,62** m.; deste, segue com azimute de 132°27'30" e distância de 12,72 m., até o vértice **156**, de coordenadas **N 8.268.993,73** m. e **E 204.855,00** m.; deste, segue com azimute de 132°27'41" e distância de 0,83 m., até o vértice **157**, de coordenadas **N 8.268.993,17** m. e **E 204.855,61** m.; deste, segue com azimute de 138°08'55" e distância de 20,20 m., até o vértice **158**, de coordenadas **N 8.268.978,12** m. e **E 204.869,09** m.; deste, segue com azimute de 124°24'30" e distância de 16,28 m., até o vértice **159**, de coordenadas **N 8.268.968,92** m. e **E 204.882,53** m.; deste, segue com azimute de 124°24'33" e distância de 7,95 m., até o vértice **160**, de coordenadas **N 8.268.964,42** m. e **E 204.889,09** m.; deste, segue com azimute de 139°18'13" e distância de 26,82 m., até o vértice **161**, de coordenadas **N 8.268.944,09** m. e **E 204.906,57** m.; deste, segue com azimute de 153°36'31" e distância de 0,15 m., até o vértice **162**, de coordenadas **N 8.268.943,96** m. e **E 204.906,64** m.; deste, segue com azimute de 153°37'42" e distância de 4,61 m., até o vértice **163**, de coordenadas **N 8.268.939,83** m. e **E 204.908,69** m.; deste, segue com azimute de 153°37'40" e distância de 11,35 m., até o vértice **164**, de coordenadas **N 8.268.929,66** m. e **E 204.913,73** m.; deste, segue com azimute de 151°17'59" e distância de 16,98 m., até o vértice **165**, de coordenadas **N 8.268.914,76** m. e **E 204.921,89** m.; deste, segue com azimute de 148°02'29" e distância de 12,75 m., até o vértice **166**, de coordenadas **N 8.268.903,94** m. e **E 204.928,63** m.; deste, segue com azimute de 148°02'29" e distância de 40,60 m., até o vértice **167**, de coordenadas **N 8.268.869,50** m. e **E 204.950,12** m.; deste, segue com azimute de 149°13'30" e distância de 77,38 m., até o vértice **168**, de coordenadas **N 8.268.803,02** m. e **E 204.989,71** m.; deste, segue com azimute de 149°13'30" e distância de 28,76 m., até o vértice **169**, de coordenadas **N 8.268.778,31** m. e **E 205.004,43** m.; deste, segue com azimute de 149°18'25" e distância de 64,42 m., até o vértice **170**, de coordenadas **N 8.268.722,92** m. e **E 205.037,31** m.; deste, segue com azimute de 149°18'25" e distância de 64,74 m., até o vértice **171**, de coordenadas **N 8.268.667,25** m. e **E 205.070,35** m.; deste, segue com azimute de 149°29'49" e distância de 59,09 m., até o vértice **172**, de coordenadas



SFL - PLC 0019/2019 folha 000050

**N 8.268.616,34** m. e **E 205.100,34 m.;** deste, segue com azimute de 149°31'53" e distância de 127,85 m., até o vértice **173**, de coordenadas **N 8.268.506,14** m. e **E 205.165,17 m.;** deste, segue com azimute de 150°15'20" e distância de 53,08 m., até o vértice **174**, de coordenadas **N 8.268.460,05** m. e **E 205.191,51 m.;** deste, segue com azimute de 149°34'43" e distância de 43,50 m., até o vértice **175**, de coordenadas **N 8.268.422,54** m. e **E 205.213,54 m.;** deste, segue com azimute de 149°34'44" e distância de 28,47 m., até o vértice **176**, de coordenadas **N 8.268.397,99** m. e **E 205.227,96 m.;** deste, segue com azimute de 149°16'23" e distância de 83,72 m., até o vértice **177**, de coordenadas **N 8.268.326,02** m. e **E 205.270,73 m.;** deste, segue com azimute de 148°49'21" e distância de 59,69 m., até o vértice **178**, de coordenadas **N 8.268.274,95** m. e **E 205.301,63 m.;** deste, segue com azimute de 149°20'24" e distância de 79,68 m., até o vértice **179**, de coordenadas **N 8.268.206,41** m. e **E 205.342,27 m.;** deste, segue com azimute de 149°06'17" e distância de 40,50 m., até o vértice **180**, de coordenadas **N 8.268.171,66** m. e **E 205.363,06 m.;** deste, segue com azimute de 149°32'15" e distância de 52,37 m., até o vértice **181**, de coordenadas **N 8.268.126,52** m. e **E 205.389,61 m.;** deste, segue com azimute de 149°16'05" e distância de 93,73 m., até o vértice **182**, de coordenadas **N 8.268.045,95** m. e **E 205.437,51 m.;** deste, segue com azimute de 149°33'06" e distância de 74,02 m., até o vértice **183**, de coordenadas **N 8.267.982,14** m. e **E 205.475,02 m.;** deste, segue com azimute de 149°14'34" e distância de 50,68 m., até o vértice **184**, de coordenadas **N 8.267.938,59** m. e **E 205.500,93 m.;** deste, segue com azimute de 149°10'46" e distância de 10,41 m., até o vértice **185**, de coordenadas **N 8.267.929,65** m. e **E 205.506,27 m.;** deste, segue com azimute de 149°10'50" e distância de 77,33 m., até o vértice **186**, de coordenadas **N 8.267.863,24** m. e **E 205.545,89 m.;** deste, segue com azimute de 149°13'42" e distância de 46,04 m., até o vértice **187**, de coordenadas **N 8.267.823,68** m. e **E 205.569,44 m.;** deste, segue com azimute de 149°13'44" e distância de 19,88 m., até o vértice **188**, de coordenadas **N 8.267.806,60** m. e **E 205.579,61 m.;** deste, segue com azimute de 149°25'25" e distância de 23,76 m., até o vértice **189**, de coordenadas **N 8.267.786,14** m. e **E 205.591,70 m.;** deste, segue com azimute de 149°25'24" e distância de 29,66 m., até o vértice **190**, de coordenadas **N 8.267.760,61** m. e **E 205.606,79 m.;** deste, segue com azimute de 149°03'10" e distância de 13,18 m., até o vértice **191**, de coordenadas **N 8.267.749,30** m. e **E 205.613,57 m.;** deste, segue com azimute de 149°03'10" e distância de 43,30 m., até o vértice **192**, de coordenadas **N 8.267.712,16** m. e **E 205.635,83 m.;** deste, segue com azimute de 149°19'23" e distância de 64,73 m., até o vértice **193**, de coordenadas **N 8.267.656,49** m. e **E 205.668,86 m.;** deste, segue com azimute de 149°17'32" e distância de 62,62 m., até o vértice **194**, de coordenadas



SPL - PLC 0019/2019 folha 000051

**N 8.267.602,65** m. e **E 205.700,84** m.; deste, segue com azimute de 149°06'09" e distância de 32,85 m., até o vértice **195**, de coordenadas **N 8.267.574,46** m. e **E 205.717,71** m.; deste, segue com azimute de 149°06'09" e distância de 30,75 m., até o vértice **196**, de coordenadas **N 8.267.548,07** m. e **E 205.733,50** m.; deste, segue com azimute de 149°07'09" e distância de 71,47 m., até o vértice **197**, de coordenadas **N 8.267.486,74** m. e **E 205.770,18** m.; deste, segue com azimute de 149°29'03" e distância de 54,06 m., até o vértice **198**, de coordenadas **N 8.267.440,17** m. e **E 205.797,63** m.; deste, segue com azimute de 149°29'03" e distância de 25,15 m., até o vértice **199**, de coordenadas **N 8.267.418,50** m. e **E 205.810,40** m.; deste, segue com azimute de 149°29'04" e distância de 33,37 m., até o vértice **200**, de coordenadas **N 8.267.389,75** m. e **E 205.827,34** m.; deste, segue com azimute de 149°32'15" e distância de 133,42 m., até o vértice **201**, de coordenadas **N 8.267.274,75** m. e **E 205.894,99** m.; deste, segue com azimute de 150°01'28" e distância de 72,76 m., até o vértice **202**, de coordenadas **N 8.267.211,72** m. e **E 205.931,34** m.; deste, segue com azimute de 150°01'29" e distância de 49,46 m., até o vértice **203**, de coordenadas **N 8.267.168,87** m. e **E 205.956,05** m.; deste, segue com azimute de 149°46'00" e distância de 42,63 m., até o vértice **204**, de coordenadas **N 8.267.132,04** m. e **E 205.977,52** m.; deste, segue com azimute de 146°55'47" e distância de 19,56 m., até o vértice **205**, de coordenadas **N 8.267.115,65** m. e **E 205.988,19** m.; deste, segue com azimute de 148°56'25" e distância de 74,79 m., até o vértice **206**, de coordenadas **N 8.267.051,58** m. e **E 206.026,78** m.; deste, segue com azimute de 151°03'54" e distância de 68,60 m., até o vértice **207**, de coordenadas **N 8.266.991,55** m. e **E 206.059,97** m.; deste, segue com azimute de 151°03'30" e distância de 0,07 m., até o vértice **208**, de coordenadas **N 8.266.991,49** m. e **E 206.060,00** m.; deste, segue com azimute de 141°04'38" e distância de 0,30 m., até o vértice **209**, de coordenadas **N 8.266.991,26** m. e **E 206.060,19** m.; deste, segue com azimute de 142°57'36" e distância de 20,24 m., até o vértice **210**, de coordenadas **N 8.266.975,10** m. e **E 206.072,38** m.; deste, segue com azimute de 148°56'33" e distância de 201,21 m., até o vértice **211**, de coordenadas **N 8.266.802,73** m. e **E 206.176,18** m.; deste, segue com azimute de 149°50'57" e distância de 34,17 m., até o vértice **212**, de coordenadas **N 8.266.773,18** m. e **E 206.193,35** m.; deste, segue com azimute de 149°50'57" e distância de 89,99 m., até o vértice **213**, de coordenadas **N 8.266.695,37** m. e **E 206.238,55** m.; deste, segue com azimute de 148°03'07" e distância de 46,62 m., até o vértice **214**, de coordenadas **N 8.266.655,81** m. e **E 206.263,22** m.; deste, segue com azimute de 152°00'16" e distância de 48,42 m., até o vértice **215**, de coordenadas **N 8.266.613,05** m. e **E 206.285,95** m.; deste, segue com azimute de 149°22'43" e distância de 66,84 m., até o vértice **216**, de coordenadas



SPL - PLC 0019/2019 folha 000052

**N 8.266.555,53** m. e **E 206.319,99** m.; deste, segue com azimute de 149°22'43" e distância de 159,53 m., até o vértice **217**, de coordenadas **N 8.266.418,25** m. e **E 206.401,25** m.; deste, segue com azimute de 147°27'16" e distância de 102,80 m., até o vértice **218**, de coordenadas **N 8.266.331,59** m. e **E 206.456,56** m.; deste, segue com azimute de 151°03'23" e distância de 22,74 m., até o vértice **219**, de coordenadas **N 8.266.311,69** m. e **E 206.467,56** m.; deste, segue com azimute de 159°14'07" e distância de 17,18 m., até o vértice **220**, de coordenadas **N 8.266.295,62** m. e **E 206.473,65** m.; deste, segue com azimute de 159°14'16" e distância de 0,44 m., até o vértice **221**, de coordenadas **N 8.266.295,21** m. e **E 206.473,81** m.; deste, segue com azimute de 152°37'26" e distância de 23,88 m., até o vértice **222**, de coordenadas **N 8.266.274,01** m. e **E 206.484,79** m.; deste, segue com azimute de 141°15'32" e distância de 5,21 m., até o vértice **223**, de coordenadas **N 8.266.269,94** m. e **E 206.488,05** m.; deste, segue com azimute de 40°03'23" e distância de 1,49 m., até o vértice **224**, de coordenadas **N 8.266.271,08** m. e **E 206.489,01** m.; deste, segue com azimute de 147°57'50" e distância de 2,16 m., até o vértice **225**, de coordenadas **N 8.266.269,25** m. e **E 206.490,15** m.; deste, segue com azimute de 222°05'22" e distância de 695,91 m., até o vértice **226**, de coordenadas **N 8.265.752,82** m. e **E 206.023,70** m.; deste, segue com azimute de 220°15'31" e distância de 36,08 m., até o vértice **227**, de coordenadas **N 8.265.725,28** m. e **E 206.000,38** m.; deste, segue com azimute de 222°24'34" e distância de 113,93 m., até o vértice **228**, de coordenadas **N 8.265.641,16** m. e **E 205.923,54** m.; deste, segue com azimute de 217°35'24" e distância de 16,72 m., até o vértice **229**, de coordenadas **N 8.265.627,92** m. e **E 205.913,34** m.; deste, segue com azimute de 222°57'56" e distância de 101,10 m., até o vértice **230**, de coordenadas **N 8.265.553,93** m. e **E 205.844,44** m.; deste, segue com azimute de 196°37'44" e distância de 6,06 m., até o vértice **231**, de coordenadas **N 8.265.548,12** m. e **E 205.842,70** m.; deste, segue com azimute de 215°31'47" e distância de 53,64 m., até o vértice **232**, de coordenadas **N 8.265.504,47** m. e **E 205.811,53** m.; ponto situado no eixo da Rodovia DF-330 deste, segue pela Rodovia DF-330, até o vértice **233**, de coordenadas **N 8.265.149,42** m. e **E 206.255,33** m.; ponto de cruzamento entre a DF-330 e o Córrego do meio deste, segue margeando o Córrego do Meio, até o vértice **234**, de coordenadas **N 8.261.458,21** m. e **E 213.328,01** m.; confluência entre o Córrego do Meio e o Rio São Bartolomeu deste, segue margeando o Rio São Bartolomeu, até o vértice **235**, de coordenadas **N 8.258.859,12** m. e **E 213.238,40** m.; confluência entre o Rio São Bartolomeu com o Ribeirão Sobradinho deste, segue margeando o Ribeirão Sobradinho, até o vértice **236**, de coordenadas **N 8.260.849,08** m. e **E 203.986,47** m.; ponto de cruzamento entre o Ribeirão Sobradinho e o eixo da DF-440 deste, segue pela



SPL - PLC 0019/2019 folha 000053

Rodovia DF-440, até o vértice **237**, de coordenadas **N 8.259.635,56** m. e **E 201.912,89** m.; ponto de interseção entre a DF-440 e o eixo da Rodovia VC-263 deste, segue pela Rodovia VC-263, até o vértice **238**, de coordenadas **N 8.259.231,31** m. e **E 200.982,89** m.; intereseção entre a Rodovia VC-263 com o eixo da Rodovia DF-001 deste, segue pela Rodovia DF-001, até o vértice **239**, de coordenadas **N 8.263.481,14** m. e **E 193.478,15** m.; interseção entre a Rodovia DF-001 e o eixo da Rodovia BR-020 deste, segue pela Rodovia BR-020, até o vértice **240**, de coordenadas **N 8.265.975,16** m. e **E 198.858,72** m.; ponto de cruzamento entre a Rodovia BR-020 com o Ribeirão Sobradinho deste, segue margeando o Ribeirão Sobradinho, até o vértice **241**, de coordenadas **N 8.268.509,16** m. e **E 198.480,39** m.; deste, segue com azimute de 283°42'51" e distância de 10,80 m., até o vértice **242**, de coordenadas **N 8.268.511,72** m. e **E 198.469,90** m.; deste, segue com azimute de 285°37'10" e distância de 64,07 m., até o vértice **243**, de coordenadas **N 8.268.528,97** m. e **E 198.408,19** m.; deste, segue com azimute de 285°37'10" e distância de 11,23 m., até o vértice **244**, de coordenadas **N 8.268.531,99** m. e **E 198.397,38** m.; deste, segue com azimute de 285°28'26" e distância de 65,90 m., até o vértice **245**, de coordenadas **N 8.268.549,58** m. e **E 198.333,86** m.; deste, segue com azimute de 285°28'26" e distância de 109,26 m., até o vértice **246**, de coordenadas **N 8.268.578,73** m. e **E 198.228,56** m.; deste, segue com azimute de 285°26'10" e distância de 145,57 m., até o vértice **247**, de coordenadas **N 8.268.617,47** m. e **E 198.088,24** m.; deste, segue com azimute de 285°26'10" e distância de 18,07 m., até o vértice **248**, de coordenadas **N 8.268.622,28** m. e **E 198.070,82** m.; deste, segue com azimute de 285°26'10" e distância de 178,41 m., até o vértice **249**, de coordenadas **N 8.268.669,77** m. e **E 197.898,85** m.; deste, segue com azimute de 286°01'07" e distância de 122,60 m., até o vértice **250**, de coordenadas **N 8.268.703,60** m. e **E 197.781,01** m.; deste, segue com azimute de 286°01'08" e distância de 18,50 m., até o vértice **251**, de coordenadas **N 8.268.708,71** m. e **E 197.763,22** m.; deste, segue com azimute de 286°01'08" e distância de 84,08 m., até o vértice **252**, de coordenadas **N 8.268.731,91** m. e **E 197.682,41** m.; deste, segue com azimute de 301°53'37" e distância de 72,81 m., até o vértice **253**, de coordenadas **N 8.268.770,38** m. e **E 197.620,59** m.; deste, segue com azimute de 320°35'16" e distância de 52,21 m., até o vértice **254**, de coordenadas **N 8.268.810,72** m. e **E 197.587,44** m.; deste, segue com azimute de 332°33'41" e distância de 86,24 m., até o vértice **255**, de coordenadas **N 8.268.887,26** m. e **E 197.547,70** m.; deste, segue com azimute de 341°23'33" e distância de 74,82 m., até o vértice **256**, de coordenadas **N 8.268.958,17** m. e **E 197.523,82** m.; deste, segue com azimute de 341°23'33" e distância de 16,79 m., até o vértice **257**, de coordenadas **N 8.268.974,09** m. e **E 197.518,46** m.; deste,



SPL - PLC 0019/2019 folha 000054

segue com azimute de 341°23'34" e distância de 27,20 m., até o vértice **258**, de coordenadas **N 8.268.999,87** m. e **E 197.509,79** m.; deste, segue com azimute de 342°38'22" e distância de 47,24 m., até o vértice **259**, de coordenadas **N 8.269.044,96** m. e **E 197.495,69** m.; deste, segue com azimute de 342°38'22" e distância de 54,80 m., até o vértice **260**, de coordenadas **N 8.269.097,26** m. e **E 197.479,34** m.; deste, segue com azimute de 342°16'23" e distância de 49,40 m., até o vértice **261**, de coordenadas **N 8.269.144,31** m. e **E 197.464,30** m.; deste, segue com azimute de 342°00'07" e distância de 24,30 m., até o vértice **262**, de coordenadas **N 8.269.167,42** m. e **E 197.456,79** m.; deste, segue com azimute de 342°00'08" e distância de 44,38 m., até o vértice **263**, de coordenadas **N 8.269.209,64** m. e **E 197.443,07** m.; deste, segue com azimute de 342°00'04" e distância de 1,29 m., até o vértice **264**, de coordenadas **N 8.269.210,87** m. e **E 197.442,67** m.; deste, segue com azimute de 342°00'07" e distância de 7,53 m., até o vértice **265**, de coordenadas **N 8.269.218,03** m. e **E 197.440,35** m.; deste, segue com azimute de 334°19'53" e distância de 9,29 m., até o vértice **266**, de coordenadas **N 8.269.226,41** m. e **E 197.436,32** m.; deste, segue com azimute de 334°19'53" e distância de 74,16 m., até o vértice **267**, de coordenadas **N 8.269.293,25** m. e **E 197.404,20** m.; deste, segue com azimute de 326°46'16" e distância de 45,48 m., até o vértice **268**, de coordenadas **N 8.269.331,29** m. e **E 197.379,28** m.; deste, segue com azimute de 321°02'58" e distância de 12,57 m., até o vértice **269**, de coordenadas **N 8.269.341,07** m. e **E 197.371,37** m.; deste, segue com azimute de 321°02'57" e distância de 14,30 m., até o vértice **270**, de coordenadas **N 8.269.352,19** m. e **E 197.362,39** m.; deste, segue com azimute de 322°28'31" e distância de 4,36 m., até o vértice **271**, de coordenadas **N 8.269.355,65** m. e **E 197.359,73** m.; ponto situado no eixo da Rodovia VC-215 deste, segue pela Rodovia VC-215, até o vértice **272**, de coordenadas **N 8.271.012,02** m. e **E 198.071,59** m.; interseção entre a Rodovia VC-215 e o eixo da Rodovia DF-326 deste, segue pela Rodovia DF-326, até o vértice **273**, de coordenadas **N 8.274.367,41** m. e **E 195.098,74** m.; deste, segue com azimute de 36°22'13" e distância de 4,36 m., até o vértice **274**, de coordenadas **N 8.274.370,92** m. e **E 195.101,32** m.; deste, segue com azimute de 36°22'15" e distância de 23,66 m., até o vértice **275**, de coordenadas **N 8.274.389,97** m. e **E 195.115,35** m.; deste, segue com azimute de 51°22'49" e distância de 4,45 m., até o vértice **276**, de coordenadas **N 8.274.392,75** m. e **E 195.118,83** m.; deste, segue com azimute de 57°15'15" e distância de 6,56 m., até o vértice **277**, de coordenadas **N 8.274.396,30** m. e **E 195.124,35** m.; deste, segue com azimute de 51°55'02" e distância de 6,05 m., até o vértice **278**, de coordenadas **N 8.274.400,03** m. e **E 195.129,11** m.; deste, segue com azimute de 41°01'14" e distância de 16,30 m., até o vértice **279**, de coordenadas



SFL - PLC 0019/2019 folha 000055

**N 8.274.412,33** m. e **E 195.139,81** m.; deste, segue com azimute de 48°41'47" e distância de 7,79 m., até o vértice **280**, de coordenadas **N 8.274.417,47** m. e **E 195.145,66** m.; deste, segue com azimute de 46°49'25" e distância de 14,22 m., até o vértice **281**, de coordenadas **N 8.274.427,20** m. e **E 195.156,03** m.; deste, segue com azimute de 42°46'41" e distância de 20,79 m., até o vértice **282**, de coordenadas **N 8.274.442,46** m. e **E 195.170,15** m.; deste, segue com azimute de 50°23'13" e distância de 6,10 m., até o vértice **283**, de coordenadas **N 8.274.446,35** m. e **E 195.174,85** m.; deste, segue com azimute de 59°31'17" e distância de 4,46 m., até o vértice **284**, de coordenadas **N 8.274.448,61** m. e **E 195.178,69** m.; deste, segue com azimute de 78°54'47" e distância de 14,61 m., até o vértice **285**, de coordenadas **N 8.274.451,42** m. e **E 195.193,03** m.; deste, segue com azimute de 75°32'55" e distância de 11,38 m., até o vértice **286**, de coordenadas **N 8.274.454,26** m. e **E 195.204,05** m.; deste, segue com azimute de 69°13'34" e distância de 10,46 m., até o vértice **287**, de coordenadas **N 8.274.457,97** m. e **E 195.213,83** m.; deste, segue com azimute de 67°50'51" e distância de 10,00 m., até o vértice **288**, de coordenadas **N 8.274.461,74** m. e **E 195.223,09** m.; deste, segue com azimute de 77°07'03" e distância de 3,68 m., até o vértice **289**, de coordenadas **N 8.274.462,56** m. e **E 195.226,68** m.; deste, segue com azimute de 77°06'59" e distância de 3,68 m., até o vértice **290**, de coordenadas **N 8.274.463,38** m. e **E 195.230,26** m.; deste, segue com azimute de 80°48'12" e distância de 4,25 m., até o vértice **291**, de coordenadas **N 8.274.464,06** m. e **E 195.234,46** m.; deste, segue com azimute de 87°02'34" e distância de 13,57 m., até o vértice **292**, de coordenadas **N 8.274.464,76** m. e **E 195.248,01** m.; deste, segue com azimute de 76°21'29" e distância de 5,64 m., até o vértice **293**, de coordenadas **N 8.274.466,09** m. e **E 195.253,49** m.; deste, segue com azimute de 64°23'41" e distância de 17,35 m., até o vértice **294**, de coordenadas **N 8.274.473,59** m. e **E 195.269,14** m.; deste, segue com azimute de 60°32'50" e distância de 15,09 m., até o vértice **295**, de coordenadas **N 8.274.481,01** m. e **E 195.282,28** m.; deste, segue com azimute de 67°36'42" e distância de 15,04 m., até o vértice **296**, de coordenadas **N 8.274.486,74** m. e **E 195.296,19** m.; deste, segue com azimute de 74°36'57" e distância de 17,53 m., até o vértice **297**, de coordenadas **N 8.274.491,39** m. e **E 195.313,09** m.; deste, segue com azimute de 75°28'02" e distância de 8,73 m., até o vértice **298**, de coordenadas **N 8.274.493,58** m. e **E 195.321,54** m.; deste, segue com azimute de 356°17'14" e distância de 45,51 m., até o vértice **299**, de coordenadas **N 8.274.538,99** m. e **E 195.318,60** m.; deste, segue com azimute de 303°11'15" e distância de 2,25 m., até o vértice **300**, de coordenadas **N 8.274.540,22** m. e **E 195.316,72** m.; deste, segue com azimute de 303°11'15" e distância de 2,25 m., até o vértice **301**, de coordenadas



SFL - PLC 0019/2019 folha 000056

**N 8.274.541,45** m. e **E 195.314,84** m.; deste, segue com azimute de 294°43'43" e distância de 2,14 m., até o vértice **302**, de coordenadas **N 8.274.542,34** m. e **E 195.312,90** m.; deste, segue com azimute de 273°07'28" e distância de 3,37 m., até o vértice **303**, de coordenadas **N 8.274.542,53** m. e **E 195.309,54** m.; deste, segue com azimute de 258°41'49" e distância de 3,59 m., até o vértice **304**, de coordenadas **N 8.274.541,82** m. e **E 195.306,01** m.; deste, segue com azimute de 262°15'39" e distância de 3,57 m., até o vértice **305**, de coordenadas **N 8.274.541,34** m. e **E 195.302,47** m.; deste, segue com azimute de 270°27'26" e distância de 2,21 m., até o vértice **306**, de coordenadas **N 8.274.541,36** m. e **E 195.300,27** m.; deste, segue com azimute de 272°42'55" e distância de 2,21 m., até o vértice **307**, de coordenadas **N 8.274.541,46** m. e **E 195.298,06** m.; deste, segue com azimute de 277°10'22" e distância de 2,18 m., até o vértice **308**, de coordenadas **N 8.274.541,74** m. e **E 195.295,89** m.; deste, segue com azimute de 287°09'10" e distância de 3,57 m., até o vértice **309**, de coordenadas **N 8.274.542,79** m. e **E 195.292,48** m.; deste, segue com azimute de 294°47'20" e distância de 3,62 m., até o vértice **310**, de coordenadas **N 8.274.544,31** m. e **E 195.289,19** m.; deste, segue com azimute de 293°14'25" e distância de 3,61 m., até o vértice **311**, de coordenadas **N 8.274.545,73** m. e **E 195.285,87** m.; deste, segue com azimute de 288°23'19" e distância de 4,02 m., até o vértice **312**, de coordenadas **N 8.274.547,00** m. e **E 195.282,05** m.; deste, segue com azimute de 286°29'09" e distância de 4,04 m., até o vértice **313**, de coordenadas **N 8.274.548,15** m. e **E 195.278,18** m.; deste, segue com azimute de 284°45'31" e distância de 4,05 m., até o vértice **314**, de coordenadas **N 8.274.549,18** m. e **E 195.274,26** m.; deste, segue com azimute de 283°11'21" e distância de 4,05 m., até o vértice **315**, de coordenadas **N 8.274.550,10** m. e **E 195.270,32** m.; deste, segue com azimute de 281°46'02" e distância de 4,03 m., até o vértice **316**, de coordenadas **N 8.274.550,93** m. e **E 195.266,38** m.; deste, segue com azimute de 280°28'40" e distância de 4,00 m., até o vértice **317**, de coordenadas **N 8.274.551,65** m. e **E 195.262,44** m.; deste, segue com azimute de 278°35'21" e distância de 4,04 m., até o vértice **318**, de coordenadas **N 8.274.552,26** m. e **E 195.258,44** m.; deste, segue com azimute de 276°26'34" e distância de 4,03 m., até o vértice **319**, de coordenadas **N 8.274.552,71** m. e **E 195.254,43** m.; deste, segue com azimute de 274°57'01" e distância de 4,03 m., até o vértice **321**, de coordenadas **N 8.274.553,06** m. e **E 195.250,42** m.; deste, segue com azimute de 274°06'58" e distância de 4,03 m., até o vértice **322**, de coordenadas **N 8.274.553,35** m. e **E 195.246,40** m.; deste, segue com azimute de 273°56'44" e distância de 4,04 m., até o vértice **323**, de coordenadas **N 8.274.553,63** m. e **E 195.242,37** m.; deste, segue com azimute de 274°26'14" e distância de 4,05 m., até o vértice **324**, de coordenadas



SPL - PLC 0019/2019 folha 000057

**N 8.274.553,94** m. e **E 195.238,34 m.;** deste, segue com azimute de 275°23'37" e distância de 3,50 m., até o vértice **325**, de coordenadas **N 8.274.554,27** m. e **E 195.234,86 m.;** deste, segue com azimute de 275°55'21" e distância de 3,51 m., até o vértice **326**, de coordenadas **N 8.274.554,63** m. e **E 195.231,36 m.;** deste, segue com azimute de 275°46'33" e distância de 3,52 m., até o vértice **327**, de coordenadas **N 8.274.554,98** m. e **E 195.227,86 m.;** deste, segue com azimute de 274°57'17" e distância de 3,51 m., até o vértice **328**, de coordenadas **N 8.274.555,29** m. e **E 195.224,36 m.;** deste, segue com azimute de 273°26'52" e distância de 3,50 m., até o vértice **329**, de coordenadas **N 8.274.555,50** m. e **E 195.220,87 m.;** deste, segue com azimute de 271°14'10" e distância de 3,48 m., até o vértice **330**, de coordenadas **N 8.274.555,57** m. e **E 195.217,40 m.;** deste, segue com azimute de 268°08'48" e distância de 3,01 m., até o vértice **331**, de coordenadas **N 8.274.555,48** m. e **E 195.214,39 m.;** deste, segue com azimute de 265°30'39" e distância de 3,01 m., até o vértice **332**, de coordenadas **N 8.274.555,24** m. e **E 195.211,38 m.;** deste, segue com azimute de 264°10'08" e distância de 3,01 m., até o vértice **333**, de coordenadas **N 8.274.554,93** m. e **E 195.208,39 m.;** deste, segue com azimute de 264°07'00" e distância de 3,01 m., até o vértice **334**, de coordenadas **N 8.274.554,63** m. e **E 195.205,40 m.;** deste, segue com azimute de 265°21'16" e distância de 3,00 m., até o vértice **335**, de coordenadas **N 8.274.554,38** m. e **E 195.202,41 m.;** deste, segue com azimute de 267°54'04" e distância de 2,99 m., até o vértice **336**, de coordenadas **N 8.274.554,27** m. e **E 195.199,42 m.;** deste, segue com azimute de 269°44'04" e distância de 3,90 m., até o vértice **337**, de coordenadas **N 8.274.554,26** m. e **E 195.195,51 m.;** deste, segue com azimute de 270°31'52" e distância de 3,92 m., até o vértice **338**, de coordenadas **N 8.274.554,29** m. e **E 195.191,60 m.;** deste, segue com azimute de 272°09'26" e distância de 3,91 m., até o vértice **339**, de coordenadas **N 8.274.554,44** m. e **E 195.187,69 m.;** deste, segue com azimute de 274°38'05" e distância de 3,90 m., até o vértice **340**, de coordenadas **N 8.274.554,75** m. e **E 195.183,80 m.;** deste, segue com azimute de 277°58'55" e distância de 3,89 m., até o vértice **341**, de coordenadas **N 8.274.555,29** m. e **E 195.179,95 m.;** deste, segue com azimute de 282°12'25" e distância de 3,89 m., até o vértice **342**, de coordenadas **N 8.274.556,12** m. e **E 195.176,15 m.;** deste, segue com azimute de 286°57'31" e distância de 3,64 m., até o vértice **343**, de coordenadas **N 8.274.557,18** m. e **E 195.172,67 m.;** deste, segue com azimute de 290°55'43" e distância de 3,69 m., até o vértice **344**, de coordenadas **N 8.274.558,50** m. e **E 195.169,22 m.;** deste, segue com azimute de 293°52'44" e distância de 3,74 m., até o vértice **345**, de coordenadas **N 8.274.560,01** m. e **E 195.165,80 m.;** deste, segue com azimute de 295°53'23" e distância de 3,76 m., até o vértice **346**, de coordenadas



SPL - PLC 0019/2019 folha 000058

**N 8.274.561,65** m. e **E 195.162,42** m.; deste, segue com azimute de 297°01'15" e distância de 3,76 m., até o vértice **347**, de coordenadas **N 8.274.563,36** m. e **E 195.159,07** m.; deste, segue com azimute de 297°17'37" e distância de 3,72 m., até o vértice **348**, de coordenadas **N 8.274.565,06** m. e **E 195.155,77** m.; deste, segue com azimute de 297°06'30" e distância de 3,56 m., até o vértice **349**, de coordenadas **N 8.274.566,69** m. e **E 195.152,60** m.; deste, segue com azimute de 297°30'39" e distância de 3,57 m., até o vértice **350**, de coordenadas **N 8.274.568,33** m. e **E 195.149,43** m.; deste, segue com azimute de 298°37'02" e distância de 3,57 m., até o vértice **351**, de coordenadas **N 8.274.570,04** m. e **E 195.146,30** m.; deste, segue com azimute de 300°25'51" e distância de 3,56 m., até o vértice **352**, de coordenadas **N 8.274.571,84** m. e **E 195.143,24** m.; deste, segue com azimute de 302°58'18" e distância de 3,54 m., até o vértice **353**, de coordenadas **N 8.274.573,77** m. e **E 195.140,26** m.; deste, segue com azimute de 306°14'55" e distância de 3,53 m., até o vértice **354**, de coordenadas **N 8.274.575,86** m. e **E 195.137,41** m.; deste, segue com azimute de 311°05'59" e distância de 2,70 m., até o vértice **355**, de coordenadas **N 8.274.577,64** m. e **E 195.135,38** m.; deste, segue com azimute de 315°23'49" e distância de 2,73 m., até o vértice **356**, de coordenadas **N 8.274.579,58** m. e **E 195.133,46** m.; deste, segue com azimute de 317°17'27" e distância de 2,74 m., até o vértice **357**, de coordenadas **N 8.274.581,59** m. e **E 195.131,60** m.; deste, segue com azimute de 316°51'26" e distância de 2,74 m., até o vértice **358**, de coordenadas **N 8.274.583,59** m. e **E 195.129,73** m.; deste, segue com azimute de 314°04'40" e distância de 2,72 m., até o vértice **359**, de coordenadas **N 8.274.585,49** m. e **E 195.127,77** m.; deste, segue com azimute de 308°53'15" e distância de 2,71 m., até o vértice **360**, de coordenadas **N 8.274.587,19** m. e **E 195.125,67** m.; deste, segue com azimute de 301°25'39" e distância de 3,77 m., até o vértice **361**, de coordenadas **N 8.274.589,15** m. e **E 195.122,45** m.; deste, segue com azimute de 297°35'50" e distância de 3,81 m., até o vértice **362**, de coordenadas **N 8.274.590,92** m. e **E 195.119,08** m.; deste, segue com azimute de 300°01'26" e distância de 3,80 m., até o vértice **363**, de coordenadas **N 8.274.592,82** m. e **E 195.115,79** m.; deste, segue com azimute de 306°02'04" e distância de 2,23 m., até o vértice **364**, de coordenadas **N 8.274.594,13** m. e **E 195.113,99** m.; deste, segue com azimute de 309°47'04" e distância de 2,25 m., até o vértice **365**, de coordenadas **N 8.274.595,57** m. e **E 195.112,26** m.; deste, segue com azimute de 311°09'00" e distância de 2,26 m., até o vértice **366**, de coordenadas **N 8.274.597,05** m. e **E 195.110,55** m.; deste, segue com azimute de 310°12'11" e distância de 2,25 m., até o vértice **367**, de coordenadas **N 8.274.598,51** m. e **E 195.108,84** m.; deste, segue com azimute de 306°52'25" e distância de 2,22 m., até o vértice **368**, de coordenadas



SPL - PLC 0019/2019 folha 000059

**N 8.274.599,84** m. e **E 195.107,06** m.; deste, segue com azimute de 301°00'32" e distância de 2,18 m., até o vértice **369**, de coordenadas **N 8.274.600,96** m. e **E 195.105,19** m.; deste, segue com azimute de 290°52'22" e distância de 2,54 m., até o vértice **370**, de coordenadas **N 8.274.601,87** m. e **E 195.102,82** m.; deste, segue com azimute de 281°52'12" e distância de 2,61 m., até o vértice **371**, de coordenadas **N 8.274.602,40** m. e **E 195.100,27** m.; deste, segue com azimute de 278°02'44" e distância de 2,65 m., até o vértice **372**, de coordenadas **N 8.274.602,77** m. e **E 195.097,64** m.; deste, segue com azimute de 278°58'19" e distância de 2,64 m., até o vértice **373**, de coordenadas **N 8.274.603,18** m. e **E 195.095,04** m.; deste, segue com azimute de 284°47'45" e distância de 2,57 m., até o vértice **374**, de coordenadas **N 8.274.603,84** m. e **E 195.092,55** m.; deste, segue com azimute de 296°01'30" e distância de 2,52 m., até o vértice **375**, de coordenadas **N 8.274.604,95** m. e **E 195.090,29** m.; deste, segue com azimute de 310°26'53" e distância de 3,26 m., até o vértice **376**, de coordenadas **N 8.274.607,06** m. e **E 195.087,80** m.; deste, segue com azimute de 317°32'59" e distância de 3,40 m., até o vértice **377**, de coordenadas **N 8.274.609,57** m. e **E 195.085,51** m.; deste, segue com azimute de 315°21'59" e distância de 3,38 m., até o vértice **378**, de coordenadas **N 8.274.611,98** m. e **E 195.083,13** m.; deste, segue com azimute de 310°00'09" e distância de 3,59 m., até o vértice **379**, de coordenadas **N 8.274.614,29** m. e **E 195.080,38** m.; deste, segue com azimute de 307°37'34" e distância de 3,60 m., até o vértice **380**, de coordenadas **N 8.274.616,48** m. e **E 195.077,54** m.; deste, segue com azimute de 305°08'31" e distância de 3,58 m., até o vértice **381**, de coordenadas **N 8.274.618,54** m. e **E 195.074,61** m.; deste, segue com azimute de 302°06'07" e distância de 2,24 m., até o vértice **382**, de coordenadas **N 8.274.619,73** m. e **E 195.072,71** m.; deste, segue com azimute de 299°21'52" e distância de 2,24 m., até o vértice **383**, de coordenadas **N 8.274.620,83** m. e **E 195.070,76** m.; deste, segue com azimute de 297°47'16" e distância de 2,24 m., até o vértice **384**, de coordenadas **N 8.274.621,87** m. e **E 195.068,78** m.; deste, segue com azimute de 297°22'20" e distância de 2,24 m., até o vértice **385**, de coordenadas **N 8.274.622,90** m. e **E 195.066,79** m.; deste, segue com azimute de 298°06'45" e distância de 2,24 m., até o vértice **386**, de coordenadas **N 8.274.623,96** m. e **E 195.064,81** m.; deste, segue com azimute de 300°00'35" e distância de 2,24 m., até o vértice **387**, de coordenadas **N 8.274.625,08** m. e **E 195.062,87** m.; deste, segue com azimute de 301°21'09" e distância de 3,07 m., até o vértice **388**, de coordenadas **N 8.274.626,68** m. e **E 195.060,25** m.; deste, segue com azimute de 301°45'28" e distância de 3,09 m., até o vértice **389**, de coordenadas **N 8.274.628,30** m. e **E 195.057,63** m.; deste, segue com azimute de 302°45'36" e distância de 3,09 m., até o vértice **390**, de coordenadas



SPL - PLC 0019/2019 folha 000060

**N 8.274.629,98** m. e **E 195.055,03** m.; deste, segue com azimute de 304°22'18" e distância de 3,08 m., até o vértice **391**, de coordenadas **N 8.274.631,71** m. e **E 195.052,48** m.; deste, segue com azimute de 306°36'35" e distância de 3,07 m., até o vértice **392**, de coordenadas **N 8.274.633,54** m. e **E 195.050,02** m.; deste, segue com azimute de 309°29'48" e distância de 3,05 m., até o vértice **393**, de coordenadas **N 8.274.635,48** m. e **E 195.047,67** m.; deste, segue com azimute de 315°14'27" e distância de 3,93 m., até o vértice **394**, de coordenadas **N 8.274.638,28** m. e **E 195.044,90** m.; deste, segue com azimute de 321°14'46" e distância de 3,98 m., até o vértice **395**, de coordenadas **N 8.274.641,38** m. e **E 195.042,41** m.; deste, segue com azimute de 324°06'34" e distância de 4,01 m., até o vértice **396**, de coordenadas **N 8.274.644,63** m. e **E 195.040,06** m.; deste, segue com azimute de 323°57'17" e distância de 4,01 m., até o vértice **397**, de coordenadas **N 8.274.647,87** m. e **E 195.037,70** m.; deste, segue com azimute de 320°46'03" e distância de 3,96 m., até o vértice **398**, de coordenadas **N 8.274.650,94** m. e **E 195.035,19** m.; deste, segue com azimute de 314°24'21" e distância de 3,92 m., até o vértice **399**, de coordenadas **N 8.274.653,68** m. e **E 195.032,39** m.; deste, segue com azimute de 306°42'54" e distância de 2,50 m., até o vértice **400**, de coordenadas **N 8.274.655,17** m. e **E 195.030,39** m.; deste, segue com azimute de 301°52'49" e distância de 2,54 m., até o vértice **401**, de coordenadas **N 8.274.656,51** m. e **E 195.028,23** m.; deste, segue com azimute de 299°52'54" e distância de 2,56 m., até o vértice **402**, de coordenadas **N 8.274.657,79** m. e **E 195.026,02** m.; deste, segue com azimute de 300°35'54" e distância de 2,54 m., até o vértice **403**, de coordenadas **N 8.274.659,08** m. e **E 195.023,84** m.; deste, segue com azimute de 304°07'21" e distância de 2,48 m., até o vértice **404**, de coordenadas **N 8.274.660,47** m. e **E 195.021,78** m.; deste, segue com azimute de 310°43'22" e distância de 2,42 m., até o vértice **405**, de coordenadas **N 8.274.662,05** m. e **E 195.019,94** m.; deste, segue com azimute de 319°27'17" e distância de 3,89 m., até o vértice **406**, de coordenadas **N 8.274.665,01** m. e **E 195.017,42** m.; deste, segue com azimute de 327°00'38" e distância de 3,95 m., até o vértice **407**, de coordenadas **N 8.274.668,32** m. e **E 195.015,27** m.; deste, segue com azimute de 332°59'43" e distância de 4,02 m., até o vértice **408**, de coordenadas **N 8.274.671,90** m. e **E 195.013,44** m.; deste, segue com azimute de 337°35'55" e distância de 4,06 m., até o vértice **409**, de coordenadas **N 8.274.675,65** m. e **E 195.011,90** m.; deste, segue com azimute de 341°00'52" e distância de 4,05 m., até o vértice **410**, de coordenadas **N 8.274.679,48** m. e **E 195.010,58** m.; deste, segue com azimute de 343°23'22" e distância de 3,98 m., até o vértice **411**, de coordenadas **N 8.274.683,30** m. e **E 195.009,44** m.; deste, segue com azimute de 346°21'51" e distância de 2,60 m., até o vértice **412**, de coordenadas



SFL - PLC 0019/2019 folha 000061

**N 8.274.685,82** m. e **E 195.008,83** m.; deste, segue com azimute de 349°47'11" e distância de 2,62 m., até o vértice **413**, de coordenadas **N 8.274.688,40** m. e **E 195.008,36** m.; deste, segue com azimute de 352°02'51" e distância de 2,64 m., até o vértice **414**, de coordenadas **N 8.274.691,01** m. e **E 195.008,00** m.; deste, segue com azimute de 353°10'55" e distância de 2,65 m., até o vértice **415**, de coordenadas **N 8.274.693,64** m. e **E 195.007,68** m.; deste, segue com azimute de 353°13'04" e distância de 2,65 m., até o vértice **416**, de coordenadas **N 8.274.696,27** m. e **E 195.007,37** m.; deste, segue com azimute de 352°09'30" e distância de 2,63 m., até o vértice **417**, de coordenadas **N 8.274.698,88** m. e **E 195.007,01** m.; deste, segue com azimute de 351°43'46" e distância de 2,98 m., até o vértice **418**, de coordenadas **N 8.274.701,83** m. e **E 195.006,58** m.; deste, segue com azimute de 352°19'13" e distância de 2,98 m., até o vértice **419**, de coordenadas **N 8.274.704,79** m. e **E 195.006,18** m.; deste, segue com azimute de 352°21'38" e distância de 2,98 m., até o vértice **420**, de coordenadas **N 8.274.707,74** m. e **E 195.005,79** m.; deste, segue com azimute de 351°51'27" e distância de 2,98 m., até o vértice **421**, de coordenadas **N 8.274.710,69** m. e **E 195.005,37** m.; deste, segue com azimute de 350°48'12" e distância de 2,97 m., até o vértice **422**, de coordenadas **N 8.274.713,62** m. e **E 195.004,89** m.; deste, segue com azimute de 349°11'37" e distância de 2,97 m., até o vértice **423**, de coordenadas **N 8.274.716,53** m. e **E 195.004,34** m.; deste, segue com azimute de 346°45'09" e distância de 3,29 m., até o vértice **424**, de coordenadas **N 8.274.719,73** m. e **E 195.003,58** m.; deste, segue com azimute de 344°32'19" e distância de 3,29 m., até o vértice **425**, de coordenadas **N 8.274.722,90** m. e **E 195.002,71** m.; deste, segue com azimute de 343°21'32" e distância de 3,29 m., até o vértice **426**, de coordenadas **N 8.274.726,05** m. e **E 195.001,76** m.; deste, segue com azimute de 343°13'00" e distância de 3,29 m., até o vértice **427**, de coordenadas **N 8.274.729,20** m. e **E 195.000,81** m.; deste, segue com azimute de 344°06'32" e distância de 3,29 m., até o vértice **428**, de coordenadas **N 8.274.732,36** m. e **E 194.999,91** m.; deste, segue com azimute de 346°02'15" e distância de 3,28 m., até o vértice **429**, de coordenadas **N 8.274.735,55** m. e **E 194.999,12** m.; deste, segue com azimute de 349°46'33" e distância de 3,57 m., até o vértice **430**, de coordenadas **N 8.274.739,06** m. e **E 194.998,49** m.; deste, segue com azimute de 353°02'46" e distância de 3,59 m., até o vértice **431**, de coordenadas **N 8.274.742,63** m. e **E 194.998,05** m.; deste, segue com azimute de 354°00'04" e distância de 3,60 m., até o vértice **432**, de coordenadas **N 8.274.746,21** m. e **E 194.997,68** m.; deste, segue com azimute de 352°39'47" e distância de 3,59 m., até o vértice **433**, de coordenadas **N 8.274.749,77** m. e **E 194.997,22** m.; deste, segue com azimute de 348°59'16" e distância de 3,56 m., até o vértice **434**, de coordenadas



SPL - PLC 0019/2019 folha 000062

**N 8.274.753,26** m. e **E 194.996,54** m.; deste, segue com azimute de 342°55'14" e distância de 3,55 m., até o vértice **435**, de coordenadas **N 8.274.756,65** m. e **E 194.995,50** m.; deste, segue com azimute de 335°56'56" e distância de 2,31 m., até o vértice **436**, de coordenadas **N 8.274.758,76** m. e **E 194.994,55** m.; deste, segue com azimute de 331°20'36" e distância de 2,36 m., até o vértice **437**, de coordenadas **N 8.274.760,83** m. e **E 194.993,42** m.; deste, segue com azimute de 329°06'36" e distância de 2,38 m., até o vértice **438**, de coordenadas **N 8.274.762,88** m. e **E 194.992,20** m.; deste, segue com azimute de 329°05'59" e distância de 2,37 m., até o vértice **439**, de coordenadas **N 8.274.764,91** m. e **E 194.990,99** m.; deste, segue com azimute de 331°20'55" e distância de 2,32 m., até o vértice **440**, de coordenadas **N 8.274.766,95** m. e **E 194.989,87** m.; deste, segue com azimute de 336°04'36" e distância de 2,25 m., até o vértice **441**, de coordenadas **N 8.274.769,01** m. e **E 194.988,96** m.; deste, segue com azimute de 348°01'01" e distância de 6,74 m., até o vértice **442**, de coordenadas **N 8.274.775,60** m. e **E 194.987,56** m.; deste, segue com azimute de 2°25'23" e distância de 6,69 m., até o vértice **443**, de coordenadas **N 8.274.782,28** m. e **E 194.987,84** m.; deste, segue com azimute de 10°55'38" e distância de 6,86 m., até o vértice **444**, de coordenadas **N 8.274.789,02** m. e **E 194.989,14** m.; deste, segue com azimute de 13°45'01" e distância de 6,97 m., até o vértice **445**, de coordenadas **N 8.274.795,79** m. e **E 194.990,80** m.; deste, segue com azimute de 11°15'49" e distância de 6,90 m., até o vértice **446**, de coordenadas **N 8.274.802,55** m. e **E 194.992,15** m.; deste, segue com azimute de 3°11'13" e distância de 6,74 m., até o vértice **447**, de coordenadas **N 8.274.809,28** m. e **E 194.992,52** m.; deste, segue com azimute de 355°17'52" e distância de 3,65 m., até o vértice **448**, de coordenadas **N 8.274.812,92** m. e **E 194.992,22** m.; deste, segue com azimute de 352°30'11" e distância de 3,66 m., até o vértice **449**, de coordenadas **N 8.274.816,55** m. e **E 194.991,74** m.; deste, segue com azimute de 351°05'30" e distância de 3,68 m., até o vértice **450**, de coordenadas **N 8.274.820,18** m. e **E 194.991,17** m.; deste, segue com azimute de 351°03'07" e distância de 3,68 m., até o vértice **451**, de coordenadas **N 8.274.823,82** m. e **E 194.990,60** m.; deste, segue com azimute de 352°22'09" e distância de 3,68 m., até o vértice **452**, de coordenadas **N 8.274.827,46** m. e **E 194.990,11** m.; deste, segue com azimute de 355°03'31" e distância de 3,67 m., até o vértice **453**, de coordenadas **N 8.274.831,12** m. e **E 194.989,80** m.; deste, segue com azimute de 357°37'28" e distância de 3,59 m., até o vértice **454**, de coordenadas **N 8.274.834,71** m. e **E 194.989,65** m.; deste, segue com azimute de 359°02'42" e distância de 3,61 m., até o vértice **455**, de coordenadas **N 8.274.838,32** m. e **E 194.989,59** m.; deste, segue com azimute de 0°19'30" e distância de 3,61 m., até o vértice **456**, de coordenadas **N**



SFL - PLC 0019/2019 folha 000063

**8.274.841,93** m. e **E 194.989,61** m.; deste, segue com azimute de 1°28'01" e distância de 3,62 m., até o vértice **457**, de coordenadas **N 8.274.845,55** m. e **E 194.989,70** m.; deste, segue com azimute de 2°28'28" e distância de 3,62 m., até o vértice **458**, de coordenadas **N 8.274.849,16** m. e **E 194.989,86** m.; deste, segue com azimute de 3°21'21" e distância de 3,61 m., até o vértice **459**, de coordenadas **N 8.274.852,76** m. e **E 194.990,07** m.; deste, segue com azimute de 4°31'39" e distância de 3,40 m., até o vértice **460**, de coordenadas **N 8.274.856,15** m. e **E 194.990,34** m.; deste, segue com azimute de 5°49'58" e distância de 3,41 m., até o vértice **461**, de coordenadas **N 8.274.859,54** m. e **E 194.990,68** m.; deste, segue com azimute de 6°47'09" e distância de 3,41 m., até o vértice **462**, de coordenadas **N 8.274.862,92** m. e **E 194.991,09** m.; deste, segue com azimute de 7°23'19" e distância de 3,41 m., até o vértice **463**, de coordenadas **N 8.274.866,30** m. e **E 194.991,52** m.; deste, segue com azimute de 7°38'41" e distância de 3,41 m., até o vértice **464**, de coordenadas **N 8.274.869,68** m. e **E 194.991,98** m.; deste, segue com azimute de 7°33'04" e distância de 3,40 m., até o vértice **465**, de coordenadas **N 8.274.873,05** m. e **E 194.992,42** m.; deste, segue com azimute de 8°21'27" e distância de 2,61 m., até o vértice **466**, de coordenadas **N 8.274.875,63** m. e **E 194.992,80** m.; deste, segue com azimute de 9°36'02" e distância de 2,61 m., até o vértice **467**, de coordenadas **N 8.274.878,20** m. e **E 194.993,24** m.; deste, segue com azimute de 9°47'50" e distância de 2,61 m., até o vértice **468**, de coordenadas **N 8.274.880,77** m. e **E 194.993,68** m.; deste, segue com azimute de 8°56'53" e distância de 2,60 m., até o vértice **469**, de coordenadas **N 8.274.883,34** m. e **E 194.994,09** m.; deste, segue com azimute de 7°03'04" e distância de 2,59 m., até o vértice **470**, de coordenadas **N 8.274.885,92** m. e **E 194.994,41** m.; deste, segue com azimute de 4°04'51" e distância de 2,59 m., até o vértice **471**, de coordenadas **N 8.274.888,50** m. e **E 194.994,59** m.; deste, segue com azimute de 2°33'09" e distância de 2,47 m., até o vértice **472**, de coordenadas **N 8.274.890,97** m. e **E 194.994,70** m.; deste, segue com azimute de 2°12'08" e distância de 2,49 m., até o vértice **473**, de coordenadas **N 8.274.893,46** m. e **E 194.994,79** m.; deste, segue com azimute de 0°25'15" e distância de 2,49 m., até o vértice **474**, de coordenadas **N 8.274.895,95** m. e **E 194.994,81** m.; deste, segue com azimute de 357°09'42" e distância de 2,48 m., até o vértice **475**, de coordenadas **N 8.274.898,42** m. e **E 194.994,69** m.; deste, segue com azimute de 352°21'41" e distância de 2,46 m., até o vértice **476**, de coordenadas **N 8.274.900,86** m. e **E 194.994,36** m.; deste, segue com azimute de 345°58'43" e distância de 2,45 m., até o vértice **477**, de coordenadas **N 8.274.903,24** m. e **E 194.993,77** m.; deste, segue com azimute de 336°41'27" e distância de 2,85 m., até o vértice **478**, de coordenadas



SPL - PLC 0019/2019 folha 000064

**N 8.274.905,86** m. e **E 194.992,64** m.; deste, segue com azimute de 331°32'49" e distância de 2,92 m., até o vértice **479**, de coordenadas **N 8.274.908,43** m. e **E 194.991,25** m.; deste, segue com azimute de 334°45'18" e distância de 2,89 m., até o vértice **480**, de coordenadas **N 8.274.911,04** m. e **E 194.990,02** m.; deste, segue com azimute de 341°32'39" e distância de 2,70 m., até o vértice **481**, de coordenadas **N 8.274.913,61** m. e **E 194.989,16** m.; deste, segue com azimute de 345°35'14" e distância de 2,70 m., até o vértice **482**, de coordenadas **N 8.274.916,22** m. e **E 194.988,49** m.; deste, segue com azimute de 348°46'31" e distância de 2,71 m., até o vértice **483**, de coordenadas **N 8.274.918,88** m. e **E 194.987,96** m.; deste, segue com azimute de 351°07'20" e distância de 2,71 m., até o vértice **484**, de coordenadas **N 8.274.921,56** m. e **E 194.987,54** m.; deste, segue com azimute de 352°38'12" e distância de 2,71 m., até o vértice **485**, de coordenadas **N 8.274.924,24** m. e **E 194.987,20** m.; deste, segue com azimute de 353°20'02" e distância de 2,70 m., até o vértice **486**, de coordenadas **N 8.274.926,92** m. e **E 194.986,88** m.; deste, segue com azimute de 355°22'37" e distância de 3,18 m., até o vértice **487**, de coordenadas **N 8.274.930,09** m. e **E 194.986,63** m.; deste, segue com azimute de 358°27'03" e distância de 3,20 m., até o vértice **488**, de coordenadas **N 8.274.933,29** m. e **E 194.986,54** m.; deste, segue com azimute de 0°14'09" e distância de 3,21 m., até o vértice **489**, de coordenadas **N 8.274.936,49** m. e **E 194.986,55** m.; deste, segue com azimute de 0°45'22" e distância de 3,21 m., até o vértice **490**, de coordenadas **N 8.274.939,70** m. e **E 194.986,59** m.; deste, segue com azimute de 0°01'05" e distância de 3,19 m., até o vértice **491**, de coordenadas **N 8.274.942,89** m. e **E 194.986,60** m.; deste, segue com azimute de 358°00'01" e distância de 3,17 m., até o vértice **492**, de coordenadas **N 8.274.946,06** m. e **E 194.986,49** m.; deste, segue com azimute de 354°01'52" e distância de 3,31 m., até o vértice **493**, de coordenadas **N 8.274.949,35** m. e **E 194.986,14** m.; deste, segue com azimute de 350°40'40" e distância de 3,31 m., até o vértice **494**, de coordenadas **N 8.274.952,62** m. e **E 194.985,60** m.; deste, segue com azimute de 349°51'40" e distância de 3,30 m., até o vértice **495**, de coordenadas **N 8.274.955,87** m. e **E 194.985,02** m.; deste, segue com azimute de 351°35'16" e distância de 3,29 m., até o vértice **496**, de coordenadas **N 8.274.959,12** m. e **E 194.984,54** m.; deste, segue com azimute de 355°54'39" e distância de 3,27 m., até o vértice **497**, de coordenadas **N 8.274.962,38** m. e **E 194.984,31** m.; deste, segue com azimute de 2°49'12" e distância de 3,28 m., até o vértice **498**, de coordenadas **N 8.274.965,65** m. e **E 194.984,47** m.; deste, segue com azimute de 9°06'02" e distância de 2,03 m., até o vértice **499**, de coordenadas **N 8.274.967,66** m. e **E 194.984,79** m.; deste, segue com azimute de 12°29'38" e distância de 2,06 m., até o vértice **500**, de coordenadas



SFL - PLC 0019/2019 folha 000065

**N 8.274.969,67** m. e **E 194.985,24** m.; deste, segue com azimute de 14°55'26" e distância de 2,09 m., até o vértice **501**, de coordenadas **N 8.274.971,68** m. e **E 194.985,77** m.; deste, segue com azimute de 16°28'06" e distância de 2,10 m., até o vértice **502**, de coordenadas **N 8.274.973,70** m. e **E 194.986,37** m.; deste, segue com azimute de 17°10'12" e distância de 2,10 m., até o vértice **503**, de coordenadas **N 8.274.975,70** m. e **E 194.986,99** m.; deste, segue com azimute de 17°02'21" e distância de 2,08 m., até o vértice **504**, de coordenadas **N 8.274.977,69** m. e **E 194.987,60** m.; deste, segue com azimute de 19°07'55" e distância de 3,02 m., até o vértice **505**, de coordenadas **N 8.274.980,54** m. e **E 194.988,59** m.; deste, segue com azimute de 22°25'23" e distância de 3,04 m., até o vértice **506**, de coordenadas **N 8.274.983,35** m. e **E 194.989,75** m.; deste, segue com azimute de 23°26'18" e distância de 3,05 m., até o vértice **507**, de coordenadas **N 8.274.986,15** m. e **E 194.990,96** m.; deste, segue com azimute de 22°12'33" e distância de 3,02 m., até o vértice **508**, de coordenadas **N 8.274.988,94** m. e **E 194.992,10** m.; deste, segue com azimute de 18°38'48" e distância de 2,97 m., até o vértice **509**, de coordenadas **N 8.274.991,76** m. e **E 194.993,05** m.; deste, segue com azimute de 12°35'11" e distância de 2,92 m., até o vértice **510**, de coordenadas **N 8.274.994,61** m. e **E 194.993,69** m.; deste, segue com azimute de 5°14'02" e distância de 3,86 m., até o vértice **511**, de coordenadas **N 8.274.998,45** m. e **E 194.994,04** m.; deste, segue com azimute de 359°13'11" e distância de 3,92 m., até o vértice **512**, de coordenadas **N 8.275.002,37** m. e **E 194.993,99** m.; deste, segue com azimute de 354°25'21" e distância de 3,97 m., até o vértice **513**, de coordenadas **N 8.275.006,33** m. e **E 194.993,60** m.; deste, segue com azimute de 350°41'40" e distância de 3,99 m., até o vértice **514**, de coordenadas **N 8.275.010,27** m. e **E 194.992,95** m.; deste, segue com azimute de 347°53'41" e distância de 3,97 m., até o vértice **515**, de coordenadas **N 8.275.014,15** m. e **E 194.992,12** m.; deste, segue com azimute de 345°55'53" e distância de 3,89 m., até o vértice **516**, de coordenadas **N 8.275.017,92** m. e **E 194.991,18** m.; deste, segue com azimute de 341°43'12" e distância de 5,13 m., até o vértice **517**, de coordenadas **N 8.275.022,79** m. e **E 194.989,57** m.; deste, segue com azimute de 335°59'35" e distância de 5,16 m., até o vértice **518**, de coordenadas **N 8.275.027,50** m. e **E 194.987,47** m.; deste, segue com azimute de 332°09'30" e distância de 5,21 m., até o vértice **519**, de coordenadas **N 8.275.032,11** m. e **E 194.985,03** m.; deste, segue com azimute de 330°08'48" e distância de 5,24 m., até o vértice **520**, de coordenadas **N 8.275.036,66** m. e **E 194.982,42** m.; deste, segue com azimute de 329°53'39" e distância de 5,24 m., até o vértice **521**, de coordenadas **N 8.275.041,19** m. e **E 194.979,80** m.; deste, segue com azimute de 331°24'03" e distância de 5,20 m., até o vértice **522**, de coordenadas



SPL - PLC 0019/2019 folha 000066

**N 8.275.045,75** m. e **E 194.977,31** m.; deste, segue com azimute de 330°25'56" e distância de 5,23 m., até o vértice **523**, de coordenadas **N 8.275.050,30** m. e **E 194.974,73** m.; deste, segue com azimute de 327°35'53" e distância de 5,29 m., até o vértice **524**, de coordenadas **N 8.275.054,77** m. e **E 194.971,89** m.; deste, segue com azimute de 327°20'40" e distância de 5,29 m., até o vértice **525**, de coordenadas **N 8.275.059,22** m. e **E 194.969,04** m.; deste, segue com azimute de 329°40'06" e distância de 5,22 m., até o vértice **526**, de coordenadas **N 8.275.063,72** m. e **E 194.966,41** m.; deste, segue com azimute de 334°45'00" e distância de 5,10 m., até o vértice **527**, de coordenadas **N 8.275.068,34** m. e **E 194.964,23** m.; deste, segue com azimute de 342°49'07" e distância de 5,02 m., até o vértice **528**, de coordenadas **N 8.275.073,13** m. e **E 194.962,75** m.; deste, segue com azimute de 350°32'13" e distância de 4,43 m., até o vértice **529**, de coordenadas **N 8.275.077,50** m. e **E 194.962,02** m.; deste, segue com azimute de 355°24'20" e distância de 4,55 m., até o vértice **530**, de coordenadas **N 8.275.082,03** m. e **E 194.961,66** m.; deste, segue com azimute de 359°44'49" e distância de 4,62 m., até o vértice **531**, de coordenadas **N 8.275.086,65** m. e **E 194.961,64** m.; deste, segue com azimute de 3°45'17" e distância de 4,63 m., até o vértice **532**, de coordenadas **N 8.275.091,27** m. e **E 194.961,94** m.; deste, segue com azimute de 7°36'34" e distância de 4,59 m., até o vértice **533**, de coordenadas **N 8.275.095,82** m. e **E 194.962,55** m.; deste, segue com azimute de 11°28'54" e distância de 4,48 m., até o vértice **534**, de coordenadas **N 8.275.100,21** m. e **E 194.963,44** m.; deste, segue com azimute de 16°03'59" e distância de 5,05 m., até o vértice **535**, de coordenadas **N 8.275.105,06** m. e **E 194.964,84** m.; deste, segue com azimute de 20°47'39" e distância de 5,18 m., até o vértice **536**, de coordenadas **N 8.275.109,90** m. e **E 194.966,68** m.; deste, segue com azimute de 25°06'26" e distância de 5,24 m., até o vértice **537**, de coordenadas **N 8.275.114,65** m. e **E 194.968,90** m.; deste, segue com azimute de 29°13'55" e distância de 3,63 m., até o vértice **538**, de coordenadas **N 8.275.117,82** m. e **E 194.970,67** m.; deste, segue com azimute de 29°13'48" e distância de 1,60 m., até o vértice **539**, de coordenadas **N 8.275.119,22** m. e **E 194.971,45** m.; deste, segue com azimute de 33°22'40" e distância de 5,13 m., até o vértice **540**, de coordenadas **N 8.275.123,50** m. e **E 194.974,28** m.; deste, segue com azimute de 37°46'12" e distância de 4,96 m., até o vértice **541**, de coordenadas **N 8.275.127,42** m. e **E 194.977,32** m.; deste, segue com azimute de 46°36'19" e distância de 6,76 m., até o vértice **542**, de coordenadas **N 8.275.132,07** m. e **E 194.982,23** m.; deste, segue com azimute de 56°52'39" e distância de 6,87 m., até o vértice **543**, de coordenadas **N 8.275.135,82** m. e **E 194.987,98** m.; deste, segue com azimute de 62°57'34" e distância de 7,06 m., até o vértice **544**, de coordenadas



SPL - PLC 0019/2019 folha 000067

**N 8.275.139,03** m. e **E 194.994,27** m.; deste, segue com azimute de 65°12'16" e distância de 7,17 m., até o vértice **545**, de coordenadas **N 8.275.142,04** m. e **E 195.000,79** m.; deste, segue com azimute de 63°52'47" e distância de 7,15 m., até o vértice **546**, de coordenadas **N 8.275.145,19** m. e **E 195.007,21** m.; deste, segue com azimute de 58°53'49" e distância de 7,04 m., até o vértice **547**, de coordenadas **N 8.275.148,83** m. e **E 195.013,23** m.; deste, segue com azimute de 56°34'34" e distância de 2,00 m., até o vértice **548**, de coordenadas **N 8.275.149,93** m. e **E 195.014,90** m.; deste, segue com azimute de 58°10'04" e distância de 2,02 m., até o vértice **549**, de coordenadas **N 8.275.150,99** m. e **E 195.016,62** m.; deste, segue com azimute de 57°47'02" e distância de 2,02 m., até o vértice **550**, de coordenadas **N 8.275.152,07** m. e **E 195.018,32** m.; deste, segue com azimute de 55°24'41" e distância de 2,00 m., até o vértice **551**, de coordenadas **N 8.275.153,20** m. e **E 195.019,97** m.; deste, segue com azimute de 47°42'01" e distância de 3,95 m., até o vértice **552**, de coordenadas **N 8.275.155,86** m. e **E 195.022,89** m.; deste, segue com azimute de 38°23'19" e distância de 2,41 m., até o vértice **553**, de coordenadas **N 8.275.157,75** m. e **E 195.024,39** m.; deste, segue com azimute de 33°20'32" e distância de 2,45 m., até o vértice **554**, de coordenadas **N 8.275.159,80** m. e **E 195.025,74** m.; deste, segue com azimute de 26°03'47" e distância de 2,35 m., até o vértice **555**, de coordenadas **N 8.275.161,92** m. e **E 195.026,78** m.; deste, segue com azimute de 17°05'23" e distância de 2,06 m., até o vértice **556**, de coordenadas **N 8.275.163,89** m. e **E 195.027,38** m.; deste, segue com azimute de 9°30'23" e distância de 2,11 m., até o vértice **557**, de coordenadas **N 8.275.165,97** m. e **E 195.027,73** m.; deste, segue com azimute de 2°37'22" e distância de 2,13 m., até o vértice **558**, de coordenadas **N 8.275.168,10** m. e **E 195.027,83** m.; deste, segue com azimute de 356°01'10" e distância de 2,13 m., até o vértice **559**, de coordenadas **N 8.275.170,22** m. e **E 195.027,68** m.; deste, segue com azimute de 349°17'37" e distância de 2,09 m., até o vértice **560**, de coordenadas **N 8.275.172,27** m. e **E 195.027,29** m.; deste, segue com azimute de 342°00'56" e distância de 2,02 m., até o vértice **561**, de coordenadas **N 8.275.174,19** m. e **E 195.026,67** m.; deste, segue com azimute de 331°24'31" e distância de 3,13 m., até o vértice **562**, de coordenadas **N 8.275.176,94** m. e **E 195.025,17** m.; deste, segue com azimute de 321°32'08" e distância de 3,30 m., até o vértice **563**, de coordenadas **N 8.275.179,52** m. e **E 195.023,12** m.; deste, segue com azimute de 314°25'09" e distância de 3,22 m., até o vértice **564**, de coordenadas **N 8.275.181,78** m. e **E 195.020,82** m.; deste, segue com azimute de 303°58'18" e distância de 2,02 m., até o vértice **565**, de coordenadas **N 8.275.182,90** m. e **E 195.019,14** m.; deste, segue com azimute de 293°43'41" e distância de 2,10 m., até o vértice **566**, de coordenadas



SPL - PLC 0019/2019 fo.ha 000068

**N 8.275.183,75** m. e **E 195.017,22** m.; deste, segue com azimute de 289°14'38" e distância de 2,14 m., até o vértice **567**, de coordenadas **N 8.275.184,45** m. e **E 195.015,20** m.; deste, segue com azimute de 289°50'05" e distância de 2,12 m., até o vértice **568**, de coordenadas **N 8.275.185,17** m. e **E 195.013,21** m.; deste, segue com azimute de 295°46'24" e distância de 2,02 m., até o vértice **569**, de coordenadas **N 8.275.186,05** m. e **E 195.011,39** m.; deste, segue com azimute de 308°13'38" e distância de 1,91 m., até o vértice **570**, de coordenadas **N 8.275.187,23** m. e **E 195.009,89** m.; deste, segue com azimute de 327°59'24" e distância de 4,06 m., até o vértice **571**, de coordenadas **N 8.275.190,68** m. e **E 195.007,74** m.; deste, segue com azimute de 339°21'55" e distância de 2,16 m., até o vértice **572**, de coordenadas **N 8.275.192,70** m. e **E 195.006,98** m.; deste, segue com azimute de 343°10'37" e distância de 2,21 m., até o vértice **573**, de coordenadas **N 8.275.194,81** m. e **E 195.006,34** m.; deste, segue com azimute de 344°39'13" e distância de 2,21 m., até o vértice **574**, de coordenadas **N 8.275.196,94** m. e **E 195.005,75** m.; deste, segue com azimute de 343°54'13" e distância de 2,15 m., até o vértice **575**, de coordenadas **N 8.275.199,00** m. e **E 195.005,16** m.; deste, segue com azimute de 342°47'09" e distância de 3,29 m., até o vértice **576**, de coordenadas **N 8.275.202,14** m. e **E 195.004,19** m.; deste, segue com azimute de 343°47'39" e distância de 3,34 m., até o vértice **577**, de coordenadas **N 8.275.205,34** m. e **E 195.003,26** m.; deste, segue com azimute de 346°07'48" e distância de 3,33 m., até o vértice **578**, de coordenadas **N 8.275.208,58** m. e **E 195.002,46** m.; deste, segue com azimute de 349°54'02" e distância de 3,29 m., até o vértice **579**, de coordenadas **N 8.275.211,82** m. e **E 195.001,88** m.; deste, segue com azimute de 355°17'11" e distância de 3,22 m., até o vértice **580**, de coordenadas **N 8.275.215,03** m. e **E 195.001,61** m.; deste, segue com azimute de 2°29'45" e distância de 3,16 m., até o vértice **581**, de coordenadas **N 8.275.218,19** m. e **E 195.001,75** m.; deste, segue com azimute de 13°10'01" e distância de 2,74 m., até o vértice **582**, de coordenadas **N 8.275.220,86** m. e **E 195.002,38** m.; deste, segue com azimute de 22°25'09" e distância de 2,84 m., até o vértice **583**, de coordenadas **N 8.275.223,49** m. e **E 195.003,46** m.; deste, segue com azimute de 26°48'10" e distância de 2,92 m., até o vértice **584**, de coordenadas **N 8.275.226,09** m. e **E 195.004,78** m.; deste, segue com azimute de 26°55'14" e distância de 2,93 m., até o vértice **585**, de coordenadas **N 8.275.228,70** m. e **E 195.006,10** m.; deste, segue com azimute de 22°47'22" e distância de 2,85 m., até o vértice **586**, de coordenadas **N 8.275.231,33** m. e **E 195.007,21** m.; deste, segue com azimute de 13°51'25" e distância de 2,75 m., até o vértice **587**, de coordenadas **N 8.275.234,00** m. e **E 195.007,87** m.; deste, segue com azimute de 3°44'28" e distância de 3,25 m., até o vértice **588**, de coordenadas **N**



SPL - PLC 0019/2019 folha 000069

**8.275.237,25** m. e **E 195.008,08** m.; deste, segue com azimute de 357°06'21" e distância de 3,32 m., até o vértice **589**, de coordenadas **N 8.275.240,56** m. e **E 195.007,91** m.; deste, segue com azimute de 351°56'36" e distância de 3,38 m., até o vértice **590**, de coordenadas **N 8.275.243,91** m. e **E 195.007,44** m.; deste, segue com azimute de 348°01'54" e distância de 3,40 m., até o vértice **591**, de coordenadas **N 8.275.247,24** m. e **E 195.006,73** m.; deste, segue com azimute de 345°11'21" e distância de 3,38 m., até o vértice **592**, de coordenadas **N 8.275.250,51** m. e **E 195.005,87** m.; deste, segue com azimute de 343°17'56" e distância de 3,31 m., até o vértice **593**, de coordenadas **N 8.275.253,68** m. e **E 195.004,91** m.; deste, segue com azimute de 339°06'12" e distância de 3,51 m., até o vértice **594**, de coordenadas **N 8.275.256,96** m. e **E 195.003,66** m.; deste, segue com azimute de 333°32'56" e distância de 3,53 m., até o vértice **595**, de coordenadas **N 8.275.260,12** m. e **E 195.002,09** m.; deste, segue com azimute de 330°21'05" e distância de 3,55 m., até o vértice **596**, de coordenadas **N 8.275.263,20** m. e **E 195.000,33** m.; deste, segue com azimute de 329°27'08" e distância de 3,57 m., até o vértice **597**, de coordenadas **N 8.275.266,28** m. e **E 194.998,52** m.; deste, segue com azimute de 330°49'11" e distância de 3,57 m., até o vértice **598**, de coordenadas **N 8.275.269,39** m. e **E 194.996,78** m.; deste, segue com azimute de 334°28'03" e distância de 3,55 m., até o vértice **599**, de coordenadas **N 8.275.272,60** m. e **E 194.995,25** m.; deste, segue com azimute de 336°52'50" e distância de 2,54 m., até o vértice **600**, de coordenadas **N 8.275.274,94** m. e **E 194.994,25** m.; deste, segue com azimute de 337°03'10" e distância de 2,56 m., até o vértice **601**, de coordenadas **N 8.275.277,29** m. e **E 194.993,25** m.; deste, segue com azimute de 338°00'57" e distância de 2,56 m., até o vértice **602**, de coordenadas **N 8.275.279,66** m. e **E 194.992,30** m.; deste, segue com azimute de 339°46'40" e distância de 2,55 m., até o vértice **603**, de coordenadas **N 8.275.282,06** m. e **E 194.991,41** m.; deste, segue com azimute de 342°21'43" e distância de 2,54 m., até o vértice **604**, de coordenadas **N 8.275.284,48** m. e **E 194.990,64** m.; deste, segue com azimute de 345°47'56" e distância de 2,53 m., até o vértice **605**, de coordenadas **N 8.275.286,93** m. e **E 194.990,02** m.; deste, segue com azimute de 348°14'42" e distância de 3,84 m., até o vértice **606**, de coordenadas **N 8.275.290,70** m. e **E 194.989,24** m.; deste, segue com azimute de 352°06'33" e distância de 3,86 m., até o vértice **607**, de coordenadas **N 8.275.294,52** m. e **E 194.988,71** m.; deste, segue com azimute de 0°49'40" e distância de 3,78 m., até o vértice **608**, de coordenadas **N 8.275.298,30** m. e **E 194.988,76** m.; deste, segue com azimute de 11°36'58" e distância de 3,34 m., até o vértice **609**, de coordenadas **N 8.275.301,57** m. e **E 194.989,44** m.; deste, segue com azimute de 18°56'28" e distância de 3,43 m., até o vértice **610**, de coordenadas



SFL - PLC 0019/2019 folha 000070

**N 8.275.304,81** m. e **E 194.990,55** m.; deste, segue com azimute de 24°28'13" e distância de 3,34 m., até o vértice **611**, de coordenadas **N 8.275.307,85** m. e **E 194.991,93** m.; deste, segue com azimute de 31°51'46" e distância de 3,44 m., até o vértice **612**, de coordenadas **N 8.275.310,76** m. e **E 194.993,74** m.; deste, segue com azimute de 40°24'25" e distância de 3,45 m., até o vértice **613**, de coordenadas **N 8.275.313,39** m. e **E 194.995,98** m.; deste, segue com azimute de 46°45'34" e distância de 3,50 m., até o vértice **614**, de coordenadas **N 8.275.315,79** m. e **E 194.998,53** m.; deste, segue com azimute de 51°01'15" e distância de 3,53 m., até o vértice **615**, de coordenadas **N 8.275.318,01** m. e **E 195.001,27** m.; deste, segue com azimute de 53°21'41" e distância de 3,52 m., até o vértice **616**, de coordenadas **N 8.275.320,11** m. e **E 195.004,10** m.; deste, segue com azimute de 53°51'41" e distância de 3,46 m., até o vértice **617**, de coordenadas **N 8.275.322,15** m. e **E 195.006,89** m.; deste, segue com azimute de 62°08'53" e distância de 4,08 m., até o vértice **618**, de coordenadas **N 8.275.324,06** m. e **E 195.010,50** m.; deste, segue com azimute de 72°45'48" e distância de 4,33 m., até o vértice **619**, de coordenadas **N 8.275.325,34** m. e **E 195.014,64** m.; deste, segue com azimute de 75°11'35" e distância de 4,40 m., até o vértice **620**, de coordenadas **N 8.275.326,47** m. e **E 195.018,89** m.; deste, segue com azimute de 70°08'29" e distância de 4,20 m., até o vértice **621**, de coordenadas **N 8.275.327,89** m. e **E 195.022,84** m.; deste, segue com azimute de 55°49'50" e distância de 3,90 m., até o vértice **622**, de coordenadas **N 8.275.330,08** m. e **E 195.026,07** m.; deste, segue com azimute de 31°24'58" e distância de 4,00 m., até o vértice **623**, de coordenadas **N 8.275.333,50** m. e **E 195.028,15** m.; deste, segue com azimute de 10°38'22" e distância de 2,96 m., até o vértice **624**, de coordenadas **N 8.275.336,41** m. e **E 195.028,70** m.; deste, segue com azimute de 4°35'49" e distância de 3,23 m., até o vértice **625**, de coordenadas **N 8.275.339,63** m. e **E 195.028,96** m.; deste, segue com azimute de 9°05'03" e distância de 3,21 m., até o vértice **626**, de coordenadas **N 8.275.342,80** m. e **E 195.029,47** m.; deste, segue com azimute de 16°16'30" e distância de 3,11 m., até o vértice **627**, de coordenadas **N 8.275.345,79** m. e **E 195.030,34** m.; deste, segue com azimute de 20°35'37" e distância de 3,14 m., até o vértice **628**, de coordenadas **N 8.275.348,73** m. e **E 195.031,44** m.; deste, segue com azimute de 27°55'12" e distância de 3,06 m., até o vértice **629**, de coordenadas **N 8.275.351,43** m. e **E 195.032,88** m.; deste, segue com azimute de 35°43'26" e distância de 3,13 m., até o vértice **630**, de coordenadas **N 8.275.353,97** m. e **E 195.034,71** m.; deste, segue com azimute de 43°14'05" e distância de 3,16 m., até o vértice **631**, de coordenadas **N 8.275.356,28** m. e **E 195.036,87** m.; deste, segue com azimute de 54°57'11" e distância de 3,00 m., até o vértice **632**, de coordenadas



SFL - PLC 0019/2019 folha 000071

**N 8.275.358,00** m. e **E 195.039,33** m.; deste, segue com azimute de 73°05'24" e distância de 3,24 m., até o vértice **633**, de coordenadas **N 8.275.358,94** m. e **E 195.042,42** m.; deste, segue com azimute de 85°36'38" e distância de 3,45 m., até o vértice **634**, de coordenadas **N 8.275.359,21** m. e **E 195.045,87** m.; deste, segue com azimute de 89°09'30" e distância de 3,44 m., até o vértice **635**, de coordenadas **N 8.275.359,26** m. e **E 195.049,31** m.; deste, segue com azimute de 90°24'04" e distância de 2,01 m., até o vértice **636**, de coordenadas **N 8.275.359,24** m. e **E 195.051,32** m.; deste, segue com azimute de 93°47'07" e distância de 2,02 m., até o vértice **637**, de coordenadas **N 8.275.359,11** m. e **E 195.053,34** m.; deste, segue com azimute de 95°59'15" e distância de 2,03 m., até o vértice **638**, de coordenadas **N 8.275.358,90** m. e **E 195.055,35** m.; deste, segue com azimute de 97°01'07" e distância de 2,03 m., até o vértice **639**, de coordenadas **N 8.275.358,65** m. e **E 195.057,37** m.; deste, segue com azimute de 96°53'48" e distância de 2,03 m., até o vértice **640**, de coordenadas **N 8.275.358,40** m. e **E 195.059,39** m.; deste, segue com azimute de 95°36'59" e distância de 2,03 m., até o vértice **641**, de coordenadas **N 8.275.358,21** m. e **E 195.061,40** m.; deste, segue com azimute de 97°41'44" e distância de 2,43 m., até o vértice **642**, de coordenadas **N 8.275.357,88** m. e **E 195.063,81** m.; deste, segue com azimute de 101°09'32" e distância de 2,51 m., até o vértice **643**, de coordenadas **N 8.275.357,40** m. e **E 195.066,27** m.; deste, segue com azimute de 101°01'30" e distância de 2,51 m., até o vértice **644**, de coordenadas **N 8.275.356,92** m. e **E 195.068,73** m.; deste, segue com azimute de 97°16'13" e distância de 2,43 m., até o vértice **645**, de coordenadas **N 8.275.356,61** m. e **E 195.071,14** m.; deste, segue com azimute de 89°13'08" e distância de 2,30 m., até o vértice **646**, de coordenadas **N 8.275.356,64** m. e **E 195.073,44** m.; deste, segue com azimute de 75°56'46" e distância de 2,21 m., até o vértice **647**, de coordenadas **N 8.275.357,18** m. e **E 195.075,59** m.; deste, segue com azimute de 60°20'12" e distância de 4,01 m., até o vértice **648**, de coordenadas **N 8.275.359,16** m. e **E 195.079,07** m.; deste, segue com azimute de 51°08'04" e distância de 2,17 m., até o vértice **649**, de coordenadas **N 8.275.360,52** m. e **E 195.080,76** m.; deste, segue com azimute de 44°39'12" e distância de 2,15 m., até o vértice **650**, de coordenadas **N 8.275.362,05** m. e **E 195.082,27** m.; deste, segue com azimute de 36°50'27" e distância de 2,05 m., até o vértice **651**, de coordenadas **N 8.275.363,69** m. e **E 195.083,50** m.; deste, segue com azimute de 26°29'08" e distância de 1,90 m., até o vértice **652**, de coordenadas **N 8.275.365,40** m. e **E 195.084,35** m.; deste, segue com azimute de 7°05'26" e distância de 3,52 m., até o vértice **653**, de coordenadas **N 8.275.368,89** m. e **E 195.084,78** m.; deste, segue com azimute de 352°36'41" e distância de 3,91 m., até o vértice **654**, de coordenadas



SPL - PLC 0019/2019 folha 000072

**N 8.275.372,76** m. e **E 195.084,28** m.; deste, segue com azimute de 349°09'22" e distância de 3,86 m., até o vértice **655**, de coordenadas **N 8.275.376,55** m. e **E 195.083,55** m.; deste, segue com azimute de 343°13'41" e distância de 5,32 m., até o vértice **656**, de coordenadas **N 8.275.381,64** m. e **E 195.082,02** m.; deste, segue com azimute de 332°08'03" e distância de 5,36 m., até o vértice **657**, de coordenadas **N 8.275.386,38** m. e **E 195.079,51** m.; deste, segue com azimute de 326°36'09" e distância de 5,45 m., até o vértice **658**, de coordenadas **N 8.275.390,93** m. e **E 195.076,51** m.; deste, segue com azimute de 326°18'14" e distância de 5,43 m., até o vértice **659**, de coordenadas **N 8.275.395,44** m. e **E 195.073,50** m.; deste, segue com azimute de 331°16'49" e distância de 5,29 m., até o vértice **660**, de coordenadas **N 8.275.400,09** m. e **E 195.070,96** m.; deste, segue com azimute de 342°03'30" e distância de 5,18 m., até o vértice **661**, de coordenadas **N 8.275.405,01** m. e **E 195.069,37** m.; deste, segue com azimute de 351°57'57" e distância de 3,64 m., até o vértice **662**, de coordenadas **N 8.275.408,62** m. e **E 195.068,86** m.; deste, segue com azimute de 356°25'07" e distância de 3,71 m., até o vértice **663**, de coordenadas **N 8.275.412,32** m. e **E 195.068,63** m.; deste, segue com azimute de 359°52'36" e distância de 3,76 m., até o vértice **664**, de coordenadas **N 8.275.416,08** m. e **E 195.068,62** m.; deste, segue com azimute de 2°27'30" e distância de 3,79 m., até o vértice **665**, de coordenadas **N 8.275.419,86** m. e **E 195.068,78** m.; deste, segue com azimute de 4°14'40" e distância de 3,78 m., até o vértice **666**, de coordenadas **N 8.275.423,63** m. e **E 195.069,06** m.; deste, segue com azimute de 5°17'03" e distância de 3,73 m., até o vértice **667**, de coordenadas **N 8.275.427,35** m. e **E 195.069,40** m.; deste, segue com azimute de 6°39'01" e distância de 3,68 m., até o vértice **668**, de coordenadas **N 8.275.431,01** m. e **E 195.069,83** m.; deste, segue com azimute de 8°41'01" e distância de 3,69 m., até o vértice **669**, de coordenadas **N 8.275.434,65** m. e **E 195.070,39** m.; deste, segue com azimute de 10°30'02" e distância de 3,69 m., até o vértice **670**, de coordenadas **N 8.275.438,28** m. e **E 195.071,06** m.; deste, segue com azimute de 12°06'32" e distância de 3,69 m., até o vértice **671**, de coordenadas **N 8.275.441,89** m. e **E 195.071,83** m.; deste, segue com azimute de 13°30'37" e distância de 3,69 m., até o vértice **672**, de coordenadas **N 8.275.445,48** m. e **E 195.072,70** m.; deste, segue com azimute de 14°42'43" e distância de 3,69 m., até o vértice **673**, de coordenadas **N 8.275.449,05** m. e **E 195.073,63** m.; deste, segue com azimute de 16°05'08" e distância de 4,64 m., até o vértice **674**, de coordenadas **N 8.275.453,51** m. e **E 195.074,92** m.; deste, segue com azimute de 17°46'47" e distância de 4,66 m., até o vértice **675**, de coordenadas **N 8.275.457,95** m. e **E 195.076,34** m.; deste, segue com azimute de 19°30'52" e distância de 4,68 m., até o vértice **676**, de coordenadas



SFL - PLC 0019/2019 folha 000073

**N 8.275.462,35** m. e **E 195.077,90** m.; deste, segue com azimute de 21°17'58" e distância de 4,68 m., até o vértice **677**, de coordenadas **N 8.275.466,72** m. e **E 195.079,60** m.; deste, segue com azimute de 23°08'54" e distância de 4,68 m., até o vértice **678**, de coordenadas **N 8.275.471,02** m. e **E 195.081,44** m.; deste, segue com azimute de 25°04'31" e distância de 4,66 m., até o vértice **679**, de coordenadas **N 8.275.475,24** m. e **E 195.083,42** m.; deste, segue com azimute de 29°17'26" e distância de 3,33 m., até o vértice **680**, de coordenadas **N 8.275.478,14** m. e **E 195.085,05** m.; deste, segue com azimute de 33°30'38" e distância de 3,41 m., até o vértice **681**, de coordenadas **N 8.275.480,98** m. e **E 195.086,93** m.; deste, segue com azimute de 34°44'48" e distância de 3,42 m., até o vértice **682**, de coordenadas **N 8.275.483,79** m. e **E 195.088,88** m.; deste, segue com azimute de 33°06'53" e distância de 3,36 m., até o vértice **683**, de coordenadas **N 8.275.486,60** m. e **E 195.090,71** m.; deste, segue com azimute de 10°10'35" e distância de 14,97 m., até o vértice **684**, de coordenadas **N 8.275.501,34** m. e **E 195.093,36** m.; deste, segue com azimute de 346°25'56" e distância de 4,75 m., até o vértice **685**, de coordenadas **N 8.275.505,96** m. e **E 195.092,24** m.; deste, segue com azimute de 342°20'47" e distância de 4,87 m., até o vértice **686**, de coordenadas **N 8.275.510,60** m. e **E 195.090,76** m.; deste, segue com azimute de 341°35'57" e distância de 4,88 m., até o vértice **687**, de coordenadas **N 8.275.515,23** m. e **E 195.089,22** m.; deste, segue com azimute de 344°07'26" e distância de 4,76 m., até o vértice **688**, de coordenadas **N 8.275.519,81** m. e **E 195.087,92** m.; deste, segue com azimute de 346°12'28" e distância de 4,06 m., até o vértice **689**, de coordenadas **N 8.275.523,75** m. e **E 195.086,95** m.; deste, segue com azimute de 345°28'34" e distância de 4,06 m., até o vértice **690**, de coordenadas **N 8.275.527,68** m. e **E 195.085,94** m.; deste, segue com azimute de 344°47'42" e distância de 4,06 m., até o vértice **691**, de coordenadas **N 8.275.531,61** m. e **E 195.084,87** m.; deste, segue com azimute de 344°09'31" e distância de 4,06 m., até o vértice **692**, de coordenadas **N 8.275.535,52** m. e **E 195.083,76** m.; deste, segue com azimute de 343°34'12" e distância de 4,06 m., até o vértice **693**, de coordenadas **N 8.275.539,41** m. e **E 195.082,61** m.; deste, segue com azimute de 343°01'29" e distância de 4,06 m., até o vértice **694**, de coordenadas **N 8.275.543,30** m. e **E 195.081,43** m.; deste, segue com azimute de 341°55'35" e distância de 5,14 m., até o vértice **695**, de coordenadas **N 8.275.548,18** m. e **E 195.079,83** m.; deste, segue com azimute de 340°37'04" e distância de 5,13 m., até o vértice **696**, de coordenadas **N 8.275.553,02** m. e **E 195.078,13** m.; deste, segue com azimute de 339°52'07" e distância de 5,14 m., até o vértice **697**, de coordenadas **N 8.275.557,84** m. e **E 195.076,36** m.; deste, segue com azimute de 339°40'49" e distância de 5,14 m., até o vértice **698**, de coordenadas



SPL - PLC 0019/2019 folha 000074

**N 8.275.562,66** m. e **E 195.074,58 m.;** deste, segue com azimute de 340°03'17" e distância de 5,14 m., até o vértice **699**, de coordenadas **N 8.275.567,49** m. e **E 195.072,82 m.;** deste, segue com azimute de 340°59'12" e distância de 5,14 m., até o vértice **700**, de coordenadas **N 8.275.572,35** m. e **E 195.071,15 m.;** deste, segue com azimute de 342°37'10" e distância de 3,30 m., até o vértice **701**, de coordenadas **N 8.275.575,50** m. e **E 195.070,16 m.;** deste, segue com azimute de 343°52'39" e distância de 3,32 m., até o vértice **702**, de coordenadas **N 8.275.578,69** m. e **E 195.069,24 m.;** deste, segue com azimute de 344°06'47" e distância de 3,32 m., até o vértice **703**, de coordenadas **N 8.275.581,88** m. e **E 195.068,33 m.;** deste, segue com azimute de 343°19'44" e distância de 3,31 m., até o vértice **704**, de coordenadas **N 8.275.585,05** m. e **E 195.067,38 m.;** deste, segue com azimute de 341°30'08" e distância de 3,28 m., até o vértice **705**, de coordenadas **N 8.275.588,16** m. e **E 195.066,34 m.;** deste, segue com azimute de 338°35'35" e distância de 3,25 m., até o vértice **706**, de coordenadas **N 8.275.591,19** m. e **E 195.065,16 m.;** deste, segue com azimute de 332°30'29" e distância de 7,04 m., até o vértice **707**, de coordenadas **N 8.275.597,44** m. e **E 195.061,91 m.;** deste, segue com azimute de 325°39'53" e distância de 7,04 m., até o vértice **708**, de coordenadas **N 8.275.603,25** m. e **E 195.057,94 m.;** deste, segue com azimute de 321°28'42" e distância de 7,09 m., até o vértice **709**, de coordenadas **N 8.275.608,79** m. e **E 195.053,52 m.;** deste, segue com azimute de 319°54'35" e distância de 7,12 m., até o vértice **710**, de coordenadas **N 8.275.614,23** m. e **E 195.048,94 m.;** deste, segue com azimute de 320°54'30" e distância de 7,10 m., até o vértice **711**, de coordenadas **N 8.275.619,74** m. e **E 195.044,47 m.;** deste, segue com azimute de 324°30'28" e distância de 7,05 m., até o vértice **712**, de coordenadas **N 8.275.625,49** m. e **E 195.040,37 m.;** deste, segue com azimute de 327°40'10" e distância de 3,58 m., até o vértice **713**, de coordenadas **N 8.275.628,51** m. e **E 195.038,46 m.;** deste, segue com azimute de 328°26'48" e distância de 3,58 m., até o vértice **714**, de coordenadas **N 8.275.631,55** m. e **E 195.036,59 m.;** deste, segue com azimute de 328°57'53" e distância de 3,58 m., até o vértice **715**, de coordenadas **N 8.275.634,62** m. e **E 195.034,74 m.;** deste, segue com azimute de 329°13'30" e distância de 3,58 m., até o vértice **716**, de coordenadas **N 8.275.637,69** m. e **E 195.032,91 m.;** deste, segue com azimute de 329°13'31" e distância de 1,79 m., até o vértice **717**, de coordenadas **N 8.275.639,23** m. e **E 195.032,00 m.;** deste, segue com azimute de 9°19'42" e distância de 2,44 m., até o vértice **718**, de coordenadas **N 8.275.641,64** m. e **E 195.032,39 m.;** deste, segue com azimute de 12°11'45" e distância de 5,34 m., até o vértice **719**, de coordenadas **N 8.275.646,86** m. e **E 195.033,52 m.;** deste, segue com azimute de 19°54'31" e distância de 4,65 m., até o vértice **720**, de coordenadas



SFL - PLC 0019/2019 folha 000075

**N 8.275.651,23** m. e **E 195.035,10** m.; deste, segue com azimute de 22°24'59" e distância de 4,67 m., até o vértice **721**, de coordenadas **N 8.275.655,55** m. e **E 195.036,89** m.; deste, segue com azimute de 22°09'28" e distância de 4,68 m., até o vértice **722**, de coordenadas **N 8.275.659,88** m. e **E 195.038,65** m.; deste, segue com azimute de 19°56'13" e distância de 7,10 m., até o vértice **723**, de coordenadas **N 8.275.666,56** m. e **E 195.041,07** m.; deste, segue com azimute de 19°32'51" e distância de 7,11 m., até o vértice **724**, de coordenadas **N 8.275.673,26** m. e **E 195.043,45** m.; deste, segue com azimute de 22°05'19" e distância de 7,08 m., até o vértice **725**, de coordenadas **N 8.275.679,82** m. e **E 195.046,11** m.; deste, segue com azimute de 24°44'11" e distância de 7,67 m., até o vértice **726**, de coordenadas **N 8.275.686,79** m. e **E 195.049,32** m.; deste, segue com azimute de 27°28'36" e distância de 7,67 m., até o vértice **727**, de coordenadas **N 8.275.693,59** m. e **E 195.052,86** m.; deste, segue com azimute de 33°18'37" e distância de 7,57 m., até o vértice **728**, de coordenadas **N 8.275.699,92** m. e **E 195.057,02** m.; deste, segue com azimute de 44°30'53" e distância de 8,33 m., até o vértice **729**, de coordenadas **N 8.275.705,86** m. e **E 195.062,86** m.; deste, segue com azimute de 50°52'36" e distância de 8,50 m., até o vértice **730**, de coordenadas **N 8.275.711,23** m. e **E 195.069,45** m.; deste, segue com azimute de 45°49'13" e distância de 8,39 m., até o vértice **731**, de coordenadas **N 8.275.717,07** m. e **E 195.075,47** m.; deste, segue com azimute de 38°10'46" e distância de 7,74 m., até o vértice **732**, de coordenadas **N 8.275.723,15** m. e **E 195.080,25** m.; deste, segue com azimute de 33°33'01" e distância de 7,78 m., até o vértice **733**, de coordenadas **N 8.275.729,64** m. e **E 195.084,55** m.; deste, segue com azimute de 25°07'28" e distância de 7,64 m., até o vértice **734**, de coordenadas **N 8.275.736,56** m. e **E 195.087,80** m.; deste, segue com azimute de 13°10'52" e distância de 5,94 m., até o vértice **735**, de coordenadas **N 8.275.742,35** m. e **E 195.089,15** m.; deste, segue com azimute de 6°45'24" e distância de 6,09 m., até o vértice **736**, de coordenadas **N 8.275.748,39** m. e **E 195.089,87** m.; deste, segue com azimute de 8°54'17" e distância de 6,07 m., até o vértice **737**, de coordenadas **N 8.275.754,39** m. e **E 195.090,81** m.; deste, segue com azimute de 13°07'37" e distância de 5,68 m., até o vértice **738**, de coordenadas **N 8.275.759,92** m. e **E 195.092,10** m.; deste, segue com azimute de 15°09'30" e distância de 5,69 m., até o vértice **739**, de coordenadas **N 8.275.765,41** m. e **E 195.093,59** m.; deste, segue com azimute de 19°27'58" e distância de 5,64 m., até o vértice **740**, de coordenadas **N 8.275.770,72** m. e **E 195.095,46** m.; deste, segue com azimute de 26°02'23" e distância de 6,78 m., até o vértice **741**, de coordenadas **N 8.275.776,81** m. e **E 195.098,44** m.; deste, segue com azimute de 31°16'20" e distância de 6,83 m., até o vértice **742**, de coordenadas



SFL - PLC 0019/2019 folha 000076

**N 8.275.782,65** m. e **E 195.101,99** m.; deste, segue com azimute de 33°37'52" e distância de 6,82 m., até o vértice **743**, de coordenadas **N 8.275.788,33** m. e **E 195.105,76** m.; deste, segue com azimute de 38°01'21" e distância de 8,56 m., até o vértice **744**, de coordenadas **N 8.275.795,08** m. e **E 195.111,04** m.; deste, segue com azimute de 40°59'30" e distância de 8,60 m., até o vértice **745**, de coordenadas **N 8.275.801,57** m. e **E 195.116,68** m.; deste, segue com azimute de 36°03'50" e distância de 8,53 m., até o vértice **746**, de coordenadas **N 8.275.808,47** m. e **E 195.121,70** m.; deste, segue com azimute de 30°36'07" e distância de 6,31 m., até o vértice **747**, de coordenadas **N 8.275.813,90** m. e **E 195.124,92** m.; deste, segue com azimute de 27°02'46" e distância de 6,34 m., até o vértice **748**, de coordenadas **N 8.275.819,55** m. e **E 195.127,80** m.; deste, segue com azimute de 18°49'11" e distância de 6,23 m., até o vértice **749**, de coordenadas **N 8.275.825,45** m. e **E 195.129,81** m.; deste, segue com azimute de 12°15'07" e distância de 4,55 m., até o vértice **750**, de coordenadas **N 8.275.829,89** m. e **E 195.130,78** m.; deste, segue com azimute de 6°30'54" e distância de 4,60 m., até o vértice **751**, de coordenadas **N 8.275.834,46** m. e **E 195.131,30** m.; deste, segue com azimute de 353°28'18" e distância de 4,47 m., até o vértice **752**, de coordenadas **N 8.275.838,91** m. e **E 195.130,79** m.; deste, segue com azimute de 339°03'51" e distância de 2,64 m., até o vértice **753**, de coordenadas **N 8.275.841,37** m. e **E 195.129,85** m.; deste, segue com azimute de 332°05'10" e distância de 2,74 m., até o vértice **754**, de coordenadas **N 8.275.843,79** m. e **E 195.128,57** m.; deste, segue com azimute de 328°52'06" e distância de 2,73 m., até o vértice **755**, de coordenadas **N 8.275.846,13** m. e **E 195.127,16** m.; deste, segue com azimute de 324°25'01" e distância de 4,49 m., até o vértice **756**, de coordenadas **N 8.275.849,78** m. e **E 195.124,54** m.; deste, segue com azimute de 318°54'28" e distância de 4,52 m., até o vértice **757**, de coordenadas **N 8.275.853,18** m. e **E 195.121,57** m.; deste, segue com azimute de 316°51'13" e distância de 4,51 m., até o vértice **758**, de coordenadas **N 8.275.856,48** m. e **E 195.118,49** m.; deste, segue com azimute de 312°43'15" e distância de 4,99 m., até o vértice **759**, de coordenadas **N 8.275.859,86** m. e **E 195.114,82** m.; deste, segue com azimute de 310°30'15" e distância de 5,01 m., até o vértice **760**, de coordenadas **N 8.275.863,12** m. e **E 195.111,01** m.; deste, segue com azimute de 317°39'01" e distância de 4,80 m., até o vértice **761**, de coordenadas **N 8.275.866,66** m. e **E 195.107,78** m.; deste, segue com azimute de 333°31'43" e distância de 7,92 m., até o vértice **762**, de coordenadas **N 8.275.873,75** m. e **E 195.104,25** m.; deste, segue com azimute de 346°27'20" e distância de 8,15 m., até o vértice **763**, de coordenadas **N 8.275.881,67** m. e **E 195.102,34** m.; deste, segue com azimute de 353°32'39" e distância de 8,13 m., até o vértice **764**, de coordenadas



SFL - PLC 0019/2019 folha 000077

**N 8.275.889,75** m. e **E 195.101,43** m.; deste, segue com azimute de 0°38'49" e distância de 4,71 m., até o vértice **765**, de coordenadas **N 8.275.894,46** m. e **E 195.101,48** m.; deste, segue com azimute de 4°42'23" e distância de 4,78 m., até o vértice **766**, de coordenadas **N 8.275.899,22** m. e **E 195.101,87** m.; deste, segue com azimute de 359°47'37" e distância de 4,67 m., até o vértice **767**, de coordenadas **N 8.275.903,89** m. e **E 195.101,86** m.; deste, segue com azimute de 348°08'40" e distância de 9,05 m., até o vértice **768**, de coordenadas **N 8.275.912,74** m. e **E 195.100,00** m.; deste, segue com azimute de 338°00'13" e distância de 9,15 m., até o vértice **769**, de coordenadas **N 8.275.921,23** m. e **E 195.096,57** m.; deste, segue com azimute de 329°47'31" e distância de 9,00 m., até o vértice **770**, de coordenadas **N 8.275.929,00** m. e **E 195.092,04** m.; deste, segue com azimute de 318°28'32" e distância de 7,77 m., até o vértice **771**, de coordenadas **N 8.275.934,82** m. e **E 195.086,89** m.; deste, segue com azimute de 311°23'09" e distância de 7,99 m., até o vértice **772**, de coordenadas **N 8.275.940,11** m. e **E 195.080,90** m.; deste, segue com azimute de 315°35'28" e distância de 7,94 m., até o vértice **773**, de coordenadas **N 8.275.945,78** m. e **E 195.075,34** m.; deste, segue com azimute de 322°14'40" e distância de 4,41 m., até o vértice **774**, de coordenadas **N 8.275.949,27** m. e **E 195.072,64** m.; deste, segue com azimute de 324°34'33" e distância de 4,43 m., até o vértice **775**, de coordenadas **N 8.275.952,87** m. e **E 195.070,07** m.; deste, segue com azimute de 328°17'19" e distância de 4,39 m., até o vértice **776**, de coordenadas **N 8.275.956,61** m. e **E 195.067,76** m.; deste, segue com azimute de 336°58'00" e distância de 7,00 m., até o vértice **777**, de coordenadas **N 8.275.963,05** m. e **E 195.065,02** m.; deste, segue com azimute de 343°00'07" e distância de 7,08 m., até o vértice **778**, de coordenadas **N 8.275.969,82** m. e **E 195.062,95** m.; deste, segue com azimute de 339°21'42" e distância de 7,02 m., até o vértice **779**, de coordenadas **N 8.275.976,40** m. e **E 195.060,48** m.; deste, segue com azimute de 331°35'43" e distância de 7,42 m., até o vértice **780**, de coordenadas **N 8.275.982,92** m. e **E 195.056,95** m.; deste, segue com azimute de 327°42'34" e distância de 7,45 m., até o vértice **781**, de coordenadas **N 8.275.989,22** m. e **E 195.052,97** m.; deste, segue com azimute de 325°55'10" e distância de 7,45 m., até o vértice **782**, de coordenadas **N 8.275.995,39** m. e **E 195.048,80** m.; deste, segue com azimute de 323°56'08" e distância de 6,52 m., até o vértice **783**, de coordenadas **N 8.276.000,66** m. e **E 195.044,96** m.; deste, segue com azimute de 322°21'48" e distância de 6,53 m., até o vértice **784**, de coordenadas **N 8.276.005,82** m. e **E 195.040,98** m.; deste, segue com azimute de 323°44'42" e distância de 6,52 m., até o vértice **785**, de coordenadas **N 8.276.011,08** m. e **E 195.037,12** m.; deste, segue com azimute de 325°17'22" e distância de 8,85 m., até o vértice **786**, de coordenadas



SFL - PLC 0019/2019 folha 000078

**N 8.276.018,35** m. e **E 195.032,09** m.; deste, segue com azimute de 327°09'10" e distância de 8,84 m., até o vértice **787**, de coordenadas **N 8.276.025,78** m. e **E 195.027,29** m.; deste, segue com azimute de 332°18'31" e distância de 8,75 m., até o vértice **788**, de coordenadas **N 8.276.033,52** m. e **E 195.023,22** m.; deste, segue com azimute de 342°56'01" e distância de 9,46 m., até o vértice **789**, de coordenadas **N 8.276.042,57** m. e **E 195.020,45** m.; deste, segue com azimute de 348°28'41" e distância de 9,61 m., até o vértice **790**, de coordenadas **N 8.276.051,98** m. e **E 195.018,53** m.; deste, segue com azimute de 342°04'17" e distância de 9,50 m., até o vértice **791**, de coordenadas **N 8.276.061,03** m. e **E 195.015,60** m.; deste, segue com azimute de 332°13'35" e distância de 5,00 m., até o vértice **792**, de coordenadas **N 8.276.065,45** m. e **E 195.013,27** m.; deste, segue com azimute de 328°55'32" e distância de 5,05 m., até o vértice **793**, de coordenadas **N 8.276.069,77** m. e **E 195.010,67** m.; deste, segue com azimute de 328°17'44" e distância de 5,04 m., até o vértice **794**, de coordenadas **N 8.276.074,06** m. e **E 195.008,02** m.; deste, segue com azimute de 327°03'53" e distância de 4,60 m., até o vértice **795**, de coordenadas **N 8.276.077,93** m. e **E 195.005,51** m.; deste, segue com azimute de 326°29'34" e distância de 4,60 m., até o vértice **796**, de coordenadas **N 8.276.081,77** m. e **E 195.002,97** m.; deste, segue com azimute de 330°28'21" e distância de 4,51 m., até o vértice **797**, de coordenadas **N 8.276.085,69** m. e **E 195.000,75** m.; deste, segue com azimute de 344°43'51" e distância de 12,19 m., até o vértice **798**, de coordenadas **N 8.276.097,45** m. e **E 194.997,54** m.; deste, segue com azimute de 356°47'51" e distância de 12,42 m., até o vértice **799**, de coordenadas **N 8.276.109,85** m. e **E 194.996,85** m.; deste, segue com azimute de 354°59'47" e distância de 12,37 m., até o vértice **800**, de coordenadas **N 8.276.122,18** m. e **E 194.995,77** m.; deste, segue com azimute de 350°50'09" e distância de 12,50 m., até o vértice **801**, de coordenadas **N 8.276.134,51** m. e **E 194.993,78** m.; deste, segue com azimute de 348°59'03" e distância de 12,49 m., até o vértice **802**, de coordenadas **N 8.276.146,77** m. e **E 194.991,39** m.; deste, segue com azimute de 340°12'25" e distância de 12,46 m., até o vértice **803**, de coordenadas **N 8.276.158,50** m. e **E 194.987,17** m.; deste, segue com azimute de 329°27'46" e distância de 3,01 m., até o vértice **804**, de coordenadas **N 8.276.161,09** m. e **E 194.985,64** m.; deste, segue com azimute de 327°31'40" e distância de 3,04 m., até o vértice **805**, de coordenadas **N 8.276.163,66** m. e **E 194.984,01** m.; deste, segue com azimute de 334°54'14" e distância de 2,98 m., até o vértice **806**, de coordenadas **N 8.276.166,35** m. e **E 194.982,74** m.; deste, segue com azimute de 345°02'34" e distância de 2,76 m., até o vértice **807**, de coordenadas **N 8.276.169,02** m. e **E 194.982,03** m.; deste, segue com azimute de 351°44'13" e distância de 2,80 m., até o vértice **808**, de coordenadas



SPL - PLC 0019/2019 folha 000079

**N 8.276.171,79** m. e **E 194.981,63 m.;** deste, segue com azimute de 359°44'52" e distância de 2,75 m., até o vértice **809**, de coordenadas **N 8.276.174,53** m. e **E 194.981,62 m.;** deste, segue com azimute de 7°04'20" e distância de 2,30 m., até o vértice **810**, de coordenadas **N 8.276.176,81** m. e **E 194.981,90 m.;** deste, segue com azimute de 13°35'17" e distância de 2,33 m., até o vértice **811**, de coordenadas **N 8.276.179,08** m. e **E 194.982,45 m.;** deste, segue com azimute de 23°04'44" e distância de 2,25 m., até o vértice **812**, de coordenadas **N 8.276.181,15** m. e **E 194.983,33 m.;** deste, segue com azimute de 38°00'43" e distância de 2,43 m., até o vértice **813**, de coordenadas **N 8.276.183,06** m. e **E 194.984,83 m.;** deste, segue com azimute de 48°34'33" e distância de 2,53 m., até o vértice **814**, de coordenadas **N 8.276.184,73** m. e **E 194.986,72 m.;** deste, segue com azimute de 50°09'47" e distância de 2,53 m., até o vértice **815**, de coordenadas **N 8.276.186,36** m. e **E 194.988,67 m.;** deste, segue com azimute de 52°08'41" e distância de 2,60 m., até o vértice **816**, de coordenadas **N 8.276.187,95** m. e **E 194.990,72 m.;** deste, segue com azimute de 53°47'26" e distância de 2,61 m., até o vértice **817**, de coordenadas **N 8.276.189,49** m. e **E 194.992,83 m.;** deste, segue com azimute de 45°47'06" e distância de 2,52 m., até o vértice **818**, de coordenadas **N 8.276.191,25** m. e **E 194.994,63 m.;** deste, segue com azimute de 32°08'30" e distância de 3,01 m., até o vértice **819**, de coordenadas **N 8.276.193,80** m. e **E 194.996,23 m.;** deste, segue com azimute de 22°34'49" e distância de 3,09 m., até o vértice **820**, de coordenadas **N 8.276.196,66** m. e **E 194.997,42 m.;** deste, segue com azimute de 15°13'40" e distância de 2,97 m., até o vértice **821**, de coordenadas **N 8.276.199,52** m. e **E 194.998,20 m.;** deste, segue com azimute de 2°45'22" e distância de 5,31 m., até o vértice **822**, de coordenadas **N 8.276.204,82** m. e **E 194.998,46 m.;** deste, segue com azimute de 348°00'16" e distância de 5,46 m., até o vértice **823**, de coordenadas **N 8.276.210,16** m. e **E 194.997,32 m.;** deste, segue com azimute de 336°25'09" e distância de 5,39 m., até o vértice **824**, de coordenadas **N 8.276.215,10** m. e **E 194.995,16 m.;** deste, segue com azimute de 319°48'31" e distância de 3,31 m., até o vértice **825**, de coordenadas **N 8.276.217,63** m. e **E 194.993,03 m.;** deste, segue com azimute de 313°41'49" e distância de 3,45 m., até o vértice **826**, de coordenadas **N 8.276.220,02** m. e **E 194.990,53 m.;** deste, segue com azimute de 329°51'05" e distância de 3,04 m., até o vértice **827**, de coordenadas **N 8.276.222,65** m. e **E 194.989,00 m.;** deste, segue com azimute de 355°14'16" e distância de 3,08 m., até o vértice **828**, de coordenadas **N 8.276.225,72** m. e **E 194.988,75 m.;** deste, segue com azimute de 9°39'42" e distância de 3,32 m., até o vértice **829**, de coordenadas **N 8.276.229,00** m. e **E 194.989,31 m.;** deste, segue com azimute de 34°48'41" e distância de 3,01 m., até o vértice **830**, de coordenadas



SPL - PLC 0019/2019 folha 000080

**N 8.276.231,47** m. e **E 194.991,02** m.; deste, segue com azimute de 70°36'58" e distância de 3,67 m., até o vértice **831**, de coordenadas **N 8.276.232,69** m. e **E 194.994,49** m.; deste, segue com azimute de 74°22'57" e distância de 1,96 m., até o vértice **832**, de coordenadas **N 8.276.233,22** m. e **E 194.996,37** m.; deste, segue com azimute de 66°44'16" e distância de 4,52 m., até o vértice **833**, de coordenadas **N 8.276.235,00** m. e **E 195.000,52** m.; deste, segue com azimute de 64°12'40" e distância de 4,53 m., até o vértice **834**, de coordenadas **N 8.276.236,97** m. e **E 195.004,60** m.; deste, segue com azimute de 68°44'55" e distância de 4,50 m., até o vértice **835**, de coordenadas **N 8.276.238,60** m. e **E 195.008,79** m.; deste, segue com azimute de 84°53'49" e distância de 3,34 m., até o vértice **836**, de coordenadas **N 8.276.238,90** m. e **E 195.012,12** m.; deste, segue com azimute de 87°34'02" e distância de 3,39 m., até o vértice **837**, de coordenadas **N 8.276.239,04** m. e **E 195.015,50** m.; deste, segue com azimute de 56°54'42" e distância de 2,69 m., até o vértice **838**, de coordenadas **N 8.276.240,51** m. e **E 195.017,76** m.; deste, segue com azimute de 9°29'04" e distância de 4,03 m., até o vértice **839**, de coordenadas **N 8.276.244,49** m. e **E 195.018,43** m.; deste, segue com azimute de 358°39'12" e distância de 2,17 m., até o vértice **840**, de coordenadas **N 8.276.246,66** m. e **E 195.018,37** m.; deste, segue com azimute de 349°40'05" e distância de 2,30 m., até o vértice **841**, de coordenadas **N 8.276.248,92** m. e **E 195.017,96** m.; deste, segue com azimute de 343°07'02" e distância de 2,34 m., até o vértice **842**, de coordenadas **N 8.276.251,16** m. e **E 195.017,28** m.; deste, segue com azimute de 347°30'38" e distância de 2,32 m., até o vértice **843**, de coordenadas **N 8.276.253,43** m. e **E 195.016,78** m.; deste, segue com azimute de 353°56'53" e distância de 3,23 m., até o vértice **844**, de coordenadas **N 8.276.256,64** m. e **E 195.016,44** m.; deste, segue com azimute de 6°23'42" e distância de 1,52 m., até o vértice **845**, de coordenadas **N 8.276.258,16** m. e **E 195.016,61** m.; deste, segue com azimute de 27°31'58" e distância de 3,90 m., até o vértice **846**, de coordenadas **N 8.276.261,61** m. e **E 195.018,41** m.; deste, segue com azimute de 57°10'03" e distância de 1,78 m., até o vértice **847**, de coordenadas **N 8.276.262,57** m. e **E 195.019,90** m.; deste, segue com azimute de 92°48'17" e distância de 2,62 m., até o vértice **848**, de coordenadas **N 8.276.262,45** m. e **E 195.022,52** m.; deste, segue com azimute de 104°13'32" e distância de 1,36 m., até o vértice **849**, de coordenadas **N 8.276.262,11** m. e **E 195.023,84** m.; deste, segue com azimute de 116°09'50" e distância de 2,57 m., até o vértice **850**, de coordenadas **N 8.276.260,98** m. e **E 195.026,14** m.; deste, segue com azimute de 129°22'34" e distância de 2,63 m., até o vértice **851**, de coordenadas **N 8.276.259,31** m. e **E 195.028,18** m.; deste, segue com azimute de 131°34'12" e distância de 2,64 m., até o vértice **852**, de coordenadas



SPL - PLC 0019/2019 folha 000081

**N 8.276.257,56** m. e **E 195.030,15** m.; deste, segue com azimute de 136°39'36" e distância de 2,35 m., até o vértice **853**, de coordenadas **N 8.276.255,85** m. e **E 195.031,77** m.; deste, segue com azimute de 138°29'32" e distância de 2,36 m., até o vértice **854**, de coordenadas **N 8.276.254,08** m. e **E 195.033,33** m.; deste, segue com azimute de 119°54'35" e distância de 2,16 m., até o vértice **855**, de coordenadas **N 8.276.253,00** m. e **E 195.035,21** m.; deste, segue com azimute de 88°18'09" e distância de 3,01 m., até o vértice **856**, de coordenadas **N 8.276.253,09** m. e **E 195.038,22** m.; deste, segue com azimute de 81°20'09" e distância de 1,57 m., até o vértice **857**, de coordenadas **N 8.276.253,33** m. e **E 195.039,77** m.; deste, segue com azimute de 72°26'51" e distância de 4,44 m., até o vértice **858**, de coordenadas **N 8.276.254,67** m. e **E 195.044,01** m.; deste, segue com azimute de 66°13'48" e distância de 4,50 m., até o vértice **859**, de coordenadas **N 8.276.256,48** m. e **E 195.048,12** m.; deste, segue com azimute de 81°09'25" e distância de 4,29 m., até o vértice **860**, de coordenadas **N 8.276.257,14** m. e **E 195.052,36** m.; deste, segue com azimute de 102°10'46" e distância de 2,18 m., até o vértice **861**, de coordenadas **N 8.276.256,68** m. e **E 195.054,49** m.; deste, segue com azimute de 108°38'41" e distância de 2,28 m., até o vértice **862**, de coordenadas **N 8.276.255,95** m. e **E 195.056,65** m.; deste, segue com azimute de 107°33'27" e distância de 2,28 m., até o vértice **863**, de coordenadas **N 8.276.255,26** m. e **E 195.058,82** m.; deste, segue com azimute de 108°30'07" e distância de 4,02 m., até o vértice **864**, de coordenadas **N 8.276.253,98** m. e **E 195.062,64** m.; deste, segue com azimute de 106°39'40" e distância de 4,01 m., até o vértice **865**, de coordenadas **N 8.276.252,83** m. e **E 195.066,48** m.; deste, segue com azimute de 88°36'23" e distância de 3,69 m., até o vértice **866**, de coordenadas **N 8.276.252,92** m. e **E 195.070,17** m.; deste, segue com azimute de 66°12'22" e distância de 2,65 m., até o vértice **867**, de coordenadas **N 8.276.253,99** m. e **E 195.072,59** m.; deste, segue com azimute de 55°38'07" e distância de 2,85 m., até o vértice **868**, de coordenadas **N 8.276.255,60** m. e **E 195.074,95** m.; deste, segue com azimute de 46°06'28" e distância de 2,75 m., até o vértice **869**, de coordenadas **N 8.276.257,51** m. e **E 195.076,93** m.; deste, segue com azimute de 32°14'17" e distância de 2,93 m., até o vértice **870**, de coordenadas **N 8.276.259,99** m. e **E 195.078,50** m.; deste, segue com azimute de 21°20'40" e distância de 3,05 m., até o vértice **871**, de coordenadas **N 8.276.262,83** m. e **E 195.079,61** m.; deste, segue com azimute de 17°46'42" e distância de 3,03 m., até o vértice **872**, de coordenadas **N 8.276.265,72** m. e **E 195.080,53** m.; deste, segue com azimute de 11°12'37" e distância de 6,41 m., até o vértice **873**, de coordenadas **N 8.276.272,01** m. e **E 195.081,78** m.; deste, segue com azimute de 3°01'57" e distância de 6,48 m., até o vértice **874**, de coordenadas **N**



SFL - PLC 0019/2019 folha 000082

**8.276.278,48** m. e **E 195.082,12** m.; deste, segue com azimute de 3°32'33" e distância de 6,48 m., até o vértice **875**, de coordenadas **N 8.276.284,95** m. e **E 195.082,52** m.; deste, segue com azimute de 10°58'37" e distância de 5,68 m., até o vértice **876**, de coordenadas **N 8.276.290,52** m. e **E 195.083,60** m.; deste, segue com azimute de 11°25'05" e distância de 5,68 m., até o vértice **877**, de coordenadas **N 8.276.296,10** m. e **E 195.084,73** m.; deste, segue com azimute de 359°27'52" e distância de 5,56 m., até o vértice **878**, de coordenadas **N 8.276.301,66** m. e **E 195.084,68** m.; deste, segue com azimute de 343°42'14" e distância de 2,39 m., até o vértice **879**, de coordenadas **N 8.276.303,95** m. e **E 195.084,01** m.; deste, segue com azimute de 339°07'10" e distância de 2,45 m., até o vértice **880**, de coordenadas **N 8.276.306,24** m. e **E 195.083,13** m.; deste, segue com azimute de 343°48'39" e distância de 2,44 m., até o vértice **881**, de coordenadas **N 8.276.308,59** m. e **E 195.082,45** m.; deste, segue com azimute de 351°00'25" e distância de 2,83 m., até o vértice **882**, de coordenadas **N 8.276.311,38** m. e **E 195.082,01** m.; deste, segue com azimute de 358°07'04" e distância de 1,31 m., até o vértice **883**, de coordenadas **N 8.276.312,69** m. e **E 195.081,97** m.; deste, segue com azimute de 24°23'16" e distância de 3,66 m., até o vértice **884**, de coordenadas **N 8.276.316,02** m. e **E 195.083,48** m.; deste, segue com azimute de 54°58'15" e distância de 3,87 m., até o vértice **885**, de coordenadas **N 8.276.318,24** m. e **E 195.086,65** m.; deste, segue com azimute de 63°15'59" e distância de 3,80 m., até o vértice **886**, de coordenadas **N 8.276.319,95** m. e **E 195.090,04** m.; deste, segue com azimute de 73°24'14" e distância de 4,77 m., até o vértice **887**, de coordenadas **N 8.276.321,31** m. e **E 195.094,61** m.; deste, segue com azimute de 85°46'03" e distância de 5,01 m., até o vértice **888**, de coordenadas **N 8.276.321,68** m. e **E 195.099,61** m.; deste, segue com azimute de 82°17'26" e distância de 4,97 m., até o vértice **889**, de coordenadas **N 8.276.322,35** m. e **E 195.104,53** m.; deste, segue com azimute de 74°07'54" e distância de 4,29 m., até o vértice **890**, de coordenadas **N 8.276.323,52** m. e **E 195.108,65** m.; deste, segue com azimute de 71°00'54" e distância de 4,30 m., até o vértice **891**, de coordenadas **N 8.276.324,92** m. e **E 195.112,72** m.; deste, segue com azimute de 66°26'01" e distância de 4,29 m., até o vértice **892**, de coordenadas **N 8.276.326,63** m. e **E 195.116,65** m.; deste, segue com azimute de 53°53'21" e distância de 2,94 m., até o vértice **893**, de coordenadas **N 8.276.328,36** m. e **E 195.119,02** m.; deste, segue com azimute de 51°00'36" e distância de 2,97 m., até o vértice **894**, de coordenadas **N 8.276.330,23** m. e **E 195.121,33** m.; deste, segue com azimute de 72°56'18" e distância de 2,84 m., até o vértice **895**, de coordenadas **N 8.276.331,07** m. e **E 195.124,04** m.; deste, segue com azimute de 99°19'40" e distância de 2,88 m., até o vértice **896**, de coordenadas



SPL - PLC 0019/2019 folha 000083

**N 8.276.330,60** m. e **E 195.126,88** m.; deste, segue com azimute de 138°25'19" e distância de 2,49 m., até o vértice **897**, de coordenadas **N 8.276.328,74** m. e **E 195.128,53** m.; deste, segue com azimute de 153°30'59" e distância de 1,26 m., até o vértice **898**, de coordenadas **N 8.276.327,61** m. e **E 195.129,09** m.; deste, segue com azimute de 169°36'23" e distância de 2,06 m., até o vértice **899**, de coordenadas **N 8.276.325,59** m. e **E 195.129,46** m.; deste, segue com azimute de 183°44'59" e distância de 2,17 m., até o vértice **900**, de coordenadas **N 8.276.323,43** m. e **E 195.129,32** m.; deste, segue com azimute de 177°10'13" e distância de 2,12 m., até o vértice **901**, de coordenadas **N 8.276.321,30** m. e **E 195.129,43** m.; deste, segue com azimute de 162°51'01" e distância de 2,61 m., até o vértice **902**, de coordenadas **N 8.276.318,81** m. e **E 195.130,20** m.; deste, segue com azimute de 156°02'25" e distância de 1,24 m., até o vértice **903**, de coordenadas **N 8.276.317,68** m. e **E 195.130,70** m.; deste, segue com azimute de 137°43'55" e distância de 4,55 m., até o vértice **904**, de coordenadas **N 8.276.314,31** m. e **E 195.133,76** m.; deste, segue com azimute de 112°38'27" e distância de 4,51 m., até o vértice **905**, de coordenadas **N 8.276.312,58** m. e **E 195.137,92** m.; deste, segue com azimute de 86°32'34" e distância de 3,99 m., até o vértice **906**, de coordenadas **N 8.276.312,82** m. e **E 195.141,90** m.; deste, segue com azimute de 56°14'12" e distância de 2,75 m., até o vértice **907**, de coordenadas **N 8.276.314,35** m. e **E 195.144,19** m.; deste, segue com azimute de 42°51'00" e distância de 3,25 m., até o vértice **908**, de coordenadas **N 8.276.316,73** m. e **E 195.146,40** m.; deste, segue com azimute de 37°06'53" e distância de 3,22 m., até o vértice **909**, de coordenadas **N 8.276.319,30** m. e **E 195.148,35** m.; deste, segue com azimute de 24°43'43" e distância de 3,66 m., até o vértice **910**, de coordenadas **N 8.276.322,62** m. e **E 195.149,87** m.; deste, segue com azimute de 18°29'36" e distância de 3,75 m., até o vértice **911**, de coordenadas **N 8.276.326,17** m. e **E 195.151,06** m.; deste, segue com azimute de 34°21'22" e distância de 2,95 m., até o vértice **912**, de coordenadas **N 8.276.328,61** m. e **E 195.152,73** m.; deste, segue com azimute de 84°08'54" e distância de 3,36 m., até o vértice **913**, de coordenadas **N 8.276.328,96** m. e **E 195.156,07** m.; deste, segue com azimute de 108°55'06" e distância de 4,32 m., até o vértice **914**, de coordenadas **N 8.276.327,55** m. e **E 195.160,16** m.; deste, segue com azimute de 109°24'06" e distância de 4,33 m., até o vértice **915**, de coordenadas **N 8.276.326,12** m. e **E 195.164,24** m.; deste, segue com azimute de 107°32'46" e distância de 5,66 m., até o vértice **916**, de coordenadas **N 8.276.324,41** m. e **E 195.169,64** m.; deste, segue com azimute de 108°16'46" e distância de 5,67 m., até o vértice **917**, de coordenadas **N 8.276.322,63** m. e **E 195.175,03** m.; deste, segue com azimute de 96°12'50" e distância de 5,34 m., até o vértice **918**, de coordenadas



SPL - PLC 0019/2019 folha 000084

**N 8.276.322,05** m. e **E 195.180,33** m.; deste, segue com azimute de 71°49'53" e distância de 5,09 m., até o vértice **919**, de coordenadas **N 8.276.323,64** m. e **E 195.185,17** m.; deste, segue com azimute de 60°57'33" e distância de 5,45 m., até o vértice **920**, de coordenadas **N 8.276.326,28** m. e **E 195.189,93** m.; deste, segue com azimute de 69°49'24" e distância de 5,20 m., até o vértice **921**, de coordenadas **N 8.276.328,08** m. e **E 195.194,82** m.; deste, segue com azimute de 85°36'03" e distância de 5,32 m., até o vértice **922**, de coordenadas **N 8.276.328,49** m. e **E 195.200,12** m.; deste, segue com azimute de 94°53'29" e distância de 5,44 m., até o vértice **923**, de coordenadas **N 8.276.328,02** m. e **E 195.205,54** m.; deste, segue com azimute de 108°01'43" e distância de 5,30 m., até o vértice **924**, de coordenadas **N 8.276.326,38** m. e **E 195.210,58** m.; deste, segue com azimute de 125°55'50" e distância de 2,92 m., até o vértice **925**, de coordenadas **N 8.276.324,67** m. e **E 195.212,95** m.; deste, segue com azimute de 132°25'26" e distância de 3,06 m., até o vértice **926**, de coordenadas **N 8.276.322,61** m. e **E 195.215,21** m.; deste, segue com azimute de 122°14'22" e distância de 2,94 m., até o vértice **927**, de coordenadas **N 8.276.321,04** m. e **E 195.217,69** m.; deste, segue com azimute de 106°47'15" e distância de 2,52 m., até o vértice **928**, de coordenadas **N 8.276.320,31** m. e **E 195.220,11** m.; deste, segue com azimute de 99°02'36" e distância de 2,60 m., até o vértice **929**, de coordenadas **N 8.276.319,90** m. e **E 195.222,67** m.; deste, segue com azimute de 88°47'52" e distância de 2,28 m., até o vértice **930**, de coordenadas **N 8.276.319,95** m. e **E 195.224,95** m.; deste, segue com azimute de 58°41'43" e distância de 3,81 m., até o vértice **931**, de coordenadas **N 8.276.321,93** m. e **E 195.228,21** m.; deste, segue com azimute de 30°13'56" e distância de 4,33 m., até o vértice **932**, de coordenadas **N 8.276.325,67** m. e **E 195.230,39** m.; deste, segue com azimute de 19°49'36" e distância de 4,33 m., até o vértice **933**, de coordenadas **N 8.276.329,75** m. e **E 195.231,86** m.; deste, segue com azimute de 14°44'40" e distância de 2,34 m., até o vértice **934**, de coordenadas **N 8.276.332,01** m. e **E 195.232,46** m.; deste, segue com azimute de 8°45'23" e distância de 2,40 m., até o vértice **935**, de coordenadas **N 8.276.334,38** m. e **E 195.232,82** m.; deste, segue com azimute de 3°01'02" e distância de 2,31 m., até o vértice **936**, de coordenadas **N 8.276.336,69** m. e **E 195.232,94** m.; deste, segue com azimute de 341°39'52" e distância de 5,34 m., até o vértice **937**, de coordenadas **N 8.276.341,76** m. e **E 195.231,26** m.; deste, segue com azimute de 325°15'04" e distância de 5,65 m., até o vértice **938**, de coordenadas **N 8.276.346,40** m. e **E 195.228,04** m.; deste, segue com azimute de 337°48'22" e distância de 5,51 m., até o vértice **939**, de coordenadas **N 8.276.351,51** m. e **E 195.225,96** m.; deste, segue com azimute de 354°48'54" e distância de 2,13 m., até o vértice **940**, de coordenadas



SPL - PLC 0019/2019 folha 000065

**N 8.276.353,63** m. e **E 195.225,77** m.; deste, segue com azimute de 1°26'10" e distância de 1,03 m., até o vértice **941**, de coordenadas **N 8.276.354,66** m. e **E 195.225,79** m.; deste, segue com azimute de 16°18'38" e distância de 2,40 m., até o vértice **942**, de coordenadas **N 8.276.356,97** m. e **E 195.226,47** m.; deste, segue com azimute de 31°25'43" e distância de 2,46 m., até o vértice **943**, de coordenadas **N 8.276.359,07** m. e **E 195.227,75** m.; deste, segue com azimute de 37°57'15" e distância de 2,43 m., até o vértice **944**, de coordenadas **N 8.276.360,98** m. e **E 195.229,24** m.; deste, segue com azimute de 45°30'13" e distância de 2,92 m., até o vértice **945**, de coordenadas **N 8.276.363,03** m. e **E 195.231,33** m.; deste, segue com azimute de 53°47'32" e distância de 2,98 m., até o vértice **946**, de coordenadas **N 8.276.364,79** m. e **E 195.233,73** m.; deste, segue com azimute de 54°34'37" e distância de 2,98 m., até o vértice **947**, de coordenadas **N 8.276.366,52** m. e **E 195.236,16** m.; deste, segue com azimute de 52°44'09" e distância de 6,48 m., até o vértice **948**, de coordenadas **N 8.276.370,44** m. e **E 195.241,32** m.; deste, segue com azimute de 54°27'41" e distância de 6,48 m., até o vértice **949**, de coordenadas **N 8.276.374,21** m. e **E 195.246,59** m.; deste, segue com azimute de 58°09'43" e distância de 6,44 m., até o vértice **950**, de coordenadas **N 8.276.377,60** m. e **E 195.252,06** m.; deste, segue com azimute de 61°44'25" e distância de 7,17 m., até o vértice **951**, de coordenadas **N 8.276.381,00** m. e **E 195.258,38** m.; deste, segue com azimute de 65°49'18" e distância de 7,20 m., até o vértice **952**, de coordenadas **N 8.276.383,95** m. e **E 195.264,94** m.; deste, segue com azimute de 73°07'06" e distância de 7,11 m., até o vértice **953**, de coordenadas **N 8.276.386,01** m. e **E 195.271,75** m.; deste, segue com azimute de 82°19'36" e distância de 5,11 m., até o vértice **954**, de coordenadas **N 8.276.386,69** m. e **E 195.276,81** m.; deste, segue com azimute de 87°28'39" e distância de 5,20 m., até o vértice **955**, de coordenadas **N 8.276.386,92** m. e **E 195.282,00** m.; deste, segue com azimute de 87°28'39" e distância de 5,20 m., até o vértice **956**, de coordenadas **N 8.276.387,15** m. e **E 195.287,20** m.; deste, segue com azimute de 50°00'27" e distância de 18,02 m., até o vértice **957**, de coordenadas **N 8.276.398,73** m. e **E 195.301,00** m.; deste, segue com azimute de 91°26'18" e distância de 6,05 m., até o vértice **958**, de coordenadas **N 8.276.398,58** m. e **E 195.307,05** m.; deste, segue com azimute de 91°26'14" e distância de 6,05 m., até o vértice **959**, de coordenadas **N 8.276.398,43** m. e **E 195.313,09** m.; deste, segue com azimute de 91°12'56" e distância de 6,05 m., até o vértice **960**, de coordenadas **N 8.276.398,30** m. e **E 195.319,14** m.; deste, segue com azimute de 92°40'16" e distância de 9,40 m., até o vértice **961**, de coordenadas **N 8.276.397,86** m. e **E 195.328,53** m.; deste, segue com azimute de 92°19'40" e distância de 9,40 m., até o vértice **962**, de coordenadas



SPL - PLC 0019/2019 folha 000086

**N 8.276.397,48** m. e **E 195.337,93** m.; deste, segue com azimute de 86°29'34" e distância de 9,31 m., até o vértice **963**, de coordenadas **N 8.276.398,05** m. e **E 195.347,22** m.; deste, segue com azimute de 80°48'06" e distância de 7,30 m., até o vértice **964**, de coordenadas **N 8.276.399,22** m. e **E 195.354,42** m.; deste, segue com azimute de 76°27'10" e distância de 7,35 m., até o vértice **965**, de coordenadas **N 8.276.400,94** m. e **E 195.361,56** m.; deste, segue com azimute de 67°25'55" e distância de 7,00 m., até o vértice **966**, de coordenadas **N 8.276.403,62** m. e **E 195.368,02** m.; deste, segue com azimute de 51°02'22" e distância de 9,60 m., até o vértice **967**, de coordenadas **N 8.276.409,66** m. e **E 195.375,49** m.; deste, segue com azimute de 37°39'04" e distância de 10,02 m., até o vértice **968**, de coordenadas **N 8.276.417,59** m. e **E 195.381,61** m.; deste, segue com azimute de 31°52'01" e distância de 10,00 m., até o vértice **969**, de coordenadas **N 8.276.426,08** m. e **E 195.386,89** m.; deste, segue com azimute de 24°23'26" e distância de 7,15 m., até o vértice **970**, de coordenadas **N 8.276.432,59** m. e **E 195.389,84** m.; deste, segue com azimute de 20°13'20" e distância de 7,25 m., até o vértice **971**, de coordenadas **N 8.276.439,39** m. e **E 195.392,34** m.; deste, segue com azimute de 29°33'28" e distância de 7,05 m., até o vértice **972**, de coordenadas **N 8.276.445,53** m. e **E 195.395,82** m.; deste, segue com azimute de 39°29'04" e distância de 5,02 m., até o vértice **973**, de coordenadas **N 8.276.449,40** m. e **E 195.399,01** m.; deste, segue com azimute de 45°27'53" e distância de 5,09 m., até o vértice **974**, de coordenadas **N 8.276.452,97** m. e **E 195.402,64** m.; deste, segue com azimute de 61°07'57" e distância de 4,70 m., até o vértice **975**, de coordenadas **N 8.276.455,24** m. e **E 195.406,76** m.; deste, segue com azimute de 81°42'42" e distância de 4,06 m., até o vértice **976**, de coordenadas **N 8.276.455,82** m. e **E 195.410,77** m.; deste, segue com azimute de 94°26'42" e distância de 4,37 m., até o vértice **977**, de coordenadas **N 8.276.455,49** m. e **E 195.415,13** m.; deste, segue com azimute de 105°17'23" e distância de 4,39 m., até o vértice **978**, de coordenadas **N 8.276.454,33** m. e **E 195.419,37** m.; deste, segue com azimute de 108°57'32" e distância de 2,53 m., até o vértice **979**, de coordenadas **N 8.276.453,51** m. e **E 195.421,76** m.; deste, segue com azimute de 128°59'50" e distância de 1,18 m., até o vértice **980**, de coordenadas **N 8.276.452,76** m. e **E 195.422,68** m.; deste, segue com azimute de 160°10'21" e distância de 2,34 m., até o vértice **981**, de coordenadas **N 8.276.450,56** m. e **E 195.423,48** m.; deste, segue com azimute de 197°33'43" e distância de 3,27 m., até o vértice **982**, de coordenadas **N 8.276.447,44** m. e **E 195.422,49** m.; deste, segue com azimute de 211°26'12" e distância de 1,70 m., até o vértice **983**, de coordenadas **N 8.276.445,99** m. e **E 195.421,60** m.; deste, segue com azimute de 213°40'47" e distância de 2,31 m., até o vértice **984**, de coordenadas



SRL - PLC 0019/2019 folha 000087

**N 8.276.444,07** m. e **E 195.420,32** m.; deste, segue com azimute de 219°35'29" e distância de 2,33 m., até o vértice **985**, de coordenadas **N 8.276.442,27** m. e **E 195.418,84** m.; deste, segue com azimute de 219°05'35" e distância de 2,33 m., até o vértice **986**, de coordenadas **N 8.276.440,47** m. e **E 195.417,37** m.; deste, segue com azimute de 223°48'26" e distância de 2,48 m., até o vértice **987**, de coordenadas **N 8.276.438,68** m. e **E 195.415,65** m.; deste, segue com azimute de 223°18'34" e distância de 2,47 m., até o vértice **988**, de coordenadas **N 8.276.436,88** m. e **E 195.413,96** m.; deste, segue com azimute de 200°02'32" e distância de 2,40 m., até o vértice **989**, de coordenadas **N 8.276.434,63** m. e **E 195.413,13** m.; deste, segue com azimute de 175°25'25" e distância de 2,05 m., até o vértice **990**, de coordenadas **N 8.276.432,58** m. e **E 195.413,30** m.; deste, segue com azimute de 132°42'50" e distância de 3,01 m., até o vértice **991**, de coordenadas **N 8.276.430,54** m. e **E 195.415,51** m.; deste, segue com azimute de 117°58'54" e distância de 2,78 m., até o vértice **992**, de coordenadas **N 8.276.429,24** m. e **E 195.417,96** m.; deste, segue com azimute de 106°23'00" e distância de 2,82 m., até o vértice **993**, de coordenadas **N 8.276.428,44** m. e **E 195.420,67** m.; deste, segue com azimute de 104°39'38" e distância de 2,82 m., até o vértice **994**, de coordenadas **N 8.276.427,73** m. e **E 195.423,39** m.; deste, segue com azimute de 107°49'41" e distância de 4,48 m., até o vértice **995**, de coordenadas **N 8.276.426,36** m. e **E 195.427,65** m.; deste, segue com azimute de 105°06'06" e distância de 4,47 m., até o vértice **996**, de coordenadas **N 8.276.425,19** m. e **E 195.431,97** m.; deste, segue com azimute de 95°30'02" e distância de 4,36 m., até o vértice **997**, de coordenadas **N 8.276.424,77** m. e **E 195.436,31** m.; deste, segue com azimute de 84°42'55" e distância de 3,54 m., até o vértice **998**, de coordenadas **N 8.276.425,10** m. e **E 195.439,84** m.; deste, segue com azimute de 77°28'28" e distância de 3,62 m., até o vértice **999**, de coordenadas **N 8.276.425,89** m. e **E 195.443,37** m.; deste, segue com azimute de 67°55'31" e distância de 3,41 m., até o vértice **1000**, de coordenadas **N 8.276.427,17** m. e **E 195.446,53** m.; deste, segue com azimute de 52°23'17" e distância de 4,24 m., até o vértice **1001**, de coordenadas **N 8.276.429,76** m. e **E 195.449,89** m.; deste, segue com azimute de 38°10'48" e distância de 4,38 m., até o vértice **1002**, de coordenadas **N 8.276.433,20** m. e **E 195.452,60** m.; deste, segue com azimute de 29°04'30" e distância de 4,41 m., até o vértice **1003**, de coordenadas **N 8.276.437,05** m. e **E 195.454,74** m.; deste, segue com azimute de 21°11'05" e distância de 2,66 m., até o vértice **1004**, de coordenadas **N 8.276.439,53** m. e **E 195.455,70** m.; deste, segue com azimute de 16°04'00" e distância de 2,74 m., até o vértice **1005**, de coordenadas **N 8.276.442,16** m. e **E 195.456,46** m.; deste, segue com azimute de 16°30'51" e distância de 2,73 m., até o vértice **1006**, de coordenadas



SPL - PLC 0019/2019 folha 000088

**N 8.276.444,78** m. e **E 195.457,24** m.; deste, segue com azimute de 19°32'07" e distância de 8,18 m., até o vértice **1007**, de coordenadas **N 8.276.452,49** m. e **E 195.459,97** m.; deste, segue com azimute de 20°53'39" e distância de 8,18 m., até o vértice **1008**, de coordenadas **N 8.276.460,14** m. e **E 195.462,89** m.; deste, segue com azimute de 21°26'58" e distância de 8,04 m., até o vértice **1009**, de coordenadas **N 8.276.467,62** m. e **E 195.465,83** m.; deste, segue com azimute de 21°43'17" e distância de 4,72 m., até o vértice **1010**, de coordenadas **N 8.276.472,00** m. e **E 195.467,58** m.; deste, segue com azimute de 22°04'48" e distância de 4,67 m., até o vértice **1011**, de coordenadas **N 8.276.476,33** m. e **E 195.469,33** m.; deste, segue com azimute de 22°10'03" e distância de 4,75 m., até o vértice **1012**, de coordenadas **N 8.276.480,72** m. e **E 195.471,12** m.; deste, segue com azimute de 23°31'17" e distância de 2,91 m., até o vértice **1013**, de coordenadas **N 8.276.483,38** m. e **E 195.472,28** m.; deste, segue com azimute de 23°33'31" e distância de 2,93 m., até o vértice **1014**, de coordenadas **N 8.276.486,07** m. e **E 195.473,45** m.; deste, segue com azimute de 19°28'07" e distância de 2,88 m., até o vértice **1015**, de coordenadas **N 8.276.488,79** m. e **E 195.474,41** m.; deste, segue com azimute de 6°31'38" e distância de 7,73 m., até o vértice **1016**, de coordenadas **N 8.276.496,47** m. e **E 195.475,29** m.; deste, segue com azimute de 354°36'20" e distância de 7,90 m., até o vértice **1017**, de coordenadas **N 8.276.504,33** m. e **E 195.474,55** m.; deste, segue com azimute de 352°44'33" e distância de 7,91 m., até o vértice **1018**, de coordenadas **N 8.276.512,18** m. e **E 195.473,55** m.; deste, segue com azimute de 353°22'54" e distância de 7,26 m., até o vértice **1019**, de coordenadas **N 8.276.519,39** m. e **E 195.472,71** m.; deste, segue com azimute de 351°37'43" e distância de 7,28 m., até o vértice **1020**, de coordenadas **N 8.276.526,59** m. e **E 195.471,65** m.; deste, segue com azimute de 352°14'32" e distância de 7,27 m., até o vértice **1021**, de coordenadas **N 8.276.533,80** m. e **E 195.470,67** m.; deste, segue com azimute de 353°21'27" e distância de 5,19 m., até o vértice **1022**, de coordenadas **N 8.276.538,96** m. e **E 195.470,07** m.; deste, segue com azimute de 353°47'47" e distância de 5,19 m., até o vértice **1023**, de coordenadas **N 8.276.544,12** m. e **E 195.469,51** m.; deste, segue com azimute de 354°50'26" e distância de 5,19 m., até o vértice **1024**, de coordenadas **N 8.276.549,30** m. e **E 195.469,04** m.; deste, segue com azimute de 355°57'54" e distância de 6,97 m., até o vértice **1025**, de coordenadas **N 8.276.556,25** m. e **E 195.468,55** m.; deste, segue com azimute de 357°21'24" e distância de 6,98 m., até o vértice **1026**, de coordenadas **N 8.276.563,22** m. e **E 195.468,23** m.; deste, segue com azimute de 359°38'40" e distância de 6,96 m., até o vértice **1027**, de coordenadas **N 8.276.570,18** m. e **E 195.468,19** m.; deste, segue com azimute de 2°33'40" e distância de 8,37 m., até o vértice **1028**, de coordenadas



SPL - PLC 0019/2019 folha 000089

**N 8.276.578,54** m. e **E 195.468,56** m.; deste, segue com azimute de 5°19'16" e distância de 8,38 m., até o vértice **1029**, de coordenadas **N 8.276.586,89** m. e **E 195.469,34** m.; deste, segue com azimute de 7°51'03" e distância de 8,37 m., até o vértice **1030**, de coordenadas **N 8.276.595,19** m. e **E 195.470,48** m.; deste, segue com azimute de 11°24'24" e distância de 7,29 m., até o vértice **1031**, de coordenadas **N 8.276.602,33** m. e **E 195.471,92** m.; deste, segue com azimute de 13°36'05" e distância de 7,31 m., até o vértice **1032**, de coordenadas **N 8.276.609,44** m. e **E 195.473,64** m.; deste, segue com azimute de 12°02'13" e distância de 7,29 m., até o vértice **1033**, de coordenadas **N 8.276.616,57** m. e **E 195.475,16** m.; ponto situado às margens do Córrego Lobeiral deste, segue margeando o Córrego Lobeiral, até o vértice **1034**, de coordenadas **N 8.276.951,27** m. e **E 195.263,80** m.; confluência entre o Córrego Lobeiral e o Córrego Queima Lençol deste, segue margeando o Córrego Queima Lençol, até o vértice **1035**, de coordenadas **N 8.278.018,99** m. e **E 195.259,33** m.; ponto de cruzamento entre o Córrego Queima Lençol e o eixo da Rodovia DF-205 deste, segue pela Rodovia DF-205, até o vértice **1**, de coordenadas **N 8.281.431,44** m. e **E 203.513,96** m.; ponto inicial da descrição deste perímetro. Todos os azimutes e distâncias, áreas e perímetros foram calculados no plano de projeção UTM. Todas as coordenadas aqui descritas estão georreferenciadas ao Sistema Geodésico Brasileiro e encontram-se representadas no Sistema UTM, referenciadas ao **Meridiano Central 45° WGr, Fuso 23**, tendo como o *Datum* o **SICAD-SIRGAS 2000.** Todos os azimutes e distâncias, áreas e perímetros foram calculados no plano de projeção UTM.



SPL - PLC 0019/2019 folha 000090

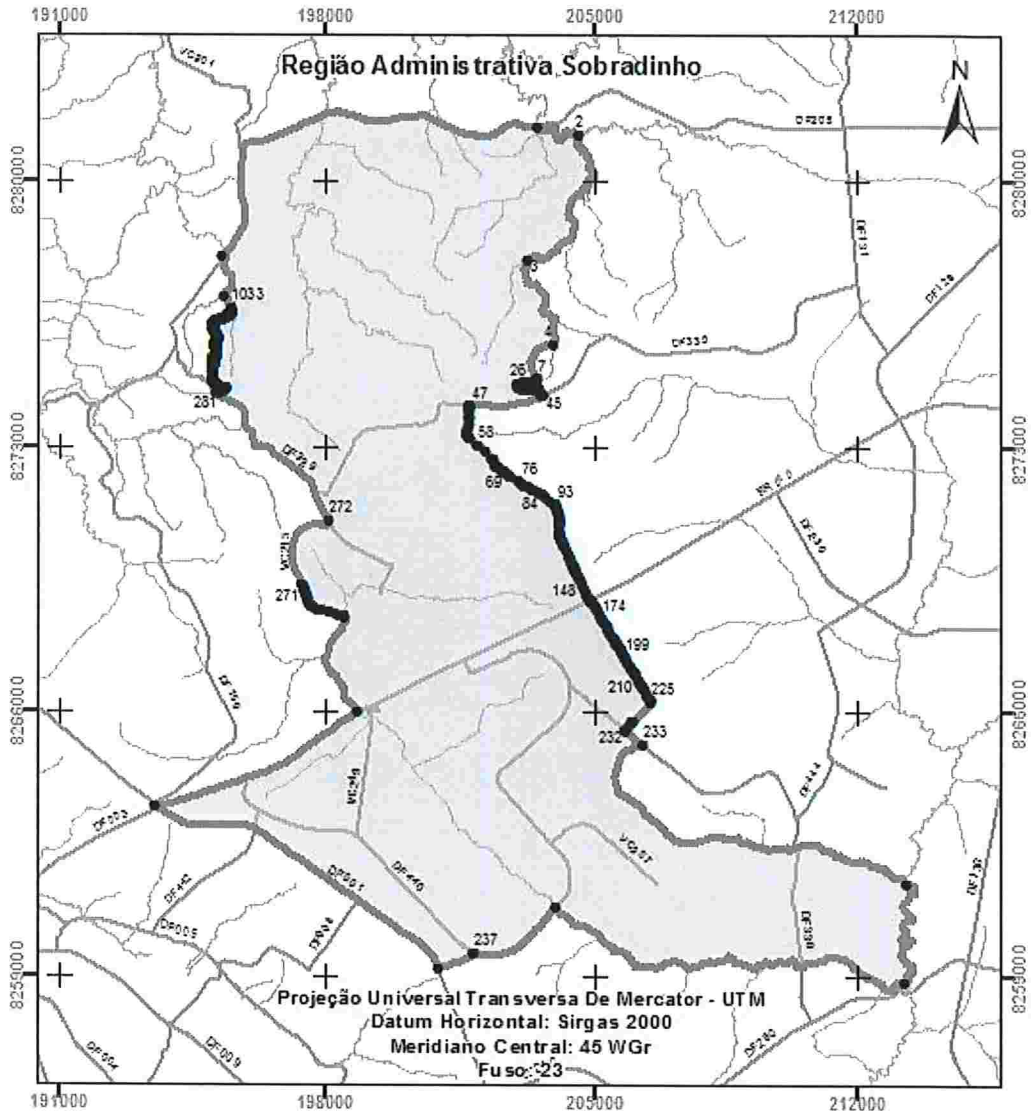




SRL - PLC 0019/2019 folha 000091

# MEMORIAL DESCRITIVO

## PLANALTINA – RA VI

Perímetro: 228.787,516 m  Área: 153.140,0706 ha

Inicia-se a descrição deste perímetro no vértice **1**, de coordenadas **N 8.284.705,234**m e **E 240.552,975**m, localizado na interseção da Linha de limite Norte com a Linha de limite Leste do Distrito Federal; deste, segue pelo limite leste do distrito federal, até atingir o vértice **2**, de coordenadas **N 8.279.916,826**m e **E 240.607,101**m, localizado na margem esquerda do Ribeirão Santa Rita; deste, deixando o limite leste do Distrito Federal, segue a jusante pelo talvegue do Ribeirão Santa Rita até atingir o vértice **3**, de coordenadas **N 8.274.290,866**m e **E 251.670,831**m, localizado na confluência do referido Ribeirão com o Rio Preto; deste, segue a montante pelo talvegue do Rio Preto até atingir o vértice **4**, de coordenadas **N 8.246.680,051**m e **E 246.085,305**m, localizado na confluência do referido Rio com o Ribeirão Extrema; deste, segue a montante pelo talvegue do Ribeirão Extrema até atingir o vértice **5**, de coordenadas **N 8.246.647,127**m e **E 244.536,187**m, localizado na interseção do referido Ribeirão com a Rodovia DF-100; deste, segue pelo eixo da Rodovia DF-100 até o vértice **6**, de coordenadas **N 8.245.440,564**m e **E 244.355,895**m, localizado no entroncamento da referida Rodovia com as Rodovia DF-320 e DF-260; deste, segue pelo eixo da Rodovia DF-260 até atingir o vértice **7**, de coordenadas **N 8.244.457,695**m e **E 219.295,439**m, localizado na interseção da referida Rodovia com a Rodovia DF-130; deste, segue pelo eixo da Rodovia DF-130 até atingir o vértice **8**, de coordenadas **N 8.259.419,719**m e **E 214.882,903**m, localizado na interseção da referida Rodovia com a Rodovia DF-250; deste, segue pelo eixo da Rodovia DF-250 até atingir o vértice **9**, de coordenadas **N 8.258.643,978**m e **E 213.248,783**m, localizado na interseção da referida Rodovia com o Rio São Bartolomeu; deste, segue a montante pelo talvegue do Rio São Bartolomeu até atingir o vértice **10**, de coordenadas **N 8.261.461,503**m e **E 213.321,422**m, localizado na confluência do referido Rio com o Córrego do Meio; deste, segue a montante pelo talvegue do Córrego do Meio até atingir o vértice 11, de coordenadas **N 8.265.149,423**m e **E 206.255,327**m, localizado na interseção do referido Córrego com a Rodovia DF-330; deste, segue pelo eixo da Rodovia DF-330 até atingir o vértice **12**, de coordenadas **N 8.265.504,473**m e **E 205.811,531**m; deste, deixando a referida Rodovia, segue por linha divisória com os seguintes azimutes e distâncias: 35°31'47" e 53,637 m até o vértice **13**, de coordenadas **N 8.265.548,124**m e **E 205.842,701**m; 16°37'46" e 6,063 m até o vértice **14**, de coordenadas **N 8.265.553,933**m e **E 205.844,436**m; 42°57'56"



SPL - PLC 0019/2019 folha 000092

e 101,102 m até o vértice **15**, de coordenadas **N 8.265.627,916**m e **E 205.913,343**m; 37°35'23" e 16,716 m até o vértice **16**, de coordenadas **N 8.265.641,162**m e **E 205.923,540**m; 42°24'34" e 113,933 m até o vértice **17**, de coordenadas **N 8.265.725,284**m e **E 206.000,379**m; 40°15'31" e 36,083 m até o vértice **18**, de coordenadas **N 8.265.752,820**m e **E 206.023,697**m; 42°05'22" e 695,906 m até o vértice **19**, de coordenadas **N 8.266.269,252**m e **E 206.490,155**m; 327°57'29" e 2,160 m até o vértice **20**, de coordenadas **N 8.266.271,083**m e **E 206.489,009**m; 220°04'01" e 1,488 m até o vértice **21**, de coordenadas **N 8.266.269,944**m e **E 206.488,051**m; 321°15'16" e 5,212 m até o vértice **22**, de coordenadas **N 8.266.274,009**m e **E 206.484,789**m; 332°37'29" e 23,879 m até o vértice **23**, de coordenadas **N 8.266.295,214**m e **E 206.473,809**m; 339°14'06" e 17,617 m até o vértice **24**, de coordenadas **N 8.266.311,687**m e **E 206.467,563**m; 331°03'26" e 22,745 m até o vértice **25**, de coordenadas **N 8.266.331,591**m e **E 206.456,556**m; 327°27'16" e 102,803 m até o vértice **26**, de coordenadas **N 8.266.418,250**m e **E 206.401,251**m; 329°22'44" e 159,528 m até o vértice **27**, de coordenadas **N 8.266.555,532**m e **E 206.319,994**m; 329°22'43" e 66,844 m até o vértice **28**, de coordenadas **N 8.266.613,055**m e **E 206.285,946**m; 332°00'12" e 48,424 m até o vértice **29**, de coordenadas **N 8.266.655,812**m e **E 206.263,215**m; 328°03'08" e 46,621 m até o vértice **30**, de coordenadas **N 8.266.695,371**m e **E 206.238,546**m; 329°50'57" e 89,988 m até o vértice **31**, de coordenadas **N 8.266.773,184**m e **E 206.193,347**m; 329°50'57" e 34,172 m até o vértice **32**, de coordenadas **N 8.266.802,733**m e **E 206.176,183**m; 328°56'33" e 201,206 m até o vértice **33**, de coordenadas **N 8.266.975,096**m e **E 206.072,381**m; 322°57'45" e 20,244 m até o vértice 34, de coordenadas **N 8.266.991,256**m e **E 206.060,187**m; 331°01'18" e 68,963 m até o vértice **35**, de coordenadas **N 8.267.051,585**m e **E 206.026,776**m; 328°56'26" e 74,786 m até o vértice **36**, de coordenadas **N 8.267.115,649**m e **E 205.988,192**m; 326°55'53" e 19,564 m até o vértice **37**, de coordenadas **N 8.267.132,044**m e **E 205.977,517**m; 329°45'57" e 42,629 m até o vértice **38**, de coordenadas **N 8.267.168,874**m e **E 205.956,052**m; 330°01'30" e 49,457 m até o vértice **39**, de coordenadas **N 8.267.211,716**m e **E 205.931,342**m; 330°01'28" e 72,764 m até o vértice **40**, de coordenadas **N 8.267.274,747**m e **E 205.894,987**m; 329°32'14" e 133,424 m até o vértice **41**, de coordenadas **N 8.267.389,753**m e **E 205.827,344**m; 329°29'05" e 112,579 m até o vértice **42**, de coordenadas **N 8.267.486,739**m e **E 205.770,180**m; 329°06'50" e 102,219 m até o vértice **43**, de coordenadas **N 8.267.574,462**m e **E 205.717,708**m; 329°06'07" e 32,852 m até o vértice **44**, de coordenadas **N 8.267.602,652**m e **E 205.700,838**m; 329°17'32" e 62,623 m até o vértice **45**, de coordenadas **N 8.267.656,494**m e **E 205.668,859**m; 329°19'23" e 64,728 m até o vértice **46**,



SPL - PLC 0019/2019 folha 000093

de coordenadas **N 8.267.712,164**m e **E 205.635,835**m; 329°03'08" e 43,302 m até o vértice **47**, de coordenadas **N 8.267.749,301**m e **E 205.613,567**m; 329°18'35" e 42,839 m até o vértice **48**, de coordenadas **N 8.267.786,140**m e **E 205.591,702**m; 329°20'04" e 43,647 m até o vértice **49**, de coordenadas **N 8.267.823,683**m e **E 205.569,441**m; 329°13'43" e 46,039 m até o vértice **50**, de coordenadas **N 8.267.863,240**m e **E 205.545,887**m; 329°10'51" e 77,331 m até o vértice **51**, de coordenadas **N 8.267.929,651**m e **E 205.506,268**m; 329°13'53" e 61,086 m até o vértice **52**, de coordenadas **N 8.267.982,139**m e **E 205.475,018**m; 329°33'06" e 74,019 m até o vértice **53**, de coordenadas **N 8.268.045,950**m e **E 205.437,508**m; 329°16'06" e 93,734 m até o vértice **54**, de coordenadas **N 8.268.126,521**m e **E 205.389,608**m; 329°20'55" e 92,861 m até o vértice **55**, de coordenadas **N 8.268.206,408**m e **E 205.342,266**m; 329°07'07" e 139,367 m até o vértice **56**, de coordenadas **N 8.268.326,017**m e **E 205.270,734**m; 329°16'22" e 83,724 m até o vértice **57**, de coordenadas **N 8.268.397,987**m e **E 205.227,955**m; 329°34'44" e 71,977 m até o vértice **58**, de coordenadas **N 8.268.460,055**m e **E 205.191,509**m; 330°15'20" e 53,083 m até o vértice **59**, de coordenadas **N 8.268.506,144**m e **E 205.165,173**m; 329°31'53" e 127,851 m até o vértice **60**, de coordenadas **N 8.268.616,340**m e **E 205.100,344**m; 329°29'51" e 59,088 m até o vértice **61**, de coordenadas **N 8.268.667,251**m e **E 205.070,352**m; 329°18'26" e 64,735 m até o vértice **62**, de coordenadas **N 8.268.722,918**m e **E 205.037,309**m; 329°16'51" e 93,174 m até o vértice **63**, de coordenadas **N 8.268.803,018**m e **E 204.989,713**m; 329°13'31" e 77,377 m até o vértice **64**, de coordenadas **N 8.268.869,499**m e **E 204.950,122**m; 328°02'28" e 40,596 m até o vértice **65**, de coordenadas **N 8.268.903,942**m e **E 204.928,634**m; 328°02'39" e 12,748 m até o vértice **66**, de coordenadas **N 8.268.914,758**m e **E 204.921,887**m; 331°17'54" e 16,985 m até o vértice **67**, de coordenadas **N 8.268.929,656**m e **E 204.913,730**m; 333°37'45" e 11,353 m até o vértice **68**, de coordenadas **N 8.268.939,828**m e **E 204.908,687**m; 333°37'46" e 4,613 m até o vértice **69**, de coordenadas **N 8.268.943,961**m e **E 204.906,638**m; 333°26'06" e 0,148 m até o vértice **70**, de coordenadas **N 8.268.944,093**m e **E 204.906,572**m; 319°18'14" e 26,816 m até o vértice **71**, de coordenadas **N 8.268.964,424**m e **E 204.889,087**m; 304°24'34" e 7,953 m até o vértice **72**, de coordenadas **N 8.268.968,918**m e **E 204.882,526**m; 304°24'34" e 16,282 m até o vértice **73**, de coordenadas **N 8.268.978,119**m e **E 204.869,093**m; 318°08'54" e 20,201 m até o vértice **74**, de coordenadas **N 8.268.993,166**m e **E 204.855,615**m; 312°27'27" e 13,549 m até o vértice **75**, de coordenadas **N 8.269.002,312**m e **E 204.845,619**m; 312°27'23" e 18,786 m até o vértice **76**, de coordenadas **N 8.269.014,993**m e **E 204.831,759**m; 334°46'11" e 23,786 m até o vértice **77**, de coordenadas **N 8.269.036,510**m e **E 204.821,620**m;



SPL - PLC 0019/2019 folha 000094

334°43'32" e 45,611 m até o vértice **78**, de coordenadas **N 8.269.077,755**m e **E 204.802,146**m; 334°43'01" e 106,370 m até o vértice **79**, de coordenadas **N 8.269.173,936**m e **E 204.756,716**m; 335°36'34" e 144,612 m até o vértice **80**, de coordenadas **N 8.269.305,642**m e **E 204.696,998**m; 335°41'47" e 147,442 m até o vértice **81**, de coordenadas **N 8.269.440,017**m e **E 204.636,315**m; 335°45'20" e 79,600 m até o vértice **82**, de coordenadas **N 8.269.512,596**m e **E 204.603,629**m; 335°53'50" e 52,359 m até o vértice **83**, de coordenadas **N 8.269.560,390**m e **E 204.582,247**m; 335°53'50" e 50,339 m até o vértice **84**, de coordenadas **N 8.269.606,340**m e **E 204.561,690**m; 332°32'09" e 35,653 m até o vértice **85**, de coordenadas **N 8.269.637,975**m e **E 204.545,247**m; 332°38'38" e 57,651 m até o vértice **86**, de coordenadas **N 8.269.689,179**m e **E 204.518,755**m; 332°38'39" e 30,523 m até o vértice **87**, de coordenadas **N 8.269.716,289**m e **E 204.504,729**m; 335°29'10" e 47,171 m até o vértice **88**, de coordenadas **N 8.269.759,208**m e **E 204.485,157**m; 338°07'09" e 29,457 m até o vértice **89**, de coordenadas **N 8.269.786,543**m e **E 204.474,179**m; 335°54'48" e 31,212 m até o vértice **90**, de coordenadas **N 8.269.815,037**m e **E 204.461,441**m; 334°50'18" e 48,498 m até o vértice **91**, de coordenadas **N 8.269.858,933**m e **E 204.440,821**m; 337°53'18" e 14,784 m até o vértice **92**, de coordenadas **N 8.269.872,630**m e **E 204.435,256**m; 339°50'15" e 63,092 m até o vértice **93**, de coordenadas **N 8.269.931,856**m e **E 204.413,509**m; 337°15'25" e 26,482 m até o vértice **94**, de coordenadas **N 8.269.956,279**m e **E 204.403,271**m; 336°10'44" e 55,922 m até o vértice **95**, de coordenadas **N 8.270.007,437**m e **E 204.380,685**m; 333°46'28" e 59,499 m até o vértice **96**, de coordenadas **N 8.270.060,811**m e **E 204.354,392**m; 335°11'42" e 27,898 m até o vértice **97**, de coordenadas **N 8.270.086,135**m e **E 204.342,688**m; 335°48'40" e 28,003 m até o vértice **98**, de coordenadas **N 8.270.111,679**m e **E 204.331,214**m; 335°34'37" e 113,399 m até o vértice **99**, de coordenadas **N 8.270.214,931**m e **E 204.284,327**m; 335°16'22" e 97,406 m até o vértice **100**, de coordenadas **N 8.270.303,406**m e **E 204.243,582**m; 335°10'39" e 64,479 m até o vértice **101**, de coordenadas **N 8.270.361,928**m e **E 204.216,513**m; 334°50'01" e 53,373 m até o vértice **102**, de coordenadas **N 8.270.410,235**m e **E 204.193,816**m; 333°35'54" e 18,200 m até o vértice **103**, de coordenadas **N 8.270.426,537**m e **E 204.185,723**m; 335°58'47" e 33,531 m até o vértice **104**, de coordenadas **N 8.270.457,164**m e **E 204.172,074**m; 334°34'56" e 38,638 m até o vértice **105**, de coordenadas **N 8.270.492,062**m e **E 204.155,490**m; 333°46'57" e 58,701 m até o vértice **106**, de coordenadas **N 8.270.544,724**m e **E 204.129,557**m; 333°37'08" e 64,381 m até o vértice **107**, de coordenadas **N 8.270.602,400**m e **E 204.100,950**m; 332°35'42" e 26,117 m até o vértice **108**, de coordenadas **N 8.270.625,586**m e **E 204.088,929**m; 328°58'06" e



SPL - PLC 0019/2019 fo.ha 000095

7,666 m até o vértice **109**, de coordenadas **N 8.270.632,155**m e **E 204.084,977**m; 341°17'40" e 7,430 m até o vértice **110**, de coordenadas **N 8.270.639,193**m e **E 204.082,594**m; 347°38'46" e 6,782 m até o vértice **111**, de coordenadas **N 8.270.645,818**m e **E 204.081,143**m; 356°04'28" e 12,562 m até o vértice **112**, de coordenadas **N 8.270.658,351**m e **E 204.080,283**m; 4°37'02" e 5,689 m até o vértice **113**, de coordenadas **N 8.270.664,022**m e **E 204.080,741**m; 348°27'05" e 9,231 m até o vértice **114**, de coordenadas **N 8.270.673,066**m e **E 204.078,893**m; 358°20'55" e 45,455 m até o vértice **115**, de coordenadas **N 8.270.718,502**m e **E 204.077,583**m; 1°17'06" e 35,586 m até o vértice **116**, de coordenadas **N 8.270.754,079**m e **E 204.078,381**m; 10°41'19" e 104,791 m até o vértice **117**, de coordenadas **N 8.270.857,052**m e **E 204.097,817**m; 13°04'41" e 59,272 m até o vértice **118**, de coordenadas **N 8.270.914,787**m e **E 204.111,229**m; 8°35'05" e 25,323 m até o vértice **119**, de coordenadas **N 8.270.939,826**m e **E 204.115,009**m; 2°56'51" e 21,043 m até o vértice **120**, de coordenadas **N 8.270.960,841**m e **E 204.116,091**m; 2°56'50" e 21,044 m até o vértice **121**, de coordenadas **N 8.270.981,857**m e **E 204.117,173**m; 358°07'13" e 23,079 m até o vértice **122**, de coordenadas **N 8.271.004,924**m e **E 204.116,416**m; 355°14'57" e 32,297 m até o vértice **123**, de coordenadas **N 8.271.037,110**m e **E 204.113,741**m; 354°16'41" e 24,895 m até o vértice **124**, de coordenadas **N 8.271.061,881**m e **E 204.111,259**m; 346°09'22" e 32,281 m até o vértice **125**, de coordenadas **N 8.271.093,224**m e **E 204.103,535**m; 344°15'29" e 27,372 m até o vértice **126**, de coordenadas **N 8.271.119,569**m e **E 204.096,109**m; 343°12'56" e 79,873 m até o vértice **127**, de coordenadas **N 8.271.196,039**m e **E 204.073,044**m; 344°34'48" e 60,630 m até o vértice **128**, de coordenadas **N 8.271.254,486**m e **E 204.056,923**m; 347°45'40" e 27,166 m até o vértice **129**, de coordenadas **N 8.271.281,035**m e **E 204.051,164**m; 333°50'00" e 6,495 m até o vértice **130**, de coordenadas **N 8.271.286,864**m e **E 204.048,300**m; 339°48'27" e 16,331 m até o vértice **131**, de coordenadas **N 8.271.302,191**m e **E 204.042,663**m; 341°34'58" e 41,699 m até o vértice **132**, de coordenadas **N 8.271.341,754**m e **E 204.029,489**m; 344°24'07" e 67,549 m até o vértice **133**, de coordenadas **N 8.271.406,815**m e **E 204.011,326**m; 335°31'48" e 18,901 m até o vértice **134**, de coordenadas **N 8.271.424,018**m e **E 204.003,497**m; 334°45'13" e 26,874 m até o vértice **135**, de coordenadas **N 8.271.448,325**m e **E 203.992,035**m; 336°13'32" e 21,365 m até o vértice **136**, de coordenadas **N 8.271.467,877**m e **E 203.983,422**m; 307°55'56" e 42,762 m até o vértice **137**, de coordenadas **N 8.271.494,164**m e **E 203.949,694**m; 307°01'26" e 26,254 m até o vértice **138**, de coordenadas **N 8.271.509,973**m e **E 203.928,733**m; 307°01'22" e 89,942 m até o vértice **139**, de coordenadas **N 8.271.564,130**m e **E 203.856,924**m;



SPL - PLC 0019/2019 folha 000096

306°59'46" e 136,772 m até o vértice **140**, de coordenadas **N 8.271.646,434**m e **E 203.747,688**m; 301°47'29" e 151,560 m até o vértice **141**, de coordenadas **N 8.271.726,280**m e **E 203.618,866**m; 301°20'01" e 85,531 m até o vértice **142**, de coordenadas **N 8.271.770,758**m e **E 203.545,809**m; 299°12'54" e 117,936 m até o vértice **143**, de coordenadas **N 8.271.828,321**m e **E 203.442,875**m; 300°37'24" e 110,553 m até o vértice **144**, de coordenadas **N 8.271.884,636**m e **E 203.347,740**m; 300°37'23" e 81,896 m até o vértice 145, de coordenadas **N 8.271.926,353**m e **E 203.277,265**m; 299°07'53" e 88,773 m até o vértice **146**, de coordenadas **N 8.271.969,569**m e **E 203.199,721**m; 301°53'06" e 70,806 m até o vértice **147**, de coordenadas **N 8.272.006,970**m e **E 203.139,599**m; 303°48'13" e 82,920 m até o vértice **148**, de coordenadas **N 8.272.053,102**m e **E 203.070,697**m; 303°48'12" e 73,596 m até o vértice **149**, de coordenadas **N 8.272.094,047**m e **E 203.009,542**m; 303°44'33" e 222,899 m até o vértice **150**, de coordenadas **N 8.272.217,859**m e **E 202.824,192**m; 304°34'45" e 76,189 m até o vértice **151**, de coordenadas **N 8.272.261,100**m e **E 202.761,462**m; 303°42'09" e 69,630 m até o vértice **152**, de coordenadas **N 8.272.299,736**m e **E 202.703,535**m; 303°42'05" e 38,318 m até o vértice **153**, de coordenadas **N 8.272.320,997**m e **E 202.671,657**m; 305°21'47" e 35,967 m até o vértice **154**, de coordenadas **N 8.272.341,813**m e **E 202.642,326**m; 306°00'52" e 60,766 m até o vértice **155**, de coordenadas **N 8.272.377,543**m e **E 202.593,174**m; 310°58'33" e 55,408 m até o vértice **156**, de coordenadas **N 8.272.413,876**m e **E 202.551,342**m; 310°53'42" e 39,788 m até o vértice 157, de coordenadas **N 8.272.439,924**m e **E 202.521,266**m; 310°53'40" e 26,954 m até o vértice **158**, de coordenadas **N 8.272.457,570**m e **E 202.500,891**m; 317°57'44" e 28,858 m até o vértice **159**, de coordenadas **N 8.272.479,003**m e **E 202.481,567**m; 338°46'19" e 129,320 m até o vértice **160**, de coordenadas **N 8.272.599,548**m e **E 202.434,743**m; 314°47'11" e 100,280 m até o vértice **161**, de coordenadas **N 8.272.670,192**m e **E 202.363,570**m; 314°42'02" e 250,516 m até o vértice **162**, de coordenadas **N 8.272.846,405**m e **E 202.185,505**m; 314°29'53" e 256,322 m até o vértice **163**, de coordenadas **N 8.273.026,057**m e **E 202.002,677**m; 314°32'52" e 260,623 m até o vértice **164**, de coordenadas **N 8.273.208,885**m e **E 201.816,940**m; 314°45'39" e 89,803 m até o vértice **165**, de coordenadas **N 8.273.272,120**m e **E 201.753,175**m; 4°16'57" e 170,073 m até o vértice **166**, de coordenadas **N 8.273.441,718**m e **E 201.765,875**m; 4°21'40" e 309,667 m até o vértice 167, de coordenadas **N 8.273.750,488**m e **E 201.789,423**m; 4°25'31" e 174,882 m até o vértice 168, de coordenadas **N 8.273.924,849**m e **E 201.802,917**m; 4°25'39" e 119,949 m até o vértice **169**, de coordenadas **N 8.274.044,440**m e **E 201.812,177**m; 3°56'42" e 53,839



SPL - PLC 0019/2019 folha 000097

m até o vértice **170**, de coordenadas **N 8.274.098,151**m e **E 201.815,881**m, localizado no eixo da Rodovia DF-335; deste, segue pelo eixo da Rodovia DF-335 até atingir o vértice **171**, de coordenadas **N 8.274.337,978**m e **E 203.665,647**m; deste, deixando a referida Rodovia segue por linha divisória com os seguintes azimutes e distâncias: 329°34'25" e 14,756 m até o vértice **172**, de coordenadas **N 8.274.350,702**m e **E 203.658,174**m; 327°14'34" e 13,065 m até o vértice **173**, de coordenadas **N 8.274.361,689**m e **E 203.651,105**m; 320°52'23" e 135,383 m até o vértice **174**, de coordenadas **N 8.274.466,712**m e **E 203.565,673**m; 319°44'36" e 68,914 m até o vértice **175**, de coordenadas **N 8.274.519,304**m e **E 203.521,140**m; 265°38'28" e 45,170 m até o vértice **176**, de coordenadas **N 8.274.515,871**m e **E 203.476,101**m; 265°58'02" e 43,085 m até o vértice **177**, de coordenadas **N 8.274.512,841**m e **E 203.433,123**m; 266°54'24" e 44,902 m até o vértice **178**, de coordenadas **N 8.274.510,418**m e **E 203.388,286**m; 266°23'16" e 44,885 m até o vértice **179**, de coordenadas **N 8.274.507,590**m e **E 203.343,490**m; 266°25'28" e 45,329 m até o vértice **180**, de coordenadas **N 8.274.504,763**m e **E 203.298,249**m; 266°24'50" e 96,871 m até o vértice **181**, de coordenadas **N 8.274.498,704**m e **E 203.201,568**m; 283°09'18" e 70,105 m até o vértice **182**, de coordenadas **N 8.274.514,659**m e **E 203.133,303**m; 283°32'45" e 74,160 m até o vértice **183**, de coordenadas **N 8.274.532,029**m e **E 203.061,206**m; 283°33'08" e 4,306 m até o vértice **184**, de coordenadas **N 8.274.533,038**m e **E 203.057,020**m; 337°43'24" e 36,230 m até o vértice **185**, de coordenadas **N 8.274.566,564**m e **E 203.043,286**m; 339°16'08" e 54,204 m até o vértice **186**, de coordenadas **N 8.274.617,258**m e **E 203.024,099**m; 68°03'25" e 4,207 m até o vértice **187**, de coordenadas **N 8.274.618,830**m e **E 203.028,001**m; 71°25'08" e 7,563 m até o vértice **188**, de coordenadas **N 8.274.621,240**m e **E 203.035,170**m; 69°01'07" e 24,130 m até o vértice **189**, de coordenadas **N 8.274.629,880**m e **E 203.057,700**m; 67°28'17" e 46,379 m até o vértice **190**, de coordenadas **N 8.274.647,650**m e **E 203.100,540**m; 70°43'18" e 39,526 m até o vértice **191**, de coordenadas **N 8.274.660,700**m e **E 203.137,850**m; 68°35'17" e 37,691 m até o vértice **192**, de coordenadas **N 8.274.674,460**m e **E 203.172,940**m; 66°40'29" e 38,616 m até o vértice **193**, de coordenadas **N 8.274.689,750**m e **E 203.208,400**m; 70°39'51" e 19,511 m até o vértice **194**, de coordenadas **N 8.274.696,210**m e **E 203.226,810**m; 69°24'59" e 26,822 m até o vértice **195**, de coordenadas **N 8.274.705,640**m e **E 203.251,920**m; 80°18'25" e 6,533 m até o vértice **196**, de coordenadas **N 8.274.706,740**m e **E 203.258,360**m; 87°26'38" e 31,842 m até o vértice **197**, de coordenadas **N 8.274.708,160**m e **E 203.290,170**m; 86°02'05" e 16,398 m até o vértice **198**, de coordenadas **N 8.274.709,294**m e **E 203.306,529**m; 86°02'04" e 36,238 m até o vértice **199**, de coordenadas **N 8.274.711,800**m e **E 203.342,680**m;



SPL - PLC 0019/2019 folha 000098

86°03'46" e 32,477 m até o vértice **200**, de coordenadas **N 8.274.714,030**m e **E 203.375,080**m; 87°48'29" e 16,732 m até o vértice **201**, de coordenadas **N 8.274.714,670**m e **E 203.391,800**m; 101°06'39" e 4,515 m até o vértice **202**, de coordenadas **N 8.274.713,800**m e **E 203.396,230**m; 99°29'00" e 4,491 m até o vértice **203**, de coordenadas **N 8.274.713,060**m e **E 203.400,660**m; 93°18'22" e 5,028 m até o vértice **204**, de coordenadas **N 8.274.712,770**m e **E 203.405,680**m; 84°24'46" e 6,471 m até o vértice **205**, de coordenadas **N 8.274.713,400**m e **E 203.412,120**m; 84°24'15" e 6,461 m até o vértice **206**, de coordenadas **N 8.274.714,030**m e **E 203.418,550**m; 71°45'43" e 10,129 m até o vértice **207**, de coordenadas **N 8.274.717,200**m e **E 203.428,170**m; 66°04'18" e 32,372 m até o vértice **208**, de coordenadas **N 8.274.730,330**m e **E 203.457,760**m; 66°12'54" e 20,654 m até o vértice **209**, de coordenadas **N 8.274.738,660**m e **E 203.476,660**m; 65°25'32" e 39,267 m até o vértice **210**, de coordenadas **N 8.274.754,990**m e **E 203.512,370**m; 354°24'38" e 53,595 m em linha reta até atingir o vértice **211**, de coordenadas **N 8.274.808,330**m e **E 203.507,150**m, localizado na nascente do Córrego Taquara; deste, segue a jusante pelo talvegue do Córrego Taquara até atingir o vértice **212**, de coordenadas **N 8.275.684,117**m e **E 203.916,671**m, localizado na confluência do referido Córrego com o Córrego Grotão; deste, segue a jusante pelo talvegue do Córrego Grotão até atingir o vértice **213**, de coordenadas **N 8.277.896,831**m e **E 203.280,756**m, localizado na confluência do referido Córrego com o Córrego Simoa; deste, segue a jusante pelo talvegue do Córrego João Pires outrora denominado Córrego Grotão até atingir o vértice **214**, de coordenadas **N 8.281.190,745**m e **E 204.598,235**m, localizado na confluência do Córrego João Pires com o Ribeirão Palmeiras; deste, segue a jusante pelo talvegue do Ribeirão Palmeiras até atingir o vértice **215**, de coordenadas **N 8.283.682,685**m e **E 202.786,120**m, localizado na confluência do Ribeirão Palmeiras com o Rio Maranhão; deste, segue a montante pelo talvegue do Rio Maranhão até o vértice **216**, de coordenadas **N 8.284.184,343**m e **E 202.589,235**m, localizado na interseção do referido Rio com a Linha de Limite Norte do Distrito Federal; deste, segue pela Linha de Limite Norte do Distrito Federal até atingir o vértice **1**, ponto inicial da descrição deste perímetro. Todas as coordenadas aqui descritas estão georreferenciadas ao Sistema Geodésico Brasileiro e encontram-se representadas no Sistema UTM, referenciadas ao **Meridiano Central 45° WGr, Fuso 23**, tendo como o Datum o **SICAD-SIRGAS 2000.** Todos os azimutes e distâncias, áreas e perímetros foram calculados no plano de projeção UTM.



SFL - PLC 0019/2019 folha 000099

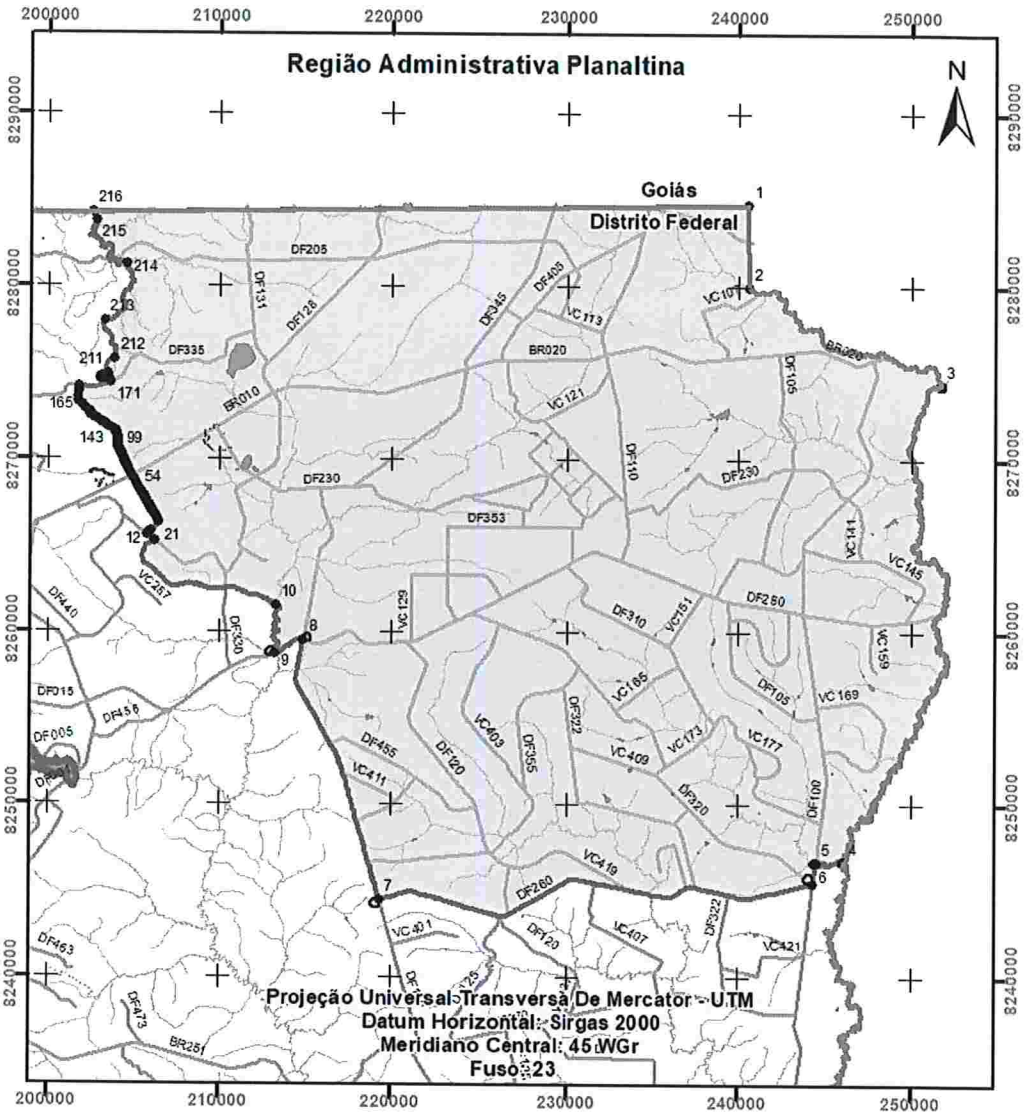




SPL - PLC 0019/2019 folha 000100

# MEMORIAL DESCRITIVO

## PARANOÁ – RA VII

Perímetro: 215.012,823 m  Área: 83.120,985 há

Inicia-se a descrição deste perímetro no vértice **1**, de coordenadas **N 8.259.419,72** m. e **E 214.882,90** m., situado na interseção da Rodovia DF-250 com a Rodovia DF-130, deste, segue pela Rodovia DF-130, até o vértice **2**, de coordenadas **N 8.244.457,69** m. e **E 219.295,44** m.; ponto de interseção entre o eixo da Rodovia DF-130 com o eixo da Rodovia DF-260, deste, segue pela Rodovia DF-260, até o vértice **3**, de coordenadas **N 8.245.440,56** m. e **E 244.355,90** m.; ponto de interseção entre a Rodovia DF-260, Rodovia DF-320 e Rodovia DF-100 deste, segue pela Rodovia DF-100, até o vértice **4**, de coordenadas **N 8.246.647,13** m. e **E 244.536,19** m.; ponto de cruzamento da Rodovia DF-100 com o Córrego Tabatinga deste, segue margeando o Córrego Tabatinga, até o vértice **5**, de coordenadas **N 8.246.682,62** m. e **E 246.212,16** m.; ponto de confluência entre o Córrego Tabatinga e o Rio Preto deste, segue margeando o Rio Preto, até o vértice **6**, de coordenadas **N 8.224.156,32** m. e **E 252.839,40** m.; ponto de cruzamento do Rio Preto com o Limite Sul do Distrito Federal, deste, segue pelo Limite Sul do Distrito Federal, até o vértice **7**, de coordenadas **N 8.223.726,61** m. e **E 219.954,72** m.; ponto de cruzamento entre o Limite Sul do Distrito Federal e o eixo da Rodovia BR-251 deste, segue pela Rodovia BR-251, até o vértice **8**, de coordenadas **N 8.233.402,95** m. e **E 215.050,02** m.; ponto de cruzamento entre a Rodovia BR-251 e o Ribeirão Taboca deste, segue margeando o Ribeirão Taboca, até o vértice **9**, de coordenadas **N 8.255.807,36** m. e **E 198.553,51** m.; ponto de cruzamento entre o Ribeirão Taboca e o eixo da Rodovia DF-015, deste, segue pela Rodovia DF-015 até o vértice **10**, de coordenadas **N 8.255.831,33** m. e **E 202.311,33** m.; ponto de interseção entre a Rodovia DF-015, Rodovia DF-001 e Rodovia DF-250 deste, segue pela Rodovia DF-250, até o vértice **1**, de coordenadas **N 8.259.419,72** m. e **E 214.882,90** m.; ponto inicial da descrição deste perímetro. Todos os azimutes e distâncias, áreas e perímetros foram calculados no plano de projeção UTM. Todas as coordenadas aqui descritas estão georreferenciadas ao Sistema Geodésico Brasileiro e encontram-se representadas no Sistema UTM, referenciadas ao **Meridiano Central 45° WGr, Fuso 23**, tendo como o *Datum* o **SICAD-SIRGAS 2000.** Todos os azimutes e distâncias, áreas e perímetros foram calculados no plano de projeção UTM.



SFL - PLC 0019/2019 folha 000101

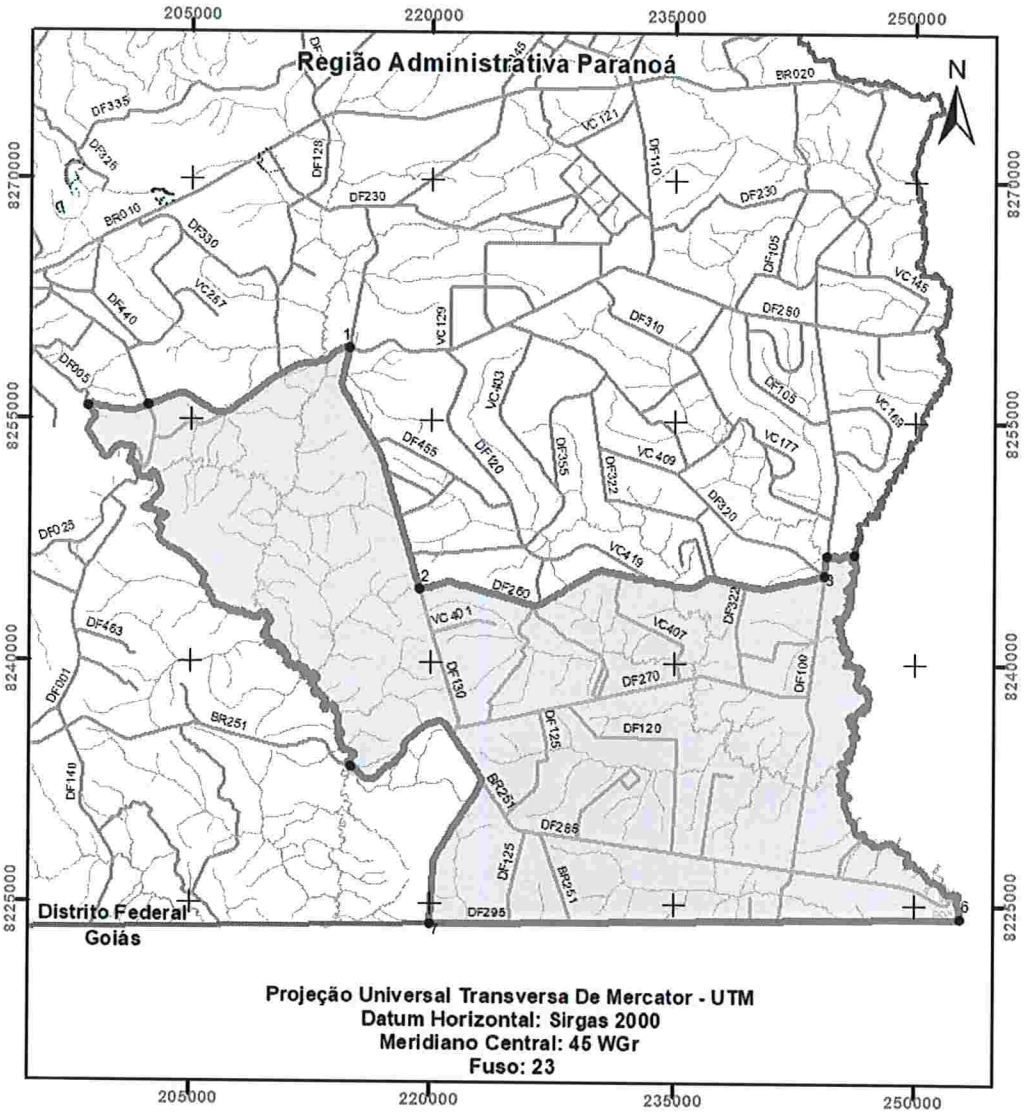




SPL - PLC 0019/2019 folha 000102

# MEMORIAL DESCRITIVO

## NÚCLEO BANDEIRANTE – RA VIII

Perímetro: 20.102,937 m  Área: 504,6690 ha

Inicia-se a descrição deste perímetro no vértice **1**, de coordenadas **N 8.245.618,847**m e **E 183.430,438**m; deste, segue em linha reta, com o seguinte azimute e distância: 97°55'52" e 101,694m até o vértice **2**, de coordenadas **N 8.245.604,815**m e **E 183.531,159**m, localizado no eixo da Rodovia DF-003; deste, segue pelo eixo da referida Rodovia até o vértice **3**, de coordenadas **N 8.242.457,156**m e **E 183.087,399**m; deste, deixando a referida Rodovia, segue por linha divisória com os seguintes azimutes e distâncias: 277°23'57" e 98,330 m até o vértice 4, de coordenadas **N 8.242.469,819**m e **E 182.989,888**m; 278°03'08" e 117,799 m até o vértice **5**, de coordenadas **N 8.242.486,320**m e **E 182.873,250**m; 278°03'08" e 94,634 m até o vértice **6**, de coordenadas **N 8.242.499,576**m e **E 182.779,549**m; 188°00'24" e 120,944 m até o vértice **7**, de coordenadas **N 8.242.379,811**m e **E 182.762,703**m; 187°33'22" e 52,313 m até o vértice **8**, de coordenadas **N 8.242.327,952**m e **E 182.755,824**m; 188°01'58" e 66,267 m até o vértice **9**, de coordenadas **N 8.242.262,335**m e **E 182.746,564**m; 252°51'17" e 182,194 m até o vértice **10**, de coordenadas **N 8.242.208,625**m e **E 182.572,467**m; 177°34'47" e 37,605 m até o vértice **11**, de coordenadas **N 8.242.171,054**m e **E 182.574,055**m; 179°28'24" e 115,099 m até o vértice **12**, de coordenadas **N 8.242.055,960**m e **E 182.575,113**m; 182°16'21" e 33,364 m até o vértice **13**, de coordenadas **N 8.242.022,622**m e **E 182.573,790**m; 269°26'48" e 164,314 m até o vértice **14**, de coordenadas **N 8.242.021,035**m e **E 182.409,484**m; 269°02'31" e 79,122 m até o vértice **15**, de coordenadas **N 8.242.019,712**m e **E 182.330,373**m; 269°12'46" e 77,001 m até o vértice **16**, de coordenadas **N 8.242.018,654**m e **E 182.253,379**m; 263°56'18" e 30,066 m até o vértice **17**, de coordenadas **N 8.242.015,479**m e **E 182.223,481**m; 268°54'58" e 97,736 m até o vértice **18**, de coordenadas **N 8.242.013,630**m e **E 182.125,762**m; 270°32'17" e 56,006 m até o vértice **19**, de coordenadas **N 8.242.014,156**m e **E 182.069,758**m; 312°18'55" e 23,973 m até o vértice **20**, de coordenadas **N 8.242.030,295**m e **E 182.052,031**m; 333°26'11" e 17,749 m até o vértice **21**, de coordenadas **N 8.242.046,170**m e **E 182.044,094**m; 0°04'09" e 103,728 m até o vértice **22**, de coordenadas **N 8.242.149,898**m e **E 182.044,219**m; 269°37'43" e 205,284 m até o vértice **23**, de coordenadas **N 8.242.148,567**m e **E 181.838,939**m; 177°41'27" e 149,039 m até o vértice **24**, de coordenadas **N 8.241.999,649**m e **E 181.844,944**m; 179°10'51" e 200,007 m até o vértice **25**, de coordenadas **N 8.241.799,662**m e **E**



SPL - PLC 0019/2019 folha 000103

**181.847,803**m; 180°47'03" e 41,362 m até o vértice **26**, de coordenadas **N 8.241.758,304**m e **E 181.847,237**m; 89°49'42" e 397,148 m até o vértice **27**, de coordenadas **N 8.241.759,494**m e **E 182.244,383**m; 89°15'10" e 273,868 m até o vértice **28**, de coordenadas **N 8.241.763,066**m e **E 182.518,228**m; 87°16'26" e 58,407 m até o vértice **29**, de coordenadas **N 8.241.765,844**m e **E 182.576,569**m; 82°34'09" e 36,821 m até o vértice **30**, de coordenadas **N 8.241.770,606**m e **E 182.613,081**m; 76°42'54" e 29,361 m até o vértice **31**, de coordenadas **N 8.241.777,353**m e **E 182.641,656**m; 69°47'35" e 60,898 m até o vértice **32**, de coordenadas **N 8.241.798,388**m e **E 182.698,806**m; 65°55'03" e 57,383 m até o vértice **33**, de coordenadas **N 8.241.821,803**m e **E 182.751,194**m; 75°35'57" e 60,642 m até o vértice **34**, de coordenadas **N 8.241.836,885**m e **E 182.809,931**m; 77°24'46" e 41,886 m até o vértice **35**, de coordenadas **N 8.241.846,013**m e **E 182.850,810**m; 92°12'10" e 36,842 m até o vértice **36**, de coordenadas **N 8.241.844,597**m e **E 182.887,625**m; 188°15'01" e 2,021 m até o vértice **37**, de coordenadas **N 8.241.842,597**m e **E 182.887,335**m; 160°57'46" e 29,303 m até o vértice **38**, de coordenadas **N 8.241.814,897**m e **E 182.896,893**m; 180°17'38" e 8,969 m até o vértice **39**, de coordenadas **N 8.241.805,928**m e **E 182.896,847**m; 177°08'12" e 15,895 m até o vértice **40**, de coordenadas **N 8.241.790,053**m e **E 182.897,641**m; 177°12'27" e 48,873 m até o vértice **41**, de coordenadas **N 8.241.741,238**m e **E 182.900,022**m; 186°41'19" e 62,470 m até o vértice 42, de coordenadas **N 8.241.679,193**m e **E 182.892,746**m, localizado no eixo da Ferrovia Centro- Atlântica; deste, segue pelo eixo da Ferrovia Centro- Atlântica até atingir o vértice **44**, de coordenadas **N 8.242.369,487**m e **E 180.829,512**m; deste, deixando a referida Rodovia, segue por linha divisória com os seguintes azimutes e distâncias: 261°57'00" e 25,758 m até o vértice **45**, de coordenadas **N 8.242.365,880**m e **E 180.804,008**m; 177°52'43" e 35,742 m até o vértice **46**, de coordenadas **N 8.242.330,162**m e **E 180.805,331**m; 208°46'58" e 24,453 m até o vértice **47**, de coordenadas **N 8.242.308,730**m e **E 180.793,557**m; 211°22'26" e 15,332 m até o vértice **48**, de coordenadas **N 8.242.295,640**m e **E 180.785,575**m; 211°22'22" e 35,490 m até o vértice **49**, de coordenadas **N 8.242.265,339**m e **E 180.767,099**m; 292°56'43" e 32,223 m até o vértice **50**, de coordenadas **N 8.242.277,901**m e **E 180.737,426**m; 279°15'57" e 50,833 m até o vértice **51**, de coordenadas **N 8.242.286,086**m e **E 180.687,256**m; 279°15'54" e 47,826 m

até o vértice **52**, de coordenadas **N 8.242.293,786**m e **E 180.640,054**m; 279°16'03" e 23,385 m até o vértice **53**, de coordenadas **N 8.242.297,552**m e **E 180.616,974**m; 254°36'08" e 3,450 m até o vértice **54**, de coordenadas **N 8.242.296,636**m e **E 180.613,648**m; 254°36'46"



SPL - PLC 0019/2019 folha 000104

e 4,074 m até o vértice **55**, de coordenadas **N 8.242.295,555**m e **E 180.609,720**m; 262°04'48" e 21,946 m até o vértice **56**, de coordenadas **N 8.242.292,531**m e **E 180.587,983**m; 262°41'57" e 42,564 m até o vértice **57**, de coordenadas **N 8.242.287,122**m e **E 180.545,764**m; 262°42'03" e 11,019 m até o vértice **58**, de coordenadas **N 8.242.285,722**m e **E 180.534,834**m; 262°42'03" e 18,001 m até o vértice **59**, de coordenadas **N 8.242.283,435**m e **E 180.516,979**m; 255°35'11" e 22,344 m até o vértice **60**, de coordenadas **N 8.242.277,873**m e **E 180.495,338**m; 255°25'22" e 22,679 m até o vértice **61**, de coordenadas **N 8.242.272,165**m e **E 180.473,389**m; 273°33'11" e 28,221 m até o vértice **62**, de coordenadas **N 8.242.273,914**m e **E 180.445,222**m; 271°23'16" e 19,820 m até o vértice **63**, de coordenadas **N 8.242.274,394**m e **E 180.425,408**m; 300°19'18" e 15,577 m até o vértice **64**, de coordenadas **N 8.242.282,258**m e **E 180.411,962**m; 297°00'16" e 56,220 m até o vértice **65**, de coordenadas **N 8.242.307,785**m e **E 180.361,872**m; 290°47'54" e 17,883 m até o vértice **66**, de coordenadas **N 8.242.314,135**m e **E 180.345,154**m; 274°27'20" e 26,646 m até o vértice **67**, de coordenadas **N 8.242.316,205**m e **E 180.318,589**m; 285°01'04" e 29,901 m até o vértice **68**, de coordenadas **N 8.242.323,953**m e **E 180.289,709**m; 274°08'17" e 48,100 m até o vértice **69**, de coordenadas **N 8.242.327,424**m e **E 180.241,734**m; 271°42'55" e 25,823 m até o vértice **70**, de coordenadas **N 8.242.328,197**m e **E 180.215,923**m; 283°22'30" e 13,998 m até o vértice **71**, de coordenadas **N 8.242.331,435**m e **E 180.202,305**m; 284°56'14" e 19,728 m até o vértice **72**, de coordenadas **N 8.242.336,520**m e **E 180.183,244**m; 272°40'35" e 15,804 m até o vértice **73**, de coordenadas **N 8.242.337,258**m e **E 180.167,457**m; 261°33'07" e 24,940 m até o vértice **74**, de coordenadas **N 8.242.333,594**m e **E 180.142,788**m; 262°42'15" e 26,230 m até o vértice **75**, de coordenadas **N 8.242.330,263**m e **E 180.116,770**m; 262°02'45" e 19,194 m até o vértice **76**, de coordenadas **N 8.242.327,607**m e **E 180.097,761**m; 261°08'12" e 37,721 m até o vértice **77**, de coordenadas **N 8.242.321,795**m e **E 180.060,490**m; 256°23'08" e 22,266 m até o vértice **78**, de coordenadas **N 8.242.316,554**m e **E 180.038,850**m; 246°13'24" e 33,462 m até o vértice **79**, de coordenadas **N 8.242.303,063**m e **E 180.008,228**m; 246°13'10" e 8,571 m até o vértice **80**, de coordenadas **N 8.242.299,607**m e **E 180.000,385**m; 242°13'50" e 7,319 m até o vértice **81**, de coordenadas **N 8.242.296,197**m e **E 179.993,909**m; 236°59'08" e 15,878 m até o vértice **82**, de coordenadas **N 8.242.287,546**m e **E 179.980,595**m; 266°25'47" e 79,666 m até o vértice **83**, de coordenadas **N 8.242.282,585**m e **E 179.901,084**m; 266°25'47" e 37,368 m até o vértice **84**, de coordenadas **N 8.242.280,258**m e **E 179.863,789**m; 266°25'43" e 32,525 m até o vértice **85**, de coordenadas **N 8.242.278,232**m e **E 179.831,327**m; 271°12'24" e 6,220 m até o vértice **86**, de coordenadas **N 8.242.278,363**m e **E 179.825,108**m; 271°10'02" e 8,541 m até o vértice **87**, de coordenadas **N 8.242.278,537**m e **E 179.816,569**m;



SFL - PLC 0019/2019 folha 000105

260°42'32" e 5,940 m até o vértice **88**, de coordenadas **N 8.242.277,578**m e **E 179.810,707**m; 249°36'14" e 2,181 m até o vértice **89**, de coordenadas **N 8.242.276,818**m e **E 179.808,663**m; 266°25'49" e 50,606 m até o vértice **90**, de coordenadas **N 8.242.273,667**m e **E 179.758,155**m; 266°25'45" e 35,435 m até o vértice **91**, de coordenadas **N 8.242.271,460**m e **E 179.722,789**m; 267°19'46" e 105,892 m até o vértice **92**, de coordenadas **N 8.242.266,526**m e **E 179.617,012**m; 265°20'49" e 91,318 m até o vértice **93**, de coordenadas **N 8.242.259,118**m e **E 179.525,995**m; 257°38'24" e 60,340 m até o vértice **94**, de coordenadas **N 8.242.246,202**m e **E 179.467,054**m; 256°01'35" e 59,369 m até o vértice **95**, de coordenadas **N 8.242.231,866**m e **E 179.409,442**m; 251°06'01" e 27,594 m até o vértice **96**, de coordenadas **N 8.242.222,928**m e **E 179.383,336**m; 243°56'48" e 23,287 m até o vértice **97**, de coordenadas **N 8.242.212,700**m e **E 179.362,415**m; 239°21'13" e 40,178 m até o vértice **98**, de coordenadas **N 8.242.192,220**m e **E 179.327,849**m; 236°07'28" e 30,485 m até o vértice **99**, de coordenadas **N 8.242.175,228**m e **E 179.302,539**m; 232°25'54" e 31,932 m até o vértice **100**, de coordenadas **N 8.242.155,759**m e **E 179.277,229**m; 229°46'44" e 79,623 m até o vértice **101**, de coordenadas **N 8.242.104,343**m e **E 179.216,432**m; 235°55'06" e 32,375 m até o vértice **102**, de coordenadas **N 8.242.086,201**m e **E 179.189,618**m; 244°44'53" e 20,743 m até o vértice **103**, de coordenadas **N**

**8.242.077,352**m e **E 179.170,857**m; 251°12'14" e 17,855 m até o vértice **104**, de coordenadas **N 8.242.071,599**m e **E 179.153,954**m; 256°24'22" e 19,575 m até o vértice **105**, de coordenadas **N 8.242.066,998**m e **E 179.134,927**m; 263°58'13" e 14,327 m até o vértice **106**, de coordenadas **N 8.242.065,493**m e **E 179.120,679**m; 265°43'54" e 11,891 m até o vértice **107**, de coordenadas **N 8.242.064,608**m e **E 179.108,821**m; 266°43'40" e 69,761 m até o vértice **108**, de coordenadas **N 8.242.060,626**m e **E 179.039,174**m; 266°59'31" e 53,968 m até o vértice **109**, de coordenadas **N 8.242.057,794**m e **E 178.985,280**m; 271°13'28" e 53,818 m até o vértice **110**, de coordenadas **N 8.242.058,944**m e **E 178.931,474**m; 272°32'30" e 67,855 m até o vértice **111**, de coordenadas **N 8.242.061,953**m e **E 178.863,686**m; 266°33'38" e 53,105 m até o vértice **112**, de coordenadas **N 8.242.058,767**m e **E 178.810,677**m; 264°12'03" e 50,791 m até o vértice **113**, de coordenadas **N 8.242.053,635**m e **E 178.760,146**m; 264°19'14" e 48,291 m até o vértice **114**, de coordenadas **N 8.242.048,856**m e **E 178.712,092**m; 260°54'33" e 29,127 m até o vértice **115**, de coordenadas **N 8.242.044,254**m e **E 178.683,331**m; 354°04'03" e 294,324 m até o vértice **116**, de coordenadas **N 8.242.337,002**m e **E 178.652,910**m, localizado no eixo da Rodovia DF-075;



SPL - PLC 0019/2019 fo.ha 000106

deste, segue pelo eixo da Rodovia DF-075 até atingir o vértice **117**, de coordenadas **N 8.242.802,659**m e **E 180.954,136**m, localizado na interseção da Rodovia DF-075 com a Ferrovia Centro-Atlântica; deste, deixando a referida Rodovia, segue pelo eixo da Ferrovia Centro-Atlântica até atingir o vértice **118**, de coordenadas **N 8.243.758,860**m e **E 181.051,329**m; deste, deixando a referida Ferrovia, segue por linha divisória, com os seguintes azimutes e distâncias: 76°28'08" e 20,190 m até o vértice **119**, de coordenadas **N 8.243.763,584**m e **E 181.070,959**m; 36°05'47" e 51,736 m até o vértice **120**, de coordenadas **N 8.243.805,388**m e **E 181.101,439**m; 134°11'08" e 31,585 m até o vértice **121**, de coordenadas **N 8.243.783,374**m e **E 181.124,088**m; 133°59'41" e 29,864 m até o vértice **122**, de coordenadas **N 8.243.762,631**m e **E 181.145,572**m; 134°48'29" e 44,752 m até o vértice **123**, de coordenadas **N 8.243.731,093**m e **E 181.177,322**m; 134°13'55" e 50,219 m até o vértice **124**, de coordenadas **N 8.243.696,062**m e **E 181.213,305**m; 134°27'08" e 31,283 m até o vértice **125**, de coordenadas **N 8.243.674,154**m e **E 181.235,636**m; 131°29'08" e 34,189 m até o vértice **126**, de coordenadas **N 8.243.651,506**m e **E 181.261,248**m; 131°17'43" e 41,696 m até o vértice **127**, de coordenadas **N 8.243.623,989**m e **E 181.292,575**m; 125°18'40" e 18,676 m até o vértice **128**, de coordenadas **N 8.243.613,194**m e **E 181.307,815**m; 133°07'31" e 50,316 m até o vértice **129**, de coordenadas **N 8.243.578,798**m e **E 181.344,539**m; 133°30'03" e 28,597 m até o vértice **130**, de coordenadas **N 8.243.559,113**m e **E 181.365,282**m; 93°26'47" e 8,800 m até o vértice **131**, de coordenadas **N 8.243.558,584**m e **E 181.374,066**m; 93°09'39" e 10,083 m até o vértice **132**, de coordenadas **N 8.243.558,028**m e **E 181.384,134**m; 95°59'37" e 25,341 m até o vértice **133**, de coordenadas **N 8.243.555,382**m e **E 181.409,336**m; 95°44'39" e 50,086 m até o vértice **134**, de coordenadas **N 8.243.550,369**m e **E 181.459,170**m; 96°09'13" e 59,237 m até o vértice **135**, de coordenadas **N 8.243.544,019**m e **E 181.518,066**m; 95°53'19" e 106,767 m até o vértice **136**, de coordenadas **N 8.243.533,065**m e **E 181.624,270**m; 96°16'09" e 84,324 m até o vértice **137**, de coordenadas **N 8.243.523,857**m e **E 181.708,090**m; 95°37'46" e 33,978 m até o vértice **138**, de coordenadas **N 8.243.520,524**m e **E 181.741,904**m; 95°50'43" e 60,800 m até o vértice **139**, de coordenadas **N 8.243.514,332**m e **E 181.802,388**m; 95°46'57" e 50,422 m até o vértice **140**, de coordenadas **N 8.243.509,252**m e **E 181.852,553**m; 96°15'14" e 23,317 m até o vértice **141**, de coordenadas **N 8.243.506,712**m e **E 181.875,731**m; 95°52'00" e 86,975 m até o vértice **142**, de coordenadas **N 8.243.497,822**m e **E 181.962,250**m; 5°23'19" e 25,354 m até o vértice **143**, de coordenadas **N 8.243.523,064**m e **E 181.964,631**m; 5°49'59" e 109,603 m até o vértice **144**, de coordenadas **N 8.243.632,099**m e **E 181.975,770**m;



SFL - PLC 0019/2019 folha 000107

5°49'53" e 62,500 m até o vértice **145**, de coordenadas **N 8.243.694,276**m e **E 181.982,120**m; 5°50'19" e 65,028 m até o vértice **146**, de coordenadas **N 8.243.758,967**m e **E 181.988,735**m; 95°27'01" e 37,608 m até o vértice **147**, de coordenadas **N 8.243.755,395**m e **E 182.026,173**m; 95°14'55" e 63,635 m até o vértice **148**, de coordenadas **N 8.243.749,574**m e **E 182.089,541**m; 95°46'40" e 56,511 m até o vértice **149**, de coordenadas **N 8.243.743,885**m e **E 182.145,765**m; 96°07'46" e 95,398 m até o vértice **150**, de coordenadas **N 8.243.733,699**m e **E 182.240,618**m; 95°45'07" e 72,598 m até o vértice **151**, de coordenadas **N 8.243.726,423**m e **E 182.312,850**m; 96°06'47" e 106,837 m até o vértice **152**, de coordenadas **N 8.243.715,046**m e **E 182.419,080**m; 96°42'36" e 22,645 m até o vértice **153**, de coordenadas **N 8.243.712,400**m e **E 182.441,570**m; 85°20'32" e 17,918 m até o vértice **154**, de coordenadas **N 8.243.713,855**m e **E 182.459,429**m; 70°08'48" e 15,191 m até o vértice **155**, de coordenadas **N 8.243.719,014**m e **E 182.473,717**m; 57°31'29" e 12,074 m até o vértice **156**, de coordenadas **N 8.243.725,497**m e **E 182.483,903**m; 45°24'36" e 26,193 m até o vértice **157**, de coordenadas **N 8.243.743,885**m e **E 182.502,556**m; 41°51'26" e 8,526 m até o vértice **158**, de coordenadas **N 8.243.750,235**m e **E 182.508,245**m; 36°31'47" e 13,336 m até o vértice **159**, de coordenadas **N 8.243.760,951**m e **E 182.516,183**m; 38°56'40" e 24,834 m até o vértice **160**, de coordenadas **N 8.243.780,266**m e **E 182.531,793**m; 83°49'53" e 9,846 m até o vértice **161**, de coordenadas **N 8.243.781,324**m e **E 182.541,582**m; 95°42'43" e 7,978 m até o vértice **162**, de coordenadas **N 8.243.780,530**m e **E 182.549,520**m; 114°00'42" e 30,558 m até o vértice **163**, de coordenadas **N 8.243.768,095**m e **E 182.577,434**m; 155°51'49" e 57,262 m até o vértice **164**, de coordenadas **N 8.243.715,839**m e **E 182.600,849**m, localizado no eixo da Rodovia DF-075; deste, segue pelo eixo da Rodovia DF-075 até atingir o vértice **165**, de coordenadas **N 8.243.936,140**m e **E 183.038,719**m; deste, deixando a referida Rodovia, segue por linha divisória com os seguintes azimutes e distâncias: 331°26'45" e 45,729 m até o vértice **166**, de coordenadas **N 8.243.976,307**m e **E 183.016,861**m; 311°12'48" e 12,998 m até o vértice **167**, de coordenadas **N 8.243.984,871**m e **E 183.007,083**m; 301°30'45" e 7,825 m até o vértice **168**, de coordenadas **N 8.243.988,961**m e **E 183.000,412**m; 301°30'45" e 128,471 m até o vértice **169**, de coordenadas **N 8.244.056,111**m e **E 182.890,887**m; 305°51'21" e 61,091 m até o vértice **170**, de coordenadas **N 8.244.091,895**m e **E 182.841,373**m; 305°51'20" e 19,898 m até o vértice **171**, de coordenadas **N 8.244.103,550**m e **E 182.825,246**m; 307°01'51" e 83,614 m até o vértice **172**, de coordenadas **N 8.244.153,906**m e **E 182.758,496**m; 303°16'07" e 93,218 m até o vértice **173**, de coordenadas **N 8.244.205,042**m e **E 182.680,556**m; 329°37'05" e 4,374 m até o vértice **174**,



SFL - PLC 0019/2019 folha 000108

de coordenadas **N 8.244.208,815**m e **E 182.678,344**m; 340°42'27" e 5,515 m até o vértice **175**, de coordenadas **N 8.244.214,020**m e **E 182.676,522**m; 6°10'37" e 4,842 m até o vértice **176**, de coordenadas **N 8.244.218,834**m e **E 182.677,043**m; 22°46'20" e 29,917 m até o vértice 177, de coordenadas **N 8.244.246,419**m e **E 182.688,623**m; 11°19'52" e 5,293 m até o vértice **178**, de coordenadas **N 8.244.251,609**m e **E 182.689,663**m; 3°01'56" e 3,403 m até o vértice **179**, de coordenadas **N 8.244.255,007**m e **E 182.689,843**m; 345°41'21" e 4,353 m até o vértice **180**, de coordenadas **N 8.244.259,225**m e **E 182.688,767**m; 322°42'02" e 3,282 m até o vértice **181**, de coordenadas **N 8.244.261,836**m e **E 182.686,778**m; 304°00'56" e 3,321 m até o vértice **182**, de coordenadas **N 8.244.263,694**m e **E 182.684,025**m; 7°19'30" e 690,763 m até o vértice **183**, de coordenadas **N 8.244.948,820**m e **E 182.772,094**m; 2°17'42" e 51,643 m até o vértice **184**, de coordenadas **N 8.245.000,422**m e **E 182.774,162**m; 93°53'33" e 99,653 m até o vértice **185**, de coordenadas **N 8.244.993,657**m e **E 182.873,585**m; 95°28'52" e 31,292 m até o vértice **186**, de coordenadas **N 8.244.990,668**m e **E 182.904,734**m; 98°31'25" e 164,609 m até o vértice **187**, de coordenadas **N 8.244.966,270**m e **E 183.067,525**m; 97°56'47" e 93,978 m até o vértice **188**, de coordenadas **N 8.244.953,278**m e **E 183.160,601**m; 98°47'55" e 141,573 m até o vértice **189**, de coordenadas **N 8.244.931,623**m e **E 183.300,508**m; 97°25'49" e 33,861 m até o vértice **190**, de coordenadas **N 8.244.927,244**m e **E 183.334,085**m; 7°55'53" e 15,734 m até o vértice **191**, de coordenadas **N 8.244.942,827**m e **E 183.336,256**m; 7°55'54" e 136,922 m até o vértice **192**, de coordenadas **N 8.245.078,439**m e **E 183.355,150**m; 7°55'52" e 240,121 m até o vértice **193**, de coordenadas **N 8.245.316,263**m e **E 183.388,283**m; 7°55'52" e 152,663 m até o vértice **194**, de coordenadas **N 8.245.467,466**m e **E 183.409,348**m; 7°55'52" e 106,715 m até o vértice **195**, de coordenadas **N 8.245.573,160**m e **E 183.424,073**m; 7°55'53" e 46,128 m até o vértice 1, ponto inicial da descrição deste perímetro. Todas as coordenadas aqui descritas estão georreferenciadas ao Sistema Geodésico Brasileiro e encontram-se representadas no Sistema UTM, referenciadas ao **Meridiano Central 45° WGr, Fuso 23**, tendo como o Datum o **SICAD-SIRGAS 2000.** Todos os azimutes e distâncias, áreas e perímetros foram calculados no plano de projeção UTM.



SPL - PLC 0019/2019 folha 000109

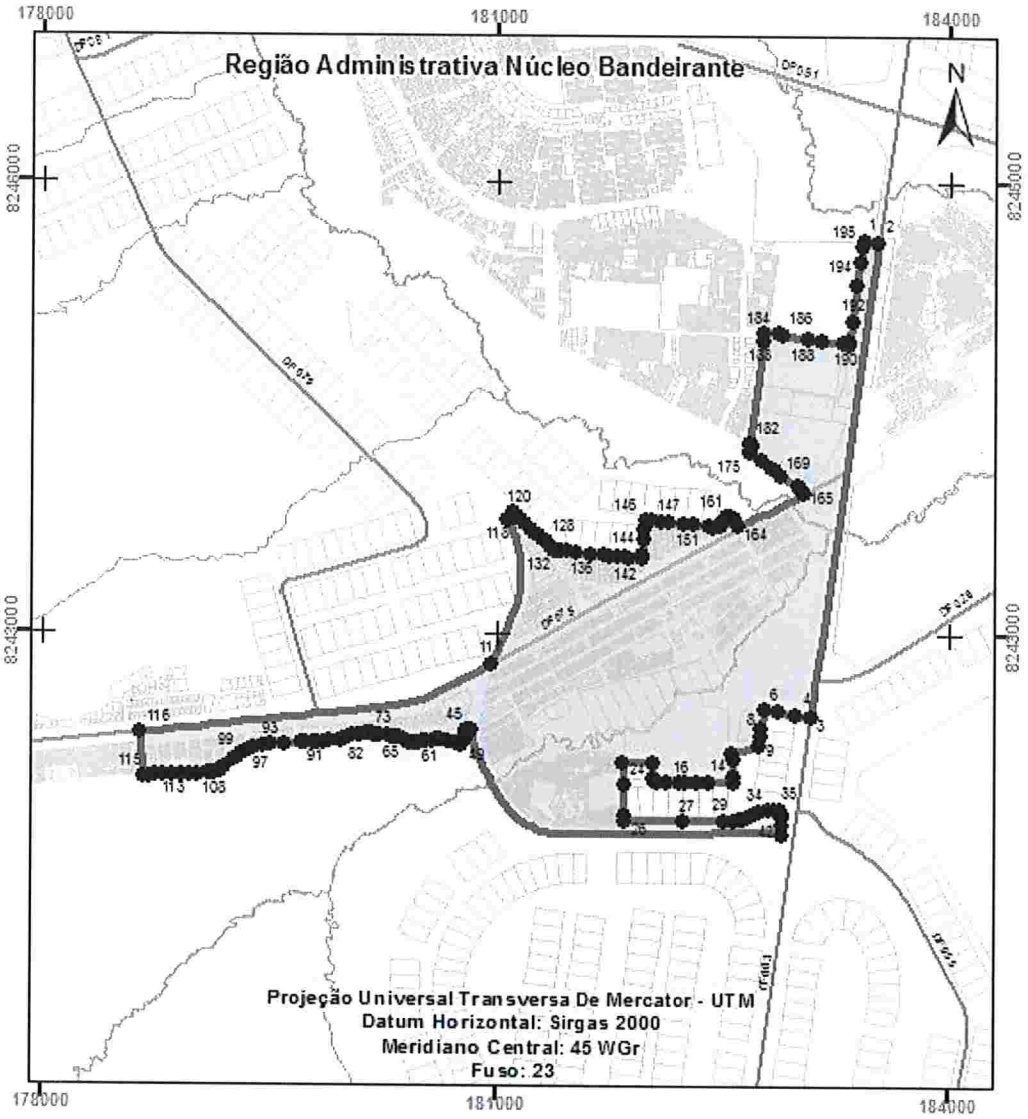




SPL - PLC 0019/2019 folha 000110

# MEMORIAL DESCRITIVO

## CEILÂNDIA – RA IX

Perímetro: 117.499,509 m  Área: 19.265,694 ha

Inicia-se a descrição deste perímetro no vértice **1**, de coordenadas **N 8.256.069,85** m e **E 156.450,37** m, situado na confluência do Rio Descoberto com o Ribeirão das Pedras, deste, segue margeando o Ribeirão das Pedras, até o vértice **2**, de coordenadas **N 8.253.994,37** m e **E 166.533,08** m; ponto de confluência entre o Ribeirão das Pedras e o Córrego Currais deste, segue margeando o Córrego Currais, até o vértice **3**, de coordenadas **N 8.251.779,73** m e **E 167.064,70** m; deste, segue com azimute de 290°27'13" e distância de 46,69 m, até o vértice **4**, de coordenadas **N 8.251.796,05** m e **E 167.020,96** m; deste, segue com azimute de 290°27'13" e distância de 66,80 m, até o vértice **5**, de coordenadas **N 8.251.819,39** m e **E 166.958,37** m; deste, segue com azimute de 224°06'19" e distância de 1,23 m, até o vértice **6**, de coordenadas **N 8.251.818,50** m e **E 166.957,51** m; deste, segue com azimute de 213°16'08" e distância de 7,33 m, até o vértice **7**, de coordenadas **N 8.251.812,38** m e **E 166.953,49** m; deste, segue com azimute de 213°16'12" e distância de 1,92 m, até o vértice **8**, de coordenadas **N 8.251.810,77** m e **E 166.952,44** m; deste, segue com azimute de 213°16'07" e distância de 4,78 m, até o vértice **9**, de coordenadas **N 8.251.806,78** m e **E 166.949,82** m; deste, segue com azimute de 213°16'11" e distância de 2,63 m, até o vértice **10**, de coordenadas **N 8.251.804,58** m e **E 166.948,37** m; deste, segue com azimute de 213°16'13" e distância de 3,20 m, até o vértice **11**, de coordenadas **N 8.251.801,90** m e **E 166.946,62** m; deste, segue com azimute de 213°16'09" e distância de 10,05 m, até o vértice **12**, de coordenadas **N 8.251.793,50** m e **E 166.941,10** m; deste, segue com azimute de 213°16'10" e distância de 8,34 m, até o vértice **13**, de coordenadas **N 8.251.786,52** m e **E 166.936,53** m; deste, segue com azimute de 213°16'09" e distância de 8,46 m, até o vértice **14**, de coordenadas **N 8.251.779,45** m e **E 166.931,89** m; deste, segue com azimute de 213°16'11" e distância de 8,75 m, até o vértice **15**, de coordenadas **N 8.251.772,13** m e **E 166.927,09** m; deste, segue com azimute de 213°16'07" e distância de 8,01 m, até o vértice **16**, de coordenadas **N 8.251.765,44** m e **E 166.922,69** m; deste, segue com azimute de 213°16'10" e distância de 16,03 m, até o vértice **17**, de coordenadas **N 8.251.752,04** m e **E 166.913,90** m; deste, segue com azimute de 213°16'09" e distância de 50,65 m, até o vértice **18**, de coordenadas **N 8.251.709,69** m e **E 166.886,12** m; deste, segue com azimute de 214°18'28" e distância de 20,74 m, até o vértice **19**, de coordenadas **N**



SFL - PLC 0019/2019 folha 000111

**8.251.692,56** m e **E 166.874,43** m; deste, segue com azimute de 214°18'28" e distância de 19,43 m, até o vértice **20**, de coordenadas **N 8.251.676,52** m e **E 166.863,48** m; deste, segue com azimute de 214°18'28" e distância de 21,62 m, até o vértice **21**, de coordenadas **N 8.251.658,66** m e **E 166.851,30** m; deste, segue com azimute de 214°12'52" e distância de 20,61 m, até o vértice **22**, de coordenadas **N 8.251.641,62** m e **E 166.839,71** m; deste, segue com azimute de 214°12'52" e distância de 22,61 m, até o vértice **23**, de coordenadas **N 8.251.622,93** m e **E 166.827,00** m; deste, segue com azimute de 214°12'51" e distância de 19,15 m, até o vértice **24**, de coordenadas **N 8.251.607,09** m e **E 166.816,23** m; deste, segue com azimute de 213°32'26" e distância de 61,35 m, até o vértice **25**, de coordenadas **N 8.251.555,95** m e **E 166.782,33** m; deste, segue com azimute de 213°50'36" e distância de 19,45 m, até o vértice **26**, de coordenadas **N 8.251.539,80** m e **E 166.771,50** m; deste, segue com azimute de 213°50'35" e distância de 43,76 m, até o vértice **27**, de coordenadas **N 8.251.503,45** m e **E 166.747,13** m; deste, segue com azimute de 213°50'32" e distância de 37,39 m, até o vértice **28**, de coordenadas **N 8.251.472,40** m e **E 166.726,31** m; deste, segue com azimute de 213°50'32" e distância de 24,62 m, até o vértice **29**, de coordenadas **N 8.251.451,95** m e **E 166.712,60** m; deste, segue com azimute de 213°54'33" e distância de 81,13 m, até o vértice **30**, de coordenadas **N 8.251.384,62** m e **E 166.667,34** m; deste, segue com azimute de 296°27'12" e distância de 9,94 m, até o vértice **31**, de coordenadas **N 8.251.389,05** m e **E 166.658,44** m; deste, segue com azimute de 291°33'28" e distância de 16,75 m, até o vértice **32**, de coordenadas **N 8.251.395,20** m e **E 166.642,86** m; deste, segue com azimute de 265°32'08" e distância de 21,27 m, até o vértice **33**, de coordenadas **N 8.251.393,55** m e **E 166.621,66** m; deste, segue com azimute de 251°04'31" e distância de 29,37 m, até o vértice **34**, de coordenadas **N 8.251.384,02** m e **E 166.593,88** m; deste, segue com azimute de 232°42'36" e distância de 32,37 m, até o vértice **35**, de coordenadas **N 8.251.364,41** m e **E 166.568,13** m; deste, segue com azimute de 232°11'01" e distância de 62,52 m, até o vértice **36**, de coordenadas **N 8.251.326,08** m e **E 166.518,74** m; deste, segue com azimute de 143°03'05" e distância de 308,56 m, até o vértice **37**, de coordenadas **N 8.251.079,48** m e **E 166.704,21** m; deste, segue com azimute de 142°33'55" e distância de 382,59 m, até o vértice **38**, de coordenadas **N 8.250.775,69** m e **E 166.936,77** m; deste, segue com azimute de 51°49'59" e distância de 20,02 m, até o vértice **39**, de coordenadas **N 8.250.788,07** m e **E 166.952,51** m; deste, segue com azimute de 52°55'23" e distância de 112,10 m, até o vértice **40**, de coordenadas **N 8.250.855,65** m e **E 167.041,95** m; deste, segue com azimute de 142°00'06" e distância de 153,62 m, até o vértice **41**, de coordenadas **N**



SPL - PLC 0019/2019 folha 000112

**8.250.734,59** m e **E 167.136,53** m; deste, segue com azimute de 138°43'42" e distância de 108,69 m, até o vértice **42**, de coordenadas **N 8.250.652,90** m e **E 167.208,22** m; deste, segue com azimute de 137°18'37" e distância de 83,09 m, até o vértice **43**, de coordenadas **N 8.250.591,83** m e **E 167.264,56** m; deste, segue com azimute de 137°15'20" e distância de 140,30 m, até o vértice **44**, de coordenadas **N 8.250.488,79** m e **E 167.359,78** m; deste, segue com azimute de 137°35'14" e distância de 130,01 m, até o vértice **45**, de coordenadas **N 8.250.392,80** m e **E 167.447,47** m; deste, segue com azimute de 135°50'21" e distância de 91,16 m, até o vértice **46**, de coordenadas **N 8.250.327,41** m e **E 167.510,98** m; deste, segue com azimute de 137°13'17" e distância de 128,38 m, até o vértice **47**, de coordenadas **N 8.250.233,18** m e **E 167.598,17** m; deste, segue com azimute de 137°35'01" e distância de 36,19 m, até o vértice **48**, de coordenadas **N 8.250.206,46** m e **E 167.622,59** m; deste, segue com azimute de 137°35'02" e distância de 5,76 m, até o vértice **49**, de coordenadas **N 8.250.202,21** m e **E 167.626,47** m; deste, segue com azimute de 137°34'59" e distância de 5,59 m, até o vértice **50**, de coordenadas **N 8.250.198,08** m e **E 167.630,24** m; deste, segue com azimute de 135°51'00" e distância de 1,57 m, até o vértice **51**, de coordenadas **N 8.250.196,95** m e **E 167.631,34** m; deste, segue com azimute de 137°12'11" e distância de 75,88 m, até o vértice **52**, de coordenadas **N 8.250.141,27** m e **E 167.682,89** m; deste, segue com azimute de 129°29'40" e distância de 16,19 m, até o vértice **53**, de coordenadas **N 8.250.130,97** m e **E 167.695,39** m; deste, segue com azimute de 43°34'28" e distância de 24,12 m, até o vértice **54**, de coordenadas **N 8.250.148,45** m e **E 167.712,01** m; deste, segue com azimute de 142°27'50" e distância de 22,47 m, até o vértice **55**, de coordenadas **N 8.250.130,63** m e **E 167.725,70** m; deste, segue com azimute de 142°27'51" e distância de 61,75 m, até o vértice **56**, de coordenadas **N 8.250.081,67** m e **E 167.763,33** m; deste, segue com azimute de 142°27'48" e distância de 7,72 m, até o vértice **57**, de coordenadas **N 8.250.075,54** m e **E 167.768,03** m; deste, segue com azimute de 142°27'51" e distância de 146,43 m, até o vértice **58**, de coordenadas **N 8.249.959,43** m e **E 167.857,24** m; deste, segue com azimute de 142°27'51" e distância de 82,57 m, até o vértice **59**, de coordenadas **N 8.249.893,96** m e **E 167.907,55** m; deste, segue com azimute de 143°19'04" e distância de 273,92 m, até o vértice **60**, de coordenadas **N 8.249.674,28** m e **E 168.071,19** m; deste, segue com azimute de 143°57'24" e distância de 278,79 m, até o vértice **61**, de coordenadas **N 8.249.448,85** m e **E 168.235,23** m; deste, segue com azimute de 151°06'20" e distância de 126,84 m, até o vértice **62**, de coordenadas **N 8.249.337,80** m e **E 168.296,52** m; deste, segue com azimute de 153°53'49" e distância de 59,56 m, até o vértice **63**, de coordenadas **N**



SFL - PLC 0019/2019 folha 0001.13

**8.249.284,32** m e **E 168.322,72** m; deste, segue com azimute de 154°44'31" e distância de 17,40 m, até o vértice **64**, de coordenadas **N 8.249.268,58** m e **E 168.330,15** m; deste, segue com azimute de 154°44'32" e distância de 46,70 m, até o vértice **65**, de coordenadas **N 8.249.226,34** m e **E 168.350,07** m; deste, segue com azimute de 154°44'32" e distância de 47,72 m, até o vértice **66**, de coordenadas **N 8.249.183,19** m e **E 168.370,43** m; deste, segue com azimute de 154°44'32" e distância de 20,07 m, até o vértice **67**, de coordenadas **N 8.249.165,04** m e **E 168.379,00** m; deste, segue com azimute de 154°44'31" e distância de 16,81 m, até o vértice **68**, de coordenadas **N 8.249.149,83** m e **E 168.386,17** m; deste, segue com azimute de 154°44'35" e distância de 12,10 m, até o vértice **69**, de coordenadas **N 8.249.138,89** m e **E 168.391,33** m; deste, segue com azimute de 154°44'32" e distância de 19,93 m, até o vértice **70**, de coordenadas **N 8.249.120,86** m e **E 168.399,84** m; deste, segue com azimute de 154°44'32" e distância de 24,66 m, até o vértice **71**, de coordenadas **N 8.249.098,56** m e **E 168.410,36** m; deste, segue com azimute de 154°44'32" e distância de 14,82 m, até o vértice **72**, de coordenadas **N 8.249.085,16** m e **E 168.416,68** m; deste, segue com azimute de 154°44'32" e distância de 29,67 m, até o vértice **73**, de coordenadas **N 8.249.058,33** m e **E 168.429,34** m; deste, segue com azimute de 154°44'32" e distância de 31,81 m, até o vértice **74**, de coordenadas **N 8.249.029,56** m e **E 168.442,91** m; deste, segue com azimute de 154°44'32" e distância de 16,72 m, até o vértice **75**, de coordenadas **N 8.249.014,44** m e **E 168.450,05** m; deste, segue com azimute de 154°44'32" e distância de 17,95 m, até o vértice **76**, de coordenadas **N 8.248.998,21** m e **E 168.457,71** m; deste, segue com azimute de 159°09'27" e distância de 60,36 m, até o vértice **77**, de coordenadas **N 8.248.941,80** m e **E 168.479,18** m; deste, segue com azimute de 138°05'23" e distância de 15,82 m, até o vértice **78**, de coordenadas **N 8.248.930,03** m e **E 168.489,75** m; deste, segue com azimute de 138°05'23" e distância de 51,11 m, até o vértice **79**, de coordenadas **N 8.248.892,00** m e **E 168.523,89** m; deste, segue com azimute de 138°05'21" e distância de 5,75 m, até o vértice **80**, de coordenadas **N 8.248.887,72** m e **E 168.527,72** m; deste, segue com azimute de 158°41'36" e distância de 20,78 m, até o vértice **81**, de coordenadas **N 8.248.868,36** m e **E 168.535,28** m; deste, segue com azimute de 158°41'37" e distância de 22,88 m, até o vértice **82**, de coordenadas **N 8.248.847,05** m e **E 168.543,59** m; deste, segue com azimute de 158°41'36" e distância de 45,46 m, até o vértice **83**, de coordenadas **N 8.248.804,69** m e **E 168.560,11** m; deste, segue com azimute de 158°41'36" e distância de 43,81 m, até o vértice **84**, de coordenadas **N 8.248.763,88** m e **E 168.576,03** m; deste, segue com azimute de 158°41'36" e distância de 47,89 m, até o vértice **85**, de coordenadas **N**



SPL - PLC 0019/2019 folha 000114

**8.248.719,26** m e **E 168.593,43** m; deste, segue com azimute de 158°41'36" e distância de 46,10 m, até o vértice **86**, de coordenadas **N 8.248.676,31** m e **E 168.610,18** m; deste, segue com azimute de 158°41'36" e distância de 43,73 m, até o vértice **87**, de coordenadas **N 8.248.635,57** m e **E 168.626,07** m; deste, segue com azimute de 158°41'41" e distância de 3,12 m, até o vértice **88**, de coordenadas **N 8.248.632,66** m e **E 168.627,20** m; deste, segue com azimute de 186°03'49" e distância de 47,43 m, até o vértice **89**, de coordenadas **N 8.248.585,49** m e **E 168.622,19** m; deste, segue com azimute de 186°03'49" e distância de 6,73 m, até o vértice **90**, de coordenadas **N 8.248.578,80** m e **E 168.621,48** m; deste, segue com azimute de 159°07'05" e distância de 40,63 m, até o vértice **91**, de coordenadas **N 8.248.540,84** m e **E 168.635,96** m; deste, segue com azimute de 159°07'05" e distância de 46,07 m, até o vértice **92**, de coordenadas **N 8.248.497,80** m e **E 168.652,38** m; deste, segue com azimute de 159°07'05" e distância de 138,31 m, até o vértice **93**, de coordenadas **N 8.248.368,58** m e **E 168.701,68** m; deste, segue com azimute de 248°33'54" e distância de 16,86 m, até o vértice **94**, de coordenadas **N 8.248.362,42** m e **E 168.685,99** m; deste, segue com azimute de 248°33'54" e distância de 78,92 m, até o vértice **95**, de coordenadas **N 8.248.333,57** m e **E 168.612,52** m; deste, segue com azimute de 158°35'07" e distância de 48,64 m, até o vértice **96**, de coordenadas **N 8.248.288,30** m e **E 168.630,28** m; deste, segue com azimute de 158°35'07" e distância de 15,32 m, até o vértice **97**, de coordenadas **N 8.248.274,03** m e **E 168.635,87** m; deste, segue com azimute de 158°35'07" e distância de 48,11 m, até o vértice **98**, de coordenadas **N 8.248.229,24** m e **E 168.653,44** m; deste, segue com azimute de 158°35'07" e distância de 26,13 m, até o vértice **99**, de coordenadas **N 8.248.204,92** m e **E 168.662,98** m; deste, segue com azimute de 158°35'07" e distância de 18,14 m, até o vértice **100**, de coordenadas **N 8.248.188,03** m e **E 168.669,60** m; deste, segue com azimute de 158°35'07" e distância de 47,42 m, até o vértice **101**, de coordenadas **N 8.248.143,89** m e **E 168.686,92** m; deste, segue com azimute de 158°35'07" e distância de 47,98 m, até o vértice **102**, de coordenadas **N 8.248.099,22** m e **E 168.704,43** m; deste, segue com azimute de 158°35'07" e distância de 44,04 m, até o vértice **103**, de coordenadas **N 8.248.058,22** m e **E 168.720,51** m; deste, segue com azimute de 158°35'07" e distância de 36,06 m, até o vértice **104**, de coordenadas **N 8.248.024,65** m e **E 168.733,68** m; deste, segue com azimute de 158°35'07" e distância de 8,50 m, até o vértice **105**, de coordenadas **N 8.248.016,74** m e **E 168.736,78** m; deste, segue com azimute de 158°35'06" e distância de 10,59 m, até o vértice **106**, de coordenadas **N 8.248.006,88** m e **E 168.740,65** m; deste, segue com azimute de 150°53'46" e distância de 30,85 m, até o vértice **107**, de coordenadas **N**



SPL - PLC 0019/2019 folha 000115

**8.247.979,93** m e **E 168.755,65** m; deste, segue com azimute de 155°38'33" e distância de 8,33 m, até o vértice **108**, de coordenadas **N 8.247.972,34** m e **E 168.759,09** m; deste, segue com azimute de 155°38'33" e distância de 28,05 m, até o vértice **109**, de coordenadas **N 8.247.946,79** m e **E 168.770,66** m; deste, segue com azimute de 158°53'06" e distância de 16,30 m, até o vértice **110**, de coordenadas **N 8.247.931,59** m e **E 168.776,53** m; deste, segue com azimute de 158°53'06" e distância de 45,67 m, até o vértice **111**, de coordenadas **N 8.247.888,98** m e **E 168.792,98** m; deste, segue com azimute de 158°53'06" e distância de 46,78 m, até o vértice **112**, de coordenadas **N 8.247.845,34** m e **E 168.809,83** m; deste, segue com azimute de 158°53'06" e distância de 54,56 m, até o vértice **113**, de coordenadas **N 8.247.794,45** m e **E 168.829,49** m; deste, segue com azimute de 158°53'06" e distância de 34,96 m, até o vértice **114**, de coordenadas **N 8.247.761,84** m e **E 168.842,08** m; deste, segue com azimute de 158°53'06" e distância de 12,32 m, até o vértice **115**, de coordenadas **N 8.247.750,34** m e **E 168.846,52** m; deste, segue com azimute de 158°53'05" e distância de 35,90 m, até o vértice **116**, de coordenadas **N 8.247.716,85** m e **E 168.859,45** m; deste, segue com azimute de 158°53'06" e distância de 24,50 m, até o vértice **117**, de coordenadas **N 8.247.693,99** m e **E 168.868,28** m; deste, segue com azimute de 158°53'06" e distância de 39,97 m, até o vértice **118**, de coordenadas **N 8.247.656,70** m e **E 168.882,68** m; deste, segue com azimute de 158°53'06" e distância de 45,43 m, até o vértice **119**, de coordenadas **N 8.247.614,33** m e **E 168.899,04** m; deste, segue com azimute de 158°53'06" e distância de 58,91 m, até o vértice **120**, de coordenadas **N 8.247.559,37** m e **E 168.920,27** m; deste, segue com azimute de 158°53'05" e distância de 50,39 m, até o vértice **121**, de coordenadas **N 8.247.512,37** m e **E 168.938,42** m; deste, segue com azimute de 158°53'06" e distância de 56,80 m, até o vértice **122**, de coordenadas **N 8.247.459,38** m e **E 168.958,88** m; deste, segue com azimute de 158°53'06" e distância de 48,53 m, até o vértice **123**, de coordenadas **N 8.247.414,10** m e **E 168.976,36** m; deste, segue com azimute de 158°53'06" e distância de 55,51 m, até o vértice **124**, de coordenadas **N 8.247.362,32** m e **E 168.996,36** m; deste, segue com azimute de 158°53'06" e distância de 53,49 m, até o vértice **125**, de coordenadas **N 8.247.312,42** m e **E 169.015,63** m; deste, segue com azimute de 158°53'06" e distância de 49,05 m, até o vértice **126**, de coordenadas **N 8.247.266,66** m e **E 169.033,30** m; deste, segue com azimute de 158°53'05" e distância de 11,09 m, até o vértice **127**, de coordenadas **N 8.247.256,32** m e **E 169.037,29** m; deste, segue com azimute de 158°53'05" e distância de 42,27 m, até o vértice **128**, de coordenadas **N 8.247.216,89** m e **E 169.052,52** m; deste, segue com azimute de 158°53'06" e distância de 51,71 m, até o vértice **129**, de coordenadas **N**



SPL - PLC 0019/2019 folha 000116

**8.247.168,65** m e **E 169.071,15** m; deste, segue com azimute de 158°53'06" e distância de 51,71 m, até o vértice **130**, de coordenadas **N 8.247.120,42** m e **E 169.089,78** m; deste, segue com azimute de 158°30'39" e distância de 2,44 m, até o vértice **131**, de coordenadas **N 8.247.118,14** m e **E 169.090,67** m; deste, segue com azimute de 158°30'40" e distância de 54,70 m, até o vértice **132**, de coordenadas **N 8.247.067,25** m e **E 169.110,71** m; deste, segue com azimute de 158°30'40" e distância de 53,86 m, até o vértice **133**, de coordenadas **N 8.247.017,13** m e **E 169.130,44** m; deste, segue com azimute de 158°30'40" e distância de 52,97 m, até o vértice **134**, de coordenadas **N 8.246.967,84** m e **E 169.149,84** m; deste, segue com azimute de 158°30'40" e distância de 53,85 m, até o vértice **135**, de coordenadas **N 8.246.917,73** m e **E 169.169,57** m; deste, segue com azimute de 158°30'40" e distância de 11,40 m, até o vértice **136**, de coordenadas **N 8.246.907,12** m e **E 169.173,75** m; deste, segue com azimute de 158°30'40" e distância de 10,25 m, até o vértice **137**, de coordenadas **N 8.246.897,59** m e **E 169.177,50** m; deste, segue com azimute de 155°00'29" e distância de 38,11 m, até o vértice **138**, de coordenadas **N 8.246.863,04** m e **E 169.193,60** m; deste, segue com azimute de 162°24'23" e distância de 81,40 m, até o vértice **139**, de coordenadas **N 8.246.785,45** m e **E 169.218,21** m; deste, segue com azimute de 251°42'49" e distância de 186,39 m, até o vértice **140**, de coordenadas **N 8.246.726,96** m e **E 169.041,23** m; deste, segue com azimute de 249°56'40" e distância de 19,62 m, até o vértice **141**, de coordenadas **N 8.246.720,23** m e **E 169.022,80** m; deste, segue com azimute de 249°56'40" e distância de 36,39 m, até o vértice **142**, de coordenadas **N 8.246.707,76** m e **E 168.988,62** m; deste, segue com azimute de 249°56'41" e distância de 162,73 m, até o vértice **143**, de coordenadas **N 8.246.651,95** m e **E 168.835,76** m; deste, segue com azimute de 247°38'48" e distância de 73,52 m, até o vértice **144**, de coordenadas **N 8.246.623,99** m e **E 168.767,76** m; deste, segue com azimute de 247°38'48" e distância de 139,33 m, até o vértice **145**, de coordenadas **N 8.246.571,00** m e **E 168.638,90** m; deste, segue com azimute de 160°59'08" e distância de 459,43 m, até o vértice **146**, de coordenadas **N 8.246.136,65** m e **E 168.788,59** m; deste, segue com azimute de 160°59'08" e distância de 25,68 m, até o vértice **147**, de coordenadas **N 8.246.112,36** m e **E 168.796,95** m; deste, segue com azimute de 71°39'37" e distância de 72,16 m, até o vértice **148**, de coordenadas **N 8.246.135,07** m e **E 168.865,45** m; deste, segue com azimute de 67°49'20" e distância de 43,86 m, até o vértice **149**, de coordenadas **N 8.246.151,63** m e **E 168.906,07** m; deste, segue com azimute de 67°49'19" e distância de 21,96 m, até o vértice **150**, de coordenadas **N 8.246.159,92** m e **E 168.926,40** m; deste, segue com azimute de 186°51'56" e distância de 12,69 m, até o vértice **151**, de coordenadas **N**



SPL - PLC 0019/2019 folha 000117

**8.246.147,32** m e **E 168.924,89** m; deste, segue com azimute de 186°09'17" e distância de 12,79 m, até o vértice **152**, de coordenadas **N 8.246.134,60** m e **E 168.923,51** m; deste, segue com azimute de 186°09'17" e distância de 13,49 m, até o vértice **153**, de coordenadas **N 8.246.121,18** m e **E 168.922,07** m; deste, segue com azimute de 186°09'17" e distância de 116,54 m, até o vértice **154**, de coordenadas **N 8.246.005,32** m e **E 168.909,57** m; deste, segue com azimute de 181°08'33" e distância de 175,54 m, até o vértice **155**, de coordenadas **N 8.245.829,82** m e **E 168.906,07** m; deste, segue com azimute de 171°09'06" e distância de 31,48 m, até o vértice **156**, de coordenadas **N 8.245.798,72** m e **E 168.910,92** m; deste, segue com azimute de 171°09'07" e distância de 131,97 m, até o vértice **157**, de coordenadas **N 8.245.668,32** m e **E 168.931,21** m; deste, segue com azimute de 147°41'59" e distância de 51,46 m, até o vértice **158**, de coordenadas **N 8.245.624,82** m e **E 168.958,71** m; deste, segue com azimute de 138°25'23" e distância de 77,53 m, até o vértice **159**, de coordenadas **N 8.245.566,82** m e **E 169.010,17** m; deste, segue com azimute de 152°08'24" e distância de 423,60 m, até o vértice **160**, de coordenadas **N 8.245.192,32** m e **E 169.208,12** m; deste, segue com azimute de 151°44'22" e distância de 30,82 m, até o vértice **161**, de coordenadas **N 8.245.165,17** m e **E 169.222,71** m; deste, segue com azimute de 151°44'21" e distância de 26,16 m, até o vértice **162**, de coordenadas **N 8.245.142,13** m e **E 169.235,10** m; deste, segue com azimute de 151°39'36" e distância de 65,77 m, até o vértice **163**, de coordenadas **N 8.245.084,25** m e **E 169.266,32** m; ponto situado às margens do Ribeirão Taguatinga, deste, segue margeando o Ribeirão Taguatinga, até o vértice **164**, de coordenadas **N 8.244.143,44** m e **E 167.168,19** m; deste, segue com azimute de 306°10'32" e distância de 3,86 m, até o vértice **165**, de coordenadas **N 8.244.145,71** m e **E 167.165,08** m; deste, segue com azimute de 306°43'33" e distância de 2,93 m, até o vértice **166**, de coordenadas **N 8.244.147,47** m e **E 167.162,73** m; deste, segue com azimute de 306°43'33" e distância de 3,37 m, até o vértice **167**, de coordenadas **N 8.244.149,48** m e **E 167.160,03** m; deste, segue com azimute de 306°43'33" e distância de 14,74 m, até o vértice **168**, de coordenadas **N 8.244.158,29** m e **E 167.148,22** m; deste, segue com azimute de 298°27'31" e distância de 8,39 m, até o vértice **169**, de coordenadas **N 8.244.162,29** m e **E 167.140,84** m; deste, segue com azimute de 298°27'31" e distância de 26,53 m, até o vértice **170**, de coordenadas **N 8.244.174,93** m e **E 167.117,52** m; deste, segue com azimute de 317°35'48" e distância de 12,49 m, até o vértice **171**, de coordenadas **N 8.244.184,15** m e **E 167.109,10** m; deste, segue com azimute de 336°05'54" e distância de 22,04 m, até o vértice **172**, de coordenadas **N 8.244.204,30** m e **E 167.100,17** m; deste, segue com azimute de 345°34'00" e distância de 15,04 m, até o vértice



SPL - PLC 0019/2019 folha 000118

**173**, de coordenadas **N 8.244.218,87** m e **E 167.096,42** m; deste, segue com azimute de 328°06'43" e distância de 17,11 m, até o vértice **174**, de coordenadas **N 8.244.233,40** m e **E 167.087,38** m; deste, segue com azimute de 349°23'52" e distância de 12,07 m, até o vértice **175**, de coordenadas **N 8.244.245,26** m e **E 167.085,16** m; deste, segue com azimute de 330°15'18" e distância de 25,80 m, até o vértice **176**, de coordenadas **N 8.244.267,66** m e **E 167.072,36** m; deste, segue com azimute de 305°26'42" e distância de 12,23 m, até o vértice **177**, de coordenadas **N 8.244.274,75** m e **E 167.062,40** m; deste, segue com azimute de 318°40'24" e distância de 10,37 m, até o vértice **178**, de coordenadas **N 8.244.282,54** m e **E 167.055,55** m; deste, segue com azimute de 343°28'26" e distância de 22,51 m, até o vértice **179**, de coordenadas **N 8.244.304,12** m e **E 167.049,14** m; deste, segue com azimute de 343°28'26" e distância de 3,79 m, até o vértice **180**, de coordenadas **N 8.244.307,75** m e **E 167.048,07** m; deste, segue com azimute de 319°29'15" e distância de 5,60 m, até o vértice **181**, de coordenadas **N 8.244.312,01** m e **E 167.044,43** m; deste, segue com azimute de 294°05'03" e distância de 7,65 m, até o vértice **182**, de coordenadas **N 8.244.315,13** m e **E 167.037,45** m; deste, segue com azimute de 322°56'18" e distância de 3,58 m, até o vértice **183**, de coordenadas **N 8.244.317,99** m e **E 167.035,29** m; deste, segue com azimute de 349°59'02" e distância de 6,61 m, até o vértice **184**, de coordenadas **N 8.244.324,50** m e **E 167.034,14** m; deste, segue com azimute de 349°59'02" e distância de 9,55 m, até o vértice **185**, de coordenadas **N 8.244.333,90** m e **E 167.032,48** m; deste, segue com azimute de 336°23'15" e distância de 9,99 m, até o vértice **186**, de coordenadas **N 8.244.343,05** m e **E 167.028,48** m; deste, segue com azimute de 315°28'04" e distância de 9,53 m, até o vértice **187**, de coordenadas **N 8.244.349,84** m e **E 167.021,80** m; deste, segue com azimute de 292°49'12" e distância de 10,13 m, até o vértice **188**, de coordenadas **N 8.244.353,77** m e **E 167.012,46** m; deste, segue com azimute de 310°41'27" e distância de 5,55 m, até o vértice **189**, de coordenadas **N 8.244.357,39** m e **E 167.008,25** m; deste, segue com azimute de 333°32'42" e distância de 13,98 m, até o vértice **190**, de coordenadas **N 8.244.369,91** m e **E 167.002,02** m; deste, segue com azimute de 3°15'13" e distância de 1,95 m, até o vértice **191**, de coordenadas **N 8.244.371,86** m e **E 167.002,13** m; deste, segue com azimute de 3°15'13" e distância de 1,93 m, até o vértice **192**, de coordenadas **N 8.244.373,78** m e **E 167.002,24** m; deste, segue com azimute de 293°34'34" e distância de 12,95 m, até o vértice **193**, de coordenadas **N 8.244.378,96** m e **E 166.990,37** m; deste, segue com azimute de 287°08'52" e distância de 36,46 m, até o vértice **194**, de coordenadas **N 8.244.389,71** m e **E 166.955,53** m; deste, segue com azimute de 318°54'02" e distância de 4,99 m, até o vértice **195**, de



SPL - PLC 0019/2019 folha 000119

coordenadas **N 8.244.393,47** m e **E 166.952,25** m; deste, segue com azimute de 355°49'51" e distância de 18,57 m, até o vértice **196**, de coordenadas **N 8.244.411,99** m e **E 166.950,90** m; deste, segue com azimute de 340°53'45" e distância de 7,45 m, até o vértice **197**, de coordenadas **N 8.244.419,04** m e **E 166.948,46** m; deste, segue com azimute de 305°44'43" e distância de 1,36 m, até o vértice **198**, de coordenadas **N 8.244.419,84** m e **E 166.947,35** m; deste, segue com azimute de 305°44'43" e distância de 12,96 m, até o vértice **199**, de coordenadas **N 8.244.427,41** m e **E 166.936,83** m; deste, segue com azimute de 305°44'43" e distância de 6,84 m, até o vértice **200**, de coordenadas **N 8.244.431,40** m e **E 166.931,28** m; deste, segue com azimute de 294°07'30" e distância de 13,24 m, até o vértice **201**, de coordenadas **N 8.244.436,81** m e **E 166.919,20** m; deste, segue com azimute de 305°22'29" e distância de 13,49 m, até o vértice **202**, de coordenadas **N 8.244.444,62** m e **E 166.908,20** m; deste, segue com azimute de 315°27'21" e distância de 11,68 m, até o vértice **203**, de coordenadas **N 8.244.452,95** m e **E 166.900,00** m; deste, segue com azimute de 315°27'21" e distância de 14,08 m, até o vértice **204**, de coordenadas **N 8.244.462,98** m e **E 166.890,13** m; deste, segue com azimute de 333°11'29" e distância de 7,36 m, até o vértice **205**, de coordenadas **N 8.244.469,55** m e **E 166.886,81** m; deste, segue com azimute de 358°48'02" e distância de 13,85 m, até o vértice **206**, de coordenadas **N 8.244.483,40** m e **E 166.886,52** m; deste, segue com azimute de 328°39'17" e distância de 3,86 m, até o vértice **207**, de coordenadas **N 8.244.486,70** m e **E 166.884,51** m; deste, segue com azimute de 282°36'46" e distância de 10,35 m, até o vértice **208**, de coordenadas **N 8.244.488,96** m e **E 166.874,41** m; deste, segue com azimute de 320°35'58" e distância de 3,99 m, até o vértice **209**, de coordenadas **N 8.244.492,04** m e **E 166.871,88** m; deste, segue com azimute de 332°12'55" e distância de 8,99 m, até o vértice **210**, de coordenadas **N 8.244.500,00** m e **E 166.867,68** m; deste, segue com azimute de 332°12'55" e distância de 7,98 m, até o vértice **211**, de coordenadas **N 8.244.507,06** m e **E 166.863,96** m; deste, segue com azimute de 332°12'55" e distância de 13,38 m, até o vértice **212**, de coordenadas **N 8.244.518,90** m e **E 166.857,73** m; deste, segue com azimute de 332°12'55" e distância de 0,22 m, até o vértice **213**, de coordenadas **N 8.244.519,09** m e **E 166.857,62** m; deste, segue com azimute de 332°12'55" e distância de 3,04 m, até o vértice **214**, de coordenadas **N 8.244.521,78** m e **E 166.856,21** m; deste, segue com azimute de 341°07'09" e distância de 6,43 m, até o vértice **215**, de coordenadas **N 8.244.527,87** m e **E 166.854,12** m; deste, segue com azimute de 341°07'09" e distância de 5,86 m, até o vértice **216**, de coordenadas **N 8.244.533,42** m e **E 166.852,23** m; deste, segue com azimute de 341°07'09" e distância de 5,62 m, até o vértice **217**, de



SPL - PLC 0019/2019 folha 000120

coordenadas **N 8.244.538,73** m e **E 166.850,41** m; deste, segue com azimute de 341°07'09" e distância de 6,07 m, até o vértice **218**, de coordenadas **N 8.244.544,47** m e **E 166.848,45** m; deste, segue com azimute de 299°30'57" e distância de 6,52 m, até o vértice **219**, de coordenadas **N 8.244.547,68** m e **E 166.842,78** m; deste, segue com azimute de 275°59'53" e distância de 10,04 m, até o vértice **220**, de coordenadas **N 8.244.548,73** m e **E 166.832,79** m; deste, segue com azimute de 331°04'04" e distância de 199,97 m, até o vértice **221**, de coordenadas **N 8.244.723,74** m e **E 166.736,05** m; deste, segue com azimute de 52°10'18" e distância de 8,52 m, até o vértice **222**, de coordenadas **N 8.244.728,97** m e **E 166.742,78** m; deste, segue com azimute de 52°10'18" e distância de 3,29 m, até o vértice **223**, de coordenadas **N 8.244.730,99** m e **E 166.745,38** m; deste, segue com azimute de 52°10'18" e distância de 6,66 m, até o vértice **224**, de coordenadas **N 8.244.735,07** m e **E 166.750,64** m; deste, segue com azimute de 52°10'18" e distância de 5,85 m, até o vértice **225**, de coordenadas **N 8.244.738,66** m e **E 166.755,26** m; deste, segue com azimute de 52°10'18" e distância de 14,83 m, até o vértice **226**, de coordenadas **N 8.244.747,76** m e **E 166.766,98** m; deste, segue com azimute de 52°10'18" e distância de 22,73 m, até o vértice **227**, de coordenadas **N 8.244.761,70** m e **E 166.784,93** m; deste, segue com azimute de 45°16'19" e distância de 0,74 m, até o vértice **228**, de coordenadas **N 8.244.762,22** m e **E 166.785,46** m; deste, segue com azimute de 320°25'58" e distância de 3,51 m, até o vértice **229**, de coordenadas **N 8.244.764,92** m e **E 166.783,22** m; deste, segue com azimute de 324°16'50" e distância de 7,58 m, até o vértice **230**, de coordenadas **N 8.244.771,08** m e **E 166.778,80** m; deste, segue com azimute de 322°26'36" e distância de 188,75 m, até o vértice **231**, de coordenadas **N 8.244.920,71** m e **E 166.663,74** m; deste, segue com azimute de 322°54'08" e distância de 253,15 m, até o vértice **232**, de coordenadas **N 8.245.122,62** m e **E 166.511,05** m; deste, segue com azimute de 327°17'02" e distância de 13,45 m, até o vértice **233**, de coordenadas **N 8.245.133,94** m e **E 166.503,78** m; deste, segue com azimute de 232°32'55" e distância de 226,62 m, até o vértice **234**, de coordenadas **N 8.244.996,14** m e **E 166.323,87** m; deste, segue com azimute de 240°59'31" e distância de 16,32 m, até o vértice **235**, de coordenadas **N 8.244.988,22** m e **E 166.309,60** m; deste, segue com azimute de 232°11'52" e distância de 125,93 m, até o vértice **236**, de coordenadas **N 8.244.911,03** m e **E 166.210,09** m; deste, segue com azimute de 232°31'20" e distância de 350,77 m, até o vértice **237**, de coordenadas **N 8.244.697,60** m e **E 165.931,72** m; deste, segue com azimute de 243°03'42" e distância de 16,56 m, até o vértice **238**, de coordenadas **N 8.244.690,10** m e **E 165.916,96** m; deste, segue com azimute de 232°06'44" e distância de 207,52 m, até o vértice **239**, de



SPL - PLC 0019/2019 folha 000121

coordenadas **N 8.244.562,66** m e **E 165.753,18** m; deste, segue com azimute de 321°57'20" e distância de 50,21 m, até o vértice **240**, de coordenadas **N 8.244.602,20** m e **E 165.722,24** m; deste, segue com azimute de 322°48'44" e distância de 345,82 m, até o vértice **241**, de coordenadas **N 8.244.877,70** m e **E 165.513,22** m; deste, segue com azimute de 322°34'53" e distância de 269,42 m, até o vértice **242**, de coordenadas **N 8.245.091,68** m e **E 165.349,51** m; deste, segue com azimute de 322°25'53" e distância de 86,79 m, até o vértice **243**, de coordenadas **N 8.245.160,47** m e **E 165.296,59** m; deste, segue com azimute de 322°56'05" e distância de 174,49 m, até o vértice **244**, de coordenadas **N 8.245.299,71** m e **E 165.191,42** m; deste, segue com azimute de 322°35'58" e distância de 273,28 m, até o vértice **245**, de coordenadas **N 8.245.516,81** m e **E 165.025,43** m; deste, segue com azimute de 322°36'43" e distância de 172,03 m, até o vértice **246**, de coordenadas **N 8.245.653,49** m e **E 164.920,98** m; deste, segue com azimute de 323°14'15" e distância de 250,68 m, até o vértice **247**, de coordenadas **N 8.245.854,32** m e **E 164.770,94** m; deste, segue com azimute de 290°17'36" e distância de 20,14 m, até o vértice **248**, de coordenadas **N 8.245.861,30** m e **E 164.752,05** m; deste, segue com azimute de 322°53'04" e distância de 32,71 m, até o vértice **249**, de coordenadas **N 8.245.887,39** m e **E 164.732,32** m; deste, segue com azimute de 340°05'18" e distância de 5,07 m, até o vértice **250**, de coordenadas **N 8.245.892,15** m e **E 164.730,59** m; deste, segue com azimute de 319°22'54" e distância de 35,55 m, até o vértice **251**, de coordenadas **N 8.245.919,14** m e **E 164.707,44** m; deste, segue com azimute de 315°00'00" e distância de 7,86 m, até o vértice **252**, de coordenadas **N 8.245.924,70** m e **E 164.701,89** m; deste, segue com azimute de 318°26'51" e distância de 23,33 m, até o vértice **253**, de coordenadas **N 8.245.942,16** m e **E 164.686,41** m; deste, segue com azimute de 326°06'27" e distância de 33,88 m, até o vértice **254**, de coordenadas **N 8.245.970,29** m e **E 164.667,51** m; deste, segue com azimute de 356°57'00" e distância de 8,07 m, até o vértice **255**, de coordenadas **N 8.245.978,34** m e **E 164.667,08** m; deste, segue com azimute de 336°27'08" e distância de 14,21 m, até o vértice **256**, de coordenadas **N 8.245.991,37** m e **E 164.661,41** m; deste, segue com azimute de 346°13'06" e distância de 21,66 m, até o vértice **257**, de coordenadas **N 8.246.012,41** m e **E 164.656,25** m; deste, segue com azimute de 356°20'52" e distância de 18,69 m, até o vértice **258**, de coordenadas **N 8.246.031,06** m e **E 164.655,06** m; deste, segue com azimute de 3°13'24" e distância de 15,58 m, até o vértice **259**, de coordenadas **N 8.246.046,61** m e **E 164.655,93** m; deste, segue com azimute de 0°57'01" e distância de 18,98 m, até o vértice **260**, de coordenadas **N 8.246.065,59** m e **E 164.656,25** m; deste, segue com azimute de 15°01'06" e distância de 16,85 m, até o vértice **261**, de



SPL - PLC 0019/2019 folha 000122

coordenadas **N 8.246.081,86** m e **E 164.660,61** m; deste, segue com azimute de 19°05'37" e distância de 21,84 m, até o vértice **262**, de coordenadas **N 8.246.102,50** m e **E 164.667,76** m; deste, segue com azimute de 32°04'00" e distância de 22,37 m, até o vértice **263**, de coordenadas **N 8.246.121,46** m e **E 164.679,63** m; deste, segue com azimute de 51°24'21" e distância de 7,50 m, até o vértice **264**, de coordenadas **N 8.246.126,14** m e **E 164.685,50** m; deste, segue com azimute de 47°51'52" e distância de 71,05 m, até o vértice **265**, de coordenadas **N 8.246.173,80** m e **E 164.738,18** m; deste, segue com azimute de 68°41'52" e distância de 8,11 m, até o vértice **266**, de coordenadas **N 8.246.176,75** m e **E 164.745,74** m; deste, segue com azimute de 51°23'27" e distância de 171,83 m, até o vértice **267**, de coordenadas **N 8.246.283,97** m e **E 164.880,01** m; deste, segue com azimute de 59°28'51" e distância de 21,92 m, até o vértice **268**, de coordenadas **N 8.246.295,10** m e **E 164.898,90** m; deste, segue com azimute de 52°33'16" e distância de 115,39 m, até o vértice **269**, de coordenadas **N 8.246.365,26** m e **E 164.990,51** m; deste, segue com azimute de 70°25'03" e distância de 19,06 m, até o vértice **270**, de coordenadas **N 8.246.371,65** m e **E 165.008,47** m; deste, segue com azimute de 62°28'39" e distância de 20,46 m, até o vértice **271**, de coordenadas **N 8.246.381,10** m e **E 165.026,61** m; deste, segue com azimute de 52°45'43" e distância de 125,22 m, até o vértice **272**, de coordenadas **N 8.246.456,88** m e **E 165.126,31** m; deste, segue com azimute de 52°43'40" e distância de 247,11 m, até o vértice **273**, de coordenadas **N 8.246.606,53** m e **E 165.322,94** m; deste, segue com azimute de 62°06'10" e distância de 8,14 m, até o vértice **274**, de coordenadas **N 8.246.610,34** m e **E 165.330,14** m; deste, segue com azimute de 79°59'31" e distância de 7,31 m, até o vértice **275**, de coordenadas **N 8.246.611,61** m e **E 165.337,34** m; deste, segue com azimute de 102°05'41" e distância de 9,09 m, até o vértice **276**, de coordenadas **N 8.246.609,71** m e **E 165.346,23** m; deste, segue com azimute de 124°35'32" e distância de 7,46 m, até o vértice **277**, de coordenadas **N 8.246.605,47** m e **E 165.352,37** m; deste, segue com azimute de 139°32'16" e distância de 9,46 m, até o vértice **278**, de coordenadas **N 8.246.598,28** m e **E 165.358,50** m; deste, segue com azimute de 142°38'22" e distância de 227,42 m, até o vértice **279**, de coordenadas **N 8.246.417,51** m e **E 165.496,51** m; deste, segue com azimute de 51°35'55" e distância de 58,61 m, até o vértice **280**, de coordenadas **N 8.246.453,92** m e **E 165.542,44** m; deste, segue com azimute de 52°46'09" e distância de 288,97 m, até o vértice **281**, de coordenadas **N 8.246.628,76** m e **E 165.772,52** m; deste, segue com azimute de 52°42'42" e distância de 266,58 m, até o vértice **282**, de coordenadas **N 8.246.790,26** m e **E 165.984,62** m; deste, segue com azimute de 52°47'37" e distância de 216,33 m, até o vértice **283**, de



SPL - PLC 0019/2019 folha 000123

coordenadas **N 8.246.921,07** m e **E 166.156,91** m; deste, segue com azimute de 46°41'05" e distância de 7,64 m, até o vértice **284**, de coordenadas **N 8.246.926,31** m e **E 166.162,47** m; deste, segue com azimute de 26°33'54" e distância de 13,61 m, até o vértice **285**, de coordenadas **N 8.246.938,48** m e **E 166.168,55** m; deste, segue com azimute de 29°54'58" e distância de 76,92 m, até o vértice **286**, de coordenadas **N 8.247.005,15** m e **E 166.206,92** m; deste, segue com azimute de 25°49'16" e distância de 9,11 m, até o vértice **287**, de coordenadas **N 8.247.013,35** m e **E 166.210,89** m; deste, segue com azimute de 31°01'51" e distância de 77,50 m, até o vértice **288**, de coordenadas **N 8.247.079,76** m e **E 166.250,84** m; deste, segue com azimute de 30°00'21" e distância de 41,80 m, até o vértice **289**, de coordenadas **N 8.247.115,96** m e **E 166.271,74** m; deste, segue com azimute de 13°43'31" e distância de 23,64 m, até o vértice **290**, de coordenadas **N 8.247.138,93** m e **E 166.277,35** m; deste, segue com azimute de 42°24'28" e distância de 19,51 m, até o vértice **291**, de coordenadas **N 8.247.153,33** m e **E 166.290,51** m; deste, segue com azimute de 322°46'55" e distância de 0,82 m, até o vértice **292**, de coordenadas **N 8.247.153,98** m e **E 166.290,01** m; deste, segue com azimute de 322°46'55" e distância de 5,59 m, até o vértice **293**, de coordenadas **N 8.247.158,43** m e **E 166.286,63** m; deste, segue com azimute de 322°46'55" e distância de 1,38 m, até o vértice **294**, de coordenadas **N 8.247.159,53** m e **E 166.285,80** m; deste, segue com azimute de 322°46'55" e distância de 0,74 m, até o vértice **295**, de coordenadas **N 8.247.160,11** m e **E 166.285,36** m; deste, segue com azimute de 322°46'19" e distância de 0,11 m, até o vértice **296**, de coordenadas **N 8.247.160,20** m e **E 166.285,29** m; deste, segue com azimute de 322°46'49" e distância de 8,34 m, até o vértice **297**, de coordenadas **N 8.247.166,84** m e **E 166.280,25** m; deste, segue com azimute de 322°47'37" e distância de 0,21 m, até o vértice **298**, de coordenadas **N 8.247.167,01** m e **E 166.280,12** m; deste, segue com azimute de 322°53'52" e distância de 8,16 m, até o vértice **299**, de coordenadas **N 8.247.173,51** m e **E 166.275,20** m; deste, segue com azimute de 322°53'52" e distância de 8,57 m, até o vértice **300**, de coordenadas **N 8.247.180,35** m e **E 166.270,03** m; deste, segue com azimute de 322°53'54" e distância de 4,94 m, até o vértice **301**, de coordenadas **N 8.247.184,29** m e **E 166.267,05** m; deste, segue com azimute de 322°39'27" e distância de 3,45 m, até o vértice **302**, de coordenadas **N 8.247.187,03** m e **E 166.264,96** m; deste, segue com azimute de 322°39'33" e distância de 8,57 m, até o vértice **303**, de coordenadas **N 8.247.193,84** m e **E 166.259,76** m; deste, segue com azimute de 322°39'31" e distância de 8,50 m, até o vértice **304**, de coordenadas **N 8.247.200,60** m e **E 166.254,60** m; deste, segue com azimute de 322°39'35" e distância de 3,21 m, até o vértice **305**, de



SFL - PLC 0019/2019 folha 000124

coordenadas **N 8.247.203,15** m e **E 166.252,65** m; deste, segue com azimute de 322°58'13" e distância de 5,23 m, até o vértice **306**, de coordenadas **N 8.247.207,33** m e **E 166.249,50** m; deste, segue com azimute de 322°58'14" e distância de 7,00 m, até o vértice **307**, de coordenadas **N 8.247.212,92** m e **E 166.245,29** m; deste, segue com azimute de 322°58'14" e distância de 1,63 m, até o vértice **308**, de coordenadas **N 8.247.214,22** m e **E 166.244,31** m; deste, segue com azimute de 322°58'15" e distância de 7,91 m, até o vértice **309**, de coordenadas **N 8.247.220,53** m e **E 166.239,54** m; deste, segue com azimute de 322°58'15" e distância de 0,64 m, até o vértice **310**, de coordenadas **N 8.247.221,05** m e **E 166.239,16** m; deste, segue com azimute de 322°46'47" e distância de 8,34 m, até o vértice **311**, de coordenadas **N 8.247.227,69** m e **E 166.234,11** m; deste, segue com azimute de 322°46'49" e distância de 8,59 m, até o vértice **312**, de coordenadas **N 8.247.234,53** m e **E 166.228,91** m; deste, segue com azimute de 232°46'02" e distância de 0,09 m, até o vértice **313**, de coordenadas **N 8.247.234,47** m e **E 166.228,84** m; deste, segue com azimute de 233°08'33" e distância de 0,37 m, até o vértice **314**, de coordenadas **N 8.247.234,25** m e **E 166.228,54** m; deste, segue com azimute de 323°40'27" e distância de 8,49 m, até o vértice **315**, de coordenadas **N 8.247.241,09** m e **E 166.223,52** m; deste, segue com azimute de 323°40'25" e distância de 8,56 m, até o vértice **316**, de coordenadas **N 8.247.247,99** m e **E 166.218,45** m; deste, segue com azimute de 322°41'45" e distância de 2,18 m, até o vértice **317**, de coordenadas **N 8.247.249,72** m e **E 166.217,13** m; deste, segue com azimute de 322°50'06" e distância de 8,57 m, até o vértice **318**, de coordenadas **N 8.247.256,55** m e **E 166.211,95** m; deste, segue com azimute de 322°50'10" e distância de 1,56 m, até o vértice **319**, de coordenadas **N 8.247.257,80** m e **E 166.211,00** m; deste, segue com azimute de 323°23'00" e distância de 5,62 m, até o vértice **320**, de coordenadas **N 8.247.262,31** m e **E 166.207,65** m; deste, segue com azimute de 323°22'02" e distância de 8,76 m, até o vértice **321**, de coordenadas **N 8.247.269,34** m e **E 166.202,42** m; deste, segue com azimute de 307°47'08" e distância de 0,85 m, até o vértice **322**, de coordenadas **N 8.247.269,86** m e **E 166.201,75** m; deste, segue com azimute de 320°05'20" e distância de 8,92 m, até o vértice **323**, de coordenadas **N 8.247.276,70** m e **E 166.196,03** m; deste, segue com azimute de 323°21'31" e distância de 5,15 m, até o vértice **324**, de coordenadas **N 8.247.280,83** m e **E 166.192,95** m; deste, segue com azimute de 323°21'37" e distância de 2,45 m, até o vértice **325**, de coordenadas **N 8.247.282,80** m e **E 166.191,49** m; deste, segue com azimute de 321°33'40" e distância de 3,91 m, até o vértice **326**, de coordenadas **N 8.247.285,86** m e **E 166.189,06** m; deste, segue com azimute de 321°33'39" e distância de 1,97 m, até o vértice **327**, de



SPL - PLC 0019/2019 folha 000125

coordenadas **N 8.247.287,40** m e **E 166.187,84** m; deste, segue com azimute de 321°33'39" e distância de 3,06 m, até o vértice **328**, de coordenadas **N 8.247.289,80** m e **E 166.185,93** m; deste, segue com azimute de 50°40'22" e distância de 1,48 m, até o vértice **329**, de coordenadas **N 8.247.290,74** m e **E 166.187,07** m; deste, segue com azimute de 322°25'53" e distância de 0,01 m, até o vértice **330**, de coordenadas **N 8.247.290,75** m e **E 166.187,07** m; deste, segue com azimute de 322°39'41" e distância de 9,95 m, até o vértice **331**, de coordenadas **N 8.247.298,66** m e **E 166.181,03** m; deste, segue com azimute de 322°39'42" e distância de 7,84 m, até o vértice **332**, de coordenadas **N 8.247.304,90** m e **E 166.176,27** m; deste, segue com azimute de 322°50'09" e distância de 6,26 m, até o vértice **333**, de coordenadas **N 8.247.309,89** m e **E 166.172,49** m; deste, segue com azimute de 322°50'12" e distância de 9,47 m, até o vértice **334**, de coordenadas **N 8.247.317,43** m e **E 166.166,77** m; deste, segue com azimute de 322°50'08" e distância de 6,35 m, até o vértice **335**, de coordenadas **N 8.247.322,49** m e **E 166.162,93** m; deste, segue com azimute de 322°50'10" e distância de 10,07 m, até o vértice **336**, de coordenadas **N 8.247.330,52** m e **E 166.156,85** m; deste, segue com azimute de 232°41'02" e distância de 0,04 m, até o vértice **337**, de coordenadas **N 8.247.330,50** m e **E 166.156,82** m; deste, segue com azimute de 297°13'29" e distância de 1,90 m, até o vértice **338**, de coordenadas **N 8.247.331,37** m e **E 166.155,13** m; deste, segue com azimute de 296°15'08" e distância de 0,52 m, até o vértice **339**, de coordenadas **N 8.247.331,60** m e **E 166.154,67** m; deste, segue com azimute de 296°15'08" e distância de 1,55 m, até o vértice **340**, de coordenadas **N 8.247.332,28** m e **E 166.153,28** m; deste, segue com azimute de 322°48'29" e distância de 5,51 m, até o vértice **341**, de coordenadas **N 8.247.336,67** m e **E 166.149,95** m; deste, segue com azimute de 322°48'29" e distância de 8,70 m, até o vértice **342**, de coordenadas **N 8.247.343,60** m e **E 166.144,69** m; deste, segue com azimute de 322°48'29" e distância de 3,75 m, até o vértice **343**, de coordenadas **N 8.247.346,59** m e **E 166.142,42** m; deste, segue com azimute de 322°48'34" e distância de 0,08 m, até o vértice **344**, de coordenadas **N 8.247.346,65** m e **E 166.142,37** m; deste, segue com azimute de 323°01'55" e distância de 7,08 m, até o vértice **345**, de coordenadas **N 8.247.352,31** m e **E 166.138,12** m; deste, segue com azimute de 323°01'50" e distância de 1,00 m, até o vértice **346**, de coordenadas **N 8.247.353,11** m e **E 166.137,51** m; deste, segue com azimute de 323°01'54" e distância de 10,16 m, até o vértice **347**, de coordenadas **N 8.247.361,23** m e **E 166.131,40** m; deste, segue com azimute de 323°01'52" e distância de 8,57 m, até o vértice **348**, de coordenadas **N 8.247.368,08** m e **E 166.126,25** m; deste, segue com azimute de 323°01'52" e distância de 1,63 m, até o vértice **349**, de



SPL - PLC 0019/2019 folha 000126

coordenadas **N 8.247.369,38** m e **E 166.125,27** m; deste, segue com azimute de 232°27'47" e distância de 0,05 m, até o vértice **350**, de coordenadas **N 8.247.369,35** m e **E 166.125,22** m; deste, segue com azimute de 322°37'51" e distância de 7,94 m, até o vértice **351**, de coordenadas **N 8.247.375,66** m e **E 166.120,40** m; deste, segue com azimute de 322°37'51" e distância de 9,45 m, até o vértice **352**, de coordenadas **N 8.247.383,17** m e **E 166.114,67** m; deste, segue com azimute de 322°37'51" e distância de 12,45 m, até o vértice **353**, de coordenadas **N 8.247.393,06** m e **E 166.107,11** m; deste, segue com azimute de 323°16'50" e distância de 0,02 m, até o vértice **354**, de coordenadas **N 8.247.393,08** m e **E 166.107,10** m; deste, segue com azimute de 323°16'54" e distância de 7,43 m, até o vértice **355**, de coordenadas **N 8.247.399,03** m e **E 166.102,66** m; deste, segue com azimute de 323°16'54" e distância de 0,27 m, até o vértice **356**, de coordenadas **N 8.247.399,25** m e **E 166.102,50** m; deste, segue com azimute de 323°16'51" e distância de 6,16 m, até o vértice **357**, de coordenadas **N 8.247.404,18** m e **E 166.098,82** m; deste, segue com azimute de 323°16'53" e distância de 10,09 m, até o vértice **358**, de coordenadas **N 8.247.412,27** m e **E 166.092,78** m; deste, segue com azimute de 323°16'52" e distância de 10,58 m, até o vértice **359**, de coordenadas **N 8.247.420,75** m e **E 166.086,46** m; deste, segue com azimute de 323°16'52" e distância de 2,66 m, até o vértice **360**, de coordenadas **N 8.247.422,88** m e **E 166.084,87** m; deste, segue com azimute de 323°16'52" e distância de 13,17 m, até o vértice **361**, de coordenadas **N 8.247.433,44** m e **E 166.076,99** m; deste, segue com azimute de 323°16'53" e distância de 6,06 m, até o vértice **362**, de coordenadas **N 8.247.438,30** m e **E 166.073,37** m; deste, segue com azimute de 323°16'53" e distância de 3,76 m, até o vértice **363**, de coordenadas **N 8.247.441,31** m e **E 166.071,12** m; deste, segue com azimute de 323°16'51" e distância de 10,16 m, até o vértice **364**, de coordenadas **N 8.247.449,45** m e **E 166.065,05** m; deste, segue com azimute de 323°18'04" e distância de 0,13 m, até o vértice **365**, de coordenadas **N 8.247.449,56** m e **E 166.064,97** m; deste, segue com azimute de 323°14'40" e distância de 0,06 m, até o vértice **366**, de coordenadas **N 8.247.449,60** m e **E 166.064,94** m; deste, segue com azimute de 322°18'14" e distância de 9,76 m, até o vértice **367**, de coordenadas **N 8.247.457,32** m e **E 166.058,97** m; deste, segue com azimute de 322°18'14" e distância de 8,71 m, até o vértice **368**, de coordenadas **N 8.247.464,22** m e **E 166.053,64** m; deste, segue com azimute de 322°18'16" e distância de 8,96 m, até o vértice **369**, de coordenadas **N 8.247.471,31** m e **E 166.048,17** m; deste, segue com azimute de 322°18'14" e distância de 9,33 m, até o vértice **370**, de coordenadas **N 8.247.478,69** m e **E 166.042,46** m; deste, segue com azimute de 322°18'15" e distância de 13,05 m, até o vértice **371**, de



SPL - PLC 0019/2019 folha 000127

coordenadas **N 8.247.489,02** m e **E 166.034,48** m; deste, segue com azimute de 322°42'43" e distância de 0,04 m, até o vértice **372**, de coordenadas **N 8.247.489,05** m e **E 166.034,46** m; deste, segue com azimute de 322°43'54" e distância de 0,15 m, até o vértice **373**, de coordenadas **N 8.247.489,17** m e **E 166.034,36** m; deste, segue com azimute de 322°43'24" e distância de 11,58 m, até o vértice **374**, de coordenadas **N 8.247.498,38** m e **E 166.027,35** m; deste, segue com azimute de 322°43'24" e distância de 16,36 m, até o vértice **375**, de coordenadas **N 8.247.511,41** m e **E 166.017,44** m; deste, segue com azimute de 322°06'03" e distância de 0,08 m, até o vértice **376**, de coordenadas **N 8.247.511,47** m e **E 166.017,39** m; deste, segue com azimute de 322°08'14" e distância de 8,23 m, até o vértice **377**, de coordenadas **N 8.247.517,97** m e **E 166.012,34** m; deste, segue com azimute de 322°08'15" e distância de 4,40 m, até o vértice **378**, de coordenadas **N 8.247.521,44** m e **E 166.009,63** m; deste, segue com azimute de 322°08'15" e distância de 3,41 m, até o vértice **379**, de coordenadas **N 8.247.524,14** m e **E 166.007,54** m; deste, segue com azimute de 322°08'16" e distância de 11,49 m, até o vértice **380**, de coordenadas **N 8.247.533,21** m e **E 166.000,49** m; deste, segue com azimute de 322°55'22" e distância de 0,07 m, até o vértice **381**, de coordenadas **N 8.247.533,27** m e **E 166.000,44** m; deste, segue com azimute de 322°56'36" e distância de 11,48 m, até o vértice **382**, de coordenadas **N 8.247.542,43** m e **E 165.993,53** m; deste, segue com azimute de 322°37'51" e distância de 0,10 m, até o vértice **383**, de coordenadas **N 8.247.542,50** m e **E 165.993,47** m; deste, segue com azimute de 322°36'11" e distância de 10,29 m, até o vértice **384**, de coordenadas **N 8.247.550,68** m e **E 165.987,22** m; deste, segue com azimute de 322°36'14" e distância de 7,91 m, até o vértice **385**, de coordenadas **N 8.247.556,96** m e **E 165.982,42** m; deste, segue com azimute de 322°36'11" e distância de 9,78 m, até o vértice **386**, de coordenadas **N 8.247.564,73** m e **E 165.976,48** m; deste, segue com azimute de 53°13'40" e distância de 12,43 m, até o vértice **387**, de coordenadas **N 8.247.572,17** m e **E 165.986,44** m; deste, segue com azimute de 326°20'40" e distância de 16,88 m, até o vértice **388**, de coordenadas **N 8.247.586,22** m e **E 165.977,08** m; deste, segue com azimute de 327°38'13" e distância de 6,09 m, até o vértice **389**, de coordenadas **N 8.247.591,36** m e **E 165.973,82** m; deste, segue com azimute de 237°54'53" e distância de 155,05 m, até o vértice **390**, de coordenadas **N 8.247.509,01** m e **E 165.842,45** m; deste, segue com azimute de 325°34'36" e distância de 45,87 m, até o vértice **391**, de coordenadas **N 8.247.546,84** m e **E 165.816,53** m; deste, segue com azimute de 326°47'05" e distância de 53,13 m, até o vértice **392**, de coordenadas **N 8.247.591,29** m e **E 165.787,42** m; deste, segue com azimute de 323°55'50" e distância de 53,03 m, até o vértice **393**, de



SPL - PLC 0019/2019 folha 000128

coordenadas **N 8.247.634,15** m e **E 165.756,20** m; deste, segue com azimute de 321°08'48" e distância de 24,46 m, até o vértice **394**, de coordenadas **N 8.247.653,20** m e **E 165.740,85** m; deste, segue com azimute de 321°54'06" e distância de 50,60 m, até o vértice **395**, de coordenadas **N 8.247.693,02** m e **E 165.709,63** m; deste, segue com azimute de 320°35'07" e distância de 24,46 m, até o vértice **396**, de coordenadas **N 8.247.711,92** m e **E 165.694,10** m; deste, segue com azimute de 322°01'31" e distância de 74,65 m, até o vértice **397**, de coordenadas **N 8.247.770,77** m e **E 165.648,17** m; deste, segue com azimute de 316°18'14" e distância de 16,83 m, até o vértice **398**, de coordenadas **N 8.247.782,93** m e **E 165.636,54** m; deste, segue com azimute de 229°13'19" e distância de 11,34 m, até o vértice **399**, de coordenadas **N 8.247.775,53** m e **E 165.627,96** m; deste, segue com azimute de 231°08'14" e distância de 168,00 m, até o vértice **400**, de coordenadas **N 8.247.670,12** m e **E 165.497,15** m; deste, segue com azimute de 239°18'01" e distância de 15,34 m, até o vértice **401**, de coordenadas **N 8.247.662,29** m e **E 165.483,95** m; deste, segue com azimute de 240°17'39" e distância de 16,74 m, até o vértice **402**, de coordenadas **N 8.247.653,99** m e **E 165.469,41** m; deste, segue com azimute de 231°04'21" e distância de 16,45 m, até o vértice **403**, de coordenadas **N 8.247.643,66** m e **E 165.456,62** m; deste, segue com azimute de 230°00'47" e distância de 129,41 m, até o vértice **404**, de coordenadas **N 8.247.560,49** m e **E 165.357,47** m; deste, segue com azimute de 326°02'27" e distância de 29,07 m, até o vértice **405**, de coordenadas **N 8.247.584,61** m e **E 165.341,23** m; deste, segue com azimute de 332°18'02" e distância de 11,12 m, até o vértice **406**, de coordenadas **N 8.247.594,45** m e **E 165.336,06** m; deste, segue com azimute de 344°11'51" e distância de 13,55 m, até o vértice **407**, de coordenadas **N 8.247.607,49** m e **E 165.332,37** m; deste, segue com azimute de 352°27'38" e distância de 16,88 m, até o vértice **408**, de coordenadas **N 8.247.624,22** m e **E 165.330,15** m; deste, segue com azimute de 354°03'33" e distância de 97,46 m, até o vértice **409**, de coordenadas **N 8.247.721,16** m e **E 165.320,07** m; deste, segue com azimute de 353°55'17" e distância de 95,26 m, até o vértice **410**, de coordenadas **N 8.247.815,89** m e **E 165.309,98** m; deste, segue com azimute de 351°34'23" e distância de 6,72 m, até o vértice **411**, de coordenadas **N 8.247.822,53** m e **E 165.308,99** m; deste, segue com azimute de 337°22'48" e distância de 6,40 m, até o vértice **412**, de coordenadas **N 8.247.828,43** m e **E 165.306,53** m; deste, segue com azimute de 330°15'18" e distância de 5,95 m, até o vértice **413**, de coordenadas **N 8.247.833,60** m e **E 165.303,58** m; deste, segue com azimute de 327°25'33" e distância de 10,51 m, até o vértice **414**, de coordenadas **N 8.247.842,46** m e **E 165.297,92** m; deste, segue com azimute de 325°33'28" e distância de 107,77 m, até o vértice **415**, de



SPL - PLC 0019/2019 folha 000129

coordenadas **N 8.247.931,33** m e **E 165.236,97** m; deste, segue com azimute de 324°15'02" e distância de 138,76 m, até o vértice **416**, de coordenadas **N 8.248.043,95** m e **E 165.155,90** m; deste, segue com azimute de 324°41'20" e distância de 7,78 m, até o vértice **417**, de coordenadas **N 8.248.050,30** m e **E 165.151,41** m; deste, segue com azimute de 313°31'52" e distância de 7,30 m, até o vértice **418**, de coordenadas **N 8.248.055,32** m e **E 165.146,12** m; deste, segue com azimute de 297°24'27" e distância de 8,05 m, até o vértice **419**, de coordenadas **N 8.248.059,03** m e **E 165.138,97** m; deste, segue com azimute de 282°12'02" e distância de 10,02 m, até o vértice **420**, de coordenadas **N 8.248.061,14** m e **E 165.129,18** m; deste, segue com azimute de 304°19'49" e distância de 13,14 m, até o vértice **421**, de coordenadas **N 8.248.068,55** m e **E 165.118,33** m; deste, segue com azimute de 250°15'56" e distância de 88,54 m, até o vértice **422**, de coordenadas **N 8.248.038,65** m e **E 165.034,99** m; deste, segue com azimute de 338°31'56" e distância de 279,02 m, até o vértice **423**, de coordenadas **N 8.248.298,32** m e **E 164.932,88** m; deste, segue com azimute de 347°05'25" e distância de 19,00 m, até o vértice **424**, de coordenadas **N 8.248.316,84** m e **E 164.928,63** m; deste, segue com azimute de 338°05'47" e distância de 205,34 m, até o vértice **425**, de coordenadas **N 8.248.507,36** m e **E 164.852,03** m; deste, segue com azimute de 348°08'30" e distância de 18,69 m, até o vértice **426**, de coordenadas **N 8.248.525,65** m e **E 164.848,19** m; deste, segue com azimute de 337°57'23" e distância de 93,74 m, até o vértice **427**, de coordenadas **N 8.248.612,54** m e **E 164.813,00** m; deste, segue com azimute de 250°56'32" e distância de 15,40 m, até o vértice **428**, de coordenadas **N 8.248.607,51** m e **E 164.798,45** m; deste, segue com azimute de 248°54'53" e distância de 276,31 m, até o vértice **429**, de coordenadas **N 8.248.508,11** m e **E 164.540,64** m; deste, segue com azimute de 337°42'38" e distância de 74,91 m, até o vértice **430**, de coordenadas **N 8.248.577,42** m e **E 164.512,23** m; deste, segue com azimute de 323°05'54" e distância de 9,59 m, até o vértice **431**, de coordenadas **N 8.248.585,08** m e **E 164.506,47** m; deste, segue com azimute de 338°52'38" e distância de 88,00 m, até o vértice **432**, de coordenadas **N 8.248.667,17** m e **E 164.474,76** m; deste, segue com azimute de 35°52'11" e distância de 0,18 m, até o vértice **433**, de coordenadas **N 8.248.667,32** m e **E 164.474,86** m; deste, segue com azimute de 69°24'11" e distância de 39,95 m, até o vértice **434**, de coordenadas **N 8.248.681,37** m e **E 164.512,26** m; deste, segue com azimute de 338°26'35" e distância de 11,52 m, até o vértice **435**, de coordenadas **N 8.248.692,09** m e **E 164.508,03** m; deste, segue com azimute de 67°19'25" e distância de 40,46 m, até o vértice **436**, de coordenadas **N 8.248.707,68** m e **E 164.545,36** m; deste, segue com azimute de 161°51'41" e distância de 12,24 m, até o vértice **437**, de



SPL - PLC 0019/2019 folha 000130

coordenadas **N 8.248.696,06** m e **E 164.549,17** m; deste, segue com azimute de 69°08'44" e distância de 38,65 m, até o vértice **438**, de coordenadas **N 8.248.709,81** m e **E 164.585,29** m; deste, segue com azimute de 339°52'26" e distância de 10,27 m, até o vértice **439**, de coordenadas **N 8.248.719,46** m e **E 164.581,75** m; deste, segue com azimute de 340°01'28" e distância de 43,88 m, até o vértice **440**, de coordenadas **N 8.248.760,70** m e **E 164.566,76** m; deste, segue com azimute de 338°20'39" e distância de 118,16 m, até o vértice **441**, de coordenadas **N 8.248.870,52** m e **E 164.523,16** m; deste, segue com azimute de 338°43'49" e distância de 75,38 m, até o vértice **442**, de coordenadas **N 8.248.940,77** m e **E 164.495,81** m; deste, segue com azimute de 249°24'52" e distância de 120,40 m, até o vértice **443**, de coordenadas **N 8.248.898,43** m e **E 164.383,10** m; deste, segue com azimute de 338°33'46" e distância de 193,29 m, até o vértice **444**, de coordenadas **N 8.249.078,35** m e **E 164.312,46** m; deste, segue com azimute de 249°06'59" e distância de 162,55 m, até o vértice **445**, de coordenadas **N 8.249.020,41** m e **E 164.160,58** m; deste, segue com azimute de 338°43'02" e distância de 48,84 m, até o vértice **446**, de coordenadas **N 8.249.065,91** m e **E 164.142,86** m; deste, segue com azimute de 338°45'28" e distância de 191,33 m, até o vértice **447**, de coordenadas **N 8.249.244,24** m e **E 164.073,54** m; deste, segue com azimute de 338°51'57" e distância de 141,78 m, até o vértice **448**, de coordenadas **N 8.249.376,48** m e **E 164.022,42** m; deste, segue com azimute de 338°14'28" e distância de 39,83 m, até o vértice **449**, de coordenadas **N 8.249.413,47** m e **E 164.007,66** m; deste, segue com azimute de 338°36'05" e distância de 92,24 m, até o vértice **450**, de coordenadas **N 8.249.499,36** m e **E 163.974,00** m; deste, segue com azimute de 345°16'12" e distância de 101,77 m, até o vértice **451**, de coordenadas **N 8.249.597,78** m e **E 163.948,12** m; deste, segue com azimute de 345°32'51" e distância de 79,51 m, até o vértice **452**, de coordenadas **N 8.249.674,77** m e **E 163.928,28** m; deste, segue com azimute de 252°48'30" e distância de 90,23 m, até o vértice **453**, de coordenadas **N 8.249.648,10** m e **E 163.842,08** m; deste, segue com azimute de 252°16'21" e distância de 183,00 m, até o vértice **454**, de coordenadas **N 8.249.592,38** m e **E 163.667,77** m; deste, segue com azimute de 252°18'14" e distância de 171,30 m, até o vértice **455**, de coordenadas **N 8.249.540,31** m e **E 163.504,58** m; deste, segue com azimute de 255°57'50" e distância de 11,13 m, até o vértice **456**, de coordenadas **N 8.249.537,61** m e **E 163.493,78** m; deste, segue com azimute de 257°22'50" e distância de 10,90 m, até o vértice **457**, de coordenadas **N 8.249.535,23** m e **E 163.483,14** m; deste, segue com azimute de 273°48'51" e distância de 4,77 m, até o vértice **458**, de coordenadas **N 8.249.535,55** m e **E 163.478,38** m; deste, segue com azimute de 291°35'43" e distância de 8,20 m, até o vértice **459**, de



SFL - PLC 0019/2019 folha 000131

coordenadas **N 8.249.538,57** m e **E 163.470,76** m; deste, segue com azimute de 302°58'10" e distância de 14,00 m, até o vértice **460**, de coordenadas **N 8.249.546,19** m e **E 163.459,01** m; deste, segue com azimute de 299°54'38" e distância de 34,06 m, até o vértice **461**, de coordenadas **N 8.249.563,17** m e **E 163.429,49** m; deste, segue com azimute de 297°44'42" e distância de 31,03 m, até o vértice **462**, de coordenadas **N 8.249.577,62** m e **E 163.402,02** m; deste, segue com azimute de 293°34'54" e distância de 43,65 m, até o vértice **463**, de coordenadas **N 8.249.595,08** m e **E 163.362,02** m; deste, segue com azimute de 291°48'05" e distância de 33,34 m, até o vértice **464**, de coordenadas **N 8.249.607,46** m e **E 163.331,06** m; deste, segue com azimute de 287°45'18" e distância de 33,84 m, até o vértice **465**, de coordenadas **N 8.249.617,78** m e **E 163.298,84** m; deste, segue com azimute de 286°46'58" e distância de 20,89 m, até o vértice **466**, de coordenadas **N 8.249.623,82** m e **E 163.278,83** m; deste, segue com azimute de 283°29'45" e distância de 24,49 m, até o vértice **467**, de coordenadas **N 8.249.629,53** m e **E 163.255,02** m; deste, segue com azimute de 280°37'11" e distância de 18,09 m, até o vértice **468**, de coordenadas **N 8.249.632,86** m e **E 163.237,24** m; deste, segue com azimute de 276°45'58" e distância de 18,86 m, até o vértice **469**, de coordenadas **N 8.249.635,09** m e **E 163.218,51** m; deste, segue com azimute de 275°08'02" e distância de 40,80 m, até o vértice **470**, de coordenadas **N 8.249.638,74** m e **E 163.177,87** m; deste, segue com azimute de 275°15'40" e distância de 98,68 m, até o vértice **471**, de coordenadas **N 8.249.647,79** m e **E 163.079,60** m; deste, segue com azimute de 274°12'45" e distância de 127,56 m, até o vértice **472**, de coordenadas **N 8.249.657,16** m e **E 162.952,39** m; deste, segue com azimute de 342°46'03" e distância de 77,34 m, até o vértice **473**, de coordenadas **N 8.249.731,02** m e **E 162.929,48** m; deste, segue com azimute de 254°47'31" e distância de 28,24 m, até o vértice **474**, de coordenadas **N 8.249.723,62** m e **E 162.902,22** m; deste, segue com azimute de 252°29'57" e distância de 123,18 m, até o vértice **475**, de coordenadas **N 8.249.686,57** m e **E 162.784,75** m; deste, segue com azimute de 252°24'27" e distância de 22,76 m, até o vértice **476**, de coordenadas **N 8.249.679,70** m e **E 162.763,05** m; deste, segue com azimute de 262°24'19" e distância de 12,01 m, até o vértice **477**, de coordenadas **N 8.249.678,11** m e **E 162.751,15** m; deste, segue com azimute de 274°53'57" e distância de 9,29 m, até o vértice **478**, de coordenadas **N 8.249.678,90** m e **E 162.741,89** m; deste, segue com azimute de 278°11'33" e distância de 68,70 m, até o vértice **479**, de coordenadas **N 8.249.688,69** m e **E 162.673,89** m; deste, segue com azimute de 278°13'39" e distância de 220,02 m, até o vértice **480**, de coordenadas **N 8.249.720,18** m e **E 162.456,14** m; deste, segue com azimute de 276°10'13" e distância de 19,69 m, até o vértice **481**, de



SPL - PLC 0019/2019 folha 000132

coordenadas **N 8.249.722,29** m e **E 162.436,56** m; deste, segue com azimute de 273°25'00" e distância de 17,76 m, até o vértice **482**, de coordenadas **N 8.249.723,35** m e **E 162.418,83** m; deste, segue com azimute de 270°00'00" e distância de 15,88 m, até o vértice **483**, de coordenadas **N 8.249.723,35** m e **E 162.402,95** m; deste, segue com azimute de 264°05'38" e distância de 15,43 m, até o vértice **484**, de coordenadas **N 8.249.721,76** m e **E 162.387,61** m; deste, segue com azimute de 255°45'00" e distância de 17,20 m, até o vértice **485**, de coordenadas **N 8.249.717,53** m e **E 162.370,94** m; deste, segue com azimute de 253°04'21" e distância de 19,08 m, até o vértice **486**, de coordenadas **N 8.249.711,97** m e **E 162.352,68** m; deste, segue com azimute de 252°34'28" e distância de 265,94 m, até o vértice **487**, de coordenadas **N 8.249.632,34** m e **E 162.098,95** m; deste, segue com azimute de 250°42'36" e distância de 22,43 m, até o vértice **488**, de coordenadas **N 8.249.624,93** m e **E 162.077,78** m; deste, segue com azimute de 249°04'32" e distância de 19,26 m, até o vértice **489**, de coordenadas **N 8.249.618,05** m e **E 162.059,79** m; deste, segue com azimute de 242°01'14" e distância de 19,17 m, até o vértice **490**, de coordenadas **N 8.249.609,05** m e **E 162.042,86** m; deste, segue com azimute de 235°40'11" e distância de 13,14 m, até o vértice **491**, de coordenadas **N 8.249.601,64** m e **E 162.032,01** m; deste, segue com azimute de 226°54'33" e distância de 11,23 m, até o vértice **492**, de coordenadas **N 8.249.593,97** m e **E 162.023,81** m; deste, segue com azimute de 225°00'00" e distância de 23,20 m, até o vértice **493**, de coordenadas **N 8.249.577,57** m e **E 162.007,40** m; deste, segue com azimute de 225°23'04" e distância de 27,88 m, até o vértice **494**, de coordenadas **N 8.249.557,99** m e **E 161.987,56** m; deste, segue com azimute de 222°45'15" e distância de 19,10 m, até o vértice **495**, de coordenadas **N 8.249.543,96** m e **E 161.974,59** m; deste, segue com azimute de 222°24'51" e distância de 29,03 m, até o vértice **496**, de coordenadas **N 8.249.522,53** m e **E 161.955,01** m; deste, segue com azimute de 226°12'22" e distância de 35,55 m, até o vértice **497**, de coordenadas **N 8.249.497,93** m e **E 161.929,35** m; deste, segue com azimute de 316°36'30" e distância de 44,65 m, até o vértice **498**, de coordenadas **N 8.249.530,37** m e **E 161.898,68** m; deste, segue com azimute de 338°20'25" e distância de 23,24 m, até o vértice **499**, de coordenadas **N 8.249.551,97** m e **E 161.890,10** m; deste, segue com azimute de 342°51'41" e distância de 33,09 m, até o vértice **500**, de coordenadas **N 8.249.583,59** m e **E 161.880,35** m; deste, segue com azimute de 251°43'28" e distância de 37,37 m, até o vértice **501**, de coordenadas **N 8.249.571,87** m e **E 161.844,87** m; deste, segue com azimute de 252°34'19" e distância de 198,30 m, até o vértice **502**, de coordenadas **N 8.249.512,48** m e **E 161.655,67** m; deste, segue com azimute de 308°09'43" e distância de 122,79 m, até o vértice **503**, de



SPL - PLC 0019/2019 folha 000133

coordenadas **N 8.249.588,35** m e **E 161.559,12** m; deste, segue com azimute de 278°16'49" e distância de 26,97 m, até o vértice **504**, de coordenadas **N 8.249.592,23** m e **E 161.532,44** m; deste, segue com azimute de 342°33'25" e distância de 1.674,64 m, até o vértice **505**, de coordenadas **N 8.251.189,87** m e **E 161.030,45** m; deste, segue com azimute de 341°47'18" e distância de 121,88 m, até o vértice **506**, de coordenadas **N 8.251.305,64** m e **E 160.992,36** m; situado à Rodovia BR-070 deste, segue pela Rodovia BR-070, até o vértice **507**, de coordenadas **N 8.250.817,50** m e **E 158.359,60** m; deste, segue com azimute de 194°56'28" e distância de 115,62 m, até o vértice **508**, de coordenadas **N 8.250.705,79** m e **E 158.329,79** m; grota da cabeceira do Córrego Vereda, deste segue pelo Córrego Vereda, até o vértice **509**, de coordenadas **N 8.248.104,31** m e **E 158.974,48** m; ponto de confluência entre o Córrego Vereda e o Córrego das Corujas, deste segue pelo Córrego das Corujas, até o vértice **510**, de coordenadas **N 8.246.571,67** m e **E 158.267,87** m; ponto de confluência entre o Córrego das Corujas e o Córrego Guariroba deste, segue pelo Córrego Guariroba, até o vértice **511**, de coordenadas **N 8.244.297,39** m e **E 159.873,88** m; ponto de confluência entre o Córrego Guariroba e o Rio Melchior **deste**, segue pelo Rio Melchior, até o vértice **512**, de coordenadas **N 8.236.167,44** m e **E 151.010,47** m; ponto de confluência entre o Rio Melchior e o Rio Descoberto deste, segue pelo Rio Descoberto, até o vértice **1**, de coordenadas **N 8.256.069,85** m e **E 156.450,37** m; ponto inicial da descrição deste perímetro.Todos os azimutes e distâncias, áreas e perímetros foram calculados no plano de projeção UTM Todas as coordenadas aqui descritas estão georreferenciadas ao Sistema Geodésico Brasileiro e encontram-se representadas no Sistema UTM, referenciadas ao **Meridiano Central 45° WGr, Fuso 23**, tendo como o *Datum* o **SICAD-SIRGAS 2000.** Todos os azimutes e distâncias, áreas e perímetros foram calculados no plano de projeção UTM.



SFL - PLC 0019/2019 folha 000134

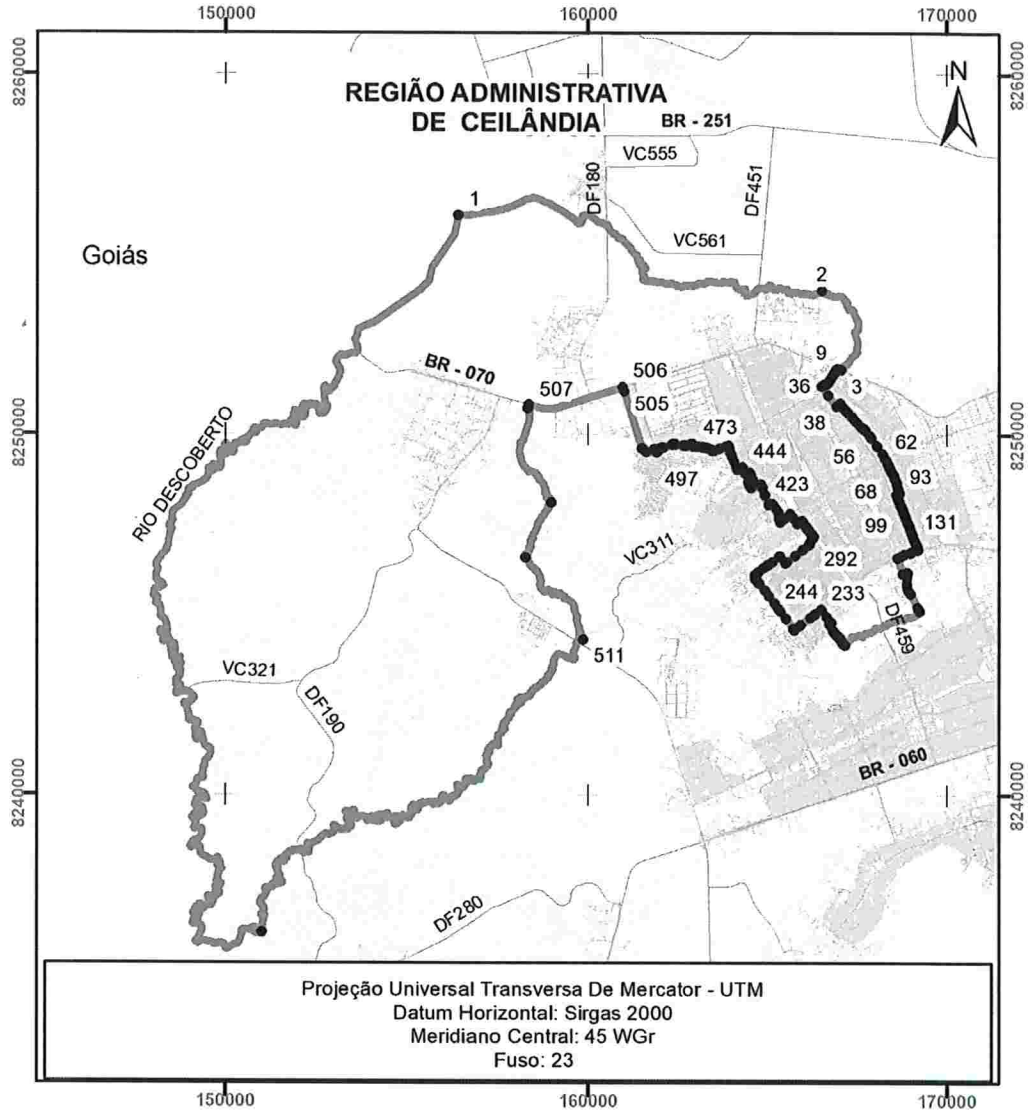




SFL - PLC 0019/2019 folha 000135

# MEMORIAL DESCRITIVO

## GUARÁ – RA X

Perímetro: 24.813,081 m  Área: 2.522,335 ha

Inicia-se a descrição deste perímetro no vértice **1**, de coordenadas **N 8.250.962,96** m. e **E 180.508,22** m., situado na área norte da Região Administrativa do Guará , deste, segue com azimute de 152°35'06" e distância de 43,66 m., até o vértice **2**, de coordenadas **N 8.250.924,21** m. e **E 180.528,32** m.; deste, segue com azimute de 152°35'06" e distância de 65,40 m., até o vértice **3**, de coordenadas **N 8.250.866,15** m. e **E 180.558,43** m.; deste, segue com azimute de 152°35'06" e distância de 35,43 m., até o vértice **4**, de coordenadas **N 8.250.834,71** m. e **E 180.574,74** m.; deste, segue com azimute de 152°35'06" e distância de 16,61 m., até o vértice **5**, de coordenadas **N 8.250.819,96** m. e **E 180.582,39** m.; deste, segue com azimute de 99°51'37" e distância de 71,54 m., até o vértice **6**, de coordenadas **N 8.250.807,71** m. e **E 180.652,87** m.; deste, segue com azimute de 99°51'37" e distância de 39,41 m., até o vértice **7**, de coordenadas **N 8.250.800,96** m. e **E 180.691,70** m.; deste, segue com azimute de 152°37'18" e distância de 21,93 m., até o vértice **8**, de coordenadas **N 8.250.781,49** m. e **E 180.701,79** m.; deste, segue com azimute de 152°37'18" e distância de 92,40 m., até o vértice **9**, de coordenadas **N 8.250.699,44** m. e **E 180.744,28** m.; deste, segue com azimute de 152°37'18" e distância de 23,09 m., até o vértice **10**, de coordenadas **N 8.250.678,93** m. e **E 180.754,90** m.; deste, segue com azimute de 152°37'17" e distância de 38,82 m., até o vértice **11**, de coordenadas **N 8.250.644,46** m. e **E 180.772,75** m.; deste, segue com azimute de 98°20'14" e distância de 81,97 m., até o vértice **12**, de coordenadas **N 8.250.632,57** m. e **E 180.853,85** m.; deste, segue com azimute de 98°20'14" e distância de 180,77 m., até o vértice **13**, de coordenadas **N 8.250.606,36** m. e **E 181.032,72** m.; deste, segue com azimute de 98°20'14" e distância de 56,09 m., até o vértice **14**, de coordenadas **N 8.250.598,23** m. e **E 181.088,21** m.; deste, segue com azimute de 98°20'14" e distância de 268,23 m., até o vértice **15**, de coordenadas **N 8.250.559,34** m. e **E 181.353,61** m.; deste, segue com azimute de 98°20'14" e distância de 47,20 m., até o vértice **16**, de coordenadas **N 8.250.552,49** m. e **E 181.400,31** m.; deste, segue com azimute de 98°20'14" e distância de 56,68 m., até o vértice **17**, de coordenadas **N 8.250.544,27** m. e **E 181.456,39** m.; deste, segue com azimute de 98°20'14" e distância de 153,89 m., até o vértice **18**, de coordenadas **N 8.250.521,96** m. e **E 181.608,65** m.; deste, segue com azimute de 178°42'51" e distância de 106,53 m., até o vértice **19**, de coordenadas **N 8.250.415,46** m. e **E 181.611,05** m.; deste,



SFL - PLC 0019/2019 folha 000136

segue com azimute de 97°57'26" e distância de 26,38 m., até o vértice **20**, de coordenadas **N 8.250.411,81** m. e **E 181.637,17** m.; deste, segue com azimute de 97°57'23" e distância de 4,26 m., até o vértice **21**, de coordenadas **N 8.250.411,22** m. e **E 181.641,39** m.; deste, segue com azimute de 97°57'26" e distância de 18,65 m., até o vértice **22**, de coordenadas **N 8.250.408,64** m. e **E 181.659,87** m.; deste, segue com azimute de 97°57'26" e distância de 116,85 m., até o vértice **23**, de coordenadas **N 8.250.392,46** m. e **E 181.775,59** m.; deste, segue com azimute de 187°56'05" e distância de 47,68 m., até o vértice **24**, de coordenadas **N 8.250.345,24** m. e **E 181.769,01** m.; deste, segue com azimute de 187°56'05" e distância de 109,13 m., até o vértice **25**, de coordenadas **N 8.250.237,15** m. e **E 181.753,95** m.; deste, segue com azimute de 187°56'06" e distância de 36,73 m., até o vértice **26**, de coordenadas **N 8.250.200,78** m. e **E 181.748,88** m.; deste, segue com azimute de 187°56'05" e distância de 98,26 m., até o vértice **27**, de coordenadas **N 8.250.103,46** m. e **E 181.735,31** m.; deste, segue com azimute de 159°18'40" e distância de 33,17 m., até o vértice **28**, de coordenadas **N 8.250.072,43** m. e **E 181.747,03** m.; deste, segue com azimute de 159°18'37" e distância de 5,07 m., até o vértice **29**, de coordenadas **N 8.250.067,69** m. e **E 181.748,82** m.; deste, segue com azimute de 159°18'40" e distância de 22,57 m., até o vértice **30**, de coordenadas **N 8.250.046,57** m. e **E 181.756,79** m.; deste, segue com azimute de 159°18'36" e distância de 1,14 m., até o vértice **31**, de coordenadas **N 8.250.045,51** m. e **E 181.757,20** m.; deste, segue com azimute de 159°18'19" e distância de 0,16 m., até o vértice **32**, de coordenadas **N 8.250.045,35** m. e **E 181.757,26** m., situado no eixo da Rodovia DF-085; deste segue pela Rodovia DF-085 até o vértice **33**, de coordenadas **N 8.249.848,61** m. e **E 184.130,33** m., ponto de interseção entre o eixo da Rodovia DF-085 e o eixo da Rodovia DF-003 ; deste segue pela Rodovia DF-003 até o vértice **34**, de coordenadas **N 8.245.604,81** m. e **E 183.531,16** m. ; deste, segue com azimute de 277°55'49" e distância de 1,85 m., até o vértice **35**, de coordenadas **N 8.245.605,07** m. e **E 183.529,33** m.; deste, segue com azimute de 277°55'54" e distância de 5,99 m., até o vértice **36**, de coordenadas **N 8.245.605,90** m. e **E 183.523,40** m.; deste, segue com azimute de 277°55'53" e distância de 93,85 m., até o vértice **37**, de coordenadas **N 8.245.618,85** m. e **E 183.430,44** m.; deste, segue com azimute de 187°55'53" e distância de 46,13 m., até o vértice **38**, de coordenadas **N 8.245.573,16** m. e **E 183.424,07** m.; deste, segue com azimute de 187°55'53" e distância de 106,71 m., até o vértice **39**, de coordenadas **N 8.245.467,47** m. e **E 183.409,35** m.; deste, segue com azimute de 187°55'53" e distância de 44,09 m., até o vértice **40**, de coordenadas **N 8.245.423,80** m. e **E 183.403,26** m.; deste, segue com azimute de 187°55'55" e distância de 2,36 m., até o



SPL - PLC 0019/2019 folha 000137

vértice **41**, de coordenadas **N 8.245.421,45** m. e **E 183.402,94** m.; deste, segue com azimute de 187°55'53" e distância de 106,21 m., até o vértice **42**, de coordenadas **N 8.245.316,26** m. e **E 183.388,28** m.; deste, segue com azimute de 187°55'53" e distância de 177,00 m., até o vértice **43**, de coordenadas **N 8.245.140,96** m. e **E 183.363,86** m.; deste, segue com azimute de 187°55'52" e distância de 63,13 m., até o vértice **44**, de coordenadas **N 8.245.078,44** m. e **E 183.355,15** m.; deste, segue com azimute de 187°55'53" e distância de 133,49 m., até o vértice **45**, de coordenadas **N 8.244.946,22** m. e **E 183.336,73** m.; deste, segue com azimute de 187°55'52" e distância de 3,43 m., até o vértice **46**, de coordenadas **N 8.244.942,83** m. e **E 183.336,26** m.; deste, segue com azimute de 187°55'51" e distância de 15,02 m., até o vértice **47**, de coordenadas **N 8.244.927,95** m. e **E 183.334,18** m.; deste, segue com azimute de 187°55'59" e distância de 0,71 m., até o vértice **48**, de coordenadas **N 8.244.927,24** m. e **E 183.334,09** m.; deste, segue com azimute de 277°25'51" e distância de 33,86 m., até o vértice **49**, de coordenadas **N 8.244.931,62** m. e **E 183.300,51** m.; deste, segue com azimute de 278°47'54" e distância de 141,57 m., até o vértice **50**, de coordenadas **N 8.244.953,28** m. e **E 183.160,60** m.; deste, segue com azimute de 277°56'48" e distância de 93,98 m., até o vértice **51**, de coordenadas **N 8.244.966,27** m. e **E 183.067,53** m.; deste, segue com azimute de 278°31'25" e distância de 164,61 m., até o vértice **52**, de coordenadas **N 8.244.990,67** m. e **E 182.904,73** m.; deste, segue com azimute de 275°28'53" e distância de 31,29 m., até o vértice **53**, de coordenadas **N 8.244.993,66** m. e **E 182.873,59** m.; deste, segue com azimute de 273°53'32" e distância de 99,65 m., até o vértice **54**, de coordenadas **N 8.245.000,42** m. e **E 182.774,16** m.; deste, segue com azimute de 180°28'54" e distância de 18,72 m., até o vértice **55**, de coordenadas **N 8.244.981,70** m. e **E 182.774,00** m.; deste, segue com azimute de 183°19'29" e distância de 32,94 m., até o vértice **56**, de coordenadas **N 8.244.948,82** m. e **E 182.772,09** m.; deste, segue com azimute de 187°19'30" e distância de 690,76 m., até o vértice **57**, de coordenadas **N 8.244.263,69** m. e **E 182.684,02** m.; deste, segue com azimute de 124°00'57" e distância de 3,32 m., até o vértice **58**, de coordenadas **N 8.244.261,84** m. e **E 182.686,78** m.; deste, segue com azimute de 142°41'45" e distância de 3,28 m., até o vértice **59**, de coordenadas **N 8.244.259,23** m. e **E 182.688,77** m.; deste, segue com azimute de 165°41'16" e distância de 4,35 m., até o vértice **60**, de coordenadas **N 8.244.255,01** m. e **E 182.689,84** m.; deste, segue com azimute de 183°02'46" e distância de 3,40 m., até o vértice **61**, de coordenadas **N 8.244.251,61** m. e **E 182.689,66** m.; deste, segue com azimute de 191°19'28" e distância de 5,29 m., até o vértice **62**, de coordenadas **N 8.244.246,42** m. e **E 182.688,62** m.; deste, segue com azimute de 202°46'24" e distância de 29,92 m., até o



SPL - PLC 0019/2019 folha 000139

vértice **63**, de coordenadas **N 8.244.218,83** m. e **E 182.677,04** m.**;** deste, segue com azimute de 186°10'14" e distância de 4,84 m., até o vértice **64**, de coordenadas **N 8.244.214,02** m. e **E 182.676,52** m.**;** deste, segue com azimute de 160°42'33" e distância de 5,51 m., até o vértice **65**, de coordenadas **N 8.244.208,81** m. e **E 182.678,34** m.**;** deste, segue com azimute de 149°37'15" e distância de 4,37 m., até o vértice **66**, de coordenadas **N 8.244.205,04** m. e **E 182.680,56** m.**;** deste, segue com azimute de 123°16'07" e distância de 93,22 m., até o vértice **67**, de coordenadas **N 8.244.153,91** m. e **E 182.758,50** m.**;** deste, segue com azimute de 127°01'49" e distância de 83,61 m., até o vértice **68**, de coordenadas **N 8.244.103,55** m. e **E 182.825,25** m.**;** deste, segue com azimute de 125°51'21" e distância de 19,90 m., até o vértice **69**, de coordenadas **N 8.244.091,90** m. e **E 182.841,37** m.**;** deste, segue com azimute de 125°51'21" e distância de 61,09 m., até o vértice **70**, de coordenadas **N 8.244.056,11** m. e **E 182.890,89** m.**;** deste, segue com azimute de 121°30'45" e distância de 128,47 m., até o vértice **71**, de coordenadas **N 8.243.988,96** m. e **E 183.000,41** m.**;** deste, segue com azimute de 121°30'45" e distância de 7,82 m., até o vértice **72**, de coordenadas **N 8.243.984,87** m. e **E 183.007,08** m.**;** deste, segue com azimute de 131°12'46" e distância de 13,00 m., até o vértice **73**, de coordenadas **N 8.243.976,31** m. e **E 183.016,86** m.**;** deste, segue com azimute de 150°19'41" e distância de 18,53 m., até o vértice **74**, de coordenadas **N 8.243.960,21** m. e **E 183.026,03** m.**;** deste, segue com azimute de 150°19'43" e distância de 17,24 m., até o vértice **75**, de coordenadas **N 8.243.945,23** m. e **E 183.034,57** m.**;** deste, segue com azimute de 149°06'16" e distância de 9,95 m., até o vértice **76**, de coordenadas **N 8.243.936,69** m. e **E 183.039,68** m.**,** situado no eixo da Rodovia DF-075**;** deste segue pela Rodovia DF-075 até o vértice 77, de coordenadas **N 8.243.884,57** m. e **E 182.942,75** m.**,** ponto de cruzamento da Rodovia DF-075 com o Córrego Vicente Pires**;** deste segue margeando o Córrego Vicente Pires, até o vértice **78**, de coordenadas **N 8.249.275,39** m. e **E 178.082,60** m.**,** ponto de cruzamento do Córrego Vicente Pires com a Rodovia DF-085**;** deste segue pela Rodovia DF-085 até o vértice **79**, de coordenadas **N 8.249.689,83** m. e **E 179.363,79** m.**;** deste, segue com azimute de 8°54'54" e distância de 54,64 m., até o vértice **80**, de coordenadas **N 8.249.743,81** m. e **E 179.372,25** m.**;** deste, segue com azimute de 7°18'21" e distância de 62,42 m., até o vértice **81**, de coordenadas **N 8.249.805,72** m. e **E 179.380,19** m.**;** deste, segue com azimute de 6°37'15" e distância de 59,66 m., até o vértice **82**, de coordenadas **N 8.249.864,99** m. e **E 179.387,07** m.**;** deste, segue com azimute de 10°54'18" e distância de 58,74 m., até o vértice **83**, de coordenadas **N 8.249.922,67** m. e **E 179.398,18** m.**;** deste, segue com azimute de 13°47'59" e distância de 31,06 m., até o vértice **84**, de coordenadas



SPL - PLC 0019/2019 folha 000139

**N 8.249.952,83** m. e **E 179.405,59** m.; deste, segue com azimute de 7°11'57" e distância de 50,67 m., até o vértice **85**, de coordenadas **N 8.250.003,10** m. e **E 179.411,94** m.; deste, segue com azimute de 6°21'39" e distância de 162,40 m., até o vértice **86**, de coordenadas **N 8.250.164,50** m. e **E 179.429,93** m.; deste, segue com azimute de 6°22'31" e distância de 69,38 m., até o vértice **87**, de coordenadas **N 8.250.233,45** m. e **E 179.437,64** m.; deste, segue com azimute de 97°10'00" e distância de 9,73 m., até o vértice **88**, de coordenadas **N 8.250.232,23** m. e **E 179.447,29** m.; deste, segue com azimute de 97°07'30" e distância de 6,77 m., até o vértice **89**, de coordenadas **N 8.250.231,39** m. e **E 179.454,01** m.; deste, segue com azimute de 97°07'30" e distância de 43,41 m., até o vértice **90**, de coordenadas **N 8.250.226,01** m. e **E 179.497,09** m.; deste, segue com azimute de 95°15'54" e distância de 27,76 m., até o vértice **91**, de coordenadas **N 8.250.223,46** m. e **E 179.524,73** m.; deste, segue com azimute de 7°11'25" e distância de 9,30 m., até o vértice **92**, de coordenadas **N 8.250.232,69** m. e **E 179.525,90** m.; deste, segue com azimute de 7°11'25" e distância de 54,43 m., até o vértice **93**, de coordenadas **N 8.250.286,69** m. e **E 179.532,71** m.; deste, segue com azimute de 7°11'25" e distância de 17,91 m., até o vértice **94**, de coordenadas **N 8.250.304,46** m. e **E 179.534,95** m.; deste, segue com azimute de 39°16'35" e distância de 29,37 m., até o vértice **95**, de coordenadas **N 8.250.327,20** m. e **E 179.553,54** m.; deste, segue com azimute de 39°16'37" e distância de 4,86 m., até o vértice **96**, de coordenadas **N 8.250.330,96** m. e **E 179.556,62** m.; deste, segue com azimute de 25°35'26" e distância de 9,67 m., até o vértice **97**, de coordenadas **N 8.250.339,68** m. e **E 179.560,80** m.; deste, segue com azimute de 25°35'27" e distância de 14,27 m., até o vértice **98**, de coordenadas **N 8.250.352,55** m. e **E 179.566,96** m.; deste, segue com azimute de 25°35'26" e distância de 7,36 m., até o vértice **99**, de coordenadas **N 8.250.359,19** m. e **E 179.570,14** m.; deste, segue com azimute de 25°35'26" e distância de 38,55 m., até o vértice **100**, de coordenadas **N 8.250.393,96** m. e **E 179.586,79** m.; deste, segue com azimute de 48°58'20" e distância de 44,18 m., até o vértice **101**, de coordenadas **N 8.250.422,96** m. e **E 179.620,12** m.; deste, segue com azimute de 60°20'17" e distância de 14,22 m., até o vértice **102**, de coordenadas **N 8.250.430,00** m. e **E 179.632,48** m.; deste, segue com azimute de 60°20'19" e distância de 23,16 m., até o vértice **103**, de coordenadas **N 8.250.441,46** m. e **E 179.652,61** m.; deste, segue com azimute de 70°56'10" e distância de 45,92 m., até o vértice **104**, de coordenadas **N 8.250.456,46** m. e **E 179.696,01** m.; deste, segue com azimute de 73°42'46" e distância de 78,45 m., até o vértice **105**, de coordenadas **N 8.250.478,46** m. e **E 179.771,31** m.; deste, segue com azimute de 67°06'25" e distância de 52,70 m., até o vértice **106**, de coordenadas



SFL - PLC 0019/2019 folha 000140

**N 8.250.498,96** m. e **E 179.819,86** m.; deste, segue com azimute de 55°13'21" e distância de 32,43 m., até o vértice **107**, de coordenadas **N 8.250.517,46** m. e **E 179.846,50** m.; deste, segue com azimute de 48°48'06" e distância de 22,62 m., até o vértice **108**, de coordenadas **N 8.250.532,36** m. e **E 179.863,52** m.; deste, segue com azimute de 47°38'58" e distância de 30,04 m., até o vértice **109**, de coordenadas **N 8.250.552,60** m. e **E 179.885,72** m.; deste, segue com azimute de 46°55'51" e distância de 91,86 m., até o vértice **110**, de coordenadas **N 8.250.615,33** m. e **E 179.952,83** m.; deste, segue com azimute de 46°55'51" e distância de 115,88 m., até o vértice **111**, de coordenadas **N 8.250.694,46** m. e **E 180.037,48** m.; deste, segue com azimute de 53°00'48" e distância de 24,38 m., até o vértice **112**, de coordenadas **N 8.250.709,13** m. e **E 180.056,95** m.; deste, segue com azimute de 53°00'48" e distância de 35,46 m., até o vértice **113**, de coordenadas **N 8.250.730,46** m. e **E 180.085,28** m.; deste, segue com azimute de 58°12'22" e distância de 57,89 m., até o vértice **114**, de coordenadas **N 8.250.760,96** m. e **E 180.134,48** m.; deste, segue com azimute de 61°35'11" e distância de 29,46 m., até o vértice **115**, de coordenadas **N 8.250.774,98** m. e **E 180.160,39** m.; deste, segue com azimute de 61°35'11" e distância de 8,50 m., até o vértice **116**, de coordenadas **N 8.250.779,02** m. e **E 180.167,86** m.; deste, segue com azimute de 61°35'11" e distância de 107,77 m., até o vértice **117**, de coordenadas **N 8.250.830,30** m. e **E 180.262,65** m.; deste, segue com azimute de 61°35'12" e distância de 79,15 m., até o vértice **118**, de coordenadas **N 8.250.867,96** m. e **E 180.332,26** m.; deste, segue com azimute de 61°38'04" e distância de 27,67 m., até o vértice **119**, de coordenadas **N 8.250.881,11** m. e **E 180.356,61** m.; deste, segue com azimute de 61°38'05" e distância de 124,03 m., até o vértice **120**, de coordenadas **N 8.250.940,03** m. e **E 180.465,75** m.; deste, segue com azimute de 61°38'05" e distância de 48,26 m., até o vértice **1**, de coordenadas **N 8.250.962,96** m. e **E 180.508,22** m.; ponto inicial da descrição deste perímetro. Todos os azimutes e distâncias, áreas e perímetros foram calculados no plano de projeção UTM. Todas as coordenadas aqui descritas estão georreferenciadas ao Sistema Geodésico Brasileiro e encontram-se representadas no Sistema UTM, referenciadas ao **Meridiano Central 45° WGr, Fuso 23**, tendo como o *Datum* o **SICAD-SIRGAS 2000.** Todos os azimutes e distâncias, áreas e perímetros foram calculados no plano de projeção UTM.



SPL - PLC 0019/2019 folha 000141

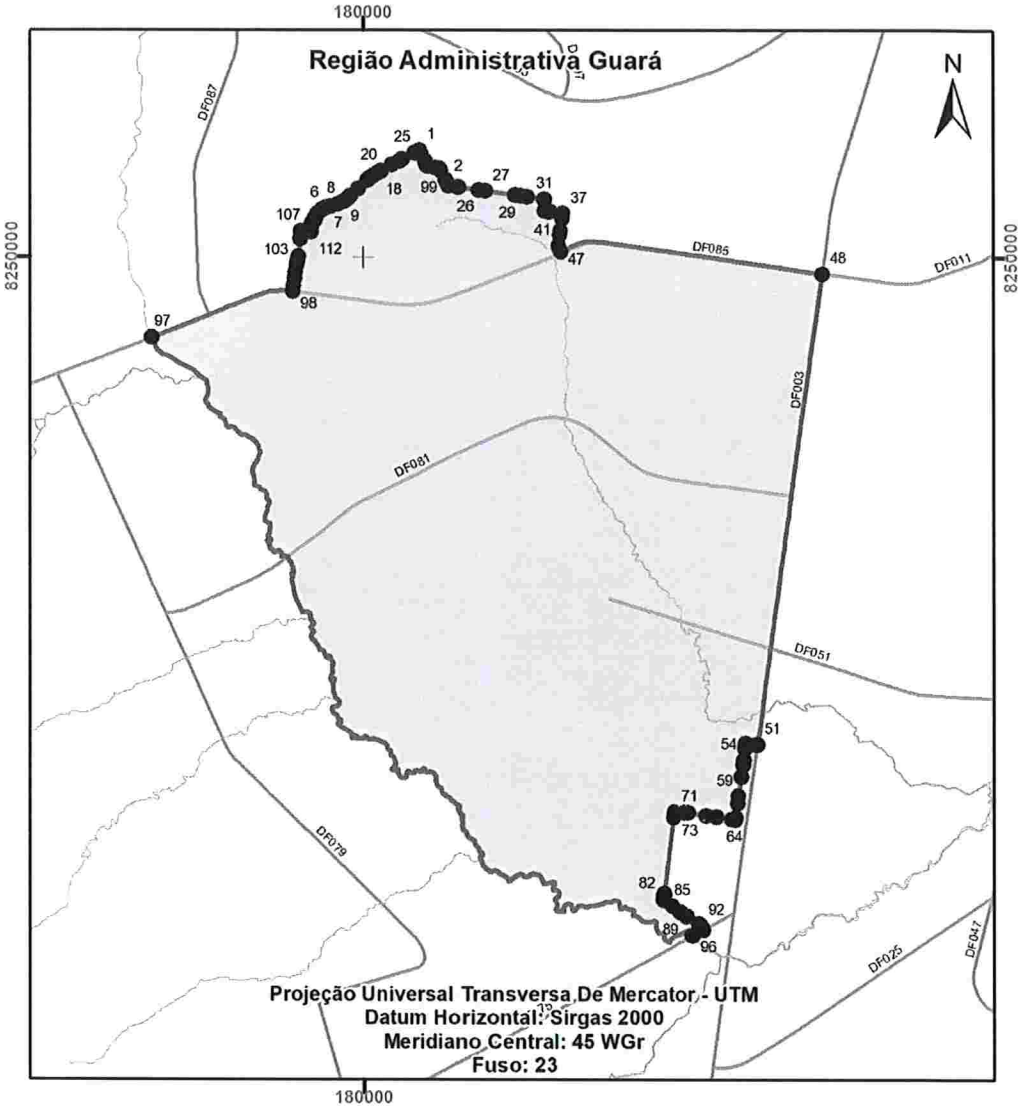




SFL - PLC 0019/2019 folha 000142

# MEMORIAL DESCRITIVO

## CRUZEIRO – RA XI

Perímetro: 8.229,894 m  Área: 319,116 ha

Inicia-se a descrição deste perímetro no vértice **1**, de coordenadas **N 8.253.504,63** m. e **E 185.139,33** m., situado no eixo da Rodovia DF003 deste, segue com azimute de 106°09'53" e distância de 60,88 m., até o vértice **2**, de coordenadas **N 8.253.487,68** m. e **E 185.197,80** m.; deste, segue com azimute de 106°31'17" e distância de 93,38 m., até o vértice **3**, de coordenadas **N 8.253.461,13** m. e **E 185.287,33** m.; deste, segue com azimute de 106°31'17" e distância de 95,70 m., até o vértice **4**, de coordenadas **N 8.253.433,91** m. e **E 185.379,08** m.; deste, segue com azimute de 106°31'18" e distância de 21,49 m., até o vértice **5**, de coordenadas **N 8.253.427,80** m. e **E 185.399,69** m.; deste, segue com azimute de 107°16'16" e distância de 121,19 m., até o vértice **6**, de coordenadas **N 8.253.391,82** m. e **E 185.515,41** m.; deste, segue com azimute de 107°16'16" e distância de 128,33 m., até o vértice **7**, de coordenadas **N 8.253.353,72** m. e **E 185.637,95** m.; deste, segue com azimute de 107°16'16" e distância de 153,87 m., até o vértice **8**, de coordenadas **N 8.253.308,04** m. e **E 185.784,89** m.; deste, segue com azimute de 107°16'17" e distância de 89,74 m., até o vértice **9**, de coordenadas **N 8.253.281,39** m. e **E 185.870,58** m.; deste, segue com azimute de 107°16'16" e distância de 168,27 m., até o vértice **10**, de coordenadas **N 8.253.231,43** m. e **E 186.031,27** m.; deste, segue com azimute de 107°03'17" e distância de 87,82 m., até o vértice **11**, de coordenadas **N 8.253.205,68** m. e **E 186.115,23** m.; deste, segue com azimute de 107°03'17" e distância de 20,97 m., até o vértice **12**, de coordenadas **N 8.253.199,53** m. e **E 186.135,27** m.; deste, segue com azimute de 197°18'39" e distância de 130,17 m., até o vértice **13**, de coordenadas **N 8.253.075,25** m. e **E 186.096,54** m.; deste, segue com azimute de 197°00'43" e distância de 204,34 m., até o vértice **14**, de coordenadas **N 8.252.879,86** m. e **E 186.036,76** m.; deste, segue com azimute de 197°47'21" e distância de 155,88 m., até o vértice **15**, de coordenadas **N 8.252.731,42** m. e **E 185.989,13** m.; deste, segue com azimute de 197°26'29" e distância de 217,15 m., até o vértice **16**, de coordenadas **N 8.252.524,25** m. e **E 185.924,04** m.; deste, segue com azimute de 197°45'53" e distância de 171,70 m., até o vértice **17**, de coordenadas **N 8.252.360,74** m. e **E 185.871,66** m.; deste, segue com azimute de 198°14'22" e distância de 147,09 m., até o vértice **18**, de coordenadas **N 8.252.221,04** m. e **E 185.825,62** m.; deste, segue com azimute de 197°24'33" e distância de 294,48 m., até o vértice **19**, de coordenadas **N 8.251.940,05** m. e **E 185.737,51** m.; deste, segue com azimute



SPL - PLC 0019/2019 folha 000143

de 198°40'36" e distância de 59,49 m., até o vértice **20**, de coordenadas **N 8.251.883,70** m. e **E 185.718,46 m.;** deste, segue com azimute de 192°17'43" e distância de 63,37 m., até o vértice **21**, de coordenadas **N 8.251.821,78** m. e **E 185.704,97 m.;** deste, segue com azimute de 180°43'47" e distância de 124,63 m., até o vértice **22**, de coordenadas **N 8.251.697,17** m. e **E 185.703,38 m.;** deste, segue com azimute de 179°07'31" e distância de 103,99 m., até o vértice **23**, de coordenadas **N 8.251.593,18** m. e **E 185.704,97 m.;** deste, segue com azimute de 178°21'20" e distância de 165,96 m., até o vértice **24**, de coordenadas **N 8.251.427,29** m. e **E 185.709,73 m.;** deste, segue com azimute de 180°15'59" e distância de 170,66 m., até o vértice **25**, de coordenadas **N 8.251.256,63** m. e **E 185.708,94 m.;** deste, segue com azimute de 180°00'00" e distância de 55,56 m., até o vértice **26**, de coordenadas **N 8.251.201,07** m. e **E 185.708,94 m.;** deste, segue com azimute de 174°05'38" e distância de 46,28 m., até o vértice **27**, de coordenadas **N 8.251.155,03** m. e **E 185.713,70 m.;** deste, segue com azimute de 180°00'00" e distância de 38,89 m., até o vértice **28**, de coordenadas **N 8.251.116,14** m. e **E 185.713,70 m.;** deste, segue com azimute de 166°33'05" e distância de 75,08 m., até o vértice **29**, de coordenadas **N 8.251.043,11** m. e **E 185.731,16 m.;** deste, segue com azimute de 160°29'51" e distância de 40,42 m., até o vértice **30**, de coordenadas **N 8.251.005,01** m. e **E 185.744,66 m.;** deste, segue com azimute de 147°57'51" e distância de 111,48 m., até o vértice **31**, de coordenadas **N 8.250.910,51** m. e **E 185.803,79 m.;** deste, segue com azimute de 146°47'08" e distância de 49,73 m., até o vértice **32**, de coordenadas **N 8.250.868,91** m. e **E 185.831,03 m.;** deste, segue com azimute de 236°54'40" e distância de 42,31 m., até o vértice **33**, de coordenadas **N 8.250.845,81** m. e **E 185.795,58 m.;** deste, segue com azimute de 185°21'37" e distância de 186,94 m., até o vértice **34**, de coordenadas **N 8.250.659,69** m. e **E 185.778,12 m.;** deste, segue com azimute de 185°21'21" e distância de 65,63 m., até o vértice **35**, de coordenadas **N 8.250.594,34** m. e **E 185.771,99 m.;** deste, segue com azimute de 236°13'02" e distância de 191,30 m., até o vértice **36**, de coordenadas **N 8.250.487,97** m. e **E 185.613,00 m.;** deste, segue com azimute de 236°13'01" e distância de 112,90 m., até o vértice **37**, de coordenadas **N 8.250.425,19** m. e **E 185.519,16 m.;** deste, segue com azimute de 236°12'59" e distância de 80,55 m., até o vértice **38**, de coordenadas **N 8.250.380,40** m. e **E 185.452,21 m.;** deste, segue com azimute de 236°12'59" e distância de 164,66 m., até o vértice **39**, de coordenadas **N 8.250.288,84** m. e **E 185.315,35 m.;** deste, segue com azimute de 237°06'42" e distância de 31,06 m., até o vértice **40**, de coordenadas **N 8.250.271,97** m. e **E 185.289,27 m.;** deste, segue com azimute de 326°07'00" e distância de 126,19 m., até o vértice **41**, de coordenadas **N 8.250.376,73** m. e **E 185.218,92 m.;** deste, segue com azimute



SPL - PLC 0019/2019 folha 000144

de 326°28'04" e distância de 287,45 m., até o vértice **42**, de coordenadas **N 8.250.616,34** m. e **E 185.060,13** m.; deste, segue com azimute de 325°18'17" e distância de 95,79 m., até o vértice **43**, de coordenadas **N 8.250.695,10** m. e **E 185.005,60** m.; deste, segue com azimute de 316°57'58" e distância de 45,18 m., até o vértice **44**, de coordenadas **N 8.250.728,12** m. e **E 184.974,77** m.; deste, segue com azimute de 304°12'31" e distância de 107,32 m., até o vértice **45**, de coordenadas **N 8.250.788,46** m. e **E 184.886,02** m.; deste, segue com azimute de 291°24'28" e distância de 50,68 m., até o vértice **46**, de coordenadas **N 8.250.806,96** m. e **E 184.838,83** m.; deste, segue com azimute de 287°28'14" e distância de 153,22 m., até o vértice **47**, de coordenadas **N 8.250.852,96** m. e **E 184.692,67** m.; deste, segue com azimute de 287°15'00" e distância de 227,73 m., até o vértice **48**, de coordenadas **N 8.250.920,49** m. e **E 184.475,18** m.; deste, segue com azimute de 287°36'45" e distância de 128,01 m., até o vértice **49**, de coordenadas **N 8.250.959,23** m. e **E 184.353,18** m.; ponto situado no eixo da Rodovia DF003 deste, segue com azimute de 17°09'48" e distância de 2.664,04 m., até o vértice **1**, de coordenadas **N 8.253.504,63** m. e **E 185.139,33** m.; ponto inicial da descrição deste perímetro. Todos os azimutes e distâncias, áreas e perímetros foram calculados no plano de projeção UTM. Todas as coordenadas aqui descritas estão georreferenciadas ao Sistema Geodésico Brasileiro e encontram-se representadas no Sistema UTM, referenciadas ao **Meridiano Central 45° WGr, Fuso 23**, tendo como o *Datum* o **SICAD-SIRGAS 2000.** Todos os azimutes e distâncias, áreas e perímetros foram calculados no plano de projeção UTM.



SFL - PLC 0019/2019 folha 000145

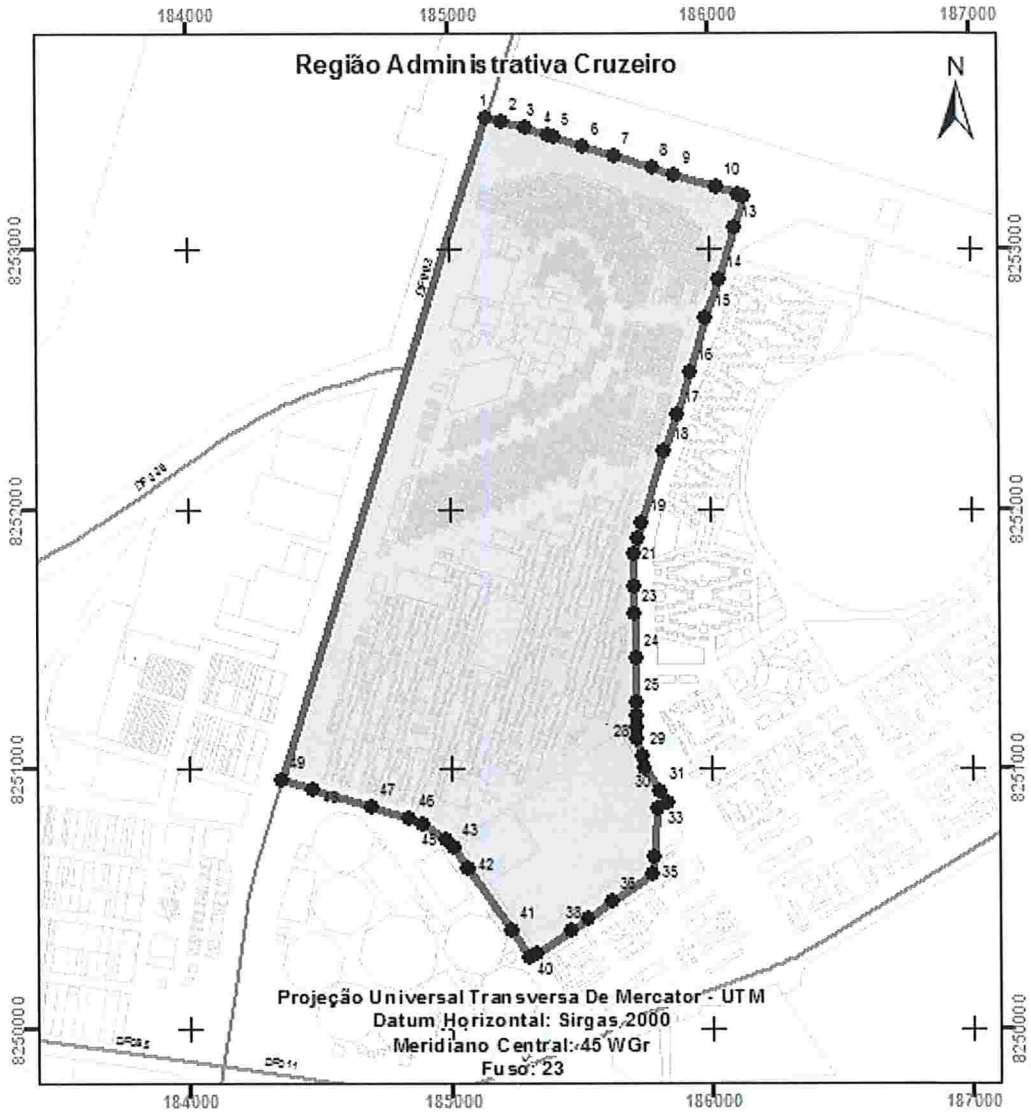




SPL - PLC 0019/2019 folha 000146

# MEMORIAL DESCRITIVO

## SAMAMBAIA – RA XII

Perímetro: 71.223,325 m  Área: 9.999,228 ha

Inicia-se a descrição deste perímetro no vértice **1**, de coordenadas **N 8.245.949,09** m. e **E 170.572,89** m., situado no ponto às margens do Ribeirão Taguatinga; deste, segue com azimute de 168°22'55" e distância de 1,34 m, até o vértice **2**, de coordenadas **N 8.245.947,78** m. e **E 170.573,16** m.; deste, segue com azimute de 168°22'59" e distância de 9,73 m., , até o vértice 3, de coordenadas **N 8.245.938,25** m. e **E 170.575,12** m.; deste, segue com azimute de 177°57'16" e distância de 19,68 m., , até o vértice **4**, de coordenadas **N 8.245.918,59** m. e **E 170.575,82** m.; deste, segue com azimute de 177°57'16" e distância de 46,70 m., , até o vértice **5**, de coordenadas **N 8.245.871,91** m. e **E 170.577,49** m.; deste, segue com azimute de 176°28'04" e distância de 47,08 m., , até o vértice **6**, de coordenadas **N 8.245.824,92** m. e **E 170.580,39** m.; deste, segue com azimute de 176°28'04" e distância de 8,36 m., , até o vértice **7**, de coordenadas **N 8.245.816,58** m. e **E 170.580,90** m.; deste, segue com azimute de 174°21'48" e distância de 49,29 m., , até o vértice **8**, de coordenadas **N 8.245.767,53** m. e **E 170.585,74** m.; deste, segue com azimute de 174°21'47" e distância de 13,76 m., , até o vértice **9**, de coordenadas **N 8.245.753,84** m. e **E 170.587,09** m.; deste, segue com azimute de 174°21'52" e distância de 3,90 m., , até o vértice **10**, de coordenadas **N 8.245.749,95** m. e **E 170.587,48** m.; deste, segue com azimute de 169°01'27" e distância de 84,04 m., , até o vértice **11**, de coordenadas **N 8.245.667,45** m. e **E 170.603,48** m.; deste, segue com azimute de 163°54'16" e distância de 111,37 m., , até o vértice **12**, de coordenadas **N 8.245.560,45** m. e **E 170.634,35** m.; deste, segue com azimute de 157°00'37" e distância de 88,88 m., , até o vértice **13**, de coordenadas **N 8.245.478,64** m. e **E 170.669,07** m.; deste, segue com azimute de 157°00'36" e distância de 2,36 m., , até o vértice **14**, de coordenadas **N 8.245.476,47** m. e **E 170.669,99** m.; deste, segue com azimute de 157°00'31" e distância de 2,12 m., , até o vértice **15**, de coordenadas **N 8.245.474,52** m. e **E 170.670,81** m.; deste, segue com azimute de 63°38'27" e distância de 16,58 m., , até o vértice **16**, de coordenadas **N 8.245.481,88** m. e **E 170.685,66** m.; deste, segue com azimute de 63°55'11" e distância de 1,61 m., , até o vértice **17**, de coordenadas **N 8.245.482,58** m. e **E 170.687,11** m.; deste, segue com azimute de 63°55'17" e distância de 55,14 m., , até o vértice **18**, de coordenadas **N 8.245.506,82** m. e **E 170.736,63** m.; deste, segue com azimute de 63°55'17" e distância de 69,45 m., , até o vértice **19**, de coordenadas **N 8.245.537,35** m. e **E 170.799,01** m.; deste, segue com azimute



SPL - PLC 0019/2019 folha 000147

de 90°00'00" e distância de 4,39 m., , até o vértice **20**, de coordenadas **N 8.245.537,35** m. e **E 170.803,39** m.; deste, segue com azimute de 90°00'00" e distância de 2,37 m., , até o vértice **21**, de coordenadas **N 8.245.537,35** m. e **E 170.805,76** m.; deste, segue com azimute de 90°00'00" e distância de 3,66 m., , até o vértice **22**, de coordenadas **N 8.245.537,35** m. e **E 170.809,42** m.; deste, segue com azimute de 90°00'00" e distância de 1,03 m., , até o vértice **23**, de coordenadas **N 8.245.537,35** m. e **E 170.810,45** m.; deste, segue com azimute de 113°34'58" e distância de 10,47 m., , até o vértice **24**, de coordenadas **N 8.245.533,16** m. e **E 170.820,04** m.; deste, segue com azimute de 131°24'53" e distância de 196,51 m., , até o vértice **25**, de coordenadas **N 8.245.403,17** m. e **E 170.967,41** m.; deste, segue com azimute de 151°58'06" e distância de 19,78 m., , até o vértice **26**, de coordenadas **N 8.245.385,71** m. e **E 170.976,71** m.; deste, segue com azimute de 151°58'05" e distância de 16,05 m., , até o vértice **27**, de coordenadas **N 8.245.371,54** m. e **E 170.984,25** m.; deste, segue com azimute de 152°09'01" e distância de 64,14 m., , até o vértice **28**, de coordenadas **N 8.245.314,83** m. e **E 171.014,21** m.; deste, segue com azimute de 144°33'02" e distância de 101,13 m., , até o vértice **29**, de coordenadas **N 8.245.232,45** m. e **E 171.072,87** m.; deste, segue com azimute de 144°46'33" e distância de 123,63 m., , até o vértice **30**, de coordenadas **N 8.245.131,46** m. e **E 171.144,17** m.; deste, segue com azimute de 148°57'26" e distância de 137,88 m., , até o vértice **31**, de coordenadas **N 8.245.013,32** m. e **E 171.215,28** m.; deste, segue com azimute de 63°46'24" e distância de 15,34 m., , até o vértice **32**, de coordenadas **N 8.245.020,10** m. e **E 171.229,04** m.; deste, segue com azimute de 63°46'24" e distância de 35,36 m., , até o vértice **33**, de coordenadas **N 8.245.035,73** m. e **E 171.260,76** m.; deste, segue com azimute de 63°46'24" e distância de 49,09 m., , até o vértice **34**, de coordenadas **N 8.245.057,42** m. e **E 171.304,80** m.; deste, segue com azimute de 72°38'56" e distância de 38,99 m., , até o vértice **35**, de coordenadas **N 8.245.069,05** m. e **E 171.342,01** m.; deste, segue com azimute de 79°56'54" e distância de 21,66 m., , até o vértice **36**, de coordenadas **N 8.245.072,83** m. e **E 171.363,34** m.; deste, segue com azimute de 90°08'47" e distância de 49,31 m., , até o vértice **37**, de coordenadas **N 8.245.072,70** m. e **E 171.412,64** m.; deste, segue com azimute de 179°52'14" e distância de 39,14 m., , até o vértice **38**, de coordenadas **N 8.245.033,57** m. e **E 171.412,73** m.; deste, segue com azimute de 175°50'17" e distância de 40,91 m., , até o vértice **39**, de coordenadas **N 8.244.992,77** m. e **E 171.415,70** m.; deste, segue com azimute de 154°05'23" e distância de 37,05 m., , até o vértice **40**, de coordenadas **N 8.244.959,44** m. e **E 171.431,89** m.; deste, segue com azimute de 147°58'32" e distância de 20,32 m., , até o vértice **41**, de coordenadas **N 8.244.942,21** m. e **E 171.442,66** m.; deste,



SFL - PLC 0019/2019 folha 000148

segue com azimute de 147°58'32" e distância de 68,44 m., , até o vértice **42**, de coordenadas **N 8.244.884,19** m. e **E 171.478,96** m.; deste, segue com azimute de 125°23'45" e distância de 45,63 m., , até o vértice **43**, de coordenadas **N 8.244.857,76** m. e **E 171.516,15** m.; deste, segue com azimute de 149°14'16" e distância de 1,92 m., , até o vértice **44**, de coordenadas **N 8.244.856,11** m. e **E 171.517,13** m.; deste, segue com azimute de 149°14'17" e distância de 14,91 m., , até o vértice **45**, de coordenadas **N 8.244.843,29** m. e **E 171.524,76** m.; deste, segue com azimute de 149°14'19" e distância de 100,05 m., , até o vértice **46**, de coordenadas **N 8.244.757,32** m. e **E 171.575,93** m.; deste, segue com azimute de 165°56'46" e distância de 12,81 m., , até o vértice **47**, de coordenadas **N 8.244.744,89** m. e **E 171.579,04** m.; deste, segue com azimute de 165°56'44" e distância de 20,55 m., , até o vértice **48**, de coordenadas **N 8.244.724,95** m. e **E 171.584,04** m.; deste, segue com azimute de 165°56'46" e distância de 31,13 m., , até o vértice **49**, de coordenadas **N 8.244.694,75** m. e **E 171.591,59** m.; deste, segue com azimute de 149°12'32" e distância de 72,08 m., , até o vértice **50**, de coordenadas **N 8.244.632,84** m. e **E 171.628,49** m.; deste, segue com azimute de 149°12'32" e distância de 38,78 m., , até o vértice **51**, de coordenadas **N 8.244.599,52** m. e **E 171.648,34** m.; deste, segue com azimute de 149°12'33" e distância de 28,68 m., , até o vértice **52**, de coordenadas **N 8.244.574,88** m. e **E 171.663,03** m.; deste, segue com azimute de 132°29'30" e distância de 62,39 m., , até o vértice **53**, de coordenadas **N 8.244.532,74** m. e **E 171.709,03** m.; deste, segue com azimute de 144°26'49" e distância de 4,26 m., , até o vértice **54**, de coordenadas **N 8.244.529,27** m. e **E 171.711,51** m.; deste, segue com azimute de 144°26'51" e distância de 52,03 m., , até o vértice **55**, de coordenadas **N 8.244.486,94** m. e **E 171.741,76** m.; deste, segue com azimute de 132°48'03" e distância de 40,06 m., , até o vértice **56**, de coordenadas **N 8.244.459,73** m. e **E 171.771,15** m.; deste, segue com azimute de 117°53'55" e distância de 52,92 m., , até o vértice **57**, de coordenadas **N 8.244.434,96** m. e **E 171.817,92** m.; deste, segue com azimute de 117°53'55" e distância de 105,36 m., , até o vértice **58**, de coordenadas **N 8.244.385,66** m. e **E 171.911,04** m.; deste, segue com azimute de 117°53'55" e distância de 62,51 m., , até o vértice **59**, de coordenadas **N 8.244.356,41** m. e **E 171.966,29** m.; deste, segue com azimute de 117°19'12" e distância de 98,01 m., , até o vértice **60**, de coordenadas **N 8.244.311,43** m. e **E 172.053,36** m.; deste, segue com azimute de 103°11'51" e distância de 56,36 m., , até o vértice **61**, de coordenadas **N 8.244.298,56** m. e **E 172.108,24** m.; deste, segue com azimute de 88°08'14" e distância de 43,30 m., , até o vértice **62**, de coordenadas **N 8.244.299,97** m. e **E 172.151,52** m.; deste, segue com azimute de 88°08'14" e distância de 16,32 m., , até o vértice **63**, de coordenadas **N 8.244.300,50** m. e **E 172.167,83** m.; deste,



SPL - PLC 0019/2019 folha 000149

segue com azimute de 67°33'38" e distância de 72,78 m., , até o vértice **64**, de coordenadas **N 8.244.328,28** m. e **E 172.235,10** m.; deste, segue com azimute de 84°13'13" e distância de 63,24 m., , até o vértice **65**, de coordenadas **N 8.244.334,65** m. e **E 172.298,02** m.; deste, segue com azimute de 66°00'22" e distância de 48,74 m., , até o vértice **66**, de coordenadas **N 8.244.354,47** m. e **E 172.342,55** m.; deste, segue com azimute de 66°00'23" e distância de 13,54 m., , até o vértice **67**, de coordenadas **N 8.244.359,98** m. e **E 172.354,92** m.; deste, segue com azimute de 66°00'22" e distância de 109,71 m., , até o vértice **68**, de coordenadas **N 8.244.404,59** m. e **E 172.455,15** m.; deste, segue com azimute de 66°00'22" e distância de 98,30 m., , até o vértice **69**, de coordenadas **N 8.244.444,56** m. e **E 172.544,95** m.; deste, segue com azimute de 66°00'22" e distância de 3,82 m., , até o vértice **70**, de coordenadas **N 8.244.446,11** m. e **E 172.548,44** m.; deste, segue com azimute de 88°45'21" e distância de 63,73 m., , até o vértice **71**, de coordenadas **N 8.244.447,50** m. e **E 172.612,16** m.; deste, segue com azimute de 65°20'59" e distância de 27,40 m., , até o vértice **72**, de coordenadas **N 8.244.458,92** m. e **E 172.637,06** m.; deste, segue com azimute de 65°19'03" e distância de 101,07 m., , até o vértice **73**, de coordenadas **N 8.244.501,13** m. e **E 172.728,90** m.; deste, segue com azimute de 65°19'03" e distância de 72,12 m., , até o vértice **74**, de coordenadas **N 8.244.531,25** m. e **E 172.794,43** m.; deste, segue com azimute de 65°19'02" e distância de 7,27 m., , até o vértice **75**, de coordenadas **N 8.244.534,28** m. e **E 172.801,04** m.; deste, segue com azimute de 65°19'04" e distância de 43,16 m., , até o vértice **76**, de coordenadas **N 8.244.552,30** m. e **E 172.840,25** m.; deste, segue com azimute de 85°57'22" e distância de 8,85 m., , até o vértice **77**, de coordenadas **N 8.244.552,93** m. e **E 172.849,08** m.; deste, segue com azimute de 158°26'26" e distância de 3,64 m., , até o vértice **78**, de coordenadas **N 8.244.549,54** m. e **E 172.850,42** m.; deste, segue com azimute de 158°26'28" e distância de 24,73 m., , até o vértice **79**, de coordenadas **N 8.244.526,54** m. e **E 172.859,51** m.; deste, segue com azimute de 143°29'58" e distância de 15,72 m., , até o vértice **80**, de coordenadas **N 8.244.513,90** m. e **E 172.868,86** m.; deste, segue com azimute de 121°38'26" e distância de 12,49 m., , até o vértice **81**, de coordenadas **N 8.244.507,35** m. e **E 172.879,49** m.; deste, segue com azimute de 106°59'11" e distância de 13,76 m., , até o vértice **82**, de coordenadas **N 8.244.503,33** m. e **E 172.892,65** m.; deste, segue com azimute de 89°21'25" e distância de 9,80 m., , até o vértice **83**, de coordenadas **N 8.244.503,44** m. e **E 172.902,45** m.; deste, segue com azimute de 66°18'02" e distância de 170,34 m., , até o vértice **84**, de coordenadas **N 8.244.571,91** m. e **E 173.058,43** m.; deste, segue com azimute de 65°44'55" e distância de 245,92 m., , até o vértice **85**, de coordenadas **N 8.244.672,92** m. e **E 173.282,65** m.; deste,



SPL - PLC 0019/2019 folha 000150

segue com azimute de 63°20'39" e distância de 2,40 m., , até o vértice **86**, de coordenadas **N 8.244.674,00** m. e **E 173.284,80** m., situado no ponto às margens do Ribeirão Taguatinga; deste, segue margeando o Ribeirão Taguatinga até o vértice **87**, de coordenadas **N 8.244.210,72** m. e **E 173.534,50** m.; deste, segue com azimute de 67°53'01" e distância de 62,58 m., , até o vértice **88**, de coordenadas **N 8.244.234,28** m. e **E 173.592,48** m.; deste, segue com azimute de 129°54'52" e distância de 130,94 m., , até o vértice **89**, de coordenadas **N 8.244.150,27** m. e **E 173.692,91** m.; deste, segue com azimute de 60°45'51" e distância de 31,50 m., , até o vértice **90**, de coordenadas **N 8.244.165,65** m. e **E 173.720,39** m.; deste, segue com azimute de 151°49'53" e distância de 99,72 m., , até o vértice **91**, de coordenadas **N 8.244.077,74** m. e **E 173.767,46** m.; deste, segue com azimute de 61°22'03" e distância de 3,09 m., , até o vértice **92**, de coordenadas **N 8.244.079,23** m. e **E 173.770,18** m.; deste, segue com azimute de 61°26'11" e distância de 29,04 m., , até o vértice **93**, de coordenadas **N 8.244.093,11** m. e **E 173.795,69** m.; deste, segue com azimute de 151°43'25" e distância de 106,73 m., , até o vértice **94**, de coordenadas **N 8.243.999,12** m. e **E 173.846,25** m.; deste, segue com azimute de 61°50'15" e distância de 23,48 m., , até o vértice **95**, de coordenadas **N 8.244.010,20** m. e **E 173.866,95** m.; deste, segue com azimute de 61°50'14" e distância de 21,43 m., , até o vértice **96**, de coordenadas **N 8.244.020,32** m. e **E 173.885,85** m.; deste, segue com azimute de 151°46'41" e distância de 85,47 m., , até o vértice **97**, de coordenadas **N 8.243.945,01** m. e **E 173.926,27** m.; deste, segue com azimute de 151°46'41" e distância de 25,18 m., , até o vértice **98**, de coordenadas **N 8.243.922,82** m. e **E 173.938,18** m.; deste, segue com azimute de 151°46'41" e distância de 73,92 m., , até o vértice **99**, de coordenadas **N 8.243.857,68** m. e **E 173.973,13** m.; deste, segue com azimute de 151°46'41" e distância de 56,71 m., , até o vértice **100**, de coordenadas **N 8.243.807,72** m. e **E 173.999,95** m.; deste, segue com azimute de 91°45'42" e distância de 393,59 m., , até o vértice **101**, de coordenadas **N 8.243.795,62** m. e **E 174.393,35** m.; deste, segue com azimute de 130°22'48" e distância de 14,05 m., , até o vértice **102**, de coordenadas **N 8.243.786,52** m. e **E 174.404,05** m.; deste, segue com azimute de 151°44'22" e distância de 569,82 m., , até o vértice **103**, de coordenadas **N 8.243.284,62** m. e **E 174.673,85** m.; deste, segue com azimute de 234°31'52" e distância de 424,74 m., , até o vértice **104**, de coordenadas **N 8.243.038,16** m. e **E 174.327,93** m.; deste, segue com azimute de 234°31'52" e distância de 599,46 m., , até o vértice **105**, de coordenadas **N 8.242.690,32** m. e **E 173.839,71** m.; deste, segue com azimute de 234°31'52" e distância de 215,93 m., , até o vértice **106**, de coordenadas **N 8.242.565,02** m. e **E 173.663,85** m.; deste, segue com azimute de 234°31'52" e distância de



SPL - PLC 0019/2019 folha 000151

93,93 m., , até o vértice **107**, de coordenadas **N 8.242.510,52** m. e **E 173.587,35** m.; deste, segue com azimute de 144°18'56" e distância de 47,35 m., , até o vértice **108**, de coordenadas **N 8.242.472,06** m. e **E 173.614,97** m., situado no eixo da Rodovia DF-001; deste, segue pela Rodovia DF-001 até o vértice **109**, de coordenadas **N 8.238.712,09** m. e **E 163.225,19** m., situado no entroncamento da Rodovia DF-001 com a Rodovia BR-060; deste, segue pela Rodovia BR-060 até o vértice **110**, de coordenadas **N 8.236.941,42** m. e **E 160.956,28** m., situado no entroncamento da Rodovia BR-060 com a Rodovia DF-280; deste, segue pela Rodovia DF-280 até o vértice **111**, de coordenadas **N 8.235.611,26** m. e **E 155.318,10** m., situado no cruzamento da Rodovia DF-280 com o Córrego Bananal; deste, segue pelo Córrego Bananal até o vértice **112**, de coordenadas **N 8.235.668,72** m. e **E 155.256,56** m., situado no ponto de confluência entre o Córrego Bananal e o Córrego Samambaia; deste, segue pelo Córrego Samambaia até o vértice **113**, de coordenadas **N 8.235.574,45** m. e **E 153.645,02** m., situado no ponto de confluência entre o Córrego Samambaia e o Córrego Água Limpa; deste, segue pelo Córrego Água Limpa até o vértice **114**, de coordenadas **N 8.236.207,65** m. e **E 153.210,84** m.; deste, segue com azimute de 248°53'49" e distância de 0,57 m., , até o vértice **115**, de coordenadas **N 8.236.207,45** m. e **E 153.210,32** m.; deste, segue com azimute de 256°45'41" e distância de 22,38 m., , até o vértice **116**, de coordenadas **N 8.236.202,32** m. e **E 153.188,53** m.; deste, segue com azimute de 256°45'39" e distância de 2,25 m., , até o vértice **117**, de coordenadas **N 8.236.201,81** m. e **E 153.186,33** m.; deste, segue com azimute de 245°18'36" e distância de 18,48 m., , até o vértice **118**, de coordenadas **N 8.236.194,09** m. e **E 153.169,55** m.; deste, segue com azimute de 220°27'29" e distância de 10,78 m., , até o vértice **119**, de coordenadas **N 8.236.185,88** m. e **E 153.162,55** m.; deste, segue com azimute de 277°28'43" e distância de 0,37 m., , até o vértice **120**, de coordenadas **N 8.236.185,93** m. e **E 153.162,18** m.; deste, segue com azimute de 279°03'03" e distância de 16,28 m., , até o vértice **121**, de coordenadas **N 8.236.188,49** m. e **E 153.146,10** m.; deste, segue com azimute de 279°03'00" e distância de 6,86 m., , até o vértice **122**, de coordenadas **N 8.236.189,57** m. e **E 153.139,33** m.; deste, segue com azimute de 279°03'03" e distância de 5,95 m., , até o vértice **123**, de coordenadas **N 8.236.190,51** m. e **E 153.133,45** m.; deste, segue com azimute de 274°12'11" e distância de 26,88 m., , até o vértice **124**, de coordenadas **N 8.236.192,48** m. e **E 153.106,64** m.; deste, segue com azimute de 264°39'48" e distância de 15,80 m., , até o vértice **125**, de coordenadas **N 8.236.191,01** m. e **E 153.090,91** m.; deste, segue com azimute de 230°21'17" e distância de 10,73 m., , até o vértice **126**, de coordenadas **N 8.236.184,16** m. e **E 153.082,65** m.; deste, segue com azimute de 263°18'11" e distância



SPL - PLC 0019/2019 folha 000152

de 8,06 m., , até o vértice **127**, de coordenadas **N 8.236.183,22** m. e **E 153.074,65** m.; deste, segue com azimute de 263°18'12" e distância de 3,74 m., , até o vértice **128**, de coordenadas **N 8.236.182,79** m. e **E 153.070,94** m.; deste, segue com azimute de 263°18'10" e distância de 2,86 m., , até o vértice **129**, de coordenadas **N 8.236.182,45** m. e **E 153.068,09** m.; deste, segue com azimute de 268°15'50" e distância de 1,16 m., , até o vértice **130**, de coordenadas **N 8.236.182,42** m. e **E 153.066,94** m., situado no eixo da Rodovia DF-190; deste, segue pela Rodovia DF-190 até o vértice **131**, de coordenadas **N 8.235.896,52** m. e **E 152.786,73** m.; deste, segue com azimute de 261°10'00" e distância de 62,88 m., , até o vértice **132**, de coordenadas **N 8.235.886,87** m. e **E 152.724,60** m.; deste, segue com azimute de 262°41'24" e distância de 37,37 m., , até o vértice **133**, de coordenadas **N 8.235.882,11** m. e **E 152.687,54** m.; deste, segue com azimute de 252°54'00" e distância de 10,33 m., , até o vértice **134**, de coordenadas **N 8.235.879,07** m. e **E 152.677,66** m.; deste, segue com azimute de 306°24'58" e distância de 8,79 m., , até o vértice **135**, de coordenadas **N 8.235.884,29** m. e **E 152.670,59** m.; deste, segue com azimute de 275°36'13" e distância de 12,33 m., , até o vértice **136**, de coordenadas **N 8.235.885,50** m. e **E 152.658,32** m.; deste, segue com azimute de 289°47'39" e distância de 8,76 m., , até o vértice **137**, de coordenadas **N 8.235.888,46** m. e **E 152.650,08** m.; deste, segue com azimute de 263°18'16" e distância de 12,97 m., , até o vértice **138**, de coordenadas **N 8.235.886,95** m. e **E 152.637,21** m.; deste, segue com azimute de 277°26'50" e distância de 14,27 m., , até o vértice **139**, de coordenadas **N 8.235.888,80** m. e **E 152.623,05** m.; deste, segue com azimute de 269°55'00" e distância de 37,18 m., , até o vértice **140**, de coordenadas **N 8.235.888,75** m. e **E 152.585,87** m.; deste, segue com azimute de 264°39'34" e distância de 15,62 m., , até o vértice **141**, de coordenadas **N 8.235.887,29** m. e **E 152.570,33** m.; deste, segue com azimute de 278°48'23" e distância de 19,86 m., , até o vértice **142**, de coordenadas **N 8.235.890,33** m. e **E 152.550,70** m.; deste, segue com azimute de 287°47'57" e distância de 13,93 m., , até o vértice **143**, de coordenadas **N 8.235.894,59** m. e **E 152.537,43** m.; deste, segue com azimute de 280°16'12" e distância de 16,93 m., , até o vértice **144**, de coordenadas **N 8.235.897,61** m. e **E 152.520,78** m.; deste, segue com azimute de 254°58'49" e distância de 23,06 m., , até o vértice **145**, de coordenadas **N 8.235.891,63** m. e **E 152.498,50** m.; deste, segue com azimute de 248°05'01" e distância de 17,92 m., , até o vértice **146**, de coordenadas **N 8.235.884,94** m. e **E 152.481,88** m.; deste, segue com azimute de 274°04'05" e distância de 15,91 m., , até o vértice **147**, de coordenadas **N 8.235.886,07** m. e **E 152.466,00** m.; deste, segue com azimute de 266°41'49" e distância de 15,95 m., , até o vértice **148**, de coordenadas **N 8.235.885,15** m. e **E 152.450,08** m.; deste, segue com azimute de 282°20'23"



SPL - PLC 0019/2019 folha 000153

e distância de 6,62 m., , até o vértice **149**, de coordenadas **N 8.235.886,57** m. e **E 152.443,61** m.; deste, segue com azimute de 255°13'37" e distância de 4,63 m., , até o vértice **150**, de coordenadas **N 8.235.885,39** m. e **E 152.439,14** m.; deste, segue com azimute de 226°27'21" e distância de 15,62 m., , até o vértice **151**, de coordenadas **N 8.235.874,63** m. e **E 152.427,81** m.; deste, segue com azimute de 226°27'21" e distância de 25,91 m., , até o vértice **152**, de coordenadas **N 8.235.856,78** m. e **E 152.409,03** m.; deste, segue com azimute de 189°09'00" e distância de 5,77 m., , até o vértice **153**, de coordenadas **N 8.235.851,08** m. e **E 152.408,11** m.; deste, segue com azimute de 154°04'09" e distância de 7,49 m., , até o vértice **154**, de coordenadas **N 8.235.844,34** m. e **E 152.411,39** m.; deste, segue com azimute de 226°13'40" e distância de 15,36 m., , até o vértice **155**, de coordenadas **N 8.235.833,71** m. e **E 152.400,30** m.; deste, segue com azimute de 194°15'22" e distância de 5,49 m., , até o vértice **156**, de coordenadas **N 8.235.828,40** m. e **E 152.398,95** m.; deste, segue com azimute de 175°42'07" e distância de 7,14 m., , até o vértice **157**, de coordenadas **N 8.235.821,27** m. e **E 152.399,48** m.; deste, segue com azimute de 181°14'57" e distância de 4,59 m., , até o vértice **158**, de coordenadas **N 8.235.816,68** m. e **E 152.399,38** m.; deste, segue com azimute de 174°06'09" e distância de 4,14 m., , até o vértice **159**, de coordenadas **N 8.235.812,57** m. e **E 152.399,81** m.; deste, segue com azimute de 158°09'53" e distância de 8,21 m., , até o vértice **160**, de coordenadas **N 8.235.804,95** m. e **E 152.402,86** m.; deste, segue com azimute de 181°26'47" e distância de 7,87 m., , até o vértice **161**, de coordenadas **N 8.235.797,08** m. e **E 152.402,66** m.; deste, segue com azimute de 211°40'33" e distância de 22,98 m., , até o vértice **162**, de coordenadas **N 8.235.777,52** m. e **E 152.390,59** m.; deste, segue com azimute de 217°18'33" e distância de 12,46 m., , até o vértice **163**, de coordenadas **N 8.235.767,61** m. e **E 152.383,04** m.; deste, segue com azimute de 215°06'01" e distância de 12,30 m., , até o vértice **164**, de coordenadas **N 8.235.757,55** m. e **E 152.375,97** m.; deste, segue com azimute de 215°06'01" e distância de 19,58 m., , até o vértice **165**, de coordenadas **N 8.235.741,53** m. e **E 152.364,71** m.; deste, segue com azimute de 232°37'42" e distância de 13,33 m., , até o vértice **166**, de coordenadas **N 8.235.733,44** m. e **E 152.354,11** m.; deste, segue com azimute de 254°17'05" e distância de 31,38 m., , até o vértice **167**, de coordenadas **N 8.235.724,94** m. e **E 152.323,91** m.; deste, segue com azimute de 235°02'01" e distância de 16,79 m., , até o vértice **168**, de coordenadas **N 8.235.715,31** m. e **E 152.310,15** m.; deste, segue com azimute de 251°50'14" e distância de 41,74 m., , até o vértice **169**, de coordenadas **N 8.235.702,30** m. e **E 152.270,48** m.; deste, segue com azimute de 260°47'39" e distância de 23,83 m., , até o vértice **170**, de coordenadas **N 8.235.698,49** m. e **E 152.246,96** m.; deste, segue com azimute de 260°47'38"



SPL - PLC 0019/2019 fo.ha 000154

e distância de 21,85 m., , até o vértice **171**, de coordenadas **N 8.235.694,99** m. e **E 152.225,40** m.; deste, segue com azimute de 255°43'08" e distância de 15,62 m., , até o vértice **172**, de coordenadas **N 8.235.691,14** m. e **E 152.210,26** m.; deste, segue com azimute de 240°33'43" e distância de 7,36 m., , até o vértice **173**, de coordenadas **N 8.235.687,53** m. e **E 152.203,85** m.; deste, segue com azimute de 222°05'06" e distância de 17,21 m., , até o vértice **174**, de coordenadas **N 8.235.674,75** m. e **E 152.192,32** m.; deste, segue com azimute de 241°55'47" e distância de 7,71 m., , até o vértice **175**, de coordenadas **N 8.235.671,13** m. e **E 152.185,52** m.; deste, segue com azimute de 266°55'40" e distância de 8,66 m., , até o vértice **176**, de coordenadas **N 8.235.670,66** m. e **E 152.176,87** m.; deste, segue com azimute de 266°55'40" e distância de 16,90 m., , até o vértice **177**, de coordenadas **N 8.235.669,76** m. e **E 152.160,00** m.; deste, segue com azimute de 266°55'39" e distância de 18,62 m., , até o vértice **178**, de coordenadas **N 8.235.668,76** m. e **E 152.141,41** m.; deste, segue com azimute de 266°55'39" e distância de 55,73 m., , até o vértice **179**, de coordenadas **N 8.235.665,77** m. e **E 152.085,76** m.; deste, segue com azimute de 275°34'44" e distância de 12,55 m., , até o vértice **180**, de coordenadas **N 8.235.666,99** m. e **E 152.073,26** m.; deste, segue com azimute de 275°34'42" e distância de 6,88 m., , até o vértice **181**, de coordenadas **N 8.235.667,66** m. e **E 152.066,42** m.; deste, segue com azimute de 282°17'56" e distância de 35,73 m., , até o vértice **182**, de coordenadas **N 8.235.675,27** m. e **E 152.031,50** m.; deste, segue com azimute de 305°04'14" e distância de 3,69 m., , até o vértice **183**, de coordenadas **N 8.235.677,39** m. e **E 152.028,48** m.; deste, segue com azimute de 316°19'03" e distância de 4,79 m., , até o vértice **184**, de coordenadas **N 8.235.680,86** m. e **E 152.025,17** m.; deste, segue com azimute de 286°03'01" e distância de 2,48 m., , até o vértice **185**, de coordenadas **N 8.235.681,55** m. e **E 152.022,79** m.; deste, segue com azimute de 290°58'52" e distância de 6,59 m., , até o vértice **186**, de coordenadas **N 8.235.683,91** m. e **E 152.016,63** m.; deste, segue com azimute de 297°24'45" e distância de 4,91 m., , até o vértice **187**, de coordenadas **N 8.235.686,17** m. e **E 152.012,27** m.; deste, segue com azimute de 337°16'39" e distância de 3,37 m., , até o vértice **188**, de coordenadas **N 8.235.689,28** m. e **E 152.010,97** m.; deste, segue com azimute de 7°25'06" e distância de 4,12 m., , até o vértice **189**, de coordenadas **N 8.235.693,37** m. e **E 152.011,50** m.; deste, segue com azimute de 6°09'27" e distância de 7,44 m., , até o vértice **190**, de coordenadas **N 8.235.700,76** m. e **E 152.012,30** m.; deste, segue com azimute de 348°00'36" e distância de 2,28 m., , até o vértice **191**, de coordenadas **N 8.235.702,99** m. e **E 152.011,83** m.; deste, segue com azimute de 313°42'05" e distância de 1,56 m., , até o vértice **192**, de coordenadas **N 8.235.704,07** m. e **E 152.010,70** m.; deste, segue com azimute de 287°22'05"



SFL - PLC 0019/2019 folha 000155

e distância de 0,70 m., , até o vértice **193**, de coordenadas **N 8.235.704,28** m. e **E 152.010,03** m.; deste, segue com azimute de 259°43'59" e distância de 6,99 m., , até o vértice **194**, de coordenadas **N 8.235.703,04** m. e **E 152.003,15** m.; deste, segue com azimute de 259°43'56" e distância de 5,10 m., , até o vértice **195**, de coordenadas **N 8.235.702,13** m. e **E 151.998,13** m.; deste, segue com azimute de 259°43'57" e distância de 0,85 m., , até o vértice **196**, de coordenadas **N 8.235.701,98** m. e **E 151.997,30** m.; deste, segue com azimute de 213°51'11" e distância de 11,69 m., , até o vértice **197**, de coordenadas **N 8.235.692,26** m. e **E 151.990,78** m.; deste, segue com azimute de 239°07'29" e distância de 7,55 m., , até o vértice **198**, de coordenadas **N 8.235.688,39** m. e **E 151.984,30** m.; deste, segue com azimute de 266°38'26" e distância de 11,64 m., , até o vértice **199**, de coordenadas **N 8.235.687,71** m. e **E 151.972,68** m.; deste, segue com azimute de 247°36'19" e distância de 10,69 m., , até o vértice **200**, de coordenadas **N 8.235.683,63** m. e **E 151.962,79** m.; deste, segue com azimute de 272°00'41" e distância de 11,12 m., , até o vértice **201**, de coordenadas **N 8.235.684,02** m. e **E 151.951,68** m.; deste, segue com azimute de 252°09'32" e distância de 4,10 m., , até o vértice **202**, de coordenadas **N 8.235.682,77** m. e **E 151.947,78** m.; deste, segue com azimute de 236°44'18" e distância de 38,10 m., , até o vértice **203**, de coordenadas **N 8.235.661,87** m. e **E 151.915,92** m.; deste, segue com azimute de 229°27'14" e distância de 29,11 m., , até o vértice **204**, de coordenadas **N 8.235.642,95** m. e **E 151.893,80** m.; deste, segue com azimute de 221°20'54" e distância de 19,16 m., , até o vértice **205**, de coordenadas **N 8.235.628,56** m. e **E 151.881,15** m.; deste, segue com azimute de 212°05'35" e distância de 12,56 m., , até o vértice **206**, de coordenadas **N 8.235.617,93** m. e **E 151.874,47** m.; deste, segue com azimute de 210°33'34" e distância de 28,45 m., , até o vértice **207**, de coordenadas **N 8.235.593,43** m. e **E 151.860,01** m.; deste, segue com azimute de 217°57'43" e distância de 21,59 m., , até o vértice **208**, de coordenadas **N 8.235.576,40** m. e **E 151.846,73** m.; deste, segue com azimute de 224°51'00" e distância de 15,75 m., , até o vértice **209**, de coordenadas **N 8.235.565,24** m. e **E 151.835,62** m.; deste, segue com azimute de 233°11'34" e distância de 14,51 m., , até o vértice **210**, de coordenadas **N 8.235.556,54** m. e **E 151.824,00** m.; deste, segue com azimute de 233°11'34" e distância de 7,50 m., , até o vértice **211**, de coordenadas **N 8.235.552,05** m. e **E 151.818,00** m.; deste, segue com azimute de 233°11'33" e distância de 20,18 m., , até o vértice **212**, de coordenadas **N 8.235.539,96** m. e **E 151.801,84** m.; deste, segue com azimute de 228°57'08" e distância de 21,44 m., , até o vértice **213**, de coordenadas **N 8.235.525,88** m. e **E 151.785,67** m.; deste, segue com azimute de 215°16'56" e distância de 6,46 m., , até o vértice **214**, de coordenadas **N 8.235.520,61** m. e **E 151.781,94** m.; deste, segue com azimute de 215°16'54"



SPL - PLC 0019/2019 folha 000156

e distância de 4,22 m., , até o vértice **215**, de coordenadas **N 8.235.517,16** m. e **E 151.779,50** m.; deste, segue com azimute de 227°44'44" e distância de 42,07 m., , até o vértice **216**, de coordenadas **N 8.235.488,87** m. e **E 151.748,36** m.; deste, segue com azimute de 217°58'48" e distância de 9,08 m., , até o vértice **217**, de coordenadas **N 8.235.481,71** m. e **E 151.742,77** m.; deste, segue com azimute de 201°08'11" e distância de 4,16 m., , até o vértice **218**, de coordenadas **N 8.235.477,83** m. e **E 151.741,27** m.; deste, segue com azimute de 176°34'46" e distância de 11,81 m., , até o vértice **219**, de coordenadas **N 8.235.466,04** m. e **E 151.741,97** m.; deste, segue com azimute de 165°17'16" e distância de 10,59 m., , até o vértice **220**, de coordenadas **N 8.235.455,80** m. e **E 151.744,66** m.; deste, segue com azimute de 146°17'15" e distância de 5,46 m., , até o vértice **221**, de coordenadas **N 8.235.451,26** m. e **E 151.747,69** m.; deste, segue com azimute de 146°17'19" e distância de 2,84 m., , até o vértice **222**, de coordenadas **N 8.235.448,90** m. e **E 151.749,27** m.; deste, segue com azimute de 135°53'32" e distância de 4,90 m., , até o vértice **223**, de coordenadas **N 8.235.445,38** m. e **E 151.752,68** m., situado no ponto às margens do Rio Descoberto; deste, segue pelo Rio Descoberto até o vértice **224**, de coordenadas **N 8.236.167,44** m. e **E 151.010,47** m., situado no ponto de confluência entre o Rio Descoberto e o Rio Melchior; deste, segue pelo Rio Melchior até o vértice **225**, de coordenadas **N 8.244.009,12** m. e **E 163.302,70** m., situado no ponto de confluência entre o Rio Melchior e o Ribeirão Taguatinga; deste, segue pelo Ribeirão Taguatinga até o vértice **1**, de coordenadas **N 8.245.949,09** m. e **E 170.572,89** m.; ponto inicial da descrição deste perímetro. Todos os azimutes e distâncias, áreas e perímetros foram calculados no plano de projeção UTM. Todas as coordenadas aqui descritas estão georreferenciadas ao Sistema Geodésico Brasileiro e encontram-se representadas no Sistema UTM, referenciadas ao **Meridiano Central 45° WGr, Fuso 23**, tendo como o *Datum* o **SICAD-SIRGAS 2000.** Todos os azimutes e distâncias, áreas e perímetros foram calculados no plano de projeção UTM.



SPL - PLC 0019/2019 folha 000157

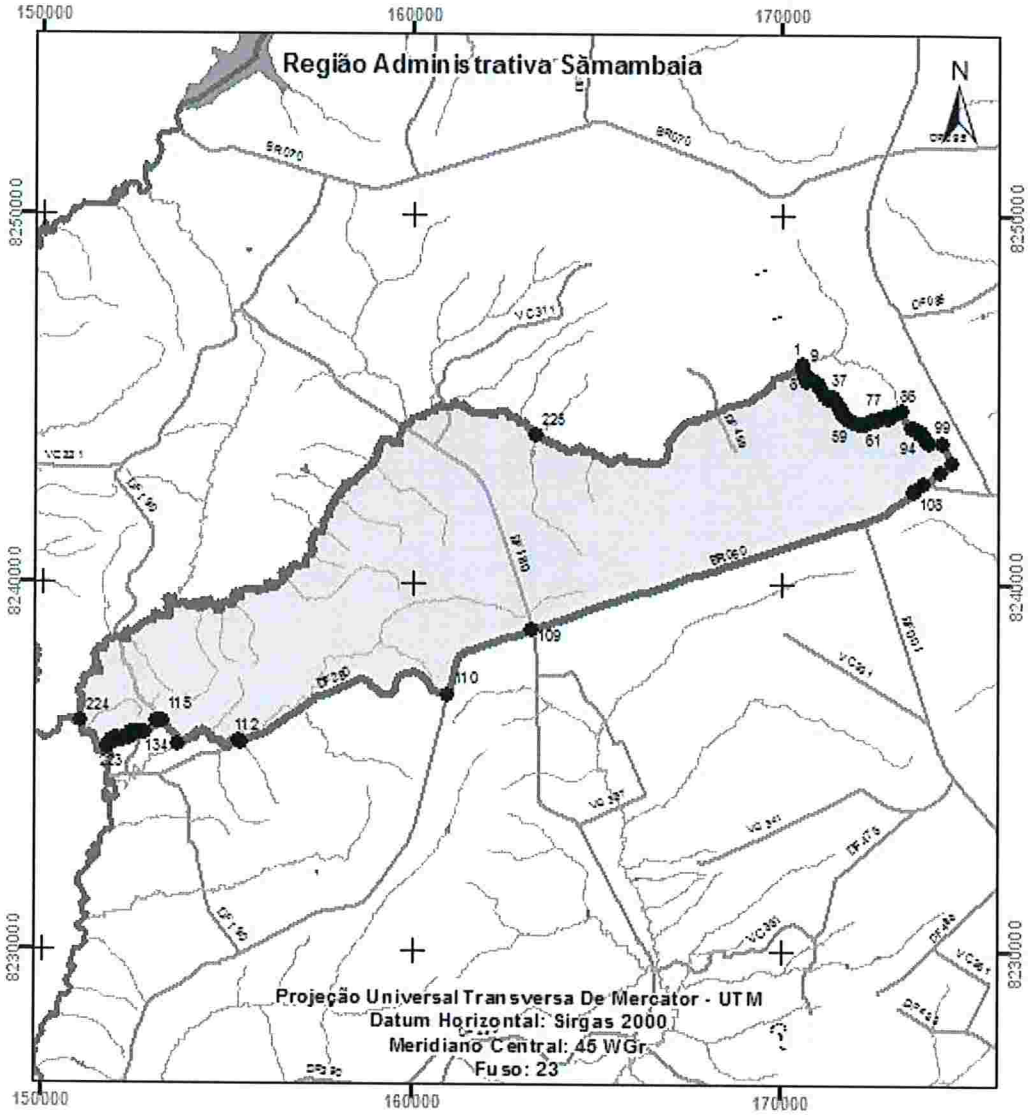




SPL - PLC 0019/2019 folha 000158

# MEMORIAL DESCRITIVO

## SANTA MARIA – RA XIII

Perímetro: 54.220,966 m  Área: 13.158,309 ha

Inicia-se a descrição deste perímetro no vértice **1**, de coordenadas **N 8.232.304,76** m. e **E 190.379,34** m., situado no eixo da Rodovia DF-001, deste, segue com azimute de 155°22'50" e distância de 234,10 m., até o vértice **2**, de coordenadas **N 8.232.091,94** m. e **E 190.476,86** m.; deste, segue com azimute de 97°18'29" e distância de 12,42 m., até o vértice **3**, de coordenadas **N 8.232.090,36** m. e **E 190.489,18** m.; deste, segue com azimute de 77°00'46" e distância de 36,73 m., até o vértice **4**, de coordenadas **N 8.232.098,61** m. e **E 190.524,97** m.; deste, segue com azimute de 77°00'47" e distância de 77,94 m., até o vértice **5**, de coordenadas **N 8.232.116,13** m. e **E 190.600,92** m.; deste, segue com azimute de 83°49'16" e distância de 11,57 m., até o vértice **6**, de coordenadas **N 8.232.117,38** m. e **E 190.612,42** m.; deste, segue com azimute de 105°55'51" e distância de 8,85 m., até o vértice **7**, de coordenadas **N 8.232.114,95** m. e **E 190.620,93** m.; ponto situado às margens do Ribeirão Santana deste, segue margeando o Ribeirão Santana, até o vértice **8**, de coordenadas **N 8.227.528,47** m. e **E 192.786,31** m.; deste, segue com azimute de 222°00'40" e distância de 50,56 m., até o vértice **9**, de coordenadas **N 8.227.490,90** m. e **E 192.752,47** m.; deste, segue com azimute de 237°55'18" e distância de 20,99 m., até o vértice **10**, de coordenadas **N 8.227.479,75** m. e **E 192.734,68** m.; deste, segue com azimute de 225°19'37" e distância de 8,85 m., até o vértice **11**, de coordenadas **N 8.227.473,53** m. e **E 192.728,39** m.; deste, segue com azimute de 206°13'50" e distância de 11,60 m., até o vértice **12**, de coordenadas **N 8.227.463,13** m. e **E 192.723,27** m.; deste, segue com azimute de 194°02'23" e distância de 8,27 m., até o vértice **13**, de coordenadas **N 8.227.455,11** m. e **E 192.721,26** m.; deste, segue com azimute de 194°02'21" e distância de 12,64 m., até o vértice **14**, de coordenadas **N 8.227.442,84** m. e **E 192.718,19** m.; deste, segue com azimute de 210°15'39" e distância de 19,24 m., até o vértice **15**, de coordenadas **N 8.227.426,22** m. e **E 192.708,50** m.; deste, segue com azimute de 223°00'00" e distância de 10,64 m., até o vértice **16**, de coordenadas **N 8.227.418,44** m. e **E 192.701,24** m.; deste, segue com azimute de 237°34'50" e distância de 14,57 m., até o vértice **17**, de coordenadas **N 8.227.410,63** m. e **E 192.688,94** m.; deste, segue com azimute de 237°34'49" e distância de 10,28 m., até o vértice **18**, de coordenadas **N 8.227.405,12** m. e **E 192.680,26** m.; deste, segue com azimute de 258°03'38" e distância de 15,42 m., até o vértice **19**, de coordenadas **N 8.227.401,93** m. e **E 192.665,17**



SFL - PLC 0019/2019 folha 000159

m.; deste, segue com azimute de 277°56'35" e distância de 8,76 m., até o vértice **20**, de coordenadas **N 8.227.403,14** m. e **E 192.656,49** m.; deste, segue com azimute de 277°56'36" e distância de 12,16 m., até o vértice **21**, de coordenadas **N 8.227.404,82** m. e **E 192.644,45** m.; deste, segue com azimute de 260°21'20" e distância de 6,26 m., até o vértice **22**, de coordenadas **N 8.227.403,77** m. e **E 192.638,27** m.; deste, segue com azimute de 260°21'22" e distância de 8,69 m., até o vértice **23**, de coordenadas **N 8.227.402,31** m. e **E 192.629,71** m.; deste, segue com azimute de 240°15'05" e distância de 7,11 m., até o vértice **24**, de coordenadas **N 8.227.398,78** m. e **E 192.623,53** m.; deste, segue com azimute de 237°05'41" e distância de 17,89 m., até o vértice **25**, de coordenadas **N 8.227.389,07** m. e **E 192.608,52** m.; deste, segue com azimute de 233°42'59" e distância de 26,54 m., até o vértice **26**, de coordenadas **N 8.227.373,36** m. e **E 192.587,12** m.; deste, segue com azimute de 233°42'59" e distância de 19,52 m., até o vértice **27**, de coordenadas **N 8.227.361,81** m. e **E 192.571,38** m.; deste, segue com azimute de 258°34'52" e distância de 14,50 m., até o vértice **28**, de coordenadas **N 8.227.358,94** m. e **E 192.557,17** m.; deste, segue com azimute de 229°53'06" e distância de 6,28 m., até o vértice **29**, de coordenadas **N 8.227.354,89** m. e **E 192.552,37** m.; deste, segue com azimute de 199°56'07" e distância de 12,03 m., até o vértice **30**, de coordenadas **N 8.227.343,58** m. e **E 192.548,27** m.; deste, segue com azimute de 243°50'09" e distância de 26,41 m., até o vértice **31**, de coordenadas **N 8.227.331,93** m. e **E 192.524,56** m.; deste, segue com azimute de 243°50'09" e distância de 10,52 m., até o vértice **32**, de coordenadas **N 8.227.327,29** m. e **E 192.515,12** m.; deste, segue com azimute de 226°07'04" e distância de 12,21 m., até o vértice **33**, de coordenadas **N 8.227.318,83** m. e **E 192.506,32** m.; deste, segue com azimute de 226°07'04" e distância de 11,51 m., até o vértice **34**, de coordenadas **N 8.227.310,85** m. e **E 192.498,03** m.; deste, segue com azimute de 243°08'06" e distância de 13,00 m., até o vértice **35**, de coordenadas **N 8.227.304,98** m. e **E 192.486,43** m.; deste, segue com azimute de 256°15'07" e distância de 14,04 m., até o vértice **36**, de coordenadas **N 8.227.301,64** m. e **E 192.472,80** m.; deste, segue com azimute de 256°15'06" e distância de 12,20 m., até o vértice **37**, de coordenadas **N 8.227.298,74** m. e **E 192.460,95** m.; deste, segue com azimute de 240°11'46" e distância de 21,61 m., até o vértice **38**, de coordenadas **N 8.227.288,00** m. e **E 192.442,20** m.; deste, segue com azimute de 222°40'16" e distância de 15,54 m., até o vértice **39**, de coordenadas **N 8.227.276,58** m. e **E 192.431,66** m.; deste, segue com azimute de 233°36'41" e distância de 7,71 m., até o vértice **40**, de coordenadas **N 8.227.272,00** m. e **E 192.425,45** m.; deste, segue com azimute de 265°42'50" e distância de 7,72 m., até o vértice **41**, de coordenadas **N 8.227.271,42** m. e **E 192.417,76**



SPL - PLC 0019/2019 folha 000160

m.; deste, segue com azimute de 246°19'06" e distância de 7,79 m., até o vértice **42**, de coordenadas **N 8.227.268,30** m. e **E 192.410,63** m.; deste, segue com azimute de 246°19'05" e distância de 11,98 m., até o vértice **43**, de coordenadas **N 8.227.263,49** m. e **E 192.399,66** m.; deste, segue com azimute de 264°58'17" e distância de 3,78 m., até o vértice **44**, de coordenadas **N 8.227.263,15** m. e **E 192.395,89** m.; deste, segue com azimute de 280°37'04" e distância de 7,90 m., até o vértice **45**, de coordenadas **N 8.227.264,61** m. e **E 192.388,13** m.; deste, segue com azimute de 280°37'06" e distância de 10,47 m., até o vértice **46**, de coordenadas **N 8.227.266,54** m. e **E 192.377,84** m.; deste, segue com azimute de 294°28'31" e distância de 6,86 m., até o vértice **47**, de coordenadas **N 8.227.269,38** m. e **E 192.371,60** m.; deste, segue com azimute de 294°28'33" e distância de 9,23 m., até o vértice **48**, de coordenadas **N 8.227.273,20** m. e **E 192.363,20** m.; deste, segue com azimute de 232°26'48" e distância de 51,71 m., até o vértice **49**, de coordenadas **N 8.227.241,68** m. e **E 192.322,20** m.; deste, segue com azimute de 236°35'31" e distância de 9,51 m., até o vértice **50**, de coordenadas **N 8.227.236,45** m. e **E 192.314,26** m.; deste, segue com azimute de 217°04'39" e distância de 21,34 m., até o vértice **51**, de coordenadas **N 8.227.219,42** m. e **E 192.301,40** m.; deste, segue com azimute de 200°43'56" e distância de 10,86 m., até o vértice **52**, de coordenadas **N 8.227.209,27** m. e **E 192.297,55** m.; deste, segue com azimute de 218°58'53" e distância de 15,54 m., até o vértice **53**, de coordenadas **N 8.227.197,19** m. e **E 192.287,78** m.; deste, segue com azimute de 218°58'54" e distância de 13,92 m., até o vértice **54**, de coordenadas **N 8.227.186,37** m. e **E 192.279,02** m.; deste, segue com azimute de 209°43'04" e distância de 13,36 m., até o vértice **55**, de coordenadas **N 8.227.174,76** m. e **E 192.272,40** m.; deste, segue com azimute de 209°43'03" e distância de 13,79 m., até o vértice **56**, de coordenadas **N 8.227.162,78** m. e **E 192.265,56** m.; deste, segue com azimute de 189°31'19" e distância de 16,80 m., até o vértice **57**, de coordenadas **N 8.227.146,22** m. e **E 192.262,78** m.; deste, segue com azimute de 204°48'34" e distância de 12,27 m., até o vértice **58**, de coordenadas **N 8.227.135,08** m. e **E 192.257,63** m.; deste, segue com azimute de 193°58'15" e distância de 11,06 m., até o vértice **59**, de coordenadas **N 8.227.124,34** m. e **E 192.254,96** m.; deste, segue com azimute de 208°21'00" e distância de 17,22 m., até o vértice **60**, de coordenadas **N 8.227.109,19** m. e **E 192.246,78** m.; deste, segue com azimute de 212°40'07" e distância de 4,90 m., até o vértice **61**, de coordenadas **N 8.227.105,06** m. e **E 192.244,14** m.; deste, segue com azimute de 200°08'10" e distância de 20,46 m., até o vértice **62**, de coordenadas **N 8.227.085,85** m. e **E 192.237,09** m.; deste, segue com azimute de 229°07'31" e distância de 41,32 m., até o vértice **63**, de coordenadas **N 8.227.058,81** m. e **E 192.205,85**



SPL - PLC 0019/2019 folha 000161

m.; deste, segue com azimute de 214°11'47" e distância de 8,78 m., até o vértice **64**, de coordenadas **N 8.227.051,55** m. e **E 192.200,91** m.; deste, segue com azimute de 205°10'13" e distância de 23,51 m., até o vértice **65**, de coordenadas **N 8.227.030,27** m. e **E 192.190,91** m.; deste, segue com azimute de 222°22'55" e distância de 11,85 m., até o vértice **66**, de coordenadas **N 8.227.021,51** m. e **E 192.182,92** m.; deste, segue com azimute de 222°22'55" e distância de 18,37 m., até o vértice **67**, de coordenadas **N 8.227.007,95** m. e **E 192.170,54** m.; deste, segue com azimute de 222°22'56" e distância de 6,09 m., até o vértice **68**, de coordenadas **N 8.227.003,45** m. e **E 192.166,44** m.; deste, segue com azimute de 254°47'16" e distância de 9,19 m., até o vértice **69**, de coordenadas **N 8.227.001,04** m. e **E 192.157,57** m.; deste, segue com azimute de 219°27'38" e distância de 30,28 m., até o vértice **70**, de coordenadas **N 8.226.977,66** m. e **E 192.138,33** m.; deste, segue com azimute de 208°34'25" e distância de 17,03 m., até o vértice **71**, de coordenadas **N 8.226.962,71** m. e **E 192.130,18** m.; deste, segue com azimute de 208°31'36" e distância de 14,19 m., até o vértice **72**, de coordenadas **N 8.226.950,24** m. e **E 192.123,40** m.; deste, segue com azimute de 203°14'41" e distância de 24,92 m., até o vértice **73**, de coordenadas **N 8.226.927,34** m. e **E 192.113,57** m.; deste, segue com azimute de 199°00'51" e distância de 23,83 m., até o vértice **74**, de coordenadas **N 8.226.904,81** m. e **E 192.105,81** m.; deste, segue com azimute de 199°00'52" e distância de 18,26 m., até o vértice **75**, de coordenadas **N 8.226.887,54** m. e **E 192.099,86** m.; deste, segue com azimute de 168°56'18" e distância de 22,92 m., até o vértice **76**, de coordenadas **N 8.226.865,05** m. e **E 192.104,25** m.; deste, segue com azimute de 183°50'30" e distância de 26,92 m., até o vértice **77**, de coordenadas **N 8.226.838,18** m. e **E 192.102,45** m.; deste, segue com azimute de 177°43'14" e distância de 26,53 m., até o vértice **78**, de coordenadas **N 8.226.811,68** m. e **E 192.103,51** m.; deste, segue com azimute de 189°48'21" e distância de 14,43 m., até o vértice **79**, de coordenadas **N 8.226.797,46** m. e **E 192.101,05** m.; deste, segue com azimute de 203°08'13" e distância de 12,79 m., até o vértice **80**, de coordenadas **N 8.226.785,70** m. e **E 192.096,02** m.; deste, segue com azimute de 200°58'40" e distância de 13,35 m., até o vértice **81**, de coordenadas **N 8.226.773,23** m. e **E 192.091,24** m.; deste, segue com azimute de 183°12'58" e distância de 14,11 m., até o vértice **82**, de coordenadas **N 8.226.759,14** m. e **E 192.090,45** m.; deste, segue com azimute de 174°34'02" e distância de 21,04 m., até o vértice **83**, de coordenadas **N 8.226.738,20** m. e **E 192.092,44** m.; deste, segue com azimute de 163°22'55" e distância de 7,81 m., até o vértice **84**, de coordenadas **N 8.226.730,72** m. e **E 192.094,67** m.; deste, segue com azimute de 152°10'50" e distância de 4,46 m., até o vértice **85**, de coordenadas **N 8.226.726,77** m. e **E 192.096,76**



SRL - PLC 0019/2019 folha 000162

m.; deste, segue com azimute de 148°22'58" e distância de 9,18 m., até o vértice **86**, de coordenadas **N 8.226.718,95** m. e **E 192.101,57** m.; deste, segue com azimute de 143°15'03" e distância de 15,32 m., até o vértice **87**, de coordenadas **N 8.226.706,68** m. e **E 192.110,73** m.; deste, segue com azimute de 157°43'18" e distância de 9,85 m., até o vértice **88**, de coordenadas **N 8.226.697,56** m. e **E 192.114,47** m.; deste, segue com azimute de 188°51'11" e distância de 6,42 m., até o vértice **89**, de coordenadas **N 8.226.691,22** m. e **E 192.113,48** m.; deste, segue com azimute de 204°00'14" e distância de 17,39 m., até o vértice **90**, de coordenadas **N 8.226.675,34** m. e **E 192.106,41** m.; deste, segue com azimute de 204°00'14" e distância de 19,01 m., até o vértice **91**, de coordenadas **N 8.226.657,98** m. e **E 192.098,68** m.; deste, segue com azimute de 200°38'17" e distância de 10,50 m., até o vértice **92**, de coordenadas **N 8.226.648,15** m. e **E 192.094,97** m.; deste, segue com azimute de 195°25'25" e distância de 8,38 m., até o vértice **93**, de coordenadas **N 8.226.640,07** m. e **E 192.092,75** m.; deste, segue com azimute de 189°45'03" e distância de 8,70 m., até o vértice **94**, de coordenadas **N 8.226.631,50** m. e **E 192.091,27** m.; ponto situado às margens do Córrego Fundo deste, segue margeando o Córrego Fundo , até o vértice **95**, de coordenadas **N 8.224.770,05** m. e **E 193.020,99** m.; ponto de confluência entre o Córrego Fundo e o Ribeirão Água Quente deste, segue margeando o Ribeirão Água Quente, até o vértice **96**, de coordenadas **N 8.223.347,15** m. e **E 190.916,44** m.; ponto de cruzamento entre o Ribeirão Água Quente e o Limite Sul do Distrito Federal deste, segue pelo Limite Sul do Distrito Federal, até o vértice **97**, de coordenadas **N 8.223.123,17** m. e **E 173.775,64** m.; deste, segue com azimute de 34°18'07" e distância de 76,33 m., até o vértice **98**, de coordenadas **N 8.223.186,22** m. e **E 173.818,66** m.; deste, segue com azimute de 36°50'49" e distância de 64,16 m., até o vértice **99**, de coordenadas **N 8.223.237,57** m. e **E 173.857,14** m.; deste, segue com azimute de 36°50'47" e distância de 20,90 m., até o vértice **100**, de coordenadas **N 8.223.254,29** m. e **E 173.869,67** m.; deste, segue com azimute de 36°50'49" e distância de 142,19 m., até o vértice **101**, de coordenadas **N 8.223.368,08** m. e **E 173.954,94** m.; deste, segue com azimute de 36°50'49" e distância de 15,54 m., até o vértice **102**, de coordenadas **N 8.223.380,52** m. e **E 173.964,26** m.; deste, segue com azimute de 36°50'49" e distância de 445,13 m., até o vértice **103**, de coordenadas **N 8.223.736,73** m. e **E 174.231,20** m.; deste, segue com azimute de 36°50'49" e distância de 150,28 m., até o vértice **104**, de coordenadas **N 8.223.857,00** m. e **E 174.321,32** m.; deste, segue com azimute de 36°50'49" e distância de 25,62 m., até o vértice **105**, de coordenadas **N 8.223.877,50** m. e **E 174.336,68** m.; deste, segue com azimute de 38°32'58" e distância de 50,14 m., até o vértice **106**, de coordenadas



SFL - PLC 0019/2019 folha 000163

**N 8.223.916,71** m. e **E 174.367,93** m.; ponto situado no Eixo da Rodovia DF-290 deste, segue pela Rodovia DF-290, até o vértice **107**, de coordenadas **N 8.224.511,71** m. e **E 173.171,59** m.; ponto de cruzamento entre a Rodovia DF-290 e o Rio Alagado deste, segue margeando o Rio Alagado, até o vértice **108**, de coordenadas **N 8.231.090,77** m. e **E 178.351,12** m.; deste, segue com azimute de 15°27'29" e distância de 107,47 m., até o vértice **109**, de coordenadas **N 8.231.194,36** m. e **E 178.379,76** m.; ponto situado no eixo da Rodovia DF-001 deste, segue pela Rodovia DF-001, até o vértice **1**, de coordenadas **N 8.232.304,76** m. e **E 190.379,34** m.; ponto inicial da descrição deste perímetro. Todos os azimutes e distâncias, áreas e perímetros foram calculados no plano de projeção UTM. Todas as coordenadas aqui descritas estão georreferenciadas ao Sistema Geodésico Brasileiro e encontram-se representadas no Sistema UTM, referenciadas ao **Meridiano Central 45° WGr, Fuso 23**, tendo como o *Datum* o **SICAD-SIRGAS 2000.** Todos os azimutes e distâncias, áreas e perímetros foram calculados no plano de projeção UTM.



SFL - PLC 0019/2019 folha 00164

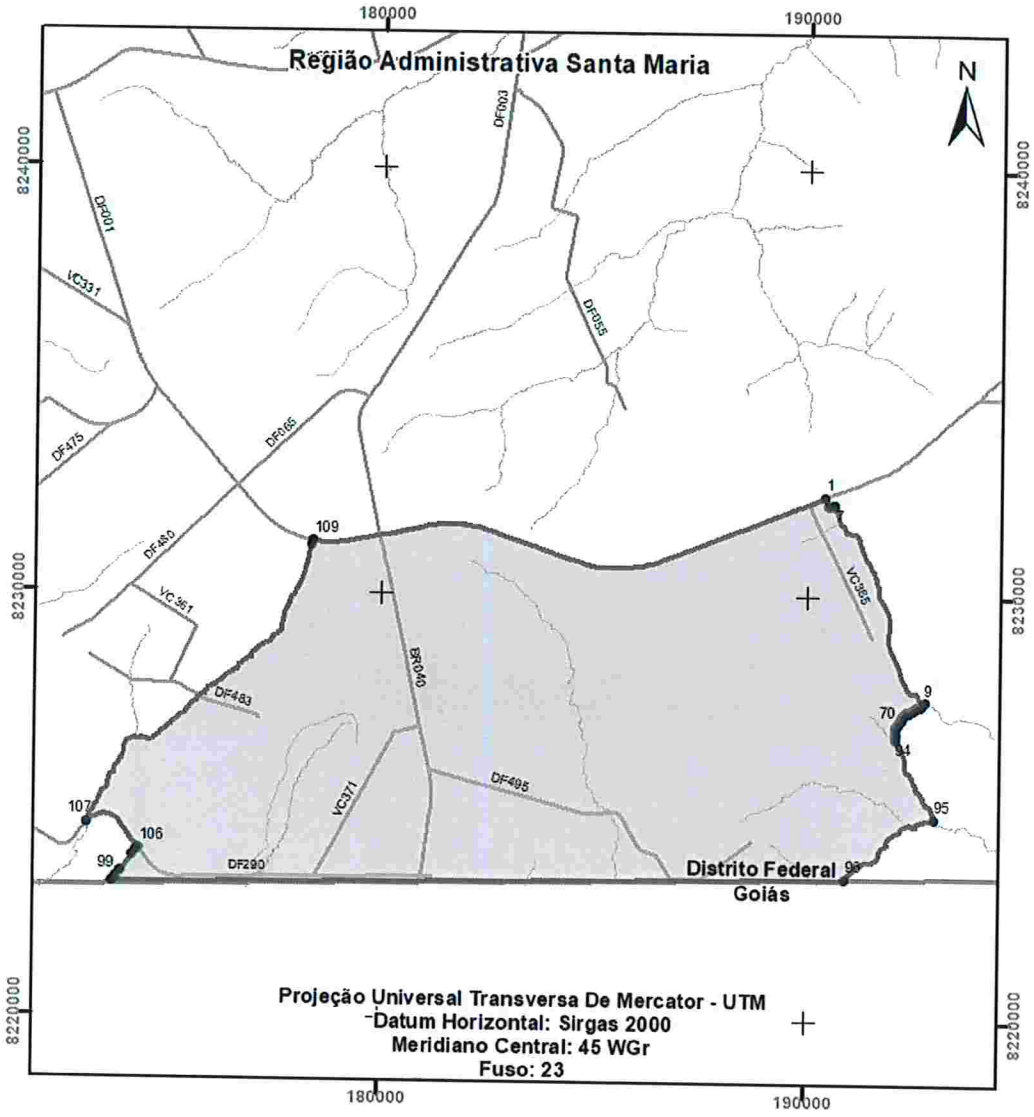




SPL - PLC 0019/2019 folha 000165

# MEMORIAL DESCRITIVO

## SÃO SEBASTIÃO – RA XIV

Perímetro: 100.738,243 m  Área: 26.270,517 ha

Inicia-se a descrição deste perímetro no vértice **1**, de coordenadas **N 8.242.912,62** m. e **E 201.026,22** m., situado às margens do Córrego Mato Grande deste, segue margeando o Córrego Mato Grande, até o vértice **2**, de coordenadas **N 8.239.833,16** m. e **E 204.303,28** m.; ponto de confluência entre o Córrego Mato Grande e o Ribeirão Santo Antônio da Papuda; deste, segue margeando o Ribeirão Santo Antônio da Papuda, até o vértice **3**, de coordenadas **N 8.233.402,95** m. e **E 215.050,02** m.; ponto de cruzamento entre o Ribeirão Santo Antônio da Papuda e o eixo da Rodovia BR-251 deste, segue pela Rodovia BR-251, até o vértice **4**, de coordenadas **N 8.232.690,80** m. e **E 223.059,92** m.; ponto de interseção entre a Rodovia BR-251 e o eixo da Rodovia DF-130 deste, segue pela Rodovia DF-130, até o vértice **5**, de coordenadas **N 8.223.726,61** m. e **E 219.954,72** m.; ponto de interseção entre a Rodovia DF-130 e o Limite Sul do Distrito Federal deste, segue pelo Limite Sul do Distrito Federal, até o vértice **6**, de coordenadas **N 8.223.581,34** m. e **E 208.837,73** m.; deste, segue com azimute de 348°55'54" e distância de 229,03 m., até o vértice **7**, de coordenadas **N 8.223.806,11** m. e **E 208.793,76** m.; deste, segue com azimute de 348°55'55" e distância de 90,68 m., até o vértice **8**, de coordenadas **N 8.223.895,11** m. e **E 208.776,35** m.; deste, segue com azimute de 348°55'54" e distância de 50,25 m., até o vértice **9**, de coordenadas **N 8.223.944,43** m. e **E 208.766,70** m.; deste, segue com azimute de 334°12'37" e distância de 19,43 m., até o vértice **10**, de coordenadas **N 8.223.961,92** m. e **E 208.758,25** m.; deste, segue com azimute de 349°36'44" e distância de 8,04 m., até o vértice **11**, de coordenadas **N 8.223.969,83** m. e **E 208.756,80** m.; deste, segue com azimute de 0°33'31" e distância de 18,46 m., até o vértice **12**, de coordenadas **N 8.223.988,29** m. e **E 208.756,98** m.; deste, segue com azimute de 351°24'45" e distância de 21,26 m., até o vértice **13**, de coordenadas **N 8.224.009,32** m. e **E 208.753,81** m.; deste, segue com azimute de 345°28'41" e distância de 27,62 m., até o vértice **14**, de coordenadas **N 8.224.036,05** m. e **E 208.746,88** m.; deste, segue com azimute de 357°44'42" e distância de 7,00 m., até o vértice **15**, de coordenadas **N 8.224.043,04** m. e **E 208.746,60** m.; deste, segue com azimute de 345°43'15" e distância de 32,03 m., até o vértice **16**, de coordenadas **N 8.224.074,08** m. e **E 208.738,70** m.; deste, segue com azimute de 333°18'32" e distância de 20,47 m., até o vértice **17**, de coordenadas **N 8.224.092,37** m. e **E 208.729,51** m.; deste, segue com azimute de 344°44'03" e distância de 25,66 m., até o



SPL - PLC 0019/2019 folha 000166

vértice **18**, de coordenadas **N 8.224.117,12** m. e **E 208.722,76** m.; deste, segue com azimute de 347°39'54" e distância de 8,82 m., até o vértice **19**, de coordenadas **N 8.224.125,74** m. e **E 208.720,87** m.; deste, segue com azimute de 350°40'15" e distância de 26,16 m., até o vértice **20**, de coordenadas **N 8.224.151,55** m. e **E 208.716,63** m.; deste, segue com azimute de 341°51'09" e distância de 41,61 m., até o vértice **21**, de coordenadas **N 8.224.191,09** m. e **E 208.703,67** m.; deste, segue com azimute de 333°26'40" e distância de 27,22 m., até o vértice **22**, de coordenadas **N 8.224.215,44** m. e **E 208.691,50** m.; deste, segue com azimute de 343°25'00" e distância de 38,37 m., até o vértice **23**, de coordenadas **N 8.224.252,21** m. e **E 208.680,55** m.; deste, segue com azimute de 355°32'09" e distância de 14,20 m., até o vértice **24**, de coordenadas **N 8.224.266,37** m. e **E 208.679,44** m.; deste, segue com azimute de 355°32'43" e distância de 24,09 m., até o vértice **25**, de coordenadas **N 8.224.290,38** m. e **E 208.677,57** m.; deste, segue com azimute de 300°00'07" e distância de 10,88 m., até o vértice **26**, de coordenadas **N 8.224.295,82** m. e **E 208.668,15** m.; deste, segue com azimute de 300°00'23" e distância de 8,46 m., até o vértice **27**, de coordenadas **N 8.224.300,05** m. e **E 208.660,83** m.; deste, segue com azimute de 314°22'35" e distância de 20,72 m., até o vértice **28**, de coordenadas **N 8.224.314,54** m. e **E 208.646,02** m.; deste, segue com azimute de 314°22'34" e distância de 41,03 m., até o vértice **29**, de coordenadas **N 8.224.343,24** m. e **E 208.616,69** m.; deste, segue com azimute de 311°04'48" e distância de 48,53 m., até o vértice **30**, de coordenadas **N 8.224.375,13** m. e **E 208.580,10** m.; deste, segue com azimute de 303°02'57" e distância de 64,36 m., até o vértice **31**, de coordenadas **N 8.224.410,23** m. e **E 208.526,16** m.; deste, segue com azimute de 307°55'49" e distância de 16,32 m., até o vértice **32**, de coordenadas **N 8.224.420,26** m. e **E 208.513,29** m.; deste, segue com azimute de 314°45'33" e distância de 21,86 m., até o vértice **33**, de coordenadas **N 8.224.435,65** m. e **E 208.497,77** m.; deste, segue com azimute de 326°59'05" e distância de 8,69 m., até o vértice **34**, de coordenadas **N 8.224.442,94** m. e **E 208.493,03** m.; deste, segue com azimute de 326°58'44" e distância de 15,77 m., até o vértice **35**, de coordenadas **N 8.224.456,16** m. e **E 208.484,44** m.; deste, segue com azimute de 308°39'35" e distância de 5,51 m., até o vértice **36**, de coordenadas **N 8.224.459,60** m. e **E 208.480,14** m.; deste, segue com azimute de 285°04'30" e distância de 14,96 m., até o vértice **37**, de coordenadas **N 8.224.463,49** m. e **E 208.465,70** m.; deste, segue com azimute de 285°04'32" e distância de 12,51 m., até o vértice **38**, de coordenadas **N 8.224.466,74** m. e **E 208.453,62** m.; deste, segue com azimute de 285°08'36" e distância de 1,30 m., até o vértice **39**, de coordenadas **N 8.224.467,08** m. e **E 208.452,37** m.; deste, segue com azimute de 301°59'47" e distância de 13,70 m., até o



SFL - PLC 0019/2019 folha 000167

vértice **40**, de coordenadas **N 8.224.474,34** m. e **E 208.440,75** m.; deste, segue com azimute de 348°00'51" e distância de 17,62 m., até o vértice **41**, de coordenadas **N 8.224.491,58** m. e **E 208.437,09** m.; deste, segue com azimute de 331°39'21" e distância de 9,08 m., até o vértice **42**, de coordenadas **N 8.224.499,57** m. e **E 208.432,78** m.; deste, segue com azimute de 317°38'50" e distância de 7,81 m., até o vértice **43**, de coordenadas **N 8.224.505,34** m. e **E 208.427,52** m.; deste, segue com azimute de 293°16'25" e distância de 31,16 m., até o vértice **44**, de coordenadas **N 8.224.517,65** m. e **E 208.398,90** m.; deste, segue com azimute de 302°34'11" e distância de 12,48 m., até o vértice **45**, de coordenadas **N 8.224.524,37** m. e **E 208.388,38** m.; deste, segue com azimute de 312°07'47" e distância de 10,45 m., até o vértice **46**, de coordenadas **N 8.224.531,38** m. e **E 208.380,63** m.; deste, segue com azimute de 298°17'47" e distância de 17,91 m., até o vértice **47**, de coordenadas **N 8.224.539,87** m. e **E 208.364,86** m.; deste, segue com azimute de 306°58'14" e distância de 81,96 m., até o vértice **48**, de coordenadas **N 8.224.589,16** m. e **E 208.299,38** m.; deste, segue com azimute de 284°52'12" e distância de 9,00 m., até o vértice **49**, de coordenadas **N 8.224.591,47** m. e **E 208.290,68** m.; deste, segue com azimute de 272°06'08" e distância de 10,09 m., até o vértice **50**, de coordenadas **N 8.224.591,84** m. e **E 208.280,60** m.; deste, segue com azimute de 286°22'53" e distância de 12,09 m., até o vértice **51**, de coordenadas **N 8.224.595,25** m. e **E 208.269,00** m.; deste, segue com azimute de 296°26'50" e distância de 28,27 m., até o vértice **52**, de coordenadas **N 8.224.607,84** m. e **E 208.243,69** m.; deste, segue com azimute de 341°01'28" e distância de 16,76 m., até o vértice **53**, de coordenadas **N 8.224.623,69** m. e **E 208.238,24** m.; deste, segue com azimute de 325°40'46" e distância de 10,34 m., até o vértice **54**, de coordenadas **N 8.224.632,23** m. e **E 208.232,41** m.; deste, segue com azimute de 308°58'14" e distância de 13,53 m., até o vértice **55**, de coordenadas **N 8.224.640,74** m. e **E 208.221,89** m.; deste, segue com azimute de 287°16'06" e distância de 21,12 m., até o vértice **56**, de coordenadas **N 8.224.647,01** m. e **E 208.201,72** m.; deste, segue com azimute de 227°59'41" e distância de 7,04 m., até o vértice **57**, de coordenadas **N 8.224.642,30** m. e **E 208.196,49** m.; deste, segue com azimute de 265°32'33" e distância de 3,73 m., até o vértice **58**, de coordenadas **N 8.224.642,01** m. e **E 208.192,77** m.; deste, segue com azimute de 304°09'44" e distância de 27,60 m., até o vértice **59**, de coordenadas **N 8.224.657,51** m. e **E 208.169,93** m.; deste, segue com azimute de 288°57'21" e distância de 13,90 m., até o vértice **60**, de coordenadas **N 8.224.662,03** m. e **E 208.156,78** m.; deste, segue com azimute de 288°57'53" e distância de 5,83 m., até o vértice **61**, de coordenadas **N 8.224.663,92** m. e **E 208.151,27** m.; deste, segue com azimute de 281°28'29" e distância de 21,31 m., até o



SRL - PLC 0019/2019 folha 000168

vértice **62**, de coordenadas **N 8.224.668,16** m. e **E 208.130,38** m.; deste, segue com azimute de 1°30'54" e distância de 534,91 m., até o vértice **63**, de coordenadas **N 8.225.202,88** m. e **E 208.144,52** m.; deste, segue com azimute de 327°16'34" e distância de 236,87 m., até o vértice **64**, de coordenadas **N 8.225.402,15** m. e **E 208.016,48** m.; deste, segue com azimute de 327°16'34" e distância de 367,14 m., até o vértice **65**, de coordenadas **N 8.225.711,02** m. e **E 207.818,00** m.; deste, segue com azimute de 318°06'14" e distância de 6,66 m., até o vértice **66**, de coordenadas **N 8.225.715,98** m. e **E 207.813,56** m.; deste, segue com azimute de 273°52'27" e distância de 14,01 m., até o vértice **67**, de coordenadas **N 8.225.716,92** m. e **E 207.799,58** m.; deste, segue com azimute de 262°25'38" e distância de 10,32 m., até o vértice **68**, de coordenadas **N 8.225.715,56** m. e **E 207.789,35** m.; deste, segue com azimute de 262°25'39" e distância de 17,13 m., até o vértice **69**, de coordenadas **N 8.225.713,31** m. e **E 207.772,38** m.; deste, segue com azimute de 293°16'05" e distância de 3,17 m., até o vértice **70**, de coordenadas **N 8.225.714,56** m. e **E 207.769,46** m.; deste, segue com azimute de 330°17'45" e distância de 6,69 m., até o vértice **71**, de coordenadas **N 8.225.720,37** m. e **E 207.766,15** m.; deste, segue com azimute de 285°10'43" e distância de 13,78 m., até o vértice **72**, de coordenadas **N 8.225.723,98** m. e **E 207.752,84** m.; deste, segue com azimute de 328°33'08" e distância de 4,89 m., até o vértice **73**, de coordenadas **N 8.225.728,15** m. e **E 207.750,30** m.; deste, segue com azimute de 285°25'58" e distância de 7,49 m., até o vértice **74**, de coordenadas **N 8.225.730,14** m. e **E 207.743,07** m.; deste, segue com azimute de 305°53'02" e distância de 9,13 m., até o vértice **75**, de coordenadas **N 8.225.735,49** m. e **E 207.735,67** m.; deste, segue com azimute de 274°18'02" e distância de 9,91 m., até o vértice **76**, de coordenadas **N 8.225.736,24** m. e **E 207.725,79** m.; deste, segue com azimute de 299°13'32" e distância de 3,16 m., até o vértice **77**, de coordenadas **N 8.225.737,78** m. e **E 207.723,03** m.; deste, segue com azimute de 323°41'41" e distância de 21,95 m., até o vértice **78**, de coordenadas **N 8.225.755,47** m. e **E 207.710,04** m.; deste, segue com azimute de 328°27'13" e distância de 32,12 m., até o vértice **79**, de coordenadas **N 8.225.782,84** m. e **E 207.693,23** m.; deste, segue com azimute de 322°48'53" e distância de 22,06 m., até o vértice **80**, de coordenadas **N 8.225.800,41** m. e **E 207.679,90** m.; deste, segue com azimute de 322°48'54" e distância de 3,70 m., até o vértice **81**, de coordenadas **N 8.225.803,36** m. e **E 207.677,66** m.; deste, segue com azimute de 248°09'08" e distância de 35,98 m., até o vértice **82**, de coordenadas **N 8.225.789,97** m. e **E 207.644,27** m.; deste, segue com azimute de 230°53'55" e distância de 19,85 m., até o vértice **83**, de coordenadas **N 8.225.777,46** m. e **E 207.628,87** m.; deste, segue com azimute de 239°42'53" e distância de 31,32 m., até o



SPL - PLC 0019/2019 folha 000169

vértice **84**, de coordenadas **N 8.225.761,66** m. e **E 207.601,83** m.; deste, segue com azimute de 229°36'42" e distância de 7,35 m., até o vértice **85**, de coordenadas **N 8.225.756,90** m. e **E 207.596,23** m.; deste, segue com azimute de 229°36'44" e distância de 9,09 m., até o vértice **86**, de coordenadas **N 8.225.751,01** m. e **E 207.589,30** m.; deste, segue com azimute de 236°02'31" e distância de 22,88 m., até o vértice **87**, de coordenadas **N 8.225.738,22** m. e **E 207.570,32** m.; deste, segue com azimute de 216°45'53" e distância de 27,29 m., até o vértice **88**, de coordenadas **N 8.225.716,36** m. e **E 207.553,99** m.; deste, segue com azimute de 232°09'00" e distância de 21,79 m., até o vértice **89**, de coordenadas **N 8.225.702,99** m. e **E 207.536,78** m.; deste, segue com azimute de 232°09'01" e distância de 8,67 m., até o vértice **90**, de coordenadas **N 8.225.697,67** m. e **E 207.529,93** m.; deste, segue com azimute de 180°42'52" e distância de 3,86 m., até o vértice **91**, de coordenadas **N 8.225.693,80** m. e **E 207.529,88** m.; deste, segue com azimute de 180°42'54" e distância de 8,02 m., até o vértice **92**, de coordenadas **N 8.225.685,78** m. e **E 207.529,78** m.; deste, segue com azimute de 189°33'10" e distância de 5,92 m., até o vértice **93**, de coordenadas **N 8.225.679,95** m. e **E 207.528,80** m.; deste, segue com azimute de 207°36'05" e distância de 9,48 m., até o vértice **94**, de coordenadas **N 8.225.671,55** m. e **E 207.524,41** m.; deste, segue com azimute de 224°45'05" e distância de 45,17 m., até o vértice **95**, de coordenadas **N 8.225.639,47** m. e **E 207.492,61** m.; deste, segue com azimute de 235°01'13" e distância de 14,82 m., até o vértice **96**, de coordenadas **N 8.225.630,97** m. e **E 207.480,46** m.; deste, segue com azimute de 249°05'05" e distância de 16,02 m., até o vértice **97**, de coordenadas **N 8.225.625,25** m. e **E 207.465,50** m.; deste, segue com azimute de 236°16'26" e distância de 18,56 m., até o vértice **98**, de coordenadas **N 8.225.614,95** m. e **E 207.450,06** m.; deste, segue com azimute de 251°47'26" e distância de 13,36 m., até o vértice **99**, de coordenadas **N 8.225.610,77** m. e **E 207.437,37** m.; deste, segue com azimute de 274°43'26" e distância de 27,67 m., até o vértice **100**, de coordenadas **N 8.225.613,05** m. e **E 207.409,79** m.; deste, segue com azimute de 272°06'46" e distância de 2.837,16 m., até o vértice **101**, de coordenadas **N 8.225.717,65** m. e **E 204.574,56** m.; eixo da Rodovia VC-467 deste, segue pela Rodovia VC-467, até o vértice **102**, de coordenadas **N 8.230.744,40** m. e **E 202.596,63** m.; deste, segue com azimute de 64°27'18" e distância de 53,52 m., até o vértice **103**, de coordenadas **N 8.230.767,48** m. e **E 202.644,92** m.; deste, segue com azimute de 63°43'25" e distância de 46,98 m., até o vértice **104**, de coordenadas **N 8.230.788,27** m. e **E 202.687,04** m.; deste, segue com azimute de 67°49'58" e distância de 55,43 m., até o vértice **105**, de coordenadas **N 8.230.809,19** m. e **E 202.738,38** m.; deste, segue com azimute de 68°39'37" e distância



SFL - PLC 0019/2019 folha 000170

de 51,34 m., até o vértice **106**, de coordenadas **N 8.230.827,87** m. e **E 202.786,20** m.; deste, segue com azimute de 63°37'56" e distância de 61,09 m., até o vértice **107**, de coordenadas **N 8.230.855,01** m. e **E 202.840,94** m.; deste, segue com azimute de 56°48'40" e distância de 25,39 m., até o vértice **108**, de coordenadas **N 8.230.868,90** m. e **E 202.862,18** m.; deste, segue com azimute de 55°27'32" e distância de 21,19 m., até o vértice **109**, de coordenadas **N 8.230.880,92** m. e **E 202.879,64** m.; deste, segue com azimute de 48°19'24" e distância de 34,42 m., até o vértice **110**, de coordenadas **N 8.230.903,80** m. e **E 202.905,34** m.; deste, segue com azimute de 42°22'47" e distância de 48,98 m., até o vértice **111**, de coordenadas **N 8.230.939,98** m. e **E 202.938,36** m.; deste, segue com azimute de 43°29'14" e distância de 10,25 m., até o vértice **112**, de coordenadas **N 8.230.947,42** m. e **E 202.945,41** m.; deste, segue com azimute de 55°39'04" e distância de 13,41 m., até o vértice **113**, de coordenadas **N 8.230.954,98** m. e **E 202.956,48** m.; deste, segue com azimute de 67°56'41" e distância de 16,12 m., até o vértice **114**, de coordenadas **N 8.230.961,04** m. e **E 202.971,42** m.; deste, segue com azimute de 91°53'30" e distância de 7,69 m., até o vértice **115**, de coordenadas **N 8.230.960,78** m. e **E 202.979,11** m.; deste, segue com azimute de 98°47'27" e distância de 20,28 m., até o vértice **116**, de coordenadas **N 8.230.957,68** m. e **E 202.999,15** m.; deste, segue com azimute de 105°11'21" e distância de 44,66 m., até o vértice **117**, de coordenadas **N 8.230.945,98** m. e **E 203.042,25** m.; deste, segue com azimute de 103°11'32" e distância de 59,70 m., até o vértice **118**, de coordenadas **N 8.230.932,36** m. e **E 203.100,38** m.; deste, segue com azimute de 103°11'32" e distância de 77,81 m., até o vértice **119**, de coordenadas **N 8.230.914,60** m. e **E 203.176,13** m.; deste, segue com azimute de 59°20'19" e distância de 79,75 m., até o vértice **120**, de coordenadas **N 8.230.955,27** m. e **E 203.244,73** m.; deste, segue com azimute de 65°11'15" e distância de 7,55 m., até o vértice **121**, de coordenadas **N 8.230.958,44** m. e **E 203.251,59** m.; deste, segue com azimute de 71°32'52" e distância de 26,04 m., até o vértice **122**, de coordenadas **N 8.230.966,68** m. e **E 203.276,28** m.; deste, segue com azimute de 83°36'17" e distância de 8,69 m., até o vértice **123**, de coordenadas **N 8.230.967,64** m. e **E 203.284,92** m.; deste, segue com azimute de 66°23'25" e distância de 9,33 m., até o vértice **124**, de coordenadas **N 8.230.971,38** m. e **E 203.293,47** m.; deste, segue com azimute de 78°29'32" e distância de 10,89 m., até o vértice **125**, de coordenadas **N 8.230.973,55** m. e **E 203.304,14** m.; deste, segue com azimute de 57°28'20" e distância de 14,55 m., até o vértice **126**, de coordenadas **N 8.230.981,38** m. e **E 203.316,41** m.; deste, segue com azimute de 69°08'54" e distância de 15,61 m., até o vértice **127**, de coordenadas **N 8.230.986,93** m. e **E 203.330,99** m.; deste, segue com azimute de 48°34'46" e distância



SFL - PLC 0019/2019 folha 000171

de 10,44 m., até o vértice **128**, de coordenadas **N 8.230.993,84** m. e **E 203.338,82** m.; deste, segue com azimute de 36°11'55" e distância de 15,00 m., até o vértice **129**, de coordenadas **N 8.231.005,94** m. e **E 203.347,68** m.; deste, segue com azimute de 54°12'59" e distância de 50,96 m., até o vértice **130**, de coordenadas **N 8.231.035,74** m. e **E 203.389,02** m.; deste, segue com azimute de 13°35'01" e distância de 11,78 m., até o vértice **131**, de coordenadas **N 8.231.047,19** m. e **E 203.391,78** m.; deste, segue com azimute de 40°14'31" e distância de 11,60 m., até o vértice **132**, de coordenadas **N 8.231.056,04** m. e **E 203.399,28** m.; deste, segue com azimute de 60°19'09" e distância de 21,95 m., até o vértice **133**, de coordenadas **N 8.231.066,91** m. e **E 203.418,34** m.; deste, segue com azimute de 81°15'39" e distância de 16,95 m., até o vértice **134**, de coordenadas **N 8.231.069,49** m. e **E 203.435,10** m.; deste, segue com azimute de 38°39'39" e distância de 8,98 m., até o vértice **135**, de coordenadas **N 8.231.076,49** m. e **E 203.440,71** m.; deste, segue com azimute de 54°58'40" e distância de 15,28 m., até o vértice **136**, de coordenadas **N 8.231.085,26** m. e **E 203.453,22** m.; deste, segue com azimute de 80°22'57" e distância de 8,99 m., até o vértice **137**, de coordenadas **N 8.231.086,77** m. e **E 203.462,09** m.; deste, segue com azimute de 68°59'55" e distância de 14,48 m., até o vértice **138**, de coordenadas **N 8.231.091,96** m. e **E 203.475,61** m.; deste, segue com azimute de 39°44'26" e distância de 10,95 m., até o vértice **139**, de coordenadas **N 8.231.100,38** m. e **E 203.482,61** m.; deste, segue com azimute de 27°00'12" e distância de 19,32 m., até o vértice **140**, de coordenadas **N 8.231.117,60** m. e **E 203.491,39** m.; deste, segue com azimute de 50°35'24" e distância de 33,01 m., até o vértice **141**, de coordenadas **N 8.231.138,55** m. e **E 203.516,89** m.; deste, segue com azimute de 79°54'23" e distância de 26,04 m., até o vértice **142**, de coordenadas **N 8.231.143,12** m. e **E 203.542,53** m.; deste, segue com azimute de 88°41'40" e distância de 14,90 m., até o vértice **143**, de coordenadas **N 8.231.143,46** m. e **E 203.557,42** m.; deste, segue com azimute de 106°23'03" e distância de 14,84 m., até o vértice **144**, de coordenadas **N 8.231.139,27** m. e **E 203.571,66** m.; deste, segue com azimute de 52°24'37" e distância de 18,16 m., até o vértice **145**, de coordenadas **N 8.231.150,35** m. e **E 203.586,05** m.; deste, segue com azimute de 72°56'44" e distância de 8,75 m., até o vértice **146**, de coordenadas **N 8.231.152,92** m. e **E 203.594,42** m.; deste, segue com azimute de 88°55'50" e distância de 16,88 m., até o vértice **147**, de coordenadas **N 8.231.153,23** m. e **E 203.611,30** m.; deste, segue com azimute de 44°21'49" e distância de 11,04 m., até o vértice **148**, de coordenadas **N 8.231.161,13** m. e **E 203.619,02** m.; deste, segue com azimute de 53°45'42" e distância de 16,18 m., até o vértice **149**, de coordenadas **N 8.231.170,69** m. e **E 203.632,07** m.; deste, segue com azimute de 31°10'05" e distância



SPL - PLC 0019/2019 folha 000172

de 5,63 m., até o vértice **150**, de coordenadas **N 8.231.175,50** m. e **E 203.634,98** m.; deste, segue com azimute de 66°33'24" e distância de 8,51 m., até o vértice **151**, de coordenadas **N 8.231.178,89** m. e **E 203.642,79** m.; deste, segue com azimute de 42°10'47" e distância de 5,75 m., até o vértice **152**, de coordenadas **N 8.231.183,15** m. e **E 203.646,65** m.; deste, segue com azimute de 10°52'19" e distância de 6,42 m., até o vértice **153**, de coordenadas **N 8.231.189,45** m. e **E 203.647,86** m.; deste, segue com azimute de 42°12'13" e distância de 19,28 m., até o vértice **154**, de coordenadas **N 8.231.203,73** m. e **E 203.660,81** m.; deste, segue com azimute de 15°18'45" e distância de 19,27 m., até o vértice **155**, de coordenadas **N 8.231.222,32** m. e **E 203.665,90** m.; deste, segue com azimute de 67°57'24" e distância de 10,55 m., até o vértice **156**, de coordenadas **N 8.231.226,28** m. e **E 203.675,68** m.; deste, segue com azimute de 30°52'22" e distância de 20,54 m., até o vértice **157**, de coordenadas **N 8.231.243,91** m. e **E 203.686,22** m.; deste, segue com azimute de 42°11'55" e distância de 14,90 m., até o vértice **158**, de coordenadas **N 8.231.254,95** m. e **E 203.696,23** m.; deste, segue com azimute de 28°51'12" e distância de 56,50 m., até o vértice **159**, de coordenadas **N 8.231.304,44** m. e **E 203.723,50** m.; deste, segue com azimute de 34°24'08" e distância de 16,76 m., até o vértice **160**, de coordenadas **N 8.231.318,27** m. e **E 203.732,97** m.; deste, segue com azimute de 16°31'13" e distância de 12,47 m., até o vértice **161**, de coordenadas **N 8.231.330,23** m. e **E 203.736,51** m.; deste, segue com azimute de 34°03'46" e distância de 8,25 m., até o vértice **162**, de coordenadas **N 8.231.337,06** m. e **E 203.741,14** m.; deste, segue com azimute de 52°18'05" e distância de 15,22 m., até o vértice **163**, de coordenadas **N 8.231.346,37** m. e **E 203.753,18** m.; deste, segue com azimute de 66°13'33" e distância de 10,25 m., até o vértice **164**, de coordenadas **N 8.231.350,50** m. e **E 203.762,56** m.; deste, segue com azimute de 78°15'05" e distância de 23,97 m., até o vértice **165**, de coordenadas **N 8.231.355,38** m. e **E 203.786,03** m.; deste, segue com azimute de 84°24'13" e distância de 24,90 m., até o vértice **166**, de coordenadas **N 8.231.357,81** m. e **E 203.810,81** m.; deste, segue com azimute de 79°55'21" e distância de 45,49 m., até o vértice **167**, de coordenadas **N 8.231.365,77** m. e **E 203.855,59** m.; deste, segue com azimute de 84°14'16" e distância de 54,77 m., até o vértice **168**, de coordenadas **N 8.231.371,27** m. e **E 203.910,09** m.; deste, segue com azimute de 84°14'17" e distância de 47,78 m., até o vértice **169**, de coordenadas **N 8.231.376,07** m. e **E 203.957,63** m.; deste, segue com azimute de 69°42'03" e distância de 61,16 m., até o vértice **170**, de coordenadas **N 8.231.397,29** m. e **E 204.014,99** m.; deste, segue com azimute de 59°05'23" e distância de 8,71 m., até o vértice **171**, de coordenadas **N 8.231.401,76** m. e **E 204.022,46** m.; deste, segue com azimute de 36°49'01" e distância



SPL - PLC 0019/2019 folha 000173

de 8,37 m., até o vértice **172**, de coordenadas **N 8.231.408,46** m. e **E 204.027,48** m.; deste, segue com azimute de 25°06'11" e distância de 30,07 m., até o vértice **173**, de coordenadas **N 8.231.435,70** m. e **E 204.040,24** m.; deste, segue com azimute de 37°07'19" e distância de 34,90 m., até o vértice **174**, de coordenadas **N 8.231.463,52** m. e **E 204.061,30** m.; deste, segue com azimute de 30°33'00" e distância de 22,29 m., até o vértice **175**, de coordenadas **N 8.231.482,72** m. e **E 204.072,63** m.; deste, segue com azimute de 18°26'48" e distância de 15,47 m., até o vértice **176**, de coordenadas **N 8.231.497,40** m. e **E 204.077,53** m.; deste, segue com azimute de 11°57'49" e distância de 61,42 m., até o vértice **177**, de coordenadas **N 8.231.557,49** m. e **E 204.090,26** m.; deste, segue com azimute de 25°36'50" e distância de 33,35 m., até o vértice **178**, de coordenadas **N 8.231.587,57** m. e **E 204.104,68** m.; deste, segue com azimute de 32°04'19" e distância de 69,74 m., até o vértice **179**, de coordenadas **N 8.231.646,67** m. e **E 204.141,71** m.; deste, segue com azimute de 37°19'11" e distância de 26,00 m., até o vértice **180**, de coordenadas **N 8.231.667,34** m. e **E 204.157,48** m.; deste, segue com azimute de 41°38'46" e distância de 38,16 m., até o vértice **181**, de coordenadas **N 8.231.695,86** m. e **E 204.182,84** m.; deste, segue com azimute de 26°06'38" e distância de 23,37 m., até o vértice **182**, de coordenadas **N 8.231.716,85** m. e **E 204.193,12** m.; deste, segue com azimute de 31°51'52" e distância de 36,34 m., até o vértice **183**, de coordenadas **N 8.231.747,71** m. e **E 204.212,31** m.; deste, segue com azimute de 27°09'09" e distância de 45,24 m., até o vértice **184**, de coordenadas **N 8.231.787,97** m. e **E 204.232,96** m.; deste, segue com azimute de 34°26'16" e distância de 33,56 m., até o vértice **185**, de coordenadas **N 8.231.815,65** m. e **E 204.251,94** m.; deste, segue com azimute de 50°01'00" e distância de 34,44 m., até o vértice **186**, de coordenadas **N 8.231.837,78** m. e **E 204.278,33** m.; deste, segue com azimute de 64°37'20" e distância de 37,33 m., até o vértice **187**, de coordenadas **N 8.231.853,78** m. e **E 204.312,05** m.; deste, segue com azimute de 56°32'15" e distância de 26,37 m., até o vértice **188**, de coordenadas **N 8.231.868,32** m. e **E 204.334,05** m.; deste, segue com azimute de 69°17'31" e distância de 20,46 m., até o vértice **189**, de coordenadas **N 8.231.875,55** m. e **E 204.353,19** m.; deste, segue com azimute de 52°08'46" e distância de 14,26 m., até o vértice **190**, de coordenadas **N 8.231.884,30** m. e **E 204.364,44** m.; deste, segue com azimute de 37°31'12" e distância de 16,14 m., até o vértice **191**, de coordenadas **N 8.231.897,11** m. e **E 204.374,27** m.; deste, segue com azimute de 27°52'54" e distância de 16,86 m., até o vértice **192**, de coordenadas **N 8.231.912,01** m. e **E 204.382,16** m.; deste, segue com azimute de 18°04'45" e distância de 15,05 m., até o vértice **193**, de coordenadas **N 8.231.926,31** m. e **E 204.386,83** m.; deste, segue com azimute de 4°26'30" e distância de



SFL - PLC 0019/2019 folha 000174

14,21 m., até o vértice **194**, de coordenadas **N 8.231.940,48** m. e **E 204.387,93** m.; deste, segue com azimute de 23°41'36" e distância de 4,07 m., até o vértice **195**, de coordenadas **N 8.231.944,20** m. e **E 204.389,56** m.; deste, segue com azimute de 45°53'23" e distância de 7,12 m., até o vértice **196**, de coordenadas **N 8.231.949,16** m. e **E 204.394,67** m.; deste, segue com azimute de 66°50'58" e distância de 9,46 m., até o vértice **197**, de coordenadas **N 8.231.952,88** m. e **E 204.403,37** m.; deste, segue com azimute de 25°39'10" e distância de 14,05 m., até o vértice **198**, de coordenadas **N 8.231.965,54** m. e **E 204.409,45** m.; deste, segue com azimute de 39°16'36" e distância de 15,15 m., até o vértice **199**, de coordenadas **N 8.231.977,27** m. e **E 204.419,05** m.; deste, segue com azimute de 29°24'46" e distância de 16,29 m., até o vértice **200**, de coordenadas **N 8.231.991,46** m. e **E 204.427,04** m.; deste, segue com azimute de 58°35'09" e distância de 15,20 m., até o vértice **201**, de coordenadas **N 8.231.999,38** m. e **E 204.440,02** m.; deste, segue com azimute de 33°54'11" e distância de 23,57 m., até o vértice **202**, de coordenadas **N 8.232.018,94** m. e **E 204.453,16** m.; deste, segue com azimute de 69°42'23" e distância de 8,08 m., até o vértice **203**, de coordenadas **N 8.232.021,75** m. e **E 204.460,74** m.; deste, segue com azimute de 81°21'02" e distância de 16,98 m., até o vértice **204**, de coordenadas **N 8.232.024,30** m. e **E 204.477,54** m.; deste, segue com azimute de 67°50'16" e distância de 9,37 m., até o vértice **205**, de coordenadas **N 8.232.027,84** m. e **E 204.486,21** m.; deste, segue com azimute de 40°31'50" e distância de 20,49 m., até o vértice **206**, de coordenadas **N 8.232.043,41** m. e **E 204.499,53** m.; deste, segue com azimute de 46°50'35" e distância de 17,39 m., até o vértice **207**, de coordenadas **N 8.232.055,30** m. e **E 204.512,22** m.; deste, segue com azimute de 53°40'48" e distância de 16,70 m., até o vértice **208**, de coordenadas **N 8.232.065,20** m. e **E 204.525,67** m.; deste, segue com azimute de 63°09'58" e distância de 17,98 m., até o vértice **209**, de coordenadas **N 8.232.073,32** m. e **E 204.541,72** m.; deste, segue com azimute de 75°05'59" e distância de 24,08 m., até o vértice **210**, de coordenadas **N 8.232.079,51** m. e **E 204.564,99** m.; deste, segue com azimute de 90°56'52" e distância de 35,85 m., até o vértice **211**, de coordenadas **N 8.232.078,91** m. e **E 204.600,83** m.; situado às margens do Ribeirão Cachoeirinha, deste, segue margeando o Ribeirão Cachoeirinha, até o vértice **212**, de coordenadas **N 8.235.814,23** m. e **E 199.431,15** m.; deste, segue com azimute de 19°58'20" e distância de 86,41 m., até o vértice **213**, de coordenadas **N 8.235.895,44** m. e **E 199.460,66** m.; deste, segue com azimute de 19°43'05" e distância de 256,04 m., até o vértice **214**, de coordenadas **N 8.236.136,47** m. e **E 199.547,05** m.; deste, segue com azimute de 25°27'11" e distância de 273,81 m., até o vértice **215**, de coordenadas **N 8.236.383,71** m. e **E 199.664,73** m.; deste,



SFL - PLC 0019/2019 folha 000175

segue com azimute de 5°58'55" e distância de 42,22 m., até o vértice **216**, de coordenadas **N 8.236.425,70** m. e **E 199.669,13** m.; deste, segue com azimute de 17°50'34" e distância de 32,11 m., até o vértice **217**, de coordenadas **N 8.236.456,27** m. e **E 199.678,97** m.; deste, segue com azimute de 28°30'33" e distância de 31,64 m., até o vértice **218**, de coordenadas **N 8.236.484,07** m. e **E 199.694,07** m.; deste, segue com azimute de 41°14'19" e distância de 23,50 m., até o vértice **219**, de coordenadas **N 8.236.501,74** m. e **E 199.709,56** m.; deste, segue com azimute de 5°25'59" e distância de 32,64 m., até o vértice **220**, de coordenadas **N 8.236.534,23** m. e **E 199.712,65** m.; deste, segue com azimute de 329°58'27" e distância de 14,67 m., até o vértice **221**, de coordenadas **N 8.236.546,93** m. e **E 199.705,31** m.; deste, segue com azimute de 318°37'35" e distância de 26,36 m., até o vértice **222**, de coordenadas **N 8.236.566,71** m. e **E 199.687,88** m.; ponto situado às margens do Ribeirão Santo Antônio da Papuda, deste, segue margeando o Ribeirão Santo Antônio da Papuda, até o vértice **223**, de coordenadas **N 8.238.777,08** m. e **E 203.141,13** m.; confluência entre o Ribeirão Santo Antônio da Papuda e o Córrego Boi Manso, deste, segue margeando o Córrego Boi Manso, até o vértice **224**, de coordenadas **N 8.239.433,30** m. e **E 201.258,64** m.; deste, segue com azimute de 323°38'56" e distância de 14,07 m., até o vértice **225**, de coordenadas **N 8.239.444,63** m. e **E 201.250,30** m.; deste, segue com azimute de 331°19'21" e distância de 7,62 m., até o vértice **226**, de coordenadas **N 8.239.451,32** m. e **E 201.246,64** m.; deste, segue com azimute de 331°19'22" e distância de 16,11 m., até o vértice **227**, de coordenadas **N 8.239.465,46** m. e **E 201.238,91** m.; deste, segue com azimute de 345°36'24" e distância de 11,49 m., até o vértice **228**, de coordenadas **N 8.239.476,59** m. e **E 201.236,05** m.; deste, segue com azimute de 348°59'30" e distância de 13,85 m., até o vértice **229**, de coordenadas **N 8.239.490,18** m. e **E 201.233,41** m.; deste, segue com azimute de 353°36'46" e distância de 11,86 m., até o vértice **230**, de coordenadas **N 8.239.501,97** m. e **E 201.232,09** m.; deste, segue com azimute de 353°36'47" e distância de 12,85 m., até o vértice **231**, de coordenadas **N 8.239.514,73** m. e **E 201.230,66** m.; deste, segue com azimute de 9°03'29" e distância de 13,78 m., até o vértice **232**, de coordenadas **N 8.239.528,34** m. e **E 201.232,83** m.; deste, segue com azimute de 9°03'30" e distância de 13,93 m., até o vértice **233**, de coordenadas **N 8.239.542,10** m. e **E 201.235,02** m.; deste, segue com azimute de 353°39'16" e distância de 26,31 m., até o vértice **234**, de coordenadas **N 8.239.568,25** m. e **E 201.232,12** m.; deste, segue com azimute de 355°29'30" e distância de 22,99 m., até o vértice **235**, de coordenadas **N 8.239.591,17** m. e **E 201.230,31** m.; deste, segue com azimute de 345°57'08" e distância de 11,13 m., até o vértice **236**, de coordenadas **N 8.239.601,96** m. e **E 201.227,61** m.; deste,



SRL - PLC 0019/2019 folha 000176

segue com azimute de 323°06'25" e distância de 8,68 m., até o vértice **237**, de coordenadas **N 8.239.608,90** m. e **E 201.222,40 m.;** deste, segue com azimute de 332°22'51" e distância de 12,97 m., até o vértice **238**, de coordenadas **N 8.239.620,39** m. e **E 201.216,39** m.; deste, segue com azimute de 3°18'25" e distância de 37,09 m., até o vértice **239**, de coordenadas **N 8.239.657,42** m. e **E 201.218,53 m.;** deste, segue com azimute de 348°55'04" e distância de 18,67 m., até o vértice **240**, de coordenadas **N 8.239.675,74** m. e **E 201.214,94** m.; deste, segue com azimute de 344°01'25" e distância de 12,68 m., até o vértice **241**, de coordenadas **N 8.239.687,94** m. e **E 201.211,45 m.;** deste, segue com azimute de 339°13'13" e distância de 7,32 m., até o vértice **242**, de coordenadas **N 8.239.694,78** m. e **E 201.208,85** m.; deste, segue com azimute de 317°31'00" e distância de 13,87 m., até o vértice **243**, de coordenadas **N 8.239.705,01** m. e **E 201.199,48 m.;** deste, segue com azimute de 295°46'01" e distância de 11,32 m., até o vértice **244**, de coordenadas **N 8.239.709,93** m. e **E 201.189,29** m.; deste, segue com azimute de 275°26'58" e distância de 17,57 m., até o vértice **245**, de coordenadas **N 8.239.711,60** m. e **E 201.171,80 m.;** deste, segue com azimute de 280°11'30" e distância de 26,81 m., até o vértice **246**, de coordenadas **N 8.239.716,34** m. e **E 201.145,41** m.; deste, segue com azimute de 298°31'46" e distância de 15,90 m., até o vértice **247**, de coordenadas **N 8.239.723,94** m. e **E 201.131,44 m.;** deste, segue com azimute de 298°31'44" e distância de 6,69 m., até o vértice **248**, de coordenadas **N 8.239.727,13** m. e **E 201.125,56** m.; deste, segue com azimute de 325°53'42" e distância de 14,76 m., até o vértice **249**, de coordenadas **N 8.239.739,35** m. e **E 201.117,29 m.;** deste, segue com azimute de 295°50'22" e distância de 9,24 m., até o vértice **250**, de coordenadas **N 8.239.743,38** m. e **E 201.108,97** m.; deste, segue com azimute de 313°20'36" e distância de 18,16 m., até o vértice **251**, de coordenadas **N 8.239.755,84** m. e **E 201.095,76 m.;** deste, segue com azimute de 296°33'54" e distância de 19,52 m., até o vértice **252**, de coordenadas **N 8.239.764,57** m. e **E 201.078,30** m.; deste, segue com azimute de 280°29'29" e distância de 21,80 m., até o vértice **253**, de coordenadas **N 8.239.768,54** m. e **E 201.056,87 m.;** deste, segue com azimute de 296°33'54" e distância de 19,52 m., até o vértice **254**, de coordenadas **N 8.239.777,27** m. e **E 201.039,41** m.; deste, segue com azimute de 249°26'38" e distância de 13,56 m., até o vértice **255**, de coordenadas **N 8.239.772,51** m. e **E 201.026,71 m.;** deste, segue com azimute de 285°15'19" e distância de 9,05 m., até o vértice **256**, de coordenadas **N 8.239.774,89** m. e **E 201.017,98** m.; deste, segue com azimute de 351°15'14" e distância de 10,44 m., até o vértice **257**, de coordenadas **N 8.239.785,21** m. e **E 201.016,39 m.;** deste, segue com azimute de 356°38'02" e distância de 13,52 m., até o vértice **258**, de coordenadas **N 8.239.798,71** m. e **E 201.015,60** m.; deste,



SPL - PLC 0019/2019 folha 000177

segue com azimute de 307°34'06" e distância de 13,02 m., até o vértice **259**, de coordenadas **N 8.239.806,64** m. e **E 201.005,28 m.;** deste, segue com azimute de 318°48'50" e distância de 8,44 m., até o vértice **260**, de coordenadas **N 8.239.812,99** m. e **E 200.999,72 m.;** deste, segue com azimute de 291°15'02" e distância de 15,33 m., até o vértice **261**, de coordenadas **N 8.239.818,55** m. e **E 200.985,43 m.;** deste, segue com azimute de 331°41'57" e distância de 11,72 m., até o vértice **262**, de coordenadas **N 8.239.828,87** m. e **E 200.979,88 m.;** deste, segue com azimute de 307°34'07" e distância de 13,02 m., até o vértice **263**, de coordenadas **N 8.239.836,81** m. e **E 200.969,56 m.;** deste, segue com azimute de 270°00'00" e distância de 15,08 m., até o vértice **264**, de coordenadas **N 8.239.836,81** m. e **E 200.954,48 m.;** deste, segue com azimute de 299°03'15" e distância de 8,17 m., até o vértice **265**, de coordenadas **N 8.239.840,77** m. e **E 200.947,33 m.;** deste, segue com azimute de 270°00'00" e distância de 9,53 m., até o vértice **266**, de coordenadas **N 8.239.840,77** m. e **E 200.937,81 m.;** deste, segue com azimute de 297°38'46" e distância de 18,82 m., até o vértice **267**, de coordenadas **N 8.239.849,51** m. e **E 200.921,14 m.;** deste, segue com azimute de 270°00'00" e distância de 14,29 m., até o vértice **268**, de coordenadas **N 8.239.849,51** m. e **E 200.906,85 m.;** deste, segue com azimute de 298°29'44" e distância de 31,61 m., até o vértice **269**, de coordenadas **N 8.239.864,59** m. e **E 200.879,07 m.;** deste, segue com azimute de 287°47'02" e distância de 44,18 m., até o vértice **270**, de coordenadas **N 8.239.878,08** m. e **E 200.837,00 m.;** deste, segue com azimute de 328°08'02" e distância de 34,58 m., até o vértice **271**, de coordenadas **N 8.239.907,45** m. e **E 200.818,75 m.;** deste, segue com azimute de 344°37'25" e distância de 65,86 m., até o vértice **272**, de coordenadas **N 8.239.970,95** m. e **E 200.801,28 m.;** deste, segue com azimute de 340°15'11" e distância de 32,89 m., até o vértice **273**, de coordenadas **N 8.240.001,91** m. e **E 200.790,17 m.;** deste, segue com azimute de 349°18'54" e distância de 42,81 m., até o vértice **274**, de coordenadas **N 8.240.043,97** m. e **E 200.782,23 m.;** deste, segue com azimute de 22°29'14" e distância de 369,40 m., até o vértice **275**, de coordenadas **N 8.240.385,29** m. e **E 200.923,52 m.;** deste, segue com azimute de 292°23'41" e distância de 170,84 m., até o vértice **276**, de coordenadas **N 8.240.450,38** m. e **E 200.765,56 m.;** deste, segue com azimute de 352°05'35" e distância de 28,85 m., até o vértice **277**, de coordenadas **N 8.240.478,95** m. e **E 200.761,60 m.;** deste, segue com azimute de 10°21'33" e distância de 150,08 m., até o vértice **278**, de coordenadas **N 8.240.626,59** m. e **E 200.788,58 m.;** deste, segue com azimute de 12°10'17" e distância de 41,41 m., até o vértice **279**, de coordenadas **N 8.240.667,07** m. e **E 200.797,31 m.;** deste, segue com azimute de 25°33'36" e distância de 20,24 m., até o vértice **280**, de coordenadas **N 8.240.685,33** m. e **E 200.806,05 m.;** deste,



SFL - PLC 0019/2019 folha 000178

segue com azimute de 39°09'10" e distância de 187,32 m., até o vértice **281**, de coordenadas **N 8.240.830,58** m. e **E 200.924,31** m.; deste, segue com azimute de 14°02'11" e distância de 51,01 m., até o vértice **282**, de coordenadas **N 8.240.880,07** m. e **E 200.936,68** m.; deste, segue com azimute de 300°46'27" e distância de 221,82 m., até o vértice **283**, de coordenadas **N 8.240.993,56** m. e **E 200.746,10** m.; deste, segue com azimute de 301°15'05" e distância de 45,87 m., até o vértice **284**, de coordenadas **N 8.241.017,36** m. e **E 200.706,88** m.; deste, segue com azimute de 298°41'33" e distância de 55,91 m., até o vértice **285**, de coordenadas **N 8.241.044,20** m. e **E 200.657,84** m.; deste, segue com azimute de 31°21'26" e distância de 18,80 m., até o vértice **286**, de coordenadas **N 8.241.060,26** m. e **E 200.667,62** m.; deste, segue com azimute de 46°12'22" e distância de 16,86 m., até o vértice **287**, de coordenadas **N 8.241.071,92** m. e **E 200.679,79** m.; deste, segue com azimute de 49°48'14" e distância de 11,73 m., até o vértice **288**, de coordenadas **N 8.241.079,49** m. e **E 200.688,75** m.; deste, segue com azimute de 67°33'26" e distância de 17,29 m., até o vértice **289**, de coordenadas **N 8.241.086,09** m. e **E 200.704,72** m.; deste, segue com azimute de 76°55'16" e distância de 11,58 m., até o vértice **290**, de coordenadas **N 8.241.088,71** m. e **E 200.716,00** m.; deste, segue com azimute de 76°55'15" e distância de 23,72 m., até o vértice **291**, de coordenadas **N 8.241.094,08** m. e **E 200.739,11** m.; deste, segue com azimute de 70°46'09" e distância de 15,82 m., até o vértice **292**, de coordenadas **N 8.241.099,29** m. e **E 200.754,04** m.; deste, segue com azimute de 55°39'14" e distância de 15,14 m., até o vértice **293**, de coordenadas **N 8.241.107,83** m. e **E 200.766,55** m.; deste, segue com azimute de 43°33'38" e distância de 30,16 m., até o vértice **294**, de coordenadas **N 8.241.129,69** m. e **E 200.787,33** m.; deste, segue com azimute de 43°33'39" e distância de 18,73 m., até o vértice **295**, de coordenadas **N 8.241.143,26** m. e **E 200.800,24** m.; deste, segue com azimute de 40°47'41" e distância de 33,49 m., até o vértice **296**, de coordenadas **N 8.241.168,61** m. e **E 200.822,12** m.; deste, segue com azimute de 28°29'44" e distância de 13,83 m., até o vértice **297**, de coordenadas **N 8.241.180,77** m. e **E 200.828,72** m.; deste, segue com azimute de 5°26'24" e distância de 7,33 m., até o vértice **298**, de coordenadas **N 8.241.188,06** m. e **E 200.829,41** m.; deste, segue com azimute de 342°38'45" e distância de 11,64 m., até o vértice **299**, de coordenadas **N 8.241.199,18** m. e **E 200.825,94** m.; deste, segue com azimute de 318°28'07" e distância de 16,24 m., até o vértice **300**, de coordenadas **N 8.241.211,34** m. e **E 200.815,17** m.; deste, segue com azimute de 293°11'54" e distância de 13,23 m., até o vértice **301**, de coordenadas **N 8.241.216,55** m. e **E 200.803,02** m.; deste, segue com azimute de 286°20'10" e distância de 20,99 m., até o vértice **302**, de coordenadas **N 8.241.222,45** m. e **E 200.782,87** m.; deste,



SRL - PLC 0019/2019 folha 000179

segue com azimute de 294°10'44" e distância de 18,66 m., até o vértice **303**, de coordenadas **N 8.241.230,09** m. e **E 200.765,85** m.; deste, segue com azimute de 317°54'39" e distância de 14,51 m., até o vértice **304**, de coordenadas **N 8.241.240,86** m. e **E 200.756,13** m.; deste, segue com azimute de 332°49'08" e distância de 14,45 m., até o vértice **305**, de coordenadas **N 8.241.253,71** m. e **E 200.749,53** m.; deste, segue com azimute de 338°29'55" e distância de 12,32 m., até o vértice **306**, de coordenadas **N 8.241.265,17** m. e **E 200.745,01** m.; deste, segue com azimute de 9°27'44" e distância de 10,56 m., até o vértice **307**, de coordenadas **N 8.241.275,59** m. e **E 200.746,75** m.; deste, segue com azimute de 315°30'17" e distância de 72,50 m., até o vértice **308**, de coordenadas **N 8.241.327,31** m. e **E 200.695,93** m.; deste, segue com azimute de 299°11'51" e distância de 43,11 m., até o vértice **309**, de coordenadas **N 8.241.348,34** m. e **E 200.658,30** m.; deste, segue com azimute de 6°22'02" e distância de 51,90 m., até o vértice **310**, de coordenadas **N 8.241.399,92** m. e **E 200.664,05** m.; deste, segue com azimute de 349°36'03" e distância de 60,10 m., até o vértice **311**, de coordenadas **N 8.241.459,03** m. e **E 200.653,21** m.; deste, segue com azimute de 355°18'11" e distância de 22,81 m., até o vértice **312**, de coordenadas **N 8.241.481,77** m. e **E 200.651,34** m.; deste, segue com azimute de 8°29'20" e distância de 20,16 m., até o vértice **313**, de coordenadas **N 8.241.501,71** m. e **E 200.654,31** m.; deste, segue com azimute de 9°07'49" e distância de 18,76 m., até o vértice **314**, de coordenadas **N 8.241.520,24** m. e **E 200.657,29** m.; deste, segue com azimute de 13°47'58" e distância de 19,41 m., até o vértice **315**, de coordenadas **N 8.241.539,09** m. e **E 200.661,92** m.; deste, segue com azimute de 17°14'30" e distância de 20,08 m., até o vértice **316**, de coordenadas **N 8.241.558,27** m. e **E 200.667,87** m.; deste, segue com azimute de 21°17'50" e distância de 20,94 m., até o vértice **317**, de coordenadas **N 8.241.577,78** m. e **E 200.675,48** m.; deste, segue com azimute de 299°57'01" e distância de 24,05 m., até o vértice **318**, de coordenadas **N 8.241.589,79** m. e **E 200.654,65** m.; deste, segue com azimute de 298°28'27" e distância de 22,20 m., até o vértice **319**, de coordenadas **N 8.241.600,37** m. e **E 200.635,13** m.; deste, segue com azimute de 295°37'19" e distância de 35,95 m., até o vértice **320**, de coordenadas **N 8.241.615,92** m. e **E 200.602,72** m.; deste, segue com azimute de 300°49'39" e distância de 23,88 m., até o vértice **321**, de coordenadas **N 8.241.628,15** m. e **E 200.582,22** m.; deste, segue com azimute de 304°30'31" e distância de 25,69 m., até o vértice **322**, de coordenadas **N 8.241.642,70** m. e **E 200.561,05** m.; deste, segue com azimute de 320°34'20" e distância de 19,27 m., até o vértice **323**, de coordenadas **N 8.241.657,59** m. e **E 200.548,81** m.; deste, segue com azimute de 333°26'06" e distância de 28,84 m., até o vértice **324**, de coordenadas **N 8.241.683,38** m. e **E 200.535,91** m.; deste,



SPL - PLC 0019/2019 folha 000180

segue com azimute de 351°09'29" e distância de 30,12 m., até o vértice **325**, de coordenadas **N 8.241.713,15** m. e **E 200.531,28** m.; deste, segue com azimute de 3°12'56" e distância de 29,48 m., até o vértice **326**, de coordenadas **N 8.241.742,58** m. e **E 200.532,94** m.; deste, segue com azimute de 11°08'35" e distância de 22,25 m., até o vértice **327**, de coordenadas **N 8.241.764,41** m. e **E 200.537,24** m.; deste, segue com azimute de 7°00'59" e distância de 21,66 m., até o vértice **328**, de coordenadas **N 8.241.785,91** m. e **E 200.539,88** m.; deste, segue com azimute de 1°44'56" e distância de 23,75 m., até o vértice **329**, de coordenadas **N 8.241.809,65** m. e **E 200.540,61** m.; deste, segue com azimute de 355°54'53" e distância de 9,28 m., até o vértice **330**, de coordenadas **N 8.241.818,91** m. e **E 200.539,95** m.; deste, segue com azimute de 7°45'54" e distância de 14,69 m., até o vértice **331**, de coordenadas **N 8.241.833,46** m. e **E 200.541,93** m.; deste, segue com azimute de 12°18'29" e distância de 18,62 m., até o vértice **332**, de coordenadas **N 8.241.851,65** m. e **E 200.545,90** m.; deste, segue com azimute de 30°01'06" e distância de 17,19 m., até o vértice **333**, de coordenadas **N 8.241.866,53** m. e **E 200.554,50** m.; deste, segue com azimute de 31°13'05" e distância de 8,14 m., até o vértice **334**, de coordenadas **N 8.241.873,49** m. e **E 200.558,72** m.; deste, segue com azimute de 31°13'08" e distância de 4,62 m., até o vértice **335**, de coordenadas **N 8.241.877,45** m. e **E 200.561,11** m.; deste, segue com azimute de 21°48'04" e distância de 10,69 m., até o vértice **336**, de coordenadas **N 8.241.887,37** m. e **E 200.565,08** m.; deste, segue com azimute de 11°06'39" e distância de 16,66 m., até o vértice **337**, de coordenadas **N 8.241.903,71** m. e **E 200.568,29** m.; deste, segue com azimute de 356°35'01" e distância de 9,57 m., até o vértice **338**, de coordenadas **N 8.241.913,27** m. e **E 200.567,72** m.; deste, segue com azimute de 353°18'39" e distância de 23,26 m., até o vértice **339**, de coordenadas **N 8.241.936,37** m. e **E 200.565,01** m.; deste, segue com azimute de 355°16'11" e distância de 12,11 m., até o vértice **340**, de coordenadas **N 8.241.948,44** m. e **E 200.564,01** m.; deste, segue com azimute de 0°30'09" e distância de 16,26 m., até o vértice **341**, de coordenadas **N 8.241.964,69** m. e **E 200.564,16** m.; deste, segue com azimute de 4°42'29" e distância de 12,16 m., até o vértice **342**, de coordenadas **N 8.241.976,81** m. e **E 200.565,15** m.; deste, segue com azimute de 11°27'31" e distância de 10,77 m., até o vértice **343**, de coordenadas **N 8.241.987,37** m. e **E 200.567,29** m.; deste, segue com azimute de 15°06'04" e distância de 9,31 m., até o vértice **344**, de coordenadas **N 8.241.996,35** m. e **E 200.569,72** m.; deste, segue com azimute de 23°05'48" e distância de 10,54 m., até o vértice **345**, de coordenadas **N 8.242.006,05** m. e **E 200.573,85** m.; deste, segue com azimute de 32°51'21" e distância de 8,15 m., até o vértice **346**, de coordenadas **N 8.242.012,89** m. e **E 200.578,27** m.; deste,



SFL - PLC 0019/2019 folha 000181

segue com azimute de 34°15'39" e distância de 11,91 m., até o vértice **347**, de coordenadas **N 8.242.022,73** m. e **E 200.584,98** m.; deste, segue com azimute de 39°55'56" e distância de 14,04 m., até o vértice **348**, de coordenadas **N 8.242.033,50** m. e **E 200.593,99** m.; deste, segue com azimute de 35°10'00" e distância de 15,35 m., até o vértice **349**, de coordenadas **N 8.242.046,05** m. e **E 200.602,83** m.; deste, segue com azimute de 40°24'00" e distância de 17,60 m., até o vértice **350**, de coordenadas **N 8.242.059,45** m. e **E 200.614,24** m.; deste, segue com azimute de 45°35'26" e distância de 19,56 m., até o vértice **351**, de coordenadas **N 8.242.073,15** m. e **E 200.628,22** m.; deste, segue com azimute de 43°06'41" e distância de 9,18 m., até o vértice **352**, de coordenadas **N 8.242.079,85** m. e **E 200.634,49** m.; deste, segue com azimute de 36°53'01" e distância de 23,93 m., até o vértice **353**, de coordenadas **N 8.242.098,99** m. e **E 200.648,85** m.; deste, segue com azimute de 28°24'06" e distância de 21,89 m., até o vértice **354**, de coordenadas **N 8.242.118,24** m. e **E 200.659,26** m.; deste, segue com azimute de 24°39'58" e distância de 16,74 m., até o vértice **355**, de coordenadas **N 8.242.133,45** m. e **E 200.666,25** m.; deste, segue com azimute de 10°00'27" e distância de 4,92 m., até o vértice **356**, de coordenadas **N 8.242.138,30** m. e **E 200.667,10** m.; deste, segue com azimute de 357°33'49" e distância de 13,42 m., até o vértice **357**, de coordenadas **N 8.242.151,71** m. e **E 200.666,53** m.; deste, segue com azimute de 342°01'50" e distância de 11,09 m., até o vértice **358**, de coordenadas **N 8.242.162,26** m. e **E 200.663,11** m.; deste, segue com azimute de 323°24'33" e distância de 11,72 m., até o vértice **359**, de coordenadas **N 8.242.171,67** m. e **E 200.656,12** m.; deste, segue com azimute de 312°50'36" e distância de 16,88 m., até o vértice **360**, de coordenadas **N 8.242.183,15** m. e **E 200.643,74** m.; deste, segue com azimute de 316°16'23" e distância de 18,16 m., até o vértice **361**, de coordenadas **N 8.242.196,27** m. e **E 200.631,20** m.; deste, segue com azimute de 330°24'27" e distância de 13,28 m., até o vértice **362**, de coordenadas **N 8.242.207,82** m. e **E 200.624,64** m.; deste, segue com azimute de 338°31'26" e distância de 9,35 m., até o vértice **363**, de coordenadas **N 8.242.216,52** m. e **E 200.621,21** m.; deste, segue com azimute de 348°52'14" e distância de 8,87 m., até o vértice **364**, de coordenadas **N 8.242.225,22** m. e **E 200.619,50** m.; deste, segue com azimute de 6°14'30" e distância de 9,18 m., até o vértice **365**, de coordenadas **N 8.242.234,35** m. e **E 200.620,50** m.; deste, segue com azimute de 15°51'57" e distância de 14,08 m., até o vértice **366**, de coordenadas **N 8.242.247,90** m. e **E 200.624,35** m.; deste, segue com azimute de 18°47'48" e distância de 9,29 m., até o vértice **367**, de coordenadas **N 8.242.256,70** m. e **E 200.627,35** m.; deste, segue com azimute de 20°38'00" e distância de 24,69 m., até o vértice **368**, de coordenadas **N 8.242.279,80** m. e **E 200.636,04** m.; deste,



SPL - PLC 0019/2019 folha 000182

segue com azimute de 15°23'44" e distância de 20,41 m., até o vértice **369**, de coordenadas **N 8.242.299,48** m. e **E 200.641,46** m.; deste, segue com azimute de 8°15'35" e distância de 8,93 m., até o vértice **370**, de coordenadas **N 8.242.308,32** m. e **E 200.642,75** m.; deste, segue com azimute de 357°42'33" e distância de 17,84 m., até o vértice **371**, de coordenadas **N 8.242.326,15** m. e **E 200.642,03** m.; deste, segue com azimute de 349°55'10" e distância de 22,81 m., até o vértice **372**, de coordenadas **N 8.242.348,61** m. e **E 200.638,04** m.; deste, segue com azimute de 342°43'42" e distância de 35,54 m., até o vértice **373**, de coordenadas **N 8.242.382,55** m. e **E 200.627,49** m.; deste, segue com azimute de 315°58'15" e distância de 23,80 m., até o vértice **374**, de coordenadas **N 8.242.399,66** m. e **E 200.610,95** m.; deste, segue com azimute de 233°35'06" e distância de 93,65 m., até o vértice **375**, de coordenadas **N 8.242.344,07** m. e **E 200.535,58** m.; deste, segue com azimute de 235°00'15" e distância de 100,90 m., até o vértice **376**, de coordenadas **N 8.242.286,20** m. e **E 200.452,93** m.; deste, segue com azimute de 235°00'15" e distância de 107,58 m., até o vértice **377**, de coordenadas **N 8.242.224,50** m. e **E 200.364,80** m.; deste, segue com azimute de 262°58'53" e distância de 77,80 m., até o vértice **378**, de coordenadas **N 8.242.215,00** m. e **E 200.287,59** m.; deste, segue com azimute de 271°48'18" e distância de 52,68 m., até o vértice **379**, de coordenadas **N 8.242.216,65** m. e **E 200.234,94** m.; deste, segue com azimute de 269°43'23" e distância de 27,63 m., até o vértice **380**, de coordenadas **N 8.242.216,52** m. e **E 200.207,31** m.; deste, segue com azimute de 269°43'24" e distância de 41,69 m., até o vértice **381**, de coordenadas **N 8.242.216,32** m. e **E 200.165,62** m.; deste, segue com azimute de 268°49'22" e distância de 59,82 m., até o vértice **382**, de coordenadas **N 8.242.215,09** m. e **E 200.105,81** m.; deste, segue com azimute de 264°26'12" e distância de 20,86 m., até o vértice **383**, de coordenadas **N 8.242.213,07** m. e **E 200.085,05** m.; deste, segue com azimute de 262°15'29" e distância de 45,04 m., até o vértice **384**, de coordenadas **N 8.242.207,00** m. e **E 200.040,42** m.; deste, segue com azimute de 261°56'35" e distância de 59,64 m., até o vértice **385**, de coordenadas **N 8.242.198,64** m. e **E 199.981,37** m.; deste, segue com azimute de 266°18'36" e distância de 27,23 m., até o vértice **386**, de coordenadas **N 8.242.196,89** m. e **E 199.954,19** m.; deste, segue com azimute de 271°06'16" e distância de 30,82 m., até o vértice **387**, de coordenadas **N 8.242.197,48** m. e **E 199.923,38** m.; deste, segue com azimute de 271°06'19" e distância de 2,48 m., até o vértice **388**, de coordenadas **N 8.242.197,53** m. e **E 199.920,90** m.; deste, segue com azimute de 288°46'39" e distância de 4,24 m., até o vértice **389**, de coordenadas **N 8.242.198,90** m. e **E 199.916,88** m.; ponto situado ás margens do Córrego Mato Grande deste, segue margeando o Córrego Mato Grande, até o vértice **1**, de coordenadas **N**



SFL - PLC 0019/2019 folha 000183

**8.242.912,62** m. e **E 201.026,22** m.**;** ponto inicial da descrição deste perímetro.Todos os azimutes e distâncias, áreas e perímetros foram calculados no plano de projeção UTM. Todas as coordenadas aqui descritas estão georreferenciadas ao Sistema Geodésico Brasileiro e encontram-se representadas no Sistema UTM, referenciadas ao **Meridiano Central 45° WGr, Fuso 23**, tendo como o *Datum* o **SICAD-SIRGAS 2000.** Todos os azimutes e distâncias, áreas e perímetros foram calculados no plano de projeção UTM.



SFL - PLC 0019/2019 folha 000184

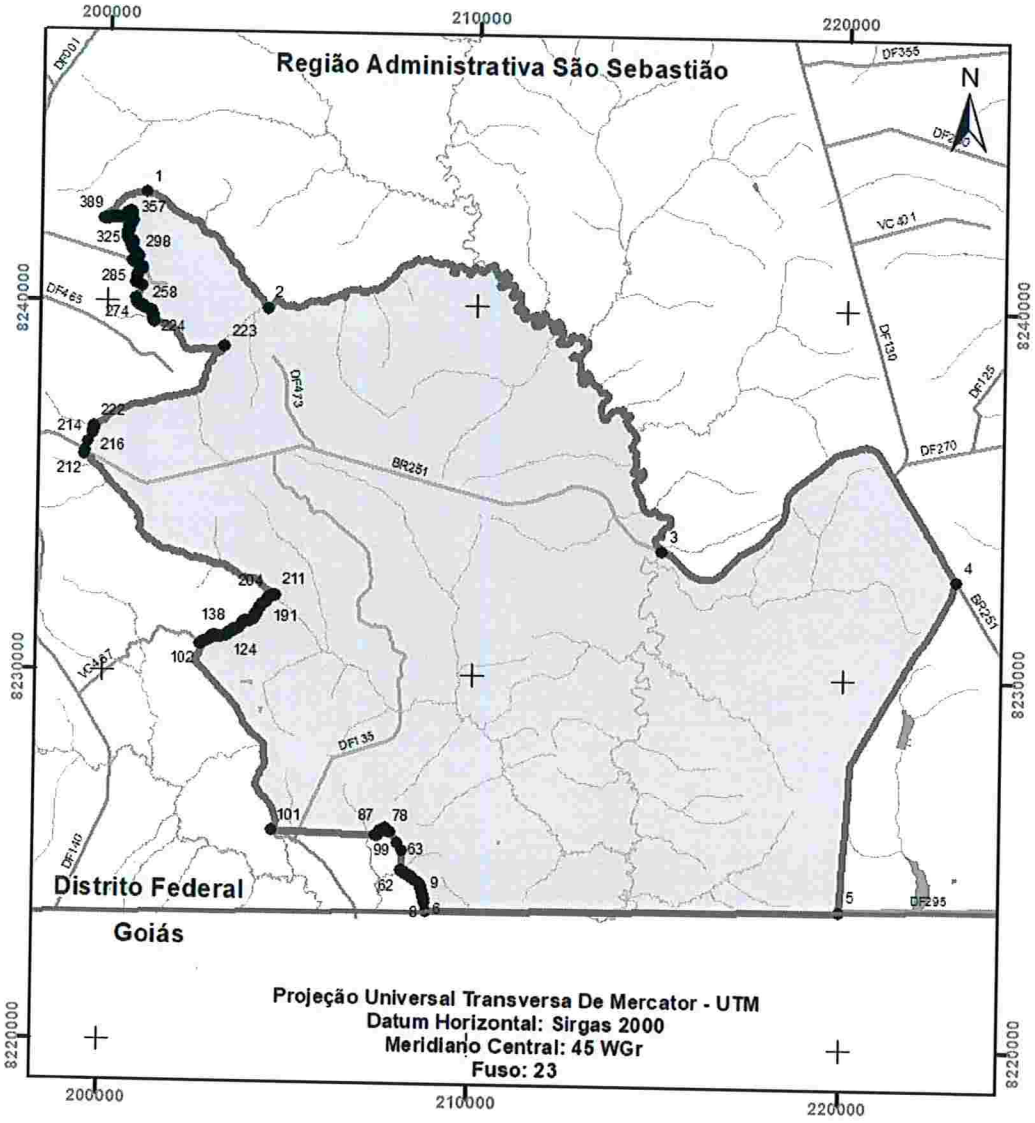




SPL - PLC 0019/2019 folha 000185

# MEMORIAL DESCRITIVO

## RECANTO DAS EMAS – RA XV

Perímetro: 75.933,109 m  Área: 10.261,851 ha

Inicia-se a descrição deste perímetro no vértice **1**, de coordenadas **N 8.241.670,45** m. e **E 172.245,40** m., situado no ponto de interseção entre o eixo da Rodovia BR-060 e o eixo da Rodovia DF-001, deste segue pela Rodovia DF-001 até o vértice **2**, de coordenadas **N 8.234.729,91** m. e **E 174.717,48 m.,** situado no ponto de interseção entre o eixo da Rodovia DF-001 e o eixo da Rodovia DF-475; deste segue pela Rodovia DF-475 até o vértice **3**, de coordenadas **N 8.233.869,02** m. e **E 173.679,10 m.,** situado no ponto de interseção entre o eixo da Rodovia DF-475 e o eixo da Rodovia DF-341; deste segue pela Rodovia DF-341 até o vértice 4, de coordenadas **N 8.234.412,18** m. e **E 172.154,74 m.;** deste, segue com azimute de 300°43'32" e distância de 6,24 m., até o vértice **5**, de coordenadas **N 8.234.415,36** m. e **E 172.149,37 m.;** deste, segue com azimute de 300°43'39" e distância de 16,48 m., até o vértice **6**, de coordenadas **N 8.234.423,78** m. e **E 172.135,21 m.;** deste, segue com azimute de 300°43'35" e distância de 7,54 m., até o vértice **7**, de coordenadas **N 8.234.427,63** m. e **E 172.128,73 m.;** deste, segue com azimute de 290°15'39" e distância de 7,76 m., até o vértice **8**, de coordenadas **N 8.234.430,32** m. e **E 172.121,44 m.;** deste, segue com azimute de 311°27'45" e distância de 10,99 m., até o vértice **9**, de coordenadas **N 8.234.437,60** m. e **E 172.113,21 m.;** deste, segue com azimute de 300°11'32" e distância de 15,62 m., até o vértice **10**, de coordenadas **N 8.234.445,45** m. e **E 172.099,71 m.;** deste, segue com azimute de 300°11'35" e distância de 3,25 m., até o vértice **11**, de coordenadas **N 8.234.447,09** m. e **E 172.096,90 m.;** deste, segue com azimute de 301°41'21" e distância de 13,80 m., até o vértice **12**, de coordenadas **N 8.234.454,33** m. e **E 172.085,16 m.;** deste, segue com azimute de 301°41'21" e distância de 44,71 m., até o vértice **13**, de coordenadas **N 8.234.477,82** m. e **E 172.047,12 m.;** deste, segue com azimute de 302°20'08" e distância de 111,07 m., até o vértice **14**, de coordenadas **N 8.234.537,22** m. e **E 171.953,28 m.;** deste, segue com azimute de 302°20'08" e distância de 75,51 m., até o vértice **15**, de coordenadas **N 8.234.577,61** m. e **E 171.889,48 m.;** deste, segue com azimute de 302°58'24" e distância de 46,00 m., até o vértice **16**, de coordenadas **N 8.234.602,65** m. e **E 171.850,89 m.;** deste, segue com azimute de 300°55'47" e distância de 50,28 m., até o vértice **17**, de coordenadas **N 8.234.628,49** m. e **E 171.807,76 m.;** deste, segue com azimute de 302°40'58" e distância de 133,62 m., até o vértice **18**, de coordenadas **N 8.234.700,64** m. e **E 171.695,30 m.;** deste, segue com azimute



SPL - PLC 0019/2019 folha 000186

de 302°49'39" e distância de 39,61 m., até o vértice **19**, de coordenadas **N 8.234.722,12** m. e **E 171.662,01** m.; deste, segue com azimute de 301°16'52" e distância de 84,80 m., até o vértice **20**, de coordenadas **N 8.234.766,15** m. e **E 171.589,54** m.; deste, segue com azimute de 300°14'42" e distância de 31,32 m., até o vértice **21**, de coordenadas **N 8.234.781,92** m. e **E 171.562,48** m.; deste, segue com azimute de 300°58'32" e distância de 106,98 m., até o vértice **22**, de coordenadas **N 8.234.836,98** m. e **E 171.470,76** m.; deste, segue com azimute de 300°40'44" e distância de 9,12 m., até o vértice **23**, de coordenadas **N 8.234.841,64** m. e **E 171.462,91** m.; deste, segue com azimute de 300°40'42" e distância de 53,15 m., até o vértice **24**, de coordenadas **N 8.234.868,76** m. e **E 171.417,20** m.; deste, segue com azimute de 306°40'24" e distância de 11,74 m., até o vértice **25**, de coordenadas **N 8.234.875,77** m. e **E 171.407,78** m.; deste, segue com azimute de 302°49'30" e distância de 17,30 m., até o vértice **26**, de coordenadas **N 8.234.885,15** m. e **E 171.393,24** m.; deste, segue com azimute de 302°24'07" e distância de 17,22 m., até o vértice **27**, de coordenadas **N 8.234.894,37** m. e **E 171.378,71** m.; deste, segue com azimute de 301°53'03" e distância de 13,34 m., até o vértice **28**, de coordenadas **N 8.234.901,42** m. e **E 171.367,38** m.; deste, segue com azimute de 301°53'04" e distância de 100,14 m., até o vértice **29**, de coordenadas **N 8.234.954,32** m. e **E 171.282,35** m.; deste, segue com azimute de 302°01'33" e distância de 16,84 m., até o vértice **30**, de coordenadas **N 8.234.963,25** m. e **E 171.268,07** m.; deste, segue com azimute de 302°01'33" e distância de 107,52 m., até o vértice **31**, de coordenadas **N 8.235.020,27** m. e **E 171.176,91** m.; deste, segue com azimute de 302°03'47" e distância de 9,33 m., até o vértice **32**, de coordenadas **N 8.235.025,22** m. e **E 171.169,00** m.; deste, segue com azimute de 302°03'48" e distância de 172,09 m., até o vértice **33**, de coordenadas **N 8.235.116,58** m. e **E 171.023,16** m.; deste, segue com azimute de 302°26'42" e distância de 96,15 m., até o vértice **34**, de coordenadas **N 8.235.168,16** m. e **E 170.942,02** m.; deste, segue com azimute de 300°06'15" e distância de 46,06 m., até o vértice **35**, de coordenadas **N 8.235.191,26** m. e **E 170.902,17** m.; deste, segue com azimute de 299°10'57" e distância de 16,96 m., até o vértice **36**, de coordenadas **N 8.235.199,53** m. e **E 170.887,36** m.; deste, segue com azimute de 300°02'33" e distância de 37,73 m., até o vértice **37**, de coordenadas **N 8.235.218,42** m. e **E 170.854,70** m.; deste, segue com azimute de 305°30'21" e distância de 15,64 m., até o vértice **38**, de coordenadas **N 8.235.227,51** m. e **E 170.841,97** m.; deste, segue com azimute de 303°53'08" e distância de 54,76 m., até o vértice **39**, de coordenadas **N 8.235.258,04** m. e **E 170.796,51** m.; deste, segue com azimute de 306°30'02" e distância de 3,08 m., até o vértice **40**, de coordenadas **N 8.235.259,87** m. e **E 170.794,03** m.; deste, segue com azimute



SPL - PLC 0019/2019 folha 000187

de 306°29'44" e distância de 7,24 m., até o vértice **41**, de coordenadas **N 8.235.264,18** m. e **E 170.788,21** m.; deste, segue com azimute de 306°29'46" e distância de 19,16 m., até o vértice **42**, de coordenadas **N 8.235.275,58** m. e **E 170.772,80** m.; deste, segue com azimute de 307°11'25" e distância de 47,23 m., até o vértice **43**, de coordenadas **N 8.235.304,13** m. e **E 170.735,18** m.; deste, segue com azimute de 303°13'24" e distância de 16,07 m., até o vértice **44**, de coordenadas **N 8.235.312,93** m. e **E 170.721,74** m.; deste, segue com azimute de 297°20'26" e distância de 21,08 m., até o vértice **45**, de coordenadas **N 8.235.322,61** m. e **E 170.703,01** m.; deste, segue com azimute de 294°54'01" e distância de 20,26 m., até o vértice **46**, de coordenadas **N 8.235.331,14** m. e **E 170.684,63** m.; deste, segue com azimute de 294°11'03" e distância de 15,04 m., até o vértice **47**, de coordenadas **N 8.235.337,30** m. e **E 170.670,91** m.; deste, segue com azimute de 290°18'55" e distância de 42,95 m., até o vértice **48**, de coordenadas **N 8.235.352,22** m. e **E 170.630,63** m.; deste, segue com azimute de 289°22'13" e distância de 54,58 m., até o vértice **49**, de coordenadas **N 8.235.370,32** m. e **E 170.579,14** m.; deste, segue com azimute de 287°13'19" e distância de 65,01 m., até o vértice **50**, de coordenadas **N 8.235.389,57** m. e **E 170.517,04** m.; deste, segue com azimute de 282°48'51" e distância de 24,00 m., até o vértice **51**, de coordenadas **N 8.235.394,89** m. e **E 170.493,64** m.; deste, segue com azimute de 281°59'52" e distância de 22,26 m., até o vértice **52**, de coordenadas **N 8.235.399,52** m. e **E 170.471,86** m.; deste, segue com azimute de 280°34'10" e distância de 21,45 m., até o vértice **53**, de coordenadas **N 8.235.403,45** m. e **E 170.450,78** m.; deste, segue com azimute de 274°44'24" e distância de 22,63 m., até o vértice **54**, de coordenadas **N 8.235.405,32** m. e **E 170.428,22** m.; deste, segue com azimute de 274°02'00" e distância de 21,77 m., até o vértice **55**, de coordenadas **N 8.235.406,85** m. e **E 170.406,51** m.; deste, segue com azimute de 263°07'33" e distância de 14,92 m., até o vértice **56**, de coordenadas **N 8.235.405,07** m. e **E 170.391,69** m.; deste, segue com azimute de 260°25'42" e distância de 19,95 m., até o vértice **57**, de coordenadas **N 8.235.401,75** m. e **E 170.372,02** m.; deste, segue com azimute de 258°07'39" e distância de 56,32 m., até o vértice **58**, de coordenadas **N 8.235.390,16** m. e **E 170.316,90** m.; deste, segue com azimute de 254°00'39" e distância de 28,49 m., até o vértice **59**, de coordenadas **N 8.235.382,32** m. e **E 170.289,51** m.; deste, segue com azimute de 251°19'58" e distância de 16,11 m., até o vértice **60**, de coordenadas **N 8.235.377,16** m. e **E 170.274,25** m.; deste, segue com azimute de 253°57'41" e distância de 12,37 m., até o vértice **61**, de coordenadas **N 8.235.373,74** m. e **E 170.262,36** m.; deste, segue com azimute de 248°20'27" e distância de 9,27 m., até o vértice **62**, de coordenadas **N 8.235.370,32** m. e **E 170.253,75** m.; deste, segue com azimute



SFL - PLC 0019/2019 folha 000188

de 248°20'27" e distância de 12,83 m., até o vértice **63**, de coordenadas **N 8.235.365,58** m. e **E 170.241,82** m.; deste, segue com azimute de 243°57'04" e distância de 12,95 m., até o vértice **64**, de coordenadas **N 8.235.359,90** m. e **E 170.230,19** m.; deste, segue com azimute de 243°07'09" e distância de 26,97 m., até o vértice **65**, de coordenadas **N 8.235.347,70** m. e **E 170.206,13** m.; deste, segue com azimute de 238°37'50" e distância de 22,32 m., até o vértice **66**, de coordenadas **N 8.235.336,08** m. e **E 170.187,07** m.; deste, segue com azimute de 233°46'42" e distância de 23,01 m., até o vértice **67**, de coordenadas **N 8.235.322,48** m. e **E 170.168,50** m.; deste, segue com azimute de 228°31'14" e distância de 31,43 m., até o vértice **68**, de coordenadas **N 8.235.301,67** m. e **E 170.144,96** m.; deste, segue com azimute de 226°36'32" e distância de 38,03 m., até o vértice **69**, de coordenadas **N 8.235.275,54** m. e **E 170.117,32** m.; deste, segue com azimute de 222°05'42" e distância de 22,49 m., até o vértice **70**, de coordenadas **N 8.235.258,86** m. e **E 170.102,25** m.; deste, segue com azimute de 221°48'33" e distância de 27,87 m., até o vértice **71**, de coordenadas **N 8.235.238,08** m. e **E 170.083,67** m.; deste, segue com azimute de 221°47'24" e distância de 25,23 m., até o vértice **72**, de coordenadas **N 8.235.219,28** m. e **E 170.066,86** m.; deste, segue com azimute de 220°19'00" e distância de 72,57 m., até o vértice **73**, de coordenadas **N 8.235.163,94** m. e **E 170.019,91** m.; deste, segue com azimute de 220°19'00" e distância de 63,29 m., até o vértice **74**, de coordenadas **N 8.235.115,69** m. e **E 169.978,96** m.; deste, segue com azimute de 218°08'08" e distância de 50,70 m., até o vértice **75**, de coordenadas **N 8.235.075,81** m. e **E 169.947,65** m.; deste, segue com azimute de 252°35'36" e distância de 5,16 m., até o vértice **76**, de coordenadas **N 8.235.074,27** m. e **E 169.942,73** m.; deste, segue com azimute de 276°16'22" e distância de 11,47 m., até o vértice **77**, de coordenadas **N 8.235.075,52** m. e **E 169.931,33** m.; deste, segue com azimute de 300°48'54" e distância de 12,55 m., até o vértice **78**, de coordenadas **N 8.235.081,95** m. e **E 169.920,55** m.; deste, segue com azimute de 307°36'22" e distância de 52,14 m., até o vértice **79**, de coordenadas **N 8.235.113,77** m. e **E 169.879,24** m.; deste, segue com azimute de 308°11'44" e distância de 186,64 m., até o vértice **80**, de coordenadas **N 8.235.229,18** m. e **E 169.732,56** m.; deste, segue com azimute de 308°11'44" e distância de 129,52 m., até o vértice **81**, de coordenadas **N 8.235.309,26** m. e **E 169.630,77** m.; deste, segue com azimute de 308°11'44" e distância de 98,74 m., até o vértice **82**, de coordenadas **N 8.235.370,32** m. e **E 169.553,17** m.; deste, segue com azimute de 308°11'44" e distância de 57,70 m., até o vértice **83**, de coordenadas **N 8.235.406,00** m. e **E 169.507,82** m.; deste, segue com azimute de 308°04'01" e distância de 86,28 m., até o vértice **84**, de coordenadas **N 8.235.459,20** m. e **E 169.439,89** m.; deste, segue com azimute



SRL - PLC 0019/2019 folha 000189

de 307°05'38" e distância de 39,06 m., até o vértice **85**, de coordenadas **N 8.235.482,76** m. e **E 169.408,74** m.; deste, segue com azimute de 307°05'37" e distância de 12,75 m., até o vértice **86**, de coordenadas **N 8.235.490,44** m. e **E 169.398,57** m.; deste, segue com azimute de 309°00'42" e distância de 3,70 m., até o vértice **87**, de coordenadas **N 8.235.492,78** m. e **E 169.395,69** m.; deste, segue com azimute de 309°00'46" e distância de 4,02 m., até o vértice **88**, de coordenadas **N 8.235.495,31** m. e **E 169.392,57** m.; deste, segue com azimute de 309°00'42" e distância de 10,25 m., até o vértice **89**, de coordenadas **N 8.235.501,76** m. e **E 169.384,60** m.; deste, segue com azimute de 309°00'42" e distância de 13,41 m., até o vértice **90**, de coordenadas **N 8.235.510,20** m. e **E 169.374,18** m.; deste, segue com azimute de 309°00'42" e distância de 42,89 m., até o vértice **91**, de coordenadas **N 8.235.537,20** m. e **E 169.340,85** m.; deste, segue com azimute de 309°00'43" e distância de 21,41 m., até o vértice **92**, de coordenadas **N 8.235.550,68** m. e **E 169.324,21** m.; deste, segue com azimute de 309°00'43" e distância de 268,98 m., até o vértice **93**, de coordenadas **N 8.235.720,00** m. e **E 169.115,21** m.; deste, segue com azimute de 309°00'43" e distância de 124,41 m., até o vértice **94**, de coordenadas **N 8.235.798,31** m. e **E 169.018,55** m.; deste, segue com azimute de 348°39'53" e distância de 34,58 m., até o vértice **95**, de coordenadas **N 8.235.832,22** m. e **E 169.011,75** m.; deste, segue com azimute de 348°39'53" e distância de 28,14 m., até o vértice **96**, de coordenadas **N 8.235.859,81** m. e **E 169.006,22** m.; deste, segue com azimute de 322°56'36" e distância de 61,40 m., até o vértice **97**, de coordenadas **N 8.235.908,81** m. e **E 168.969,22** m.; deste, segue com azimute de 318°21'37" e distância de 74,26 m., até o vértice **98**, de coordenadas **N 8.235.964,31** m. e **E 168.919,88** m.; deste, segue com azimute de 305°40'51" e distância de 53,15 m., até o vértice **99**, de coordenadas **N 8.235.995,31** m. e **E 168.876,70** m.; deste, segue com azimute de 298°15'14" e distância de 55,08 m., até o vértice **100**, de coordenadas **N 8.236.021,39** m. e **E 168.828,18** m.; deste, segue com azimute de 298°15'14" e distância de 132,46 m., até o vértice **101**, de coordenadas **N 8.236.084,09** m. e **E 168.711,50** m.; deste, segue com azimute de 298°15'14" e distância de 36,71 m., até o vértice **102**, de coordenadas **N 8.236.101,47** m. e **E 168.679,17** m.; deste, segue com azimute de 262°57'59" e distância de 1,52 m., até o vértice **103**, de coordenadas **N 8.236.101,28** m. e **E 168.677,66** m.; deste, segue com azimute de 228°34'19" e distância de 1,20 m., até o vértice **104**, de coordenadas **N 8.236.100,49** m. e **E 168.676,76** m.; deste, segue com azimute de 237°59'49" e distância de 0,50 m., até o vértice **105**, de coordenadas **N 8.236.100,22** m. e **E 168.676,34** m.; deste, segue com azimute de 263°17'33" e distância de 0,91 m., até o vértice **106**, de coordenadas **N 8.236.100,12** m. e **E 168.675,44** m.; deste,



SPL - PLC 0019/2019 folha 000190

segue com azimute de 263°39'42" e distância de 0,96 m., até o vértice **107**, de coordenadas **N 8.236.100,01** m. e **E 168.674,48 m.;** deste, segue com azimute de 235°18'05" e distância de 0,84 m., até o vértice **108**, de coordenadas **N 8.236.099,53** m. e **E 168.673,80 m.;** deste, segue com azimute de 218°39'40" e distância de 0,68 m., até o vértice **109**, de coordenadas **N 8.236.099,00** m. e **E 168.673,37 m.;** deste, segue com azimute de 259°41'21" e distância de 0,59 m., até o vértice **110**, de coordenadas **N 8.236.098,90** m. e **E 168.672,79 m.;** deste, segue com azimute de 257°11'43" e distância de 1,19 m., até o vértice **111**, de coordenadas **N 8.236.098,63** m. e **E 168.671,63 m.;** deste, segue com azimute de 246°02'21" e distância de 1,04 m., até o vértice **112**, de coordenadas **N 8.236.098,21** m. e **E 168.670,67 m.;** deste, segue com azimute de 248°11'50" e distância de 0,85 m., até o vértice **113**, de coordenadas **N 8.236.097,89** m. e **E 168.669,88 m.;** deste, segue com azimute de 237°05'40" e distância de 1,07 m., até o vértice **114**, de coordenadas **N 8.236.097,31** m. e **E 168.668,98 m.;** deste, segue com azimute de 236°45'59" e distância de 2,18 m., até o vértice **115**, de coordenadas **N 8.236.096,11** m. e **E 168.667,15 m.,** situado no ponto às margens do Córrego Monjolo; deste segue margeando o Córrego Monjolo, até o vértice **116**, de coordenadas **N 8.233.457,67** m. e **E 165.758,39 m.,** ponto de confluência entre o Córrego Monjolo e o Rio Ponte Alta; deste segue margeando o Rio Ponte Alta até o vértice **117**, de coordenadas **N 8.234.912,71** m. e **E 165.041,69 m.,** ponto de confluência entre o Rio Ponte Alta e o Córrego Capoeira Grande; deste segue margeando o Córrego Capoeira Grande até o vértice **118**, de coordenadas **N 8.234.391,08** m. e **E 162.430,97 m.;** deste, segue com azimute de 235°42'51" e distância de 60,24 m., até o vértice **119**, de coordenadas **N 8.234.357,14** m. e **E 162.381,20 m.;** deste, segue com azimute de 356°07'55" e distância de 9,45 m., até o vértice **120**, de coordenadas **N 8.234.366,57** m. e **E 162.380,56 m.;** deste, segue com azimute de 356°07'55" e distância de 90,46 m., até o vértice **121**, de coordenadas **N 8.234.456,83** m. e **E 162.374,46 m.;** deste, segue com azimute de 356°07'55" e distância de 77,05 m., até o vértice **122**, de coordenadas **N 8.234.533,70** m. e **E 162.369,26 m.;** deste, segue com azimute de 355°19'04" e distância de 119,13 m., até o vértice **123**, de coordenadas **N 8.234.652,43** m. e **E 162.359,54 m.;** deste, segue com azimute de 355°14'49" e distância de 58,86 m., até o vértice **124**, de coordenadas **N 8.234.711,09** m. e **E 162.354,66 m.;** deste, segue com azimute de 1°57'38" e distância de 90,65 m., até o vértice **125**, de coordenadas **N 8.234.801,69** m. e **E 162.357,76 m.;** deste, segue com azimute de 1°57'38" e distância de 18,54 m., até o vértice **126**, de coordenadas **N 8.234.820,22** m. e **E 162.358,40 m.;** deste, segue com azimute de 1°57'38" e distância de 229,23 m., até o vértice **127**, de coordenadas **N 8.235.049,31** m. e **E 162.366,24 m.;** deste,



SPL - PLC 0019/2019 folha 000191

segue com azimute de 1°40'49" e distância de 314,07 m., até o vértice **128**, de coordenadas **N 8.235.363,24** m. e **E 162.375,45** m.; deste, segue com azimute de 1°24'14" e distância de 147,49 m., até o vértice **129**, de coordenadas **N 8.235.510,69** m. e **E 162.379,06** m.; deste, segue com azimute de 0°28'54" e distância de 109,95 m., até o vértice **130**, de coordenadas **N 8.235.620,64** m. e **E 162.379,98** m.; deste, segue com azimute de 0°28'53" e distância de 18,55 m., até o vértice **131**, de coordenadas **N 8.235.639,19** m. e **E 162.380,14** m.; deste, segue com azimute de 2°18'28" e distância de 124,66 m., até o vértice **132**, de coordenadas **N 8.235.763,75** m. e **E 162.385,16** m.; deste, segue com azimute de 345°45'09" e distância de 65,78 m., até o vértice **133**, de coordenadas **N 8.235.827,51** m. e **E 162.368,97** m.; deste, segue com azimute de 8°27'11" e distância de 8,46 m., até o vértice **134**, de coordenadas **N 8.235.835,88** m. e **E 162.370,21** m.; deste, segue com azimute de 266°11'58" e distância de 12,52 m., até o vértice **135**, de coordenadas **N 8.235.835,05** m. e **E 162.357,72** m.; deste, segue com azimute de 166°51'05" e distância de 3,68 m., até o vértice **136**, de coordenadas **N 8.235.831,47** m. e **E 162.358,56** m.; deste, segue com azimute de 192°32'09" e distância de 17,97 m., até o vértice **137**, de coordenadas **N 8.235.813,93** m. e **E 162.354,66** m.; deste, segue com azimute de 213°12'24" e distância de 19,72 m., até o vértice **138**, de coordenadas **N 8.235.797,43** m. e **E 162.343,86** m.; deste, segue com azimute de 234°51'58" e distância de 49,97 m., até o vértice **139**, de coordenadas **N 8.235.768,67** m. e **E 162.302,99** m.; deste, segue com azimute de 222°51'50" e distância de 39,84 m., até o vértice **140**, de coordenadas **N 8.235.739,47** m. e **E 162.275,89** m.; deste, segue com azimute de 211°53'57" e distância de 82,98 m., até o vértice **141**, de coordenadas **N 8.235.669,02** m. e **E 162.232,04** m.; deste, segue com azimute de 208°18'18" e distância de 53,06 m., até o vértice **142**, de coordenadas **N 8.235.622,30** m. e **E 162.206,88** m.; deste, segue com azimute de 208°18'18" e distância de 29,12 m., até o vértice **143**, de coordenadas **N 8.235.596,66** m. e **E 162.193,07** m.; deste, segue com azimute de 210°15'46" e distância de 30,87 m., até o vértice **144**, de coordenadas **N 8.235.570,00** m. e **E 162.177,51** m.; deste, segue com azimute de 210°15'47" e distância de 58,31 m., até o vértice **145**, de coordenadas **N 8.235.519,64** m. e **E 162.148,13** m.; deste, segue com azimute de 212°50'56" e distância de 50,04 m., até o vértice **146**, de coordenadas **N 8.235.477,60** m. e **E 162.120,99** m.; deste, segue com azimute de 262°05'02" e distância de 123,80 m., até o vértice **147**, de coordenadas **N 8.235.460,55** m. e **E 161.998,37** m., situado no ponto às margens do Córrego Buriti ; deste segue margeando o Córrego Buriti até o vértice **148**, de coordenadas **N 8.234.366,61** m. e **E 161.309,60** m.; deste, segue com azimute de 270°27'16" e distância de 13,98 m., até o vértice **149**, de coordenadas **N 8.234.366,72** m. e **E**



SPL - PLC 0019/2019 folha 000192

**161.295,61** m.; deste, segue com azimute de 273°46'28" e distância de 61,09 m., até o vértice **150**, de coordenadas **N 8.234.370,74** m. e **E 161.234,65** m.; deste, segue com azimute de 270°00'00" e distância de 13,55 m., até o vértice **151**, de coordenadas **N 8.234.370,74** m. e **E 161.221,11** m.; deste, segue com azimute de 271°56'30" e distância de 24,99 m., até o vértice **152**, de coordenadas **N 8.234.371,59** m. e **E 161.196,13** m.; deste, segue com azimute de 272°55'38" e distância de 37,30 m., até o vértice **153**, de coordenadas **N 8.234.373,49** m. e **E 161.158,88** m.; deste, segue com azimute de 272°34'45" e distância de 23,52 m., até o vértice **154**, de coordenadas **N 8.234.374,55** m. e **E 161.135,38** m.; deste, segue com azimute de 268°32'00" e distância de 71,56 m., até o vértice **155**, de coordenadas **N 8.234.372,72** m. e **E 161.063,85** m.; deste, segue com azimute de 272°11'56" e distância de 8,45 m., até o vértice **156**, de coordenadas **N 8.234.373,04** m. e **E 161.055,40** m.; deste, segue com azimute de 272°11'55" e distância de 62,94 m., até o vértice **157**, de coordenadas **N 8.234.375,46** m. e **E 160.992,51** m.; deste, segue com azimute de 272°11'56" e distância de 4,65 m., até o vértice **158**, de coordenadas **N 8.234.375,64** m. e **E 160.987,86** m.; deste, segue com azimute de 273°29'07" e distância de 122,94 m., até o vértice **159**, de coordenadas **N 8.234.383,11** m. e **E 160.865,15** m.; deste, segue com azimute de 273°29'20" e distância de 37,58 m., até o vértice **160**, de coordenadas **N 8.234.385,40** m. e **E 160.827,64** m.; deste, segue com azimute de 273°29'20" e distância de 161,43 m., até o vértice **161**, de coordenadas **N 8.234.395,22** m. e **E 160.666,51** m.; deste, segue com azimute de 273°29'19" e distância de 159,38 m., até o vértice **162**, de coordenadas **N 8.234.404,92** m. e **E 160.507,42** m.; deste, segue com azimute de 273°29'19" e distância de 118,35 m., até o vértice **163**, de coordenadas **N 8.234.412,12** m. e **E 160.389,30** m.; deste, segue com azimute de 273°29'20" e distância de 15,09 m., até o vértice **164**, de coordenadas **N 8.234.413,04** m. e **E 160.374,24** m.; deste, segue com azimute de 275°30'20" e distância de 10,84 m., até o vértice **165**, de coordenadas **N 8.234.414,08** m. e **E 160.363,45** m.; deste, segue com azimute de 275°05'10" e distância de 22,19 m., até o vértice **166**, de coordenadas **N 8.234.416,05** m. e **E 160.341,35** m.; deste, segue com azimute de 277°52'30" e distância de 28,70 m., até o vértice **167**, de coordenadas **N 8.234.419,98** m. e **E 160.312,92** m.; deste, segue com azimute de 277°14'22" e distância de 12,96 m., até o vértice **168**, de coordenadas **N 8.234.421,61** m. e **E 160.300,06** m., situado no eixo da Rodovia BR-060; deste segue pela Rodovia BR-060 até o vértice **169**, de coordenadas **N 8.234.331,92** m. e **E 160.277,05** m.; deste, segue com azimute de 278°39'21" e distância de 11,33 m., até o vértice **170**, de coordenadas **N 8.234.333,62** m. e **E 160.265,84** m.; deste, segue com azimute de 287°20'08" e distância de 9,36 m., até o vértice **171**, de



SPL - PLC 0019/2019 folha 000193

coordenadas **N 8.234.336,41** m. e **E 160.256,90** m.; deste, segue com azimute de 287°20'06" e distância de 3,55 m., até o vértice **172**, de coordenadas **N 8.234.337,47** m. e **E 160.253,52** m.; deste, segue com azimute de 282°09'11" e distância de 23,62 m., até o vértice **173**, de coordenadas **N 8.234.342,44** m. e **E 160.230,43** m.; deste, segue com azimute de 282°09'11" e distância de 23,97 m., até o vértice **174**, de coordenadas **N 8.234.347,49** m. e **E 160.206,99** m.; deste, segue com azimute de 278°57'18" e distância de 89,38 m., até o vértice **175**, de coordenadas **N 8.234.361,40** m. e **E 160.118,71** m.; deste, segue com azimute de 280°09'47" e distância de 67,41 m., até o vértice **176**, de coordenadas **N 8.234.373,30** m. e **E 160.052,35** m.; deste, segue com azimute de 283°41'29" e distância de 20,47 m., até o vértice **177**, de coordenadas **N 8.234.378,14** m. e **E 160.032,46** m.; deste, segue com azimute de 288°12'23" e distância de 14,20 m., até o vértice **178**, de coordenadas **N 8.234.382,58** m. e **E 160.018,97** m.; deste, segue com azimute de 290°08'12" e distância de 20,98 m., até o vértice **179**, de coordenadas **N 8.234.389,80** m. e **E 159.999,28** m.; deste, segue com azimute de 290°31'40" e distância de 47,49 m., até o vértice **180**, de coordenadas **N 8.234.406,45** m. e **E 159.954,80** m.; deste, segue com azimute de 291°06'09" e distância de 19,68 m., até o vértice **181**, de coordenadas **N 8.234.413,54** m. e **E 159.936,45** m.; deste, segue com azimute de 290°32'00" e distância de 7,13 m., até o vértice **182**, de coordenadas **N 8.234.416,04** m. e **E 159.929,77** m.; deste, segue com azimute de 279°43'06" e distância de 4,94 m., até o vértice **183**, de coordenadas **N 8.234.416,87** m. e **E 159.924,90** m.; deste, segue com azimute de 270°00'00" e distância de 6,40 m., até o vértice **184**, de coordenadas **N 8.234.416,87** m. e **E 159.918,51** m.; deste, segue com azimute de 266°17'19" e distância de 10,73 m., até o vértice **185**, de coordenadas **N 8.234.416,18** m. e **E 159.907,80** m.; deste, segue com azimute de 263°03'28" e distância de 26,02 m., até o vértice **186**, de coordenadas **N 8.234.413,03** m. e **E 159.881,97** m.; deste, segue com azimute de 262°31'11" e distância de 33,95 m., até o vértice **187**, de coordenadas **N 8.234.408,61** m. e **E 159.848,31** m.; deste, segue com azimute de 257°37'13" e distância de 17,02 m., até o vértice **188**, de coordenadas **N 8.234.404,96** m. e **E 159.831,69** m.; deste, segue com azimute de 256°54'17" e distância de 42,42 m., até o vértice **189**, de coordenadas **N 8.234.395,35** m. e **E 159.790,37** m.; deste, segue com azimute de 254°09'03" e distância de 22,27 m., até o vértice **190**, de coordenadas **N 8.234.389,27** m. e **E 159.768,94** m.; deste, segue com azimute de 253°37'42" e distância de 15,98 m., até o vértice **191**, de coordenadas **N 8.234.384,76** m. e **E 159.753,60** m.; deste, segue com azimute de 255°58'48" e distância de 10,23 m., até o vértice **192**, de coordenadas **N 8.234.382,29** m. e **E 159.743,68** m.; deste, segue com azimute de 261°09'04" e distância de 53,35 m., até o vértice **193**, de



SPL - PLC 0019/2019 folha 000194

coordenadas **N 8.234.374,08** m. e **E 159.690,97** m.; deste, segue com azimute de 260°24'19" e distância de 33,18 m., até o vértice **194**, de coordenadas **N 8.234.368,55** m. e **E 159.658,26** m.; deste, segue com azimute de 265°10'11" e distância de 7,99 m., até o vértice **195**, de coordenadas **N 8.234.367,88** m. e **E 159.650,30** m.; deste, segue com azimute de 266°44'09" e distância de 7,46 m., até o vértice **196**, de coordenadas **N 8.234.367,45** m. e **E 159.642,86** m.; deste, segue com azimute de 266°44'09" e distância de 6,02 m., até o vértice **197**, de coordenadas **N 8.234.367,11** m. e **E 159.636,85** m.; deste, segue com azimute de 268°07'27" e distância de 15,64 m., até o vértice **198**, de coordenadas **N 8.234.366,60** m. e **E 159.621,21** m.; deste, segue com azimute de 279°48'31" e distância de 13,52 m., até o vértice **199**, de coordenadas **N 8.234.368,90** m. e **E 159.607,89** m.; deste, segue com azimute de 284°01'13" e distância de 9,51 m., até o vértice **200**, de coordenadas **N 8.234.371,21** m. e **E 159.598,66** m.; deste, segue com azimute de 294°45'06" e distância de 3,67 m., até o vértice **201**, de coordenadas **N 8.234.372,74** m. e **E 159.595,33** m.; deste, segue com azimute de 298°05'46" e distância de 16,85 m., até o vértice **202**, de coordenadas **N 8.234.380,68** m. e **E 159.580,46** m.; deste, segue com azimute de 288°18'23" e distância de 21,11 m., até o vértice **203**, de coordenadas **N 8.234.387,31** m. e **E 159.560,42** m.; deste, segue com azimute de 288°18'24" e distância de 43,50 m., até o vértice **204**, de coordenadas **N 8.234.400,97** m. e **E 159.519,12** m.; deste, segue com azimute de 288°10'58" e distância de 47,83 m., até o vértice **205**, de coordenadas **N 8.234.415,90** m. e **E 159.473,68** m.; deste, segue com azimute de 282°05'31" e distância de 83,16 m., até o vértice **206**, de coordenadas **N 8.234.433,32** m. e **E 159.392,36** m.; deste, segue com azimute de 282°04'53" e distância de 44,03 m., até o vértice **207**, de coordenadas **N 8.234.442,53** m. e **E 159.349,31** m.; deste, segue com azimute de 280°06'49" e distância de 7,29 m., até o vértice **208**, de coordenadas **N 8.234.443,81** m. e **E 159.342,13** m.; deste, segue com azimute de 273°06'12" e distância de 75,87 m., até o vértice **209**, de coordenadas **N 8.234.447,92** m. e **E 159.266,37** m.; deste, segue com azimute de 275°25'16" e distância de 24,33 m., até o vértice **210**, de coordenadas **N 8.234.450,22** m. e **E 159.242,15** m.; deste, segue com azimute de 275°25'15" e distância de 42,35 m., até o vértice **211**, de coordenadas **N 8.234.454,22** m. e **E 159.199,99** m.; deste, segue com azimute de 276°17'55" e distância de 26,53 m., até o vértice **212**, de coordenadas **N 8.234.457,13** m. e **E 159.173,62** m.; deste, segue com azimute de 276°17'55" e distância de 108,64 m., até o vértice **213**, de coordenadas **N 8.234.469,05** m. e **E 159.065,64** m.; deste, segue com azimute de 275°08'05" e distância de 86,94 m., até o vértice **214**, de coordenadas **N 8.234.476,83** m. e **E 158.979,05** m.; deste, segue com azimute de 274°20'11" e distância de 48,55 m., até o vértice **215**, de



SFL - PLC 0019/2019 folha 000195

coordenadas **N 8.234.480,50** m. e **E 158.930,63** m.; deste, segue com azimute de 274°05'36" e distância de 18,47 m., até o vértice **216**, de coordenadas **N 8.234.481,82** m. e **E 158.912,21** m.; deste, segue com azimute de 270°00'00" e distância de 10,14 m., até o vértice **217**, de coordenadas **N 8.234.481,82** m. e **E 158.902,07** m.; deste, segue com azimute de 265°36'30" e distância de 5,75 m., até o vértice **218**, de coordenadas **N 8.234.481,38** m. e **E 158.896,34** m.; deste, segue com azimute de 254°35'40" e distância de 8,84 m., até o vértice **219**, de coordenadas **N 8.234.479,03** m. e **E 158.887,82** m.; deste, segue com azimute de 247°05'02" e distância de 28,65 m., até o vértice **220**, de coordenadas **N 8.234.467,88** m. e **E 158.861,43** m.; deste, segue com azimute de 245°26'09" e distância de 7,59 m., até o vértice **221**, de coordenadas **N 8.234.464,72** m. e **E 158.854,52** m.; deste, segue com azimute de 257°54'09" e distância de 28,05 m., até o vértice **222**, de coordenadas **N 8.234.458,84** m. e **E 158.827,10** m.; deste, segue com azimute de 263°20'27" e distância de 14,44 m., até o vértice **223**, de coordenadas **N 8.234.457,17** m. e **E 158.812,75** m.; deste, segue com azimute de 273°08'58" e distância de 3,74 m., até o vértice **224**, de coordenadas **N 8.234.457,37** m. e **E 158.809,02** m.; deste, segue com azimute de 274°18'41" e distância de 26,51 m., até o vértice **225**, de coordenadas **N 8.234.459,36** m. e **E 158.782,58** m.; deste, segue com azimute de 273°02'30" e distância de 7,82 m., até o vértice **226**, de coordenadas **N 8.234.459,78** m. e **E 158.774,77** m.; deste, segue com azimute de 263°04'25" e distância de 3,39 m., até o vértice **227**, de coordenadas **N 8.234.459,37** m. e **E 158.771,40** m.; deste, segue com azimute de 261°11'23" e distância de 3,10 m., até o vértice **228**, de coordenadas **N 8.234.458,90** m. e **E 158.768,34** m.; deste, segue com azimute de 190°11'08" e distância de 23,78 m., até o vértice **229**, de coordenadas **N 8.234.435,49** m. e **E 158.764,14** m., situado no ponto às margens do Córrego Tiobo; deste segue margeando o Córrego Tiobo até o vértice **230**, de coordenadas **N 8.230.850,18** m. e **E 151.167,00** m., situado no ponto de confluência entre o Córrego Tiobo e o Rio Descoberto; deste segue margendo o Rio Descoberto, até o vértice **231**, de coordenadas **N 8.235.451,90** m. e **E 151.747,26** m.; deste, segue com azimute de 326°17'18" e distância de 4,69 m., até o vértice **232**, de coordenadas **N 8.235.455,80** m. e **E 151.744,66** m.; deste, segue com azimute de 345°16'07" e distância de 10,59 m., até o vértice **233**, de coordenadas **N 8.235.466,04** m. e **E 151.741,97** m.; deste, segue com azimute de 356°36'07" e distância de 11,81 m., até o vértice **234**, de coordenadas **N 8.235.477,83** m. e **E 151.741,27** m.; deste, segue com azimute de 21°08'11" e distância de 4,16 m., até o vértice **235**, de coordenadas **N 8.235.481,71** m. e **E 151.742,77** m.; deste, segue com azimute de 37°58'48" e distância de 9,08 m., até o vértice **236**, de coordenadas **N 8.235.488,87** m. e **E 151.748,36**



SPL - PLC 0019/2019 folha 000196

m.; deste, segue com azimute de 47°44'44" e distância de 42,07 m., até o vértice **237**, de coordenadas **N 8.235.517,16** m. e **E 151.779,50** m.; deste, segue com azimute de 35°16'54" e distância de 4,22 m., até o vértice **238**, de coordenadas **N 8.235.520,61** m. e **E 151.781,94** m.; deste, segue com azimute de 35°16'56" e distância de 6,46 m., até o vértice **239**, de coordenadas **N 8.235.525,88** m. e **E 151.785,67** m.; deste, segue com azimute de 48°57'08" e distância de 21,44 m., até o vértice **240**, de coordenadas **N 8.235.539,96** m. e **E 151.801,84** m.; deste, segue com azimute de 53°11'33" e distância de 20,18 m., até o vértice **241**, de coordenadas **N 8.235.552,05** m. e **E 151.818,00** m.; deste, segue com azimute de 53°11'34" e distância de 7,50 m., até o vértice **242**, de coordenadas **N 8.235.556,54** m. e **E 151.824,00** m.; deste, segue com azimute de 53°11'34" e distância de 14,51 m., até o vértice **243**, de coordenadas **N 8.235.565,24** m. e **E 151.835,62** m.; deste, segue com azimute de 44°51'00" e distância de 15,75 m., até o vértice **244**, de coordenadas **N 8.235.576,40** m. e **E 151.846,73** m.; deste, segue com azimute de 37°57'43" e distância de 21,59 m., até o vértice **245**, de coordenadas **N 8.235.593,43** m. e **E 151.860,01** m.; deste, segue com azimute de 30°33'34" e distância de 28,45 m., até o vértice **246**, de coordenadas **N 8.235.617,93** m. e **E 151.874,47** m.; deste, segue com azimute de 32°05'35" e distância de 12,56 m., até o vértice **247**, de coordenadas **N 8.235.628,56** m. e **E 151.881,15** m.; deste, segue com azimute de 41°20'54" e distância de 19,16 m., até o vértice **248**, de coordenadas **N 8.235.642,95** m. e **E 151.893,80** m.; deste, segue com azimute de 49°27'14" e distância de 29,11 m., até o vértice **249**, de coordenadas **N 8.235.661,87** m. e **E 151.915,92** m.; deste, segue com azimute de 56°44'18" e distância de 38,10 m., até o vértice **250**, de coordenadas **N 8.235.682,77** m. e **E 151.947,78** m.; deste, segue com azimute de 72°09'32" e distância de 4,10 m., até o vértice **251**, de coordenadas **N 8.235.684,02** m. e **E 151.951,68** m.; deste, segue com azimute de 92°00'41" e distância de 11,12 m., até o vértice **252**, de coordenadas **N 8.235.683,63** m. e **E 151.962,79** m.; deste, segue com azimute de 67°36'19" e distância de 10,69 m., até o vértice **253**, de coordenadas **N 8.235.687,71** m. e **E 151.972,68** m.; deste, segue com azimute de 86°38'26" e distância de 11,64 m., até o vértice **254**, de coordenadas **N 8.235.688,39** m. e **E 151.984,30** m.; deste, segue com azimute de 59°07'29" e distância de 7,55 m., até o vértice **255**, de coordenadas **N 8.235.692,26** m. e **E 151.990,78** m.; deste, segue com azimute de 33°51'11" e distância de 11,69 m., até o vértice **256**, de coordenadas **N 8.235.701,98** m. e **E 151.997,30** m.; deste, segue com azimute de 79°43'56" e distância de 5,95 m., até o vértice **257**, de coordenadas **N 8.235.703,04** m. e **E 152.003,15** m.; deste, segue com azimute de 79°43'59" e distância de 6,99 m., até o vértice **258**, de coordenadas **N 8.235.704,28** m. e **E 152.010,03**



SFL - PLC 0019/2019 folha 000197

m.; deste, segue com azimute de 107°22'05" e distância de 0,70 m., até o vértice **259**, de coordenadas **N 8.235.704,07** m. e **E 152.010,70** m.; deste, segue com azimute de 133°42'05" e distância de 1,56 m., até o vértice **260**, de coordenadas **N 8.235.702,99** m. e **E 152.011,83** m.; deste, segue com azimute de 168°00'36" e distância de 2,28 m., até o vértice **261**, de coordenadas **N 8.235.700,76** m. e **E 152.012,30** m.; deste, segue com azimute de 186°09'27" e distância de 7,44 m., até o vértice **262**, de coordenadas **N 8.235.693,37** m. e **E 152.011,50** m.; deste, segue com azimute de 187°25'06" e distância de 4,12 m., até o vértice **263**, de coordenadas **N 8.235.689,28** m. e **E 152.010,97** m.; deste, segue com azimute de 157°16'39" e distância de 3,37 m., até o vértice **264**, de coordenadas **N 8.235.686,17** m. e **E 152.012,27** m.; deste, segue com azimute de 117°24'45" e distância de 4,91 m., até o vértice **265**, de coordenadas **N 8.235.683,91** m. e **E 152.016,63** m.; deste, segue com azimute de 110°58'52" e distância de 6,59 m., até o vértice **266**, de coordenadas **N 8.235.681,55** m. e **E 152.022,79** m.; deste, segue com azimute de 106°03'01" e distância de 2,48 m., até o vértice **267**, de coordenadas **N 8.235.680,86** m. e **E 152.025,17** m.; deste, segue com azimute de 136°19'03" e distância de 4,79 m., até o vértice **268**, de coordenadas **N 8.235.677,39** m. e **E 152.028,48** m.; deste, segue com azimute de 125°04'14" e distância de 3,69 m., até o vértice **269**, de coordenadas **N 8.235.675,27** m. e **E 152.031,50** m.; deste, segue com azimute de 102°17'56" e distância de 35,73 m., até o vértice **270**, de coordenadas **N 8.235.667,66** m. e **E 152.066,42** m.; deste, segue com azimute de 95°34'42" e distância de 6,88 m., até o vértice **271**, de coordenadas **N 8.235.666,99** m. e **E 152.073,26** m.; deste, segue com azimute de 95°34'44" e distância de 12,55 m., até o vértice **272**, de coordenadas **N 8.235.665,77** m. e **E 152.085,76** m.; deste, segue com azimute de 86°55'39" e distância de 55,73 m., até o vértice **273**, de coordenadas **N 8.235.668,76** m. e **E 152.141,41** m.; deste, segue com azimute de 86°55'39" e distância de 18,62 m., até o vértice **274**, de coordenadas **N 8.235.669,76** m. e **E 152.160,00** m.; deste, segue com azimute de 86°55'40" e distância de 16,90 m., até o vértice **275**, de coordenadas **N 8.235.670,66** m. e **E 152.176,87** m.; deste, segue com azimute de 86°55'40" e distância de 8,66 m., até o vértice **276**, de coordenadas **N 8.235.671,13** m. e **E 152.185,52** m.; deste, segue com azimute de 61°55'47" e distância de 7,71 m., até o vértice **277**, de coordenadas **N 8.235.674,75** m. e **E 152.192,32** m.; deste, segue com azimute de 42°05'06" e distância de 17,21 m., até o vértice **278**, de coordenadas **N 8.235.687,53** m. e **E 152.203,85** m.; deste, segue com azimute de 60°33'43" e distância de 7,36 m., até o vértice **279**, de coordenadas **N 8.235.691,14** m. e **E 152.210,26** m.; deste, segue com azimute de 75°43'08" e distância de 15,62 m., até o vértice **280**, de coordenadas **N 8.235.694,99** m. e **E 152.225,40**



SFL - PLC 0019/2019 folha 000198

m.; deste, segue com azimute de 80°47'38" e distância de 21,85 m., até o vértice **281**, de coordenadas **N 8.235.698,49** m. e **E 152.246,96** m.; deste, segue com azimute de 80°47'39" e distância de 23,83 m., até o vértice **282**, de coordenadas **N 8.235.702,30** m. e **E 152.270,48** m.; deste, segue com azimute de 71°50'14" e distância de 36,06 m., até o vértice **283**, de coordenadas **N 8.235.713,54** m. e **E 152.304,75** m.; deste, segue com azimute de 71°50'14" e distância de 5,68 m., até o vértice **284**, de coordenadas **N 8.235.715,31** m. e **E 152.310,15** m.; deste, segue com azimute de 55°02'01" e distância de 16,79 m., até o vértice **285**, de coordenadas **N 8.235.724,94** m. e **E 152.323,91** m.; deste, segue com azimute de 74°17'05" e distância de 31,38 m., até o vértice **286**, de coordenadas **N 8.235.733,44** m. e **E 152.354,11** m.; deste, segue com azimute de 52°37'42" e distância de 13,33 m., até o vértice **287**, de coordenadas **N 8.235.741,53** m. e **E 152.364,71** m.; deste, segue com azimute de 35°06'01" e distância de 19,58 m., até o vértice **288**, de coordenadas **N 8.235.757,55** m. e **E 152.375,97** m.; deste, segue com azimute de 36°12'42" e distância de 24,75 m., até o vértice **289**, de coordenadas **N 8.235.777,52** m. e **E 152.390,59** m.; deste, segue com azimute de 31°40'33" e distância de 22,98 m., até o vértice **290**, de coordenadas **N 8.235.797,08** m. e **E 152.402,66** m.; deste, segue com azimute de 1°26'47" e distância de 7,87 m., até o vértice **291**, de coordenadas **N 8.235.804,95** m. e **E 152.402,86** m.; deste, segue com azimute de 338°09'53" e distância de 8,21 m., até o vértice **292**, de coordenadas **N 8.235.812,57** m. e **E 152.399,81** m.; deste, segue com azimute de 354°06'09" e distância de 4,14 m., até o vértice **293**, de coordenadas **N 8.235.816,68** m. e **E 152.399,38** m.; deste, segue com azimute de 1°14'57" e distância de 4,59 m., até o vértice **294**, de coordenadas **N 8.235.821,27** m. e **E 152.399,48** m.; deste, segue com azimute de 355°42'07" e distância de 7,14 m., até o vértice **295**, de coordenadas **N 8.235.828,40** m. e **E 152.398,95** m.; deste, segue com azimute de 14°15'22" e distância de 5,49 m., até o vértice **296**, de coordenadas **N 8.235.833,71** m. e **E 152.400,30** m.; deste, segue com azimute de 46°13'40" e distância de 15,36 m., até o vértice **297**, de coordenadas **N 8.235.844,34** m. e **E 152.411,39** m.; deste, segue com azimute de 334°04'09" e distância de 7,49 m., até o vértice **298**, de coordenadas **N 8.235.851,08** m. e **E 152.408,11** m.; deste, segue com azimute de 9°09'00" e distância de 5,77 m., até o vértice **299**, de coordenadas **N 8.235.856,78** m. e **E 152.409,03** m.; deste, segue com azimute de 46°27'21" e distância de 25,91 m., até o vértice **300**, de coordenadas **N 8.235.874,63** m. e **E 152.427,81** m.; deste, segue com azimute de 46°27'21" e distância de 15,62 m., até o vértice **301**, de coordenadas **N 8.235.885,39** m. e **E 152.439,14** m.; deste, segue com azimute de 75°13'37" e distância de 4,63 m., até o vértice **302**, de coordenadas **N 8.235.886,57** m. e **E 152.443,61**



SPL - PLC 0019/2019 folha 000199

m.; deste, segue com azimute de 102°20'23" e distância de 6,62 m., até o vértice **303**, de coordenadas **N 8.235.885,15** m. e **E 152.450,08** m.; deste, segue com azimute de 86°41'49" e distância de 15,95 m., até o vértice **304**, de coordenadas **N 8.235.886,07** m. e **E 152.466,00** m.; deste, segue com azimute de 94°04'05" e distância de 15,91 m., até o vértice **305**, de coordenadas **N 8.235.884,94** m. e **E 152.481,88** m.; deste, segue com azimute de 68°05'01" e distância de 17,92 m., até o vértice **306**, de coordenadas **N 8.235.891,63** m. e **E 152.498,50** m.; deste, segue com azimute de 74°58'49" e distância de 23,06 m., até o vértice **307**, de coordenadas **N 8.235.897,61** m. e **E 152.520,78** m.; deste, segue com azimute de 100°16'12" e distância de 16,93 m., até o vértice **308**, de coordenadas **N 8.235.894,59** m. e **E 152.537,43** m.; deste, segue com azimute de 107°47'57" e distância de 13,93 m., até o vértice **309**, de coordenadas **N 8.235.890,33** m. e **E 152.550,70** m.; deste, segue com azimute de 98°48'23" e distância de 19,86 m., até o vértice **310**, de coordenadas **N 8.235.887,29** m. e **E 152.570,33** m.; deste, segue com azimute de 84°39'35" e distância de 10,39 m., até o vértice **311**, de coordenadas **N 8.235.888,26** m. e **E 152.580,67** m.; deste, segue com azimute de 84°39'30" e distância de 5,22 m., até o vértice **312**, de coordenadas **N 8.235.888,75** m. e **E 152.585,87** m.; deste, segue com azimute de 89°55'00" e distância de 37,18 m., até o vértice **313**, de coordenadas **N 8.235.888,80** m. e **E 152.623,05** m.; deste, segue com azimute de 97°26'50" e distância de 14,27 m., até o vértice **314**, de coordenadas **N 8.235.886,95** m. e **E 152.637,21** m.; deste, segue com azimute de 83°18'16" e distância de 12,97 m., até o vértice **315**, de coordenadas **N 8.235.888,46** m. e **E 152.650,08** m.; deste, segue com azimute de 109°47'39" e distância de 8,76 m., até o vértice **316**, de coordenadas **N 8.235.885,50** m. e **E 152.658,32** m.; deste, segue com azimute de 95°36'13" e distância de 12,33 m., até o vértice **317**, de coordenadas **N 8.235.884,29** m. e **E 152.670,59** m.; deste, segue com azimute de 126°24'58" e distância de 8,79 m., até o vértice **318**, de coordenadas **N 8.235.879,07** m. e **E 152.677,66** m.; deste, segue com azimute de 72°54'00" e distância de 10,33 m., até o vértice **319**, de coordenadas **N 8.235.882,11** m. e **E 152.687,54** m.; deste, segue com azimute de 82°41'24" e distância de 37,37 m., até o vértice **320**, de coordenadas **N 8.235.886,87** m. e **E 152.724,60** m.; deste, segue com azimute de 81°10'00" e distância de 62,88 m., até o vértice **321**, de coordenadas **N 8.235.896,52** m. e **E 152.786,73** m., situado no eixo da Rodovia DF-190; deste segue pela Rodovia DF-190 até o vértice **322**, de coordenadas **N 8.236.182,42** m. e **E 153.066,94** m.; deste, segue com azimute de 88°15'50" e distância de 1,16 m., até o vértice **323**, de coordenadas **N 8.236.182,45** m. e **E 153.068,09** m.; deste, segue com azimute de 83°18'10" e distância de 2,86 m., até o vértice **324**, de coordenadas **N 8.236.182,79** m. e **E**



SPL - PLC 0019/2019 folha 000200

**153.070,94** m.; deste, segue com azimute de 83°18'12" e distância de 3,74 m., até o vértice **325**, de coordenadas **N 8.236.183,22** m. e **E 153.074,65** m.; deste, segue com azimute de 83°18'11" e distância de 8,06 m., até o vértice **326**, de coordenadas **N 8.236.184,16** m. e **E 153.082,65** m.; deste, segue com azimute de 50°21'17" e distância de 10,73 m., até o vértice **327**, de coordenadas **N 8.236.191,01** m. e **E 153.090,91** m.; deste, segue com azimute de 84°39'48" e distância de 15,80 m., até o vértice **328**, de coordenadas **N 8.236.192,48** m. e **E 153.106,64** m.; deste, segue com azimute de 94°12'11" e distância de 26,68 m., até o vértice **329**, de coordenadas **N 8.236.190,52** m. e **E 153.133,25** m.; deste, segue com azimute de 98°53'25" e distância de 6,16 m., até o vértice **330**, de coordenadas **N 8.236.189,57** m. e **E 153.139,33** m.; deste, segue com azimute de 99°03'00" e distância de 6,86 m., até o vértice **331**, de coordenadas **N 8.236.188,49** m. e **E 153.146,10** m.; deste, segue com azimute de 99°00'57" e distância de 16,65 m., até o vértice **332**, de coordenadas **N 8.236.185,88** m. e **E 153.162,55** m.; deste, segue com azimute de 40°27'29" e distância de 10,78 m., até o vértice **333**, de coordenadas **N 8.236.194,09** m. e **E 153.169,55** m.; deste, segue com azimute de 65°18'36" e distância de 18,48 m., até o vértice **334**, de coordenadas **N 8.236.201,81** m. e **E 153.186,33** m.; deste, segue com azimute de 76°35'07" e distância de 25,20 m., até o vértice **335**, de coordenadas **N 8.236.207,65** m. e **E 153.210,84** m., situado no ponto às margens do Córrego Água Limpa; deste segue margeando o Córrego Água Limpa até o vértice **336**, de coordenadas **N 8.235.574,45** m. e **E 153.645,02** m., situado no ponto de confluência entre o Córrego Água Limpa e o Córrego Samambaia; deste segue margeando o Córrego Samambaia até o vértice **337**, de coordenadas **N 8.235.668,72** m. e **E 155.256,56** m., situado no ponto de confluência entre o Córrego Samambaia e o Córrego Bananal; deste segue margeando o Córrego Bananal até o vértice **338**, de coordenadas **N 8.235.611,26** m. e **E 155.318,10** m., ponto de cruzamento do Córrego Bananal com a Rodovia DF-280; deste segue pela DF-280 até o vértice **339**, de coordenadas **N 8.236.941,42** m. e **E 160.956,28** m., ponto de interseção entre o eixo da Rodovia DF-280 e o eixo da Rodovia BR-060; deste segue pela Rodovia BR-060, até o vértice **1**, de coordenadas **N 8.241.670,45** m. e **E 172.245,40** m.; ponto inicial da descrição deste perímetro. Todos os azimutes e distâncias, áreas e perímetros foram calculados no plano de projeção UTM. Todas as coordenadas aqui descritas estão georreferenciadas ao Sistema Geodésico Brasileiro e encontram-se representadas no Sistema UTM, referenciadas ao **Meridiano Central 45° WGr, Fuso 23**, tendo como o *Datum* o **SICAD-SIRGAS 2000.** Todos os azimutes e distâncias, áreas e perímetros foram calculados no plano de projeção UTM.



SFL - PLC 0019/2019 folha 000201

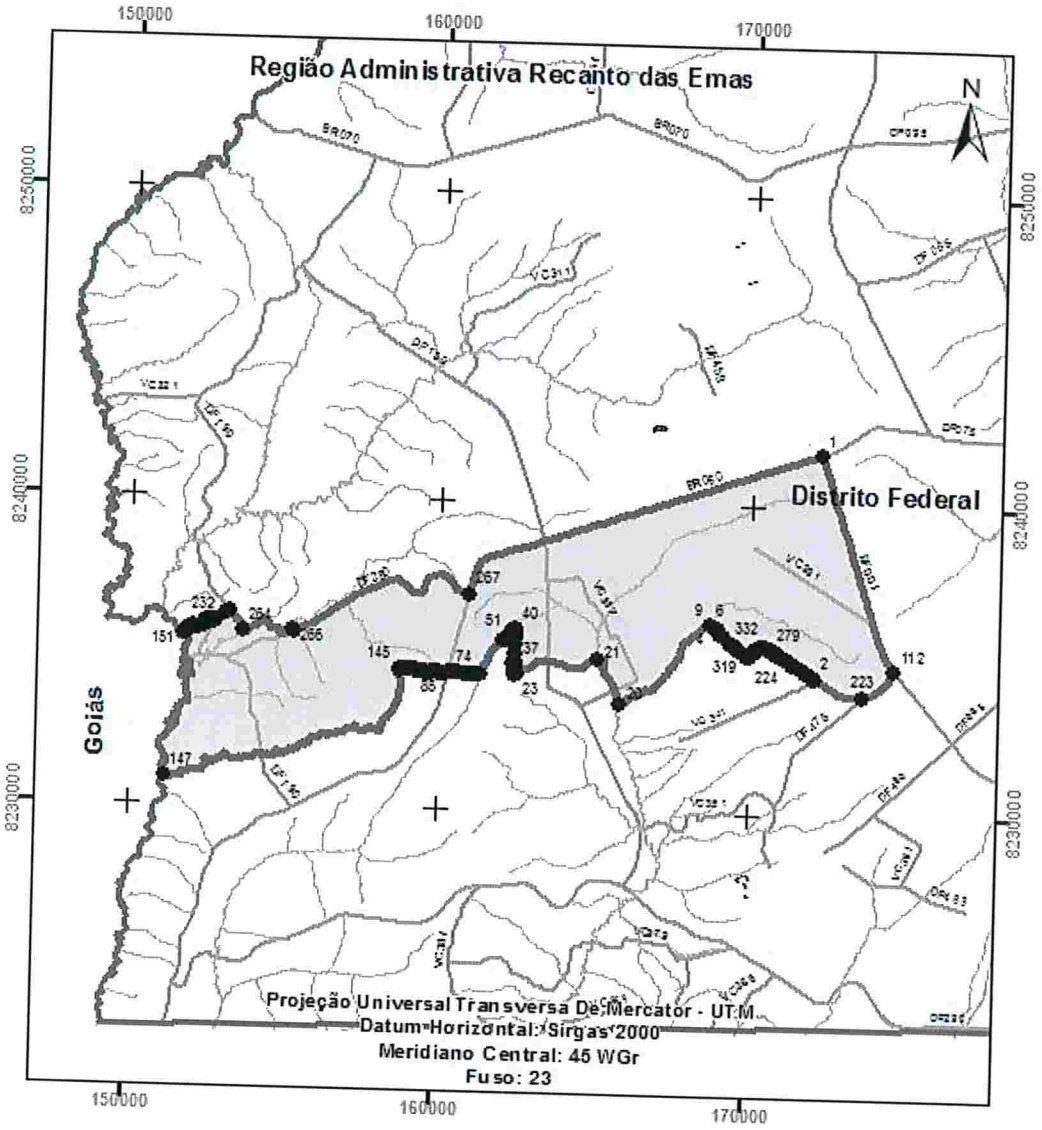




SPL - PLC 0019/2019 folha 000202

# MEMORIAL DESCRITIVO

## LAGO SUL – RA XVI

Perímetro: 80.547,359 m Área: 7.604,873 ha

Inicia-se a descrição deste perímetro no vértice **1**, de coordenadas **N 8.250.963,52** m. e **E 201.544,70** m., situado no cruzamento entre as margens do Lago Paranoá e o eixo da Rodovia DF-001, deste, segue pela Rodovia DF-001, até o vértice **2**, de coordenadas **N 8.244.072,64** m. e **E 197.925,42** m.; ponto de interseção entre a Rodovia DF-001 e Rodovia DF-035, deste, segue pela Rodovia DF-035, até o vértice **3**, de coordenadas **N 8.244.581,09** m. e **E 196.817,99** m.; deste, segue com azimute de 238°11'28" e distância de 46,12 m., até o vértice **4**, de coordenadas **N 8.244.556,78** m. e **E 196.778,80** m.; deste, segue com azimute de 239°02'25" e distância de 609,71 m., até o vértice **5**, de coordenadas **N 8.244.243,12** m. e **E 196.255,95** m.; deste, segue com azimute de 239°02'25" e distância de 142,31 m., até o vértice **6**, de coordenadas **N 8.244.169,91** m. e **E 196.133,92** m.; deste, segue com azimute de 239°02'25" e distância de 625,98 m., até o vértice **7**, de coordenadas **N 8.243.847,88** m. e **E 195.597,12** m.; deste, segue com azimute de 239°02'25" e distância de 98,01 m., até o vértice **8**, de coordenadas **N 8.243.797,46** m. e **E 195.513,07** m.; deste, segue com azimute de 329°01'08" e distância de 47,52 m., até o vértice **9**, de coordenadas **N 8.243.838,20** m. e **E 195.488,61** m.; deste, segue com azimute de 329°01'08" e distância de 387,55 m., até o vértice **10**, de coordenadas **N 8.244.170,46** m. e **E 195.289,12** m.; deste, segue com azimute de 59°01'20" e distância de 98,38 m., até o vértice **11**, de coordenadas **N 8.244.221,10** m. e **E 195.373,46** m.; deste, segue com azimute de 59°01'20" e distância de 166,83 m., até o vértice **12**, de coordenadas **N 8.244.306,96** m. e **E 195.516,50** m.; deste, segue com azimute de 300°02'01" e distância de 857,67 m., até o vértice **13**, de coordenadas **N 8.244.736,23** m. e **E 194.773,98** m.; deste, segue com azimute de 300°02'01" e distância de 13,77 m., até o vértice **14**, de coordenadas **N 8.244.743,13** m. e **E 194.762,06** m.; deste, segue com azimute de 300°02'01" e distância de 91,58 m., até o vértice **15**, de coordenadas **N 8.244.788,96** m. e **E 194.682,78** m.; deste, segue com azimute de 279°43'12" e distância de 319,84 m., até o vértice **16**, de coordenadas **N 8.244.842,96** m. e **E 194.367,53** m.; deste, segue com azimute de 225°08'13" e distância de 168,71 m., até o vértice **17**, de coordenadas **N 8.244.723,95** m. e **E 194.247,95** m.; deste, segue com azimute de 225°08'13" e distância de 136,08 m., até o vértice **18**, de coordenadas **N 8.244.627,96** m. e **E 194.151,49** m.; deste, segue com azimute de 247°16'55" e distância de 75,09 m., até o vértice **19**, de coordenadas **N 8.244.598,96** m. e **E 194.082,23** m.; deste, segue com azimute de 148°22'28" e distância de 217,85 m., até o vértice **20**, de coordenadas **N 8.244.413,46** m. e **E 194.196,46** m.; deste, segue com azimute de 160°28'00" e distância de 144,46 m., até o vértice **21**, de coordenadas **N 8.244.277,31** m. e **E 194.244,77** m.; deste, segue com azimute de 160°28'00" e distância de 284,21 m., até o vértice **22**, de coordenadas **N**



SRL - PLC 0019/2019 folha 000203

**8.244.009,46** m. e **E 194.339,79** m.; deste, segue com azimute de 113°24'44" e distância de 91,86 m., até o vértice **23**, de coordenadas **N 8.243.972,96** m. e **E 194.424,09** m.; deste, segue com azimute de 154°34'01" e distância de 251,30 m., até o vértice **24**, de coordenadas **N 8.243.746,02** m. e **E 194.532,01** m.; deste, segue com azimute de 154°34'01" e distância de 260,84 m., até o vértice **25**, de coordenadas **N 8.243.510,46** m. e **E 194.644,03** m.; deste, segue com azimute de 244°54'49" e distância de 310,60 m., até o vértice **26**, de coordenadas **N 8.243.378,77** m. e **E 194.362,72** m.; deste, segue com azimute de 244°54'48" e distância de 319,88 m., até o vértice **27**, de coordenadas **N 8.243.243,15** m. e **E 194.073,02** m.; deste, segue com azimute de 244°54'49" e distância de 54,68 m., até o vértice **28**, de coordenadas **N 8.243.219,96** m. e **E 194.023,49** m.; deste, segue com azimute de 154°54'33" e distância de 235,19 m., até o vértice **29**, de coordenadas **N 8.243.006,96** m. e **E 194.123,23** m.; deste, segue com azimute de 242°08'39" e distância de 254,92 m., até o vértice **30**, de coordenadas **N 8.242.887,85** m. e **E 193.897,84** m.; deste, segue com azimute de 242°08'39" e distância de 181,96 m., até o vértice **31**, de coordenadas **N 8.242.802,83** m. e **E 193.736,96** m.; deste, segue com azimute de 242°08'40" e distância de 98,41 m., até o vértice **32**, de coordenadas **N 8.242.756,85** m. e **E 193.649,96** m.; deste, segue com azimute de 242°08'39" e distância de 763,43 m., até o vértice **33**, de coordenadas **N 8.242.400,14** m. e **E 192.974,99** m.; deste, segue com azimute de 242°08'39" e distância de 216,71 m., até o vértice **34**, de coordenadas **N 8.242.298,88** m. e **E 192.783,39** m.; deste, segue com azimute de 242°08'39" e distância de 184,95 m., até o vértice **35**, de coordenadas **N 8.242.212,46** m. e **E 192.619,87** m.; deste, segue com azimute de 242°40'16" e distância de 491,53 m., até o vértice **36**, de coordenadas **N 8.241.986,80** m. e **E 192.183,20** m.; deste, segue com azimute de 242°40'16" e distância de 171,97 m., até o vértice **37**, de coordenadas **N 8.241.907,85** m. e **E 192.030,42** m.; deste, segue com azimute de 242°40'16" e distância de 504,86 m., até o vértice **38**, de coordenadas **N 8.241.676,07** m. e **E 191.581,91** m.; deste, segue com azimute de 244°13'44" e distância de 17,02 m., até o vértice **39**, de coordenadas **N 8.241.668,67** m. e **E 191.566,58** m.; deste, segue com azimute de 219°03'58" e distância de 280,86 m., até o vértice **40**, de coordenadas **N 8.241.450,60** m. e **E 191.389,58** m.; deste, segue com azimute de 219°03'58" e distância de 93,43 m., até o vértice **41**, de coordenadas **N 8.241.378,06** m. e **E 191.330,70** m.; deste, segue com azimute de 219°03'58" e distância de 446,45 m., até o vértice **42**, de coordenadas **N 8.241.031,43** m. e **E 191.049,33** m.; deste, segue com azimute de 219°03'58" e distância de 1.299,98 m., até o vértice **43**, de coordenadas **N 8.240.022,10** m. e **E 190.230,06** m.; deste, segue com azimute de 219°03'58" e distância de 148,30 m., até o vértice **44**, de coordenadas **N 8.239.906,96** m. e **E 190.136,60** m.; deste, segue com azimute de 138°43'03" e distância de 851,95 m., até o vértice **45**, de coordenadas **N 8.239.266,74** m. e **E 190.698,70** m.; deste, segue com azimute de 138°43'03" e distância de 87,18 m., até o vértice **46**, de coordenadas **N 8.239.201,23** m. e **E 190.756,22** m.; deste, segue com azimute de 138°43'03" e distância de 689,83 m., até o vértice **47**, de coordenadas **N 8.238.682,84** m. e **E 191.211,35** m.; deste, segue com azimute de 138°43'03" e distância de 204,70



SFL - PLC 0019/2019 folha 000204

m., até o vértice **48**, de coordenadas **N 8.238.529,02** m. e **E 191.346,40** m.; deste, segue com azimute de 138°06'15" e distância de 37,31 m., até o vértice **49**, de coordenadas **N 8.238.501,24** m. e **E 191.371,32** m.; ponto situado às margens do Córrego Tapera deste, segue margeando o Córrego Tapera, até o vértice **50**, de coordenadas **N 8.239.025,21** m. e **E 188.041,49** m.; confluência entre o Córrego Tapera e Ribeirão do Gama deste, segue margeando o Ribeirão do Gama, até o vértice **51**, de coordenadas **N 8.242.029,26** m. e **E 188.775,91** m.; confluência entre o Ribeirão do Gama e o Córrego do Cedro deste, segue margeando o Córrego do Cedro, até o vértice **52**, de coordenadas **N 8.240.335,76** m. e **E 185.053,33** m.; deste, segue com azimute de 281°13'23" e distância de 232,44 m., até o vértice **53**, de coordenadas **N 8.240.381,00** m. e **E 184.825,34** m.; deste, segue com azimute de 281°24'35" e distância de 160,28 m., até o vértice **54**, de coordenadas **N 8.240.412,70** m. e **E 184.668,23** m.; deste, segue com azimute de 281°19'37" e distância de 64,42 m., até o vértice **55**, de coordenadas **N 8.240.425,36** m. e **E 184.605,06** m.; deste, segue com azimute de 281°19'37" e distância de 54,75 m., até o vértice **56**, de coordenadas **N 8.240.436,11** m. e **E 184.551,38** m.; deste, segue com azimute de 282°18'55" e distância de 39,19 m., até o vértice **57**, de coordenadas **N 8.240.444,47** m. e **E 184.513,10** m.; deste, segue com azimute de 282°18'57" e distância de 1,15 m., até o vértice **58**, de coordenadas **N 8.240.444,71** m. e **E 184.511,98** m.; deste, segue com azimute de 328°52'38" e distância de 96,05 m., até o vértice **59**, de coordenadas **N 8.240.526,94** m. e **E 184.462,33** m.; deste, segue com azimute de 336°14'00" e distância de 14,37 m., até o vértice **60**, de coordenadas **N 8.240.540,10** m. e **E 184.456,54** m.; deste, segue com azimute de 331°07'44" e distância de 146,76 m., até o vértice **61**, de coordenadas **N 8.240.668,62** m. e **E 184.385,67** m.; deste, segue com azimute de 331°31'50" e distância de 280,00 m., até o vértice **62**, de coordenadas **N 8.240.914,76** m. e **E 184.252,20** m.; deste, segue com azimute de 330°44'45" e distância de 121,84 m., até o vértice **63**, de coordenadas **N 8.241.021,05** m. e **E 184.192,66** m.; deste, segue com azimute de 331°21'41" e distância de 351,57 m., até o vértice **64**, de coordenadas **N 8.241.329,61** m. e **E 184.024,16** m.; deste, segue com azimute de 331°37'08" e distância de 315,91 m., até o vértice **65**, de coordenadas **N 8.241.607,55** m. e **E 183.874,00** m.; deste, segue com azimute de 306°34'09" e distância de 591,51 m., até o vértice **66**, de coordenadas **N 8.241.959,97** m. e **E 183.398,93** m.; deste, segue com azimute de 320°54'37" e distância de 12,64 m., até o vértice **67**, de coordenadas **N 8.241.969,78** m. e **E 183.390,96** m.; deste, segue com azimute de 354°47'16" e distância de 10,16 m., até o vértice **68**, de coordenadas **N 8.241.979,89** m. e **E 183.390,04** m.; deste, segue com azimute de 7°51'47" e distância de 95,87 m., até o vértice **69**, de coordenadas **N 8.242.074,86** m. e **E 183.403,16** m.; deste, segue com azimute de 17°36'00" e distância de 15,37 m., até o vértice **70**, de coordenadas **N 8.242.089,51** m. e **E 183.407,80** m.; deste, segue com azimute de 49°33'57" e distância de 8,99 m., até o vértice **71**, de coordenadas **N 8.242.095,35** m. e **E 183.414,65** m.; deste, segue com azimute de 58°42'19" e distância de 778,00 m., até o vértice **72**, de coordenadas **N 8.242.499,47** m. e **E 184.079,45** m.; deste, segue com azimute de 58°42'19" e distância de 107,26 m., até o vértice **73**, de coordenadas **N**



SFL - PLC 0019/2019 folha 000205

**8.242.555,18** m. e **E 184.171,11** m.; deste, segue com azimute de 60°45'58" e distância de 105,52 m., até o vértice **74**, de coordenadas **N 8.242.606,72** m. e **E 184.263,19** m.; deste, segue com azimute de 62°46'51" e distância de 137,40 m., até o vértice **75**, de coordenadas **N 8.242.669,57** m. e **E 184.385,38** m.; deste, segue com azimute de 62°46'51" e distância de 164,51 m., até o vértice **76**, de coordenadas **N 8.242.744,81** m. e **E 184.531,67** m.; deste, segue com azimute de 64°42'05" e distância de 32,07 m., até o vértice **77**, de coordenadas **N 8.242.758,51** m. e **E 184.560,66** m.; deste, segue com azimute de 62°52'21" e distância de 263,52 m., até o vértice **78**, de coordenadas **N 8.242.878,67** m. e **E 184.795,19** m.; deste, segue com azimute de 62°52'21" e distância de 609,85 m., até o vértice **79**, de coordenadas **N 8.243.156,75** m. e **E 185.337,96** m.; deste, segue com azimute de 62°52'21" e distância de 61,38 m., até o vértice **80**, de coordenadas **N 8.243.184,73** m. e **E 185.392,58** m.; deste, segue com azimute de 62°52'21" e distância de 104,50 m., até o vértice **81**, de coordenadas **N 8.243.232,38** m. e **E 185.485,58** m.; deste, segue com azimute de 52°36'12" e distância de 13,90 m., até o vértice **82**, de coordenadas **N 8.243.240,82** m. e **E 185.496,62** m.; deste, segue com azimute de 28°47'06" e distância de 25,82 m., até o vértice **83**, de coordenadas **N 8.243.263,45** m. e **E 185.509,06** m.; deste, segue com azimute de 22°35'54" e distância de 25,13 m., até o vértice **84**, de coordenadas **N 8.243.286,65** m. e **E 185.518,71** m.; deste, segue com azimute de 14°55'29" e distância de 30,77 m., até o vértice **85**, de coordenadas **N 8.243.316,38** m. e **E 185.526,64** m.; deste, segue com azimute de 14°55'30" e distância de 7,08 m., até o vértice **86**, de coordenadas **N 8.243.323,22** m. e **E 185.528,46** m.; deste, segue com azimute de 27°43'38" e distância de 8,83 m., até o vértice **87**, de coordenadas **N 8.243.331,04** m. e **E 185.532,57** m.; ponto situado no eixo da Rodovia DF-047 deste, segue pela Rodovia DF-047, até o vértice **88**, de coordenadas **N 8.245.317,55** m. e **E 185.918,04** m.; ponto de cruzamento entre a Rodovia DF-047 e as margens do Riacho Fundo deste, segue margeando o Riacho Fundo até o vértice **89**, de coordenadas **N 8.246.151,07** m. e **E 188.905,83** m.; confluência entre o Riacho Fundo e o Lago Paranoá deste, segue margeando o Lago Paranoá até o vértice **1**, de coordenadas **N 8.250.963,52** m. e **E 201.544,70** m.; ponto inicial da descrição deste perímetro. Todos os azimutes e distâncias, áreas e perímetros foram calculados no plano de projeção UTM. Todas as coordenadas aqui descritas estão georreferenciadas ao Sistema Geodésico Brasileiro e encontram-se representadas no Sistema UTM, referenciadas ao **Meridiano Central 45° WGr, Fuso 23**, tendo como o *Datum* o **SICAD-SIRGAS 2000.** Todos os azimutes e distâncias, áreas e perímetros foram calculados no plano de projeção UTM.



SPL - PLC 0019/2019 folha 000206

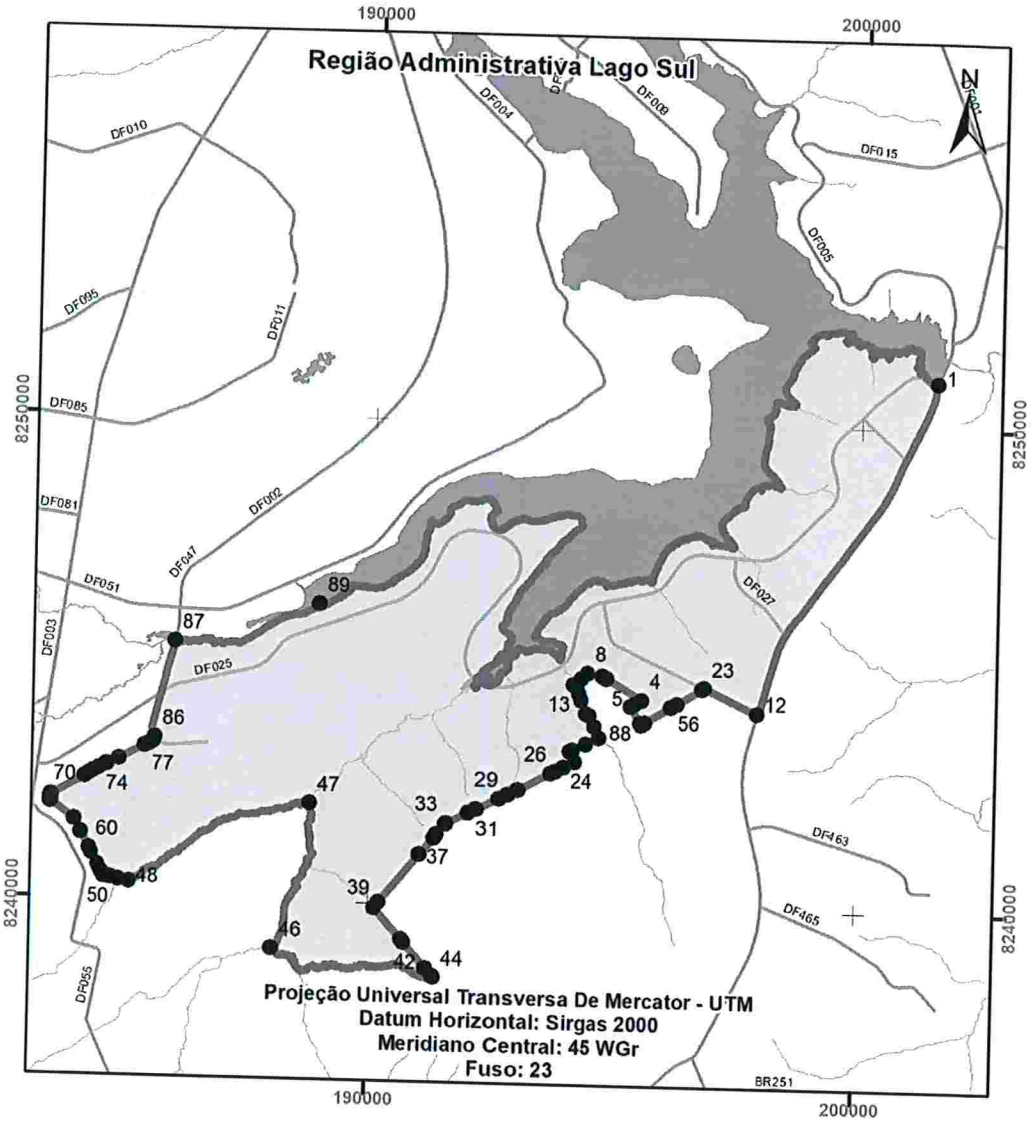




SFL - PLC 0019/2019 folha 000207

# MEMORIAL DESCRITIVO

## RIACHO FUNDO – RA XVII

Perímetro: 24.479,256 m  Área: 1.778,1075 ha

Inicia-se a descrição deste perímetro no vértice **1**, de coordenadas **N 8.242.596,511**m e **E 174.586,609**m, localizado no eixo da Rodovia DF-001; deste, segue pelo eixo da Rodovia DF-001 até atingir o vértice **2**, de coordenadas **N 8.242.445,536**m e **E 175.726,321**m, localizado no entroncamento da referida Rodovia com a Rodovia DF-075; deste, segue pelo eixo da Rodovia DF-075 até atingir o vértice **3**, de coordenadas **N 8.242.337,002**m e **E 178.652,910**m; deste, deixando o eixo da referida Rodovia, segue por linha divisória, com os seguintes azimutes e distâncias: 174°04'03" e 294,324 m até o vértice **4**, de coordenadas **N 8.242.044,254**m e **E 178.683,331**m; 80°54'33" e 29,127 m até o vértice **5**, de coordenadas **N 8.242.048,856**m e **E 178.712,092**m; 84°19'14" e 48,291 m até o vértice **6**, de coordenadas **N 8.242.053,635**m e **E 178.760,146**m; 84°12'03" e 50,791 m até o vértice **7**, de coordenadas **N 8.242.058,767**m e **E 178.810,677**m; 86°33'38" e 53,105 m até o vértice **8**, de coordenadas **N 8.242.061,953**m e **E 178.863,686**m; 92°32'30" e 67,855 m até o vértice **9**, de coordenadas **N 8.242.058,944**m e **E 178.931,474**m; 91°13'28" e 53,818 m até o vértice **10**, de coordenadas **N 8.242.057,794**m e **E 178.985,280**m; 86°59'31" e 53,968 m até o vértice **11**, de coordenadas **N 8.242.060,626**m e **E 179.039,174**m; 86°43'40" e 69,761 m até o vértice **12**, de coordenadas **N 8.242.064,608**m e **E 179.108,821**m; 85°43'54" e 11,891 m até o vértice **13**, de coordenadas **N 8.242.065,493**m e **E 179.120,679**m; 83°58'13" e 14,327 m até o vértice **14**, de coordenadas **N 8.242.066,998**m e **E 179.134,927**m; 76°24'22" e 19,575 m até o vértice **15**, de coordenadas **N 8.242.071,599**m e **E 179.153,954**m; 71°12'14" e 17,855 m até o vértice **16**, de coordenadas **N 8.242.077,352**m e **E 179.170,857**m; 64°44'53" e 20,743 m até o vértice **17**, de coordenadas **N 8.242.086,201**m e **E 179.189,618**m; 55°55'06" e 32,375 m até o vértice **18**, de coordenadas **N 8.242.104,343**m e **E 179.216,432**m; 49°46'44" e 79,623 m até o vértice **19**, de coordenadas **N 8.242.155,759**m e **E 179.277,229**m; 52°25'54" e 31,932 m até o vértice **20**, de coordenadas **N 8.242.175,228**m e **E 179.302,539**m; 56°07'28" e 30,485 m até o vértice **21**, de coordenadas **N 8.242.192,220**m e **E 179.327,849**m; 59°21'13" e 40,178 m até o vértice **22**, de coordenadas **N 8.242.212,700**m e **E 179.362,415**m; 63°56'48" e 23,287 m até o vértice **23**, de coordenadas **N 8.242.222,928**m e **E 179.383,336**m; 71°06'01" e 27,594 m até o vértice **24**, de coordenadas **N 8.242.231,866**m e **E 179.409,442**m; 76°01'35" e 59,369 m até o vértice **25**, de coordenadas **N 8.242.246,202**m e **E 179.467,054**m; 77°38'24" e 60,340 m até o vértice **26**, de coordenadas



SFL - PLC 0019/2019 folha 000208

**N 8.242.259,118**m e **E 179.525,995**m; 85°20'49" e 91,318 m até o vértice **27**, de coordenadas **N 8.242.266,526**m e **E 179.617,012**m; 87°19'46" e 105,892 m até o vértice **28**, de coordenadas **N 8.242.271,460**m e **E 179.722,789**m; 86°16'56" e 33,312 m até o vértice **29**, de coordenadas **N 8.242.273,620**m e **E 179.756,031**m; 86°31'22" e 52,729 m até o vértice **30**, de coordenadas **N 8.242.276,818**m e **E 179.808,663**m; 69°36'14" e 2,181 m até o vértice **31**, de coordenadas **N 8.242.277,578**m e **E 179.810,707**m; 80°42'32" e 5,940 m até o vértice **32**, de coordenadas **N 8.242.278,537**m e **E 179.816,569**m; 91°10'02" e 8,541 m até o vértice **33**, de coordenadas **N 8.242.278,363**m e **E 179.825,108**m; 91°12'24" e 6,220 m até o vértice **34**, de coordenadas **N 8.242.278,232**m e **E 179.831,327**m; 86°25'43" e 32,525 m até o vértice **35**, de coordenadas **N 8.242.280,258**m e **E 179.863,789**m; 86°25'47" e 37,368 m até o vértice **36**, de coordenadas **N 8.242.282,585**m e **E 179.901,084**m; 86°25'47" e 79,666 m até o vértice **37**, de coordenadas **N 8.242.287,546**m e **E 179.980,595**m; 56°59'08" e 15,878 m até o vértice **38**, de coordenadas **N 8.242.296,197**m e **E 179.993,909**m; 62°13'50" e 7,319 m até o vértice **39**, de coordenadas **N 8.242.299,607**m e **E 180.000,385**m; 66°13'10" e 8,571 m até o vértice **40**, de coordenadas **N 8.242.303,063**m e **E 180.008,228**m; 66°13'24" e 33,462 m até o vértice **41**, de coordenadas **N 8.242.316,554**m e **E 180.038,850**m; 76°23'08" e 22,266 m até o vértice **42**, de coordenadas **N 8.242.321,795**m e **E 180.060,490**m; 81°08'12" e 37,721 m até o vértice **43**, de coordenadas **N 8.242.327,607**m e **E 180.097,761**m; 82°02'45" e 19,194 m até o vértice **44**, de coordenadas **N 8.242.330,263**m e **E 180.116,770**m; 82°42'15" e 26,230 m até o vértice **45**, de coordenadas **N 8.242.333,594**m e **E 180.142,788**m; 81°33'07" e 24,940 m até o vértice **46**, de coordenadas **N 8.242.337,258**m e **E 180.167,457**m; 92°40'35" e 15,804 m até o vértice **47**, de coordenadas **N 8.242.336,520**m e **E 180.183,244**m; 104°56'14" e 19,728 m até o vértice **48**, de coordenadas **N 8.242.331,435**m e **E 180.202,305**m; 103°22'30" e 13,998 m até o vértice **49**, de coordenadas **N 8.242.328,197**m e **E 180.215,923**m; 91°42'55" e 25,823 m até o vértice **50**, de coordenadas **N 8.242.327,424**m e **E 180.241,734**m; 94°08'17" e 48,100 m até o vértice **51**, de coordenadas **N 8.242.323,953**m e **E 180.289,709**m; 105°01'04" e 29,901 m até o vértice **52**, de coordenadas **N 8.242.316,205**m e **E 180.318,589**m; 94°27'20" e 26,646 m até o vértice **53**, de coordenadas **N 8.242.314,135**m e **E 180.345,154**m; 110°47'54" e 17,883 m até o vértice **54**, de coordenadas **N 8.242.307,785**m e **E 180.361,872**m; 117°00'16" e 56,220 m até o vértice **55**, de coordenadas **N 8.242.282,258**m e **E 180.411,962**m; 120°19'18" e 15,577 m até o vértice **56**, de coordenadas **N 8.242.274,394**m e **E 180.425,408**m; 91°23'16" e 19,820 m até o vértice **57**, de coordenadas **N 8.242.273,914**m e **E 180.445,222**m; 93°33'11" e 28,221 m até o vértice **58**, de coordenadas **N 8.242.272,165**m e **E 180.473,389**m; 75°25'22"



SFL - PLC 0019/2019 folha 000209

e 22,679 m até o vértice **59**, de coordenadas **N 8.242.277,873**m e **E 180.495,338**m; 75°35'11" e 22,344 m até o vértice **60**, de coordenadas **N 8.242.283,435**m e **E 180.516,979**m; 82°41'58" e 17,982 m até o vértice **61**, de coordenadas **N 8.242.285,720**m e **E 180.534,815**m; 82°42'11" e 11,038 m até o vértice **62**, de coordenadas **N 8.242.287,122**m e **E 180.545,764**m; 82°41'57" e 42,564 m até o vértice **63**, de coordenadas **N 8.242.292,531**m e **E 180.587,983**m; 82°04'48" e 21,946 m até o vértice **64**, de coordenadas **N 8.242.295,555**m e **E 180.609,720**m; 74°36'46" e 4,074 m até o vértice **65**, de coordenadas **N 8.242.296,636**m e **E 180.613,648**m; 74°36'08" e 3,450 m até o vértice **66**, de coordenadas **N 8.242.297,552**m e **E 180.616,974**m; 99°16'03" e 23,385 m até o vértice **67**, de coordenadas **N 8.242.293,786**m e **E 180.640,054**m; 99°15'54" e 47,826 m até o vértice **68**, de coordenadas **N 8.242.286,086**m e **E 180.687,256**m; 99°15'57" e 50,833 m até o vértice **69**, de coordenadas **N 8.242.277,901**m e **E 180.737,426**m; 112°56'43" e 32,223 m até o vértice **70**, de coordenadas **N 8.242.265,339**m e **E 180.767,099**m; 31°22'22" e 35,490 m até o vértice **71**, de coordenadas **N 8.242.295,640**m e **E 180.785,575**m; 31°22'26" e 15,332 m até o vértice **72**, de coordenadas **N 8.242.308,730**m e **E 180.793,557**m; 28°46'58" e 24,453 m até o vértice **73**, de coordenadas **N 8.242.330,162**m e **E 180.805,331**m; 357°52'43" e 35,742 m até o vértice **74**, de coordenadas **N 8.242.365,880**m e **E 180.804,008**m; 81°57'00" e 25,758 m até o vértice **75**, de coordenadas **N 8.242.369,487**m e **E 180.829,512**m, localizado no eixo da Ferrovia Centro-Atlântica; deste, segue pelo eixo da Ferrovia Centro-Atlântica até atingir o vértice **76**, de coordenadas **N 8.242.008,850**m e **E 180.958,723**m, localizado na interseção da referida Ferrovia com o Riacho Fundo; deste, segue a montante pelo talvegue do Riacho Fundo até atingir o vértice **77**, de coordenadas **N 8.241.310,823**m e **E 179.919,546**m, localizado na confluência do referido Riacho com o Córrego Coqueiros; deste, segue a montante pelo talvegue do Córrego Coqueiros até atingir o vértice **78**, de coordenadas **N 8.237.074,340**m e **E 180.538,456**m, localizado na confluência do referido Córrego com o Córrego Capão Preto; deste, segue a montante pelo talvegue do Córrego Capão Preto até atingir o vértice **79**, de coordenadas **N 8.237.422,330**m e **E 178.814,918**m; deste, deixando o referido Córrego, segue por linha divisória, com os seguintes azimutes e distâncias: 309°32'46" e 177,274 m até o vértice **80**, de coordenadas **N 8.237.535,200**m e **E 178.678,220**m; 32°14'57" e 44,910 m até o vértice **81**, de coordenadas **N 8.237.573,182**m e **E 178.702,184**m; 32°14'54" e 44,184 m até o vértice **82**, de coordenadas **N 8.237.610,550**m e **E 178.725,760**m; 22°00'57" e 17,366 m até o vértice **83**, de coordenadas **N 8.237.626,650**m e **E 178.732,270**m; 16°53'50" e 41,596 m até o vértice **84**, de coordenadas **N 8.237.666,450**m e **E 178.744,360**m; 22°02'42" e 16,950 m até o vértice **85**, de coordenadas **N 8.237.682,161**m



SPL - PLC 0019/2019 folha 000210

e **E 178.750,722**m; 22°02'44" e 5,749 m até o vértice **86**, de coordenadas **N 8.237.687,490**m e **E 178.752,880**m; 25°02'27" e 27,572 m até o vértice **87**, de coordenadas **N 8.237.712,470**m e **E 178.764,550**m; 31°15'55" e 24,302 m até o vértice **88**, de coordenadas **N 8.237.733,243**m e **E 178.777,163**m; 31°15'58" e 40,417 m até o vértice **89**, de coordenadas **N 8.237.767,790**m e **E 178.798,140**m; 23°53'46" e 14,022 m até o vértice **90**, de coordenadas **N 8.237.780,610**m e **E 178.803,820**m; 9°33'57" e 8,184 m até o vértice **91**, de coordenadas **N 8.237.788,680**m e **E 178.805,180**m; 347°37'17" e 11,989 m até o vértice **92**, de coordenadas **N 8.237.800,390**m e **E 178.802,610**m; 320°42'54" e 18,605 m até o vértice **93**, de coordenadas **N 8.237.814,790**m e **E 178.790,830**m; 298°53'41" e 20,716 m até o vértice **94**, de coordenadas **N 8.237.824,800**m e **E 178.772,693**m; 298°53'42" e 8,547 m até o vértice **95**, de coordenadas **N 8.237.828,930**m e **E 178.765,210**m; 293°31'14" e 18,179 m até o vértice **96**, de coordenadas **N 8.237.836,185**m e **E 178.748,541**m; 293°31'17" e 10,536 m até o vértice **97**, de coordenadas **N 8.237.840,390**m e **E 178.738,880**m; 303°25'33" e 16,846 m até o vértice **98**, de coordenadas **N 8.237.849,670**m e **E 178.724,820**m; 311°56'06" e 13,886 m até o vértice **99**, de coordenadas **N 8.237.858,950**m e **E 178.714,490**m; 2°38'12" e 0,304 m até o vértice **100**, de coordenadas **N 8.237.859,254**m e **E 178.714,504**m; 311°54'40" e 4,816 m até o vértice **101**, de coordenadas **N 8.237.862,471**m e **E 178.710,920**m; 311°55'33" e 1,595 m até o vértice **102**, de coordenadas **N 8.237.863,537**m e **E 178.709,733**m; 311°54'36" e 11,412 m até o vértice **103**, de coordenadas **N 8.237.871,160**m e **E 178.701,240**m; 320°17'11" e 35,757 m até o vértice **104**, de coordenadas **N 8.237.898,666**m e **E 178.678,393**m; 320°16'38" e 1,507 m até o vértice **105**, de coordenadas **N 8.237.899,825**m e **E 178.677,430**m; 337°23'26" e 1,686 m até o vértice **106**, de coordenadas **N 8.237.901,381**m e **E 178.676,782**m; 15°47'01" e 5,059 m até o vértice **107**, de coordenadas **N 8.237.906,249**m e **E 178.678,158**m; 20°08'01" e 10,145 m até o vértice **108**, de coordenadas **N 8.237.915,774**m e **E 178.681,650**m; 19°23'53" e 15,933 m até o vértice **109**, de coordenadas **N 8.237.930,803**m e **E 178.686,942**m; 20°33'20" e 22,605 m até o vértice **110**, de coordenadas **N 8.237.951,969**m e **E 178.694,879**m; 17°13'49" e 17,508 m até o vértice **111**, de coordenadas **N 8.237.968,691**m e **E 178.700,065**m; 18°45'44" e 29,284 m até o vértice **112**, de coordenadas **N 8.237.996,419**m e **E 178.709,484**m; 18°24'16" e 16,084 m até o vértice **113**, de coordenadas **N 8.238.011,680**m e **E 178.714,562**m; 316°36'03" e 22,047 m até o vértice **114**, de coordenadas **N 8.238.027,699**m e **E 178.699,414**m; 319°36'42" e 15,311 m até o vértice **115**, de coordenadas **N 8.238.039,361**m e **E 178.689,493**m; 321°05'59" e 5,024 m até o vértice **116**, de coordenadas **N 8.238.043,271**m e **E 178.686,338**m;



SPL - PLC 0019/2019 folha 000211

323°07'07" e 10,014 m até o vértice **117**, de coordenadas **N 8.238.051,281**m e **E 178.680,328**m; 324°54'33" e 9,985 m até o vértice **118**, de coordenadas **N 8.238.059,451**m e **E 178.674,588**m; 326°29'53" e 8,446 m até o vértice **119**, de coordenadas **N 8.238.066,494**m e **E 178.669,926**m; 326°31'09" e 1,519 m até o vértice **120**, de coordenadas **N 8.238.067,761**m e **E 178.669,088**m; 327°52'22" e 9,966 m até o vértice **121**, de coordenadas **N 8.238.076,201**m e **E 178.663,788**m; 329°02'10" e 9,971 m até o vértice **122**, de coordenadas **N 8.238.084,751**m e **E 178.658,658**m; 329°52'10" e 5,897 m até o vértice **123**, de coordenadas **N 8.238.089,851**m e **E 178.655,698**m; 330°30'16" e 9,972 m até o vértice **124**, de coordenadas **N 8.238.098,531**m e **E 178.650,788**m; 331°06'05" e 9,995 m até o vértice **125**, de coordenadas **N 8.238.107,281**m e **E 178.645,958**m; 331°32'10" e 9,987 m até o vértice **126**, de coordenadas **N 8.238.116,061**m e **E 178.641,198**m; 331°46'09" e 9,646 m até o vértice **127**, de coordenadas **N 8.238.124,560**m e **E 178.636,635**m; 331°43'13" e 10,357 m até o vértice **128**, de coordenadas **N 8.238.133,681**m e **E 178.631,728**m; 331°31'02" e 10,023 m até o vértice **129**, de coordenadas **N 8.238.142,491**m e **E 178.626,948**m; 331°04'44" e 10,008 m até o vértice **130**, de coordenadas **N 8.238.151,251**m e **E 178.622,108**m; 330°42'42" e 4,047 m até o vértice **131**, de coordenadas **N 8.238.154,781**m e **E 178.620,128**m; 330°09'40" e 6,045 m até o vértice **132**, de coordenadas **N 8.238.160,025**m e **E 178.617,120**m; 330°09'57" e 3,984 m até o vértice **133**, de coordenadas **N 8.238.163,481**m e **E 178.615,138**m; 329°25'07" e 10,024 m até o vértice **134**, de coordenadas **N 8.238.172,111**m e **E 178.610,038**m; 328°40'23" e 9,094 m até o vértice **135**, de coordenadas **N 8.238.179,879**m e **E 178.605,310**m; 328°00'22" e 6,315 m até o vértice **136**, de coordenadas **N 8.238.185,235**m e **E 178.601,964**m; 327°54'19" e 4,622 m até o vértice 137, de coordenadas **N 8.238.189,151**m e **E 178.599,508**m; 327°02'28" e 9,999 m até o vértice **138**, de coordenadas **N 8.238.197,541**m e **E 178.594,068**m; 326°11'54" e 9,976 m até o vértice **139**, de coordenadas **N 8.238.205,831**m e **E 178.588,518**m; 343°35'56" e 3,039 m até o vértice **140**, de coordenadas **N 8.238.208,746**m e **E 178.587,660**m, localizado na Nascente de Fluxo D'Água sem nome; deste, segue a jusante pelo Fluxo D'Água sem nome até atingir o vértice **141**, de coordenadas **N 8.239.135,823**m e **E 177.669,323**m, localizado na confluência do Fluxo D'Àgua sem nome com o Riacho Fundo; deste, segue a montante pelo talvegue do Riacho Fundo até atingir o vértice **142**, de coordenadas **N 8.241.725,904**m e **E 174.423,083**m; deste, deixando o referido Riacho, segue por linha divisória com os seguintes azimutes e distâncias: 15°43'19" e 14,932 m até o vértice **143**, de coordenadas **N 8.241.740,277**m e **E 174.427,129**m; 16°22'59" e 14,547 m até o vértice **144**, de coordenadas



SPL - PLC 0019/2019 folha 000212

**N 8.241.754,233**m e **E 174.431,232**m; 15°45'11" e 14,774 m até o vértice **145**, de coordenadas **N 8.241.768,452**m e **E 174.435,243**m; 21°02'45" e 1,985 m até o vértice **146**, de coordenadas **N 8.241.770,305**m e **E 174.435,956**m; 16°22'45" e 5,351 m até o vértice **147**, de coordenadas **N 8.241.775,439**m e **E 174.437,465**m; 15°37'02" e 7,340 m até o vértice **148**, de coordenadas **N 8.241.782,508**m e **E 174.439,441**m; 26°35'28" e 5,884 m até o vértice **149**, de coordenadas **N 8.241.787,770**m e **E 174.442,075**m; 28°19'19" e 4,405 m até o vértice **150**, de coordenadas **N 8.241.791,648**m e **E 174.444,165**m; 28°20'27" e 3,103 m até o vértice **151**, de coordenadas **N 8.241.794,379**m e **E 174.445,638**m; 28°19'32" e 7,060 m até o vértice **152**, de coordenadas **N 8.241.800,594**m e **E 174.448,988**m; 24°07'44" e 16,539 m até o vértice **153**, de coordenadas **N 8.241.815,688**m e **E 174.455,749**m; 20°34'45" e 33,197 m até o vértice 154, de coordenadas **N 8.241.846,767**m e **E 174.467,418**m; 15°46'07" e 24,220 m até o vértice 155, de coordenadas **N 8.241.870,076**m e **E 174.474,000**m; 8°28'20" e 24,632 m até o vértice **156**, de coordenadas **N 8.241.894,439**m e **E 174.477,629**m; 8°32'23" e 12,088 m até o vértice **157**, de coordenadas **N 8.241.906,393**m e **E 174.479,424**m; 3°57'15" e 8,687 m até o vértice **158**, de coordenadas **N 8.241.915,059**m e **E 174.480,023**m; 357°01'20" e 23,041 m até o vértice **159**, de coordenadas **N 8.241.938,069**m e **E 174.478,826**m; 349°35'29" e 51,449 m até o vértice **160**, de coordenadas **N 8.241.988,671**m e **E 174.469,531**m; 345°43'09" e 14,485 m até o vértice **161**, de coordenadas **N 8.242.002,708**m e **E 174.465,958**m; 355°46'54" e 73,795 m até o vértice **162**, de coordenadas **N 8.242.076,303**m e **E 174.460,530**m; 352°32'44" e 33,252 m até o vértice **163**, de coordenadas **N 8.242.109,274**m e **E 174.456,216**m; 343°39'26" e 50,273 m até o vértice **164**, de coordenadas **N 8.242.157,516**m e **E 174.442,070**m; 351°29'27" e 15,497 m até o vértice **165**, de coordenadas **N 8.242.172,842**m e **E 174.439,777**m; 354°53'49" e 18,798 m até o vértice **166**, de coordenadas **N 8.242.191,565**m e **E 174.438,105**m; 353°21'01" e 63,472 m até o vértice **167**, de coordenadas **N 8.242.254,610**m e **E 174.430,755**m; 359°13'11" e 20,047 m até o vértice 168, de coordenadas **N 8.242.274,655**m e **E 174.430,482**m; 4°25'30" e 13,324 m até o vértice 169, de coordenadas **N 8.242.287,939**m e **E 174.431,510**m; 4°05'51" e 22,728 m até o vértice **170**, de coordenadas **N 8.242.310,609**m e **E 174.433,134**m; 12°40'58" e 8,399 m até o vértice **171**, de coordenadas **N 8.242.318,803**m e **E 174.434,978**m; 21°18'19" e 7,869 m até o vértice **172**, de coordenadas **N 8.242.326,134**m e **E 174.437,837**m; 34°10'17" e 14,528 m até o vértice **173**, de coordenadas **N 8.242.338,154**m e **E 174.445,997**m; 33°24'36" e 17,527 m até o vértice **174**, de coordenadas **N 8.242.352,785**m e **E 174.455,648**m; 30°40'05" e 18,870 m até o vértice **175**, de coordenadas **N 8.242.369,016**m e **E 174.465,273**m;



SFL - PLC 0019/2019 folha 000213

29°11'27" e 17,883 m até o vértice **176**, de coordenadas **N 8.242.384,628**m e **E 174.473,995**m; 30°01'29" e 32,296 m até o vértice **177**, de coordenadas **N 8.242.412,590**m e **E 174.490,155**m; 29°02'10" e 42,601 m até o vértice **178**, de coordenadas **N 8.242.449,837**m e **E 174.510,832**m; 29°41'03" e 22,487 m até o vértice **179**, de coordenadas **N 8.242.469,373**m e **E 174.521,968**m; 35°43'09" e 21,778 m até o vértice **180**, de coordenadas **N 8.242.487,054**m e **E 174.534,682**m; 35°43'12" e 13,633 m até o vértice **181**, de coordenadas **N 8.242.498,122**m e **E 174.542,641**m; 30°37'02" e 29,087 m até o vértice **182**, de coordenadas **N 8.242.523,154**m e **E 174.557,455**m; 30°36'49" e 23,602 m até o vértice **183**, de coordenadas **N 8.242.543,466**m e **E 174.569,474**m; 29°12'47" e 11,277 m até o vértice **184**, de coordenadas **N 8.242.553,309**m e **E 174.574,978**m; 18°34'51" e 13,674 m até o vértice **185**, de coordenadas **N 8.242.566,270**m e **E 174.579,335**m; 13°31'21" e 6,680 m até o vértice **186**, de coordenadas **N 8.242.572,765**m e **E 174.580,897**m; 13°31'31" e 24,423 m até o vértice **1**, ponto inicial da descrição deste perímetro. Todas as coordenadas aqui descritas estão georreferenciadas ao Sistema Geodésico Brasileiro e encontram-se representadas no Sistema UTM, referenciadas ao **Meridiano Central 45° WGr, Fuso 23**, tendo como o Datum o **SICAD-SIRGAS 2000.** Todos os azimutes e distâncias, áreas e perímetros foram calculados no plano de projeção UTM.



SFL - PLC 0019/2019 folha 000214

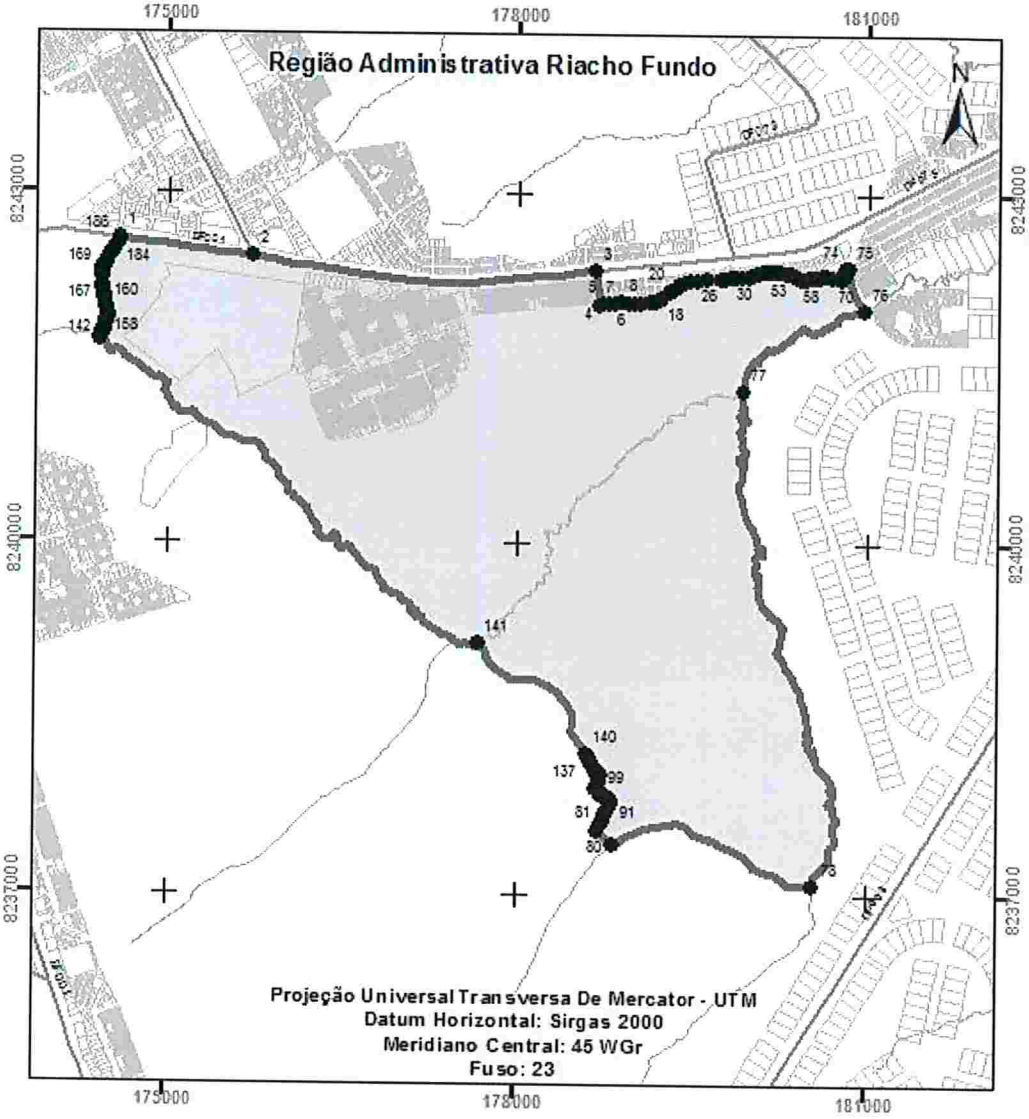




SPL - PLC 0019/2019 folha 000215

# MEMORIAL DESCRITIVO

## LAGO NORTE – RA XVIII

Perímetro: 81.977,019 m  Área: 7.549,172 ha

Para a descrição dos limites da Região Administrativa do Lago Norte, fora desconsiderada a área relativa de 162,944 hectares, a qual faz referência à Região Administrativa do Varjão, cujo será representada em memorial descritivo próprio.

Após as considerações apresentadas, inicia-se a descrição deste perímetro no vértice **1**, de coordenadas **N 8.264.415,15** m. e **E 191.702,07** m., situado no vértice ao norte da RA XVII – Lago Norte, deste, segue com azimute de 177°24'53" e distância de 613,19 m., até o vértice **2**, de coordenadas **N 8.263.802,58** m. e **E 191.729,72** m.; deste, segue com azimute de 177°24'53" e distância de 468,91 m., até o vértice **3**, de coordenadas **N 8.263.334,15** m. e **E 191.750,88** m.; deste, segue com azimute de 177°24'53" e distância de 94,07 m., até o vértice **4**, de coordenadas **N 8.263.240,18** m. e **E 191.755,12** m.; deste, segue com azimute de 177°24'53" e distância de 409,73 m., até o vértice **5**, de coordenadas **N 8.262.830,86** m. e **E 191.773,60** m.; deste, segue com azimute de 177°41'00" e distância de 262,07 m., até o vértice **6**, de coordenadas **N 8.262.569,01** m. e **E 191.784,19** m.; ponto situado no eixo da Rodovia DF-003 deste, segue pela Rodovia DF-003, até o vértice **7**, de coordenadas **N 8.263.481,14** m. e **E 193.478,15** m.; ponto de interseção entre as Rodovias DF-003, DF-001 e BR-020 deste, segue pela Rodovia DF-001, até o vértice **8**, de coordenadas **N 8.257.502,07** m. e **E 201.658,51** m.; deste, segue com azimute de 248°42'57" e distância de 792,91 m., até o vértice **9**, de coordenadas **N 8.257.214,25** m. e **E 200.919,68** m.; deste, segue com azimute de 193°04'59" e distância de 269,24 m., até o vértice **10**, de coordenadas **N 8.256.951,99** m. e **E 200.858,74** m.; deste, segue com azimute de 104°18'27" e distância de 579,56 m., até o vértice **11**, de coordenadas **N 8.256.808,77** m. e **E 201.420,32** m.; deste, segue com azimute de 193°23'33" e distância de 314,14 m., até o vértice **12**, de coordenadas **N 8.256.503,17** m. e **E 201.347,56** m.; deste, segue com azimute de 93°55'54" e distância de 192,94 m., até o vértice **13**, de coordenadas **N 8.256.489,94** m. e **E 201.540,04** m.; deste, segue com azimute de 171°10'58" e distância de 405,64 m., até o vértice **14**, de coordenadas **N 8.256.089,10** m. e **E 201.602,22** m.; deste, segue com azimute de 272°36'09" e distância de 87,40 m., até o vértice **15**, de coordenadas **N 8.256.093,07** m. e **E 201.514,91** m.; deste, segue com azimute de 205°24'42" e distância de 220,43 m., até o vértice **16**, de coordenadas



SPL - PLC 0019/2019 folha 000216

**N 8.255.893,97** m. e **E 201.420,32** m.; deste, segue com azimute de 121°32'05" e distância de 34,15 m., até o vértice **17**, de coordenadas **N 8.255.876,11** m. e **E 201.449,42** m.; deste, segue com azimute de 124°37'27" e distância de 33,76 m., até o vértice **18**, de coordenadas **N 8.255.856,93** m. e **E 201.477,21** m.; deste, segue com azimute de 98°55'50" e distância de 46,87 m., até o vértice **19**, de coordenadas **N 8.255.849,65** m. e **E 201.523,51** m.; deste, segue com azimute de 88°43'38" e distância de 29,77 m., até o vértice **20**, de coordenadas **N 8.255.850,31** m. e **E 201.553,27** m.; deste, segue com azimute de 170°42'52" e distância de 176,27 m., até o vértice **21**, de coordenadas **N 8.255.676,35** m. e **E 201.581,72** m.; deste, segue com azimute de 88°36'10" e distância de 54,26 m., até o vértice **22**, de coordenadas **N 8.255.677,67** m. e **E 201.635,96** m.; deste, segue com azimute de 111°48'06" e distância de 24,93 m., até o vértice **23**, de coordenadas **N 8.255.668,41** m. e **E 201.659,11** m.; deste, segue com azimute de 134°59'59" e distância de 19,64 m., até o vértice **24**, de coordenadas **N 8.255.654,52** m. e **E 201.673,00** m.; deste, segue com azimute de 141°37'58" e distância de 20,25 m., até o vértice **25**, de coordenadas **N 8.255.638,65** m. e **E 201.685,57** m.; deste, segue com azimute de 175°17'31" e distância de 49,35 m., até o vértice **26**, de coordenadas **N 8.255.589,46** m. e **E 201.689,62** m.; ponto situado no eixo da Rodovia DF-015 deste, segue pela Rodovia DF-015, até o vértice **27**, de coordenadas **N 8.255.807,36** m. e **E 198.553,51** m.; interseção entre a Rodovia DF-015 e o eixo da Rodovia DF-005 deste, segue pela Rodovia DF-005, até o vértice **28**, de coordenadas **N 8.253.206,67** m. e **E 201.414,79** m.; deste, segue com azimute de 213°08'56" e distância de 27,34 m., até o vértice **29**, de coordenadas **N 8.253.183,78** m. e **E 201.399,85** m.; deste, segue com azimute de 225°13'47" e distância de 13,16 m., até o vértice **30**, de coordenadas **N 8.253.174,51** m. e **E 201.390,50** m.; deste, segue com azimute de 218°36'43" e distância de 10,12 m., até o vértice **31**, de coordenadas **N 8.253.166,60** m. e **E 201.384,19** m.; deste, segue com azimute de 200°01'56" e distância de 8,76 m., até o vértice **32**, de coordenadas **N 8.253.158,37** m. e **E 201.381,19** m.; deste, segue com azimute de 187°53'53" e distância de 12,60 m., até o vértice **33**, de coordenadas **N 8.253.145,89** m. e **E 201.379,45** m.; deste, segue com azimute de 187°53'55" e distância de 9,32 m., até o vértice **34**, de coordenadas **N 8.253.136,65** m. e **E 201.378,17** m.; deste, segue com azimute de 174°11'09" e distância de 29,38 m., até o vértice **35**, de coordenadas **N 8.253.107,42** m. e **E 201.381,15** m.; deste, segue com azimute de 190°05'38" e distância de 47,87 m., até o vértice **36**, de coordenadas **N 8.253.060,29** m. e **E 201.372,76** m.; deste, segue com azimute de 195°44'54" e distância de 22,42 m., até o vértice **37**, de coordenadas **N 8.253.038,72** m. e **E 201.366,68** m.; deste, segue com azimute de 195°44'54"



SFL - PLC 0019/2019 folha 000217

e distância de 53,89 m., até o vértice **38**, de coordenadas **N 8.252.986,85** m. e **E 201.352,05** m.; deste, segue com azimute de 192°50'18" e distância de 86,64 m., até o vértice **39**, de coordenadas **N 8.252.902,38** m. e **E 201.332,80** m.; deste, segue com azimute de 192°50'18" e distância de 15,34 m., até o vértice **40**, de coordenadas **N 8.252.887,42** m. e **E 201.329,39** m.; deste, segue com azimute de 196°37'06" e distância de 57,06 m., até o vértice **41**, de coordenadas **N 8.252.832,74** m. e **E 201.313,07** m.; deste, segue com azimute de 201°16'21" e distância de 55,58 m., até o vértice **42**, de coordenadas **N 8.252.780,95** m. e **E 201.292,91** m.; deste, segue com azimute de 201°16'22" e distância de 13,22 m., até o vértice **43**, de coordenadas **N 8.252.768,63** m. e **E 201.288,11** m.; deste, segue com azimute de 197°45'04" e distância de 64,39 m., até o vértice **44**, de coordenadas **N 8.252.707,31** m. e **E 201.268,48** m.; deste, segue com azimute de 200°11'38" e distância de 124,25 m., até o vértice **45**, de coordenadas **N 8.252.590,70** m. e **E 201.225,59** m.; deste, segue com azimute de 196°27'49" e distância de 113,16 m., até o vértice **46**, de coordenadas **N 8.252.482,18** m. e **E 201.193,52** m.; deste, segue com azimute de 163°38'42" e distância de 24,40 m., até o vértice **47**, de coordenadas **N 8.252.458,77** m. e **E 201.200,39** m.; deste, segue com azimute de 156°24'03" e distância de 26,10 m., até o vértice **48**, de coordenadas **N 8.252.434,85** m. e **E 201.210,84** m.; deste, segue com azimute de 191°15'16" e distância de 14,14 m., até o vértice **49**, de coordenadas **N 8.252.420,98** m. e **E 201.208,08** m.; deste, segue com azimute de 207°18'16" e distância de 33,62 m., até o vértice **50**, de coordenadas **N 8.252.391,11** m. e **E 201.192,66** m.; deste, segue com azimute de 188°55'42" e distância de 67,91 m., até o vértice **51**, de coordenadas **N 8.252.324,02** m. e **E 201.182,12** m.; deste, segue com azimute de 186°00'32" e distância de 43,18 m., até o vértice **52**, de coordenadas **N 8.252.281,08** m. e **E 201.177,60** m.; deste, segue com azimute de 183°30'18" e distância de 42,62 m., até o vértice **53**, de coordenadas **N 8.252.238,54** m. e **E 201.174,99** m.; ponto situado às margens do Lago Paranoá deste, segue margeando o Lago Paranoá, até o vértice **54**, de coordenadas **N 8.259.037,65** m. e **E 189.101,99** m.; ponto de confluência entre o Lago Paranoá e Ribeirão Bananal deste, segue margeando o Ribeirão Bananal, até o vértice **55**, de coordenadas **N 8.260.267,71** m. e **E 186.720,74** m.; deste, segue com azimute de 9°32'57" e distância de 80,32 m., até o vértice **56**, de coordenadas **N 8.260.346,92** m. e **E 186.734,06** m.; deste, segue com azimute de 10°18'13" e distância de 368,10 m., até o vértice **57**, de coordenadas **N 8.260.709,08** m. e **E 186.799,90** m.; deste, segue com azimute de 6°46'02" e distância de 226,42 m., até o vértice **58**, de coordenadas **N 8.260.933,92** m. e **E 186.826,58** m.; deste, segue com azimute de 12°04'26" e distância de 621,25 m., até o vértice **59**, de coordenadas



SFL - PLC 0019/2019 folha 000218

**N 8.261.541,43** m. e **E 186.956,53** m.; deste, segue com azimute de 12°04'26" e distância de 223,35 m., até o vértice **60**, de coordenadas **N 8.261.759,84** m. e **E 187.003,25** m.; deste, segue com azimute de 27°19'03" e distância de 652,25 m., até o vértice **61**, de coordenadas **N 8.262.339,35** m. e **E 187.302,58** m.; deste, segue com azimute de 27°19'03" e distância de 539,68 m., até o vértice **62**, de coordenadas **N 8.262.818,84** m. e **E 187.550,25** m.; deste, segue com azimute de 160°51'59" e distância de 51,87 m., até o vértice **63**, de coordenadas **N 8.262.769,84** m. e **E 187.567,25** m.; deste, segue com azimute de 142°30'26" e distância de 276,02 m., até o vértice **64**, de coordenadas **N 8.262.550,84** m. e **E 187.735,25** m.; deste, segue com azimute de 68°44'04" e distância de 198,52 m., até o vértice **65**, de coordenadas **N 8.262.622,84** m. e **E 187.920,25** m.; deste, segue com azimute de 339°26'43" e distância de 18,60 m., até o vértice **66**, de coordenadas **N 8.262.640,26** m. e **E 187.913,72** m.; deste, segue com azimute de 341°26'49" e distância de 25,39 m., até o vértice **67**, de coordenadas **N 8.262.664,33** m. e **E 187.905,64** m.; deste, segue com azimute de 14°37'07" e distância de 22,23 m., até o vértice **68**, de coordenadas **N 8.262.685,84** m. e **E 187.911,25** m.; deste, segue com azimute de 60°17'23" e distância de 10,67 m., até o vértice **69**, de coordenadas **N 8.262.691,13** m. e **E 187.920,52** m.; deste, segue com azimute de 119°15'00" e distância de 27,20 m., até o vértice **70**, de coordenadas **N 8.262.677,84** m. e **E 187.944,25** m.; deste, segue com azimute de 89°59'59" e distância de 26,00 m., até o vértice **71**, de coordenadas **N 8.262.677,84** m. e **E 187.970,25** m.; deste, segue com azimute de 2°11'34" e distância de 18,29 m., até o vértice **72**, de coordenadas **N 8.262.696,12** m. e **E 187.970,95** m.; deste, segue com azimute de 39°10'34" e distância de 26,55 m., até o vértice **73**, de coordenadas **N 8.262.716,70** m. e **E 187.987,72** m.; deste, segue com azimute de 95°33'35" e distância de 49,23 m., até o vértice **74**, de coordenadas **N 8.262.711,93** m. e **E 188.036,72** m.; deste, segue com azimute de 3°17'31" e distância de 85,50 m., até o vértice **75**, de coordenadas **N 8.262.797,29** m. e **E 188.041,63** m.; deste, segue com azimute de 72°11'33" e distância de 96,72 m., até o vértice **76**, de coordenadas **N 8.262.826,87** m. e **E 188.133,72** m.; deste, segue com azimute de 88°57'36" e distância de 108,55 m., até o vértice **77**, de coordenadas **N 8.262.828,84** m. e **E 188.242,25** m.; deste, segue com azimute de 134°48'30" e distância de 211,43 m., até o vértice **78**, de coordenadas **N 8.262.679,84** m. e **E 188.392,25** m.; deste, segue com azimute de 135°30'20" e distância de 237,94 m., até o vértice **79**, de coordenadas **N 8.262.510,11** m. e **E 188.559,01** m.; deste, segue com azimute de 62°59'16" e distância de 401,86 m., até o vértice **80**, de coordenadas **N 8.262.692,63** m. e **E 188.917,04** m.; deste, segue com azimute de 61°58'12" e distância de 370,44 m., até o vértice **81**, de coordenadas



SFL - PLC 0019/2019 folha 000219

**N 8.262.866,71** m. e **E 189.244,02** m.; deste, segue com azimute de 61°58'12" e distância de 775,99 m., até o vértice **82**, de coordenadas **N 8.263.231,37** m. e **E 189.928,98** m.; deste, segue com azimute de 61°54'20" e distância de 627,84 m., até o vértice **83**, de coordenadas **N 8.263.527,04** m. e **E 190.482,84** m.; deste, segue com azimute de 61°54'20" e distância de 479,43 m., até o vértice **84**, de coordenadas **N 8.263.752,81** m. e **E 190.905,78** m.; deste, segue com azimute de 61°53'51" e distância de 233,19 m., até o vértice **85**, de coordenadas **N 8.263.862,65** m. e **E 191.111,47** m.; deste, segue com azimute de 61°50'50" e distância de 371,93 m., até o vértice **86**, de coordenadas **N 8.264.038,14** m. e **E 191.439,40** m.; deste, segue com azimute de 34°51'53" e distância de 459,49 m., até o vértice **1**, de coordenadas **N 8.264.415,15** m. e **E 191.702,07** m.; ponto inicial da descrição deste perímetro. Todos os azimutes e distâncias, áreas e perímetros foram calculados no plano de projeção UTM. Todas as coordenadas aqui descritas estão georreferenciadas ao Sistema Geodésico Brasileiro e encontram-se representadas no Sistema UTM, referenciadas ao **Meridiano Central 45° WGr, Fuso 23**, tendo como o *Datum* o **SICAD-SIRGAS 2000.** Todos os azimutes e distâncias, áreas e perímetros foram calculados no plano de projeção UTM.



SFL - PLC 0019/2019 folha 000220

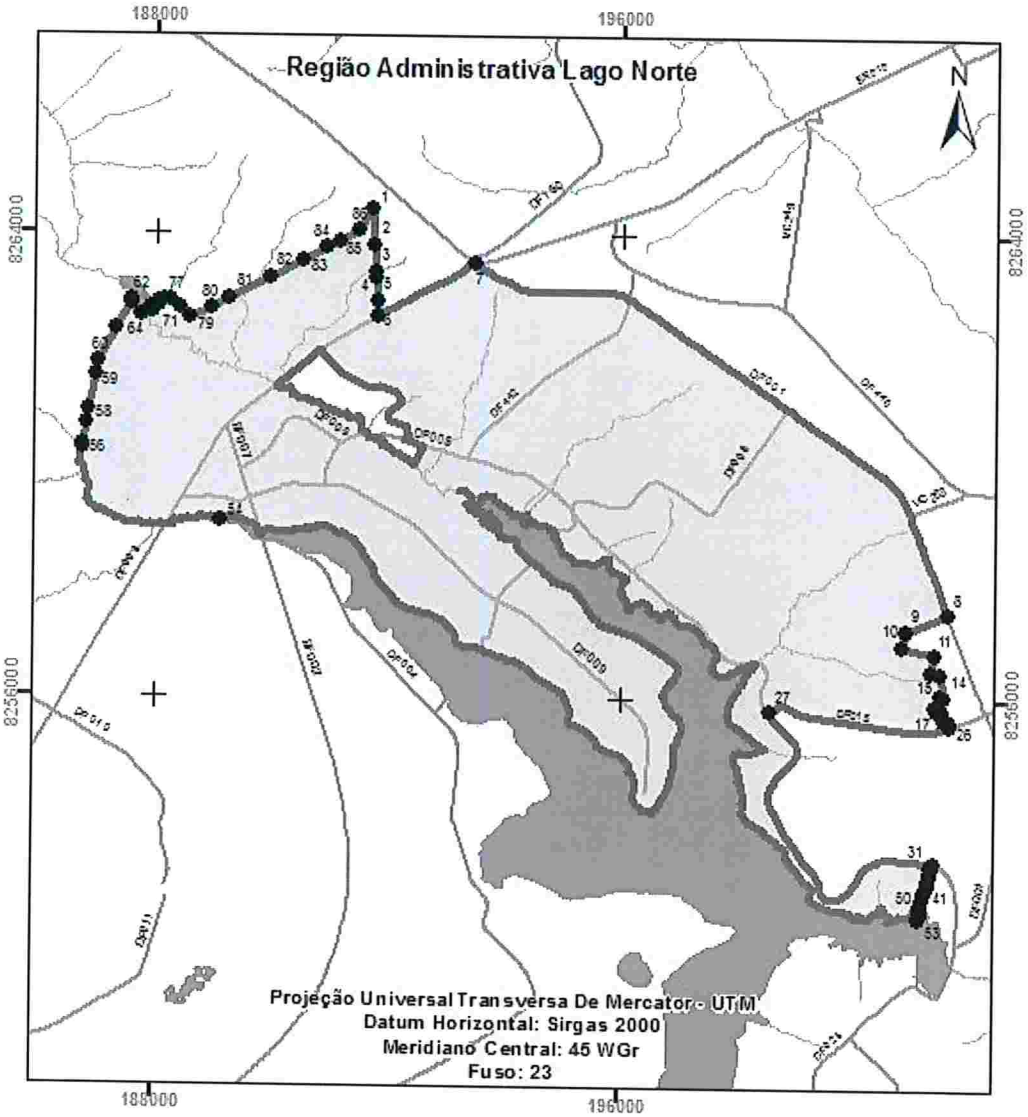




SPL - PLC 0019/2019 folha 000221

# MEMORIAL DESCRITIVO

## CANDANGOLÂNDIA – RA XIX

Perímetro: 11.012,006 m  Área: 660,1864 ha

Inicia-se a descrição deste perímetro no vértice **1**, de coordenadas **N 8.246.471,855**m e **E 183.652,767**m, localizado na interseção da Rodovia DF-003 com a Rodovia DF-051; deste, segue pelo eixo da Rodovia DF-051 até atingir o vértice **2**, de coordenadas **N 8.246.004,150**m e **E 185.998,118**m, localizado na interseção da Rodovia DF-051 com a Rodovia DF-047; deste, segue pelo eixo da Rodovia DF-047 até atingir o vértice **3**, de coordenadas **N 8.244.230,927**m e **E 185.646,636**m, localizado na interseção da Rodovia DF-047 com a Rodovia DF-025; deste, segue pelo eixo da Rodovia DF-025 até atingir o vértice **4**, de coordenadas **N 8.242.701,557**m e **E 183.122,012**m, localizado no entroncamento da Rodovia DF-025 com a Rodovia DF-003; deste, segue pelo eixo da Rodovia DF-003 até atingir o vértice **1**, ponto inicial da descrição deste perímetro. Todas as coordenadas aqui descritas estão georreferenciadas ao Sistema Geodésico Brasileiro e encontram-se representadas no Sistema UTM, referenciadas ao **Meridiano Central 45° WGr, Fuso 23**, tendo como o Datum o **SICAD-SIRGAS 2000.** Todos os azimutes e distâncias, áreas e perímetros foram calculados no plano de projeção UTM.



SPL - PLC 0019/2019 folha 000222

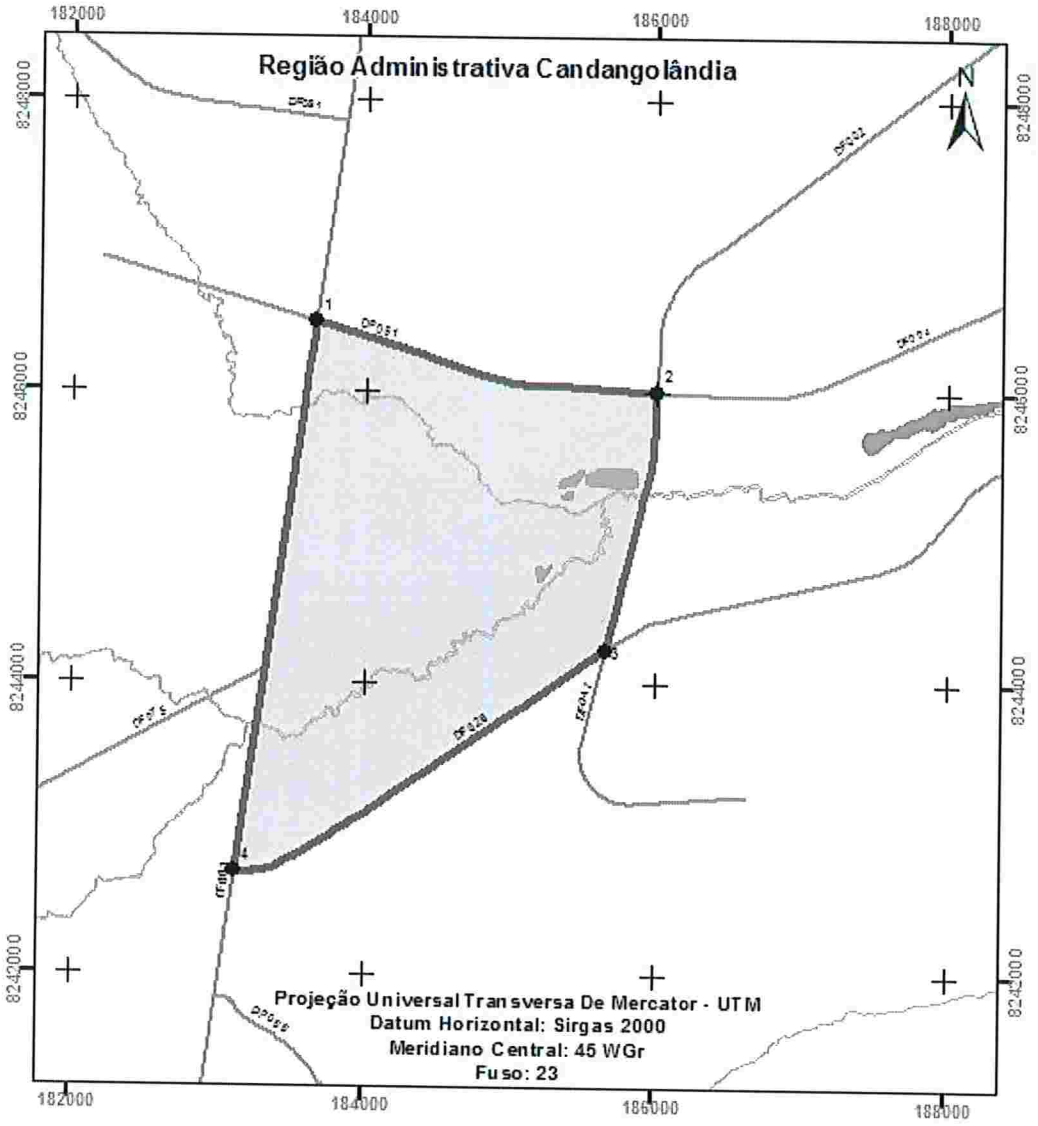




SFL - PLC 0019/2019 folha 000223

# MEMORIAL DESCRITIVO

## Região Administrativa de Águas Claras

Área: 918,657 ha

Perímetro: 16.728,105 m

Inicia-se a descrição deste perímetro no vértice **1**, de coordenadas **N 8.249.275,78** m e **E 178.083,55** m, ponto de cruzamento entre a Rodovia DF-085 e o Córrego Vicente Pires deste, segue pelo Córrego Vicente Pires, até o vértice **2**, de coordenadas **N 8.248.922,51** m e **E 178.519,36** m; ponto de confluência entre o Córrego Vicente Pires com o Córrego Samambaia **deste**, segue pelo Córrego Samambaia, até o vértice **3**, de coordenadas **N 8.248.887,30** m e **E 178.276,20** m; **deste**, segue com azimute de 214°48'14" e distância de 2,14 m, até o vértice **4**, de coordenadas **N 8.248.885,54** m e **E 178.274,98** m; **deste**, segue com azimute de 214°57'35" e distância de 7,20 m, até o vértice **5**, de coordenadas **N 8.248.879,64** m e **E 178.270,85** m; **deste**, segue com azimute de 214°57'36" e distância de 5,83 m, até o vértice **6**, de coordenadas **N 8.248.874,86** m e **E 178.267,51** m; **deste**, segue com azimute de 214°57'36" e distância de 36,04 m, até o vértice **7**, de coordenadas **N 8.248.845,32** m e **E 178.246,86** m; **deste**, segue com azimute de 211°09'02" e distância de 87,05 m, até o vértice **8**, de coordenadas **N 8.248.770,82** m e **E 178.201,83** m; **deste**, segue com azimute de 243°49'37" e distância de 35,98 m, até o vértice **9**, de coordenadas **N 8.248.754,95** m e **E 178.169,54** m; **deste**, segue com azimute de 236°48'45" e distância de 10,55 m, até o vértice **10**, de coordenadas **N 8.248.749,18** m e **E 178.160,71** m; **deste**, segue com azimute de 237°01'54" e distância de 1,08 m, até o vértice **11**, de coordenadas **N 8.248.748,59** m e **E 178.159,80** m; **deste**, segue com azimute de 237°02'01" e distância de 3,97 m, até o vértice **12**, de coordenadas **N 8.248.746,43** m e **E 178.156,47** m; **deste**, segue com azimute de 244°54'32" e distância de 6,10 m, até o vértice **13**, de coordenadas **N 8.248.743,84** m e **E 178.150,95** m; **deste**, segue com azimute de 244°54'30" e distância de 22,99 m, até o vértice **14**, de coordenadas **N 8.248.734,09** m e **E 178.130,13** m; **deste**, segue com azimute de 244°54'30" e distância de 110,04 m, até o vértice **15**, de coordenadas **N 8.248.687,43** m e **E 178.030,47** m; **deste**, segue com azimute de 246°07'53" e distância de 52,83 m, até o vértice **16**, de coordenadas **N 8.248.666,05** m e **E 177.982,16** m; **deste**, segue com azimute de 246°07'53" e distância de 5,74 m, até o vértice **17**, de coordenadas **N 8.248.663,73** m e **E 177.976,92** m; **deste**, segue com azimute de 246°07'53" e distância de



SFL - PLC 0019/2019 folha 000224

89,33 m, até o vértice **18**, de coordenadas **N 8.248.627,59** m e **E 177.895,23** m; **deste**, segue com azimute de 246°07'53" e distância de 38,59 m, até o vértice **19**, de coordenadas **N 8.248.611,97** m e **E 177.859,94** m; **deste**, segue com azimute de 246°07'52" e distância de 6,90 m, até o vértice **20**, de coordenadas **N 8.248.609,18** m e **E 177.853,63** m; **deste**, segue com azimute de 246°07'53" e distância de 13,10 m, até o vértice **21**, de coordenadas **N 8.248.603,88** m e **E 177.841,65** m; **deste**, segue com azimute de 244°29'44" e distância de 56,78 m, até o vértice **22**, de coordenadas **N 8.248.579,43** m e **E 177.790,40** m; **deste**, segue com azimute de 246°50'42" e distância de 24,21 m, até o vértice **23**, de coordenadas **N 8.248.569,91** m e **E 177.768,14** m; **deste**, segue com azimute de 246°50'42" e distância de 62,47 m, até o vértice **24**, de coordenadas **N 8.248.545,35** m e **E 177.710,71** m; **deste**, segue com azimute de 245°43'01" e distância de 9,58 m, até o vértice **25**, de coordenadas **N 8.248.541,41** m e **E 177.701,98** m; **deste**, segue com azimute de 245°11'47" e distância de 125,50 m, até o vértice **26**, de coordenadas **N 8.248.488,76** m e **E 177.588,06** m; **deste**, segue com azimute de 245°12'45" e distância de 56,64 m, até o vértice **27**, de coordenadas **N 8.248.465,01** m e **E 177.536,63** m; **deste**, segue com azimute de 245°12'45" e distância de 57,24 m, até o vértice **28**, de coordenadas **N 8.248.441,02** m e **E 177.484,66** m; **deste**, segue com azimute de 245°04'32" e distância de 19,31 m, até o vértice **29**, de coordenadas **N 8.248.432,88** m e **E 177.467,16** m; ponto situado na Rodovia DF-079 **deste**, segue pela Rodovia DF-079, até o vértice **30**, de coordenadas **N 8.248.534,86** m e **E 177.419,87** m; **deste**, segue com azimute de 246°35'10" e distância de 47,61 m, até o vértice **31**, de coordenadas **N 8.248.515,94** m e **E 177.376,17** m; **deste**, segue com azimute de 245°41'00" e distância de 11,99 m, até o vértice **32**, de coordenadas **N 8.248.511,00** m e **E 177.365,25** m; **deste**, segue com azimute de 245°41'02" e distância de 61,88 m, até o vértice **33**, de coordenadas **N 8.248.485,52** m e **E 177.308,86** m; **deste**, segue com azimute de 245°41'01" e distância de 63,12 m, até o vértice **34**, de coordenadas **N 8.248.459,53** m e **E 177.251,33** m; **deste**, segue com azimute de 245°42'37" e distância de 107,79 m, até o vértice **35**, de coordenadas **N 8.248.415,19** m e **E 177.153,09** m; **deste**, segue com azimute de 154°15'31" e distância de 3,59 m, até o vértice **36**, de coordenadas **N 8.248.411,95** m e **E 177.154,65** m; **deste**, segue com azimute de 155°28'35" e distância de 320,33 m, até o vértice **37**, de coordenadas **N 8.248.120,52** m e **E 177.287,61** m; **deste**, segue com azimute de 156°05'29" e distância de 148,59 m, até o vértice **38**, de coordenadas **N 8.247.984,69** m e **E 177.347,83** m; **deste**, segue com azimute de 159°14'29" e distância de 100,96 m, até o vértice **39**, de coordenadas **N 8.247.890,28** m e **E 177.383,61** m; **deste**, segue com azimute de 153°47'12"



SML - PLC 0019/2019 folha 000225

e distância de 8,89 m, até o vértice **40**, de coordenadas **N 8.247.882,31** m e **E 177.387,54** m; **deste**, segue com azimute de 153°47'13" e distância de 31,42 m, até o vértice **41**, de coordenadas **N 8.247.854,12** m e **E 177.401,42** m; **deste**, segue com azimute de 155°13'29" e distância de 32,45 m, até o vértice **42**, de coordenadas **N 8.247.824,66** m e **E 177.415,01** m; **deste**, segue com azimute de 136°53'40" e distância de 29,15 m, até o vértice **43**, de coordenadas **N 8.247.803,38** m e **E 177.434,93** m; **deste**, segue com azimute de 161°58'57" e distância de 15,00 m, até o vértice **44**, de coordenadas **N 8.247.789,11** m e **E 177.439,57** m; **deste**, segue com azimute de 244°07'55" e distância de 9,69 m, até o vértice **45**, de coordenadas **N 8.247.784,88** m e **E 177.430,85** m; **deste**, segue com azimute de 155°40'59" e distância de 20,94 m, até o vértice **46**, de coordenadas **N 8.247.765,79** m e **E 177.439,48** m; **deste**, segue com azimute de 155°40'58" e distância de 41,39 m, até o vértice **47**, de coordenadas **N 8.247.728,07** m e **E 177.456,52** m; **deste**, segue com azimute de 155°40'59" e distância de 4,45 m, até o vértice **48**, de coordenadas **N 8.247.724,02** m e **E 177.458,36** m; **deste**, segue com azimute de 155°40'58" e distância de 106,10 m, até o vértice **49**, de coordenadas **N 8.247.627,34** m e **E 177.502,04** m; **deste**, segue com azimute de 155°55'42" e distância de 134,59 m, até o vértice **50**, de coordenadas **N 8.247.504,45** m e **E 177.556,94** m; **deste**, segue com azimute de 155°55'39" e distância de 6,16 m, até o vértice **51**, de coordenadas **N 8.247.498,82** m e **E 177.559,45** m; **deste**, segue com azimute de 155°55'42" e distância de 89,84 m, até o vértice **52**, de coordenadas **N 8.247.416,80** m e **E 177.596,10** m; **deste**, segue com azimute de 156°09'51" e distância de 69,44 m, até o vértice **53**, de coordenadas **N 8.247.353,28** m e **E 177.624,16** m; **deste**, segue com azimute de 156°09'50" e distância de 22,50 m, até o vértice **54**, de coordenadas **N 8.247.332,70** m e **E 177.633,25** m; **deste**, segue com azimute de 155°19'58" e distância de 126,39 m, até o vértice **55**, de coordenadas **N 8.247.217,84** m e **E 177.686,00** m; **deste**, segue com azimute de 155°19'58" e distância de 27,94 m, até o vértice **56**, de coordenadas **N 8.247.192,45** m e **E 177.697,66** m; **deste**, segue com azimute de 156°53'54" e distância de 42,17 m, até o vértice **57**, de coordenadas **N 8.247.153,66** m e **E 177.714,21** m; **deste**, segue com azimute de 156°53'55" e distância de 6,30 m, até o vértice **58**, de coordenadas **N 8.247.147,87** m e **E 177.716,68** m; **deste**, segue com azimute de 171°48'02" e distância de 31,91 m, até o vértice **59**, de coordenadas **N 8.247.116,28** m e **E 177.721,23** m; **deste**, segue com azimute de 188°58'52" e distância de 32,36 m, até o vértice **60**, de coordenadas **N 8.247.084,32** m e **E 177.716,18** m; **deste**, segue com azimute de 199°01'22" e distância de 13,52 m, até o vértice **61**, de coordenadas **N 8.247.071,53** m e **E 177.711,77** m; **deste**, segue com azimute de 106°07'55"



SPL - PLC 0019/2019 folha 000226

e distância de 6,15 m, até o vértice **62**, de coordenadas **N 8.247.069,83** m e **E 177.717,68** m; **deste**, segue com azimute de 115°12'07" e distância de 31,19 m, até o vértice **63**, de coordenadas **N 8.247.056,54** m e **E 177.745,90** m; **deste**, segue com azimute de 132°28'06" e distância de 21,73 m, até o vértice **64**, de coordenadas **N 8.247.041,87** m e **E 177.761,93** m; **deste**, segue com azimute de 152°58'33" e distância de 28,86 m, até o vértice **65**, de coordenadas **N 8.247.016,16** m e **E 177.775,05** m; **deste**, segue com azimute de 154°41'34" e distância de 1,78 m, até o vértice **66**, de coordenadas **N 8.247.014,55** m e **E 177.775,81** m; **deste**, segue com azimute de 154°41'41" e distância de 10,78 m, até o vértice **67**, de coordenadas **N 8.247.004,80** m e **E 177.780,42** m; **deste**, segue com azimute de 154°41'40" e distância de 2,10 m, até o vértice **68**, de coordenadas **N 8.247.002,90** m e **E 177.781,32** m; **deste**, segue com azimute de 157°30'28" e distância de 41,13 m, até o vértice **69**, de coordenadas **N 8.246.964,90** m e **E 177.797,05** m; **deste**, segue com azimute de 67°03'15" e distância de 78,73 m, até o vértice **70**, de coordenadas **N 8.246.995,59** m e **E 177.869,55** m; **deste**, segue com azimute de 65°15'30" e distância de 126,44 m, até o vértice **71**, de coordenadas **N 8.247.048,51** m e **E 177.984,38** m; **deste**, segue com azimute de 65°46'20" e distância de 92,84 m, até o vértice **72**, de coordenadas **N 8.247.086,61** m e **E 178.069,04** m; ponto situado na Rodovia DF-079 **deste**, segue pela Rodovia DF-079, até o vértice **73**, de coordenadas **N 8.246.674,25** m e **E 178.253,51** m; **deste**, segue com azimute de 244°03'32" e distância de 31,65 m, até o vértice **74**, de coordenadas **N 8.246.660,41** m e **E 178.225,05** m; **deste**, segue com azimute de 246°27'41" e distância de 11,66 m, até o vértice **75**, de coordenadas **N 8.246.655,75** m e **E 178.214,36** m; **deste**, segue com azimute de 245°39'49" e distância de 68,79 m, até o vértice **76**, de coordenadas **N 8.246.627,40** m e **E 178.151,68** m; **deste**, segue com azimute de 245°51'51" e distância de 61,12 m, até o vértice **77**, de coordenadas **N 8.246.602,41** m e **E 178.095,90** m; **deste**, segue com azimute de 245°51'52" e distância de 38,31 m, até o vértice **78**, de coordenadas **N 8.246.586,74** m e **E 178.060,94** m; **deste**, segue com azimute de 245°51'49" e distância de 7,11 m, até o vértice **79**, de coordenadas **N 8.246.583,84** m e **E 178.054,45** m; **deste**, segue com azimute de 245°51'52" e distância de 81,74 m, até o vértice **80**, de coordenadas **N 8.246.550,42** m e **E 177.979,86** m; **deste**, segue com azimute de 245°33'54" e distância de 40,92 m, até o vértice **81**, de coordenadas **N 8.246.533,49** m e **E 177.942,61** m; **deste**, segue com azimute de 244°15'45" e distância de 3,47 m, até o vértice **82**, de coordenadas **N 8.246.531,98** m e **E 177.939,48** m; **deste**, segue com azimute de 244°15'47" e distância de 3,60 m, até o vértice **83**, de coordenadas **N 8.246.530,42** m e **E 177.936,23** m; **deste**, segue com azimute de 245°48'14"



SFL - PLC 0019/2019 folha 000227

e distância de 33,15 m, até o vértice **84**, de coordenadas **N 8.246.516,83** m e **E 177.906,00** m; **deste**, segue com azimute de 245°48'14" e distância de 11,35 m, até o vértice **85**, de coordenadas **N 8.246.512,18** m e **E 177.895,64** m; **deste**, segue com azimute de 245°39'40" e distância de 128,55 m, até o vértice **86**, de coordenadas **N 8.246.459,20** m e **E 177.778,52** m; **deste**, segue com azimute de 245°32'32" e distância de 5,76 m, até o vértice **87**, de coordenadas **N 8.246.456,81** m e **E 177.773,27** m; **deste**, segue com azimute de 245°32'32" e distância de 26,93 m, até o vértice **88**, de coordenadas **N 8.246.445,67** m e **E 177.748,76** m; **deste**, segue com azimute de 245°32'32" e distância de 89,66 m, até o vértice **89**, de coordenadas **N 8.246.408,55** m e **E 177.667,15** m; **deste**, segue com azimute de 245°31'40" e distância de 1,13 m, até o vértice **90**, de coordenadas **N 8.246.408,08** m e **E 177.666,13** m; **deste**, segue com azimute de 245°31'38" e distância de 27,61 m, até o vértice **91**, de coordenadas **N 8.246.396,64** m e **E 177.640,99** m; **deste**, segue com azimute de 245°44'24" e distância de 10,25 m, até o vértice **92**, de coordenadas **N 8.246.392,43** m e **E 177.631,65** m; **deste**, segue com azimute de 245°44'26" e distância de 5,08 m, até o vértice **93**, de coordenadas **N 8.246.390,34** m e **E 177.627,02** m; **deste**, segue com azimute de 244°55'29" e distância de 5,41 m, até o vértice **94**, de coordenadas **N 8.246.388,05** m e **E 177.622,12** m; **deste**, segue com azimute de 245°31'38" e distância de 94,95 m, até o vértice **95**, de coordenadas **N 8.246.348,72** m e **E 177.535,70** m; **deste**, segue com azimute de 245°31'39" e distância de 18,27 m, até o vértice **96**, de coordenadas **N 8.246.341,15** m e **E 177.519,07** m; **deste**, segue com azimute de 245°31'39" e distância de 30,23 m, até o vértice **97**, de coordenadas **N 8.246.328,62** m e **E 177.491,56** m; **deste**, segue com azimute de 245°31'38" e distância de 12,52 m, até o vértice **98**, de coordenadas **N 8.246.323,44** m e **E 177.480,16** m; **deste**, segue com azimute de 246°09'02" e distância de 0,90 m, até o vértice **99**, de coordenadas **N 8.246.323,08** m e **E 177.479,34** m; **deste**, segue com azimute de 246°08'50" e distância de 23,12 m, até o vértice **100**, de coordenadas **N 8.246.313,72** m e **E 177.458,19** m; **deste**, segue com azimute de 248°31'04" e distância de 9,15 m, até o vértice **101**, de coordenadas **N 8.246.310,37** m e **E 177.449,68** m; **deste**, segue com azimute de 248°31'04" e distância de 4,06 m, até o vértice **102**, de coordenadas **N 8.246.308,88** m e **E 177.445,90** m; **deste**, segue com azimute de 248°31'16" e distância de 0,95 m, até o vértice **103**, de coordenadas **N 8.246.308,54** m e **E 177.445,01** m; **deste**, segue com azimute de 245°11'32" e distância de 22,03 m, até o vértice **104**, de coordenadas **N 8.246.299,29** m e **E 177.425,01** m; **deste**, segue com azimute de 249°21'40" e distância de 11,84 m, até o vértice **105**, de coordenadas **N 8.246.295,12** m e **E 177.413,94** m; **deste**, segue com azimute de 249°21'40"



SPL - PLC 0019/2019 folha 000228

e distância de 75,04 m, até o vértice **106**, de coordenadas **N 8.246.268,67** m e **E 177.343,71** m; **deste**, segue com azimute de 248°31'06" e distância de 1,23 m, até o vértice **107**, de coordenadas **N 8.246.268,22** m e **E 177.342,57** m; **deste**, segue com azimute de 248°31'06" e distância de 7,50 m, até o vértice **108**, de coordenadas **N 8.246.265,47** m e **E 177.335,59** m; **deste**, segue com azimute de 252°58'36" e distância de 2,14 m, até o vértice **109**, de coordenadas **N 8.246.264,84** m e **E 177.333,54** m; **deste**, segue com azimute de 252°58'36" e distância de 60,56 m, até o vértice **110**, de coordenadas **N 8.246.247,12** m e **E 177.275,63** m; **deste**, segue com azimute de 255°30'21" e distância de 7,22 m, até o vértice **111**, de coordenadas **N 8.246.245,31** m e **E 177.268,64** m; **deste**, segue com azimute de 255°30'21" e distância de 25,08 m, até o vértice **112**, de coordenadas **N 8.246.239,03** m e **E 177.244,36** m; **deste**, segue com azimute de 255°30'21" e distância de 28,77 m, até o vértice **113**, de coordenadas **N 8.246.231,83** m e **E 177.216,50** m; **deste**, segue com azimute de 254°46'36" e distância de 45,85 m, até o vértice **114**, de coordenadas **N 8.246.219,79** m e **E 177.172,26** m; **deste**, segue com azimute de 255°25'39" e distância de 41,41 m, até o vértice **115**, de coordenadas **N 8.246.209,37** m e **E 177.132,18** m; **deste**, segue com azimute de 255°43'15" e distância de 50,02 m, até o vértice **116**, de coordenadas **N 8.246.197,03** m e **E 177.083,71** m; **deste**, segue com azimute de 255°43'15" e distância de 14,97 m, até o vértice **117**, de coordenadas **N 8.246.193,34** m e **E 177.069,21** m; **deste**, segue com azimute de 255°43'15" e distância de 51,34 m, até o vértice **118**, de coordenadas **N 8.246.180,68** m e **E 177.019,45** m; **deste**, segue com azimute de 255°43'15" e distância de 20,12 m, até o vértice **119**, de coordenadas **N 8.246.175,72** m e **E 176.999,95** m; **deste**, segue com azimute de 252°37'24" e distância de 18,00 m, até o vértice **120**, de coordenadas **N 8.246.170,34** m e **E 176.982,77** m; **deste**, segue com azimute de 255°11'01" e distância de 10,27 m, até o vértice **121**, de coordenadas **N 8.246.167,72** m e **E 176.972,84** m; **deste**, segue com azimute de 251°44'14" e distância de 29,66 m, até o vértice **122**, de coordenadas **N 8.246.158,42** m e **E 176.944,68** m; **deste**, segue com azimute de 252°37'23" e distância de 6,87 m, até o vértice **123**, de coordenadas **N 8.246.156,37** m e **E 176.938,13** m; **deste**, segue com azimute de 252°37'23" e distância de 3,07 m, até o vértice **124**, de coordenadas **N 8.246.155,46** m e **E 176.935,20** m; **deste**, segue com azimute de 248°00'25" e distância de 9,23 m, até o vértice **125**, de coordenadas **N 8.246.152,00** m e **E 176.926,64** m; **deste**, segue com azimute de 248°00'25" e distância de 19,22 m, até o vértice **126**, de coordenadas **N 8.246.144,80** m e **E 176.908,82** m; **deste**, segue com azimute de 248°00'25" e distância de 24,95 m, até o vértice **127**, de coordenadas **N 8.246.135,46** m e **E 176.885,68** m; **deste**, segue com azimute de 248°00'25"



SFL - PLC 0019/2019 folha 000229

e distância de 23,44 m, até o vértice **128**, de coordenadas **N 8.246.126,68** m e **E 176.863,95** m; **deste**, segue com azimute de 245°27'25" e distância de 2,96 m, até o vértice **129**, de coordenadas **N 8.246.125,45** m e **E 176.861,26** m; **deste**, segue com azimute de 245°27'20" e distância de 7,87 m, até o vértice **130**, de coordenadas **N 8.246.122,18** m e **E 176.854,10** m; **deste**, segue com azimute de 245°27'20" e distância de 50,46 m, até o vértice **131**, de coordenadas **N 8.246.101,22** m e **E 176.808,20** m; **deste**, segue com azimute de 245°27'20" e distância de 23,61 m, até o vértice **132**, de coordenadas **N 8.246.091,41** m e **E 176.786,73** m; **deste**, segue com azimute de 245°27'20" e distância de 79,83 m, até o vértice **133**, de coordenadas **N 8.246.058,25** m e **E 176.714,11** m; **deste**, segue com azimute de 177°56'17" e distância de 0,49 m, até o vértice **134**, de coordenadas **N 8.246.057,76** m e **E 176.714,13** m; **deste**, segue com azimute de 245°26'38" e distância de 78,54 m, até o vértice **135**, de coordenadas **N 8.246.025,12** m e **E 176.642,70** m; **deste**, segue com azimute de 245°26'38" e distância de 21,37 m, até o vértice **136**, de coordenadas **N 8.246.016,24** m e **E 176.623,26** m; **deste**, segue com azimute de 245°47'29" e distância de 7,23 m, até o vértice **137**, de coordenadas **N 8.246.013,28** m e **E 176.616,67** m; **deste**, segue com azimute de 245°47'29" e distância de 47,31 m, até o vértice **138**, de coordenadas **N 8.245.993,88** m e **E 176.573,52** m; **deste**, segue com azimute de 5°32'34" e distância de 0,39 m, até o vértice **139**, de coordenadas **N 8.245.994,27** m e **E 176.573,56** m; **deste**, segue com azimute de 245°33'04" e distância de 3,50 m, até o vértice **140**, de coordenadas **N 8.245.992,82** m e **E 176.570,38** m; **deste**, segue com azimute de 245°33'04" e distância de 68,09 m, até o vértice **141**, de coordenadas **N 8.245.964,64** m e **E 176.508,39** m; **deste**, segue com azimute de 245°48'23" e distância de 43,91 m, até o vértice **142**, de coordenadas **N 8.245.946,64** m e **E 176.468,34** m; **deste**, segue com azimute de 245°48'23" e distância de 70,05 m, até o vértice **143**, de coordenadas **N 8.245.917,94** m e **E 176.404,44** m; **deste**, segue com azimute de 245°48'23" e distância de 60,21 m, até o vértice **144**, de coordenadas **N 8.245.893,26** m e **E 176.349,52** m; **deste**, segue com azimute de 245°48'22" e distância de 5,71 m, até o vértice **145**, de coordenadas **N 8.245.890,92** m e **E 176.344,31** m; **deste**, segue com azimute de 245°48'22" e distância de 26,76 m, até o vértice **146**, de coordenadas **N 8.245.879,95** m e **E 176.319,90** m; **deste**, segue com azimute de 245°48'23" e distância de 9,95 m, até o vértice **147**, de coordenadas **N 8.245.875,88** m e **E 176.310,82** m; **deste**, segue com azimute de 248°35'57" e distância de 44,24 m, até o vértice **148**, de coordenadas **N 8.245.859,73** m e **E 176.269,63** m; **deste**, segue com azimute de 248°35'57" e distância de 39,18 m, até o vértice **149**, de coordenadas **N 8.245.845,44** m e **E 176.233,15** m; **deste**, segue com azimute de 249°24'44"



SPL - PLC 0019/2019 folha 000230

e distância de 70,38 m, até o vértice **150**, de coordenadas **N 8.245.820,69** m e **E 176.167,27** m; **deste**, segue com azimute de 247°53'01" e distância de 50,04 m, até o vértice **151**, de coordenadas **N 8.245.801,85** m e **E 176.120,91** m; **deste**, segue com azimute de 245°31'42" e distância de 24,50 m, até o vértice **152**, de coordenadas **N 8.245.791,70** m e **E 176.098,61** m; **deste**, segue com azimute de 246°18'19" e distância de 14,05 m, até o vértice **153**, de coordenadas **N 8.245.786,05** m e **E 176.085,75** m; **deste**, segue com azimute de 246°18'19" e distância de 23,99 m, até o vértice **154**, de coordenadas **N 8.245.776,41** m e **E 176.063,78** m; **deste**, segue com azimute de 245°28'59" e distância de 23,70 m, até o vértice **155**, de coordenadas **N 8.245.766,58** m e **E 176.042,22** m; **deste**, segue com azimute de 245°08'39" e distância de 74,11 m, até o vértice **156**, de coordenadas **N 8.245.735,43** m e **E 175.974,97** m; **deste**, segue com azimute de 245°31'42" e distância de 12,98 m, até o vértice **157**, de coordenadas **N 8.245.730,05** m e **E 175.963,15** m; **deste**, segue com azimute de 245°31'42" e distância de 34,97 m, até o vértice **158**, de coordenadas **N 8.245.715,56** m e **E 175.931,32** m; **deste**, segue com azimute de 244°53'41" e distância de 73,91 m, até o vértice **159**, de coordenadas **N 8.245.684,20** m e **E 175.864,39** m; **deste**, segue com azimute de 255°46'39" e distância de 50,71 m, até o vértice **160**, de coordenadas **N 8.245.671,74** m e **E 175.815,23** m; **deste**, segue com azimute de 247°04'02" e distância de 62,66 m, até o vértice **161**, de coordenadas **N 8.245.647,33** m e **E 175.757,52** m; **deste**, segue com azimute de 244°15'45" e distância de 92,78 m, até o vértice **162**, de coordenadas **N 8.245.607,04** m e **E 175.673,95** m; **deste**, segue com azimute de 245°41'18" e distância de 595,73 m, até o vértice **163**, de coordenadas **N 8.245.361,77** m e **E 175.131,05** m; **deste**, segue com azimute de 251°52'37" e distância de 5,02 m, até o vértice **164**, de coordenadas **N 8.245.360,21** m e **E 175.126,27** m; **deste**, segue com azimute de 346°36'27" e distância de 63,19 m, até o vértice **165**, de coordenadas **N 8.245.421,68** m e **E 175.111,63** m; **deste**, segue com azimute de 245°54'52" e distância de 437,62 m, até o vértice **166**, de coordenadas **N 8.245.243,09** m e **E 174.712,11** m; **deste**, segue com azimute de 336°59'29" e distância de 73,74 m, até o vértice **167**, de coordenadas **N 8.245.310,96** m e **E 174.683,29** m; **deste**, segue com azimute de 324°14'28" e distância de 65,27 m, até o vértice **168**, de coordenadas **N 8.245.363,92** m e **E 174.645,15** m; **deste**, segue com azimute de 331°46'12" e distância de 487,28 m, até o vértice **169**, de coordenadas **N 8.245.793,24** m e **E 174.414,66** m; **deste**, segue com azimute de 331°46'12" e distância de 547,09 m, até o vértice **170**, de coordenadas **N 8.246.275,25** m e **E 174.155,88** m; **deste**, segue com azimute de 331°46'12" e distância de 472,58 m, até o vértice **171**, de coordenadas **N 8.246.691,62** m e **E 173.932,35** m; **deste**, segue com azimute de 332°51'44"



SFL - PLC 0019/2019 folha 000231

e distância de 371,38 m, até o vértice **172**, de coordenadas **N 8.247.022,12** m e **E 173.762,95** m; **deste**, segue com azimute de 308°40'00" e distância de 19,52 m, até o vértice **173**, de coordenadas **N 8.247.034,32** m e **E 173.747,70** m; **deste**, segue com azimute de 242°56'33" e distância de 393,31 m, até o vértice **174**, de coordenadas **N 8.246.855,41** m e **E 173.397,45** m; ponto situado na Rodovia DF-001 **deste**, segue pela Rodovia DF-001, até o vértice **175**, de coordenadas **N 8.247.288,93** m e **E 173.236,06** m; ponto situado na interseção entre a Rodovia DF-001 e Rodovia DF-085 **deste**, segue pela Rodovia DF-085, até o vértice **1**, de coordenadas **N 8.249.275,78** m e **E 178.083,55** m; ponto inicial da descrição deste perímetro.Todos os azimutes e distâncias, áreas e perímetros foram calculados no plano de projeção UTM Todas as coordenadas aqui descritas estão georreferenciadas ao Sistema Geodésico Brasileiro e encontram-se representadas no Sistema UTM, referenciadas ao **Meridiano Central 45° WGr, Fuso 23**, tendo como o *Datum* o **SICAD-SIRGAS 2000.** Todos os azimutes e distâncias, áreas e perímetros foram calculados no plano de projeção UTM



SPL - PLC 0019/2019 folha 000232

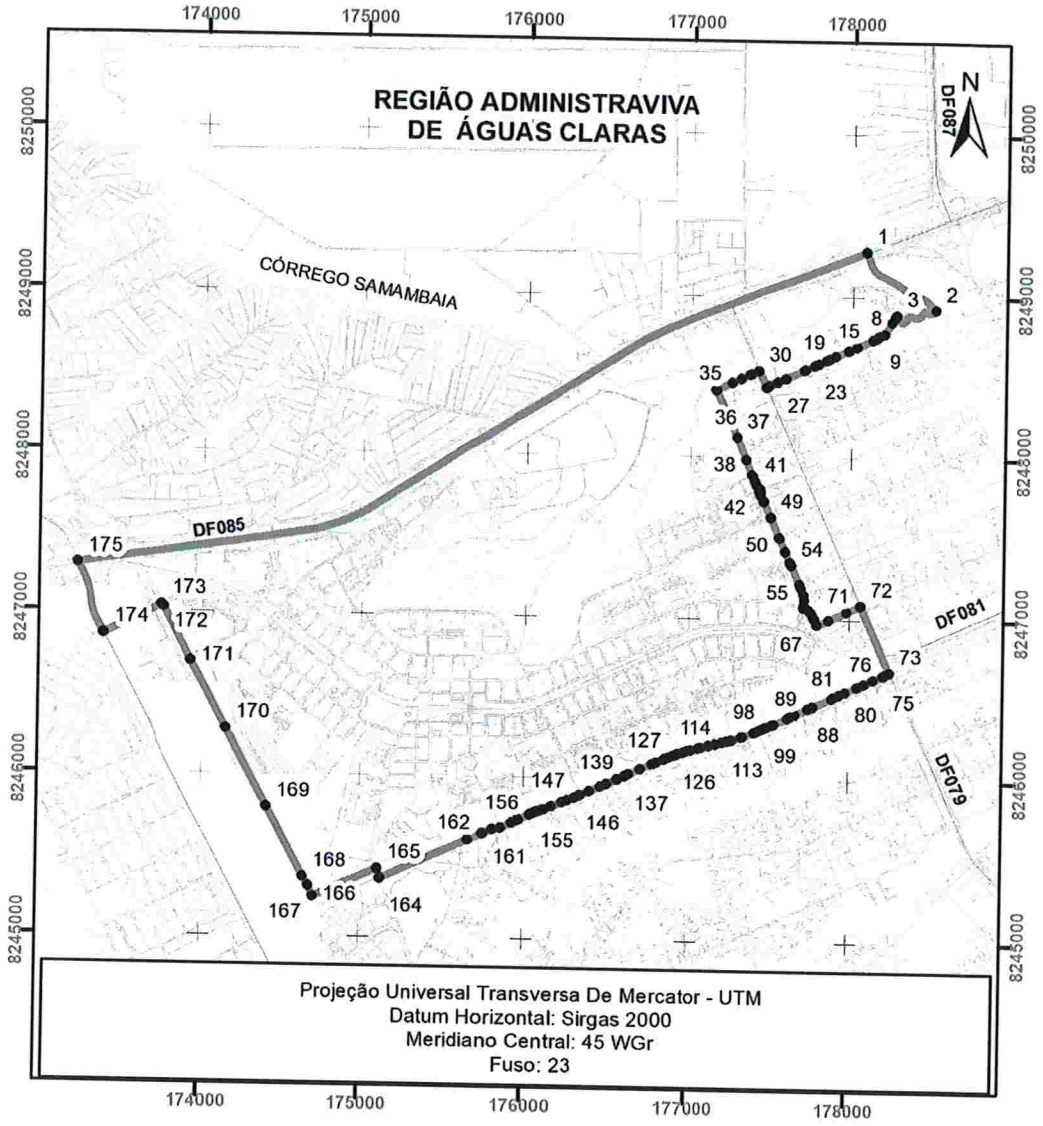




SPL - PLC 0019/2019 folha 000233

# MEMORIAL DESCRITIVO

## RIACHO FUNDO II – RA XXI

Perímetro: 29.818,864 m  Área: 3.846,716 ha

Inicia-se a descrição deste perímetro no vértice **1**, de coordenadas **N 8.242.596,51** m. e **E 174.586,61** m., situado no eixo da Rodovia DF-001 deste, segue com azimute de 193°31'28" e distância de 24,42 m., até o vértice **2**, de coordenadas **N 8.242.572,76** m. e **E 174.580,90** m.; deste, segue com azimute de 193°31'27" e distância de 6,68 m., até o vértice **3**, de coordenadas **N 8.242.566,27** m. e **E 174.579,34** m.; deste, segue com azimute de 198°34'52" e distância de 13,67 m., até o vértice **4**, de coordenadas **N 8.242.553,31** m. e **E 174.574,98** m.; deste, segue com azimute de 209°12'42" e distância de 11,28 m., até o vértice **5**, de coordenadas **N 8.242.543,47** m. e **E 174.569,47** m.; deste, segue com azimute de 210°36'56" e distância de 23,60 m., até o vértice **6**, de coordenadas **N 8.242.523,15** m. e **E 174.557,45** m.; deste, segue com azimute de 210°36'57" e distância de 29,09 m., até o vértice **7**, de coordenadas **N 8.242.498,12** m. e **E 174.542,64** m.; deste, segue com azimute de 215°43'12" e distância de 13,63 m., até o vértice **8**, de coordenadas **N 8.242.487,05** m. e **E 174.534,68** m.; deste, segue com azimute de 215°43'12" e distância de 21,78 m., até o vértice **9**, de coordenadas **N 8.242.469,37** m. e **E 174.521,97** m.; deste, segue com azimute de 209°41'04" e distância de 22,49 m., até o vértice **10**, de coordenadas **N 8.242.449,84** m. e **E 174.510,83** m.; deste, segue com azimute de 209°02'09" e distância de 42,60 m., até o vértice **11**, de coordenadas **N 8.242.412,59** m. e **E 174.490,16** m.; deste, segue com azimute de 210°01'31" e distância de 32,30 m., até o vértice **12**, de coordenadas **N 8.242.384,63** m. e **E 174.473,99** m.; deste, segue com azimute de 209°11'29" e distância de 17,88 m., até o vértice **13**, de coordenadas **N 8.242.369,02** m. e **E 174.465,27** m.; deste, segue com azimute de 210°40'04" e distância de 18,87 m., até o vértice **14**, de coordenadas **N 8.242.352,79** m. e **E 174.455,65** m.; deste, segue com azimute de 213°24'34" e distância de 17,53 m., até o vértice **15**, de coordenadas **N 8.242.338,15** m. e **E 174.446,00** m.; deste, segue com azimute de 214°10'17" e distância de 14,53 m., até o vértice **16**, de coordenadas **N 8.242.326,13** m. e **E 174.437,84** m.; deste, segue com azimute de 201°18'06" e distância de 7,87 m., até o vértice **17**, de coordenadas **N 8.242.318,80** m. e **E 174.434,98** m.; deste, segue com azimute de 192°40'52" e distância de 8,40 m., até o vértice **18**, de coordenadas **N 8.242.310,61** m. e **E 174.433,13** m.; deste, segue com azimute de 184°05'55" e distância de 22,73 m., até o vértice **19**, de coordenadas **N 8.242.287,94** m. e **E 174.431,51** m.; deste, segue com azimute de 184°25'36" e distância de 13,32 m., até o vértice **20**, de coordenadas **N 8.242.274,65** m. e **E 174.430,48** m.; deste, segue com azimute de 179°13'06" e distância de 20,05 m., até o vértice **21**, de coordenadas **N 8.242.254,61** m. e **E 174.430,76** m.; deste, segue com azimute de 173°21'02" e distância de 63,47 m., até o vértice **22**, de coordenadas **N 8.242.191,56** m. e **E 174.438,10** m.; deste, segue com azimute de 174°53'42" e distância de 18,80 m.,



SFL - PLC 0019/2019 folha 000234

até o vértice **23**, de coordenadas **N 8.242.172,84** m. e **E 174.439,78** m.; deste, segue com azimute de 171°29'29" e distância de 15,50 m., até o vértice **24**, de coordenadas **N 8.242.157,52** m. e **E 174.442,07** m.; deste, segue com azimute de 163°46'38" e distância de 27,66 m., até o vértice **25**, de coordenadas **N 8.242.130,96** m. e **E 174.449,80** m.; deste, segue com azimute de 163°30'41" e distância de 22,61 m., até o vértice **26**, de coordenadas **N 8.242.109,27** m. e **E 174.456,22** m.; deste, segue com azimute de 172°32'44" e distância de 33,25 m., até o vértice **27**, de coordenadas **N 8.242.076,30** m. e **E 174.460,53** m.; deste, segue com azimute de 175°49'26" e distância de 64,73 m., até o vértice **28**, de coordenadas **N 8.242.011,75** m. e **E 174.465,24** m.; deste, segue com azimute de 175°28'50" e distância de 9,07 m., até o vértice **29**, de coordenadas **N 8.242.002,71** m. e **E 174.465,96** m.; deste, segue com azimute de 165°43'10" e distância de 14,48 m., até o vértice **30**, de coordenadas **N 8.241.988,67** m. e **E 174.469,53** m.; deste, segue com azimute de 169°35'30" e distância de 51,45 m., até o vértice **31**, de coordenadas **N 8.241.938,07** m. e **E 174.478,83** m.; deste, segue com azimute de 177°01'23" e distância de 23,04 m., até o vértice **32**, de coordenadas **N 8.241.915,06** m. e **E 174.480,02** m.; deste, segue com azimute de 183°56'58" e distância de 8,69 m., até o vértice **33**, de coordenadas **N 8.241.906,39** m. e **E 174.479,42** m.; deste, segue com azimute de 188°32'24" e distância de 12,09 m., até o vértice **34**, de coordenadas **N 8.241.894,44** m. e **E 174.477,63** m.; deste, segue com azimute de 188°28'25" e distância de 24,63 m., até o vértice **35**, de coordenadas **N 8.241.870,08** m. e **E 174.474,00** m.; deste, segue com azimute de 195°46'06" e distância de 24,22 m., até o vértice **36**, de coordenadas **N 8.241.846,77** m. e **E 174.467,42** m.; deste, segue com azimute de 200°34'41" e distância de 33,20 m., até o vértice **37**, de coordenadas **N 8.241.815,69** m. e **E 174.455,75** m.; deste, segue com azimute de 204°07'52" e distância de 16,54 m., até o vértice **38**, de coordenadas **N 8.241.800,59** m. e **E 174.448,99** m.; deste, segue com azimute de 208°19'40" e distância de 14,57 m., até o vértice **39**, de coordenadas **N 8.241.787,77** m. e **E 174.442,07** m.; deste, segue com azimute de 206°35'30" e distância de 5,88 m., até o vértice **40**, de coordenadas **N 8.241.782,51** m. e **E 174.439,44** m.; deste, segue com azimute de 195°36'38" e distância de 7,34 m., até o vértice **41**, de coordenadas **N 8.241.775,44** m. e **E 174.437,47** m.; deste, segue com azimute de 196°22'51" e distância de 5,35 m., até o vértice **42**, de coordenadas **N 8.241.770,30** m. e **E 174.435,96** m.; deste, segue com azimute de 201°02'24" e distância de 1,99 m., até o vértice **43**, de coordenadas **N 8.241.768,45** m. e **E 174.435,24** m.; deste, segue com azimute de 195°30'46" e distância de 10,64 m., até o vértice **44**, de coordenadas **N 8.241.758,20** m. e **E 174.432,40** m.; deste, segue com azimute de 196°22'51" e distância de 4,14 m., até o vértice **45**, de coordenadas **N 8.241.754,23** m. e **E 174.431,23** m.; deste, segue com azimute de 196°22'54" e distância de 14,55 m., até o vértice **46**, de coordenadas **N 8.241.740,28** m. e **E 174.427,13** m.; deste, segue com azimute de 195°43'24" e distância de 14,93 m., até o vértice **47**, de coordenadas **N 8.241.725,90** m. e **E 174.423,08** m.; ponto às margens do Riacho Fundo deste, segue margeando o Riacho Fundo, até o vértice **48**, de coordenadas **N 8.239.135,82** m. e **E 177.669,32** m.; deste, segue com azimute de 107°35'51" e distância de 4,29 m., até o vértice **49**,



SFL - PLC 0019/2019 folha 000235

de coordenadas **N 8.239.134,53** m. e **E 177.673,41** m.; deste, segue com azimute de 111°50'57" e distância de 16,45 m., até o vértice **50**, de coordenadas **N 8.239.128,40** m. e **E 177.688,68** m.; deste, segue com azimute de 111°50'54" e distância de 2,29 m., até o vértice **51**, de coordenadas **N 8.239.127,55** m. e **E 177.690,81** m.; deste, segue com azimute de 120°55'00" e distância de 4,81 m., até o vértice **52**, de coordenadas **N 8.239.125,08** m. e **E 177.694,94** m.; deste, segue com azimute de 120°55'02" e distância de 8,67 m., até o vértice **53**, de coordenadas **N 8.239.120,62** m. e **E 177.702,38** m.; deste, segue com azimute de 120°55'04" e distância de 7,67 m., até o vértice **54**, de coordenadas **N 8.239.116,68** m. e **E 177.708,96** m.; deste, segue com azimute de 138°05'03" e distância de 8,94 m., até o vértice **55**, de coordenadas **N 8.239.110,03** m. e **E 177.714,93** m.; deste, segue com azimute de 157°57'31" e distância de 35,37 m., até o vértice **56**, de coordenadas **N 8.239.077,25** m. e **E 177.728,20** m.; deste, segue com azimute de 164°01'07" e distância de 47,83 m., até o vértice **57**, de coordenadas **N 8.239.031,27** m. e **E 177.741,37** m.; deste, segue com azimute de 157°16'21" e distância de 19,04 m., até o vértice **58**, de coordenadas **N 8.239.013,71** m. e **E 177.748,73** m.; deste, segue com azimute de 157°16'19" e distância de 8,24 m., até o vértice **59**, de coordenadas **N 8.239.006,10** m. e **E 177.751,91** m.; deste, segue com azimute de 157°16'23" e distância de 4,86 m., até o vértice **60**, de coordenadas **N 8.239.001,62** m. e **E 177.753,79** m.; deste, segue com azimute de 150°40'14" e distância de 12,15 m., até o vértice **61**, de coordenadas **N 8.238.991,03** m. e **E 177.759,74** m.; deste, segue com azimute de 135°51'52" e distância de 46,40 m., até o vértice **62**, de coordenadas **N 8.238.957,73** m. e **E 177.792,05** m.; deste, segue com azimute de 132°38'28" e distância de 62,71 m., até o vértice **63**, de coordenadas **N 8.238.915,25** m. e **E 177.838,18** m.; deste, segue com azimute de 125°24'04" e distância de 73,11 m., até o vértice **64**, de coordenadas **N 8.238.872,90** m. e **E 177.897,77** m.; deste, segue com azimute de 126°48'13" e distância de 27,68 m., até o vértice **65**, de coordenadas **N 8.238.856,32** m. e **E 177.919,93** m.; deste, segue com azimute de 120°08'57" e distância de 38,16 m., até o vértice **66**, de coordenadas **N 8.238.837,15** m. e **E 177.952,93** m.; deste, segue com azimute de 124°18'34" e distância de 14,98 m., até o vértice **67**, de coordenadas **N 8.238.828,71** m. e **E 177.965,30** m.; deste, segue com azimute de 107°23'40" e distância de 7,09 m., até o vértice **68**, de coordenadas **N 8.238.826,59** m. e **E 177.972,07** m.; deste, segue com azimute de 81°21'49" e distância de 34,56 m., até o vértice **69**, de coordenadas **N 8.238.831,78** m. e **E 178.006,24** m.; deste, segue com azimute de 93°01'53" e distância de 86,77 m., até o vértice **70**, de coordenadas **N 8.238.827,19** m. e **E 178.092,89** m.; deste, segue com azimute de 90°55'49" e distância de 51,82 m., até o vértice **71**, de coordenadas **N 8.238.826,35** m. e **E 178.144,70** m.; deste, segue com azimute de 97°53'19" e distância de 9,40 m., até o vértice **72**, de coordenadas **N 8.238.825,06** m. e **E 178.154,01** m.; deste, segue com azimute de 117°28'27" e distância de 40,14 m., até o vértice **73**, de coordenadas **N 8.238.806,54** m. e **E 178.189,62** m.; deste, segue com azimute de 111°20'10" e distância de 83,59 m., até o vértice **74**, de coordenadas **N 8.238.776,13** m. e **E 178.267,48** m.; deste, segue com azimute de 116°34'41" e distância de 27,51 m., até o vértice **75**, de coordenadas **N 8.238.763,82** m. e **E**



SPL - PLC 0019/2019 folha 000236

**178.292,08** m.**;** deste, segue com azimute de 124°15'40" e distância de 17,13 m., até o vértice **76**, de coordenadas **N 8.238.754,18** m. e **E 178.306,24** m.**;** deste, segue com azimute de 136°02'46" e distância de 40,68 m., até o vértice **77**, de coordenadas **N 8.238.724,89** m. e **E 178.334,48** m.**;** deste, segue com azimute de 142°13'11" e distância de 37,64 m., até o vértice **78**, de coordenadas **N 8.238.695,14** m. e **E 178.357,54** m.**;** deste, segue com azimute de 140°03'19" e distância de 43,94 m., até o vértice **79**, de coordenadas **N 8.238.661,45** m. e **E 178.385,75** m.**;** deste, segue com azimute de 140°03'19" e distância de 22,41 m., até o vértice **80**, de coordenadas **N 8.238.644,27** m. e **E 178.400,14** m.**;** deste, segue com azimute de 140°03'19" e distância de 41,74 m., até o vértice **81**, de coordenadas **N 8.238.612,27** m. e **E 178.426,94** m.**;** deste, segue com azimute de 159°28'48" e distância de 33,46 m., até o vértice **82**, de coordenadas **N 8.238.580,93** m. e **E 178.438,67** m.**;** deste, segue com azimute de 141°26'46" e distância de 61,66 m., até o vértice **83**, de coordenadas **N 8.238.532,71** m. e **E 178.477,10** m.**;** deste, segue com azimute de 180°59'20" e distância de 17,38 m., até o vértice **84**, de coordenadas **N 8.238.515,33** m. e **E 178.476,80** m.**;** deste, segue com azimute de 202°22'48" e distância de 18,20 m., até o vértice **85**, de coordenadas **N 8.238.498,50** m. e **E 178.469,87** m.**;** deste, segue com azimute de 198°03'06" e distância de 67,74 m., até o vértice **86**, de coordenadas **N 8.238.434,10** m. e **E 178.448,88** m.**;** deste, segue com azimute de 182°11'11" e distância de 17,10 m., até o vértice **87**, de coordenadas **N 8.238.417,00** m. e **E 178.448,23** m.**;** deste, segue com azimute de 168°04'08" e distância de 10,21 m., até o vértice **88**, de coordenadas **N 8.238.407,01** m. e **E 178.450,34** m.**;** deste, segue com azimute de 168°04'08" e distância de 10,59 m., até o vértice **89**, de coordenadas **N 8.238.396,65** m. e **E 178.452,53** m.**;** deste, segue com azimute de 155°54'05" e distância de 18,13 m., até o vértice **90**, de coordenadas **N 8.238.380,10** m. e **E 178.459,93** m.**;** deste, segue com azimute de 149°33'09" e distância de 20,67 m., até o vértice **91**, de coordenadas **N 8.238.362,28** m. e **E 178.470,41** m.**;** deste, segue com azimute de 140°00'38" e distância de 48,60 m., até o vértice **92**, de coordenadas **N 8.238.325,04** m. e **E 178.501,64** m.**;** deste, segue com azimute de 140°00'39" e distância de 4,36 m., até o vértice **93**, de coordenadas **N 8.238.321,70** m. e **E 178.504,45** m.**;** deste, segue com azimute de 140°00'39" e distância de 7,24 m., até o vértice **94**, de coordenadas **N 8.238.316,15** m. e **E 178.509,10** m.**;** deste, segue com azimute de 140°00'39" e distância de 18,71 m., até o vértice **95**, de coordenadas **N 8.238.301,81** m. e **E 178.521,12** m.**;** deste, segue com azimute de 144°26'14" e distância de 114,41 m., até o vértice **96**, de coordenadas **N 8.238.208,74** m. e **E 178.587,66** m.**;** deste, segue com azimute de 163°38'22" e distância de 3,04 m., até o vértice **97**, de coordenadas **N 8.238.205,83** m. e **E 178.588,52** m.**;** deste, segue com azimute de 146°11'54" e distância de 9,98 m., até o vértice **98**, de coordenadas **N 8.238.197,54** m. e **E 178.594,07** m.**;** deste, segue com azimute de 147°02'28" e distância de 10,00 m., até o vértice **99**, de coordenadas **N 8.238.189,15** m. e **E 178.599,51** m.**;** deste, segue com azimute de 147°53'53" e distância de 4,62 m., até o vértice **100**, de coordenadas **N 8.238.185,24** m. e **E 178.601,96** m.**;** deste, segue com azimute de 147°53'50" e distância de 5,39 m., até o vértice **101**, de coordenadas **N 8.238.180,67** m. e **E**



SPL - PLC 0019/2019 folha 000237

**178.604,83** m.; deste, segue com azimute de 148°40'24" e distância de 10,02 m., até o vértice **102**, de coordenadas **N 8.238.172,11** m. e **E 178.610,04** m.; deste, segue com azimute de 149°25'07" e distância de 10,02 m., até o vértice **103**, de coordenadas **N 8.238.163,48** m. e **E 178.615,14** m.; deste, segue com azimute de 150°09'46" e distância de 3,98 m., até o vértice **104**, de coordenadas **N 8.238.160,03** m. e **E 178.617,12** m.; deste, segue com azimute de 150°09'47" e distância de 6,05 m., até o vértice **105**, de coordenadas **N 8.238.154,78** m. e **E 178.620,13** m.; deste, segue com azimute de 150°42'37" e distância de 4,05 m., até o vértice **106**, de coordenadas **N 8.238.151,25** m. e **E 178.622,11** m.; deste, segue com azimute de 151°04'44" e distância de 10,01 m., até o vértice **107**, de coordenadas **N 8.238.142,49** m. e **E 178.626,95** m.; deste, segue com azimute de 151°31'02" e distância de 10,02 m., até o vértice **108**, de coordenadas **N 8.238.133,68** m. e **E 178.631,73** m.; deste, segue com azimute de 151°43'14" e distância de 10,36 m., até o vértice **109**, de coordenadas **N 8.238.124,56** m. e **E 178.636,63** m.; deste, segue com azimute de 151°46'09" e distância de 9,65 m., até o vértice **110**, de coordenadas **N 8.238.116,06** m. e **E 178.641,20** m.; deste, segue com azimute de 151°32'10" e distância de 9,99 m., até o vértice **111**, de coordenadas **N 8.238.107,28** m. e **E 178.645,96** m.; deste, segue com azimute de 150°48'12" e distância de 19,97 m., até o vértice **112**, de coordenadas **N 8.238.089,85** m. e **E 178.655,70** m.; deste, segue com azimute de 149°52'10" e distância de 5,90 m., até o vértice **113**, de coordenadas **N 8.238.084,75** m. e **E 178.658,66** m.; deste, segue com azimute de 149°02'10" e distância de 9,97 m., até o vértice **114**, de coordenadas **N 8.238.076,20** m. e **E 178.663,79** m.; deste, segue com azimute de 147°41'29" e distância de 11,49 m., até o vértice **115**, de coordenadas **N 8.238.066,49** m. e **E 178.669,93** m.; deste, segue com azimute de 146°30'05" e distância de 8,45 m., até o vértice **116**, de coordenadas **N 8.238.059,45** m. e **E 178.674,59** m.; deste, segue com azimute de 144°54'33" e distância de 9,98 m., até o vértice **117**, de coordenadas **N 8.238.051,28** m. e **E 178.680,33** m.; deste, segue com azimute de 143°07'07" e distância de 10,01 m., até o vértice **118**, de coordenadas **N 8.238.043,27** m. e **E 178.686,34** m.; deste, segue com azimute de 141°05'59" e distância de 5,02 m., até o vértice **119**, de coordenadas **N 8.238.039,36** m. e **E 178.689,49** m.; deste, segue com azimute de 139°36'46" e distância de 15,31 m., até o vértice **120**, de coordenadas **N 8.238.027,70** m. e **E 178.699,41** m.; deste, segue com azimute de 136°35'54" e distância de 22,05 m., até o vértice **121**, de coordenadas **N 8.238.011,68** m. e **E 178.714,56** m.; deste, segue com azimute de 198°14'39" e distância de 62,87 m., até o vértice **122**, de coordenadas **N 8.237.951,97** m. e **E 178.694,88** m.; deste, segue com azimute de 200°33'23" e distância de 22,61 m., até o vértice **123**, de coordenadas **N 8.237.930,80** m. e **E 178.686,94** m.; deste, segue com azimute de 199°23'51" e distância de 15,93 m., até o vértice **124**, de coordenadas **N 8.237.915,77** m. e **E 178.681,65** m.; deste, segue com azimute de 200°08'11" e distância de 10,15 m., até o vértice **125**, de coordenadas **N 8.237.906,25** m. e **E 178.678,16** m.; deste, segue com azimute de 195°46'53" e distância de 5,06 m., até o vértice **126**, de coordenadas **N 8.237.901,38** m. e **E 178.676,78** m.; deste, segue com azimute de 157°22'47" e distância de 1,69 m., até o vértice **127**, de



SPL - PLC 0019/2019 folha 000238

coordenadas **N 8.237.899,83** m. e **E 178.677,43** m.; deste, segue com azimute de 140°17'09" e distância de 1,51 m., até o vértice **128**, de coordenadas **N 8.237.898,67** m. e **E 178.678,39** m.; deste, segue com azimute de 140°17'10" e distância de 35,76 m., até o vértice **129**, de coordenadas **N 8.237.871,16** m. e **E 178.701,24** m.; deste, segue com azimute de 131°54'43" e distância de 11,41 m., até o vértice **130**, de coordenadas **N 8.237.863,54** m. e **E 178.709,73** m.; deste, segue com azimute de 131°54'38" e distância de 1,60 m., até o vértice **131**, de coordenadas **N 8.237.862,47** m. e **E 178.710,92** m.; deste, segue com azimute de 131°54'34" e distância de 4,48 m., até o vértice **132**, de coordenadas **N 8.237.859,48** m. e **E 178.714,26** m.; deste, segue com azimute de 131°55'06" e distância de 0,33 m., até o vértice **133**, de coordenadas **N 8.237.859,25** m. e **E 178.714,50** m.; deste, segue com azimute de 182°39'17" e distância de 0,30 m., até o vértice **134**, de coordenadas **N 8.237.858,95** m. e **E 178.714,49** m.; deste, segue com azimute de 131°56'06" e distância de 13,89 m., até o vértice **135**, de coordenadas **N 8.237.849,67** m. e **E 178.724,82** m.; deste, segue com azimute de 123°25'33" e distância de 16,85 m., até o vértice **136**, de coordenadas **N 8.237.840,39** m. e **E 178.738,88** m.; deste, segue com azimute de 113°31'15" e distância de 28,72 m., até o vértice **137**, de coordenadas **N 8.237.828,93** m. e **E 178.765,21** m.; deste, segue com azimute de 118°53'41" e distância de 4,51 m., até o vértice **138**, de coordenadas **N 8.237.826,75** m. e **E 178.769,15** m.; deste, segue com azimute de 118°53'40" e distância de 11,94 m., até o vértice **139**, de coordenadas **N 8.237.820,98** m. e **E 178.779,61** m.; deste, segue com azimute de 118°53'42" e distância de 7,73 m., até o vértice **140**, de coordenadas **N 8.237.817,25** m. e **E 178.786,38** m.; deste, segue com azimute de 118°53'45" e distância de 5,09 m., até o vértice **141**, de coordenadas **N 8.237.814,79** m. e **E 178.790,83** m.; deste, segue com azimute de 140°42'54" e distância de 18,60 m., até o vértice **142**, de coordenadas **N 8.237.800,39** m. e **E 178.802,61** m.; deste, segue com azimute de 167°37'17" e distância de 11,99 m., até o vértice **143**, de coordenadas **N 8.237.788,68** m. e **E 178.805,18** m.; deste, segue com azimute de 189°33'57" e distância de 8,18 m., até o vértice **144**, de coordenadas **N 8.237.780,61** m. e **E 178.803,82** m.; deste, segue com azimute de 203°53'46" e distância de 5,70 m., até o vértice **145**, de coordenadas **N 8.237.775,40** m. e **E 178.801,51** m.; deste, segue com azimute de 203°53'46" e distância de 8,32 m., até o vértice **146**, de coordenadas **N 8.237.767,79** m. e **E 178.798,14** m.; deste, segue com azimute de 211°15'57" e distância de 38,89 m., até o vértice **147**, de coordenadas **N 8.237.734,55** m. e **E 178.777,96** m.; deste, segue com azimute de 211°15'57" e distância de 14,07 m., até o vértice **148**, de coordenadas **N 8.237.722,52** m. e **E 178.770,65** m.; deste, segue com azimute de 211°15'58" e distância de 11,76 m., até o vértice **149**, de coordenadas **N 8.237.712,47** m. e **E 178.764,55** m.; deste, segue com azimute de 205°02'27" e distância de 27,57 m., até o vértice **150**, de coordenadas **N 8.237.687,49** m. e **E 178.752,88** m.; deste, segue com azimute de 202°02'41" e distância de 5,75 m., até o vértice **151**, de coordenadas **N 8.237.682,16** m. e **E 178.750,72** m.; deste, segue com azimute de 202°02'43" e distância de 16,95 m., até o vértice **152**, de coordenadas **N 8.237.666,45** m. e **E 178.744,36** m.; deste, segue com azimute de 196°53'50" e



SPL - PLC 0019/2019 folha 000239

distância de 38,92 m., até o vértice **153**, de coordenadas **N 8.237.629,21** m. e **E 178.733,05** m.; deste, segue com azimute de 201°20'00" e distância de 20,03 m., até o vértice **154**, de coordenadas **N 8.237.610,55** m. e **E 178.725,76** m.; deste, segue com azimute de 212°14'55" e distância de 44,18 m., até o vértice **155**, de coordenadas **N 8.237.573,18** m. e **E 178.702,18** m.; deste, segue com azimute de 212°14'55" e distância de 30,00 m., até o vértice **156**, de coordenadas **N 8.237.547,81** m. e **E 178.686,18** m.; deste, segue com azimute de 212°14'56" e distância de 14,91 m., até o vértice **157**, de coordenadas **N 8.237.535,20** m. e **E 178.678,22** m.; deste, segue com azimute de 129°32'46" e distância de 177,27 m., até o vértice **158**, de coordenadas **N 8.237.422,33** m. e **E 178.814,92** m.; ponto situado às margens do Córrego Capão Preto deste, segue margeando o Córrego Capão Preto, até o vértice **159**, de coordenadas **N 8.237.074,34** m. e **E 180.538,21** m.; confluência entre o Córrego Capão Preto e o Córrego Coqueiros deste, segue margeando pelo Córrego Coqueiros, até o vértice **160**, de coordenadas **N 8.235.094,33** m. e **E 178.808,48** m.; deste, segue com azimute de 226°18'34" e distância de 35,66 m., até o vértice **161**, de coordenadas **N 8.235.069,70** m. e **E 178.782,69** m.; deste, segue com azimute de 230°15'06" e distância de 53,99 m., até o vértice **162**, de coordenadas **N 8.235.035,18** m. e **E 178.741,18** m.; deste, segue com azimute de 220°28'35" e distância de 27,48 m., até o vértice **163**, de coordenadas **N 8.235.014,27** m. e **E 178.723,34** m.; deste, segue com azimute de 200°20'59" e distância de 30,37 m., até o vértice **164**, de coordenadas **N 8.234.985,80** m. e **E 178.712,78** m.; deste, segue com azimute de 189°16'22" e distância de 31,99 m., até o vértice **165**, de coordenadas **N 8.234.954,22** m. e **E 178.707,62** m.; deste, segue com azimute de 193°22'48" e distância de 31,65 m., até o vértice **166**, de coordenadas **N 8.234.923,43** m. e **E 178.700,30** m.; deste, segue com azimute de 203°39'52" e distância de 27,09 m., até o vértice **167**, de coordenadas **N 8.234.898,62** m. e **E 178.689,43** m.; deste, segue com azimute de 207°19'27" e distância de 54,52 m., até o vértice **168**, de coordenadas **N 8.234.850,18** m. e **E 178.664,40** m.; deste, segue com azimute de 182°02'11" e distância de 7,99 m., até o vértice **169**, de coordenadas **N 8.234.842,20** m. e **E 178.664,12** m.; deste, segue com azimute de 216°52'12" e distância de 7,94 m., até o vértice **170**, de coordenadas **N 8.234.835,85** m. e **E 178.659,35** m.; deste, segue com azimute de 215°50'15" e distância de 11,75 m., até o vértice **171**, de coordenadas **N 8.234.826,32** m. e **E 178.652,47** m.; deste, segue com azimute de 204°19'32" e distância de 21,20 m., até o vértice **172**, de coordenadas **N 8.234.807,01** m. e **E 178.643,74** m.; deste, segue com azimute de 207°15'16" e distância de 61,99 m., até o vértice **173**, de coordenadas **N 8.234.751,90** m. e **E 178.615,36** m.; deste, segue com azimute de 135°59'16" e distância de 50,21 m., até o vértice **174**, de coordenadas **N 8.234.715,79** m. e **E 178.650,24** m.; deste, segue com azimute de 135°59'16" e distância de 47,90 m., até o vértice **175**, de coordenadas **N 8.234.681,34** m. e **E 178.683,52** m.; deste, segue com azimute de 136°04'45" e distância de 90,70 m., até o vértice **176**, de coordenadas **N 8.234.616,01** m. e **E 178.746,43** m.; deste, segue com azimute de 136°13'14" e distância de 90,40 m., até o vértice **177**, de coordenadas **N 8.234.550,75** m. e **E 178.808,98** m.; eixo da Rodovia DF-065 deste, segue pela Rodovia DF-065, até



SPL - PLC 0019/2019 folha 000240

o vértice **178**, de coordenadas **N 8.232.463,24** m. e **E 176.625,59** m.**;** ponto de interseção entre a Rodovia DF-065 e o eixo da Rodovia DF-001 deste, segue pela Rodovia DF-001, até o vértice **179**, de coordenadas **N 8.241.670,45** m. e **E 172.245,40** m.**;** ponto de interseção entre a Rodovia DF-001 e a Rodovia BR-060 deste, segue pela Rodovia DF-001, até o vértice **1**, de coordenadas **N 8.242.596,51** m. e **E 174.586,61** m.**;** ponto inicial da descrição deste perímetro. Todos os azimutes e distâncias, áreas e perímetros foram calculados no plano de projeção UTM. Todas as coordenadas aqui descritas estão georreferenciadas ao Sistema Geodésico Brasileiro e encontram-se representadas no Sistema UTM, referenciadas ao **Meridiano Central 45° WGr, Fuso 23**, tendo como o *Datum* o **SICAD-SIRGAS 2000.** Todos os azimutes e distâncias, áreas e perímetros foram calculados no plano de projeção UTM.



SFL - PLC 0019/2019 folha 000241

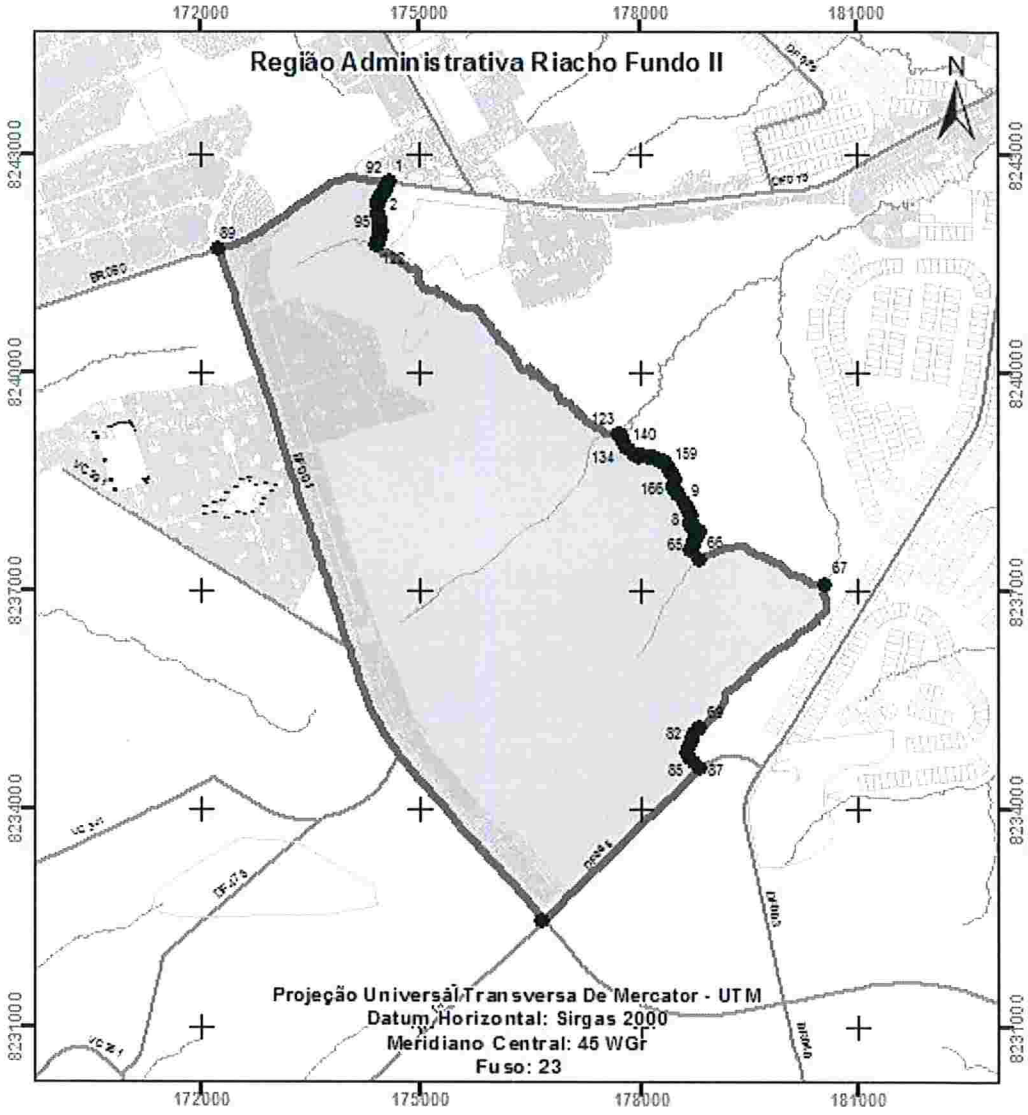




SFL - PLC 0019/2019 folha 000242

# MEMORIAL DESCRITIVO

## SUDOESTE E OCTOGONAL – RA XXII

Perímetro: 13.710,902 m  Área: 646,744 ha

Inicia-se a descrição deste perímetro no vértice **1**, de coordenadas **N 8.253.199,53** m. e **E 186.135,27** m., situado no eixo da Via S1, deste, segue com azimute de 107°03'18" e distância de 7,73 m., até o vértice **2**, de coordenadas **N 8.253.197,26** m. e **E 186.142,66** m.; **deste**, segue com azimute de 107°03'18" e distância de 14,35 m., até o vértice **3**, de coordenadas **N 8.253.193,05** m. e **E 186.156,38** m.; **deste**, segue com azimute de 107°03'17" e distância de 38,67 m., até o vértice **4**, de coordenadas **N 8.253.181,71** m. e **E 186.193,35** m.; **deste**, segue com azimute de 107°03'18" e distância de 216,81 m., até o vértice **5**, de coordenadas **N 8.253.118,12** m. e **E 186.400,62** m.; **deste**, segue com azimute de 107°03'17" e distância de 173,28 m., até o vértice **6**, de coordenadas **N 8.253.067,30** m. e **E 186.566,28** m.; **deste**, segue com azimute de 107°03'18" e distância de 83,41 m., até o vértice **7**, de coordenadas **N 8.253.042,84** m. e **E 186.646,02** m.; **deste**, segue com azimute de 107°03'17" e distância de 130,94 m., até o vértice **8**, de coordenadas **N 8.253.004,44** m. e **E 186.771,20** m.; **deste**, segue com azimute de 107°16'08" e distância de 99,49 m., até o vértice **9**, de coordenadas **N 8.252.974,90** m. e **E 186.866,21** m.; **deste**, segue com azimute de 107°16'09" e distância de 138,93 m., até o vértice **10**, de coordenadas **N 8.252.933,66** m. e **E 186.998,88** m.; **deste**, segue com azimute de 107°16'09" e distância de 176,83 m., até o vértice **11**, de coordenadas **N 8.252.881,17** m. e **E 187.167,74** m.; **deste**, segue com azimute de 107°16'09" e distância de 235,01 m., até o vértice **12**, de coordenadas **N 8.252.811,40** m. e **E 187.392,15** m.; **deste**, segue com azimute de 107°16'08" e distância de 140,77 m., até o vértice **13**, de coordenadas **N 8.252.769,61** m. e **E 187.526,58** m.; **deste**, segue com azimute de 107°16'09" e distância de 18,25 m., até o vértice **14**, de coordenadas **N 8.252.764,19** m. e **E 187.544,01** m.; **deste**, segue com azimute de 107°16'08" e distância de 186,81 m., até o vértice **15**, de coordenadas **N 8.252.708,74** m. e **E 187.722,40** m.; **deste**, segue com azimute de 107°16'09" e distância de 60,06 m., até o vértice **16**, de coordenadas **N 8.252.690,91** m. e **E 187.779,75** m.; **deste**, segue com azimute de 107°16'08" e distância de 8,81 m., até o vértice **17**, de coordenadas **N 8.252.688,29** m. e **E 187.788,16** m.; **deste**, segue com azimute de 195°17'54" e distância de 10,96 m., até o vértice **18**, de coordenadas **N 8.252.677,72** m. e **E 187.785,27** m.; **deste**, segue com azimute de 197°40'52" e distância de 41,32 m., até o vértice **19**, de coordenadas **N 8.252.638,36** m. e **E 187.772,72** m.; **deste**, segue com azimute de 197°40'16"



SPL - PLC 0019/2019 folha 000243

e distância de 117,67 m., até o vértice **20**, de coordenadas **N 8.252.526,24** m. e **E 187.737,00** m.; **deste**, segue com azimute de 108°56'43" e distância de 45,64 m., até o vértice **21**, de coordenadas **N 8.252.511,42** m. e **E 187.780,17** m.; **deste**, segue com azimute de 107°05'06" e distância de 231,22 m., até o vértice **22**, de coordenadas **N 8.252.443,49** m. e **E 188.001,19** m.; **deste**, segue com azimute de 107°05'06" e distância de 53,16 m., até o vértice **23**, de coordenadas **N 8.252.427,87** m. e **E 188.052,01** m.; **deste**, segue com azimute de 107°05'06" e distância de 106,51 m., até o vértice **24**, de coordenadas **N 8.252.396,58** m. e **E 188.153,82** m.; **deste**, segue com azimute de 109°34'28" e distância de 28,51 m., até o vértice **25**, de coordenadas **N 8.252.387,03** m. e **E 188.180,68** m.; **deste**, segue com azimute de 128°32'01" e distância de 45,48 m., até o vértice **26**, de coordenadas **N 8.252.358,70** m. e **E 188.216,25** m.; **deste**, segue com azimute de 107°02'11" e distância de 66,25 m., até o vértice **27**, de coordenadas **N 8.252.339,29** m. e **E 188.279,60** m.; **deste**, segue com azimute de 107°02'11" e distância de 101,40 m., até o vértice **28**, de coordenadas **N 8.252.309,58** m. e **E 188.376,55** m.; **deste**, segue com azimute de 107°02'20" e distância de 1,09 m., até o vértice **29**, de coordenadas **N 8.252.309,26** m. e **E 188.377,59** m.; **deste**, segue com azimute de 197°17'31" e distância de 210,37 m., até o vértice **30**, de coordenadas **N 8.252.108,40** m. e **E 188.315,06** m.; **deste**, segue com azimute de 197°17'31" e distância de 94,87 m., até o vértice **31**, de coordenadas **N 8.252.017,82** m. e **E 188.286,86** m.; **deste**, segue com azimute de 197°17'31" e distância de 267,84 m., até o vértice **32**, de coordenadas **N 8.251.762,08** m. e **E 188.207,25** m.; **deste**, segue com azimute de 197°17'31" e distância de 21,67 m., até o vértice **33**, de coordenadas **N 8.251.741,39** m. e **E 188.200,81** m.; **deste**, segue com azimute de 197°17'32" e distância de 93,51 m., até o vértice **34**, de coordenadas **N 8.251.652,11** m. e **E 188.173,01** m.; **deste**, segue com azimute de 197°17'31" e distância de 114,50 m., até o vértice **35**, de coordenadas **N 8.251.542,78** m. e **E 188.138,98** m.; **deste**, segue com azimute de 197°17'31" e distância de 43,44 m., até o vértice **36**, de coordenadas **N 8.251.501,31** m. e **E 188.126,06** m.; **deste**, segue com azimute de 197°17'31" e distância de 93,23 m., até o vértice **37**, de coordenadas **N 8.251.412,29** m. e **E 188.098,35** m.; **deste**, segue com azimute de 215°43'24" e distância de 10,93 m., até o vértice **38**, de coordenadas **N 8.251.403,41** m. e **E 188.091,97** m.; **deste**, segue com azimute de 262°59'03" e distância de 10,79 m., até o vértice **39**, de coordenadas **N 8.251.402,09** m. e **E 188.081,26** m.; **deste**, segue com azimute de 286°23'55" e distância de 135,98 m., até o vértice **40**, de coordenadas **N 8.251.440,48** m. e **E 187.950,81** m.; **deste**, segue com azimute de 286°23'54" e distância de 26,20 m., até o vértice **41**, de coordenadas **N 8.251.447,88** m. e **E 187.925,68** m.; **deste**, segue com azimute de 286°23'55"



SPL - PLC 0019/2019 folha 000244

e distância de 6,79 m., até o vértice **42**, de coordenadas **N 8.251.449,79** m. e **E 187.919,17** m.**; deste**, segue com azimute de 287°42'38" e distância de 14,91 m., até o vértice **43**, ponto situado no eixo da Rodovia DF011, de coordenadas **N 8.251.454,33** m. e **E 187.904,96** m.**; deste**, segue por esta rodovia., até o vértice **45**, localizado na interseção das Rodovias DF011 (EPIG) e DF003 (EPIA) de coordenadas **N 8.249.848,61** m. e **E 184.130,33** m.**; deste**, segue pelo eixo da DF003 até o vértice **46**, de coordenadas **N 8.250.959,45** m. e **E 184.352,42** m.**; deste**, segue com azimute de 107°36'00" e distância de 85,94 m., até o vértice **47**, de coordenadas **N 8.250.933,46** m. e **E 184.434,34** m.**; deste**, segue com azimute de 107°36'45" e distância de 42,86 m., até o vértice **48**, de coordenadas **N 8.250.920,49** m. e **E 184.475,18** m.**; deste**, segue com azimute de 107°36'45" e distância de 43,07 m., até o vértice **49**, de coordenadas **N 8.250.907,46** m. e **E 184.516,23** m.**; deste**, segue com azimute de 107°04'29" e distância de 141,34 m., até o vértice **50**, de coordenadas **N 8.250.865,96** m. e **E 184.651,34** m.**; deste**, segue com azimute de 107°27'40" e distância de 43,32 m., até o vértice **51**, de coordenadas **N 8.250.852,96** m. e **E 184.692,67** m.**; deste**, segue com azimute de 107°28'14" e distância de 153,22 m., até o vértice **52**, de coordenadas **N 8.250.806,96** m. e **E 184.838,83** m.**; deste**, segue com azimute de 111°24'28" e distância de 50,68 m., até o vértice **53**, de coordenadas **N 8.250.788,46** m. e **E 184.886,02** m.**; deste**, segue com azimute de 124°12'31" e distância de 107,32 m., até o vértice **54**, de coordenadas **N 8.250.728,12** m. e **E 184.974,77** m.**; deste**, segue com azimute de 136°57'58" e distância de 45,18 m., até o vértice **55**, de coordenadas **N 8.250.695,10** m. e **E 185.005,60** m.**; deste**, segue com azimute de 145°18'17" e distância de 95,79 m., até o vértice **56**, de coordenadas **N 8.250.616,34** m. e **E 185.060,13** m.**; deste**, segue com azimute de 146°28'04" e distância de 287,45 m., até o vértice **57**, de coordenadas **N 8.250.376,73** m. e **E 185.218,92** m.**; deste**, segue com azimute de 146°07'00" e distância de 126,19 m., até o vértice **58**, de coordenadas **N 8.250.271,97** m. e **E 185.289,27** m.**; deste**, segue com azimute de 56°21'30" e distância de 195,72 m., até o vértice **59**, de coordenadas **N 8.250.380,40** m. e **E 185.452,21** m.**; deste**, segue com azimute de 56°13'00" e distância de 193,45 m., até o vértice **60**, de coordenadas **N 8.250.487,97** m. e **E 185.613,00** m.**; deste**, segue com azimute de 56°13'02" e distância de 164,45 m., até o vértice **61**, de coordenadas **N 8.250.579,41** m. e **E 185.749,68** m.**; deste**, segue com azimute de 56°13'03" e distância de 26,85 m., até o vértice **62**, de coordenadas **N 8.250.594,34** m. e **E 185.771,99** m.**; deste**, segue com azimute de 5°21'21" e distância de 19,59 m., até o vértice **63**, de coordenadas **N 8.250.613,84** m. e **E 185.773,82** m.**; deste**, segue com azimute de 5°21'21" e distância de 46,05 m., até o vértice **64**, de coordenadas **N 8.250.659,69** m. e **E 185.778,12**



SPL - PLC 0019/2019 folha 000245

m.; **deste**, segue com azimute de 5°21'21" e distância de 104,11 m., até o vértice **65**, de coordenadas **N 8.250.763,34** m. e **E 185.787,84** m.; **deste**, segue com azimute de 5°21'57" e distância de 17,37 m., até o vértice **66**, de coordenadas **N 8.250.780,64** m. e **E 185.789,46** m.; **deste**, segue com azimute de 5°21'58" e distância de 65,46 m., até o vértice **67**, de coordenadas **N 8.250.845,81** m. e **E 185.795,58** m.; **deste**, segue com azimute de 56°54'40" e distância de 42,31 m., até o vértice **68**, de coordenadas **N 8.250.868,91** m. e **E 185.831,03** m.; **deste**, segue com azimute de 325°52'42" e distância de 22,15 m., até o vértice **69**, de coordenadas **N 8.250.887,25** m. e **E 185.818,60** m.; **deste**, segue com azimute de 325°52'41" e distância de 20,22 m., até o vértice **70**, de coordenadas **N 8.250.903,99** m. e **E 185.807,26** m.; **deste**, segue com azimute de 331°59'52" e distância de 7,39 m., até o vértice **71**, de coordenadas **N 8.250.910,51** m. e **E 185.803,79** m.; **deste**, segue com azimute de 326°46'48" e distância de 70,27 m., até o vértice **72**, de coordenadas **N 8.250.969,30** m. e **E 185.765,29** m.; **deste**, segue com azimute de 329°58'54" e distância de 41,25 m., até o vértice **73**, de coordenadas **N 8.251.005,01** m. e **E 185.744,66** m.; **deste**, segue com azimute de 340°29'51" e distância de 40,42 m., até o vértice **74**, de coordenadas **N 8.251.043,11** m. e **E 185.731,16** m.; **deste**, segue com azimute de 345°57'50" e distância de 39,27 m., até o vértice **75**, de coordenadas **N 8.251.081,21** m. e **E 185.721,64** m.; **deste**, segue com azimute de 347°11'45" e distância de 35,82 m., até o vértice **76**, de coordenadas **N 8.251.116,14** m. e **E 185.713,70** m.; **deste**, segue com azimute de 0°00'00" e distância de 38,89 m., até o vértice **77**, de coordenadas **N 8.251.155,03** m. e **E 185.713,70** m.; **deste**, segue com azimute de 354°05'38" e distância de 46,28 m., até o vértice **78**, de coordenadas **N 8.251.201,07** m. e **E 185.708,94** m.; **deste**, segue com azimute de 0°00'00" e distância de 55,56 m., até o vértice **79**, de coordenadas **N 8.251.256,63** m. e **E 185.708,94** m.; **deste**, segue com azimute de 0°15'59" e distância de 170,66 m., até o vértice **80**, de coordenadas **N 8.251.427,29** m. e **E 185.709,73** m.; **deste**, segue com azimute de 358°21'20" e distância de 165,96 m., até o vértice **81**, de coordenadas **N 8.251.593,18** m. e **E 185.704,97** m.; **deste**, segue com azimute de 359°07'31" e distância de 103,99 m., até o vértice **82**, de coordenadas **N 8.251.697,17** m. e **E 185.703,38** m.; **deste**, segue com azimute de 0°43'47" e distância de 124,63 m., até o vértice **83**, de coordenadas **N 8.251.821,78** m. e **E 185.704,97** m.; **deste**, segue com azimute de 12°17'43" e distância de 63,37 m., até o vértice **84**, de coordenadas **N 8.251.883,70** m. e **E 185.718,46** m.; **deste**, segue com azimute de 18°40'36" e distância de 59,49 m., até o vértice **85**, de coordenadas **N 8.251.940,05** m. e **E 185.737,51** m.; **deste**, segue com azimute de 17°24'33" e distância de 294,48 m., até o vértice **86**, de coordenadas **N 8.252.221,04** m. e **E 185.825,62**



SFL - PLC 0019/2019 folha 000246

m.; **deste**, segue com azimute de 18°14'22" e distância de 147,09 m., até o vértice **87**, de coordenadas **N 8.252.360,74** m. e **E 185.871,66** m.; **deste**, segue com azimute de 17°45'53" e distância de 171,70 m., até o vértice **88**, de coordenadas **N 8.252.524,25** m. e **E 185.924,04** m.; **deste**, segue com azimute de 17°59'35" e distância de 97,64 m., até o vértice **89**, de coordenadas **N 8.252.617,12** m. e **E 185.954,21** m.; **deste**, segue com azimute de 16°59'27" e distância de 119,52 m., até o vértice **90**, de coordenadas **N 8.252.731,42** m. e **E 185.989,13** m.; **deste**, segue com azimute de 17°47'21" e distância de 155,88 m., até o vértice **91**, de coordenadas **N 8.252.879,86** m. e **E 186.036,76** m.; **deste**, segue com azimute de 17°00'43" e distância de 204,34 m., até o vértice **92**, de coordenadas **N 8.253.075,25** m. e **E 186.096,54** m.; **deste**, segue com azimute de 16°58'35" e distância de 50,29 m., até o vértice **93**, de coordenadas **N 8.253.123,35** m. e **E 186.111,22** m.; **deste**, segue com azimute de 18°09'09" e distância de 23,78 m., até o vértice **94**, de coordenadas **N 8.253.145,95** m. e **E 186.118,63** m.; **deste**, segue com azimute de 17°17'06" e distância de 36,69 m., até o vértice **95**, de coordenadas **N 8.253.180,98** m. e **E 186.129,53** m.; **deste**, segue com azimute de 17°11'40" e distância de 19,42 m., até o vértice **1**, de coordenadas **N 8.253.199,53** m. e **E 186.135,27** m.; ponto inicial da descrição deste perímetro. Todas as coordenadas aqui descritas estão georreferenciadas ao Sistema Geodésico Brasileiro e encontram-se representadas no Sistema UTM, referenciadas ao **Meridiano Central 45° WGr, Fuso 23**, tendo como o Datum o **SICAD-SIRGAS 2000.** Todos os azimutes e distâncias, áreas e perímetros foram calculados no plano de projeção UTM.



SPL - PLC 0019/2019 folha 000247

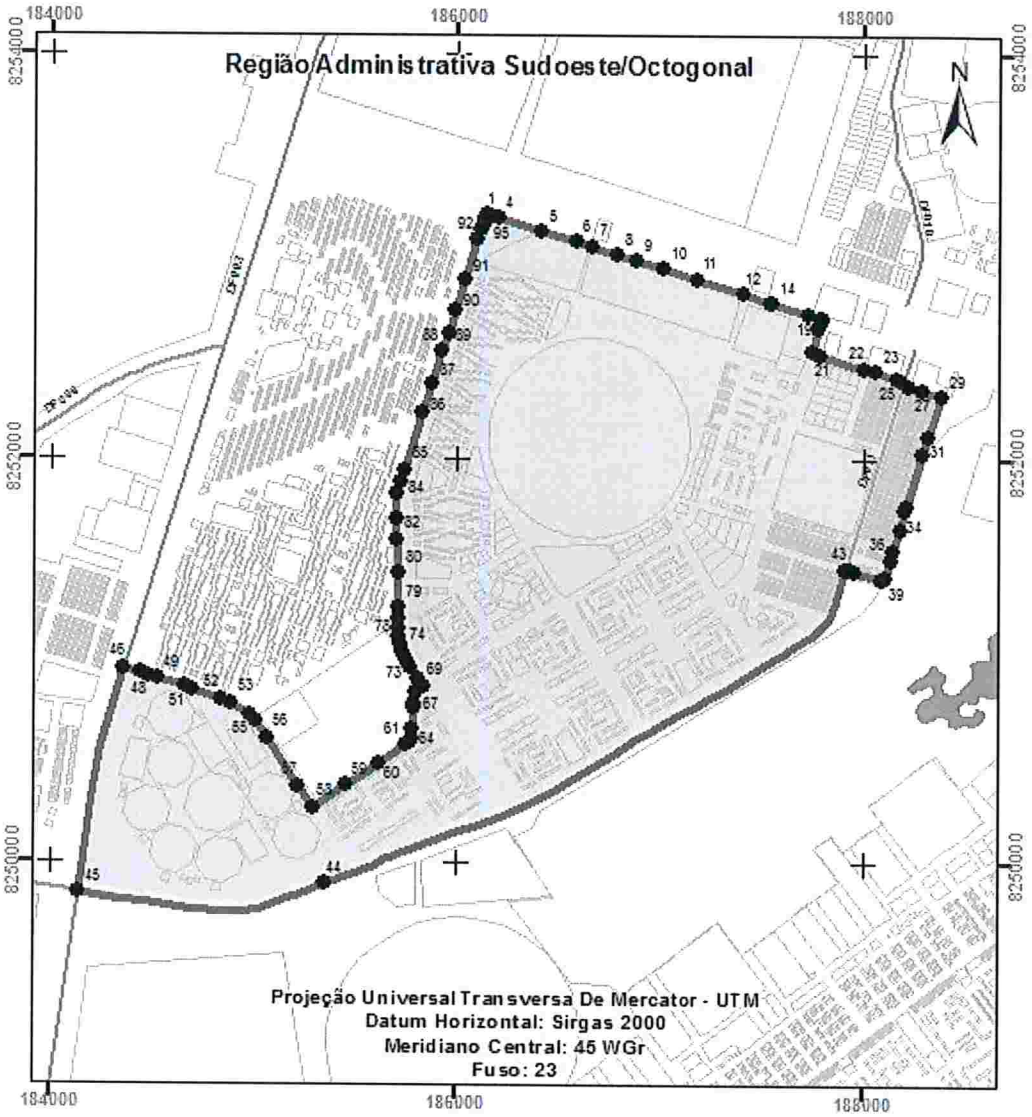




SFL - PLC 0019/2019 folha 000248

# MEMORIAL DESCRITIVO

## VARJÃO – RA XXIII

Perímetro: 8.196,192 m  Área: 162,944 ha

Inicia-se a descrição deste perímetro no vértice **1**, de coordenadas **N 8.261.978,54** m. e **E 190.791,22** m., situado no eixo da Rodovia DF-003, deste, segue com azimute de 142°14'27" e distância de 44,15 m., até o vértice **2**, de coordenadas **N 8.261.943,64** m. e **E 190.818,26** m.; deste, segue com azimute de 136°09'56" e distância de 462,33 m., até o vértice **3**, de coordenadas **N 8.261.610,14** m. e **E 191.138,46** m.; deste, segue com azimute de 119°10'23" e distância de 577,91 m., até o vértice **4**, de coordenadas **N 8.261.328,44** m. e **E 191.643,06** m.; deste, segue com azimute de 82°44'01" e distância de 181,05 m., até o vértice **5**, de coordenadas **N 8.261.351,34** m. e **E 191.822,66** m.; deste, segue com azimute de 103°48'22" e distância de 320,15 m., até o vértice **6**, de coordenadas **N 8.261.274,94** m. e **E 192.133,56** m.; deste, segue com azimute de 154°45'31" e distância de 189,71 m., até o vértice **7**, de coordenadas **N 8.261.103,34** m. e **E 192.214,46** m.; deste, segue com azimute de 232°25'13" e distância de 334,84 m., até o vértice **8**, de coordenadas **N 8.260.899,13** m. e **E 191.949,09** m.; deste, segue com azimute de 159°09'08" e distância de 106,68 m., até o vértice **9**, de coordenadas **N 8.260.799,44** m. e **E 191.987,06** m.; deste, segue com azimute de 133°50'27" e distância de 48,94 m., até o vértice **10**, de coordenadas **N 8.260.765,54** m. e **E 192.022,36** m.; deste, segue com azimute de 106°36'07" e distância de 205,31 m., até o vértice **11**, de coordenadas **N 8.260.706,88** m. e **E 192.219,11** m.; deste, segue com azimute de 117°05'00" e distância de 98,24 m., até o vértice **12**, de coordenadas **N 8.260.662,15** m. e **E 192.306,58** m.; deste, segue com azimute de 165°10'05" e distância de 101,49 m., até o vértice **13**, de coordenadas **N 8.260.564,04** m. e **E 192.332,56** m.; deste, segue com azimute de 167°05'33" e distância de 20,57 m., até o vértice **14**, de coordenadas **N 8.260.543,99** m. e **E 192.337,15** m.; deste, segue com azimute de 216°12'50" e distância de 128,94 m., até o vértice **15**, de coordenadas **N 8.260.439,95** m. e **E 192.260,97** m.; ponto situado no eixo da Rodovia DF-005 deste, segue pela Rodovia DF-005, até o vértice **16**, de coordenadas **N 8.260.342,55** m. e **E 192.598,31** m.; deste, segue com azimute de 205°50'11" e distância de 378,08 m., até o vértice **17**, de coordenadas **N 8.260.002,26** m. e **E 192.433,54** m.; situado às margens do Ribeirão Torto deste, segue margeando o Ribeirão Torto, até o vértice **18**, de coordenadas **N 8.261.357,91** m. e **E 190.022,98** m.; ponto de cruzamento entre o Ribeirão Torto e o eixo da Rodovia DF-003, deste, segue pela Rodovia DF-003, até o vértice **1**, de



SPL - PLC 0019/2019 folha 000249

coordenadas **N 8.261.978,54** m. e **E 190.791,22** m.; ponto inicial da descrição deste perímetro. Todos os azimutes e distâncias, áreas e perímetros foram calculados no plano de projeção UTM. Todas as coordenadas aqui descritas estão georreferenciadas ao Sistema Geodésico Brasileiro e encontram-se representadas no Sistema UTM, referenciadas ao **Meridiano Central 45° WGr, Fuso 23**, tendo como o *Datum* o **SICAD-SIRGAS 2000.** Todos os azimutes e distâncias, áreas e perímetros foram calculados no plano de projeção UTM.

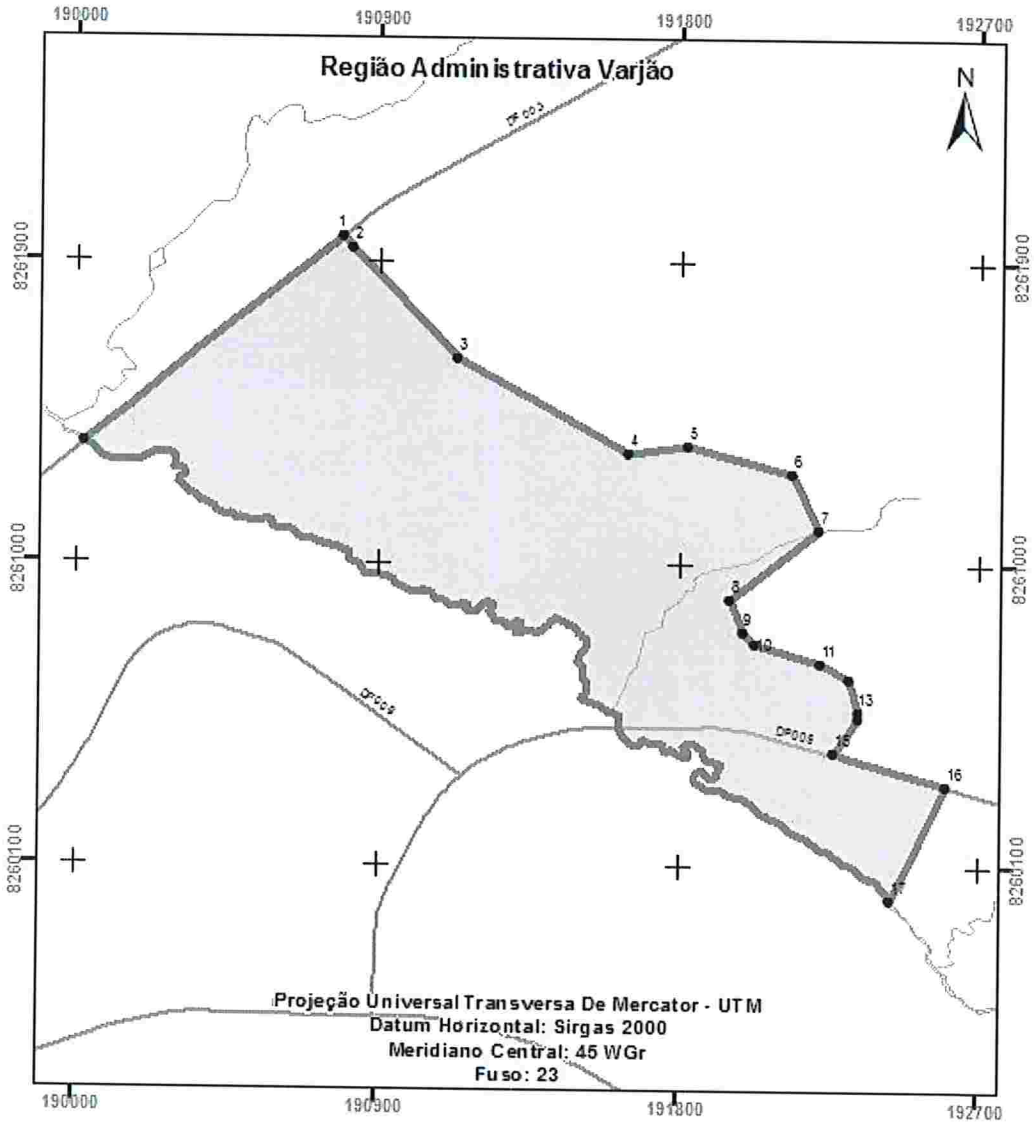




SPL - PLC 0019/2019 folha 000250

# MEMORIAL DESCRITIVO

## PARK WAY – RA XXIV

## POLIGONAL A

Perímetro: 26.302,629 m  Área: 1.114,0448 ha

Inicia-se a descrição deste perímetro no vértice **1**, de coordenadas **N 8.248.534,857**m e **E 177.419,867**m, localizado no eixo da Rodovia DF-079; deste, segue pelo eixo da Rodovia DF-079 até atingir o vértice **2**, de coordenadas **N 8.248.432,879**m e **E 177.467,155**m; deste deixando o eixo da referida Rodovia, segue por linha divisória, com os seguintes azimutes e distâncias 65°04'37" e 19,307 m até o vértice **3**, de coordenadas **N 8.248.441,015**m e **E 177.484,664**m; 65°12'44" e 57,242 m até o vértice **4**, de coordenadas **N 8.248.465,014**m e **E 177.536,632**m; 65°12'44" e 56,643 m até o vértice **5**, de coordenadas **N 8.248.488,762**m e **E 177.588,056**m; 65°11'48" e 125,498 m até o vértice **6**, de coordenadas **N 8.248.541,409**m e **E 177.701,977**m; 65°43'12" e 9,579 m até o vértice **7**, de coordenadas **N 8.248.545,348**m e **E 177.710,709**m; 66°50'40" e 62,467 m até o vértice **8**, de coordenadas **N 8.248.569,912**m e **E 177.768,144**m; 66°50'44" e 24,206 m até o vértice **9**, de coordenadas **N 8.248.579,430**m e **E 177.790,400**m; 64°29'44" e 56,783 m até o vértice **10**, de coordenadas **N 8.248.603,880**m e **E 177.841,650**m; 66°07'51" e 19,995 m até o vértice **11**, de coordenadas **N 8.248.611,971**m e **E 177.859,935**m; 66°07'56" e 38,593 m até o vértice **12**, de coordenadas **N 8.248.627,587**m e **E 177.895,228**m; 66°07'52" e 89,328 m até o vértice **13**, de coordenadas **N 8.248.663,733**m e **E 177.976,916**m; 66°08'02" e 5,737 m até o vértice **14**, de coordenadas **N 8.248.666,054**m e **E 177.982,162**m; 66°07'51" e 52,826 m até o vértice **15**, de coordenadas **N 8.248.687,430**m e **E 178.030,470**m; 64°54'29" e 110,041 m até o vértice **16**, de coordenadas **N 8.248.734,095**m e **E 178.130,126**m; 64°54'31" e 22,989 m até o vértice **17**, de coordenadas **N 8.248.743,844**m e **E 178.150,946**m; 64°54'50" e 6,099 m até o vértice **18**, de coordenadas **N 8.248.746,430**m e **E 178.156,470**m; 57°01'48" e 3,973 m até o vértice **19**, de coordenadas **N 8.248.748,592**m e **E 178.159,803**m; 57°02'42" e 1,081 m até o vértice **20**, de coordenadas **N 8.248.749,180**m e **E 178.160,710**m; 56°48'53" e 10,547 m até o vértice **21**, de coordenadas **N 8.248.754,953**m e **E 178.169,537**m; 63°49'33" e 35,983 m até o vértice **22**, de coordenadas **N 8.248.770,825**m e **E 178.201,830**m; 31°09'02" e 87,052 m até o vértice **23**, de coordenadas **N 8.248.845,325**m e **E 178.246,861**m; 34°57'36" e 36,042 m até o vértice **24**, de coordenadas **N 8.248.874,863**m e **E 178.267,513**m; 34°57'29" e 5,827 m até o vértice **25**, de coordenadas



SFL - PLC 0019/2019 folha 000251

**N 8.248.879,639**m e **E 178.270,852**m; 34°57'34" e 7,199 m até o vértice **26**, de coordenadas **N 8.248.885,539**m e **E 178.274,977**m; 34°49'01" e 2,144 m até o vértice **27**, de coordenadas **N 8.248.887,299**m e **E 178.276,201**m, localizado no talvegue do Córrego Samambaia; deste, segue a jusante pelo talvegue do Córrego Samambaia até atingir o vértice **28**, de coordenadas **N 8.248.922,841**m e **E 178.516,878**m, localizado na confluência do referido Córrego com o Córrego Vicente Pires; deste, segue a jusante pelo talvegue do Córrego Vicente Pires até atingir o vértice **29**, de coordenadas **N 8.243.884,572**m e **E 182.942,753**m, localizado na interseção do referido Córrego com a Rodovia DF-075; deste, segue pelo eixo da Rodovia DF-075 até atingir o vértice **30**, de coordenadas **N 8.243.715,839**m e **E 182.600,849**m; deste, deixando o eixo da referida Rodovia, segue por linha divisória, com os seguintes azimutes e distâncias: 335°51'49" e 57,262 m até o vértice **31**, de coordenadas **N 8.243.768,095**m e **E 182.577,434**m; 294°00'42" e 30,558 m até o vértice **32**, de coordenadas **N 8.243.780,530**m e **E 182.549,520**m; 275°42'43" e 7,978 m até o vértice **33**, de coordenadas **N 8.243.781,324**m e **E 182.541,582**m; 263°49'53" e 9,846 m até o vértice **34**, de coordenadas **N 8.243.780,266**m e **E 182.531,793**m; 218°56'40" e 24,834 m até o vértice **35**, de coordenadas **N 8.243.760,951**m e **E 182.516,183**m; 216°31'47" e 13,336 m até o vértice **36**, de coordenadas **N 8.243.750,235**m e **E 182.508,245**m; 221°51'26" e 8,526 m até o vértice **37**, de coordenadas **N 8.243.743,885**m e **E 182.502,556**m; 225°24'36" e 26,193 m até o vértice **38**, de coordenadas **N 8.243.725,497**m e **E 182.483,903**m; 237°31'29" e 12,074 m até o vértice **39**, de coordenadas **N 8.243.719,014**m e **E 182.473,717**m; 250°08'48" e 15,191 m até o vértice **40**, de coordenadas **N 8.243.713,855**m e **E 182.459,429**m; 265°20'32" e 17,918 m até o vértice **41**, de coordenadas **N 8.243.712,400**m e **E 182.441,570**m; 276°42'36" e 22,645 m até o vértice **42**, de coordenadas **N 8.243.715,046**m e **E 182.419,080**m; 276°06'47" e 106,837 m até o vértice **43**, de coordenadas **N 8.243.726,423**m e **E 182.312,850**m; 275°45'07" e 72,598 m até o vértice **44**, de coordenadas **N 8.243.733,699**m e **E 182.240,618**m; 276°07'46" e 95,398 m até o vértice **45**, de coordenadas **N 8.243.743,885**m e **E 182.145,765**m; 275°46'40" e 56,511 m até o vértice **46**, de coordenadas **N 8.243.749,574**m e **E 182.089,541**m; 275°14'55" e 63,635 m até o vértice **47**, de coordenadas **N 8.243.755,395**m e **E 182.026,173**m; 275°27'01" e 37,608 m até o vértice **48**, de coordenadas **N 8.243.758,967**m e **E 181.988,735**m; 185°50'19" e 65,028 m até o vértice **49**, de coordenadas **N 8.243.694,276**m e **E 181.982,120**m; 185°49'53" e 62,500 m até o vértice **50**, de coordenadas **N 8.243.632,099**m e **E 181.975,770**m; 185°49'59" e 109,603 m até o vértice **51**, de coordenadas **N 8.243.523,064**m e **E 181.964,631**m; 185°23'19" e 25,354 m até o vértice **52**, de coordenadas **N 8.243.497,822**m



SPL - PLC 0019/2019 folha 000252

e **E 181.962,250**m; 275°52'00" e 86,975 m até o vértice **53**, de coordenadas **N 8.243.506,712**m e **E 181.875,731**m; 276°15'14" e 23,317 m até o vértice **54**, de coordenadas **N 8.243.509,252**m e **E 181.852,553**m; 275°46'57" e 50,422 m até o vértice **55**, de coordenadas **N 8.243.514,332**m e **E 181.802,388**m; 275°50'43" e 60,800 m até o vértice **56**, de coordenadas **N 8.243.520,524**m e **E 181.741,904**m; 275°37'46" e 33,978 m até o vértice **57**, de coordenadas **N 8.243.523,857**m e **E 181.708,090**m; 276°16'09" e 84,324 m até o vértice **58**, de coordenadas **N 8.243.533,065**m e **E 181.624,270**m; 275°53'19" e 106,767 m até o vértice **59**, de coordenadas **N 8.243.544,019**m e **E 181.518,066**m; 276°09'13" e 59,237 m até o vértice **60**, de coordenadas **N 8.243.550,369**m e **E 181.459,170**m; 275°44'39" e 50,086 m até o vértice **61**, de coordenadas **N 8.243.555,382**m e **E 181.409,336**m; 275°59'37" e 25,341 m até o vértice **62**, de coordenadas **N 8.243.558,028**m e **E 181.384,134**m; 273°09'39" e 10,083 m até o vértice **63**, de coordenadas **N 8.243.558,584**m e **E 181.374,066**m; 273°26'47" e 8,800 m até o vértice **64**, de coordenadas **N 8.243.559,113**m e **E 181.365,282**m; 313°30'03" e 28,597 m até o vértice **65**, de coordenadas **N 8.243.578,798**m e **E 181.344,539**m; 313°07'31" e 50,316 m até o vértice **66**, de coordenadas **N 8.243.613,194**m e **E 181.307,815**m; 305°18'40" e 18,676 m até o vértice **67**, de coordenadas **N 8.243.623,989**m e **E 181.292,575**m; 311°49'14" e 8,095 m até o vértice **68**, de coordenadas **N 8.243.629,387**m e **E 181.286,542**m; 311°10'08" e 33,601 m até o vértice **69**, de coordenadas **N 8.243.651,506**m e **E 181.261,248**m; 311°29'08" e 34,189 m até o vértice **70**, de coordenadas **N 8.243.674,154**m e **E 181.235,636**m; 314°27'08" e 31,283 m até o vértice **71**, de coordenadas **N 8.243.696,062**m e **E 181.213,305**m; 314°13'55" e 50,219 m até o vértice **72**, de coordenadas **N 8.243.731,093**m e **E 181.177,322**m; 314°48'29" e 44,752 m até o vértice **73**, de coordenadas **N 8.243.762,631**m e **E 181.145,572**m; 313°59'41" e 29,864 m até o vértice **74**, de coordenadas **N 8.243.783,374**m e **E 181.124,088**m; 314°11'08" e 31,585 m até o vértice **75**, de coordenadas **N 8.243.805,388**m e **E 181.101,439**m; 214°39'55" e 13,768 m até o vértice **76**, de coordenadas **N 8.243.794,064**m e **E 181.093,608**m; 216°36'55" e 37,974 m até o vértice **77**, de coordenadas **N 8.243.763,584**m e **E 181.070,959**m; 256°28'08" e 20,190 m até o vértice **78**, de coordenadas **N 8.243.758,860**m e **E 181.051,329**m, localizado no eixo da Ferrovia Centro-Atlântica; deste, segue pelo eixo da Ferrovia Centro-Atlântica até atingir o vértice **79**, de coordenadas **N 8.242.802,659**m e **E 180.954,136**m, localizado na interseção da referida Ferrovia com a Rodovia DF-075; deste, segue pelo eixo da Rodovia DF-075 até atingir o vértice **80**, de coordenadas **N 8.242.433,698**m e **E 179.550,228**m; deste, deixando o eixo da referida Rodovia, segue por linha divisória, com os seguintes azimutes e distâncias: 350°16'29" e 0,681 m até o vértice **81**, de coordenadas **N**



SPL - PLC 0019/2019 folha 000253

**8.242.434,369**m e **E 179.550,113**m; 345°03'50" e 4,586 m até o vértice **82**, de coordenadas **N 8.242.438,800**m e **E 179.548,931**m; 345°04'09" e 7,626 m até o vértice **83**, de coordenadas **N 8.242.446,169**m e **E 179.546,966**m; 345°04'03" e 12,527 m até o vértice **84**, de coordenadas **N 8.242.458,273**m e **E 179.543,738**m; 345°04'07" e 161,072 m até o vértice **85**, de coordenadas **N 8.242.613,906**m e **E 179.502,236**m; 343°39'39" e 111,339 m até o vértice **86**, de coordenadas **N 8.242.720,748**m e **E 179.470,914**m; 343°39'40" e 68,332 m até o vértice **87**, de coordenadas **N 8.242.786,320**m e **E 179.451,691**m; 343°39'39" e 45,581 m até o vértice **88**, de coordenadas **N 8.242.830,060**m e **E 179.438,868**m; 344°41'58" e 77,376 m até o vértice **89**, de coordenadas **N 8.242.904,693**m e **E 179.418,450**m; 343°52'01" e 37,547 m até o vértice **90**, de coordenadas **N 8.242.940,761**m e **E 179.408,017**m; 343°52'02" e 51,140 m até o vértice **91**, de coordenadas **N 8.242.989,887**m e **E 179.393,807**m; 302°28'19" e 6,093 m até o vértice **92**, de coordenadas **N 8.242.993,158**m e **E 179.388,667**m; 326°02'06" e 2,601 m até o vértice **93**, de coordenadas **N 8.242.995,315**m e **E 179.387,214**m; 313°31'01" e 2,459 m até o vértice **94**, de coordenadas **N 8.242.997,008**m e **E 179.385,431**m; 343°57'18" e 14,794 m até o vértice **95**, de coordenadas **N 8.243.011,226**m e **E 179.381,342**m; 355°08'07" e 4,186 m até o vértice **96**, de coordenadas **N 8.243.015,397**m e **E 179.380,987**m; 81°47'24" e 29,313 m até o vértice **97**, de coordenadas **N 8.243.019,583**m e **E 179.410,000**m; 345°28'57" e 49,606 m até o vértice **98**, de coordenadas **N 8.243.067,605**m e **E 179.397,565**m; 75°15'47" e 2,598 m até o vértice **99**, de coordenadas **N 8.243.068,266**m e **E 179.400,078**m; 344°31'57" e 100,202 m até o vértice **100**, de coordenadas **N 8.243.164,839**m e **E 179.373,355**m; 345°30'40" e 100,967 m até o vértice **101**, de coordenadas **N 8.243.262,595**m e **E 179.348,094**m; 74°04'43" e 186,885 m até o vértice **102**, de coordenadas **N 8.243.313,861**m e **E 179.527,810**m; 74°00'10" e 39,337 m até o vértice **103**, de coordenadas **N 8.243.324,702**m e **E 179.565,624**m; 40°19'58" e 66,400 m até o vértice **104**, de coordenadas **N 8.243.375,319**m e **E 179.608,600**m; 343°38'47" e 200,001 m até o vértice **105**, de coordenadas **N 8.243.567,228**m e **E 179.552,287**m; 341°08'44" e 7,126 m até o vértice **106**, de coordenadas **N 8.243.573,972**m e **E 179.549,984**m; 73°53'14" e 197,967 m até o vértice **107**, de coordenadas **N 8.243.628,913**m e **E 179.740,174**m; 73°53'13" e 11,966 m até o vértice **108**, de coordenadas **N 8.243.632,234**m e **E 179.751,670**m; 73°53'14" e 68,994 m até o vértice **109**, de coordenadas **N 8.243.651,382**m e **E 179.817,954**m; 73°53'10" e 20,465 m até o vértice **110**, de coordenadas **N 8.243.657,062**m e **E 179.837,615**m; 74°00'32" e 101,674 m até o vértice **111**, de coordenadas **N 8.243.685,072**m e **E 179.935,355**m; 73°28'16" e 63,796 m até o vértice **112**, de coordenadas **N 8.243.703,222**m



SPL - PLC 0019/2019 folha 000254

e **E 179.996,515**m; 73°43'33" e 135,744 m até o vértice **113**, de coordenadas **N 8.243.741,262**m e **E 180.126,820**m; 343°57'59" e 47,049 m até o vértice **114**, de coordenadas **N 8.243.786,481**m e **E 180.113,825**m; 303°25'01" e 15,534 m até o vértice **115**, de coordenadas **N 8.243.795,036**m e **E 180.100,859**m; 314°37'43" e 191,156 m até o vértice **116**, de coordenadas **N 8.243.929,325**m e **E 179.964,818**m; 317°50'04" e 45,028 m até o vértice **117**, de coordenadas **N 8.243.962,700**m e **E 179.934,592**m; 46°40'37" e 52,623 m até o vértice **118**, de coordenadas **N 8.243.998,805**m e **E 179.972,875**m; 319°55'06" e 2,392 m até o vértice **119**, de coordenadas **N 8.244.000,635**m e **E 179.971,335**m; 314°31'02" e 210,016 m até o vértice **120**, de coordenadas **N 8.244.147,882**m e **E 179.821,585**m; 314°41'29" e 86,678 m até o vértice **121**, de coordenadas **N 8.244.208,842**m e **E 179.759,965**m; 314°32'54" e 58,470 m até o vértice **122**, de coordenadas **N 8.244.249,859**m e **E 179.718,296**m; 314°32'54" e 41,616 m até o vértice **123**, de coordenadas **N 8.244.279,053**m e **E 179.688,638**m; 225°27'32" e 26,841 m até o vértice **124**, de coordenadas **N 8.244.260,226**m e **E 179.669,507**m; 221°32'36" e 22,588 m até o vértice **125**, de coordenadas **N 8.244.243,320**m e **E 179.654,527**m; 313°58'35" e 45,753 m até o vértice **126**, de coordenadas **N 8.244.275,089**m e **E 179.621,602**m; 228°01'38" e 1,486 m até o vértice **127**, de coordenadas **N 8.244.274,095**m e **E 179.620,497**m; 316°00'28" e 54,681 m até o vértice **128**, de coordenadas **N 8.244.313,434**m e **E 179.582,518**m; 314°25'59" e 83,252 m até o vértice **129**, de coordenadas **N 8.244.371,717**m e **E 179.523,070**m; 314°30'46" e 16,135 m até o vértice **130**, de coordenadas **N 8.244.383,029**m e **E 179.511,564**m; 314°30'46" e 20,118 m até o vértice **131**, de coordenadas **N 8.244.397,133**m e **E 179.497,218**m; 315°23'01" e 28,300 m até o vértice **132**, de coordenadas **N 8.244.417,278**m e **E 179.477,341**m; 312°19'02" e 28,657 m até o vértice **133**, de coordenadas **N 8.244.436,571**m e **E 179.456,151**m; 314°52'22" e 25,810 m até o vértice **134**, de coordenadas **N 8.244.454,781**m e **E 179.437,860**m; 314°00'26" e 29,137 m até o vértice **135**, de coordenadas **N 8.244.475,024**m e **E 179.416,903**m; 314°43'56" e 29,644 m até o vértice **136**, de coordenadas **N 8.244.495,887**m e **E 179.395,844**m; 314°41'42" e 31,878 m até o vértice **137**, de coordenadas **N 8.244.518,308**m e **E 179.373,183**m; 314°42'12" e 6,963 m até o vértice **138**, de coordenadas **N 8.244.523,206**m e **E 179.368,234**m; 315°01'00" e 22,021 m até o vértice **139**, de coordenadas **N 8.244.538,782**m e **E 179.352,667**m; 314°21'47" e 31,620 m até o vértice **140**, de coordenadas **N 8.244.560,891**m e **E 179.330,061**m; 314°54'17" e 31,425 m até o vértice **141**, de coordenadas **N 8.244.583,075**m e **E 179.307,803**m; 314°22'39" e 31,043 m até o vértice **142**, de coordenadas **N 8.244.604,786**m e **E 179.285,615**m; 314°50'51" e



SPL - PLC 0019/2019 folha 000255

32,661 m até o vértice **143**, de coordenadas **N 8.244.627,819**m e **E 179.262,459**m; 313°17'23" e 10,850 m até o vértice **144**, de coordenadas **N 8.244.635,259**m e **E 179.254,561**m; 226°43'07" e 40,412 m até o vértice **145**, de coordenadas **N 8.244.607,553**m e **E 179.225,141**m; 256°28'21" e 14,912 m até o vértice **146**, de coordenadas **N 8.244.604,065**m e **E 179.210,643**m; 301°27'34" e 20,579 m até o vértice **147**, de coordenadas **N 8.244.614,805**m e **E 179.193,089**m; 313°24'06" e 11,052 m até o vértice **148**, de coordenadas **N 8.244.622,399**m e **E 179.185,059**m; 318°47'00" e 60,775 m até o vértice **149**, de coordenadas **N 8.244.668,115**m e **E 179.145,014**m; 319°03'24" e 99,816 m até o vértice **150**, de coordenadas **N 8.244.743,512**m e **E 179.079,603**m; 301°13'35" e 20,499 m até o vértice **151**, de coordenadas **N 8.244.754,139**m e **E 179.062,074**m; 317°26'12" e 19,709 m até o vértice **152**, de coordenadas **N 8.244.768,655**m e **E 179.048,743**m; 42°55'38" e 7,996 m até o vértice **153**, de coordenadas **N 8.244.774,510**m e **E 179.054,189**m; 44°48'27" e 48,383 m até o vértice **154**, de coordenadas **N 8.244.808,837**m e **E 179.088,286**m; 310°51'47" e 100,632 m até o vértice **155**, de coordenadas **N 8.244.874,676**m e **E 179.012,180**m; 314°44'59" e 73,851 m até o vértice **156**, de coordenadas **N 8.244.926,668**m e **E 178.959,732**m; 314°44'58" e 15,041 m até o vértice **157**, de coordenadas **N 8.244.937,257**m e **E 178.949,050**m; 314°45'05" e 10,106 m até o vértice **158**, de coordenadas **N 8.244.944,372**m e **E 178.941,873**m; 28°52'45" e 7,299 m até o vértice **159**, de coordenadas **N 8.244.950,763**m e **E 178.945,398**m; 281°14'56" e 29,333 m até o vértice **160**, de coordenadas **N 8.244.956,485**m e **E 178.916,629**m; 328°10'01" e 76,109 m até o vértice **161**, de coordenadas **N 8.245.021,146**m e **E 178.876,486**m; 41°10'24" e 5,139 m até o vértice **162**, de coordenadas **N 8.245.025,014**m e **E 178.879,869**m; 315°51'40" e 11,386 m até o vértice **163**, de coordenadas **N 8.245.033,185**m e **E 178.871,940**m; 315°51'54" e 11,195 m até o vértice **164**, de coordenadas **N 8.245.041,220**m e **E 178.864,144**m; 315°51'47" e 66,608 m até o vértice **165**, de coordenadas **N 8.245.089,023**m e **E 178.817,760**m; 314°36'53" e 213,864 m até o vértice **166**, de coordenadas **N 8.245.239,227**m e **E 178.665,522**m; 314°40'32" e 65,659 m até o vértice **167**, de coordenadas **N 8.245.285,391**m e **E 178.618,832**m; 314°40'24" e 24,311 m até o vértice **168**, de coordenadas **N 8.245.302,483**m e **E 178.601,544**m; 310°27'22" e 7,274 m até o vértice **169**, de coordenadas **N 8.245.307,203**m e **E 178.596,009**m; 310°27'18" e 2,891 m até o vértice **170**, de coordenadas **N 8.245.309,079**m e **E 178.593,809**m; 310°25'10" e 1,470 m até o vértice **171**, de coordenadas **N 8.245.310,032**m e **E 178.592,690**m; 44°26'48" e 1,098 m até o vértice **172**, de coordenadas **N 8.245.310,816**m e **E 178.593,459**m; 44°28'06" e 26,899 m até o vértice



SPL - PLC 0019/2019 folha 000256

**173**, de coordenadas **N 8.245.330,012**m e **E 178.612,302**m; 44°28'02" e 123,740 m até o vértice **174**, de coordenadas **N 8.245.418,319**m e **E 178.698,982**m; 44°28'03" e 74,803 m até o vértice **175**, de coordenadas **N 8.245.471,702**m e **E 178.751,382**m; 50°44'32" e 10,340 m até o vértice **176**, de coordenadas **N 8.245.478,245**m e **E 178.759,388**m; 50°44'37" e 4,621 m até o vértice **177**, de coordenadas **N 8.245.481,169**m e **E 178.762,966**m; 53°41'26" e 9,121 m até o vértice **178**, de coordenadas **N 8.245.486,570**m e **E 178.770,316**m; 44°38'13" e 31,248 m até o vértice **179**, de coordenadas **N 8.245.508,805**m e **E 178.792,271**m, localizado no eixo da Rodovia DF-079; deste, segue pelo eixo da Rodovia DF-079 até atingir o vértice **180**, de coordenadas **N 8.245.753,634**m e **E 178.669,732**m; deste, deixando o eixo da referida Rodovia, segue por linha divisória, com os seguintes azimutes e distâncias: 244°59'40" e 53,115 m até o vértice **181**, de coordenadas **N 8.245.731,182**m e **E 178.621,596**m; 244°59'38" e 51,124 m até o vértice **182**, de coordenadas **N 8.245.709,571**m e **E 178.575,264**m; 241°13'20" e 33,613 m até o vértice **183**, de coordenadas **N 8.245.693,389**m e **E 178.545,802**m; 209°11'25" e 125,406 m até o vértice **184**, de coordenadas **N 8.245.583,909**m e **E 178.484,640**m; 219°44'37" e 55,295 m até o vértice **185**, de coordenadas **N 8.245.541,392**m e **E 178.449,287**m; 242°25'38" e 60,388 m até o vértice **186**, de coordenadas **N 8.245.513,440**m e **E 178.395,758**m; 244°01'48" e 80,569 m até o vértice **187**, de coordenadas **N 8.245.478,159**m e **E 178.323,325**m; 247°01'43" e 106,561 m até o vértice **188**, de coordenadas **N 8.245.436,571**m e **E 178.225,214**m; 245°09'33" e 61,533 m até o vértice **189**, de coordenadas **N 8.245.410,721**m e **E 178.169,374**m; 245°09'35" e 48,259 m até o vértice **190**, de coordenadas **N 8.245.390,448**m e **E 178.125,580**m; 245°09'30" e 41,694 m até o vértice **191**, de coordenadas **N 8.245.372,932**m e **E 178.087,744**m; 246°39'59" e 102,205 m até o vértice **192**, de coordenadas **N 8.245.332,450**m e **E 177.993,898**m; 246°40'02" e 20,979 m até o vértice **193**, de coordenadas **N 8.245.324,141**m e **E 177.974,635**m; 350°17'47" e 33,076 m até o vértice **194**, de coordenadas **N 8.245.356,744**m e **E 177.969,060**m; 336°15'49" e 149,256 m até o vértice **195**, de coordenadas **N 8.245.493,374**m e **E 177.908,980**m; 335°55'50" e 50,009 m até o vértice **196**, de coordenadas **N 8.245.539,035**m e **E 177.888,584**m; 333°33'00" e 22,280 m até o vértice **197**, de coordenadas **N 8.245.558,983**m e **E 177.878,660**m; 335°25'58" e 31,800 m até o vértice **198**, de coordenadas **N 8.245.587,904**m e **E 177.865,439**m; 335°25'57" e 65,219 m até o vértice **199**, de coordenadas **N 8.245.647,219**m e **E 177.838,323**m; 246°25'02" e 41,105 m até o vértice **200**, de coordenadas **N 8.245.630,774**m e **E 177.800,651**m; 246°05'29" e 4,419 m até o vértice **201**, de coordenadas **N 8.245.628,983**m e **E 177.796,611**m; 335°43'37"



SPL - PLC 0019/2019 folha 000257

e 8,801 m até o vértice **202**, de coordenadas **N 8.245.637,006**m e **E 177.792,993**m; 335°43'31" e 29,800 m até o vértice **203**, de coordenadas **N 8.245.664,171**m e **E 177.780,742**m; 335°43'35" e 192,692 m até o vértice **204**, de coordenadas **N 8.245.839,828**m e **E 177.701,527**m; 18°25'16" e 1,304 m até o vértice **205**, de coordenadas **N 8.245.841,065**m e **E 177.701,939**m; 335°22'40" e 70,357 m até o vértice **206**, de coordenadas **N 8.245.905,025**m e **E 177.672,626**m; 335°45'36" e 113,757 m até o vértice **207**, de coordenadas **N 8.246.008,753**m e **E 177.625,922**m; 335°27'46" e 109,065 m até o vértice **208**, de coordenadas **N 8.246.107,968**m e **E 177.580,629**m; 335°29'38" e 39,784 m até o vértice **209**, de coordenadas **N 8.246.144,168**m e **E 177.564,127**m; 335°20'45" e 162,576 m até o vértice **210**, de coordenadas **N 8.246.291,924**m e **E 177.496,310**m; 332°01'22" e 33,247 m até o vértice **211**, de coordenadas **N 8.246.321,286**m e **E 177.480,713**m; 345°38'18" e 2,221 m até o vértice **212**, de coordenadas **N 8.246.323,438**m e **E 177.480,162**m; 65°31'44" e 12,522 m até o vértice **213**, de coordenadas **N 8.246.328,625**m e **E 177.491,559**m; 65°31'40" e 30,225 m até o vértice **214**, de coordenadas **N 8.246.341,146**m e **E 177.519,069**m; 65°31'34" e 18,273 m até o vértice **215**, de coordenadas **N 8.246.348,716**m e **E 177.535,700**m; 65°31'40" e 94,947 m até o vértice **216**, de coordenadas **N 8.246.388,048**m e **E 177.622,117**m; 64°55'16" e 5,414 m até o vértice **217**, de coordenadas **N 8.246.390,343**m e **E 177.627,021**m; 65°44'31" e 5,077 m até o vértice **218**, de coordenadas **N 8.246.392,429**m e **E 177.631,650**m; 65°44'26" e 10,249 m até o vértice **219**, de coordenadas **N 8.246.396,640**m e **E 177.640,994**m; 65°31'34" e 27,612 m até o vértice **220**, de coordenadas **N 8.246.408,079**m e **E 177.666,125**m; 65°32'33" e 90,786 m até o vértice **221**, de coordenadas **N 8.246.445,666**m e **E 177.748,765**m; 65°32'29" e 26,925 m até o vértice **222**, de coordenadas **N 8.246.456,814**m e **E 177.773,274**m; 65°32'40" e 5,759 m até o vértice **223**, de coordenadas **N 8.246.459,198**m e **E 177.778,516**m; 65°39'40" e 128,550 m até o vértice **224**, de coordenadas **N 8.246.512,178**m e **E 177.895,641**m; 65°48'10" e 11,355 m até o vértice **225**, de coordenadas **N 8.246.516,832**m e **E 177.905,998**m; 65°48'12" e 33,147 m até o vértice **226**, de coordenadas **N 8.246.530,418**m e **E 177.936,233**m; 64°15'39" e 3,599 m até o vértice **227**, de coordenadas **N 8.246.531,981**m e **E 177.939,475**m; 64°15'39" e 3,475 m até o vértice **228**, de coordenadas **N 8.246.533,490**m e **E 177.942,605**m; 65°33'56" e 40,921 m até o vértice **229**, de coordenadas **N 8.246.550,417**m e **E 177.979,861**m; 65°51'53" e 81,735 m até o vértice **230**, de coordenadas **N 8.246.583,838**m e **E 178.054,451**m; 65°51'30" e 7,108 m até o vértice **231**, de coordenadas **N 8.246.586,745**m e **E 178.060,937**m; 65°51'55" e 38,314 m até o vértice **232**, de coordenadas **N 8.246.602,411**m e **E 178.095,902**m; 65°51'49" e 61,124 m até o



SPL - PLC 0019/2019 folha 000258

vértice **233**, de coordenadas **N 8.246.627,405**m e **E 178.151,682**m; 65°39'51" e 68,789 m até o vértice **234**, de coordenadas **N 8.246.655,752**m e **E 178.214,359**m; 66°27'29" e 11,659 m até o vértice **235**, de coordenadas **N 8.246.660,409**m e **E 178.225,048**m; 64°03'36" e 31,651 m até o vértice **236**, de coordenadas **N 8.246.674,254**m e **E 178.253,510**m, localizado no eixo da Rodovia DF-079; deste, segue outra vez pelo eixo da Rodovia DF-079 até atingir o vértice **237**, de coordenadas **N 8.247.086,608**m e **E 178.069,044**m; deste, deixando o eixo da referida Rodovia, segue por linha divisória, com os seguintes azimutes e distâncias: 245°46'20" e 92,845 m até o vértice **238**, de coordenadas **N 8.247.048,508**m e **E 177.984,377**m; 245°15'30" e 126,436 m até o vértice **239**, de coordenadas **N 8.246.995,591**m e **E 177.869,547**m; 247°03'15" e 78,725 m até o vértice **240**, de coordenadas **N 8.246.964,899**m e **E 177.797,051**m; 337°30'29" e 41,132 m até o vértice **241**, de coordenadas **N 8.247.002,902**m e **E 177.781,316**m; 334°41'45" e 12,884 m até o vértice **242**, de coordenadas **N 8.247.014,550**m e **E 177.775,809**m; 333°04'28" e 30,641 m até o vértice **243**, de coordenadas **N 8.247.041,869**m e **E 177.761,934**m; 312°28'11" e 21,734 m até o vértice **244**, de coordenadas **N 8.247.056,544**m e **E 177.745,902**m; 295°12'07" e 31,190 m até o vértice **245**, de coordenadas **N 8.247.069,825**m e **E 177.717,681**m; 286°08'14" e 6,152 m até o vértice **246**, de coordenadas **N 8.247.071,535**m e **E 177.711,771**m; 19°01'28" e 13,523 m até o vértice **247**, de coordenadas **N 8.247.084,319**m e **E 177.716,179**m; 8°58'53" e 32,361 m até o vértice **248**, de coordenadas **N 8.247.116,283**m e **E 177.721,231**m; 351°47'58" e 31,912 m até o vértice **249**, de coordenadas **N 8.247.147,869**m e **E 177.716,679**m; 336°54'15" e 6,297 m até o vértice **250**, de coordenadas **N 8.247.153,661**m e **E 177.714,209**m; 336°53'52" e 42,166 m até o vértice **251**, de coordenadas **N 8.247.192,446**m e **E 177.697,664**m; 335°20'00" e 27,944 m até o vértice **252**, de coordenadas **N 8.247.217,840**m e **E 177.686,002**m; 335°19'58" e 126,392 m até o vértice **253**, de coordenadas **N 8.247.332,698**m e **E 177.633,253**m; 336°09'52" e 22,501 m até o vértice **254**, de coordenadas **N 8.247.353,280**m e **E 177.624,160**m; 336°09'51" e 69,443 m até o vértice **255**, de coordenadas **N 8.247.416,800**m e **E 177.596,097**m; 335°55'41" e 89,837 m até o vértice **256**, de coordenadas **N 8.247.498,824**m e **E 177.559,454**m; 335°55'24" e 6,160 m até o vértice **257**, de coordenadas **N 8.247.504,448**m e **E 177.556,941**m; 335°55'42" e 134,592 m até o vértice **258**, de coordenadas **N 8.247.627,335**m e **E 177.502,044**m; 335°40'58" e 106,096 m até o vértice **259**, de coordenadas **N 8.247.724,018**m e **E 177.458,355**m; 335°41'33" e 4,451 m até o vértice **260**, de coordenadas **N 8.247.728,074**m e **E 177.456,523**m; 335°40'55" e 41,394 m até o vértice **261**, de coordenadas **N 8.247.765,795**m e **E 177.439,477**m; 335°41'00" e 20,941



SPL - PLC 0019/2019 folha 000259

m até o vértice **262**, de coordenadas **N 8.247.784,878**m e **E 177.430,854**m; 64°07'49" e 9,692 m até o vértice **263**, de coordenadas **N 8.247.789,107**m e **E 177.439,575**m; 341°58'58" e 15,005 m até o vértice **264**, de coordenadas **N 8.247.803,376**m e **E 177.434,934**m; 316°53'36" e 29,152 m até o vértice **265**, de coordenadas **N 8.247.824,659**m e **E 177.415,013**m; 335°13'26" e 32,446 m até o vértice **266**, de coordenadas **N 8.247.854,118**m e **E 177.401,416**m; 333°47'14" e 31,421 m até o vértice **267**, de coordenadas **N 8.247.882,308**m e **E 177.387,537**m; 333°47'12" e 8,890 m até o vértice **268**, de coordenadas **N 8.247.890,284**m e **E 177.383,610**m; 339°14'30" e 100,957 m até o vértice **269**, de coordenadas **N 8.247.984,687**m e **E 177.347,828**m; 336°05'28" e 148,587 m até o vértice **270**, de coordenadas **N 8.248.120,524**m e **E 177.287,608**m; 335°28'35" e 320,325 m até o vértice 271, de coordenadas **N 8.248.411,953**m e **E 177.154,651**m; 334°16'09" e 3,593 m até o vértice 272, de coordenadas **N 8.248.415,190**m e **E 177.153,091**m; 65°42'38" e 107,719 m até o vértice **273**, de coordenadas **N 8.248.459,500**m e **E 177.251,275**m; 65°41'01" e 63,190 m até o vértice **274**, de coordenadas **N 8.248.485,520**m e **E 177.308,859**m; 65°41'03" e 61,875 m até o vértice **275**, de coordenadas **N 8.248.510,998**m e **E 177.365,245**m; 65°41'00" e 11,992 m até o vértice **276**, de coordenadas **N 8.248.515,936**m e **E 177.376,173**m; 66°35'09" e 47,615 m até o vértice **1**, ponto inicial da descrição deste perímetro. Todas as coordenadas aqui descritas estão georreferenciadas ao Sistema Geodésico Brasileiro e encontram-se representadas no Sistema UTM, referenciadas ao **Meridiano Central 45° WGr, Fuso 23**, tendo como o Datum o **SICAD-SIRGAS 2000.** Todos os azimutes e distâncias, áreas e perímetros foram calculados no plano de projeção UTM.

## PARK WAY – RA XXIV

## POLIGONAL B

Perímetro: 60.275,760 m Área: 10.726,5013 ha

Inicia-se a descrição deste perímetro no vértice **1**, de coordenadas **N 8.244.230,927**m e **E 185.646,636**m, localizado na interseção da Rodovia DF-025 com a Rodovia DF-047; deste, segue pelo eixo da Rodovia DF-047 até atingir o vértice **2**, de coordenadas **N 8.243.331,035**m e **E 185.532,569**m; deste, deixando o eixo da Rodovia DF-047, segue por linha divisória, com os seguintes azimutes e distâncias: 207°43'42" e 8,833 m até o vértice **3**, de coordenadas **N 8.243.323,216**m e **E 185.528,459**m; 194°55'57" e 3,132 m até o vértice **4**,



SPL - PLC 0019/2019 folha 000260

de coordenadas **N 8.243.320,190**m e **E 185.527,652**m; 194°54'44" e 2,887 m até o vértice **5**, de coordenadas **N 8.243.317,400**m e **E 185.526,909**m; 194°54'50" e 1,061 m até o vértice **6**, de coordenadas **N 8.243.316,375**m e **E 185.526,636**m; 194°55'32" e 30,765 m até o vértice **7**, de coordenadas **N 8.243.286,648**m e **E 185.518,712**m; 202°35'53" e 25,126 m até o vértice **8**, de coordenadas **N 8.243.263,451**m e **E 185.509,057**m; 208°47'07" e 21,656 m até o vértice **9**, de coordenadas **N 8.243.244,471**m e **E 185.498,629**m; 208°47'10" e 4,166 m até o vértice **10**, de coordenadas **N 8.243.240,820**m e **E 185.496,623**m; 232°36'08" e 13,897 m até o vértice **11**, de coordenadas **N 8.243.232,380**m e **E 185.485,583**m; 242°52'22" e 104,495 m até o vértice **12**, de coordenadas **N 8.243.184,734**m e **E 185.392,583**m; 242°52'20" e 61,376 m até o vértice **13**, de coordenadas **N 8.243.156,748**m e **E 185.337,959**m; 242°52'21" e 609,851 m até o vértice **14**, de coordenadas **N 8.242.878,673**m e **E 184.795,195**m; 242°52'22" e 117,947 m até o vértice **15**, de coordenadas **N 8.242.824,893**m e **E 184.690,223**m; 242°52'21" e 145,576 m até o vértice **16**, de coordenadas **N 8.242.758,514**m e **E 184.560,661**m; 244°42'05" e 32,069 m até o vértice **17**, de coordenadas **N 8.242.744,810**m e **E 184.531,668**m; 242°46'51" e 164,507 m até o vértice **18**, de coordenadas **N 8.242.669,565**m e **E 184.385,378**m; 242°46'52" e 137,403 m até o vértice **19**, de coordenadas **N 8.242.606,718**m e **E 184.263,190**m; 240°45'57" e 105,522 m até o vértice **20**, de coordenadas **N 8.242.555,183**m e **E 184.171,108**m; 238°42'21" e 107,261 m até o vértice **21**, de coordenadas **N 8.242.499,468**m e **E 184.079,452**m; 238°42'19" e 777,997 m até o vértice **22**, de coordenadas **N 8.242.095,345**m e **E 183.414,648**m; 229°33'52" e 8,992 m até o vértice **23**, de coordenadas **N 8.242.089,513**m e **E 183.407,804**m; 197°36'05" e 15,371 m até o vértice **24**, de coordenadas **N 8.242.074,862**m e **E 183.403,156**m; 187°51'46" e 95,868 m até o vértice **25**, de coordenadas **N 8.241.979,895**m e **E 183.390,041**m; 174°47'18" e 10,161 m até o vértice **26**, de coordenadas **N 8.241.969,776**m e **E 183.390,964**m; 140°54'32" e 12,638 m até o vértice **27**, de coordenadas **N 8.241.959,967**m e **E 183.398,933**m; 126°34'09" e 591,510 m até o vértice **28**, de coordenadas **N 8.241.607,550**m e **E 183.873,998**m; 151°39'59" e 266,889 m até o vértice **29**, de coordenadas **N 8.241.372,635**m e **E 184.000,665**m; 151°21'43" e 49,018 m até o vértice **30**, de coordenadas **N 8.241.329,614**m e **E 184.024,158**m; 151°21'41" e 351,573 m até o vértice **31**, de coordenadas **N 8.241.021,052**m e **E 184.192,661**m; 150°43'34" e 118,868 m até o vértice **32**, de coordenadas **N 8.240.917,364**m e **E 184.250,786**m; 151°31'50" e 282,965 m até o vértice **33**, de coordenadas **N 8.240.668,618**m e **E 184.385,673**m; 151°07'45" e 146,764 m até o vértice **34**, de coordenadas **N 8.240.540,095**m e **E 184.456,536**m; 157°21'26" e 12,481 m até o vértice **35**, de



SFL - PLC 0019/2019 folha 000261

coordenadas **N 8.240.528,576**m e **E 184.461,341**m; 148°52'38" e 97,964 m até o vértice **36**, de coordenadas **N 8.240.444,713**m e **E 184.511,976**m; 102°20'21" e 1,146 m até o vértice **37**, de coordenadas **N 8.240.444,468**m e **E 184.513,096**m; 102°18'54" e 32,646 m até o vértice **38**, de coordenadas **N 8.240.437,505**m e **E 184.544,991**m; 102°18'47" e 6,541 m até o vértice **39**, de coordenadas **N 8.240.436,110**m e **E 184.551,382**m; 101°19'38" e 54,747 m até o vértice **40**, de coordenadas **N 8.240.425,357**m e **E 184.605,063**m; 101°19'35" e 64,420 m até o vértice **41**, de coordenadas **N 8.240.412,705**m e **E 184.668,228**m; 101°19'37" e 114,679 m até o vértice **42**, de coordenadas **N 8.240.390,181**m e **E 184.780,673**m; 101°40'33" e 39,743 m até o vértice **43**, de coordenadas **N 8.240.382,138**m e **E 184.819,594**m; 101°13'25" e 5,857 m até o vértice **44**, de coordenadas **N 8.240.380,998**m e **E 184.825,339**m; deste, segue em linha reta com azimute e distância de: 101°13'23" e 232,437 m até o vértice **45**, de coordenadas **N 8.240.335,759**m e **E 185.053,331**m, localizado no talvegue do Córrego do Cedro; deste, segue a jusante pelo talvegue do Córrego do Cedro até atingir o vértice **46**, de coordenadas **N 8.242.029,259**m e **E 188.775,915**m, localizado na confluência do referido Córrego com o Ribeirão do Gama; deste, segue a montante pelo talvegue do Ribeirão do Gama até atingir o vértice **47**, de coordenadas **N 8.239.025,097**m e **E 188.041,479**m, localizado na confluência do referido Ribeirão com o Córrego Taquara; deste, segue a montante pelo talvegue do Córrego Taquara até atingir o vértice **48**, de coordenadas **N 8.232.905,612**m e **E 190.898,971**m; deste, deixando o Córrego Taquara, segue em linha reta, com o seguinte azimute e distância: 179°18'19" e 394,014 m até o vértice **49**, de coordenadas **N 8.232.511,627**m e **E 190.903,749**m, localizado no eixo da Rodovia DF-001; deste, segue pelo eixo da DF-001 até o vértice **50**, de coordenadas **N 8.232.463,238**m e **E 176.625,589**m, localizado no entroncamento da referida Rodovia com as Rodovias DF-065 e DF-480; deste, segue pelo eixo da Rodovia DF-065 até atingir o vértice **51**, de coordenadas **N 8.234.550,745**m e **E 178.808,977**m; deste, deixando o eixo da referida Rodovia, segue por linha divisória, com os seguintes azimutes e distâncias: 316°05'34" e 279,199 m até o vértice **52**, de coordenadas **N 8.234.751,898**m e **E 178.615,355**m; 27°15'16" e 61,990 m até o vértice **53**, de coordenadas **N 8.234.807,006**m e **E 178.643,743**m; 24°19'28" e 21,197 m até o vértice **54**, de coordenadas **N 8.234.826,321**m e **E 178.652,474**m; 36°15'17" e 19,686 m até o vértice **55**, de coordenadas **N 8.234.842,196**m e **E 178.664,116**m; 2°02'14" e 7,989 m até o vértice **56**, de coordenadas **N 8.234.850,180**m e **E 178.664,400**m; 27°19'28" e 54,521 m até o vértice **57**, de coordenadas **N 8.234.898,618**m e **E 178.689,427**m; 23°39'50" e 27,090 m até o vértice **58**, de coordenadas **N 8.234.923,430**m e **E 178.700,300**m; 13°22'46" e 31,651 m até o vértice



SPL - PLC 0019/2019 folha 000262

**59**, de coordenadas **N 8.234.954,222**m e **E 178.707,624**m; 9°16'26" e 31,994 m até o vértice **60**, de coordenadas **N 8.234.985,798**m e **E 178.712,780**m; 20°20'58" e 30,367 m até o vértice **61**, de coordenadas **N 8.235.014,270**m e **E 178.723,340**m; 40°28'38" e 27,484 m até o vértice **62**, de coordenadas **N 8.235.035,176**m e **E 178.741,181**m; deste, segue em linha reta com o seguinte azimute e distância: 50°15'05" e 53,988 m até o vértice **63**, de coordenadas **N 8.235.069,697**m e **E 178.782,690**m, localizado no talvegue do Córrego Coqueiros; deste, segue a jusante pelo talvegue do Córrego Coqueiros até atingir o vértice **64**, de coordenadas **N 8.241.310,823**m e **E 179.919,546**m, localizado na confluência do referido Córrego com o Riacho Fundo; deste, segue a jusante pelo talvegue do Riacho Fundo até atingir o vértice **65**, de coordenadas **N 8.242.008,850**m e **E 180.958,723**m, localizado na interseção do Riacho Fundo com a Ferrovia Centro-Atlântica; deste, segue pelo eixo da Ferrovia Centro-Atlântica até atingir o vértice **67**, de coordenadas **N 8.241.679,238**m e **E 182.892,752**m; deste, deixando o eixo da referida ferrovia, segue por linha divisória com os seguintes azimutes e distâncias: 6°41'16" e 62,425 m até o vértice **68**, de coordenadas **N 8.241.741,238**m e **E 182.900,022**m; 357°12'27" e 48,873 m até o vértice **69**, de coordenadas **N 8.241.790,053**m e **E 182.897,641**m; 358°16'32" e 24,855 m até o vértice **70**, de coordenadas **N 8.241.814,897**m e **E 182.896,893**m; 340°57'46" e 29,303 m até o vértice **71**, de coordenadas **N 8.241.842,597**m e **E 182.887,335**m; 8°15'01" e 2,021 m até o vértice **72**, de coordenadas **N 8.241.844,597**m e **E 182.887,625**m; 272°12'06" e 36,391 m até o vértice **73**, de coordenadas **N 8.241.845,995**m e **E 182.851,261**m; 257°34'10" e 42,322 m até o vértice **74**, de coordenadas **N 8.241.836,885**m e **E 182.809,931**m; 255°35'57" e 60,642 m até o vértice **75**, de coordenadas **N 8.241.821,803**m e **E 182.751,194**m; 245°55'03" e 57,383 m até o vértice **76**, de coordenadas **N 8.241.798,388**m e **E 182.698,806**m; 249°47'35" e 60,898 m até o vértice **77**, de coordenadas **N 8.241.777,353**m e **E 182.641,656**m; 256°42'54" e 29,361 m até o vértice **78**, de coordenadas **N 8.241.770,606**m e **E 182.613,081**m; 262°34'09" e 36,821 m até o vértice **79**, de coordenadas **N 8.241.765,844**m e **E 182.576,569**m; 267°16'26" e 58,407 m até o vértice **80**, de coordenadas **N 8.241.763,066**m e **E 182.518,228**m; 269°15'10" e 273,868 m até o vértice **81**, de coordenadas **N 8.241.759,494**m e **E 182.244,383**m; 269°49'42" e 397,148 m até o vértice **82**, de coordenadas **N 8.241.758,304**m e **E 181.847,237**m; 0°47'03" e 41,362 m até o vértice **83**, de coordenadas **N 8.241.799,662**m e **E 181.847,803**m; 359°10'51" e 200,007 m até o vértice **84**, de coordenadas **N 8.241.999,649**m e **E 181.844,944**m; 357°41'27" e 149,039 m até o vértice **85**, de coordenadas **N 8.242.148,567**m e **E 181.838,939**m; 89°37'39" e 205,284 m até o vértice **86**, de coordenadas



SPL - PLC 0019/2019 folha 000263

**N 8.242.149,902**m e **E 182.044,219**m; 180°04'09" e 103,732 m até o vértice **87**, de coordenadas **N 8.242.046,170**m e **E 182.044,094**m; 153°26'11" e 17,749 m até o vértice **88**, de coordenadas **N 8.242.030,295**m e **E 182.052,031**m; 132°18'55" e 23,973 m até o vértice **89**, de coordenadas **N 8.242.014,156**m e **E 182.069,758**m; 90°32'34" e 55,830 m até o vértice **90**, de coordenadas **N 8.242.013,627**m e **E 182.125,585**m; 88°54'58" e 97,914 m até o vértice **91**, de coordenadas **N 8.242.015,479**m e **E 182.223,481**m; 83°56'18" e 30,066 m até o vértice **92**, de coordenadas **N 8.242.018,654**m e **E 182.253,379**m; 89°12'46" e 77,001 m até o vértice **93**, de coordenadas **N 8.242.019,712**m e **E 182.330,373**m; 89°02'31" e 79,122 m até o vértice **94**, de coordenadas **N 8.242.021,035**m e **E 182.409,484**m; 89°26'48" e 164,314 m até o vértice **95**, de coordenadas **N 8.242.022,622**m e **E 182.573,790**m; 2°16'21" e 33,364 m até o vértice **96**, de coordenadas **N 8.242.055,960**m e **E 182.575,113**m; 359°28'24" e 115,099 m até o vértice **97**, de coordenadas **N 8.242.171,054**m e **E 182.574,055**m; 357°34'47" e 37,605 m até o vértice **98**, de coordenadas **N 8.242.208,625**m e **E 182.572,467**m; 72°51'16" e 179,979 m até o vértice **99**, de coordenadas **N 8.242.261,683**m e **E 182.744,448**m; 72°52'28" e 2,214 m até o vértice **100**, de coordenadas **N 8.242.262,335**m e **E 182.746,564**m; 8°01'58" e 66,267 m até o vértice **101**, de coordenadas **N 8.242.327,952**m e **E 182.755,824**m; 7°33'22" e 52,313 m até o vértice **102**, de coordenadas **N 8.242.379,811**m e **E 182.762,703**m; 7°45'30" e 120,946 m até o vértice **103**, de coordenadas **N 8.242.499,650**m e **E 182.779,030**m; 98°03'09" e 212,958 m até o vértice **104**, de coordenadas **N 8.242.469,819**m e **E 182.989,888**m; 97°23'57" e 98,330 m até o vértice **105**, de coordenadas **N 8.242.457,156**m e **E 183.087,399**m, localizado no eixo da Rodovia DF-003; deste, segue pelo eixo da Rodovia DF-003 até atingir o vértice **106**, de coordenadas **N 8.242.701,557**m e **E 183.122,012**m, localizado no entroncamento da referida Rodovia com a Rodovia DF0-025; deste, segue pelo eixo da Rodovia DF-025 até atingir o vértice **1**, ponto inicial da descrição deste perímetro. Todas as coordenadas aqui descritas estão georreferenciadas ao Sistema Geodésico Brasileiro e encontram-se representadas no Sistema UTM, referenciadas ao **Meridiano Central 45° WGr, Fuso 23**, tendo como o Datum o **SICAD-SIRGAS 2000.** Todos os azimutes e distâncias, áreas e perímetros foram calculados no plano de projeção UTM.



SPL - PLC 0019/2019 folha 000264

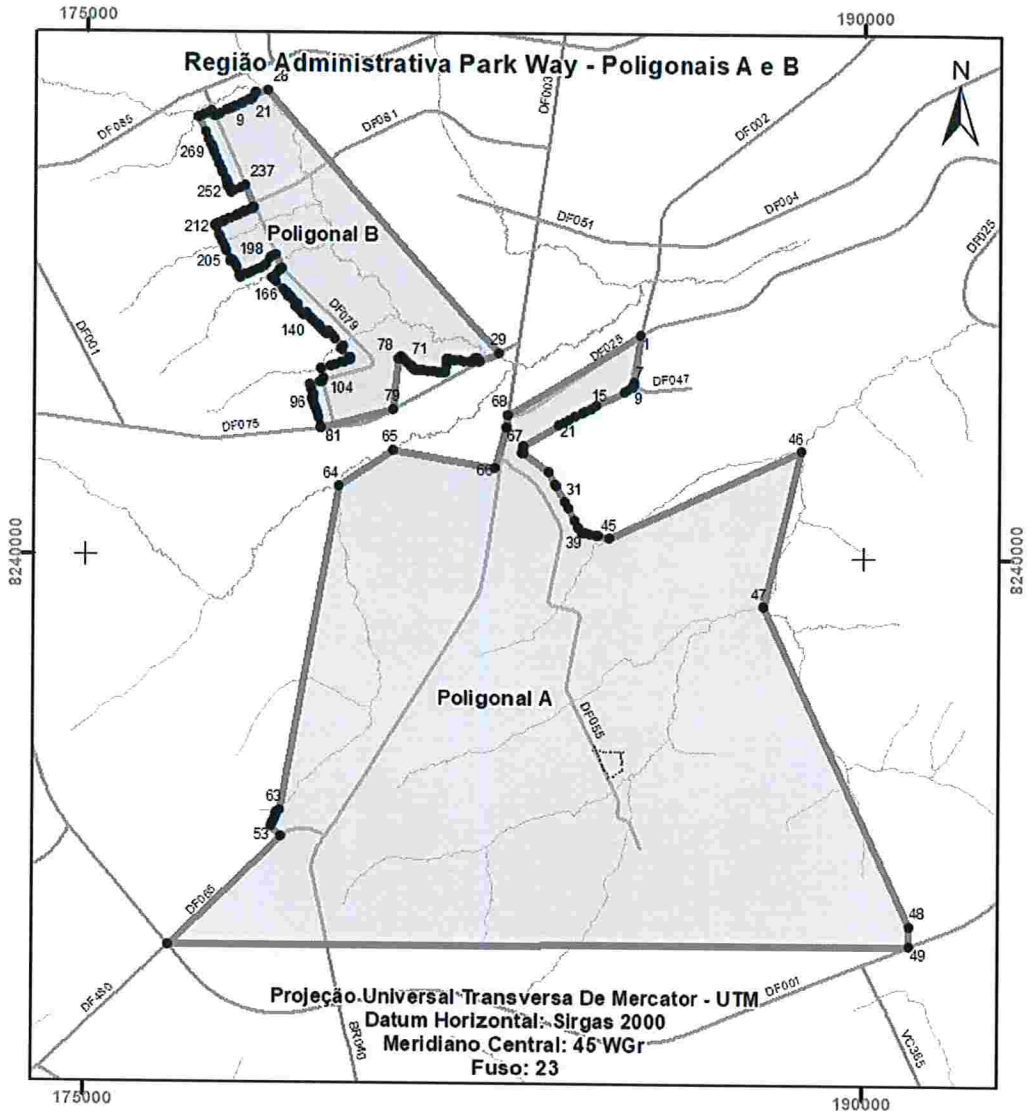




SFL - PLC 0019/2019 folha 000265

# MEMORIAL DESCRITIVO

## SCIA – RA XXV

Perímetro: 14.289,328 m  Área: 738,6588 ha

Inicia-se a descrição deste perímetro no vértice **1**, de coordenadas **N 8.255.898,112**m e **E 178.003,491**m; deste, segue por linha divisória com, com os seguintes azimutes e distâncias: 111°04'56" e 32,207 m até o vértice **2**, de coordenadas **N 8.255.886,527**m e **E 178.033,542**m; 111°19'45" e 12,914 m até o vértice **3**, de coordenadas **N 8.255.881,830**m e **E 178.045,571**m; 122°11'45" e 31,906 m até o vértice **4**, de coordenadas **N 8.255.864,830**m e **E 178.072,571**m; 128°47'55" e 19,022 m até o vértice **5**, de coordenadas **N 8.255.852,911**m e **E 178.087,396**m; 128°47'45" e 46,415 m até o vértice **6**, de coordenadas **N 8.255.823,830**m e **E 178.123,571**m; 140°42'38" e 28,425 m até o vértice **7**, de coordenadas **N 8.255.801,830**m e **E 178.141,571**m; 138°15'29" e 39,243 m até o vértice **8**, de coordenadas **N 8.255.772,549**m e **E 178.167,698**m; 138°15'25" e 134,987 m até o vértice **9**, de coordenadas **N 8.255.671,830**m e **E 178.257,571**m; 136°42'22" e 139,337 m até o vértice **10**, de coordenadas **N 8.255.570,414**m e **E 178.353,120**m; 136°42'22" e 24,915 m até o vértice **11**, de coordenadas **N 8.255.552,280**m e **E 178.370,205**m; 136°42'22" e 168,236 m até o vértice **12**, de coordenadas **N 8.255.429,830**m e **E 178.485,571**m; 138°51'02" e 147,411 m até o vértice **13**, de coordenadas **N 8.255.318,830**m e **E 178.582,571**m; 137°02'43" e 151,785 m até o vértice **14**, de coordenadas **N 8.255.207,740**m e **E 178.686,000**m; 137°02'43" e 208,717 m até o vértice **15**, de coordenadas **N 8.255.054,981**m e **E 178.828,224**m; 137°02'43" e 194,224 m até o vértice **16**, de coordenadas **N 8.254.912,830**m e **E 178.960,572**m; 137°10'17" e 449,788 m até o vértice **17**, de coordenadas **N 8.254.582,960**m e **E 179.266,342**m; 137°10'17" e 147,439 m até o vértice **18**, de coordenadas **N 8.254.474,830**m e **E 179.366,572**m; 137°03'59" e 208,853 m até o vértice **19**, de coordenadas **N 8.254.321,920**m e **E 179.508,832**m; 137°03'59" e 340,221 m até o vértice **20**, de coordenadas **N 8.254.072,829**m e **E 179.740,573**m; 136°48'35" e 134,674 m até o vértice **21**, de coordenadas **N 8.253.974,640**m e **E 179.832,747**m; 136°48'35" e 1.264,193 m até o vértice **22**, de coordenadas **N 8.253.052,936**m e **E 180.697,990**m; 136°48'35" e 224,519 m até o vértice **23**, de coordenadas **N 8.252.889,243**m e **E 180.851,656**m; 136°48'37" e 33,485 m até o vértice **24**, de coordenadas **N 8.252.864,829**m e **E 180.874,574**m; 129°48'20" e 7,810 m até o vértice **25**, de coordenadas **N 8.252.859,829**m e **E 180.880,574**m; 123°41'24" e 7,211 m até o vértice **26**, de coordenadas **N 8.252.855,829**m e **E 180.886,574**m; 104°02'10" e 8,246 m até o vértice **27**, de coordenadas **N 8.252.853,829**m



SFL - PLC 0019/2019 folha 000266

e **E 180.894,574**m; 98°07'48" e 7,071 m até o vértice **28**, de coordenadas **N 8.252.852,829**m e **E 180.901,574**m; 90°00'00" e 7,000 m até o vértice **29**, de coordenadas **N 8.252.852,829**m e **E 180.908,574**m; 75°57'50" e 8,246 m até o vértice **30**, de coordenadas **N 8.252.854,829**m e **E 180.916,574**m; 66°48'05" e 7,616 m até o vértice **31**, de coordenadas **N 8.252.857,829**m e **E 180.923,574**m; 53°07'48" e 10,000 m até o vértice **32**, de coordenadas **N 8.252.863,829**m e **E 180.931,574**m; 46°36'02" e 71,437 m até o vértice **33**, de coordenadas **N 8.252.912,912**m e **E 180.983,479**m; 117°14'42" e 5,050 m até o vértice **34**, de coordenadas **N 8.252.910,600**m e **E 180.987,969**m; 110°25'32" e 5,754 m até o vértice **35**, de coordenadas **N 8.252.908,592**m e **E 180.993,361**m; 110°25'25" e 59,552 m até o vértice **36**, de coordenadas **N 8.252.887,811**m e **E 181.049,169**m; 120°36'28" e 12,972 m até o vértice **37**, de coordenadas **N 8.252.881,206**m e **E 181.060,334**m; 120°35'56" e 2,181 m até o vértice **38**, de coordenadas **N 8.252.880,096**m e **E 181.062,211**m; 130°34'07" e 22,403 m até o vértice **39**, de coordenadas **N 8.252.865,526**m e **E 181.079,229**m; 137°46'44" e 146,710 m até o vértice **40**, de coordenadas **N 8.252.756,879**m e **E 181.177,817**m; 137°46'47" e 36,290 m até o vértice **41**, de coordenadas **N 8.252.730,004**m e **E 181.202,203**m; 136°26'54" e 82,057 m até o vértice **42**, de coordenadas **N 8.252.670,533**m e **E 181.258,741**m; 137°29'14" e 98,267 m até o vértice **43**, de coordenadas **N 8.252.598,098**m e **E 181.325,145**m; 137°29'13" e 128,977 m até o vértice **44**, de coordenadas **N 8.252.503,026**m e **E 181.412,302**m; 137°29'13" e 124,352 m até o vértice **45**, de coordenadas **N 8.252.411,363**m e **E 181.496,334**m; 137°07'31" e 334,000 m até o vértice **46**, de coordenadas **N 8.252.166,593**m e **E 181.723,587**m; 137°51'07" e 20,167 m até o vértice **47**, de coordenadas **N 8.252.151,641**m e **E 181.737,120**m; 137°51'00" e 41,013 m até o vértice **48**, de coordenadas **N 8.252.121,234**m e **E 181.764,643**m; 137°51'07" e 70,946 m até o vértice **49**, de coordenadas **N 8.252.068,634**m e **E 181.812,251**m; 135°55'09" e 9,124 m até o vértice **50**, de coordenadas **N 8.252.062,080**m e **E 181.818,598**m; 135°55'24" e 65,812 m até o vértice **51**, de coordenadas **N 8.252.014,800**m e **E 181.864,378**m; 135°55'21" e 69,392 m até o vértice **52**, de coordenadas **N 8.251.964,949**m e **E 181.912,649**m; 141°52'15" e 39,277 m até o vértice **53**, de coordenadas **N 8.251.934,053**m e **E 181.936,900**m; 136°30'38" e 51,848 m até o vértice **54**, de coordenadas **N 8.251.896,437**m e **E 181.972,583**m; 136°30'40" e 42,045 m até o vértice **55**, de coordenadas **N 8.251.865,933**m e **E 182.001,519**m; 136°30'36" e 48,837 m até o vértice **56**, de coordenadas **N 8.251.830,502**m e **E 182.035,130**m; 138°36'33" e 46,437 m até o vértice **57**, de coordenadas **N 8.251.795,664**m e **E 182.065,834**m; 138°36'19" e 5,937 m até o vértice **58**, de coordenadas **N 8.251.791,210**m e **E 182.069,760**m; 138°36'35" e 49,003 m até o vértice **59**, de coordenadas **N 8.251.754,447**m e **E 182.102,160**m; 138°36'34" e 8,873



SPL - PLC 0019/2019 folha 000267

m até o vértice **60**, de coordenadas **N 8.251.747,790**m e **E 182.108,027**m; 138°52'12" e 152,163 m até o vértice **61**, de coordenadas **N 8.251.633,178**m e **E 182.208,115**m; 180°00'00" e 55,647 m até o vértice **62**, de coordenadas **N 8.251.577,531**m e **E 182.208,115**m, localizado no eixo da Ferrovia Centro-Atlântica; deste segue pelo eixo da Ferrovia Centro-Atlântica até atingir o vértice **63**, de coordenadas **N 8.251.435,460**m e **E 181.770,986**m, localizado na interseção da referida Ferrovia com a Rodovia DF-095; deste, segue pelo eixo da Rodovia DF-095 até atingir o vértice **64**, de coordenadas **N 8.252.413,273**m e **E 178.236,586**m, localizado na interseção da referida Rodovia com o Córrego Vicente Pires; deste, segue a montante pelo talvegue do Córrego Vicente Pires até atingir o vértice **65**, de coordenadas **N 8.252.622,219**m e **E 178.106,837**m, localizado na confluência do referido Córrego com o Córrego Cana do Reino; a partir deste, segue a montante pelo talvegue sendo denominado Córrego Cabeceira do Valo até atingir o vértice **66**, de coordenadas **N 8.255.576,541**m e **E 177.973,667**m, localizado na nascente do referido Córrego; deste, segue em linha reta com o seguinte azimute e distância: 5°17'55" e 322,951 m até o vértice **1**, ponto inicial da descrição deste perímetro. Todas as coordenadas aqui descritas estão georreferenciadas ao Sistema Geodésico Brasileiro e encontram-se representadas no Sistema UTM, referenciadas ao **Meridiano Central 45° WGr, Fuso 23**, tendo como o Datum o **SICAD-SIRGAS 2000.** Todos os azimutes e distâncias, áreas e perímetros foram calculados no plano de projeção UTM.



SFL - PLC 0019/2019 folha 000268

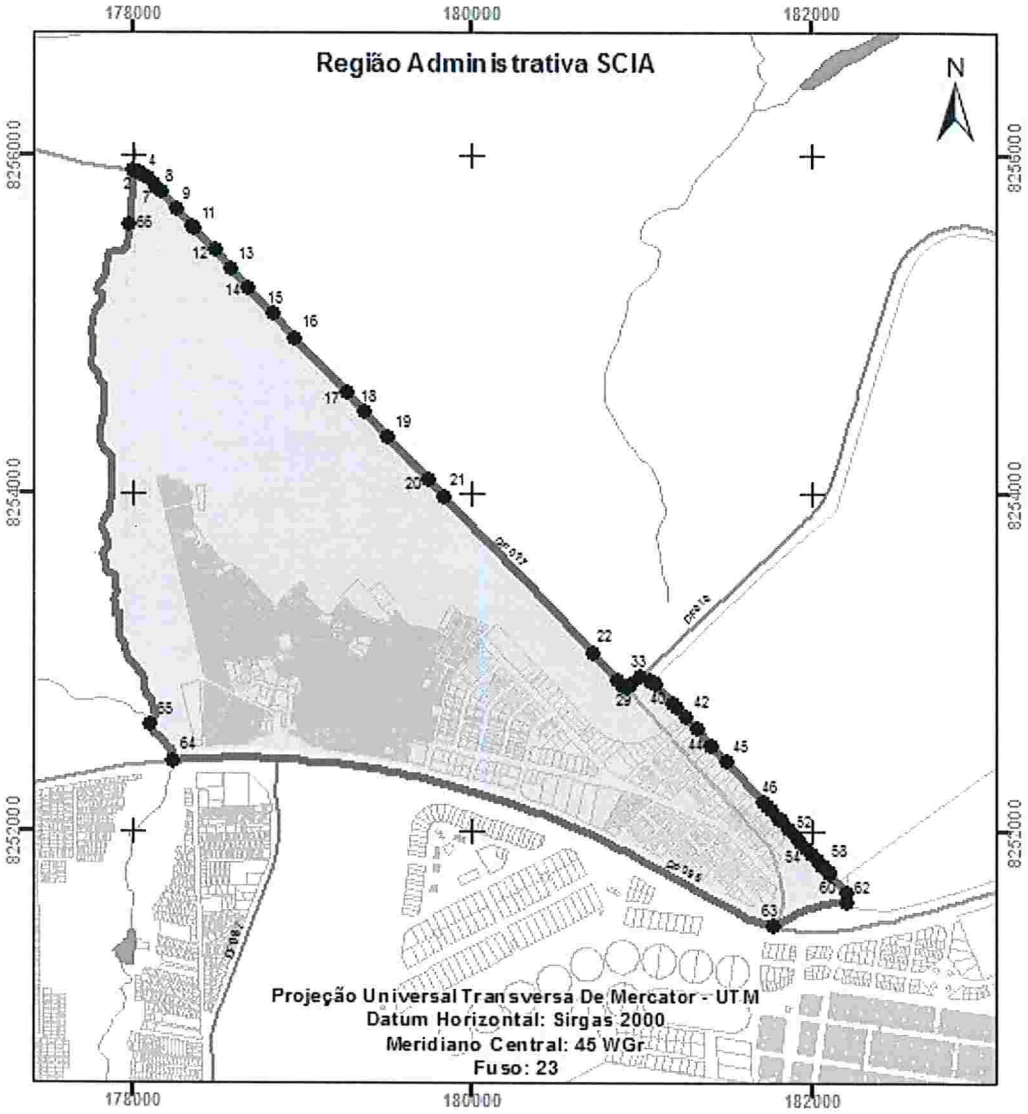




SFL - PLC 0019/2019 folha 000269

# MEMORIAL DESCRITIVO

## SOBRADINHO II – RA XXVI

Perímetro: 88.404,721 m  Área: 18.135,209 ha

Inicia-se a descrição deste perímetro no vértice **1**, de coordenadas **N 8.283.883,97** m. e **E 180.697,48** m., situado no cruzamento entre o Limite Norte do Distrito Federal e o eixo da Rodovia DF-205 deste, segue pela Rodovia DF-205, até o vértice **2**, de coordenadas **N 8.274.060,64** m. e **E 190.471,63** m.; ponto de cruzamento entre a Rodovia DF-205 e o Ribeirão da Contagem deste, segue margeando o Ribeirão da Contagem, até o vértice **3**, de coordenadas **N 8.273.514,53** m. e **E 190.231,29** m.; confluência entre o Ribeirão da Contagem e o Córrego Maria Antônia deste, segue margeando o Córrego Maria Antônia, até o vértice **4**, de coordenadas **N 8.272.276,21** m. e **E 189.878,83** m.; deste, segue com azimute de 88°59'30" e distância de 6,25 m., até o vértice **5**, de coordenadas **N 8.272.276,32** m. e **E 189.885,08** m.; deste, segue com azimute de 99°23'49" e distância de 5,76 m., até o vértice **6**, de coordenadas **N 8.272.275,38** m. e **E 189.890,76** m.; deste, segue com azimute de 104°35'29" e distância de 6,51 m., até o vértice **7**, de coordenadas **N 8.272.273,74** m. e **E 189.897,06** m.; deste, segue com azimute de 110°22'27" e distância de 7,01 m., até o vértice **8**, de coordenadas **N 8.272.271,30** m. e **E 189.903,63** m.; deste, segue com azimute de 115°27'30" e distância de 9,96 m., até o vértice **9**, de coordenadas **N 8.272.267,02** m. e **E 189.912,62** m.; deste, segue com azimute de 118°52'40" e distância de 5,98 m., até o vértice **10**, de coordenadas **N 8.272.264,13** m. e **E 189.917,86** m.; deste, segue com azimute de 124°37'20" e distância de 5,97 m., até o vértice **11**, de coordenadas **N 8.272.260,74** m. e **E 189.922,77** m.; deste, segue com azimute de 125°19'53" e distância de 7,75 m., até o vértice **12**, de coordenadas **N 8.272.256,26** m. e **E 189.929,09** m.; deste, segue com azimute de 121°51'10" e distância de 5,97 m., até o vértice **13**, de coordenadas **N 8.272.253,11** m. e **E 189.934,16** m.; deste, segue com azimute de 115°47'29" e distância de 5,63 m., até o vértice **14**, de coordenadas **N 8.272.250,66** m. e **E 189.939,23** m.; deste, segue com azimute de 109°16'56" e distância de 3,42 m., até o vértice **15**, de coordenadas **N 8.272.249,53** m. e **E 189.942,46** m.; deste, segue com azimute de 98°59'05" e distância de 4,93 m., até o vértice **16**, de coordenadas **N 8.272.248,76** m. e **E 189.947,33** m.; deste, segue com azimute de 90°10'06" e distância de 17,01 m., até o vértice **17**, de coordenadas **N 8.272.248,71** m. e **E 189.964,34** m.; deste, segue com azimute de 84°58'18" e distância de 5,93 m., até o vértice **18**, de coordenadas **N 8.272.249,23** m. e **E 189.970,25** m.; deste, segue com azimute de



SPL - PLC 0019/2019 folha 000270

95°16'00" e distância de 7,19 m., até o vértice **19**, de coordenadas **N 8.272.248,57** m. e **E 189.977,41** m.; deste, segue com azimute de 97°58'05" e distância de 7,50 m., até o vértice **20**, de coordenadas **N 8.272.247,53** m. e **E 189.984,84** m.; deste, segue com azimute de 100°39'59" e distância de 7,51 m., até o vértice **21**, de coordenadas **N 8.272.246,14** m. e **E 189.992,22** m.; deste, segue com azimute de 107°48'32" e distância de 7,81 m., até o vértice **22**, de coordenadas **N 8.272.243,75** m. e **E 189.999,66** m.; deste, segue com azimute de 107°28'55" e distância de 11,22 m., até o vértice **23**, de coordenadas **N 8.272.240,38** m. e **E 190.010,36** m.; deste, segue com azimute de 107°27'42" e distância de 5,40 m., até o vértice **24**, de coordenadas **N 8.272.238,76** m. e **E 190.015,51** m.; deste, segue com azimute de 110°53'05" e distância de 6,73 m., até o vértice **25**, de coordenadas **N 8.272.236,36** m. e **E 190.021,80** m.; deste, segue com azimute de 112°31'07" e distância de 6,97 m., até o vértice **26**, de coordenadas **N 8.272.233,69** m. e **E 190.028,24** m.; deste, segue com azimute de 115°49'50" e distância de 5,23 m., até o vértice **27**, de coordenadas **N 8.272.231,41** m. e **E 190.032,95** m.; deste, segue com azimute de 114°38'51" e distância de 8,15 m., até o vértice **28**, de coordenadas **N 8.272.228,01** m. e **E 190.040,36** m.; deste, segue com azimute de 117°58'02" e distância de 8,96 m., até o vértice **29**, de coordenadas **N 8.272.223,81** m. e **E 190.048,27** m.; deste, segue com azimute de 119°16'31" e distância de 6,05 m., até o vértice **30**, de coordenadas **N 8.272.220,85** m. e **E 190.053,55** m.; deste, segue com azimute de 124°05'20" e distância de 9,56 m., até o vértice **31**, de coordenadas **N 8.272.215,49** m. e **E 190.061,47** m.; deste, segue com azimute de 127°18'24" e distância de 8,40 m., até o vértice **32**, de coordenadas **N 8.272.210,40** m. e **E 190.068,15** m.; deste, segue com azimute de 131°45'59" e distância de 7,52 m., até o vértice **33**, de coordenadas **N 8.272.205,39** m. e **E 190.073,76** m.; deste, segue com azimute de 133°35'49" e distância de 6,64 m., até o vértice **34**, de coordenadas **N 8.272.200,81** m. e **E 190.078,57** m.; deste, segue com azimute de 138°30'05" e distância de 7,41 m., até o vértice **35**, de coordenadas **N 8.272.195,26** m. e **E 190.083,48** m.; deste, segue com azimute de 136°51'57" e distância de 2,89 m., até o vértice **36**, de coordenadas **N 8.272.193,15** m. e **E 190.085,46** m.; deste, segue com azimute de 133°57'31" e distância de 11,02 m., até o vértice **37**, de coordenadas **N 8.272.185,50** m. e **E 190.093,39** m.; deste, segue com azimute de 133°34'16" e distância de 9,36 m., até o vértice **38**, de coordenadas **N 8.272.179,05** m. e **E 190.100,17** m.; deste, segue com azimute de 131°58'35" e distância de 7,91 m., até o vértice **39**, de coordenadas **N 8.272.173,76** m. e **E 190.106,05** m.; deste, segue com azimute de 131°14'59" e distância de 8,43 m., até o vértice **40**, de coordenadas **N 8.272.168,20** m. e **E 190.112,39** m.; deste, segue com azimute de



SFL - PLC 0019/2019 folha 000271

131°25'16" e distância de 4,50 m., até o vértice **41**, de coordenadas **N 8.272.165,22** m. e **E 190.115,77** m.; deste, segue com azimute de 131°25'15" e distância de 14,53 m., até o vértice **42**, de coordenadas **N 8.272.155,61** m. e **E 190.126,66** m.; deste, segue com azimute de 131°13'24" e distância de 11,49 m., até o vértice **43**, de coordenadas **N 8.272.148,04** m. e **E 190.135,30** m.; deste, segue com azimute de 132°05'17" e distância de 11,41 m., até o vértice **44**, de coordenadas **N 8.272.140,39** m. e **E 190.143,77** m.; deste, segue com azimute de 132°43'54" e distância de 10,18 m., até o vértice **45**, de coordenadas **N 8.272.133,48** m. e **E 190.151,25** m.; deste, segue com azimute de 134°02'23" e distância de 12,66 m., até o vértice **46**, de coordenadas **N 8.272.124,68** m. e **E 190.160,35** m.; deste, segue com azimute de 133°46'30" e distância de 8,27 m., até o vértice **47**, de coordenadas **N 8.272.118,96** m. e **E 190.166,32** m.; deste, segue com azimute de 132°55'41" e distância de 10,95 m., até o vértice **48**, de coordenadas **N 8.272.111,50** m. e **E 190.174,34** m.; deste, segue com azimute de 133°18'48" e distância de 12,49 m., até o vértice **49**, de coordenadas **N 8.272.102,93** m. e **E 190.183,43** m.; deste, segue com azimute de 130°52'04" e distância de 12,36 m., até o vértice **50**, de coordenadas **N 8.272.094,84** m. e **E 190.192,78** m.; deste, segue com azimute de 131°03'40" e distância de 11,22 m., até o vértice **51**, de coordenadas **N 8.272.087,47** m. e **E 190.201,24** m.; deste, segue com azimute de 130°51'33" e distância de 21,94 m., até o vértice **52**, de coordenadas **N 8.272.073,12** m. e **E 190.217,83** m.; deste, segue com azimute de 131°29'02" e distância de 33,09 m., até o vértice **53**, de coordenadas **N 8.272.051,20** m. e **E 190.242,62** m.; deste, segue com azimute de 132°59'51" e distância de 13,15 m., até o vértice **54**, de coordenadas **N 8.272.042,23** m. e **E 190.252,24** m.; deste, segue com azimute de 143°12'06" e distância de 17,60 m., até o vértice **55**, de coordenadas **N 8.272.028,14** m. e **E 190.262,78** m.; deste, segue com azimute de 144°51'41" e distância de 15,36 m., até o vértice **56**, de coordenadas **N 8.272.015,58** m. e **E 190.271,62** m.; deste, segue com azimute de 142°40'36" e distância de 10,11 m., até o vértice **57**, de coordenadas **N 8.272.007,54** m. e **E 190.277,75** m.; deste, segue com azimute de 143°05'31" e distância de 9,04 m., até o vértice **58**, de coordenadas **N 8.272.000,31** m. e **E 190.283,18** m.; deste, segue com azimute de 139°38'30" e distância de 10,75 m., até o vértice **59**, de coordenadas **N 8.271.992,12** m. e **E 190.290,14** m.; deste, segue com azimute de 137°12'55" e distância de 11,16 m., até o vértice **60**, de coordenadas **N 8.271.983,93** m. e **E 190.297,72** m.; deste, segue com azimute de 136°28'57" e distância de 7,65 m., até o vértice **61**, de coordenadas **N 8.271.978,38** m. e **E 190.302,99** m.; deste, segue com azimute de 138°26'42" e distância de 8,47 m., até o vértice **62**, de coordenadas **N 8.271.972,04** m. e **E 190.308,61** m.; deste, segue com azimute



SPL - PLC 0019/2019 folha 000272

de 142°24'51" e distância de 8,16 m., até o vértice **63**, de coordenadas **N 8.271.965,57** m. e **E 190.313,59** m.; deste, segue com azimute de 140°31'31" e distância de 11,97 m., até o vértice **64**, de coordenadas **N 8.271.956,33** m. e **E 190.321,20** m.; deste, segue com azimute de 147°09'23" e distância de 22,53 m., até o vértice **65**, de coordenadas **N 8.271.937,40** m. e **E 190.333,42** m.; deste, segue com azimute de 151°11'25" e distância de 22,95 m., até o vértice **66**, de coordenadas **N 8.271.917,29** m. e **E 190.344,48** m.; deste, segue com azimute de 153°19'48" e distância de 14,64 m., até o vértice **67**, de coordenadas **N 8.271.904,21** m. e **E 190.351,05** m.; deste, segue com azimute de 159°45'35" e distância de 9,13 m., até o vértice **68**, de coordenadas **N 8.271.895,64** m. e **E 190.354,21** m.; deste, segue com azimute de 160°00'18" e distância de 20,56 m., até o vértice **69**, de coordenadas **N 8.271.876,32** m. e **E 190.361,24** m.; deste, segue com azimute de 155°41'02" e distância de 18,92 m., até o vértice **70**, de coordenadas **N 8.271.859,08** m. e **E 190.369,03** m.; deste, segue com azimute de 148°57'14" e distância de 15,51 m., até o vértice **71**, de coordenadas **N 8.271.845,79** m. e **E 190.377,03** m.; deste, segue com azimute de 149°41'35" e distância de 21,24 m., até o vértice **72**, de coordenadas **N 8.271.827,45** m. e **E 190.387,75** m.; deste, segue com azimute de 160°14'48" e distância de 23,64 m., até o vértice **73**, de coordenadas **N 8.271.805,20** m. e **E 190.395,74** m.; deste, segue com azimute de 156°33'58" e distância de 16,95 m., até o vértice **74**, de coordenadas **N 8.271.789,65** m. e **E 190.402,48** m.; deste, segue com azimute de 156°57'00" e distância de 9,12 m., até o vértice **75**, de coordenadas **N 8.271.781,26** m. e **E 190.406,05** m.; deste, segue com azimute de 156°31'46" e distância de 13,01 m., até o vértice **76**, de coordenadas **N 8.271.769,33** m. e **E 190.411,23** m.; deste, segue com azimute de 161°15'16" e distância de 7,00 m., até o vértice **77**, de coordenadas **N 8.271.762,70** m. e **E 190.413,48** m.; deste, segue com azimute de 160°33'20" e distância de 7,18 m., até o vértice **78**, de coordenadas **N 8.271.755,93** m. e **E 190.415,87** m.; deste, segue com azimute de 159°26'05" e distância de 7,23 m., até o vértice **79**, de coordenadas **N 8.271.749,16** m. e **E 190.418,41** m.; deste, segue com azimute de 158°54'28" e distância de 9,75 m., até o vértice **80**, de coordenadas **N 8.271.740,06** m. e **E 190.421,92** m.; deste, segue com azimute de 159°22'01" e distância de 6,10 m., até o vértice **81**, de coordenadas **N 8.271.734,35** m. e **E 190.424,07** m.; deste, segue com azimute de 162°17'49" e distância de 8,91 m., até o vértice **82**, de coordenadas **N 8.271.725,86** m. e **E 190.426,78** m.; deste, segue com azimute de 164°58'14" e distância de 9,80 m., até o vértice **83**, de coordenadas **N 8.271.716,40** m. e **E 190.429,32** m.; deste, segue com azimute de 166°41'41" e distância de 9,12 m., até o vértice **84**, de coordenadas **N 8.271.707,52** m. e **E 190.431,42** m.; deste, segue com azimute



SPL - PLC 0019/2019 folha 000273

de 169°14'42" e distância de 13,77 m., até o vértice **85**, de coordenadas **N 8.271.693,99** m. e **E 190.433,99** m.; deste, segue com azimute de 164°34'40" e distância de 15,34 m., até o vértice **86**, de coordenadas **N 8.271.679,20** m. e **E 190.438,07** m.; deste, segue com azimute de 155°58'35" e distância de 11,40 m., até o vértice **87**, de coordenadas **N 8.271.668,79** m. e **E 190.442,71** m.; deste, segue com azimute de 155°22'35" e distância de 6,34 m., até o vértice **88**, de coordenadas **N 8.271.663,03** m. e **E 190.445,35** m.; deste, segue com azimute de 158°04'07" e distância de 8,19 m., até o vértice **89**, de coordenadas **N 8.271.655,43** m. e **E 190.448,41** m.; deste, segue com azimute de 159°44'10" e distância de 8,72 m., até o vértice **90**, de coordenadas **N 8.271.647,25** m. e **E 190.451,43** m.; deste, segue com azimute de 157°05'11" e distância de 7,13 m., até o vértice **91**, de coordenadas **N 8.271.640,69** m. e **E 190.454,21** m.; deste, segue com azimute de 157°05'11" e distância de 7,13 m., até o vértice **92**, de coordenadas **N 8.271.634,12** m. e **E 190.456,98** m.; deste, segue com azimute de 157°06'43" e distância de 9,20 m., até o vértice **93**, de coordenadas **N 8.271.625,64** m. e **E 190.460,56** m.; deste, segue com azimute de 167°20'00" e distância de 4,06 m., até o vértice **94**, de coordenadas **N 8.271.621,68** m. e **E 190.461,45** m.; deste, segue com azimute de 179°35'09" e distância de 4,15 m., até o vértice **95**, de coordenadas **N 8.271.617,53** m. e **E 190.461,48** m.; deste, segue com azimute de 177°40'38" e distância de 5,67 m., até o vértice **96**, de coordenadas **N 8.271.611,86** m. e **E 190.461,71** m.; deste, segue com azimute de 171°57'44" e distância de 6,15 m., até o vértice **97**, de coordenadas **N 8.271.605,77** m. e **E 190.462,57** m.; deste, segue com azimute de 161°35'16" e distância de 8,01 m., até o vértice **98**, de coordenadas **N 8.271.598,17** m. e **E 190.465,10** m.; deste, segue com azimute de 156°55'04" e distância de 14,21 m., até o vértice **99**, de coordenadas **N 8.271.585,10** m. e **E 190.470,67** m.; deste, segue com azimute de 154°00'09" e distância de 1,75 m., até o vértice **100**, de coordenadas **N 8.271.583,53** m. e **E 190.471,44** m.; deste, segue com azimute de 161°51'53" e distância de 13,15 m., até o vértice **101**, de coordenadas **N 8.271.571,03** m. e **E 190.475,53** m.; deste, segue com azimute de 161°51'52" e distância de 13,15 m., até o vértice **102**, de coordenadas **N 8.271.558,54** m. e **E 190.479,62** m.; deste, segue com azimute de 158°14'39" e distância de 13,13 m., até o vértice **103**, de coordenadas **N 8.271.546,34** m. e **E 190.484,49** m.; deste, segue com azimute de 156°30'13" e distância de 6,10 m., até o vértice **104**, de coordenadas **N 8.271.540,75** m. e **E 190.486,92** m.; deste, segue com azimute de 154°54'28" e distância de 1,41 m., até o vértice **105**, de coordenadas **N 8.271.539,47** m. e **E 190.487,52** m.; deste, segue com azimute de 154°54'33" e distância de 4,70 m., até o vértice **106**, de coordenadas **N 8.271.535,21** m. e **E 190.489,51** m.; deste,



SPL - PLC 0019/2019 folha 000274

segue com azimute de 146°36'00" e distância de 5,77 m., até o vértice **107**, de coordenadas **N 8.271.530,39** m. e **E 190.492,69** m.; deste, segue com azimute de 121°33'36" e distância de 9,73 m., até o vértice **108**, de coordenadas **N 8.271.525,30** m. e **E 190.500,98** m.; deste, segue com azimute de 105°47'34" e distância de 10,50 m., até o vértice **109**, de coordenadas **N 8.271.522,44** m. e **E 190.511,09** m.; deste, segue com azimute de 116°24'43" e distância de 9,88 m., até o vértice **110**, de coordenadas **N 8.271.518,05** m. e **E 190.519,93** m.; deste, segue com azimute de 136°02'40" e distância de 7,69 m., até o vértice **111**, de coordenadas **N 8.271.512,51** m. e **E 190.525,27** m.; deste, segue com azimute de 144°25'19" e distância de 7,91 m., até o vértice **112**, de coordenadas **N 8.271.506,08** m. e **E 190.529,88** m.; deste, segue com azimute de 154°19'38" e distância de 7,56 m., até o vértice **113**, de coordenadas **N 8.271.499,27** m. e **E 190.533,15** m.; deste, segue com azimute de 170°47'44" e distância de 7,05 m., até o vértice **114**, de coordenadas **N 8.271.492,31** m. e **E 190.534,28** m.; deste, segue com azimute de 170°47'38" e distância de 2,07 m., até o vértice **115**, de coordenadas **N 8.271.490,26** m. e **E 190.534,61** m.; deste, segue com azimute de 183°25'17" e distância de 9,59 m., até o vértice **116**, de coordenadas **N 8.271.480,69** m. e **E 190.534,04** m.; deste, segue com azimute de 186°40'22" e distância de 3,52 m., até o vértice **117**, de coordenadas **N 8.271.477,19** m. e **E 190.533,63** m.; deste, segue com azimute de 186°40'23" e distância de 5,85 m., até o vértice **118**, de coordenadas **N 8.271.471,38** m. e **E 190.532,95** m.; deste, segue com azimute de 186°46'19" e distância de 7,29 m., até o vértice **119**, de coordenadas **N 8.271.464,14** m. e **E 190.532,09** m.; deste, segue com azimute de 189°46'50" e distância de 7,16 m., até o vértice **120**, de coordenadas **N 8.271.457,08** m. e **E 190.530,87** m.; deste, segue com azimute de 193°01'17" e distância de 7,22 m., até o vértice **121**, de coordenadas **N 8.271.450,04** m. e **E 190.529,24** m.; deste, segue com azimute de 197°50'12" e distância de 3,38 m., até o vértice **122**, de coordenadas **N 8.271.446,83** m. e **E 190.528,21** m.; deste, segue com azimute de 197°50'15" e distância de 5,72 m., até o vértice **123**, de coordenadas **N 8.271.441,38** m. e **E 190.526,46** m.; deste, segue com azimute de 201°32'35" e distância de 18,55 m., até o vértice **124**, de coordenadas **N 8.271.424,13** m. e **E 190.519,65** m.; deste, segue com azimute de 121°12'26" e distância de 289,37 m., até o vértice **125**, de coordenadas **N 8.271.274,20** m. e **E 190.767,14** m.; deste, segue com azimute de 64°08'51" e distância de 16,76 m., até o vértice **126**, de coordenadas **N 8.271.281,50** m. e **E 190.782,22** m.; deste, segue com azimute de 64°08'52" e distância de 12,66 m., até o vértice **127**, de coordenadas **N 8.271.287,02** m. e **E 190.793,61** m.; deste, segue com azimute de 64°08'54" e distância de 4,10 m., até o vértice **128**, de coordenadas **N 8.271.288,81** m. e **E 190.797,30** m.; deste,



SFL - PLC 0019/2019 folha 000275

segue com azimute de 62°39'09" e distância de 16,75 m., até o vértice **129**, de coordenadas **N 8.271.296,51** m. e **E 190.812,18** m.; deste, segue com azimute de 60°07'39" e distância de 14,86 m., até o vértice **130**, de coordenadas **N 8.271.303,91** m. e **E 190.825,06** m.; deste, segue com azimute de 58°48'32" e distância de 14,88 m., até o vértice **131**, de coordenadas **N 8.271.311,61** m. e **E 190.837,79** m.; deste, segue com azimute de 60°06'23" e distância de 34,00 m., até o vértice **132**, de coordenadas **N 8.271.328,56** m. e **E 190.867,27** m.; deste, segue com azimute de 61°23'37" e distância de 19,12 m., até o vértice **133**, de coordenadas **N 8.271.337,71** m. e **E 190.884,05** m.; deste, segue com azimute de 61°41'24" e distância de 19,08 m., até o vértice **134**, de coordenadas **N 8.271.346,76** m. e **E 190.900,85** m.; deste, segue com azimute de 62°19'32" e distância de 34,63 m., até o vértice **135**, de coordenadas **N 8.271.362,84** m. e **E 190.931,52** m.; deste, segue com azimute de 61°41'32" e distância de 17,36 m., até o vértice **136**, de coordenadas **N 8.271.371,08** m. e **E 190.946,81** m.; deste, segue com azimute de 58°06'13" e distância de 15,87 m., até o vértice **137**, de coordenadas **N 8.271.379,46** m. e **E 190.960,28** m.; deste, segue com azimute de 57°26'12" e distância de 15,94 m., até o vértice **138**, de coordenadas **N 8.271.388,04** m. e **E 190.973,71** m.; deste, segue com azimute de 64°20'51" e distância de 15,69 m., até o vértice **139**, de coordenadas **N 8.271.394,83** m. e **E 190.987,85** m.; deste, segue com azimute de 74°57'10" e distância de 8,66 m., até o vértice **140**, de coordenadas **N 8.271.397,08** m. e **E 190.996,21** m.; deste, segue com azimute de 74°57'08" e distância de 2,74 m., até o vértice **141**, de coordenadas **N 8.271.397,79** m. e **E 190.998,86** m.; deste, segue com azimute de 79°55'16" e distância de 11,56 m., até o vértice **142**, de coordenadas **N 8.271.399,81** m. e **E 191.010,24** m.; deste, segue com azimute de 79°06'26" e distância de 11,50 m., até o vértice **143**, de coordenadas **N 8.271.401,99** m. e **E 191.021,53** m.; deste, segue com azimute de 77°15'24" e distância de 13,09 m., até o vértice **144**, de coordenadas **N 8.271.404,87** m. e **E 191.034,30** m.; deste, segue com azimute de 76°17'35" e distância de 13,03 m., até o vértice **145**, de coordenadas **N 8.271.407,96** m. e **E 191.046,95** m.; deste, segue com azimute de 72°21'11" e distância de 12,95 m., até o vértice **146**, de coordenadas **N 8.271.411,89** m. e **E 191.059,29** m.; deste, segue com azimute de 62°17'38" e distância de 4,57 m., até o vértice **147**, de coordenadas **N 8.271.414,01** m. e **E 191.063,34** m.; deste, segue com azimute de 62°17'35" e distância de 13,11 m., até o vértice **148**, de coordenadas **N 8.271.420,11** m. e **E 191.074,94** m.; deste, segue com azimute de 57°05'21" e distância de 17,96 m., até o vértice **149**, de coordenadas **N 8.271.429,86** m. e **E 191.090,02** m.; deste, segue com azimute de 64°51'27" e distância de 7,64 m., até o vértice **150**, de coordenadas **N 8.271.433,11** m. e **E 191.096,93** m.; deste,



SPL - PLC 0019/2019 folha 000276

segue com azimute de 64°51'29" e distância de 9,93 m., até o vértice **151**, de coordenadas **N 8.271.437,33** m. e **E 191.105,92** m.; deste, segue com azimute de 76°59'09" e distância de 15,43 m., até o vértice **152**, de coordenadas **N 8.271.440,80** m. e **E 191.120,95** m.; deste, segue com azimute de 83°35'02" e distância de 14,09 m., até o vértice **153**, de coordenadas **N 8.271.442,37** m. e **E 191.134,95** m.; deste, segue com azimute de 83°34'52" e distância de 1,66 m., até o vértice **154**, de coordenadas **N 8.271.442,56** m. e **E 191.136,60** m.; deste, segue com azimute de 89°38'36" e distância de 12,40 m., até o vértice **155**, de coordenadas **N 8.271.442,64** m. e **E 191.149,00** m.; deste, segue com azimute de 100°00'05" e distância de 36,31 m., até o vértice **156**, de coordenadas **N 8.271.436,33** m. e **E 191.184,76** m.; deste, segue com azimute de 106°40'51" e distância de 35,83 m., até o vértice **157**, de coordenadas **N 8.271.426,05** m. e **E 191.219,08** m.; deste, segue com azimute de 109°18'27" e distância de 7,87 m., até o vértice **158**, de coordenadas **N 8.271.423,44** m. e **E 191.226,51** m.; deste, segue com azimute de 109°18'27" e distância de 9,33 m., até o vértice **159**, de coordenadas **N 8.271.420,36** m. e **E 191.235,31** m.; deste, segue com azimute de 108°23'18" e distância de 5,73 m., até o vértice **160**, de coordenadas **N 8.271.418,55** m. e **E 191.240,75** m.; deste, segue com azimute de 107°55'43" e distância de 5,20 m., até o vértice **161**, de coordenadas **N 8.271.416,95** m. e **E 191.245,69** m.; deste, segue com azimute de 107°55'45" e distância de 6,53 m., até o vértice **162**, de coordenadas **N 8.271.414,94** m. e **E 191.251,90** m.; deste, segue com azimute de 107°25'00" e distância de 3,99 m., até o vértice **163**, de coordenadas **N 8.271.413,75** m. e **E 191.255,71** m.; deste, segue com azimute de 103°21'47" e distância de 6,33 m., até o vértice **164**, de coordenadas **N 8.271.412,29** m. e **E 191.261,87** m.; deste, segue com azimute de 110°08'53" e distância de 5,24 m., até o vértice **165**, de coordenadas **N 8.271.410,48** m. e **E 191.266,79** m.; deste, segue com azimute de 103°51'06" e distância de 43,35 m., até o vértice **166**, de coordenadas **N 8.271.400,10** m. e **E 191.308,88** m.; deste, segue com azimute de 114°06'10" e distância de 10,42 m., até o vértice **167**, de coordenadas **N 8.271.395,85** m. e **E 191.318,39** m.; deste, segue com azimute de 117°20'07" e distância de 7,27 m., até o vértice **168**, de coordenadas **N 8.271.392,51** m. e **E 191.324,85** m.; deste, segue com azimute de 117°20'06" e distância de 4,45 m., até o vértice **169**, de coordenadas **N 8.271.390,47** m. e **E 191.328,80** m.; deste, segue com azimute de 118°24'08" e distância de 11,74 m., até o vértice **170**, de coordenadas **N 8.271.384,89** m. e **E 191.339,12** m.; deste, segue com azimute de 124°07'13" e distância de 6,58 m., até o vértice **171**, de coordenadas **N 8.271.381,19** m. e **E 191.344,57** m.; deste, segue com azimute de 124°39'43" e distância de 6,60 m., até o vértice **172**, de coordenadas **N 8.271.377,44** m. e **E 191.349,99** m.; deste,



SPL - PLC 0019/2019 folha 000277

segue com azimute de 107°17'59" e distância de 5,97 m., até o vértice **173**, de coordenadas **N 8.271.375,67** m. e **E 191.355,69** m.; deste, segue com azimute de 74°00'32" e distância de 9,98 m., até o vértice **174**, de coordenadas **N 8.271.378,41** m. e **E 191.365,29** m.; deste, segue com azimute de 64°50'51" e distância de 5,52 m., até o vértice **175**, de coordenadas **N 8.271.380,76** m. e **E 191.370,29** m.; deste, segue com azimute de 59°11'47" e distância de 9,61 m., até o vértice **176**, de coordenadas **N 8.271.385,68** m. e **E 191.378,54** m.; deste, segue com azimute de 67°00'00" e distância de 4,66 m., até o vértice **177**, de coordenadas **N 8.271.387,50** m. e **E 191.382,83** m.; deste, segue com azimute de 89°15'37" e distância de 6,49 m., até o vértice **178**, de coordenadas **N 8.271.387,59** m. e **E 191.389,32** m.; deste, segue com azimute de 103°42'23" e distância de 6,88 m., até o vértice **179**, de coordenadas **N 8.271.385,96** m. e **E 191.396,00** m.; deste, segue com azimute de 103°42'26" e distância de 6,88 m., até o vértice **180**, de coordenadas **N 8.271.384,33** m. e **E 191.402,69** m.; deste, segue com azimute de 122°32'32" e distância de 26,66 m., até o vértice **181**, de coordenadas **N 8.271.369,99** m. e **E 191.425,16** m.; deste, segue com azimute de 126°04'08" e distância de 5,24 m., até o vértice **182**, de coordenadas **N 8.271.366,90** m. e **E 191.429,40** m.; deste, segue com azimute de 135°52'36" e distância de 20,03 m., até o vértice **183**, de coordenadas **N 8.271.352,52** m. e **E 191.443,34** m.; deste, segue com azimute de 145°51'55" e distância de 6,85 m., até o vértice **184**, de coordenadas **N 8.271.346,85** m. e **E 191.447,19** m.; deste, segue com azimute de 150°29'13" e distância de 13,87 m., até o vértice **185**, de coordenadas **N 8.271.334,78** m. e **E 191.454,02** m.; deste, segue com azimute de 153°17'12" e distância de 14,01 m., até o vértice **186**, de coordenadas **N 8.271.322,27** m. e **E 191.460,32** m.; deste, segue com azimute de 152°57'47" e distância de 7,00 m., até o vértice **187**, de coordenadas **N 8.271.316,04** m. e **E 191.463,50** m.; deste, segue com azimute de 150°40'03" e distância de 11,56 m., até o vértice **188**, de coordenadas **N 8.271.305,96** m. e **E 191.469,16** m.; deste, segue com azimute de 62°29'49" e distância de 9,28 m., até o vértice **189**, de coordenadas **N 8.271.310,24** m. e **E 191.477,39** m.; deste, segue com azimute de 60°31'52" e distância de 11,51 m., até o vértice **190**, de coordenadas **N 8.271.315,90** m. e **E 191.487,41** m.; deste, segue com azimute de 46°03'33" e distância de 19,76 m., até o vértice **191**, de coordenadas **N 8.271.329,61** m. e **E 191.501,64** m.; deste, segue com azimute de 36°34'18" e distância de 12,21 m., até o vértice **192**, de coordenadas **N 8.271.339,42** m. e **E 191.508,91** m.; deste, segue com azimute de 36°34'18" e distância de 20,48 m., até o vértice **193**, de coordenadas **N 8.271.355,86** m. e **E 191.521,11** m.; deste, segue com azimute de 36°34'17" e distância de 8,24 m., até o vértice **194**, de coordenadas **N 8.271.362,48** m. e **E 191.526,02** m.; deste,



SPL - PLC 0019/2019 folha 000278

segue com azimute de 30°10'29" e distância de 25,00 m., até o vértice **195**, de coordenadas **N 8.271.384,10** m. e **E 191.538,59** m.; deste, segue com azimute de 26°19'43" e distância de 25,99 m., até o vértice **196**, de coordenadas **N 8.271.407,39** m. e **E 191.550,12** m.; deste, segue com azimute de 24°21'57" e distância de 10,76 m., até o vértice **197**, de coordenadas **N 8.271.417,19** m. e **E 191.554,55** m.; deste, segue com azimute de 4°10'17" e distância de 6,97 m., até o vértice **198**, de coordenadas **N 8.271.424,14** m. e **E 191.555,06** m.; deste, segue com azimute de 341°01'38" e distância de 5,28 m., até o vértice **199**, de coordenadas **N 8.271.429,14** m. e **E 191.553,34** m.; deste, segue com azimute de 333°45'33" e distância de 6,89 m., até o vértice **200**, de coordenadas **N 8.271.435,32** m. e **E 191.550,30** m.; deste, segue com azimute de 330°29'55" e distância de 5,46 m., até o vértice **201**, de coordenadas **N 8.271.440,06** m. e **E 191.547,61** m.; deste, segue com azimute de 329°17'55" e distância de 5,47 m., até o vértice **202**, de coordenadas **N 8.271.444,77** m. e **E 191.544,82** m.; deste, segue com azimute de 339°07'32" e distância de 4,62 m., até o vértice **203**, de coordenadas **N 8.271.449,09** m. e **E 191.543,17** m.; deste, segue com azimute de 358°36'01" e distância de 5,67 m., até o vértice **204**, de coordenadas **N 8.271.454,75** m. e **E 191.543,03** m.; deste, segue com azimute de 14°55'58" e distância de 10,53 m., até o vértice **205**, de coordenadas **N 8.271.464,93** m. e **E 191.545,75** m.; deste, segue com azimute de 16°54'28" e distância de 16,31 m., até o vértice **206**, de coordenadas **N 8.271.480,53** m. e **E 191.550,49** m.; deste, segue com azimute de 17°29'48" e distância de 5,52 m., até o vértice **207**, de coordenadas **N 8.271.485,80** m. e **E 191.552,15** m.; deste, segue com azimute de 20°37'07" e distância de 8,13 m., até o vértice **208**, de coordenadas **N 8.271.493,41** m. e **E 191.555,01** m.; ponto situado às margens do Ribeirão da Contagem deste, segue margeando o Ribeirão da Contagem, até o vértice **209**, de coordenadas **N 8.271.672,16** m. e **E 191.718,59** m.; deste, segue com azimute de 77°23'38" e distância de 9,91 m., até o vértice **210**, de coordenadas **N 8.271.674,32** m. e **E 191.728,26** m.; deste, segue com azimute de 82°33'50" e distância de 17,43 m., até o vértice **211**, de coordenadas **N 8.271.676,57** m. e **E 191.745,54** m.; deste, segue com azimute de 76°41'57" e distância de 15,32 m., até o vértice **212**, de coordenadas **N 8.271.680,10** m. e **E 191.760,45** m.; deste, segue com azimute de 70°01'24" e distância de 11,35 m., até o vértice **213**, de coordenadas **N 8.271.683,97** m. e **E 191.771,12** m.; deste, segue com azimute de 67°19'31" e distância de 9,90 m., até o vértice **214**, de coordenadas **N 8.271.687,79** m. e **E 191.780,26** m.; deste, segue com azimute de 66°45'00" e distância de 15,66 m., até o vértice **215**, de coordenadas **N 8.271.693,97** m. e **E 191.794,64** m.; deste, segue com azimute de 69°25'47" e distância de 10,81 m., até o vértice **216**, de coordenadas



SFL - PLC 0019/2019 folha 000279

**N 8.271.697,77** m. e **E 191.804,76** m.; deste, segue com azimute de 61°37'00" e distância de 8,70 m., até o vértice **217**, de coordenadas **N 8.271.701,91** m. e **E 191.812,41** m.; deste, segue com azimute de 54°22'29" e distância de 5,83 m., até o vértice **218**, de coordenadas **N 8.271.705,30** m. e **E 191.817,15** m.; deste, segue com azimute de 48°07'37" e distância de 3,99 m., até o vértice **219**, de coordenadas **N 8.271.707,96** m. e **E 191.820,12** m.; deste, segue com azimute de 47°08'43" e distância de 2,00 m., até o vértice **220**, de coordenadas **N 8.271.709,33** m. e **E 191.821,59** m.; deste, segue com azimute de 106°23'14" e distância de 6,81 m., até o vértice **221**, de coordenadas **N 8.271.707,40** m. e **E 191.828,13** m.; deste, segue com azimute de 59°15'12" e distância de 7,96 m., até o vértice **222**, de coordenadas **N 8.271.711,47** m. e **E 191.834,97** m.; deste, segue com azimute de 65°50'38" e distância de 6,65 m., até o vértice **223**, de coordenadas **N 8.271.714,19** m. e **E 191.841,03** m.; deste, segue com azimute de 72°04'49" e distância de 2,75 m., até o vértice **224**, de coordenadas **N 8.271.715,04** m. e **E 191.843,65** m.; deste, segue com azimute de 76°42'40" e distância de 5,51 m., até o vértice **225**, de coordenadas **N 8.271.716,31** m. e **E 191.849,01** m.; deste, segue com azimute de 83°15'54" e distância de 5,37 m., até o vértice **226**, de coordenadas **N 8.271.716,94** m. e **E 191.854,35** m.; deste, segue com azimute de 91°34'59" e distância de 3,66 m., até o vértice **227**, de coordenadas **N 8.271.716,83** m. e **E 191.858,01** m.; deste, segue com azimute de 99°10'45" e distância de 3,68 m., até o vértice **228**, de coordenadas **N 8.271.716,25** m. e **E 191.861,64** m.; deste, segue com azimute de 103°55'28" e distância de 3,73 m., até o vértice **229**, de coordenadas **N 8.271.715,35** m. e **E 191.865,27** m.; deste, segue com azimute de 105°55'39" e distância de 3,77 m., até o vértice **230**, de coordenadas **N 8.271.714,32** m. e **E 191.868,89** m.; deste, segue com azimute de 105°17'51" e distância de 3,77 m., até o vértice **231**, de coordenadas **N 8.271.713,32** m. e **E 191.872,53** m.; deste, segue com azimute de 100°41'02" e distância de 7,31 m., até o vértice **232**, de coordenadas **N 8.271.711,96** m. e **E 191.879,72** m.; deste, segue com azimute de 98°29'00" e distância de 7,17 m., até o vértice **233**, de coordenadas **N 8.271.710,91** m. e **E 191.886,81** m.; deste, segue com azimute de 97°04'50" e distância de 7,18 m., até o vértice **234**, de coordenadas **N 8.271.710,02** m. e **E 191.893,93** m.; deste, segue com azimute de 93°36'17" e distância de 8,51 m., até o vértice **235**, de coordenadas **N 8.271.709,49** m. e **E 191.902,43** m.; deste, segue com azimute de 90°56'58" e distância de 4,94 m., até o vértice **236**, de coordenadas **N 8.271.709,40** m. e **E 191.907,36** m.; deste, segue com azimute de 95°09'07" e distância de 2,42 m., até o vértice **237**, de coordenadas **N 8.271.709,19** m. e **E 191.909,78** m.; deste, segue com azimute de 100°48'46" e distância de 2,39 m., até o vértice **238**, de coordenadas



SFL - PLC 0019/2019 folha 000280

**N 8.271.708,74** m. e **E 191.912,12 m.;** deste, segue com azimute de 108°54'17" e distância de 2,92 m., até o vértice **239**, de coordenadas **N 8.271.707,79** m. e **E 191.914,89 m.;** deste, segue com azimute de 116°02'47" e distância de 2,95 m., até o vértice **240**, de coordenadas **N 8.271.706,50** m. e **E 191.917,54 m.;** deste, segue com azimute de 121°13'59" e distância de 6,03 m., até o vértice **241**, de coordenadas **N 8.271.703,37** m. e **E 191.922,69 m.;** deste, segue com azimute de 119°31'14" e distância de 6,00 m., até o vértice **242**, de coordenadas **N 8.271.700,42** m. e **E 191.927,91 m.;** deste, segue com azimute de 113°14'09" e distância de 7,24 m., até o vértice **243**, de coordenadas **N 8.271.697,56** m. e **E 191.934,56 m.;** deste, segue com azimute de 115°28'07" e distância de 7,18 m., até o vértice **244**, de coordenadas **N 8.271.694,47** m. e **E 191.941,05 m.;** deste, segue com azimute de 118°12'24" e distância de 3,57 m., até o vértice **245**, de coordenadas **N 8.271.692,78** m. e **E 191.944,19 m.;** deste, segue com azimute de 119°51'13" e distância de 6,36 m., até o vértice **246**, de coordenadas **N 8.271.689,62** m. e **E 191.949,71 m.;** deste, segue com azimute de 122°49'56" e distância de 5,60 m., até o vértice **247**, de coordenadas **N 8.271.686,58** m. e **E 191.954,41 m.;** deste, segue com azimute de 122°25'01" e distância de 5,58 m., até o vértice **248**, de coordenadas **N 8.271.683,59** m. e **E 191.959,13 m.;** deste, segue com azimute de 119°39'16" e distância de 2,78 m., até o vértice **249**, de coordenadas **N 8.271.682,22** m. e **E 191.961,54 m.;** deste, segue com azimute de 115°37'21" e distância de 5,22 m., até o vértice **250**, de coordenadas **N 8.271.679,96** m. e **E 191.966,24 m.;** deste, segue com azimute de 111°34'50" e distância de 5,23 m., até o vértice **251**, de coordenadas **N 8.271.678,04** m. e **E 191.971,10 m.;** deste, segue com azimute de 109°05'53" e distância de 10,49 m., até o vértice **252**, de coordenadas **N 8.271.674,61** m. e **E 191.981,02 m.;** deste, segue com azimute de 111°41'54" e distância de 10,45 m., até o vértice **253**, de coordenadas **N 8.271.670,74** m. e **E 191.990,72 m.;** deste, segue com azimute de 117°17'45" e distância de 8,99 m., até o vértice **254**, de coordenadas **N 8.271.666,62** m. e **E 191.998,71 m.;** deste, segue com azimute de 119°32'44" e distância de 9,01 m., até o vértice **255**, de coordenadas **N 8.271.662,18** m. e **E 192.006,55 m.;** deste, segue com azimute de 119°46'05" e distância de 4,51 m., até o vértice **256**, de coordenadas **N 8.271.659,94** m. e **E 192.010,46 m.;** deste, segue com azimute de 116°33'42" e distância de 12,28 m., até o vértice **257**, de coordenadas **N 8.271.654,45** m. e **E 192.021,44 m.;** deste, segue com azimute de 54°17'19" e distância de 47,70 m., até o vértice **258**, de coordenadas **N 8.271.682,29** m. e **E 192.060,17 m.;** deste, segue com azimute de 53°42'21" e distância de 3,73 m., até o vértice **259**, de coordenadas **N 8.271.684,50** m. e **E 192.063,18 m.;** deste, segue com azimute de 70°41'52" e distância de 2,32 m., até o vértice **260**, de coordenadas



SPL - PLC 0019/2019 folha 000281

**N 8.271.685,27** m. e **E 192.065,37** m.; deste, segue com azimute de 58°24'11" e distância de 19,42 m., até o vértice **261**, de coordenadas **N 8.271.695,44** m. e **E 192.081,91** m.; deste, segue com azimute de 52°22'16" e distância de 20,80 m., até o vértice **262**, de coordenadas **N 8.271.708,14** m. e **E 192.098,38** m.; deste, segue com azimute de 55°21'06" e distância de 26,43 m., até o vértice **263**, de coordenadas **N 8.271.723,17** m. e **E 192.120,13** m.; deste, segue com azimute de 55°31'23" e distância de 9,71 m., até o vértice **264**, de coordenadas **N 8.271.728,67** m. e **E 192.128,13** m.; deste, segue com azimute de 74°09'57" e distância de 10,53 m., até o vértice **265**, de coordenadas **N 8.271.731,54** m. e **E 192.138,27** m.; deste, segue com azimute de 71°59'28" e distância de 27,89 m., até o vértice **266**, de coordenadas **N 8.271.740,16** m. e **E 192.164,79** m.; deste, segue com azimute de 67°59'44" e distância de 19,82 m., até o vértice **267**, de coordenadas **N 8.271.747,59** m. e **E 192.183,16** m.; deste, segue com azimute de 56°30'23" e distância de 13,58 m., até o vértice **268**, de coordenadas **N 8.271.755,08** m. e **E 192.194,49** m.; deste, segue com azimute de 43°14'43" e distância de 6,41 m., até o vértice **269**, de coordenadas **N 8.271.759,75** m. e **E 192.198,87** m.; deste, segue com azimute de 34°42'09" e distância de 6,09 m., até o vértice **270**, de coordenadas **N 8.271.764,76** m. e **E 192.202,34** m.; deste, segue com azimute de 34°42'12" e distância de 2,66 m., até o vértice **271**, de coordenadas **N 8.271.766,94** m. e **E 192.203,86** m.; deste, segue com azimute de 21°30'47" e distância de 7,77 m., até o vértice **272**, de coordenadas **N 8.271.774,17** m. e **E 192.206,70** m.; deste, segue com azimute de 15°57'58" e distância de 5,59 m., até o vértice **273**, de coordenadas **N 8.271.779,54** m. e **E 192.208,24** m.; deste, segue com azimute de 358°28'14" e distância de 19,22 m., até o vértice **274**, de coordenadas **N 8.271.798,76** m. e **E 192.207,73** m.; deste, segue com azimute de 347°37'37" e distância de 13,56 m., até o vértice **275**, de coordenadas **N 8.271.812,00** m. e **E 192.204,82** m.; deste, segue com azimute de 339°45'06" e distância de 9,18 m., até o vértice **276**, de coordenadas **N 8.271.820,62** m. e **E 192.201,64** m.; deste, segue com azimute de 329°58'53" e distância de 15,70 m., até o vértice **277**, de coordenadas **N 8.271.834,21** m. e **E 192.193,79** m.; deste, segue com azimute de 324°51'00" e distância de 17,07 m., até o vértice **278**, de coordenadas **N 8.271.848,16** m. e **E 192.183,97** m.; deste, segue com azimute de 332°40'23" e distância de 5,11 m., até o vértice **279**, de coordenadas **N 8.271.852,70** m. e **E 192.181,62** m.; deste, segue com azimute de 0°00'00" e distância de 11,13 m., até o vértice **280**, de coordenadas **N 8.271.863,83** m. e **E 192.181,62** m.; deste, segue com azimute de 0°50'40" e distância de 24,02 m., até o vértice **281**, de coordenadas **N 8.271.887,85** m. e **E 192.181,98** m.; ponto situado no eixo da Rodovia DF-150 deste, segue pela Rodovia DF-150, até o vértice **282**, de



SFL - PLC 0019/2019 folha 000282

coordenadas **N 8.271.021,26** m. e **E 192.759,30** m.; deste, segue com azimute de 341°16'41" e distância de 23,65 m., até o vértice **283**, de coordenadas **N 8.271.043,66** m. e **E 192.751,70** m.; deste, segue com azimute de 337°55'55" e distância de 13,20 m., até o vértice **284**, de coordenadas **N 8.271.055,90** m. e **E 192.746,74** m.; deste, segue com azimute de 323°44'47" e distância de 12,30 m., até o vértice **285**, de coordenadas **N 8.271.065,82** m. e **E 192.739,47** m.; deste, segue com azimute de 316°58'30" e distância de 27,14 m., até o vértice **286**, de coordenadas **N 8.271.085,66** m. e **E 192.720,95** m.; deste, segue com azimute de 307°35'45" e distância de 11,67 m., até o vértice **287**, de coordenadas **N 8.271.092,78** m. e **E 192.711,70** m.; deste, segue com azimute de 326°21'27" e distância de 0,67 m., até o vértice **288**, de coordenadas **N 8.271.093,34** m. e **E 192.711,33** m.; deste, segue com azimute de 2°39'16" e distância de 4,83 m., até o vértice **289**, de coordenadas **N 8.271.098,16** m. e **E 192.711,55** m.; deste, segue com azimute de 4°01'35" e distância de 5,12 m., até o vértice **290**, de coordenadas **N 8.271.103,27** m. e **E 192.711,91** m.; deste, segue com azimute de 2°18'28" e distância de 5,08 m., até o vértice **291**, de coordenadas **N 8.271.108,35** m. e **E 192.712,12** m.; deste, segue com azimute de 357°20'56" e distância de 4,98 m., até o vértice **292**, de coordenadas **N 8.271.113,32** m. e **E 192.711,89** m.; deste, segue com azimute de 352°13'14" e distância de 1,64 m., até o vértice **293**, de coordenadas **N 8.271.114,94** m. e **E 192.711,67** m.; deste, segue com azimute de 345°51'53" e distância de 5,13 m., até o vértice **294**, de coordenadas **N 8.271.119,92** m. e **E 192.710,41** m.; deste, segue com azimute de 338°58'44" e distância de 5,17 m., até o vértice **295**, de coordenadas **N 8.271.124,75** m. e **E 192.708,56** m.; deste, segue com azimute de 336°12'41" e distância de 5,22 m., até o vértice **296**, de coordenadas **N 8.271.129,52** m. e **E 192.706,45** m.; deste, segue com azimute de 337°26'10" e distância de 5,22 m., até o vértice **297**, de coordenadas **N 8.271.134,34** m. e **E 192.704,45** m.; deste, segue com azimute de 340°19'45" e distância de 1,73 m., até o vértice **298**, de coordenadas **N 8.271.135,97** m. e **E 192.703,87** m.; deste, segue com azimute de 341°50'49" e distância de 5,02 m., até o vértice **299**, de coordenadas **N 8.271.140,74** m. e **E 192.702,30** m.; deste, segue com azimute de 342°45'00" e distância de 5,03 m., até o vértice **300**, de coordenadas **N 8.271.145,55** m. e **E 192.700,81** m.; deste, segue com azimute de 343°31'12" e distância de 5,04 m., até o vértice **301**, de coordenadas **N 8.271.150,38** m. e **E 192.699,38** m.; deste, segue com azimute de 344°09'20" e distância de 4,13 m., até o vértice **302**, de coordenadas **N 8.271.154,36** m. e **E 192.698,25** m.; deste, segue com azimute de 344°09'18" e distância de 0,92 m., até o vértice **303**, de coordenadas **N 8.271.155,24** m. e **E 192.698,00** m.; deste, segue com azimute de 344°39'28" e distância de 5,06 m., até o vértice **304**, de



SPL - PLC 0019/2019 folha 000283

coordenadas **N 8.271.160,12** m. e **E 192.696,66** m.; deste, segue com azimute de 345°01'48" e distância de 5,07 m., até o vértice **305**, de coordenadas **N 8.271.165,03** m. e **E 192.695,35** m.; deste, segue com azimute de 345°13'29" e distância de 2,54 m., até o vértice **306**, de coordenadas **N 8.271.167,48** m. e **E 192.694,70** m.; deste, segue com azimute de 344°53'11" e distância de 5,11 m., até o vértice **307**, de coordenadas **N 8.271.172,41** m. e **E 192.693,37** m.; deste, segue com azimute de 344°33'29" e distância de 5,13 m., até o vértice **308**, de coordenadas **N 8.271.177,36** m. e **E 192.692,00** m.; deste, segue com azimute de 344°54'03" e distância de 5,14 m., até o vértice **309**, de coordenadas **N 8.271.182,32** m. e **E 192.690,66** m.; deste, segue com azimute de 345°54'31" e distância de 5,15 m., até o vértice **310**, de coordenadas **N 8.271.187,31** m. e **E 192.689,41** m.; deste, segue com azimute de 347°35'16" e distância de 5,14 m., até o vértice **311**, de coordenadas **N 8.271.192,33** m. e **E 192.688,31** m.; deste, segue com azimute de 349°56'33" e distância de 5,14 m., até o vértice **312**, de coordenadas **N 8.271.197,39** m. e **E 192.687,41** m.; deste, segue com azimute de 352°07'57" e distância de 2,57 m., até o vértice **313**, de coordenadas **N 8.271.199,94** m. e **E 192.687,06** m.; deste, segue com azimute de 354°41'41" e distância de 5,40 m., até o vértice **314**, de coordenadas **N 8.271.205,31** m. e **E 192.686,56** m.; deste, segue com azimute de 357°23'04" e distância de 5,43 m., até o vértice **315**, de coordenadas **N 8.271.210,74** m. e **E 192.686,31** m.; deste, segue com azimute de 358°54'20" e distância de 5,45 m., até o vértice **316**, de coordenadas **N 8.271.216,19** m. e **E 192.686,21** m.; deste, segue com azimute de 359°17'22" e distância de 5,45 m., até o vértice **317**, de coordenadas **N 8.271.221,65** m. e **E 192.686,14** m.; deste, segue com azimute de 358°37'40" e distância de 4,75 m., até o vértice **318**, de coordenadas **N 8.271.226,39** m. e **E 192.686,03** m.; deste, segue com azimute de 356°14'34" e distância de 5,00 m., até o vértice **319**, de coordenadas **N 8.271.231,38** m. e **E 192.685,70** m.; deste, segue com azimute de 354°53'53" e distância de 5,02 m., até o vértice **320**, de coordenadas **N 8.271.236,39** m. e **E 192.685,25** m.; deste, segue com azimute de 356°46'47" e distância de 4,98 m., até o vértice **321**, de coordenadas **N 8.271.241,36** m. e **E 192.684,97** m.; deste, segue com azimute de 2°26'33" e distância de 5,45 m., até o vértice **322**, de coordenadas **N 8.271.246,80** m. e **E 192.685,20** m.; deste, segue com azimute de 7°50'53" e distância de 1,08 m., até o vértice **323**, de coordenadas **N 8.271.247,88** m. e **E 192.685,35** m.; deste, segue com azimute de 13°24'55" e distância de 5,38 m., até o vértice **324**, de coordenadas **N 8.271.253,11** m. e **E 192.686,60** m.; deste, segue com azimute de 19°53'25" e distância de 5,46 m., até o vértice **325**, de coordenadas **N 8.271.258,24** m. e **E 192.688,46** m.; deste, segue com azimute de 22°41'33" e distância de 4,97 m., até o vértice **326**, de



SFL - PLC 0019/2019 folha 000284

coordenadas **N 8.271.262,83** m. e **E 192.690,37** m.; deste, segue com azimute de 22°26'13" e distância de 4,98 m., até o vértice **327**, de coordenadas **N 8.271.267,43** m. e **E 192.692,27** m.; deste, segue com azimute de 21°12'31" e distância de 0,55 m., até o vértice **328**, de coordenadas **N 8.271.267,94** m. e **E 192.692,47** m.; deste, segue com azimute de 24°07'13" e distância de 5,07 m., até o vértice **329**, de coordenadas **N 8.271.272,57** m. e **E 192.694,55** m.; deste, segue com azimute de 24°47'02" e distância de 5,10 m., até o vértice **330**, de coordenadas **N 8.271.277,20** m. e **E 192.696,68** m.; deste, segue com azimute de 17°10'44" e distância de 5,02 m., até o vértice **331**, de coordenadas **N 8.271.282,00** m. e **E 192.698,17** m.; deste, segue com azimute de 4°33'19" e distância de 5,04 m., até o vértice **332**, de coordenadas **N 8.271.287,02** m. e **E 192.698,57** m.; deste, segue com azimute de 1°50'03" e distância de 4,84 m., até o vértice **333**, de coordenadas **N 8.271.291,86** m. e **E 192.698,72** m.; deste, segue com azimute de 4°57'44" e distância de 5,18 m., até o vértice **334**, de coordenadas **N 8.271.297,02** m. e **E 192.699,17** m.; deste, segue com azimute de 6°24'18" e distância de 5,18 m., até o vértice **335**, de coordenadas **N 8.271.302,17** m. e **E 192.699,75** m.; deste, segue com azimute de 9°18'08" e distância de 5,15 m., até o vértice **336**, de coordenadas **N 8.271.307,24** m. e **E 192.700,58** m.; deste, segue com azimute de 11°49'13" e distância de 1,28 m., até o vértice **337**, de coordenadas **N 8.271.308,50** m. e **E 192.700,84** m.; deste, segue com azimute de 15°12'06" e distância de 5,13 m., até o vértice **338**, de coordenadas **N 8.271.313,45** m. e **E 192.702,19** m.; deste, segue com azimute de 19°33'44" e distância de 5,15 m., até o vértice **339**, de coordenadas **N 8.271.318,30** m. e **E 192.703,91** m.; deste, segue com azimute de 22°04'36" e distância de 5,16 m., até o vértice **340**, de coordenadas **N 8.271.323,08** m. e **E 192.705,85** m.; deste, segue com azimute de 22°46'09" e distância de 5,17 m., até o vértice **341**, de coordenadas **N 8.271.327,85** m. e **E 192.707,85** m.; deste, segue com azimute de 21°47'47" e distância de 4,50 m., até o vértice **342**, de coordenadas **N 8.271.332,03** m. e **E 192.709,52** m.; deste, segue com azimute de 20°08'38" e distância de 5,19 m., até o vértice **343**, de coordenadas **N 8.271.336,90** m. e **E 192.711,31** m.; deste, segue com azimute de 19°44'02" e distância de 5,20 m., até o vértice **344**, de coordenadas **N 8.271.341,79** m. e **E 192.713,06** m.; deste, segue com azimute de 20°47'46" e distância de 5,18 m., até o vértice **345**, de coordenadas **N 8.271.346,63** m. e **E 192.714,90** m.; deste, segue com azimute de 23°21'23" e distância de 5,14 m., até o vértice **346**, de coordenadas **N 8.271.351,35** m. e **E 192.716,94** m.; deste, segue com azimute de 25°51'44" e distância de 1,71 m., até o vértice **347**, de coordenadas **N 8.271.352,89** m. e **E 192.717,69** m.; deste, segue com azimute de 28°25'14" e distância de 5,31 m., até o vértice **348**, de



SPL - PLC 0019/2019 folha 000285

coordenadas **N 8.271.357,56** m. e **E 192.720,21** m.; deste, segue com azimute de 31°18'54" e distância de 5,30 m., até o vértice **349**, de coordenadas **N 8.271.362,08** m. e **E 192.722,97** m.; deste, segue com azimute de 33°04'11" e distância de 5,32 m., até o vértice **350**, de coordenadas **N 8.271.366,54** m. e **E 192.725,87** m.; deste, segue com azimute de 33°41'09" e distância de 4,81 m., até o vértice **351**, de coordenadas **N 8.271.370,54** m. e **E 192.728,53** m.; deste, segue com azimute de 30°39'02" e distância de 5,00 m., até o vértice **352**, de coordenadas **N 8.271.374,84** m. e **E 192.731,08** m.; deste, segue com azimute de 30°09'05" e distância de 5,08 m., até o vértice **353**, de coordenadas **N 8.271.379,23** m. e **E 192.733,63** m.; deste, segue com azimute de 38°27'48" e distância de 5,31 m., até o vértice **354**, de coordenadas **N 8.271.383,39** m. e **E 192.736,94** m.; deste, segue com azimute de 50°56'58" e distância de 2,15 m., até o vértice **355**, de coordenadas **N 8.271.384,75** m. e **E 192.738,61** m.; deste, segue com azimute de 66°25'13" e distância de 2,37 m., até o vértice **356**, de coordenadas **N 8.271.385,70** m. e **E 192.740,78** m.; deste, segue com azimute de 66°25'11" e distância de 2,70 m., até o vértice **357**, de coordenadas **N 8.271.386,78** m. e **E 192.743,26** m.; deste, segue com azimute de 75°14'27" e distância de 5,02 m., até o vértice **358**, de coordenadas **N 8.271.388,06** m. e **E 192.748,12** m.; deste, segue com azimute de 71°23'21" e distância de 3,54 m., até o vértice **359**, de coordenadas **N 8.271.389,19** m. e **E 192.751,47** m.; deste, segue com azimute de 64°47'30" e distância de 5,41 m., até o vértice **360**, de coordenadas **N 8.271.391,49** m. e **E 192.756,37** m.; deste, segue com azimute de 61°23'07" e distância de 5,45 m., até o vértice **361**, de coordenadas **N 8.271.394,10** m. e **E 192.761,15** m.; deste, segue com azimute de 59°00'11" e distância de 5,46 m., até o vértice **362**, de coordenadas **N 8.271.396,91** m. e **E 192.765,83** m.; deste, segue com azimute de 57°48'18" e distância de 2,97 m., até o vértice **363**, de coordenadas **N 8.271.398,49** m. e **E 192.768,34** m.; deste, segue com azimute de 52°01'19" e distância de 1,21 m., até o vértice **364**, de coordenadas **N 8.271.399,24** m. e **E 192.769,30** m.; deste, segue com azimute de 52°01'12" e distância de 4,06 m., até o vértice **365**, de coordenadas **N 8.271.401,74** m. e **E 192.772,50** m.; deste, segue com azimute de 52°22'44" e distância de 5,22 m., até o vértice **366**, de coordenadas **N 8.271.404,92** m. e **E 192.776,63** m.; deste, segue com azimute de 65°09'54" e distância de 2,53 m., até o vértice **367**, de coordenadas **N 8.271.405,98** m. e **E 192.778,92** m.; deste, segue com azimute de 65°10'11" e distância de 0,41 m., até o vértice **368**, de coordenadas **N 8.271.406,16** m. e **E 192.779,30** m.; deste, segue com azimute de 83°20'57" e distância de 4,97 m., até o vértice **369**, de coordenadas **N 8.271.406,73** m. e **E 192.784,23** m.; deste, segue com azimute de 95°40'30" e distância de 5,24 m., até o vértice **370**, de



SFL - PLC 0019/2019 folha 000286

coordenadas **N 8.271.406,21** m. e **E 192.789,45** m.; deste, segue com azimute de 99°11'02" e distância de 3,13 m., até o vértice **371**, de coordenadas **N 8.271.405,72** m. e **E 192.792,54** m.; deste, segue com azimute de 106°54'53" e distância de 5,21 m., até o vértice **372**, de coordenadas **N 8.271.404,20** m. e **E 192.797,52** m.; deste, segue com azimute de 100°20'44" e distância de 3,94 m., até o vértice **373**, de coordenadas **N 8.271.403,49** m. e **E 192.801,40** m.; deste, segue com azimute de 80°17'37" e distância de 3,50 m., até o vértice **374**, de coordenadas **N 8.271.404,08** m. e **E 192.804,84** m.; deste, segue com azimute de 80°17'48" e distância de 1,61 m., até o vértice **375**, de coordenadas **N 8.271.404,35** m. e **E 192.806,43** m.; deste, segue com azimute de 68°34'15" e distância de 1,09 m., até o vértice **376**, de coordenadas **N 8.271.404,75** m. e **E 192.807,44** m.; deste, segue com azimute de 58°12'40" e distância de 5,13 m., até o vértice **377**, de coordenadas **N 8.271.407,45** m. e **E 192.811,80** m.; deste, segue com azimute de 33°49'57" e distância de 1,68 m., até o vértice **378**, de coordenadas **N 8.271.408,84** m. e **E 192.812,73** m.; deste, segue com azimute de 7°09'29" e distância de 4,27 m., até o vértice **379**, de coordenadas **N 8.271.413,08** m. e **E 192.813,27** m.; deste, segue com azimute de 53°23'15" e distância de 3,90 m., até o vértice **380**, de coordenadas **N 8.271.415,41** m. e **E 192.816,40** m.; deste, segue com azimute de 53°23'22" e distância de 1,10 m., até o vértice **381**, de coordenadas **N 8.271.416,07** m. e **E 192.817,28** m.; deste, segue com azimute de 54°55'52" e distância de 2,82 m., até o vértice **382**, de coordenadas **N 8.271.417,69** m. e **E 192.819,59** m.; deste, segue com azimute de 21°39'33" e distância de 5,04 m., até o vértice **383**, de coordenadas **N 8.271.422,37** m. e **E 192.821,45** m.; deste, segue com azimute de 22°48'38" e distância de 2,58 m., até o vértice **384**, de coordenadas **N 8.271.424,75** m. e **E 192.822,45** m.; deste, segue com azimute de 35°33'30" e distância de 3,20 m., até o vértice **385**, de coordenadas **N 8.271.427,35** m. e **E 192.824,31** m.; deste, segue com azimute de 35°33'51" e distância de 0,58 m., até o vértice **386**, de coordenadas **N 8.271.427,82** m. e **E 192.824,65** m.; deste, segue com azimute de 77°31'09" e distância de 4,09 m., até o vértice **387**, de coordenadas **N 8.271.428,71** m. e **E 192.828,64** m.; deste, segue com azimute de 88°38'39" e distância de 5,05 m., até o vértice **388**, de coordenadas **N 8.271.428,83** m. e **E 192.833,68** m.; deste, segue com azimute de 87°38'22" e distância de 2,70 m., até o vértice **389**, de coordenadas **N 8.271.428,94** m. e **E 192.836,38** m.; deste, segue com azimute de 87°38'27" e distância de 2,54 m., até o vértice **390**, de coordenadas **N 8.271.429,04** m. e **E 192.838,92** m.; deste, segue com azimute de 75°44'35" e distância de 0,54 m., até o vértice **391**, de coordenadas **N 8.271.429,17** m. e **E 192.839,44** m.; deste, segue com azimute de 67°18'12" e distância de 5,16 m., até o vértice **392**, de



SPL - PLC 0019/2019 folha 000287

coordenadas **N 8.271.431,16** m. e **E 192.844,20** m.; deste, segue com azimute de 55°43'57" e distância de 4,85 m., até o vértice **393**, de coordenadas **N 8.271.433,90** m. e **E 192.848,21** m.; deste, segue com azimute de 38°34'10" e distância de 1,10 m., até o vértice **394**, de coordenadas **N 8.271.434,76** m. e **E 192.848,89** m.; deste, segue com azimute de 38°34'19" e distância de 4,10 m., até o vértice **395**, de coordenadas **N 8.271.437,96** m. e **E 192.851,45** m.; deste, segue com azimute de 26°20'11" e distância de 5,02 m., até o vértice **396**, de coordenadas **N 8.271.442,46** m. e **E 192.853,68** m.; deste, segue com azimute de 26°19'17" e distância de 4,62 m., até o vértice **397**, de coordenadas **N 8.271.446,60** m. e **E 192.855,72** m.; deste, segue com azimute de 27°39'41" e distância de 5,22 m., até o vértice **398**, de coordenadas **N 8.271.451,22** m. e **E 192.858,15** m.; deste, segue com azimute de 30°36'24" e distância de 3,72 m., até o vértice **399**, de coordenadas **N 8.271.454,42** m. e **E 192.860,04** m.; deste, segue com azimute de 30°36'28" e distância de 1,20 m., até o vértice **400**, de coordenadas **N 8.271.455,45** m. e **E 192.860,65** m.; deste, segue com azimute de 39°22'20" e distância de 5,27 m., até o vértice **401**, de coordenadas **N 8.271.459,53** m. e **E 192.864,00** m.; deste, segue com azimute de 45°21'13" e distância de 0,64 m., até o vértice **402**, de coordenadas **N 8.271.459,98** m. e **E 192.864,45** m.; deste, segue com azimute de 45°21'06" e distância de 4,67 m., até o vértice **403**, de coordenadas **N 8.271.463,26** m. e **E 192.867,77** m.; deste, segue com azimute de 48°01'35" e distância de 1,55 m., até o vértice **404**, de coordenadas **N 8.271.464,30** m. e **E 192.868,92** m.; deste, segue com azimute de 53°57'06" e distância de 5,07 m., até o vértice **405**, de coordenadas **N 8.271.467,28** m. e **E 192.873,02** m.; deste, segue com azimute de 56°51'25" e distância de 5,09 m., até o vértice **406**, de coordenadas **N 8.271.470,06** m. e **E 192.877,29** m.; deste, segue com azimute de 50°56'31" e distância de 3,03 m., até o vértice **407**, de coordenadas **N 8.271.471,97** m. e **E 192.879,64** m.; deste, segue com azimute de 43°13'13" e distância de 5,11 m., até o vértice **408**, de coordenadas **N 8.271.475,69** m. e **E 192.883,13** m.; deste, segue com azimute de 38°31'06" e distância de 5,13 m., até o vértice **409**, de coordenadas **N 8.271.479,70** m. e **E 192.886,33** m.; deste, segue com azimute de 37°17'04" e distância de 0,27 m., até o vértice **410**, de coordenadas **N 8.271.479,92** m. e **E 192.886,49** m.; deste, segue com azimute de 31°05'09" e distância de 5,21 m., até o vértice **411**, de coordenadas **N 8.271.484,38** m. e **E 192.889,18** m.; deste, segue com azimute de 26°39'50" e distância de 5,26 m., até o vértice **412**, de coordenadas **N 8.271.489,08** m. e **E 192.891,54** m.; deste, segue com azimute de 33°48'26" e distância de 2,09 m., até o vértice **413**, de coordenadas **N 8.271.490,82** m. e **E 192.892,71** m.; deste, segue com azimute de 33°48'23" e distância de 3,06 m., até o vértice **414**, de



SPL - PLC 0019/2019 folha 000288

coordenadas **N 8.271.493,36** m. e **E 192.894,41** m.; deste, segue com azimute de 43°57'37" e distância de 1,29 m., até o vértice **415**, de coordenadas **N 8.271.494,29** m. e **E 192.895,30** m.; deste, segue com azimute de 51°35'29" e distância de 5,09 m., até o vértice **416**, de coordenadas **N 8.271.497,45** m. e **E 192.899,29** m.; deste, segue com azimute de 58°06'09" e distância de 4,42 m., até o vértice **417**, de coordenadas **N 8.271.499,79** m. e **E 192.903,05** m.; deste, segue com azimute de 64°32'11" e distância de 5,06 m., até o vértice **418**, de coordenadas **N 8.271.501,96** m. e **E 192.907,61** m.; deste, segue com azimute de 60°16'41" e distância de 1,27 m., até o vértice **419**, de coordenadas **N 8.271.502,59** m. e **E 192.908,72** m.; deste, segue com azimute de 47°37'13" e distância de 5,28 m., até o vértice **420**, de coordenadas **N 8.271.506,15** m. e **E 192.912,62** m.; deste, segue com azimute de 35°38'13" e distância de 5,36 m., até o vértice **421**, de coordenadas **N 8.271.510,51** m. e **E 192.915,74** m.; deste, segue com azimute de 34°54'23" e distância de 5,36 m., até o vértice **422**, de coordenadas **N 8.271.514,90** m. e **E 192.918,81** m.; deste, segue com azimute de 37°00'21" e distância de 5,38 m., até o vértice **423**, de coordenadas **N 8.271.519,20** m. e **E 192.922,04** m.; deste, segue com azimute de 35°44'02" e distância de 5,38 m., até o vértice **424**, de coordenadas **N 8.271.523,57** m. e **E 192.925,19** m.; deste, segue com azimute de 36°12'42" e distância de 5,38 m., até o vértice **425**, de coordenadas **N 8.271.527,91** m. e **E 192.928,37** m.; deste, segue com azimute de 38°16'35" e distância de 4,84 m., até o vértice **426**, de coordenadas **N 8.271.531,71** m. e **E 192.931,37** m.; deste, segue com azimute de 42°27'21" e distância de 5,17 m., até o vértice **427**, de coordenadas **N 8.271.535,52** m. e **E 192.934,86** m.; deste, segue com azimute de 44°20'48" e distância de 5,18 m., até o vértice **428**, de coordenadas **N 8.271.539,23** m. e **E 192.938,48** m.; deste, segue com azimute de 41°00'45" e distância de 5,15 m., até o vértice **429**, de coordenadas **N 8.271.543,12** m. e **E 192.941,86** m.; deste, segue com azimute de 36°25'54" e distância de 1,28 m., até o vértice **430**, de coordenadas **N 8.271.544,15** m. e **E 192.942,62** m.; deste, segue com azimute de 34°29'48" e distância de 5,15 m., até o vértice **431**, de coordenadas **N 8.271.548,40** m. e **E 192.945,54** m.; deste, segue com azimute de 29°39'26" e distância de 5,16 m., até o vértice **432**, de coordenadas **N 8.271.552,88** m. e **E 192.948,09** m.; deste, segue com azimute de 22°03'16" e distância de 3,06 m., até o vértice **433**, de coordenadas **N 8.271.555,71** m. e **E 192.949,24** m.; deste, segue com azimute de 9°02'54" e distância de 5,24 m., até o vértice **434**, de coordenadas **N 8.271.560,89** m. e **E 192.950,06** m.; deste, segue com azimute de 10°40'42" e distância de 2,95 m., até o vértice **435**, de coordenadas **N 8.271.563,78** m. e **E 192.950,61** m.; deste, segue com azimute de 10°40'49" e distância de 1,87 m., até o vértice **436**, de



SPL - PLC 0019/2019 folha 000289

coordenadas **N 8.271.565,62** m. e **E 192.950,96** m.; deste, segue com azimute de 32°44'27" e distância de 5,25 m., até o vértice **437**, de coordenadas **N 8.271.570,04** m. e **E 192.953,80** m.; deste, segue com azimute de 49°13'04" e distância de 5,42 m., até o vértice **438**, de coordenadas **N 8.271.573,58** m. e **E 192.957,90** m.; deste, segue com azimute de 57°27'48" e distância de 5,06 m., até o vértice **439**, de coordenadas **N 8.271.576,30** m. e **E 192.962,17** m.; deste, segue com azimute de 59°47'17" e distância de 3,48 m., até o vértice **440**, de coordenadas **N 8.271.578,06** m. e **E 192.965,18** m.; deste, segue com azimute de 62°51'04" e distância de 5,13 m., até o vértice **441**, de coordenadas **N 8.271.580,39** m. e **E 192.969,74** m.; deste, segue com azimute de 63°10'38" e distância de 0,59 m., até o vértice **442**, de coordenadas **N 8.271.580,66** m. e **E 192.970,26** m.; deste, segue com azimute de 13°23'32" e distância de 1,42 m., até o vértice **443**, de coordenadas **N 8.271.582,04** m. e **E 192.970,59** m.; deste, segue com azimute de 33°23'35" e distância de 3,51 m., até o vértice **444**, de coordenadas **N 8.271.584,97** m. e **E 192.972,53** m.; deste, segue com azimute de 31°58'11" e distância de 3,52 m., até o vértice **445**, de coordenadas **N 8.271.587,96** m. e **E 192.974,39** m.; deste, segue com azimute de 31°58'10" e distância de 3,52 m., até o vértice **446**, de coordenadas **N 8.271.590,94** m. e **E 192.976,25** m.; deste, segue com azimute de 33°23'40" e distância de 3,51 m., até o vértice **447**, de coordenadas **N 8.271.593,87** m. e **E 192.978,18** m.; deste, segue com azimute de 36°15'50" e distância de 3,49 m., até o vértice **448**, de coordenadas **N 8.271.596,69** m. e **E 192.980,25** m.; deste, segue com azimute de 40°36'05" e distância de 3,49 m., até o vértice **449**, de coordenadas **N 8.271.599,34** m. e **E 192.982,52** m.; deste, segue com azimute de 46°52'54" e distância de 4,00 m., até o vértice **450**, de coordenadas **N 8.271.602,07** m. e **E 192.985,44** m.; deste, segue com azimute de 50°02'28" e distância de 2,01 m., até o vértice **451**, de coordenadas **N 8.271.603,36** m. e **E 192.986,98** m.; deste, segue com azimute de 50°09'55" e distância de 2,02 m., até o vértice **452**, de coordenadas **N 8.271.604,66** m. e **E 192.988,53** m.; deste, segue com azimute de 48°49'18" e distância de 2,01 m., até o vértice **453**, de coordenadas **N 8.271.605,98** m. e **E 192.990,05** m.; deste, segue com azimute de 45°59'18" e distância de 2,00 m., até o vértice **454**, de coordenadas **N 8.271.607,37** m. e **E 192.991,49** m.; deste, segue com azimute de 40°43'06" e distância de 3,74 m., até o vértice **455**, de coordenadas **N 8.271.610,21** m. e **E 192.993,93** m.; deste, segue com azimute de 38°12'18" e distância de 3,75 m., até o vértice **456**, de coordenadas **N 8.271.613,16** m. e **E 192.996,25** m.; deste, segue com azimute de 41°54'37" e distância de 3,73 m., até o vértice **457**, de coordenadas **N 8.271.615,93** m. e **E 192.998,74** m.; deste, segue com azimute de 48°29'01" e distância de 3,33 m., até o vértice **458**, de



SFL - PLC 0019/2019 folha 000290

coordenadas **N 8.271.618,14** m. e **E 193.001,23** m.; deste, segue com azimute de 51°46'19" e distância de 3,34 m., até o vértice **459**, de coordenadas **N 8.271.620,21** m. e **E 193.003,86** m.; deste, segue com azimute de 52°11'17" e distância de 3,34 m., até o vértice **460**, de coordenadas **N 8.271.622,26** m. e **E 193.006,50** m.; deste, segue com azimute de 50°17'39" e distância de 3,72 m., até o vértice **461**, de coordenadas **N 8.271.624,64** m. e **E 193.009,36** m.; deste, segue com azimute de 50°45'30" e distância de 3,72 m., até o vértice **462**, de coordenadas **N 8.271.626,99** m. e **E 193.012,25** m.; deste, segue com azimute de 55°23'09" e distância de 3,70 m., até o vértice **463**, de coordenadas **N 8.271.629,09** m. e **E 193.015,29** m.; deste, segue com azimute de 63°08'23" e distância de 2,73 m., até o vértice **464**, de coordenadas **N 8.271.630,33** m. e **E 193.017,73** m.; deste, segue com azimute de 66°30'29" e distância de 2,76 m., até o vértice **465**, de coordenadas **N 8.271.631,43** m. e **E 193.020,26** m.; deste, segue com azimute de 62°59'07" e distância de 2,73 m., até o vértice **466**, de coordenadas **N 8.271.632,67** m. e **E 193.022,70** m.; deste, segue com azimute de 57°24'22" e distância de 3,04 m., até o vértice **467**, de coordenadas **N 8.271.634,31** m. e **E 193.025,26** m.; deste, segue com azimute de 53°28'56" e distância de 3,05 m., até o vértice **468**, de coordenadas **N 8.271.636,12** m. e **E 193.027,71** m.; deste, segue com azimute de 47°51'44" e distância de 3,00 m., até o vértice **469**, de coordenadas **N 8.271.638,14** m. e **E 193.029,94** m.; deste, segue com azimute de 40°08'13" e distância de 3,89 m., até o vértice **470**, de coordenadas **N 8.271.641,11** m. e **E 193.032,44** m.; deste, segue com azimute de 32°48'50" e distância de 3,94 m., até o vértice **471**, de coordenadas **N 8.271.644,42** m. e **E 193.034,58** m.; deste, segue com azimute de 26°48'11" e distância de 3,91 m., até o vértice **472**, de coordenadas **N 8.271.647,91** m. e **E 193.036,34** m.; deste, segue com azimute de 20°06'27" e distância de 2,92 m., até o vértice **473**, de coordenadas **N 8.271.650,64** m. e **E 193.037,34** m.; deste, segue com azimute de 15°35'38" e distância de 2,95 m., até o vértice **474**, de coordenadas **N 8.271.653,48** m. e **E 193.038,13** m.; deste, segue com azimute de 16°07'34" e distância de 2,95 m., até o vértice **475**, de coordenadas **N 8.271.656,32** m. e **E 193.038,95** m.; deste, segue com azimute de 18°25'08" e distância de 2,36 m., até o vértice **476**, de coordenadas **N 8.271.658,56** m. e **E 193.039,70** m.; deste, segue com azimute de 19°01'00" e distância de 2,36 m., até o vértice **477**, de coordenadas **N 8.271.660,79** m. e **E 193.040,47** m.; deste, segue com azimute de 19°26'28" e distância de 2,36 m., até o vértice **478**, de coordenadas **N 8.271.663,02** m. e **E 193.041,25** m.; deste, segue com azimute de 19°41'47" e distância de 2,37 m., até o vértice **479**, de coordenadas **N 8.271.665,25** m. e **E 193.042,05** m.; deste, segue com azimute de 19°46'42" e distância de 2,37 m., até o vértice **480**, de



SFL - PLC 0019/2019 folha 000291

coordenadas **N 8.271.667,47** m. e **E 193.042,85** m.; deste, segue com azimute de 19°41'24" e distância de 2,36 m., até o vértice **481**, de coordenadas **N 8.271.669,70** m. e **E 193.043,65** m.; deste, segue com azimute de 23°43'33" e distância de 3,81 m., até o vértice **482**, de coordenadas **N 8.271.673,19** m. e **E 193.045,18** m.; deste, segue com azimute de 23°51'17" e distância de 3,81 m., até o vértice **483**, de coordenadas **N 8.271.676,68** m. e **E 193.046,73** m.; deste, segue com azimute de 11°34'46" e distância de 3,74 m., até o vértice **484**, de coordenadas **N 8.271.680,34** m. e **E 193.047,48** m.; deste, segue com azimute de 353°36'50" e distância de 2,41 m., até o vértice **485**, de coordenadas **N 8.271.682,74** m. e **E 193.047,21** m.; deste, segue com azimute de 354°38'34" e distância de 2,43 m., até o vértice **486**, de coordenadas **N 8.271.685,16** m. e **E 193.046,98** m.; deste, segue com azimute de 11°42'17" e distância de 2,63 m., até o vértice **487**, de coordenadas **N 8.271.687,73** m. e **E 193.047,52** m.; deste, segue com azimute de 15°02'13" e distância de 2,66 m., até o vértice **488**, de coordenadas **N 8.271.690,31** m. e **E 193.048,21** m.; deste, segue com azimute de 6°04'34" e distância de 2,48 m., até o vértice **489**, de coordenadas **N 8.271.692,77** m. e **E 193.048,47** m.; deste, segue com azimute de 3°03'07" e distância de 2,49 m., até o vértice **490**, de coordenadas **N 8.271.695,26** m. e **E 193.048,60** m.; deste, segue com azimute de 7°34'50" e distância de 2,46 m., até o vértice **491**, de coordenadas **N 8.271.697,69** m. e **E 193.048,93** m.; deste, segue com azimute de 16°55'58" e distância de 3,05 m., até o vértice **492**, de coordenadas **N 8.271.700,61** m. e **E 193.049,81** m.; deste, segue com azimute de 22°37'42" e distância de 3,08 m., até o vértice **493**, de coordenadas **N 8.271.703,45** m. e **E 193.051,00** m.; deste, segue com azimute de 23°33'23" e distância de 3,08 m., até o vértice **494**, de coordenadas **N 8.271.706,27** m. e **E 193.052,23** m.; deste, segue com azimute de 23°39'36" e distância de 3,30 m., até o vértice **495**, de coordenadas **N 8.271.709,29** m. e **E 193.053,55** m.; deste, segue com azimute de 25°30'22" e distância de 3,30 m., até o vértice **496**, de coordenadas **N 8.271.712,27** m. e **E 193.054,97** m.; deste, segue com azimute de 26°30'39" e distância de 3,30 m., até o vértice **497**, de coordenadas **N 8.271.715,22** m. e **E 193.056,44** m.; deste, segue com azimute de 26°40'31" e distância de 3,30 m., até o vértice **498**, de coordenadas **N 8.271.718,17** m. e **E 193.057,92** m.; deste, segue com azimute de 25°59'53" e distância de 3,29 m., até o vértice **499**, de coordenadas **N 8.271.721,13** m. e **E 193.059,37** m.; deste, segue com azimute de 24°28'24" e distância de 3,29 m., até o vértice **500**, de coordenadas **N 8.271.724,12** m. e **E 193.060,73** m.; deste, segue com azimute de 22°10'21" e distância de 3,26 m., até o vértice **501**, de coordenadas **N 8.271.727,14** m. e **E 193.061,96** m.; deste, segue com azimute de 20°23'38" e distância de 3,26 m., até o vértice **502**, de



SPL - PLC 0019/2019 folha 000292

coordenadas **N 8.271.730,20** m. e **E 193.063,10** m.; deste, segue com azimute de 19°42'44" e distância de 3,26 m., até o vértice **503**, de coordenadas **N 8.271.733,27** m. e **E 193.064,20** m.; deste, segue com azimute de 20°07'56" e distância de 3,26 m., até o vértice **504**, de coordenadas **N 8.271.736,32** m. e **E 193.065,32** m.; deste, segue com azimute de 21°39'13" e distância de 3,25 m., até o vértice **505**, de coordenadas **N 8.271.739,35** m. e **E 193.066,52** m.; deste, segue com azimute de 24°16'57" e distância de 2,67 m., até o vértice **506**, de coordenadas **N 8.271.741,78** m. e **E 193.067,61** m.; deste, segue com azimute de 24°16'39" e distância de 0,58 m., até o vértice **507**, de coordenadas **N 8.271.742,31** m. e **E 193.067,85** m.; deste, segue com azimute de 27°59'11" e distância de 3,03 m., até o vértice **508**, de coordenadas **N 8.271.744,99** m. e **E 193.069,28** m.; deste, segue com azimute de 30°57'47" e distância de 3,04 m., até o vértice **509**, de coordenadas **N 8.271.747,60** m. e **E 193.070,84** m.; deste, segue com azimute de 32°21'21" e distância de 3,05 m., até o vértice **510**, de coordenadas **N 8.271.750,18** m. e **E 193.072,48** m.; deste, segue com azimute de 32°11'34" e distância de 3,05 m., até o vértice **511**, de coordenadas **N 8.271.752,76** m. e **E 193.074,11** m.; deste, segue com azimute de 30°27'48" e distância de 3,05 m., até o vértice **512**, de coordenadas **N 8.271.755,39** m. e **E 193.075,65** m.; deste, segue com azimute de 27°09'32" e distância de 3,04 m., até o vértice **513**, de coordenadas **N 8.271.758,09** m. e **E 193.077,04** m.; deste, segue com azimute de 22°51'26" e distância de 2,06 m., até o vértice **514**, de coordenadas **N 8.271.759,99** m. e **E 193.077,84** m.; deste, segue com azimute de 19°52'02" e distância de 2,06 m., até o vértice **515**, de coordenadas **N 8.271.761,93** m. e **E 193.078,54** m.; deste, segue com azimute de 18°42'23" e distância de 2,07 m., até o vértice **516**, de coordenadas **N 8.271.763,89** m. e **E 193.079,20** m.; deste, segue com azimute de 19°21'28" e distância de 2,07 m., até o vértice **517**, de coordenadas **N 8.271.765,84** m. e **E 193.079,89** m.; deste, segue com azimute de 21°49'51" e distância de 2,06 m., até o vértice **518**, de coordenadas **N 8.271.767,75** m. e **E 193.080,65** m.; deste, segue com azimute de 26°09'26" e distância de 2,05 m., até o vértice **519**, de coordenadas **N 8.271.769,60** m. e **E 193.081,56** m.; deste, segue com azimute de 29°24'16" e distância de 2,64 m., até o vértice **520**, de coordenadas **N 8.271.771,90** m. e **E 193.082,85** m.; deste, segue com azimute de 32°27'18" e distância de 2,65 m., até o vértice **521**, de coordenadas **N 8.271.774,14** m. e **E 193.084,28** m.; deste, segue com azimute de 39°06'12" e distância de 2,55 m., até o vértice **522**, de coordenadas **N 8.271.776,11** m. e **E 193.085,89** m.; deste, segue com azimute de 46°04'05" e distância de 2,50 m., até o vértice **523**, de coordenadas **N 8.271.777,85** m. e **E 193.087,69** m.; deste, segue com azimute de 51°06'31" e distância de 2,58 m., até o vértice **524**, de



SPL - PLC 0019/2019 folha 000293

coordenadas **N 8.271.779,47** m. e **E 193.089,70** m.; deste, segue com azimute de 57°53'43" e distância de 2,58 m., até o vértice **525**, de coordenadas **N 8.271.780,84** m. e **E 193.091,89** m.; deste, segue com azimute de 67°05'31" e distância de 2,53 m., até o vértice **526**, de coordenadas **N 8.271.781,83** m. e **E 193.094,22** m.; deste, segue com azimute de 79°21'39" e distância de 2,48 m., até o vértice **527**, de coordenadas **N 8.271.782,29** m. e **E 193.096,65** m.; deste, segue com azimute de 94°44'40" e distância de 2,51 m., até o vértice **528**, de coordenadas **N 8.271.782,08** m. e **E 193.099,16** m.; deste, segue com azimute de 107°03'36" e distância de 2,90 m., até o vértice **529**, de coordenadas **N 8.271.781,23** m. e **E 193.101,93** m.; deste, segue com azimute de 118°54'19" e distância de 2,91 m., até o vértice **530**, de coordenadas **N 8.271.779,82** m. e **E 193.104,48** m.; deste, segue com azimute de 140°06'36" e distância de 2,37 m., até o vértice **531**, de coordenadas **N 8.271.778,00** m. e **E 193.106,00** m.; deste, segue com azimute de 153°57'14" e distância de 2,50 m., até o vértice **532**, de coordenadas **N 8.271.775,75** m. e **E 193.107,10** m.; deste, segue com azimute de 157°18'22" e distância de 2,51 m., até o vértice **533**, de coordenadas **N 8.271.773,44** m. e **E 193.108,07** m.; deste, segue com azimute de 162°11'48" e distância de 2,44 m., até o vértice **534**, de coordenadas **N 8.271.771,11** m. e **E 193.108,81** m.; deste, segue com azimute de 156°06'33" e distância de 2,36 m., até o vértice **535**, de coordenadas **N 8.271.768,96** m. e **E 193.109,77** m.; deste, segue com azimute de 133°33'26" e distância de 2,27 m., até o vértice **536**, de coordenadas **N 8.271.767,39** m. e **E 193.111,42** m.; deste, segue com azimute de 121°35'34" e distância de 2,29 m., até o vértice **537**, de coordenadas **N 8.271.766,19** m. e **E 193.113,37** m.; deste, segue com azimute de 109°18'50" e distância de 2,62 m., até o vértice **538**, de coordenadas **N 8.271.765,32** m. e **E 193.115,84** m.; deste, segue com azimute de 97°15'58" e distância de 2,68 m., até o vértice **539**, de coordenadas **N 8.271.764,98** m. e **E 193.118,50** m.; deste, segue com azimute de 90°41'41" e distância de 2,61 m., até o vértice **540**, de coordenadas **N 8.271.764,95** m. e **E 193.121,11** m.; deste, segue com azimute de 84°07'37" e distância de 2,27 m., até o vértice **541**, de coordenadas **N 8.271.765,19** m. e **E 193.123,36** m.; deste, segue com azimute de 76°00'24" e distância de 2,31 m., até o vértice **542**, de coordenadas **N 8.271.765,74** m. e **E 193.125,60** m.; deste, segue com azimute de 69°47'52" e distância de 2,34 m., até o vértice **543**, de coordenadas **N 8.271.766,55** m. e **E 193.127,79** m.; deste, segue com azimute de 65°12'18" e distância de 2,34 m., até o vértice **544**, de coordenadas **N 8.271.767,53** m. e **E 193.129,92** m.; deste, segue com azimute de 61°58'56" e distância de 2,30 m., até o vértice **545**, de coordenadas **N 8.271.768,61** m. e **E 193.131,95** m.; deste, segue com azimute de 59°58'56" e distância de 2,21 m., até o vértice **546**, de



SPL - PLC 0019/2019 folha 000294

coordenadas **N 8.271.769,72** m. e **E 193.133,86** m.; deste, segue com azimute de 52°26'37" e distância de 4,57 m., até o vértice **547**, de coordenadas **N 8.271.772,50** m. e **E 193.137,49** m.; deste, segue com azimute de 40°40'22" e distância de 4,58 m., até o vértice **548**, de coordenadas **N 8.271.775,97** m. e **E 193.140,47** m.; deste, segue com azimute de 32°44'45" e distância de 4,68 m., até o vértice **549**, de coordenadas **N 8.271.779,91** m. e **E 193.143,00** m.; deste, segue com azimute de 28°31'07" e distância de 4,77 m., até o vértice **550**, de coordenadas **N 8.271.784,11** m. e **E 193.145,28** m.; deste, segue com azimute de 27°39'07" e distância de 4,78 m., até o vértice **551**, de coordenadas **N 8.271.788,34** m. e **E 193.147,50** m.; deste, segue com azimute de 30°05'20" e distância de 4,69 m., até o vértice **552**, de coordenadas **N 8.271.792,40** m. e **E 193.149,85** m.; deste, segue com azimute de 34°14'45" e distância de 3,94 m., até o vértice **553**, de coordenadas **N 8.271.795,66** m. e **E 193.152,07** m.; deste, segue com azimute de 33°30'09" e distância de 3,94 m., até o vértice **554**, de coordenadas **N 8.271.798,94** m. e **E 193.154,24** m.; deste, segue com azimute de 26°07'37" e distância de 3,80 m., até o vértice **555**, de coordenadas **N 8.271.802,36** m. e **E 193.155,92** m.; deste, segue com azimute de 15°24'12" e distância de 2,74 m., até o vértice **556**, de coordenadas **N 8.271.805,00** m. e **E 193.156,64** m.; deste, segue com azimute de 7°45'07" e distância de 2,77 m., até o vértice **557**, de coordenadas **N 8.271.807,74** m. e **E 193.157,02** m.; deste, segue com azimute de 2°08'42" e distância de 2,82 m., até o vértice **558**, de coordenadas **N 8.271.810,56** m. e **E 193.157,12** m.; deste, segue com azimute de 358°25'31" e distância de 2,85 m., até o vértice **559**, de coordenadas **N 8.271.813,41** m. e **E 193.157,04** m.; deste, segue com azimute de 356°25'46" e distância de 2,85 m., até o vértice **560**, de coordenadas **N 8.271.816,25** m. e **E 193.156,87** m.; deste, segue com azimute de 356°05'00" e distância de 2,80 m., até o vértice **561**, de coordenadas **N 8.271.819,05** m. e **E 193.156,68** m.; deste, segue com azimute de 354°45'13" e distância de 2,90 m., até o vértice **562**, de coordenadas **N 8.271.821,93** m. e **E 193.156,41** m.; deste, segue com azimute de 351°50'34" e distância de 2,91 m., até o vértice **563**, de coordenadas **N 8.271.824,81** m. e **E 193.156,00** m.; deste, segue com azimute de 349°42'47" e distância de 2,92 m., até o vértice **564**, de coordenadas **N 8.271.827,69** m. e **E 193.155,48** m.; deste, segue com azimute de 348°21'08" e distância de 2,93 m., até o vértice **565**, de coordenadas **N 8.271.830,55** m. e **E 193.154,89** m.; deste, segue com azimute de 347°44'34" e distância de 2,93 m., até o vértice **566**, de coordenadas **N 8.271.833,41** m. e **E 193.154,26** m.; deste, segue com azimute de 347°53'09" e distância de 2,92 m., até o vértice **567**, de coordenadas **N 8.271.836,27** m. e **E 193.153,65** m.; deste, segue com azimute de 344°04'37" e distância de 3,15 m., até o vértice **568**, de



SFL - PLC 0019/2019 folha 000295

coordenadas **N 8.271.839,30** m. e **E 193.152,79** m.; deste, segue com azimute de 343°27'41" e distância de 3,16 m., até o vértice **569**, de coordenadas **N 8.271.842,33** m. e **E 193.151,89** m.; deste, segue com azimute de 354°48'35" e distância de 2,91 m., até o vértice **570**, de coordenadas **N 8.271.845,23** m. e **E 193.151,62** m.; deste, segue com azimute de 19°58'26" e distância de 3,54 m., até o vértice **571**, de coordenadas **N 8.271.848,56** m. e **E 193.152,83** m.; deste, segue com azimute de 35°17'15" e distância de 3,82 m., até o vértice **572**, de coordenadas **N 8.271.851,68** m. e **E 193.155,04** m.; deste, segue com azimute de 33°55'10" e distância de 3,82 m., até o vértice **573**, de coordenadas **N 8.271.854,85** m. e **E 193.157,17** m.; deste, segue com azimute de 27°45'37" e distância de 3,44 m., até o vértice **574**, de coordenadas **N 8.271.857,89** m. e **E 193.158,78** m.; deste, segue com azimute de 26°28'41" e distância de 3,45 m., até o vértice **575**, de coordenadas **N 8.271.860,98** m. e **E 193.160,31** m.; deste, segue com azimute de 23°37'39" e distância de 3,43 m., até o vértice **576**, de coordenadas **N 8.271.864,13** m. e **E 193.161,69** m.; deste, segue com azimute de 20°32'37" e distância de 2,55 m., até o vértice **577**, de coordenadas **N 8.271.866,52** m. e **E 193.162,59** m.; deste, segue com azimute de 18°21'44" e distância de 2,56 m., até o vértice **578**, de coordenadas **N 8.271.868,95** m. e **E 193.163,39** m.; deste, segue com azimute de 16°13'44" e distância de 2,57 m., até o vértice **579**, de coordenadas **N 8.271.871,42** m. e **E 193.164,11** m.; deste, segue com azimute de 14°07'54" e distância de 2,57 m., até o vértice **580**, de coordenadas **N 8.271.873,91** m. e **E 193.164,74** m.; ponto situado às margens do Córrego Bananal deste, segue margeando o Córrego Bananal, até o vértice **581**, de coordenadas **N 8.273.040,65** m. e **E 193.013,41** m.; deste, segue com azimute de 73°10'35" e distância de 2,59 m., até o vértice **582**, de coordenadas **N 8.273.041,40** m. e **E 193.015,89** m.; deste, segue com azimute de 73°10'28" e distância de 2,59 m., até o vértice **583**, de coordenadas **N 8.273.042,15** m. e **E 193.018,37** m.; deste, segue com azimute de 70°25'56" e distância de 2,61 m., até o vértice **584**, de coordenadas **N 8.273.043,02** m. e **E 193.020,82** m.; deste, segue com azimute de 64°04'08" e distância de 2,43 m., até o vértice **585**, de coordenadas **N 8.273.044,08** m. e **E 193.023,00** m.; deste, segue com azimute de 61°44'48" e distância de 2,45 m., até o vértice **586**, de coordenadas **N 8.273.045,24** m. e **E 193.025,16** m.; deste, segue com azimute de 68°01'23" e distância de 2,35 m., até o vértice **587**, de coordenadas **N 8.273.046,12** m. e **E 193.027,34** m.; deste, segue com azimute de 82°41'51" e distância de 2,38 m., até o vértice **588**, de coordenadas **N 8.273.046,42** m. e **E 193.029,70** m.; deste, segue com azimute de 95°42'27" e distância de 2,41 m., até o vértice **589**, de coordenadas **N 8.273.046,18** m. e **E 193.032,09** m.; deste, segue com azimute de 103°02'59" e distância



SFL - PLC 0019/2019 folha 000296

de 2,48 m., até o vértice **590**, de coordenadas **N 8.273.045,62** m. e **E 193.034,50** m.; deste, segue com azimute de 105°14'39" e distância de 2,50 m., até o vértice **591**, de coordenadas **N 8.273.044,97** m. e **E 193.036,91** m.; deste, segue com azimute de 102°34'37" e distância de 2,44 m., até o vértice **592**, de coordenadas **N 8.273.044,44** m. e **E 193.039,30** m.; deste, segue com azimute de 94°32'25" e distância de 2,35 m., até o vértice **593**, de coordenadas **N 8.273.044,25** m. e **E 193.041,64** m.; deste, segue com azimute de 83°18'51" e distância de 3,45 m., até o vértice **594**, de coordenadas **N 8.273.044,65** m. e **E 193.045,07** m.; deste, segue com azimute de 75°05'32" e distância de 3,45 m., até o vértice **595**, de coordenadas **N 8.273.045,54** m. e **E 193.048,40** m.; deste, segue com azimute de 70°23'00" e distância de 3,48 m., até o vértice **596**, de coordenadas **N 8.273.046,71** m. e **E 193.051,68** m.; deste, segue com azimute de 69°07'30" e distância de 3,50 m., até o vértice **597**, de coordenadas **N 8.273.047,96** m. e **E 193.054,95** m.; deste, segue com azimute de 71°14'21" e distância de 3,50 m., até o vértice **598**, de coordenadas **N 8.273.049,08** m. e **E 193.058,27** m.; deste, segue com azimute de 76°45'39" e distância de 3,49 m., até o vértice **599**, de coordenadas **N 8.273.049,88** m. e **E 193.061,66** m.; deste, segue com azimute de 83°37'57" e distância de 3,42 m., até o vértice **600**, de coordenadas **N 8.273.050,26** m. e **E 193.065,06** m.; deste, segue com azimute de 87°55'16" e distância de 3,47 m., até o vértice **601**, de coordenadas **N 8.273.050,39** m. e **E 193.068,53** m.; deste, segue com azimute de 89°50'53" e distância de 3,51 m., até o vértice **602**, de coordenadas **N 8.273.050,39** m. e **E 193.072,04** m.; deste, segue com azimute de 89°31'17" e distância de 3,51 m., até o vértice **603**, de coordenadas **N 8.273.050,42** m. e **E 193.075,55** m.; deste, segue com azimute de 86°56'10" e distância de 3,48 m., até o vértice **604**, de coordenadas **N 8.273.050,61** m. e **E 193.079,02** m.; deste, segue com azimute de 81°59'21" e distância de 3,44 m., até o vértice **605**, de coordenadas **N 8.273.051,09** m. e **E 193.082,43** m.; deste, segue com azimute de 74°44'16" e distância de 3,29 m., até o vértice **606**, de coordenadas **N 8.273.051,96** m. e **E 193.085,61** m.; deste, segue com azimute de 69°04'25" e distância de 3,34 m., até o vértice **607**, de coordenadas **N 8.273.053,15** m. e **E 193.088,73** m.; deste, segue com azimute de 66°36'50" e distância de 3,37 m., até o vértice **608**, de coordenadas **N 8.273.054,49** m. e **E 193.091,82** m.; deste, segue com azimute de 67°12'48" e distância de 3,35 m., até o vértice **609**, de coordenadas **N 8.273.055,78** m. e **E 193.094,91** m.; deste, segue com azimute de 70°57'21" e distância de 3,28 m., até o vértice **610**, de coordenadas **N 8.273.056,86** m. e **E 193.098,01** m.; deste, segue com azimute de 78°06'11" e distância de 3,22 m., até o vértice **611**, de coordenadas **N 8.273.057,52** m. e **E 193.101,16** m.; deste, segue com azimute de 87°42'43" e distância



SPL - PLC 0019/2019 folha 000297

de 3,71 m., até o vértice **612**, de coordenadas **N 8.273.057,67** m. e **E 193.104,87** m.; deste, segue com azimute de 95°18'40" e distância de 3,76 m., até o vértice **613**, de coordenadas **N 8.273.057,32** m. e **E 193.108,61** m.; deste, segue com azimute de 99°47'34" e distância de 3,83 m., até o vértice **614**, de coordenadas **N 8.273.056,67** m. e **E 193.112,38** m.; deste, segue com azimute de 101°20'46" e distância de 3,86 m., até o vértice **615**, de coordenadas **N 8.273.055,91** m. e **E 193.116,17** m.; deste, segue com azimute de 100°05'34" e distância de 3,85 m., até o vértice **616**, de coordenadas **N 8.273.055,23** m. e **E 193.119,95** m.; deste, segue com azimute de 95°57'44" e distância de 3,80 m., até o vértice **617**, de coordenadas **N 8.273.054,84** m. e **E 193.123,73** m.; deste, segue com azimute de 90°27'08" e distância de 3,83 m., até o vértice **618**, de coordenadas **N 8.273.054,81** m. e **E 193.127,56** m.; deste, segue com azimute de 89°09'00" e distância de 3,83 m., até o vértice **619**, de coordenadas **N 8.273.054,87** m. e **E 193.131,39** m.; deste, segue com azimute de 93°12'26" e distância de 3,76 m., até o vértice **620**, de coordenadas **N 8.273.054,66** m. e **E 193.135,14** m.; deste, segue com azimute de 102°15'48" e distância de 4,61 m., até o vértice **621**, de coordenadas **N 8.273.053,68** m. e **E 193.139,64** m.; deste, segue com azimute de 110°38'13" e distância de 4,62 m., até o vértice **622**, de coordenadas **N 8.273.052,05** m. e **E 193.143,96** m.; deste, segue com azimute de 115°56'00" e distância de 4,68 m., até o vértice **623**, de coordenadas **N 8.273.050,00** m. e **E 193.148,17** m.; deste, segue com azimute de 118°13'48" e distância de 4,72 m., até o vértice **624**, de coordenadas **N 8.273.047,77** m. e **E 193.152,33** m.; deste, segue com azimute de 117°38'57" e distância de 4,72 m., até o vértice **625**, de coordenadas **N 8.273.045,58** m. e **E 193.156,51** m.; deste, segue com azimute de 114°10'22" e distância de 4,67 m., até o vértice **626**, de coordenadas **N 8.273.043,67** m. e **E 193.160,77** m.; deste, segue com azimute de 110°55'37" e distância de 4,47 m., até o vértice **627**, de coordenadas **N 8.273.042,07** m. e **E 193.164,95** m.; deste, segue com azimute de 110°05'34" e distância de 4,47 m., até o vértice **628**, de coordenadas **N 8.273.040,54** m. e **E 193.169,15** m.; deste, segue com azimute de 109°31'51" e distância de 4,48 m., até o vértice **629**, de coordenadas **N 8.273.039,04** m. e **E 193.173,37** m.; deste, segue com azimute de 109°14'04" e distância de 4,48 m., até o vértice **630**, de coordenadas **N 8.273.037,56** m. e **E 193.177,60** m.; deste, segue com azimute de 109°12'38" e distância de 4,48 m., até o vértice **631**, de coordenadas **N 8.273.036,09** m. e **E 193.181,83** m.; deste, segue com azimute de 109°27'07" e distância de 4,48 m., até o vértice **632**, de coordenadas **N 8.273.034,60** m. e **E 193.186,05** m.; deste, segue com azimute de 109°16'24" e distância de 3,25 m., até o vértice **633**, de coordenadas **N 8.273.033,52** m. e **E 193.189,12** m.; deste, segue com azimute de 108°47'43" e distância



SFL - PLC 0019/2019 folha 000298

de 3,25 m., até o vértice **634**, de coordenadas **N 8.273.032,48** m. e **E 193.192,20** m.; deste, segue com azimute de 108°46'40" e distância de 3,26 m., até o vértice **635**, de coordenadas **N 8.273.031,43** m. e **E 193.195,28** m.; deste, segue com azimute de 109°12'59" e distância de 3,25 m., até o vértice **636**, de coordenadas **N 8.273.030,36** m. e **E 193.198,36** m.; deste, segue com azimute de 110°06'52" e distância de 3,25 m., até o vértice **637**, de coordenadas **N 8.273.029,24** m. e **E 193.201,41** m.; deste, segue com azimute de 111°28'19" e distância de 3,24 m., até o vértice **638**, de coordenadas **N 8.273.028,05** m. e **E 193.204,42** m.; deste, segue com azimute de 112°39'46" e distância de 3,38 m., até o vértice **639**, de coordenadas **N 8.273.026,75** m. e **E 193.207,55** m.; deste, segue com azimute de 113°27'33" e distância de 3,39 m., até o vértice **640**, de coordenadas **N 8.273.025,40** m. e **E 193.210,66** m.; deste, segue com azimute de 114°24'08" e distância de 3,39 m., até o vértice **641**, de coordenadas **N 8.273.024,00** m. e **E 193.213,74** m.; deste, segue com azimute de 115°29'17" e distância de 3,38 m., até o vértice **642**, de coordenadas **N 8.273.022,55** m. e **E 193.216,79** m.; deste, segue com azimute de 116°43'17" e distância de 3,38 m., até o vértice **643**, de coordenadas **N 8.273.021,03** m. e **E 193.219,81** m.; deste, segue com azimute de 118°06'32" e distância de 3,37 m., até o vértice **644**, de coordenadas **N 8.273.019,44** m. e **E 193.222,78** m.; deste, segue com azimute de 119°04'29" e distância de 3,67 m., até o vértice **645**, de coordenadas **N 8.273.017,66** m. e **E 193.225,99** m.; deste, segue com azimute de 119°52'37" e distância de 3,68 m., até o vértice **646**, de coordenadas **N 8.273.015,83** m. e **E 193.229,17** m.; deste, segue com azimute de 121°13'34" e distância de 3,68 m., até o vértice **647**, de coordenadas **N 8.273.013,92** m. e **E 193.232,32** m.; deste, segue com azimute de 123°07'56" e distância de 3,67 m., até o vértice **648**, de coordenadas **N 8.273.011,91** m. e **E 193.235,39** m.; deste, segue com azimute de 125°36'37" e distância de 3,66 m., até o vértice **649**, de coordenadas **N 8.273.009,79** m. e **E 193.238,36** m.; deste, segue com azimute de 128°40'11" e distância de 3,65 m., até o vértice **650**, de coordenadas **N 8.273.007,51** m. e **E 193.241,21** m.; deste, segue com azimute de 132°59'32" e distância de 3,18 m., até o vértice **651**, de coordenadas **N 8.273.005,34** m. e **E 193.243,54** m.; deste, segue com azimute de 136°55'49" e distância de 3,21 m., até o vértice **652**, de coordenadas **N 8.273.003,00** m. e **E 193.245,73** m.; deste, segue com azimute de 139°02'21" e distância de 3,23 m., até o vértice **653**, de coordenadas **N 8.273.000,56** m. e **E 193.247,84** m.; deste, segue com azimute de 139°22'44" e distância de 3,23 m., até o vértice **654**, de coordenadas **N 8.272.998,11** m. e **E 193.249,94** m.; deste, segue com azimute de 137°57'22" e distância de 3,21 m., até o vértice **655**, de coordenadas **N 8.272.995,73** m. e **E 193.252,09** m.; deste, segue com azimute de 134°43'25" e distância



SFL - PLC 0019/2019 folha 000299

de 3,18 m., até o vértice **656**, de coordenadas **N 8.272.993,49** m. e **E 193.254,35 m.;** deste, segue com azimute de 129°20'55" e distância de 4,19 m., até o vértice **657**, de coordenadas **N 8.272.990,83** m. e **E 193.257,59 m.;** deste, segue com azimute de 124°47'41" e distância de 4,19 m., até o vértice **658**, de coordenadas **N 8.272.988,44** m. e **E 193.261,03 m.;** deste, segue com azimute de 122°49'48" e distância de 4,20 m., até o vértice **659**, de coordenadas **N 8.272.986,17** m. e **E 193.264,56 m.;** deste, segue com azimute de 123°26'09" e distância de 4,19 m., até o vértice **660**, de coordenadas **N 8.272.983,86** m. e **E 193.268,05 m.;** deste, segue com azimute de 126°38'19" e distância de 4,17 m., até o vértice **661**, de coordenadas **N 8.272.981,37** m. e **E 193.271,40 m.;** deste, segue com azimute de 132°27'47" e distância de 4,17 m., até o vértice **662**, de coordenadas **N 8.272.978,56** m. e **E 193.274,47 m.;** deste, segue com azimute de 136°21'28" e distância de 2,76 m., até o vértice **663**, de coordenadas **N 8.272.976,56** m. e **E 193.276,38 m.;** deste, segue com azimute de 137°19'57" e distância de 2,80 m., até o vértice **664**, de coordenadas **N 8.272.974,50** m. e **E 193.278,27 m.;** deste, segue com azimute de 139°20'47" e distância de 2,81 m., até o vértice **665**, de coordenadas **N 8.272.972,37** m. e **E 193.280,10 m.;** deste, segue com azimute de 142°25'59" e distância de 2,81 m., até o vértice **666**, de coordenadas **N 8.272.970,14** m. e **E 193.281,82 m.;** deste, segue com azimute de 146°38'59" e distância de 2,79 m., até o vértice **667**, de coordenadas **N 8.272.967,81** m. e **E 193.283,35 m.;** deste, segue com azimute de 152°04'07" e distância de 2,78 m., até o vértice **668**, de coordenadas **N 8.272.965,36** m. e **E 193.284,65 m.;** deste, segue com azimute de 162°04'49" e distância de 3,02 m., até o vértice **669**, de coordenadas **N 8.272.962,48** m. e **E 193.285,58 m.;** deste, segue com azimute de 166°16'24" e distância de 0,99 m., até o vértice **670**, de coordenadas **N 8.272.961,52** m. e **E 193.285,82 m.;** deste, segue com azimute de 166°16'20" e distância de 2,09 m., até o vértice **671**, de coordenadas **N 8.272.959,49** m. e **E 193.286,31 m.;** deste, segue com azimute de 156°43'43" e distância de 2,90 m., até o vértice **672**, de coordenadas **N 8.272.956,83** m. e **E 193.287,46 m.;** deste, segue com azimute de 135°46'28" e distância de 3,54 m., até o vértice **673**, de coordenadas **N 8.272.954,29** m. e **E 193.289,93 m.;** deste, segue com azimute de 122°57'50" e distância de 3,72 m., até o vértice **674**, de coordenadas **N 8.272.952,27** m. e **E 193.293,05 m.;** deste, segue com azimute de 121°20'15" e distância de 3,70 m., até o vértice **675**, de coordenadas **N 8.272.950,34** m. e **E 193.296,21 m.;** deste, segue com azimute de 124°06'30" e distância de 3,45 m., até o vértice **676**, de coordenadas **N 8.272.948,41** m. e **E 193.299,06 m.;** deste, segue com azimute de 123°32'28" e distância de 3,48 m., até o vértice **677**, de coordenadas **N 8.272.946,49** m. e **E 193.301,96 m.;** deste, segue com azimute de 121°58'45" e distância



SPL - PLC 0019/2019 folha 000300

de 3,46 m., até o vértice **678**, de coordenadas **N 8.272.944,65** m. e **E 193.304,90** m.; deste, segue com azimute de 119°21'47" e distância de 3,42 m., até o vértice **679**, de coordenadas **N 8.272.942,98** m. e **E 193.307,88** m.; deste, segue com azimute de 115°33'51" e distância de 3,34 m., até o vértice **680**, de coordenadas **N 8.272.941,53** m. e **E 193.310,89** m.; deste, segue com azimute de 110°25'03" e distância de 3,25 m., até o vértice **681**, de coordenadas **N 8.272.940,40** m. e **E 193.313,94** m.; deste, segue com azimute de 101°39'45" e distância de 3,31 m., até o vértice **682**, de coordenadas **N 8.272.939,73** m. e **E 193.317,18** m.; deste, segue com azimute de 97°20'59" e distância de 3,30 m., até o vértice **683**, de coordenadas **N 8.272.939,31** m. e **E 193.320,45** m.; deste, segue com azimute de 103°36'01" e distância de 3,19 m., até o vértice **684**, de coordenadas **N 8.272.938,56** m. e **E 193.323,55** m.; deste, segue com azimute de 115°40'25" e distância de 2,63 m., até o vértice **685**, de coordenadas **N 8.272.937,42** m. e **E 193.325,92** m.; deste, segue com azimute de 121°04'47" e distância de 5,29 m., até o vértice **686**, de coordenadas **N 8.272.934,69** m. e **E 193.330,45** m.; deste, segue com azimute de 116°14'06" e distância de 6,31 m., até o vértice **687**, de coordenadas **N 8.272.931,90** m. e **E 193.336,11** m.; deste, segue com azimute de 117°26'50" e distância de 3,23 m., até o vértice **688**, de coordenadas **N 8.272.930,41** m. e **E 193.338,98** m.; deste, segue com azimute de 118°18'03" e distância de 2,33 m., até o vértice **689**, de coordenadas **N 8.272.929,30** m. e **E 193.341,03** m.; deste, segue com azimute de 117°49'07" e distância de 2,40 m., até o vértice **690**, de coordenadas **N 8.272.928,18** m. e **E 193.343,16** m.; deste, segue com azimute de 118°52'38" e distância de 2,43 m., até o vértice **691**, de coordenadas **N 8.272.927,01** m. e **E 193.345,29** m.; deste, segue com azimute de 121°29'15" e distância de 2,41 m., até o vértice **692**, de coordenadas **N 8.272.925,75** m. e **E 193.347,34** m.; deste, segue com azimute de 125°48'10" e distância de 2,36 m., até o vértice **693**, de coordenadas **N 8.272.924,37** m. e **E 193.349,26** m.; deste, segue com azimute de 132°06'51" e distância de 2,29 m., até o vértice **694**, de coordenadas **N 8.272.922,83** m. e **E 193.350,96** m.; deste, segue com azimute de 141°54'54" e distância de 3,37 m., até o vértice **695**, de coordenadas **N 8.272.920,18** m. e **E 193.353,04** m.; deste, segue com azimute de 148°53'49" e distância de 3,41 m., até o vértice **696**, de coordenadas **N 8.272.917,26** m. e **E 193.354,80** m.; deste, segue com azimute de 148°53'55" e distância de 3,41 m., até o vértice **697**, de coordenadas **N 8.272.914,34** m. e **E 193.356,56** m.; deste, segue com azimute de 142°13'58" e distância de 10,06 m., até o vértice **698**, de coordenadas **N 8.272.906,39** m. e **E 193.362,72** m.; deste, segue com azimute de 86°48'40" e distância de 8,80 m., até o vértice **699**, de coordenadas **N 8.272.906,88** m. e **E 193.371,50** m.; deste, segue com azimute de 99°39'35" e distância



SPL - PLC 0019/2019 folha 000301

de 7,57 m., até o vértice **700**, de coordenadas **N 8.272.905,61** m. e **E 193.378,97** m.; deste, segue com azimute de 128°17'24" e distância de 3,84 m., até o vértice **701**, de coordenadas **N 8.272.903,23** m. e **E 193.381,98** m.; deste, segue com azimute de 121°25'49" e distância de 3,35 m., até o vértice **702**, de coordenadas **N 8.272.901,48** m. e **E 193.384,84** m.; deste, segue com azimute de 78°41'23" e distância de 5,67 m., até o vértice **703**, de coordenadas **N 8.272.902,59** m. e **E 193.390,40** m.; deste, segue com azimute de 81°23'06" e distância de 5,30 m., até o vértice **704**, de coordenadas **N 8.272.903,39** m. e **E 193.395,63** m.; deste, segue com azimute de 90°00'00" e distância de 2,54 m., até o vértice **705**, de coordenadas **N 8.272.903,39** m. e **E 193.398,17** m.; deste, segue com azimute de 59°37'13" e distância de 5,34 m., até o vértice **706**, de coordenadas **N 8.272.906,08** m. e **E 193.402,78** m.; deste, segue com azimute de 49°11'07" e distância de 4,61 m., até o vértice **707**, de coordenadas **N 8.272.909,10** m. e **E 193.406,27** m.; deste, segue com azimute de 47°17'29" e distância de 2,81 m., até o vértice **708**, de coordenadas **N 8.272.911,01** m. e **E 193.408,33** m.; deste, segue com azimute de 350°32'16" e distância de 3,86 m., até o vértice **709**, de coordenadas **N 8.272.914,82** m. e **E 193.407,70** m.; deste, segue com azimute de 349°06'51" e distância de 4,20 m., até o vértice **710**, de coordenadas **N 8.272.918,94** m. e **E 193.406,91** m.; deste, segue com azimute de 4°58'11" e distância de 3,66 m., até o vértice **711**, de coordenadas **N 8.272.922,59** m. e **E 193.407,22** m.; deste, segue com azimute de 324°27'48" e distância de 4,10 m., até o vértice **712**, de coordenadas **N 8.272.925,93** m. e **E 193.404,84** m.; deste, segue com azimute de 329°02'05" e distância de 2,78 m., até o vértice **713**, de coordenadas **N 8.272.928,31** m. e **E 193.403,41** m.; deste, segue com azimute de 351°32'43" e distância de 11,88 m., até o vértice **714**, de coordenadas **N 8.272.940,06** m. e **E 193.401,67** m.; deste, segue com azimute de 350°32'16" e distância de 5,79 m., até o vértice **715**, de coordenadas **N 8.272.945,77** m. e **E 193.400,71** m.; deste, segue com azimute de 5°31'37" e distância de 4,94 m., até o vértice **716**, de coordenadas **N 8.272.950,69** m. e **E 193.401,19** m.; deste, segue com azimute de 338°57'45" e distância de 4,42 m., até o vértice **717**, de coordenadas **N 8.272.954,82** m. e **E 193.399,60** m.; deste, segue com azimute de 330°15'18" e distância de 5,12 m., até o vértice **718**, de coordenadas **N 8.272.959,27** m. e **E 193.397,06** m.; deste, segue com azimute de 358°41'54" e distância de 6,99 m., até o vértice **719**, de coordenadas **N 8.272.966,25** m. e **E 193.396,90** m.; deste, segue com azimute de 354°28'06" e distância de 5,79 m., até o vértice **720**, de coordenadas **N 8.272.972,02** m. e **E 193.396,35** m.; deste, segue com azimute de 51°58'09" e distância de 3,43 m., até o vértice **721**, de coordenadas **N 8.272.974,13** m. e **E 193.399,05** m.; deste, segue com azimute de 47°42'44" e distância



SPL - PLC 0019/2019 folha 000302

de 3,48 m., até o vértice **722**, de coordenadas **N 8.272.976,47** m. e **E 193.401,62** m.; deste, segue com azimute de 46°45'03" e distância de 3,46 m., até o vértice **723**, de coordenadas **N 8.272.978,84** m. e **E 193.404,14** m.; deste, segue com azimute de 49°05'35" e distância de 3,35 m., até o vértice **724**, de coordenadas **N 8.272.981,03** m. e **E 193.406,67** m.; deste, segue com azimute de 50°28'23" e distância de 2,38 m., até o vértice **725**, de coordenadas **N 8.272.982,55** m. e **E 193.408,51** m.; deste, segue com azimute de 48°56'02" e distância de 2,36 m., até o vértice **726**, de coordenadas **N 8.272.984,10** m. e **E 193.410,29** m.; deste, segue com azimute de 48°10'52" e distância de 2,35 m., até o vértice **727**, de coordenadas **N 8.272.985,66** m. e **E 193.412,04** m.; deste, segue com azimute de 48°14'10" e distância de 2,34 m., até o vértice **728**, de coordenadas **N 8.272.987,22** m. e **E 193.413,78** m.; deste, segue com azimute de 49°06'01" e distância de 2,35 m., até o vértice **729**, de coordenadas **N 8.272.988,76** m. e **E 193.415,56** m.; deste, segue com azimute de 50°45'26" e distância de 2,37 m., até o vértice **730**, de coordenadas **N 8.272.990,26** m. e **E 193.417,39** m.; deste, segue com azimute de 53°17'13" e distância de 3,16 m., até o vértice **731**, de coordenadas **N 8.272.992,14** m. e **E 193.419,92** m.; deste, segue com azimute de 55°27'22" e distância de 2,45 m., até o vértice **732**, de coordenadas **N 8.272.993,53** m. e **E 193.421,94** m.; deste, segue com azimute de 55°27'37" e distância de 0,72 m., até o vértice **733**, de coordenadas **N 8.272.993,94** m. e **E 193.422,53** m.; deste, segue com azimute de 56°32'24" e distância de 3,19 m., até o vértice **734**, de coordenadas **N 8.272.995,70** m. e **E 193.425,20** m.; deste, segue com azimute de 56°33'20" e distância de 3,21 m., até o vértice **735**, de coordenadas **N 8.272.997,47** m. e **E 193.427,87** m.; deste, segue com azimute de 55°31'22" e distância de 3,23 m., até o vértice **736**, de coordenadas **N 8.272.999,30** m. e **E 193.430,53** m.; deste, segue com azimute de 53°27'42" e distância de 3,25 m., até o vértice **737**, de coordenadas **N 8.273.001,23** m. e **E 193.433,14** m.; deste, segue com azimute de 51°00'48" e distância de 2,45 m., até o vértice **738**, de coordenadas **N 8.273.002,77** m. e **E 193.435,05** m.; deste, segue com azimute de 49°26'30" e distância de 2,48 m., até o vértice **739**, de coordenadas **N 8.273.004,38** m. e **E 193.436,93** m.; deste, segue com azimute de 48°43'33" e distância de 2,49 m., até o vértice **740**, de coordenadas **N 8.273.006,03** m. e **E 193.438,80** m.; deste, segue com azimute de 48°50'54" e distância de 2,49 m., até o vértice **741**, de coordenadas **N 8.273.007,67** m. e **E 193.440,68** m.; deste, segue com azimute de 49°48'04" e distância de 2,49 m., até o vértice **742**, de coordenadas **N 8.273.009,28** m. e **E 193.442,59** m.; deste, segue com azimute de 51°35'53" e distância de 2,48 m., até o vértice **743**, de coordenadas **N 8.273.010,82** m. e **E 193.444,53** m.; deste, segue com azimute de 54°48'09" e distância



SPL - PLC 0019/2019 folha 000303

de 3,73 m., até o vértice **744**, de coordenadas **N 8.273.012,97** m. e **E 193.447,58** m.; deste, segue com azimute de 57°47'17" e distância de 3,74 m., até o vértice **745**, de coordenadas **N 8.273.014,96** m. e **E 193.450,74** m.; deste, segue com azimute de 59°13'25" e distância de 3,75 m., até o vértice **746**, de coordenadas **N 8.273.016,88** m. e **E 193.453,97** m.; deste, segue com azimute de 59°07'57" e distância de 3,74 m., até o vértice **747**, de coordenadas **N 8.273.018,80** m. e **E 193.457,18** m.; deste, segue com azimute de 57°30'17" e distância de 3,72 m., até o vértice **748**, de coordenadas **N 8.273.020,80** m. e **E 193.460,32** m.; deste, segue com azimute de 54°17'51" e distância de 3,69 m., até o vértice **749**, de coordenadas **N 8.273.022,96** m. e **E 193.463,32** m.; deste, segue com azimute de 49°53'13" e distância de 3,14 m., até o vértice **750**, de coordenadas **N 8.273.024,98** m. e **E 193.465,72** m.; deste, segue com azimute de 46°37'20" e distância de 3,15 m., até o vértice **751**, de coordenadas **N 8.273.027,15** m. e **E 193.468,01** m.; deste, segue com azimute de 45°12'10" e distância de 3,16 m., até o vértice **752**, de coordenadas **N 8.273.029,37** m. e **E 193.470,25** m.; deste, segue com azimute de 45°36'14" e distância de 3,13 m., até o vértice **753**, de coordenadas **N 8.273.031,56** m. e **E 193.472,49** m.; deste, segue com azimute de 47°52'17" e distância de 3,09 m., até o vértice **754**, de coordenadas **N 8.273.033,63** m. e **E 193.474,78** m.; deste, segue com azimute de 52°07'06" e distância de 3,04 m., até o vértice **755**, de coordenadas **N 8.273.035,50** m. e **E 193.477,18** m.; deste, segue com azimute de 58°18'01" e distância de 2,14 m., até o vértice **756**, de coordenadas **N 8.273.036,63** m. e **E 193.479,00** m.; deste, segue com azimute de 63°02'38" e distância de 2,14 m., até o vértice **757**, de coordenadas **N 8.273.037,60** m. e **E 193.480,91** m.; deste, segue com azimute de 64°49'10" e distância de 2,14 m., até o vértice **758**, de coordenadas **N 8.273.038,51** m. e **E 193.482,85** m.; deste, segue com azimute de 63°37'15" e distância de 2,12 m., até o vértice **759**, de coordenadas **N 8.273.039,45** m. e **E 193.484,75** m.; deste, segue com azimute de 59°22'43" e distância de 2,10 m., até o vértice **760**, de coordenadas **N 8.273.040,52** m. e **E 193.486,56** m.; deste, segue com azimute de 52°01'38" e distância de 2,10 m., até o vértice **761**, de coordenadas **N 8.273.041,81** m. e **E 193.488,21** m.; deste, segue com azimute de 43°35'23" e distância de 2,33 m., até o vértice **762**, de coordenadas **N 8.273.043,50** m. e **E 193.489,82** m.; deste, segue com azimute de 37°28'41" e distância de 2,40 m., até o vértice **763**, de coordenadas **N 8.273.045,40** m. e **E 193.491,28** m.; deste, segue com azimute de 33°18'01" e distância de 2,46 m., até o vértice **764**, de coordenadas **N 8.273.047,46** m. e **E 193.492,63** m.; deste, segue com azimute de 30°47'25" e distância de 2,49 m., até o vértice **765**, de coordenadas **N 8.273.049,60** m. e **E 193.493,90** m.; deste, segue com azimute de 29°48'01" e distância



SFL - PLC 0019/2019 folha 000304

de 2,48 m., até o vértice **766**, de coordenadas **N 8.273.051,75** m. e **E 193.495,13** m.; deste, segue com azimute de 30°17'10" e distância de 2,43 m., até o vértice **767**, de coordenadas **N 8.273.053,84** m. e **E 193.496,36** m.; deste, segue com azimute de 29°07'30" e distância de 2,83 m., até o vértice **768**, de coordenadas **N 8.273.056,32** m. e **E 193.497,74** m.; deste, segue com azimute de 27°53'05" e distância de 2,82 m., até o vértice **769**, de coordenadas **N 8.273.058,81** m. e **E 193.499,06** m.; deste, segue com azimute de 30°37'31" e distância de 2,81 m., até o vértice **770**, de coordenadas **N 8.273.061,23** m. e **E 193.500,49** m.; deste, segue com azimute de 34°34'17" e distância de 2,55 m., até o vértice **771**, de coordenadas **N 8.273.063,33** m. e **E 193.501,94** m.; deste, segue com azimute de 37°02'13" e distância de 2,57 m., até o vértice **772**, de coordenadas **N 8.273.065,38** m. e **E 193.503,49** m.; deste, segue com azimute de 39°28'07" e distância de 2,58 m., até o vértice **773**, de coordenadas **N 8.273.067,38** m. e **E 193.505,13** m.; deste, segue com azimute de 41°53'14" e distância de 2,59 m., até o vértice **774**, de coordenadas **N 8.273.069,30** m. e **E 193.506,85** m.; deste, segue com azimute de 44°18'50" e distância de 2,59 m., até o vértice **775**, de coordenadas **N 8.273.071,15** m. e **E 193.508,66** m.; deste, segue com azimute de 46°46'19" e distância de 2,58 m., até o vértice **776**, de coordenadas **N 8.273.072,92** m. e **E 193.510,54** m.; deste, segue com azimute de 51°36'46" e distância de 2,34 m., até o vértice **777**, de coordenadas **N 8.273.074,37** m. e **E 193.512,38** m.; deste, segue com azimute de 56°37'19" e distância de 2,39 m., até o vértice **778**, de coordenadas **N 8.273.075,69** m. e **E 193.514,37** m.; deste, segue com azimute de 58°39'45" e distância de 2,42 m., até o vértice **779**, de coordenadas **N 8.273.076,95** m. e **E 193.516,44** m.; deste, segue com azimute de 57°54'54" e distância de 2,39 m., até o vértice **780**, de coordenadas **N 8.273.078,22** m. e **E 193.518,46** m.; deste, segue com azimute de 54°14'43" e distância de 2,33 m., até o vértice **781**, de coordenadas **N 8.273.079,58** m. e **E 193.520,35** m.; deste, segue com azimute de 47°16'03" e distância de 2,24 m., até o vértice **782**, de coordenadas **N 8.273.081,10** m. e **E 193.522,00** m.; deste, segue com azimute de 39°53'30" e distância de 3,57 m., até o vértice **783**, de coordenadas **N 8.273.083,84** m. e **E 193.524,29** m.; deste, segue com azimute de 34°10'25" e distância de 3,63 m., até o vértice **784**, de coordenadas **N 8.273.086,84** m. e **E 193.526,33** m.; deste, segue com azimute de 27°34'37" e distância de 3,64 m., até o vértice **785**, de coordenadas **N 8.273.090,07** m. e **E 193.528,02** m.; deste, segue com azimute de 19°52'11" e distância de 3,64 m., até o vértice **786**, de coordenadas **N 8.273.093,49** m. e **E 193.529,25** m.; deste, segue com azimute de 10°54'17" e distância de 3,65 m., até o vértice **787**, de coordenadas **N 8.273.097,08** m. e **E 193.529,94** m.; deste, segue com azimute de 0°43'41" e distância de



SPL - PLC 0019/2019 folha 000305

3,71 m., até o vértice **788**, de coordenadas **N 8.273.100,79** m. e **E 193.529,99** m.; deste, segue com azimute de 351°57'31" e distância de 2,23 m., até o vértice **789**, de coordenadas **N 8.273.102,99** m. e **E 193.529,68** m.; deste, segue com azimute de 349°47'55" e distância de 2,27 m., até o vértice **790**, de coordenadas **N 8.273.105,23** m. e **E 193.529,28** m.; deste, segue com azimute de 298°14'51" e distância de 3,11 m., até o vértice **791**, de coordenadas **N 8.273.106,70** m. e **E 193.526,54** m.; deste, segue com azimute de 300°50'23" e distância de 3,12 m., até o vértice **792**, de coordenadas **N 8.273.108,29** m. e **E 193.523,86** m.; deste, segue com azimute de 308°46'56" e distância de 3,01 m., até o vértice **793**, de coordenadas **N 8.273.110,18** m. e **E 193.521,51** m.; deste, segue com azimute de 322°22'46" e distância de 3,84 m., até o vértice **794**, de coordenadas **N 8.273.113,22** m. e **E 193.519,17** m.; deste, segue com azimute de 332°41'59" e distância de 3,96 m., até o vértice **795**, de coordenadas **N 8.273.116,74** m. e **E 193.517,36** m.; deste, segue com azimute de 337°08'31" e distância de 3,89 m., até o vértice **796**, de coordenadas **N 8.273.120,32** m. e **E 193.515,85** m.; deste, segue com azimute de 344°11'26" e distância de 4,46 m., até o vértice **797**, de coordenadas **N 8.273.124,61** m. e **E 193.514,63** m.; deste, segue com azimute de 354°22'53" e distância de 4,26 m., até o vértice **798**, de coordenadas **N 8.273.128,85** m. e **E 193.514,21** m.; deste, segue com azimute de 354°23'22" e distância de 0,24 m., até o vértice **799**, de coordenadas **N 8.273.129,09** m. e **E 193.514,19** m.; deste, segue com azimute de 174°23'22" e distância de 0,24 m., até o vértice **798**, de coordenadas **N 8.273.128,85** m. e **E 193.514,21** m.; deste, segue com azimute de 354°23'22" e distância de 0,24 m., até o vértice **799**, de coordenadas **N 8.273.129,09** m. e **E 193.514,19** m.; deste, segue com azimute de 359°54'35" e distância de 4,57 m., até o vértice **800**, de coordenadas **N 8.273.133,66** m. e **E 193.514,18** m.; deste, segue com azimute de 1°04'04" e distância de 4,58 m., até o vértice **801**, de coordenadas **N 8.273.138,24** m. e **E 193.514,27** m.; deste, segue com azimute de 357°56'05" e distância de 4,50 m., até o vértice **802**, de coordenadas **N 8.273.142,74** m. e **E 193.514,11** m.; deste, segue com azimute de 350°09'14" e distância de 4,39 m., até o vértice **803**, de coordenadas **N 8.273.147,06** m. e **E 193.513,36** m.; deste, segue com azimute de 340°27'45" e distância de 5,73 m., até o vértice **804**, de coordenadas **N 8.273.152,47** m. e **E 193.511,44** m.; deste, segue com azimute de 333°43'05" e distância de 5,78 m., até o vértice **805**, de coordenadas **N 8.273.157,65** m. e **E 193.508,88** m.; deste, segue com azimute de 329°19'34" e distância de 5,86 m., até o vértice **806**, de coordenadas **N 8.273.162,69** m. e **E 193.505,89** m.; deste, segue com azimute de 327°10'45" e distância de 5,91 m., até o vértice **807**, de coordenadas **N 8.273.167,66** m. e **E 193.502,68** m.; deste, segue com azimute de 327°10'45" e distância



SPL - PLC 0019/2019 folha 000306

de 5,91 m., até o vértice **808**, de coordenadas **N 8.273.172,63** m. e **E 193.499,48** m.; deste, segue com azimute de 329°19'34" e distância de 5,86 m., até o vértice **809**, de coordenadas **N 8.273.177,67** m. e **E 193.496,49** m.; deste, segue com azimute de 341°54'02" e distância de 7,03 m., até o vértice **810**, de coordenadas **N 8.273.184,35** m. e **E 193.494,31** m.; deste, segue com azimute de 337°45'57" e distância de 6,93 m., até o vértice **811**, de coordenadas **N 8.273.190,77** m. e **E 193.491,68** m.; deste, segue com azimute de 324°32'30" e distância de 5,77 m., até o vértice **812**, de coordenadas **N 8.273.195,47** m. e **E 193.488,34** m.; deste, segue com azimute de 305°23'04" e distância de 5,84 m., até o vértice **813**, de coordenadas **N 8.273.198,85** m. e **E 193.483,58** m.; deste, segue com azimute de 281°52'47" e distância de 3,45 m., até o vértice **814**, de coordenadas **N 8.273.199,56** m. e **E 193.480,20** m.; deste, segue com azimute de 272°46'20" e distância de 3,58 m., até o vértice **815**, de coordenadas **N 8.273.199,73** m. e **E 193.476,63** m.; deste, segue com azimute de 272°33'54" e distância de 3,17 m., até o vértice **816**, de coordenadas **N 8.273.199,87** m. e **E 193.473,46** m.; deste, segue com azimute de 272°34'00" e distância de 3,17 m., até o vértice **817**, de coordenadas **N 8.273.200,01** m. e **E 193.470,30** m.; deste, segue com azimute de 279°56'18" e distância de 3,06 m., até o vértice **818**, de coordenadas **N 8.273.200,54** m. e **E 193.467,29** m.; deste, segue com azimute de 289°53'43" e distância de 2,01 m., até o vértice **819**, de coordenadas **N 8.273.201,22** m. e **E 193.465,40** m.; deste, segue com azimute de 296°02'29" e distância de 2,04 m., até o vértice **820**, de coordenadas **N 8.273.202,12** m. e **E 193.463,57** m.; deste, segue com azimute de 301°07'50" e distância de 2,06 m., até o vértice **821**, de coordenadas **N 8.273.203,18** m. e **E 193.461,81** m.; deste, segue com azimute de 305°19'41" e distância de 2,06 m., até o vértice **822**, de coordenadas **N 8.273.204,37** m. e **E 193.460,13** m.; deste, segue com azimute de 308°47'45" e distância de 2,04 m., até o vértice **823**, de coordenadas **N 8.273.205,65** m. e **E 193.458,54** m.; deste, segue com azimute de 311°40'01" e distância de 1,99 m., até o vértice **824**, de coordenadas **N 8.273.206,97** m. e **E 193.457,06** m.; deste, segue com azimute de 317°16'25" e distância de 2,87 m., até o vértice **825**, de coordenadas **N 8.273.209,08** m. e **E 193.455,11** m.; deste, segue com azimute de 324°34'14" e distância de 2,91 m., até o vértice **826**, de coordenadas **N 8.273.211,45** m. e **E 193.453,42** m.; deste, segue com azimute de 329°48'50" e distância de 2,96 m., até o vértice **827**, de coordenadas **N 8.273.214,01** m. e **E 193.451,93** m.; deste, segue com azimute de 333°08'35" e distância de 2,99 m., até o vértice **828**, de coordenadas **N 8.273.216,68** m. e **E 193.450,58** m.; deste, segue com azimute de 334°42'30" e distância de 2,99 m., até o vértice **829**, de coordenadas **N 8.273.219,39** m. e **E 193.449,30** m.; deste, segue com azimute de 334°34'14" e distância



SPL - PLC 0019/2019 folha 000307

de 2,74 m., até o vértice **830**, de coordenadas **N 8.273.221,87** m. e **E 193.448,12** m.; deste, segue com azimute de 334°35'02" e distância de 0,21 m., até o vértice **831**, de coordenadas **N 8.273.222,06** m. e **E 193.448,03** m.; deste, segue com azimute de 334°22'33" e distância de 2,25 m., até o vértice **832**, de coordenadas **N 8.273.224,09** m. e **E 193.447,06** m.; deste, segue com azimute de 335°25'00" e distância de 2,26 m., até o vértice **833**, de coordenadas **N 8.273.226,14** m. e **E 193.446,12** m.; deste, segue com azimute de 336°38'14" e distância de 2,26 m., até o vértice **834**, de coordenadas **N 8.273.228,22** m. e **E 193.445,22** m.; deste, segue com azimute de 338°03'14" e distância de 2,26 m., até o vértice **835**, de coordenadas **N 8.273.230,31** m. e **E 193.444,38** m.; deste, segue com azimute de 339°39'56" e distância de 2,25 m., até o vértice **836**, de coordenadas **N 8.273.232,42** m. e **E 193.443,60** m.; deste, segue com azimute de 341°29'41" e distância de 2,24 m., até o vértice **837**, de coordenadas **N 8.273.234,54** m. e **E 193.442,89** m.; deste, segue com azimute de 343°25'00" e distância de 3,36 m., até o vértice **838**, de coordenadas **N 8.273.237,76** m. e **E 193.441,93** m.; deste, segue com azimute de 345°28'45" e distância de 3,39 m., até o vértice **839**, de coordenadas **N 8.273.241,05** m. e **E 193.441,08** m.; deste, segue com azimute de 347°52'21" e distância de 3,40 m., até o vértice **840**, de coordenadas **N 8.273.244,37** m. e **E 193.440,36** m.; deste, segue com azimute de 350°39'24" e distância de 3,38 m., até o vértice **841**, de coordenadas **N 8.273.247,70** m. e **E 193.439,82** m.; deste, segue com azimute de 353°54'10" e distância de 3,34 m., até o vértice **842**, de coordenadas **N 8.273.251,02** m. e **E 193.439,46** m.; deste, segue com azimute de 357°41'33" e distância de 3,28 m., até o vértice **843**, de coordenadas **N 8.273.254,30** m. e **E 193.439,33** m.; deste, segue com azimute de 3°02'43" e distância de 4,69 m., até o vértice **844**, de coordenadas **N 8.273.258,99** m. e **E 193.439,58** m.; deste, segue com azimute de 8°49'46" e distância de 4,75 m., até o vértice **845**, de coordenadas **N 8.273.263,68** m. e **E 193.440,31** m.; deste, segue com azimute de 13°37'36" e distância de 4,80 m., até o vértice **846**, de coordenadas **N 8.273.268,34** m. e **E 193.441,44** m.; deste, segue com azimute de 17°32'20" e distância de 4,82 m., até o vértice **847**, de coordenadas **N 8.273.272,94** m. e **E 193.442,89** m.; deste, segue com azimute de 20°40'05" e distância de 4,81 m., até o vértice **848**, de coordenadas **N 8.273.277,44** m. e **E 193.444,59** m.; deste, segue com azimute de 23°06'06" e distância de 4,76 m., até o vértice **849**, de coordenadas **N 8.273.281,82** m. e **E 193.446,46** m.; deste, segue com azimute de 27°42'00" e distância de 3,29 m., até o vértice **850**, de coordenadas **N 8.273.284,73** m. e **E 193.447,99** m.; deste, segue com azimute de 32°47'15" e distância de 3,35 m., até o vértice **851**, de coordenadas **N 8.273.287,54** m. e **E 193.449,80** m.; deste, segue com azimute de 34°54'23" e distância



SFL - PLC 0019/2019 folha 000308

de 3,37 m., até o vértice **852**, de coordenadas **N 8.273.290,31** m. e **E 193.451,73** m.; deste, segue com azimute de 34°10'58" e distância de 3,36 m., até o vértice **853**, de coordenadas **N 8.273.293,09** m. e **E 193.453,61** m.; deste, segue com azimute de 30°33'38" e distância de 3,31 m., até o vértice **854**, de coordenadas **N 8.273.295,93** m. e **E 193.455,30** m.; deste, segue com azimute de 23°49'47" e distância de 3,25 m., até o vértice **855**, de coordenadas **N 8.273.298,91** m. e **E 193.456,61** m.; deste, segue com azimute de 17°45'33" e distância de 3,53 m., até o vértice **856**, de coordenadas **N 8.273.302,27** m. e **E 193.457,69** m.; deste, segue com azimute de 14°18'40" e distância de 3,62 m., até o vértice **857**, de coordenadas **N 8.273.305,78** m. e **E 193.458,58** m.; deste, segue com azimute de 10°26'01" e distância de 3,65 m., até o vértice **858**, de coordenadas **N 8.273.309,37** m. e **E 193.459,24** m.; deste, segue com azimute de 5°55'28" e distância de 3,62 m., até o vértice **859**, de coordenadas **N 8.273.312,97** m. e **E 193.459,62** m.; deste, segue com azimute de 0°33'24" e distância de 2,04 m., até o vértice **860**, de coordenadas **N 8.273.315,01** m. e **E 193.459,64** m.; deste, segue com azimute de 0°32'48" e distância de 0,22 m., até o vértice **861**, de coordenadas **N 8.273.315,23** m. e **E 193.459,64** m.; deste, segue com azimute de 0°33'31" e distância de 1,29 m., até o vértice **862**, de coordenadas **N 8.273.316,52** m. e **E 193.459,65** m.; deste, segue com azimute de 354°03'46" e distância de 3,45 m., até o vértice **863**, de coordenadas **N 8.273.319,96** m. e **E 193.459,29** m.; deste, segue com azimute de 346°49'04" e distância de 3,22 m., até o vértice **864**, de coordenadas **N 8.273.323,09** m. e **E 193.458,56** m.; deste, segue com azimute de 340°41'40" e distância de 3,31 m., até o vértice **865**, de coordenadas **N 8.273.326,22** m. e **E 193.457,46** m.; deste, segue com azimute de 335°43'02" e distância de 3,38 m., até o vértice **866**, de coordenadas **N 8.273.329,30** m. e **E 193.456,07** m.; deste, segue com azimute de 331°38'27" e distância de 3,41 m., até o vértice **867**, de coordenadas **N 8.273.332,30** m. e **E 193.454,45** m.; deste, segue com azimute de 328°16'10" e distância de 3,39 m., até o vértice **868**, de coordenadas **N 8.273.335,19** m. e **E 193.452,67** m.; deste, segue com azimute de 325°26'28" e distância de 3,32 m., até o vértice **869**, de coordenadas **N 8.273.337,92** m. e **E 193.450,79** m.; deste, segue com azimute de 321°03'23" e distância de 3,14 m., até o vértice **870**, de coordenadas **N 8.273.340,36** m. e **E 193.448,81** m.; deste, segue com azimute de 316°01'12" e distância de 3,17 m., até o vértice **871**, de coordenadas **N 8.273.342,64** m. e **E 193.446,61** m.; deste, segue com azimute de 312°44'11" e distância de 3,20 m., até o vértice **872**, de coordenadas **N 8.273.344,82** m. e **E 193.444,26** m.; deste, segue com azimute de 311°07'28" e distância de 3,22 m., até o vértice **873**, de coordenadas **N 8.273.346,94** m. e **E 193.441,83** m.; deste, segue com azimute de 311°08'02" e distância



SPL - PLC 0019/2019 folha 000309

de 3,22 m., até o vértice **874**, de coordenadas **N 8.273.349,06** m. e **E 193.439,41** m.; deste, segue com azimute de 312°45'57" e distância de 3,20 m., até o vértice **875**, de coordenadas **N 8.273.351,23** m. e **E 193.437,06** m.; deste, segue com azimute de 314°08'43" e distância de 3,32 m., até o vértice **876**, de coordenadas **N 8.273.353,54** m. e **E 193.434,68** m.; deste, segue com azimute de 314°09'20" e distância de 3,32 m., até o vértice **877**, de coordenadas **N 8.273.355,85** m. e **E 193.432,29** m.; deste, segue com azimute de 321°10'19" e distância de 6,83 m., até o vértice **878**, de coordenadas **N 8.273.361,17** m. e **E 193.428,01** m.; deste, segue com azimute de 87°31'09" e distância de 2.459,79 m., ponto situado às margens do Ribeirão Engenho Velho deste, segue margeando o Ribeirão Engenho Velho até o vértice **879**, de coordenadas **N 8.273.488,34** m. e **E 193.866,26** m.; confluência entre o Ribeirão Engenho Velho e o Córrego Chácara, deste segue margeando o Córrego Chácara, até o vértice **880**, de coordenadas **N 8.273.467,65** m. e **E 195.885,49** m.; ponto situado no eixo da Rodovia DF-326 deste, segue pela Rodovia DF-, até o vértice **881**, de coordenadas **N 8.271.012,02** m. e **E 198.071,59** m.; deste, segue com azimute de 203°15'24" e distância de 1.802,86 m., até o vértice **882**, de coordenadas **N 8.269.355,65** m. e **E 197.359,73** m.; deste, segue com azimute de 141°14'55" e distância de 31,23 m., até o vértice **883**, de coordenadas **N 8.269.331,29** m. e **E 197.379,28** m.; deste, segue com azimute de 146°46'16" e distância de 45,48 m., até o vértice **884**, de coordenadas **N 8.269.293,25** m. e **E 197.404,20** m.; deste, segue com azimute de 154°19'53" e distância de 74,16 m., até o vértice **885**, de coordenadas **N 8.269.226,41** m. e **E 197.436,32** m.; deste, segue com azimute de 154°19'53" e distância de 9,29 m., até o vértice **886**, de coordenadas **N 8.269.218,03** m. e **E 197.440,35** m.; deste, segue com azimute de 162°00'07" e distância de 7,53 m., até o vértice **887**, de coordenadas **N 8.269.210,87** m. e **E 197.442,67** m.; deste, segue com azimute de 162°00'04" e distância de 1,29 m., até o vértice **888**, de coordenadas **N 8.269.209,64** m. e **E 197.443,07** m.; deste, segue com azimute de 162°00'08" e distância de 44,38 m., até o vértice **889**, de coordenadas **N 8.269.167,42** m. e **E 197.456,79** m.; deste, segue com azimute de 162°00'07" e distância de 24,30 m., até o vértice **890**, de coordenadas **N 8.269.144,31** m. e **E 197.464,30** m.; deste, segue com azimute de 162°16'23" e distância de 49,40 m., até o vértice **891**, de coordenadas **N 8.269.097,26** m. e **E 197.479,34** m.; deste, segue com azimute de 162°38'22" e distância de 102,04 m., até o vértice **892**, de coordenadas **N 8.268.999,87** m. e **E 197.509,79** m.; deste, segue com azimute de 161°23'34" e distância de 27,20 m., até o vértice **893**, de coordenadas **N 8.268.974,09** m. e **E 197.518,46** m.; deste, segue com azimute de 161°23'33" e distância de 16,79 m., até o vértice **894**, de coordenadas **N 8.268.958,17** m. e **E 197.523,82** m.; deste,



SPL - PLC 0019/2019 folha 000310

segue com azimute de 161°23'33" e distância de 74,82 m., até o vértice **895**, de coordenadas **N 8.268.887,26** m. e **E 197.547,70** m.; deste, segue com azimute de 152°33'41" e distância de 86,24 m., até o vértice **896**, de coordenadas **N 8.268.810,72** m. e **E 197.587,44** m.; deste, segue com azimute de 140°35'16" e distância de 52,21 m., até o vértice **897**, de coordenadas **N 8.268.770,38** m. e **E 197.620,59** m.; deste, segue com azimute de 121°53'37" e distância de 72,81 m., até o vértice **898**, de coordenadas **N 8.268.731,91** m. e **E 197.682,41** m.; deste, segue com azimute de 106°01'08" e distância de 102,59 m., até o vértice **899**, de coordenadas **N 8.268.703,60** m. e **E 197.781,01** m.; deste, segue com azimute de 106°01'07" e distância de 122,60 m., até o vértice **900**, de coordenadas **N 8.268.669,77** m. e **E 197.898,85** m.; deste, segue com azimute de 105°26'10" e distância de 178,41 m., até o vértice **901**, de coordenadas **N 8.268.622,28** m. e **E 198.070,82** m.; deste, segue com azimute de 105°26'10" e distância de 163,64 m., até o vértice **902**, de coordenadas **N 8.268.578,73** m. e **E 198.228,56** m.; deste, segue com azimute de 105°28'26" e distância de 109,26 m., até o vértice **903**, de coordenadas **N 8.268.549,58** m. e **E 198.333,86** m.; deste, segue com azimute de 105°29'42" e distância de 77,13 m., até o vértice **904**, de coordenadas **N 8.268.528,97** m. e **E 198.408,19** m.; deste, segue com azimute de 105°37'10" e distância de 64,07 m., até o vértice **905**, de coordenadas **N 8.268.511,72** m. e **E 198.469,90** m.; deste, segue com azimute de 103°42'51" e distância de 10,80 m., até o vértice **906**, de coordenadas **N 8.268.509,16** m. e **E 198.480,39** m.; situado às margens do Ribeirão Sobradinho deste, segue margeando o Ribeirão Sobradinho, até o vértice **907**, de coordenadas **N 8.265.975,16** m. e **E 198.858,72** m.; ponto de cruzamento entre o Ribeirão Sobradinho e o eixo da Rodovia BR-020 deste, segue pela Rodovia BR-020, até o vértice **908**, de coordenadas **N 8.263.481,14** m. e **E 193.478,15** m.; ponto de interseção entre a Rodovia BR-020 e o eixo da Rodovia DF-001 deste, segue pela Rodovia DF-001, até o vértice **909**, de coordenadas **N 8.274.966,00** m. e **E 176.415,81** m.; ponto de interseção entre a Rodovia DF-001 e o eixo da Rodovia DF-170 deste, segue pela Rodovia DF-170, até o vértice **910**, de coordenadas **N 8.283.797,32** m. e **E 174.381,77** m.; ponto de cruzamento entre a Rodovia DF-170 e o Limite Norte do Distrito Federal deste, segue pelo Limite Norte do Distrito Federal, até o vértice **1**, de coordenadas **N 8.283.883,97** m. e **E 180.697,48** m.; ponto inicial da descrição deste perímetro.Todos os azimutes e distâncias, áreas e perímetros foram calculados no plano de projeção UTM. Todas as coordenadas aqui descritas estão georreferenciadas ao Sistema Geodésico Brasileiro e encontram-se representadas no Sistema UTM, referenciadas ao **Meridiano Central 45° WGr, Fuso 23**, tendo como o *Datum*



SPL - PLC 0019/2019 folha 000311

o **SICAD-SIRGAS 2000.** Todos os azimutes e distâncias, áreas e perímetros foram calculados no plano de projeção UTM.

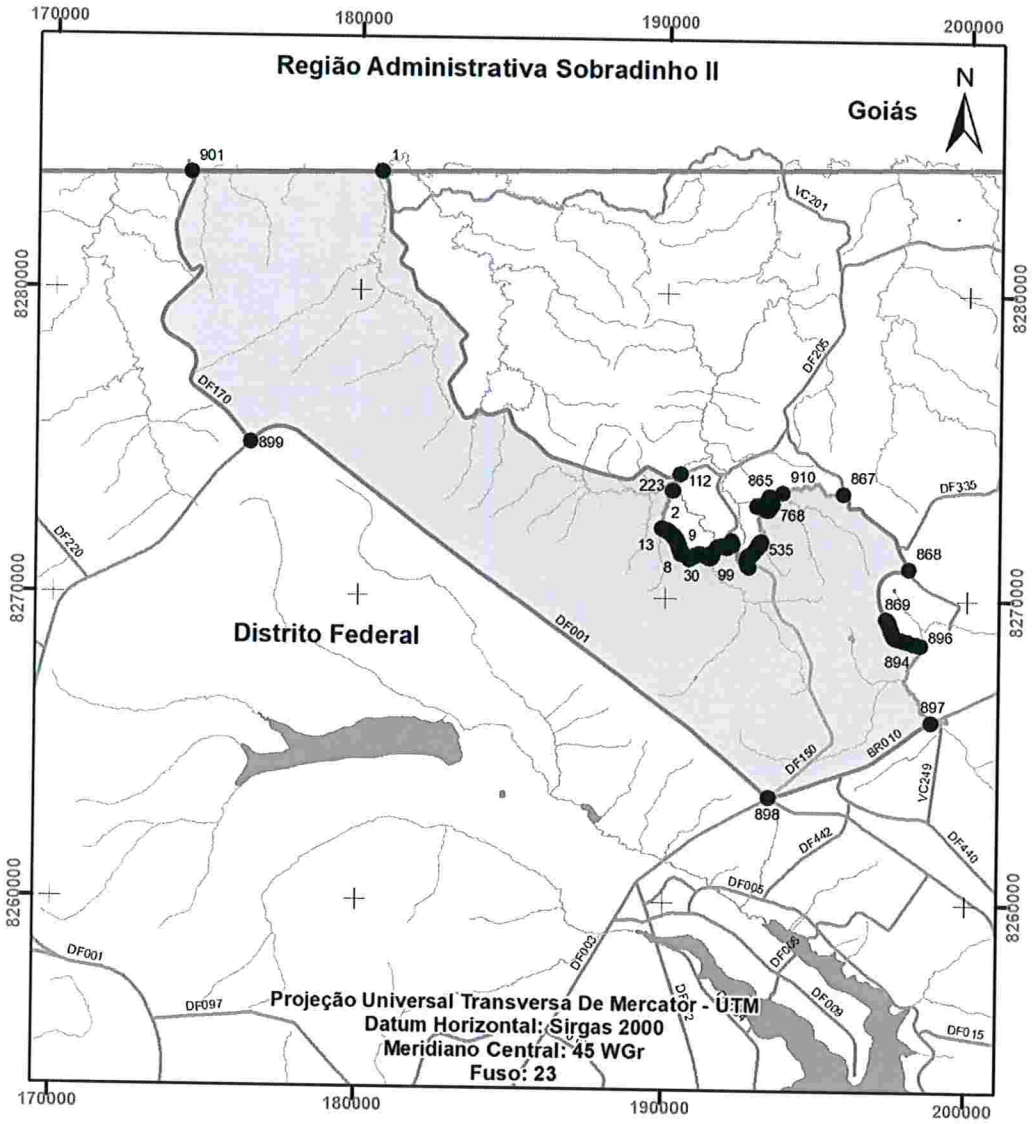




SFL - PLC 0019/2019 folha 000312

# MEMORIAL DESCRITIVO

## JARDIM BOTÂNICO – RA XXVII

Perímetro: 123.547,348 m  Área: 29.217,984 ha

Inicia-se a descrição deste perímetro no vértice **1**, de coordenadas **N 8.251.698,26** m. e **E 202.657,20** m., situado no ponto às margens do Rio Paranoá; deste segue margeando o Rio Paranoá até o vértice **2**, de coordenadas **N 8.251.628,11** m. e **E 202.823,66** m.; deste, segue com azimute de 189°30'24" e distância de 7,08 m., até o vértice **3**, de coordenadas **N 8.251.621,12** m. e **E 202.822,49** m.; deste, segue com azimute de 187°47'36" e distância de 17,07 m., até o vértice **4**, de coordenadas **N 8.251.604,21** m. e **E 202.820,18** m.; deste, segue com azimute de 175°02'09" e distância de 9,94 m., até o vértice **5**, de coordenadas **N 8.251.594,31** m. e **E 202.821,03** m.; deste, segue com azimute de 149°46'27" e distância de 12,48 m., até o vértice **6**, de coordenadas **N 8.251.583,53** m. e **E 202.827,32** m.; deste, segue com azimute de 161°28'36" e distância de 26,22 m., até o vértice **7**, de coordenadas **N 8.251.558,67** m. e **E 202.835,64** m.; deste, segue com azimute de 154°01'27" e distância de 28,45 m., até o vértice **8**, de coordenadas **N 8.251.533,10** m. e **E 202.848,11** m.; deste, segue com azimute de 170°28'59" e distância de 29,66 m., até o vértice **9**, de coordenadas **N 8.251.503,84** m. e **E 202.853,01** m.; deste, segue com azimute de 133°44'05" e distância de 8,48 m., até o vértice **10**, de coordenadas **N 8.251.497,98** m. e **E 202.859,13** m.; deste, segue com azimute de 114°24'07" e distância de 26,35 m., até o vértice **11**, de coordenadas **N 8.251.487,10** m. e **E 202.883,13** m.; deste, segue com azimute de 133°00'46" e distância de 6,97 m., até o vértice **12**, de coordenadas **N 8.251.482,35** m. e **E 202.888,22** m.; deste, segue com azimute de 144°43'29" e distância de 14,15 m., até o vértice **13**, de coordenadas **N 8.251.470,80** m. e **E 202.896,39** m.; deste, segue com azimute de 162°46'59" e distância de 14,67 m., até o vértice **14**, de coordenadas **N 8.251.456,79** m. e **E 202.900,74** m.; deste, segue com azimute de 161°05'10" e distância de 416,04 m., até o vértice **15**, de coordenadas **N 8.251.063,21** m. e **E 203.035,60** m.; deste, segue com azimute de 158°56'46" e distância de 51,61 m., até o vértice **16**, de coordenadas **N 8.251.015,04** m. e **E 203.054,14** m.; deste, segue com azimute de 159°07'15" e distância de 76,73 m., até o vértice **17**, de coordenadas **N 8.250.943,35** m. e **E 203.081,48** m.; deste, segue com azimute de 159°00'57" e distância de 128,57 m., até o vértice **18**, de coordenadas **N 8.250.823,31** m. e **E 203.127,53** m.; deste, segue com azimute de 160°31'14" e distância de 24,53 m., até o vértice **19**, de coordenadas **N 8.250.800,18** m. e **E 203.135,71** m.; deste, segue com azimute de 160°31'14" e distância



SFL - PLC 0019/2019 folha 000313

de 54,25 m., até o vértice **20**, de coordenadas **N 8.250.749,04** m. e **E 203.153,80** m.; deste, segue com azimute de 156°38'56" e distância de 32,81 m., até o vértice **21**, de coordenadas **N 8.250.718,91** m. e **E 203.166,80** m.; deste, segue com azimute de 163°20'02" e distância de 21,14 m., até o vértice **22**, de coordenadas **N 8.250.698,66** m. e **E 203.172,87** m.; deste, segue com azimute de 163°20'02" e distância de 33,91 m., até o vértice **23**, de coordenadas **N 8.250.666,18** m. e **E 203.182,59** m.; deste, segue com azimute de 174°36'39" e distância de 7,39 m., até o vértice **24**, de coordenadas **N 8.250.658,82** m. e **E 203.183,28** m.; deste, segue com azimute de 180°26'39" e distância de 54,73 m., até o vértice **25**, de coordenadas **N 8.250.604,09** m. e **E 203.182,86** m.; deste, segue com azimute de 197°36'28" e distância de 55,64 m., até o vértice **26**, de coordenadas **N 8.250.551,07** m. e **E 203.166,03** m.; deste, segue com azimute de 205°31'08" e distância de 85,42 m., até o vértice **27**, de coordenadas **N 8.250.473,98** m. e **E 203.129,23** m.; deste, segue com azimute de 227°13'01" e distância de 59,49 m., até o vértice **28**, de coordenadas **N 8.250.433,57** m. e **E 203.085,57** m.; deste, segue com azimute de 226°11'29" e distância de 63,31 m., até o vértice **29**, de coordenadas **N 8.250.389,75** m. e **E 203.039,88** m.; deste, segue com azimute de 225°46'56" e distância de 48,76 m., até o vértice **30**, de coordenadas **N 8.250.355,74** m. e **E 203.004,93** m.; deste, segue com azimute de 224°36'25" e distância de 33,10 m., até o vértice **31**, de coordenadas **N 8.250.332,17** m. e **E 202.981,69** m.; deste, segue com azimute de 220°19'29" e distância de 21,83 m., até o vértice **32**, de coordenadas **N 8.250.315,53** m. e **E 202.967,56** m.; deste, segue com azimute de 218°11'00" e distância de 87,48 m., até o vértice **33**, de coordenadas **N 8.250.246,77** m. e **E 202.913,48** m.; deste, segue com azimute de 218°56'09" e distância de 151,45 m., até o vértice **34**, de coordenadas **N 8.250.128,96** m. e **E 202.818,30** m.; deste, segue com azimute de 218°46'32" e distância de 80,68 m., até o vértice **35**, de coordenadas **N 8.250.066,07** m. e **E 202.767,78** m.; deste, segue com azimute de 218°16'31" e distância de 70,12 m., até o vértice **36**, de coordenadas **N 8.250.011,02** m. e **E 202.724,34** m.; deste, segue com azimute de 218°53'38" e distância de 100,89 m., até o vértice **37**, de coordenadas **N 8.249.932,50** m. e **E 202.661,00** m.; deste, segue com azimute de 219°45'28" e distância de 108,62 m., até o vértice **38**, de coordenadas **N 8.249.849,00** m. e **E 202.591,53** m.; deste, segue com azimute de 221°11'08" e distância de 59,84 m., até o vértice **39**, de coordenadas **N 8.249.803,96** m. e **E 202.552,13** m.; deste, segue com azimute de 224°10'22" e distância de 62,33 m., até o vértice **40**, de coordenadas **N 8.249.759,26** m. e **E 202.508,69** m.; deste, segue com azimute de 227°53'39" e distância de 43,03 m., até o vértice **41**, de coordenadas **N 8.249.730,41** m. e **E 202.476,77** m.; deste, segue com azimute de 230°42'55" e distância



SFL - PLC 0019/2019 folha 000314

de 14,61 m., até o vértice **42**, de coordenadas **N 8.249.721,16** m. e **E 202.465,47** m.; deste, segue com azimute de 233°58'26" e distância de 50,23 m., até o vértice **43**, de coordenadas **N 8.249.691,62** m. e **E 202.424,84** m.; deste, segue com azimute de 234°34'41" e distância de 44,57 m., até o vértice **44**, de coordenadas **N 8.249.665,78** m. e **E 202.388,52** m.; deste, segue com azimute de 237°48'43" e distância de 93,72 m., até o vértice **45**, de coordenadas **N 8.249.615,86** m. e **E 202.309,21** m.; deste, segue com azimute de 245°08'41" e distância de 24,20 m., até o vértice **46**, de coordenadas **N 8.249.605,69** m. e **E 202.287,25** m.; deste, segue com azimute de 246°35'58" e distância de 58,52 m., até o vértice **47**, de coordenadas **N 8.249.582,45** m. e **E 202.233,54** m.; deste, segue com azimute de 245°57'54" e distância de 67,61 m., até o vértice **48**, de coordenadas **N 8.249.554,91** m. e **E 202.171,80** m.; deste, segue com azimute de 245°45'06" e distância de 178,30 m., até o vértice **49**, de coordenadas **N 8.249.481,68** m. e **E 202.009,22** m.; deste, segue com azimute de 245°48'27" e distância de 17,49 m., até o vértice **50**, de coordenadas **N 8.249.474,52** m. e **E 201.993,27** m.; deste, segue com azimute de 101°57'47" e distância de 8,00 m., até o vértice **51**, de coordenadas **N 8.249.472,86** m. e **E 202.001,10** m.; deste, segue com azimute de 105°05'31" e distância de 250,11 m., até o vértice **52**, de coordenadas **N 8.249.407,74** m. e **E 202.242,58** m.; deste, segue com azimute de 105°17'44" e distância de 181,50 m., até o vértice **53**, de coordenadas **N 8.249.359,86** m. e **E 202.417,65** m.; deste, segue com azimute de 105°58'32" e distância de 126,20 m., até o vértice **54**, de coordenadas **N 8.249.325,12** m. e **E 202.538,98** m.; deste, segue com azimute de 104°53'49" e distância de 140,16 m., até o vértice **55**, de coordenadas **N 8.249.289,09** m. e **E 202.674,43** m.; deste, segue com azimute de 107°57'39" e distância de 129,40 m., até o vértice **56**, de coordenadas **N 8.249.249,19** m. e **E 202.797,52** m.; deste, segue com azimute de 124°25'59" e distância de 19,79 m., até o vértice **57**, de coordenadas **N 8.249.238,00** m. e **E 202.813,85** m.; deste, segue com azimute de 112°59'19" e distância de 23,71 m., até o vértice **58**, de coordenadas **N 8.249.228,74** m. e **E 202.835,68** m.; deste, segue com azimute de 105°01'39" e distância de 366,89 m., até o vértice **59**, de coordenadas **N 8.249.133,61** m. e **E 203.190,02** m.; deste, segue com azimute de 103°45'13" e distância de 365,03 m., até o vértice **60**, de coordenadas **N 8.249.046,82** m. e **E 203.544,58** m.; deste, segue com azimute de 207°50'18" e distância de 160,81 m., até o vértice **61**, de coordenadas **N 8.248.904,62** m. e **E 203.469,49** m.; deste, segue com azimute de 263°09'26" e distância de 53,30 m., até o vértice **62**, de coordenadas **N 8.248.898,27** m. e **E 203.416,57** m.; deste, segue com azimute de 248°11'55" e distância de 34,20 m., até o vértice **63**, de coordenadas **N 8.248.885,57** m. e **E 203.384,82** m.; deste, segue com azimute de 211°19'43" e distância



SFL - PLC 0019/2019 folha 000315

de 113,99 m., até o vértice **64**, de coordenadas **N 8.248.788,21** m. e **E 203.325,55** m.; deste, segue com azimute de 270°08'29" e distância de 246,73 m., até o vértice **65**, de coordenadas **N 8.248.788,81** m. e **E 203.078,83** m.; deste, segue com azimute de 274°49'15" e distância de 132,23 m., até o vértice **66**, de coordenadas **N 8.248.799,93** m. e **E 202.947,07** m.; deste, segue com azimute de 170°58'21" e distância de 43,00 m., até o vértice **67**, de coordenadas **N 8.248.757,46** m. e **E 202.953,81** m.; deste, segue com azimute de 168°58'58" e distância de 45,69 m., até o vértice **68**, de coordenadas **N 8.248.712,61** m. e **E 202.962,55** m.; deste, segue com azimute de 182°08'51" e distância de 31,77 m., até o vértice **69**, de coordenadas **N 8.248.680,86** m. e **E 202.961,35** m.; deste, segue com azimute de 251°43'22" e distância de 45,56 m., até o vértice **70**, de coordenadas **N 8.248.666,58** m. e **E 202.918,09** m.; deste, segue com azimute de 176°57'19" e distância de 7,93 m., até o vértice **71**, de coordenadas **N 8.248.658,66** m. e **E 202.918,52** m.; deste, segue com azimute de 176°57'19" e distância de 29,43 m., até o vértice **72**, de coordenadas **N 8.248.629,27** m. e **E 202.920,08** m.; deste, segue com azimute de 188°36'57" e distância de 26,49 m., até o vértice **73**, de coordenadas **N 8.248.603,08** m. e **E 202.916,11** m.; deste, segue com azimute de 175°36'04" e distância de 25,87 m., até o vértice **74**, de coordenadas **N 8.248.577,28** m. e **E 202.918,09** m.; deste, segue com azimute de 153°02'52" e distância de 26,27 m., até o vértice **75**, de coordenadas **N 8.248.553,86** m. e **E 202.930,00** m.; deste, segue com azimute de 146°55'08" e distância de 27,85 m., até o vértice **76**, de coordenadas **N 8.248.530,53** m. e **E 202.945,20** m.; deste, segue com azimute de 133°43'36" e distância de 25,89 m., até o vértice **77**, de coordenadas **N 8.248.512,64** m. e **E 202.963,91** m.; deste, segue com azimute de 146°46'06" e distância de 28,20 m., até o vértice **78**, de coordenadas **N 8.248.489,05** m. e **E 202.979,36** m.; deste, segue com azimute de 156°58'28" e distância de 35,35 m., até o vértice **79**, de coordenadas **N 8.248.456,51** m. e **E 202.993,19** m.; deste, segue com azimute de 159°51'50" e distância de 25,99 m., até o vértice **80**, de coordenadas **N 8.248.432,11** m. e **E 203.002,14** m.; deste, segue com azimute de 132°52'43" e distância de 15,54 m., até o vértice **81**, de coordenadas **N 8.248.421,54** m. e **E 203.013,52** m.; deste, segue com azimute de 169°02'45" e distância de 25,68 m., até o vértice **82**, de coordenadas **N 8.248.396,32** m. e **E 203.018,40** m.; deste, segue com azimute de 159°26'39" e distância de 27,80 m., até o vértice **83**, de coordenadas **N 8.248.370,30** m. e **E 203.028,17** m.; deste, segue com azimute de 139°45'48" e distância de 13,85 m., até o vértice **84**, de coordenadas **N 8.248.359,72** m. e **E 203.037,11** m.; deste, segue com azimute de 142°25'53" e distância de 26,68 m., até o vértice **85**, de coordenadas **N 8.248.338,57** m. e **E 203.053,38** m.; deste, segue com azimute de 118°29'44" e distância



SPL - PLC 0019/2019 folha 000316

de 32,39 m., até o vértice **86**, de coordenadas **N 8.248.323,12** m. e **E 203.081,85** m.; deste, segue com azimute de 159°04'32" e distância de 29,61 m., até o vértice **87**, de coordenadas **N 8.248.295,46** m. e **E 203.092,42** m.; deste, segue com azimute de 116°55'40" e distância de 57,47 m., até o vértice **88**, de coordenadas **N 8.248.269,44** m. e **E 203.143,67** m.; deste, segue com azimute de 97°47'52" e distância de 72,61 m., até o vértice **89**, de coordenadas **N 8.248.259,59** m. e **E 203.215,60** m.; deste, segue com azimute de 181°26'10" e distância de 17,40 m., até o vértice **90**, de coordenadas **N 8.248.242,19** m. e **E 203.215,16** m.; deste, segue com azimute de 206°59'34" e distância de 10,26 m., até o vértice **91**, de coordenadas **N 8.248.233,05** m. e **E 203.210,51** m.; deste, segue com azimute de 217°03'42" e distância de 21,36 m., até o vértice **92**, de coordenadas **N 8.248.216,00** m. e **E 203.197,63** m.; deste, segue com azimute de 204°29'54" e distância de 24,67 m., até o vértice **93**, de coordenadas **N 8.248.193,55** m. e **E 203.187,40** m.; deste, segue com azimute de 199°37'50" e distância de 40,95 m., até o vértice **94**, de coordenadas **N 8.248.154,98** m. e **E 203.173,64** m.; deste, segue com azimute de 205°04'39" e distância de 20,33 m., até o vértice **95**, de coordenadas **N 8.248.136,56** m. e **E 203.165,02** m.; deste, segue com azimute de 213°34'03" e distância de 19,04 m., até o vértice **96**, de coordenadas **N 8.248.120,70** m. e **E 203.154,49** m.; deste, segue com azimute de 195°35'02" e distância de 38,22 m., até o vértice **97**, de coordenadas **N 8.248.083,88** m. e **E 203.144,23** m.; deste, segue com azimute de 196°48'34" e distância de 43,82 m., até o vértice **98**, de coordenadas **N 8.248.041,93** m. e **E 203.131,55** m.; deste, segue com azimute de 201°55'49" e distância de 68,30 m., até o vértice **99**, de coordenadas **N 8.247.978,57** m. e **E 203.106,05** m.; deste, segue com azimute de 189°03'16" e distância de 41,83 m., até o vértice **100**, de coordenadas **N 8.247.937,27** m. e **E 203.099,46** m.; deste, segue com azimute de 202°30'20" e distância de 29,62 m., até o vértice **101**, de coordenadas **N 8.247.909,90** m. e **E 203.088,13** m.; deste, segue com azimute de 193°16'54" e distância de 26,62 m., até o vértice **102**, de coordenadas **N 8.247.883,99** m. e **E 203.082,01** m.; deste, segue com azimute de 204°27'48" e distância de 62,36 m., até o vértice **103**, de coordenadas **N 8.247.827,23** m. e **E 203.056,18** m.; deste, segue com azimute de 210°49'32" e distância de 21,00 m., até o vértice **104**, de coordenadas **N 8.247.809,20** m. e **E 203.045,42** m.; deste, segue com azimute de 192°27'39" e distância de 21,18 m., até o vértice **105**, de coordenadas **N 8.247.788,51** m. e **E 203.040,85** m.; deste, segue com azimute de 205°39'17" e distância de 19,16 m., até o vértice **106**, de coordenadas **N 8.247.771,25** m. e **E 203.032,56** m.; deste, segue com azimute de 188°25'31" e distância de 25,74 m., até o vértice **107**, de coordenadas **N 8.247.745,78** m. e **E 203.028,79** m.; deste, segue com azimute de 174°17'01" e distância



SFL - PLC 0019/2019 folha 000317

de 26,26 m., até o vértice **108**, de coordenadas **N 8.247.719,66** m. e **E 203.031,40** m., situado no ponto às margens do Córrego Taboquinha; deste segue margeando o Córrego Taboquinha até o vértice **109**, de coordenadas **N 8.244.593,24** m. e **E 205.827,63** m., situado na confluência do Córrego Taboquinha com o Ribeirão Taboca; deste segue margeando o Ribeirão Taboca até o vértice **110**, de coordenadas **N 8.242.893,11** m. e **E 209.393,20** m., situado na confluência do Ribeirão Taboca com o Rio São Bartolomeu; deste segue margeando o Rio São Bartolomeu até o vértice **111**, de coordenadas **N 8.240.961,35** m. e **E 210.104,95** m., situado na confluência do Rio São Bartolomeu com o Ribeirão Santo Antônio da Papuda; deste segue margeando o Ribeirão Santo Antônio da Papuda até o vértice **112**, de coordenadas **N 8.239.939,22** m. e **E 204.213,39** m., situado na confluência do Ribeirão Santo Antônio da Papuda com o Córrego Mato Grande ; deste segue margeando o Córrego Mato Grande até o vértice **114**, de coordenadas **N 8.242.288,72** m. e **E 199.933,19** m.; deste, segue com azimute de 202°05'36" e distância de 68,66 m., até o vértice **115**, de coordenadas **N 8.242.225,10** m. e **E 199.907,36 m.**; deste, segue com azimute de 146°19'25" e distância de 22,82 m., até o vértice **116**, de coordenadas **N 8.242.206,12** m. e **E 199.920,01** m.; deste, segue com azimute de 203°25'43" e distância de 7,87 m., até o vértice **117**, de coordenadas **N 8.242.198,90** m. e **E 199.916,88 m.**; deste, segue com azimute de 108°46'39" e distância de 4,24 m., até o vértice **118**, de coordenadas **N 8.242.197,53** m. e **E 199.920,90** m.; deste, segue com azimute de 91°06'16" e distância de 33,30 m., até o vértice **119**, de coordenadas **N 8.242.196,89** m. e **E 199.954,19** m.; deste, segue com azimute de 86°18'36" e distância de 27,23 m., até o vértice **120**, de coordenadas **N 8.242.198,64** m. e **E 199.981,37** m.; deste, segue com azimute de 81°56'35" e distância de 59,64 m., até o vértice **121**, de coordenadas **N 8.242.207,00** m. e **E 200.040,42** m.; deste, segue com azimute de 82°15'29" e distância de 45,04 m., até o vértice **122**, de coordenadas **N 8.242.213,07** m. e **E 200.085,05** m.; deste, segue com azimute de 84°26'12" e distância de 20,86 m., até o vértice **123**, de coordenadas **N 8.242.215,09** m. e **E 200.105,81** m.; deste, segue com azimute de 89°29'35" e distância de 30,47 m., até o vértice **124**, de coordenadas **N 8.242.215,36** m. e **E 200.136,28** m.; deste, segue com azimute de 88°07'36" e distância de 29,35 m., até o vértice **125**, de coordenadas **N 8.242.216,32** m. e **E 200.165,62** m.; deste, segue com azimute de 89°43'24" e distância de 41,69 m., até o vértice **126**, de coordenadas **N 8.242.216,52** m. e **E 200.207,31** m.; deste, segue com azimute de 89°43'23" e distância de 27,63 m., até o vértice **127**, de coordenadas **N 8.242.216,65** m. e **E 200.234,94** m.; deste, segue com azimute de 91°48'18" e distância de 52,68 m., até o vértice **128**, de coordenadas **N 8.242.215,00** m. e **E 200.287,59** m.; deste,



SFL - PLC 0019/2019 folha 000318

segue com azimute de 82°58'53" e distância de 77,80 m., até o vértice **129**, de coordenadas **N 8.242.224,50** m. e **E 200.364,80** m.; deste, segue com azimute de 55°00'15" e distância de 107,58 m., até o vértice **130**, de coordenadas **N 8.242.286,20** m. e **E 200.452,93** m.; deste, segue com azimute de 55°00'15" e distância de 100,90 m., até o vértice **131**, de coordenadas **N 8.242.344,07** m. e **E 200.535,58** m.; deste, segue com azimute de 53°35'06" e distância de 93,65 m., até o vértice **132**, de coordenadas **N 8.242.399,66** m. e **E 200.610,95** m.; deste, segue com azimute de 135°58'15" e distância de 23,80 m., até o vértice **133**, de coordenadas **N 8.242.382,55** m. e **E 200.627,49** m.; deste, segue com azimute de 162°43'42" e distância de 35,54 m., até o vértice **134**, de coordenadas **N 8.242.348,61** m. e **E 200.638,04** m.; deste, segue com azimute de 169°55'10" e distância de 22,81 m., até o vértice **135**, de coordenadas **N 8.242.326,15** m. e **E 200.642,03** m.; deste, segue com azimute de 177°42'33" e distância de 17,84 m., até o vértice **136**, de coordenadas **N 8.242.308,32** m. e **E 200.642,75** m.; deste, segue com azimute de 188°15'35" e distância de 8,93 m., até o vértice **137**, de coordenadas **N 8.242.299,48** m. e **E 200.641,46** m.; deste, segue com azimute de 195°23'44" e distância de 20,41 m., até o vértice **138**, de coordenadas **N 8.242.279,80** m. e **E 200.636,04** m.; deste, segue com azimute de 200°38'00" e distância de 24,69 m., até o vértice **139**, de coordenadas **N 8.242.256,70** m. e **E 200.627,35** m.; deste, segue com azimute de 198°47'48" e distância de 9,29 m., até o vértice **140**, de coordenadas **N 8.242.247,90** m. e **E 200.624,35** m.; deste, segue com azimute de 195°51'57" e distância de 14,08 m., até o vértice **141**, de coordenadas **N 8.242.234,35** m. e **E 200.620,50** m.; deste, segue com azimute de 186°14'30" e distância de 9,18 m., até o vértice **142**, de coordenadas **N 8.242.225,22** m. e **E 200.619,50** m.; deste, segue com azimute de 168°52'14" e distância de 8,87 m., até o vértice **143**, de coordenadas **N 8.242.216,52** m. e **E 200.621,21** m.; deste, segue com azimute de 158°31'26" e distância de 9,35 m., até o vértice **144**, de coordenadas **N 8.242.207,82** m. e **E 200.624,64** m.; deste, segue com azimute de 150°24'27" e distância de 13,28 m., até o vértice **145**, de coordenadas **N 8.242.196,27** m. e **E 200.631,20** m.; deste, segue com azimute de 136°16'23" e distância de 18,16 m., até o vértice **146**, de coordenadas **N 8.242.183,15** m. e **E 200.643,74** m.; deste, segue com azimute de 132°50'36" e distância de 16,88 m., até o vértice **147**, de coordenadas **N 8.242.171,67** m. e **E 200.656,12** m.; deste, segue com azimute de 143°24'33" e distância de 11,72 m., até o vértice **148**, de coordenadas **N 8.242.162,26** m. e **E 200.663,11** m.; deste, segue com azimute de 162°01'50" e distância de 11,09 m., até o vértice **149**, de coordenadas **N 8.242.151,71** m. e **E 200.666,53** m.; deste, segue com azimute de 177°33'49" e distância de 13,42 m., até o vértice **150**, de coordenadas **N 8.242.138,30** m. e **E 200.667,10** m.; deste,



SPL - PLC 0019/2019 folha 000319

segue com azimute de 190°00'27" e distância de 4,92 m., até o vértice **151**, de coordenadas **N 8.242.133,45** m. e **E 200.666,25** m.; deste, segue com azimute de 204°39'58" e distância de 16,74 m., até o vértice **152**, de coordenadas **N 8.242.118,24** m. e **E 200.659,26** m.; deste, segue com azimute de 208°24'06" e distância de 21,89 m., até o vértice **153**, de coordenadas **N 8.242.098,99** m. e **E 200.648,85** m.; deste, segue com azimute de 216°53'01" e distância de 23,93 m., até o vértice **154**, de coordenadas **N 8.242.079,85** m. e **E 200.634,49** m.; deste, segue com azimute de 223°06'41" e distância de 9,18 m., até o vértice **155**, de coordenadas **N 8.242.073,15** m. e **E 200.628,22** m.; deste, segue com azimute de 225°35'26" e distância de 19,56 m., até o vértice **156**, de coordenadas **N 8.242.059,45** m. e **E 200.614,24** m.; deste, segue com azimute de 220°24'00" e distância de 17,60 m., até o vértice **157**, de coordenadas **N 8.242.046,05** m. e **E 200.602,83** m.; deste, segue com azimute de 215°10'00" e distância de 15,35 m., até o vértice **158**, de coordenadas **N 8.242.033,50** m. e **E 200.593,99** m.; deste, segue com azimute de 219°55'56" e distância de 14,04 m., até o vértice **159**, de coordenadas **N 8.242.022,73** m. e **E 200.584,98** m.; deste, segue com azimute de 214°15'39" e distância de 11,91 m., até o vértice **160**, de coordenadas **N 8.242.012,89** m. e **E 200.578,27** m.; deste, segue com azimute de 212°51'21" e distância de 8,15 m., até o vértice **161**, de coordenadas **N 8.242.006,05** m. e **E 200.573,85** m.; deste, segue com azimute de 203°05'48" e distância de 10,54 m., até o vértice **162**, de coordenadas **N 8.241.996,35** m. e **E 200.569,72** m.; deste, segue com azimute de 195°06'04" e distância de 9,31 m., até o vértice **163**, de coordenadas **N 8.241.987,37** m. e **E 200.567,29** m.; deste, segue com azimute de 191°27'31" e distância de 10,77 m., até o vértice **164**, de coordenadas **N 8.241.976,81** m. e **E 200.565,15** m.; deste, segue com azimute de 184°42'29" e distância de 12,16 m., até o vértice **165**, de coordenadas **N 8.241.964,69** m. e **E 200.564,16** m.; deste, segue com azimute de 180°30'09" e distância de 16,26 m., até o vértice **166**, de coordenadas **N 8.241.948,44** m. e **E 200.564,01** m.; deste, segue com azimute de 175°16'11" e distância de 12,11 m., até o vértice **167**, de coordenadas **N 8.241.936,37** m. e **E 200.565,01** m.; deste, segue com azimute de 173°18'39" e distância de 23,26 m., até o vértice **168**, de coordenadas **N 8.241.913,27** m. e **E 200.567,72** m.; deste, segue com azimute de 176°35'01" e distância de 9,57 m., até o vértice **169**, de coordenadas **N 8.241.903,71** m. e **E 200.568,29** m.; deste, segue com azimute de 191°06'39" e distância de 16,66 m., até o vértice **170**, de coordenadas **N 8.241.887,37** m. e **E 200.565,08** m.; deste, segue com azimute de 201°48'04" e distância de 10,69 m., até o vértice **171**, de coordenadas **N 8.241.877,45** m. e **E 200.561,11** m.; deste, segue com azimute de 211°13'08" e distância de 4,62 m., até o vértice **172**, de coordenadas **N 8.241.873,49** m. e **E 200.558,72** m.; deste,



SPL - PLC 0019/2019 folha 000320

segue com azimute de 211°13'05" e distância de 8,14 m., até o vértice **173**, de coordenadas **N 8.241.866,53** m. e **E 200.554,50** m.; deste, segue com azimute de 210°01'06" e distância de 17,19 m., até o vértice **174**, de coordenadas **N 8.241.851,65** m. e **E 200.545,90** m.; deste, segue com azimute de 192°18'29" e distância de 18,62 m., até o vértice **175**, de coordenadas **N 8.241.833,46** m. e **E 200.541,93** m.; deste, segue com azimute de 187°45'54" e distância de 14,69 m., até o vértice **176**, de coordenadas **N 8.241.818,91** m. e **E 200.539,95** m.; deste, segue com azimute de 175°54'53" e distância de 9,28 m., até o vértice **177**, de coordenadas **N 8.241.809,65** m. e **E 200.540,61** m.; deste, segue com azimute de 181°44'56" e distância de 23,75 m., até o vértice **178**, de coordenadas **N 8.241.785,91** m. e **E 200.539,88** m.; deste, segue com azimute de 187°00'59" e distância de 21,66 m., até o vértice **179**, de coordenadas **N 8.241.764,41** m. e **E 200.537,24** m.; deste, segue com azimute de 191°08'35" e distância de 22,25 m., até o vértice **180**, de coordenadas **N 8.241.742,58** m. e **E 200.532,94** m.; deste, segue com azimute de 183°12'56" e distância de 29,48 m., até o vértice **181**, de coordenadas **N 8.241.713,15** m. e **E 200.531,28** m.; deste, segue com azimute de 171°09'29" e distância de 30,12 m., até o vértice **182**, de coordenadas **N 8.241.683,38** m. e **E 200.535,91** m.; deste, segue com azimute de 153°26'06" e distância de 28,84 m., até o vértice **183**, de coordenadas **N 8.241.657,59** m. e **E 200.548,81** m.; deste, segue com azimute de 140°34'20" e distância de 19,27 m., até o vértice **184**, de coordenadas **N 8.241.642,70** m. e **E 200.561,05** m.; deste, segue com azimute de 124°30'31" e distância de 25,69 m., até o vértice **185**, de coordenadas **N 8.241.628,15** m. e **E 200.582,22** m.; deste, segue com azimute de 120°49'39" e distância de 23,88 m., até o vértice **186**, de coordenadas **N 8.241.615,92** m. e **E 200.602,72** m.; deste, segue com azimute de 115°37'19" e distância de 35,95 m., até o vértice **187**, de coordenadas **N 8.241.600,37** m. e **E 200.635,13** m.; deste, segue com azimute de 118°28'27" e distância de 22,20 m., até o vértice **188**, de coordenadas **N 8.241.589,79** m. e **E 200.654,65** m.; deste, segue com azimute de 119°57'01" e distância de 24,05 m., até o vértice **189**, de coordenadas **N 8.241.577,78** m. e **E 200.675,48** m.; deste, segue com azimute de 201°17'50" e distância de 20,94 m., até o vértice **190**, de coordenadas **N 8.241.558,27** m. e **E 200.667,87** m.; deste, segue com azimute de 197°14'30" e distância de 20,08 m., até o vértice **191**, de coordenadas **N 8.241.539,09** m. e **E 200.661,92** m.; deste, segue com azimute de 193°47'58" e distância de 19,41 m., até o vértice **192**, de coordenadas **N 8.241.520,24** m. e **E 200.657,29** m.; deste, segue com azimute de 189°07'49" e distância de 18,76 m., até o vértice **193**, de coordenadas **N 8.241.501,71** m. e **E 200.654,31** m.; deste, segue com azimute de 188°29'20" e distância de 20,16 m., até o vértice **194**, de coordenadas **N 8.241.481,77** m. e **E 200.651,34** m.; deste,



SFL - PLC 0019/2019 folha 000321

segue com azimute de 175°18'11" e distância de 22,81 m., até o vértice **195**, de coordenadas **N 8.241.459,03** m. e **E 200.653,21** m.; deste, segue com azimute de 169°36'03" e distância de 60,10 m., até o vértice **196**, de coordenadas **N 8.241.399,92** m. e **E 200.664,05** m.; deste, segue com azimute de 186°22'02" e distância de 51,90 m., até o vértice **197**, de coordenadas **N 8.241.348,34** m. e **E 200.658,30** m.; deste, segue com azimute de 119°11'51" e distância de 43,11 m., até o vértice **198**, de coordenadas **N 8.241.327,31** m. e **E 200.695,93** m.; deste, segue com azimute de 135°30'17" e distância de 72,50 m., até o vértice **199**, de coordenadas **N 8.241.275,59** m. e **E 200.746,75** m.; deste, segue com azimute de 189°27'44" e distância de 10,56 m., até o vértice **200**, de coordenadas **N 8.241.265,17** m. e **E 200.745,01** m.; deste, segue com azimute de 158°29'55" e distância de 12,32 m., até o vértice **201**, de coordenadas **N 8.241.253,71** m. e **E 200.749,53** m.; deste, segue com azimute de 152°49'08" e distância de 14,45 m., até o vértice **202**, de coordenadas **N 8.241.240,86** m. e **E 200.756,13** m.; deste, segue com azimute de 137°54'39" e distância de 14,51 m., até o vértice **203**, de coordenadas **N 8.241.230,09** m. e **E 200.765,85** m.; deste, segue com azimute de 114°10'44" e distância de 18,66 m., até o vértice **204**, de coordenadas **N 8.241.222,45** m. e **E 200.782,87** m.; deste, segue com azimute de 106°20'10" e distância de 20,99 m., até o vértice **205**, de coordenadas **N 8.241.216,55** m. e **E 200.803,02** m.; deste, segue com azimute de 113°11'54" e distância de 13,23 m., até o vértice **206**, de coordenadas **N 8.241.211,34** m. e **E 200.815,17** m.; deste, segue com azimute de 138°28'07" e distância de 16,24 m., até o vértice **207**, de coordenadas **N 8.241.199,18** m. e **E 200.825,94** m.; deste, segue com azimute de 162°38'45" e distância de 11,64 m., até o vértice **208**, de coordenadas **N 8.241.188,06** m. e **E 200.829,41** m.; deste, segue com azimute de 185°26'24" e distância de 7,33 m., até o vértice **209**, de coordenadas **N 8.241.180,77** m. e **E 200.828,72** m.; deste, segue com azimute de 208°29'44" e distância de 13,83 m., até o vértice **210**, de coordenadas **N 8.241.168,61** m. e **E 200.822,12** m.; deste, segue com azimute de 220°47'41" e distância de 33,49 m., até o vértice **211**, de coordenadas **N 8.241.143,26** m. e **E 200.800,24** m.; deste, segue com azimute de 223°33'39" e distância de 18,73 m., até o vértice **212**, de coordenadas **N 8.241.129,69** m. e **E 200.787,33** m.; deste, segue com azimute de 223°33'38" e distância de 30,16 m., até o vértice **213**, de coordenadas **N 8.241.107,83** m. e **E 200.766,55** m.; deste, segue com azimute de 235°39'14" e distância de 15,14 m., até o vértice **214**, de coordenadas **N 8.241.099,29** m. e **E 200.754,04** m.; deste, segue com azimute de 250°46'09" e distância de 15,82 m., até o vértice **215**, de coordenadas **N 8.241.094,08** m. e **E 200.739,11** m.; deste, segue com azimute de 256°55'15" e distância de 23,72 m., até o vértice **216**, de coordenadas **N 8.241.088,71** m. e **E 200.716,00** m.; deste,



SPL - PLC 0019/2019 folha 000322

segue com azimute de 256°55'16" e distância de 11,58 m., até o vértice **217**, de coordenadas **N 8.241.086,09** m. e **E 200.704,72** m.; deste, segue com azimute de 247°33'26" e distância de 17,29 m., até o vértice **218**, de coordenadas **N 8.241.079,49** m. e **E 200.688,75** m.; deste, segue com azimute de 229°48'14" e distância de 11,73 m., até o vértice **219**, de coordenadas **N 8.241.071,92** m. e **E 200.679,79** m.; deste, segue com azimute de 226°12'22" e distância de 16,86 m., até o vértice **220**, de coordenadas **N 8.241.060,26** m. e **E 200.667,62** m.; deste, segue com azimute de 211°21'26" e distância de 18,80 m., até o vértice **221**, de coordenadas **N 8.241.044,20** m. e **E 200.657,84** m.; deste, segue com azimute de 118°41'33" e distância de 55,91 m., até o vértice **222**, de coordenadas **N 8.241.017,36** m. e **E 200.706,88** m.; deste, segue com azimute de 121°15'05" e distância de 45,87 m., até o vértice **223**, de coordenadas **N 8.240.993,56** m. e **E 200.746,10** m.; deste, segue com azimute de 120°49'50" e distância de 36,96 m., até o vértice **224**, de coordenadas **N 8.240.974,62** m. e **E 200.777,83** m.; deste, segue com azimute de 120°56'59" e distância de 70,81 m., até o vértice **225**, de coordenadas **N 8.240.938,21** m. e **E 200.838,55** m.; deste, segue com azimute de 120°41'17" e distância de 101,90 m., até o vértice **226**, de coordenadas **N 8.240.886,20** m. e **E 200.926,18** m.; deste, segue com azimute de 120°18'11" e distância de 12,16 m., até o vértice **227**, de coordenadas **N 8.240.880,07** m. e **E 200.936,68** m.; deste, segue com azimute de 194°02'11" e distância de 51,01 m., até o vértice **228**, de coordenadas **N 8.240.830,58** m. e **E 200.924,31** m.; deste, segue com azimute de 219°09'10" e distância de 187,32 m., até o vértice **229**, de coordenadas **N 8.240.685,33** m. e **E 200.806,05** m.; deste, segue com azimute de 205°33'36" e distância de 20,24 m., até o vértice **230**, de coordenadas **N 8.240.667,07** m. e **E 200.797,31** m.; deste, segue com azimute de 192°10'17" e distância de 41,41 m., até o vértice **231**, de coordenadas **N 8.240.626,59** m. e **E 200.788,58** m.; deste, segue com azimute de 190°21'33" e distância de 150,08 m., até o vértice **232**, de coordenadas **N 8.240.478,95** m. e **E 200.761,60** m.; deste, segue com azimute de 172°05'35" e distância de 28,85 m., até o vértice **233**, de coordenadas **N 8.240.450,38** m. e **E 200.765,56** m.; deste, segue com azimute de 112°23'41" e distância de 170,84 m., até o vértice **234**, de coordenadas **N 8.240.385,29** m. e **E 200.923,52** m.; deste, segue com azimute de 202°29'14" e distância de 369,40 m., até o vértice **235**, de coordenadas **N 8.240.043,97** m. e **E 200.782,23** m.; deste, segue com azimute de 169°18'54" e distância de 42,81 m., até o vértice **236**, de coordenadas **N 8.240.001,91** m. e **E 200.790,17** m.; deste, segue com azimute de 160°15'11" e distância de 32,89 m., até o vértice **237**, de coordenadas **N 8.239.970,95** m. e **E 200.801,28** m.; deste, segue com azimute de 164°37'25" e distância de 65,86 m., até o vértice **238**, de coordenadas **N 8.239.907,45** m. e **E 200.818,75** m.; deste,



SPL - PLC 0019/2019 folha 000323

segue com azimute de 148°08'02" e distância de 34,58 m., até o vértice **239**, de coordenadas **N 8.239.878,08** m. e **E 200.837,00** m.; deste, segue com azimute de 107°47'02" e distância de 44,18 m., até o vértice **240**, de coordenadas **N 8.239.864,59** m. e **E 200.879,07** m.; deste, segue com azimute de 118°29'44" e distância de 31,61 m., até o vértice **241**, de coordenadas **N 8.239.849,51** m. e **E 200.906,85** m.; deste, segue com azimute de 90°00'00" e distância de 14,29 m., até o vértice **242**, de coordenadas **N 8.239.849,51** m. e **E 200.921,14** m.; deste, segue com azimute de 117°38'46" e distância de 18,82 m., até o vértice **243**, de coordenadas **N 8.239.840,77** m. e **E 200.937,81** m.; deste, segue com azimute de 90°00'00" e distância de 9,53 m., até o vértice **244**, de coordenadas **N 8.239.840,77** m. e **E 200.947,33** m.; deste, segue com azimute de 119°03'15" e distância de 8,17 m., até o vértice **245**, de coordenadas **N 8.239.836,81** m. e **E 200.954,48** m.; deste, segue com azimute de 90°00'00" e distância de 15,08 m., até o vértice **246**, de coordenadas **N 8.239.836,81** m. e **E 200.969,56** m.; deste, segue com azimute de 127°34'07" e distância de 13,02 m., até o vértice **247**, de coordenadas **N 8.239.828,87** m. e **E 200.979,88** m.; deste, segue com azimute de 151°41'57" e distância de 11,72 m., até o vértice **248**, de coordenadas **N 8.239.818,55** m. e **E 200.985,43** m.; deste, segue com azimute de 111°15'02" e distância de 15,33 m., até o vértice **249**, de coordenadas **N 8.239.812,99** m. e **E 200.999,72** m.; deste, segue com azimute de 138°48'50" e distância de 8,44 m., até o vértice **250**, de coordenadas **N 8.239.806,64** m. e **E 201.005,28** m.; deste, segue com azimute de 127°34'06" e distância de 13,02 m., até o vértice **251**, de coordenadas **N 8.239.798,71** m. e **E 201.015,60** m.; deste, segue com azimute de 176°38'02" e distância de 13,52 m., até o vértice **252**, de coordenadas **N 8.239.785,21** m. e **E 201.016,39** m.; deste, segue com azimute de 171°15'14" e distância de 10,44 m., até o vértice **253**, de coordenadas **N 8.239.774,89** m. e **E 201.017,98** m.; deste, segue com azimute de 105°15'19" e distância de 9,05 m., até o vértice **254**, de coordenadas **N 8.239.772,51** m. e **E 201.026,71** m.; deste, segue com azimute de 69°26'38" e distância de 13,56 m., até o vértice **255**, de coordenadas **N 8.239.777,27** m. e **E 201.039,41** m.; deste, segue com azimute de 116°33'54" e distância de 19,52 m., até o vértice **256**, de coordenadas **N 8.239.768,54** m. e **E 201.056,87** m.; deste, segue com azimute de 100°29'29" e distância de 21,80 m., até o vértice **257**, de coordenadas **N 8.239.764,57** m. e **E 201.078,30** m.; deste, segue com azimute de 116°33'54" e distância de 19,52 m., até o vértice **258**, de coordenadas **N 8.239.755,84** m. e **E 201.095,76** m.; deste, segue com azimute de 133°20'36" e distância de 18,16 m., até o vértice **259**, de coordenadas **N 8.239.743,38** m. e **E 201.108,97** m.; deste, segue com azimute de 115°50'22" e distância de 9,24 m., até o vértice **260**, de coordenadas **N 8.239.739,35** m. e **E 201.117,29** m.; deste,



SPL - PLC 0019/2019 folha 000324

segue com azimute de 145°53'42" e distância de 14,76 m., até o vértice **261**, de coordenadas **N 8.239.727,13** m. e **E 201.125,56** m.; deste, segue com azimute de 118°31'45" e distância de 22,59 m., até o vértice **262**, de coordenadas **N 8.239.716,34** m. e **E 201.145,41** m.; deste, segue com azimute de 101°14'33" e distância de 13,47 m., até o vértice **263**, de coordenadas **N 8.239.713,72** m. e **E 201.158,62** m.; deste, segue com azimute de 99°07'54" e distância de 13,35 m., até o vértice **264**, de coordenadas **N 8.239.711,60** m. e **E 201.171,80** m.; deste, segue com azimute de 95°26'58" e distância de 13,61 m., até o vértice **265**, de coordenadas **N 8.239.710,31** m. e **E 201.185,34** m.; deste, segue com azimute de 95°26'57" e distância de 3,96 m., até o vértice **266**, de coordenadas **N 8.239.709,93** m. e **E 201.189,29** m.; deste, segue com azimute de 115°46'01" e distância de 11,32 m., até o vértice **267**, de coordenadas **N 8.239.705,01** m. e **E 201.199,48** m.; deste, segue com azimute de 137°31'00" e distância de 13,87 m., até o vértice **268**, de coordenadas **N 8.239.694,78** m. e **E 201.208,85** m.; deste, segue com azimute de 159°13'13" e distância de 7,32 m., até o vértice **269**, de coordenadas **N 8.239.687,94** m. e **E 201.211,45** m.; deste, segue com azimute de 164°01'25" e distância de 12,68 m., até o vértice **270**, de coordenadas **N 8.239.675,74** m. e **E 201.214,94** m.; deste, segue com azimute de 168°55'04" e distância de 18,67 m., até o vértice **271**, de coordenadas **N 8.239.657,42** m. e **E 201.218,53** m.; deste, segue com azimute de 183°18'25" e distância de 12,09 m., até o vértice **272**, de coordenadas **N 8.239.645,35** m. e **E 201.217,83** m.; deste, segue com azimute de 183°18'26" e distância de 9,06 m., até o vértice **273**, de coordenadas **N 8.239.636,31** m. e **E 201.217,31** m.; deste, segue com azimute de 183°18'25" e distância de 15,94 m., até o vértice **274**, de coordenadas **N 8.239.620,39** m. e **E 201.216,39** m.; deste, segue com azimute de 152°22'51" e distância de 12,97 m., até o vértice **275**, de coordenadas **N 8.239.608,90** m. e **E 201.222,40** m.; deste, segue com azimute de 143°06'25" e distância de 8,68 m., até o vértice **276**, de coordenadas **N 8.239.601,96** m. e **E 201.227,61** m.; deste, segue com azimute de 165°57'08" e distância de 11,13 m., até o vértice **277**, de coordenadas **N 8.239.591,17** m. e **E 201.230,31** m.; deste, segue com azimute de 175°29'30" e distância de 9,24 m., até o vértice **278**, de coordenadas **N 8.239.581,95** m. e **E 201.231,04** m.; deste, segue com azimute de 175°29'31" e distância de 13,75 m., até o vértice **279**, de coordenadas **N 8.239.568,25** m. e **E 201.232,12** m.; deste, segue com azimute de 173°39'17" e distância de 12,14 m., até o vértice **280**, de coordenadas **N 8.239.556,18** m. e **E 201.233,46** m.; deste, segue com azimute de 173°39'15" e distância de 14,17 m., até o vértice **281**, de coordenadas **N 8.239.542,10** m. e **E 201.235,02** m.; deste, segue com azimute de 189°03'30" e distância de 13,93 m., até o vértice **282**, de coordenadas **N 8.239.528,34** m. e **E 201.232,83** m.; deste,



SFL - PLC 0019/2019 folha 000325

segue com azimute de 189°03'29" e distância de 13,78 m., até o vértice **283**, de coordenadas **N 8.239.514,73** m. e **E 201.230,66** m.; deste, segue com azimute de 173°36'47" e distância de 12,85 m., até o vértice **284**, de coordenadas **N 8.239.501,97** m. e **E 201.232,09** m.; deste, segue com azimute de 173°36'46" e distância de 11,86 m., até o vértice **285**, de coordenadas **N 8.239.490,18** m. e **E 201.233,41** m.; deste, segue com azimute de 168°59'30" e distância de 13,85 m., até o vértice **286**, de coordenadas **N 8.239.476,59** m. e **E 201.236,05** m.; deste, segue com azimute de 165°36'24" e distância de 11,49 m., até o vértice **287**, de coordenadas **N 8.239.465,46** m. e **E 201.238,91** m.; deste, segue com azimute de 151°19'22" e distância de 16,11 m., até o vértice **288**, de coordenadas **N 8.239.451,32** m. e **E 201.246,64** m.; deste, segue com azimute de 151°19'21" e distância de 7,62 m., até o vértice **289**, de coordenadas **N 8.239.444,63** m. e **E 201.250,30** m.; deste, segue com azimute de 143°39'07" e distância de 14,07 m., até o vértice **290**, de coordenadas **N 8.239.433,30** m. e **E 201.258,64** m., situado no ponto às margens do Córrego Boi Manso; deste segue margeando o Córrego Boi Manso até o vértice **291**, de coordenadas **N 8.238.777,08** m. e **E 203.141,13** m., situado na confluência do Córrego Boi Manso com o Ribeirão Santo Antônio da Papuda; deste segue margeando o Ribeirão Santo Antônio da Papuda até o vértice **292**, de coordenadas **N 8.236.643,66** m. e **E 199.733,10** m.; deste, segue com azimute de 201°59'22" e distância de 25,66 m., até o vértice **293**, de coordenadas **N 8.236.619,88** m. e **E 199.723,49** m.; deste, segue com azimute de 204°49'13" e distância de 23,20 m., até o vértice **294**, de coordenadas **N 8.236.598,82** m. e **E 199.713,76** m.; deste, segue com azimute de 211°03'55" e distância de 16,47 m., até o vértice **295**, de coordenadas **N 8.236.584,71** m. e **E 199.705,26** m.; deste, segue com azimute de 223°59'16" e distância de 25,02 m., até o vértice **296**, de coordenadas **N 8.236.566,71** m. e **E 199.687,88** m.; deste, segue com azimute de 138°37'35" e distância de 26,36 m., até o vértice **297**, de coordenadas **N 8.236.546,93** m. e **E 199.705,31** m.; deste, segue com azimute de 149°58'27" e distância de 14,67 m., até o vértice **298**, de coordenadas **N 8.236.534,23** m. e **E 199.712,65** m.; deste, segue com azimute de 185°25'59" e distância de 32,64 m., até o vértice **299**, de coordenadas **N 8.236.501,74** m. e **E 199.709,56** m.; deste, segue com azimute de 221°14'19" e distância de 23,50 m., até o vértice **300**, de coordenadas **N 8.236.484,07** m. e **E 199.694,07** m.; deste, segue com azimute de 208°30'33" e distância de 31,64 m., até o vértice **301**, de coordenadas **N 8.236.456,27** m. e **E 199.678,97** m.; deste, segue com azimute de 197°50'34" e distância de 32,11 m., até o vértice **302**, de coordenadas **N 8.236.425,70** m. e **E 199.669,13** m.; deste, segue com azimute de 185°58'55" e distância de 42,22 m., até o vértice **303**, de coordenadas **N 8.236.383,71** m. e **E 199.664,73** m.; deste,



SFL - PLC 0019/2019 folha 000326

segue com azimute de 205°27'11" e distância de 273,81 m., até o vértice **304**, de coordenadas **N 8.236.136,47** m. e **E 199.547,05** m.; deste, segue com azimute de 199°43'05" e distância de 256,04 m., até o vértice **305**, de coordenadas **N 8.235.895,44** m. e **E 199.460,66** m.; deste, segue com azimute de 199°58'20" e distância de 86,41 m., até o vértice **306**, de coordenadas **N 8.235.814,23** m. e **E 199.431,15** m.; deste, segue com azimute de 147°44'32" e distância de 9,23 m., até o vértice **307**, de coordenadas **N 8.235.806,42** m. e **E 199.436,07** m.; deste, segue com azimute de 120°10'13" e distância de 6,22 m., até o vértice **308**, de coordenadas **N 8.235.803,30** m. e **E 199.441,45** m.; deste, segue com azimute de 120°10'15" e distância de 6,66 m., até o vértice **309**, de coordenadas **N 8.235.799,95** m. e **E 199.447,21** m.; deste, segue com azimute de 133°58'19" e distância de 9,81 m., até o vértice **310**, de coordenadas **N 8.235.793,14** m. e **E 199.454,27** m.; deste, segue com azimute de 133°58'18" e distância de 30,56 m., até o vértice **311**, de coordenadas **N 8.235.771,92** m. e **E 199.476,27** m.; deste, segue com azimute de 111°14'52" e distância de 15,50 m., até o vértice **312**, de coordenadas **N 8.235.766,30** m. e **E 199.490,71** m.; deste, segue com azimute de 124°26'14" e distância de 17,08 m., até o vértice **313**, de coordenadas **N 8.235.756,64** m. e **E 199.504,80** m.; deste, segue com azimute de 124°26'14" e distância de 20,29 m., até o vértice **314**, de coordenadas **N 8.235.745,16** m. e **E 199.521,54** m.; deste, segue com azimute de 124°26'14" e distância de 14,18 m., até o vértice **315**, de coordenadas **N 8.235.737,15** m. e **E 199.533,23** m.; deste, segue com azimute de 109°17'25" e distância de 9,82 m., até o vértice **316**, de coordenadas **N 8.235.733,90** m. e **E 199.542,50** m.; deste, segue com azimute de 95°06'30" e distância de 12,56 m., até o vértice **317**, de coordenadas **N 8.235.732,78** m. e **E 199.555,01** m.; deste, segue com azimute de 128°07'21" e distância de 17,24 m., até o vértice **318**, de coordenadas **N 8.235.722,14** m. e **E 199.568,57** m.; deste, segue com azimute de 84°34'22" e distância de 21,06 m., até o vértice **319**, de coordenadas **N 8.235.724,13** m. e **E 199.589,54** m.; deste, segue com azimute de 100°45'55" e distância de 20,42 m., até o vértice **320**, de coordenadas **N 8.235.720,32** m. e **E 199.609,60** m.; deste, segue com azimute de 120°34'15" e distância de 11,16 m., até o vértice **321**, de coordenadas **N 8.235.714,64** m. e **E 199.619,21** m.; deste, segue com azimute de 144°00'01" e distância de 24,31 m., até o vértice **322**, de coordenadas **N 8.235.694,97** m. e **E 199.633,50** m.; deste, segue com azimute de 165°30'22" e distância de 24,23 m., até o vértice **323**, de coordenadas **N 8.235.671,51** m. e **E 199.639,56** m.; deste, segue com azimute de 177°06'37" e distância de 10,80 m., até o vértice **324**, de coordenadas **N 8.235.660,73** m. e **E 199.640,11** m.; deste, segue com azimute de 199°25'28" e distância de 5,00 m., até o vértice **325**, de coordenadas **N 8.235.656,02** m. e **E 199.638,44** m.; deste,



SPL - PLC 0019/2019 folha 000327

segue com azimute de 227°05'29" e distância de 5,54 m., até o vértice **326**, de coordenadas **N 8.235.652,24** m. e **E 199.634,38** m.; deste, segue com azimute de 192°27'21" e distância de 4,62 m., até o vértice **327**, de coordenadas **N 8.235.647,73** m. e **E 199.633,39** m.; deste, segue com azimute de 142°16'34" e distância de 9,61 m., até o vértice **328**, de coordenadas **N 8.235.640,13** m. e **E 199.639,27** m.; deste, segue com azimute de 198°12'18" e distância de 10,21 m., até o vértice **329**, de coordenadas **N 8.235.630,44** m. e **E 199.636,08** m.; deste, segue com azimute de 148°45'19" e distância de 19,75 m., até o vértice **330**, de coordenadas **N 8.235.613,55** m. e **E 199.646,32** m.; deste, segue com azimute de 180°58'34" e distância de 14,14 m., até o vértice **331**, de coordenadas **N 8.235.599,41** m. e **E 199.646,08** m.; deste, segue com azimute de 147°50'03" e distância de 7,50 m., até o vértice **332**, de coordenadas **N 8.235.593,06** m. e **E 199.650,07** m.; deste, segue com azimute de 127°59'02" e distância de 14,03 m., até o vértice **333**, de coordenadas **N 8.235.584,43** m. e **E 199.661,13** m.; deste, segue com azimute de 114°10'29" e distância de 19,81 m., até o vértice **334**, de coordenadas **N 8.235.576,31** m. e **E 199.679,20** m.; deste, segue com azimute de 167°29'39" e distância de 9,02 m., até o vértice **335**, de coordenadas **N 8.235.567,51** m. e **E 199.681,16** m.; deste, segue com azimute de 153°04'57" e distância de 12,02 m., até o vértice **336**, de coordenadas **N 8.235.556,79** m. e **E 199.686,60** m.; deste, segue com azimute de 178°14'12" e distância de 9,71 m., até o vértice **337**, de coordenadas **N 8.235.547,09** m. e **E 199.686,90** m.; deste, segue com azimute de 152°23'04" e distância de 15,02 m., até o vértice **338**, de coordenadas **N 8.235.533,78** m. e **E 199.693,86** m.; deste, segue com azimute de 110°09'20" e distância de 6,18 m., até o vértice **339**, de coordenadas **N 8.235.531,65** m. e **E 199.699,66** m.; deste, segue com azimute de 78°23'34" e distância de 24,33 m., até o vértice **340**, de coordenadas **N 8.235.536,55** m. e **E 199.723,50** m., situado no ponto às margens do Ribeirão Cachoeirinha; deste segue margeando o Ribeirão Cachoeirinha até o vértice **341**, de coordenadas **N 8.232.078,91** m. e **E 204.600,83** m.; deste, segue com azimute de 270°56'52" e distância de 35,85 m., até o vértice **342**, de coordenadas **N 8.232.079,51** m. e **E 204.564,99** m.; deste, segue com azimute de 255°05'59" e distância de 24,08 m., até o vértice **343**, de coordenadas **N 8.232.073,32** m. e **E 204.541,72** m.; deste, segue com azimute de 243°09'58" e distância de 17,98 m., até o vértice **344**, de coordenadas **N 8.232.065,20** m. e **E 204.525,67** m.; deste, segue com azimute de 233°40'48" e distância de 16,70 m., até o vértice **345**, de coordenadas **N 8.232.055,30** m. e **E 204.512,22** m.; deste, segue com azimute de 226°50'35" e distância de 17,39 m., até o vértice **346**, de coordenadas **N 8.232.043,41** m. e **E 204.499,53** m.; deste, segue com azimute de 220°31'50" e distância de 20,49 m., até o vértice **347**, de coordenadas



SPL - PLC 0019/2019 folha 000328

**N 8.232.027,84** m. e **E 204.486,21** m.; deste, segue com azimute de 247°50'16" e distância de 9,37 m., até o vértice **348**, de coordenadas **N 8.232.024,30** m. e **E 204.477,54** m.; deste, segue com azimute de 261°21'02" e distância de 16,98 m., até o vértice **349**, de coordenadas **N 8.232.021,75** m. e **E 204.460,74** m.; deste, segue com azimute de 249°42'23" e distância de 8,08 m., até o vértice **350**, de coordenadas **N 8.232.018,94** m. e **E 204.453,16** m.; deste, segue com azimute de 213°54'11" e distância de 23,57 m., até o vértice **351**, de coordenadas **N 8.231.999,38** m. e **E 204.440,02** m.; deste, segue com azimute de 238°35'09" e distância de 15,20 m., até o vértice **352**, de coordenadas **N 8.231.991,46** m. e **E 204.427,04** m.; deste, segue com azimute de 209°24'46" e distância de 16,29 m., até o vértice **353**, de coordenadas **N 8.231.977,27** m. e **E 204.419,05** m.; deste, segue com azimute de 219°16'36" e distância de 15,15 m., até o vértice **354**, de coordenadas **N 8.231.965,54** m. e **E 204.409,45** m.; deste, segue com azimute de 205°39'10" e distância de 14,05 m., até o vértice **355**, de coordenadas **N 8.231.952,88** m. e **E 204.403,37** m.; deste, segue com azimute de 246°50'58" e distância de 9,46 m., até o vértice **356**, de coordenadas **N 8.231.949,16** m. e **E 204.394,67** m.; deste, segue com azimute de 225°53'23" e distância de 7,12 m., até o vértice **357**, de coordenadas **N 8.231.944,20** m. e **E 204.389,56** m.; deste, segue com azimute de 203°41'36" e distância de 4,07 m., até o vértice **358**, de coordenadas **N 8.231.940,48** m. e **E 204.387,93** m.; deste, segue com azimute de 184°26'30" e distância de 14,21 m., até o vértice **359**, de coordenadas **N 8.231.926,31** m. e **E 204.386,83** m.; deste, segue com azimute de 198°04'45" e distância de 15,05 m., até o vértice **360**, de coordenadas **N 8.231.912,01** m. e **E 204.382,16** m.; deste, segue com azimute de 207°52'54" e distância de 16,86 m., até o vértice **361**, de coordenadas **N 8.231.897,11** m. e **E 204.374,27** m.; deste, segue com azimute de 217°31'12" e distância de 16,14 m., até o vértice **362**, de coordenadas **N 8.231.884,30** m. e **E 204.364,44** m.; deste, segue com azimute de 232°08'46" e distância de 14,26 m., até o vértice **363**, de coordenadas **N 8.231.875,55** m. e **E 204.353,19** m.; deste, segue com azimute de 249°17'31" e distância de 20,46 m., até o vértice **364**, de coordenadas **N 8.231.868,32** m. e **E 204.334,05** m.; deste, segue com azimute de 236°32'15" e distância de 26,37 m., até o vértice **365**, de coordenadas **N 8.231.853,78** m. e **E 204.312,05** m.; deste, segue com azimute de 244°37'20" e distância de 37,33 m., até o vértice **366**, de coordenadas **N 8.231.837,78** m. e **E 204.278,33** m.; deste, segue com azimute de 230°01'00" e distância de 34,44 m., até o vértice **367**, de coordenadas **N 8.231.815,65** m. e **E 204.251,94** m.; deste, segue com azimute de 214°26'16" e distância de 33,56 m., até o vértice **368**, de coordenadas **N 8.231.787,97** m. e **E 204.232,96** m.; deste, segue com azimute de 207°09'09" e distância de 45,24 m., até o vértice **369**, de coordenadas



SFL - PLC 0019/2019 folha 000329

**N 8.231.747,71** m. e **E 204.212,31** m.; deste, segue com azimute de 211°51'52" e distância de 36,34 m., até o vértice **370**, de coordenadas **N 8.231.716,85** m. e **E 204.193,12** m.; deste, segue com azimute de 206°06'38" e distância de 23,37 m., até o vértice **371**, de coordenadas **N 8.231.695,86** m. e **E 204.182,84** m.; deste, segue com azimute de 221°38'46" e distância de 38,16 m., até o vértice **372**, de coordenadas **N 8.231.667,34** m. e **E 204.157,48** m.; deste, segue com azimute de 217°19'11" e distância de 26,00 m., até o vértice **373**, de coordenadas **N 8.231.646,67** m. e **E 204.141,71** m.; deste, segue com azimute de 212°04'19" e distância de 69,74 m., até o vértice **374**, de coordenadas **N 8.231.587,57** m. e **E 204.104,68** m.; deste, segue com azimute de 205°36'50" e distância de 33,35 m., até o vértice **375**, de coordenadas **N 8.231.557,49** m. e **E 204.090,26** m.; deste, segue com azimute de 191°57'49" e distância de 61,42 m., até o vértice **376**, de coordenadas **N 8.231.497,40** m. e **E 204.077,53** m.; deste, segue com azimute de 198°26'48" e distância de 15,47 m., até o vértice **377**, de coordenadas **N 8.231.482,72** m. e **E 204.072,63** m.; deste, segue com azimute de 210°33'00" e distância de 22,29 m., até o vértice **378**, de coordenadas **N 8.231.463,52** m. e **E 204.061,30** m.; deste, segue com azimute de 217°07'19" e distância de 34,90 m., até o vértice **379**, de coordenadas **N 8.231.435,70** m. e **E 204.040,24** m.; deste, segue com azimute de 205°06'11" e distância de 30,07 m., até o vértice **380**, de coordenadas **N 8.231.408,46** m. e **E 204.027,48** m.; deste, segue com azimute de 216°49'01" e distância de 8,37 m., até o vértice **381**, de coordenadas **N 8.231.401,76** m. e **E 204.022,46** m.; deste, segue com azimute de 239°05'23" e distância de 8,71 m., até o vértice **382**, de coordenadas **N 8.231.397,29** m. e **E 204.014,99** m.; deste, segue com azimute de 249°42'03" e distância de 61,16 m., até o vértice **383**, de coordenadas **N 8.231.376,07** m. e **E 203.957,63** m.; deste, segue com azimute de 264°14'17" e distância de 47,78 m., até o vértice **384**, de coordenadas **N 8.231.371,27** m. e **E 203.910,09** m.; deste, segue com azimute de 264°14'16" e distância de 54,77 m., até o vértice **385**, de coordenadas **N 8.231.365,77** m. e **E 203.855,59** m.; deste, segue com azimute de 259°55'21" e distância de 45,49 m., até o vértice **386**, de coordenadas **N 8.231.357,81** m. e **E 203.810,81** m.; deste, segue com azimute de 264°24'13" e distância de 24,90 m., até o vértice **387**, de coordenadas **N 8.231.355,38** m. e **E 203.786,03** m.; deste, segue com azimute de 258°15'05" e distância de 23,97 m., até o vértice **388**, de coordenadas **N 8.231.350,50** m. e **E 203.762,56** m.; deste, segue com azimute de 246°13'33" e distância de 10,25 m., até o vértice **389**, de coordenadas **N 8.231.346,37** m. e **E 203.753,18** m.; deste, segue com azimute de 232°18'05" e distância de 15,22 m., até o vértice **390**, de coordenadas **N 8.231.337,06** m. e **E 203.741,14** m.; deste, segue com azimute de 214°03'46" e distância de 8,25 m., até o vértice **391**, de coordenadas



SFL - PLC 0019/2019 folha 000330

**N 8.231.330,23** m. e **E 203.736,51** m.; deste, segue com azimute de 196°31'13" e distância de 12,47 m., até o vértice **392**, de coordenadas **N 8.231.318,27** m. e **E 203.732,97** m.; deste, segue com azimute de 214°24'08" e distância de 16,76 m., até o vértice **393**, de coordenadas **N 8.231.304,44** m. e **E 203.723,50** m.; deste, segue com azimute de 208°51'12" e distância de 56,50 m., até o vértice **394**, de coordenadas **N 8.231.254,95** m. e **E 203.696,23** m.; deste, segue com azimute de 222°11'55" e distância de 14,90 m., até o vértice **395**, de coordenadas **N 8.231.243,91** m. e **E 203.686,22** m.; deste, segue com azimute de 210°52'22" e distância de 20,54 m., até o vértice **396**, de coordenadas **N 8.231.226,28** m. e **E 203.675,68** m.; deste, segue com azimute de 247°57'24" e distância de 10,55 m., até o vértice **397**, de coordenadas **N 8.231.222,32** m. e **E 203.665,90** m.; deste, segue com azimute de 195°18'45" e distância de 19,27 m., até o vértice **398**, de coordenadas **N 8.231.203,73** m. e **E 203.660,81** m.; deste, segue com azimute de 222°12'13" e distância de 19,28 m., até o vértice **399**, de coordenadas **N 8.231.189,45** m. e **E 203.647,86** m.; deste, segue com azimute de 190°52'19" e distância de 6,42 m., até o vértice **400**, de coordenadas **N 8.231.183,15** m. e **E 203.646,65** m.; deste, segue com azimute de 222°10'47" e distância de 5,75 m., até o vértice **401**, de coordenadas **N 8.231.178,89** m. e **E 203.642,79** m.; deste, segue com azimute de 246°33'24" e distância de 8,51 m., até o vértice **402**, de coordenadas **N 8.231.175,50** m. e **E 203.634,98** m.; deste, segue com azimute de 211°10'05" e distância de 5,63 m., até o vértice **403**, de coordenadas **N 8.231.170,69** m. e **E 203.632,07** m.; deste, segue com azimute de 233°45'42" e distância de 16,18 m., até o vértice **404**, de coordenadas **N 8.231.161,13** m. e **E 203.619,02** m.; deste, segue com azimute de 224°21'49" e distância de 11,04 m., até o vértice **405**, de coordenadas **N 8.231.153,23** m. e **E 203.611,30** m.; deste, segue com azimute de 268°55'50" e distância de 16,88 m., até o vértice **406**, de coordenadas **N 8.231.152,92** m. e **E 203.594,42** m.; deste, segue com azimute de 252°56'44" e distância de 8,75 m., até o vértice **407**, de coordenadas **N 8.231.150,35** m. e **E 203.586,05** m.; deste, segue com azimute de 232°24'37" e distância de 18,16 m., até o vértice **408**, de coordenadas **N 8.231.139,27** m. e **E 203.571,66** m.; deste, segue com azimute de 286°23'03" e distância de 14,84 m., até o vértice **409**, de coordenadas **N 8.231.143,46** m. e **E 203.557,42** m.; deste, segue com azimute de 268°41'40" e distância de 14,90 m., até o vértice **410**, de coordenadas **N 8.231.143,12** m. e **E 203.542,53** m.; deste, segue com azimute de 259°54'23" e distância de 26,04 m., até o vértice **411**, de coordenadas **N 8.231.138,55** m. e **E 203.516,89** m.; deste, segue com azimute de 230°35'24" e distância de 33,01 m., até o vértice **412**, de coordenadas **N 8.231.117,60** m. e **E 203.491,39** m.; deste, segue com azimute de 207°00'12" e distância de 19,32 m., até o vértice **413**, de coordenadas



SPL - PLC 0019/2019 folha 000331

**N 8.231.100,38** m. e **E 203.482,61** m.; deste, segue com azimute de 219°44'26" e distância de 10,95 m., até o vértice **414**, de coordenadas **N 8.231.091,96** m. e **E 203.475,61** m.; deste, segue com azimute de 248°59'55" e distância de 14,48 m., até o vértice **415**, de coordenadas **N 8.231.086,77** m. e **E 203.462,09** m.; deste, segue com azimute de 260°22'57" e distância de 8,99 m., até o vértice **416**, de coordenadas **N 8.231.085,26** m. e **E 203.453,22** m.; deste, segue com azimute de 234°58'40" e distância de 15,28 m., até o vértice **417**, de coordenadas **N 8.231.076,49** m. e **E 203.440,71** m.; deste, segue com azimute de 218°39'39" e distância de 8,98 m., até o vértice **418**, de coordenadas **N 8.231.069,49** m. e **E 203.435,10** m.; deste, segue com azimute de 261°15'39" e distância de 16,95 m., até o vértice **419**, de coordenadas **N 8.231.066,91** m. e **E 203.418,34** m.; deste, segue com azimute de 240°19'09" e distância de 21,95 m., até o vértice **420**, de coordenadas **N 8.231.056,04** m. e **E 203.399,28** m.; deste, segue com azimute de 220°14'31" e distância de 11,60 m., até o vértice **421**, de coordenadas **N 8.231.047,19** m. e **E 203.391,78** m.; deste, segue com azimute de 193°35'01" e distância de 11,78 m., até o vértice **422**, de coordenadas **N 8.231.035,74** m. e **E 203.389,02** m.; deste, segue com azimute de 234°12'59" e distância de 50,96 m., até o vértice **423**, de coordenadas **N 8.231.005,94** m. e **E 203.347,68** m.; deste, segue com azimute de 216°11'55" e distância de 15,00 m., até o vértice **424**, de coordenadas **N 8.230.993,84** m. e **E 203.338,82** m.; deste, segue com azimute de 228°34'46" e distância de 10,44 m., até o vértice **425**, de coordenadas **N 8.230.986,93** m. e **E 203.330,99** m.; deste, segue com azimute de 249°08'54" e distância de 15,61 m., até o vértice **426**, de coordenadas **N 8.230.981,38** m. e **E 203.316,41** m.; deste, segue com azimute de 237°28'20" e distância de 14,55 m., até o vértice **427**, de coordenadas **N 8.230.973,55** m. e **E 203.304,14** m.; deste, segue com azimute de 258°29'32" e distância de 10,89 m., até o vértice **428**, de coordenadas **N 8.230.971,38** m. e **E 203.293,47** m.; deste, segue com azimute de 246°23'25" e distância de 9,33 m., até o vértice **429**, de coordenadas **N 8.230.967,64** m. e **E 203.284,92** m.; deste, segue com azimute de 263°36'17" e distância de 8,69 m., até o vértice **430**, de coordenadas **N 8.230.966,68** m. e **E 203.276,28** m.; deste, segue com azimute de 251°32'52" e distância de 26,04 m., até o vértice **431**, de coordenadas **N 8.230.958,44** m. e **E 203.251,59** m.; deste, segue com azimute de 245°11'15" e distância de 7,55 m., até o vértice **432**, de coordenadas **N 8.230.955,27** m. e **E 203.244,73** m.; deste, segue com azimute de 239°40'21" e distância de 77,39 m., até o vértice **433**, de coordenadas **N 8.230.916,19** m. e **E 203.177,94** m.; deste, segue com azimute de 228°32'40" e distância de 2,41 m., até o vértice **434**, de coordenadas **N 8.230.914,60** m. e **E 203.176,13** m.; deste, segue com azimute de 283°11'32" e distância de 77,81 m., até o vértice **435**, de coordenadas



SFL - PLC 0019/2019 folha 000332

**N 8.230.932,36** m. e **E 203.100,38** m.; deste, segue com azimute de 283°11'32" e distância de 59,70 m., até o vértice **436**, de coordenadas **N 8.230.945,98** m. e **E 203.042,25** m.; deste, segue com azimute de 285°11'21" e distância de 44,66 m., até o vértice **437**, de coordenadas **N 8.230.957,68** m. e **E 202.999,15** m.; deste, segue com azimute de 278°47'27" e distância de 20,28 m., até o vértice **438**, de coordenadas **N 8.230.960,78** m. e **E 202.979,11** m.; deste, segue com azimute de 271°53'30" e distância de 7,69 m., até o vértice **439**, de coordenadas **N 8.230.961,04** m. e **E 202.971,42** m.; deste, segue com azimute de 247°56'41" e distância de 16,12 m., até o vértice **440**, de coordenadas **N 8.230.954,98** m. e **E 202.956,48** m.; deste, segue com azimute de 235°39'04" e distância de 13,41 m., até o vértice **441**, de coordenadas **N 8.230.947,42** m. e **E 202.945,41** m.; deste, segue com azimute de 223°29'14" e distância de 10,25 m., até o vértice **442**, de coordenadas **N 8.230.939,98** m. e **E 202.938,36** m.; deste, segue com azimute de 222°22'47" e distância de 48,98 m., até o vértice **443**, de coordenadas **N 8.230.903,80** m. e **E 202.905,34** m.; deste, segue com azimute de 228°19'24" e distância de 34,42 m., até o vértice **444**, de coordenadas **N 8.230.880,92** m. e **E 202.879,64** m.; deste, segue com azimute de 235°27'32" e distância de 21,19 m., até o vértice **445**, de coordenadas **N 8.230.868,90** m. e **E 202.862,18** m.; deste, segue com azimute de 236°48'40" e distância de 25,39 m., até o vértice **446**, de coordenadas **N 8.230.855,01** m. e **E 202.840,94** m.; deste, segue com azimute de 243°37'56" e distância de 61,09 m., até o vértice **447**, de coordenadas **N 8.230.827,87** m. e **E 202.786,20** m.; deste, segue com azimute de 248°39'37" e distância de 51,34 m., até o vértice **448**, de coordenadas **N 8.230.809,19** m. e **E 202.738,38** m.; deste, segue com azimute de 247°49'58" e distância de 55,43 m., até o vértice **449**, de coordenadas **N 8.230.788,27** m. e **E 202.687,04** m.; deste, segue com azimute de 243°43'25" e distância de 46,98 m., até o vértice **450**, de coordenadas **N 8.230.767,48** m. e **E 202.644,92** m.; deste, segue com azimute de 244°27'18" e distância de 53,52 m., até o vértice **451**, de coordenadas **N 8.230.744,40** m. e **E 202.596,63** m., situado no eixo da Rodovia VC-467; deste segue pela Rodovia VC-467 até o vértice **452**, de coordenadas **N 8.225.717,65** m. e **E 204.574,56** m.; deste, segue com azimute de 92°08'17" e distância de 2.864,80 m., até o vértice **453**, de coordenadas **N 8.225.610,77** m. e **E 207.437,37** m.; deste, segue com azimute de 71°47'26" e distância de 13,36 m., até o vértice **454**, de coordenadas **N 8.225.614,95** m. e **E 207.450,06** m.; deste, segue com azimute de 56°16'26" e distância de 18,56 m., até o vértice **455**, de coordenadas **N 8.225.625,25** m. e **E 207.465,50** m.; deste, segue com azimute de 69°05'05" e distância de 16,02 m., até o vértice **456**, de coordenadas **N 8.225.630,97** m. e **E 207.480,46** m.; deste, segue com azimute de 55°01'13" e distância de 14,82 m., até o vértice **457**, de



SFL - PLC 0019/2019 folha 000333

coordenadas **N 8.225.639,47** m. e **E 207.492,61** m.; deste, segue com azimute de 44°45'05" e distância de 45,17 m., até o vértice **458**, de coordenadas **N 8.225.671,55** m. e **E 207.524,41** m.; deste, segue com azimute de 27°36'05" e distância de 9,48 m., até o vértice **459**, de coordenadas **N 8.225.679,95** m. e **E 207.528,80** m.; deste, segue com azimute de 9°33'10" e distância de 5,92 m., até o vértice **460**, de coordenadas **N 8.225.685,78** m. e **E 207.529,78** m.; deste, segue com azimute de 0°42'54" e distância de 8,02 m., até o vértice **461**, de coordenadas **N 8.225.693,80** m. e **E 207.529,88** m.; deste, segue com azimute de 0°42'52" e distância de 3,86 m., até o vértice **462**, de coordenadas **N 8.225.697,67** m. e **E 207.529,93** m.; deste, segue com azimute de 52°09'00" e distância de 30,47 m., até o vértice **463**, de coordenadas **N 8.225.716,36** m. e **E 207.553,99** m.; deste, segue com azimute de 36°45'53" e distância de 27,29 m., até o vértice **464**, de coordenadas **N 8.225.738,22** m. e **E 207.570,32** m.; deste, segue com azimute de 56°02'31" e distância de 22,88 m., até o vértice **465**, de coordenadas **N 8.225.751,01** m. e **E 207.589,30** m.; deste, segue com azimute de 49°36'44" e distância de 9,09 m., até o vértice **466**, de coordenadas **N 8.225.756,90** m. e **E 207.596,23** m.; deste, segue com azimute de 49°36'42" e distância de 7,35 m., até o vértice **467**, de coordenadas **N 8.225.761,66** m. e **E 207.601,83** m.; deste, segue com azimute de 59°42'53" e distância de 31,32 m., até o vértice **468**, de coordenadas **N 8.225.777,46** m. e **E 207.628,87** m.; deste, segue com azimute de 50°53'55" e distância de 19,85 m., até o vértice **469**, de coordenadas **N 8.225.789,97** m. e **E 207.644,27** m.; deste, segue com azimute de 68°09'08" e distância de 35,98 m., até o vértice **470**, de coordenadas **N 8.225.803,36** m. e **E 207.677,66** m.; deste, segue com azimute de 142°48'54" e distância de 3,70 m., até o vértice **471**, de coordenadas **N 8.225.800,41** m. e **E 207.679,90** m.; deste, segue com azimute de 142°48'53" e distância de 22,06 m., até o vértice **472**, de coordenadas **N 8.225.782,84** m. e **E 207.693,23** m.; deste, segue com azimute de 148°27'13" e distância de 32,12 m., até o vértice **473**, de coordenadas **N 8.225.755,47** m. e **E 207.710,04** m.; deste, segue com azimute de 143°41'41" e distância de 21,95 m., até o vértice **474**, de coordenadas **N 8.225.737,78** m. e **E 207.723,03** m.; deste, segue com azimute de 119°13'32" e distância de 3,16 m., até o vértice **475**, de coordenadas **N 8.225.736,24** m. e **E 207.725,79** m.; deste, segue com azimute de 94°18'02" e distância de 9,91 m., até o vértice **476**, de coordenadas **N 8.225.735,49** m. e **E 207.735,67** m.; deste, segue com azimute de 125°53'02" e distância de 9,13 m., até o vértice **477**, de coordenadas **N 8.225.730,14** m. e **E 207.743,07** m.; deste, segue com azimute de 105°25'58" e distância de 7,49 m., até o vértice **478**, de coordenadas **N 8.225.728,15** m. e **E 207.750,30** m.; deste, segue com azimute de 148°33'08" e distância de 4,89 m., até o vértice **479**, de



SPL - PLC 0019/2019 folha 000334

coordenadas **N 8.225.723,98** m. e **E 207.752,84** m.; deste, segue com azimute de 105°10'43" e distância de 13,78 m., até o vértice **480**, de coordenadas **N 8.225.720,37** m. e **E 207.766,15** m.; deste, segue com azimute de 150°17'45" e distância de 6,69 m., até o vértice **481**, de coordenadas **N 8.225.714,56** m. e **E 207.769,46** m.; deste, segue com azimute de 113°16'05" e distância de 3,17 m., até o vértice **482**, de coordenadas **N 8.225.713,31** m. e **E 207.772,38** m.; deste, segue com azimute de 82°25'38" e distância de 13,36 m., até o vértice **483**, de coordenadas **N 8.225.715,07** m. e **E 207.785,62** m.; deste, segue com azimute de 82°25'41" e distância de 3,77 m., até o vértice **484**, de coordenadas **N 8.225.715,56** m. e **E 207.789,35** m.; deste, segue com azimute de 82°25'38" e distância de 10,32 m., até o vértice **485**, de coordenadas **N 8.225.716,92** m. e **E 207.799,58** m.; deste, segue com azimute de 93°52'27" e distância de 14,01 m., até o vértice **486**, de coordenadas **N 8.225.715,98** m. e **E 207.813,56** m.; deste, segue com azimute de 138°06'14" e distância de 6,66 m., até o vértice **487**, de coordenadas **N 8.225.711,02** m. e **E 207.818,00** m.; deste, segue com azimute de 147°16'34" e distância de 367,14 m., até o vértice **488**, de coordenadas **N 8.225.402,15** m. e **E 208.016,48** m.; deste, segue com azimute de 147°16'34" e distância de 236,87 m., até o vértice **489**, de coordenadas **N 8.225.202,88** m. e **E 208.144,52** m.; deste, segue com azimute de 181°31'22" e distância de 457,96 m., até o vértice **490**, de coordenadas **N 8.224.745,08** m. e **E 208.132,35** m.; deste, segue com azimute de 181°28'09" e distância de 76,94 m., até o vértice **491**, de coordenadas **N 8.224.668,16** m. e **E 208.130,38** m.; deste, segue com azimute de 101°28'47" e distância de 21,30 m., até o vértice **492**, de coordenadas **N 8.224.663,92** m. e **E 208.151,26** m.; deste, segue com azimute de 108°57'00" e distância de 19,74 m., até o vértice **493**, de coordenadas **N 8.224.657,51** m. e **E 208.169,93** m.; deste, segue com azimute de 124°09'44" e distância de 27,60 m., até o vértice **494**, de coordenadas **N 8.224.642,01** m. e **E 208.192,77** m.; deste, segue com azimute de 85°32'33" e distância de 3,73 m., até o vértice **495**, de coordenadas **N 8.224.642,30** m. e **E 208.196,49** m.; deste, segue com azimute de 47°59'41" e distância de 7,04 m., até o vértice **496**, de coordenadas **N 8.224.647,01** m. e **E 208.201,72** m.; deste, segue com azimute de 107°16'06" e distância de 21,12 m., até o vértice **497**, de coordenadas **N 8.224.640,74** m. e **E 208.221,89** m.; deste, segue com azimute de 128°58'14" e distância de 13,53 m., até o vértice **498**, de coordenadas **N 8.224.632,23** m. e **E 208.232,41** m.; deste, segue com azimute de 145°40'46" e distância de 10,34 m., até o vértice **499**, de coordenadas **N 8.224.623,69** m. e **E 208.238,24** m.; deste, segue com azimute de 161°01'28" e distância de 16,76 m., até o vértice **500**, de coordenadas **N 8.224.607,84** m. e **E 208.243,69** m.; deste, segue com azimute de 116°26'50" e distância de 28,27 m., até o vértice **501**, de



SPL - PLC 0019/2019 folha 000335

coordenadas **N 8.224.595,25** m. e **E 208.269,00** m.; deste, segue com azimute de 106°22'53" e distância de 12,09 m., até o vértice **502**, de coordenadas **N 8.224.591,84** m. e **E 208.280,60** m.; deste, segue com azimute de 92°06'08" e distância de 10,09 m., até o vértice **503**, de coordenadas **N 8.224.591,47** m. e **E 208.290,68** m.; deste, segue com azimute de 104°52'12" e distância de 9,00 m., até o vértice **504**, de coordenadas **N 8.224.589,16** m. e **E 208.299,38** m.; deste, segue com azimute de 126°58'14" e distância de 81,96 m., até o vértice **505**, de coordenadas **N 8.224.539,87** m. e **E 208.364,86** m.; deste, segue com azimute de 118°17'47" e distância de 17,91 m., até o vértice **506**, de coordenadas **N 8.224.531,38** m. e **E 208.380,63** m.; deste, segue com azimute de 132°07'47" e distância de 10,45 m., até o vértice **507**, de coordenadas **N 8.224.524,37** m. e **E 208.388,38** m.; deste, segue com azimute de 122°34'11" e distância de 12,48 m., até o vértice **508**, de coordenadas **N 8.224.517,65** m. e **E 208.398,90** m.; deste, segue com azimute de 113°16'25" e distância de 31,16 m., até o vértice **509**, de coordenadas **N 8.224.505,34** m. e **E 208.427,52** m.; deste, segue com azimute de 137°38'50" e distância de 7,81 m., até o vértice **510**, de coordenadas **N 8.224.499,57** m. e **E 208.432,78** m.; deste, segue com azimute de 151°39'21" e distância de 9,08 m., até o vértice **511**, de coordenadas **N 8.224.491,58** m. e **E 208.437,09** m.; deste, segue com azimute de 168°00'51" e distância de 17,40 m., até o vértice **512**, de coordenadas **N 8.224.474,56** m. e **E 208.440,70** m.; deste, segue com azimute de 168°00'54" e distância de 0,23 m., até o vértice **513**, de coordenadas **N 8.224.474,34** m. e **E 208.440,75** m.; deste, segue com azimute de 121°59'47" e distância de 13,70 m., até o vértice **514**, de coordenadas **N 8.224.467,08** m. e **E 208.452,37** m.; deste, segue com azimute de 105°08'36" e distância de 1,30 m., até o vértice **515**, de coordenadas **N 8.224.466,74** m. e **E 208.453,62** m.; deste, segue com azimute de 105°04'32" e distância de 12,51 m., até o vértice **516**, de coordenadas **N 8.224.463,49** m. e **E 208.465,70** m.; deste, segue com azimute de 105°04'30" e distância de 14,96 m., até o vértice **517**, de coordenadas **N 8.224.459,60** m. e **E 208.480,14** m.; deste, segue com azimute de 128°39'35" e distância de 5,51 m., até o vértice **518**, de coordenadas **N 8.224.456,16** m. e **E 208.484,44** m.; deste, segue com azimute de 146°58'44" e distância de 15,77 m., até o vértice **519**, de coordenadas **N 8.224.442,94** m. e **E 208.493,03** m.; deste, segue com azimute de 146°59'05" e distância de 8,69 m., até o vértice **520**, de coordenadas **N 8.224.435,65** m. e **E 208.497,77** m.; deste, segue com azimute de 134°45'33" e distância de 21,86 m., até o vértice **521**, de coordenadas **N 8.224.420,26** m. e **E 208.513,29** m.; deste, segue com azimute de 127°55'49" e distância de 16,32 m., até o vértice **522**, de coordenadas **N 8.224.410,23** m. e **E 208.526,16** m.; deste, segue com azimute de 123°02'57" e distância de 64,36 m., até o vértice **523**, de



SFL - PLC 0019/2019 folha 000336

coordenadas **N 8.224.375,13** m. e **E 208.580,10** m.; deste, segue com azimute de 131°04'48" e distância de 48,53 m., até o vértice **524**, de coordenadas **N 8.224.343,24** m. e **E 208.616,69** m.; deste, segue com azimute de 134°22'34" e distância de 41,03 m., até o vértice **525**, de coordenadas **N 8.224.314,54** m. e **E 208.646,02** m.; deste, segue com azimute de 134°22'34" e distância de 20,72 m., até o vértice **526**, de coordenadas **N 8.224.300,05** m. e **E 208.660,83** m.; deste, segue com azimute de 120°00'23" e distância de 8,46 m., até o vértice **527**, de coordenadas **N 8.224.295,82** m. e **E 208.668,15** m.; deste, segue com azimute de 120°00'07" e distância de 10,88 m., até o vértice **528**, de coordenadas **N 8.224.290,38** m. e **E 208.677,57** m.; deste, segue com azimute de 175°32'22" e distância de 24,10 m., até o vértice **529**, de coordenadas **N 8.224.266,36** m. e **E 208.679,45** m.; deste, segue com azimute de 175°32'43" e distância de 14,19 m., até o vértice **530**, de coordenadas **N 8.224.252,21** m. e **E 208.680,55** m.; deste, segue com azimute de 163°25'00" e distância de 38,37 m., até o vértice **531**, de coordenadas **N 8.224.215,44** m. e **E 208.691,50** m.; deste, segue com azimute de 153°26'40" e distância de 27,22 m., até o vértice **532**, de coordenadas **N 8.224.191,09** m. e **E 208.703,67** m.; deste, segue com azimute de 161°51'09" e distância de 41,61 m., até o vértice **533**, de coordenadas **N 8.224.151,55** m. e **E 208.716,63** m.; deste, segue com azimute de 170°40'15" e distância de 26,16 m., até o vértice **534**, de coordenadas **N 8.224.125,74** m. e **E 208.720,87** m.; deste, segue com azimute de 167°39'54" e distância de 8,82 m., até o vértice **535**, de coordenadas **N 8.224.117,12** m. e **E 208.722,76** m.; deste, segue com azimute de 164°44'03" e distância de 25,66 m., até o vértice **536**, de coordenadas **N 8.224.092,37** m. e **E 208.729,51** m.; deste, segue com azimute de 153°18'32" e distância de 20,47 m., até o vértice **537**, de coordenadas **N 8.224.074,08** m. e **E 208.738,70** m.; deste, segue com azimute de 165°43'15" e distância de 32,03 m., até o vértice **538**, de coordenadas **N 8.224.043,04** m. e **E 208.746,60** m.; deste, segue com azimute de 177°44'42" e distância de 7,00 m., até o vértice **539**, de coordenadas **N 8.224.036,05** m. e **E 208.746,88** m.; deste, segue com azimute de 165°28'41" e distância de 27,62 m., até o vértice **540**, de coordenadas **N 8.224.009,32** m. e **E 208.753,81** m.; deste, segue com azimute de 171°24'45" e distância de 21,26 m., até o vértice **541**, de coordenadas **N 8.223.988,29** m. e **E 208.756,98** m.; deste, segue com azimute de 180°33'31" e distância de 18,46 m., até o vértice **542**, de coordenadas **N 8.223.969,83** m. e **E 208.756,80** m.; deste, segue com azimute de 169°36'44" e distância de 8,04 m., até o vértice **543**, de coordenadas **N 8.223.961,92** m. e **E 208.758,25** m.; deste, segue com azimute de 154°12'37" e distância de 19,43 m., até o vértice **544**, de coordenadas **N 8.223.944,43** m. e **E 208.766,70** m.; deste, segue com azimute de 168°55'54" e distância de 50,25 m., até o vértice **545**, de



SFL - PLC 0019/2019 folha 000337

coordenadas **N 8.223.895,11** m. e **E 208.776,35** m.; deste, segue com azimute de 168°55'55" e distância de 90,68 m., até o vértice **546**, de coordenadas **N 8.223.806,11** m. e **E 208.793,76** m.; deste, segue com azimute de 168°55'54" e distância de 229,03 m., até o vértice **547**, de coordenadas **N 8.223.581,34** m. e **E 208.837,73** m., situado no Limite Sul do Distrito Federal; deste segue pelo Limite Sul do Distrito Federal até o vértice **553**, de coordenadas **N 8.223.347,15** m. e **E 190.916,44** m., situado no ponto de cruzamento do Limite Sul do Distrito Federal com o Ribeirão Água Quente; deste segue margeando o Ribeirão Água Quente até o vértice **554**, de coordenadas **N 8.224.769,74** m. e **E 193.020,92** m., situado na confluência do Ribeirão Água Quente com o Córrego Fundo; deste segue margeando o Córrego Fundo até o vértice **555**, de coordenadas **N 8.226.631,50** m. e **E 192.091,27** m.; deste, segue com azimute de 9°45'03" e distância de 8,70 m., até o vértice **556**, de coordenadas **N 8.226.640,07** m. e **E 192.092,75** m.; deste, segue com azimute de 15°25'25" e distância de 8,38 m., até o vértice **557**, de coordenadas **N 8.226.648,15** m. e **E 192.094,97** m.; deste, segue com azimute de 20°38'17" e distância de 10,50 m., até o vértice **558**, de coordenadas **N 8.226.657,98** m. e **E 192.098,68** m.; deste, segue com azimute de 24°00'14" e distância de 19,01 m., até o vértice **559**, de coordenadas **N 8.226.675,34** m. e **E 192.106,41** m.; deste, segue com azimute de 24°00'14" e distância de 17,39 m., até o vértice **560**, de coordenadas **N 8.226.691,22** m. e **E 192.113,48** m.; deste, segue com azimute de 8°51'11" e distância de 6,42 m., até o vértice **561**, de coordenadas **N 8.226.697,56** m. e **E 192.114,47** m.; deste, segue com azimute de 337°43'18" e distância de 9,85 m., até o vértice **562**, de coordenadas **N 8.226.706,68** m. e **E 192.110,73** m.; deste, segue com azimute de 323°15'03" e distância de 15,32 m., até o vértice **563**, de coordenadas **N 8.226.718,95** m. e **E 192.101,57** m.; deste, segue com azimute de 328°22'58" e distância de 9,18 m., até o vértice **564**, de coordenadas **N 8.226.726,77** m. e **E 192.096,76** m.; deste, segue com azimute de 332°10'50" e distância de 4,46 m., até o vértice **565**, de coordenadas **N 8.226.730,72** m. e **E 192.094,67** m.; deste, segue com azimute de 343°22'55" e distância de 7,81 m., até o vértice **566**, de coordenadas **N 8.226.738,20** m. e **E 192.092,44** m.; deste, segue com azimute de 354°34'02" e distância de 21,04 m., até o vértice **567**, de coordenadas **N 8.226.759,14** m. e **E 192.090,45** m.; deste, segue com azimute de 3°12'58" e distância de 14,11 m., até o vértice **568**, de coordenadas **N 8.226.773,23** m. e **E 192.091,24** m.; deste, segue com azimute de 20°58'40" e distância de 13,35 m., até o vértice **569**, de coordenadas **N 8.226.785,70** m. e **E 192.096,02** m.; deste, segue com azimute de 23°08'13" e distância de 12,79 m., até o vértice **570**, de coordenadas **N 8.226.797,46** m. e **E 192.101,05** m.; deste, segue com azimute de 9°48'21" e distância de



SPL - PLC 0019/2019 folha 000338

14,43 m., até o vértice **571**, de coordenadas **N 8.226.811,68** m. e **E 192.103,51** m.; deste, segue com azimute de 357°43'13" e distância de 14,09 m., até o vértice **572**, de coordenadas **N 8.226.825,76** m. e **E 192.102,94** m.; deste, segue com azimute de 357°43'14" e distância de 12,44 m., até o vértice **573**, de coordenadas **N 8.226.838,18** m. e **E 192.102,45** m.; deste, segue com azimute de 3°50'30" e distância de 26,92 m., até o vértice **574**, de coordenadas **N 8.226.865,05** m. e **E 192.104,25** m.; deste, segue com azimute de 348°56'18" e distância de 22,92 m., até o vértice **575**, de coordenadas **N 8.226.887,54** m. e **E 192.099,86** m.; deste, segue com azimute de 19°00'52" e distância de 18,26 m., até o vértice **576**, de coordenadas **N 8.226.904,81** m. e **E 192.105,81** m.; deste, segue com azimute de 19°00'51" e distância de 23,83 m., até o vértice **577**, de coordenadas **N 8.226.927,34** m. e **E 192.113,57** m.; deste, segue com azimute de 23°14'41" e distância de 24,92 m., até o vértice **578**, de coordenadas **N 8.226.950,24** m. e **E 192.123,40** m.; deste, segue com azimute de 28°31'36" e distância de 14,19 m., até o vértice **579**, de coordenadas **N 8.226.962,71** m. e **E 192.130,18** m.; deste, segue com azimute de 28°34'25" e distância de 17,03 m., até o vértice **580**, de coordenadas **N 8.226.977,66** m. e **E 192.138,33** m.; deste, segue com azimute de 39°27'39" e distância de 15,65 m., até o vértice **581**, de coordenadas **N 8.226.989,74** m. e **E 192.148,27** m.; deste, segue com azimute de 39°27'38" e distância de 14,63 m., até o vértice **582**, de coordenadas **N 8.227.001,04** m. e **E 192.157,57** m.; deste, segue com azimute de 74°47'16" e distância de 9,19 m., até o vértice **583**, de coordenadas **N 8.227.003,45** m. e **E 192.166,44** m.; deste, segue com azimute de 42°22'56" e distância de 6,09 m., até o vértice **584**, de coordenadas **N 8.227.007,95** m. e **E 192.170,54** m.; deste, segue com azimute de 42°22'55" e distância de 18,37 m., até o vértice **585**, de coordenadas **N 8.227.021,51** m. e **E 192.182,92** m.; deste, segue com azimute de 42°22'55" e distância de 11,85 m., até o vértice **586**, de coordenadas **N 8.227.030,27** m. e **E 192.190,91** m.; deste, segue com azimute de 25°10'13" e distância de 23,51 m., até o vértice **587**, de coordenadas **N 8.227.051,55** m. e **E 192.200,91** m.; deste, segue com azimute de 34°11'47" e distância de 8,78 m., até o vértice **588**, de coordenadas **N 8.227.058,81** m. e **E 192.205,85** m.; deste, segue com azimute de 49°07'31" e distância de 41,32 m., até o vértice **589**, de coordenadas **N 8.227.085,85** m. e **E 192.237,09** m.; deste, segue com azimute de 20°08'10" e distância de 20,46 m., até o vértice **590**, de coordenadas **N 8.227.105,06** m. e **E 192.244,14** m.; deste, segue com azimute de 32°40'07" e distância de 4,90 m., até o vértice **591**, de coordenadas **N 8.227.109,19** m. e **E 192.246,78** m.; deste, segue com azimute de 28°21'00" e distância de 17,22 m., até o vértice **592**, de coordenadas **N 8.227.124,34** m. e **E 192.254,96** m.; deste, segue com azimute de 13°58'15" e distância



SPL - PLC 0019/2019 folha 000339

de 11,06 m., até o vértice **593**, de coordenadas **N 8.227.135,08** m. e **E 192.257,63** m.; deste, segue com azimute de 24°48'34" e distância de 12,27 m., até o vértice **594**, de coordenadas **N 8.227.146,22** m. e **E 192.262,78** m.; deste, segue com azimute de 9°31'19" e distância de 16,80 m., até o vértice **595**, de coordenadas **N 8.227.162,78** m. e **E 192.265,56** m.; deste, segue com azimute de 29°43'03" e distância de 13,79 m., até o vértice **596**, de coordenadas **N 8.227.174,76** m. e **E 192.272,40** m.; deste, segue com azimute de 29°43'04" e distância de 13,36 m., até o vértice **597**, de coordenadas **N 8.227.186,37** m. e **E 192.279,02** m.; deste, segue com azimute de 38°58'54" e distância de 13,92 m., até o vértice **598**, de coordenadas **N 8.227.197,19** m. e **E 192.287,78** m.; deste, segue com azimute de 38°58'53" e distância de 15,54 m., até o vértice **599**, de coordenadas **N 8.227.209,27** m. e **E 192.297,55** m.; deste, segue com azimute de 20°43'56" e distância de 10,86 m., até o vértice **600**, de coordenadas **N 8.227.219,42** m. e **E 192.301,40** m.; deste, segue com azimute de 37°04'40" e distância de 18,49 m., até o vértice **601**, de coordenadas **N 8.227.234,18** m. e **E 192.312,55** m.; deste, segue com azimute de 37°04'37" e distância de 2,85 m., até o vértice **602**, de coordenadas **N 8.227.236,45** m. e **E 192.314,26** m.; deste, segue com azimute de 56°35'31" e distância de 9,51 m., até o vértice **603**, de coordenadas **N 8.227.241,68** m. e **E 192.322,20** m.; deste, segue com azimute de 52°26'48" e distância de 51,71 m., até o vértice **604**, de coordenadas **N 8.227.273,20** m. e **E 192.363,20** m.; deste, segue com azimute de 114°28'33" e distância de 9,23 m., até o vértice **605**, de coordenadas **N 8.227.269,38** m. e **E 192.371,60** m.; deste, segue com azimute de 114°28'31" e distância de 6,86 m., até o vértice **606**, de coordenadas **N 8.227.266,54** m. e **E 192.377,84** m.; deste, segue com azimute de 100°37'06" e distância de 10,47 m., até o vértice **607**, de coordenadas **N 8.227.264,61** m. e **E 192.388,13** m.; deste, segue com azimute de 100°37'04" e distância de 7,90 m., até o vértice **608**, de coordenadas **N 8.227.263,15** m. e **E 192.395,89** m.; deste, segue com azimute de 84°58'17" e distância de 3,78 m., até o vértice **609**, de coordenadas **N 8.227.263,49** m. e **E 192.399,66** m.; deste, segue com azimute de 66°19'05" e distância de 11,98 m., até o vértice **610**, de coordenadas **N 8.227.268,30** m. e **E 192.410,63** m.; deste, segue com azimute de 66°19'06" e distância de 7,79 m., até o vértice **611**, de coordenadas **N 8.227.271,42** m. e **E 192.417,76** m.; deste, segue com azimute de 85°42'50" e distância de 7,72 m., até o vértice **612**, de coordenadas **N 8.227.272,00** m. e **E 192.425,45** m.; deste, segue com azimute de 53°36'41" e distância de 7,71 m., até o vértice **613**, de coordenadas **N 8.227.276,58** m. e **E 192.431,66** m.; deste, segue com azimute de 42°40'17" e distância de 10,65 m., até o vértice **614**, de coordenadas **N 8.227.284,40** m. e **E 192.438,88** m.; deste, segue com azimute de 42°40'14" e distância



SPL - PLC 0019/2019 folha 000340

de 4,89 m., até o vértice **615**, de coordenadas **N 8.227.288,00** m. e **E 192.442,20** m.; deste, segue com azimute de 60°11'46" e distância de 10,78 m., até o vértice **616**, de coordenadas **N 8.227.293,36** m. e **E 192.451,55** m.; deste, segue com azimute de 60°11'46" e distância de 10,83 m., até o vértice **617**, de coordenadas **N 8.227.298,74** m. e **E 192.460,95** m.; deste, segue com azimute de 76°15'06" e distância de 12,20 m., até o vértice **618**, de coordenadas **N 8.227.301,64** m. e **E 192.472,80** m.; deste, segue com azimute de 76°15'07" e distância de 14,04 m., até o vértice **619**, de coordenadas **N 8.227.304,98** m. e **E 192.486,43** m.; deste, segue com azimute de 63°08'06" e distância de 13,00 m., até o vértice **620**, de coordenadas **N 8.227.310,85** m. e **E 192.498,03** m.; deste, segue com azimute de 46°07'04" e distância de 11,51 m., até o vértice **621**, de coordenadas **N 8.227.318,83** m. e **E 192.506,32** m.; deste, segue com azimute de 46°07'04" e distância de 12,21 m., até o vértice **622**, de coordenadas **N 8.227.327,29** m. e **E 192.515,12** m.; deste, segue com azimute de 63°50'09" e distância de 10,52 m., até o vértice **623**, de coordenadas **N 8.227.331,93** m. e **E 192.524,56** m.; deste, segue com azimute de 63°50'09" e distância de 26,41 m., até o vértice **624**, de coordenadas **N 8.227.343,58** m. e **E 192.548,27** m.; deste, segue com azimute de 19°56'07" e distância de 12,03 m., até o vértice **625**, de coordenadas **N 8.227.354,89** m. e **E 192.552,37** m.; deste, segue com azimute de 49°53'06" e distância de 6,28 m., até o vértice **626**, de coordenadas **N 8.227.358,94** m. e **E 192.557,17** m.; deste, segue com azimute de 78°34'52" e distância de 14,50 m., até o vértice **627**, de coordenadas **N 8.227.361,81** m. e **E 192.571,38** m.; deste, segue com azimute de 53°42'59" e distância de 19,52 m., até o vértice **628**, de coordenadas **N 8.227.373,36** m. e **E 192.587,12** m.; deste, segue com azimute de 53°42'59" e distância de 26,54 m., até o vértice **629**, de coordenadas **N 8.227.389,07** m. e **E 192.608,52** m.; deste, segue com azimute de 57°05'41" e distância de 17,89 m., até o vértice **630**, de coordenadas **N 8.227.398,78** m. e **E 192.623,53** m.; deste, segue com azimute de 60°15'05" e distância de 7,11 m., até o vértice **631**, de coordenadas **N 8.227.402,31** m. e **E 192.629,71** m.; deste, segue com azimute de 80°21'22" e distância de 14,95 m., até o vértice **632**, de coordenadas **N 8.227.404,82** m. e **E 192.644,45** m.; deste, segue com azimute de 97°56'36" e distância de 20,93 m., até o vértice **633**, de coordenadas **N 8.227.401,93** m. e **E 192.665,17** m.; deste, segue com azimute de 78°03'38" e distância de 15,42 m., até o vértice **634**, de coordenadas **N 8.227.405,12** m. e **E 192.680,26** m.; deste, segue com azimute de 57°34'49" e distância de 10,28 m., até o vértice **635**, de coordenadas **N 8.227.410,63** m. e **E 192.688,94** m.; deste, segue com azimute de 57°34'50" e distância de 14,57 m., até o vértice **636**, de coordenadas **N 8.227.418,44** m. e **E 192.701,24** m.; deste, segue com azimute de 43°00'00" e distância



SPL - PLC 0019/2019 folha 000341

de 10,64 m., até o vértice **637**, de coordenadas **N 8.227.426,22** m. e **E 192.708,50** m.; deste, segue com azimute de 30°15'39" e distância de 19,24 m., até o vértice **638**, de coordenadas **N 8.227.442,84** m. e **E 192.718,19** m.; deste, segue com azimute de 14°02'21" e distância de 12,64 m., até o vértice **639**, de coordenadas **N 8.227.455,11** m. e **E 192.721,26** m.; deste, segue com azimute de 14°02'23" e distância de 8,27 m., até o vértice **640**, de coordenadas **N 8.227.463,13** m. e **E 192.723,27** m.; deste, segue com azimute de 26°13'50" e distância de 11,60 m., até o vértice **641**, de coordenadas **N 8.227.473,53** m. e **E 192.728,39** m.; deste, segue com azimute de 45°19'37" e distância de 8,85 m., até o vértice **642**, de coordenadas **N 8.227.479,75** m. e **E 192.734,68** m.; deste, segue com azimute de 57°55'18" e distância de 20,99 m., até o vértice **643**, de coordenadas **N 8.227.490,90** m. e **E 192.752,47** m.; deste, segue com azimute de 38°48'42" e distância de 14,49 m., até o vértice **644**, de coordenadas **N 8.227.502,19** m. e **E 192.761,55** m.; deste, segue com azimute de 38°48'42" e distância de 23,38 m., até o vértice **645**, de coordenadas **N 8.227.520,41** m. e **E 192.776,21** m.; deste, segue com azimute de 51°25'31" e distância de 12,92 m., até o vértice **646**, de coordenadas **N 8.227.528,47** m. e **E 192.786,31** m., situado no ponto às margens do Ribeirão Santana; deste segue margeando o Ribeirão Santana até o vértice **647**, de coordenadas **N 8.231.689,00** m. e **E 190.796,03** m.; deste, segue com azimute de 329°08'23" e distância de 26,40 m., até o vértice **648**, de coordenadas **N 8.231.711,66** m. e **E 190.782,49** m.; deste, segue com azimute de 336°54'35" e distância de 27,12 m., até o vértice **649**, de coordenadas **N 8.231.736,60** m. e **E 190.771,86** m.; deste, segue com azimute de 339°31'48" e distância de 50,35 m., até o vértice **650**, de coordenadas **N 8.231.783,78** m. e **E 190.754,25** m.; deste, segue com azimute de 341°36'52" e distância de 56,70 m., até o vértice **651**, de coordenadas **N 8.231.837,58** m. e **E 190.736,36** m.; deste, segue com azimute de 341°36'52" e distância de 47,31 m., até o vértice **652**, de coordenadas **N 8.231.882,48** m. e **E 190.721,44** m.; deste, segue com azimute de 337°20'34" e distância de 47,54 m., até o vértice **653**, de coordenadas **N 8.231.926,35** m. e **E 190.703,13** m.; deste, segue com azimute de 350°22'26" e distância de 14,24 m., até o vértice **654**, de coordenadas **N 8.231.940,39** m. e **E 190.700,75** m.; deste, segue com azimute de 350°22'25" e distância de 12,43 m., até o vértice **655**, de coordenadas **N 8.231.952,65** m. e **E 190.698,67** m.; deste, segue com azimute de 0°04'24" e distância de 18,57 m., até o vértice **656**, de coordenadas **N 8.231.971,22** m. e **E 190.698,69** m.; deste, segue com azimute de 7°41'13" e distância de 22,88 m., até o vértice **657**, de coordenadas **N 8.231.993,89** m. e **E 190.701,75** m.; deste, segue com azimute de 34°49'59" e distância de 14,34 m., até o vértice **658**, de coordenadas **N 8.232.005,67** m. e **E 190.709,94** m.; deste,



SPL - PLC 0019/2019 folha 000342

segue com azimute de 295°29'22" e distância de 84,43 m., até o vértice **659**, de coordenadas **N 8.232.042,00** m. e **E 190.633,73** m.; deste, segue com azimute de 297°30'15" e distância de 0,52 m., até o vértice **660**, de coordenadas **N 8.232.042,24** m. e **E 190.633,27** m.; deste, segue com azimute de 351°52'52" e distância de 31,44 m., até o vértice **661**, de coordenadas **N 8.232.073,37** m. e **E 190.628,83** m.; deste, segue com azimute de 356°45'11" e distância de 20,94 m., até o vértice **662**, de coordenadas **N 8.232.094,28** m. e **E 190.627,64** m.; deste, segue com azimute de 342°00'04" e distância de 21,74 m., até o vértice **663**, de coordenadas **N 8.232.114,95** m. e **E 190.620,93** m.; deste, segue com azimute de 285°55'51" e distância de 8,85 m., até o vértice **664**, de coordenadas **N 8.232.117,38** m. e **E 190.612,42** m.; deste, segue com azimute de 263°49'16" e distância de 11,57 m., até o vértice **665**, de coordenadas **N 8.232.116,13** m. e **E 190.600,92** m.; deste, segue com azimute de 257°00'47" e distância de 77,94 m., até o vértice **666**, de coordenadas **N 8.232.098,61** m. e **E 190.524,97** m.; deste, segue com azimute de 257°00'46" e distância de 36,73 m., até o vértice **667**, de coordenadas **N 8.232.090,36** m. e **E 190.489,18** m.; deste, segue com azimute de 277°18'29" e distância de 12,42 m., até o vértice **668**, de coordenadas **N 8.232.091,94** m. e **E 190.476,86** m.; deste, segue com azimute de 335°22'50" e distância de 234,10 m., até o vértice **669**, de coordenadas **N 8.232.304,76** m. e **E 190.379,34** m., situado no eixo da Rodovia DF-001; deste segue pela Rodovia DF-001 até o vértice **670**, de coordenadas **N 8.232.511,63** m. e **E 190.903,75** m.; deste, segue com azimute de 359°18'19" e distância de 394,01 m., até o vértice **671**, de coordenadas **N 8.232.905,61** m. e **E 190.898,97** m.; deste, segue com azimute de 3°44'20" e distância de 27,47 m., até o vértice **672**, de coordenadas **N 8.232.933,02** m. e **E 190.900,76** m.; deste, segue com azimute de 14°28'56" e distância de 40,44 m., até o vértice **673**, de coordenadas **N 8.232.972,18** m. e **E 190.910,88** m.; deste, segue com azimute de 6°45'27" e distância de 31,66 m., até o vértice **674**, de coordenadas **N 8.233.003,62** m. e **E 190.914,60** m.; deste, segue com azimute de 353°21'19" e distância de 40,68 m., até o vértice **675**, de coordenadas **N 8.233.044,02** m. e **E 190.909,89** m.; deste, segue com azimute de 344°48'54" e distância de 40,04 m., até o vértice **676**, de coordenadas **N 8.233.082,66** m. e **E 190.899,41** m.; deste, segue com azimute de 4°58'58" e distância de 13,11 m., até o vértice **677**, de coordenadas **N 8.233.095,73** m. e **E 190.900,55** m.; deste, segue com azimute de 14°55'16" e distância de 27,11 m., até o vértice **678**, de coordenadas **N 8.233.121,92** m. e **E 190.907,53** m.; deste, segue com azimute de 5°11'58" e distância de 13,50 m., até o vértice **679**, de coordenadas **N 8.233.135,36** m. e **E 190.908,75** m.; deste, segue com azimute de 353°03'13" e distância de 47,38 m., até o vértice **680**, de coordenadas **N 8.233.182,40** m. e **E 190.903,02**



SPL - PLC 0019/2019 folha 000343

m.; deste, segue com azimute de 358°56'02" e distância de 71,34 m., até o vértice **681**, de coordenadas **N 8.233.253,72** m. e **E 190.901,69** m.; deste, segue com azimute de 350°39'41" e distância de 41,44 m., até o vértice **682**, de coordenadas **N 8.233.294,62** m. e **E 190.894,97** m.; deste, segue com azimute de 335°55'35" e distância de 30,65 m., até o vértice **683**, de coordenadas **N 8.233.322,59** m. e **E 190.882,47** m.; deste, segue com azimute de 345°18'43" e distância de 20,37 m., até o vértice **684**, de coordenadas **N 8.233.342,30** m. e **E 190.877,30** m.; deste, segue com azimute de 355°54'32" e distância de 50,82 m., até o vértice **685**, de coordenadas **N 8.233.392,98** m. e **E 190.873,68** m.; deste, segue com azimute de 352°19'32" e distância de 63,90 m., até o vértice **686**, de coordenadas **N 8.233.456,31** m. e **E 190.865,14** m.; deste, segue com azimute de 356°36'33" e distância de 21,36 m., até o vértice **687**, de coordenadas **N 8.233.477,63** m. e **E 190.863,88** m.; deste, segue com azimute de 6°17'24" e distância de 26,52 m., até o vértice **688**, de coordenadas **N 8.233.504,00** m. e **E 190.866,79** m.; deste, segue com azimute de 15°43'33" e distância de 25,43 m., até o vértice **689**, de coordenadas **N 8.233.528,47** m. e **E 190.873,68** m.; deste, segue com azimute de 28°05'39" e distância de 18,84 m., até o vértice **690**, de coordenadas **N 8.233.545,10** m. e **E 190.882,55** m.; deste, segue com azimute de 34°52'09" e distância de 41,65 m., até o vértice **691**, de coordenadas **N 8.233.579,27** m. e **E 190.906,36** m.; deste, segue com azimute de 27°35'12" e distância de 10,27 m., até o vértice **692**, de coordenadas **N 8.233.588,37** m. e **E 190.911,12** m.; deste, segue com azimute de 7°41'41" e distância de 16,02 m., até o vértice **693**, de coordenadas **N 8.233.604,25** m. e **E 190.913,26** m.; deste, segue com azimute de 354°52'59" e distância de 22,65 m., até o vértice **694**, de coordenadas **N 8.233.626,81** m. e **E 190.911,24** m.; deste, segue com azimute de 343°14'47" e distância de 18,35 m., até o vértice **695**, de coordenadas **N 8.233.644,38** m. e **E 190.905,95** m.; deste, segue com azimute de 336°08'45" e distância de 31,45 m., até o vértice **696**, de coordenadas **N 8.233.673,15** m. e **E 190.893,23** m.; deste, segue com azimute de 331°21'13" e distância de 152,14 m., até o vértice **697**, de coordenadas **N 8.233.806,67** m. e **E 190.820,29** m.; deste, segue com azimute de 342°29'49" e distância de 16,33 m., até o vértice **698**, de coordenadas **N 8.233.822,24** m. e **E 190.815,38** m.; deste, segue com azimute de 1°41'07" e distância de 22,30 m., até o vértice **699**, de coordenadas **N 8.233.844,53** m. e **E 190.816,04** m.; deste, segue com azimute de 350°45'55" e distância de 10,47 m., até o vértice **700**, de coordenadas **N 8.233.854,87** m. e **E 190.814,36** m.; deste, segue com azimute de 325°41'09" e distância de 7,59 m., até o vértice **701**, de coordenadas **N 8.233.861,14** m. e **E 190.810,08** m.; deste, segue com azimute de 309°30'33" e distância de 18,26 m., até o vértice **702**, de coordenadas **N 8.233.872,76** m. e **E 190.795,99**



SPL - PLC 0019/2019 folha 000344

m.; deste, segue com azimute de 329°54'09" e distância de 7,76 m., até o vértice **703**, de coordenadas **N 8.233.879,47** m. e **E 190.792,10** m.; deste, segue com azimute de 346°53'22" e distância de 33,51 m., até o vértice **704**, de coordenadas **N 8.233.912,10** m. e **E 190.784,50** m.; deste, segue com azimute de 341°29'29" e distância de 73,66 m., até o vértice **705**, de coordenadas **N 8.233.981,95** m. e **E 190.761,11** m.; deste, segue com azimute de 348°55'35" e distância de 44,97 m., até o vértice **706**, de coordenadas **N 8.234.026,09** m. e **E 190.752,48** m.; deste, segue com azimute de 353°21'23" e distância de 38,85 m., até o vértice **707**, de coordenadas **N 8.234.064,68** m. e **E 190.747,98** m.; deste, segue com azimute de 353°21'23" e distância de 5,08 m., até o vértice **708**, de coordenadas **N 8.234.069,72** m. e **E 190.747,39** m.; deste, segue com azimute de 343°07'58" e distância de 34,50 m., até o vértice **709**, de coordenadas **N 8.234.102,73** m. e **E 190.737,38** m.; deste, segue com azimute de 333°44'12" e distância de 41,73 m., até o vértice **710**, de coordenadas **N 8.234.140,16** m. e **E 190.718,92** m.; deste, segue com azimute de 326°00'14" e distância de 41,21 m., até o vértice **711**, de coordenadas **N 8.234.174,32** m. e **E 190.695,88** m.; deste, segue com azimute de 339°13'21" e distância de 39,00 m., até o vértice **712**, de coordenadas **N 8.234.210,79** m. e **E 190.682,04** m.; deste, segue com azimute de 324°37'57" e distância de 54,01 m., até o vértice **713**, de coordenadas **N 8.234.254,83** m. e **E 190.650,78** m.; deste, segue com azimute de 324°03'28" e distância de 15,60 m., até o vértice **714**, de coordenadas **N 8.234.267,46** m. e **E 190.641,62** m.; deste, segue com azimute de 327°31'47" e distância de 10,03 m., até o vértice **715**, de coordenadas **N 8.234.275,92** m. e **E 190.636,24** m.; deste, segue com azimute de 302°57'45" e distância de 9,82 m., até o vértice **716**, de coordenadas **N 8.234.281,27** m. e **E 190.628,00** m.; deste, segue com azimute de 270°26'13" e distância de 21,56 m., até o vértice **717**, de coordenadas **N 8.234.281,43** m. e **E 190.606,44** m.; deste, segue com azimute de 295°15'07" e distância de 15,11 m., até o vértice **718**, de coordenadas **N 8.234.287,88** m. e **E 190.592,78** m.; deste, segue com azimute de 311°53'22" e distância de 19,48 m., até o vértice **719**, de coordenadas **N 8.234.300,89** m. e **E 190.578,27** m.; deste, segue com azimute de 325°31'19" e distância de 40,85 m., até o vértice **720**, de coordenadas **N 8.234.334,56** m. e **E 190.555,15** m.; deste, segue com azimute de 303°19'06" e distância de 12,79 m., até o vértice **721**, de coordenadas **N 8.234.341,59** m. e **E 190.544,46** m.; deste, segue com azimute de 287°11'26" e distância de 19,67 m., até o vértice **722**, de coordenadas **N 8.234.347,40** m. e **E 190.525,67** m.; deste, segue com azimute de 302°52'01" e distância de 5,21 m., até o vértice **723**, de coordenadas **N 8.234.350,23** m. e **E 190.521,29** m.; deste, segue com azimute de 330°23'05" e distância de 6,61 m., até o vértice **724**, de coordenadas **N 8.234.355,98** m. e **E 190.518,02**



SFL - PLC 0019/2019 folha 000345

m.; deste, segue com azimute de 1°21'55" e distância de 12,08 m., até o vértice **725**, de coordenadas **N 8.234.368,05** m. e **E 190.518,31** m.; deste, segue com azimute de 327°31'33" e distância de 15,05 m., até o vértice **726**, de coordenadas **N 8.234.380,75** m. e **E 190.510,23** m.; deste, segue com azimute de 348°05'04" e distância de 17,18 m., até o vértice **727**, de coordenadas **N 8.234.397,56** m. e **E 190.506,68** m.; deste, segue com azimute de 332°49'31" e distância de 11,62 m., até o vértice **728**, de coordenadas **N 8.234.407,90** m. e **E 190.501,37** m.; deste, segue com azimute de 321°19'39" e distância de 9,98 m., até o vértice **729**, de coordenadas **N 8.234.415,70** m. e **E 190.495,13** m.; deste, segue com azimute de 308°42'08" e distância de 17,13 m., até o vértice **730**, de coordenadas **N 8.234.426,41** m. e **E 190.481,76** m.; deste, segue com azimute de 341°33'33" e distância de 21,51 m., até o vértice **731**, de coordenadas **N 8.234.446,82** m. e **E 190.474,96** m.; deste, segue com azimute de 329°15'48" e distância de 7,16 m., até o vértice **732**, de coordenadas **N 8.234.452,97** m. e **E 190.471,30** m.; deste, segue com azimute de 297°27'21" e distância de 17,17 m., até o vértice **733**, de coordenadas **N 8.234.460,88** m. e **E 190.456,07** m.; deste, segue com azimute de 309°05'24" e distância de 10,34 m., até o vértice **734**, de coordenadas **N 8.234.467,40** m. e **E 190.448,04** m.; deste, segue com azimute de 322°09'09" e distância de 38,52 m., até o vértice **735**, de coordenadas **N 8.234.497,82** m. e **E 190.424,41** m.; deste, segue com azimute de 317°15'52" e distância de 31,49 m., até o vértice **736**, de coordenadas **N 8.234.520,95** m. e **E 190.403,04** m.; deste, segue com azimute de 330°35'07" e distância de 13,83 m., até o vértice **737**, de coordenadas **N 8.234.532,99** m. e **E 190.396,25** m.; deste, segue com azimute de 347°49'38" e distância de 21,79 m., até o vértice **738**, de coordenadas **N 8.234.554,29** m. e **E 190.391,66** m.; deste, segue com azimute de 321°20'08" e distância de 14,49 m., até o vértice **739**, de coordenadas **N 8.234.565,61** m. e **E 190.382,60** m.; deste, segue com azimute de 293°01'25" e distância de 9,68 m., até o vértice **740**, de coordenadas **N 8.234.569,39** m. e **E 190.373,70** m.; deste, segue com azimute de 262°29'28" e distância de 23,70 m., até o vértice **741**, de coordenadas **N 8.234.566,29** m. e **E 190.350,20** m.; deste, segue com azimute de 272°36'16" e distância de 31,31 m., até o vértice **742**, de coordenadas **N 8.234.567,72** m. e **E 190.318,93** m.; deste, segue com azimute de 286°58'32" e distância de 20,77 m., até o vértice **743**, de coordenadas **N 8.234.573,78** m. e **E 190.299,06** m.; deste, segue com azimute de 298°18'56" e distância de 19,87 m., até o vértice **744**, de coordenadas **N 8.234.583,21** m. e **E 190.281,57** m.; deste, segue com azimute de 308°57'20" e distância de 17,77 m., até o vértice **745**, de coordenadas **N 8.234.594,38** m. e **E 190.267,75** m.; deste, segue com azimute de 321°51'09" e distância de 13,10 m., até o vértice **746**, de coordenadas **N 8.234.604,68** m. e **E 190.259,66**



SFL - PLC 0019/2019 folha 000346

m.; deste, segue com azimute de 335°13'03" e distância de 8,45 m., até o vértice **747**, de coordenadas **N 8.234.612,35** m. e **E 190.256,12** m.; deste, segue com azimute de 346°30'51" e distância de 15,10 m., até o vértice **748**, de coordenadas **N 8.234.627,04** m. e **E 190.252,59** m.; deste, segue com azimute de 329°38'36" e distância de 7,48 m., até o vértice **749**, de coordenadas **N 8.234.633,49** m. e **E 190.248,82** m.; deste, segue com azimute de 302°00'01" e distância de 10,82 m., até o vértice **750**, de coordenadas **N 8.234.639,22** m. e **E 190.239,64** m.; deste, segue com azimute de 290°34'36" e distância de 23,36 m., até o vértice **751**, de coordenadas **N 8.234.647,43** m. e **E 190.217,77** m.; deste, segue com azimute de 313°36'32" e distância de 19,05 m., até o vértice **752**, de coordenadas **N 8.234.660,58** m. e **E 190.203,97** m.; deste, segue com azimute de 333°12'00" e distância de 10,35 m., até o vértice **753**, de coordenadas **N 8.234.669,82** m. e **E 190.199,30** m.; deste, segue com azimute de 345°17'53" e distância de 28,82 m., até o vértice **754**, de coordenadas **N 8.234.697,70** m. e **E 190.191,99** m.; deste, segue com azimute de 332°22'07" e distância de 12,06 m., até o vértice **755**, de coordenadas **N 8.234.708,38** m. e **E 190.186,39** m.; deste, segue com azimute de 319°31'19" e distância de 7,56 m., até o vértice **756**, de coordenadas **N 8.234.714,13** m. e **E 190.181,49** m.; deste, segue com azimute de 296°51'11" e distância de 8,49 m., até o vértice **757**, de coordenadas **N 8.234.717,96** m. e **E 190.173,92** m.; deste, segue com azimute de 284°22'02" e distância de 51,35 m., até o vértice **758**, de coordenadas **N 8.234.730,71** m. e **E 190.124,17** m.; deste, segue com azimute de 294°43'14" e distância de 19,82 m., até o vértice **759**, de coordenadas **N 8.234.738,99** m. e **E 190.106,17** m.; deste, segue com azimute de 307°23'14" e distância de 38,92 m., até o vértice **760**, de coordenadas **N 8.234.762,63** m. e **E 190.075,24** m.; deste, segue com azimute de 317°00'07" e distância de 42,10 m., até o vértice **761**, de coordenadas **N 8.234.793,42** m. e **E 190.046,53** m., situado no ponto às margens do Córrego Taquara; deste segue margeando o Córrego Taquara até o vértice **762**, de coordenadas **N 8.238.577,86** m. e **E 188.640,15** m., situado na confluência do Córrego Taquara com o Córrego Tapera; deste segue margeando o Córrego Tapera até o vértice **763**, de coordenadas **N 8.238.730,28** m. e **E 190.716,33** m.; deste, segue com azimute de 121°41'32" e distância de 4,06 m., até o vértice **764**, de coordenadas **N 8.238.728,15** m. e **E 190.719,79** m.; deste, segue com azimute de 142°25'51" e distância de 29,59 m., até o vértice **765**, de coordenadas **N 8.238.704,69** m. e **E 190.737,84** m.; deste, segue com azimute de 123°42'53" e distância de 29,33 m., até o vértice **766**, de coordenadas **N 8.238.688,41** m. e **E 190.762,23** m.; deste, segue com azimute de 113°56'17" e distância de 44,51 m., até o vértice **767**, de coordenadas **N 8.238.670,35** m. e **E 190.802,92** m.; deste, segue com azimute de 103°17'20"



SFL - PLC 0019/2019 folha 000347

e distância de 48,20 m., até o vértice **768**, de coordenadas **N 8.238.659,27** m. e **E 190.849,83** m.; deste, segue com azimute de 112°24'13" e distância de 17,89 m., até o vértice **769**, de coordenadas **N 8.238.652,45** m. e **E 190.866,37** m.; deste, segue com azimute de 131°02'59" e distância de 44,19 m., até o vértice **770**, de coordenadas **N 8.238.623,43** m. e **E 190.899,70** m.; deste, segue com azimute de 141°18'48" e distância de 23,18 m., até o vértice **771**, de coordenadas **N 8.238.605,33** m. e **E 190.914,19** m.; deste, segue com azimute de 127°37'53" e distância de 65,81 m., até o vértice **772**, de coordenadas **N 8.238.565,15** m. e **E 190.966,30** m.; deste, segue com azimute de 90°59'49" e distância de 27,17 m., até o vértice **773**, de coordenadas **N 8.238.564,68** m. e **E 190.993,47** m.; deste, segue com azimute de 115°19'56" e distância de 3,20 m., até o vértice **774**, de coordenadas **N 8.238.563,31** m. e **E 190.996,36** m.; deste, segue com azimute de 148°17'52" e distância de 10,40 m., até o vértice **775**, de coordenadas **N 8.238.554,46** m. e **E 191.001,83** m.; deste, segue com azimute de 123°31'07" e distância de 5,12 m., até o vértice **776**, de coordenadas **N 8.238.551,63** m. e **E 191.006,10** m.; deste, segue com azimute de 105°32'47" e distância de 32,77 m., até o vértice **777**, de coordenadas **N 8.238.542,85** m. e **E 191.037,67** m.; deste, segue com azimute de 119°34'36" e distância de 24,25 m., até o vértice **778**, de coordenadas **N 8.238.530,88** m. e **E 191.058,76** m.; deste, segue com azimute de 111°05'52" e distância de 66,95 m., até o vértice **779**, de coordenadas **N 8.238.506,78** m. e **E 191.121,23** m.; deste, segue com azimute de 106°10'51" e distância de 18,10 m., até o vértice **780**, de coordenadas **N 8.238.501,74** m. e **E 191.138,60** m.; deste, segue com azimute de 95°49'38" e distância de 29,22 m., até o vértice **781**, de coordenadas **N 8.238.498,77** m. e **E 191.167,68** m.; deste, segue com azimute de 95°49'40" e distância de 6,91 m., até o vértice **782**, de coordenadas **N 8.238.498,07** m. e **E 191.174,55** m.; deste, segue com azimute de 110°47'21" e distância de 6,63 m., até o vértice **783**, de coordenadas **N 8.238.495,72** m. e **E 191.180,74** m.; deste, segue com azimute de 110°47'22" e distância de 30,16 m., até o vértice **784**, de coordenadas **N 8.238.485,01** m. e **E 191.208,94** m.; deste, segue com azimute de 105°10'46" e distância de 27,99 m., até o vértice **785**, de coordenadas **N 8.238.477,68** m. e **E 191.235,96** m.; deste, segue com azimute de 95°04'20" e distância de 32,04 m., até o vértice **786**, de coordenadas **N 8.238.474,85** m. e **E 191.267,88** m.; deste, segue com azimute de 76°34'20" e distância de 35,15 m., até o vértice **787**, de coordenadas **N 8.238.483,01** m. e **E 191.302,07** m.; deste, segue com azimute de 87°37'13" e distância de 27,26 m., até o vértice **788**, de coordenadas **N 8.238.484,14** m. e **E 191.329,30** m.; deste, segue com azimute de 61°05'03" e distância de 28,74 m., até o vértice **789**, de coordenadas **N 8.238.498,04** m. e **E 191.354,46** m.; deste, segue com azimute de 79°14'15"



SPL - PLC 0019/2019 folha 000348

e distância de 17,16 m., até o vértice **790**, de coordenadas **N 8.238.501,24** m. e **E 191.371,32** m.; deste, segue com azimute de 318°06'15" e distância de 37,31 m., até o vértice **791**, de coordenadas **N 8.238.529,02** m. e **E 191.346,40** m.; deste, segue com azimute de 318°43'03" e distância de 149,68 m., até o vértice **792**, de coordenadas **N 8.238.641,50** m. e **E 191.247,65** m.; deste, segue com azimute de 318°43'03" e distância de 55,02 m., até o vértice **793**, de coordenadas **N 8.238.682,84** m. e **E 191.211,35** m.; deste, segue com azimute de 318°43'03" e distância de 689,83 m., até o vértice **794**, de coordenadas **N 8.239.201,23** m. e **E 190.756,22** m.; deste, segue com azimute de 318°43'03" e distância de 87,18 m., até o vértice **795**, de coordenadas **N 8.239.266,74** m. e **E 190.698,70** m.; deste, segue com azimute de 318°43'03" e distância de 379,73 m., até o vértice **796**, de coordenadas **N 8.239.552,10** m. e **E 190.448,16** m.; deste, segue com azimute de 318°43'03" e distância de 216,56 m., até o vértice **797**, de coordenadas **N 8.239.714,83** m. e **E 190.305,28** m.; deste, segue com azimute de 318°43'03" e distância de 255,67 m., até o vértice **798**, de coordenadas **N 8.239.906,96** m. e **E 190.136,60** m.; deste, segue com azimute de 39°03'58" e distância de 148,30 m., até o vértice **799**, de coordenadas **N 8.240.022,10** m. e **E 190.230,06** m.; deste, segue com azimute de 39°03'58" e distância de 1.271,87 m., até o vértice **800**, de coordenadas **N 8.241.009,61** m. e **E 191.031,62** m.; deste, segue com azimute de 39°03'58" e distância de 474,56 m., até o vértice **801**, de coordenadas **N 8.241.378,06** m. e **E 191.330,70** m.; deste, segue com azimute de 39°03'58" e distância de 374,29 m., até o vértice **802**, de coordenadas **N 8.241.668,67** m. e **E 191.566,58** m.; deste, segue com azimute de 62°43'02" e distância de 576,78 m., até o vértice **803**, de coordenadas **N 8.241.933,05** m. e **E 192.079,19** m.; deste, segue com azimute de 62°40'16" e distância de 117,07 m., até o vértice **804**, de coordenadas **N 8.241.986,80** m. e **E 192.183,20** m.; deste, segue com azimute de 62°40'16" e distância de 491,53 m., até o vértice **805**, de coordenadas **N 8.242.212,46** m. e **E 192.619,87** m.; deste, segue com azimute de 62°08'39" e distância de 184,95 m., até o vértice **806**, de coordenadas **N 8.242.298,88** m. e **E 192.783,39** m.; deste, segue com azimute de 62°08'39" e distância de 216,71 m., até o vértice **807**, de coordenadas **N 8.242.400,14** m. e **E 192.974,99** m.; deste, segue com azimute de 62°08'39" e distância de 763,43 m., até o vértice **808**, de coordenadas **N 8.242.756,85** m. e **E 193.649,96** m.; deste, segue com azimute de 62°08'40" e distância de 98,41 m., até o vértice **809**, de coordenadas **N 8.242.802,83** m. e **E 193.736,96** m.; deste, segue com azimute de 62°08'39" e distância de 181,96 m., até o vértice **810**, de coordenadas **N 8.242.887,85** m. e **E 193.897,84** m.; deste, segue com azimute de 62°08'39" e distância de 254,92 m., até o vértice **811**, de coordenadas **N 8.243.006,96** m. e **E 194.123,23** m.; deste,



SPL - PLC 0019/2019 folha 000349

segue com azimute de 334°54'33" e distância de 235,19 m., até o vértice **812**, de coordenadas **N 8.243.219,96** m. e **E 194.023,49** m.; deste, segue com azimute de 64°54'49" e distância de 54,68 m., até o vértice **813**, de coordenadas **N 8.243.243,15** m. e **E 194.073,02** m.; deste, segue com azimute de 64°54'48" e distância de 319,88 m., até o vértice **814**, de coordenadas **N 8.243.378,77** m. e **E 194.362,72** m.; deste, segue com azimute de 64°54'49" e distância de 310,60 m., até o vértice **815**, de coordenadas **N 8.243.510,46** m. e **E 194.644,03** m.; deste, segue com azimute de 334°34'01" e distância de 260,84 m., até o vértice **816**, de coordenadas **N 8.243.746,02** m. e **E 194.532,01** m.; deste, segue com azimute de 334°34'01" e distância de 13,60 m., até o vértice **817**, de coordenadas **N 8.243.758,30** m. e **E 194.526,17** m.; deste, segue com azimute de 335°29'19" e distância de 235,36 m., até o vértice **818**, de coordenadas **N 8.243.972,44** m. e **E 194.428,53** m.; deste, segue com azimute de 292°38'44" e distância de 96,15 m., até o vértice **819**, de coordenadas **N 8.244.009,46** m. e **E 194.339,79** m.; deste, segue com azimute de 340°28'00" e distância de 284,21 m., até o vértice **820**, de coordenadas **N 8.244.277,31** m. e **E 194.244,77** m.; deste, segue com azimute de 340°27'59" e distância de 21,74 m., até o vértice **821**, de coordenadas **N 8.244.297,80** m. e **E 194.237,50** m.; deste, segue com azimute de 340°28'00" e distância de 122,73 m., até o vértice **822**, de coordenadas **N 8.244.413,46** m. e **E 194.196,46** m.; deste, segue com azimute de 328°22'28" e distância de 217,85 m., até o vértice **823**, de coordenadas **N 8.244.598,96** m. e **E 194.082,23** m.; deste, segue com azimute de 67°16'55" e distância de 75,09 m., até o vértice **824**, de coordenadas **N 8.244.627,96** m. e **E 194.151,49** m.; deste, segue com azimute de 45°08'13" e distância de 136,08 m., até o vértice **825**, de coordenadas **N 8.244.723,95** m. e **E 194.247,95** m.; deste, segue com azimute de 45°08'13" e distância de 168,71 m., até o vértice **826**, de coordenadas **N 8.244.842,96** m. e **E 194.367,53** m.; deste, segue com azimute de 99°43'12" e distância de 319,84 m., até o vértice **827**, de coordenadas **N 8.244.788,96** m. e **E 194.682,78** m.; deste, segue com azimute de 120°02'01" e distância de 91,58 m., até o vértice **828**, de coordenadas **N 8.244.743,13** m. e **E 194.762,06** m.; deste, segue com azimute de 120°02'01" e distância de 13,77 m., até o vértice **829**, de coordenadas **N 8.244.736,23** m. e **E 194.773,98** m.; deste, segue com azimute de 120°02'01" e distância de 310,60 m., até o vértice **830**, de coordenadas **N 8.244.580,78** m. e **E 195.042,88** m.; deste, segue com azimute de 120°02'01" e distância de 154,79 m., até o vértice **831**, de coordenadas **N 8.244.503,30** m. e **E 195.176,89** m.; deste, segue com azimute de 120°02'01" e distância de 102,84 m., até o vértice **832**, de coordenadas **N 8.244.451,83** m. e **E 195.265,92** m.; deste, segue com azimute de 120°02'01" e distância de 289,44 m., até o vértice **833**, de coordenadas **N 8.244.306,96** m. e **E 195.516,50** m.; deste,



SPL - PLC 0019/2019 folha 000350

segue com azimute de 239°01'20" e distância de 166,83 m., até o vértice **834**, de coordenadas **N 8.244.221,10** m. e **E 195.373,46** m.; deste, segue com azimute de 239°01'21" e distância de 10,47 m., até o vértice **835**, de coordenadas **N 8.244.215,71** m. e **E 195.364,49** m.; deste, segue com azimute de 239°01'20" e distância de 87,91 m., até o vértice **836**, de coordenadas **N 8.244.170,46** m. e **E 195.289,12** m.; deste, segue com azimute de 149°01'08" e distância de 387,55 m., até o vértice **837**, de coordenadas **N 8.243.838,20** m. e **E 195.488,61** m.; deste, segue com azimute de 149°01'08" e distância de 41,14 m., até o vértice **838**, de coordenadas **N 8.243.802,93** m. e **E 195.509,79** m.; deste, segue com azimute de 149°01'08" e distância de 6,38 m., até o vértice **839**, de coordenadas **N 8.243.797,46** m. e **E 195.513,07** m.; deste, segue com azimute de 59°02'25" e distância de 98,01 m., até o vértice **840**, de coordenadas **N 8.243.847,88** m. e **E 195.597,12** m.; deste, segue com azimute de 59°02'25" e distância de 625,98 m., até o vértice **841**, de coordenadas **N 8.244.169,91** m. e **E 196.133,92** m.; deste, segue com azimute de 59°02'25" e distância de 25,69 m., até o vértice **842**, de coordenadas **N 8.244.183,13** m. e **E 196.155,95** m.; deste, segue com azimute de 59°02'25" e distância de 116,62 m., até o vértice **843**, de coordenadas **N 8.244.243,12** m. e **E 196.255,95** m.; deste, segue com azimute de 59°02'25" e distância de 609,71 m., até o vértice **844**, de coordenadas **N 8.244.556,78** m. e **E 196.778,80** m.; deste, segue com azimute de 59°02'24" e distância de 13,96 m., até o vértice **845**, de coordenadas **N 8.244.563,96** m. e **E 196.790,78** m.; deste, segue com azimute de 57°49'21" e distância de 32,15 m., até o vértice **846**, de coordenadas **N 8.244.581,09** m. e **E 196.817,99** m., situado no eixo da Rodovia DF-035; deste segue pela Rodovia DF-035 até o vértice **847**, de coordenadas **N 8.244.072,64** m. e **E 197.925,42** m., situado no ponto de interseção da Rodovia DF-035 com a Rodovia DF-001; deste segue pela Rodovia DF-001 até o vértice **848**, de coordenadas **N 8.249.196,51** m. e **E 200.817,19** m.; deste, segue com azimute de 26°14'55" e distância de 696,44 m., até o vértice **849**, de coordenadas **N 8.249.821,14** m. e **E 201.125,21** m.; deste, segue com azimute de 27°09'27" e distância de 4,79 m., até o vértice **850**, de coordenadas **N 8.249.825,40** m. e **E 201.127,40** m.; deste, segue com azimute de 27°09'27" e distância de 44,99 m., até o vértice **851**, de coordenadas **N 8.249.865,43** m. e **E 201.147,93** m.; deste, segue com azimute de 26°24'15" e distância de 94,62 m., até o vértice **852**, de coordenadas **N 8.249.950,18** m. e **E 201.190,01** m.; deste, segue com azimute de 26°24'14" e distância de 36,33 m., até o vértice **853**, de coordenadas **N 8.249.982,72** m. e **E 201.206,16** m.; deste, segue com azimute de 26°24'15" e distância de 77,48 m., até o vértice **854**, de coordenadas **N 8.250.052,12** m. e **E 201.240,62** m.; deste, segue com azimute de 25°27'52" e distância de 98,94 m., até o vértice **855**, de



SPL - PLC 0019/2019 folha 000351

coordenadas **N 8.250.141,45** m. e **E 201.283,16** m.; deste, segue com azimute de 22°52'54" e distância de 106,38 m., até o vértice **856**, de coordenadas **N 8.250.239,46** m. e **E 201.324,53** m.; deste, segue com azimute de 22°52'55" e distância de 383,07 m., até o vértice **857**, de coordenadas **N 8.250.592,39** m. e **E 201.473,47** m.; deste, segue com azimute de 11°27'29" e distância de 91,46 m., até o vértice **858**, de coordenadas **N 8.250.682,03** m. e **E 201.491,64** m.; deste, segue com azimute de 11°27'30" e distância de 94,48 m., até o vértice **859**, de coordenadas **N 8.250.774,62** m. e **E 201.510,41** m.; deste, segue com azimute de 11°27'30" e distância de 135,12 m., até o vértice **860**, de coordenadas **N 8.250.907,05** m. e **E 201.537,25** m.; deste, segue com azimute de 8°12'19" e distância de 56,77 m., até o vértice **861**, de coordenadas **N 8.250.963,24** m. e **E 201.545,36** m., situado no eixo da Rodovia DF-001; deste segue pela Rodovia DF-001 até o vértice **862**, de coordenadas **N 8.251.450,71** m. e **E 201.746,00** m., situado no cruzamento do eixo da Rodovia DF-001 com o Rio Paranoá; deste segue margeando o Rio Paranoá até o vértice **1**, de coordenadas **N 8.251.698,26** m. e **E 202.657,20** m.; ponto inicial da descrição deste perímetro. Todos os azimutes e distâncias, áreas e perímetros foram calculados no plano de projeção UTM. Todas as coordenadas aqui descritas estão georreferenciadas ao Sistema Geodésico Brasileiro e encontram-se representadas no Sistema UTM, referenciadas ao **Meridiano Central 45° WGr, Fuso 23**, tendo como o *Datum* o **SICAD-SIRGAS 2000.** Todos os azimutes e distâncias, áreas e perímetros foram calculados no plano de projeção UTM.



SPL - PLC 0019/2019 folha 000352

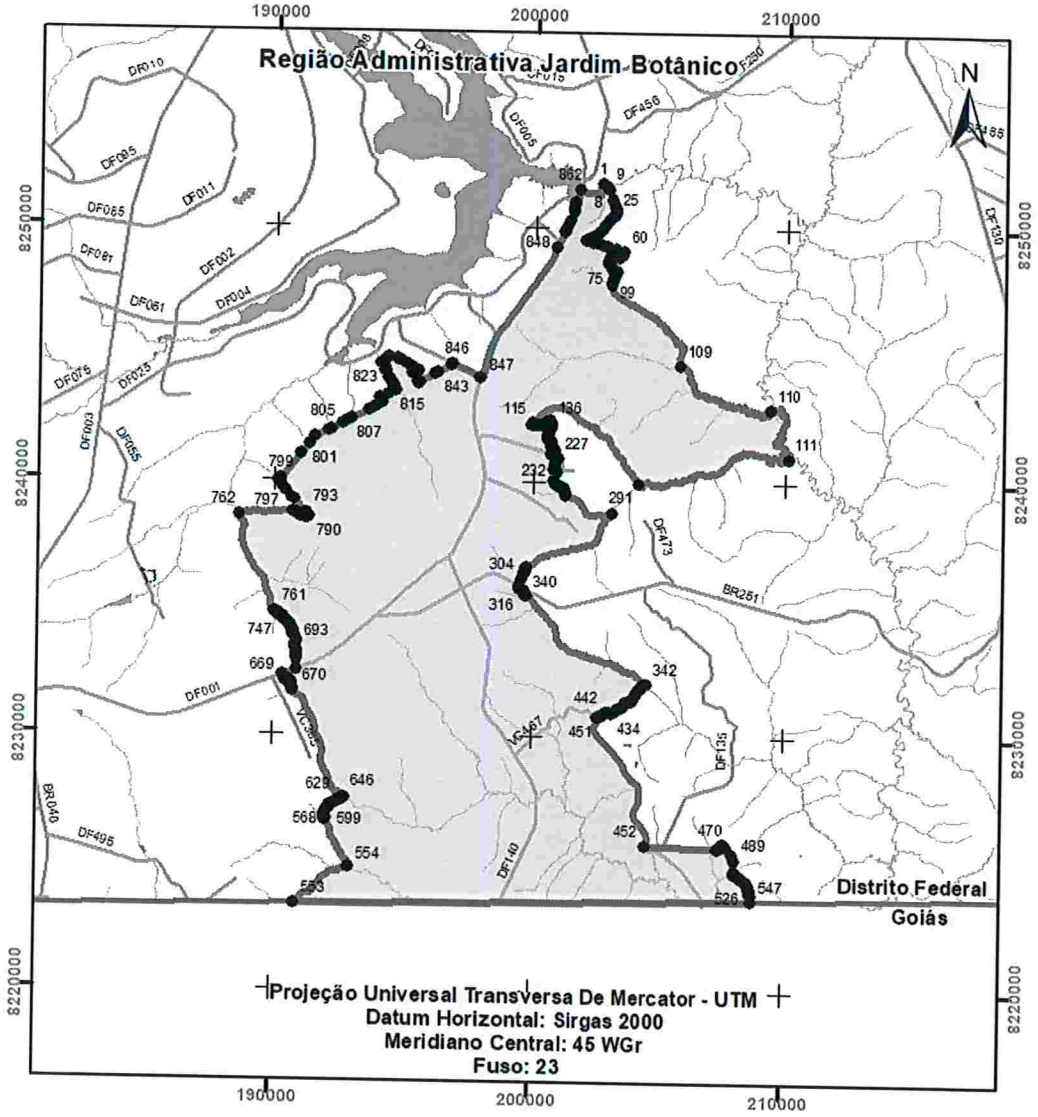




SPL - PLC 0019/2019 folha 000353

# MEMORIAL DESCRITIVO

## ITAPOÃ – RA XXVIII

Perímetro: 34.322,439 m Área: 3.430,157 ha

Inicia-se a descrição deste perímetro no vértice **1**, de coordenadas **N 8.260.849,08** m. e **E 203.986,47** m., situado no cruzamento entre a Rodovia DF440 e o Ribeirão Sobradinho deste, segue margeando este ribeirão até o vértice **1a**, de coordenadas **N 8259260.1968** m. e **E 210488.0816 m.;** ponto de cruzamento entre o Ribeirão Sobradinho e a Rodovia DF330 deste, segue até o vértice **2**, de coordenadas **N 8.258.859,12** m. e **E 213.238,40 m.;** ponto de confluência entre o Ribeirão Sobradinho e o Rio São Bartolomeu deste, segue até o vértice **3**, de coordenadas **N 8.258.643,98** m. e **E 213.248,78 m.,** situado no cruzamento entre o Rio São Bartolomeu e a Rodovia DF250 deste, segue até o vértice **3a**, de coordenadas **N 8257868.1080** m. e **E 210749.3868 m.,** situado na interseção entre as Rodovias DF250 e DF330 , até o vértice **4**, de coordenadas **N 8.255.831,33** m. e **E 202.311,33 m.;** ponto na interseção entre as Rodovias DF250 e DF001, seguindo pelo eixo dessa rodovia desde o vértice 3 até o vértice **5**, de coordenadas **N 8.255.589,46** m. e **E 201.689,62 m.;** deste, segue com azimute de 355°17'31" e distância de 49,35 m., até o vértice **6**, de coordenadas **N 8.255.638,65** m. e **E 201.685,57 m.;** deste, segue com azimute de 321°37'58" e distância de 20,25 m., até o vértice **7**, de coordenadas **N 8.255.654,52** m. e **E 201.673,00 m.;** deste, segue com azimute de 314°59'59" e distância de 19,64 m., até o vértice **8**, de coordenadas **N 8.255.668,41** m. e **E 201.659,11 m.;** deste, segue com azimute de 291°48'06" e distância de 24,93 m., até o vértice **9**, de coordenadas **N 8.255.677,67** m. e **E 201.635,96 m.;** deste, segue com azimute de 268°36'10" e distância de 54,26 m., até o vértice **10**, de coordenadas **N 8.255.676,35** m. e **E 201.581,72 m.;** deste, segue com azimute de 350°42'52" e distância de 176,27 m., até o vértice **11**, de coordenadas **N 8.255.850,31** m. e **E 201.553,27 m.;** deste, segue com azimute de 268°43'38" e distância de 29,77 m., até o vértice **12**, de coordenadas **N 8.255.849,65** m. e **E 201.523,51 m.;** deste, segue com azimute de 278°55'50" e distância de 46,87 m., até o vértice **13**, de coordenadas **N 8.255.856,93** m. e **E 201.477,21 m.;** deste, segue com azimute de 304°37'27" e distância de 33,76 m., até o vértice **14**, de coordenadas **N 8.255.876,11** m. e **E 201.449,42 m.;** deste, segue com azimute de 301°32'05" e distância de 34,15 m., até o vértice **15**, de coordenadas **N 8.255.893,97** m. e **E 201.420,32 m.;** deste, segue com azimute de 25°24'42" e distância de 220,43 m., até o vértice **16**, de coordenadas **N 8.256.093,07** m. e **E 201.514,91 m.;** deste, segue com azimute de 92°36'09" e distância



SFL - PLC 0019/2019 folha 000354

de 87,40 m., até o vértice **17**, de coordenadas **N 8.256.089,10** m. e **E 201.602,22** m.; deste, segue com azimute de 350°46'12" e distância de 214,44 m., até o vértice **18**, de coordenadas **N 8.256.300,77** m. e **E 201.567,83** m.; deste, segue com azimute de 351°38'44" e distância de 191,21 m., até o vértice **19**, de coordenadas **N 8.256.489,94** m. e **E 201.540,04** m.; deste, segue com azimute de 273°55'54" e distância de 192,94 m., até o vértice **20**, de coordenadas **N 8.256.503,17** m. e **E 201.347,56** m.; deste, segue com azimute de 13°23'33" e distância de 314,14 m., até o vértice **21**, de coordenadas **N 8.256.808,77** m. e **E 201.420,32** m.; deste, segue com azimute de 284°18'27" e distância de 579,56 m., até o vértice **22**, de coordenadas **N 8.256.951,99** m. e **E 200.858,74** m.; deste, segue com azimute de 13°04'59" e distância de 269,24 m., até o vértice **23**, de coordenadas **N 8.257.214,25** m. e **E 200.919,68** m.; deste, segue com azimute de 68°42'57" e distância de 792,91 m., até o vértice **24**, de coordenadas **N 8.257.502,07** m. e **E 201.658,51** m., situado na Rodovia DF001, seguindo por seu eixo até o vértice **25**, de coordenadas **N 8.259.231,31** m. e **E 200.982,89** m., ponto do entroncamento com a Rodovia VC263, segue pelo eixo desta, até o vértice **26**, de coordenadas **N 8.259.635,56** m. e **E 201.912,89** m., situado na interseção entre as Rodovias VC263 e DF440 e continua por seu eixo até o vértice **1**, de coordenadas **N 8.260.849,08** m. e **E 203.986,47** m.; ponto inicial da descrição deste perímetro. Todos os azimutes e distâncias, áreas e perímetros foram calculados no plano de projeção UTM. Todas as coordenadas aqui descritas estão georreferenciadas ao Sistema Geodésico Brasileiro e encontram-se representadas no Sistema UTM, referenciadas ao **Meridiano Central 45° WGr, Fuso 23**, tendo como o *Datum* o **SICAD-SIRGAS 2000.** Todos os azimutes e distâncias, áreas e perímetros foram calculados no plano de projeção UTM.



SFL - PLC 0019/2019 folha 000355

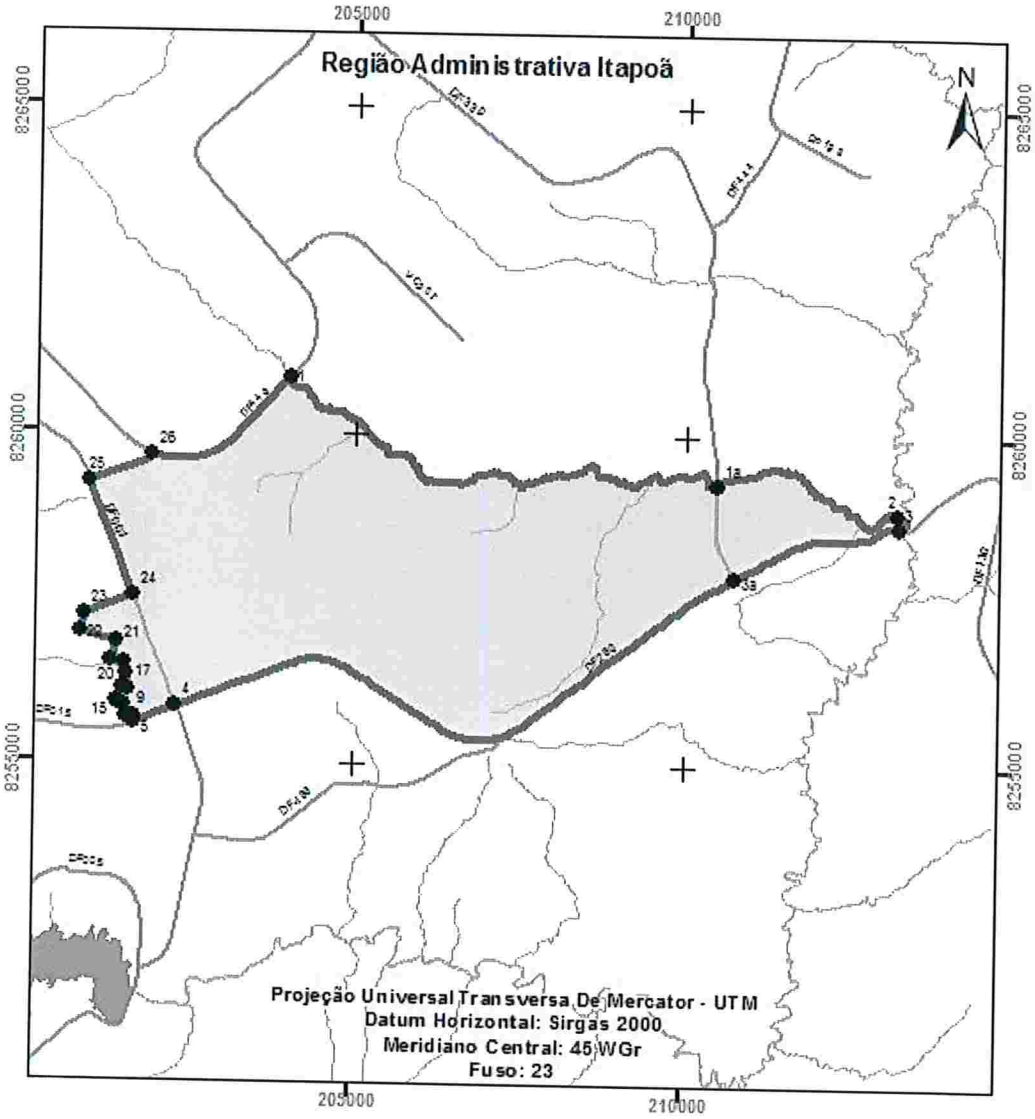




SPL - PLC 0019/2019 folha 000356

# MEMORIAL DESCRITIVO

## SIA – RA XXIX

Perímetro: 31.331,268 m  Área: 2.905,090 ha

Inicia-se a descrição deste perímetro no vértice **1**, de coordenadas **N 8.257.663,84** m. e **E 187.120,58** m., situado no limite norte da RA IXX – SAI, deste, segue com azimute de 90°14'51" e distância de 233,06 m., até o vértice **2**, de coordenadas **N 8.257.662,83** m. e **E 187.353,63** m.; deste, segue com azimute de 120°03'14" e distância de 40,17 m., até o vértice **3**, de coordenadas **N 8.257.642,71** m. e **E 187.388,40** m.; ponto situado no eixo da Rodovia DF-003 deste, segue pela Rodovia DF-003, até o vértice **4**, de coordenadas **N 8.249.848,61** m. e **E 184.130,33** m.; ponto de interseção entre a Rodovia DF-003 e o eixo da Rodovia DF-085 deste, segue pela Rodovia DF-085, até o vértice **5**, de coordenadas **N 8.250.045,35** m. e **E 181.757,26** m.; deste, segue com azimute de 339°18'40" e distância de 23,88 m., até o vértice **6**, de coordenadas **N 8.250.067,69** m. e **E 181.748,82** m.; deste, segue com azimute de 339°18'39" e distância de 38,23 m., até o vértice **7**, de coordenadas **N 8.250.103,46** m. e **E 181.735,31** m.; deste, segue com azimute de 7°56'05" e distância de 134,98 m., até o vértice **8**, de coordenadas **N 8.250.237,15** m. e **E 181.753,95** m.; deste, segue com azimute de 7°56'05" e distância de 109,13 m., até o vértice **9**, de coordenadas **N 8.250.345,24** m. e **E 181.769,01** m.; deste, segue com azimute de 7°56'05" e distância de 47,68 m., até o vértice **10**, de coordenadas **N 8.250.392,46** m. e **E 181.775,59** m.; deste, segue com azimute de 277°57'26" e distância de 116,85 m., até o vértice **11**, de coordenadas **N 8.250.408,64** m. e **E 181.659,87** m.; deste, segue com azimute de 277°57'26" e distância de 49,30 m., até o vértice **12**, de coordenadas **N 8.250.415,46** m. e **E 181.611,05** m.; deste, segue com azimute de 358°42'51" e distância de 106,53 m., até o vértice **13**, de coordenadas **N 8.250.521,96** m. e **E 181.608,65** m.; deste, segue com azimute de 278°20'14" e distância de 582,09 m., até o vértice **14**, de coordenadas **N 8.250.606,36** m. e **E 181.032,72** m.; deste, segue com azimute de 278°20'14" e distância de 180,77 m., até o vértice **15**, de coordenadas **N 8.250.632,57** m. e **E 180.853,85** m.; deste, segue com azimute de 278°20'14" e distância de 81,97 m., até o vértice **16**, de coordenadas **N 8.250.644,46** m. e **E 180.772,75** m.; deste, segue com azimute de 332°37'18" e distância de 58,49 m., até o vértice **17**, de coordenadas **N 8.250.696,40** m. e **E 180.745,85** m.; deste, segue com azimute de 332°37'18" e distância de 95,82 m., até o vértice **18**, de coordenadas **N 8.250.781,49** m. e **E 180.701,79** m.; deste, segue com azimute de 332°37'18" e distância de 21,93 m., até o vértice **19**, de coordenadas **N 8.250.800,96** m. e



SPL - PLC 0019/2019 folha 000357

**E 180.691,70** m.; deste, segue com azimute de 279°51'37" e distância de 39,41 m., até o vértice **20**, de coordenadas **N 8.250.807,71** m. e **E 180.652,87** m.; deste, segue com azimute de 279°51'37" e distância de 71,54 m., até o vértice **21**, de coordenadas **N 8.250.819,96** m. e **E 180.582,39** m.; deste, segue com azimute de 332°35'06" e distância de 161,09 m., até o vértice **22**, de coordenadas **N 8.250.962,96** m. e **E 180.508,22** m.; deste, segue com azimute de 241°38'05" e distância de 48,26 m., até o vértice **23**, de coordenadas **N 8.250.940,03** m. e **E 180.465,75** m.; deste, segue com azimute de 241°38'05" e distância de 124,03 m., até o vértice **24**, de coordenadas **N 8.250.881,11** m. e **E 180.356,61** m.; deste, segue com azimute de 241°38'04" e distância de 27,67 m., até o vértice **25**, de coordenadas **N 8.250.867,96** m. e **E 180.332,26** m.; deste, segue com azimute de 241°35'12" e distância de 79,15 m., até o vértice **26**, de coordenadas **N 8.250.830,30** m. e **E 180.262,65** m.; deste, segue com azimute de 241°35'11" e distância de 107,77 m., até o vértice **27**, de coordenadas **N 8.250.779,02** m. e **E 180.167,86** m.; deste, segue com azimute de 241°35'11" e distância de 32,29 m., até o vértice **28**, de coordenadas **N 8.250.763,66** m. e **E 180.139,47** m.; deste, segue com azimute de 238°30'27" e distância de 63,55 m., até o vértice **29**, de coordenadas **N 8.250.730,46** m. e **E 180.085,28** m.; deste, segue com azimute de 233°00'48" e distância de 59,84 m., até o vértice **30**, de coordenadas **N 8.250.694,46** m. e **E 180.037,48** m.; deste, segue com azimute de 226°55'51" e distância de 115,88 m., até o vértice **31**, de coordenadas **N 8.250.615,33** m. e **E 179.952,83** m.; deste, segue com azimute de 226°55'51" e distância de 91,86 m., até o vértice **32**, de coordenadas **N 8.250.552,60** m. e **E 179.885,72** m.; deste, segue com azimute de 227°38'58" e distância de 30,04 m., até o vértice **33**, de coordenadas **N 8.250.532,36** m. e **E 179.863,52** m.; deste, segue com azimute de 228°48'06" e distância de 22,62 m., até o vértice **34**, de coordenadas **N 8.250.517,46** m. e **E 179.846,50** m.; deste, segue com azimute de 235°13'22" e distância de 28,91 m., até o vértice **35**, de coordenadas **N 8.250.500,97** m. e **E 179.822,76** m.; deste, segue com azimute de 235°13'20" e distância de 3,53 m., até o vértice **36**, de coordenadas **N 8.250.498,96** m. e **E 179.819,86** m.; deste, segue com azimute de 247°06'25" e distância de 52,70 m., até o vértice **37**, de coordenadas **N 8.250.478,46** m. e **E 179.771,31** m.; deste, segue com azimute de 253°42'46" e distância de 78,45 m., até o vértice **38**, de coordenadas **N 8.250.456,46** m. e **E 179.696,01** m.; deste, segue com azimute de 250°56'10" e distância de 45,92 m., até o vértice **39**, de coordenadas **N 8.250.441,46** m. e **E 179.652,61** m.; deste, segue com azimute de 240°20'19" e distância de 23,16 m., até o vértice **40**, de coordenadas **N 8.250.430,00** m. e **E 179.632,48** m.; deste, segue com azimute de 240°20'17" e distância de 14,22 m., até o vértice **41**, de coordenadas **N 8.250.422,96** m. e



SFL - PLC 0019/2019 folha 000358

**E 179.620,12** m.; deste, segue com azimute de 228°58'20" e distância de 44,18 m., até o vértice **42**, de coordenadas **N 8.250.393,96** m. e **E 179.586,79** m.; deste, segue com azimute de 205°35'26" e distância de 38,55 m., até o vértice **43**, de coordenadas **N 8.250.359,19** m. e **E 179.570,14** m.; deste, segue com azimute de 205°35'27" e distância de 21,64 m., até o vértice **44**, de coordenadas **N 8.250.339,68** m. e **E 179.560,80** m.; deste, segue com azimute de 205°35'26" e distância de 9,67 m., até o vértice **45**, de coordenadas **N 8.250.330,96** m. e **E 179.556,62** m.; deste, segue com azimute de 219°16'36" e distância de 34,23 m., até o vértice **46**, de coordenadas **N 8.250.304,46** m. e **E 179.534,95** m.; deste, segue com azimute de 187°11'25" e distância de 81,64 m., até o vértice **47**, de coordenadas **N 8.250.223,46** m. e **E 179.524,73** m.; deste, segue com azimute de 185°15'56" e distância de 0,05 m., até o vértice **48**, de coordenadas **N 8.250.223,41** m. e **E 179.524,73** m.; deste, segue com azimute de 275°15'56" e distância de 26,95 m., até o vértice **49**, de coordenadas **N 8.250.225,89** m. e **E 179.497,89** m.; deste, segue com azimute de 277°09'04" e distância de 44,22 m., até o vértice **50**, de coordenadas **N 8.250.231,39** m. e **E 179.454,01** m.; deste, segue com azimute de 277°07'30" e distância de 11,93 m., até o vértice **51**, de coordenadas **N 8.250.232,87** m. e **E 179.442,18** m.; deste, segue com azimute de 277°12'48" e distância de 4,58 m., até o vértice **52**, de coordenadas **N 8.250.233,45** m. e **E 179.437,64** m.; deste, segue com azimute de 6°22'31" e distância de 121,24 m., até o vértice **53**, de coordenadas **N 8.250.353,94** m. e **E 179.451,10** m.; deste, segue com azimute de 6°14'04" e distância de 126,69 m., até o vértice **54**, de coordenadas **N 8.250.479,88** m. e **E 179.464,86** m.; deste, segue com azimute de 7°53'59" e distância de 111,66 m., até o vértice **55**, de coordenadas **N 8.250.590,48** m. e **E 179.480,21** m.; deste, segue com azimute de 6°09'04" e distância de 212,36 m., até o vértice **56**, de coordenadas **N 8.250.801,61** m. e **E 179.502,96** m.; deste, segue com azimute de 5°07'57" e distância de 88,73 m., até o vértice **57**, de coordenadas **N 8.250.889,99** m. e **E 179.510,90** m.; deste, segue com azimute de 8°50'30" e distância de 72,30 m., até o vértice **58**, de coordenadas **N 8.250.961,42** m. e **E 179.522,01** m.; deste, segue com azimute de 4°44'40" e distância de 260,71 m., até o vértice **59**, de coordenadas **N 8.251.221,24** m. e **E 179.543,57** m.; deste, segue com azimute de 4°17'46" e distância de 96,96 m., até o vértice **60**, de coordenadas **N 8.251.317,93** m. e **E 179.550,84** m.; deste, segue com azimute de 1°39'33" e distância de 70,53 m., até o vértice **61**, de coordenadas **N 8.251.388,43** m. e **E 179.552,88** m.; deste, segue com azimute de 6°25'57" e distância de 32,17 m., até o vértice **62**, de coordenadas **N 8.251.420,40** m. e **E 179.556,48** m.; deste, segue com azimute de 6°25'56" e distância de 156,37 m., até o vértice **63**, de coordenadas **N 8.251.575,79** m. e **E**



SFL - PLC 0019/2019 folha 000359

**179.574,00** m.; deste, segue com azimute de 6°25'56" e distância de 92,31 m., até o vértice **64**, de coordenadas **N 8.251.667,52** m. e **E 179.584,34** m.; deste, segue com azimute de 6°35'12" e distância de 320,07 m., até o vértice **65**, de coordenadas **N 8.251.985,47** m. e **E 179.621,06** m.; deste, segue com azimute de 6°32'27" e distância de 336,78 m., até o vértice **66**, de coordenadas **N 8.252.320,06** m. e **E 179.659,42** m.; ponto situado no eixo da Rodovia DF-095 deste, segue pela Rodovia DF-095, até o vértice **67**, de coordenadas **N 8.251.435,46** m. e **E 181.770,99** m.; deste, segue com azimute de 59°39'14" e distância de 37,77 m., até o vértice **68**, de coordenadas **N 8.251.454,54** m. e **E 181.803,58** m.; deste, segue com azimute de 59°47'31" e distância de 29,87 m., até o vértice **69**, de coordenadas **N 8.251.469,57** m. e **E 181.829,39** m.; deste, segue com azimute de 60°16'50" e distância de 50,02 m., até o vértice **70**, de coordenadas **N 8.251.494,37** m. e **E 181.872,83** m.; deste, segue com azimute de 60°22'08" e distância de 10,22 m., até o vértice **71**, de coordenadas **N 8.251.499,42** m. e **E 181.881,72** m.; deste, segue com azimute de 63°41'46" e distância de 20,78 m., até o vértice **72**, de coordenadas **N 8.251.508,63** m. e **E 181.900,34** m.; deste, segue com azimute de 63°51'18" e distância de 15,49 m., até o vértice **73**, de coordenadas **N 8.251.515,45** m. e **E 181.914,25** m.; deste, segue com azimute de 65°07'21" e distância de 14,47 m., até o vértice **74**, de coordenadas **N 8.251.521,54** m. e **E 181.927,37** m.; deste, segue com azimute de 67°13'55" e distância de 19,33 m., até o vértice **75**, de coordenadas **N 8.251.529,02** m. e **E 181.945,20** m.; deste, segue com azimute de 68°06'37" e distância de 12,77 m., até o vértice **76**, de coordenadas **N 8.251.533,78** m. e **E 181.957,05** m.; deste, segue com azimute de 69°36'53" e distância de 18,69 m., até o vértice **77**, de coordenadas **N 8.251.540,29** m. e **E 181.974,57** m.; deste, segue com azimute de 72°24'50" e distância de 36,25 m., até o vértice **78**, de coordenadas **N 8.251.551,25** m. e **E 182.009,13** m.; deste, segue com azimute de 74°53'43" e distância de 37,16 m., até o vértice **79**, de coordenadas **N 8.251.560,93** m. e **E 182.045,01** m.; deste, segue com azimute de 77°40'20" e distância de 28,43 m., até o vértice **80**, de coordenadas **N 8.251.567,00** m. e **E 182.072,78** m.; deste, segue com azimute de 79°46'20" e distância de 14,50 m., até o vértice **81**, de coordenadas **N 8.251.569,58** m. e **E 182.087,06** m.; deste, segue com azimute de 81°21'31" e distância de 23,53 m., até o vértice **82**, de coordenadas **N 8.251.573,11** m. e **E 182.110,32** m.; deste, segue com azimute de 84°01'56" e distância de 9,66 m., até o vértice **83**, de coordenadas **N 8.251.574,11** m. e **E 182.119,92** m.; deste, segue com azimute de 85°18'22" e distância de 28,85 m., até o vértice **84**, de coordenadas **N 8.251.576,48** m. e **E 182.148,68** m.; deste, segue com azimute de 87°21'38" e distância de 29,88 m., até o vértice **85**, de coordenadas



SPL - PLC 0019/2019 folha 000360

**N 8.251.577,85** m. e **E 182.178,52** m.; deste, segue com azimute de 90°37'09" e distância de 19,49 m., até o vértice **86**, de coordenadas **N 8.251.577,64** m. e **E 182.198,01** m.; deste, segue com azimute de 90°37'10" e distância de 10,10 m., até o vértice **87**, de coordenadas **N 8.251.577,53** m. e **E 182.208,12** m.; deste, segue com azimute de 0°00'00" e distância de 55,65 m., até o vértice **88**, de coordenadas **N 8.251.633,18** m. e **E 182.208,12** m.; deste, segue com azimute de 318°45'38" e distância de 262,41 m., até o vértice **89**, de coordenadas **N 8.251.830,50** m. e **E 182.035,13** m.; deste, segue com azimute de 316°30'38" e distância de 90,88 m., até o vértice **90**, de coordenadas **N 8.251.896,44** m. e **E 181.972,58** m.; deste, segue com azimute de 316°30'38" e distância de 51,85 m., até o vértice **91**, de coordenadas **N 8.251.934,05** m. e **E 181.936,90** m.; deste, segue com azimute de 321°52'13" e distância de 39,28 m., até o vértice **92**, de coordenadas **N 8.251.964,95** m. e **E 181.912,65** m.; deste, segue com azimute de 315°55'23" e distância de 69,39 m., até o vértice **93**, de coordenadas **N 8.252.014,80** m. e **E 181.864,38** m.; deste, segue com azimute de 315°55'23" e distância de 65,81 m., até o vértice **94**, de coordenadas **N 8.252.062,08** m. e **E 181.818,60** m.; deste, segue com azimute de 317°37'53" e distância de 80,06 m., até o vértice **95**, de coordenadas **N 8.252.121,23** m. e **E 181.764,64** m.; deste, segue com azimute de 317°51'03" e distância de 41,01 m., até o vértice **96**, de coordenadas **N 8.252.151,64** m. e **E 181.737,12** m.; deste, segue com azimute de 317°51'03" e distância de 20,17 m., até o vértice **97**, de coordenadas **N 8.252.166,59** m. e **E 181.723,59** m.; deste, segue com azimute de 317°07'31" e distância de 334,00 m., até o vértice **98**, de coordenadas **N 8.252.411,36** m. e **E 181.496,33** m.; deste, segue com azimute de 317°29'14" e distância de 124,35 m., até o vértice **99**, de coordenadas **N 8.252.503,03** m. e **E 181.412,30** m.; deste, segue com azimute de 317°29'14" e distância de 128,98 m., até o vértice **100**, de coordenadas **N 8.252.598,10** m. e **E 181.325,15** m.; deste, segue com azimute de 317°29'13" e distância de 98,27 m., até o vértice **101**, de coordenadas **N 8.252.670,53** m. e **E 181.258,74** m.; deste, segue com azimute de 316°26'13" e distância de 81,35 m., até o vértice **102**, de coordenadas **N 8.252.729,48** m. e **E 181.202,68** m.; deste, segue com azimute de 317°46'45" e distância de 37,00 m., até o vértice **103**, de coordenadas **N 8.252.756,88** m. e **E 181.177,82** m.; deste, segue com azimute de 317°46'45" e distância de 146,71 m., até o vértice **104**, de coordenadas **N 8.252.865,53** m. e **E 181.079,23** m.; deste, segue com azimute de 310°34'01" e distância de 22,40 m., até o vértice **105**, de coordenadas **N 8.252.880,10** m. e **E 181.062,21** m.; deste, segue com azimute de 300°36'24" e distância de 15,15 m., até o vértice **106**, de coordenadas **N 8.252.887,81** m. e **E 181.049,17** m.; deste, segue com azimute de 290°25'28" e distância de 59,55 m., até o vértice **107**, de coordenadas



SFL - PLC 0019/2019 folha 000361

**N 8.252.908,59** m. e **E 180.993,36** m.; deste, segue com azimute de 290°25'29" e distância de 5,75 m., até o vértice **108**, de coordenadas **N 8.252.910,60** m. e **E 180.987,97** m.; deste, segue com azimute de 297°14'27" e distância de 5,05 m., até o vértice **109**, de coordenadas **N 8.252.912,91** m. e **E 180.983,48** m.; deste, segue com azimute de 46°36'02" e distância de 890,60 m., até o vértice **110**, de coordenadas **N 8.253.524,83** m. e **E 181.630,57** m.; deste, segue com azimute de 316°27'03" e distância de 620,61 m., até o vértice **111**, de coordenadas **N 8.253.974,64** m. e **E 181.202,99** m.; deste, segue com azimute de 316°28'17" e distância de 77,56 m., até o vértice **112**, de coordenadas **N 8.254.030,87** m. e **E 181.149,57** m.; deste, segue com azimute de 357°29'16" e distância de 3,85 m., até o vértice **113**, de coordenadas **N 8.254.034,72** m. e **E 181.149,40** m.; deste, segue com azimute de 357°29'16" e distância de 287,48 m., até o vértice **114**, de coordenadas **N 8.254.321,92** m. e **E 181.136,80** m.; deste, segue com azimute de 357°29'16" e distância de 370,27 m., até o vértice **115**, de coordenadas **N 8.254.691,83** m. e **E 181.120,57** m.; deste, segue com azimute de 345°26'11" e distância de 210,77 m., até o vértice **116**, de coordenadas **N 8.254.895,83** m. e **E 181.067,57** m.; deste, segue com azimute de 10°34'54" e distância de 110,63 m., até o vértice **117**, de coordenadas **N 8.255.004,58** m. e **E 181.087,89** m.; deste, segue com azimute de 22°51'42" e distância de 892,35 m., até o vértice **118**, de coordenadas **N 8.255.826,83** m. e **E 181.434,57** m.; deste, segue com azimute de 42°56'45" e distância de 396,16 m., até o vértice **119**, de coordenadas **N 8.256.116,82** m. e **E 181.704,48** m.; deste, segue com azimute de 42°56'45" e distância de 97,01 m., até o vértice **120**, de coordenadas **N 8.256.187,83** m. e **E 181.770,57** m.; deste, segue com azimute de 57°21'23" e distância de 316,55 m., até o vértice **121**, de coordenadas **N 8.256.358,58** m. e **E 182.037,12** m.; deste, segue com azimute de 57°21'23" e distância de 473,20 m., até o vértice **122**, de coordenadas **N 8.256.613,83** m. e **E 182.435,57** m.; deste, segue com azimute de 84°38'14" e distância de 666,02 m., até o vértice **123**, de coordenadas **N 8.256.676,08** m. e **E 183.098,68** m.; deste, segue com azimute de 84°38'14" e distância de 874,72 m., até o vértice **124**, de coordenadas **N 8.256.757,83** m. e **E 183.969,57** m.; deste, segue com azimute de 90°33'42" e distância de 714,03 m., até o vértice **125**, de coordenadas **N 8.256.750,83** m. e **E 184.683,58** m.; deste, segue com azimute de 60°23'46" e distância de 773,47 m., até o vértice **126**, de coordenadas **N 8.257.132,93** m. e **E 185.356,08** m.; deste, segue com azimute de 60°23'46" e distância de 989,69 m., até o vértice **127**, de coordenadas **N 8.257.621,84** m. e **E 186.216,58** m.; deste, segue com azimute de 120°05'13" e distância de 579,63 m., até o vértice **128**, de coordenadas **N 8.257.331,26** m. e **E 186.718,11** m.; deste, segue com azimute de 120°05'13" e distância de 272,13 m., até o vértice **129**, de coordenadas



SPL - PLC 0019/2019 folha 000362

**N 8.257.194,84** m. e **E 186.953,58** m.; deste, segue com azimute de 358°00'49" e distância de 173,10 m., até o vértice **130**, de coordenadas **N 8.257.367,84** m. e **E 186.947,58** m.; deste, segue com azimute de 30°18'16" e distância de 342,85 m., até o vértice **1**, de coordenadas **N 8.257.663,84** m. e **E 187.120,58** m.; ponto inicial da descrição deste perímetro. Todos os azimutes e distâncias, áreas e perímetros foram calculados no plano de projeção UTM. Todas as coordenadas aqui descritas estão georreferenciadas ao Sistema Geodésico Brasileiro e encontram-se representadas no Sistema UTM, referenciadas ao **Meridiano Central 45° WGr, Fuso 23**, tendo como o *Datum* o **SICAD-SIRGAS 2000.** Todos os azimutes e distâncias, áreas e perímetros foram calculados no plano de projeção UTM.

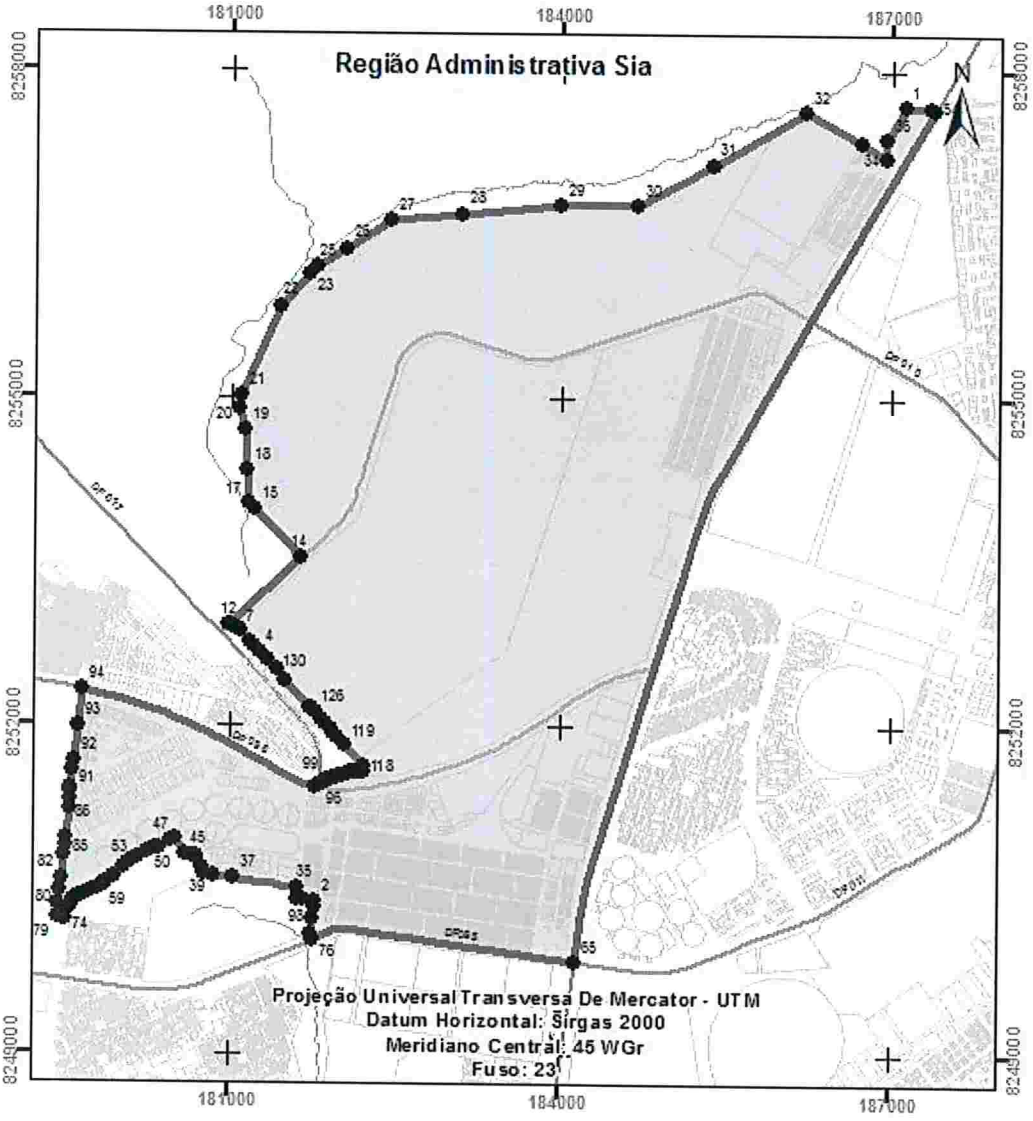




SPL - PLC 0019/2019 folha 000363

# MEMORIAL DESCRITIVO

## VICENTE PIRES – RA XXX

Perímetro: 29.288,381 m  Área: 4.287,803 ha

Inicia-se a descrição deste perímetro no vértice **1**, de coordenadas **N 8.256.232,82** m. e **E 176.662,22** m., situado no limite norte da RA XXX – Vicente Pires deste, segue com azimute de 101°39'43" e distância de 638,17 m., até o vértice **2**, de coordenadas **N 8.256.103,82** m. e **E 177.287,22 m.;** deste, segue com azimute de 103°24'58" e distância de 372,77 m., até o vértice **3**, de coordenadas **N 8.256.017,33** m. e **E 177.649,82 m.;** deste, segue com azimute de 103°24'58" e distância de 75,46 m., até o vértice **4**, de coordenadas **N 8.255.999,82** m. e **E 177.723,22 m.;** deste, segue com azimute de 103°44'10" e distância de 46,33 m., até o vértice **5**, de coordenadas **N 8.255.988,82** m. e **E 177.768,22 m.;** deste, segue com azimute de 109°05'37" e distância de 27,51 m., até o vértice **6**, de coordenadas **N 8.255.979,82** m. e **E 177.794,22 m.;** deste, segue com azimute de 111°19'39" e distância de 213,31 m., até o vértice **7**, de coordenadas **N 8.255.902,24** m. e **E 177.992,92 m.;** deste, segue com azimute de 111°19'40" e distância de 11,34 m., até o vértice **8**, de coordenadas **N 8.255.898,11** m. e **E 178.003,49 m.;** deste, segue com azimute de 185°17'55" e distância de 322,95 m., até o vértice **9**, de coordenadas **N 8.255.576,54** m. e **E 177.973,67 m.;** deste, segue com azimute de 184°33'28" e distância de 72,03 m., até o vértice **10**, de coordenadas **N 8.255.504,74** m. e **E 177.967,94 m.;** ponto situado às margens do Córrego do Valo deste, segue margeando o Córrego do Valo, até o vértice **11**, de coordenadas **N 8.252.622,22** m. e **E 178.106,84 m.;** confluência entre o Córrego do Valo e o Córrego Vicente Pires deste, segue margeando o Córrego Vicente Pires, até o vértice **12**, de coordenadas **N 8.252.413,27** m. e **E 178.236,59 m.;** ponto de cruzamento entre o Córrego Vicente Pires e o eixo da Rodovia DF-095 deste, segue pela Rodovia DF-095, até o vértice **13**, de coordenadas **N 8.252.320,06** m. e **E 179.659,42 m.;** deste, segue com azimute de 186°32'27" e distância de 336,78 m., até o vértice **14**, de coordenadas **N 8.251.985,47** m. e **E 179.621,06 m.;** deste, segue com azimute de 186°45'04" e distância de 155,00 m., até o vértice **15**, de coordenadas **N 8.251.831,55** m. e **E 179.602,84 m.;** deste, segue com azimute de 186°25'56" e distância de 165,07 m., até o vértice **16**, de coordenadas **N 8.251.667,52** m. e **E 179.584,34 m.;** deste, segue com azimute de 186°25'56" e distância de 167,99 m., até o vértice **17**, de coordenadas **N 8.251.500,59** m. e **E 179.565,52 m.;** deste, segue com azimute de 186°25'57" e distância de 112,86 m., até o vértice **18**, de coordenadas **N 8.251.388,43** m. e **E 179.552,88 m.;** deste, segue com azimute



SFL - PLC 0019/2019 folha 000364

de 181°39'33" e distância de 70,53 m., até o vértice **19**, de coordenadas **N 8.251.317,93** m. e **E 179.550,84** m.; deste, segue com azimute de 184°17'46" e distância de 96,96 m., até o vértice **20**, de coordenadas **N 8.251.221,24** m. e **E 179.543,57** m.; deste, segue com azimute de 184°44'40" e distância de 260,71 m., até o vértice **21**, de coordenadas **N 8.250.961,42** m. e **E 179.522,01** m.; deste, segue com azimute de 189°05'25" e distância de 40,19 m., até o vértice **22**, de coordenadas **N 8.250.921,74** m. e **E 179.515,66** m.; deste, segue com azimute de 188°31'51" e distância de 32,11 m., até o vértice **23**, de coordenadas **N 8.250.889,99** m. e **E 179.510,90** m.; deste, segue com azimute de 185°07'57" e distância de 88,73 m., até o vértice **24**, de coordenadas **N 8.250.801,61** m. e **E 179.502,96** m.; deste, segue com azimute de 186°09'04" e distância de 212,36 m., até o vértice **25**, de coordenadas **N 8.250.590,48** m. e **E 179.480,21** m.; deste, segue com azimute de 187°53'59" e distância de 111,66 m., até o vértice **26**, de coordenadas **N 8.250.479,88** m. e **E 179.464,86** m.; deste, segue com azimute de 186°14'04" e distância de 126,69 m., até o vértice **27**, de coordenadas **N 8.250.353,94** m. e **E 179.451,10** m.; deste, segue com azimute de 186°22'31" e distância de 121,24 m., até o vértice **28**, de coordenadas **N 8.250.233,45** m. e **E 179.437,64** m.; deste, segue com azimute de 186°22'31" e distância de 69,38 m., até o vértice **29**, de coordenadas **N 8.250.164,50** m. e **E 179.429,93** m.; deste, segue com azimute de 186°21'39" e distância de 162,40 m., até o vértice **30**, de coordenadas **N 8.250.003,10** m. e **E 179.411,94** m.; deste, segue com azimute de 187°11'57" e distância de 50,67 m., até o vértice **31**, de coordenadas **N 8.249.952,83** m. e **E 179.405,59** m.; deste, segue com azimute de 193°47'59" e distância de 31,06 m., até o vértice **32**, de coordenadas **N 8.249.922,67** m. e **E 179.398,18** m.; deste, segue com azimute de 190°54'18" e distância de 58,74 m., até o vértice **33**, de coordenadas **N 8.249.864,99** m. e **E 179.387,07** m.; deste, segue com azimute de 186°37'15" e distância de 59,66 m., até o vértice **34**, de coordenadas **N 8.249.805,72** m. e **E 179.380,19** m.; deste, segue com azimute de 187°18'21" e distância de 62,42 m., até o vértice **35**, de coordenadas **N 8.249.743,81** m. e **E 179.372,25** m.; deste, segue com azimute de 188°54'54" e distância de 54,64 m., até o vértice **36**, de coordenadas **N 8.249.689,83** m. e **E 179.363,79** m.; ponto situado no eixo da Rodovia DF-085 deste, segue pela Rodovia DF-085, até o vértice **37**, de coordenadas **N 8.247.288,93** m. e **E 173.236,06** m.; ponto situado na interseção entre a Rodovia DF-085 e Rodovia DF-001 deste, segue pela Rodovia DF-001, até o vértice **38**, de coordenadas **N 8.247.821,70** m. e **E 172.841,17** m.; deste, segue com azimute de 63°03'36" e distância de 285,00 m., até o vértice **39**, de coordenadas **N 8.247.950,82** m. e **E 173.095,25** m.; deste, segue com azimute de 66°05'39" e distância de 8,12 m., até o vértice **40**, de coordenadas **N**



SPL - PLC 0019/2019 folha 000365

**8.247.954,11** m. e **E 173.102,67** m.; deste, segue com azimute de 334°05'39" e distância de 47,64 m., até o vértice **41**, de coordenadas **N 8.247.996,96** m. e **E 173.081,86** m.; deste, segue com azimute de 334°52'13" e distância de 13,47 m., até o vértice **42**, de coordenadas **N 8.248.009,16** m. e **E 173.076,14** m.; deste, segue com azimute de 336°31'07" e distância de 28,52 m., até o vértice **43**, de coordenadas **N 8.248.035,31** m. e **E 173.064,77** m.; deste, segue com azimute de 339°28'20" e distância de 21,82 m., até o vértice **44**, de coordenadas **N 8.248.055,75** m. e **E 173.057,12** m.; deste, segue com azimute de 341°28'14" e distância de 90,00 m., até o vértice **45**, de coordenadas **N 8.248.141,08** m. e **E 173.028,52** m.; deste, segue com azimute de 342°33'16" e distância de 48,05 m., até o vértice **46**, de coordenadas **N 8.248.186,92** m. e **E 173.014,11** m.; deste, segue com azimute de 342°33'17" e distância de 26,83 m., até o vértice **47**, de coordenadas **N 8.248.212,52** m. e **E 173.006,07** m.; deste, segue com azimute de 345°07'53" e distância de 79,79 m., até o vértice **48**, de coordenadas **N 8.248.289,64** m. e **E 172.985,60** m.; deste, segue com azimute de 345°40'12" e distância de 74,23 m., até o vértice **49**, de coordenadas **N 8.248.361,55** m. e **E 172.967,22** m.; deste, segue com azimute de 346°36'10" e distância de 93,59 m., até o vértice **50**, de coordenadas **N 8.248.452,60** m. e **E 172.945,54** m.; deste, segue com azimute de 346°24'29" e distância de 133,13 m., até o vértice **51**, de coordenadas **N 8.248.582,00** m. e **E 172.914,25** m.; deste, segue com azimute de 346°14'40" e distância de 149,37 m., até o vértice **52**, de coordenadas **N 8.248.727,08** m. e **E 172.878,74** m.; deste, segue com azimute de 346°05'19" e distância de 124,34 m., até o vértice **53**, de coordenadas **N 8.248.847,78** m. e **E 172.848,84** m.; deste, segue com azimute de 345°21'48" e distância de 35,21 m., até o vértice **54**, de coordenadas **N 8.248.881,85** m. e **E 172.839,94** m.; deste, segue com azimute de 324°10'42" e distância de 11,34 m., até o vértice **55**, de coordenadas **N 8.248.891,04** m. e **E 172.833,31** m.; deste, segue com azimute de 350°27'56" e distância de 27,36 m., até o vértice **56**, de coordenadas **N 8.248.918,03** m. e **E 172.828,78** m.; deste, segue com azimute de 352°29'31" e distância de 71,34 m., até o vértice **57**, de coordenadas **N 8.248.988,75** m. e **E 172.819,46** m.; deste, segue com azimute de 352°38'23" e distância de 114,52 m., até o vértice **58**, de coordenadas **N 8.249.102,33** m. e **E 172.804,78** m.; deste, segue com azimute de 351°45'22" e distância de 128,96 m., até o vértice **59**, de coordenadas **N 8.249.229,96** m. e **E 172.786,29** m.; deste, segue com azimute de 351°45'24" e distância de 2,81 m., até o vértice **60**, de coordenadas **N 8.249.232,74** m. e **E 172.785,89** m.; deste, segue com azimute de 345°33'47" e distância de 3,87 m., até o vértice **61**, de coordenadas **N 8.249.236,48** m. e **E 172.784,93** m.; deste, segue com azimute de 250°47'42" e distância de 6,65 m., até o vértice **62**, de coordenadas



SFL - PLC 0019/2019 folha 000366

**N 8.249.234,29** m. e **E 172.778,65** m.; deste, segue com azimute de 266°30'53" e distância de 43,10 m., até o vértice **63**, de coordenadas **N 8.249.231,67** m. e **E 172.735,63** m.; deste, segue com azimute de 266°30'53" e distância de 6,28 m., até o vértice **64**, de coordenadas **N 8.249.231,29** m. e **E 172.729,36** m.; deste, segue com azimute de 281°57'35" e distância de 3,30 m., até o vértice **65**, de coordenadas **N 8.249.231,98** m. e **E 172.726,13** m.; deste, segue com azimute de 312°24'13" e distância de 4,92 m., até o vértice **66**, de coordenadas **N 8.249.235,29** m. e **E 172.722,50** m.; deste, segue com azimute de 352°36'25" e distância de 2,82 m., até o vértice **67**, de coordenadas **N 8.249.238,09** m. e **E 172.722,14** m.; deste, segue com azimute de 0°13'40" e distância de 87,05 m., até o vértice **68**, de coordenadas **N 8.249.325,14** m. e **E 172.722,48** m.; deste, segue com azimute de 0°36'03" e distância de 51,55 m., até o vértice **69**, de coordenadas **N 8.249.376,69** m. e **E 172.723,02** m.; deste, segue com azimute de 7°27'22" e distância de 47,86 m., até o vértice **70**, de coordenadas **N 8.249.424,15** m. e **E 172.729,23** m.; deste, segue com azimute de 3°12'32" e distância de 25,52 m., até o vértice **71**, de coordenadas **N 8.249.449,63** m. e **E 172.730,66** m.; deste, segue com azimute de 356°17'32" e distância de 18,22 m., até o vértice **72**, de coordenadas **N 8.249.467,82** m. e **E 172.729,48** m.; deste, segue com azimute de 355°15'44" e distância de 10,24 m., até o vértice **73**, de coordenadas **N 8.249.478,02** m. e **E 172.728,64** m.; deste, segue com azimute de 346°35'35" e distância de 22,34 m., até o vértice **74**, de coordenadas **N 8.249.499,75** m. e **E 172.723,46** m.; deste, segue com azimute de 341°48'50" e distância de 28,71 m., até o vértice **75**, de coordenadas **N 8.249.527,03** m. e **E 172.714,50** m.; deste, segue com azimute de 339°16'28" e distância de 24,33 m., até o vértice **76**, de coordenadas **N 8.249.549,78** m. e **E 172.705,89** m.; deste, segue com azimute de 337°32'01" e distância de 52,40 m., até o vértice **77**, de coordenadas **N 8.249.598,21** m. e **E 172.685,86** m.; deste, segue com azimute de 336°41'40" e distância de 69,22 m., até o vértice **78**, de coordenadas **N 8.249.661,78** m. e **E 172.658,48** m.; deste, segue com azimute de 337°32'54" e distância de 136,75 m., até o vértice **79**, de coordenadas **N 8.249.788,16** m. e **E 172.606,25** m.; deste, segue com azimute de 338°05'05" e distância de 58,86 m., até o vértice **80**, de coordenadas **N 8.249.842,77** m. e **E 172.584,28** m.; deste, segue com azimute de 338°30'06" e distância de 72,64 m., até o vértice **81**, de coordenadas **N 8.249.910,36** m. e **E 172.557,66** m.; deste, segue com azimute de 61°19'33" e distância de 139,86 m., até o vértice **82**, de coordenadas **N 8.249.977,46** m. e **E 172.680,37** m.; deste, segue com azimute de 61°19'33" e distância de 80,98 m., até o vértice **83**, de coordenadas **N 8.250.016,32** m. e **E 172.751,42** m.; deste, segue com azimute de 57°59'23" e distância de 21,31 m., até o vértice **84**, de coordenadas



SPL - PLC 0019/2019 folha 000367

**N 8.250.027,61** m. e **E 172.769,49** m.; deste, segue com azimute de 311°08'26" e distância de 16,62 m., até o vértice **85**, de coordenadas **N 8.250.038,55** m. e **E 172.756,97** m.; deste, segue com azimute de 308°02'18" e distância de 14,84 m., até o vértice **86**, de coordenadas **N 8.250.047,70** m. e **E 172.745,28** m.; deste, segue com azimute de 282°44'03" e distância de 28,84 m., até o vértice **87**, de coordenadas **N 8.250.054,05** m. e **E 172.717,14** m.; deste, segue com azimute de 305°25'23" e distância de 188,11 m., até o vértice **88**, de coordenadas **N 8.250.163,08** m. e **E 172.563,86** m.; deste, segue com azimute de 305°43'54" e distância de 16,85 m., até o vértice **89**, de coordenadas **N 8.250.172,92** m. e **E 172.550,18** m.; deste, segue com azimute de 335°14'57" e distância de 15,57 m., até o vértice **90**, de coordenadas **N 8.250.187,06** m. e **E 172.543,66** m.; deste, segue com azimute de 357°35'13" e distância de 13,42 m., até o vértice **91**, de coordenadas **N 8.250.200,47** m. e **E 172.543,09** m.; deste, segue com azimute de 4°06'15" e distância de 46,55 m., até o vértice **92**, de coordenadas **N 8.250.246,90** m. e **E 172.546,42** m.; deste, segue com azimute de 354°18'50" e distância de 26,52 m., até o vértice **93**, de coordenadas **N 8.250.273,29** m. e **E 172.543,80** m.; deste, segue com azimute de 9°53'41" e distância de 14,05 m., até o vértice **94**, de coordenadas **N 8.250.287,13** m. e **E 172.546,21** m.; deste, segue com azimute de 10°40'45" e distância de 12,57 m., até o vértice **95**, de coordenadas **N 8.250.299,47** m. e **E 172.548,54** m.; deste, segue com azimute de 15°46'54" e distância de 20,42 m., até o vértice **96**, de coordenadas **N 8.250.319,13** m. e **E 172.554,09** m.; deste, segue com azimute de 16°45'28" e distância de 21,63 m., até o vértice **97**, de coordenadas **N 8.250.339,83** m. e **E 172.560,33** m.; deste, segue com azimute de 29°38'59" e distância de 17,75 m., até o vértice **98**, de coordenadas **N 8.250.355,26** m. e **E 172.569,11** m.; deste, segue com azimute de 40°13'23" e distância de 28,58 m., até o vértice **99**, de coordenadas **N 8.250.377,08** m. e **E 172.587,57** m.; deste, segue com azimute de 40°13'23" e distância de 8,76 m., até o vértice **100**, de coordenadas **N 8.250.383,77** m. e **E 172.593,22** m.; deste, segue com azimute de 33°50'22" e distância de 39,78 m., até o vértice **101**, de coordenadas **N 8.250.416,81** m. e **E 172.615,38** m.; deste, segue com azimute de 31°25'51" e distância de 28,00 m., até o vértice **102**, de coordenadas **N 8.250.440,70** m. e **E 172.629,98** m.; deste, segue com azimute de 307°18'17" e distância de 19,84 m., até o vértice **103**, de coordenadas **N 8.250.452,72** m. e **E 172.614,20** m.; deste, segue com azimute de 307°18'18" e distância de 14,40 m., até o vértice **104**, de coordenadas **N 8.250.461,45** m. e **E 172.602,74** m.; deste, segue com azimute de 45°21'07" e distância de 29,76 m., até o vértice **105**, de coordenadas **N 8.250.482,37** m. e **E 172.623,91** m.; deste, segue com azimute de 45°21'07" e distância de 13,69 m., até o vértice **106**, de coordenadas



SPL - PLC 0019/2019 folha 000368

**N 8.250.491,98** m. e **E 172.633,65** m.; deste, segue com azimute de 10°14'47" e distância de 18,68 m., até o vértice **107**, de coordenadas **N 8.250.510,37** m. e **E 172.636,97** m.; deste, segue com azimute de 26°45'52" e distância de 56,06 m., até o vértice **108**, de coordenadas **N 8.250.560,43** m. e **E 172.662,22** m.; deste, segue com azimute de 13°33'31" e distância de 68,02 m., até o vértice **109**, de coordenadas **N 8.250.626,55** m. e **E 172.678,17** m.; deste, segue com azimute de 13°49'05" e distância de 310,97 m., até o vértice **110**, de coordenadas **N 8.250.928,53** m. e **E 172.752,44** m.; deste, segue com azimute de 71°47'18" e distância de 15,13 m., até o vértice **111**, de coordenadas **N 8.250.933,25** m. e **E 172.766,81** m.; deste, segue com azimute de 18°58'40" e distância de 46,82 m., até o vértice **112**, de coordenadas **N 8.250.977,53** m. e **E 172.782,03** m.; deste, segue com azimute de 18°58'41" e distância de 49,62 m., até o vértice **113**, de coordenadas **N 8.251.024,45** m. e **E 172.798,17** m.; deste, segue com azimute de 18°58'40" e distância de 19,47 m., até o vértice **114**, de coordenadas **N 8.251.042,86** m. e **E 172.804,50** m.; deste, segue com azimute de 27°12'55" e distância de 17,09 m., até o vértice **115**, de coordenadas **N 8.251.058,06** m. e **E 172.812,32** m.; deste, segue com azimute de 37°18'41" e distância de 23,58 m., até o vértice **116**, de coordenadas **N 8.251.076,81** m. e **E 172.826,61** m.; deste, segue com azimute de 37°18'41" e distância de 9,62 m., até o vértice **117**, de coordenadas **N 8.251.084,46** m. e **E 172.832,44** m.; deste, segue com azimute de 13°40'12" e distância de 129,99 m., até o vértice **118**, de coordenadas **N 8.251.210,77** m. e **E 172.863,16** m.; deste, segue com azimute de 12°02'54" e distância de 43,56 m., até o vértice **119**, de coordenadas **N 8.251.253,37** m. e **E 172.872,25** m.; deste, segue com azimute de 14°38'37" e distância de 60,11 m., até o vértice **120**, de coordenadas **N 8.251.311,52** m. e **E 172.887,45** m.; deste, segue com azimute de 14°38'38" e distância de 48,05 m., até o vértice **121**, de coordenadas **N 8.251.358,01** m. e **E 172.899,59** m.; deste, segue com azimute de 15°26'23" e distância de 44,79 m., até o vértice **122**, de coordenadas **N 8.251.401,19** m. e **E 172.911,52** m.; deste, segue com azimute de 358°42'47" e distância de 7,80 m., até o vértice **123**, de coordenadas **N 8.251.408,99** m. e **E 172.911,34** m.; deste, segue com azimute de 358°42'46" e distância de 10,50 m., até o vértice **124**, de coordenadas **N 8.251.419,48** m. e **E 172.911,11** m.; deste, segue com azimute de 356°59'18" e distância de 12,31 m., até o vértice **125**, de coordenadas **N 8.251.431,78** m. e **E 172.910,46** m.; deste, segue com azimute de 16°50'24" e distância de 63,53 m., até o vértice **126**, de coordenadas **N 8.251.492,59** m. e **E 172.928,86** m.; deste, segue com azimute de 16°50'24" e distância de 104,57 m., até o vértice **127**, de coordenadas **N 8.251.592,68** m. e **E 172.959,16** m.; deste, segue com azimute de 16°36'31" e distância de 13,85 m., até o vértice **128**, de coordenadas



SFL - PLC 0019/2019 folha 000369

**N 8.251.605,95** m. e **E 172.963,12** m.; deste, segue com azimute de 28°41'10" e distância de 12,42 m., até o vértice **129**, de coordenadas **N 8.251.616,85** m. e **E 172.969,08** m.; deste, segue com azimute de 41°06'45" e distância de 15,01 m., até o vértice **130**, de coordenadas **N 8.251.628,15** m. e **E 172.978,95** m.; deste, segue com azimute de 48°21'59" e distância de 29,71 m., até o vértice **131**, de coordenadas **N 8.251.647,89** m. e **E 173.001,15** m.; deste, segue com azimute de 58°04'00" e distância de 10,54 m., até o vértice **132**, de coordenadas **N 8.251.653,46** m. e **E 173.010,10** m.; deste, segue com azimute de 58°03'59" e distância de 41,55 m., até o vértice **133**, de coordenadas **N 8.251.675,44** m. e **E 173.045,35** m.; deste, segue com azimute de 354°41'59" e distância de 41,28 m., até o vértice **134**, de coordenadas **N 8.251.716,54** m. e **E 173.041,54** m.; ponto situado no eixo da Rodovia DF-095 deste, segue pela Rodovia DF-095, até o vértice **135**, de coordenadas **N 8.251.670,58** m. e **E 172.837,47** m.; interseção entre a Rodovia DF-095 e o eixo da Rodovia DF-001 deste, segue pela Rodovia DF-001, até o vértice **136**, de coordenadas **N 8.255.948,08** m. e **E 173.401,74** m.; deste, segue com azimute de 85°16'23" e distância de 22,83 m., até o vértice **137**, de coordenadas **N 8.255.949,96** m. e **E 173.424,49** m.; deste, segue com azimute de 85°04'10" e distância de 548,48 m., até o vértice **138**, de coordenadas **N 8.255.997,11** m. e **E 173.970,95** m.; deste, segue com azimute de 85°04'10" e distância de 578,41 m., até o vértice **139**, de coordenadas **N 8.256.046,82** m. e **E 174.547,22** m.; deste, segue com azimute de 84°58'27" e distância de 456,06 m., até o vértice **140**, de coordenadas **N 8.256.086,77** m. e **E 175.001,52** m.; deste, segue com azimute de 84°58'27" e distância de 334,65 m., até o vértice **141**, de coordenadas **N 8.256.116,09** m. e **E 175.334,88** m.; deste, segue com azimute de 84°58'27" e distância de 456,89 m., até o vértice **142**, de coordenadas **N 8.256.156,11** m. e **E 175.790,01** m.; deste, segue com azimute de 84°58'27" e distância de 875,57 m., até o vértice **1**, de coordenadas **N 8.256.232,82** m. e **E 176.662,22** m.; ponto inicial da descrição deste perímetro. Todos os azimutes e distâncias, áreas e perímetros foram calculados no plano de projeção UTM. Todas as coordenadas aqui descritas estão georreferenciadas ao Sistema Geodésico Brasileiro e encontram-se representadas no Sistema UTM, referenciadas ao **Meridiano Central 45° WGr, Fuso 23**, tendo como o *Datum* o **SICAD-SIRGAS 2000.** Todos os azimutes e distâncias, áreas e perímetros foram calculados no plano de projeção UTM.



SPL - PLC 0019/2019 folha 000370

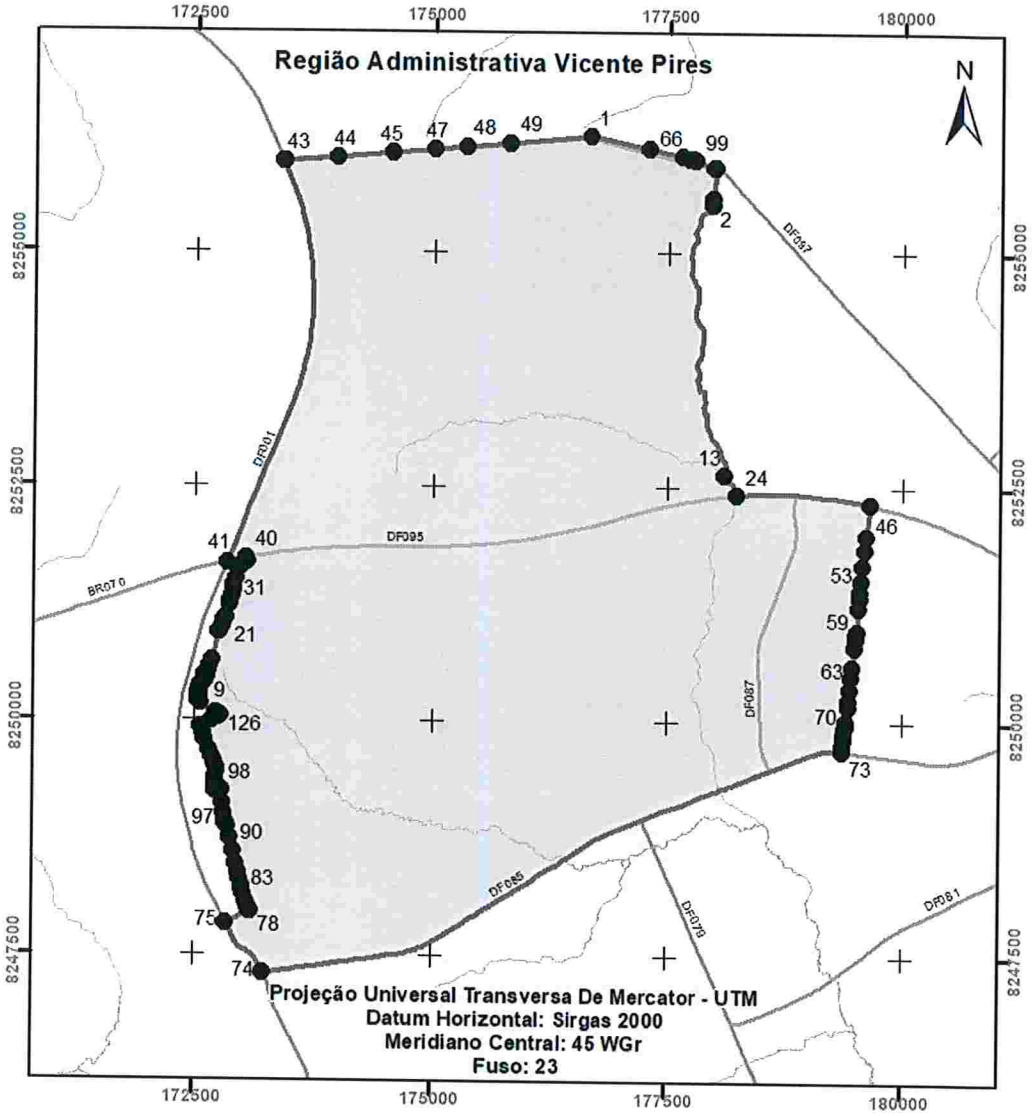




SFL - PLC 0019/2019 folha 000371

# MEMORIAL DESCRITIVO

## FERCAL – RA XXXI

Perímetro: 78.975,904 m  Área: 15.438,003 ha

Inicia-se a descrição deste perímetro no vértice **1**, de coordenadas **N 8.284.184,34** m. e **E 202.589,24** m., situado cruzamento entre o Limite Norte do Distrito Federal e o Rio Maranhão deste, segue margeando o Rio Maranhão, até o vértice **2**, de coordenadas **N 8.283.682,68** m. e **E 202.786,13 m.;** ponto de confluência entre o Rio Maranhão e o Ribeirão Palmeiras deste, segue margeando o Ribeirão Palmeiras, até o vértice **3**, de coordenadas **N 8.281.431,44** m. e **E 203.513,96 m.;** ponto de cruzamento entre o Ribeirão Palmeiras e o eixo da Rodovia DF-205 deste, segue pela Rodovia DF-205, até o vértice **4**, de coordenadas **N 8.278.018,99** m. e **E 195.259,33 m.;** ponto de cruzamento entre a Rodovia DF-205 e o Córrego Queima Lençol deste, segue margeando o Córrego Queima Lençol, até o vértice **5**, de coordenadas **N 8.276.951,27** m. e **E 195.263,80 m.;** confluência do Córrego Queima Lençol com o Córrego Lobeiral deste, segue margeando o Córrego Lobeiral com azimute de 143°42'20" e distância de 363,80 m., até o vértice **6**, de coordenadas **N 8.276.658,06** m. e **E 195.479,15 m.;** deste, segue com azimute de 186°06'34" e distância de 13,88 m., até o vértice **7**, de coordenadas **N 8.276.644,26** m. e **E 195.477,67 m.;** deste, segue com azimute de 183°40'54" e distância de 13,92 m., até o vértice **8**, de coordenadas **N 8.276.630,36** m. e **E 195.476,78 m.;** deste, segue com azimute de 186°40'43" e distância de 13,89 m., até o vértice **9**, de coordenadas **N 8.276.616,57** m. e **E 195.475,16 m.;** deste, segue com azimute de 192°02'13" e distância de 7,29 m., até o vértice **10**, de coordenadas **N 8.276.609,44** m. e **E 195.473,64 m.;** deste, segue com azimute de 193°36'05" e distância de 7,31 m., até o vértice **11**, de coordenadas **N 8.276.602,33** m. e **E 195.471,92 m.;** deste, segue com azimute de 191°24'24" e distância de 7,29 m., até o vértice **12**, de coordenadas **N 8.276.595,19** m. e **E 195.470,48 m.;** deste, segue com azimute de 187°51'03" e distância de 8,37 m., até o vértice **13**, de coordenadas **N 8.276.586,89** m. e **E 195.469,34 m.;** deste, segue com azimute de 185°19'16" e distância de 8,38 m., até o vértice **14**, de coordenadas **N 8.276.578,54** m. e **E 195.468,56 m.;** deste, segue com azimute de 182°33'40" e distância de 8,37 m., até o vértice **15**, de coordenadas **N 8.276.570,18** m. e **E 195.468,19 m.;** deste, segue com azimute de 179°38'40" e distância de 6,96 m., até o vértice **16**, de coordenadas **N 8.276.563,22** m. e **E 195.468,23 m.;** deste, segue com azimute de 177°21'24" e distância de 6,98 m., até o vértice **17**, de coordenadas **N 8.276.556,25** m. e **E 195.468,55 m.;** deste, segue com azimute



SFL - PLC 0019/2019 folha 000372

de 175°57'54" e distância de 6,97 m., até o vértice **18**, de coordenadas **N 8.276.549,30** m. e **E 195.469,04** m.; deste, segue com azimute de 174°50'26" e distância de 5,19 m., até o vértice **19**, de coordenadas **N 8.276.544,12** m. e **E 195.469,51** m.; deste, segue com azimute de 173°47'47" e distância de 5,19 m., até o vértice **20**, de coordenadas **N 8.276.538,96** m. e **E 195.470,07** m.; deste, segue com azimute de 173°21'27" e distância de 5,19 m., até o vértice **21**, de coordenadas **N 8.276.533,80** m. e **E 195.470,67** m.; deste, segue com azimute de 172°14'32" e distância de 7,27 m., até o vértice **22**, de coordenadas **N 8.276.526,59** m. e **E 195.471,65** m.; deste, segue com azimute de 171°37'43" e distância de 7,28 m., até o vértice **23**, de coordenadas **N 8.276.519,39** m. e **E 195.472,71** m.; deste, segue com azimute de 173°22'54" e distância de 7,26 m., até o vértice **24**, de coordenadas **N 8.276.512,18** m. e **E 195.473,55** m.; deste, segue com azimute de 172°44'33" e distância de 7,91 m., até o vértice **25**, de coordenadas **N 8.276.504,33** m. e **E 195.474,55** m.; deste, segue com azimute de 174°36'20" e distância de 7,90 m., até o vértice **26**, de coordenadas **N 8.276.496,47** m. e **E 195.475,29** m.; deste, segue com azimute de 186°31'38" e distância de 7,73 m., até o vértice **27**, de coordenadas **N 8.276.488,79** m. e **E 195.474,41** m.; deste, segue com azimute de 199°28'07" e distância de 2,88 m., até o vértice **28**, de coordenadas **N 8.276.486,07** m. e **E 195.473,45** m.; deste, segue com azimute de 203°33'31" e distância de 2,93 m., até o vértice **29**, de coordenadas **N 8.276.483,38** m. e **E 195.472,28** m.; deste, segue com azimute de 203°31'17" e distância de 2,91 m., até o vértice **30**, de coordenadas **N 8.276.480,72** m. e **E 195.471,12** m.; deste, segue com azimute de 202°10'03" e distância de 4,75 m., até o vértice **31**, de coordenadas **N 8.276.476,33** m. e **E 195.469,33** m.; deste, segue com azimute de 202°04'48" e distância de 4,67 m., até o vértice **32**, de coordenadas **N 8.276.472,00** m. e **E 195.467,58** m.; deste, segue com azimute de 201°43'17" e distância de 4,72 m., até o vértice **33**, de coordenadas **N 8.276.467,62** m. e **E 195.465,83** m.; deste, segue com azimute de 201°26'58" e distância de 8,04 m., até o vértice **34**, de coordenadas **N 8.276.460,14** m. e **E 195.462,89** m.; deste, segue com azimute de 200°53'39" e distância de 8,18 m., até o vértice **35**, de coordenadas **N 8.276.452,49** m. e **E 195.459,97** m.; deste, segue com azimute de 199°32'07" e distância de 8,18 m., até o vértice **36**, de coordenadas **N 8.276.444,78** m. e **E 195.457,24** m.; deste, segue com azimute de 196°30'51" e distância de 2,73 m., até o vértice **37**, de coordenadas **N 8.276.442,16** m. e **E 195.456,46** m.; deste, segue com azimute de 196°04'00" e distância de 2,74 m., até o vértice **38**, de coordenadas **N 8.276.439,53** m. e **E 195.455,70** m.; deste, segue com azimute de 201°11'05" e distância de 2,66 m., até o vértice **39**, de coordenadas **N 8.276.437,05** m. e **E 195.454,74** m.; deste, segue com azimute



SRL - PLC 0019/2019 folha 000373

de 209°04'30" e distância de 4,41 m., até o vértice **40**, de coordenadas **N 8.276.433,20** m. e **E 195.452,60** m.; deste, segue com azimute de 218°10'48" e distância de 4,38 m., até o vértice **41**, de coordenadas **N 8.276.429,76** m. e **E 195.449,89** m.; deste, segue com azimute de 232°23'17" e distância de 4,24 m., até o vértice **42**, de coordenadas **N 8.276.427,17** m. e **E 195.446,53** m.; deste, segue com azimute de 247°55'31" e distância de 3,41 m., até o vértice **43**, de coordenadas **N 8.276.425,89** m. e **E 195.443,37** m.; deste, segue com azimute de 257°28'28" e distância de 3,62 m., até o vértice **44**, de coordenadas **N 8.276.425,10** m. e **E 195.439,84** m.; deste, segue com azimute de 264°42'55" e distância de 3,54 m., até o vértice **45**, de coordenadas **N 8.276.424,77** m. e **E 195.436,31** m.; deste, segue com azimute de 275°30'02" e distância de 4,36 m., até o vértice **46**, de coordenadas **N 8.276.425,19** m. e **E 195.431,97** m.; deste, segue com azimute de 285°06'06" e distância de 4,47 m., até o vértice **47**, de coordenadas **N 8.276.426,36** m. e **E 195.427,65** m.; deste, segue com azimute de 287°49'41" e distância de 4,48 m., até o vértice **48**, de coordenadas **N 8.276.427,73** m. e **E 195.423,39** m.; deste, segue com azimute de 284°39'38" e distância de 2,82 m., até o vértice **49**, de coordenadas **N 8.276.428,44** m. e **E 195.420,67** m.; deste, segue com azimute de 286°23'00" e distância de 2,82 m., até o vértice **50**, de coordenadas **N 8.276.429,24** m. e **E 195.417,96** m.; deste, segue com azimute de 297°58'54" e distância de 2,78 m., até o vértice **51**, de coordenadas **N 8.276.430,54** m. e **E 195.415,51** m.; deste, segue com azimute de 312°42'50" e distância de 3,01 m., até o vértice **52**, de coordenadas **N 8.276.432,58** m. e **E 195.413,30** m.; deste, segue com azimute de 355°25'25" e distância de 2,05 m., até o vértice **53**, de coordenadas **N 8.276.434,63** m. e **E 195.413,13** m.; deste, segue com azimute de 20°02'32" e distância de 2,40 m., até o vértice **54**, de coordenadas **N 8.276.436,88** m. e **E 195.413,96** m.; deste, segue com azimute de 43°18'34" e distância de 2,47 m., até o vértice **55**, de coordenadas **N 8.276.438,68** m. e **E 195.415,65** m.; deste, segue com azimute de 43°48'26" e distância de 2,48 m., até o vértice **56**, de coordenadas **N 8.276.440,47** m. e **E 195.417,37** m.; deste, segue com azimute de 39°05'35" e distância de 2,33 m., até o vértice **57**, de coordenadas **N 8.276.442,27** m. e **E 195.418,84** m.; deste, segue com azimute de 39°35'29" e distância de 2,33 m., até o vértice **58**, de coordenadas **N 8.276.444,07** m. e **E 195.420,32** m.; deste, segue com azimute de 33°40'47" e distância de 2,31 m., até o vértice **59**, de coordenadas **N 8.276.445,99** m. e **E 195.421,60** m.; deste, segue com azimute de 31°26'12" e distância de 1,70 m., até o vértice **60**, de coordenadas **N 8.276.447,44** m. e **E 195.422,49** m.; deste, segue com azimute de 17°33'43" e distância de 3,27 m., até o vértice **61**, de coordenadas **N 8.276.450,56** m. e **E 195.423,48** m.; deste, segue com azimute de



SPL - PLC 0019/2019 folha 000374

340°10'21" e distância de 2,34 m., até o vértice **62**, de coordenadas **N 8.276.452,76** m. e **E 195.422,68** m.; deste, segue com azimute de 308°59'50" e distância de 1,18 m., até o vértice **63**, de coordenadas **N 8.276.453,51** m. e **E 195.421,76** m.; deste, segue com azimute de 288°57'32" e distância de 2,53 m., até o vértice **64**, de coordenadas **N 8.276.454,33** m. e **E 195.419,37** m.; deste, segue com azimute de 285°17'23" e distância de 4,39 m., até o vértice **65**, de coordenadas **N 8.276.455,49** m. e **E 195.415,13** m.; deste, segue com azimute de 274°26'42" e distância de 4,37 m., até o vértice **66**, de coordenadas **N 8.276.455,82** m. e **E 195.410,77** m.; deste, segue com azimute de 261°42'42" e distância de 4,06 m., até o vértice **67**, de coordenadas **N 8.276.455,24** m. e **E 195.406,76** m.; deste, segue com azimute de 241°07'57" e distância de 4,70 m., até o vértice **68**, de coordenadas **N 8.276.452,97** m. e **E 195.402,64** m.; deste, segue com azimute de 225°27'53" e distância de 5,09 m., até o vértice **69**, de coordenadas **N 8.276.449,40** m. e **E 195.399,01** m.; deste, segue com azimute de 219°29'04" e distância de 5,02 m., até o vértice **70**, de coordenadas **N 8.276.445,53** m. e **E 195.395,82** m.; deste, segue com azimute de 209°33'28" e distância de 7,05 m., até o vértice **71**, de coordenadas **N 8.276.439,39** m. e **E 195.392,34** m.; deste, segue com azimute de 200°13'20" e distância de 7,25 m., até o vértice **72**, de coordenadas **N 8.276.432,59** m. e **E 195.389,84** m.; deste, segue com azimute de 204°23'26" e distância de 7,15 m., até o vértice **73**, de coordenadas **N 8.276.426,08** m. e **E 195.386,89** m.; deste, segue com azimute de 211°52'01" e distância de 10,00 m., até o vértice **74**, de coordenadas **N 8.276.417,59** m. e **E 195.381,61** m.; deste, segue com azimute de 217°39'04" e distância de 10,02 m., até o vértice **75**, de coordenadas **N 8.276.409,66** m. e **E 195.375,49** m.; deste, segue com azimute de 231°02'22" e distância de 9,60 m., até o vértice **76**, de coordenadas **N 8.276.403,62** m. e **E 195.368,02** m.; deste, segue com azimute de 247°25'55" e distância de 7,00 m., até o vértice **77**, de coordenadas **N 8.276.400,94** m. e **E 195.361,56** m.; deste, segue com azimute de 256°27'10" e distância de 7,35 m., até o vértice **78**, de coordenadas **N 8.276.399,22** m. e **E 195.354,42** m.; deste, segue com azimute de 260°48'06" e distância de 7,30 m., até o vértice **79**, de coordenadas **N 8.276.398,05** m. e **E 195.347,22** m.; deste, segue com azimute de 266°29'34" e distância de 9,31 m., até o vértice **80**, de coordenadas **N 8.276.397,48** m. e **E 195.337,93** m.; deste, segue com azimute de 272°19'40" e distância de 9,40 m., até o vértice **81**, de coordenadas **N 8.276.397,86** m. e **E 195.328,53** m.; deste, segue com azimute de 272°40'16" e distância de 9,40 m., até o vértice **82**, de coordenadas **N 8.276.398,30** m. e **E 195.319,14** m.; deste, segue com azimute de 271°12'56" e distância de 6,05 m., até o vértice **83**, de coordenadas **N 8.276.398,43** m. e **E 195.313,09** m.; deste, segue com azimute



SPL - PLC 0019/2019 folha 000375

de 271°26'14" e distância de 6,05 m., até o vértice **84**, de coordenadas **N 8.276.398,58** m. e **E 195.307,05** m.; deste, segue com azimute de 271°26'18" e distância de 6,05 m., até o vértice **85**, de coordenadas **N 8.276.398,73** m. e **E 195.301,00** m.; deste, segue com azimute de 230°00'27" e distância de 18,02 m., até o vértice **86**, de coordenadas **N 8.276.387,15** m. e **E 195.287,20** m.; deste, segue com azimute de 267°28'39" e distância de 5,20 m., até o vértice **87**, de coordenadas **N 8.276.386,92** m. e **E 195.282,00** m.; deste, segue com azimute de 267°28'39" e distância de 5,20 m., até o vértice **88**, de coordenadas **N 8.276.386,69** m. e **E 195.276,81** m.; deste, segue com azimute de 262°19'36" e distância de 5,11 m., até o vértice **89**, de coordenadas **N 8.276.386,01** m. e **E 195.271,75** m.; deste, segue com azimute de 253°07'06" e distância de 7,11 m., até o vértice **90**, de coordenadas **N 8.276.383,95** m. e **E 195.264,94** m.; deste, segue com azimute de 245°49'18" e distância de 7,20 m., até o vértice **91**, de coordenadas **N 8.276.381,00** m. e **E 195.258,38** m.; deste, segue com azimute de 241°44'25" e distância de 7,17 m., até o vértice **92**, de coordenadas **N 8.276.377,60** m. e **E 195.252,06** m.; deste, segue com azimute de 238°09'43" e distância de 6,44 m., até o vértice **93**, de coordenadas **N 8.276.374,21** m. e **E 195.246,59** m.; deste, segue com azimute de 234°27'41" e distância de 6,48 m., até o vértice **94**, de coordenadas **N 8.276.370,44** m. e **E 195.241,32** m.; deste, segue com azimute de 232°44'09" e distância de 6,48 m., até o vértice **95**, de coordenadas **N 8.276.366,52** m. e **E 195.236,16** m.; deste, segue com azimute de 234°34'37" e distância de 2,98 m., até o vértice **96**, de coordenadas **N 8.276.364,79** m. e **E 195.233,73** m.; deste, segue com azimute de 233°47'32" e distância de 2,98 m., até o vértice **97**, de coordenadas **N 8.276.363,03** m. e **E 195.231,33** m.; deste, segue com azimute de 225°30'13" e distância de 2,92 m., até o vértice **98**, de coordenadas **N 8.276.360,98** m. e **E 195.229,24** m.; deste, segue com azimute de 217°57'15" e distância de 2,43 m., até o vértice **99**, de coordenadas **N 8.276.359,07** m. e **E 195.227,75** m.; deste, segue com azimute de 211°25'43" e distância de 2,46 m., até o vértice **100**, de coordenadas **N 8.276.356,97** m. e **E 195.226,47** m.; deste, segue com azimute de 196°18'38" e distância de 2,40 m., até o vértice **101**, de coordenadas **N 8.276.354,66** m. e **E 195.225,79** m.; deste, segue com azimute de 181°26'10" e distância de 1,03 m., até o vértice **102**, de coordenadas **N 8.276.353,63** m. e **E 195.225,77** m.; deste, segue com azimute de 174°48'54" e distância de 2,13 m., até o vértice **103**, de coordenadas **N 8.276.351,51** m. e **E 195.225,96** m.; deste, segue com azimute de 157°48'22" e distância de 5,51 m., até o vértice **104**, de coordenadas **N 8.276.346,40** m. e **E 195.228,04** m.; deste, segue com azimute de 145°15'04" e distância de 5,65 m., até o vértice **105**, de coordenadas **N 8.276.341,76** m. e **E 195.231,26** m.; deste,



SPL - PLC 0019/2019 folha 000376

segue com azimute de 161°39'52" e distância de 5,34 m., até o vértice **106**, de coordenadas **N 8.276.336,69** m. e **E 195.232,94** m.; deste, segue com azimute de 183°01'02" e distância de 2,31 m., até o vértice **107**, de coordenadas **N 8.276.334,38** m. e **E 195.232,82** m.; deste, segue com azimute de 188°45'23" e distância de 2,40 m., até o vértice **108**, de coordenadas **N 8.276.332,01** m. e **E 195.232,46** m.; deste, segue com azimute de 194°44'40" e distância de 2,34 m., até o vértice **109**, de coordenadas **N 8.276.329,75** m. e **E 195.231,86** m.; deste, segue com azimute de 199°49'36" e distância de 4,33 m., até o vértice **110**, de coordenadas **N 8.276.325,67** m. e **E 195.230,39** m.; deste, segue com azimute de 210°13'56" e distância de 4,33 m., até o vértice **111**, de coordenadas **N 8.276.321,93** m. e **E 195.228,21** m.; deste, segue com azimute de 238°41'43" e distância de 3,81 m., até o vértice **112**, de coordenadas **N 8.276.319,95** m. e **E 195.224,95** m.; deste, segue com azimute de 268°47'52" e distância de 2,28 m., até o vértice **113**, de coordenadas **N 8.276.319,90** m. e **E 195.222,67** m.; deste, segue com azimute de 279°02'36" e distância de 2,60 m., até o vértice **114**, de coordenadas **N 8.276.320,31** m. e **E 195.220,11** m.; deste, segue com azimute de 286°47'15" e distância de 2,52 m., até o vértice **115**, de coordenadas **N 8.276.321,04** m. e **E 195.217,69** m.; deste, segue com azimute de 302°14'22" e distância de 2,94 m., até o vértice **116**, de coordenadas **N 8.276.322,61** m. e **E 195.215,21** m.; deste, segue com azimute de 312°25'26" e distância de 3,06 m., até o vértice **117**, de coordenadas **N 8.276.324,67** m. e **E 195.212,95** m.; deste, segue com azimute de 305°55'50" e distância de 2,92 m., até o vértice **118**, de coordenadas **N 8.276.326,38** m. e **E 195.210,58** m.; deste, segue com azimute de 288°01'43" e distância de 5,30 m., até o vértice **119**, de coordenadas **N 8.276.328,02** m. e **E 195.205,54** m.; deste, segue com azimute de 274°53'29" e distância de 5,44 m., até o vértice **120**, de coordenadas **N 8.276.328,49** m. e **E 195.200,12** m.; deste, segue com azimute de 265°36'03" e distância de 5,32 m., até o vértice **121**, de coordenadas **N 8.276.328,08** m. e **E 195.194,82** m.; deste, segue com azimute de 249°49'24" e distância de 5,20 m., até o vértice **122**, de coordenadas **N 8.276.326,28** m. e **E 195.189,93** m.; deste, segue com azimute de 240°57'33" e distância de 5,45 m., até o vértice **123**, de coordenadas **N 8.276.323,64** m. e **E 195.185,17** m.; deste, segue com azimute de 251°49'53" e distância de 5,09 m., até o vértice **124**, de coordenadas **N 8.276.322,05** m. e **E 195.180,33** m.; deste, segue com azimute de 276°12'50" e distância de 5,34 m., até o vértice **125**, de coordenadas **N 8.276.322,63** m. e **E 195.175,03** m.; deste, segue com azimute de 288°16'46" e distância de 5,67 m., até o vértice **126**, de coordenadas **N 8.276.324,41** m. e **E 195.169,64** m.; deste, segue com azimute de 287°32'46" e distância de 5,66 m., até o vértice **127**, de coordenadas **N 8.276.326,12** m. e **E 195.164,24** m.; deste,



SPL - PLC 0019/2019 folha 000377

segue com azimute de 289°24'06" e distância de 4,33 m., até o vértice **128**, de coordenadas **N 8.276.327,55** m. e **E 195.160,16** m.; deste, segue com azimute de 288°55'06" e distância de 4,32 m., até o vértice **129**, de coordenadas **N 8.276.328,96** m. e **E 195.156,07** m.; deste, segue com azimute de 264°08'54" e distância de 3,36 m., até o vértice **130**, de coordenadas **N 8.276.328,61** m. e **E 195.152,73** m.; deste, segue com azimute de 214°21'22" e distância de 2,95 m., até o vértice **131**, de coordenadas **N 8.276.326,17** m. e **E 195.151,06** m.; deste, segue com azimute de 198°29'36" e distância de 3,75 m., até o vértice **132**, de coordenadas **N 8.276.322,62** m. e **E 195.149,87** m.; deste, segue com azimute de 204°43'43" e distância de 3,66 m., até o vértice **133**, de coordenadas **N 8.276.319,30** m. e **E 195.148,35** m.; deste, segue com azimute de 217°06'53" e distância de 3,22 m., até o vértice **134**, de coordenadas **N 8.276.316,73** m. e **E 195.146,40** m.; deste, segue com azimute de 222°51'00" e distância de 3,25 m., até o vértice **135**, de coordenadas **N 8.276.314,35** m. e **E 195.144,19** m.; deste, segue com azimute de 236°14'12" e distância de 2,75 m., até o vértice **136**, de coordenadas **N 8.276.312,82** m. e **E 195.141,90** m.; deste, segue com azimute de 266°32'34" e distância de 3,99 m., até o vértice **137**, de coordenadas **N 8.276.312,58** m. e **E 195.137,92** m.; deste, segue com azimute de 292°38'27" e distância de 4,51 m., até o vértice **138**, de coordenadas **N 8.276.314,31** m. e **E 195.133,76** m.; deste, segue com azimute de 317°43'55" e distância de 4,55 m., até o vértice **139**, de coordenadas **N 8.276.317,68** m. e **E 195.130,70** m.; deste, segue com azimute de 336°02'25" e distância de 1,24 m., até o vértice **140**, de coordenadas **N 8.276.318,81** m. e **E 195.130,20** m.; deste, segue com azimute de 342°51'01" e distância de 2,61 m., até o vértice **141**, de coordenadas **N 8.276.321,30** m. e **E 195.129,43** m.; deste, segue com azimute de 357°10'13" e distância de 2,12 m., até o vértice **142**, de coordenadas **N 8.276.323,43** m. e **E 195.129,32** m.; deste, segue com azimute de 3°44'59" e distância de 2,17 m., até o vértice **143**, de coordenadas **N 8.276.325,59** m. e **E 195.129,46** m.; deste, segue com azimute de 349°36'23" e distância de 2,06 m., até o vértice **144**, de coordenadas **N 8.276.327,61** m. e **E 195.129,09** m.; deste, segue com azimute de 333°30'59" e distância de 1,26 m., até o vértice **145**, de coordenadas **N 8.276.328,74** m. e **E 195.128,53** m.; deste, segue com azimute de 318°25'19" e distância de 2,49 m., até o vértice **146**, de coordenadas **N 8.276.330,60** m. e **E 195.126,88** m.; deste, segue com azimute de 279°19'40" e distância de 2,88 m., até o vértice **147**, de coordenadas **N 8.276.331,07** m. e **E 195.124,04** m.; deste, segue com azimute de 252°56'18" e distância de 2,84 m., até o vértice **148**, de coordenadas **N 8.276.330,23** m. e **E 195.121,33** m.; deste, segue com azimute de 231°00'36" e distância de 2,97 m., até o vértice **149**, de coordenadas **N 8.276.328,36** m. e **E 195.119,02** m.; deste,



SFL - PLC 0019/2019 folha 000378

segue com azimute de 233°53'21" e distância de 2,94 m., até o vértice **150**, de coordenadas **N 8.276.326,63** m. e **E 195.116,65** m.; deste, segue com azimute de 246°26'01" e distância de 4,29 m., até o vértice **151**, de coordenadas **N 8.276.324,92** m. e **E 195.112,72** m.; deste, segue com azimute de 251°00'54" e distância de 4,30 m., até o vértice **152**, de coordenadas **N 8.276.323,52** m. e **E 195.108,65** m.; deste, segue com azimute de 254°07'54" e distância de 4,29 m., até o vértice **153**, de coordenadas **N 8.276.322,35** m. e **E 195.104,53** m.; deste, segue com azimute de 262°17'26" e distância de 4,97 m., até o vértice **154**, de coordenadas **N 8.276.321,68** m. e **E 195.099,61** m.; deste, segue com azimute de 265°46'03" e distância de 5,01 m., até o vértice **155**, de coordenadas **N 8.276.321,31** m. e **E 195.094,61** m.; deste, segue com azimute de 253°24'14" e distância de 4,77 m., até o vértice **156**, de coordenadas **N 8.276.319,95** m. e **E 195.090,04** m.; deste, segue com azimute de 243°15'59" e distância de 3,80 m., até o vértice **157**, de coordenadas **N 8.276.318,24** m. e **E 195.086,65** m.; deste, segue com azimute de 234°58'15" e distância de 3,87 m., até o vértice **158**, de coordenadas **N 8.276.316,02** m. e **E 195.083,48** m.; deste, segue com azimute de 204°23'16" e distância de 3,66 m., até o vértice **159**, de coordenadas **N 8.276.312,69** m. e **E 195.081,97** m.; deste, segue com azimute de 178°07'04" e distância de 1,31 m., até o vértice **160**, de coordenadas **N 8.276.311,38** m. e **E 195.082,01** m.; deste, segue com azimute de 171°00'25" e distância de 2,83 m., até o vértice **161**, de coordenadas **N 8.276.308,59** m. e **E 195.082,45** m.; deste, segue com azimute de 163°48'39" e distância de 2,44 m., até o vértice **162**, de coordenadas **N 8.276.306,24** m. e **E 195.083,13** m.; deste, segue com azimute de 159°07'10" e distância de 2,45 m., até o vértice **163**, de coordenadas **N 8.276.303,95** m. e **E 195.084,01** m.; deste, segue com azimute de 163°42'14" e distância de 2,39 m., até o vértice **164**, de coordenadas **N 8.276.301,66** m. e **E 195.084,68** m.; deste, segue com azimute de 179°27'52" e distância de 5,56 m., até o vértice **165**, de coordenadas **N 8.276.296,10** m. e **E 195.084,73** m.; deste, segue com azimute de 191°25'05" e distância de 5,68 m., até o vértice **166**, de coordenadas **N 8.276.290,52** m. e **E 195.083,60** m.; deste, segue com azimute de 190°58'37" e distância de 5,68 m., até o vértice **167**, de coordenadas **N 8.276.284,95** m. e **E 195.082,52** m.; deste, segue com azimute de 183°32'33" e distância de 6,48 m., até o vértice **168**, de coordenadas **N 8.276.278,48** m. e **E 195.082,12** m.; deste, segue com azimute de 183°01'57" e distância de 6,48 m., até o vértice **169**, de coordenadas **N 8.276.272,01** m. e **E 195.081,78** m.; deste, segue com azimute de 191°12'37" e distância de 6,41 m., até o vértice **170**, de coordenadas **N 8.276.265,72** m. e **E 195.080,53** m.; deste, segue com azimute de 197°46'42" e distância de 3,03 m., até o vértice **171**, de coordenadas **N 8.276.262,83** m. e **E 195.079,61** m.; deste,



SFL - PLC 0019/2019 folha 000379

segue com azimute de 201°20'40" e distância de 3,05 m., até o vértice **172**, de coordenadas **N 8.276.259,99** m. e **E 195.078,50** m.; deste, segue com azimute de 212°14'17" e distância de 2,93 m., até o vértice **173**, de coordenadas **N 8.276.257,51** m. e **E 195.076,93** m.; deste, segue com azimute de 226°06'28" e distância de 2,75 m., até o vértice **174**, de coordenadas **N 8.276.255,60** m. e **E 195.074,95** m.; deste, segue com azimute de 235°38'07" e distância de 2,85 m., até o vértice **175**, de coordenadas **N 8.276.253,99** m. e **E 195.072,59** m.; deste, segue com azimute de 246°12'22" e distância de 2,65 m., até o vértice **176**, de coordenadas **N 8.276.252,92** m. e **E 195.070,17** m.; deste, segue com azimute de 268°36'23" e distância de 3,69 m., até o vértice **177**, de coordenadas **N 8.276.252,83** m. e **E 195.066,48** m.; deste, segue com azimute de 286°39'40" e distância de 4,01 m., até o vértice **178**, de coordenadas **N 8.276.253,98** m. e **E 195.062,64** m.; deste, segue com azimute de 288°30'07" e distância de 4,02 m., até o vértice **179**, de coordenadas **N 8.276.255,26** m. e **E 195.058,82** m.; deste, segue com azimute de 287°33'27" e distância de 2,28 m., até o vértice **180**, de coordenadas **N 8.276.255,95** m. e **E 195.056,65** m.; deste, segue com azimute de 288°38'41" e distância de 2,28 m., até o vértice **181**, de coordenadas **N 8.276.256,68** m. e **E 195.054,49** m.; deste, segue com azimute de 282°10'46" e distância de 2,18 m., até o vértice **182**, de coordenadas **N 8.276.257,14** m. e **E 195.052,36** m.; deste, segue com azimute de 261°09'25" e distância de 4,29 m., até o vértice **183**, de coordenadas **N 8.276.256,48** m. e **E 195.048,12** m.; deste, segue com azimute de 246°13'48" e distância de 4,50 m., até o vértice **184**, de coordenadas **N 8.276.254,67** m. e **E 195.044,01** m.; deste, segue com azimute de 252°26'51" e distância de 4,44 m., até o vértice **185**, de coordenadas **N 8.276.253,33** m. e **E 195.039,77** m.; deste, segue com azimute de 261°20'09" e distância de 1,57 m., até o vértice **186**, de coordenadas **N 8.276.253,09** m. e **E 195.038,22** m.; deste, segue com azimute de 268°18'09" e distância de 3,01 m., até o vértice **187**, de coordenadas **N 8.276.253,00** m. e **E 195.035,21** m.; deste, segue com azimute de 299°54'35" e distância de 2,16 m., até o vértice **188**, de coordenadas **N 8.276.254,08** m. e **E 195.033,33** m.; deste, segue com azimute de 318°29'32" e distância de 2,36 m., até o vértice **189**, de coordenadas **N 8.276.255,85** m. e **E 195.031,77** m.; deste, segue com azimute de 316°39'36" e distância de 2,35 m., até o vértice **190**, de coordenadas **N 8.276.257,56** m. e **E 195.030,15** m.; deste, segue com azimute de 311°34'12" e distância de 2,64 m., até o vértice **191**, de coordenadas **N 8.276.259,31** m. e **E 195.028,18** m.; deste, segue com azimute de 309°22'34" e distância de 2,63 m., até o vértice **192**, de coordenadas **N 8.276.260,98** m. e **E 195.026,14** m.; deste, segue com azimute de 296°09'50" e distância de 2,57 m., até o vértice **193**, de coordenadas **N 8.276.262,11** m. e **E 195.023,84** m.; deste,



SFL - PLC 0019/2019 folha 000380

segue com azimute de 284°13'32" e distância de 1,36 m., até o vértice **194**, de coordenadas **N 8.276.262,45** m. e **E 195.022,52** m.; deste, segue com azimute de 272°48'17" e distância de 2,62 m., até o vértice **195**, de coordenadas **N 8.276.262,57** m. e **E 195.019,90** m.; deste, segue com azimute de 237°10'03" e distância de 1,78 m., até o vértice **196**, de coordenadas **N 8.276.261,61** m. e **E 195.018,41** m.; deste, segue com azimute de 207°31'58" e distância de 3,90 m., até o vértice **197**, de coordenadas **N 8.276.258,16** m. e **E 195.016,61** m.; deste, segue com azimute de 186°23'42" e distância de 1,52 m., até o vértice **198**, de coordenadas **N 8.276.256,64** m. e **E 195.016,44** m.; deste, segue com azimute de 173°56'53" e distância de 3,23 m., até o vértice **199**, de coordenadas **N 8.276.253,43** m. e **E 195.016,78** m.; deste, segue com azimute de 167°30'38" e distância de 2,32 m., até o vértice **200**, de coordenadas **N 8.276.251,16** m. e **E 195.017,28** m.; deste, segue com azimute de 163°07'02" e distância de 2,34 m., até o vértice **201**, de coordenadas **N 8.276.248,92** m. e **E 195.017,96** m.; deste, segue com azimute de 169°40'05" e distância de 2,30 m., até o vértice **202**, de coordenadas **N 8.276.246,66** m. e **E 195.018,37** m.; deste, segue com azimute de 178°39'12" e distância de 2,17 m., até o vértice **203**, de coordenadas **N 8.276.244,49** m. e **E 195.018,43** m.; deste, segue com azimute de 189°29'04" e distância de 4,03 m., até o vértice **204**, de coordenadas **N 8.276.240,51** m. e **E 195.017,76** m.; deste, segue com azimute de 236°54'42" e distância de 2,69 m., até o vértice **205**, de coordenadas **N 8.276.239,04** m. e **E 195.015,50** m.; deste, segue com azimute de 267°34'02" e distância de 3,39 m., até o vértice **206**, de coordenadas **N 8.276.238,90** m. e **E 195.012,12** m.; deste, segue com azimute de 264°53'49" e distância de 3,34 m., até o vértice **207**, de coordenadas **N 8.276.238,60** m. e **E 195.008,79** m.; deste, segue com azimute de 248°44'55" e distância de 4,50 m., até o vértice **208**, de coordenadas **N 8.276.236,97** m. e **E 195.004,60** m.; deste, segue com azimute de 244°12'40" e distância de 4,53 m., até o vértice **209**, de coordenadas **N 8.276.235,00** m. e **E 195.000,52** m.; deste, segue com azimute de 246°44'16" e distância de 4,52 m., até o vértice **210**, de coordenadas **N 8.276.233,22** m. e **E 194.996,37** m.; deste, segue com azimute de 254°22'57" e distância de 1,96 m., até o vértice **211**, de coordenadas **N 8.276.232,69** m. e **E 194.994,49** m.; deste, segue com azimute de 250°36'58" e distância de 3,67 m., até o vértice **212**, de coordenadas **N 8.276.231,47** m. e **E 194.991,02** m.; deste, segue com azimute de 214°48'41" e distância de 3,01 m., até o vértice **213**, de coordenadas **N 8.276.229,00** m. e **E 194.989,31** m.; deste, segue com azimute de 189°39'42" e distância de 3,32 m., até o vértice **214**, de coordenadas **N 8.276.225,72** m. e **E 194.988,75** m.; deste, segue com azimute de 175°14'16" e distância de 3,08 m., até o vértice **215**, de coordenadas **N 8.276.222,65** m. e **E 194.989,00** m.; deste,



SPL - PLC 0019/2019 folha 000381

segue com azimute de 149°51'05" e distância de 3,04 m., até o vértice **216**, de coordenadas **N 8.276.220,02** m. e **E 194.990,53** m.; deste, segue com azimute de 133°41'49" e distância de 3,45 m., até o vértice **217**, de coordenadas **N 8.276.217,63** m. e **E 194.993,03** m.; deste, segue com azimute de 139°48'31" e distância de 3,31 m., até o vértice **218**, de coordenadas **N 8.276.215,10** m. e **E 194.995,16** m.; deste, segue com azimute de 156°25'09" e distância de 5,39 m., até o vértice **219**, de coordenadas **N 8.276.210,16** m. e **E 194.997,32** m.; deste, segue com azimute de 168°00'16" e distância de 5,46 m., até o vértice **220**, de coordenadas **N 8.276.204,82** m. e **E 194.998,46** m.; deste, segue com azimute de 182°45'22" e distância de 5,31 m., até o vértice **221**, de coordenadas **N 8.276.199,52** m. e **E 194.998,20** m.; deste, segue com azimute de 195°13'40" e distância de 2,97 m., até o vértice **222**, de coordenadas **N 8.276.196,66** m. e **E 194.997,42** m.; deste, segue com azimute de 202°34'49" e distância de 3,09 m., até o vértice **223**, de coordenadas **N 8.276.193,80** m. e **E 194.996,23** m.; deste, segue com azimute de 212°08'30" e distância de 3,01 m., até o vértice **224**, de coordenadas **N 8.276.191,25** m. e **E 194.994,63** m.; deste, segue com azimute de 225°47'06" e distância de 2,52 m., até o vértice **225**, de coordenadas **N 8.276.189,49** m. e **E 194.992,83** m.; deste, segue com azimute de 233°47'26" e distância de 2,61 m., até o vértice **226**, de coordenadas **N 8.276.187,95** m. e **E 194.990,72** m.; deste, segue com azimute de 232°08'41" e distância de 2,60 m., até o vértice **227**, de coordenadas **N 8.276.186,36** m. e **E 194.988,67** m.; deste, segue com azimute de 230°09'47" e distância de 2,53 m., até o vértice **228**, de coordenadas **N 8.276.184,73** m. e **E 194.986,72** m.; deste, segue com azimute de 228°34'33" e distância de 2,53 m., até o vértice **229**, de coordenadas **N 8.276.183,06** m. e **E 194.984,83** m.; deste, segue com azimute de 218°00'43" e distância de 2,43 m., até o vértice **230**, de coordenadas **N 8.276.181,15** m. e **E 194.983,33** m.; deste, segue com azimute de 203°04'44" e distância de 2,25 m., até o vértice **231**, de coordenadas **N 8.276.179,08** m. e **E 194.982,45** m.; deste, segue com azimute de 193°35'17" e distância de 2,33 m., até o vértice **232**, de coordenadas **N 8.276.176,81** m. e **E 194.981,90** m.; deste, segue com azimute de 187°04'20" e distância de 2,30 m., até o vértice **233**, de coordenadas **N 8.276.174,53** m. e **E 194.981,62** m.; deste, segue com azimute de 179°44'52" e distância de 2,75 m., até o vértice **234**, de coordenadas **N 8.276.171,79** m. e **E 194.981,63** m.; deste, segue com azimute de 171°44'13" e distância de 2,80 m., até o vértice **235**, de coordenadas **N 8.276.169,02** m. e **E 194.982,03** m.; deste, segue com azimute de 165°02'34" e distância de 2,76 m., até o vértice **236**, de coordenadas **N 8.276.166,35** m. e **E 194.982,74** m.; deste, segue com azimute de 154°54'14" e distância de 2,98 m., até o vértice **237**, de coordenadas **N 8.276.163,66** m. e **E 194.984,01** m.; deste,



SPL - FLC 0019/2019 folha 000382

segue com azimute de 147°31'40" e distância de 3,04 m., até o vértice **238**, de coordenadas **N 8.276.161,09** m. e **E 194.985,64** m.; deste, segue com azimute de 149°27'46" e distância de 3,01 m., até o vértice **239**, de coordenadas **N 8.276.158,50** m. e **E 194.987,17** m.; deste, segue com azimute de 160°12'25" e distância de 12,46 m., até o vértice **240**, de coordenadas **N 8.276.146,77** m. e **E 194.991,39** m.; deste, segue com azimute de 168°59'03" e distância de 12,49 m., até o vértice **241**, de coordenadas **N 8.276.134,51** m. e **E 194.993,78** m.; deste, segue com azimute de 170°50'09" e distância de 12,50 m., até o vértice **242**, de coordenadas **N 8.276.122,18** m. e **E 194.995,77** m.; deste, segue com azimute de 174°59'47" e distância de 12,37 m., até o vértice **243**, de coordenadas **N 8.276.109,85** m. e **E 194.996,85** m.; deste, segue com azimute de 176°47'51" e distância de 12,42 m., até o vértice **244**, de coordenadas **N 8.276.097,45** m. e **E 194.997,54** m.; deste, segue com azimute de 164°43'51" e distância de 12,19 m., até o vértice **245**, de coordenadas **N 8.276.085,69** m. e **E 195.000,75** m.; deste, segue com azimute de 150°28'21" e distância de 4,51 m., até o vértice **246**, de coordenadas **N 8.276.081,77** m. e **E 195.002,97** m.; deste, segue com azimute de 146°29'34" e distância de 4,60 m., até o vértice **247**, de coordenadas **N 8.276.077,93** m. e **E 195.005,51** m.; deste, segue com azimute de 147°03'53" e distância de 4,60 m., até o vértice **248**, de coordenadas **N 8.276.074,06** m. e **E 195.008,02** m.; deste, segue com azimute de 148°17'44" e distância de 5,04 m., até o vértice **249**, de coordenadas **N 8.276.069,77** m. e **E 195.010,67** m.; deste, segue com azimute de 148°55'32" e distância de 5,05 m., até o vértice **250**, de coordenadas **N 8.276.065,45** m. e **E 195.013,27** m.; deste, segue com azimute de 152°13'35" e distância de 5,00 m., até o vértice **251**, de coordenadas **N 8.276.061,03** m. e **E 195.015,60** m.; deste, segue com azimute de 162°04'17" e distância de 9,50 m., até o vértice **252**, de coordenadas **N 8.276.051,98** m. e **E 195.018,53** m.; deste, segue com azimute de 168°28'41" e distância de 9,61 m., até o vértice **253**, de coordenadas **N 8.276.042,57** m. e **E 195.020,45** m.; deste, segue com azimute de 162°56'01" e distância de 9,46 m., até o vértice **254**, de coordenadas **N 8.276.033,52** m. e **E 195.023,22** m.; deste, segue com azimute de 152°18'31" e distância de 8,75 m., até o vértice **255**, de coordenadas **N 8.276.025,78** m. e **E 195.027,29** m.; deste, segue com azimute de 147°09'10" e distância de 8,84 m., até o vértice **256**, de coordenadas **N 8.276.018,35** m. e **E 195.032,09** m.; deste, segue com azimute de 145°17'22" e distância de 8,85 m., até o vértice **257**, de coordenadas **N 8.276.011,08** m. e **E 195.037,12** m.; deste, segue com azimute de 143°44'42" e distância de 6,52 m., até o vértice **258**, de coordenadas **N 8.276.005,82** m. e **E 195.040,98** m.; deste, segue com azimute de 142°21'48" e distância de 6,53 m., até o vértice **259**, de coordenadas **N 8.276.000,66** m. e **E 195.044,96** m.; deste,



SPL - PLC 0019/2019 folha 000383

segue com azimute de 143°56'08" e distância de 6,52 m., até o vértice **260**, de coordenadas **N 8.275.995,39** m. e **E 195.048,80** m.; deste, segue com azimute de 145°55'10" e distância de 7,45 m., até o vértice **261**, de coordenadas **N 8.275.989,22** m. e **E 195.052,97** m.; deste, segue com azimute de 147°42'34" e distância de 7,45 m., até o vértice **262**, de coordenadas **N 8.275.982,92** m. e **E 195.056,95** m.; deste, segue com azimute de 151°35'43" e distância de 7,42 m., até o vértice **263**, de coordenadas **N 8.275.976,40** m. e **E 195.060,48** m.; deste, segue com azimute de 159°21'42" e distância de 7,02 m., até o vértice **264**, de coordenadas **N 8.275.969,82** m. e **E 195.062,95** m.; deste, segue com azimute de 163°00'07" e distância de 7,08 m., até o vértice **265**, de coordenadas **N 8.275.963,05** m. e **E 195.065,02** m.; deste, segue com azimute de 156°58'00" e distância de 7,00 m., até o vértice **266**, de coordenadas **N 8.275.956,61** m. e **E 195.067,76** m.; deste, segue com azimute de 148°17'19" e distância de 4,39 m., até o vértice **267**, de coordenadas **N 8.275.952,87** m. e **E 195.070,07** m.; deste, segue com azimute de 144°34'33" e distância de 4,43 m., até o vértice **268**, de coordenadas **N 8.275.949,27** m. e **E 195.072,64** m.; deste, segue com azimute de 142°14'40" e distância de 4,41 m., até o vértice **269**, de coordenadas **N 8.275.945,78** m. e **E 195.075,34** m.; deste, segue com azimute de 135°35'28" e distância de 7,94 m., até o vértice **270**, de coordenadas **N 8.275.940,11** m. e **E 195.080,90** m.; deste, segue com azimute de 131°23'09" e distância de 7,99 m., até o vértice **271**, de coordenadas **N 8.275.934,82** m. e **E 195.086,89** m.; deste, segue com azimute de 138°28'32" e distância de 7,77 m., até o vértice **272**, de coordenadas **N 8.275.929,00** m. e **E 195.092,04** m.; deste, segue com azimute de 149°47'31" e distância de 9,00 m., até o vértice **273**, de coordenadas **N 8.275.921,23** m. e **E 195.096,57** m.; deste, segue com azimute de 158°00'13" e distância de 9,15 m., até o vértice **274**, de coordenadas **N 8.275.912,74** m. e **E 195.100,00** m.; deste, segue com azimute de 168°08'40" e distância de 9,05 m., até o vértice **275**, de coordenadas **N 8.275.903,89** m. e **E 195.101,86** m.; deste, segue com azimute de 179°47'37" e distância de 4,67 m., até o vértice **276**, de coordenadas **N 8.275.899,22** m. e **E 195.101,87** m.; deste, segue com azimute de 184°42'23" e distância de 4,78 m., até o vértice **277**, de coordenadas **N 8.275.894,46** m. e **E 195.101,48** m.; deste, segue com azimute de 180°38'49" e distância de 4,71 m., até o vértice **278**, de coordenadas **N 8.275.889,75** m. e **E 195.101,43** m.; deste, segue com azimute de 173°32'39" e distância de 8,13 m., até o vértice **279**, de coordenadas **N 8.275.881,67** m. e **E 195.102,34** m.; deste, segue com azimute de 166°27'20" e distância de 8,15 m., até o vértice **280**, de coordenadas **N 8.275.873,75** m. e **E 195.104,25** m.; deste, segue com azimute de 153°31'43" e distância de 7,92 m., até o vértice **281**, de coordenadas **N 8.275.866,66** m. e **E 195.107,78** m.; deste,



SPL - PLC 0019/2019 folha 000384

segue com azimute de 137°39'01" e distância de 4,80 m., até o vértice **282**, de coordenadas **N 8.275.863,12** m. e **E 195.111,01** m.; deste, segue com azimute de 130°30'15" e distância de 5,01 m., até o vértice **283**, de coordenadas **N 8.275.859,86** m. e **E 195.114,82** m.; deste, segue com azimute de 132°43'15" e distância de 4,99 m., até o vértice **284**, de coordenadas **N 8.275.856,48** m. e **E 195.118,49** m.; deste, segue com azimute de 136°51'13" e distância de 4,51 m., até o vértice **285**, de coordenadas **N 8.275.853,18** m. e **E 195.121,57** m.; deste, segue com azimute de 138°54'28" e distância de 4,52 m., até o vértice **286**, de coordenadas **N 8.275.849,78** m. e **E 195.124,54** m.; deste, segue com azimute de 144°25'01" e distância de 4,49 m., até o vértice **287**, de coordenadas **N 8.275.846,13** m. e **E 195.127,16** m.; deste, segue com azimute de 148°52'06" e distância de 2,73 m., até o vértice **288**, de coordenadas **N 8.275.843,79** m. e **E 195.128,57** m.; deste, segue com azimute de 152°05'10" e distância de 2,74 m., até o vértice **289**, de coordenadas **N 8.275.841,37** m. e **E 195.129,85** m.; deste, segue com azimute de 159°03'51" e distância de 2,64 m., até o vértice **290**, de coordenadas **N 8.275.838,91** m. e **E 195.130,79** m.; deste, segue com azimute de 173°28'18" e distância de 4,47 m., até o vértice **291**, de coordenadas **N 8.275.834,46** m. e **E 195.131,30** m.; deste, segue com azimute de 186°30'54" e distância de 4,60 m., até o vértice **292**, de coordenadas **N 8.275.829,89** m. e **E 195.130,78** m.; deste, segue com azimute de 192°15'07" e distância de 4,55 m., até o vértice **293**, de coordenadas **N 8.275.825,45** m. e **E 195.129,81** m.; deste, segue com azimute de 198°49'11" e distância de 6,23 m., até o vértice **294**, de coordenadas **N 8.275.819,55** m. e **E 195.127,80** m.; deste, segue com azimute de 207°02'46" e distância de 6,34 m., até o vértice **295**, de coordenadas **N 8.275.813,90** m. e **E 195.124,92** m.; deste, segue com azimute de 210°36'07" e distância de 6,31 m., até o vértice **296**, de coordenadas **N 8.275.808,47** m. e **E 195.121,70** m.; deste, segue com azimute de 216°03'50" e distância de 8,53 m., até o vértice **297**, de coordenadas **N 8.275.801,57** m. e **E 195.116,68** m.; deste, segue com azimute de 220°59'30" e distância de 8,60 m., até o vértice **298**, de coordenadas **N 8.275.795,08** m. e **E 195.111,04** m.; deste, segue com azimute de 218°01'21" e distância de 8,56 m., até o vértice **299**, de coordenadas **N 8.275.788,33** m. e **E 195.105,76** m.; deste, segue com azimute de 213°37'52" e distância de 6,82 m., até o vértice **300**, de coordenadas **N 8.275.782,65** m. e **E 195.101,99** m.; deste, segue com azimute de 211°16'20" e distância de 6,83 m., até o vértice **301**, de coordenadas **N 8.275.776,81** m. e **E 195.098,44** m.; deste, segue com azimute de 206°02'23" e distância de 6,78 m., até o vértice **302**, de coordenadas **N 8.275.770,72** m. e **E 195.095,46** m.; deste, segue com azimute de 199°27'58" e distância de 5,64 m., até o vértice **303**, de coordenadas **N 8.275.765,41** m. e **E 195.093,59** m.; deste,



SFL - PLC 0019/2019 folha 000385

segue com azimute de 195°09'30" e distância de 5,69 m., até o vértice **304**, de coordenadas **N 8.275.759,92** m. e **E 195.092,10** m.; deste, segue com azimute de 193°07'37" e distância de 5,68 m., até o vértice **305**, de coordenadas **N 8.275.754,39** m. e **E 195.090,81** m.; deste, segue com azimute de 188°54'17" e distância de 6,07 m., até o vértice **306**, de coordenadas **N 8.275.748,39** m. e **E 195.089,87** m.; deste, segue com azimute de 186°45'24" e distância de 6,09 m., até o vértice **307**, de coordenadas **N 8.275.742,35** m. e **E 195.089,15** m.; deste, segue com azimute de 193°10'52" e distância de 5,94 m., até o vértice **308**, de coordenadas **N 8.275.736,56** m. e **E 195.087,80** m.; deste, segue com azimute de 205°07'28" e distância de 7,64 m., até o vértice **309**, de coordenadas **N 8.275.729,64** m. e **E 195.084,55** m.; deste, segue com azimute de 213°33'01" e distância de 7,78 m., até o vértice **310**, de coordenadas **N 8.275.723,15** m. e **E 195.080,25** m.; deste, segue com azimute de 218°10'46" e distância de 7,74 m., até o vértice **311**, de coordenadas **N 8.275.717,07** m. e **E 195.075,47** m.; deste, segue com azimute de 225°49'13" e distância de 8,39 m., até o vértice **312**, de coordenadas **N 8.275.711,23** m. e **E 195.069,45** m.; deste, segue com azimute de 230°52'36" e distância de 8,50 m., até o vértice **313**, de coordenadas **N 8.275.705,86** m. e **E 195.062,86** m.; deste, segue com azimute de 224°30'53" e distância de 8,33 m., até o vértice **314**, de coordenadas **N 8.275.699,92** m. e **E 195.057,02** m.; deste, segue com azimute de 213°18'37" e distância de 7,57 m., até o vértice **315**, de coordenadas **N 8.275.693,59** m. e **E 195.052,86** m.; deste, segue com azimute de 207°28'36" e distância de 7,67 m., até o vértice **316**, de coordenadas **N 8.275.686,79** m. e **E 195.049,32** m.; deste, segue com azimute de 204°44'11" e distância de 7,67 m., até o vértice **317**, de coordenadas **N 8.275.679,82** m. e **E 195.046,11** m.; deste, segue com azimute de 202°05'19" e distância de 7,08 m., até o vértice **318**, de coordenadas **N 8.275.673,26** m. e **E 195.043,45** m.; deste, segue com azimute de 199°32'51" e distância de 7,11 m., até o vértice **319**, de coordenadas **N 8.275.666,56** m. e **E 195.041,07** m.; deste, segue com azimute de 199°56'13" e distância de 7,10 m., até o vértice **320**, de coordenadas **N 8.275.659,88** m. e **E 195.038,65** m.; deste, segue com azimute de 202°09'28" e distância de 4,68 m., até o vértice **321**, de coordenadas **N 8.275.655,55** m. e **E 195.036,89** m.; deste, segue com azimute de 202°24'59" e distância de 4,67 m., até o vértice **322**, de coordenadas **N 8.275.651,23** m. e **E 195.035,10** m.; deste, segue com azimute de 199°54'31" e distância de 4,65 m., até o vértice **323**, de coordenadas **N 8.275.646,86** m. e **E 195.033,52** m.; deste, segue com azimute de 192°11'45" e distância de 5,34 m., até o vértice **324**, de coordenadas **N 8.275.641,64** m. e **E 195.032,39** m.; deste, segue com azimute de 189°19'42" e distância de 2,44 m., até o vértice **325**, de coordenadas **N 8.275.639,23** m. e **E 195.032,00** m.; deste,



SPL - PLC 0019/2019 folha 000386

segue com azimute de 149°13'31" e distância de 1,79 m., até o vértice **326**, de coordenadas **N 8.275.637,69** m. e **E 195.032,91** m.; deste, segue com azimute de 149°13'30" e distância de 3,58 m., até o vértice **327**, de coordenadas **N 8.275.634,62** m. e **E 195.034,74** m.; deste, segue com azimute de 148°57'53" e distância de 3,58 m., até o vértice **328**, de coordenadas **N 8.275.631,55** m. e **E 195.036,59** m.; deste, segue com azimute de 148°26'48" e distância de 3,58 m., até o vértice **329**, de coordenadas **N 8.275.628,51** m. e **E 195.038,46** m.; deste, segue com azimute de 147°40'10" e distância de 3,58 m., até o vértice **330**, de coordenadas **N 8.275.625,49** m. e **E 195.040,37** m.; deste, segue com azimute de 144°30'28" e distância de 7,05 m., até o vértice **331**, de coordenadas **N 8.275.619,74** m. e **E 195.044,47** m.; deste, segue com azimute de 140°54'30" e distância de 7,10 m., até o vértice **332**, de coordenadas **N 8.275.614,23** m. e **E 195.048,94** m.; deste, segue com azimute de 139°54'35" e distância de 7,12 m., até o vértice **333**, de coordenadas **N 8.275.608,79** m. e **E 195.053,52** m.; deste, segue com azimute de 141°28'42" e distância de 7,09 m., até o vértice **334**, de coordenadas **N 8.275.603,25** m. e **E 195.057,94** m.; deste, segue com azimute de 145°39'53" e distância de 7,04 m., até o vértice **335**, de coordenadas **N 8.275.597,44** m. e **E 195.061,91** m.; deste, segue com azimute de 152°30'29" e distância de 7,04 m., até o vértice **336**, de coordenadas **N 8.275.591,19** m. e **E 195.065,16** m.; deste, segue com azimute de 158°35'35" e distância de 3,25 m., até o vértice **337**, de coordenadas **N 8.275.588,16** m. e **E 195.066,34** m.; deste, segue com azimute de 161°30'08" e distância de 3,28 m., até o vértice **338**, de coordenadas **N 8.275.585,05** m. e **E 195.067,38** m.; deste, segue com azimute de 163°19'44" e distância de 3,31 m., até o vértice **339**, de coordenadas **N 8.275.581,88** m. e **E 195.068,33** m.; deste, segue com azimute de 164°06'47" e distância de 3,32 m., até o vértice **340**, de coordenadas **N 8.275.578,69** m. e **E 195.069,24** m.; deste, segue com azimute de 163°52'39" e distância de 3,32 m., até o vértice **341**, de coordenadas **N 8.275.575,50** m. e **E 195.070,16** m.; deste, segue com azimute de 162°37'10" e distância de 3,30 m., até o vértice **342**, de coordenadas **N 8.275.572,35** m. e **E 195.071,15** m.; deste, segue com azimute de 160°59'12" e distância de 5,14 m., até o vértice **343**, de coordenadas **N 8.275.567,49** m. e **E 195.072,82** m.; deste, segue com azimute de 160°03'17" e distância de 5,14 m., até o vértice **344**, de coordenadas **N 8.275.562,66** m. e **E 195.074,58** m.; deste, segue com azimute de 159°40'49" e distância de 5,14 m., até o vértice **345**, de coordenadas **N 8.275.557,84** m. e **E 195.076,36** m.; deste, segue com azimute de 159°52'07" e distância de 5,14 m., até o vértice **346**, de coordenadas **N 8.275.553,02** m. e **E 195.078,13** m.; deste, segue com azimute de 160°37'04" e distância de 5,13 m., até o vértice **347**, de coordenadas **N 8.275.548,18** m. e **E 195.079,83** m.; deste,



SPL - PLC 0019/2019 folha 000387

segue com azimute de 161°55'35" e distância de 5,14 m., até o vértice **348**, de coordenadas **N 8.275.543,30** m. e **E 195.081,43** m.; deste, segue com azimute de 163°01'29" e distância de 4,06 m., até o vértice **349**, de coordenadas **N 8.275.539,41** m. e **E 195.082,61** m.; deste, segue com azimute de 163°34'12" e distância de 4,06 m., até o vértice **350**, de coordenadas **N 8.275.535,52** m. e **E 195.083,76** m.; deste, segue com azimute de 164°09'31" e distância de 4,06 m., até o vértice **351**, de coordenadas **N 8.275.531,61** m. e **E 195.084,87** m.; deste, segue com azimute de 164°47'42" e distância de 4,06 m., até o vértice **352**, de coordenadas **N 8.275.527,68** m. e **E 195.085,94** m.; deste, segue com azimute de 165°28'34" e distância de 4,06 m., até o vértice **353**, de coordenadas **N 8.275.523,75** m. e **E 195.086,95** m.; deste, segue com azimute de 166°12'28" e distância de 4,06 m., até o vértice **354**, de coordenadas **N 8.275.519,81** m. e **E 195.087,92** m.; deste, segue com azimute de 164°07'26" e distância de 4,76 m., até o vértice **355**, de coordenadas **N 8.275.515,23** m. e **E 195.089,22** m.; deste, segue com azimute de 161°35'57" e distância de 4,88 m., até o vértice **356**, de coordenadas **N 8.275.510,60** m. e **E 195.090,76** m.; deste, segue com azimute de 162°20'47" e distância de 4,87 m., até o vértice **357**, de coordenadas **N 8.275.505,96** m. e **E 195.092,24** m.; deste, segue com azimute de 166°25'56" e distância de 4,75 m., até o vértice **358**, de coordenadas **N 8.275.501,34** m. e **E 195.093,36** m.; deste, segue com azimute de 190°10'35" e distância de 14,97 m., até o vértice **359**, de coordenadas **N 8.275.486,60** m. e **E 195.090,71** m.; deste, segue com azimute de 213°06'53" e distância de 3,36 m., até o vértice **360**, de coordenadas **N 8.275.483,79** m. e **E 195.088,88** m.; deste, segue com azimute de 214°44'48" e distância de 3,42 m., até o vértice **361**, de coordenadas **N 8.275.480,98** m. e **E 195.086,93** m.; deste, segue com azimute de 213°30'38" e distância de 3,41 m., até o vértice **362**, de coordenadas **N 8.275.478,14** m. e **E 195.085,05** m.; deste, segue com azimute de 209°17'26" e distância de 3,33 m., até o vértice **363**, de coordenadas **N 8.275.475,24** m. e **E 195.083,42** m.; deste, segue com azimute de 205°04'31" e distância de 4,66 m., até o vértice **364**, de coordenadas **N 8.275.471,02** m. e **E 195.081,44** m.; deste, segue com azimute de 203°08'54" e distância de 4,68 m., até o vértice **365**, de coordenadas **N 8.275.466,72** m. e **E 195.079,60** m.; deste, segue com azimute de 201°17'58" e distância de 4,68 m., até o vértice **366**, de coordenadas **N 8.275.462,35** m. e **E 195.077,90** m.; deste, segue com azimute de 199°30'52" e distância de 4,68 m., até o vértice **367**, de coordenadas **N 8.275.457,95** m. e **E 195.076,34** m.; deste, segue com azimute de 197°46'47" e distância de 4,66 m., até o vértice **368**, de coordenadas **N 8.275.453,51** m. e **E 195.074,92** m.; deste, segue com azimute de 196°05'08" e distância de 4,64 m., até o vértice **369**, de coordenadas **N 8.275.449,05** m. e **E 195.073,63** m.; deste,



SPL - PLC 0019/2019 folha 000393

segue com azimute de 194°42'43" e distância de 3,69 m., até o vértice **370**, de coordenadas **N 8.275.445,48** m. e **E 195.072,70** m.; deste, segue com azimute de 193°30'37" e distância de 3,69 m., até o vértice **371**, de coordenadas **N 8.275.441,89** m. e **E 195.071,83** m.; deste, segue com azimute de 192°06'32" e distância de 3,69 m., até o vértice **372**, de coordenadas **N 8.275.438,28** m. e **E 195.071,06** m.; deste, segue com azimute de 190°30'02" e distância de 3,69 m., até o vértice **373**, de coordenadas **N 8.275.434,65** m. e **E 195.070,39** m.; deste, segue com azimute de 188°41'01" e distância de 3,69 m., até o vértice **374**, de coordenadas **N 8.275.431,01** m. e **E 195.069,83** m.; deste, segue com azimute de 186°39'01" e distância de 3,68 m., até o vértice **375**, de coordenadas **N 8.275.427,35** m. e **E 195.069,40** m.; deste, segue com azimute de 185°17'03" e distância de 3,73 m., até o vértice **376**, de coordenadas **N 8.275.423,63** m. e **E 195.069,06** m.; deste, segue com azimute de 184°14'40" e distância de 3,78 m., até o vértice **377**, de coordenadas **N 8.275.419,86** m. e **E 195.068,78** m.; deste, segue com azimute de 182°27'30" e distância de 3,79 m., até o vértice **378**, de coordenadas **N 8.275.416,08** m. e **E 195.068,62** m.; deste, segue com azimute de 179°52'36" e distância de 3,76 m., até o vértice **379**, de coordenadas **N 8.275.412,32** m. e **E 195.068,63** m.; deste, segue com azimute de 176°25'07" e distância de 3,71 m., até o vértice **380**, de coordenadas **N 8.275.408,62** m. e **E 195.068,86** m.; deste, segue com azimute de 171°57'57" e distância de 3,64 m., até o vértice **381**, de coordenadas **N 8.275.405,01** m. e **E 195.069,37** m.; deste, segue com azimute de 162°03'30" e distância de 5,18 m., até o vértice **382**, de coordenadas **N 8.275.400,09** m. e **E 195.070,96** m.; deste, segue com azimute de 151°16'49" e distância de 5,29 m., até o vértice **383**, de coordenadas **N 8.275.395,44** m. e **E 195.073,50** m.; deste, segue com azimute de 146°18'14" e distância de 5,43 m., até o vértice **384**, de coordenadas **N 8.275.390,93** m. e **E 195.076,51** m.; deste, segue com azimute de 146°36'09" e distância de 5,45 m., até o vértice **385**, de coordenadas **N 8.275.386,38** m. e **E 195.079,51** m.; deste, segue com azimute de 152°08'03" e distância de 5,36 m., até o vértice **386**, de coordenadas **N 8.275.381,64** m. e **E 195.082,02** m.; deste, segue com azimute de 163°13'41" e distância de 5,32 m., até o vértice **387**, de coordenadas **N 8.275.376,55** m. e **E 195.083,55** m.; deste, segue com azimute de 169°09'22" e distância de 3,86 m., até o vértice **388**, de coordenadas **N 8.275.372,76** m. e **E 195.084,28** m.; deste, segue com azimute de 172°36'41" e distância de 3,91 m., até o vértice **389**, de coordenadas **N 8.275.368,89** m. e **E 195.084,78** m.; deste, segue com azimute de 187°05'26" e distância de 3,52 m., até o vértice **390**, de coordenadas **N 8.275.365,40** m. e **E 195.084,35** m.; deste, segue com azimute de 206°29'08" e distância de 1,90 m., até o vértice **391**, de coordenadas **N 8.275.363,69** m. e **E 195.083,50** m.; deste,



SPL - PLC 0019/2019 folha 000389

segue com azimute de 216°50'27" e distância de 2,05 m., até o vértice **392**, de coordenadas **N 8.275.362,05** m. e **E 195.082,27** m.; deste, segue com azimute de 224°39'12" e distância de 2,15 m., até o vértice **393**, de coordenadas **N 8.275.360,52** m. e **E 195.080,76** m.; deste, segue com azimute de 231°08'04" e distância de 2,17 m., até o vértice **394**, de coordenadas **N 8.275.359,16** m. e **E 195.079,07** m.; deste, segue com azimute de 240°20'12" e distância de 4,01 m., até o vértice **395**, de coordenadas **N 8.275.357,18** m. e **E 195.075,59** m.; deste, segue com azimute de 255°56'46" e distância de 2,21 m., até o vértice **396**, de coordenadas **N 8.275.356,64** m. e **E 195.073,44** m.; deste, segue com azimute de 269°13'08" e distância de 2,30 m., até o vértice **397**, de coordenadas **N 8.275.356,61** m. e **E 195.071,14** m.; deste, segue com azimute de 277°16'13" e distância de 2,43 m., até o vértice **398**, de coordenadas **N 8.275.356,92** m. e **E 195.068,73** m.; deste, segue com azimute de 281°01'30" e distância de 2,51 m., até o vértice **399**, de coordenadas **N 8.275.357,40** m. e **E 195.066,27** m.; deste, segue com azimute de 281°09'32" e distância de 2,51 m., até o vértice **400**, de coordenadas **N 8.275.357,88** m. e **E 195.063,81** m.; deste, segue com azimute de 277°41'44" e distância de 2,43 m., até o vértice **401**, de coordenadas **N 8.275.358,21** m. e **E 195.061,40** m.; deste, segue com azimute de 275°36'59" e distância de 2,03 m., até o vértice **402**, de coordenadas **N 8.275.358,40** m. e **E 195.059,39** m.; deste, segue com azimute de 276°53'48" e distância de 2,03 m., até o vértice **403**, de coordenadas **N 8.275.358,65** m. e **E 195.057,37** m.; deste, segue com azimute de 277°01'07" e distância de 2,03 m., até o vértice **404**, de coordenadas **N 8.275.358,90** m. e **E 195.055,35** m.; deste, segue com azimute de 275°59'15" e distância de 2,03 m., até o vértice **405**, de coordenadas **N 8.275.359,11** m. e **E 195.053,34** m.; deste, segue com azimute de 273°47'07" e distância de 2,02 m., até o vértice **406**, de coordenadas **N 8.275.359,24** m. e **E 195.051,32** m.; deste, segue com azimute de 270°24'04" e distância de 2,01 m., até o vértice **407**, de coordenadas **N 8.275.359,26** m. e **E 195.049,31** m.; deste, segue com azimute de 269°09'30" e distância de 3,44 m., até o vértice **408**, de coordenadas **N 8.275.359,21** m. e **E 195.045,87** m.; deste, segue com azimute de 265°36'38" e distância de 3,45 m., até o vértice **409**, de coordenadas **N 8.275.358,94** m. e **E 195.042,42** m.; deste, segue com azimute de 253°05'24" e distância de 3,24 m., até o vértice **410**, de coordenadas **N 8.275.358,00** m. e **E 195.039,33** m.; deste, segue com azimute de 234°57'11" e distância de 3,00 m., até o vértice **411**, de coordenadas **N 8.275.356,28** m. e **E 195.036,87** m.; deste, segue com azimute de 223°14'05" e distância de 3,16 m., até o vértice **412**, de coordenadas **N 8.275.353,97** m. e **E 195.034,71** m.; deste, segue com azimute de 215°43'26" e distância de 3,13 m., até o vértice **413**, de coordenadas **N 8.275.351,43** m. e **E 195.032,88** m.; deste,



SPL - PLC 0019/2019 folha 000390

segue com azimute de 207°55'12" e distância de 3,06 m., até o vértice **414**, de coordenadas **N 8.275.348,73** m. e **E 195.031,44** m.; deste, segue com azimute de 200°35'37" e distância de 3,14 m., até o vértice **415**, de coordenadas **N 8.275.345,79** m. e **E 195.030,34** m.; deste, segue com azimute de 196°16'30" e distância de 3,11 m., até o vértice **416**, de coordenadas **N 8.275.342,80** m. e **E 195.029,47** m.; deste, segue com azimute de 189°05'03" e distância de 3,21 m., até o vértice **417**, de coordenadas **N 8.275.339,63** m. e **E 195.028,96** m.; deste, segue com azimute de 184°35'49" e distância de 3,23 m., até o vértice **418**, de coordenadas **N 8.275.336,41** m. e **E 195.028,70** m.; deste, segue com azimute de 190°38'22" e distância de 2,96 m., até o vértice **419**, de coordenadas **N 8.275.333,50** m. e **E 195.028,15** m.; deste, segue com azimute de 211°24'58" e distância de 4,00 m., até o vértice **420**, de coordenadas **N 8.275.330,08** m. e **E 195.026,07** m.; deste, segue com azimute de 235°49'50" e distância de 3,90 m., até o vértice **421**, de coordenadas **N 8.275.327,89** m. e **E 195.022,84** m.; deste, segue com azimute de 250°08'29" e distância de 4,20 m., até o vértice **422**, de coordenadas **N 8.275.326,47** m. e **E 195.018,89** m.; deste, segue com azimute de 255°11'35" e distância de 4,40 m., até o vértice **423**, de coordenadas **N 8.275.325,34** m. e **E 195.014,64** m.; deste, segue com azimute de 252°45'48" e distância de 4,33 m., até o vértice **424**, de coordenadas **N 8.275.324,06** m. e **E 195.010,50** m.; deste, segue com azimute de 242°08'53" e distância de 4,08 m., até o vértice **425**, de coordenadas **N 8.275.322,15** m. e **E 195.006,89** m.; deste, segue com azimute de 233°51'41" e distância de 3,46 m., até o vértice **426**, de coordenadas **N 8.275.320,11** m. e **E 195.004,10** m.; deste, segue com azimute de 233°21'41" e distância de 3,52 m., até o vértice **427**, de coordenadas **N 8.275.318,01** m. e **E 195.001,27** m.; deste, segue com azimute de 231°01'15" e distância de 3,53 m., até o vértice **428**, de coordenadas **N 8.275.315,79** m. e **E 194.998,53** m.; deste, segue com azimute de 226°45'34" e distância de 3,50 m., até o vértice **429**, de coordenadas **N 8.275.313,39** m. e **E 194.995,98** m.; deste, segue com azimute de 220°24'25" e distância de 3,45 m., até o vértice **430**, de coordenadas **N 8.275.310,76** m. e **E 194.993,74** m.; deste, segue com azimute de 211°51'46" e distância de 3,44 m., até o vértice **431**, de coordenadas **N 8.275.307,85** m. e **E 194.991,93** m.; deste, segue com azimute de 204°28'13" e distância de 3,34 m., até o vértice **432**, de coordenadas **N 8.275.304,81** m. e **E 194.990,55** m.; deste, segue com azimute de 198°56'28" e distância de 3,43 m., até o vértice **433**, de coordenadas **N 8.275.301,57** m. e **E 194.989,44** m.; deste, segue com azimute de 191°36'58" e distância de 3,34 m., até o vértice **434**, de coordenadas **N 8.275.298,30** m. e **E 194.988,76** m.; deste, segue com azimute de 180°49'40" e distância de 3,78 m., até o vértice **435**, de coordenadas **N 8.275.294,52** m. e **E 194.988,71** m.; deste,



SPL - PLC 0019/2019 folha 000391

segue com azimute de 172°06'33" e distância de 3,86 m., até o vértice **436**, de coordenadas **N 8.275.290,70** m. e **E 194.989,24** m.; deste, segue com azimute de 168°14'42" e distância de 3,84 m., até o vértice **437**, de coordenadas **N 8.275.286,93** m. e **E 194.990,02** m.; deste, segue com azimute de 165°47'56" e distância de 2,53 m., até o vértice **438**, de coordenadas **N 8.275.284,48** m. e **E 194.990,64** m.; deste, segue com azimute de 162°21'43" e distância de 2,54 m., até o vértice **439**, de coordenadas **N 8.275.282,06** m. e **E 194.991,41** m.; deste, segue com azimute de 159°46'40" e distância de 2,55 m., até o vértice **440**, de coordenadas **N 8.275.279,66** m. e **E 194.992,30** m.; deste, segue com azimute de 158°00'57" e distância de 2,56 m., até o vértice **441**, de coordenadas **N 8.275.277,29** m. e **E 194.993,25** m.; deste, segue com azimute de 157°03'10" e distância de 2,56 m., até o vértice **442**, de coordenadas **N 8.275.274,94** m. e **E 194.994,25** m.; deste, segue com azimute de 156°52'50" e distância de 2,54 m., até o vértice **443**, de coordenadas **N 8.275.272,60** m. e **E 194.995,25** m.; deste, segue com azimute de 154°28'03" e distância de 3,55 m., até o vértice **444**, de coordenadas **N 8.275.269,39** m. e **E 194.996,78** m.; deste, segue com azimute de 150°49'11" e distância de 3,57 m., até o vértice **445**, de coordenadas **N 8.275.266,28** m. e **E 194.998,52** m.; deste, segue com azimute de 149°27'08" e distância de 3,57 m., até o vértice **446**, de coordenadas **N 8.275.263,20** m. e **E 195.000,33** m.; deste, segue com azimute de 150°21'05" e distância de 3,55 m., até o vértice **447**, de coordenadas **N 8.275.260,12** m. e **E 195.002,09** m.; deste, segue com azimute de 153°32'56" e distância de 3,53 m., até o vértice **448**, de coordenadas **N 8.275.256,96** m. e **E 195.003,66** m.; deste, segue com azimute de 159°06'12" e distância de 3,51 m., até o vértice **449**, de coordenadas **N 8.275.253,68** m. e **E 195.004,91** m.; deste, segue com azimute de 163°17'56" e distância de 3,31 m., até o vértice **450**, de coordenadas **N 8.275.250,51** m. e **E 195.005,87** m.; deste, segue com azimute de 165°11'21" e distância de 3,38 m., até o vértice **451**, de coordenadas **N 8.275.247,24** m. e **E 195.006,73** m.; deste, segue com azimute de 168°01'54" e distância de 3,40 m., até o vértice **452**, de coordenadas **N 8.275.243,91** m. e **E 195.007,44** m.; deste, segue com azimute de 171°56'36" e distância de 3,38 m., até o vértice **453**, de coordenadas **N 8.275.240,56** m. e **E 195.007,91** m.; deste, segue com azimute de 177°06'21" e distância de 3,32 m., até o vértice **454**, de coordenadas **N 8.275.237,25** m. e **E 195.008,08** m.; deste, segue com azimute de 183°44'28" e distância de 3,25 m., até o vértice **455**, de coordenadas **N 8.275.234,00** m. e **E 195.007,87** m.; deste, segue com azimute de 193°51'25" e distância de 2,75 m., até o vértice **456**, de coordenadas **N 8.275.231,33** m. e **E 195.007,21** m.; deste, segue com azimute de 202°47'22" e distância de 2,85 m., até o vértice **457**, de coordenadas **N 8.275.228,70** m. e **E 195.006,10** m.; deste,



SPL - PLC 0019/2019 folha 000392

segue com azimute de 206°55'14" e distância de 2,93 m., até o vértice **458**, de coordenadas **N 8.275.226,09** m. e **E 195.004,78** m.; deste, segue com azimute de 206°48'10" e distância de 2,92 m., até o vértice **459**, de coordenadas **N 8.275.223,49** m. e **E 195.003,46** m.; deste, segue com azimute de 202°25'09" e distância de 2,84 m., até o vértice **460**, de coordenadas **N 8.275.220,86** m. e **E 195.002,38** m.; deste, segue com azimute de 193°10'01" e distância de 2,74 m., até o vértice **461**, de coordenadas **N 8.275.218,19** m. e **E 195.001,75** m.; deste, segue com azimute de 182°29'45" e distância de 3,16 m., até o vértice **462**, de coordenadas **N 8.275.215,03** m. e **E 195.001,61** m.; deste, segue com azimute de 175°17'11" e distância de 3,22 m., até o vértice **463**, de coordenadas **N 8.275.211,82** m. e **E 195.001,88** m.; deste, segue com azimute de 169°54'02" e distância de 3,29 m., até o vértice **464**, de coordenadas **N 8.275.208,58** m. e **E 195.002,46** m.; deste, segue com azimute de 166°07'48" e distância de 3,33 m., até o vértice **465**, de coordenadas **N 8.275.205,34** m. e **E 195.003,26** m.; deste, segue com azimute de 163°47'39" e distância de 3,34 m., até o vértice **466**, de coordenadas **N 8.275.202,14** m. e **E 195.004,19** m.; deste, segue com azimute de 162°47'09" e distância de 3,29 m., até o vértice **467**, de coordenadas **N 8.275.199,00** m. e **E 195.005,16** m.; deste, segue com azimute de 163°54'13" e distância de 2,15 m., até o vértice **468**, de coordenadas **N 8.275.196,94** m. e **E 195.005,75** m.; deste, segue com azimute de 164°39'13" e distância de 2,21 m., até o vértice **469**, de coordenadas **N 8.275.194,81** m. e **E 195.006,34** m.; deste, segue com azimute de 163°10'37" e distância de 2,21 m., até o vértice **470**, de coordenadas **N 8.275.192,70** m. e **E 195.006,98** m.; deste, segue com azimute de 159°21'55" e distância de 2,16 m., até o vértice **471**, de coordenadas **N 8.275.190,68** m. e **E 195.007,74** m.; deste, segue com azimute de 147°59'24" e distância de 4,06 m., até o vértice **472**, de coordenadas **N 8.275.187,23** m. e **E 195.009,89** m.; deste, segue com azimute de 128°13'38" e distância de 1,91 m., até o vértice **473**, de coordenadas **N 8.275.186,05** m. e **E 195.011,39** m.; deste, segue com azimute de 115°46'24" e distância de 2,02 m., até o vértice **474**, de coordenadas **N 8.275.185,17** m. e **E 195.013,21** m.; deste, segue com azimute de 109°50'05" e distância de 2,12 m., até o vértice **475**, de coordenadas **N 8.275.184,45** m. e **E 195.015,20** m.; deste, segue com azimute de 109°14'38" e distância de 2,14 m., até o vértice **476**, de coordenadas **N 8.275.183,75** m. e **E 195.017,22** m.; deste, segue com azimute de 113°43'41" e distância de 2,10 m., até o vértice **477**, de coordenadas **N 8.275.182,90** m. e **E 195.019,14** m.; deste, segue com azimute de 123°58'18" e distância de 2,02 m., até o vértice **478**, de coordenadas **N 8.275.181,78** m. e **E 195.020,82** m.; deste, segue com azimute de 134°25'09" e distância de 3,22 m., até o vértice **479**, de coordenadas **N 8.275.179,52** m. e **E 195.023,12** m.; deste,



SFL - PLC 0019/2019 folha 000393

segue com azimute de 141°32'08" e distância de 3,30 m., até o vértice **480**, de coordenadas **N 8.275.176,94** m. e **E 195.025,17** m.; deste, segue com azimute de 151°24'31" e distância de 3,13 m., até o vértice **481**, de coordenadas **N 8.275.174,19** m. e **E 195.026,67** m.; deste, segue com azimute de 162°00'56" e distância de 2,02 m., até o vértice **482**, de coordenadas **N 8.275.172,27** m. e **E 195.027,29** m.; deste, segue com azimute de 169°17'37" e distância de 2,09 m., até o vértice **483**, de coordenadas **N 8.275.170,22** m. e **E 195.027,68** m.; deste, segue com azimute de 176°01'10" e distância de 2,13 m., até o vértice **484**, de coordenadas **N 8.275.168,10** m. e **E 195.027,83** m.; deste, segue com azimute de 182°37'22" e distância de 2,13 m., até o vértice **485**, de coordenadas **N 8.275.165,97** m. e **E 195.027,73** m.; deste, segue com azimute de 189°30'23" e distância de 2,11 m., até o vértice **486**, de coordenadas **N 8.275.163,89** m. e **E 195.027,38** m.; deste, segue com azimute de 197°05'23" e distância de 2,06 m., até o vértice **487**, de coordenadas **N 8.275.161,92** m. e **E 195.026,78** m.; deste, segue com azimute de 206°03'47" e distância de 2,35 m., até o vértice **488**, de coordenadas **N 8.275.159,80** m. e **E 195.025,74** m.; deste, segue com azimute de 213°20'32" e distância de 2,45 m., até o vértice **489**, de coordenadas **N 8.275.157,75** m. e **E 195.024,39** m.; deste, segue com azimute de 218°23'19" e distância de 2,41 m., até o vértice **490**, de coordenadas **N 8.275.155,86** m. e **E 195.022,89** m.; deste, segue com azimute de 227°42'01" e distância de 3,95 m., até o vértice **491**, de coordenadas **N 8.275.153,20** m. e **E 195.019,97** m.; deste, segue com azimute de 235°24'41" e distância de 2,00 m., até o vértice **492**, de coordenadas **N 8.275.152,07** m. e **E 195.018,32** m.; deste, segue com azimute de 237°47'02" e distância de 2,02 m., até o vértice **493**, de coordenadas **N 8.275.150,99** m. e **E 195.016,62** m.; deste, segue com azimute de 238°10'04" e distância de 2,02 m., até o vértice **494**, de coordenadas **N 8.275.149,93** m. e **E 195.014,90** m.; deste, segue com azimute de 236°34'34" e distância de 2,00 m., até o vértice **495**, de coordenadas **N 8.275.148,83** m. e **E 195.013,23** m.; deste, segue com azimute de 238°53'49" e distância de 7,04 m., até o vértice **496**, de coordenadas **N 8.275.145,19** m. e **E 195.007,21** m.; deste, segue com azimute de 243°52'47" e distância de 7,15 m., até o vértice **497**, de coordenadas **N 8.275.142,04** m. e **E 195.000,79** m.; deste, segue com azimute de 245°12'16" e distância de 7,17 m., até o vértice **498**, de coordenadas **N 8.275.139,03** m. e **E 194.994,27** m.; deste, segue com azimute de 242°57'34" e distância de 7,06 m., até o vértice **499**, de coordenadas **N 8.275.135,82** m. e **E 194.987,98** m.; deste, segue com azimute de 236°52'39" e distância de 6,87 m., até o vértice **500**, de coordenadas **N 8.275.132,07** m. e **E 194.982,23** m.; deste, segue com azimute de 226°36'19" e distância de 6,76 m., até o vértice **501**, de coordenadas **N 8.275.127,42** m. e **E 194.977,32** m.; deste,



SFL - PLC 0019/2019 folha 000394

segue com azimute de 217°46'12" e distância de 4,96 m., até o vértice **502**, de coordenadas **N 8.275.123,50** m. e **E 194.974,28** m.; deste, segue com azimute de 213°22'40" e distância de 5,13 m., até o vértice **503**, de coordenadas **N 8.275.119,22** m. e **E 194.971,45** m.; deste, segue com azimute de 209°13'48" e distância de 1,60 m., até o vértice **504**, de coordenadas **N 8.275.117,82** m. e **E 194.970,67** m.; deste, segue com azimute de 209°13'55" e distância de 3,63 m., até o vértice **505**, de coordenadas **N 8.275.114,65** m. e **E 194.968,90** m.; deste, segue com azimute de 205°06'26" e distância de 5,24 m., até o vértice **506**, de coordenadas **N 8.275.109,90** m. e **E 194.966,68** m.; deste, segue com azimute de 200°47'39" e distância de 5,18 m., até o vértice **507**, de coordenadas **N 8.275.105,06** m. e **E 194.964,84** m.; deste, segue com azimute de 196°03'59" e distância de 5,05 m., até o vértice **508**, de coordenadas **N 8.275.100,21** m. e **E 194.963,44** m.; deste, segue com azimute de 191°28'54" e distância de 4,48 m., até o vértice **509**, de coordenadas **N 8.275.095,82** m. e **E 194.962,55** m.; deste, segue com azimute de 187°36'34" e distância de 4,59 m., até o vértice **510**, de coordenadas **N 8.275.091,27** m. e **E 194.961,94** m.; deste, segue com azimute de 183°45'17" e distância de 4,63 m., até o vértice **511**, de coordenadas **N 8.275.086,65** m. e **E 194.961,64** m.; deste, segue com azimute de 179°44'49" e distância de 4,62 m., até o vértice **512**, de coordenadas **N 8.275.082,03** m. e **E 194.961,66** m.; deste, segue com azimute de 175°24'20" e distância de 4,55 m., até o vértice **513**, de coordenadas **N 8.275.077,50** m. e **E 194.962,02** m.; deste, segue com azimute de 170°32'13" e distância de 4,43 m., até o vértice **514**, de coordenadas **N 8.275.073,13** m. e **E 194.962,75** m.; deste, segue com azimute de 162°49'07" e distância de 5,02 m., até o vértice **515**, de coordenadas **N 8.275.068,34** m. e **E 194.964,23** m.; deste, segue com azimute de 154°45'00" e distância de 5,10 m., até o vértice **516**, de coordenadas **N 8.275.063,72** m. e **E 194.966,41** m.; deste, segue com azimute de 149°40'06" e distância de 5,22 m., até o vértice **517**, de coordenadas **N 8.275.059,22** m. e **E 194.969,04** m.; deste, segue com azimute de 147°20'40" e distância de 5,29 m., até o vértice **518**, de coordenadas **N 8.275.054,77** m. e **E 194.971,89** m.; deste, segue com azimute de 147°35'53" e distância de 5,29 m., até o vértice **519**, de coordenadas **N 8.275.050,30** m. e **E 194.974,73** m.; deste, segue com azimute de 150°25'56" e distância de 5,23 m., até o vértice **520**, de coordenadas **N 8.275.045,75** m. e **E 194.977,31** m.; deste, segue com azimute de 151°24'03" e distância de 5,20 m., até o vértice **521**, de coordenadas **N 8.275.041,19** m. e **E 194.979,80** m.; deste, segue com azimute de 149°53'39" e distância de 5,24 m., até o vértice **522**, de coordenadas **N 8.275.036,66** m. e **E 194.982,42** m.; deste, segue com azimute de 150°08'48" e distância de 5,24 m., até o vértice **523**, de coordenadas **N 8.275.032,11** m. e **E 194.985,03** m.; deste,



SFL - PLC 0019/2019 folha 000395

segue com azimute de 152°09'30" e distância de 5,21 m., até o vértice **524**, de coordenadas **N 8.275.027,50** m. e **E 194.987,47** m.; deste, segue com azimute de 155°59'35" e distância de 5,16 m., até o vértice **525**, de coordenadas **N 8.275.022,79** m. e **E 194.989,57** m.; deste, segue com azimute de 161°43'12" e distância de 5,13 m., até o vértice **526**, de coordenadas **N 8.275.017,92** m. e **E 194.991,18** m.; deste, segue com azimute de 165°55'53" e distância de 3,89 m., até o vértice **527**, de coordenadas **N 8.275.014,15** m. e **E 194.992,12** m.; deste, segue com azimute de 167°53'41" e distância de 3,97 m., até o vértice **528**, de coordenadas **N 8.275.010,27** m. e **E 194.992,95** m.; deste, segue com azimute de 170°41'40" e distância de 3,99 m., até o vértice **529**, de coordenadas **N 8.275.006,33** m. e **E 194.993,60** m.; deste, segue com azimute de 174°25'21" e distância de 3,97 m., até o vértice **530**, de coordenadas **N 8.275.002,37** m. e **E 194.993,99** m.; deste, segue com azimute de 179°13'11" e distância de 3,92 m., até o vértice **531**, de coordenadas **N 8.274.998,45** m. e **E 194.994,04** m.; deste, segue com azimute de 185°14'02" e distância de 3,86 m., até o vértice **532**, de coordenadas **N 8.274.994,61** m. e **E 194.993,69** m.; deste, segue com azimute de 192°35'11" e distância de 2,92 m., até o vértice **533**, de coordenadas **N 8.274.991,76** m. e **E 194.993,05** m.; deste, segue com azimute de 198°38'48" e distância de 2,97 m., até o vértice **534**, de coordenadas **N 8.274.988,94** m. e **E 194.992,10** m.; deste, segue com azimute de 202°12'33" e distância de 3,02 m., até o vértice **535**, de coordenadas **N 8.274.986,15** m. e **E 194.990,96** m.; deste, segue com azimute de 203°26'18" e distância de 3,05 m., até o vértice **536**, de coordenadas **N 8.274.983,35** m. e **E 194.989,75** m.; deste, segue com azimute de 202°25'23" e distância de 3,04 m., até o vértice **537**, de coordenadas **N 8.274.980,54** m. e **E 194.988,59** m.; deste, segue com azimute de 199°07'55" e distância de 3,02 m., até o vértice **538**, de coordenadas **N 8.274.977,69** m. e **E 194.987,60** m.; deste, segue com azimute de 197°02'21" e distância de 2,08 m., até o vértice **539**, de coordenadas **N 8.274.975,70** m. e **E 194.986,99** m.; deste, segue com azimute de 197°10'12" e distância de 2,10 m., até o vértice **540**, de coordenadas **N 8.274.973,70** m. e **E 194.986,37** m.; deste, segue com azimute de 196°28'06" e distância de 2,10 m., até o vértice **541**, de coordenadas **N 8.274.971,68** m. e **E 194.985,77** m.; deste, segue com azimute de 194°55'26" e distância de 2,09 m., até o vértice **542**, de coordenadas **N 8.274.969,67** m. e **E 194.985,24** m.; deste, segue com azimute de 192°29'38" e distância de 2,06 m., até o vértice **543**, de coordenadas **N 8.274.967,66** m. e **E 194.984,79** m.; deste, segue com azimute de 189°06'02" e distância de 2,03 m., até o vértice **544**, de coordenadas **N 8.274.965,65** m. e **E 194.984,47** m.; deste, segue com azimute de 182°49'12" e distância de 3,28 m., até o vértice **545**, de coordenadas **N 8.274.962,38** m. e **E 194.984,31** m.; deste,



SPL - PLC 0019/2019 folha 000396

segue com azimute de 175°54'39" e distância de 3,27 m., até o vértice **546**, de coordenadas **N 8.274.959,12** m. e **E 194.984,54** m.; deste, segue com azimute de 171°35'16" e distância de 3,29 m., até o vértice **547**, de coordenadas **N 8.274.955,87** m. e **E 194.985,02** m.; deste, segue com azimute de 169°51'40" e distância de 3,30 m., até o vértice **548**, de coordenadas **N 8.274.952,62** m. e **E 194.985,60** m.; deste, segue com azimute de 170°40'40" e distância de 3,31 m., até o vértice **549**, de coordenadas **N 8.274.949,35** m. e **E 194.986,14** m.; deste, segue com azimute de 174°01'52" e distância de 3,31 m., até o vértice **550**, de coordenadas **N 8.274.946,06** m. e **E 194.986,49** m.; deste, segue com azimute de 178°00'01" e distância de 3,17 m., até o vértice **551**, de coordenadas **N 8.274.942,89** m. e **E 194.986,60** m.; deste, segue com azimute de 180°01'05" e distância de 3,19 m., até o vértice **552**, de coordenadas **N 8.274.939,70** m. e **E 194.986,59** m.; deste, segue com azimute de 180°45'22" e distância de 3,21 m., até o vértice **553**, de coordenadas **N 8.274.936,49** m. e **E 194.986,55** m.; deste, segue com azimute de 180°14'09" e distância de 3,21 m., até o vértice **554**, de coordenadas **N 8.274.933,29** m. e **E 194.986,54** m.; deste, segue com azimute de 178°27'03" e distância de 3,20 m., até o vértice **555**, de coordenadas **N 8.274.930,09** m. e **E 194.986,63** m.; deste, segue com azimute de 175°22'37" e distância de 3,18 m., até o vértice **556**, de coordenadas **N 8.274.926,92** m. e **E 194.986,88** m.; deste, segue com azimute de 173°20'02" e distância de 2,70 m., até o vértice **557**, de coordenadas **N 8.274.924,24** m. e **E 194.987,20** m.; deste, segue com azimute de 172°38'12" e distância de 2,71 m., até o vértice **558**, de coordenadas **N 8.274.921,56** m. e **E 194.987,54** m.; deste, segue com azimute de 171°07'20" e distância de 2,71 m., até o vértice **559**, de coordenadas **N 8.274.918,88** m. e **E 194.987,96** m.; deste, segue com azimute de 168°46'31" e distância de 2,71 m., até o vértice **560**, de coordenadas **N 8.274.916,22** m. e **E 194.988,49** m.; deste, segue com azimute de 165°35'14" e distância de 2,70 m., até o vértice **561**, de coordenadas **N 8.274.913,61** m. e **E 194.989,16** m.; deste, segue com azimute de 161°32'39" e distância de 2,70 m., até o vértice **562**, de coordenadas **N 8.274.911,04** m. e **E 194.990,02** m.; deste, segue com azimute de 154°45'18" e distância de 2,89 m., até o vértice **563**, de coordenadas **N 8.274.908,43** m. e **E 194.991,25** m.; deste, segue com azimute de 151°32'49" e distância de 2,92 m., até o vértice **564**, de coordenadas **N 8.274.905,86** m. e **E 194.992,64** m.; deste, segue com azimute de 156°41'27" e distância de 2,85 m., até o vértice **565**, de coordenadas **N 8.274.903,24** m. e **E 194.993,77** m.; deste, segue com azimute de 165°58'43" e distância de 2,45 m., até o vértice **566**, de coordenadas **N 8.274.900,86** m. e **E 194.994,36** m.; deste, segue com azimute de 172°21'41" e distância de 2,46 m., até o vértice **567**, de coordenadas **N 8.274.898,42** m. e **E 194.994,69** m.; deste,



SPL - PLC 0019/2019 folha 000397

segue com azimute de 177°09'42" e distância de 2,48 m., até o vértice **568**, de coordenadas **N 8.274.895,95** m. e **E 194.994,81** m.; deste, segue com azimute de 180°25'15" e distância de 2,49 m., até o vértice **569**, de coordenadas **N 8.274.893,46** m. e **E 194.994,79** m.; deste, segue com azimute de 182°12'08" e distância de 2,49 m., até o vértice **570**, de coordenadas **N 8.274.890,97** m. e **E 194.994,70** m.; deste, segue com azimute de 182°33'09" e distância de 2,47 m., até o vértice **571**, de coordenadas **N 8.274.888,50** m. e **E 194.994,59** m.; deste, segue com azimute de 184°04'51" e distância de 2,59 m., até o vértice **572**, de coordenadas **N 8.274.885,92** m. e **E 194.994,41** m.; deste, segue com azimute de 187°03'04" e distância de 2,59 m., até o vértice **573**, de coordenadas **N 8.274.883,34** m. e **E 194.994,09** m.; deste, segue com azimute de 188°56'53" e distância de 2,60 m., até o vértice **574**, de coordenadas **N 8.274.880,77** m. e **E 194.993,68** m.; deste, segue com azimute de 189°47'50" e distância de 2,61 m., até o vértice **575**, de coordenadas **N 8.274.878,20** m. e **E 194.993,24** m.; deste, segue com azimute de 189°36'02" e distância de 2,61 m., até o vértice **576**, de coordenadas **N 8.274.875,63** m. e **E 194.992,80** m.; deste, segue com azimute de 188°21'27" e distância de 2,61 m., até o vértice **577**, de coordenadas **N 8.274.873,05** m. e **E 194.992,42** m.; deste, segue com azimute de 187°33'04" e distância de 3,40 m., até o vértice **578**, de coordenadas **N 8.274.869,68** m. e **E 194.991,98** m.; deste, segue com azimute de 187°38'41" e distância de 3,41 m., até o vértice **579**, de coordenadas **N 8.274.866,30** m. e **E 194.991,52** m.; deste, segue com azimute de 187°23'19" e distância de 3,41 m., até o vértice **580**, de coordenadas **N 8.274.862,92** m. e **E 194.991,09** m.; deste, segue com azimute de 186°47'09" e distância de 3,41 m., até o vértice **581**, de coordenadas **N 8.274.859,54** m. e **E 194.990,68** m.; deste, segue com azimute de 185°49'58" e distância de 3,41 m., até o vértice **582**, de coordenadas **N 8.274.856,15** m. e **E 194.990,34** m.; deste, segue com azimute de 184°31'39" e distância de 3,40 m., até o vértice **583**, de coordenadas **N 8.274.852,76** m. e **E 194.990,07** m.; deste, segue com azimute de 183°21'21" e distância de 3,61 m., até o vértice **584**, de coordenadas **N 8.274.849,16** m. e **E 194.989,86** m.; deste, segue com azimute de 182°28'28" e distância de 3,62 m., até o vértice **585**, de coordenadas **N 8.274.845,55** m. e **E 194.989,70** m.; deste, segue com azimute de 181°28'01" e distância de 3,62 m., até o vértice **586**, de coordenadas **N 8.274.841,93** m. e **E 194.989,61** m.; deste, segue com azimute de 180°19'30" e distância de 3,61 m., até o vértice **587**, de coordenadas **N 8.274.838,32** m. e **E 194.989,59** m.; deste, segue com azimute de 179°02'42" e distância de 3,61 m., até o vértice **588**, de coordenadas **N 8.274.834,71** m. e **E 194.989,65** m.; deste, segue com azimute de 177°37'28" e distância de 3,59 m., até o vértice **589**, de coordenadas **N 8.274.831,12** m. e **E 194.989,80** m.; deste,



SFL - PLC 0019/2019 folha 000398

segue com azimute de 175°03'31" e distância de 3,67 m., até o vértice **590**, de coordenadas **N 8.274.827,46** m. e **E 194.990,11** m.; deste, segue com azimute de 172°22'09" e distância de 3,68 m., até o vértice **591**, de coordenadas **N 8.274.823,82** m. e **E 194.990,60** m.; deste, segue com azimute de 171°03'07" e distância de 3,68 m., até o vértice **592**, de coordenadas **N 8.274.820,18** m. e **E 194.991,17** m.; deste, segue com azimute de 171°05'30" e distância de 3,68 m., até o vértice **593**, de coordenadas **N 8.274.816,55** m. e **E 194.991,74** m.; deste, segue com azimute de 172°30'11" e distância de 3,66 m., até o vértice **594**, de coordenadas **N 8.274.812,92** m. e **E 194.992,22** m.; deste, segue com azimute de 175°17'52" e distância de 3,65 m., até o vértice **595**, de coordenadas **N 8.274.809,28** m. e **E 194.992,52** m.; deste, segue com azimute de 183°11'13" e distância de 6,74 m., até o vértice **596**, de coordenadas **N 8.274.802,55** m. e **E 194.992,15** m.; deste, segue com azimute de 191°15'49" e distância de 6,90 m., até o vértice **597**, de coordenadas **N 8.274.795,79** m. e **E 194.990,80** m.; deste, segue com azimute de 193°45'01" e distância de 6,97 m., até o vértice **598**, de coordenadas **N 8.274.789,02** m. e **E 194.989,14** m.; deste, segue com azimute de 190°55'38" e distância de 6,86 m., até o vértice **599**, de coordenadas **N 8.274.782,28** m. e **E 194.987,84** m.; deste, segue com azimute de 182°25'23" e distância de 6,69 m., até o vértice **600**, de coordenadas **N 8.274.775,60** m. e **E 194.987,56** m.; deste, segue com azimute de 168°01'01" e distância de 6,74 m., até o vértice **601**, de coordenadas **N 8.274.769,01** m. e **E 194.988,96** m.; deste, segue com azimute de 156°04'36" e distância de 2,25 m., até o vértice **602**, de coordenadas **N 8.274.766,95** m. e **E 194.989,87** m.; deste, segue com azimute de 151°20'55" e distância de 2,32 m., até o vértice **603**, de coordenadas **N 8.274.764,91** m. e **E 194.990,99** m.; deste, segue com azimute de 149°05'59" e distância de 2,37 m., até o vértice **604**, de coordenadas **N 8.274.762,88** m. e **E 194.992,20** m.; deste, segue com azimute de 149°06'36" e distância de 2,38 m., até o vértice **605**, de coordenadas **N 8.274.760,83** m. e **E 194.993,42** m.; deste, segue com azimute de 151°20'36" e distância de 2,36 m., até o vértice **606**, de coordenadas **N 8.274.758,76** m. e **E 194.994,55** m.; deste, segue com azimute de 155°56'56" e distância de 2,31 m., até o vértice **607**, de coordenadas **N 8.274.756,65** m. e **E 194.995,50** m.; deste, segue com azimute de 162°55'14" e distância de 3,55 m., até o vértice **608**, de coordenadas **N 8.274.753,26** m. e **E 194.996,54** m.; deste, segue com azimute de 168°59'16" e distância de 3,56 m., até o vértice **609**, de coordenadas **N 8.274.749,77** m. e **E 194.997,22** m.; deste, segue com azimute de 172°39'47" e distância de 3,59 m., até o vértice **610**, de coordenadas **N 8.274.746,21** m. e **E 194.997,68** m.; deste, segue com azimute de 174°00'04" e distância de 3,60 m., até o vértice **611**, de coordenadas **N 8.274.742,63** m. e **E 194.998,05** m.; deste,



SPL - PLC 0019/2019 folha 000399

segue com azimute de 173°02'46" e distância de 3,59 m., até o vértice **612**, de coordenadas **N 8.274.739,06** m. e **E 194.998,49** m.; deste, segue com azimute de 169°46'33" e distância de 3,57 m., até o vértice **613**, de coordenadas **N 8.274.735,55** m. e **E 194.999,12** m.; deste, segue com azimute de 166°02'15" e distância de 3,28 m., até o vértice **614**, de coordenadas **N 8.274.732,36** m. e **E 194.999,91** m.; deste, segue com azimute de 164°06'32" e distância de 3,29 m., até o vértice **615**, de coordenadas **N 8.274.729,20** m. e **E 195.000,81** m.; deste, segue com azimute de 163°13'00" e distância de 3,29 m., até o vértice **616**, de coordenadas **N 8.274.726,05** m. e **E 195.001,76** m.; deste, segue com azimute de 163°21'32" e distância de 3,29 m., até o vértice **617**, de coordenadas **N 8.274.722,90** m. e **E 195.002,71** m.; deste, segue com azimute de 164°32'19" e distância de 3,29 m., até o vértice **618**, de coordenadas **N 8.274.719,73** m. e **E 195.003,58** m.; deste, segue com azimute de 166°45'09" e distância de 3,29 m., até o vértice **619**, de coordenadas **N 8.274.716,53** m. e **E 195.004,34** m.; deste, segue com azimute de 169°11'37" e distância de 2,97 m., até o vértice **620**, de coordenadas **N 8.274.713,62** m. e **E 195.004,89** m.; deste, segue com azimute de 170°48'12" e distância de 2,97 m., até o vértice **621**, de coordenadas **N 8.274.710,69** m. e **E 195.005,37** m.; deste, segue com azimute de 171°51'27" e distância de 2,98 m., até o vértice **622**, de coordenadas **N 8.274.707,74** m. e **E 195.005,79** m.; deste, segue com azimute de 172°21'38" e distância de 2,98 m., até o vértice **623**, de coordenadas **N 8.274.704,79** m. e **E 195.006,18** m.; deste, segue com azimute de 172°19'13" e distância de 2,98 m., até o vértice **624**, de coordenadas **N 8.274.701,83** m. e **E 195.006,58** m.; deste, segue com azimute de 171°43'46" e distância de 2,98 m., até o vértice **625**, de coordenadas **N 8.274.698,88** m. e **E 195.007,01** m.; deste, segue com azimute de 172°09'30" e distância de 2,63 m., até o vértice **626**, de coordenadas **N 8.274.696,27** m. e **E 195.007,37** m.; deste, segue com azimute de 173°13'04" e distância de 2,65 m., até o vértice **627**, de coordenadas **N 8.274.693,64** m. e **E 195.007,68** m.; deste, segue com azimute de 173°10'55" e distância de 2,65 m., até o vértice **628**, de coordenadas **N 8.274.691,01** m. e **E 195.008,00** m.; deste, segue com azimute de 172°02'51" e distância de 2,64 m., até o vértice **629**, de coordenadas **N 8.274.688,40** m. e **E 195.008,36** m.; deste, segue com azimute de 169°47'11" e distância de 2,62 m., até o vértice **630**, de coordenadas **N 8.274.685,82** m. e **E 195.008,83** m.; deste, segue com azimute de 166°21'51" e distância de 2,60 m., até o vértice **631**, de coordenadas **N 8.274.683,30** m. e **E 195.009,44** m.; deste, segue com azimute de 163°23'22" e distância de 3,98 m., até o vértice **632**, de coordenadas **N 8.274.679,48** m. e **E 195.010,58** m.; deste, segue com azimute de 161°00'52" e distância de 4,05 m., até o vértice **633**, de coordenadas **N 8.274.675,65** m. e **E 195.011,90** m.; deste,



SFL - PLC 0019/2019 folha 000400

segue com azimute de 157°35'55" e distância de 4,06 m., até o vértice **634**, de coordenadas **N 8.274.671,90** m. e **E 195.013,44** m.; deste, segue com azimute de 152°59'43" e distância de 4,02 m., até o vértice **635**, de coordenadas **N 8.274.668,32** m. e **E 195.015,27** m.; deste, segue com azimute de 147°00'38" e distância de 3,95 m., até o vértice **636**, de coordenadas **N 8.274.665,01** m. e **E 195.017,42** m.; deste, segue com azimute de 139°27'17" e distância de 3,89 m., até o vértice **637**, de coordenadas **N 8.274.662,05** m. e **E 195.019,94** m.; deste, segue com azimute de 130°43'22" e distância de 2,42 m., até o vértice **638**, de coordenadas **N 8.274.660,47** m. e **E 195.021,78** m.; deste, segue com azimute de 124°07'21" e distância de 2,48 m., até o vértice **639**, de coordenadas **N 8.274.659,08** m. e **E 195.023,84** m.; deste, segue com azimute de 120°35'54" e distância de 2,54 m., até o vértice **640**, de coordenadas **N 8.274.657,79** m. e **E 195.026,02** m.; deste, segue com azimute de 119°52'54" e distância de 2,56 m., até o vértice **641**, de coordenadas **N 8.274.656,51** m. e **E 195.028,23** m.; deste, segue com azimute de 121°52'49" e distância de 2,54 m., até o vértice **642**, de coordenadas **N 8.274.655,17** m. e **E 195.030,39** m.; deste, segue com azimute de 126°42'54" e distância de 2,50 m., até o vértice **643**, de coordenadas **N 8.274.653,68** m. e **E 195.032,39** m.; deste, segue com azimute de 134°24'21" e distância de 3,92 m., até o vértice **644**, de coordenadas **N 8.274.650,94** m. e **E 195.035,19** m.; deste, segue com azimute de 140°46'03" e distância de 3,96 m., até o vértice **645**, de coordenadas **N 8.274.647,87** m. e **E 195.037,70** m.; deste, segue com azimute de 143°57'17" e distância de 4,01 m., até o vértice **646**, de coordenadas **N 8.274.644,63** m. e **E 195.040,06** m.; deste, segue com azimute de 144°06'34" e distância de 4,01 m., até o vértice **647**, de coordenadas **N 8.274.641,38** m. e **E 195.042,41** m.; deste, segue com azimute de 141°14'46" e distância de 3,98 m., até o vértice **648**, de coordenadas **N 8.274.638,28** m. e **E 195.044,90** m.; deste, segue com azimute de 135°14'27" e distância de 3,93 m., até o vértice **649**, de coordenadas **N 8.274.635,48** m. e **E 195.047,67** m.; deste, segue com azimute de 129°29'48" e distância de 3,05 m., até o vértice **650**, de coordenadas **N 8.274.633,54** m. e **E 195.050,02** m.; deste, segue com azimute de 126°36'35" e distância de 3,07 m., até o vértice **651**, de coordenadas **N 8.274.631,71** m. e **E 195.052,48** m.; deste, segue com azimute de 124°22'18" e distância de 3,08 m., até o vértice **652**, de coordenadas **N 8.274.629,98** m. e **E 195.055,03** m.; deste, segue com azimute de 122°45'36" e distância de 3,09 m., até o vértice **653**, de coordenadas **N 8.274.628,30** m. e **E 195.057,63** m.; deste, segue com azimute de 121°45'28" e distância de 3,09 m., até o vértice **654**, de coordenadas **N 8.274.626,68** m. e **E 195.060,25** m.; deste, segue com azimute de 121°21'09" e distância de 3,07 m., até o vértice **655**, de coordenadas **N 8.274.625,08** m. e **E 195.062,87** m.; deste,



SPL - PLC 0019/2019 folha 000401

segue com azimute de 120°00'35" e distância de 2,24 m., até o vértice **656**, de coordenadas **N 8.274.623,96** m. e **E 195.064,81** m.; deste, segue com azimute de 118°06'45" e distância de 2,24 m., até o vértice **657**, de coordenadas **N 8.274.622,90** m. e **E 195.066,79** m.; deste, segue com azimute de 117°22'20" e distância de 2,24 m., até o vértice **658**, de coordenadas **N 8.274.621,87** m. e **E 195.068,78** m.; deste, segue com azimute de 117°47'16" e distância de 2,24 m., até o vértice **659**, de coordenadas **N 8.274.620,83** m. e **E 195.070,76** m.; deste, segue com azimute de 119°21'52" e distância de 2,24 m., até o vértice **660**, de coordenadas **N 8.274.619,73** m. e **E 195.072,71** m.; deste, segue com azimute de 122°06'07" e distância de 2,24 m., até o vértice **661**, de coordenadas **N 8.274.618,54** m. e **E 195.074,61** m.; deste, segue com azimute de 125°08'31" e distância de 3,58 m., até o vértice **662**, de coordenadas **N 8.274.616,48** m. e **E 195.077,54** m.; deste, segue com azimute de 127°37'34" e distância de 3,60 m., até o vértice **663**, de coordenadas **N 8.274.614,29** m. e **E 195.080,38** m.; deste, segue com azimute de 130°00'09" e distância de 3,59 m., até o vértice **664**, de coordenadas **N 8.274.611,98** m. e **E 195.083,13** m.; deste, segue com azimute de 135°21'59" e distância de 3,38 m., até o vértice **665**, de coordenadas **N 8.274.609,57** m. e **E 195.085,51** m.; deste, segue com azimute de 137°32'59" e distância de 3,40 m., até o vértice **666**, de coordenadas **N 8.274.607,06** m. e **E 195.087,80** m.; deste, segue com azimute de 130°26'53" e distância de 3,26 m., até o vértice **667**, de coordenadas **N 8.274.604,95** m. e **E 195.090,29** m.; deste, segue com azimute de 116°01'30" e distância de 2,52 m., até o vértice **668**, de coordenadas **N 8.274.603,84** m. e **E 195.092,55** m.; deste, segue com azimute de 104°47'45" e distância de 2,57 m., até o vértice **669**, de coordenadas **N 8.274.603,18** m. e **E 195.095,04** m.; deste, segue com azimute de 98°58'19" e distância de 2,64 m., até o vértice **670**, de coordenadas **N 8.274.602,77** m. e **E 195.097,64** m.; deste, segue com azimute de 98°02'44" e distância de 2,65 m., até o vértice **671**, de coordenadas **N 8.274.602,40** m. e **E 195.100,27** m.; deste, segue com azimute de 101°52'12" e distância de 2,61 m., até o vértice **672**, de coordenadas **N 8.274.601,87** m. e **E 195.102,82** m.; deste, segue com azimute de 110°52'22" e distância de 2,54 m., até o vértice **673**, de coordenadas **N 8.274.600,96** m. e **E 195.105,19** m.; deste, segue com azimute de 121°00'32" e distância de 2,18 m., até o vértice **674**, de coordenadas **N 8.274.599,84** m. e **E 195.107,06** m.; deste, segue com azimute de 126°52'25" e distância de 2,22 m., até o vértice **675**, de coordenadas **N 8.274.598,51** m. e **E 195.108,84** m.; deste, segue com azimute de 130°12'11" e distância de 2,25 m., até o vértice **676**, de coordenadas **N 8.274.597,05** m. e **E 195.110,55** m.; deste, segue com azimute de 131°09'00" e distância de 2,26 m., até o vértice **677**, de coordenadas **N 8.274.595,57** m. e **E 195.112,26** m.; deste,



SPL - PLC 0019/2019 folha 000402

segue com azimute de 129°47'04" e distância de 2,25 m., até o vértice **678**, de coordenadas **N 8.274.594,13** m. e **E 195.113,99** m.; deste, segue com azimute de 126°02'04" e distância de 2,23 m., até o vértice **679**, de coordenadas **N 8.274.592,82** m. e **E 195.115,79** m.; deste, segue com azimute de 120°01'26" e distância de 3,80 m., até o vértice **680**, de coordenadas **N 8.274.590,92** m. e **E 195.119,08** m.; deste, segue com azimute de 117°35'50" e distância de 3,81 m., até o vértice **681**, de coordenadas **N 8.274.589,15** m. e **E 195.122,45** m.; deste, segue com azimute de 121°25'39" e distância de 3,77 m., até o vértice **682**, de coordenadas **N 8.274.587,19** m. e **E 195.125,67** m.; deste, segue com azimute de 128°53'15" e distância de 2,71 m., até o vértice **683**, de coordenadas **N 8.274.585,49** m. e **E 195.127,77** m.; deste, segue com azimute de 134°04'40" e distância de 2,72 m., até o vértice **684**, de coordenadas **N 8.274.583,59** m. e **E 195.129,73** m.; deste, segue com azimute de 136°51'26" e distância de 2,74 m., até o vértice **685**, de coordenadas **N 8.274.581,59** m. e **E 195.131,60** m.; deste, segue com azimute de 137°17'27" e distância de 2,74 m., até o vértice **686**, de coordenadas **N 8.274.579,58** m. e **E 195.133,46** m.; deste, segue com azimute de 135°23'49" e distância de 2,73 m., até o vértice **687**, de coordenadas **N 8.274.577,64** m. e **E 195.135,38** m.; deste, segue com azimute de 131°05'59" e distância de 2,70 m., até o vértice **688**, de coordenadas **N 8.274.575,86** m. e **E 195.137,41** m.; deste, segue com azimute de 126°14'55" e distância de 3,53 m., até o vértice **689**, de coordenadas **N 8.274.573,77** m. e **E 195.140,26** m.; deste, segue com azimute de 122°58'18" e distância de 3,54 m., até o vértice **690**, de coordenadas **N 8.274.571,84** m. e **E 195.143,24** m.; deste, segue com azimute de 120°25'51" e distância de 3,56 m., até o vértice **691**, de coordenadas **N 8.274.570,04** m. e **E 195.146,30** m.; deste, segue com azimute de 118°37'02" e distância de 3,57 m., até o vértice **692**, de coordenadas **N 8.274.568,33** m. e **E 195.149,43** m.; deste, segue com azimute de 117°30'39" e distância de 3,57 m., até o vértice **693**, de coordenadas **N 8.274.566,69** m. e **E 195.152,60** m.; deste, segue com azimute de 117°06'30" e distância de 3,56 m., até o vértice **694**, de coordenadas **N 8.274.565,06** m. e **E 195.155,77** m.; deste, segue com azimute de 117°17'37" e distância de 3,72 m., até o vértice **695**, de coordenadas **N 8.274.563,36** m. e **E 195.159,07** m.; deste, segue com azimute de 117°01'15" e distância de 3,76 m., até o vértice **696**, de coordenadas **N 8.274.561,65** m. e **E 195.162,42** m.; deste, segue com azimute de 115°53'23" e distância de 3,76 m., até o vértice **697**, de coordenadas **N 8.274.560,01** m. e **E 195.165,80** m.; deste, segue com azimute de 113°52'44" e distância de 3,74 m., até o vértice **698**, de coordenadas **N 8.274.558,50** m. e **E 195.169,22** m.; deste, segue com azimute de 110°55'43" e distância de 3,69 m., até o vértice **699**, de coordenadas **N 8.274.557,18** m. e **E 195.172,67** m.; deste,



SFL - PLC 0019/2019 folha 000403

segue com azimute de 106°57'31" e distância de 3,64 m., até o vértice **700**, de coordenadas **N 8.274.556,12** m. e **E 195.176,15** m.; deste, segue com azimute de 102°12'25" e distância de 3,89 m., até o vértice **701**, de coordenadas **N 8.274.555,29** m. e **E 195.179,95** m.; deste, segue com azimute de 97°58'55" e distância de 3,89 m., até o vértice **702**, de coordenadas **N 8.274.554,75** m. e **E 195.183,80** m.; deste, segue com azimute de 94°38'05" e distância de 3,90 m., até o vértice **703**, de coordenadas **N 8.274.554,44** m. e **E 195.187,69** m.; deste, segue com azimute de 92°09'26" e distância de 3,91 m., até o vértice **704**, de coordenadas **N 8.274.554,29** m. e **E 195.191,60** m.; deste, segue com azimute de 90°31'52" e distância de 3,92 m., até o vértice **705**, de coordenadas **N 8.274.554,26** m. e **E 195.195,51** m.; deste, segue com azimute de 89°44'04" e distância de 3,90 m., até o vértice **706**, de coordenadas **N 8.274.554,27** m. e **E 195.199,42** m.; deste, segue com azimute de 87°54'04" e distância de 2,99 m., até o vértice **707**, de coordenadas **N 8.274.554,38** m. e **E 195.202,41** m.; deste, segue com azimute de 85°21'16" e distância de 3,00 m., até o vértice **708**, de coordenadas **N 8.274.554,63** m. e **E 195.205,40** m.; deste, segue com azimute de 84°07'00" e distância de 3,01 m., até o vértice **709**, de coordenadas **N 8.274.554,93** m. e **E 195.208,39** m.; deste, segue com azimute de 84°10'08" e distância de 3,01 m., até o vértice **710**, de coordenadas **N 8.274.555,24** m. e **E 195.211,38** m.; deste, segue com azimute de 85°30'39" e distância de 3,01 m., até o vértice **711**, de coordenadas **N 8.274.555,48** m. e **E 195.214,39** m.; deste, segue com azimute de 88°08'48" e distância de 3,01 m., até o vértice **712**, de coordenadas **N 8.274.555,57** m. e **E 195.217,40** m.; deste, segue com azimute de 91°14'10" e distância de 3,48 m., até o vértice **713**, de coordenadas **N 8.274.555,50** m. e **E 195.220,87** m.; deste, segue com azimute de 93°26'52" e distância de 3,50 m., até o vértice **714**, de coordenadas **N 8.274.555,29** m. e **E 195.224,36** m.; deste, segue com azimute de 94°57'17" e distância de 3,51 m., até o vértice **715**, de coordenadas **N 8.274.554,98** m. e **E 195.227,86** m.; deste, segue com azimute de 95°46'33" e distância de 3,52 m., até o vértice **716**, de coordenadas **N 8.274.554,63** m. e **E 195.231,36** m.; deste, segue com azimute de 95°55'21" e distância de 3,51 m., até o vértice **717**, de coordenadas **N 8.274.554,27** m. e **E 195.234,86** m.; deste, segue com azimute de 95°23'37" e distância de 3,50 m., até o vértice **718**, de coordenadas **N 8.274.553,94** m. e **E 195.238,34** m.; deste, segue com azimute de 94°26'14" e distância de 4,05 m., até o vértice **719**, de coordenadas **N 8.274.553,63** m. e **E 195.242,37** m.; deste, segue com azimute de 93°56'44" e distância de 4,04 m., até o vértice **720**, de coordenadas **N 8.274.553,35** m. e **E 195.246,40** m.; deste, segue com azimute de 94°06'58" e distância de 4,03 m., até o vértice **721**, de coordenadas **N 8.274.553,06** m. e **E 195.250,42** m.; deste,



SPL - PLC 0019/2019 folha 000404

segue com azimute de 94°57'01" e distância de 4,03 m., até o vértice **722**, de coordenadas **N 8.274.552,71** m. e **E 195.254,43** m.; deste, segue com azimute de 96°26'34" e distância de 4,03 m., até o vértice **723**, de coordenadas **N 8.274.552,26** m. e **E 195.258,44** m.; deste, segue com azimute de 98°35'21" e distância de 4,04 m., até o vértice **724**, de coordenadas **N 8.274.551,65** m. e **E 195.262,44** m.; deste, segue com azimute de 100°28'40" e distância de 4,00 m., até o vértice **725**, de coordenadas **N 8.274.550,93** m. e **E 195.266,38** m.; deste, segue com azimute de 101°46'02" e distância de 4,03 m., até o vértice **726**, de coordenadas **N 8.274.550,10** m. e **E 195.270,32** m.; deste, segue com azimute de 103°11'21" e distância de 4,05 m., até o vértice **727**, de coordenadas **N 8.274.549,18** m. e **E 195.274,26** m.; deste, segue com azimute de 104°45'31" e distância de 4,05 m., até o vértice **728**, de coordenadas **N 8.274.548,15** m. e **E 195.278,18** m.; deste, segue com azimute de 106°29'09" e distância de 4,04 m., até o vértice **729**, de coordenadas **N 8.274.547,00** m. e **E 195.282,05** m.; deste, segue com azimute de 108°23'19" e distância de 4,02 m., até o vértice **730**, de coordenadas **N 8.274.545,73** m. e **E 195.285,87** m.; deste, segue com azimute de 113°14'25" e distância de 3,61 m., até o vértice **731**, de coordenadas **N 8.274.544,31** m. e **E 195.289,19** m.; deste, segue com azimute de 114°47'20" e distância de 3,62 m., até o vértice **732**, de coordenadas **N 8.274.542,79** m. e **E 195.292,48** m.; deste, segue com azimute de 107°09'10" e distância de 3,57 m., até o vértice **733**, de coordenadas **N 8.274.541,74** m. e **E 195.295,89** m.; deste, segue com azimute de 97°10'22" e distância de 2,18 m., até o vértice **734**, de coordenadas **N 8.274.541,46** m. e **E 195.298,06** m.; deste, segue com azimute de 92°42'55" e distância de 2,21 m., até o vértice **735**, de coordenadas **N 8.274.541,36** m. e **E 195.300,27** m.; deste, segue com azimute de 90°27'26" e distância de 2,21 m., até o vértice **736**, de coordenadas **N 8.274.541,34** m. e **E 195.302,47** m.; deste, segue com azimute de 82°15'39" e distância de 3,57 m., até o vértice **737**, de coordenadas **N 8.274.541,82** m. e **E 195.306,01** m.; deste, segue com azimute de 78°41'49" e distância de 3,59 m., até o vértice **738**, de coordenadas **N 8.274.542,53** m. e **E 195.309,54** m.; deste, segue com azimute de 93°07'28" e distância de 3,37 m., até o vértice **739**, de coordenadas **N 8.274.542,34** m. e **E 195.312,90** m.; deste, segue com azimute de 114°43'43" e distância de 2,14 m., até o vértice **740**, de coordenadas **N 8.274.541,45** m. e **E 195.314,84** m.; deste, segue com azimute de 123°11'15" e distância de 2,25 m., até o vértice **741**, de coordenadas **N 8.274.540,22** m. e **E 195.316,72** m.; deste, segue com azimute de 123°11'15" e distância de 2,25 m., até o vértice **742**, de coordenadas **N 8.274.538,99** m. e **E 195.318,60** m.; deste, segue com azimute de 176°17'14" e distância de 45,51 m., até o vértice **743**, de coordenadas **N 8.274.493,58** m. e **E 195.321,54** m.; deste,



SPL - PLC 0019/2019 folha 000405

segue com azimute de 255°28'02" e distância de 8,73 m., até o vértice **744**, de coordenadas **N 8.274.491,39** m. e **E 195.313,09** m.; deste, segue com azimute de 254°36'57" e distância de 17,53 m., até o vértice **745**, de coordenadas **N 8.274.486,74** m. e **E 195.296,19** m.; deste, segue com azimute de 247°36'42" e distância de 15,04 m., até o vértice **746**, de coordenadas **N 8.274.481,01** m. e **E 195.282,28** m.; deste, segue com azimute de 240°32'50" e distância de 15,09 m., até o vértice **747**, de coordenadas **N 8.274.473,59** m. e **E 195.269,14** m.; deste, segue com azimute de 244°23'41" e distância de 17,35 m., até o vértice **748**, de coordenadas **N 8.274.466,09** m. e **E 195.253,49** m.; deste, segue com azimute de 256°21'29" e distância de 5,64 m., até o vértice **749**, de coordenadas **N 8.274.464,76** m. e **E 195.248,01** m.; deste, segue com azimute de 267°02'34" e distância de 13,57 m., até o vértice **750**, de coordenadas **N 8.274.464,06** m. e **E 195.234,46** m.; deste, segue com azimute de 260°48'12" e distância de 4,25 m., até o vértice **751**, de coordenadas **N 8.274.463,38** m. e **E 195.230,26** m.; deste, segue com azimute de 257°06'59" e distância de 3,68 m., até o vértice **752**, de coordenadas **N 8.274.462,56** m. e **E 195.226,68** m.; deste, segue com azimute de 257°07'03" e distância de 3,68 m., até o vértice **753**, de coordenadas **N 8.274.461,74** m. e **E 195.223,09** m.; deste, segue com azimute de 247°50'51" e distância de 10,00 m., até o vértice **754**, de coordenadas **N 8.274.457,97** m. e **E 195.213,83** m.; deste, segue com azimute de 249°13'34" e distância de 10,46 m., até o vértice **755**, de coordenadas **N 8.274.454,26** m. e **E 195.204,05** m.; deste, segue com azimute de 255°32'55" e distância de 11,38 m., até o vértice **756**, de coordenadas **N 8.274.451,42** m. e **E 195.193,03** m.; deste, segue com azimute de 258°54'47" e distância de 14,61 m., até o vértice **757**, de coordenadas **N 8.274.448,61** m. e **E 195.178,69** m.; deste, segue com azimute de 239°31'17" e distância de 4,46 m., até o vértice **758**, de coordenadas **N 8.274.446,35** m. e **E 195.174,85** m.; deste, segue com azimute de 230°23'13" e distância de 6,10 m., até o vértice **759**, de coordenadas **N 8.274.442,46** m. e **E 195.170,15** m.; deste, segue com azimute de 222°46'41" e distância de 20,79 m., até o vértice **760**, de coordenadas **N 8.274.427,20** m. e **E 195.156,03** m.; deste, segue com azimute de 226°49'25" e distância de 14,22 m., até o vértice **761**, de coordenadas **N 8.274.417,47** m. e **E 195.145,66** m.; deste, segue com azimute de 228°41'47" e distância de 7,79 m., até o vértice **762**, de coordenadas **N 8.274.412,33** m. e **E 195.139,81** m.; deste, segue com azimute de 221°01'14" e distância de 16,30 m., até o vértice **763**, de coordenadas **N 8.274.400,03** m. e **E 195.129,11** m.; deste, segue com azimute de 231°55'02" e distância de 6,05 m., até o vértice **764**, de coordenadas **N 8.274.396,30** m. e **E 195.124,35** m.; deste, segue com azimute de 237°15'15" e distância de 6,56 m., até o vértice **765**, de coordenadas **N 8.274.392,75** m. e **E 195.118,83** m.; deste,



SPL - PLC 0019/2019 folha 000406

segue com azimute de 231°22'49" e distância de 4,45 m., até o vértice **766**, de coordenadas **N 8.274.389,97** m. e **E 195.115,35** m.; deste, segue com azimute de 216°22'15" e distância de 23,66 m., até o vértice **767**, de coordenadas **N 8.274.370,92** m. e **E 195.101,32** m.; deste, segue com azimute de 216°22'13" e distância de 4,36 m., até o vértice **768**, de coordenadas **N 8.274.367,41** m. e **E 195.098,74** m.; ponto situado no eixo da Rodovia DF-326 deste, segue pela Rodovia DF-326, até o vértice **769**, de coordenadas **N 8.273.467,65** m. e **E 195.885,49** m.; deste, segue com azimute de 282°45'03" e distância de 17,82 m., até o vértice **770**, de coordenadas **N 8.273.471,58** m. e **E 195.868,12** m.; deste, segue com azimute de 270°00'00" e distância de 31,75 m., até o vértice **771**, de coordenadas **N 8.273.471,58** m. e **E 195.836,37** m.; deste, segue com azimute de 257°59'19" e distância de 50,86 m., até o vértice **772**, de coordenadas **N 8.273.461,00** m. e **E 195.786,63** m.; deste, segue com azimute de 272°35'38" e distância de 23,98 m., até o vértice **773**, de coordenadas **N 8.273.462,08** m. e **E 195.762,67** m.; ponto situado às margens do Córrego Chácara deste, segue margeando o Córrego Chácara, até o vértice **774**, de coordenadas **N 8.273.488,34** m. e **E 193.866,26** m.; confluência entre o Córrego Chácara e o Ribeirão Engenho Velho deste, segue margeando o Ribeirão Engenho Velho, até o vértice **775**, de coordenadas **N 8.273.361,17** m. e **E 193.428,01** m.; deste, segue com azimute de 147°43'39" e distância de 3,55 m., até o vértice **776**, de coordenadas **N 8.273.358,17** m. e **E 193.429,91** m.; deste, segue com azimute de 134°09'20" e distância de 3,32 m., até o vértice **777**, de coordenadas **N 8.273.355,85** m. e **E 193.432,29** m.; deste, segue com azimute de 134°09'20" e distância de 3,32 m., até o vértice **778**, de coordenadas **N 8.273.353,54** m. e **E 193.434,68** m.; deste, segue com azimute de 134°08'43" e distância de 3,32 m., até o vértice **779**, de coordenadas **N 8.273.351,23** m. e **E 193.437,06** m.; deste, segue com azimute de 132°45'57" e distância de 3,20 m., até o vértice **780**, de coordenadas **N 8.273.349,06** m. e **E 193.439,41** m.; deste, segue com azimute de 131°08'02" e distância de 3,22 m., até o vértice **781**, de coordenadas **N 8.273.346,94** m. e **E 193.441,83** m.; deste, segue com azimute de 131°07'28" e distância de 3,22 m., até o vértice **782**, de coordenadas **N 8.273.344,82** m. e **E 193.444,26** m.; deste, segue com azimute de 132°44'11" e distância de 3,20 m., até o vértice **783**, de coordenadas **N 8.273.342,64** m. e **E 193.446,61** m.; deste, segue com azimute de 136°01'12" e distância de 3,17 m., até o vértice **784**, de coordenadas **N 8.273.340,36** m. e **E 193.448,81** m.; deste, segue com azimute de 141°03'23" e distância de 3,14 m., até o vértice **785**, de coordenadas **N 8.273.337,92** m. e **E 193.450,79** m.; deste, segue com azimute de 145°26'28" e distância de 3,32 m., até o vértice **786**, de coordenadas **N 8.273.335,19** m. e **E 193.452,67** m.; deste, segue com azimute de 148°16'10"



SFL - PLC 0019/2019 folha 000407

e distância de 3,39 m., até o vértice **787**, de coordenadas **N 8.273.332,30** m. e **E 193.454,45** m.; deste, segue com azimute de 151°38'27" e distância de 3,41 m., até o vértice **788**, de coordenadas **N 8.273.329,30** m. e **E 193.456,07** m.; deste, segue com azimute de 155°43'02" e distância de 3,38 m., até o vértice **789**, de coordenadas **N 8.273.326,22** m. e **E 193.457,46** m.; deste, segue com azimute de 160°41'40" e distância de 3,31 m., até o vértice **790**, de coordenadas **N 8.273.323,09** m. e **E 193.458,56** m.; deste, segue com azimute de 166°49'04" e distância de 3,22 m., até o vértice **791**, de coordenadas **N 8.273.319,96** m. e **E 193.459,29** m.; deste, segue com azimute de 174°03'46" e distância de 3,45 m., até o vértice **792**, de coordenadas **N 8.273.316,52** m. e **E 193.459,65** m.; deste, segue com azimute de 180°33'31" e distância de 1,29 m., até o vértice **793**, de coordenadas **N 8.273.315,23** m. e **E 193.459,64** m.; deste, segue com azimute de 180°32'48" e distância de 0,22 m., até o vértice **794**, de coordenadas **N 8.273.315,01** m. e **E 193.459,64** m.; deste, segue com azimute de 180°33'24" e distância de 2,04 m., até o vértice **795**, de coordenadas **N 8.273.312,97** m. e **E 193.459,62** m.; deste, segue com azimute de 185°55'28" e distância de 3,62 m., até o vértice **796**, de coordenadas **N 8.273.309,37** m. e **E 193.459,24** m.; deste, segue com azimute de 190°26'01" e distância de 3,65 m., até o vértice **797**, de coordenadas **N 8.273.305,78** m. e **E 193.458,58** m.; deste, segue com azimute de 194°18'40" e distância de 3,62 m., até o vértice **798**, de coordenadas **N 8.273.302,27** m. e **E 193.457,69** m.; deste, segue com azimute de 197°45'33" e distância de 3,53 m., até o vértice **799**, de coordenadas **N 8.273.298,91** m. e **E 193.456,61** m.; deste, segue com azimute de 203°49'47" e distância de 3,25 m., até o vértice **800**, de coordenadas **N 8.273.295,93** m. e **E 193.455,30** m.; deste, segue com azimute de 210°33'38" e distância de 3,31 m., até o vértice **801**, de coordenadas **N 8.273.293,09** m. e **E 193.453,61** m.; deste, segue com azimute de 214°10'58" e distância de 3,36 m., até o vértice **802**, de coordenadas **N 8.273.290,31** m. e **E 193.451,73** m.; deste, segue com azimute de 214°54'23" e distância de 3,37 m., até o vértice **803**, de coordenadas **N 8.273.287,54** m. e **E 193.449,80** m.; deste, segue com azimute de 212°47'15" e distância de 3,35 m., até o vértice **804**, de coordenadas **N 8.273.284,73** m. e **E 193.447,99** m.; deste, segue com azimute de 207°42'00" e distância de 3,29 m., até o vértice **805**, de coordenadas **N 8.273.281,82** m. e **E 193.446,46** m.; deste, segue com azimute de 203°06'06" e distância de 4,76 m., até o vértice **806**, de coordenadas **N 8.273.277,44** m. e **E 193.444,59** m.; deste, segue com azimute de 200°40'05" e distância de 4,81 m., até o vértice **807**, de coordenadas **N 8.273.272,94** m. e **E 193.442,89** m.; deste, segue com azimute de 197°32'20" e distância de 4,82 m., até o vértice **808**, de coordenadas **N 8.273.268,34** m. e **E 193.441,44** m.; deste, segue com azimute de 193°37'36"



SFL - PLC 0019/2019 folha 000408

e distância de 4,80 m., até o vértice **809**, de coordenadas **N 8.273.263,68** m. e **E 193.440,31** m.; deste, segue com azimute de 188°49'46" e distância de 4,75 m., até o vértice **810**, de coordenadas **N 8.273.258,99** m. e **E 193.439,58** m.; deste, segue com azimute de 183°02'43" e distância de 4,69 m., até o vértice **811**, de coordenadas **N 8.273.254,30** m. e **E 193.439,33** m.; deste, segue com azimute de 177°41'33" e distância de 3,28 m., até o vértice **812**, de coordenadas **N 8.273.251,02** m. e **E 193.439,46** m.; deste, segue com azimute de 173°54'10" e distância de 3,34 m., até o vértice **813**, de coordenadas **N 8.273.247,70** m. e **E 193.439,82** m.; deste, segue com azimute de 170°39'24" e distância de 3,38 m., até o vértice **814**, de coordenadas **N 8.273.244,37** m. e **E 193.440,36** m.; deste, segue com azimute de 167°52'21" e distância de 3,40 m., até o vértice **815**, de coordenadas **N 8.273.241,05** m. e **E 193.441,08** m.; deste, segue com azimute de 165°28'45" e distância de 3,39 m., até o vértice **816**, de coordenadas **N 8.273.237,76** m. e **E 193.441,93** m.; deste, segue com azimute de 163°25'00" e distância de 3,36 m., até o vértice **817**, de coordenadas **N 8.273.234,54** m. e **E 193.442,89** m.; deste, segue com azimute de 161°29'41" e distância de 2,24 m., até o vértice **818**, de coordenadas **N 8.273.232,42** m. e **E 193.443,60** m.; deste, segue com azimute de 159°39'56" e distância de 2,25 m., até o vértice **819**, de coordenadas **N 8.273.230,31** m. e **E 193.444,38** m.; deste, segue com azimute de 158°03'14" e distância de 2,26 m., até o vértice **820**, de coordenadas **N 8.273.228,22** m. e **E 193.445,22** m.; deste, segue com azimute de 156°38'14" e distância de 2,26 m., até o vértice **821**, de coordenadas **N 8.273.226,14** m. e **E 193.446,12** m.; deste, segue com azimute de 155°25'00" e distância de 2,26 m., até o vértice **822**, de coordenadas **N 8.273.224,09** m. e **E 193.447,06** m.; deste, segue com azimute de 154°22'33" e distância de 2,25 m., até o vértice **823**, de coordenadas **N 8.273.222,06** m. e **E 193.448,03** m.; deste, segue com azimute de 154°35'02" e distância de 0,21 m., até o vértice **824**, de coordenadas **N 8.273.221,87** m. e **E 193.448,12** m.; deste, segue com azimute de 154°34'14" e distância de 2,74 m., até o vértice **825**, de coordenadas **N 8.273.219,39** m. e **E 193.449,30** m.; deste, segue com azimute de 154°42'30" e distância de 2,99 m., até o vértice **826**, de coordenadas **N 8.273.216,68** m. e **E 193.450,58** m.; deste, segue com azimute de 153°08'35" e distância de 2,99 m., até o vértice **827**, de coordenadas **N 8.273.214,01** m. e **E 193.451,93** m.; deste, segue com azimute de 149°48'50" e distância de 2,96 m., até o vértice **828**, de coordenadas **N 8.273.211,45** m. e **E 193.453,42** m.; deste, segue com azimute de 144°34'14" e distância de 2,91 m., até o vértice **829**, de coordenadas **N 8.273.209,08** m. e **E 193.455,11** m.; deste, segue com azimute de 137°16'25" e distância de 2,87 m., até o vértice **830**, de coordenadas **N 8.273.206,97** m. e **E 193.457,06** m.; deste, segue com azimute de 131°40'01"



SPL - PLC 0019/2019 folha 000409

e distância de 1,99 m., até o vértice **831**, de coordenadas **N 8.273.205,65** m. e **E 193.458,54** m.; deste, segue com azimute de 128°47'45" e distância de 2,04 m., até o vértice **832**, de coordenadas **N 8.273.204,37** m. e **E 193.460,13** m.; deste, segue com azimute de 125°19'41" e distância de 2,06 m., até o vértice **833**, de coordenadas **N 8.273.203,18** m. e **E 193.461,81** m.; deste, segue com azimute de 121°07'50" e distância de 2,06 m., até o vértice **834**, de coordenadas **N 8.273.202,12** m. e **E 193.463,57** m.; deste, segue com azimute de 116°02'29" e distância de 2,04 m., até o vértice **835**, de coordenadas **N 8.273.201,22** m. e **E 193.465,40** m.; deste, segue com azimute de 109°53'43" e distância de 2,01 m., até o vértice **836**, de coordenadas **N 8.273.200,54** m. e **E 193.467,29** m.; deste, segue com azimute de 99°56'18" e distância de 3,06 m., até o vértice **837**, de coordenadas **N 8.273.200,01** m. e **E 193.470,30** m.; deste, segue com azimute de 92°34'00" e distância de 3,17 m., até o vértice **838**, de coordenadas **N 8.273.199,87** m. e **E 193.473,46** m.; deste, segue com azimute de 92°33'54" e distância de 3,17 m., até o vértice **839**, de coordenadas **N 8.273.199,73** m. e **E 193.476,63** m.; deste, segue com azimute de 92°46'20" e distância de 3,58 m., até o vértice **840**, de coordenadas **N 8.273.199,56** m. e **E 193.480,20** m.; deste, segue com azimute de 101°52'47" e distância de 3,45 m., até o vértice **841**, de coordenadas **N 8.273.198,85** m. e **E 193.483,58** m.; deste, segue com azimute de 125°23'04" e distância de 5,84 m., até o vértice **842**, de coordenadas **N 8.273.195,47** m. e **E 193.488,34** m.; deste, segue com azimute de 144°32'30" e distância de 5,77 m., até o vértice **843**, de coordenadas **N 8.273.190,77** m. e **E 193.491,68** m.; deste, segue com azimute de 157°45'57" e distância de 6,93 m., até o vértice **844**, de coordenadas **N 8.273.184,35** m. e **E 193.494,31** m.; deste, segue com azimute de 161°54'02" e distância de 7,03 m., até o vértice **845**, de coordenadas **N 8.273.177,67** m. e **E 193.496,49** m.; deste, segue com azimute de 149°19'34" e distância de 5,86 m., até o vértice **846**, de coordenadas **N 8.273.172,63** m. e **E 193.499,48** m.; deste, segue com azimute de 147°10'45" e distância de 5,91 m., até o vértice **847**, de coordenadas **N 8.273.167,66** m. e **E 193.502,68** m.; deste, segue com azimute de 147°10'45" e distância de 5,91 m., até o vértice **848**, de coordenadas **N 8.273.162,69** m. e **E 193.505,89** m.; deste, segue com azimute de 149°19'34" e distância de 5,86 m., até o vértice **849**, de coordenadas **N 8.273.157,65** m. e **E 193.508,88** m.; deste, segue com azimute de 153°43'05" e distância de 5,78 m., até o vértice **850**, de coordenadas **N 8.273.152,47** m. e **E 193.511,44** m.; deste, segue com azimute de 160°27'45" e distância de 5,73 m., até o vértice **851**, de coordenadas **N 8.273.147,06** m. e **E 193.513,36** m.; deste, segue com azimute de 170°09'14" e distância de 4,39 m., até o vértice **852**, de coordenadas **N 8.273.142,74** m. e **E 193.514,11** m.; deste, segue com azimute de 177°56'05"



SFL - PLC 0019/2019 folha 000410

e distância de 4,50 m., até o vértice **853**, de coordenadas **N 8.273.138,24** m. e **E 193.514,27** m.; deste, segue com azimute de 181°04'04" e distância de 4,58 m., até o vértice **854**, de coordenadas **N 8.273.133,66** m. e **E 193.514,18** m.; deste, segue com azimute de 179°54'35" e distância de 4,57 m., até o vértice **855**, de coordenadas **N 8.273.129,09** m. e **E 193.514,19** m.; deste, segue com azimute de 174°23'22" e distância de 0,24 m., até o vértice **856**, de coordenadas **N 8.273.128,85** m. e **E 193.514,21** m.; deste, segue com azimute de 174°22'53" e distância de 4,26 m., até o vértice **857**, de coordenadas **N 8.273.124,61** m. e **E 193.514,63** m.; deste, segue com azimute de 164°11'26" e distância de 4,46 m., até o vértice **858**, de coordenadas **N 8.273.120,32** m. e **E 193.515,85** m.; deste, segue com azimute de 157°08'31" e distância de 3,89 m., até o vértice **859**, de coordenadas **N 8.273.116,74** m. e **E 193.517,36** m.; deste, segue com azimute de 152°41'59" e distância de 3,96 m., até o vértice **860**, de coordenadas **N 8.273.113,22** m. e **E 193.519,17** m.; deste, segue com azimute de 142°22'46" e distância de 3,84 m., até o vértice **861**, de coordenadas **N 8.273.110,18** m. e **E 193.521,51** m.; deste, segue com azimute de 128°46'56" e distância de 3,01 m., até o vértice **862**, de coordenadas **N 8.273.108,29** m. e **E 193.523,86** m.; deste, segue com azimute de 120°50'23" e distância de 3,12 m., até o vértice **863**, de coordenadas **N 8.273.106,70** m. e **E 193.526,54** m.; deste, segue com azimute de 118°14'51" e distância de 3,11 m., até o vértice **864**, de coordenadas **N 8.273.105,23** m. e **E 193.529,28** m.; deste, segue com azimute de 169°47'55" e distância de 2,27 m., até o vértice **865**, de coordenadas **N 8.273.102,99** m. e **E 193.529,68** m.; deste, segue com azimute de 171°57'31" e distância de 2,23 m., até o vértice **866**, de coordenadas **N 8.273.100,79** m. e **E 193.529,99** m.; deste, segue com azimute de 180°43'41" e distância de 3,71 m., até o vértice **867**, de coordenadas **N 8.273.097,08** m. e **E 193.529,94** m.; deste, segue com azimute de 190°54'17" e distância de 3,65 m., até o vértice **868**, de coordenadas **N 8.273.093,49** m. e **E 193.529,25** m.; deste, segue com azimute de 199°52'11" e distância de 3,64 m., até o vértice **869**, de coordenadas **N 8.273.090,07** m. e **E 193.528,02** m.; deste, segue com azimute de 207°34'37" e distância de 3,64 m., até o vértice **870**, de coordenadas **N 8.273.086,84** m. e **E 193.526,33** m.; deste, segue com azimute de 214°10'25" e distância de 3,63 m., até o vértice **871**, de coordenadas **N 8.273.083,84** m. e **E 193.524,29** m.; deste, segue com azimute de 219°53'30" e distância de 3,57 m., até o vértice **872**, de coordenadas **N 8.273.081,10** m. e **E 193.522,00** m.; deste, segue com azimute de 227°16'03" e distância de 2,24 m., até o vértice **873**, de coordenadas **N 8.273.079,58** m. e **E 193.520,35** m.; deste, segue com azimute de 234°14'43" e distância de 2,33 m., até o vértice **874**, de coordenadas **N 8.273.078,22** m. e **E 193.518,46** m.; deste, segue com azimute de 237°54'54"



SPL - PLC 0019/2019 folha 000411

e distância de 2,39 m., até o vértice **875**, de coordenadas **N 8.273.076,95** m. e **E 193.516,44** m.; deste, segue com azimute de 238°39'45" e distância de 2,42 m., até o vértice **876**, de coordenadas **N 8.273.075,69** m. e **E 193.514,37** m.; deste, segue com azimute de 236°37'19" e distância de 2,39 m., até o vértice **877**, de coordenadas **N 8.273.074,37** m. e **E 193.512,38** m.; deste, segue com azimute de 231°36'46" e distância de 2,34 m., até o vértice **878**, de coordenadas **N 8.273.072,92** m. e **E 193.510,54** m.; deste, segue com azimute de 226°46'19" e distância de 2,58 m., até o vértice **879**, de coordenadas **N 8.273.071,15** m. e **E 193.508,66** m.; deste, segue com azimute de 224°18'50" e distância de 2,59 m., até o vértice **880**, de coordenadas **N 8.273.069,30** m. e **E 193.506,85** m.; deste, segue com azimute de 221°53'14" e distância de 2,59 m., até o vértice **881**, de coordenadas **N 8.273.067,38** m. e **E 193.505,13** m.; deste, segue com azimute de 219°28'07" e distância de 2,58 m., até o vértice **882**, de coordenadas **N 8.273.065,38** m. e **E 193.503,49** m.; deste, segue com azimute de 217°02'13" e distância de 2,57 m., até o vértice **883**, de coordenadas **N 8.273.063,33** m. e **E 193.501,94** m.; deste, segue com azimute de 214°34'17" e distância de 2,55 m., até o vértice **884**, de coordenadas **N 8.273.061,23** m. e **E 193.500,49** m.; deste, segue com azimute de 210°37'31" e distância de 2,81 m., até o vértice **885**, de coordenadas **N 8.273.058,81** m. e **E 193.499,06** m.; deste, segue com azimute de 207°53'05" e distância de 2,82 m., até o vértice **886**, de coordenadas **N 8.273.056,32** m. e **E 193.497,74** m.; deste, segue com azimute de 209°07'30" e distância de 2,83 m., até o vértice **887**, de coordenadas **N 8.273.053,84** m. e **E 193.496,36** m.; deste, segue com azimute de 210°17'10" e distância de 2,43 m., até o vértice **888**, de coordenadas **N 8.273.051,75** m. e **E 193.495,13** m.; deste, segue com azimute de 209°48'01" e distância de 2,48 m., até o vértice **889**, de coordenadas **N 8.273.049,60** m. e **E 193.493,90** m.; deste, segue com azimute de 210°47'25" e distância de 2,49 m., até o vértice **890**, de coordenadas **N 8.273.047,46** m. e **E 193.492,63** m.; deste, segue com azimute de 213°18'01" e distância de 2,46 m., até o vértice **891**, de coordenadas **N 8.273.045,40** m. e **E 193.491,28** m.; deste, segue com azimute de 217°28'41" e distância de 2,40 m., até o vértice **892**, de coordenadas **N 8.273.043,50** m. e **E 193.489,82** m.; deste, segue com azimute de 223°35'23" e distância de 2,33 m., até o vértice **893**, de coordenadas **N 8.273.041,81** m. e **E 193.488,21** m.; deste, segue com azimute de 232°01'38" e distância de 2,10 m., até o vértice **894**, de coordenadas **N 8.273.040,52** m. e **E 193.486,56** m.; deste, segue com azimute de 239°22'43" e distância de 2,10 m., até o vértice **895**, de coordenadas **N 8.273.039,45** m. e **E 193.484,75** m.; deste, segue com azimute de 243°37'15" e distância de 2,12 m., até o vértice **896**, de coordenadas **N 8.273.038,51** m. e **E 193.482,85** m.; deste, segue com azimute de 244°49'10"



SFL - PLC 0019/2019 folha 000412

e distância de 2,14 m., até o vértice **897**, de coordenadas **N 8.273.037,60** m. e **E 193.480,91** m.; deste, segue com azimute de 243°02'38" e distância de 2,14 m., até o vértice **898**, de coordenadas **N 8.273.036,63** m. e **E 193.479,00** m.; deste, segue com azimute de 238°18'01" e distância de 2,14 m., até o vértice **899**, de coordenadas **N 8.273.035,50** m. e **E 193.477,18** m.; deste, segue com azimute de 232°07'06" e distância de 3,04 m., até o vértice **900**, de coordenadas **N 8.273.033,63** m. e **E 193.474,78** m.; deste, segue com azimute de 227°52'17" e distância de 3,09 m., até o vértice **901**, de coordenadas **N 8.273.031,56** m. e **E 193.472,49** m.; deste, segue com azimute de 225°36'14" e distância de 3,13 m., até o vértice **902**, de coordenadas **N 8.273.029,37** m. e **E 193.470,25** m.; deste, segue com azimute de 225°12'10" e distância de 3,16 m., até o vértice **903**, de coordenadas **N 8.273.027,15** m. e **E 193.468,01** m.; deste, segue com azimute de 226°37'20" e distância de 3,15 m., até o vértice **904**, de coordenadas **N 8.273.024,98** m. e **E 193.465,72** m.; deste, segue com azimute de 229°53'13" e distância de 3,14 m., até o vértice **905**, de coordenadas **N 8.273.022,96** m. e **E 193.463,32** m.; deste, segue com azimute de 234°17'51" e distância de 3,69 m., até o vértice **906**, de coordenadas **N 8.273.020,80** m. e **E 193.460,32** m.; deste, segue com azimute de 237°30'17" e distância de 3,72 m., até o vértice **907**, de coordenadas **N 8.273.018,80** m. e **E 193.457,18** m.; deste, segue com azimute de 239°07'57" e distância de 3,74 m., até o vértice **908**, de coordenadas **N 8.273.016,88** m. e **E 193.453,97** m.; deste, segue com azimute de 239°13'25" e distância de 3,75 m., até o vértice **909**, de coordenadas **N 8.273.014,96** m. e **E 193.450,74** m.; deste, segue com azimute de 237°47'17" e distância de 3,74 m., até o vértice **910**, de coordenadas **N 8.273.012,97** m. e **E 193.447,58** m.; deste, segue com azimute de 234°48'09" e distância de 3,73 m., até o vértice **911**, de coordenadas **N 8.273.010,82** m. e **E 193.444,53** m.; deste, segue com azimute de 231°35'53" e distância de 2,48 m., até o vértice **912**, de coordenadas **N 8.273.009,28** m. e **E 193.442,59** m.; deste, segue com azimute de 229°48'04" e distância de 2,49 m., até o vértice **913**, de coordenadas **N 8.273.007,67** m. e **E 193.440,68** m.; deste, segue com azimute de 228°50'54" e distância de 2,49 m., até o vértice **914**, de coordenadas **N 8.273.006,03** m. e **E 193.438,80** m.; deste, segue com azimute de 228°43'33" e distância de 2,49 m., até o vértice **915**, de coordenadas **N 8.273.004,38** m. e **E 193.436,93** m.; deste, segue com azimute de 229°26'30" e distância de 2,48 m., até o vértice **916**, de coordenadas **N 8.273.002,77** m. e **E 193.435,05** m.; deste, segue com azimute de 231°00'48" e distância de 2,45 m., até o vértice **917**, de coordenadas **N 8.273.001,23** m. e **E 193.433,14** m.; deste, segue com azimute de 233°27'42" e distância de 3,25 m., até o vértice **918**, de coordenadas **N 8.272.999,30** m. e **E 193.430,53** m.; deste, segue com azimute de 235°31'22"



SPL - PLC 0019/2019 folha 000413

e distância de 3,23 m., até o vértice **919**, de coordenadas **N 8.272.997,47** m. e **E 193.427,87** m.; deste, segue com azimute de 236°33'20" e distância de 3,21 m., até o vértice **920**, de coordenadas **N 8.272.995,70** m. e **E 193.425,20** m.; deste, segue com azimute de 236°32'24" e distância de 3,19 m., até o vértice **921**, de coordenadas **N 8.272.993,94** m. e **E 193.422,53** m.; deste, segue com azimute de 235°27'37" e distância de 0,72 m., até o vértice **922**, de coordenadas **N 8.272.993,53** m. e **E 193.421,94** m.; deste, segue com azimute de 235°27'22" e distância de 2,45 m., até o vértice **923**, de coordenadas **N 8.272.992,14** m. e **E 193.419,92** m.; deste, segue com azimute de 233°17'13" e distância de 3,16 m., até o vértice **924**, de coordenadas **N 8.272.990,26** m. e **E 193.417,39** m.; deste, segue com azimute de 230°45'26" e distância de 2,37 m., até o vértice **925**, de coordenadas **N 8.272.988,76** m. e **E 193.415,56** m.; deste, segue com azimute de 229°06'01" e distância de 2,35 m., até o vértice **926**, de coordenadas **N 8.272.987,22** m. e **E 193.413,78** m.; deste, segue com azimute de 228°14'10" e distância de 2,34 m., até o vértice **927**, de coordenadas **N 8.272.985,66** m. e **E 193.412,04** m.; deste, segue com azimute de 228°10'52" e distância de 2,35 m., até o vértice **928**, de coordenadas **N 8.272.984,10** m. e **E 193.410,29** m.; deste, segue com azimute de 228°56'02" e distância de 2,36 m., até o vértice **929**, de coordenadas **N 8.272.982,55** m. e **E 193.408,51** m.; deste, segue com azimute de 230°28'23" e distância de 2,38 m., até o vértice **930**, de coordenadas **N 8.272.981,03** m. e **E 193.406,67** m.; deste, segue com azimute de 229°05'35" e distância de 3,35 m., até o vértice **931**, de coordenadas **N 8.272.978,84** m. e **E 193.404,14** m.; deste, segue com azimute de 226°45'03" e distância de 3,46 m., até o vértice **932**, de coordenadas **N 8.272.976,47** m. e **E 193.401,62** m.; deste, segue com azimute de 227°42'44" e distância de 3,48 m., até o vértice **933**, de coordenadas **N 8.272.974,13** m. e **E 193.399,05** m.; deste, segue com azimute de 231°58'09" e distância de 3,43 m., até o vértice **934**, de coordenadas **N 8.272.972,02** m. e **E 193.396,35** m.; deste, segue com azimute de 174°28'06" e distância de 5,79 m., até o vértice **935**, de coordenadas **N 8.272.966,25** m. e **E 193.396,90** m.; deste, segue com azimute de 178°41'54" e distância de 6,99 m., até o vértice **936**, de coordenadas **N 8.272.959,27** m. e **E 193.397,06** m.; deste, segue com azimute de 150°15'18" e distância de 5,12 m., até o vértice **937**, de coordenadas **N 8.272.954,82** m. e **E 193.399,60** m.; deste, segue com azimute de 158°57'45" e distância de 4,42 m., até o vértice **938**, de coordenadas **N 8.272.950,69** m. e **E 193.401,19** m.; deste, segue com azimute de 185°31'37" e distância de 4,94 m., até o vértice **939**, de coordenadas **N 8.272.945,77** m. e **E 193.400,71** m.; deste, segue com azimute de 170°32'16" e distância de 5,79 m., até o vértice **940**, de coordenadas **N 8.272.940,06** m. e **E 193.401,67** m.; deste, segue com azimute de 171°15'14"



SFL - PLC 0019/2019 folha 000414

e distância de 6,26 m., até o vértice **941**, de coordenadas **N 8.272.933,87** m. e **E 193.402,62** m.; deste, segue com azimute de 171°52'14" e distância de 5,61 m., até o vértice **942**, de coordenadas **N 8.272.928,31** m. e **E 193.403,41** m.; deste, segue com azimute de 149°02'05" e distância de 2,78 m., até o vértice **943**, de coordenadas **N 8.272.925,93** m. e **E 193.404,84** m.; deste, segue com azimute de 144°27'48" e distância de 4,10 m., até o vértice **944**, de coordenadas **N 8.272.922,59** m. e **E 193.407,22** m.; deste, segue com azimute de 184°58'11" e distância de 3,66 m., até o vértice **945**, de coordenadas **N 8.272.918,94** m. e **E 193.406,91** m.; deste, segue com azimute de 169°06'51" e distância de 4,20 m., até o vértice **946**, de coordenadas **N 8.272.914,82** m. e **E 193.407,70** m.; deste, segue com azimute de 170°32'16" e distância de 3,86 m., até o vértice **947**, de coordenadas **N 8.272.911,01** m. e **E 193.408,33** m.; deste, segue com azimute de 227°17'29" e distância de 2,81 m., até o vértice **948**, de coordenadas **N 8.272.909,10** m. e **E 193.406,27** m.; deste, segue com azimute de 229°11'07" e distância de 4,61 m., até o vértice **949**, de coordenadas **N 8.272.906,08** m. e **E 193.402,78** m.; deste, segue com azimute de 239°37'13" e distância de 5,34 m., até o vértice **950**, de coordenadas **N 8.272.903,39** m. e **E 193.398,17** m.; deste, segue com azimute de 270°00'00" e distância de 2,54 m., até o vértice **951**, de coordenadas **N 8.272.903,39** m. e **E 193.395,63** m.; deste, segue com azimute de 261°23'06" e distância de 5,30 m., até o vértice **952**, de coordenadas **N 8.272.902,59** m. e **E 193.390,40** m.; deste, segue com azimute de 258°41'23" e distância de 5,67 m., até o vértice **953**, de coordenadas **N 8.272.901,48** m. e **E 193.384,84** m.; deste, segue com azimute de 301°25'49" e distância de 3,35 m., até o vértice **954**, de coordenadas **N 8.272.903,23** m. e **E 193.381,98** m.; deste, segue com azimute de 308°17'24" e distância de 3,84 m., até o vértice **955**, de coordenadas **N 8.272.905,61** m. e **E 193.378,97** m.; deste, segue com azimute de 279°39'35" e distância de 7,57 m., até o vértice **956**, de coordenadas **N 8.272.906,88** m. e **E 193.371,50** m.; deste, segue com azimute de 266°48'40" e distância de 8,80 m., até o vértice **957**, de coordenadas **N 8.272.906,39** m. e **E 193.362,72** m.; deste, segue com azimute de 322°13'58" e distância de 10,06 m., até o vértice **958**, de coordenadas **N 8.272.914,34** m. e **E 193.356,56** m.; deste, segue com azimute de 328°53'55" e distância de 3,41 m., até o vértice **959**, de coordenadas **N 8.272.917,26** m. e **E 193.354,80** m.; deste, segue com azimute de 328°53'49" e distância de 3,41 m., até o vértice **960**, de coordenadas **N 8.272.920,18** m. e **E 193.353,04** m.; deste, segue com azimute de 321°54'54" e distância de 3,37 m., até o vértice **961**, de coordenadas **N 8.272.922,83** m. e **E 193.350,96** m.; deste, segue com azimute de 312°06'51" e distância de 2,29 m., até o vértice **962**, de coordenadas **N 8.272.924,37** m. e **E 193.349,26** m.; deste, segue com azimute de 305°48'10"



SPL - PLC 0019/2019 folha 000415

e distância de 2,36 m., até o vértice **963**, de coordenadas **N 8.272.925,75** m. e **E 193.347,34** m.; deste, segue com azimute de 301°29'15" e distância de 2,41 m., até o vértice **964**, de coordenadas **N 8.272.927,01** m. e **E 193.345,29** m.; deste, segue com azimute de 298°52'38" e distância de 2,43 m., até o vértice **965**, de coordenadas **N 8.272.928,18** m. e **E 193.343,16** m.; deste, segue com azimute de 297°49'07" e distância de 2,40 m., até o vértice **966**, de coordenadas **N 8.272.929,30** m. e **E 193.341,03** m.; deste, segue com azimute de 298°18'03" e distância de 2,33 m., até o vértice **967**, de coordenadas **N 8.272.930,41** m. e **E 193.338,98** m.; deste, segue com azimute de 297°26'50" e distância de 3,23 m., até o vértice **968**, de coordenadas **N 8.272.931,90** m. e **E 193.336,11** m.; deste, segue com azimute de 295°47'20" e distância de 3,18 m., até o vértice **969**, de coordenadas **N 8.272.933,28** m. e **E 193.333,25** m.; deste, segue com azimute de 296°41'19" e distância de 3,13 m., até o vértice **970**, de coordenadas **N 8.272.934,69** m. e **E 193.330,45** m.; deste, segue com azimute de 300°38'33" e distância de 2,66 m., até o vértice **971**, de coordenadas **N 8.272.936,05** m. e **E 193.328,16** m.; deste, segue com azimute de 301°31'24" e distância de 2,63 m., até o vértice **972**, de coordenadas **N 8.272.937,42** m. e **E 193.325,92** m.; deste, segue com azimute de 295°40'25" e distância de 2,63 m., até o vértice **973**, de coordenadas **N 8.272.938,56** m. e **E 193.323,55** m.; deste, segue com azimute de 283°36'01" e distância de 3,19 m., até o vértice **974**, de coordenadas **N 8.272.939,31** m. e **E 193.320,45** m.; deste, segue com azimute de 277°20'59" e distância de 3,30 m., até o vértice **975**, de coordenadas **N 8.272.939,73** m. e **E 193.317,18** m.; deste, segue com azimute de 281°39'45" e distância de 3,31 m., até o vértice **976**, de coordenadas **N 8.272.940,40** m. e **E 193.313,94** m.; deste, segue com azimute de 290°25'03" e distância de 3,25 m., até o vértice **977**, de coordenadas **N 8.272.941,53** m. e **E 193.310,89** m.; deste, segue com azimute de 295°33'51" e distância de 3,34 m., até o vértice **978**, de coordenadas **N 8.272.942,98** m. e **E 193.307,88** m.; deste, segue com azimute de 299°21'47" e distância de 3,42 m., até o vértice **979**, de coordenadas **N 8.272.944,65** m. e **E 193.304,90** m.; deste, segue com azimute de 301°58'45" e distância de 3,46 m., até o vértice **980**, de coordenadas **N 8.272.946,49** m. e **E 193.301,96** m.; deste, segue com azimute de 303°32'28" e distância de 3,48 m., até o vértice **981**, de coordenadas **N 8.272.948,41** m. e **E 193.299,06** m.; deste, segue com azimute de 304°06'30" e distância de 3,45 m., até o vértice **982**, de coordenadas **N 8.272.950,34** m. e **E 193.296,21** m.; deste, segue com azimute de 301°20'15" e distância de 3,70 m., até o vértice **983**, de coordenadas **N 8.272.952,27** m. e **E 193.293,05** m.; deste, segue com azimute de 302°57'50" e distância de 3,72 m., até o vértice **984**, de coordenadas **N 8.272.954,29** m. e **E 193.289,93** m.; deste, segue com azimute de 315°46'28"



SPL - PLC 0019/2019 folha 000416

e distância de 3,54 m., até o vértice **985**, de coordenadas **N 8.272.956,83** m. e **E 193.287,46** m.; deste, segue com azimute de 336°43'43" e distância de 2,90 m., até o vértice **986**, de coordenadas **N 8.272.959,49** m. e **E 193.286,31** m.; deste, segue com azimute de 346°16'20" e distância de 2,09 m., até o vértice **987**, de coordenadas **N 8.272.961,52** m. e **E 193.285,82** m.; deste, segue com azimute de 346°16'24" e distância de 0,99 m., até o vértice **988**, de coordenadas **N 8.272.962,48** m. e **E 193.285,58** m.; deste, segue com azimute de 342°04'49" e distância de 3,02 m., até o vértice **989**, de coordenadas **N 8.272.965,36** m. e **E 193.284,65** m.; deste, segue com azimute de 332°04'07" e distância de 2,78 m., até o vértice **990**, de coordenadas **N 8.272.967,81** m. e **E 193.283,35** m.; deste, segue com azimute de 326°38'59" e distância de 2,79 m., até o vértice **991**, de coordenadas **N 8.272.970,14** m. e **E 193.281,82** m.; deste, segue com azimute de 322°25'59" e distância de 2,81 m., até o vértice **992**, de coordenadas **N 8.272.972,37** m. e **E 193.280,10** m.; deste, segue com azimute de 319°20'47" e distância de 2,81 m., até o vértice **993**, de coordenadas **N 8.272.974,50** m. e **E 193.278,27** m.; deste, segue com azimute de 317°19'57" e distância de 2,80 m., até o vértice **994**, de coordenadas **N 8.272.976,56** m. e **E 193.276,38** m.; deste, segue com azimute de 316°21'28" e distância de 2,76 m., até o vértice **995**, de coordenadas **N 8.272.978,56** m. e **E 193.274,47** m.; deste, segue com azimute de 312°27'47" e distância de 4,17 m., até o vértice **996**, de coordenadas **N 8.272.981,37** m. e **E 193.271,40** m.; deste, segue com azimute de 306°38'19" e distância de 4,17 m., até o vértice **997**, de coordenadas **N 8.272.983,86** m. e **E 193.268,05** m.; deste, segue com azimute de 303°26'09" e distância de 4,19 m., até o vértice **998**, de coordenadas **N 8.272.986,17** m. e **E 193.264,56** m.; deste, segue com azimute de 302°49'48" e distância de 4,20 m., até o vértice **999**, de coordenadas **N 8.272.988,44** m. e **E 193.261,03** m.; deste, segue com azimute de 304°47'41" e distância de 4,19 m., até o vértice **1000**, de coordenadas **N 8.272.990,83** m. e **E 193.257,59** m.; deste, segue com azimute de 309°20'55" e distância de 4,19 m., até o vértice **1001**, de coordenadas **N 8.272.993,49** m. e **E 193.254,35** m.; deste, segue com azimute de 314°43'25" e distância de 3,18 m., até o vértice **1002**, de coordenadas **N 8.272.995,73** m. e **E 193.252,09** m.; deste, segue com azimute de 317°57'22" e distância de 3,21 m., até o vértice **1003**, de coordenadas **N 8.272.998,11** m. e **E 193.249,94** m.; deste, segue com azimute de 319°22'44" e distância de 3,23 m., até o vértice **1004**, de coordenadas **N 8.273.000,56** m. e **E 193.247,84** m.; deste, segue com azimute de 319°02'21" e distância de 3,23 m., até o vértice **1005**, de coordenadas **N 8.273.003,00** m. e **E 193.245,73** m.; deste, segue com azimute de 316°55'49" e distância de 3,21 m., até o vértice **1006**, de coordenadas **N 8.273.005,34** m. e **E 193.243,54** m.; deste, segue com azimute de 312°59'32"



SFL - PLC 0019/2019 folha 000417

e distância de 3,18 m., até o vértice **1007**, de coordenadas **N 8.273.007,51** m. e **E 193.241,21** m.; deste, segue com azimute de 308°40'11" e distância de 3,65 m., até o vértice **1008**, de coordenadas **N 8.273.009,79** m. e **E 193.238,36** m.; deste, segue com azimute de 305°36'37" e distância de 3,66 m., até o vértice **1009**, de coordenadas **N 8.273.011,91** m. e **E 193.235,39** m.; deste, segue com azimute de 303°07'56" e distância de 3,67 m., até o vértice **1010**, de coordenadas **N 8.273.013,92** m. e **E 193.232,32** m.; deste, segue com azimute de 301°13'34" e distância de 3,68 m., até o vértice **1011**, de coordenadas **N 8.273.015,83** m. e **E 193.229,17** m.; deste, segue com azimute de 299°52'37" e distância de 3,68 m., até o vértice **1012**, de coordenadas **N 8.273.017,66** m. e **E 193.225,99** m.; deste, segue com azimute de 299°04'29" e distância de 3,67 m., até o vértice **1013**, de coordenadas **N 8.273.019,44** m. e **E 193.222,78** m.; deste, segue com azimute de 298°06'32" e distância de 3,37 m., até o vértice **1014**, de coordenadas **N 8.273.021,03** m. e **E 193.219,81** m.; deste, segue com azimute de 296°43'17" e distância de 3,38 m., até o vértice **1015**, de coordenadas **N 8.273.022,55** m. e **E 193.216,79** m.; deste, segue com azimute de 295°29'17" e distância de 3,38 m., até o vértice **1016**, de coordenadas **N 8.273.024,00** m. e **E 193.213,74** m.; deste, segue com azimute de 294°24'08" e distância de 3,39 m., até o vértice **1017**, de coordenadas **N 8.273.025,40** m. e **E 193.210,66** m.; deste, segue com azimute de 293°27'33" e distância de 3,39 m., até o vértice **1018**, de coordenadas **N 8.273.026,75** m. e **E 193.207,55** m.; deste, segue com azimute de 292°39'46" e distância de 3,38 m., até o vértice **1019**, de coordenadas **N 8.273.028,05** m. e **E 193.204,42** m.; deste, segue com azimute de 291°28'19" e distância de 3,24 m., até o vértice **1020**, de coordenadas **N 8.273.029,24** m. e **E 193.201,41** m.; deste, segue com azimute de 290°06'52" e distância de 3,25 m., até o vértice **1021**, de coordenadas **N 8.273.030,36** m. e **E 193.198,36** m.; deste, segue com azimute de 289°12'59" e distância de 3,25 m., até o vértice **1022**, de coordenadas **N 8.273.031,43** m. e **E 193.195,28** m.; deste, segue com azimute de 288°46'40" e distância de 3,26 m., até o vértice **1023**, de coordenadas **N 8.273.032,48** m. e **E 193.192,20** m.; deste, segue com azimute de 288°47'43" e distância de 3,25 m., até o vértice **1024**, de coordenadas **N 8.273.033,52** m. e **E 193.189,12** m.; deste, segue com azimute de 289°16'24" e distância de 3,25 m., até o vértice **1025**, de coordenadas **N 8.273.034,60** m. e **E 193.186,05** m.; deste, segue com azimute de 289°27'07" e distância de 4,48 m., até o vértice **1026**, de coordenadas **N 8.273.036,09** m. e **E 193.181,83** m.; deste, segue com azimute de 289°12'38" e distância de 4,48 m., até o vértice **1027**, de coordenadas **N 8.273.037,56** m. e **E 193.177,60** m.; deste, segue com azimute de 289°14'04" e distância de 4,48 m., até o vértice **1028**, de coordenadas **N 8.273.039,04** m. e **E 193.173,37** m.; deste, segue com azimute de 289°31'51"



SFL - PLC 0019/2019 folha 000418

e distância de 4,48 m., até o vértice **1029**, de coordenadas **N 8.273.040,54** m. e **E 193.169,15** m.; deste, segue com azimute de 290°05'34" e distância de 4,47 m., até o vértice **1030**, de coordenadas **N 8.273.042,07** m. e **E 193.164,95** m.; deste, segue com azimute de 290°55'37" e distância de 4,47 m., até o vértice **1031**, de coordenadas **N 8.273.043,67** m. e **E 193.160,77** m.; deste, segue com azimute de 294°10'22" e distância de 4,67 m., até o vértice **1032**, de coordenadas **N 8.273.045,58** m. e **E 193.156,51** m.; deste, segue com azimute de 297°38'57" e distância de 4,72 m., até o vértice **1033**, de coordenadas **N 8.273.047,77** m. e **E 193.152,33** m.; deste, segue com azimute de 298°13'48" e distância de 4,72 m., até o vértice **1034**, de coordenadas **N 8.273.050,00** m. e **E 193.148,17** m.; deste, segue com azimute de 295°56'00" e distância de 4,68 m., até o vértice **1035**, de coordenadas **N 8.273.052,05** m. e **E 193.143,96** m.; deste, segue com azimute de 290°38'13" e distância de 4,62 m., até o vértice **1036**, de coordenadas **N 8.273.053,68** m. e **E 193.139,64** m.; deste, segue com azimute de 282°15'48" e distância de 4,61 m., até o vértice **1037**, de coordenadas **N 8.273.054,66** m. e **E 193.135,14** m.; deste, segue com azimute de 273°12'26" e distância de 3,76 m., até o vértice **1038**, de coordenadas **N 8.273.054,87** m. e **E 193.131,39** m.; deste, segue com azimute de 269°09'00" e distância de 3,83 m., até o vértice **1039**, de coordenadas **N 8.273.054,81** m. e **E 193.127,56** m.; deste, segue com azimute de 270°27'08" e distância de 3,83 m., até o vértice **1040**, de coordenadas **N 8.273.054,84** m. e **E 193.123,73** m.; deste, segue com azimute de 275°57'44" e distância de 3,80 m., até o vértice **1041**, de coordenadas **N 8.273.055,23** m. e **E 193.119,95** m.; deste, segue com azimute de 280°05'34" e distância de 3,85 m., até o vértice **1042**, de coordenadas **N 8.273.055,91** m. e **E 193.116,17** m.; deste, segue com azimute de 281°20'46" e distância de 3,86 m., até o vértice **1043**, de coordenadas **N 8.273.056,67** m. e **E 193.112,38** m.; deste, segue com azimute de 279°47'34" e distância de 3,83 m., até o vértice **1044**, de coordenadas **N 8.273.057,32** m. e **E 193.108,61** m.; deste, segue com azimute de 275°18'40" e distância de 3,76 m., até o vértice **1045**, de coordenadas **N 8.273.057,67** m. e **E 193.104,87** m.; deste, segue com azimute de 267°42'43" e distância de 3,71 m., até o vértice **1046**, de coordenadas **N 8.273.057,52** m. e **E 193.101,16** m.; deste, segue com azimute de 258°06'11" e distância de 3,22 m., até o vértice **1047**, de coordenadas **N 8.273.056,86** m. e **E 193.098,01** m.; deste, segue com azimute de 250°57'21" e distância de 3,28 m., até o vértice **1048**, de coordenadas **N 8.273.055,78** m. e **E 193.094,91** m.; deste, segue com azimute de 247°12'48" e distância de 3,35 m., até o vértice **1049**, de coordenadas **N 8.273.054,49** m. e **E 193.091,82** m.; deste, segue com azimute de 246°36'50" e distância de 3,37 m., até o vértice **1050**, de coordenadas **N 8.273.053,15** m. e **E 193.088,73** m.; deste, segue com azimute de 249°04'25"



SFL - PLC 0019/2019 folha 000419

e distância de 3,34 m., até o vértice **1051**, de coordenadas **N 8.273.051,96** m. e **E 193.085,61** m.; deste, segue com azimute de 254°44'16" e distância de 3,29 m., até o vértice **1052**, de coordenadas **N 8.273.051,09** m. e **E 193.082,43** m.; deste, segue com azimute de 261°59'21" e distância de 3,44 m., até o vértice **1053**, de coordenadas **N 8.273.050,61** m. e **E 193.079,02** m.; deste, segue com azimute de 266°56'10" e distância de 3,48 m., até o vértice **1054**, de coordenadas **N 8.273.050,42** m. e **E 193.075,55** m.; deste, segue com azimute de 269°31'17" e distância de 3,51 m., até o vértice **1055**, de coordenadas **N 8.273.050,39** m. e **E 193.072,04** m.; deste, segue com azimute de 269°50'53" e distância de 3,51 m., até o vértice **1056**, de coordenadas **N 8.273.050,39** m. e **E 193.068,53** m.; deste, segue com azimute de 267°55'16" e distância de 3,47 m., até o vértice **1057**, de coordenadas **N 8.273.050,26** m. e **E 193.065,06** m.; deste, segue com azimute de 263°37'57" e distância de 3,42 m., até o vértice **1058**, de coordenadas **N 8.273.049,88** m. e **E 193.061,66** m.; deste, segue com azimute de 256°45'39" e distância de 3,49 m., até o vértice **1059**, de coordenadas **N 8.273.049,08** m. e **E 193.058,27** m.; deste, segue com azimute de 251°14'21" e distância de 3,50 m., até o vértice **1060**, de coordenadas **N 8.273.047,96** m. e **E 193.054,95** m.; deste, segue com azimute de 249°07'30" e distância de 3,50 m., até o vértice **1061**, de coordenadas **N 8.273.046,71** m. e **E 193.051,68** m.; deste, segue com azimute de 250°23'00" e distância de 3,48 m., até o vértice **1062**, de coordenadas **N 8.273.045,54** m. e **E 193.048,40** m.; deste, segue com azimute de 255°05'32" e distância de 3,45 m., até o vértice **1063**, de coordenadas **N 8.273.044,65** m. e **E 193.045,07** m.; deste, segue com azimute de 263°18'51" e distância de 3,45 m., até o vértice **1064**, de coordenadas **N 8.273.044,25** m. e **E 193.041,64** m.; deste, segue com azimute de 274°32'25" e distância de 2,35 m., até o vértice **1065**, de coordenadas **N 8.273.044,44** m. e **E 193.039,30** m.; deste, segue com azimute de 282°34'37" e distância de 2,44 m., até o vértice **1066**, de coordenadas **N 8.273.044,97** m. e **E 193.036,91** m.; deste, segue com azimute de 285°14'39" e distância de 2,50 m., até o vértice **1067**, de coordenadas **N 8.273.045,62** m. e **E 193.034,50** m.; deste, segue com azimute de 283°02'59" e distância de 2,48 m., até o vértice **1068**, de coordenadas **N 8.273.046,18** m. e **E 193.032,09** m.; deste, segue com azimute de 275°42'27" e distância de 2,41 m., até o vértice **1069**, de coordenadas **N 8.273.046,42** m. e **E 193.029,70** m.; deste, segue com azimute de 262°41'51" e distância de 2,38 m., até o vértice **1070**, de coordenadas **N 8.273.046,12** m. e **E 193.027,34** m.; deste, segue com azimute de 248°01'23" e distância de 2,35 m., até o vértice **1071**, de coordenadas **N 8.273.045,24** m. e **E 193.025,16** m.; deste, segue com azimute de 241°44'48" e distância de 2,45 m., até o vértice **1072**, de coordenadas **N 8.273.044,08** m. e **E 193.023,00** m.; deste, segue com azimute de 244°04'08"



SPL - PLC 0019/2019 folha 000420

e distância de 2,43 m., até o vértice **1073**, de coordenadas **N 8.273.043,02** m. e **E 193.020,82** m.; deste, segue com azimute de 250°25'56" e distância de 2,61 m., até o vértice **1074**, de coordenadas **N 8.273.042,15** m. e **E 193.018,37** m.; deste, segue com azimute de 253°10'28" e distância de 2,59 m., até o vértice **1075**, de coordenadas **N 8.273.041,40** m. e **E 193.015,89** m.; deste, segue com azimute de 253°10'35" e distância de 2,59 m., até o vértice **1076**, de coordenadas **N 8.273.040,65** m. e **E 193.013,41** m.; ponto situado às margens do Córrego Bananal deste, segue margeando o Córrego Bananal, até o vértice **1077**, de coordenadas **N 8.271.871,42** m. e **E 193.164,11** m.; deste, segue com azimute de 196°13'44" e distância de 2,57 m., até o vértice **1078**, de coordenadas **N 8.271.868,95** m. e **E 193.163,39** m.; deste, segue com azimute de 198°21'44" e distância de 2,56 m., até o vértice **1079**, de coordenadas **N 8.271.866,52** m. e **E 193.162,59** m.; deste, segue com azimute de 200°32'37" e distância de 2,55 m., até o vértice **1080**, de coordenadas **N 8.271.864,13** m. e **E 193.161,69** m.; deste, segue com azimute de 203°37'39" e distância de 3,43 m., até o vértice **1081**, de coordenadas **N 8.271.860,98** m. e **E 193.160,31** m.; deste, segue com azimute de 206°28'41" e distância de 3,45 m., até o vértice **1082**, de coordenadas **N 8.271.857,89** m. e **E 193.158,78** m.; deste, segue com azimute de 207°45'37" e distância de 3,44 m., até o vértice **1083**, de coordenadas **N 8.271.854,85** m. e **E 193.157,17** m.; deste, segue com azimute de 213°55'10" e distância de 3,82 m., até o vértice **1084**, de coordenadas **N 8.271.851,68** m. e **E 193.155,04** m.; deste, segue com azimute de 215°17'15" e distância de 3,82 m., até o vértice **1085**, de coordenadas **N 8.271.848,56** m. e **E 193.152,83** m.; deste, segue com azimute de 199°58'26" e distância de 3,54 m., até o vértice **1086**, de coordenadas **N 8.271.845,23** m. e **E 193.151,62** m.; deste, segue com azimute de 174°48'35" e distância de 2,91 m., até o vértice **1087**, de coordenadas **N 8.271.842,33** m. e **E 193.151,89** m.; deste, segue com azimute de 163°27'41" e distância de 3,16 m., até o vértice **1088**, de coordenadas **N 8.271.839,30** m. e **E 193.152,79** m.; deste, segue com azimute de 164°04'37" e distância de 3,15 m., até o vértice **1089**, de coordenadas **N 8.271.836,27** m. e **E 193.153,65** m.; deste, segue com azimute de 167°53'09" e distância de 2,92 m., até o vértice **1090**, de coordenadas **N 8.271.833,41** m. e **E 193.154,26** m.; deste, segue com azimute de 167°44'34" e distância de 2,93 m., até o vértice **1091**, de coordenadas **N 8.271.830,55** m. e **E 193.154,89** m.; deste, segue com azimute de 168°21'08" e distância de 2,93 m., até o vértice **1092**, de coordenadas **N 8.271.827,69** m. e **E 193.155,48** m.; deste, segue com azimute de 169°42'47" e distância de 2,92 m., até o vértice **1093**, de coordenadas **N 8.271.824,81** m. e **E 193.156,00** m.; deste, segue com azimute de 171°50'34" e distância de 2,91 m., até o vértice **1094**, de coordenadas **N 8.271.821,93** m. e **E 193.156,41** m.; deste,



SFL - PLC 0019/2019 folha 000421

segue com azimute de 174°45'13" e distância de 2,90 m., até o vértice **1095**, de coordenadas **N 8.271.819,05** m. e **E 193.156,68** m.; deste, segue com azimute de 176°05'00" e distância de 2,80 m., até o vértice **1096**, de coordenadas **N 8.271.816,25** m. e **E 193.156,87** m.; deste, segue com azimute de 176°25'46" e distância de 2,85 m., até o vértice **1097**, de coordenadas **N 8.271.813,41** m. e **E 193.157,04** m.; deste, segue com azimute de 178°25'31" e distância de 2,85 m., até o vértice **1098**, de coordenadas **N 8.271.810,56** m. e **E 193.157,12** m.; deste, segue com azimute de 182°08'42" e distância de 2,82 m., até o vértice **1099**, de coordenadas **N 8.271.807,74** m. e **E 193.157,02** m.; deste, segue com azimute de 187°45'07" e distância de 2,77 m., até o vértice **1100**, de coordenadas **N 8.271.805,00** m. e **E 193.156,64** m.; deste, segue com azimute de 195°24'12" e distância de 2,74 m., até o vértice **1101**, de coordenadas **N 8.271.802,36** m. e **E 193.155,92** m.; deste, segue com azimute de 206°07'37" e distância de 3,80 m., até o vértice **1102**, de coordenadas **N 8.271.798,94** m. e **E 193.154,24** m.; deste, segue com azimute de 213°30'09" e distância de 3,94 m., até o vértice **1103**, de coordenadas **N 8.271.795,66** m. e **E 193.152,07** m.; deste, segue com azimute de 214°14'45" e distância de 3,94 m., até o vértice **1104**, de coordenadas **N 8.271.792,40** m. e **E 193.149,85** m.; deste, segue com azimute de 210°05'20" e distância de 4,69 m., até o vértice **1105**, de coordenadas **N 8.271.788,34** m. e **E 193.147,50** m.; deste, segue com azimute de 207°39'07" e distância de 4,78 m., até o vértice **1106**, de coordenadas **N 8.271.784,11** m. e **E 193.145,28** m.; deste, segue com azimute de 208°31'07" e distância de 4,77 m., até o vértice **1107**, de coordenadas **N 8.271.779,91** m. e **E 193.143,00** m.; deste, segue com azimute de 212°44'45" e distância de 4,68 m., até o vértice **1108**, de coordenadas **N 8.271.775,97** m. e **E 193.140,47** m.; deste, segue com azimute de 220°40'22" e distância de 4,58 m., até o vértice **1109**, de coordenadas **N 8.271.772,50** m. e **E 193.137,49** m.; deste, segue com azimute de 232°26'37" e distância de 4,57 m., até o vértice **1110**, de coordenadas **N 8.271.769,72** m. e **E 193.133,86** m.; deste, segue com azimute de 239°58'56" e distância de 2,21 m., até o vértice **1111**, de coordenadas **N 8.271.768,61** m. e **E 193.131,95** m.; deste, segue com azimute de 241°58'56" e distância de 2,30 m., até o vértice **1112**, de coordenadas **N 8.271.767,53** m. e **E 193.129,92** m.; deste, segue com azimute de 245°12'18" e distância de 2,34 m., até o vértice **1113**, de coordenadas **N 8.271.766,55** m. e **E 193.127,79** m.; deste, segue com azimute de 249°47'52" e distância de 2,34 m., até o vértice **1114**, de coordenadas **N 8.271.765,74** m. e **E 193.125,60** m.; deste, segue com azimute de 256°00'24" e distância de 2,31 m., até o vértice **1115**, de coordenadas **N 8.271.765,19** m. e **E 193.123,36** m.; deste, segue com azimute de 264°07'37" e distância de 2,27 m., até o vértice **1116**, de coordenadas **N 8.271.764,95** m. e **E 193.121,11** m.; deste,



SPL - PLC 0019/2019 folha 000422

segue com azimute de 270°41'41" e distância de 2,61 m., até o vértice **1117**, de coordenadas **N 8.271.764,98** m. e **E 193.118,50** m.; deste, segue com azimute de 277°15'58" e distância de 2,68 m., até o vértice **1118**, de coordenadas **N 8.271.765,32** m. e **E 193.115,84** m.; deste, segue com azimute de 289°18'50" e distância de 2,62 m., até o vértice **1119**, de coordenadas **N 8.271.766,19** m. e **E 193.113,37** m.; deste, segue com azimute de 301°35'34" e distância de 2,29 m., até o vértice **1120**, de coordenadas **N 8.271.767,39** m. e **E 193.111,42** m.; deste, segue com azimute de 313°33'26" e distância de 2,27 m., até o vértice **1121**, de coordenadas **N 8.271.768,96** m. e **E 193.109,77** m.; deste, segue com azimute de 336°06'33" e distância de 2,36 m., até o vértice **1122**, de coordenadas **N 8.271.771,11** m. e **E 193.108,81** m.; deste, segue com azimute de 342°11'48" e distância de 2,44 m., até o vértice **1123**, de coordenadas **N 8.271.773,44** m. e **E 193.108,07** m.; deste, segue com azimute de 337°18'22" e distância de 2,51 m., até o vértice **1124**, de coordenadas **N 8.271.775,75** m. e **E 193.107,10** m.; deste, segue com azimute de 333°57'14" e distância de 2,50 m., até o vértice **1125**, de coordenadas **N 8.271.778,00** m. e **E 193.106,00** m.; deste, segue com azimute de 320°06'36" e distância de 2,37 m., até o vértice **1126**, de coordenadas **N 8.271.779,82** m. e **E 193.104,48** m.; deste, segue com azimute de 298°54'19" e distância de 2,91 m., até o vértice **1127**, de coordenadas **N 8.271.781,23** m. e **E 193.101,93** m.; deste, segue com azimute de 287°03'36" e distância de 2,90 m., até o vértice **1128**, de coordenadas **N 8.271.782,08** m. e **E 193.099,16** m.; deste, segue com azimute de 274°44'40" e distância de 2,51 m., até o vértice **1129**, de coordenadas **N 8.271.782,29** m. e **E 193.096,65** m.; deste, segue com azimute de 259°21'39" e distância de 2,48 m., até o vértice **1130**, de coordenadas **N 8.271.781,83** m. e **E 193.094,22** m.; deste, segue com azimute de 247°05'31" e distância de 2,53 m., até o vértice **1131**, de coordenadas **N 8.271.780,84** m. e **E 193.091,89** m.; deste, segue com azimute de 237°53'43" e distância de 2,58 m., até o vértice **1132**, de coordenadas **N 8.271.779,47** m. e **E 193.089,70** m.; deste, segue com azimute de 231°06'31" e distância de 2,58 m., até o vértice **1133**, de coordenadas **N 8.271.777,85** m. e **E 193.087,69** m.; deste, segue com azimute de 226°04'05" e distância de 2,50 m., até o vértice **1134**, de coordenadas **N 8.271.776,11** m. e **E 193.085,89** m.; deste, segue com azimute de 219°06'12" e distância de 2,55 m., até o vértice **1135**, de coordenadas **N 8.271.774,14** m. e **E 193.084,28** m.; deste, segue com azimute de 212°27'18" e distância de 2,65 m., até o vértice **1136**, de coordenadas **N 8.271.771,90** m. e **E 193.082,85** m.; deste, segue com azimute de 209°24'16" e distância de 2,64 m., até o vértice **1137**, de coordenadas **N 8.271.769,60** m. e **E 193.081,56** m.; deste, segue com azimute de 206°09'26" e distância de 2,05 m., até o vértice **1138**, de coordenadas **N 8.271.767,75** m. e **E 193.080,65** m.; deste,



SPL - PLC 0019/2019 folha 000423

segue com azimute de 201°49'51" e distância de 2,06 m., até o vértice **1139**, de coordenadas **N 8.271.765,84** m. e **E 193.079,89** m.; deste, segue com azimute de 199°21'28" e distância de 2,07 m., até o vértice **1140**, de coordenadas **N 8.271.763,89** m. e **E 193.079,20** m.; deste, segue com azimute de 198°42'23" e distância de 2,07 m., até o vértice **1141**, de coordenadas **N 8.271.761,93** m. e **E 193.078,54** m.; deste, segue com azimute de 199°52'02" e distância de 2,06 m., até o vértice **1142**, de coordenadas **N 8.271.759,99** m. e **E 193.077,84** m.; deste, segue com azimute de 202°51'26" e distância de 2,06 m., até o vértice **1143**, de coordenadas **N 8.271.758,09** m. e **E 193.077,04** m.; deste, segue com azimute de 207°09'32" e distância de 3,04 m., até o vértice **1144**, de coordenadas **N 8.271.755,39** m. e **E 193.075,65** m.; deste, segue com azimute de 210°27'48" e distância de 3,05 m., até o vértice **1145**, de coordenadas **N 8.271.752,76** m. e **E 193.074,11** m.; deste, segue com azimute de 212°11'34" e distância de 3,05 m., até o vértice **1146**, de coordenadas **N 8.271.750,18** m. e **E 193.072,48** m.; deste, segue com azimute de 212°21'21" e distância de 3,05 m., até o vértice **1147**, de coordenadas **N 8.271.747,60** m. e **E 193.070,84** m.; deste, segue com azimute de 210°57'47" e distância de 3,04 m., até o vértice **1148**, de coordenadas **N 8.271.744,99** m. e **E 193.069,28** m.; deste, segue com azimute de 207°59'11" e distância de 3,03 m., até o vértice **1149**, de coordenadas **N 8.271.742,31** m. e **E 193.067,85** m.; deste, segue com azimute de 204°16'39" e distância de 0,58 m., até o vértice **1150**, de coordenadas **N 8.271.741,78** m. e **E 193.067,61** m.; deste, segue com azimute de 204°16'57" e distância de 2,67 m., até o vértice **1151**, de coordenadas **N 8.271.739,35** m. e **E 193.066,52** m.; deste, segue com azimute de 201°39'13" e distância de 3,25 m., até o vértice **1152**, de coordenadas **N 8.271.736,32** m. e **E 193.065,32** m.; deste, segue com azimute de 200°07'56" e distância de 3,26 m., até o vértice **1153**, de coordenadas **N 8.271.733,27** m. e **E 193.064,20** m.; deste, segue com azimute de 199°42'44" e distância de 3,26 m., até o vértice **1154**, de coordenadas **N 8.271.730,20** m. e **E 193.063,10** m.; deste, segue com azimute de 200°23'38" e distância de 3,26 m., até o vértice **1155**, de coordenadas **N 8.271.727,14** m. e **E 193.061,96** m.; deste, segue com azimute de 202°10'21" e distância de 3,26 m., até o vértice **1156**, de coordenadas **N 8.271.724,12** m. e **E 193.060,73** m.; deste, segue com azimute de 204°28'24" e distância de 3,29 m., até o vértice **1157**, de coordenadas **N 8.271.721,13** m. e **E 193.059,37** m.; deste, segue com azimute de 205°59'53" e distância de 3,29 m., até o vértice **1158**, de coordenadas **N 8.271.718,17** m. e **E 193.057,92** m.; deste, segue com azimute de 206°40'31" e distância de 3,30 m., até o vértice **1159**, de coordenadas **N 8.271.715,22** m. e **E 193.056,44** m.; deste, segue com azimute de 206°30'39" e distância de 3,30 m., até o vértice **1160**, de coordenadas **N 8.271.712,27** m. e **E 193.054,97** m.; deste,



SPL - PLC 0019/2019 folha 000424

segue com azimute de 205°30'22" e distância de 3,30 m., até o vértice **1161**, de coordenadas **N 8.271.709,29** m. e **E 193.053,55** m.; deste, segue com azimute de 203°39'36" e distância de 3,30 m., até o vértice **1162**, de coordenadas **N 8.271.706,27** m. e **E 193.052,23** m.; deste, segue com azimute de 203°33'23" e distância de 3,08 m., até o vértice **1163**, de coordenadas **N 8.271.703,45** m. e **E 193.051,00** m.; deste, segue com azimute de 202°37'42" e distância de 3,08 m., até o vértice **1164**, de coordenadas **N 8.271.700,61** m. e **E 193.049,81** m.; deste, segue com azimute de 196°55'58" e distância de 3,05 m., até o vértice **1165**, de coordenadas **N 8.271.697,69** m. e **E 193.048,93** m.; deste, segue com azimute de 187°34'50" e distância de 2,46 m., até o vértice **1166**, de coordenadas **N 8.271.695,26** m. e **E 193.048,60** m.; deste, segue com azimute de 183°03'07" e distância de 2,49 m., até o vértice **1167**, de coordenadas **N 8.271.692,77** m. e **E 193.048,47** m.; deste, segue com azimute de 186°04'34" e distância de 2,48 m., até o vértice **1168**, de coordenadas **N 8.271.690,31** m. e **E 193.048,21** m.; deste, segue com azimute de 195°02'13" e distância de 2,66 m., até o vértice **1169**, de coordenadas **N 8.271.687,73** m. e **E 193.047,52** m.; deste, segue com azimute de 191°42'17" e distância de 2,63 m., até o vértice **1170**, de coordenadas **N 8.271.685,16** m. e **E 193.046,98** m.; deste, segue com azimute de 174°38'34" e distância de 2,43 m., até o vértice **1171**, de coordenadas **N 8.271.682,74** m. e **E 193.047,21** m.; deste, segue com azimute de 173°36'50" e distância de 2,41 m., até o vértice **1172**, de coordenadas **N 8.271.680,34** m. e **E 193.047,48** m.; deste, segue com azimute de 191°34'46" e distância de 3,74 m., até o vértice **1173**, de coordenadas **N 8.271.676,68** m. e **E 193.046,73** m.; deste, segue com azimute de 203°51'17" e distância de 3,81 m., até o vértice **1174**, de coordenadas **N 8.271.673,19** m. e **E 193.045,18** m.; deste, segue com azimute de 203°43'33" e distância de 3,81 m., até o vértice **1175**, de coordenadas **N 8.271.669,70** m. e **E 193.043,65** m.; deste, segue com azimute de 199°41'24" e distância de 2,36 m., até o vértice **1176**, de coordenadas **N 8.271.667,47** m. e **E 193.042,85** m.; deste, segue com azimute de 199°46'42" e distância de 2,37 m., até o vértice **1177**, de coordenadas **N 8.271.665,25** m. e **E 193.042,05** m.; deste, segue com azimute de 199°41'47" e distância de 2,37 m., até o vértice **1178**, de coordenadas **N 8.271.663,02** m. e **E 193.041,25** m.; deste, segue com azimute de 199°26'28" e distância de 2,36 m., até o vértice **1179**, de coordenadas **N 8.271.660,79** m. e **E 193.040,47** m.; deste, segue com azimute de 199°01'00" e distância de 2,36 m., até o vértice **1180**, de coordenadas **N 8.271.658,56** m. e **E 193.039,70** m.; deste, segue com azimute de 198°25'08" e distância de 2,36 m., até o vértice **1181**, de coordenadas **N 8.271.656,32** m. e **E 193.038,95** m.; deste, segue com azimute de 196°07'34" e distância de 2,95 m., até o vértice **1182**, de coordenadas **N 8.271.653,48** m. e **E 193.038,13** m.; deste,



SPL - PLC 0019/2019 folha 000425

segue com azimute de 195°35'38" e distância de 2,95 m., até o vértice **1183**, de coordenadas **N 8.271.650,64** m. e **E 193.037,34** m.; deste, segue com azimute de 200°06'27" e distância de 2,92 m., até o vértice **1184**, de coordenadas **N 8.271.647,91** m. e **E 193.036,34** m.; deste, segue com azimute de 206°48'11" e distância de 3,91 m., até o vértice **1185**, de coordenadas **N 8.271.644,42** m. e **E 193.034,58** m.; deste, segue com azimute de 212°48'50" e distância de 3,94 m., até o vértice **1186**, de coordenadas **N 8.271.641,11** m. e **E 193.032,44** m.; deste, segue com azimute de 220°08'13" e distância de 3,89 m., até o vértice **1187**, de coordenadas **N 8.271.638,14** m. e **E 193.029,94** m.; deste, segue com azimute de 227°51'44" e distância de 3,00 m., até o vértice **1188**, de coordenadas **N 8.271.636,12** m. e **E 193.027,71** m.; deste, segue com azimute de 233°28'56" e distância de 3,05 m., até o vértice **1189**, de coordenadas **N 8.271.634,31** m. e **E 193.025,26** m.; deste, segue com azimute de 237°24'22" e distância de 3,04 m., até o vértice **1190**, de coordenadas **N 8.271.632,67** m. e **E 193.022,70** m.; deste, segue com azimute de 242°59'07" e distância de 2,73 m., até o vértice **1191**, de coordenadas **N 8.271.631,43** m. e **E 193.020,26** m.; deste, segue com azimute de 246°30'29" e distância de 2,76 m., até o vértice **1192**, de coordenadas **N 8.271.630,33** m. e **E 193.017,73** m.; deste, segue com azimute de 243°08'23" e distância de 2,73 m., até o vértice **1193**, de coordenadas **N 8.271.629,09** m. e **E 193.015,29** m.; deste, segue com azimute de 235°23'09" e distância de 3,70 m., até o vértice **1194**, de coordenadas **N 8.271.626,99** m. e **E 193.012,25** m.; deste, segue com azimute de 230°45'30" e distância de 3,72 m., até o vértice **1195**, de coordenadas **N 8.271.624,64** m. e **E 193.009,36** m.; deste, segue com azimute de 230°17'39" e distância de 3,72 m., até o vértice **1196**, de coordenadas **N 8.271.622,26** m. e **E 193.006,50** m.; deste, segue com azimute de 232°11'17" e distância de 3,34 m., até o vértice **1197**, de coordenadas **N 8.271.620,21** m. e **E 193.003,86** m.; deste, segue com azimute de 231°46'19" e distância de 3,34 m., até o vértice **1198**, de coordenadas **N 8.271.618,14** m. e **E 193.001,23** m.; deste, segue com azimute de 228°29'01" e distância de 3,33 m., até o vértice **1199**, de coordenadas **N 8.271.615,93** m. e **E 192.998,74** m.; deste, segue com azimute de 221°54'37" e distância de 3,73 m., até o vértice **1200**, de coordenadas **N 8.271.613,16** m. e **E 192.996,25** m.; deste, segue com azimute de 218°12'18" e distância de 3,75 m., até o vértice **1201**, de coordenadas **N 8.271.610,21** m. e **E 192.993,93** m.; deste, segue com azimute de 220°43'06" e distância de 3,74 m., até o vértice **1202**, de coordenadas **N 8.271.607,37** m. e **E 192.991,49** m.; deste, segue com azimute de 225°59'18" e distância de 2,00 m., até o vértice **1203**, de coordenadas **N 8.271.605,98** m. e **E 192.990,05** m.; deste, segue com azimute de 228°49'18" e distância de 2,01 m., até o vértice **1204**, de coordenadas **N 8.271.604,66** m. e **E 192.988,53** m.; deste,



SFL - PLC 0019/2019 folha 000426

segue com azimute de 230°09'55" e distância de 2,02 m., até o vértice **1205**, de coordenadas **N 8.271.603,36** m. e **E 192.986,98** m.; deste, segue com azimute de 230°02'28" e distância de 2,01 m., até o vértice **1206**, de coordenadas **N 8.271.602,07** m. e **E 192.985,44** m.; deste, segue com azimute de 226°52'54" e distância de 4,00 m., até o vértice **1207**, de coordenadas **N 8.271.599,34** m. e **E 192.982,52** m.; deste, segue com azimute de 220°36'05" e distância de 3,49 m., até o vértice **1208**, de coordenadas **N 8.271.596,69** m. e **E 192.980,25** m.; deste, segue com azimute de 216°15'50" e distância de 3,49 m., até o vértice **1209**, de coordenadas **N 8.271.593,87** m. e **E 192.978,18** m.; deste, segue com azimute de 213°23'40" e distância de 3,51 m., até o vértice **1210**, de coordenadas **N 8.271.590,94** m. e **E 192.976,25** m.; deste, segue com azimute de 211°58'10" e distância de 3,52 m., até o vértice **1211**, de coordenadas **N 8.271.587,96** m. e **E 192.974,39** m.; deste, segue com azimute de 211°58'11" e distância de 3,52 m., até o vértice **1212**, de coordenadas **N 8.271.584,97** m. e **E 192.972,53** m.; deste, segue com azimute de 213°23'35" e distância de 3,51 m., até o vértice **1213**, de coordenadas **N 8.271.582,04** m. e **E 192.970,59** m.; deste, segue com azimute de 193°23'32" e distância de 1,42 m., até o vértice **1214**, de coordenadas **N 8.271.580,66** m. e **E 192.970,26** m.; deste, segue com azimute de 243°10'38" e distância de 0,59 m., até o vértice **1215**, de coordenadas **N 8.271.580,39** m. e **E 192.969,74** m.; deste, segue com azimute de 242°51'04" e distância de 5,13 m., até o vértice **1216**, de coordenadas **N 8.271.578,06** m. e **E 192.965,18** m.; deste, segue com azimute de 239°47'17" e distância de 3,48 m., até o vértice **1217**, de coordenadas **N 8.271.576,30** m. e **E 192.962,17** m.; deste, segue com azimute de 237°27'48" e distância de 5,06 m., até o vértice **1218**, de coordenadas **N 8.271.573,58** m. e **E 192.957,90** m.; deste, segue com azimute de 229°13'04" e distância de 5,42 m., até o vértice **1219**, de coordenadas **N 8.271.570,04** m. e **E 192.953,80** m.; deste, segue com azimute de 212°44'27" e distância de 5,25 m., até o vértice **1220**, de coordenadas **N 8.271.565,62** m. e **E 192.950,96** m.; deste, segue com azimute de 190°40'49" e distância de 1,87 m., até o vértice **1221**, de coordenadas **N 8.271.563,78** m. e **E 192.950,61** m.; deste, segue com azimute de 190°40'42" e distância de 2,95 m., até o vértice **1222**, de coordenadas **N 8.271.560,89** m. e **E 192.950,06** m.; deste, segue com azimute de 189°02'54" e distância de 5,24 m., até o vértice **1223**, de coordenadas **N 8.271.555,71** m. e **E 192.949,24** m.; deste, segue com azimute de 202°03'16" e distância de 3,06 m., até o vértice **1224**, de coordenadas **N 8.271.552,88** m. e **E 192.948,09** m.; deste, segue com azimute de 209°39'26" e distância de 5,16 m., até o vértice **1225**, de coordenadas **N 8.271.548,40** m. e **E 192.945,54** m.; deste, segue com azimute de 214°29'48" e distância de 5,15 m., até o vértice **1226**, de coordenadas **N 8.271.544,15** m. e **E 192.942,62** m.; deste,



SEL - PLC 0019/2019 folha 000427

segue com azimute de 216°25'54" e distância de 1,28 m., até o vértice **1227**, de coordenadas **N 8.271.543,12** m. e **E 192.941,86** m.; deste, segue com azimute de 221°00'45" e distância de 5,15 m., até o vértice **1228**, de coordenadas **N 8.271.539,23** m. e **E 192.938,48** m.; deste, segue com azimute de 224°20'48" e distância de 5,18 m., até o vértice **1229**, de coordenadas **N 8.271.535,52** m. e **E 192.934,86** m.; deste, segue com azimute de 222°27'21" e distância de 5,17 m., até o vértice **1230**, de coordenadas **N 8.271.531,71** m. e **E 192.931,37** m.; deste, segue com azimute de 218°16'35" e distância de 4,84 m., até o vértice **1231**, de coordenadas **N 8.271.527,91** m. e **E 192.928,37** m.; deste, segue com azimute de 216°12'42" e distância de 5,38 m., até o vértice **1232**, de coordenadas **N 8.271.523,57** m. e **E 192.925,19** m.; deste, segue com azimute de 215°44'02" e distância de 5,38 m., até o vértice **1233**, de coordenadas **N 8.271.519,20** m. e **E 192.922,04** m.; deste, segue com azimute de 217°00'21" e distância de 5,38 m., até o vértice **1234**, de coordenadas **N 8.271.514,90** m. e **E 192.918,81** m.; deste, segue com azimute de 214°54'23" e distância de 5,36 m., até o vértice **1235**, de coordenadas **N 8.271.510,51** m. e **E 192.915,74** m.; deste, segue com azimute de 215°38'13" e distância de 5,36 m., até o vértice **1236**, de coordenadas **N 8.271.506,15** m. e **E 192.912,62** m.; deste, segue com azimute de 227°37'13" e distância de 5,28 m., até o vértice **1237**, de coordenadas **N 8.271.502,59** m. e **E 192.908,72** m.; deste, segue com azimute de 240°16'41" e distância de 1,27 m., até o vértice **1238**, de coordenadas **N 8.271.501,96** m. e **E 192.907,61** m.; deste, segue com azimute de 244°32'11" e distância de 5,06 m., até o vértice **1239**, de coordenadas **N 8.271.499,79** m. e **E 192.903,05** m.; deste, segue com azimute de 238°06'09" e distância de 4,42 m., até o vértice **1240**, de coordenadas **N 8.271.497,45** m. e **E 192.899,29** m.; deste, segue com azimute de 231°35'29" e distância de 5,09 m., até o vértice **1241**, de coordenadas **N 8.271.494,29** m. e **E 192.895,30** m.; deste, segue com azimute de 223°57'37" e distância de 1,29 m., até o vértice **1242**, de coordenadas **N 8.271.493,36** m. e **E 192.894,41** m.; deste, segue com azimute de 213°48'23" e distância de 3,06 m., até o vértice **1243**, de coordenadas **N 8.271.490,82** m. e **E 192.892,71** m.; deste, segue com azimute de 213°48'26" e distância de 2,09 m., até o vértice **1244**, de coordenadas **N 8.271.489,08** m. e **E 192.891,54** m.; deste, segue com azimute de 206°39'50" e distância de 5,26 m., até o vértice **1245**, de coordenadas **N 8.271.484,38** m. e **E 192.889,18** m.; deste, segue com azimute de 211°05'09" e distância de 5,21 m., até o vértice **1246**, de coordenadas **N 8.271.479,92** m. e **E 192.886,49** m.; deste, segue com azimute de 217°17'04" e distância de 0,27 m., até o vértice **1247**, de coordenadas **N 8.271.479,70** m. e **E 192.886,33** m.; deste, segue com azimute de 218°31'06" e distância de 5,13 m., até o vértice **1248**, de coordenadas **N 8.271.475,69** m. e **E 192.883,13** m.; deste,



SFL - PLC 0019/2019 folha 000428

segue com azimute de 223°13'13" e distância de 5,11 m., até o vértice **1249**, de coordenadas **N 8.271.471,97** m. e **E 192.879,64 m.;** deste, segue com azimute de 230°56'31" e distância de 3,03 m., até o vértice **1250**, de coordenadas **N 8.271.470,06** m. e **E 192.877,29 m.;** deste, segue com azimute de 236°51'25" e distância de 5,09 m., até o vértice **1251**, de coordenadas **N 8.271.467,28** m. e **E 192.873,02 m.;** deste, segue com azimute de 233°57'06" e distância de 5,07 m., até o vértice **1252**, de coordenadas **N 8.271.464,30** m. e **E 192.868,92 m.;** deste, segue com azimute de 228°01'35" e distância de 1,55 m., até o vértice **1253**, de coordenadas **N 8.271.463,26** m. e **E 192.867,77 m.;** deste, segue com azimute de 225°21'06" e distância de 4,67 m., até o vértice **1254**, de coordenadas **N 8.271.459,98** m. e **E 192.864,45 m.;** deste, segue com azimute de 225°21'13" e distância de 0,64 m., até o vértice **1255**, de coordenadas **N 8.271.459,53** m. e **E 192.864,00 m.;** deste, segue com azimute de 219°22'20" e distância de 5,27 m., até o vértice **1256**, de coordenadas **N 8.271.455,45** m. e **E 192.860,65 m.;** deste, segue com azimute de 210°36'28" e distância de 1,20 m., até o vértice **1257**, de coordenadas **N 8.271.454,42** m. e **E 192.860,04 m.;** deste, segue com azimute de 210°36'24" e distância de 3,72 m., até o vértice **1258**, de coordenadas **N 8.271.451,22** m. e **E 192.858,15 m.;** deste, segue com azimute de 207°39'41" e distância de 5,22 m., até o vértice **1259**, de coordenadas **N 8.271.446,60** m. e **E 192.855,72 m.;** deste, segue com azimute de 206°19'17" e distância de 4,62 m., até o vértice **1260**, de coordenadas **N 8.271.442,46** m. e **E 192.853,68 m.;** deste, segue com azimute de 206°20'11" e distância de 5,02 m., até o vértice **1261**, de coordenadas **N 8.271.437,96** m. e **E 192.851,45 m.;** deste, segue com azimute de 218°34'19" e distância de 4,10 m., até o vértice **1262**, de coordenadas **N 8.271.434,76** m. e **E 192.848,89 m.;** deste, segue com azimute de 218°34'10" e distância de 1,10 m., até o vértice **1263**, de coordenadas **N 8.271.433,90** m. e **E 192.848,21 m.;** deste, segue com azimute de 235°43'57" e distância de 4,85 m., até o vértice **1264**, de coordenadas **N 8.271.431,16** m. e **E 192.844,20 m.;** deste, segue com azimute de 247°18'12" e distância de 5,16 m., até o vértice **1265**, de coordenadas **N 8.271.429,17** m. e **E 192.839,44 m.;** deste, segue com azimute de 255°44'35" e distância de 0,54 m., até o vértice **1266**, de coordenadas **N 8.271.429,04** m. e **E 192.838,92 m.;** deste, segue com azimute de 267°38'27" e distância de 2,54 m., até o vértice **1267**, de coordenadas **N 8.271.428,94** m. e **E 192.836,38 m.;** deste, segue com azimute de 267°38'22" e distância de 2,70 m., até o vértice **1268**, de coordenadas **N 8.271.428,83** m. e **E 192.833,68 m.;** deste, segue com azimute de 268°38'39" e distância de 5,05 m., até o vértice **1269**, de coordenadas **N 8.271.428,71** m. e **E 192.828,64 m.;** deste, segue com azimute de 257°31'09" e distância de 4,09 m., até o vértice **1270**, de coordenadas **N 8.271.427,82** m. e **E 192.824,65 m.;** deste,



SFL - PLC 0019/2019 folha 000429

segue com azimute de 215°33'51" e distância de 0,58 m., até o vértice **1271**, de coordenadas **N 8.271.427,35** m. e **E 192.824,31** m.; deste, segue com azimute de 215°33'30" e distância de 3,20 m., até o vértice **1272**, de coordenadas **N 8.271.424,75** m. e **E 192.822,45** m.; deste, segue com azimute de 202°48'38" e distância de 2,58 m., até o vértice **1273**, de coordenadas **N 8.271.422,37** m. e **E 192.821,45** m.; deste, segue com azimute de 201°39'33" e distância de 5,04 m., até o vértice **1274**, de coordenadas **N 8.271.417,69** m. e **E 192.819,59** m.; deste, segue com azimute de 234°55'52" e distância de 2,82 m., até o vértice **1275**, de coordenadas **N 8.271.416,07** m. e **E 192.817,28** m.; deste, segue com azimute de 233°23'22" e distância de 1,10 m., até o vértice **1276**, de coordenadas **N 8.271.415,41** m. e **E 192.816,40** m.; deste, segue com azimute de 233°23'15" e distância de 3,90 m., até o vértice **1277**, de coordenadas **N 8.271.413,08** m. e **E 192.813,27** m.; deste, segue com azimute de 187°09'29" e distância de 4,27 m., até o vértice **1278**, de coordenadas **N 8.271.408,84** m. e **E 192.812,73** m.; deste, segue com azimute de 213°49'57" e distância de 1,68 m., até o vértice **1279**, de coordenadas **N 8.271.407,45** m. e **E 192.811,80** m.; deste, segue com azimute de 238°12'40" e distância de 5,13 m., até o vértice **1280**, de coordenadas **N 8.271.404,75** m. e **E 192.807,44** m.; deste, segue com azimute de 248°34'15" e distância de 1,09 m., até o vértice **1281**, de coordenadas **N 8.271.404,35** m. e **E 192.806,43** m.; deste, segue com azimute de 260°17'48" e distância de 1,61 m., até o vértice **1282**, de coordenadas **N 8.271.404,08** m. e **E 192.804,84** m.; deste, segue com azimute de 260°17'37" e distância de 3,50 m., até o vértice **1283**, de coordenadas **N 8.271.403,49** m. e **E 192.801,40** m.; deste, segue com azimute de 280°20'44" e distância de 3,94 m., até o vértice **1284**, de coordenadas **N 8.271.404,20** m. e **E 192.797,52** m.; deste, segue com azimute de 286°54'53" e distância de 5,21 m., até o vértice **1285**, de coordenadas **N 8.271.405,72** m. e **E 192.792,54** m.; deste, segue com azimute de 279°11'02" e distância de 3,13 m., até o vértice **1286**, de coordenadas **N 8.271.406,21** m. e **E 192.789,45** m.; deste, segue com azimute de 275°40'30" e distância de 5,24 m., até o vértice **1287**, de coordenadas **N 8.271.406,73** m. e **E 192.784,23** m.; deste, segue com azimute de 263°20'57" e distância de 4,97 m., até o vértice **1288**, de coordenadas **N 8.271.406,16** m. e **E 192.779,30** m.; deste, segue com azimute de 245°10'11" e distância de 0,41 m., até o vértice **1289**, de coordenadas **N 8.271.405,98** m. e **E 192.778,92** m.; deste, segue com azimute de 245°09'54" e distância de 2,53 m., até o vértice **1290**, de coordenadas **N 8.271.404,92** m. e **E 192.776,63** m.; deste, segue com azimute de 232°22'44" e distância de 5,22 m., até o vértice **1291**, de coordenadas **N 8.271.401,74** m. e **E 192.772,50** m.; deste, segue com azimute de 232°01'12" e distância de 4,06 m., até o vértice **1292**, de coordenadas **N 8.271.399,24** m. e **E 192.769,30** m.; deste,



SPL - PLC 0019/2019 folha 000430

segue com azimute de 232°01'19" e distância de 1,21 m., até o vértice **1293**, de coordenadas **N 8.271.398,49** m. e **E 192.768,34** m.; deste, segue com azimute de 237°48'18" e distância de 2,97 m., até o vértice **1294**, de coordenadas **N 8.271.396,91** m. e **E 192.765,83** m.; deste, segue com azimute de 239°00'11" e distância de 5,46 m., até o vértice **1295**, de coordenadas **N 8.271.394,10** m. e **E 192.761,15** m.; deste, segue com azimute de 241°23'07" e distância de 5,45 m., até o vértice **1296**, de coordenadas **N 8.271.391,49** m. e **E 192.756,37** m.; deste, segue com azimute de 244°47'30" e distância de 5,41 m., até o vértice **1297**, de coordenadas **N 8.271.389,19** m. e **E 192.751,47** m.; deste, segue com azimute de 251°23'21" e distância de 3,54 m., até o vértice **1298**, de coordenadas **N 8.271.388,06** m. e **E 192.748,12** m.; deste, segue com azimute de 255°14'27" e distância de 5,02 m., até o vértice **1299**, de coordenadas **N 8.271.386,78** m. e **E 192.743,26** m.; deste, segue com azimute de 246°25'11" e distância de 2,70 m., até o vértice **1300**, de coordenadas **N 8.271.385,70** m. e **E 192.740,78** m.; deste, segue com azimute de 246°25'13" e distância de 2,37 m., até o vértice **1301**, de coordenadas **N 8.271.384,75** m. e **E 192.738,61** m.; deste, segue com azimute de 230°56'58" e distância de 2,15 m., até o vértice **1302**, de coordenadas **N 8.271.383,39** m. e **E 192.736,94** m.; deste, segue com azimute de 218°27'48" e distância de 5,31 m., até o vértice **1303**, de coordenadas **N 8.271.379,23** m. e **E 192.733,63** m.; deste, segue com azimute de 210°09'05" e distância de 5,08 m., até o vértice **1304**, de coordenadas **N 8.271.374,84** m. e **E 192.731,08** m.; deste, segue com azimute de 210°39'02" e distância de 5,00 m., até o vértice **1305**, de coordenadas **N 8.271.370,54** m. e **E 192.728,53** m.; deste, segue com azimute de 213°41'09" e distância de 4,81 m., até o vértice **1306**, de coordenadas **N 8.271.366,54** m. e **E 192.725,87** m.; deste, segue com azimute de 213°04'11" e distância de 5,32 m., até o vértice **1307**, de coordenadas **N 8.271.362,08** m. e **E 192.722,97** m.; deste, segue com azimute de 211°18'54" e distância de 5,30 m., até o vértice **1308**, de coordenadas **N 8.271.357,56** m. e **E 192.720,21** m.; deste, segue com azimute de 208°25'14" e distância de 5,31 m., até o vértice **1309**, de coordenadas **N 8.271.352,89** m. e **E 192.717,69** m.; deste, segue com azimute de 205°51'44" e distância de 1,71 m., até o vértice **1310**, de coordenadas **N 8.271.351,35** m. e **E 192.716,94** m.; deste, segue com azimute de 203°21'23" e distância de 5,14 m., até o vértice **1311**, de coordenadas **N 8.271.346,63** m. e **E 192.714,90** m.; deste, segue com azimute de 200°47'46" e distância de 5,18 m., até o vértice **1312**, de coordenadas **N 8.271.341,79** m. e **E 192.713,06** m.; deste, segue com azimute de 199°44'02" e distância de 5,20 m., até o vértice **1313**, de coordenadas **N 8.271.336,90** m. e **E 192.711,31** m.; deste, segue com azimute de 200°08'38" e distância de 5,19 m., até o vértice **1314**, de coordenadas **N 8.271.332,03** m. e **E 192.709,52** m.; deste,



SPL - PLC 0019/2019 folha 000431

segue com azimute de 201°47'47" e distância de 4,50 m., até o vértice **1315**, de coordenadas **N 8.271.327,85** m. e **E 192.707,85** m.; deste, segue com azimute de 202°46'09" e distância de 5,17 m., até o vértice **1316**, de coordenadas **N 8.271.323,08** m. e **E 192.705,85** m.; deste, segue com azimute de 202°04'36" e distância de 5,16 m., até o vértice **1317**, de coordenadas **N 8.271.318,30** m. e **E 192.703,91** m.; deste, segue com azimute de 199°33'44" e distância de 5,15 m., até o vértice **1318**, de coordenadas **N 8.271.313,45** m. e **E 192.702,19** m.; deste, segue com azimute de 195°12'06" e distância de 5,13 m., até o vértice **1319**, de coordenadas **N 8.271.308,50** m. e **E 192.700,84** m.; deste, segue com azimute de 191°49'13" e distância de 1,28 m., até o vértice **1320**, de coordenadas **N 8.271.307,24** m. e **E 192.700,58** m.; deste, segue com azimute de 189°18'08" e distância de 5,15 m., até o vértice **1321**, de coordenadas **N 8.271.302,17** m. e **E 192.699,75** m.; deste, segue com azimute de 186°24'18" e distância de 5,18 m., até o vértice **1322**, de coordenadas **N 8.271.297,02** m. e **E 192.699,17** m.; deste, segue com azimute de 184°57'44" e distância de 5,18 m., até o vértice **1323**, de coordenadas **N 8.271.291,86** m. e **E 192.698,72** m.; deste, segue com azimute de 181°50'03" e distância de 4,84 m., até o vértice **1324**, de coordenadas **N 8.271.287,02** m. e **E 192.698,57** m.; deste, segue com azimute de 184°33'19" e distância de 5,04 m., até o vértice **1325**, de coordenadas **N 8.271.282,00** m. e **E 192.698,17** m.; deste, segue com azimute de 197°10'44" e distância de 5,02 m., até o vértice **1326**, de coordenadas **N 8.271.277,20** m. e **E 192.696,68** m.; deste, segue com azimute de 204°47'02" e distância de 5,10 m., até o vértice **1327**, de coordenadas **N 8.271.272,57** m. e **E 192.694,55** m.; deste, segue com azimute de 204°07'13" e distância de 5,07 m., até o vértice **1328**, de coordenadas **N 8.271.267,94** m. e **E 192.692,47** m.; deste, segue com azimute de 201°12'31" e distância de 0,55 m., até o vértice **1329**, de coordenadas **N 8.271.267,43** m. e **E 192.692,27** m.; deste, segue com azimute de 202°26'13" e distância de 4,98 m., até o vértice **1330**, de coordenadas **N 8.271.262,83** m. e **E 192.690,37** m.; deste, segue com azimute de 202°41'33" e distância de 4,97 m., até o vértice **1331**, de coordenadas **N 8.271.258,24** m. e **E 192.688,46** m.; deste, segue com azimute de 199°53'25" e distância de 5,46 m., até o vértice **1332**, de coordenadas **N 8.271.253,11** m. e **E 192.686,60** m.; deste, segue com azimute de 193°24'55" e distância de 5,38 m., até o vértice **1333**, de coordenadas **N 8.271.247,88** m. e **E 192.685,35** m.; deste, segue com azimute de 187°50'53" e distância de 1,08 m., até o vértice **1334**, de coordenadas **N 8.271.246,80** m. e **E 192.685,20** m.; deste, segue com azimute de 182°26'33" e distância de 5,45 m., até o vértice **1335**, de coordenadas **N 8.271.241,36** m. e **E 192.684,97** m.; deste, segue com azimute de 176°46'47" e distância de 4,98 m., até o vértice **1336**, de coordenadas **N 8.271.236,39** m. e **E 192.685,25** m.; deste,

segue com azimute de 174°53'53" e distância de 5,02 m., até o vértice **1337**, de coordenadas **N 8.271.231,38** m. e **E 192.685,70** m.; deste, segue com azimute de 176°14'34" e distância de 5,00 m., até o vértice **1338**, de coordenadas **N 8.271.226,39** m. e **E 192.686,03** m.; deste, segue com azimute de 178°37'40" e distância de 4,75 m., até o vértice **1339**, de coordenadas **N 8.271.221,65** m. e **E 192.686,14** m.; deste, segue com azimute de 179°17'22" e distância de 5,45 m., até o vértice **1340**, de coordenadas **N 8.271.216,19** m. e **E 192.686,21** m.; deste, segue com azimute de 178°54'20" e distância de 5,45 m., até o vértice **1341**, de coordenadas **N 8.271.210,74** m. e **E 192.686,31** m.; deste, segue com azimute de 177°23'04" e distância de 5,43 m., até o vértice **1342**, de coordenadas **N 8.271.205,31** m. e **E 192.686,56** m.; deste, segue com azimute de 174°41'41" e distância de 5,40 m., até o vértice **1343**, de coordenadas **N 8.271.199,94** m. e **E 192.687,06** m.; deste, segue com azimute de 172°07'57" e distância de 2,57 m., até o vértice **1344**, de coordenadas **N 8.271.197,39** m. e **E 192.687,41** m.; deste, segue com azimute de 169°56'33" e distância de 5,14 m., até o vértice **1345**, de coordenadas **N 8.271.192,33** m. e **E 192.688,31** m.; deste, segue com azimute de 167°35'16" e distância de 5,14 m., até o vértice **1346**, de coordenadas **N 8.271.187,31** m. e **E 192.689,41** m.; deste, segue com azimute de 165°54'31" e distância de 5,15 m., até o vértice **1347**, de coordenadas **N 8.271.182,32** m. e **E 192.690,66** m.; deste, segue com azimute de 164°54'03" e distância de 5,14 m., até o vértice **1348**, de coordenadas **N 8.271.177,36** m. e **E 192.692,00** m.; deste, segue com azimute de 164°33'29" e distância de 5,13 m., até o vértice **1349**, de coordenadas **N 8.271.172,41** m. e **E 192.693,37** m.; deste, segue com azimute de 164°53'11" e distância de 5,11 m., até o vértice **1350**, de coordenadas **N 8.271.167,48** m. e **E 192.694,70** m.; deste, segue com azimute de 165°13'29" e distância de 2,54 m., até o vértice **1351**, de coordenadas **N 8.271.165,03** m. e **E 192.695,35** m.; deste, segue com azimute de 165°01'48" e distância de 5,07 m., até o vértice **1352**, de coordenadas **N 8.271.160,12** m. e **E 192.696,66** m.; deste, segue com azimute de 164°39'28" e distância de 5,06 m., até o vértice **1353**, de coordenadas **N 8.271.155,24** m. e **E 192.698,00** m.; deste, segue com azimute de 164°09'18" e distância de 0,92 m., até o vértice **1354**, de coordenadas **N 8.271.154,36** m. e **E 192.698,25** m.; deste, segue com azimute de 164°09'20" e distância de 4,13 m., até o vértice **1355**, de coordenadas **N 8.271.150,38** m. e **E 192.699,38** m.; deste, segue com azimute de 163°31'12" e distância de 5,04 m., até o vértice **1356**, de coordenadas **N 8.271.145,55** m. e **E 192.700,81** m.; deste, segue com azimute de 162°45'00" e distância de 5,03 m., até o vértice **1357**, de coordenadas **N 8.271.140,74** m. e **E 192.702,30** m.; deste, segue com azimute de 161°50'49" e distância de 5,02 m., até o vértice **1358**, de coordenadas **N 8.271.135,97** m. e **E 192.703,87** m.; deste,



SPL - PLC 0019/2019 folha 000433

segue com azimute de 160°19'45" e distância de 1,73 m., até o vértice **1359**, de coordenadas **N 8.271.134,34** m. e **E 192.704,45** m.; deste, segue com azimute de 157°26'10" e distância de 5,22 m., até o vértice **1360**, de coordenadas **N 8.271.129,52** m. e **E 192.706,45** m.; deste, segue com azimute de 156°12'41" e distância de 5,22 m., até o vértice **1361**, de coordenadas **N 8.271.124,75** m. e **E 192.708,56** m.; deste, segue com azimute de 158°58'44" e distância de 5,17 m., até o vértice **1362**, de coordenadas **N 8.271.119,92** m. e **E 192.710,41** m.; deste, segue com azimute de 165°51'53" e distância de 5,13 m., até o vértice **1363**, de coordenadas **N 8.271.114,94** m. e **E 192.711,67** m.; deste, segue com azimute de 172°13'14" e distância de 1,64 m., até o vértice **1364**, de coordenadas **N 8.271.113,32** m. e **E 192.711,89** m.; deste, segue com azimute de 177°20'56" e distância de 4,98 m., até o vértice **1365**, de coordenadas **N 8.271.108,35** m. e **E 192.712,12** m.; deste, segue com azimute de 182°18'28" e distância de 5,08 m., até o vértice **1366**, de coordenadas **N 8.271.103,27** m. e **E 192.711,91** m.; deste, segue com azimute de 184°01'35" e distância de 5,12 m., até o vértice **1367**, de coordenadas **N 8.271.098,16** m. e **E 192.711,55** m.; deste, segue com azimute de 180°53'08" e distância de 4,99 m., até o vértice **1368**, de coordenadas **N 8.271.093,17** m. e **E 192.711,48** m.; deste, segue com azimute de 128°23'45" e distância de 12,08 m., até o vértice **1369**, de coordenadas **N 8.271.085,66** m. e **E 192.720,95** m.; deste, segue com azimute de 136°58'30" e distância de 27,14 m., até o vértice **1370**, de coordenadas **N 8.271.065,82** m. e **E 192.739,47** m.; deste, segue com azimute de 143°44'47" e distância de 12,30 m., até o vértice **1371**, de coordenadas **N 8.271.055,90** m. e **E 192.746,74** m.; deste, segue com azimute de 157°55'55" e distância de 13,20 m., até o vértice **1372**, de coordenadas **N 8.271.043,66** m. e **E 192.751,70** m.; deste, segue com azimute de 161°16'41" e distância de 23,65 m., até o vértice **1373**, de coordenadas **N 8.271.021,26** m. e **E 192.759,30** m.; ponto situado no eixo da Rodovia DF-150 deste, segue pela Rodovia DF-150, até o vértice **1374**, de coordenadas **N 8.271.887,85** m. e **E 192.181,98** m.; deste, segue com azimute de 180°50'40" e distância de 24,02 m., até o vértice **1375**, de coordenadas **N 8.271.863,83** m. e **E 192.181,62** m.; deste, segue com azimute de 180°00'00" e distância de 11,13 m., até o vértice **1376**, de coordenadas **N 8.271.852,70** m. e **E 192.181,62** m.; deste, segue com azimute de 152°40'23" e distância de 5,11 m., até o vértice **1377**, de coordenadas **N 8.271.848,16** m. e **E 192.183,97** m.; deste, segue com azimute de 144°51'00" e distância de 17,07 m., até o vértice **1378**, de coordenadas **N 8.271.834,21** m. e **E 192.193,79** m.; deste, segue com azimute de 149°58'53" e distância de 15,70 m., até o vértice **1379**, de coordenadas **N 8.271.820,62** m. e **E 192.201,64** m.; deste, segue com azimute de 159°45'06" e distância de 9,18 m., até o vértice **1380**, de coordenadas **N 8.271.812,00** m. e **E 192.204,82**



SFL - PLC 0019/2019 folha 000434

m.; deste, segue com azimute de 167°37'37" e distância de 13,56 m., até o vértice **1381**, de coordenadas **N 8.271.798,76** m. e **E 192.207,73** m.; deste, segue com azimute de 177°23'44" e distância de 8,46 m., até o vértice **1382**, de coordenadas **N 8.271.790,30** m. e **E 192.208,11** m.; deste, segue com azimute de 179°18'58" e distância de 10,76 m., até o vértice **1383**, de coordenadas **N 8.271.779,54** m. e **E 192.208,24** m.; deste, segue com azimute de 195°57'58" e distância de 5,59 m., até o vértice **1384**, de coordenadas **N 8.271.774,17** m. e **E 192.206,70** m.; deste, segue com azimute de 201°30'47" e distância de 5,27 m., até o vértice **1385**, de coordenadas **N 8.271.769,26** m. e **E 192.204,77** m.; deste, segue com azimute de 201°30'48" e distância de 2,49 m., até o vértice **1386**, de coordenadas **N 8.271.766,94** m. e **E 192.203,86** m.; deste, segue com azimute de 214°42'12" e distância de 2,66 m., até o vértice **1387**, de coordenadas **N 8.271.764,76** m. e **E 192.202,34** m.; deste, segue com azimute de 214°42'09" e distância de 6,09 m., até o vértice **1388**, de coordenadas **N 8.271.759,75** m. e **E 192.198,87** m.; deste, segue com azimute de 223°14'43" e distância de 6,41 m., até o vértice **1389**, de coordenadas **N 8.271.755,08** m. e **E 192.194,49** m.; deste, segue com azimute de 236°30'23" e distância de 13,58 m., até o vértice **1390**, de coordenadas **N 8.271.747,59** m. e **E 192.183,16** m.; deste, segue com azimute de 247°59'44" e distância de 19,82 m., até o vértice **1391**, de coordenadas **N 8.271.740,16** m. e **E 192.164,79** m.; deste, segue com azimute de 251°59'28" e distância de 27,89 m., até o vértice **1392**, de coordenadas **N 8.271.731,54** m. e **E 192.138,27** m.; deste, segue com azimute de 254°09'57" e distância de 10,53 m., até o vértice **1393**, de coordenadas **N 8.271.728,67** m. e **E 192.128,13** m.; deste, segue com azimute de 235°31'23" e distância de 9,71 m., até o vértice **1394**, de coordenadas **N 8.271.723,17** m. e **E 192.120,13** m.; deste, segue com azimute de 235°21'06" e distância de 26,43 m., até o vértice **1395**, de coordenadas **N 8.271.708,14** m. e **E 192.098,38** m.; deste, segue com azimute de 232°22'16" e distância de 20,80 m., até o vértice **1396**, de coordenadas **N 8.271.695,44** m. e **E 192.081,91** m.; deste, segue com azimute de 239°10'32" e distância de 9,91 m., até o vértice **1397**, de coordenadas **N 8.271.690,36** m. e **E 192.073,39** m.; deste, segue com azimute de 237°35'52" e distância de 9,51 m., até o vértice **1398**, de coordenadas **N 8.271.685,27** m. e **E 192.065,37** m.; deste, segue com azimute de 250°41'52" e distância de 2,32 m., até o vértice **1399**, de coordenadas **N 8.271.684,50** m. e **E 192.063,18** m.; deste, segue com azimute de 233°42'21" e distância de 3,73 m., até o vértice **1400**, de coordenadas **N 8.271.682,29** m. e **E 192.060,17** m.; deste, segue com azimute de 234°17'19" e distância de 47,70 m., até o vértice **1401**, de coordenadas **N 8.271.654,45** m. e **E 192.021,44** m.; deste, segue com azimute de 292°44'03" e distância de 2,09 m., até o vértice **1402**, de coordenadas **N 8.271.655,26** m. e **E 192.019,51**



SPL - PLC 0019/2019 folha 000435

m.; deste, segue com azimute de 295°56'01" e distância de 5,69 m., até o vértice **1403**, de coordenadas **N 8.271.657,75** m. e **E 192.014,39** m.; deste, segue com azimute de 299°08'10" e distância de 4,50 m., até o vértice **1404**, de coordenadas **N 8.271.659,94** m. e **E 192.010,46** m.; deste, segue com azimute de 299°46'05" e distância de 4,51 m., até o vértice **1405**, de coordenadas **N 8.271.662,18** m. e **E 192.006,55** m.; deste, segue com azimute de 299°48'49" e distância de 4,51 m., até o vértice **1406**, de coordenadas **N 8.271.664,42** m. e **E 192.002,64** m.; deste, segue com azimute de 299°16'38" e distância de 4,50 m., até o vértice **1407**, de coordenadas **N 8.271.666,62** m. e **E 191.998,71** m.; deste, segue com azimute de 298°09'06" e distância de 4,50 m., até o vértice **1408**, de coordenadas **N 8.271.668,74** m. e **E 191.994,75** m.; deste, segue com azimute de 296°26'20" e distância de 4,49 m., até o vértice **1409**, de coordenadas **N 8.271.670,74** m. e **E 191.990,72** m.; deste, segue com azimute de 293°14'35" e distância de 5,22 m., até o vértice **1410**, de coordenadas **N 8.271.672,80** m. e **E 191.985,93** m.; deste, segue com azimute de 290°09'30" e distância de 5,23 m., até o vértice **1411**, de coordenadas **N 8.271.674,61** m. e **E 191.981,02** m.; deste, segue com azimute de 288°51'46" e distância de 5,25 m., até o vértice **1412**, de coordenadas **N 8.271.676,30** m. e **E 191.976,05** m.; deste, segue com azimute de 289°20'01" e distância de 5,24 m., até o vértice **1413**, de coordenadas **N 8.271.678,04** m. e **E 191.971,10** m.; deste, segue com azimute de 291°34'50" e distância de 5,23 m., até o vértice **1414**, de coordenadas **N 8.271.679,96** m. e **E 191.966,24** m.; deste, segue com azimute de 295°37'21" e distância de 5,22 m., até o vértice **1415**, de coordenadas **N 8.271.682,22** m. e **E 191.961,54** m.; deste, segue com azimute de 299°39'16" e distância de 2,78 m., até o vértice **1416**, de coordenadas **N 8.271.683,59** m. e **E 191.959,13** m.; deste, segue com azimute de 301°49'29" e distância de 2,79 m., até o vértice **1417**, de coordenadas **N 8.271.685,06** m. e **E 191.956,76** m.; deste, segue com azimute de 303°00'27" e distância de 2,80 m., até o vértice **1418**, de coordenadas **N 8.271.686,58** m. e **E 191.954,41** m.; deste, segue com azimute de 303°12'48" e distância de 2,80 m., até o vértice **1419**, de coordenadas **N 8.271.688,12** m. e **E 191.952,07** m.; deste, segue com azimute de 302°27'04" e distância de 2,80 m., até o vértice **1420**, de coordenadas **N 8.271.689,62** m. e **E 191.949,71** m.; deste, segue com azimute de 300°42'38" e distância de 2,79 m., até o vértice **1421**, de coordenadas **N 8.271.691,05** m. e **E 191.947,31** m.; deste, segue com azimute de 299°10'58" e distância de 3,57 m., até o vértice **1422**, de coordenadas **N 8.271.692,78** m. e **E 191.944,19** m.; deste, segue com azimute de 298°12'24" e distância de 3,57 m., até o vértice **1423**, de coordenadas **N 8.271.694,47** m. e **E 191.941,05** m.; deste, segue com azimute de 296°44'29" e distância de 3,56 m., até o vértice **1424**, de coordenadas **N 8.271.696,07** m. e **E 191.937,87**



SPL - PLC 0019/2019 folha 000436

m.; deste, segue com azimute de 294°13'10" e distância de 3,62 m., até o vértice **1425**, de coordenadas **N 8.271.697,56** m. e **E 191.934,56** m.; deste, segue com azimute de 292°41'52" e distância de 3,62 m., até o vértice **1426**, de coordenadas **N 8.271.698,96** m. e **E 191.931,23** m.; deste, segue com azimute de 293°46'25" e distância de 3,62 m., até o vértice **1427**, de coordenadas **N 8.271.700,42** m. e **E 191.927,91** m.; deste, segue com azimute de 297°47'42" e distância de 2,98 m., até o vértice **1428**, de coordenadas **N 8.271.701,81** m. e **E 191.925,27** m.; deste, segue com azimute de 301°13'35" e distância de 3,02 m., até o vértice **1429**, de coordenadas **N 8.271.703,37** m. e **E 191.922,69** m.; deste, segue com azimute de 302°04'33" e distância de 3,03 m., até o vértice **1430**, de coordenadas **N 8.271.704,98** m. e **E 191.920,13** m.; deste, segue com azimute de 300°23'00" e distância de 3,00 m., até o vértice **1431**, de coordenadas **N 8.271.706,50** m. e **E 191.917,54** m.; deste, segue com azimute de 296°02'47" e distância de 2,95 m., até o vértice **1432**, de coordenadas **N 8.271.707,79** m. e **E 191.914,89** m.; deste, segue com azimute de 288°54'17" e distância de 2,92 m., até o vértice **1433**, de coordenadas **N 8.271.708,74** m. e **E 191.912,12** m.; deste, segue com azimute de 280°48'46" e distância de 2,39 m., até o vértice **1434**, de coordenadas **N 8.271.709,19** m. e **E 191.909,78** m.; deste, segue com azimute de 275°09'07" e distância de 2,42 m., até o vértice **1435**, de coordenadas **N 8.271.709,40** m. e **E 191.907,36** m.; deste, segue com azimute de 271°40'08" e distância de 2,46 m., até o vértice **1436**, de coordenadas **N 8.271.709,48** m. e **E 191.904,91** m.; deste, segue com azimute de 270°14'09" e distância de 2,48 m., até o vértice **1437**, de coordenadas **N 8.271.709,49** m. e **E 191.902,43** m.; deste, segue com azimute de 270°46'47" e distância de 2,48 m., até o vértice **1438**, de coordenadas **N 8.271.709,52** m. e **E 191.899,95** m.; deste, segue com azimute de 273°18'20" e distância de 2,45 m., até o vértice **1439**, de coordenadas **N 8.271.709,66** m. e **E 191.897,50** m.; deste, segue com azimute de 275°45'34" e distância de 3,59 m., até o vértice **1440**, de coordenadas **N 8.271.710,02** m. e **E 191.893,93** m.; deste, segue com azimute de 276°40'40" e distância de 3,59 m., até o vértice **1441**, de coordenadas **N 8.271.710,44** m. e **E 191.890,37** m.; deste, segue com azimute de 277°29'00" e distância de 3,59 m., até o vértice **1442**, de coordenadas **N 8.271.710,91** m. e **E 191.886,81** m.; deste, segue com azimute de 278°11'07" e distância de 3,59 m., até o vértice **1443**, de coordenadas **N 8.271.711,42** m. e **E 191.883,26** m.; deste, segue com azimute de 278°46'55" e distância de 3,58 m., até o vértice **1444**, de coordenadas **N 8.271.711,96** m. e **E 191.879,72** m.; deste, segue com azimute de 279°16'26" e distância de 3,57 m., até o vértice **1445**, de coordenadas **N 8.271.712,54** m. e **E 191.876,19** m.; deste, segue com azimute de 282°01'43" e distância de 3,74 m., até o vértice **1446**, de coordenadas **N 8.271.713,32** m. e **E 191.872,53**



SFL - PLC 0019/2019 folha 000437

m.; deste, segue com azimute de 285°17'51" e distância de 3,77 m., até o vértice **1447**, de coordenadas **N 8.271.714,32** m. e **E 191.868,89** m.; deste, segue com azimute de 285°55'39" e distância de 3,77 m., até o vértice **1448**, de coordenadas **N 8.271.715,35** m. e **E 191.865,27** m.; deste, segue com azimute de 283°55'28" e distância de 3,73 m., até o vértice **1449**, de coordenadas **N 8.271.716,25** m. e **E 191.861,64** m.; deste, segue com azimute de 279°10'45" e distância de 3,68 m., até o vértice **1450**, de coordenadas **N 8.271.716,83** m. e **E 191.858,01** m.; deste, segue com azimute de 271°34'59" e distância de 3,66 m., até o vértice **1451**, de coordenadas **N 8.271.716,94** m. e **E 191.854,35** m.; deste, segue com azimute de 265°01'33" e distância de 2,66 m., até o vértice **1452**, de coordenadas **N 8.271.716,71** m. e **E 191.851,70** m.; deste, segue com azimute de 261°32'19" e distância de 2,71 m., até o vértice **1453**, de coordenadas **N 8.271.716,31** m. e **E 191.849,01** m.; deste, segue com azimute de 258°16'39" e distância de 2,75 m., até o vértice **1454**, de coordenadas **N 8.271.715,75** m. e **E 191.846,32** m.; deste, segue com azimute de 255°09'09" e distância de 2,76 m., até o vértice **1455**, de coordenadas **N 8.271.715,04** m. e **E 191.843,65** m.; deste, segue com azimute de 252°04'49" e distância de 2,75 m., até o vértice **1456**, de coordenadas **N 8.271.714,19** m. e **E 191.841,03** m.; deste, segue com azimute de 248°59'19" e distância de 2,73 m., até o vértice **1457**, de coordenadas **N 8.271.713,22** m. e **E 191.838,49** m.; deste, segue com azimute de 243°39'47" e distância de 3,93 m., até o vértice **1458**, de coordenadas **N 8.271.711,47** m. e **E 191.834,97** m.; deste, segue com azimute de 239°15'14" e distância de 3,98 m., até o vértice **1459**, de coordenadas **N 8.271.709,44** m. e **E 191.831,55** m.; deste, segue com azimute de 239°15'10" e distância de 3,98 m., até o vértice **1460**, de coordenadas **N 8.271.707,40** m. e **E 191.828,13** m.; deste, segue com azimute de 286°23'14" e distância de 6,81 m., até o vértice **1461**, de coordenadas **N 8.271.709,33** m. e **E 191.821,59** m.; deste, segue com azimute de 227°08'43" e distância de 2,00 m., até o vértice **1462**, de coordenadas **N 8.271.707,96** m. e **E 191.820,12** m.; deste, segue com azimute de 227°08'28" e distância de 2,00 m., até o vértice **1463**, de coordenadas **N 8.271.706,60** m. e **E 191.818,65** m.; deste, segue com azimute de 229°07'12" e distância de 1,99 m., até o vértice **1464**, de coordenadas **N 8.271.705,30** m. e **E 191.817,15** m.; deste, segue com azimute de 232°38'46" e distância de 2,92 m., até o vértice **1465**, de coordenadas **N 8.271.703,53** m. e **E 191.814,83** m.; deste, segue com azimute de 236°06'41" e distância de 2,91 m., até o vértice **1466**, de coordenadas **N 8.271.701,91** m. e **E 191.812,41** m.; deste, segue com azimute de 239°09'21" e distância de 2,90 m., até o vértice **1467**, de coordenadas **N 8.271.700,42** m. e **E 191.809,92** m.; deste, segue com azimute de 241°45'44" e distância de 2,90 m., até o vértice **1468**, de coordenadas **N 8.271.699,05** m. e **E 191.807,37**



SPL - PLC 0019/2019 folha 000438

m.; deste, segue com azimute de 243°55'56" e distância de 2,90 m., até o vértice **1469**, de coordenadas **N 8.271.697,77** m. e **E 191.804,76** m.; deste, segue com azimute de 245°39'53" e distância de 2,90 m., até o vértice **1470**, de coordenadas **N 8.271.696,58** m. e **E 191.802,12** m.; deste, segue com azimute de 249°21'23" e distância de 3,95 m., até o vértice **1471**, de coordenadas **N 8.271.695,19** m. e **E 191.798,43** m.; deste, segue com azimute de 252°14'56" e distância de 3,97 m., até o vértice **1472**, de coordenadas **N 8.271.693,97** m. e **E 191.794,64** m.; deste, segue com azimute de 250°39'55" e distância de 3,97 m., até o vértice **1473**, de coordenadas **N 8.271.692,66** m. e **E 191.790,90** m.; deste, segue com azimute de 247°17'43" e distância de 2,34 m., até o vértice **1474**, de coordenadas **N 8.271.691,76** m. e **E 191.788,74** m.; deste, segue com azimute de 245°37'15" e distância de 2,34 m., até o vértice **1475**, de coordenadas **N 8.271.690,79** m. e **E 191.786,61** m.; deste, segue com azimute de 244°41'20" e distância de 2,34 m., até o vértice **1476**, de coordenadas **N 8.271.689,79** m. e **E 191.784,49** m.; deste, segue com azimute de 244°29'25" e distância de 2,34 m., até o vértice **1477**, de coordenadas **N 8.271.688,78** m. e **E 191.782,38** m.; deste, segue com azimute de 245°01'23" e distância de 2,34 m., até o vértice **1478**, de coordenadas **N 8.271.687,79** m. e **E 191.780,26** m.; deste, segue com azimute de 246°17'23" e distância de 2,34 m., até o vértice **1479**, de coordenadas **N 8.271.686,85** m. e **E 191.778,11** m.; deste, segue com azimute de 247°21'39" e distância de 3,78 m., até o vértice **1480**, de coordenadas **N 8.271.685,40** m. e **E 191.774,63** m.; deste, segue com azimute de 247°55'50" e distância de 3,79 m., até o vértice **1481**, de coordenadas **N 8.271.683,97** m. e **E 191.771,12** m.; deste, segue com azimute de 248°46'56" e distância de 3,79 m., até o vértice **1482**, de coordenadas **N 8.271.682,60** m. e **E 191.767,58** m.; deste, segue com azimute de 249°55'33" e distância de 3,78 m., até o vértice **1483**, de coordenadas **N 8.271.681,30** m. e **E 191.764,03** m.; deste, segue com azimute de 251°22'02" e distância de 3,77 m., até o vértice **1484**, de coordenadas **N 8.271.680,10** m. e **E 191.760,45** m.; deste, segue com azimute de 253°06'50" e distância de 3,76 m., até o vértice **1485**, de coordenadas **N 8.271.679,01** m. e **E 191.756,86** m.; deste, segue com azimute de 256°09'55" e distância de 5,79 m., até o vértice **1486**, de coordenadas **N 8.271.677,62** m. e **E 191.751,24** m.; deste, segue com azimute de 259°33'33" e distância de 5,79 m., até o vértice **1487**, de coordenadas **N 8.271.676,57** m. e **E 191.745,54** m.; deste, segue com azimute de 261°48'56" e distância de 5,80 m., até o vértice **1488**, de coordenadas **N 8.271.675,75** m. e **E 191.739,80** m.; deste, segue com azimute de 262°56'14" e distância de 5,81 m., até o vértice **1489**, de coordenadas **N 8.271.675,03** m. e **E 191.734,03** m.; deste, segue com azimute de 262°56'15" e distância de 5,81 m., até o vértice **1490**, de coordenadas **N 8.271.674,32** m. e **E 191.728,26**



SFL - PLC 0019/2019 folha 000439

m.; deste, segue com azimute de 261°48'56" e distância de 5,80 m., até o vértice **1491**, de coordenadas **N 8.271.673,49** m. e **E 191.722,52** m.; deste, segue com azimute de 251°11'39" e distância de 4,14 m., até o vértice **1492**, de coordenadas **N 8.271.672,16** m. e **E 191.718,59** m.; ponto situado às margens do Ribeirão da Contagem deste, segue margeando o Ribeirão da Contagem, até o vértice **1493**, de coordenadas **N 8.271.493,41** m. e **E 191.555,01** m.; deste, segue com azimute de 200°37'07" e distância de 8,13 m., até o vértice **1494**, de coordenadas **N 8.271.485,80** m. e **E 191.552,15** m.; deste, segue com azimute de 197°29'49" e distância de 1,78 m., até o vértice **1495**, de coordenadas **N 8.271.484,11** m. e **E 191.551,62** m.; deste, segue com azimute de 197°29'47" e distância de 3,75 m., até o vértice **1496**, de coordenadas **N 8.271.480,53** m. e **E 191.550,49** m.; deste, segue com azimute de 198°35'14" e distância de 5,54 m., até o vértice **1497**, de coordenadas **N 8.271.475,28** m. e **E 191.548,73** m.; deste, segue com azimute de 195°55'45" e distância de 5,52 m., até o vértice **1498**, de coordenadas **N 8.271.469,97** m. e **E 191.547,21** m.; deste, segue com azimute de 196°09'52" e distância de 5,25 m., até o vértice **1499**, de coordenadas **N 8.271.464,93** m. e **E 191.545,75** m.; deste, segue com azimute de 197°26'10" e distância de 4,10 m., até o vértice **1500**, de coordenadas **N 8.271.461,01** m. e **E 191.544,52** m.; deste, segue com azimute de 197°26'08" e distância de 1,25 m., até o vértice **1501**, de coordenadas **N 8.271.459,83** m. e **E 191.544,15** m.; deste, segue com azimute de 192°21'22" e distância de 5,20 m., até o vértice **1502**, de coordenadas **N 8.271.454,75** m. e **E 191.543,03** m.; deste, segue com azimute de 178°36'01" e distância de 5,67 m., até o vértice **1503**, de coordenadas **N 8.271.449,09** m. e **E 191.543,17** m.; deste, segue com azimute de 159°07'32" e distância de 4,62 m., até o vértice **1504**, de coordenadas **N 8.271.444,77** m. e **E 191.544,82** m.; deste, segue com azimute de 149°17'55" e distância de 5,47 m., até o vértice **1505**, de coordenadas **N 8.271.440,06** m. e **E 191.547,61** m.; deste, segue com azimute de 150°29'55" e distância de 5,46 m., até o vértice **1506**, de coordenadas **N 8.271.435,32** m. e **E 191.550,30** m.; deste, segue com azimute de 154°09'49" e distância de 1,70 m., até o vértice **1507**, de coordenadas **N 8.271.433,78** m. e **E 191.551,04** m.; deste, segue com azimute de 153°37'34" e distância de 5,18 m., até o vértice **1508**, de coordenadas **N 8.271.429,14** m. e **E 191.553,34** m.; deste, segue com azimute de 161°00'34" e distância de 1,79 m., até o vértice **1509**, de coordenadas **N 8.271.427,45** m. e **E 191.553,93** m.; deste, segue com azimute de 161°02'12" e distância de 3,50 m., até o vértice **1510**, de coordenadas **N 8.271.424,14** m. e **E 191.555,06** m.; deste, segue com azimute de 173°07'40" e distância de 1,57 m., até o vértice **1511**, de coordenadas **N 8.271.422,58** m. e **E 191.555,25** m.; deste, segue com azimute de 187°20'34" e distância de 5,44 m., até o vértice **1512**, de



SPL - PLC 0019/2019 folha 000440

coordenadas **N 8.271.417,19** m. e **E 191.554,55** m.; deste, segue com azimute de 201°52'56" e distância de 5,72 m., até o vértice **1513**, de coordenadas **N 8.271.411,88** m. e **E 191.552,42** m.; deste, segue com azimute de 207°10'49" e distância de 5,05 m., até o vértice **1514**, de coordenadas **N 8.271.407,39** m. e **E 191.550,12** m.; deste, segue com azimute de 204°40'30" e distância de 13,53 m., até o vértice **1515**, de coordenadas **N 8.271.395,10** m. e **E 191.544,47** m.; deste, segue com azimute de 207°09'20" e distância de 6,23 m., até o vértice **1516**, de coordenadas **N 8.271.389,55** m. e **E 191.541,63** m.; deste, segue com azimute de 209°05'15" e distância de 6,24 m., até o vértice **1517**, de coordenadas **N 8.271.384,10** m. e **E 191.538,59** m.; deste, segue com azimute de 210°16'05" e distância de 6,25 m., até o vértice **1518**, de coordenadas **N 8.271.378,70** m. e **E 191.535,44** m.; deste, segue com azimute de 210°42'06" e distância de 6,26 m., até o vértice **1519**, de coordenadas **N 8.271.373,32** m. e **E 191.532,25** m.; deste, segue com azimute de 210°23'29" e distância de 6,25 m., até o vértice **1520**, de coordenadas **N 8.271.367,92** m. e **E 191.529,08** m.; deste, segue com azimute de 209°20'14" e distância de 3,18 m., até o vértice **1521**, de coordenadas **N 8.271.365,15** m. e **E 191.527,52** m.; deste, segue com azimute de 209°20'09" e distância de 3,06 m., até o vértice **1522**, de coordenadas **N 8.271.362,48** m. e **E 191.526,02** m.; deste, segue com azimute de 216°34'17" e distância de 8,24 m., até o vértice **1523**, de coordenadas **N 8.271.355,86** m. e **E 191.521,11** m.; deste, segue com azimute de 216°34'19" e distância de 12,22 m., até o vértice **1524**, de coordenadas **N 8.271.346,05** m. e **E 191.513,83** m.; deste, segue com azimute de 216°34'17" e distância de 8,26 m., até o vértice **1525**, de coordenadas **N 8.271.339,42** m. e **E 191.508,91** m.; deste, segue com azimute de 216°34'20" e distância de 6,93 m., até o vértice **1526**, de coordenadas **N 8.271.333,85** m. e **E 191.504,78** m.; deste, segue com azimute de 216°34'16" e distância de 5,28 m., até o vértice **1527**, de coordenadas **N 8.271.329,61** m. e **E 191.501,64** m.; deste, segue com azimute de 226°03'33" e distância de 6,19 m., até o vértice **1528**, de coordenadas **N 8.271.325,32** m. e **E 191.497,18** m.; deste, segue com azimute de 226°03'34" e distância de 7,11 m., até o vértice **1529**, de coordenadas **N 8.271.320,39** m. e **E 191.492,06** m.; deste, segue com azimute de 226°03'32" e distância de 6,46 m., até o vértice **1530**, de coordenadas **N 8.271.315,90** m. e **E 191.487,41** m.; deste, segue com azimute de 240°31'52" e distância de 11,51 m., até o vértice **1531**, de coordenadas **N 8.271.310,24** m. e **E 191.477,39** m.; deste, segue com azimute de 240°31'55" e distância de 7,23 m., até o vértice **1532**, de coordenadas **N 8.271.306,68** m. e **E 191.471,10** m.; deste, segue com azimute de 249°22'46" e distância de 2,07 m., até o vértice **1533**, de coordenadas **N 8.271.305,96** m. e **E 191.469,16** m.; deste, segue com azimute de 330°40'03" e distância de 11,56 m., até o vértice **1534**, de



SPL - PLC 0019/2019 folha 000441

coordenadas **N 8.271.316,04** m. e **E 191.463,50** m.; deste, segue com azimute de 332°57'47" e distância de 7,00 m., até o vértice **1535**, de coordenadas **N 8.271.322,27** m. e **E 191.460,32** m.; deste, segue com azimute de 333°23'21" e distância de 9,53 m., até o vértice **1536**, de coordenadas **N 8.271.330,79** m. e **E 191.456,05** m.; deste, segue com azimute de 333°04'08" e distância de 3,88 m., até o vértice **1537**, de coordenadas **N 8.271.334,24** m. e **E 191.454,29** m.; deste, segue com azimute de 333°04'04" e distância de 0,61 m., até o vértice **1538**, de coordenadas **N 8.271.334,78** m. e **E 191.454,02** m.; deste, segue com azimute de 331°40'37" e distância de 6,96 m., até o vértice **1539**, de coordenadas **N 8.271.340,91** m. e **E 191.450,71** m.; deste, segue com azimute de 329°17'14" e distância de 6,91 m., até o vértice **1540**, de coordenadas **N 8.271.346,85** m. e **E 191.447,19** m.; deste, segue com azimute de 325°51'55" e distância de 6,85 m., até o vértice **1541**, de coordenadas **N 8.271.352,52** m. e **E 191.443,34** m.; deste, segue com azimute de 321°23'04" e distância de 6,81 m., até o vértice **1542**, de coordenadas **N 8.271.357,84** m. e **E 191.439,09** m.; deste, segue com azimute de 315°52'29" e distância de 4,71 m., até o vértice **1543**, de coordenadas **N 8.271.361,23** m. e **E 191.435,81** m.; deste, segue com azimute de 315°52'21" e distância de 2,11 m., até o vértice **1544**, de coordenadas **N 8.271.362,74** m. e **E 191.434,34** m.; deste, segue com azimute de 312°12'41" e distância de 1,28 m., até o vértice **1545**, de coordenadas **N 8.271.363,61** m. e **E 191.433,39** m.; deste, segue com azimute de 309°32'19" e distância de 5,18 m., até o vértice **1546**, de coordenadas **N 8.271.366,90** m. e **E 191.429,40** m.; deste, segue com azimute de 306°04'08" e distância de 5,24 m., até o vértice **1547**, de coordenadas **N 8.271.369,99** m. e **E 191.425,16** m.; deste, segue com azimute de 303°37'32" e distância de 5,30 m., até o vértice **1548**, de coordenadas **N 8.271.372,92** m. e **E 191.420,74** m.; deste, segue com azimute de 302°09'30" e distância de 5,34 m., até o vértice **1549**, de coordenadas **N 8.271.375,77** m. e **E 191.416,22** m.; deste, segue com azimute de 301°37'24" e distância de 5,36 m., até o vértice **1550**, de coordenadas **N 8.271.378,58** m. e **E 191.411,66** m.; deste, segue com azimute de 302°00'17" e distância de 5,35 m., até o vértice **1551**, de coordenadas **N 8.271.381,41** m. e **E 191.407,12** m.; deste, segue com azimute de 303°18'54" e distância de 5,31 m., até o vértice **1552**, de coordenadas **N 8.271.384,33** m. e **E 191.402,69** m.; deste, segue com azimute de 283°42'23" e distância de 3,11 m., até o vértice **1553**, de coordenadas **N 8.271.385,06** m. e **E 191.399,67** m.; deste, segue com azimute de 283°42'28" e distância de 3,77 m., até o vértice **1554**, de coordenadas **N 8.271.385,96** m. e **E 191.396,00** m.; deste, segue com azimute de 283°42'23" e distância de 6,88 m., até o vértice **1555**, de coordenadas **N 8.271.387,59** m. e **E 191.389,32** m.; deste, segue com azimute de 269°15'37" e distância de 6,49 m., até o vértice **1556**, de



SPL - PLC 0019/2019 folha 000442

coordenadas **N 8.271.387,50** m. e **E 191.382,83** m.; deste, segue com azimute de 247°00'00" e distância de 4,66 m., até o vértice **1557**, de coordenadas **N 8.271.385,68** m. e **E 191.378,54** m.; deste, segue com azimute de 239°11'47" e distância de 9,61 m., até o vértice **1558**, de coordenadas **N 8.271.380,76** m. e **E 191.370,29** m.; deste, segue com azimute de 239°11'33" e distância de 0,28 m., até o vértice **1559**, de coordenadas **N 8.271.380,62** m. e **E 191.370,04** m.; deste, segue com azimute de 245°09'08" e distância de 5,24 m., até o vértice **1560**, de coordenadas **N 8.271.378,41** m. e **E 191.365,29** m.; deste, segue com azimute de 254°00'32" e distância de 9,98 m., até o vértice **1561**, de coordenadas **N 8.271.375,67** m. e **E 191.355,69** m.; deste, segue com azimute de 287°17'59" e distância de 5,97 m., até o vértice **1562**, de coordenadas **N 8.271.377,44** m. e **E 191.349,99** m.; deste, segue com azimute de 304°39'43" e distância de 6,60 m., até o vértice **1563**, de coordenadas **N 8.271.381,19** m. e **E 191.344,57** m.; deste, segue com azimute de 304°07'14" e distância de 3,86 m., até o vértice **1564**, de coordenadas **N 8.271.383,36** m. e **E 191.341,38** m.; deste, segue com azimute de 304°07'11" e distância de 2,73 m., até o vértice **1565**, de coordenadas **N 8.271.384,89** m. e **E 191.339,12** m.; deste, segue com azimute de 298°24'08" e distância de 11,74 m., até o vértice **1566**, de coordenadas **N 8.271.390,47** m. e **E 191.328,80** m.; deste, segue com azimute de 297°20'06" e distância de 4,45 m., até o vértice **1567**, de coordenadas **N 8.271.392,51** m. e **E 191.324,85** m.; deste, segue com azimute de 297°20'07" e distância de 7,27 m., até o vértice **1568**, de coordenadas **N 8.271.395,85** m. e **E 191.318,39** m.; deste, segue com azimute de 294°06'10" e distância de 10,42 m., até o vértice **1569**, de coordenadas **N 8.271.400,10** m. e **E 191.308,88** m.; deste, segue com azimute de 283°51'06" e distância de 43,35 m., até o vértice **1570**, de coordenadas **N 8.271.410,48** m. e **E 191.266,79** m.; deste, segue com azimute de 290°08'53" e distância de 5,24 m., até o vértice **1571**, de coordenadas **N 8.271.412,29** m. e **E 191.261,87** m.; deste, segue com azimute de 283°21'47" e distância de 6,33 m., até o vértice **1572**, de coordenadas **N 8.271.413,75** m. e **E 191.255,71** m.; deste, segue com azimute de 283°21'49" e distância de 0,45 m., até o vértice **1573**, de coordenadas **N 8.271.413,85** m. e **E 191.255,27** m.; deste, segue com azimute de 287°55'47" e distância de 1,69 m., até o vértice **1574**, de coordenadas **N 8.271.414,37** m. e **E 191.253,67** m.; deste, segue com azimute de 287°55'45" e distância de 1,86 m., até o vértice **1575**, de coordenadas **N 8.271.414,94** m. e **E 191.251,90** m.; deste, segue com azimute de 287°55'46" e distância de 2,89 m., até o vértice **1576**, de coordenadas **N 8.271.415,83** m. e **E 191.249,15** m.; deste, segue com azimute de 287°55'37" e distância de 1,71 m., até o vértice **1577**, de coordenadas **N 8.271.416,36** m. e **E 191.247,53** m.; deste, segue com azimute de 287°55'52" e distância de 1,93 m., até o vértice **1578**, de



SPL - PLC 0019/2019 folha 000443

coordenadas **N 8.271.416,95** m. e **E 191.245,69** m.; deste, segue com azimute de 287°55'42" e distância de 0,67 m., até o vértice **1579**, de coordenadas **N 8.271.417,16** m. e **E 191.245,05** m.; deste, segue com azimute de 287°55'52" e distância de 0,45 m., até o vértice **1580**, de coordenadas **N 8.271.417,30** m. e **E 191.244,63** m.; deste, segue com azimute de 287°55'49" e distância de 1,86 m., até o vértice **1581**, de coordenadas **N 8.271.417,87** m. e **E 191.242,86** m.; deste, segue com azimute de 287°55'37" e distância de 2,23 m., até o vértice **1582**, de coordenadas **N 8.271.418,55** m. e **E 191.240,75** m.; deste, segue com azimute de 287°55'57" e distância de 1,26 m., até o vértice **1583**, de coordenadas **N 8.271.418,94** m. e **E 191.239,54** m.; deste, segue com azimute de 287°55'48" e distância de 2,56 m., até o vértice **1584**, de coordenadas **N 8.271.419,73** m. e **E 191.237,11** m.; deste, segue com azimute de 289°18'14" e distância de 0,56 m., até o vértice **1585**, de coordenadas **N 8.271.419,92** m. e **E 191.236,58** m.; deste, segue com azimute de 289°18'24" e distância de 1,34 m., até o vértice **1586**, de coordenadas **N 8.271.420,36** m. e **E 191.235,31** m.; deste, segue com azimute de 289°18'27" e distância de 9,33 m., até o vértice **1587**, de coordenadas **N 8.271.423,44** m. e **E 191.226,51** m.; deste, segue com azimute de 289°18'27" e distância de 7,87 m., até o vértice **1588**, de coordenadas **N 8.271.426,05** m. e **E 191.219,08** m.; deste, segue com azimute de 287°20'00" e distância de 19,08 m., até o vértice **1589**, de coordenadas **N 8.271.431,73** m. e **E 191.200,87** m.; deste, segue com azimute de 285°56'16" e distância de 16,76 m., até o vértice **1590**, de coordenadas **N 8.271.436,33** m. e **E 191.184,76** m.; deste, segue com azimute de 284°13'46" e distância de 5,06 m., até o vértice **1591**, de coordenadas **N 8.271.437,57** m. e **E 191.179,85** m.; deste, segue com azimute de 279°19'05" e distância de 31,27 m., até o vértice **1592**, de coordenadas **N 8.271.442,64** m. e **E 191.149,00** m.; deste, segue com azimute de 269°38'36" e distância de 12,40 m., até o vértice **1593**, de coordenadas **N 8.271.442,56** m. e **E 191.136,60** m.; deste, segue com azimute de 263°34'52" e distância de 1,66 m., até o vértice **1594**, de coordenadas **N 8.271.442,37** m. e **E 191.134,95** m.; deste, segue com azimute de 263°35'02" e distância de 9,06 m., até o vértice **1595**, de coordenadas **N 8.271.441,36** m. e **E 191.125,95** m.; deste, segue com azimute de 263°35'03" e distância de 5,03 m., até o vértice **1596**, de coordenadas **N 8.271.440,80** m. e **E 191.120,95** m.; deste, segue com azimute de 256°59'09" e distância de 15,43 m., até o vértice **1597**, de coordenadas **N 8.271.437,33** m. e **E 191.105,92** m.; deste, segue com azimute de 244°51'29" e distância de 9,93 m., até o vértice **1598**, de coordenadas **N 8.271.433,11** m. e **E 191.096,93** m.; deste, segue com azimute de 244°51'26" e distância de 6,81 m., até o vértice **1599**, de coordenadas **N 8.271.430,21** m. e **E 191.090,77** m.; deste, segue com azimute de 244°51'37" e distância de 0,82 m., até o vértice **1600**, de



SPL - PLC 0019/2019 folha 000444

coordenadas **N 8.271.429,86** m. e **E 191.090,02** m.; deste, segue com azimute de 237°05'20" e distância de 9,30 m., até o vértice **1601**, de coordenadas **N 8.271.424,81** m. e **E 191.082,21** m.; deste, segue com azimute de 237°05'21" e distância de 8,66 m., até o vértice **1602**, de coordenadas **N 8.271.420,11** m. e **E 191.074,94** m.; deste, segue com azimute de 242°17'35" e distância de 13,11 m., até o vértice **1603**, de coordenadas **N 8.271.414,01** m. e **E 191.063,34** m.; deste, segue com azimute de 242°17'38" e distância de 4,57 m., até o vértice **1604**, de coordenadas **N 8.271.411,89** m. e **E 191.059,29** m.; deste, segue com azimute de 252°21'11" e distância de 12,95 m., até o vértice **1605**, de coordenadas **N 8.271.407,96** m. e **E 191.046,95** m.; deste, segue com azimute de 256°17'34" e distância de 11,26 m., até o vértice **1606**, de coordenadas **N 8.271.405,29** m. e **E 191.036,01** m.; deste, segue com azimute de 256°17'39" e distância de 1,76 m., até o vértice **1607**, de coordenadas **N 8.271.404,87** m. e **E 191.034,30** m.; deste, segue com azimute de 257°15'24" e distância de 13,09 m., até o vértice **1608**, de coordenadas **N 8.271.401,99** m. e **E 191.021,53** m.; deste, segue com azimute de 259°06'26" e distância de 11,50 m., até o vértice **1609**, de coordenadas **N 8.271.399,81** m. e **E 191.010,24** m.; deste, segue com azimute de 259°55'16" e distância de 11,56 m., até o vértice **1610**, de coordenadas **N 8.271.397,79** m. e **E 190.998,86** m.; deste, segue com azimute de 254°57'41" e distância de 0,33 m., até o vértice **1611**, de coordenadas **N 8.271.397,71** m. e **E 190.998,55** m.; deste, segue com azimute de 254°57'04" e distância de 2,41 m., até o vértice **1612**, de coordenadas **N 8.271.397,08** m. e **E 190.996,21** m.; deste, segue com azimute de 254°57'10" e distância de 8,66 m., até o vértice **1613**, de coordenadas **N 8.271.394,83** m. e **E 190.987,85** m.; deste, segue com azimute de 244°20'51" e distância de 15,69 m., até o vértice **1614**, de coordenadas **N 8.271.388,04** m. e **E 190.973,71** m.; deste, segue com azimute de 237°26'12" e distância de 15,94 m., até o vértice **1615**, de coordenadas **N 8.271.379,46** m. e **E 190.960,28** m.; deste, segue com azimute de 238°06'13" e distância de 15,87 m., até o vértice **1616**, de coordenadas **N 8.271.371,08** m. e **E 190.946,81** m.; deste, segue com azimute de 241°41'33" e distância de 4,06 m., até o vértice **1617**, de coordenadas **N 8.271.369,15** m. e **E 190.943,23** m.; deste, segue com azimute de 241°41'32" e distância de 13,30 m., até o vértice **1618**, de coordenadas **N 8.271.362,84** m. e **E 190.931,52** m.; deste, segue com azimute de 242°27'45" e distância de 17,30 m., até o vértice **1619**, de coordenadas **N 8.271.354,85** m. e **E 190.916,18** m.; deste, segue com azimute de 242°11'20" e distância de 17,33 m., até o vértice **1620**, de coordenadas **N 8.271.346,76** m. e **E 190.900,85** m.; deste, segue com azimute de 241°41'24" e distância de 19,08 m., até o vértice **1621**, de coordenadas **N 8.271.337,71** m. e **E 190.884,05** m.; deste, segue com azimute de 241°23'37" e distância de 19,12 m., até o vértice **1622**, de



SFL - PLC 0019/2019 folha 000445

coordenadas **N 8.271.328,56** m. e **E 190.867,27** m.; deste, segue com azimute de 240°42'05" e distância de 6,17 m., até o vértice **1623**, de coordenadas **N 8.271.325,54** m. e **E 190.861,89** m.; deste, segue com azimute de 240°42'02" e distância de 6,27 m., até o vértice **1624**, de coordenadas **N 8.271.322,47** m. e **E 190.856,42** m.; deste, segue com azimute de 240°42'04" e distância de 6,72 m., até o vértice **1625**, de coordenadas **N 8.271.319,18** m. e **E 190.850,56** m.; deste, segue com azimute de 239°20'22" e distância de 14,85 m., até o vértice **1626**, de coordenadas **N 8.271.311,61** m. e **E 190.837,79** m.; deste, segue com azimute de 238°48'31" e distância de 9,44 m., até o vértice **1627**, de coordenadas **N 8.271.306,72** m. e **E 190.829,71** m.; deste, segue com azimute de 238°48'32" e distância de 5,44 m., até o vértice **1628**, de coordenadas **N 8.271.303,91** m. e **E 190.825,06** m.; deste, segue com azimute de 240°07'43" e distância de 3,79 m., até o vértice **1629**, de coordenadas **N 8.271.302,02** m. e **E 190.821,78** m.; deste, segue com azimute de 240°07'37" e distância de 11,07 m., até o vértice **1630**, de coordenadas **N 8.271.296,51** m. e **E 190.812,18** m.; deste, segue com azimute de 242°39'09" e distância de 16,75 m., até o vértice **1631**, de coordenadas **N 8.271.288,81** m. e **E 190.797,30** m.; deste, segue com azimute de 244°08'54" e distância de 4,10 m., até o vértice **1632**, de coordenadas **N 8.271.287,02** m. e **E 190.793,61** m.; deste, segue com azimute de 244°08'52" e distância de 12,66 m., até o vértice **1633**, de coordenadas **N 8.271.281,50** m. e **E 190.782,22** m.; deste, segue com azimute de 244°08'51" e distância de 16,76 m., até o vértice **1634**, de coordenadas **N 8.271.274,20** m. e **E 190.767,14** m.; deste, segue com azimute de 301°12'26" e distância de 289,37 m., até o vértice **1635**, de coordenadas **N 8.271.424,13** m. e **E 190.519,65** m.; deste, segue com azimute de 21°32'35" e distância de 18,55 m., até o vértice **1636**, de coordenadas **N 8.271.441,38** m. e **E 190.526,46** m.; deste, segue com azimute de 17°50'15" e distância de 5,72 m., até o vértice **1637**, de coordenadas **N 8.271.446,83** m. e **E 190.528,21** m.; deste, segue com azimute de 17°50'12" e distância de 3,38 m., até o vértice **1638**, de coordenadas **N 8.271.450,04** m. e **E 190.529,24** m.; deste, segue com azimute de 13°01'17" e distância de 7,22 m., até o vértice **1639**, de coordenadas **N 8.271.457,08** m. e **E 190.530,87** m.; deste, segue com azimute de 9°46'50" e distância de 7,16 m., até o vértice **1640**, de coordenadas **N 8.271.464,14** m. e **E 190.532,09** m.; deste, segue com azimute de 6°46'19" e distância de 7,29 m., até o vértice **1641**, de coordenadas **N 8.271.471,38** m. e **E 190.532,95** m.; deste, segue com azimute de 6°40'23" e distância de 5,85 m., até o vértice **1642**, de coordenadas **N 8.271.477,19** m. e **E 190.533,63** m.; deste, segue com azimute de 6°40'22" e distância de 2,54 m., até o vértice **1643**, de coordenadas **N 8.271.479,71** m. e **E 190.533,92** m.; deste, segue com azimute de 6°40'21" e distância de 0,98 m., até o vértice



SPL - PLC 0019/2019 folha 000446

**1644**, de coordenadas **N 8.271.480,69** m. e **E 190.534,04** m.; deste, segue com azimute de 3°25'17" e distância de 9,59 m., até o vértice **1645**, de coordenadas **N 8.271.490,26** m. e **E 190.534,61** m.; deste, segue com azimute de 350°47'38" e distância de 2,07 m., até o vértice **1646**, de coordenadas **N 8.271.492,31** m. e **E 190.534,28** m.; deste, segue com azimute de 350°47'44" e distância de 7,05 m., até o vértice **1647**, de coordenadas **N 8.271.499,27** m. e **E 190.533,15** m.; deste, segue com azimute de 334°19'37" e distância de 6,75 m., até o vértice **1648**, de coordenadas **N 8.271.505,35** m. e **E 190.530,23** m.; deste, segue com azimute de 334°19'43" e distância de 0,81 m., até o vértice **1649**, de coordenadas **N 8.271.506,08** m. e **E 190.529,88** m.; deste, segue com azimute de 324°25'19" e distância de 7,91 m., até o vértice **1650**, de coordenadas **N 8.271.512,51** m. e **E 190.525,27** m.; deste, segue com azimute de 316°02'40" e distância de 7,69 m., até o vértice **1651**, de coordenadas **N 8.271.518,05** m. e **E 190.519,93** m.; deste, segue com azimute de 296°24'43" e distância de 9,88 m., até o vértice **1652**, de coordenadas **N 8.271.522,44** m. e **E 190.511,09** m.; deste, segue com azimute de 285°47'34" e distância de 10,50 m., até o vértice **1653**, de coordenadas **N 8.271.525,30** m. e **E 190.500,98** m.; deste, segue com azimute de 301°33'36" e distância de 9,73 m., até o vértice **1654**, de coordenadas **N 8.271.530,39** m. e **E 190.492,69** m.; deste, segue com azimute de 326°36'00" e distância de 5,77 m., até o vértice **1655**, de coordenadas **N 8.271.535,21** m. e **E 190.489,51** m.; deste, segue com azimute de 334°54'33" e distância de 4,70 m., até o vértice **1656**, de coordenadas **N 8.271.539,47** m. e **E 190.487,52** m.; deste, segue com azimute de 334°54'28" e distância de 1,41 m., até o vértice **1657**, de coordenadas **N 8.271.540,75** m. e **E 190.486,92** m.; deste, segue com azimute de 336°30'13" e distância de 6,10 m., até o vértice **1658**, de coordenadas **N 8.271.546,34** m. e **E 190.484,49** m.; deste, segue com azimute de 338°14'39" e distância de 13,13 m., até o vértice **1659**, de coordenadas **N 8.271.558,54** m. e **E 190.479,62** m.; deste, segue com azimute de 341°51'52" e distância de 13,15 m., até o vértice **1660**, de coordenadas **N 8.271.571,03** m. e **E 190.475,53** m.; deste, segue com azimute de 341°51'53" e distância de 13,15 m., até o vértice **1661**, de coordenadas **N 8.271.583,53** m. e **E 190.471,44** m.; deste, segue com azimute de 334°00'09" e distância de 1,75 m., até o vértice **1662**, de coordenadas **N 8.271.585,10** m. e **E 190.470,67** m.; deste, segue com azimute de 336°55'04" e distância de 14,21 m., até o vértice **1663**, de coordenadas **N 8.271.598,17** m. e **E 190.465,10** m.; deste, segue com azimute de 341°35'16" e distância de 8,01 m., até o vértice **1664**, de coordenadas **N 8.271.605,77** m. e **E 190.462,57** m.; deste, segue com azimute de 351°57'44" e distância de 6,15 m., até o vértice **1665**, de coordenadas **N 8.271.611,86** m. e **E 190.461,71** m.; deste, segue com azimute de 357°40'38" e distância



SPL - PLC 0019/2019 folha 000447

de 5,67 m., até o vértice **1666**, de coordenadas **N 8.271.617,53** m. e **E 190.461,48** m.; deste, segue com azimute de 359°35'09" e distância de 4,15 m., até o vértice **1667**, de coordenadas **N 8.271.621,68** m. e **E 190.461,45** m.; deste, segue com azimute de 347°20'00" e distância de 4,06 m., até o vértice **1668**, de coordenadas **N 8.271.625,64** m. e **E 190.460,56** m.; deste, segue com azimute de 337°06'43" e distância de 9,20 m., até o vértice **1669**, de coordenadas **N 8.271.634,12** m. e **E 190.456,98** m.; deste, segue com azimute de 337°05'11" e distância de 7,13 m., até o vértice **1670**, de coordenadas **N 8.271.640,69** m. e **E 190.454,21** m.; deste, segue com azimute de 337°05'11" e distância de 7,13 m., até o vértice **1671**, de coordenadas **N 8.271.647,25** m. e **E 190.451,43** m.; deste, segue com azimute de 339°44'10" e distância de 8,72 m., até o vértice **1672**, de coordenadas **N 8.271.655,43** m. e **E 190.448,41** m.; deste, segue com azimute de 338°04'07" e distância de 8,19 m., até o vértice **1673**, de coordenadas **N 8.271.663,03** m. e **E 190.445,35** m.; deste, segue com azimute de 335°22'35" e distância de 6,34 m., até o vértice **1674**, de coordenadas **N 8.271.668,79** m. e **E 190.442,71** m.; deste, segue com azimute de 335°58'35" e distância de 11,40 m., até o vértice **1675**, de coordenadas **N 8.271.679,20** m. e **E 190.438,07** m.; deste, segue com azimute de 344°34'40" e distância de 15,34 m., até o vértice **1676**, de coordenadas **N 8.271.693,99** m. e **E 190.433,99** m.; deste, segue com azimute de 349°14'42" e distância de 13,77 m., até o vértice **1677**, de coordenadas **N 8.271.707,52** m. e **E 190.431,42** m.; deste, segue com azimute de 346°41'41" e distância de 9,12 m., até o vértice **1678**, de coordenadas **N 8.271.716,40** m. e **E 190.429,32** m.; deste, segue com azimute de 344°58'14" e distância de 9,80 m., até o vértice **1679**, de coordenadas **N 8.271.725,86** m. e **E 190.426,78** m.; deste, segue com azimute de 342°17'49" e distância de 8,91 m., até o vértice **1680**, de coordenadas **N 8.271.734,35** m. e **E 190.424,07** m.; deste, segue com azimute de 339°22'01" e distância de 6,10 m., até o vértice **1681**, de coordenadas **N 8.271.740,06** m. e **E 190.421,92** m.; deste, segue com azimute de 338°54'20" e distância de 1,10 m., até o vértice **1682**, de coordenadas **N 8.271.741,08** m. e **E 190.421,53** m.; deste, segue com azimute de 338°54'29" e distância de 8,66 m., até o vértice **1683**, de coordenadas **N 8.271.749,16** m. e **E 190.418,41** m.; deste, segue com azimute de 339°26'05" e distância de 7,23 m., até o vértice **1684**, de coordenadas **N 8.271.755,93** m. e **E 190.415,87** m.; deste, segue com azimute de 340°33'20" e distância de 7,18 m., até o vértice **1685**, de coordenadas **N 8.271.762,70** m. e **E 190.413,48** m.; deste, segue com azimute de 341°15'16" e distância de 7,00 m., até o vértice **1686**, de coordenadas **N 8.271.769,33** m. e **E 190.411,23** m.; deste, segue com azimute de 338°20'56" e distância de 6,37 m., até o vértice **1687**, de coordenadas **N 8.271.775,25** m. e **E 190.408,88** m.; deste, segue com azimute de 334°47'06" e distância



SPL - PLC 0019/2019 folha 000448

de 6,64 m., até o vértice **1688**, de coordenadas **N 8.271.781,26** m. e **E 190.406,05** m.; deste, segue com azimute de 336°57'00" e distância de 9,12 m., até o vértice **1689**, de coordenadas **N 8.271.789,65** m. e **E 190.402,48** m.; deste, segue com azimute de 337°29'14" e distância de 8,23 m., até o vértice **1690**, de coordenadas **N 8.271.797,25** m. e **E 190.399,33** m.; deste, segue com azimute de 335°41'51" e distância de 8,72 m., até o vértice **1691**, de coordenadas **N 8.271.805,20** m. e **E 190.395,74** m.; deste, segue com azimute de 341°39'09" e distância de 16,55 m., até o vértice **1692**, de coordenadas **N 8.271.820,91** m. e **E 190.390,53** m.; deste, segue com azimute de 336°58'15" e distância de 7,11 m., até o vértice **1693**, de coordenadas **N 8.271.827,45** m. e **E 190.387,75** m.; deste, segue com azimute de 333°24'00" e distância de 7,35 m., até o vértice **1694**, de coordenadas **N 8.271.834,02** m. e **E 190.384,46** m.; deste, segue com azimute de 329°24'45" e distância de 8,10 m., até o vértice **1695**, de coordenadas **N 8.271.840,99** m. e **E 190.380,34** m.; deste, segue com azimute de 325°24'38" e distância de 5,83 m., até o vértice **1696**, de coordenadas **N 8.271.845,79** m. e **E 190.377,03** m.; deste, segue com azimute de 327°28'12" e distância de 8,22 m., até o vértice **1697**, de coordenadas **N 8.271.852,72** m. e **E 190.372,61** m.; deste, segue com azimute de 330°37'31" e distância de 7,30 m., até o vértice **1698**, de coordenadas **N 8.271.859,08** m. e **E 190.369,03** m.; deste, segue com azimute de 335°10'38" e distância de 8,38 m., até o vértice **1699**, de coordenadas **N 8.271.866,69** m. e **E 190.365,51** m.; deste, segue com azimute de 336°05'14" e distância de 10,53 m., até o vértice **1700**, de coordenadas **N 8.271.876,32** m. e **E 190.361,24** m.; deste, segue com azimute de 340°00'18" e distância de 20,56 m., até o vértice **1701**, de coordenadas **N 8.271.895,64** m. e **E 190.354,21** m.; deste, segue com azimute de 339°45'35" e distância de 9,13 m., até o vértice **1702**, de coordenadas **N 8.271.904,21** m. e **E 190.351,05** m.; deste, segue com azimute de 335°05'02" e distância de 8,24 m., até o vértice **1703**, de coordenadas **N 8.271.911,68** m. e **E 190.347,58** m.; deste, segue com azimute de 331°04'32" e distância de 6,41 m., até o vértice **1704**, de coordenadas **N 8.271.917,29** m. e **E 190.344,48** m.; deste, segue com azimute de 331°11'25" e distância de 22,95 m., até o vértice **1705**, de coordenadas **N 8.271.937,40** m. e **E 190.333,42** m.; deste, segue com azimute de 326°52'13" e distância de 6,81 m., até o vértice **1706**, de coordenadas **N 8.271.943,10** m. e **E 190.329,70** m.; deste, segue com azimute de 327°47'44" e distância de 8,24 m., até o vértice **1707**, de coordenadas **N 8.271.950,07** m. e **E 190.325,31** m.; deste, segue com azimute de 326°42'47" e distância de 7,49 m., até o vértice **1708**, de coordenadas **N 8.271.956,33** m. e **E 190.321,20** m.; deste, segue com azimute de 321°28'07" e distância de 6,97 m., até o vértice **1709**, de coordenadas **N 8.271.961,78** m. e **E 190.316,86** m.; deste, segue com azimute de 319°12'45" e distância



SFL - PLC 0019/2019 folha 000449

de 5,01 m., até o vértice **1710**, de coordenadas **N 8.271.965,57** m. e **E 190.313,59** m.; deste, segue com azimute de 322°24'51" e distância de 8,16 m., até o vértice **1711**, de coordenadas **N 8.271.972,04** m. e **E 190.308,61** m.; deste, segue com azimute de 318°26'42" e distância de 8,47 m., até o vértice **1712**, de coordenadas **N 8.271.978,38** m. e **E 190.302,99** m.; deste, segue com azimute de 316°28'57" e distância de 7,65 m., até o vértice **1713**, de coordenadas **N 8.271.983,93** m. e **E 190.297,72** m.; deste, segue com azimute de 317°12'55" e distância de 11,16 m., até o vértice **1714**, de coordenadas **N 8.271.992,12** m. e **E 190.290,14** m.; deste, segue com azimute de 319°38'30" e distância de 10,75 m., até o vértice **1715**, de coordenadas **N 8.272.000,31** m. e **E 190.283,18** m.; deste, segue com azimute de 323°05'31" e distância de 9,04 m., até o vértice **1716**, de coordenadas **N 8.272.007,54** m. e **E 190.277,75** m.; deste, segue com azimute de 322°40'36" e distância de 10,11 m., até o vértice **1717**, de coordenadas **N 8.272.015,58** m. e **E 190.271,62** m.; deste, segue com azimute de 325°01'59" e distância de 7,47 m., até o vértice **1718**, de coordenadas **N 8.272.021,70** m. e **E 190.267,34** m.; deste, segue com azimute de 324°41'55" e distância de 7,89 m., até o vértice **1719**, de coordenadas **N 8.272.028,14** m. e **E 190.262,78** m.; deste, segue com azimute de 323°12'06" e distância de 5,42 m., até o vértice **1720**, de coordenadas **N 8.272.032,48** m. e **E 190.259,53** m.; deste, segue com azimute de 323°12'06" e distância de 12,18 m., até o vértice **1721**, de coordenadas **N 8.272.042,23** m. e **E 190.252,24** m.; deste, segue com azimute de 312°59'51" e distância de 13,15 m., até o vértice **1722**, de coordenadas **N 8.272.051,20** m. e **E 190.242,62** m.; deste, segue com azimute de 312°56'24" e distância de 13,77 m., até o vértice **1723**, de coordenadas **N 8.272.060,58** m. e **E 190.232,54** m.; deste, segue com azimute de 312°00'41" e distância de 12,34 m., até o vértice **1724**, de coordenadas **N 8.272.068,84** m. e **E 190.223,37** m.; deste, segue com azimute de 307°41'18" e distância de 7,00 m., até o vértice **1725**, de coordenadas **N 8.272.073,12** m. e **E 190.217,83** m.; deste, segue com azimute de 310°38'05" e distância de 11,15 m., até o vértice **1726**, de coordenadas **N 8.272.080,38** m. e **E 190.209,37** m.; deste, segue com azimute de 311°05'28" e distância de 10,79 m., até o vértice **1727**, de coordenadas **N 8.272.087,47** m. e **E 190.201,24** m.; deste, segue com azimute de 311°03'40" e distância de 11,22 m., até o vértice **1728**, de coordenadas **N 8.272.094,84** m. e **E 190.192,78** m.; deste, segue com azimute de 310°52'04" e distância de 12,36 m., até o vértice **1729**, de coordenadas **N 8.272.102,93** m. e **E 190.183,43** m.; deste, segue com azimute de 313°18'48" e distância de 12,49 m., até o vértice **1730**, de coordenadas **N 8.272.111,50** m. e **E 190.174,34** m.; deste, segue com azimute de 312°55'41" e distância de 10,95 m., até o vértice **1731**, de coordenadas **N 8.272.118,96** m. e **E 190.166,32** m.; deste, segue com azimute de 313°46'30" e distância



SPL - PLC 0019/2019 folha 000450

de 8,27 m., até o vértice **1732**, de coordenadas **N 8.272.124,68** m. e **E 190.160,35** m.; deste, segue com azimute de 314°02'23" e distância de 12,66 m., até o vértice **1733**, de coordenadas **N 8.272.133,48** m. e **E 190.151,25** m.; deste, segue com azimute de 312°43'54" e distância de 10,18 m., até o vértice **1734**, de coordenadas **N 8.272.140,39** m. e **E 190.143,77** m.; deste, segue com azimute de 312°05'17" e distância de 11,41 m., até o vértice **1735**, de coordenadas **N 8.272.148,04** m. e **E 190.135,30** m.; deste, segue com azimute de 311°13'24" e distância de 11,49 m., até o vértice **1736**, de coordenadas **N 8.272.155,61** m. e **E 190.126,66** m.; deste, segue com azimute de 311°25'15" e distância de 14,53 m., até o vértice **1737**, de coordenadas **N 8.272.165,22** m. e **E 190.115,77** m.; deste, segue com azimute de 311°25'16" e distância de 4,50 m., até o vértice **1738**, de coordenadas **N 8.272.168,20** m. e **E 190.112,39** m.; deste, segue com azimute de 311°14'59" e distância de 8,43 m., até o vértice **1739**, de coordenadas **N 8.272.173,76** m. e **E 190.106,05** m.; deste, segue com azimute de 311°58'35" e distância de 7,91 m., até o vértice **1740**, de coordenadas **N 8.272.179,05** m. e **E 190.100,17** m.; deste, segue com azimute de 313°34'16" e distância de 9,36 m., até o vértice **1741**, de coordenadas **N 8.272.185,50** m. e **E 190.093,39** m.; deste, segue com azimute de 313°57'31" e distância de 11,02 m., até o vértice **1742**, de coordenadas **N 8.272.193,15** m. e **E 190.085,46** m.; deste, segue com azimute de 316°51'57" e distância de 2,89 m., até o vértice **1743**, de coordenadas **N 8.272.195,26** m. e **E 190.083,48** m.; deste, segue com azimute de 318°30'05" e distância de 7,41 m., até o vértice **1744**, de coordenadas **N 8.272.200,81** m. e **E 190.078,57** m.; deste, segue com azimute de 313°35'49" e distância de 6,64 m., até o vértice **1745**, de coordenadas **N 8.272.205,39** m. e **E 190.073,76** m.; deste, segue com azimute de 311°45'59" e distância de 7,52 m., até o vértice **1746**, de coordenadas **N 8.272.210,40** m. e **E 190.068,15** m.; deste, segue com azimute de 307°18'24" e distância de 8,40 m., até o vértice **1747**, de coordenadas **N 8.272.215,49** m. e **E 190.061,47** m.; deste, segue com azimute de 304°05'20" e distância de 9,56 m., até o vértice **1748**, de coordenadas **N 8.272.220,85** m. e **E 190.053,55** m.; deste, segue com azimute de 299°16'31" e distância de 6,05 m., até o vértice **1749**, de coordenadas **N 8.272.223,81** m. e **E 190.048,27** m.; deste, segue com azimute de 297°58'02" e distância de 8,96 m., até o vértice **1750**, de coordenadas **N 8.272.228,01** m. e **E 190.040,36** m.; deste, segue com azimute de 294°38'51" e distância de 8,15 m., até o vértice **1751**, de coordenadas **N 8.272.231,41** m. e **E 190.032,95** m.; deste, segue com azimute de 295°49'50" e distância de 5,23 m., até o vértice **1752**, de coordenadas **N 8.272.233,69** m. e **E 190.028,24** m.; deste, segue com azimute de 292°31'07" e distância de 6,97 m., até o vértice **1753**, de coordenadas **N 8.272.236,36** m. e **E 190.021,80** m.; deste, segue com azimute de 290°53'05" e distância



SPL - PLC 0019/2019 folha 000451

de 6,73 m., até o vértice **1754**, de coordenadas **N 8.272.238,76** m. e **E 190.015,51** m.; deste, segue com azimute de 287°27'42" e distância de 5,40 m., até o vértice **1755**, de coordenadas **N 8.272.240,38** m. e **E 190.010,36** m.; deste, segue com azimute de 287°28'55" e distância de 11,22 m., até o vértice **1756**, de coordenadas **N 8.272.243,75** m. e **E 189.999,66** m.; deste, segue com azimute de 287°48'32" e distância de 7,81 m., até o vértice **1757**, de coordenadas **N 8.272.246,14** m. e **E 189.992,22** m.; deste, segue com azimute de 280°39'59" e distância de 7,51 m., até o vértice **1758**, de coordenadas **N 8.272.247,53** m. e **E 189.984,84** m.; deste, segue com azimute de 277°58'05" e distância de 7,50 m., até o vértice **1759**, de coordenadas **N 8.272.248,57** m. e **E 189.977,41** m.; deste, segue com azimute de 275°16'00" e distância de 7,19 m., até o vértice **1760**, de coordenadas **N 8.272.249,23** m. e **E 189.970,25** m.; deste, segue com azimute de 264°58'18" e distância de 5,93 m., até o vértice **1761**, de coordenadas **N 8.272.248,71** m. e **E 189.964,34** m.; deste, segue com azimute de 270°10'06" e distância de 17,01 m., até o vértice **1762**, de coordenadas **N 8.272.248,76** m. e **E 189.947,33** m.; deste, segue com azimute de 278°59'05" e distância de 4,93 m., até o vértice **1763**, de coordenadas **N 8.272.249,53** m. e **E 189.942,46** m.; deste, segue com azimute de 289°16'56" e distância de 3,42 m., até o vértice **1764**, de coordenadas **N 8.272.250,66** m. e **E 189.939,23** m.; deste, segue com azimute de 295°47'29" e distância de 5,63 m., até o vértice **1765**, de coordenadas **N 8.272.253,11** m. e **E 189.934,16** m.; deste, segue com azimute de 301°51'10" e distância de 5,97 m., até o vértice **1766**, de coordenadas **N 8.272.256,26** m. e **E 189.929,09** m.; deste, segue com azimute de 305°19'53" e distância de 7,75 m., até o vértice **1767**, de coordenadas **N 8.272.260,74** m. e **E 189.922,77** m.; deste, segue com azimute de 304°37'20" e distância de 5,97 m., até o vértice **1768**, de coordenadas **N 8.272.264,13** m. e **E 189.917,86** m.; deste, segue com azimute de 298°52'40" e distância de 5,98 m., até o vértice **1769**, de coordenadas **N 8.272.267,02** m. e **E 189.912,62** m.; deste, segue com azimute de 295°27'30" e distância de 9,96 m., até o vértice **1770**, de coordenadas **N 8.272.271,30** m. e **E 189.903,63** m.; deste, segue com azimute de 290°22'27" e distância de 7,01 m., até o vértice **1771**, de coordenadas **N 8.272.273,74** m. e **E 189.897,06** m.; deste, segue com azimute de 284°35'29" e distância de 6,51 m., até o vértice **1772**, de coordenadas **N 8.272.275,38** m. e **E 189.890,76** m.; deste, segue com azimute de 279°23'49" e distância de 5,76 m., até o vértice **1773**, de coordenadas **N 8.272.276,32** m. e **E 189.885,08** m.; deste, segue com azimute de 268°59'30" e distância de 6,25 m., até o vértice **1774**, de coordenadas **N 8.272.276,21** m. e **E 189.878,83** m.; ponto situado às margens do Córrego Maria Antônia deste, segue margeando o Córrego Maria Antônia, até o vértice **1775**, de coordenadas **N 8.273.514,53** m. e **E 190.231,29** m.;



SFL - PLC 0019/2019 folha 000452

confluência entre o Córrego Maria Antônia e o Ribeirão da Contagem deste, segue margeando o Ribeirão da Contagem, até o vértice **1776**, de coordenadas **N 8.274.060,64** m. e **E 190.471,63** m.; ponto de cruzamento entre o Ribeirão da Contagem e a Rodovia DF-205 deste, segue pela Rodovia DF-205, até o vértice **1777**, de coordenadas **N 8.283.883,97** m. e **E 180.697,48** m.; ponto de cruzamento entre a Rodovia DF-205 e o Limite Norte do Distrito Federal deste, segue pelo Limite Norte do Distrito Federal, até o vértice **1**, de coordenadas **N 8.284.184,34** m. e **E 202.589,24** m.; ponto inicial da descrição deste perímetro.Todas as coordenadas aqui descritas estão georreferenciadas ao Sistema Geodésico Brasileiro e encontram-se representadas no Sistema UTM, referenciadas ao **Meridiano Central 45° WGr, Fuso 23**, tendo como o *Datum* o **SICAD-SIRGAS 2000.** Todos os azimutes e distâncias, áreas e perímetros foram calculados no plano de projeção UTM.



SFL - PLC 0019/2019 folha 000453

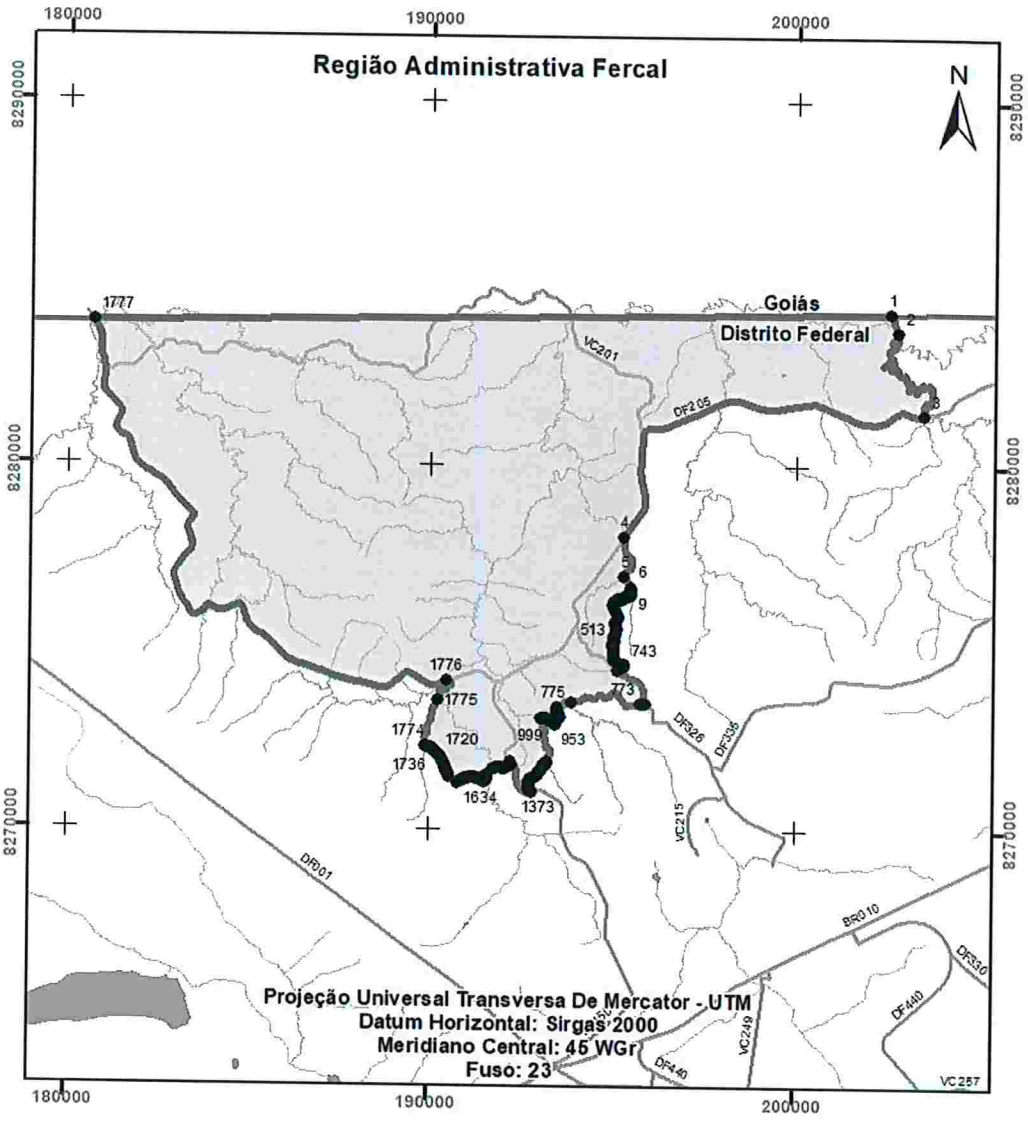




SFL - PLC 0019/2019 folha 000454

# MEMORIAL DESCRITIVO

## SOL NASCENTE / PÔR DO SOL – RA XXXII

Perímetro: 37.498,813 m  Área: 4.049,166 ha

Inicia-se a descrição deste perímetro no vértice **1**, de coordenadas **N 8.251.305,64** m e **E 160.992,36** m situado à Rodovia BR-070, deste segue com azimute de 161°47'18" e distância de 121,88 m, até o vértice **2**, de coordenadas **N 8.251.189,87** m e **E 161.030,45** m; deste, segue com azimute de 162°33'25" e distância de 1.674,64 m, até o vértice **3**, de coordenadas **N 8.249.592,23** m e **E 161.532,44** m; deste, segue com azimute de 98°16'49" e distância de 26,97 m, até o vértice **4**, de coordenadas **N 8.249.588,35** m e **E 161.559,12** m; deste, segue com azimute de 128°09'43" e distância de 122,79 m, até o vértice **5**, de coordenadas **N 8.249.512,48** m e **E 161.655,67** m; deste, segue com azimute de 72°34'19" e distância de 198,30 m, até o vértice **6**, de coordenadas **N 8.249.571,87** m e **E 161.844,87** m; deste, segue com azimute de 71°43'28" e distância de 37,37 m, até o vértice **7**, de coordenadas **N 8.249.583,59** m e **E 161.880,35** m; deste, segue com azimute de 162°51'41" e distância de 33,09 m, até o vértice **8**, de coordenadas **N 8.249.551,97** m e **E 161.890,10** m; deste, segue com azimute de 158°20'25" e distância de 23,24 m, até o vértice **9**, de coordenadas **N 8.249.530,37** m e **E 161.898,68** m; deste, segue com azimute de 136°36'30" e distância de 44,65 m, até o vértice **10**, de coordenadas **N 8.249.497,93** m e **E 161.929,35** m; deste, segue com azimute de 46°12'22" e distância de 35,55 m, até o vértice **11**, de coordenadas **N 8.249.522,53** m e **E 161.955,01** m; deste, segue com azimute de 42°24'51" e distância de 29,03 m, até o vértice **12**, de coordenadas **N 8.249.543,96** m e **E 161.974,59** m; deste, segue com azimute de 42°45'15" e distância de 19,10 m, até o vértice **13**, de coordenadas **N 8.249.557,99** m e **E 161.987,56** m; deste, segue com azimute de 45°23'04" e distância de 27,88 m, até o vértice **14**, de coordenadas **N 8.249.577,57** m e **E 162.007,40** m; deste, segue com azimute de 45°00'00" e distância de 23,20 m, até o vértice **15**, de coordenadas **N 8.249.593,97** m e **E 162.023,81** m; deste, segue com azimute de 46°54'33" e distância de 11,23 m, até o vértice **16**, de coordenadas **N 8.249.601,64** m e **E 162.032,01** m; deste, segue com azimute de 55°40'11" e distância de 13,14 m, até o vértice **17**, de coordenadas **N 8.249.609,05** m e **E 162.042,86** m; deste, segue com azimute de 62°01'14" e distância de 19,17 m, até o vértice **18**, de coordenadas **N 8.249.618,05** m e **E 162.059,79** m; deste, segue com azimute de 69°04'32" e distância de 19,26 m, até o vértice **19**, de coordenadas **N 8.249.624,93** m e **E 162.077,78** m; deste, segue com azimute de 70°42'36" e



SPL - PLC 0019/2019 folha 000455

distância de 22,43 m, até o vértice **20**, de coordenadas **N 8.249.632,34** m e **E 162.098,95** m; deste, segue com azimute de 72°34'28" e distância de 265,94 m, até o vértice **21**, de coordenadas **N 8.249.711,97** m e **E 162.352,68** m; deste, segue com azimute de 73°04'21" e distância de 19,08 m, até o vértice **22**, de coordenadas **N 8.249.717,53** m e **E 162.370,94** m; deste, segue com azimute de 75°45'00" e distância de 17,20 m, até o vértice **23**, de coordenadas **N 8.249.721,76** m e **E 162.387,61** m; deste, segue com azimute de 84°05'38" e distância de 15,43 m, até o vértice **24**, de coordenadas **N 8.249.723,35** m e **E 162.402,95** m; deste, segue com azimute de 90°00'00" e distância de 15,88 m, até o vértice **25**, de coordenadas **N 8.249.723,35** m e **E 162.418,83** m; deste, segue com azimute de 93°25'00" e distância de 17,76 m, até o vértice **26**, de coordenadas **N 8.249.722,29** m e **E 162.436,56** m; deste, segue com azimute de 96°10'13" e distância de 19,69 m, até o vértice **27**, de coordenadas **N 8.249.720,18** m e **E 162.456,14** m; deste, segue com azimute de 98°13'39" e distância de 220,02 m, até o vértice **28**, de coordenadas **N 8.249.688,69** m e **E 162.673,89** m; deste, segue com azimute de 98°11'33" e distância de 68,70 m, até o vértice **29**, de coordenadas **N 8.249.678,90** m e **E 162.741,89** m; deste, segue com azimute de 94°53'57" e distância de 9,29 m, até o vértice **30**, de coordenadas **N 8.249.678,11** m e **E 162.751,15** m; deste, segue com azimute de 82°24'19" e distância de 12,01 m, até o vértice **31**, de coordenadas **N 8.249.679,70** m e **E 162.763,05** m; deste, segue com azimute de 72°24'27" e distância de 22,76 m, até o vértice **32**, de coordenadas **N 8.249.686,57** m e **E 162.784,75** m; deste, segue com azimute de 72°29'57" e distância de 123,18 m, até o vértice **33**, de coordenadas **N 8.249.723,62** m e **E 162.902,22** m; deste, segue com azimute de 74°47'31" e distância de 28,24 m, até o vértice **34**, de coordenadas **N 8.249.731,02** m e **E 162.929,48** m; deste, segue com azimute de 162°46'03" e distância de 77,34 m, até o vértice **35**, de coordenadas **N 8.249.657,16** m e **E 162.952,39** m; deste, segue com azimute de 94°12'45" e distância de 127,56 m, até o vértice **36**, de coordenadas **N 8.249.647,79** m e **E 163.079,60** m; deste, segue com azimute de 95°15'40" e distância de 98,68 m, até o vértice **37**, de coordenadas **N 8.249.638,74** m e **E 163.177,87** m; deste, segue com azimute de 95°08'02" e distância de 40,80 m, até o vértice **38**, de coordenadas **N 8.249.635,09** m e **E 163.218,51** m; deste, segue com azimute de 96°45'58" e distância de 18,86 m, até o vértice **39**, de coordenadas **N 8.249.632,86** m e **E 163.237,24** m; deste, segue com azimute de 100°37'11" e distância de 18,09 m, até o vértice **40**, de coordenadas **N 8.249.629,53** m e **E 163.255,02** m; deste, segue com azimute de 103°29'45" e distância de 24,49 m, até o vértice **41**, de coordenadas **N 8.249.623,82** m e **E 163.278,83** m; deste, segue com azimute de 106°46'58"



SFL - PLC 0019/2019 folha 000456

e distância de 20,89 m, até o vértice **42**, de coordenadas **N 8.249.617,78** m e **E 163.298,84** m; deste, segue com azimute de 107°45'18" e distância de 33,84 m, até o vértice **43**, de coordenadas **N 8.249.607,46** m e **E 163.331,06** m; deste, segue com azimute de 111°48'05" e distância de 33,34 m, até o vértice **44**, de coordenadas **N 8.249.595,08** m e **E 163.362,02** m; deste, segue com azimute de 113°34'54" e distância de 43,65 m, até o vértice **45**, de coordenadas **N 8.249.577,62** m e **E 163.402,02** m; deste, segue com azimute de 117°44'42" e distância de 31,03 m, até o vértice **46**, de coordenadas **N 8.249.563,17** m e **E 163.429,49** m; deste, segue com azimute de 119°54'38" e distância de 34,06 m, até o vértice **47**, de coordenadas **N 8.249.546,19** m e **E 163.459,01** m; deste, segue com azimute de 122°58'10" e distância de 14,00 m, até o vértice **48**, de coordenadas **N 8.249.538,57** m e **E 163.470,76** m; deste, segue com azimute de 111°35'43" e distância de 8,20 m, até o vértice **49**, de coordenadas **N 8.249.535,55** m e **E 163.478,38** m; deste, segue com azimute de 93°48'51" e distância de 4,77 m, até o vértice **50**, de coordenadas **N 8.249.535,23** m e **E 163.483,14** m; deste, segue com azimute de 77°22'50" e distância de 10,90 m, até o vértice **51**, de coordenadas **N 8.249.537,61** m e **E 163.493,78** m; deste, segue com azimute de 75°57'50" e distância de 11,13 m, até o vértice **52**, de coordenadas **N 8.249.540,31** m e **E 163.504,58** m; deste, segue com azimute de 72°18'14" e distância de 171,30 m, até o vértice **53**, de coordenadas **N 8.249.592,38** m e **E 163.667,77** m; deste, segue com azimute de 72°16'21" e distância de 183,00 m, até o vértice **54**, de coordenadas **N 8.249.648,10** m e **E 163.842,08** m; deste, segue com azimute de 72°48'30" e distância de 90,23 m, até o vértice **55**, de coordenadas **N 8.249.674,77** m e **E 163.928,28** m; deste, segue com azimute de 165°32'51" e distância de 79,51 m, até o vértice **56**, de coordenadas **N 8.249.597,78** m e **E 163.948,12** m; deste, segue com azimute de 165°16'12" e distância de 101,77 m, até o vértice **57**, de coordenadas **N 8.249.499,36** m e **E 163.974,00** m; deste, segue com azimute de 158°36'05" e distância de 92,24 m, até o vértice **58**, de coordenadas **N 8.249.413,47** m e **E 164.007,66** m; deste, segue com azimute de 158°14'28" e distância de 39,83 m, até o vértice **59**, de coordenadas **N 8.249.376,48** m e **E 164.022,42** m; deste, segue com azimute de 158°51'57" e distância de 141,78 m, até o vértice **60**, de coordenadas **N 8.249.244,24** m e **E 164.073,54** m; deste, segue com azimute de 158°45'28" e distância de 191,33 m, até o vértice **61**, de coordenadas **N 8.249.065,91** m e **E 164.142,86** m; deste, segue com azimute de 158°43'02" e distância de 48,84 m, até o vértice **62**, de coordenadas **N 8.249.020,41** m e **E 164.160,58** m; deste, segue com azimute de 69°06'59" e distância de 162,55 m, até o vértice **63**, de coordenadas **N 8.249.078,35** m e **E 164.312,46** m; deste, segue com azimute de 158°33'46"



SPL - PLC 0019/2019 folha 000457

e distância de 193,29 m, até o vértice **64**, de coordenadas **N 8.248.898,43** m e **E 164.383,10** m; deste, segue com azimute de 69°24'52" e distância de 120,40 m, até o vértice **65**, de coordenadas **N 8.248.940,77** m e **E 164.495,81** m; deste, segue com azimute de 158°43'49" e distância de 75,38 m, até o vértice **66**, de coordenadas **N 8.248.870,52** m e **E 164.523,16** m; deste, segue com azimute de 158°20'39" e distância de 118,16 m, até o vértice **67**, de coordenadas **N 8.248.760,70** m e **E 164.566,76** m; deste, segue com azimute de 160°01'28" e distância de 43,88 m, até o vértice **68**, de coordenadas **N 8.248.719,46** m e **E 164.581,75** m; deste, segue com azimute de 159°52'26" e distância de 10,27 m, até o vértice **69**, de coordenadas **N 8.248.709,81** m e **E 164.585,29** m; deste, segue com azimute de 249°08'44" e distância de 38,65 m, até o vértice **70**, de coordenadas **N 8.248.696,06** m e **E 164.549,17** m; deste, segue com azimute de 341°51'41" e distância de 12,24 m, até o vértice **71**, de coordenadas **N 8.248.707,68** m e **E 164.545,36** m; deste, segue com azimute de 247°19'25" e distância de 40,46 m, até o vértice **72**, de coordenadas **N 8.248.692,09** m e **E 164.508,03** m; deste, segue com azimute de 158°26'35" e distância de 11,52 m, até o vértice **73**, de coordenadas **N 8.248.681,37** m e **E 164.512,26** m; deste, segue com azimute de 249°24'11" e distância de 39,95 m, até o vértice **74**, de coordenadas **N 8.248.667,32** m e **E 164.474,86** m; deste, segue com azimute de 215°52'11" e distância de 0,18 m, até o vértice **75**, de coordenadas **N 8.248.667,17** m e **E 164.474,76** m; deste, segue com azimute de 158°52'38" e distância de 88,00 m, até o vértice **76**, de coordenadas **N 8.248.585,08** m e **E 164.506,47** m; deste, segue com azimute de 143°05'54" e distância de 9,59 m, até o vértice **77**, de coordenadas **N 8.248.577,42** m e **E 164.512,23** m; deste, segue com azimute de 157°42'38" e distância de 74,91 m, até o vértice **78**, de coordenadas **N 8.248.508,11** m e **E 164.540,64** m; deste, segue com azimute de 68°54'53" e distância de 276,31 m, até o vértice **79**, de coordenadas **N 8.248.607,51** m e **E 164.798,45** m; deste, segue com azimute de 70°56'32" e distância de 15,40 m, até o vértice **80**, de coordenadas **N 8.248.612,54** m e **E 164.813,00** m; deste, segue com azimute de 157°57'23" e distância de 93,74 m, até o vértice **81**, de coordenadas **N 8.248.525,65** m e **E 164.848,19** m; deste, segue com azimute de 168°08'30" e distância de 18,69 m, até o vértice **82**, de coordenadas **N 8.248.507,36** m e **E 164.852,03** m; deste, segue com azimute de 158°05'47" e distância de 205,34 m, até o vértice **83**, de coordenadas **N 8.248.316,84** m e **E 164.928,63** m; deste, segue com azimute de 167°05'25" e distância de 19,00 m, até o vértice **84**, de coordenadas **N 8.248.298,32** m e **E 164.932,88** m; deste, segue com azimute de 158°31'56" e distância de 279,02 m, até o vértice **85**, de coordenadas **N 8.248.038,65** m e **E 165.034,99** m; deste, segue com azimute de 70°15'56" e



SFL - PLC 0019/2019 folha 000458

distância de 88,54 m, até o vértice **86**, de coordenadas **N 8.248.068,55** m e **E 165.118,33** m; deste, segue com azimute de 124°19'49" e distância de 13,14 m, até o vértice **87**, de coordenadas **N 8.248.061,14** m e **E 165.129,18** m; deste, segue com azimute de 102°12'02" e distância de 10,02 m, até o vértice **88**, de coordenadas **N 8.248.059,03** m e **E 165.138,97** m; deste, segue com azimute de 117°24'27" e distância de 8,05 m, até o vértice **89**, de coordenadas **N 8.248.055,32** m e **E 165.146,12** m; deste, segue com azimute de 133°31'52" e distância de 7,30 m, até o vértice **90**, de coordenadas **N 8.248.050,30** m e **E 165.151,41** m; deste, segue com azimute de 144°41'20" e distância de 7,78 m, até o vértice **91**, de coordenadas **N 8.248.043,95** m e **E 165.155,90** m; deste, segue com azimute de 144°15'02" e distância de 138,76 m, até o vértice **92**, de coordenadas **N 8.247.931,33** m e **E 165.236,97** m; deste, segue com azimute de 145°33'28" e distância de 107,77 m, até o vértice **93**, de coordenadas **N 8.247.842,46** m e **E 165.297,92** m; deste, segue com azimute de 147°25'33" e distância de 10,51 m, até o vértice **94**, de coordenadas **N 8.247.833,60** m e **E 165.303,58** m; deste, segue com azimute de 150°15'18" e distância de 5,95 m, até o vértice **95**, de coordenadas **N 8.247.828,43** m e **E 165.306,53** m; deste, segue com azimute de 157°22'48" e distância de 6,40 m, até o vértice **96**, de coordenadas **N 8.247.822,53** m e **E 165.308,99** m; deste, segue com azimute de 171°34'23" e distância de 6,72 m, até o vértice **97**, de coordenadas **N 8.247.815,89** m e **E 165.309,98** m; deste, segue com azimute de 173°55'17" e distância de 95,26 m, até o vértice **98**, de coordenadas **N 8.247.721,16** m e **E 165.320,07** m; deste, segue com azimute de 174°03'33" e distância de 97,46 m, até o vértice **99**, de coordenadas **N 8.247.624,22** m e **E 165.330,15** m; deste, segue com azimute de 172°27'38" e distância de 16,88 m, até o vértice **100**, de coordenadas **N 8.247.607,49** m e **E 165.332,37** m; deste, segue com azimute de 164°11'51" e distância de 13,55 m, até o vértice **101**, de coordenadas **N 8.247.594,45** m e **E 165.336,06** m; deste, segue com azimute de 152°18'02" e distância de 11,12 m, até o vértice **102**, de coordenadas **N 8.247.584,61** m e **E 165.341,23** m; deste, segue com azimute de 146°02'27" e distância de 29,07 m, até o vértice **103**, de coordenadas **N 8.247.560,49** m e **E 165.357,47** m; deste, segue com azimute de 50°00'47" e distância de 129,41 m, até o vértice **104**, de coordenadas **N 8.247.643,66** m e **E 165.456,62** m; deste, segue com azimute de 51°04'21" e distância de 16,45 m, até o vértice **105**, de coordenadas **N 8.247.653,99** m e **E 165.469,41** m; deste, segue com azimute de 60°17'39" e distância de 16,74 m, até o vértice **106**, de coordenadas **N 8.247.662,29** m e **E 165.483,95** m; deste, segue com azimute de 59°18'01" e distância de 15,34 m, até o vértice **107**, de coordenadas **N 8.247.670,12** m e **E 165.497,15** m; deste, segue com azimute de 51°08'14" e



SPL - PLC 0019/2019 folha 000459

distância de 168,00 m, até o vértice **108**, de coordenadas **N 8.247.775,53** m e **E 165.627,96** m; deste, segue com azimute de 49°13'19" e distância de 11,34 m, até o vértice **109**, de coordenadas **N 8.247.782,93** m e **E 165.636,54** m; deste, segue com azimute de 136°18'14" e distância de 16,83 m, até o vértice **110**, de coordenadas **N 8.247.770,77** m e **E 165.648,17** m; deste, segue com azimute de 142°01'31" e distância de 74,65 m, até o vértice **111**, de coordenadas **N 8.247.711,92** m e **E 165.694,10** m; deste, segue com azimute de 140°35'07" e distância de 24,46 m, até o vértice **112**, de coordenadas **N 8.247.693,02** m e **E 165.709,63** m; deste, segue com azimute de 141°54'06" e distância de 50,60 m, até o vértice **113**, de coordenadas **N 8.247.653,20** m e **E 165.740,85** m; deste, segue com azimute de 141°08'48" e distância de 24,46 m, até o vértice **114**, de coordenadas **N 8.247.634,15** m e **E 165.756,20** m; deste, segue com azimute de 143°55'50" e distância de 53,03 m, até o vértice **115**, de coordenadas **N 8.247.591,29** m e **E 165.787,42** m; deste, segue com azimute de 146°47'05" e distância de 53,13 m, até o vértice **116**, de coordenadas **N 8.247.546,84** m e **E 165.816,53** m; deste, segue com azimute de 145°34'36" e distância de 45,87 m, até o vértice **117**, de coordenadas **N 8.247.509,01** m e **E 165.842,45** m; deste, segue com azimute de 57°54'53" e distância de 155,05 m, até o vértice **118**, de coordenadas **N 8.247.591,36** m e **E 165.973,82** m; deste, segue com azimute de 147°38'13" e distância de 6,09 m, até o vértice **119**, de coordenadas **N 8.247.586,22** m e **E 165.977,08** m; deste, segue com azimute de 146°20'40" e distância de 16,88 m, até o vértice **120**, de coordenadas **N 8.247.572,17** m e **E 165.986,44** m; deste, segue com azimute de 233°13'40" e distância de 12,43 m, até o vértice **121**, de coordenadas **N 8.247.564,73** m e **E 165.976,48** m; deste, segue com azimute de 142°36'11" e distância de 9,78 m, até o vértice **122**, de coordenadas **N 8.247.556,96** m e **E 165.982,42** m; deste, segue com azimute de 142°36'14" e distância de 7,91 m, até o vértice **123**, de coordenadas **N 8.247.550,68** m e **E 165.987,22** m; deste, segue com azimute de 142°36'11" e distância de 10,29 m, até o vértice **124**, de coordenadas **N 8.247.542,50** m e **E 165.993,47** m; deste, segue com azimute de 142°37'51" e distância de 0,10 m, até o vértice **125**, de coordenadas **N 8.247.542,43** m e **E 165.993,53** m; deste, segue com azimute de 142°56'36" e distância de 11,48 m, até o vértice **126**, de coordenadas **N 8.247.533,27** m e **E 166.000,44** m; deste, segue com azimute de 142°55'22" e distância de 0,07 m, até o vértice **127**, de coordenadas **N 8.247.533,21** m e **E 166.000,49** m; deste, segue com azimute de 142°08'16" e distância de 11,49 m, até o vértice **128**, de coordenadas **N 8.247.524,14** m e **E 166.007,54** m; deste, segue com azimute de 142°08'15" e distância de 3,41 m, até o vértice **129**, de coordenadas **N 8.247.521,44** m e **E 166.009,63** m; deste, segue com azimute de 142°08'15"



SFL - PLC 0019/2019 folha 000460

e distância de 4,40 m, até o vértice **130**, de coordenadas **N 8.247.517,97** m e **E 166.012,34** m; deste, segue com azimute de 142°08'14" e distância de 8,23 m, até o vértice **131**, de coordenadas **N 8.247.511,47** m e **E 166.017,39** m; deste, segue com azimute de 142°06'03" e distância de 0,08 m, até o vértice **132**, de coordenadas **N 8.247.511,41** m e **E 166.017,44** m; deste, segue com azimute de 142°43'24" e distância de 16,36 m, até o vértice **133**, de coordenadas **N 8.247.498,38** m e **E 166.027,35** m; deste, segue com azimute de 142°43'24" e distância de 11,58 m, até o vértice **134**, de coordenadas **N 8.247.489,17** m e **E 166.034,36** m; deste, segue com azimute de 142°43'54" e distância de 0,15 m, até o vértice **135**, de coordenadas **N 8.247.489,05** m e **E 166.034,46** m; deste, segue com azimute de 142°42'43" e distância de 0,04 m, até o vértice **136**, de coordenadas **N 8.247.489,02** m e **E 166.034,48** m; deste, segue com azimute de 142°18'15" e distância de 13,05 m, até o vértice **137**, de coordenadas **N 8.247.478,69** m e **E 166.042,46** m; deste, segue com azimute de 142°18'14" e distância de 9,33 m, até o vértice **138**, de coordenadas **N 8.247.471,31** m e **E 166.048,17** m; deste, segue com azimute de 142°18'16" e distância de 8,96 m, até o vértice **139**, de coordenadas **N 8.247.464,22** m e **E 166.053,64** m; deste, segue com azimute de 142°18'14" e distância de 8,71 m, até o vértice **140**, de coordenadas **N 8.247.457,32** m e **E 166.058,97** m; deste, segue com azimute de 142°18'14" e distância de 9,76 m, até o vértice **141**, de coordenadas **N 8.247.449,60** m e **E 166.064,94** m; deste, segue com azimute de 143°14'40" e distância de 0,06 m, até o vértice **142**, de coordenadas **N 8.247.449,56** m e **E 166.064,97** m; deste, segue com azimute de 143°18'04" e distância de 0,13 m, até o vértice **143**, de coordenadas **N 8.247.449,45** m e **E 166.065,05** m; deste, segue com azimute de 143°16'51" e distância de 10,16 m, até o vértice **144**, de coordenadas **N 8.247.441,31** m e **E 166.071,12** m; deste, segue com azimute de 143°16'53" e distância de 3,76 m, até o vértice **145**, de coordenadas **N 8.247.438,30** m e **E 166.073,37** m; deste, segue com azimute de 143°16'53" e distância de 6,06 m, até o vértice **146**, de coordenadas **N 8.247.433,44** m e **E 166.076,99** m; deste, segue com azimute de 143°16'52" e distância de 13,17 m, até o vértice **147**, de coordenadas **N 8.247.422,88** m e **E 166.084,87** m; deste, segue com azimute de 143°16'52" e distância de 2,66 m, até o vértice **148**, de coordenadas **N 8.247.420,75** m e **E 166.086,46** m; deste, segue com azimute de 143°16'52" e distância de 10,58 m, até o vértice **149**, de coordenadas **N 8.247.412,27** m e **E 166.092,78** m; deste, segue com azimute de 143°16'53" e distância de 10,09 m, até o vértice **150**, de coordenadas **N 8.247.404,18** m e **E 166.098,82** m; deste, segue com azimute de 143°16'51" e distância de 6,16 m, até o vértice **151**, de coordenadas **N 8.247.399,25** m e **E 166.102,50** m; deste, segue com azimute de 143°16'54"



SPL - PLC 0019/2019 folha 000461

e distância de 0,27 m, até o vértice **152**, de coordenadas **N 8.247.399,03** m e **E 166.102,66** m; deste, segue com azimute de 143°16'54" e distância de 7,43 m, até o vértice **153**, de coordenadas **N 8.247.393,08** m e **E 166.107,10** m; deste, segue com azimute de 143°16'50" e distância de 0,02 m, até o vértice **154**, de coordenadas **N 8.247.393,06** m e **E 166.107,11** m; deste, segue com azimute de 142°37'51" e distância de 12,45 m, até o vértice **155**, de coordenadas **N 8.247.383,17** m e **E 166.114,67** m; deste, segue com azimute de 142°37'51" e distância de 9,45 m, até o vértice **156**, de coordenadas **N 8.247.375,66** m e **E 166.120,40** m; deste, segue com azimute de 142°37'51" e distância de 7,94 m, até o vértice **157**, de coordenadas **N 8.247.369,35** m e **E 166.125,22** m; deste, segue com azimute de 52°27'47" e distância de 0,05 m, até o vértice **158**, de coordenadas **N 8.247.369,38** m e **E 166.125,27** m; deste, segue com azimute de 143°01'52" e distância de 1,63 m, até o vértice **159**, de coordenadas **N 8.247.368,08** m e **E 166.126,25** m; deste, segue com azimute de 143°01'52" e distância de 8,57 m, até o vértice **160**, de coordenadas **N 8.247.361,23** m e **E 166.131,40** m; deste, segue com azimute de 143°01'54" e distância de 10,16 m, até o vértice **161**, de coordenadas **N 8.247.353,11** m e **E 166.137,51** m; deste, segue com azimute de 143°01'50" e distância de 1,00 m, até o vértice **162**, de coordenadas **N 8.247.352,31** m e **E 166.138,12** m; deste, segue com azimute de 143°01'55" e distância de 7,08 m, até o vértice **163**, de coordenadas **N 8.247.346,65** m e **E 166.142,37** m; deste, segue com azimute de 142°48'34" e distância de 0,08 m, até o vértice **164**, de coordenadas **N 8.247.346,59** m e **E 166.142,42** m; deste, segue com azimute de 142°48'29" e distância de 3,75 m, até o vértice **165**, de coordenadas **N 8.247.343,60** m e **E 166.144,69** m; deste, segue com azimute de 142°48'29" e distância de 8,70 m, até o vértice **166**, de coordenadas **N 8.247.336,67** m e **E 166.149,95** m; deste, segue com azimute de 142°48'29" e distância de 5,51 m, até o vértice **167**, de coordenadas **N 8.247.332,28** m e **E 166.153,28** m; deste, segue com azimute de 116°15'08" e distância de 1,55 m, até o vértice **168**, de coordenadas **N 8.247.331,60** m e **E 166.154,67** m; deste, segue com azimute de 116°15'08" e distância de 0,52 m, até o vértice **169**, de coordenadas **N 8.247.331,37** m e **E 166.155,13** m; deste, segue com azimute de 117°13'29" e distância de 1,90 m, até o vértice **170**, de coordenadas **N 8.247.330,50** m e **E 166.156,82** m; deste, segue com azimute de 52°41'02" e distância de 0,04 m, até o vértice **171**, de coordenadas **N 8.247.330,52** m e **E 166.156,85** m; deste, segue com azimute de 142°50'10" e distância de 10,07 m, até o vértice **172**, de coordenadas **N 8.247.322,49** m e **E 166.162,93** m; deste, segue com azimute de 142°50'08" e distância de 6,35 m, até o vértice **173**, de coordenadas **N 8.247.317,43** m e **E 166.166,77** m; deste, segue com azimute de 142°50'12"



SPL - PLC 0019/2019 folha 000462

e distância de 9,47 m, até o vértice **174**, de coordenadas **N 8.247.309,89** m e **E 166.172,49** m; deste, segue com azimute de 142°50'09" e distância de 6,26 m, até o vértice **175**, de coordenadas **N 8.247.304,90** m e **E 166.176,27** m; deste, segue com azimute de 142°39'42" e distância de 7,84 m, até o vértice **176**, de coordenadas **N 8.247.298,66** m e **E 166.181,03** m; deste, segue com azimute de 142°39'41" e distância de 9,95 m, até o vértice **177**, de coordenadas **N 8.247.290,75** m e **E 166.187,07** m; deste, segue com azimute de 142°25'53" e distância de 0,01 m, até o vértice **178**, de coordenadas **N 8.247.290,74** m e **E 166.187,07** m; deste, segue com azimute de 230°40'22" e distância de 1,48 m, até o vértice **179**, de coordenadas **N 8.247.289,80** m e **E 166.185,93** m; deste, segue com azimute de 141°33'39" e distância de 3,06 m, até o vértice **180**, de coordenadas **N 8.247.287,40** m e **E 166.187,84** m; deste, segue com azimute de 141°33'39" e distância de 1,97 m, até o vértice **181**, de coordenadas **N 8.247.285,86** m e **E 166.189,06** m; deste, segue com azimute de 141°33'40" e distância de 3,91 m, até o vértice **182**, de coordenadas **N 8.247.282,80** m e **E 166.191,49** m; deste, segue com azimute de 143°21'37" e distância de 2,45 m, até o vértice **183**, de coordenadas **N 8.247.280,83** m e **E 166.192,95** m; deste, segue com azimute de 143°21'31" e distância de 5,15 m, até o vértice **184**, de coordenadas **N 8.247.276,70** m e **E 166.196,03** m; deste, segue com azimute de 140°05'20" e distância de 8,92 m, até o vértice **185**, de coordenadas **N 8.247.269,86** m e **E 166.201,75** m; deste, segue com azimute de 127°47'08" e distância de 0,85 m, até o vértice **186**, de coordenadas **N 8.247.269,34** m e **E 166.202,42** m; deste, segue com azimute de 143°22'02" e distância de 8,76 m, até o vértice **187**, de coordenadas **N 8.247.262,31** m e **E 166.207,65** m; deste, segue com azimute de 143°23'00" e distância de 5,62 m, até o vértice **188**, de coordenadas **N 8.247.257,80** m e **E 166.211,00** m; deste, segue com azimute de 142°50'10" e distância de 1,56 m, até o vértice **189**, de coordenadas **N 8.247.256,55** m e **E 166.211,95** m; deste, segue com azimute de 142°50'06" e distância de 8,57 m, até o vértice **190**, de coordenadas **N 8.247.249,72** m e **E 166.217,13** m; deste, segue com azimute de 142°41'45" e distância de 2,18 m, até o vértice **191**, de coordenadas **N 8.247.247,99** m e **E 166.218,45** m; deste, segue com azimute de 143°40'25" e distância de 8,56 m, até o vértice **192**, de coordenadas **N 8.247.241,09** m e **E 166.223,52** m; deste, segue com azimute de 143°40'27" e distância de 8,49 m, até o vértice **193**, de coordenadas **N 8.247.234,25** m e **E 166.228,54** m; deste, segue com azimute de 53°08'33" e distância de 0,37 m, até o vértice **194**, de coordenadas **N 8.247.234,47** m e **E 166.228,84** m; deste, segue com azimute de 52°46'02" e distância de 0,09 m, até o vértice **195**, de coordenadas **N 8.247.234,53** m e **E 166.228,91** m; deste, segue com azimute de 142°46'49"



SFL - PLC 0019/2019 folha 000463

e distância de 8,59 m, até o vértice **196**, de coordenadas **N 8.247.227,69** m e **E 166.234,11** m; deste, segue com azimute de 142°46'47" e distância de 8,34 m, até o vértice **197**, de coordenadas **N 8.247.221,05** m e **E 166.239,16** m; deste, segue com azimute de 142°58'15" e distância de 0,64 m, até o vértice **198**, de coordenadas **N 8.247.220,53** m e **E 166.239,54** m; deste, segue com azimute de 142°58'15" e distância de 7,91 m, até o vértice **199**, de coordenadas **N 8.247.214,22** m e **E 166.244,31** m; deste, segue com azimute de 142°58'14" e distância de 1,63 m, até o vértice **200**, de coordenadas **N 8.247.212,92** m e **E 166.245,29** m; deste, segue com azimute de 142°58'14" e distância de 7,00 m, até o vértice **201**, de coordenadas **N 8.247.207,33** m e **E 166.249,50** m; deste, segue com azimute de 142°58'13" e distância de 5,23 m, até o vértice **202**, de coordenadas **N 8.247.203,15** m e **E 166.252,65** m; deste, segue com azimute de 142°39'35" e distância de 3,21 m, até o vértice **203**, de coordenadas **N 8.247.200,60** m e **E 166.254,60** m; deste, segue com azimute de 142°39'31" e distância de 8,50 m, até o vértice **204**, de coordenadas **N 8.247.193,84** m e **E 166.259,76** m; deste, segue com azimute de 142°39'33" e distância de 8,57 m, até o vértice **205**, de coordenadas **N 8.247.187,03** m e **E 166.264,96** m; deste, segue com azimute de 142°39'27" e distância de 3,45 m, até o vértice **206**, de coordenadas **N 8.247.184,29** m e **E 166.267,05** m; deste, segue com azimute de 142°53'54" e distância de 4,94 m, até o vértice **207**, de coordenadas **N 8.247.180,35** m e **E 166.270,03** m; deste, segue com azimute de 142°53'52" e distância de 8,57 m, até o vértice **208**, de coordenadas **N 8.247.173,51** m e **E 166.275,20** m; deste, segue com azimute de 142°53'52" e distância de 8,16 m, até o vértice **209**, de coordenadas **N 8.247.167,01** m e **E 166.280,12** m; deste, segue com azimute de 142°47'37" e distância de 0,21 m, até o vértice **210**, de coordenadas **N 8.247.166,84** m e **E 166.280,25** m; deste, segue com azimute de 142°46'49" e distância de 8,34 m, até o vértice **211**, de coordenadas **N 8.247.160,20** m e **E 166.285,29** m; deste, segue com azimute de 142°46'19" e distância de 0,11 m, até o vértice **212**, de coordenadas **N 8.247.160,11** m e **E 166.285,36** m; deste, segue com azimute de 142°46'55" e distância de 0,74 m, até o vértice **213**, de coordenadas **N 8.247.159,53** m e **E 166.285,80** m; deste, segue com azimute de 142°46'55" e distância de 1,38 m, até o vértice **214**, de coordenadas **N 8.247.158,43** m e **E 166.286,63** m; deste, segue com azimute de 142°46'55" e distância de 5,59 m, até o vértice **215**, de coordenadas **N 8.247.153,98** m e **E 166.290,01** m; deste, segue com azimute de 142°46'55" e distância de 0,82 m, até o vértice **216**, de coordenadas **N 8.247.153,33** m e **E 166.290,51** m; deste, segue com azimute de 222°24'28" e distância de 19,51 m, até o vértice **217**, de coordenadas **N 8.247.138,93** m e **E 166.277,35** m; deste, segue com azimute de 193°43'31"



SEL - PLC 0019/2019 folha 000464

e distância de 23,64 m, até o vértice **218**, de coordenadas **N 8.247.115,96** m e **E 166.271,74** m; deste, segue com azimute de 210°00'21" e distância de 41,80 m, até o vértice **219**, de coordenadas **N 8.247.079,76** m e **E 166.250,84** m; deste, segue com azimute de 211°01'51" e distância de 77,50 m, até o vértice **220**, de coordenadas **N 8.247.013,35** m e **E 166.210,89** m; deste, segue com azimute de 205°49'16" e distância de 9,11 m, até o vértice **221**, de coordenadas **N 8.247.005,15** m e **E 166.206,92** m; deste, segue com azimute de 209°54'58" e distância de 76,92 m, até o vértice **222**, de coordenadas **N 8.246.938,48** m e **E 166.168,55** m; deste, segue com azimute de 206°33'54" e distância de 13,61 m, até o vértice **223**, de coordenadas **N 8.246.926,31** m e **E 166.162,47** m; deste, segue com azimute de 226°41'05" e distância de 7,64 m, até o vértice **224**, de coordenadas **N 8.246.921,07** m e **E 166.156,91** m; deste, segue com azimute de 232°47'37" e distância de 216,33 m, até o vértice **225**, de coordenadas **N 8.246.790,26** m e **E 165.984,62** m; deste, segue com azimute de 232°42'42" e distância de 266,58 m, até o vértice **226**, de coordenadas **N 8.246.628,76** m e **E 165.772,52** m; deste, segue com azimute de 232°46'09" e distância de 288,97 m, até o vértice **227**, de coordenadas **N 8.246.453,92** m e **E 165.542,44** m; deste, segue com azimute de 231°35'55" e distância de 58,61 m, até o vértice **228**, de coordenadas **N 8.246.417,51** m e **E 165.496,51** m; deste, segue com azimute de 322°38'22" e distância de 227,42 m, até o vértice **229**, de coordenadas **N 8.246.598,28** m e **E 165.358,50** m; deste, segue com azimute de 319°32'16" e distância de 9,46 m, até o vértice **230**, de coordenadas **N 8.246.605,47** m e **E 165.352,37** m; deste, segue com azimute de 304°35'32" e distância de 7,46 m, até o vértice **231**, de coordenadas **N 8.246.609,71** m e **E 165.346,23** m; deste, segue com azimute de 282°05'41" e distância de 9,09 m, até o vértice **232**, de coordenadas **N 8.246.611,61** m e **E 165.337,34** m; deste, segue com azimute de 259°59'31" e distância de 7,31 m, até o vértice **233**, de coordenadas **N 8.246.610,34** m e **E 165.330,14** m; deste, segue com azimute de 242°06'10" e distância de 8,14 m, até o vértice **234**, de coordenadas **N 8.246.606,53** m e **E 165.322,94** m; deste, segue com azimute de 232°43'40" e distância de 247,11 m, até o vértice **235**, de coordenadas **N 8.246.456,88** m e **E 165.126,31** m; deste, segue com azimute de 232°45'43" e distância de 125,22 m, até o vértice **236**, de coordenadas **N 8.246.381,10** m e **E 165.026,61** m; deste, segue com azimute de 242°28'39" e distância de 20,46 m, até o vértice **237**, de coordenadas **N 8.246.371,65** m e **E 165.008,47** m; deste, segue com azimute de 250°25'03" e distância de 19,06 m, até o vértice **238**, de coordenadas **N 8.246.365,26** m e **E 164.990,51** m; deste, segue com azimute de 232°33'16" e distância de 115,39 m, até o vértice **239**, de coordenadas **N 8.246.295,10** m e **E 164.898,90** m; deste, segue com azimute de 239°28'51"



SPL - PLC 0019/2019 folha 000465

e distância de 21,92 m, até o vértice **240**, de coordenadas **N 8.246.283,97** m e **E 164.880,01** m; deste, segue com azimute de 231°23'27" e distância de 171,83 m, até o vértice **241**, de coordenadas **N 8.246.176,75** m e **E 164.745,74** m; deste, segue com azimute de 248°41'52" e distância de 8,11 m, até o vértice **242**, de coordenadas **N 8.246.173,80** m e **E 164.738,18** m; deste, segue com azimute de 227°51'52" e distância de 71,05 m, até o vértice **243**, de coordenadas **N 8.246.126,14** m e **E 164.685,50** m; deste, segue com azimute de 231°24'21" e distância de 7,50 m, até o vértice **244**, de coordenadas **N 8.246.121,46** m e **E 164.679,63** m; deste, segue com azimute de 212°04'00" e distância de 22,37 m, até o vértice **245**, de coordenadas **N 8.246.102,50** m e **E 164.667,76** m; deste, segue com azimute de 199°05'37" e distância de 21,84 m, até o vértice **246**, de coordenadas **N 8.246.081,86** m e **E 164.660,61** m; deste, segue com azimute de 195°01'06" e distância de 16,85 m, até o vértice **247**, de coordenadas **N 8.246.065,59** m e **E 164.656,25** m; deste, segue com azimute de 180°57'01" e distância de 18,98 m, até o vértice **248**, de coordenadas **N 8.246.046,61** m e **E 164.655,93** m; deste, segue com azimute de 183°13'24" e distância de 15,58 m, até o vértice **249**, de coordenadas **N 8.246.031,06** m e **E 164.655,06** m; deste, segue com azimute de 176°20'52" e distância de 18,69 m, até o vértice **250**, de coordenadas **N 8.246.012,41** m e **E 164.656,25** m; deste, segue com azimute de 166°13'06" e distância de 21,66 m, até o vértice **251**, de coordenadas **N 8.245.991,37** m e **E 164.661,41** m; deste, segue com azimute de 156°27'08" e distância de 14,21 m, até o vértice **252**, de coordenadas **N 8.245.978,34** m e **E 164.667,08** m; deste, segue com azimute de 176°57'00" e distância de 8,07 m, até o vértice **253**, de coordenadas **N 8.245.970,29** m e **E 164.667,51** m; deste, segue com azimute de 146°06'27" e distância de 33,88 m, até o vértice **254**, de coordenadas **N 8.245.942,16** m e **E 164.686,41** m; deste, segue com azimute de 138°26'51" e distância de 23,33 m, até o vértice **255**, de coordenadas **N 8.245.924,70** m e **E 164.701,89** m; deste, segue com azimute de 135°00'00" e distância de 7,86 m, até o vértice **256**, de coordenadas **N 8.245.919,14** m e **E 164.707,44** m; deste, segue com azimute de 139°22'54" e distância de 35,55 m, até o vértice **257**, de coordenadas **N 8.245.892,15** m e **E 164.730,59** m; deste, segue com azimute de 160°05'18" e distância de 5,07 m, até o vértice **258**, de coordenadas **N 8.245.887,39** m e **E 164.732,32** m; deste, segue com azimute de 142°53'04" e distância de 32,71 m, até o vértice **259**, de coordenadas **N 8.245.861,30** m e **E 164.752,05** m; deste, segue com azimute de 110°17'36" e distância de 20,14 m, até o vértice **260**, de coordenadas **N 8.245.854,32** m e **E 164.770,94** m; deste, segue com azimute de 143°14'15" e distância de 250,68 m, até o vértice **261**, de coordenadas **N 8.245.653,49** m e **E 164.920,98** m; deste, segue com azimute de 142°36'43"



SFL - PLC 0019/2019 folha 000466

e distância de 172,03 m, até o vértice **262**, de coordenadas **N 8.245.516,81** m e **E 165.025,43** m; deste, segue com azimute de 142°35'58" e distância de 273,28 m, até o vértice **263**, de coordenadas **N 8.245.299,71** m e **E 165.191,42** m; deste, segue com azimute de 142°56'05" e distância de 174,49 m, até o vértice **264**, de coordenadas **N 8.245.160,47** m e **E 165.296,59** m; deste, segue com azimute de 142°25'53" e distância de 86,79 m, até o vértice **265**, de coordenadas **N 8.245.091,68** m e **E 165.349,51** m; deste, segue com azimute de 142°34'53" e distância de 269,42 m, até o vértice **266**, de coordenadas **N 8.244.877,70** m e **E 165.513,22** m; deste, segue com azimute de 142°48'44" e distância de 345,82 m, até o vértice **267**, de coordenadas **N 8.244.602,20** m e **E 165.722,24** m; deste, segue com azimute de 141°57'20" e distância de 50,21 m, até o vértice **268**, de coordenadas **N 8.244.562,66** m e **E 165.753,18** m; deste, segue com azimute de 52°06'44" e distância de 207,52 m, até o vértice **269**, de coordenadas **N 8.244.690,10** m e **E 165.916,96** m; deste, segue com azimute de 63°03'42" e distância de 16,56 m, até o vértice **270**, de coordenadas **N 8.244.697,60** m e **E 165.931,72** m; deste, segue com azimute de 52°31'20" e distância de 350,77 m, até o vértice **271**, de coordenadas **N 8.244.911,03** m e **E 166.210,09** m; deste, segue com azimute de 52°11'52" e distância de 125,93 m, até o vértice **272**, de coordenadas **N 8.244.988,22** m e **E 166.309,60** m; deste, segue com azimute de 60°59'31" e distância de 16,32 m, até o vértice **273**, de coordenadas **N 8.244.996,14** m e **E 166.323,87** m; deste, segue com azimute de 52°32'55" e distância de 226,62 m, até o vértice **274**, de coordenadas **N 8.245.133,94** m e **E 166.503,78** m; deste, segue com azimute de 147°17'02" e distância de 13,45 m, até o vértice **275**, de coordenadas **N 8.245.122,62** m e **E 166.511,05** m; deste, segue com azimute de 142°54'08" e distância de 253,15 m, até o vértice **276**, de coordenadas **N 8.244.920,71** m e **E 166.663,74** m; deste, segue com azimute de 142°26'36" e distância de 188,75 m, até o vértice **277**, de coordenadas **N 8.244.771,08** m e **E 166.778,80** m; deste, segue com azimute de 144°16'50" e distância de 7,58 m, até o vértice **278**, de coordenadas **N 8.244.764,92** m e **E 166.783,22** m; deste, segue com azimute de 140°25'58" e distância de 3,51 m, até o vértice **279**, de coordenadas **N 8.244.762,22** m e **E 166.785,46** m; deste, segue com azimute de 225°16'19" e distância de 0,74 m, até o vértice **280**, de coordenadas **N 8.244.761,70** m e **E 166.784,93** m; deste, segue com azimute de 232°10'18" e distância de 22,73 m, até o vértice **281**, de coordenadas **N 8.244.747,76** m e **E 166.766,98** m; deste, segue com azimute de 232°10'18" e distância de 14,83 m, até o vértice **282**, de coordenadas **N 8.244.738,66** m e **E 166.755,26** m; deste, segue com azimute de 232°10'18" e distância de 5,85 m, até o vértice **283**, de coordenadas **N 8.244.735,07** m e **E 166.750,64** m; deste, segue com azimute de 232°10'18"



SFL - PLC 0019/2019 folha 000467

e distância de 6,66 m, até o vértice **284**, de coordenadas **N 8.244.730,99** m e **E 166.745,38** m; deste, segue com azimute de 232°10'18" e distância de 3,29 m, até o vértice **285**, de coordenadas **N 8.244.728,97** m e **E 166.742,78** m; deste, segue com azimute de 232°10'18" e distância de 8,52 m, até o vértice **286**, de coordenadas **N 8.244.723,74** m e **E 166.736,05** m; deste, segue com azimute de 151°04'04" e distância de 199,97 m, até o vértice **287**, de coordenadas **N 8.244.548,73** m e **E 166.832,79** m; deste, segue com azimute de 95°59'53" e distância de 10,04 m, até o vértice **288**, de coordenadas **N 8.244.547,68** m e **E 166.842,78** m; deste, segue com azimute de 119°30'57" e distância de 6,52 m, até o vértice **289**, de coordenadas **N 8.244.544,47** m e **E 166.848,45** m; deste, segue com azimute de 161°07'09" e distância de 6,07 m, até o vértice **290**, de coordenadas **N 8.244.538,73** m e **E 166.850,41** m; deste, segue com azimute de 161°07'09" e distância de 5,62 m, até o vértice **291**, de coordenadas **N 8.244.533,42** m e **E 166.852,23** m; deste, segue com azimute de 161°07'09" e distância de 5,86 m, até o vértice **292**, de coordenadas **N 8.244.527,87** m e **E 166.854,12** m; deste, segue com azimute de 161°07'09" e distância de 6,43 m, até o vértice **293**, de coordenadas **N 8.244.521,78** m e **E 166.856,21** m; deste, segue com azimute de 152°12'55" e distância de 3,04 m, até o vértice **294**, de coordenadas **N 8.244.519,09** m e **E 166.857,62** m; deste, segue com azimute de 152°12'55" e distância de 0,22 m, até o vértice **295**, de coordenadas **N 8.244.518,90** m e **E 166.857,73** m; deste, segue com azimute de 152°12'55" e distância de 13,38 m, até o vértice **296**, de coordenadas **N 8.244.507,06** m e **E 166.863,96** m; deste, segue com azimute de 152°12'55" e distância de 7,98 m, até o vértice **297**, de coordenadas **N 8.244.500,00** m e **E 166.867,68** m; deste, segue com azimute de 152°12'55" e distância de 8,99 m, até o vértice **298**, de coordenadas **N 8.244.492,04** m e **E 166.871,88** m; deste, segue com azimute de 140°35'58" e distância de 3,99 m, até o vértice **299**, de coordenadas **N 8.244.488,96** m e **E 166.874,41** m; deste, segue com azimute de 102°36'46" e distância de 10,35 m, até o vértice **300**, de coordenadas **N 8.244.486,70** m e **E 166.884,51** m; deste, segue com azimute de 148°39'17" e distância de 3,86 m, até o vértice **301**, de coordenadas **N 8.244.483,40** m e **E 166.886,52** m; deste, segue com azimute de 178°48'02" e distância de 13,85 m, até o vértice **302**, de coordenadas **N 8.244.469,55** m e **E 166.886,81** m; deste, segue com azimute de 153°11'29" e distância de 7,36 m, até o vértice **303**, de coordenadas **N 8.244.462,98** m e **E 166.890,13** m; deste, segue com azimute de 135°27'21" e distância de 14,08 m, até o vértice **304**, de coordenadas **N 8.244.452,95** m e **E 166.900,00** m; deste, segue com azimute de 135°27'21" e distância de 11,68 m, até o vértice **305**, de coordenadas **N 8.244.444,62** m e **E 166.908,20** m; deste, segue com azimute de 125°22'29"



SPL - PLC 0019/2019 folha 000468

e distância de 13,49 m, até o vértice **306**, de coordenadas **N 8.244.436,81** m e **E 166.919,20** m; deste, segue com azimute de 114°07'30" e distância de 13,24 m, até o vértice **307**, de coordenadas **N 8.244.431,40** m e **E 166.931,28** m; deste, segue com azimute de 125°44'43" e distância de 6,84 m, até o vértice **308**, de coordenadas **N 8.244.427,41** m e **E 166.936,83** m; deste, segue com azimute de 125°44'43" e distância de 12,96 m, até o vértice **309**, de coordenadas **N 8.244.419,84** m e **E 166.947,35** m; deste, segue com azimute de 125°44'43" e distância de 1,36 m, até o vértice **310**, de coordenadas **N 8.244.419,04** m e **E 166.948,46** m; deste, segue com azimute de 160°53'45" e distância de 7,45 m, até o vértice **311**, de coordenadas **N 8.244.411,99** m e **E 166.950,90** m; deste, segue com azimute de 175°49'51" e distância de 18,57 m, até o vértice **312**, de coordenadas **N 8.244.393,47** m e **E 166.952,25** m; deste, segue com azimute de 138°54'02" e distância de 4,99 m, até o vértice **313**, de coordenadas **N 8.244.389,71** m e **E 166.955,53** m; deste, segue com azimute de 107°08'52" e distância de 36,46 m, até o vértice **314**, de coordenadas **N 8.244.378,96** m e **E 166.990,37** m; deste, segue com azimute de 113°34'34" e distância de 12,95 m, até o vértice **315**, de coordenadas **N 8.244.373,78** m e **E 167.002,24** m; deste, segue com azimute de 183°15'13" e distância de 1,93 m, até o vértice **316**, de coordenadas **N 8.244.371,86** m e **E 167.002,13** m; deste, segue com azimute de 183°15'13" e distância de 1,95 m, até o vértice **317**, de coordenadas **N 8.244.369,91** m e **E 167.002,02** m; deste, segue com azimute de 153°32'42" e distância de 13,98 m, até o vértice **318**, de coordenadas **N 8.244.357,39** m e **E 167.008,25** m; deste, segue com azimute de 130°41'27" e distância de 5,55 m, até o vértice **319**, de coordenadas **N 8.244.353,77** m e **E 167.012,46** m; deste, segue com azimute de 112°49'12" e distância de 10,13 m, até o vértice **320**, de coordenadas **N 8.244.349,84** m e **E 167.021,80** m; deste, segue com azimute de 135°28'04" e distância de 9,53 m, até o vértice **321**, de coordenadas **N 8.244.343,05** m e **E 167.028,48** m; deste, segue com azimute de 156°23'15" e distância de 9,99 m, até o vértice **322**, de coordenadas **N 8.244.333,90** m e **E 167.032,48** m; deste, segue com azimute de 169°59'02" e distância de 9,55 m, até o vértice **323**, de coordenadas **N 8.244.324,50** m e **E 167.034,14** m; deste, segue com azimute de 169°59'02" e distância de 6,61 m, até o vértice **324**, de coordenadas **N 8.244.317,99** m e **E 167.035,29** m; deste, segue com azimute de 142°56'18" e distância de 3,58 m, até o vértice **325**, de coordenadas **N 8.244.315,13** m e **E 167.037,45** m; deste, segue com azimute de 114°05'03" e distância de 7,65 m, até o vértice **326**, de coordenadas **N 8.244.312,01** m e **E 167.044,43** m; deste, segue com azimute de 139°29'15" e distância de 5,60 m, até o vértice **327**, de coordenadas **N 8.244.307,75** m e **E 167.048,07** m; deste, segue com azimute de 163°28'26"



SFL - PLC 0019/2019 folha 000469

e distância de 3,79 m, até o vértice **328**, de coordenadas **N 8.244.304,12** m e **E 167.049,14** m; deste, segue com azimute de 163°28'26" e distância de 22,51 m, até o vértice **329**, de coordenadas **N 8.244.282,54** m e **E 167.055,55** m; deste, segue com azimute de 138°40'24" e distância de 10,37 m, até o vértice **330**, de coordenadas **N 8.244.274,75** m e **E 167.062,40** m; deste, segue com azimute de 125°26'42" e distância de 12,23 m, até o vértice **331**, de coordenadas **N 8.244.267,66** m e **E 167.072,36** m; deste, segue com azimute de 150°15'18" e distância de 25,80 m, até o vértice **332**, de coordenadas **N 8.244.245,26** m e **E 167.085,16** m; deste, segue com azimute de 169°23'52" e distância de 12,07 m, até o vértice **333**, de coordenadas **N 8.244.233,40** m e **E 167.087,38** m; deste, segue com azimute de 148°06'43" e distância de 17,11 m, até o vértice **334**, de coordenadas **N 8.244.218,87** m e **E 167.096,42** m; deste, segue com azimute de 165°34'00" e distância de 15,04 m, até o vértice **335**, de coordenadas **N 8.244.204,30** m e **E 167.100,17** m; deste, segue com azimute de 156°05'54" e distância de 22,04 m, até o vértice **336**, de coordenadas **N 8.244.184,15** m e **E 167.109,10** m; deste, segue com azimute de 137°35'48" e distância de 12,49 m, até o vértice **337**, de coordenadas **N 8.244.174,93** m e **E 167.117,52** m; deste, segue com azimute de 118°27'31" e distância de 26,53 m, até o vértice **338**, de coordenadas **N 8.244.162,29** m e **E 167.140,84** m; deste, segue com azimute de 118°27'31" e distância de 8,39 m, até o vértice **339**, de coordenadas **N 8.244.158,29** m e **E 167.148,22** m; deste, segue com azimute de 126°43'33" e distância de 14,74 m, até o vértice **340**, de coordenadas **N 8.244.149,48** m e **E 167.160,03** m; deste, segue com azimute de 126°43'33" e distância de 3,37 m, até o vértice **341**, de coordenadas **N 8.244.147,47** m e **E 167.162,73** m; deste, segue com azimute de 126°43'33" e distância de 2,93 m, até o vértice **342**, de coordenadas **N 8.244.145,71** m e **E 167.165,08** m; deste, segue com azimute de 126°10'32" e distância de 3,86 m, até o vértice **343**, de coordenadas **N 8.244.143,44** m e **E 167.168,19** m; ponto situado às Margens do Ribeirão Taguatinga deste, segue margeando o Ribeirão Taguatinga, até o vértice **344**, de coordenadas **N 8.244.013,33** m e **E 163.297,90** m; ponto de confluência entre o Ribeirão Taguatinga e o Rio Melchior deste, segue margeando o Rio Melchior, até o vértice **345**, de coordenadas **N 8.244.297,38** m e **E 159.873,88** m; ponto de confluência entre o Rio Melchior e o Córrego Guariroba, deste, segue margeando o Córrego Guariroba, até o vértice **346**, de coordenadas **N 8.246.571,67** m e **E 158.267,87** m; ponto de confluência entre o Córrego Guariroba e o Córrego das Corujas deste, segue margeando o Córrego das Corujas até o vértice **347**, de coordenadas **N 8.248.104,31** m e **E 158.974,48** m; ponto de confluência entre o Córrego das Corujas e o Córrego Vereda deste, segue margeando o Córrego Vereda até o



SPL - PLC 0019/2019 folha 000470

vértice **348**, de coordenadas **N 8.250.705,79** m e **E 158.329,79** m; grota da cabeceira do Córrego Vereda deste, segue com azimute de 14°56'28" e distância de 115,62 m, até o vértice **349**, de coordenadas **N 8.250.817,50** m e **E 158.359,60** m; situado à Rodovia BR-070 deste, segue pela Rodovia BR-070, até o vértice **1**, de coordenadas **N 8.251.305,64** m e **E 160.992,**36 m; ponto inicial da descrição deste perímetro. Todos os azimutes e distâncias, áreas e perímetros foram calculados no plano de projeção UTM Todas as coordenadas aqui descritas estão georreferenciadas ao Sistema Geodésico Brasileiro e encontram-se representadas no Sistema UTM, referenciadas ao **Meridiano Central 45° WGr, Fuso 23**, tendo como o *Datum* o **SICAD-SIRGAS 2000.** Todos os azimutes e distâncias, áreas e perímetros foram calculados no plano de projeção UTM.



SFL - PLC 0019/2019 folha 000471

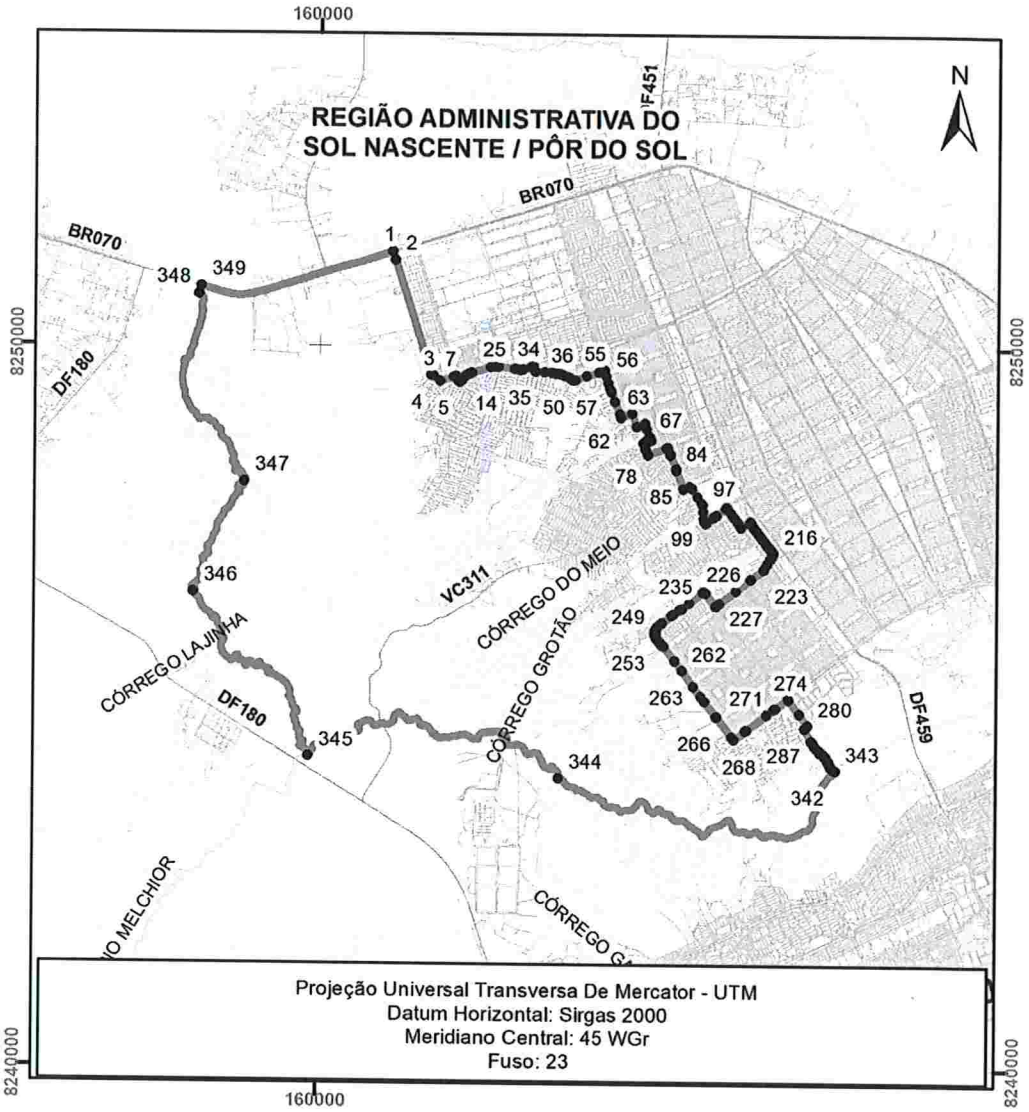




SFL - PLC 0019/2019 folha 000472

# MEMORIAL DESCRITIVO

## ARNIQUEIRA – RA XXXIII

Perímetro: 17.002,697 m  Área: 1.335,846 ha

Inicia-se a descrição deste perímetro no vértice **1**, de coordenadas **N 8.246.323,44** m e **E 177.480,16** m, deste, segue com azimute de 165°37'35" e distância de 2,22 m, até o vértice **2**, de coordenadas **N 8.246.321,29** m e **E 177.480,71** m; **deste**, segue com azimute de 152°01'24" e distância de 33,25 m, até o vértice **3**, de coordenadas **N 8.246.291,92** m e **E 177.496,31** m; **deste**, segue com azimute de 155°20'45" e distância de 162,58 m, até o vértice **4**, de coordenadas **N 8.246.144,17** m e **E 177.564,13** m; **deste**, segue com azimute de 155°29'36" e distância de 39,78 m, até o vértice **5**, de coordenadas **N 8.246.107,97** m e **E 177.580,63** m; **deste**, segue com azimute de 155°27'47" e distância de 109,06 m, até o vértice **6**, de coordenadas **N 8.246.008,75** m e **E 177.625,92** m; **deste**, segue com azimute de 155°45'36" e distância de 113,76 m, até o vértice **7**, de coordenadas **N 8.245.905,02** m e **E 177.672,63** m; **deste**, segue com azimute de 155°22'40" e distância de 70,36 m, até o vértice **8**, de coordenadas **N 8.245.841,06** m e **E 177.701,94** m; **deste**, segue com azimute de 198°25'36" e distância de 1,30 m, até o vértice **9**, de coordenadas **N 8.245.839,83** m e **E 177.701,53** m; **deste**, segue com azimute de 155°43'35" e distância de 188,08 m, até o vértice **10**, de coordenadas **N 8.245.668,38** m e **E 177.778,84** m; **deste**, segue com azimute de 155°43'34" e distância de 4,06 m, até o vértice **11**, de coordenadas **N 8.245.664,67** m e **E 177.780,52** m; **deste**, segue com azimute de 155°43'33" e distância de 0,55 m, até o vértice **12**, de coordenadas **N 8.245.664,17** m e **E 177.780,74** m; **deste**, segue com azimute de 155°43'34" e distância de 29,80 m, até o vértice **13**, de coordenadas **N 8.245.637,01** m e **E 177.792,99** m; **deste**, segue com azimute de 155°43'47" e distância de 0,86 m, até o vértice **14**, de coordenadas **N 8.245.636,22** m e **E 177.793,35** m; **deste**, segue com azimute de 155°43'33" e distância de 6,54 m, até o vértice **15**, de coordenadas **N 8.245.630,26** m e **E 177.796,03** m; **deste**, segue com azimute de 155°43'46" e distância de 1,41 m, até o vértice **16**, de coordenadas **N 8.245.628,98** m e **E 177.796,61** m; **deste**, segue com azimute de 66°05'07" e distância de 4,42 m, até o vértice **17**, de coordenadas **N 8.245.630,77** m e **E 177.800,65** m; **deste**, segue com azimute de 66°05'07" e distância de 41,10 m, até o vértice **18**, de coordenadas **N 8.245.647,44** m e **E 177.838,22** m; **deste**, segue com azimute de 155°25'16" e distância de 0,24 m, até o vértice **19**, de coordenadas **N 8.245.647,22** m e **E 177.838,32** m; **deste**, segue com azimute de 155°25'58" e distância de



SFL - FLC 0019/2019 folha 000473

65,22 m, até o vértice **20**, de coordenadas **N 8.245.587,90** m e **E 177.865,44** m**; deste**, segue com azimute de 155°25'57" e distância de 31,80 m, até o vértice **21**, de coordenadas **N 8.245.558,98** m e **E 177.878,66** m**; deste**, segue com azimute de 153°32'56" e distância de 22,28 m, até o vértice **22**, de coordenadas **N 8.245.539,04** m e **E 177.888,58** m**; deste**, segue com azimute de 155°55'49" e distância de 50,01 m, até o vértice **23**, de coordenadas **N 8.245.493,37** m e **E 177.908,98** m**; deste**, segue com azimute de 156°15'50" e distância de 149,26 m, até o vértice **24**, de coordenadas **N 8.245.356,74** m e **E 177.969,06** m**; deste**, segue com azimute de 170°17'47" e distância de 33,08 m, até o vértice **25**, de coordenadas **N 8.245.324,14** m e **E 177.974,63** m**; deste**, segue com azimute de 66°40'00" e distância de 20,98 m, até o vértice **26**, de coordenadas **N 8.245.332,45** m e **E 177.993,90** m**; deste**, segue com azimute de 66°40'00" e distância de 102,21 m, até o vértice **27**, de coordenadas **N 8.245.372,93** m e **E 178.087,74** m**; deste**, segue com azimute de 65°09'32" e distância de 41,69 m, até o vértice **28**, de coordenadas **N 8.245.390,45** m e **E 178.125,58** m**; deste**, segue com azimute de 65°09'32" e distância de 48,26 m, até o vértice **29**, de coordenadas **N 8.245.410,72** m e **E 178.169,37** m**; deste**, segue com azimute de 65°09'32" e distância de 43,35 m, até o vértice **30**, de coordenadas **N 8.245.428,93** m e **E 178.208,71** m**; deste**, segue com azimute de 65°09'32" e distância de 18,18 m, até o vértice **31**, de coordenadas **N 8.245.436,57** m e **E 178.225,21** m**; deste**, segue com azimute de 67°01'43" e distância de 106,56 m, até o vértice **32**, de coordenadas **N 8.245.478,16** m e **E 178.323,33** m**; deste**, segue com azimute de 64°01'49" e distância de 80,57 m, até o vértice **33**, de coordenadas **N 8.245.513,44** m e **E 178.395,76** m**; deste**, segue com azimute de 62°25'37" e distância de 60,39 m, até o vértice **34**, de coordenadas **N 8.245.541,39** m e **E 178.449,29** m**; deste**, segue com azimute de 39°54'31" e distância de 54,45 m, até o vértice **35**, de coordenadas **N 8.245.583,16** m e **E 178.484,22** m**; deste**, segue com azimute de 29°11'28" e distância de 0,86 m, até o vértice **36**, de coordenadas **N 8.245.583,91** m e **E 178.484,64** m**; deste**, segue com azimute de 29°11'25" e distância de 125,41 m, até o vértice **37**, de coordenadas **N 8.245.693,39** m e **E 178.545,80** m**; deste**, segue com azimute de 61°13'18" e distância de 33,61 m, até o vértice **38**, de coordenadas **N 8.245.709,57** m e **E 178.575,26** m**; deste**, segue com azimute de 64°59'40" e distância de 51,12 m, até o vértice **39**, de coordenadas **N 8.245.731,18** m e **E 178.621,60** m**; deste**, segue com azimute de 64°59'39" e distância de 53,11 m, até o vértice **40**, de coordenadas **N 8.245.753,63** m e **E 178.669,73** m; ponto situado na Rodovia DF-079 **deste**, segue pela Rodovia DF-079, até o vértice **41**, de coordenadas **N 8.245.508,81** m e **E 178.792,27** m**; deste**, segue com azimute de 224°38'14" e distância de



SPL - PLC 0019/2019 folha 000474

31,25 m, até o vértice **42**, de coordenadas **N 8.245.486,57** m e **E 178.770,32** m; **deste**, segue com azimute de 233°41'30" e distância de 9,12 m, até o vértice **43**, de coordenadas **N 8.245.481,17** m e **E 178.762,97** m; **deste**, segue com azimute de 230°44'33" e distância de 4,62 m, até o vértice **44**, de coordenadas **N 8.245.478,25** m e **E 178.759,39** m; **deste**, segue com azimute de 230°44'33" e distância de 10,34 m, até o vértice **45**, de coordenadas **N 8.245.471,70** m e **E 178.751,38** m; **deste**, segue com azimute de 224°28'02" e distância de 74,80 m, até o vértice **46**, de coordenadas **N 8.245.418,32** m e **E 178.698,98** m; **deste**, segue com azimute de 224°28'02" e distância de 123,74 m, até o vértice **47**, de coordenadas **N 8.245.330,01** m e **E 178.612,30** m; **deste**, segue com azimute de 224°28'03" e distância de 26,90 m, até o vértice **48**, de coordenadas **N 8.245.310,82** m e **E 178.593,46** m; **deste**, segue com azimute de 224°27'58" e distância de 0,98 m, até o vértice **49**, de coordenadas **N 8.245.310,12** m e **E 178.592,77** m; **deste**, segue com azimute de 224°29'08" e distância de 0,12 m, até o vértice **50**, de coordenadas **N 8.245.310,03** m e **E 178.592,69** m; **deste**, segue com azimute de 130°27'20" e distância de 1,47 m, até o vértice **51**, de coordenadas **N 8.245.309,08** m e **E 178.593,81** m; **deste**, segue com azimute de 130°27'11" e distância de 2,89 m, até o vértice **52**, de coordenadas **N 8.245.307,20** m e **E 178.596,01** m; **deste**, segue com azimute de 130°27'13" e distância de 7,27 m, até o vértice **53**, de coordenadas **N 8.245.302,48** m e **E 178.601,54** m; **deste**, segue com azimute de 134°40'29" e distância de 22,79 m, até o vértice **54**, de coordenadas **N 8.245.286,46** m e **E 178.617,75** m; **deste**, segue com azimute de 134°40'31" e distância de 1,52 m, até o vértice **55**, de coordenadas **N 8.245.285,39** m e **E 178.618,83** m; **deste**, segue com azimute de 134°40'30" e distância de 65,66 m, até o vértice **56**, de coordenadas **N 8.245.239,23** m e **E 178.665,52** m; **deste**, segue com azimute de 134°33'36" e distância de 204,86 m, até o vértice **57**, de coordenadas **N 8.245.095,48** m e **E 178.811,49** m; **deste**, segue com azimute de 135°51'44" e distância de 2,85 m, até o vértice **58**, de coordenadas **N 8.245.093,44** m e **E 178.813,47** m; **deste**, segue com azimute de 135°51'49" e distância de 6,16 m, até o vértice **59**, de coordenadas **N 8.245.089,02** m e **E 178.817,76** m; **deste**, segue com azimute de 135°51'47" e distância de 66,61 m, até o vértice **60**, de coordenadas **N 8.245.041,22** m e **E 178.864,14** m; **deste**, segue com azimute de 135°51'47" e distância de 11,20 m, até o vértice **61**, de coordenadas **N 8.245.033,18** m e **E 178.871,94** m; **deste**, segue com azimute de 135°51'46" e distância de 11,39 m, até o vértice **62**, de coordenadas **N 8.245.025,01** m e **E 178.879,87** m; **deste**, segue com azimute de 221°10'35" e distância de 5,14 m, até o vértice **63**, de coordenadas **N 8.245.021,15** m e **E 178.876,49** m; **deste**, segue com azimute de 148°10'00" e distância de



SPL - PLC 0019/2019 folha 000475

76,11 m, até o vértice **64**, de coordenadas **N 8.244.956,49** m e **E 178.916,63** m**; deste**, segue com azimute de 101°14'59" e distância de 29,33 m, até o vértice **65**, de coordenadas **N 8.244.950,76** m e **E 178.945,40** m**; deste**, segue com azimute de 208°52'48" e distância de 7,30 m, até o vértice **66**, de coordenadas **N 8.244.944,37** m e **E 178.941,87** m**; deste**, segue com azimute de 134°44'58" e distância de 10,11 m, até o vértice **67**, de coordenadas **N 8.244.937,26** m e **E 178.949,05** m**; deste**, segue com azimute de 134°44'59" e distância de 15,04 m, até o vértice **68**, de coordenadas **N 8.244.926,67** m e **E 178.959,73** m**; deste**, segue com azimute de 134°44'59" e distância de 73,85 m, até o vértice **69**, de coordenadas **N 8.244.874,68** m e **E 179.012,18** m**; deste**, segue com azimute de 130°51'48" e distância de 100,63 m, até o vértice **70**, de coordenadas **N 8.244.808,84** m e **E 179.088,29** m**; deste**, segue com azimute de 224°48'28" e distância de 48,38 m, até o vértice **71**, de coordenadas **N 8.244.774,51** m e **E 179.054,19** m**; deste**, segue com azimute de 222°55'24" e distância de 8,00 m, até o vértice **72**, de coordenadas **N 8.244.768,65** m e **E 179.048,74** m**; deste**, segue com azimute de 137°26'11" e distância de 19,71 m, até o vértice **73**, de coordenadas **N 8.244.754,14** m e **E 179.062,07** m**; deste**, segue com azimute de 121°13'38" e distância de 20,50 m, até o vértice **74**, de coordenadas **N 8.244.743,51** m e **E 179.079,60** m**; deste**, segue com azimute de 139°03'24" e distância de 99,82 m, até o vértice **75**, de coordenadas **N 8.244.668,12** m e **E 179.145,01** m**; deste**, segue com azimute de 138°47'01" e distância de 60,77 m, até o vértice **76**, de coordenadas **N 8.244.622,40** m e **E 179.185,06** m**; deste**, segue com azimute de 133°23'51" e distância de 11,05 m, até o vértice **77**, de coordenadas **N 8.244.614,81** m e **E 179.193,09** m**; deste**, segue com azimute de 121°27'33" e distância de 20,58 m, até o vértice **78**, de coordenadas **N 8.244.604,07** m e **E 179.210,64** m**; deste**, segue com azimute de 76°28'20" e distância de 14,91 m, até o vértice **79**, de coordenadas **N 8.244.607,55** m e **E 179.225,14** m**; deste**, segue com azimute de 46°43'06" e distância de 40,41 m, até o vértice **80**, de coordenadas **N 8.244.635,26** m e **E 179.254,56** m**; deste**, segue com azimute de 133°17'43" e distância de 10,85 m, até o vértice **81**, de coordenadas **N 8.244.627,82** m e **E 179.262,46** m**; deste**, segue com azimute de 134°50'46" e distância de 32,66 m, até o vértice **82**, de coordenadas **N 8.244.604,79** m e **E 179.285,62** m**; deste**, segue com azimute de 134°22'37" e distância de 31,04 m, até o vértice **83**, de coordenadas **N 8.244.583,08** m e **E 179.307,80** m**; deste**, segue com azimute de 134°54'21" e distância de 31,42 m, até o vértice **84**, de coordenadas **N 8.244.560,89** m e **E 179.330,06** m**; deste**, segue com azimute de 134°21'43" e distância de 31,62 m, até o vértice **85**, de coordenadas **N 8.244.538,78** m e **E 179.352,67** m**; deste**, segue com azimute de 135°01'05" e distância de



SPL - PLC 0019/2019 folha 000476

22,02 m, até o vértice **86**, de coordenadas **N 8.244.523,21** m e **E 179.368,23** m; **deste**, segue com azimute de 134°42'08" e distância de 6,96 m, até o vértice **87**, de coordenadas **N 8.244.518,31** m e **E 179.373,18** m; **deste**, segue com azimute de 134°41'41" e distância de 31,88 m, até o vértice **88**, de coordenadas **N 8.244.495,89** m e **E 179.395,84** m; **deste**, segue com azimute de 134°43'56" e distância de 29,64 m, até o vértice **89**, de coordenadas **N 8.244.475,02** m e **E 179.416,90** m; **deste**, segue com azimute de 134°00'24" e distância de 29,14 m, até o vértice **90**, de coordenadas **N 8.244.454,78** m e **E 179.437,86** m; **deste**, segue com azimute de 134°52'26" e distância de 25,81 m, até o vértice **91**, de coordenadas **N 8.244.436,57** m e **E 179.456,15** m; **deste**, segue com azimute de 132°19'00" e distância de 26,77 m, até o vértice **92**, de coordenadas **N 8.244.418,55** m e **E 179.475,94** m; **deste**, segue com azimute de 132°19'21" e distância de 1,89 m, até o vértice **93**, de coordenadas **N 8.244.417,28** m e **E 179.477,34** m; **deste**, segue com azimute de 135°22'58" e distância de 28,30 m, até o vértice **94**, de coordenadas **N 8.244.397,13** m e **E 179.497,22** m; **deste**, segue com azimute de 134°30'50" e distância de 20,12 m, até o vértice **95**, de coordenadas **N 8.244.383,03** m e **E 179.511,56** m; **deste**, segue com azimute de 134°30'47" e distância de 16,14 m, até o vértice **96**, de coordenadas **N 8.244.371,72** m e **E 179.523,07** m; **deste**, segue com azimute de 134°26'00" e distância de 83,25 m, até o vértice **97**, de coordenadas **N 8.244.313,43** m e **E 179.582,52** m; **deste**, segue com azimute de 136°00'25" e distância de 54,68 m, até o vértice **98**, de coordenadas **N 8.244.274,09** m e **E 179.620,50** m; **deste**, segue com azimute de 48°01'17" e distância de 1,49 m, até o vértice **99**, de coordenadas **N 8.244.275,09** m e **E 179.621,60** m; **deste**, segue com azimute de 133°58'36" e distância de 45,75 m, até o vértice **100**, de coordenadas **N 8.244.243,32** m e **E 179.654,53** m; **deste**, segue com azimute de 41°32'34" e distância de 22,59 m, até o vértice **101**, de coordenadas **N 8.244.260,23** m e **E 179.669,51** m; **deste**, segue com azimute de 45°27'30" e distância de 26,84 m, até o vértice **102**, de coordenadas **N 8.244.279,05** m e **E 179.688,64** m; **deste**, segue com azimute de 134°32'53" e distância de 41,62 m, até o vértice **103**, de coordenadas **N 8.244.249,86** m e **E 179.718,30** m; **deste**, segue com azimute de 134°32'54" e distância de 58,47 m, até o vértice **104**, de coordenadas **N 8.244.208,84** m e **E 179.759,96** m; **deste**, segue com azimute de 134°41'29" e distância de 86,68 m, até o vértice **105**, de coordenadas **N 8.244.147,88** m e **E 179.821,58** m; **deste**, segue com azimute de 134°31'02" e distância de 210,02 m, até o vértice **106**, de coordenadas **N 8.244.000,63** m e **E 179.971,34** m; **deste**, segue com azimute de 139°54'29" e distância de 2,39 m, até o vértice **107**, de coordenadas **N 8.243.998,80** m e **E 179.972,88** m; **deste**, segue com azimute de 226°40'42" e distância de



SPL - PLC 0019/2019 folha 000477

52,62 m, até o vértice **108**, de coordenadas **N 8.243.962,70** m e **E 179.934,59** m; **deste**, segue com azimute de 137°50'04" e distância de 45,03 m, até o vértice **109**, de coordenadas **N 8.243.929,32** m e **E 179.964,82** m; **deste**, segue com azimute de 134°37'44" e distância de 191,16 m, até o vértice **110**, de coordenadas **N 8.243.795,04** m e **E 180.100,86** m; **deste**, segue com azimute de 123°25'02" e distância de 15,53 m, até o vértice **111**, de coordenadas **N 8.243.786,48** m e **E 180.113,83** m; **deste**, segue com azimute de 163°58'00" e distância de 47,05 m, até o vértice **112**, de coordenadas **N 8.243.741,26** m e **E 180.126,82** m; **deste**, segue com azimute de 253°43'33" e distância de 135,74 m, até o vértice **113**, de coordenadas **N 8.243.703,22** m e **E 179.996,52** m; **deste**, segue com azimute de 253°28'16" e distância de 63,80 m, até o vértice **114**, de coordenadas **N 8.243.685,07** m e **E 179.935,36** m; **deste**, segue com azimute de 254°00'32" e distância de 101,67 m, até o vértice **115**, de coordenadas **N 8.243.657,06** m e **E 179.837,62** m; **deste**, segue com azimute de 253°53'14" e distância de 20,46 m, até o vértice **116**, de coordenadas **N 8.243.651,38** m e **E 179.817,95** m; **deste**, segue com azimute de 253°53'14" e distância de 68,99 m, até o vértice **117**, de coordenadas **N 8.243.632,23** m e **E 179.751,67** m; **deste**, segue com azimute de 253°53'14" e distância de 11,97 m, até o vértice **118**, de coordenadas **N 8.243.628,91** m e **E 179.740,17** m; **deste**, segue com azimute de 253°53'14" e distância de 197,97 m, até o vértice **119**, de coordenadas **N 8.243.573,97** m e **E 179.549,98** m; **deste**, segue com azimute de 161°08'29" e distância de 7,13 m, até o vértice **120**, de coordenadas **N 8.243.567,23** m e **E 179.552,29** m; **deste**, segue com azimute de 163°38'47" e distância de 200,00 m, até o vértice **121**, de coordenadas **N 8.243.375,32** m e **E 179.608,60** m; **deste**, segue com azimute de 220°19'58" e distância de 66,40 m, até o vértice **122**, de coordenadas **N 8.243.324,70** m e **E 179.565,62** m; **deste**, segue com azimute de 254°00'12" e distância de 39,34 m, até o vértice **123**, de coordenadas **N 8.243.313,86** m e **E 179.527,81** m; **deste**, segue com azimute de 254°04'43" e distância de 186,89 m, até o vértice **124**, de coordenadas **N 8.243.262,60** m e **E 179.348,09** m; **deste**, segue com azimute de 165°30'39" e distância de 100,97 m, até o vértice **125**, de coordenadas **N 8.243.164,84** m e **E 179.373,36** m; **deste**, segue com azimute de 164°31'57" e distância de 100,20 m, até o vértice **126**, de coordenadas **N 8.243.068,27** m e **E 179.400,08** m; **deste**, segue com azimute de 255°15'29" e distância de 2,60 m, até o vértice **127**, de coordenadas **N 8.243.067,60** m e **E 179.397,56** m; **deste**, segue com azimute de 165°28'55" e distância de 49,61 m, até o vértice **128**, de coordenadas **N 8.243.019,58** m e **E 179.410,00** m; **deste**, segue com azimute de 261°47'30" e distância de 29,31 m, até o vértice **129**, de coordenadas **N 8.243.015,40** m e **E 179.380,99** m; **deste**, segue com azimute de 261°47'33" e distância de



SRL - PLC 0019/2019 folha 000478

1,82 m, até o vértice **130**, de coordenadas **N 8.243.015,14** m e **E 179.379,18** m; **deste**, segue com azimute de 171°27'18" e distância de 14,38 m, até o vértice **131**, de coordenadas **N 8.243.000,91** m e **E 179.381,32** m; **deste**, segue com azimute de 133°31'50" e distância de 5,67 m, até o vértice **132**, de coordenadas **N 8.242.997,01** m e **E 179.385,43** m; **deste**, segue com azimute de 133°31'49" e distância de 2,46 m, até o vértice **133**, de coordenadas **N 8.242.995,31** m e **E 179.387,21** m; **deste**, segue com azimute de 146°02'06" e distância de 2,60 m, até o vértice **134**, de coordenadas **N 8.242.993,16** m e **E 179.388,67** m; **deste**, segue com azimute de 146°02'05" e distância de 4,71 m, até o vértice **135**, de coordenadas **N 8.242.989,25** m e **E 179.391,30** m; **deste**, segue com azimute de 160°58'40" e distância de 51,29 m, até o vértice **136**, de coordenadas **N 8.242.940,76** m e **E 179.408,02** m; **deste**, segue com azimute de 163°52'02" e distância de 37,55 m, até o vértice **137**, de coordenadas **N 8.242.904,69** m e **E 179.418,45** m; **deste**, segue com azimute de 164°41'57" e distância de 77,38 m, até o vértice **138**, de coordenadas **N 8.242.830,06** m e **E 179.438,87** m; **deste**, segue com azimute de 163°39'39" e distância de 45,58 m, até o vértice **139**, de coordenadas **N 8.242.786,32** m e **E 179.451,69** m; **deste**, segue com azimute de 163°39'40" e distância de 62,02 m, até o vértice **140**, de coordenadas **N 8.242.726,81** m e **E 179.469,14** m; **deste**, segue com azimute de 163°39'40" e distância de 6,31 m, até o vértice **141**, de coordenadas **N 8.242.720,75** m e **E 179.470,91** m; **deste**, segue com azimute de 163°39'40" e distância de 111,34 m, até o vértice **142**, de coordenadas **N 8.242.613,91** m e **E 179.502,24** m; **deste**, segue com azimute de 165°04'07" e distância de 161,07 m, até o vértice **143**, de coordenadas **N 8.242.458,27** m e **E 179.543,74** m; **deste**, segue com azimute de 165°04'07" e distância de 12,53 m, até o vértice **144**, de coordenadas **N 8.242.446,17** m e **E 179.546,97** m; **deste**, segue com azimute de 165°04'08" e distância de 7,63 m, até o vértice **145**, de coordenadas **N 8.242.438,80** m e **E 179.548,93** m; **deste**, segue com azimute de 165°04'05" e distância de 4,50 m, até o vértice **146**, de coordenadas **N 8.242.434,45** m e **E 179.550,09** m; **deste**, segue com azimute de 165°05'08" e distância de 0,09 m, até o vértice **147**, de coordenadas **N 8.242.434,37** m e **E 179.550,11** m; **deste**, segue com azimute de 170°14'30" e distância de 0,68 m, até o vértice **148**, de coordenadas **N 8.242.433,70** m e **E 179.550,23** m; ponto situado na Rodovia DF-075 **deste**, segue pela Rodovia DF-075, até o vértice **149**, de coordenadas **N 8.242.445,54** m e **E 175.726,32** m; ponto situado no entroncamento entre a Rodovia DF-075 e Rodovia DF-001 **deste**, segue pela Rodovia DF-001, até o vértice **150**, de coordenadas **N 8.243.035,59** m e **E 175.412,11** m; **deste**, segue com azimute de 61°58'59" e distância de 614,49 m, até o vértice **151**, de coordenadas **N 8.243.324,23** m e **E 175.954,58** m; **deste**,



SFL - PLC 0019/2019 folha 000479

segue com azimute de 331°52'41" e distância de 189,45 m, até o vértice **152**, de coordenadas **N 8.243.491,32** m e **E 175.865,29** m; **deste**, segue com azimute de 331°25'20" e distância de 444,70 m, até o vértice **153**, de coordenadas **N 8.243.881,85** m e **E 175.652,56** m; **deste**, segue com azimute de 331°32'05" e distância de 449,65 m, até o vértice **154**, de coordenadas **N 8.244.277,13** m e **E 175.438,25** m; **deste**, segue com azimute de 61°30'43" e distância de 149,58 m, até o vértice **155**, de coordenadas **N 8.244.348,92** m e **E 175.569,48** m; **deste**, segue com azimute de 331°13'29" e distância de 115,91 m, até o vértice **156**, de coordenadas **N 8.244.450,52** m e **E 175.513,68** m; **deste**, segue com azimute de 331°35'50" e distância de 135,53 m, até o vértice **157**, de coordenadas **N 8.244.569,74** m e **E 175.449,22** m; **deste**, segue com azimute de 330°26'42" e distância de 43,91 m, até o vértice **158**, de coordenadas **N 8.244.607,93** m e **E 175.427,56** m; **deste**, segue com azimute de 334°15'28" e distância de 77,02 m, até o vértice **159**, de coordenadas **N 8.244.677,30** m e **E 175.394,11** m; **deste**, segue com azimute de 338°17'58" e distância de 102,06 m, até o vértice **160**, de coordenadas **N 8.244.772,13** m e **E 175.356,37** m; **deste**, segue com azimute de 339°07'16" e distância de 66,11 m, até o vértice **161**, de coordenadas **N 8.244.833,90** m e **E 175.332,81** m; **deste**, segue com azimute de 339°06'08" e distância de 0,01 m, até o vértice **162**, de coordenadas **N 8.244.833,90** m e **E 175.332,81** m; **deste**, segue com azimute de 339°07'16" e distância de 115,66 m, até o vértice **163**, de coordenadas **N 8.244.941,97** m e **E 175.291,59** m; **deste**, segue com azimute de 338°40'45" e distância de 113,63 m, até o vértice **164**, de coordenadas **N 8.245.047,83** m e **E 175.250,27** m; **deste**, segue com azimute de 336°42'02" e distância de 165,24 m, até o vértice **165**, de coordenadas **N 8.245.199,59** m e **E 175.184,92** m; **deste**, segue com azimute de 336°42'01" e distância de 11,35 m, até o vértice **166**, de coordenadas **N 8.245.210,01** m e **E 175.180,43** m; **deste**, segue com azimute de 339°07'16" e distância de 137,34 m, até o vértice **167**, de coordenadas **N 8.245.338,34** m e **E 175.131,48** m; **deste**, segue com azimute de 346°36'27" e distância de 22,49 m, até o vértice **168**, de coordenadas **N 8.245.360,21** m e **E 175.126,27** m; **deste**, segue com azimute de 71°52'37" e distância de 5,02 m, até o vértice **169**, de coordenadas **N 8.245.361,77** m e **E 175.131,05** m; **deste**, segue com azimute de 65°41'18" e distância de 595,73 m, até o vértice **170**, de coordenadas **N 8.245.607,04** m e **E 175.673,95** m; **deste**, segue com azimute de 64°15'45" e distância de 92,78 m, até o vértice **171**, de coordenadas **N 8.245.647,33** m e **E 175.757,52** m; **deste**, segue com azimute de 67°04'02" e distância de 62,66 m, até o vértice **172**, de coordenadas **N 8.245.671,74** m e **E 175.815,23** m; **deste**, segue com azimute de 75°46'39" e distância de 50,71 m, até o vértice **173**, de coordenadas **N 8.245.684,20** m e **E 175.864,39** m; **deste**, segue



SPL - PLC 0019/2019 folha 000490

com azimute de 64°53'41" e distância de 73,91 m, até o vértice **174**, de coordenadas **N 8.245.715,56** m e **E 175.931,32** m; **deste**, segue com azimute de 65°31'42" e distância de 34,97 m, até o vértice **175**, de coordenadas **N 8.245.730,05** m e **E 175.963,15** m; **deste**, segue com azimute de 65°31'42" e distância de 12,98 m, até o vértice **176**, de coordenadas **N 8.245.735,43** m e **E 175.974,97** m; **deste**, segue com azimute de 65°08'39" e distância de 74,11 m, até o vértice **177**, de coordenadas **N 8.245.766,58** m e **E 176.042,22** m; **deste**, segue com azimute de 65°28'59" e distância de 23,70 m, até o vértice **178**, de coordenadas **N 8.245.776,41** m e **E 176.063,78** m; **deste**, segue com azimute de 66°18'19" e distância de 23,99 m, até o vértice **179**, de coordenadas **N 8.245.786,05** m e **E 176.085,75** m; **deste**, segue com azimute de 66°18'19" e distância de 14,05 m, até o vértice **180**, de coordenadas **N 8.245.791,70** m e **E 176.098,61** m; **deste**, segue com azimute de 65°31'42" e distância de 24,50 m, até o vértice **181**, de coordenadas **N 8.245.801,85** m e **E 176.120,91** m; **deste**, segue com azimute de 67°53'01" e distância de 50,04 m, até o vértice **182**, de coordenadas **N 8.245.820,69** m e **E 176.167,27** m; **deste**, segue com azimute de 69°24'44" e distância de 70,38 m, até o vértice **183**, de coordenadas **N 8.245.845,44** m e **E 176.233,15** m; **deste**, segue com azimute de 68°35'57" e distância de 39,18 m, até o vértice **184**, de coordenadas **N 8.245.859,73** m e **E 176.269,63** m; **deste**, segue com azimute de 68°35'57" e distância de 44,24 m, até o vértice **185**, de coordenadas **N 8.245.875,88** m e **E 176.310,82** m; **deste**, segue com azimute de 65°48'23" e distância de 9,95 m, até o vértice **186**, de coordenadas **N 8.245.879,95** m e **E 176.319,90** m; **deste**, segue com azimute de 65°48'22" e distância de 26,76 m, até o vértice **187**, de coordenadas **N 8.245.890,92** m e **E 176.344,31** m; **deste**, segue com azimute de 65°48'22" e distância de 5,71 m, até o vértice **188**, de coordenadas **N 8.245.893,26** m e **E 176.349,52** m; **deste**, segue com azimute de 65°48'23" e distância de 60,21 m, até o vértice **189**, de coordenadas **N 8.245.917,94** m e **E 176.404,44** m; **deste**, segue com azimute de 65°48'23" e distância de 70,05 m, até o vértice **190**, de coordenadas **N 8.245.946,64** m e **E 176.468,34** m; **deste**, segue com azimute de 65°48'23" e distância de 43,91 m, até o vértice **191**, de coordenadas **N 8.245.964,64** m e **E 176.508,39** m; **deste**, segue com azimute de 65°33'04" e distância de 68,09 m, até o vértice **192**, de coordenadas **N 8.245.992,82** m e **E 176.570,38** m; **deste**, segue com azimute de 65°33'04" e distância de 3,50 m, até o vértice **193**, de coordenadas **N 8.245.994,27** m e **E 176.573,56** m; **deste**, segue com azimute de 185°32'34" e distância de 0,39 m, até o vértice **194**, de coordenadas **N 8.245.993,88** m e **E 176.573,52** m; **deste**, segue com azimute de 65°47'29" e distância de 47,31 m, até o vértice **195**, de coordenadas **N 8.246.013,28** m e **E 176.616,67** m; **deste**, segue



SFL - PLC 0019/2019 folha 000481

com azimute de 65°47'29" e distância de 7,23 m, até o vértice **196**, de coordenadas **N 8.246.016,24** m e **E 176.623,26** m**; deste**, segue com azimute de 65°26'38" e distância de 21,37 m, até o vértice **197**, de coordenadas **N 8.246.025,12** m e **E 176.642,70** m; **deste**, segue com azimute de 65°26'38" e distância de 78,54 m, até o vértice **198**, de coordenadas **N 8.246.057,76** m e **E 176.714,13** m**; deste**, segue com azimute de 357°56'17" e distância de 0,49 m, até o vértice **199**, de coordenadas **N 8.246.058,25** m e **E 176.714,11** m**; deste**, segue com azimute de 65°27'20" e distância de 79,83 m, até o vértice **200**, de coordenadas **N 8.246.091,41** m e **E 176.786,73** m**; deste**, segue com azimute de 65°27'20" e distância de 23,61 m, até o vértice **201**, de coordenadas **N 8.246.101,22** m e **E 176.808,20** m**; deste**, segue com azimute de 65°27'20" e distância de 50,46 m, até o vértice **202**, de coordenadas **N 8.246.122,18** m e **E 176.854,10** m**; deste**, segue com azimute de 65°27'20" e distância de 7,87 m, até o vértice **203**, de coordenadas **N 8.246.125,45** m e **E 176.861,26** m**; deste**, segue com azimute de 65°27'25" e distância de 2,96 m, até o vértice **204**, de coordenadas **N 8.246.126,68** m e **E 176.863,95** m**; deste**, segue com azimute de 68°00'25" e distância de 23,44 m, até o vértice **205**, de coordenadas **N 8.246.135,46** m e **E 176.885,68** m**; deste**, segue com azimute de 68°00'25" e distância de 24,95 m, até o vértice **206**, de coordenadas **N 8.246.144,80** m e **E 176.908,82** m**; deste**, segue com azimute de 68°00'25" e distância de 19,22 m, até o vértice **207**, de coordenadas **N 8.246.152,00** m e **E 176.926,64** m**; deste**, segue com azimute de 68°00'25" e distância de 9,23 m, até o vértice **208**, de coordenadas **N 8.246.155,46** m e **E 176.935,20** m**; deste**, segue com azimute de 72°37'23" e distância de 3,07 m, até o vértice **209**, de coordenadas **N 8.246.156,37** m e **E 176.938,13** m**; deste**, segue com azimute de 72°37'23" e distância de 6,87 m, até o vértice **210**, de coordenadas **N 8.246.158,42** m e **E 176.944,68** m**; deste**, segue com azimute de 71°44'14" e distância de 29,66 m, até o vértice **211**, de coordenadas **N 8.246.167,72** m e **E 176.972,84** m**; deste**, segue com azimute de 75°11'01" e distância de 10,27 m, até o vértice **212**, de coordenadas **N 8.246.170,34** m e **E 176.982,77** m**; deste**, segue com azimute de 72°37'24" e distância de 18,00 m, até o vértice **213**, de coordenadas **N 8.246.175,72** m e **E 176.999,95** m**; deste**, segue com azimute de 75°43'15" e distância de 20,12 m, até o vértice **214**, de coordenadas **N 8.246.180,68** m e **E 177.019,45** m**; deste**, segue com azimute de 75°43'15" e distância de 51,34 m, até o vértice **215**, de coordenadas **N 8.246.193,34** m e **E 177.069,21** m**; deste**, segue com azimute de 75°43'15" e distância de 14,97 m, até o vértice **216**, de coordenadas **N 8.246.197,03** m e **E 177.083,71** m**; deste**, segue com azimute de 75°43'15" e distância de 50,02 m, até o vértice **217**, de coordenadas **N 8.246.209,37** m e **E 177.132,18** m**; deste**, segue



SPL - PLC 0019/2019 folha 000432

com azimute de 75°25'39" e distância de 41,41 m, até o vértice **218**, de coordenadas **N 8.246.219,79** m e **E 177.172,26** m**; deste**, segue com azimute de 74°46'36" e distância de 45,85 m, até o vértice **219**, de coordenadas **N 8.246.231,83** m e **E 177.216,50** m**; deste**, segue com azimute de 75°30'21" e distância de 28,77 m, até o vértice **220**, de coordenadas **N 8.246.239,03** m e **E 177.244,36** m**; deste**, segue com azimute de 75°30'21" e distância de 25,08 m, até o vértice **221**, de coordenadas **N 8.246.245,31** m e **E 177.268,64** m**; deste**, segue com azimute de 75°30'21" e distância de 7,22 m, até o vértice **222**, de coordenadas **N 8.246.247,12** m e **E 177.275,63** m**; deste**, segue com azimute de 72°58'36" e distância de 60,56 m, até o vértice **223**, de coordenadas **N 8.246.264,84** m e **E 177.333,54** m**; deste**, segue com azimute de 72°58'36" e distância de 2,14 m, até o vértice **224**, de coordenadas **N 8.246.265,47** m e **E 177.335,59** m**; deste**, segue com azimute de 68°31'06" e distância de 7,50 m, até o vértice **225**, de coordenadas **N 8.246.268,22** m e **E 177.342,57** m**; deste**, segue com azimute de 68°31'06" e distância de 1,23 m, até o vértice **226**, de coordenadas **N 8.246.268,67** m e **E 177.343,71** m**; deste**, segue com azimute de 69°21'40" e distância de 75,04 m, até o vértice **227**, de coordenadas **N 8.246.295,12** m e **E 177.413,94** m**; deste**, segue com azimute de 69°21'40" e distância de 11,84 m, até o vértice **228**, de coordenadas **N 8.246.299,29** m e **E 177.425,01** m**; deste**, segue com azimute de 65°11'32" e distância de 22,03 m, até o vértice **229**, de coordenadas **N 8.246.308,54** m e **E 177.445,01** m**; deste**, segue com azimute de 68°31'16" e distância de 0,95 m, até o vértice **230**, de coordenadas **N 8.246.308,88** m e **E 177.445,90** m**; deste**, segue com azimute de 68°31'04" e distância de 4,06 m, até o vértice **231**, de coordenadas **N 8.246.310,37** m e **E 177.449,68** m**; deste**, segue com azimute de 68°31'04" e distância de 9,15 m, até o vértice **232**, de coordenadas **N 8.246.313,72** m e **E 177.458,19** m**; deste**, segue com azimute de 66°08'50" e distância de 23,12 m, até o vértice **233**, de coordenadas **N 8.246.323,08** m e **E 177.479,34** m**; deste**, segue com azimute de 66°09'02" e distância de 0,90 m, até o vértice **1**, de coordenadas **N 8.246.323,44** m e **E 177.480,16** m; ponto inicial da descrição deste perímetro. Todos os azimutes e distâncias, áreas e perímetros foram calculados no plano de projeção UTM Todas as coordenadas aqui descritas estão georreferenciadas ao Sistema Geodésico Brasileiro e encontram-se representadas no Sistema UTM, referenciadas ao **Meridiano Central 45° WGr, Fuso 23**, tendo como o *Datum* o **SICAD-SIRGAS 2000.** Todos os azimutes e distâncias, áreas e perímetros foram calculados no plano de projeção UTM



SFL - PLC 0019/2019 folha 000483

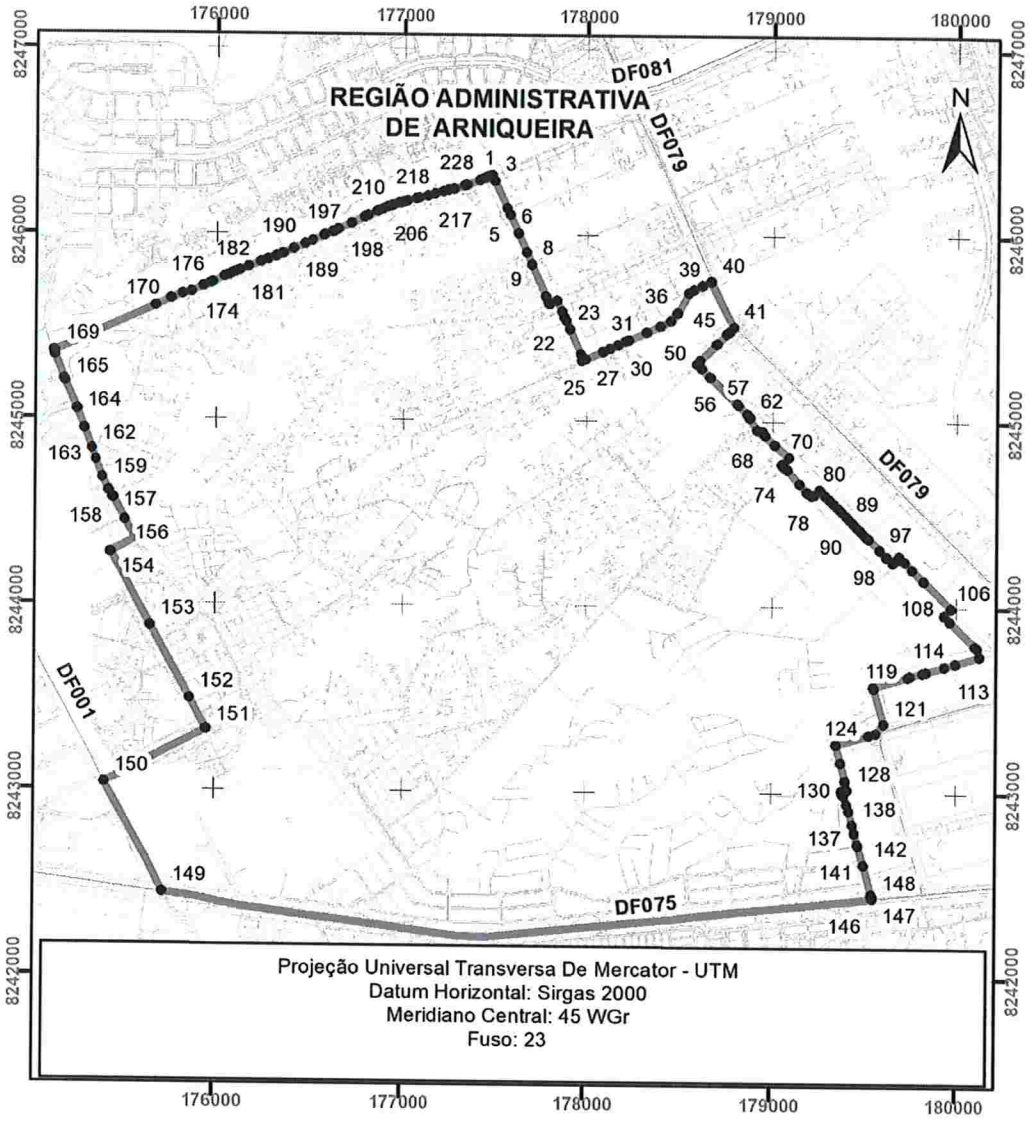




SFL - FLC 0019/2019 folha 000484

CONSELHO DE PLANEJAMENTO TERRITORIAL E URBANO DO DISTRITO FEDERAL – CONPLAN

PAUTA – 152ª Reunião Ordinária

**Data**: 24 de maio de 2018

**Local:** SCS, Quadra 06, Bloco A, Lotes 13/14, 2º Andar, Sala de Reuniões

**Horário:** 9h

1. **Ordem do dia:**

   **1.1.** Abertura dos trabalhos;

   **1.2.** Verificação do *quorum;*

   **1.3.** Informes do Presidente.

2. **Processo para Deliberação:**

| | | |
|---|---|---|
| **2.1** | PROCESSO Nº | **121.000.308/2013** |
| | INTERESSADO: | Secretaria de Estado das Cidades |
| | ASSUNTO: | Projeto de Lei Complementar que Define as Poligonais (limites oficiais) das trinta e uma Regiões Administrativas do Distrito Federal |
| | RELATOR: | Luiz Otavio Alves Rodrigues – SEGETH |
| **2.4** | PROCESSO Nº | **00390-00005769/2017-14** |
| | INTERESSADO: | TERRACAP |
| | ASSUNTO: | Proposta de alteração dos parâmetros urbanísticos para o Centro Esportivo de Brasília - ARENAPLEX, Setor de Recreação Pública Norte Plano Piloto, RA I |
| | RELATOR: | Gilson José Paranhos de Paula e Silva - CODHAB |

3. **Assuntos Gerais**

4. **Encerramento.**



SFL - PLC 0019/2019 folha 000485

CONSELHO DE PLANEJAMENTO TERRITORIAL E URBANO DO DISTRITO FEDERAL – CONPLAN

PAUTA – 64ª Reunião Extraordinária

**Data**: 07 de junho de 2018

**Local:** SCS, Quadra 06, Bloco A, Lotes 13/14, 2º Andar, Sala de Reuniões

**Horário:** 9h

1. **Ordem do dia:**

   **1.1.** Abertura dos trabalhos;

   **1.2.** Verificação do *quorum;*

   **1.3.** Informes do Presidente;

   **1.4.** Divulgação da resposta ao pedido de reconsideração sobre o impedimento de relatoria - **Sobrestado**

2. **Processos para Deliberação:**

   **2.1** PROCESSO Nº: **121.000.308/2013**
   INTERESSADO: Secretaria de Estado das Cidades
   ASSUNTO: Projeto de Lei Complementar que Define as Poligonais (limites oficiais) das trinta e uma Regiões Administrativas do Distrito Federal
   RELATOR: Luiz Otavio Alves Rodrigues – SEGETH

3. **Assuntos Gerais**

4. **Encerramento.**



SPL - PLC 0019/2019 folha 000486

# ATA DA REUNIÃO DA CÂMARA TEMÁTICA DO CONSELHO DE PLANEJAMENTO TERRITORIAL E URBANO DO DISTRITO FEDERAL (CONPLAN)

Às dez horas do trigésimo dia do mês de maio do ano de dois mil e dezoito, na Sala de Reuniões do Segundo Andar do Edificio Sede da Secretaria de Estado de Gestão do Território e Habitação – SEGETH, foi aberta a Reunião da Câmara Temática instituída na 152ª Reunião Ordinária em vinte e quatro de maio de 2018, por solicitação dos Conselheiros com o objetivo de esclarecer se o número de reuniões, Consultas Públicas e Audiências Públicas foram suficientes para elaboração do Projeto de Lei Complementar que Define as Poligonais (limites oficiais) das trinta e uma Regiões Administrativas do Distrito Federal. Com a presença dos Conselheiros integrantes: Heber Niemeyer Botelho – SEF, Antonio Batista de Morais - ASTRARSAMA/DF, Ana Flávia Bittencourt de Lima – ÚNICA/DF, a Coordenadora do Sistema de Informação Territorial e Urbana do Distrito Federal – COSID/SEGETH, Litz Mary Lima Bainy e da Assessora de Gabinete da Secretaria de Estado das Cidades – SECID, Adriana Marques Seixas. A Coordenadora **Litz Mary Lima Bainy**, deu início a reunião apresentando um breve histórico do Processo Nº 121.000.308/203, que trata do Projeto de Lei Complementar que Define as Poligonais das 31(trinta e uma) Regiões Administrativas do DF. Fez menção ao Decreto nº 35.020 de 26 de dezembro de 2013, que instituiu um Grupo de Trabalho (GT) com o intuito de elaborar o referido anteprojeto de Lei Complementar, com a Coordenação da CODEPLAN, representantes da Casa Civil, Governadoria do Distrito Federal, Secretaria de Estado de Gestão Território e Habitação – SEGETH, Agência de Desenvolvimento do Distrito Federal – TERRACAP, Companhia de Saneamento Ambiental do Distrito Federal – CAESB e Companhia Energética de Brasília – CEB. Ressaltou que o relatório foi concluído em março de 2014, e que entre 2016/2017, ocorreram reuniões com os Administradores Regionais com objetivo de apresentar a proposta definida pelo GT na Secretaria de Gestão do Território e Habitação – SEGETH, e que na Secretaria das Cidades foram realizadas reuniões direcionadas a solucionar os pontos de conflito entre específicas Regiões Administrativas. Destacou que em outubro de 2017, a proposta foi apresentada e aprovada pelo Governador, e que a Consulta Pública online foi disponibilizada no período de



SFL – PLC 0019/2019 folha 000487

06 de novembro a 26 março de 2018, e foram registradas 89 manifestações. Informou que a proposta do anteprojeto de Lei Complementar foi disponibilizada no Geoportal: http://www.geoportal.segeth.df.gov.br. Ainda, pontuou que a 1ª Audiência Pública, aconteceu em 29 de novembro de 2017, no Museu Nacional da República, com a participação de 115 pessoas e que 42 pessoas se inscreveram para manifestações oral, e a 2ª Audiência Pública aconteceu no dia 23 de março de 2018 no Museu Nacional da República, com a participação de 89 pessoas e que 36 pessoas se inscreveram para manifestação oral. Em ato contínuo, apresentou o Projeto de Lei Complementar e pontuou sobre os seguintes aspectos: a) que em 1964 eram 8 Regiões Administrativa (Brasília, Gama, Taguatinga, Brazlândia, Sobradinho, Planaltina, Paranoá e Jardim); b) que em 1989 - 12 Regiões Administrativa (extinta a RA Jardim e acrescentado Núcleo Bandeirante, Ceilândia, Guará, Cruzeiro, Samambaia); Entre 1992 e 1994: 19 Regiões Administrativa (acrescentado Santa Maria, São Sebastião, Recanto das Emas, Lago Sul, Riacho Fundo, Lago Norte e Candangolândia); c) que a partir de 2003 outras 12 RAs foram criadas no DF, porém sem poligonais definidas: Águas Claras, Riacho Fundo II, Sudoeste/Octogonal, Varjão, Park Way, SCIA, Sobradinho II, Jardim Botânico, Itapoã, SIA, Vicente Pires e Fercal. Citou ainda que alguns fatores de relevância: problemas devido à inexistência de limites definidos; critérios para a delimitação das novas Regiões Administrativas, e apresentação dos mapas com as definições das poligonais. Demonstrou como ficaram nos mapas as definições das poligonais nas Regiões Administrativas. Após todo o exposto, os Conselheiros sentiram-se contemplados com os esclarecimentos. Não havendo mais assuntos a serem tratados, a reunião da Câmara Temática de Conselho de Planejamento Territorial e Urbano – CONPLAN foi encerrada.

**ANTONIO BATISTA DE MORAIS**
ASTRARSAMA/DF

**ANA FLÁVIA BITTENCOURT DE LIMA**
ÚNICA/DF

**HEBER NIEMEYER BOTELHO**
SEF

**LITZ MARY LIMA BAINY**
COSID/SEGETH



SFL - PLC 0019/2019 folha 000488

**GOVERNO DO DISTRITO FEDERAL**
Secretaria de Estado de Gestão do Território e Habitação do Distrito Federal – SEGETH

Reunião da Câmara Temática do Conselho de Planejamento Territorial e Urbano – CONPLAN, realizada no dia 30 de maio de 2018

Adriana Marques Seixas
**ADRIANA MARQUES SEIXAS**
SECID



SPL - PLC 0019/2019 folha 000489

SPL - PLC 0019/2019 folha 000490

# HISTÓRICO DO PROCESSO 121.000.308/2013

Decreto nº 35.020/2013 de 26 de dezembro de 2013 - instituiu um Grupo de Trabalho com o intuito de elaborar o anteprojeto de Lei Complementar sobre a definição das Poligonais das 31 Regiões Administrativas do Distrito Federal.

Coordenação: CODEPLAN

Representantes:

- Casa Civil
- Governadoria do Distrito Federal
- Secretaria de Estado de Gestão Território e Habitação – SEGETH
- Agência de Desenvolvimento do Distrito Federal – TERRACAP
- Companhia de Saneamento Ambiental do Distrito Federal – CAESB
- Companhia Energética de Brasília – CEB.

Relatório concluído em março de 2014



SFL - PLC 0019/2019 folha 000491

# HISTÓRICO DO PROCESSO 121.000.308/2013

**2016/2017**

Secretaria de Gestão do Território e Habitação - reuniões com os Administradores Regionais com objetivo de apresentar a proposta definida pelo Grupo de Trabalho.

Coordenação da Secretaria das Cidades - reuniões direcionadas a solucionar os pontos de conflito entre específicas Regiões Administrativas.

Outubro de 2017 - proposta foi apresentada e aprovada pelo Governador.



SPL - PLC 0019/2019 folha 000492

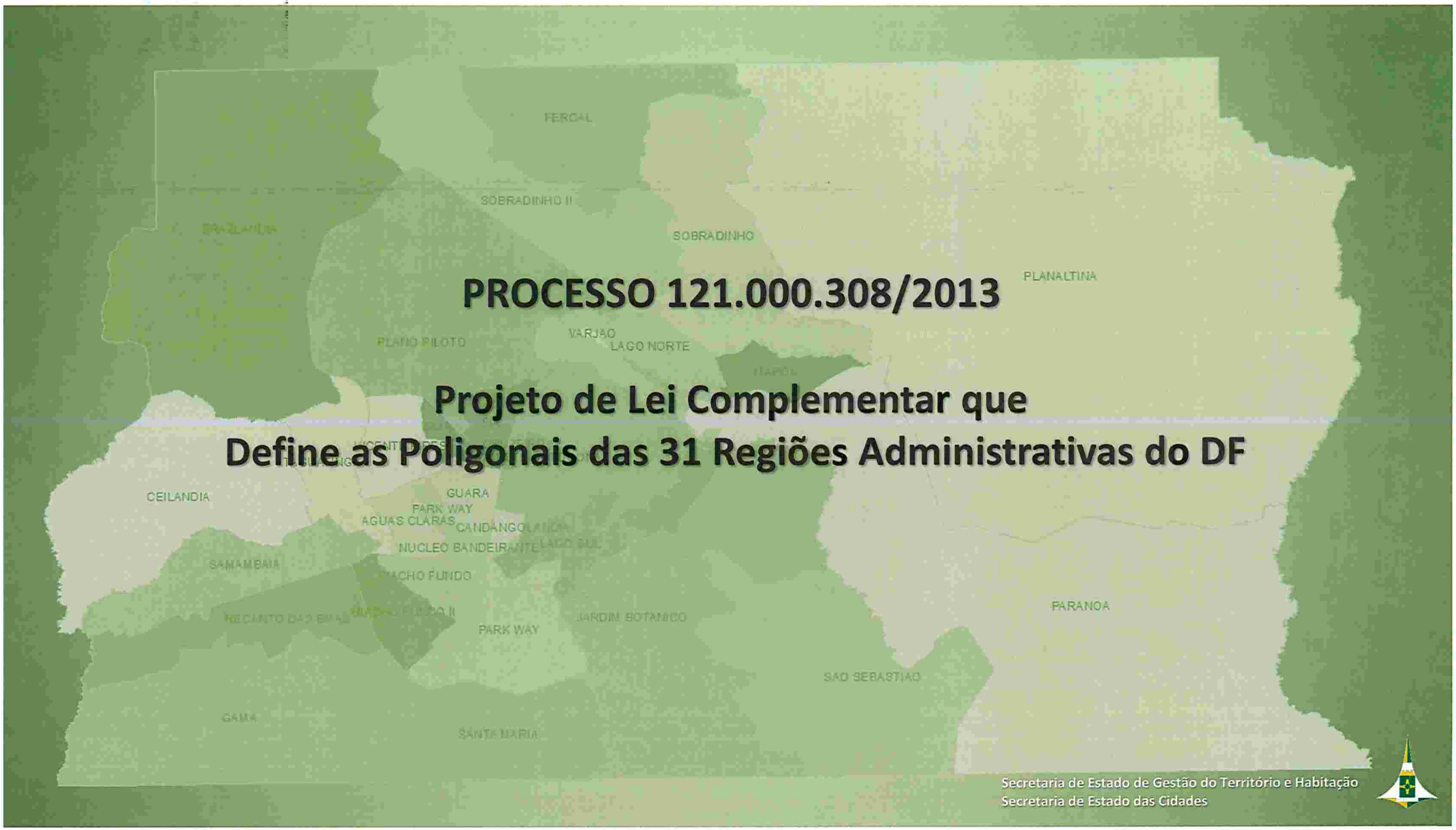


# PROCESSO 121.000.308/2013

## Projeto de Lei Complementar que Define as Poligonais das 31 Regiões Administrativas do DF

Secretaria de Estado de Gestão do Território e Habitação
Secretaria de Estado das Cidades

SPL -- PLC 0019/2019 folha 000493

# HISTÓRICO DO PROCESSO 121.000.308/2013

Decreto nº 35.020/2013 de 26 de dezembro de 2013 - instituiu um Grupo de Trabalho com o intuito de elaborar o anteprojeto de Lei Complementar sobre a definição das Poligonais das 31 Regiões Administrativas do Distrito Federal.

Coordenação: CODEPLAN

Representantes:

- Casa Civil
- Governadoria do Distrito Federal
- Secretaria de Estado de Gestão Território e Habitação – SEGETH
- Agência de Desenvolvimento do Distrito Federal – TERRACAP
- Companhia de Saneamento Ambiental do Distrito Federal – CAESB
- Companhia Energética de Brasília – CEB.

Relatório concluído em março de 2014



SPL - PLC 0019/2019 folha 000494

# HISTÓRICO DO PROCESSO 121.000.308/2013

**2016/2017**

Secretaria de Gestão do Território e Habitação - reuniões com os Administradores Regionais com objetivo de apresentar a proposta definida pelo Grupo de Trabalho.

Coordenação da Secretaria das Cidades - reuniões direcionadas a solucionar os pontos de conflito entre específicas Regiões Administrativas.

Outubro de 2017 - proposta foi apresentada e aprovada pelo Governador.



SFL - PLC 0019/2019 folha 000495

# HISTÓRICO DO PROCESSO 121.000.308/2013

- **Consulta pública on-line –** disponibilizada no site da SEGETH no período de 06 de novembro de 2017 a 26 de março de 2018
  – 89 manifestações

- **Disponibilização da proposta no geoportal :** http://www.geoportal.segeth.df.gov.br

- **1ª Audiência Pública**
  **Data:** 29 de novembro de 2017
  **Horário**: 19h
  **Local**: Museu Nacional da República
  **Participação**: 115 pessoas
  42 pessoas se inscreveram para manifestação oral

- **2ª Audiência Pública**
  **Data:** 23 de março de 2018
  **Horário**: 19:00h
  **Local**: Museu Nacional da República
  **Participação**: 89 pessoas
  36 pessoas se inscreveram para manifestação oral

Secretaria de Estado de Gestão do Território e Habitação
Secretaria de Estado das Cidades

SFL - PLC 0019/2019 folha 000496

# HISTÓRICO DO PROCESSO 121.000.308/2013

## PROJETO DE LEI COMPLEMENTAR Nº /2018.

(Autoria: Poder Executivo)

Define os limites físicos das Regiões Administrativas do Distrito Federal e dá outras providências.

A CÂMARA LEGISLATIVA DO DISTRITO FEDERAL decreta:

Art. 1º Ficam definidas as poligonais das Regiões Administrativas do Distrito Federal, em conformidade com os memoriais descritivos e mapas anexos.

Art. 2º Para fins de criação, extinção ou alteração dos limites das Regiões Administrativas do Distrito Federal devem ser observados os seguintes critérios:

I - Proximidade do núcleo urbano principal;

II - Preservação da dinâmica urbana, viabilizando áreas para equipamentos públicos e áreas de expansão urbana e rural;

III - Morfologia urbana existente;

Secretaria de Estado de Gestão do Território e Habitação
Secretaria de Estado das Cidades

SFL - PLC 0019/2019 folha 000497

## HISTÓRICO DO PROCESSO 121.000.308/2013

IV - Manutenção de núcleos urbanos isolados, setores habitacionais e áreas de regularização (ARINEs, ARISs), ARIEs, ADEs, Unidade de Conservação, Parques e Lotes Urbanos e Rurais em uma única Região Administrativa a que está vinculada;

V – Endereçamento;

VI – Limites de setores censitários existentes, visando à manutenção de séries históricas de dados estatísticos;

VII – Limites físicos naturais, tais como hidrografia e acidentes geográficos e obras de caráter permanente, tais como rodovias e ferrovias;

VIII – Rodovias, ferrovias e obras de caráter permanente.

Parágrafo único. A iniciativa das leis para os fins de que trata o caput é do Poder Executivo, observado o disposto no art. 219, X, do Plano Diretor de Ordenamento Territorial do Distrito Federal – PDOT.

Art. 3º Revogam-se as disposições em contrário.



SPL - PLC 0019/2019 folha 000498

## CRONOLOGIA

- **1964 - 8 Regiões Administrativa** (Brasília, Gama, Taguatinga, Brazlândia, Sobradinho, Planaltina, Paranoá e Jardim);

- **1989 - 12 Regiões Administrativa** (extinta a RA Jardim e acrescentado Núcleo Bandeirante, Ceilândia, Guará, Cruzeiro, Samambaia);

- **Entre 1992 e 1994: 19 Regiões Administrativa** (acrescentado Santa Maria, São Sebastião, Recanto das Emas, Lago Sul, Riacho Fundo, Lago Norte e Candangolândia);

- **A partir de 2003: outras 12 RAs foram criadas no DF**, porém sem poligonais definidas: Águas Claras, Riacho Fundo II, Sudoeste/Octogonal, Varjão, Park Way, SCIA, Sobradinho II, Jardim Botânico, Itapoã, SIA, Vicente Pires e Fercal.



SFL - PLC 0019/2019 folha 000499

## RELEVÂNCIA

**Problemas devido à inexistência de limites definidos:**

- Os órgão do GDF trabalham com diferentes definições, de acordo com a peculiaridade de suas atividades;
- Questionamentos por órgãos do judiciário, como os tribunais de justiça, para definição da circunscrição judiciária;
- Insegurança da população para resolver suas demandas junto à Administração Regional, que muitas vezes tem atribuições sobrepostas ou se o omitem diante das indefinições de competências;
- Resultados do Censo demográfico para 19 RAs;
- Atualização de livros didáticos.

**Em síntese:** As dificuldades enfrentadas pelo governo se refletem diretamente na qualidade dos serviços prestados à população, a maior prejudicada com a falta de definição dessas poligonais.



SFL - PLC 0019/2019 folha 000500

# CRITÉRIOS PARA A DELIMITAÇÃO DAS NOVAS REGIÕES ADMINISTRATIVAS

**Utilizar, preferencialmente:**

- ✓ limites de setores censitários – IBGE 2000 (manutenção das séries históricas dos indicadores socioeconômicos existentes)
- ✓ Limites naturais e sistema viário (facilidade de percepção e identificação destas como limites )
- ✓ limites existentes – cercas e muros

**Evitar a divisão de:**

- ✓ setores habitacionais
- ✓ núcleos rurais e glebas rurais
- ✓ condomínios
- ✓ limites das áreas definidas no Plano Diretor de Ordenamento Territorial – PDOT: Zoneamento, Setores Habitacionais, Áreas de Regularização de Interesse Social e Áreas de Regularização de Interesse Específico, Áreas Econômicas, Parques e Áreas de Interesse Ambiental

**Manter, preferencialmente:**

- ✓ Núcleos urbanos na Região Administrativa em que se localiza o núcleo urbano principal mais próximo;
- ✓ áreas destinadas a equipamentos públicos nas Regiões Administrativas para as quais estes equipamentos foram destinados;

**Considerar:**

- ✓ endereçamento existente;
- ✓ sugestões da Conferência Distrital das Cidades Extraordinária, quando apropriadas ao ordenamento territorial;

Secretaria de Estado de Gestão do Território e Habitação
Secretaria de Estado das Cidades

SPL - PLC 0019/2019 folha 000501

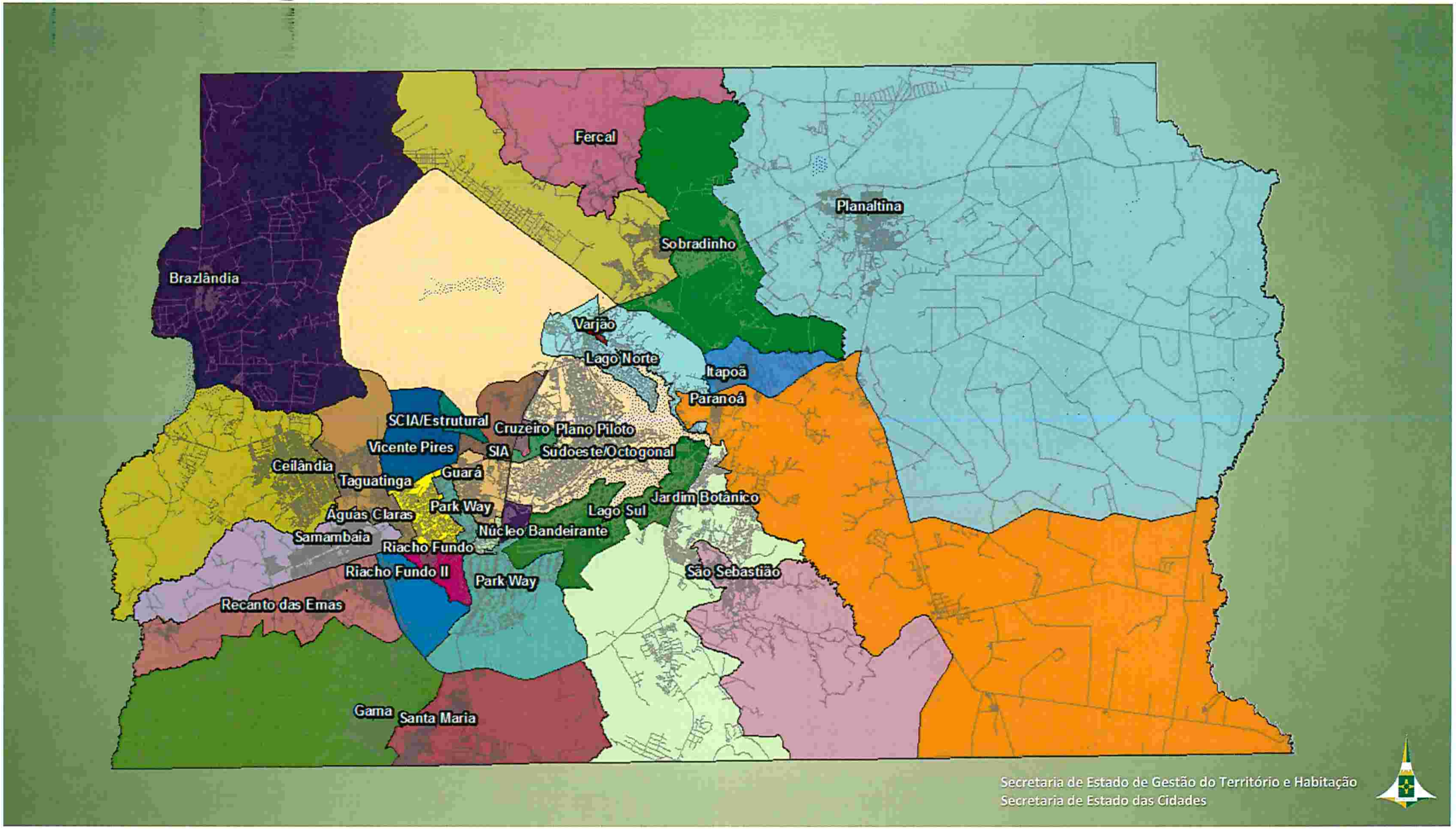


SPL - PLC 0019/2019 folha 000502

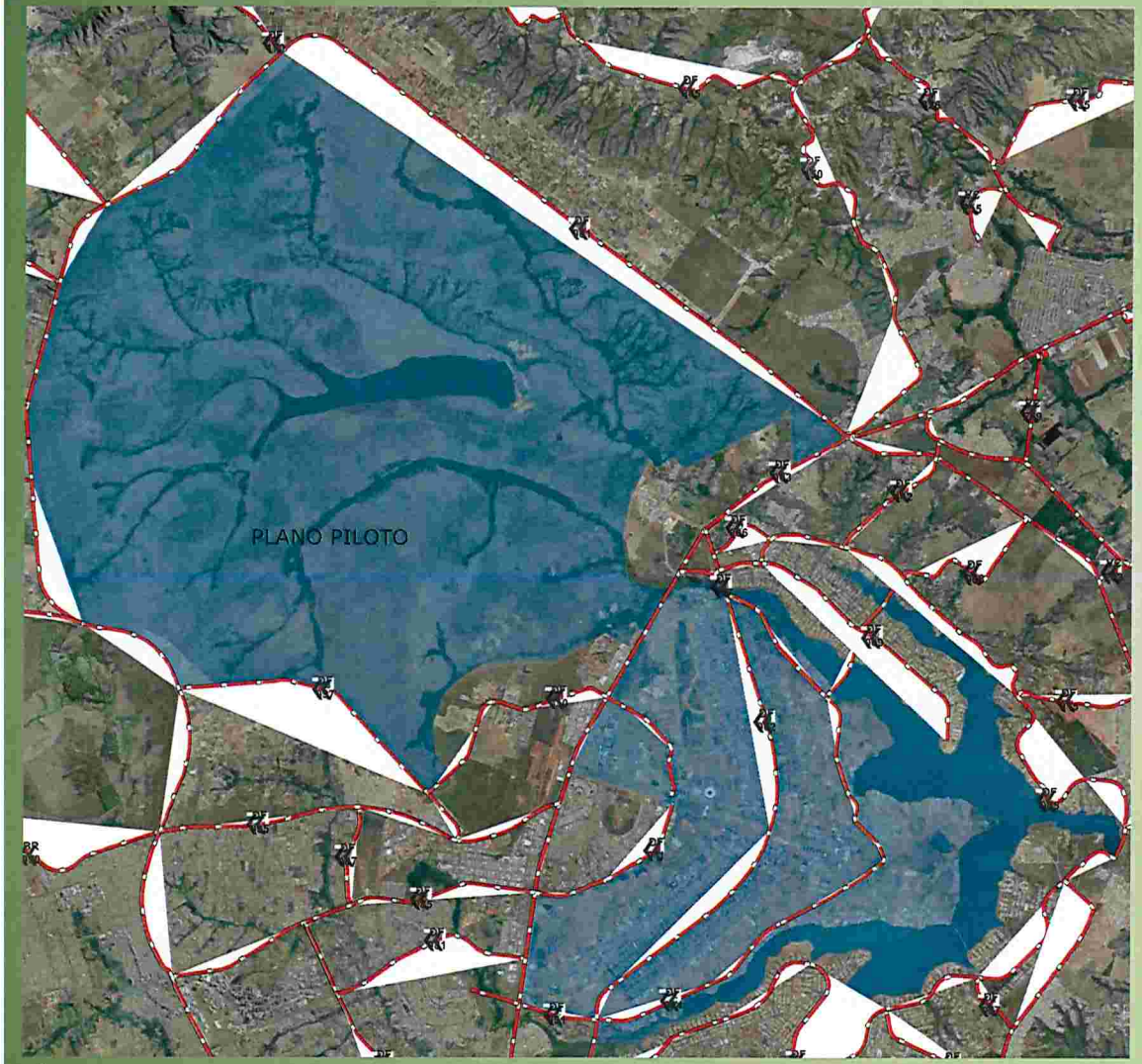


Uma pequena porção do território da RA Plano Piloto foi transferida para a RA Paranoá, que passa a ter acesso ao lago Paranoá.

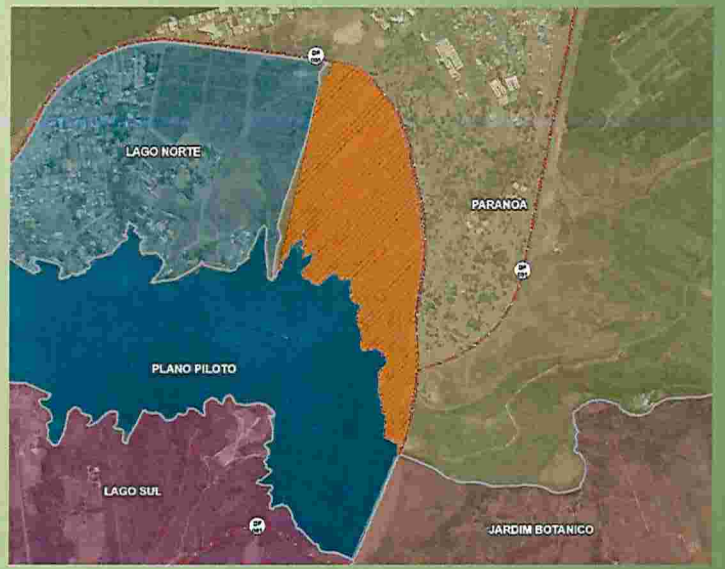


# RA I - PLANO PILOTO

Secretaria de Estado de Gestão do Território e Habitação
Secretaria de Estado das Cidades

SFL - PLC 0019/2019 folha 000503

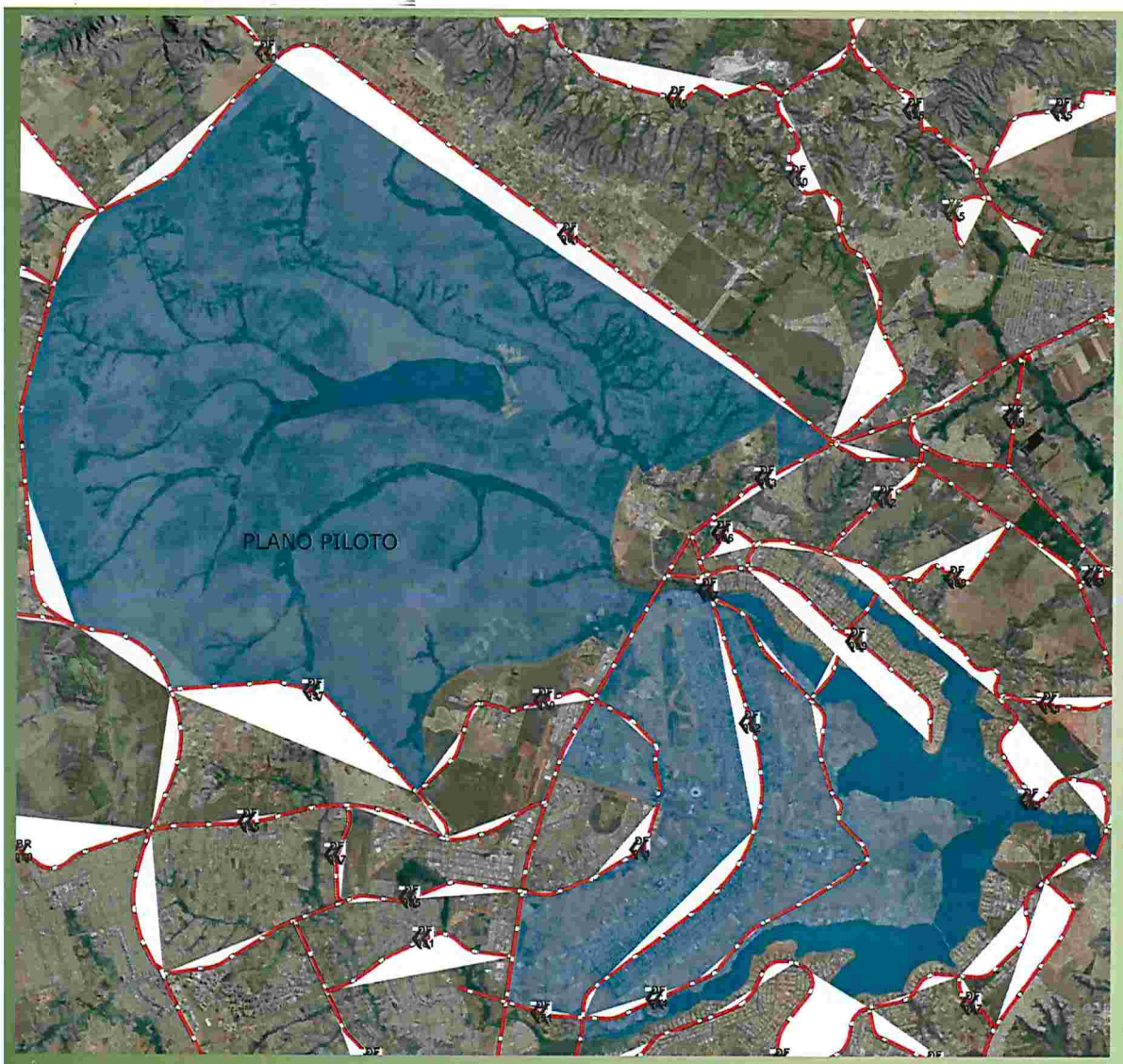


O Setor de Indústria Gráfica foi incluído na Região Administrativa do Sudoeste/Octogonal.

# RA I - PLANO PILOTO

Secretaria de Estado de Gestão do Território e Habitação
Secretaria de Estado das Cidades

SPL - PLC 0019/2019 folha 000504

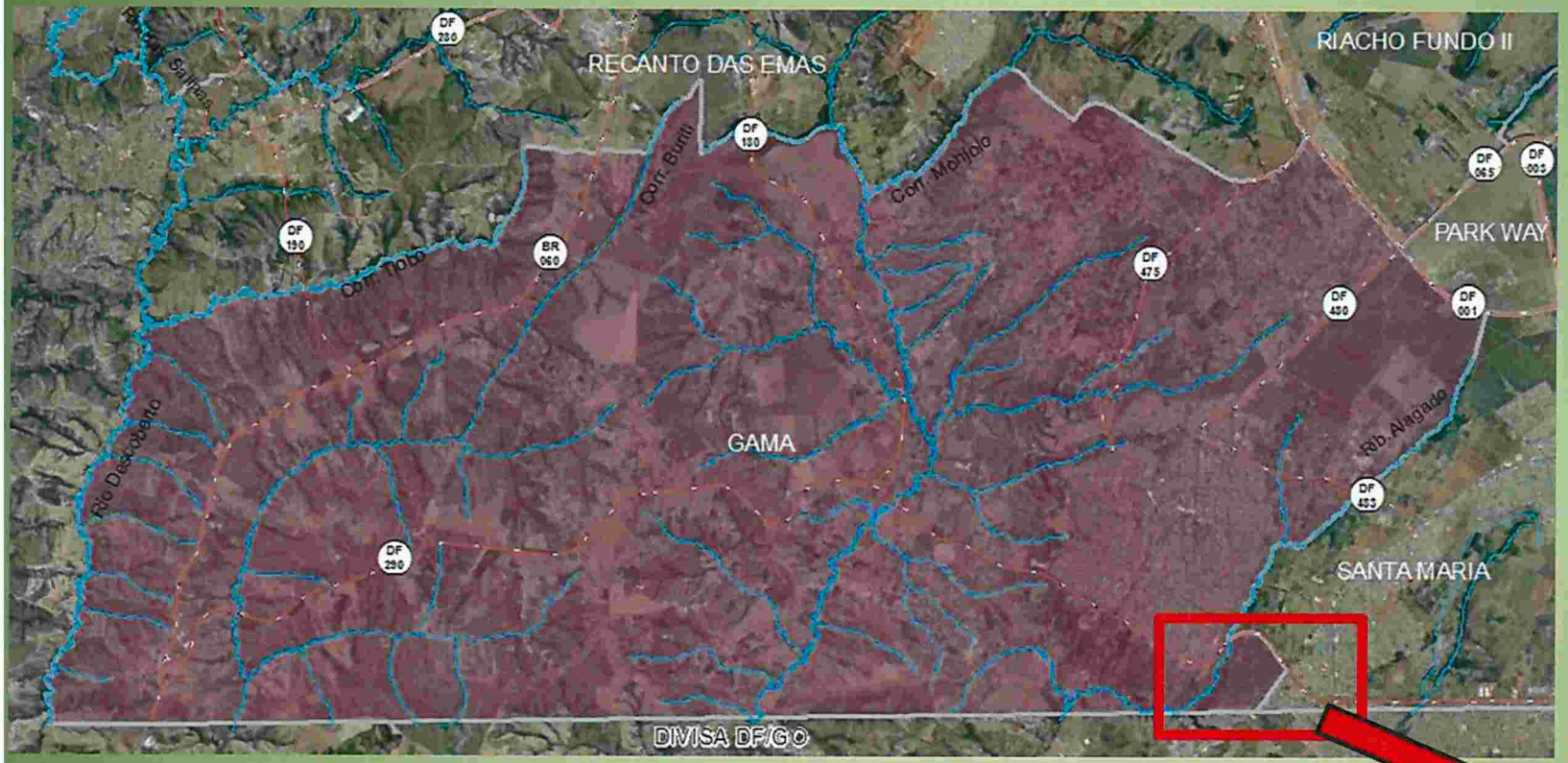

Vila DVO inserida na RA XIII - Santa Maria

Maior proximidade com o núcleo urbano

Secretaria de Estado de Gestão do Território e Habitação
Secretaria de Estado das Cidades

**RA II - GAMA**

SPL - PLC 0019/2019 folha 000505

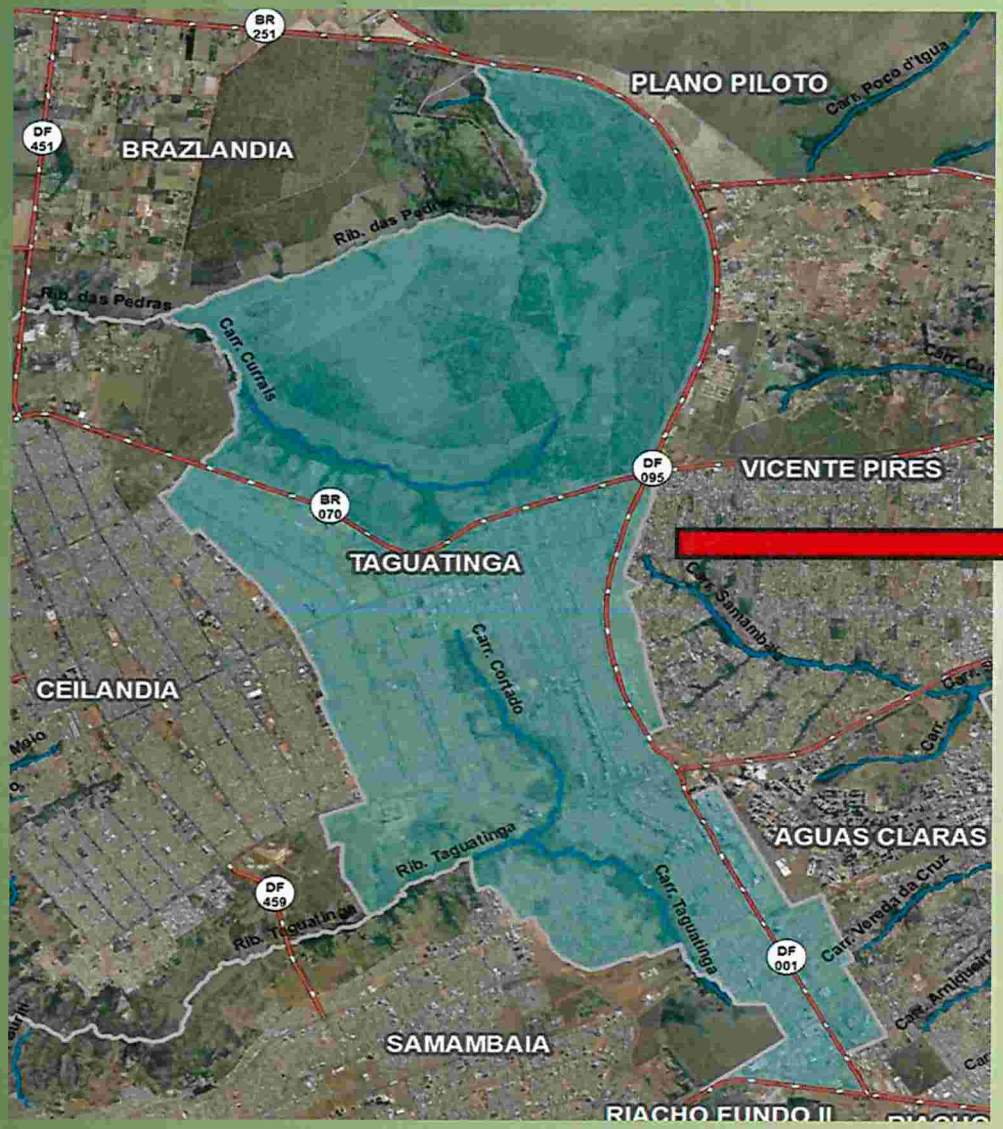


Taguaparque ➡ RA Taguatinga

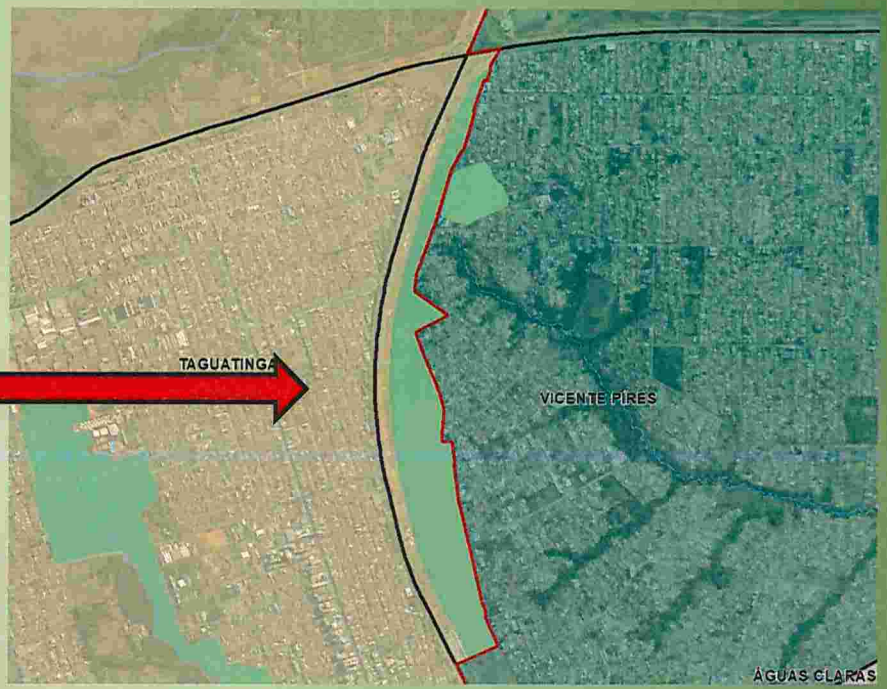


Secretaria de Estado de Gestão do Território e Habitação
Secretaria de Estado das Cidades

# RA III – TAGUATINGA

SFL - PLC 0019/2019 folha 000506

**RA Taguatinga:**

Quadras QS1, QS3, QS5 e o terreno da Universidade Católica, na QS7

**Parque Boca da Mata**

**RA Samambaia**

Secretaria de Estado de Gestão do Território e Habitação
Secretaria de Estado das Cidades

# RA III – TAGUATINGA

SPL - PLC 0019/2019 folha 000507

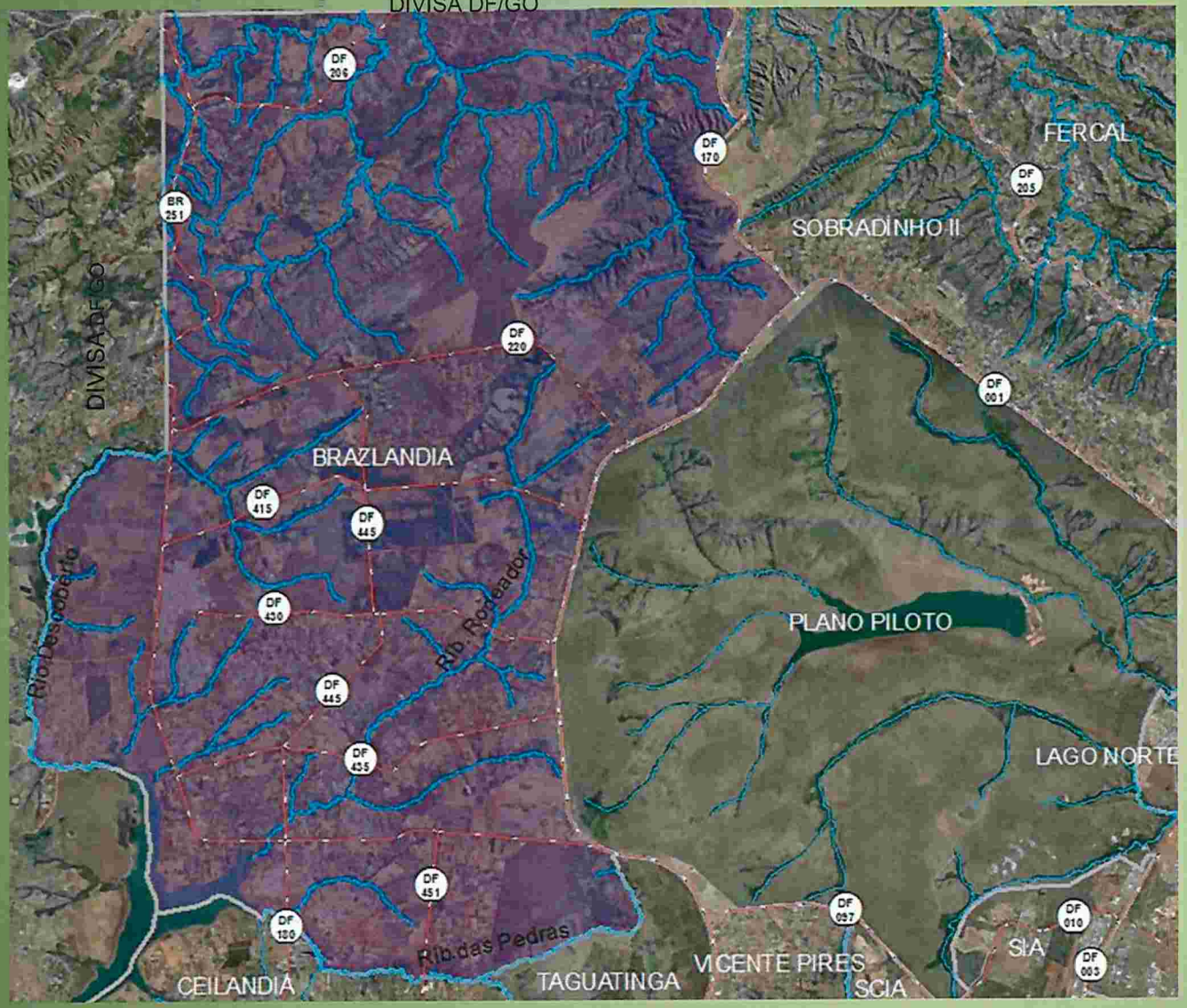


Sem alterações

Secretaria de Estado de Gestão do Território e Habitação
Secretaria de Estado das Cidades

# RA IV - BRAZLÂNDIA

SPL - PLC 0019/2019 folha 000508

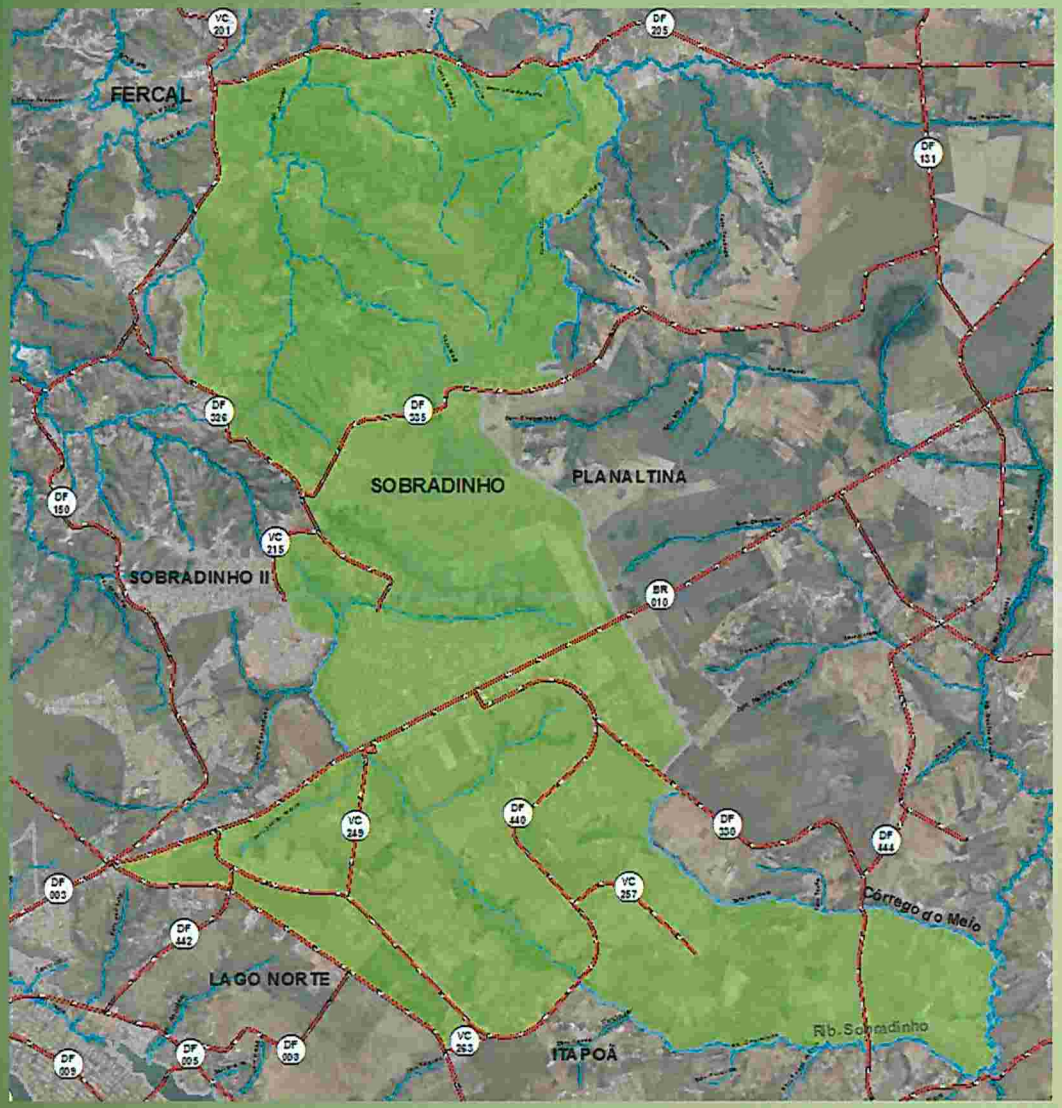


Teve seus limites oeste e sul alterados a partir da criação da RA XXVI – Sobradinho II, RA XXXI – Fercal e RA XXVIII – Itapoã.

Os demais limites não foram alterados.

Secretaria de Estado de Gestão do Território e Habitação
Secretaria de Estado das Cidades

# RA V - SOBRADINHO

SFL - PLC 0019/2019 folha 000509

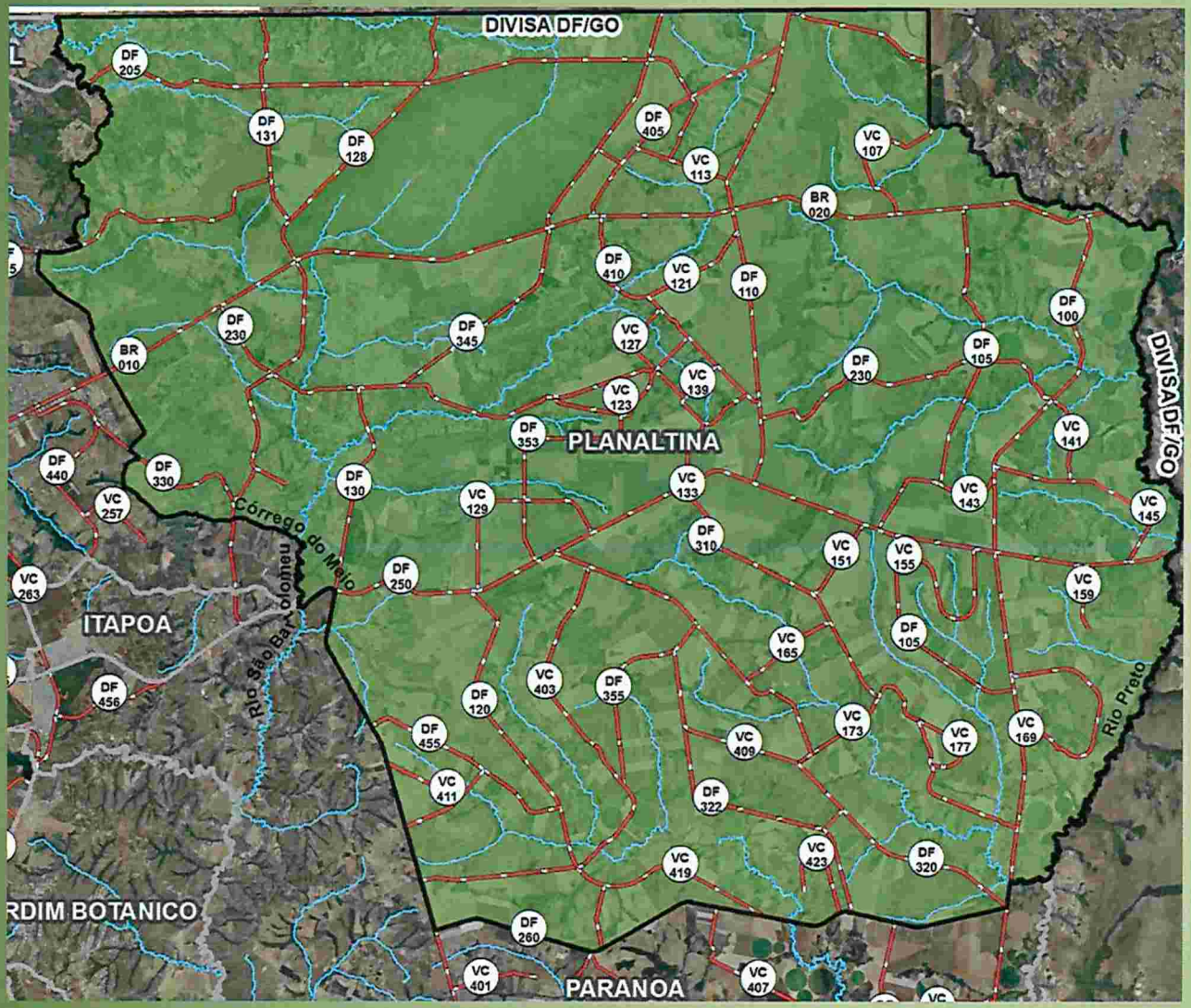


Sem alteração no limite.

Secretaria de Estado de Gestão do Território e Habitação
Secretaria de Estado das Cidades

# RA VI - PLANALTINA

SPL - PLC 0019/2019 folha 000510

- Mantida no Paranoá parte do Altiplano Leste (Proposta da 1ª Audiência Pública)

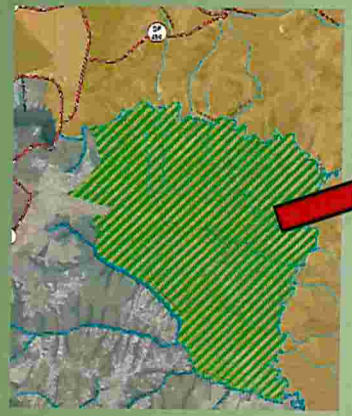

- Parte da Região ao Sul do Rio São Bartolomeu foi transferia para a RA XXVII Jardim Botânico.

Secretaria de Estado de Gestão do Território e Habitação
Secretaria de Estado das Cidades

# RA VII - PARANOÁ

SFL - PLC 0019/2019 folha 000511

O Núcleo Bandeirante foi dividido, dando origem a RA XXIV – Park Way composta por duas áreas descontínuas.

# RA VIII - NÚCLEO BANDEIRANTE

Secretaria de Estado de Gestão do Território e Habitação
Secretaria de Estado das Cidades

SPL - PLC 0019/2019 folha 000512

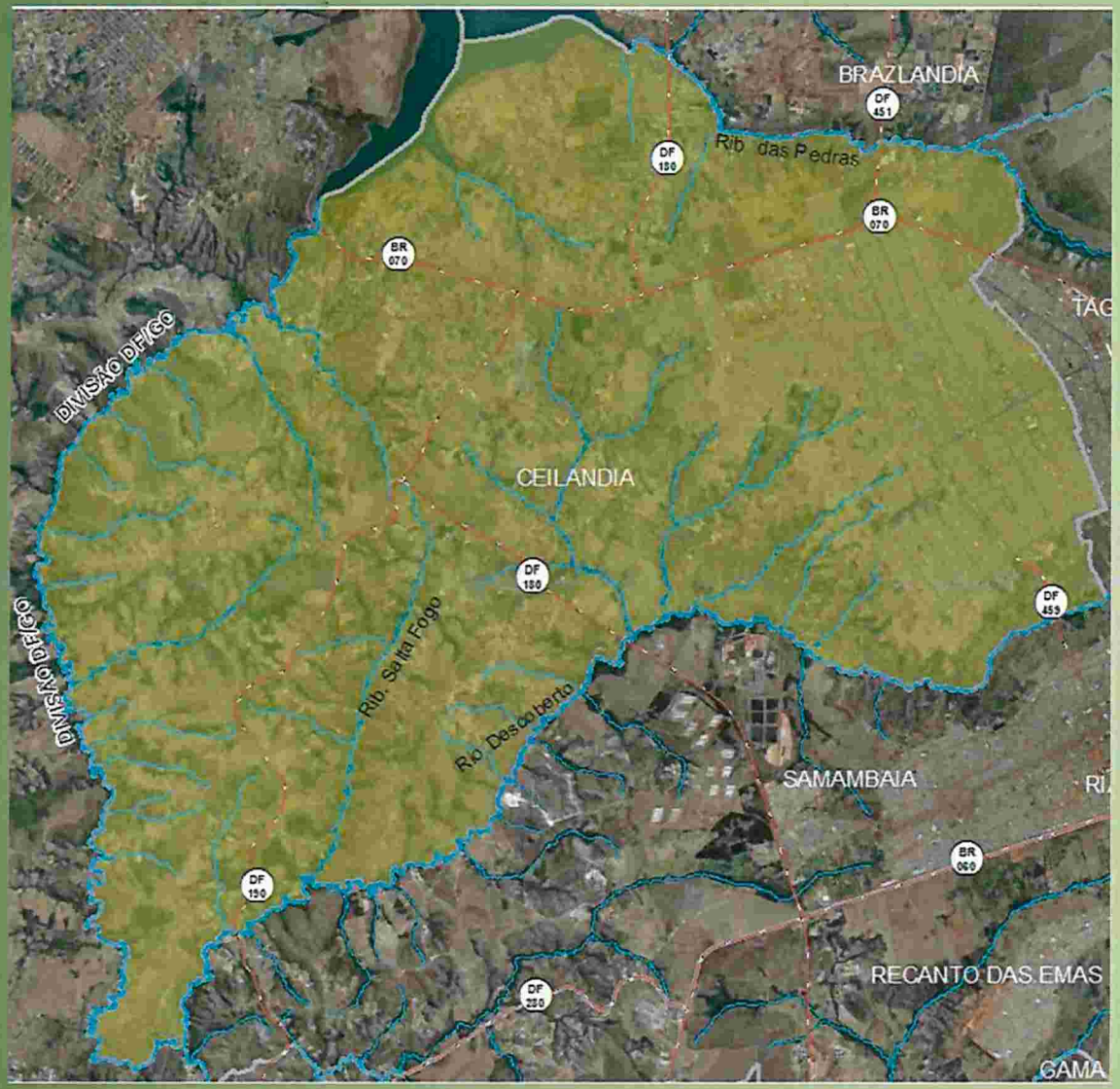


Sem alteração no limite.

Secretaria de Estado de Gestão do Território e Habitação
Secretaria de Estado das Cidades

# RA IX - CEILÂNDIA

SPL - PLC 0019/2019 folha 000513

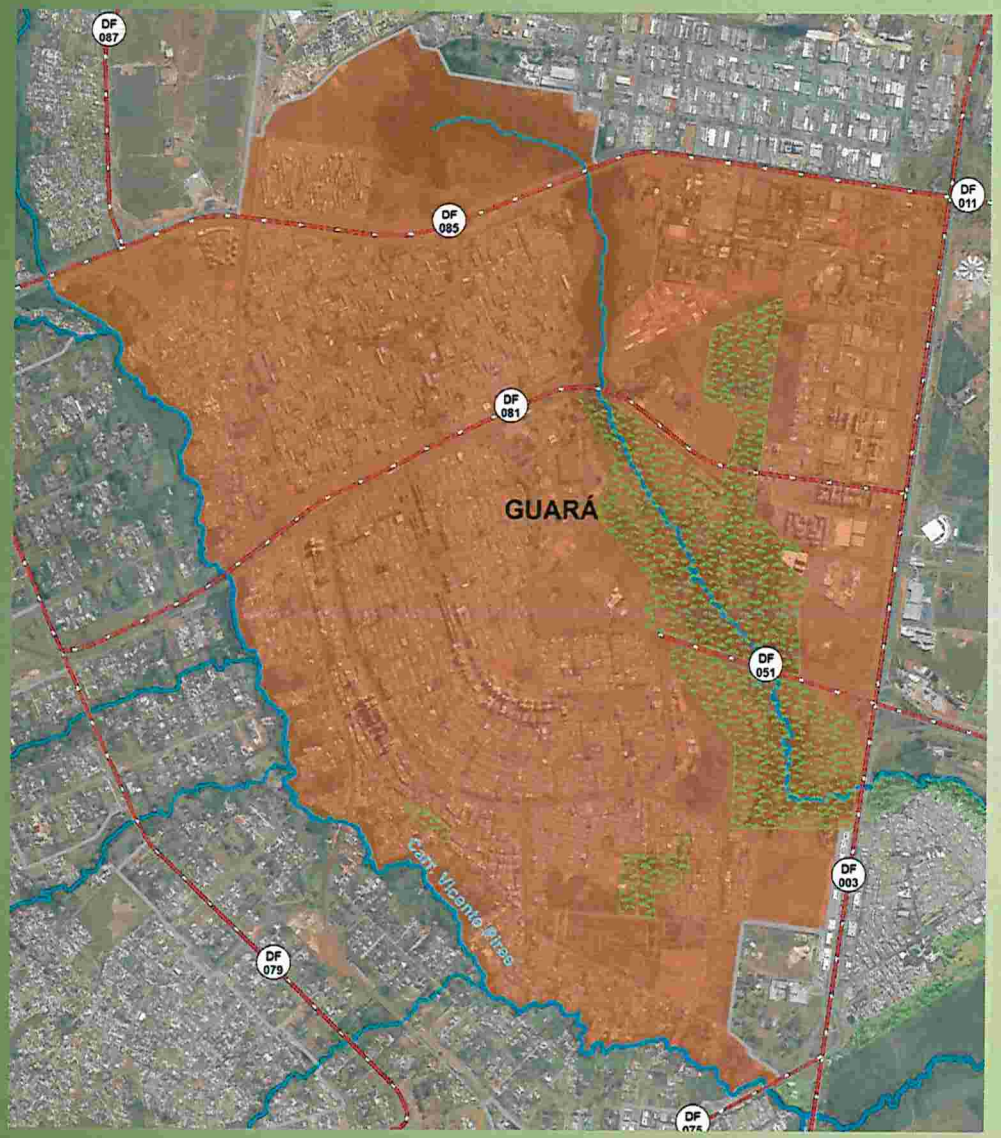


Teve seu limite norte alterado a partir da criação da RA XXV – SCIA, RA XXIX – SIA e RA XXX – Vicente Pires.

Secretaria de Estado de Gestão do Território e Habitação
Secretaria de Estado das Cidades

# RA X - GUARÁ

SFL - PLC 0019/2019 folha 000514

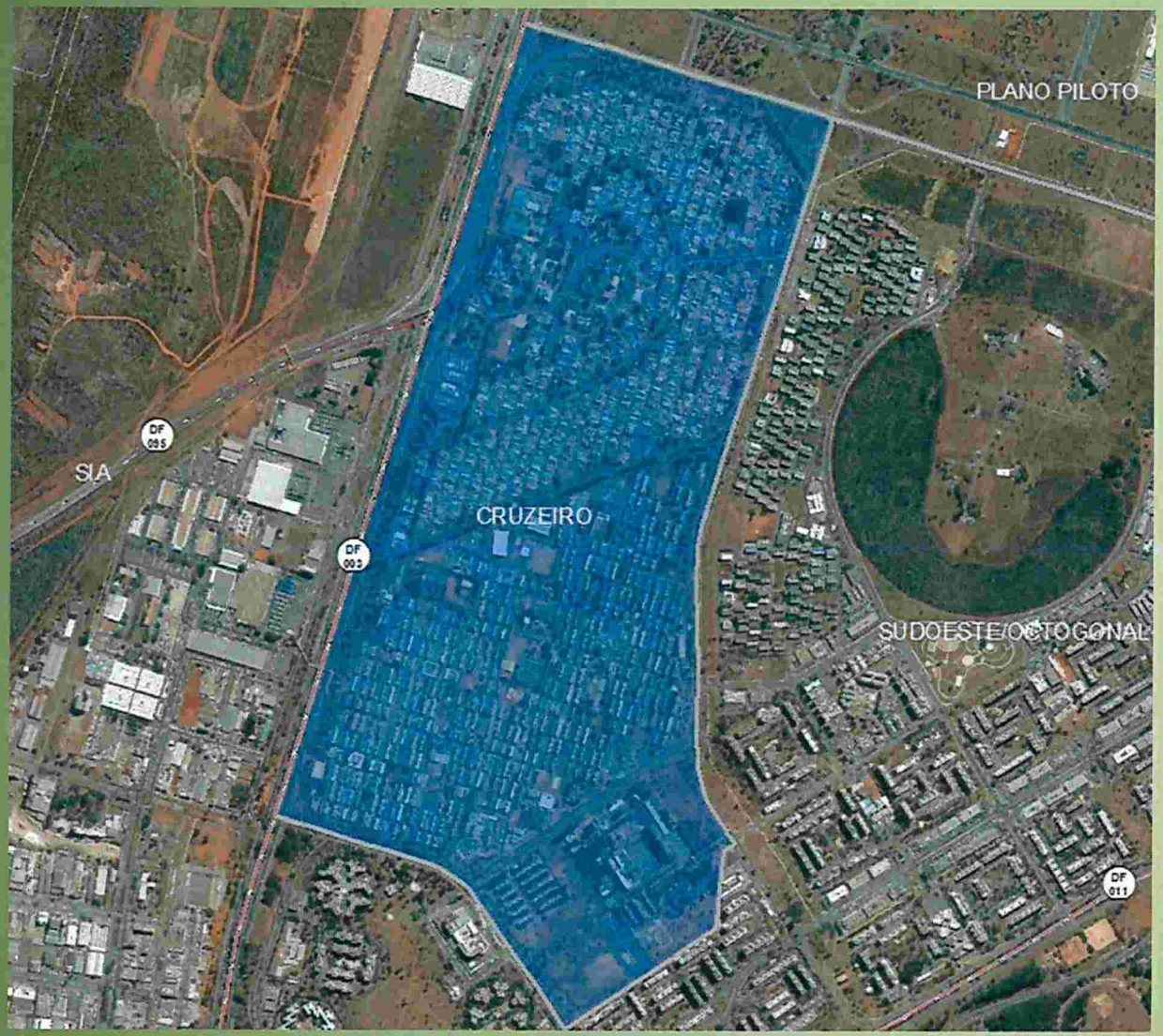


Alterada pela criação da

RA XXII – Sudoeste/Octogonal

# RA XI - CRUZEIRO

Secretaria de Estado de Gestão do Território e Habitação
Secretaria de Estado das Cidades

SFL – PLC 0019/2019 folha 000515

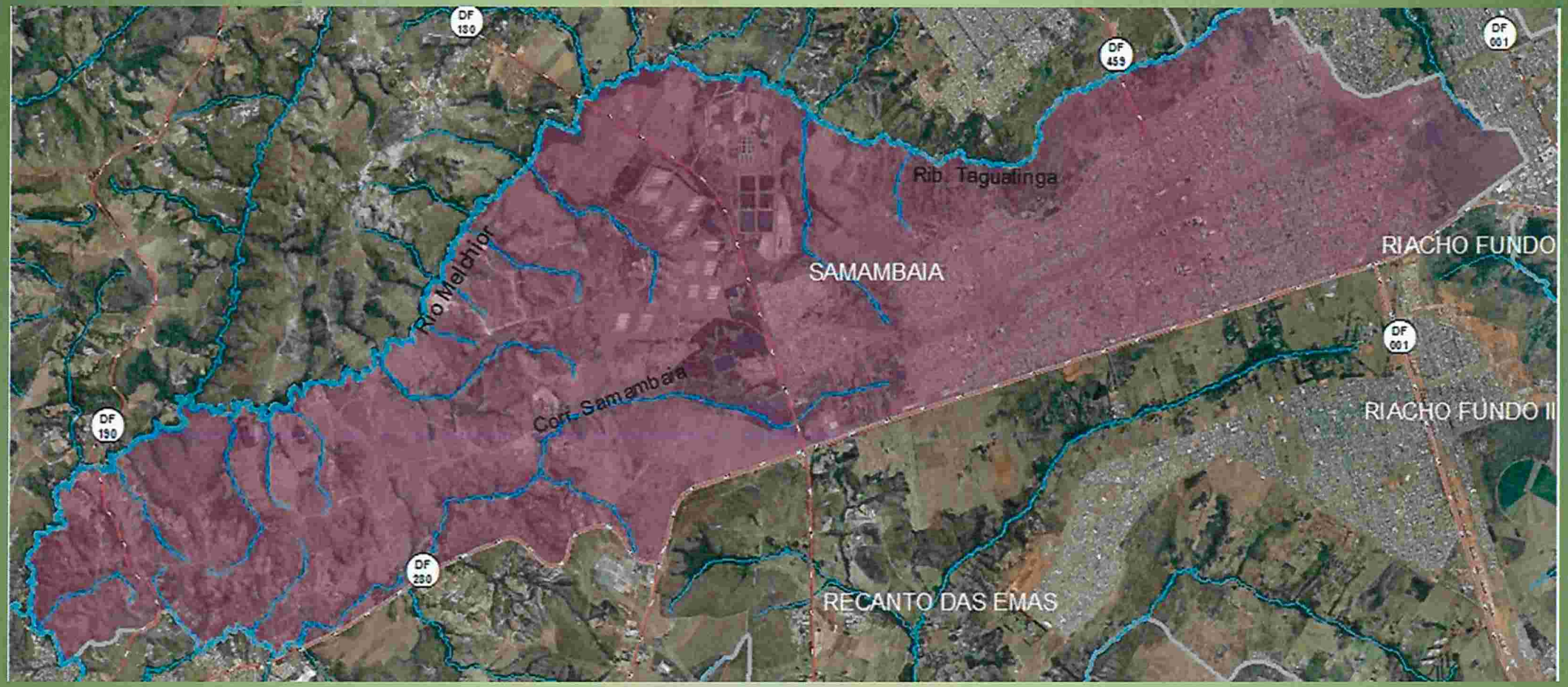


Foi incorporado o Parque Urbano Boca da Mata na RA XII - Samambaia.

Secretaria de Estado de Gestão do Território e Habitação
Secretaria de Estado das Cidades

# RA XII - SAMAMBAIA

SPL - PLC 0019/2019 folha 000516

Vila DVO inserida na RA XIII - Santa Maria

Maior proximidade com o núcleo urbano

Limite alterado, a leste

RA XXVII – Jardim Botânico

Secretaria de Estado de Gestão do Território e Habitação
Secretaria de Estado das Cidades

# RA XIII - SANTA MARIA

SFL - PLC 0019/2019 folha 000517

A parte ao norte do

Ribeirão Santo Antônio de Paula

RA XXVII – Jardim Botânico.

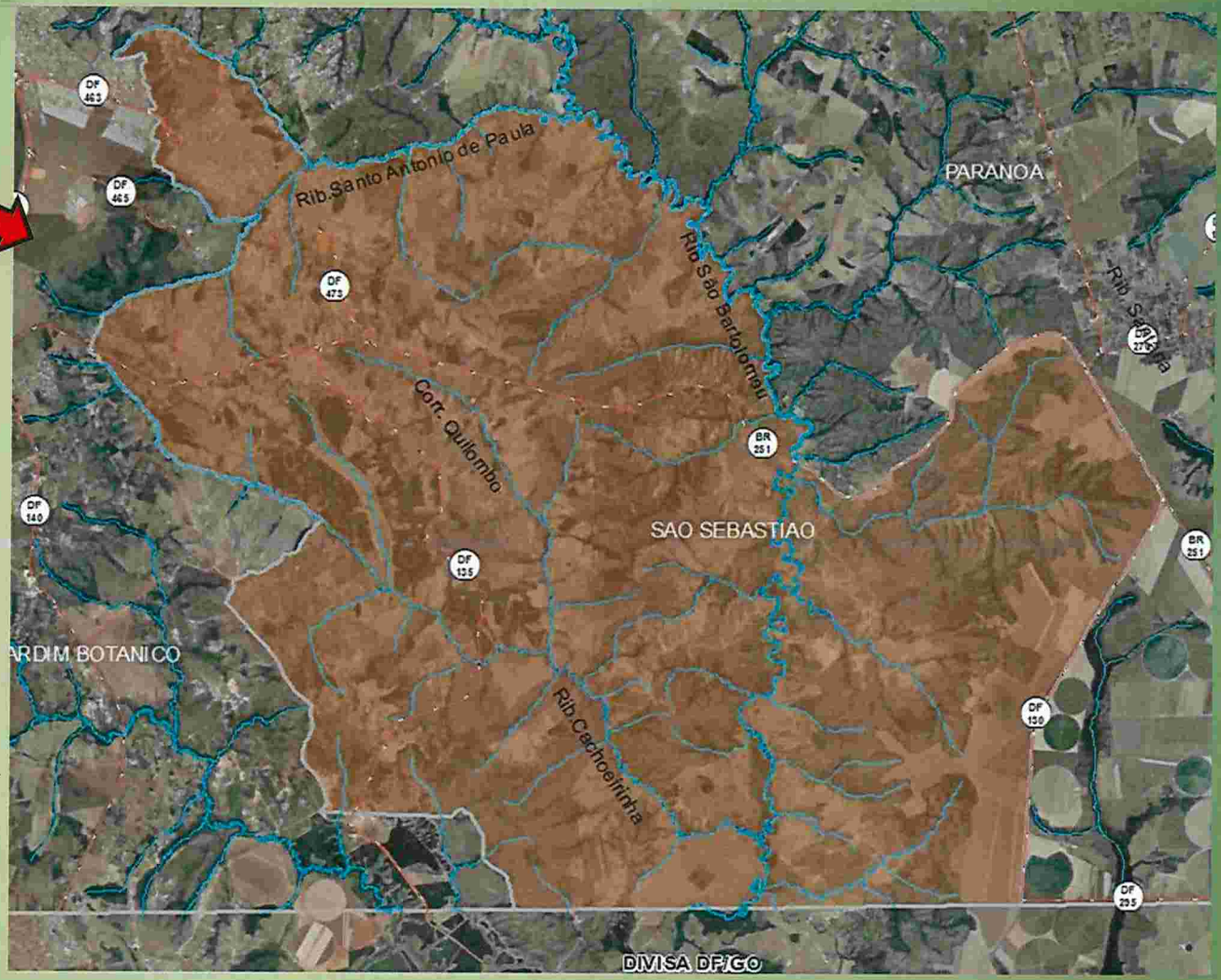


Secretaria de Estado de Gestão do Território e Habitação
Secretaria de Estado das Cidades

# RA XIV - SÃO SEBASTIÃO

SPL - PLC 0019/2019 folha 000518

Setor Habitacional Água Quente ➡ RA Recanto das Emas.

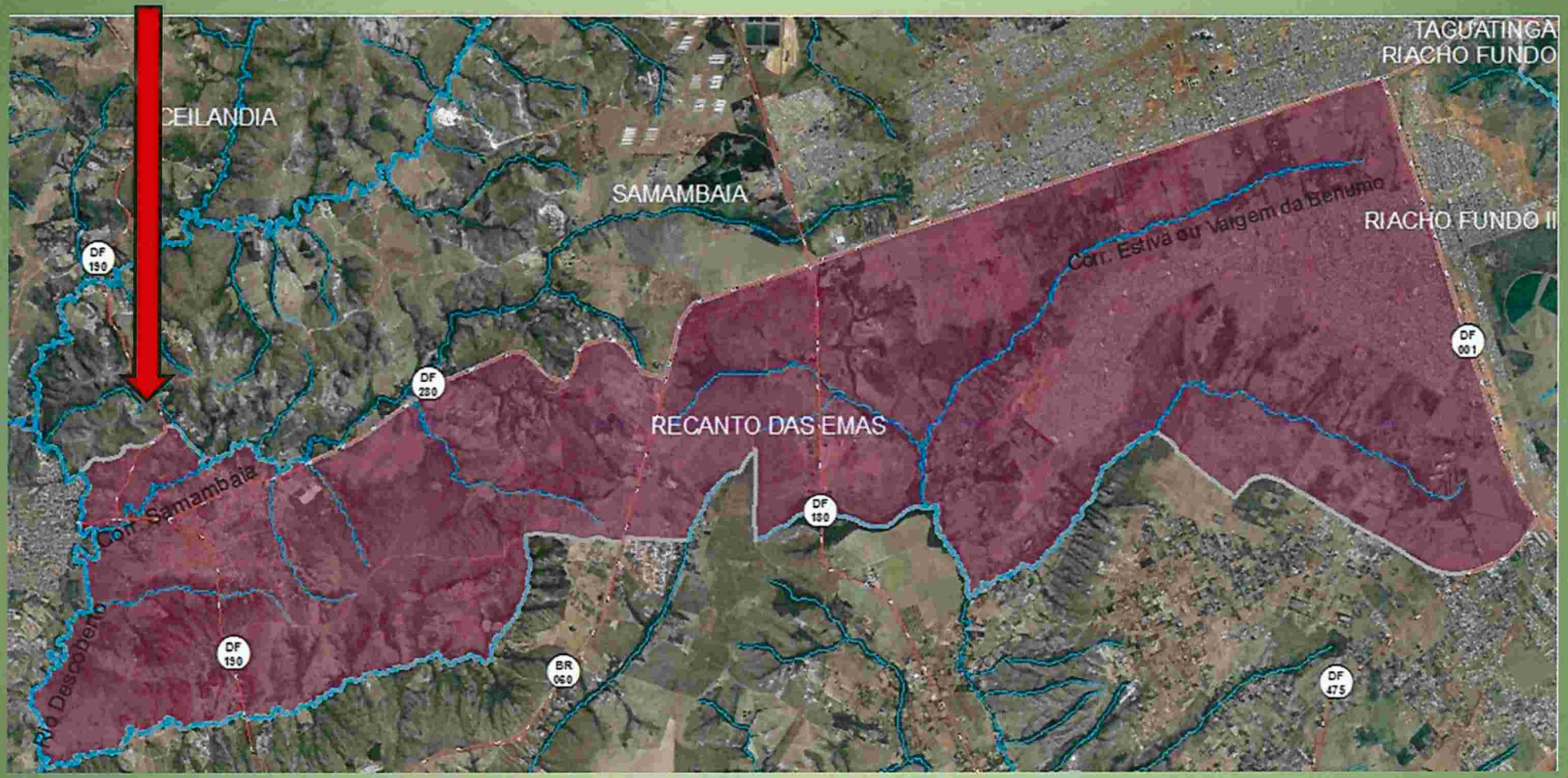


# RA XV - RECANTO DAS EMAS

Secretaria de Estado de Gestão do Território e Habitação
Secretaria de Estado das Cidades

SPL - PLC 0019/2019 folha 000519

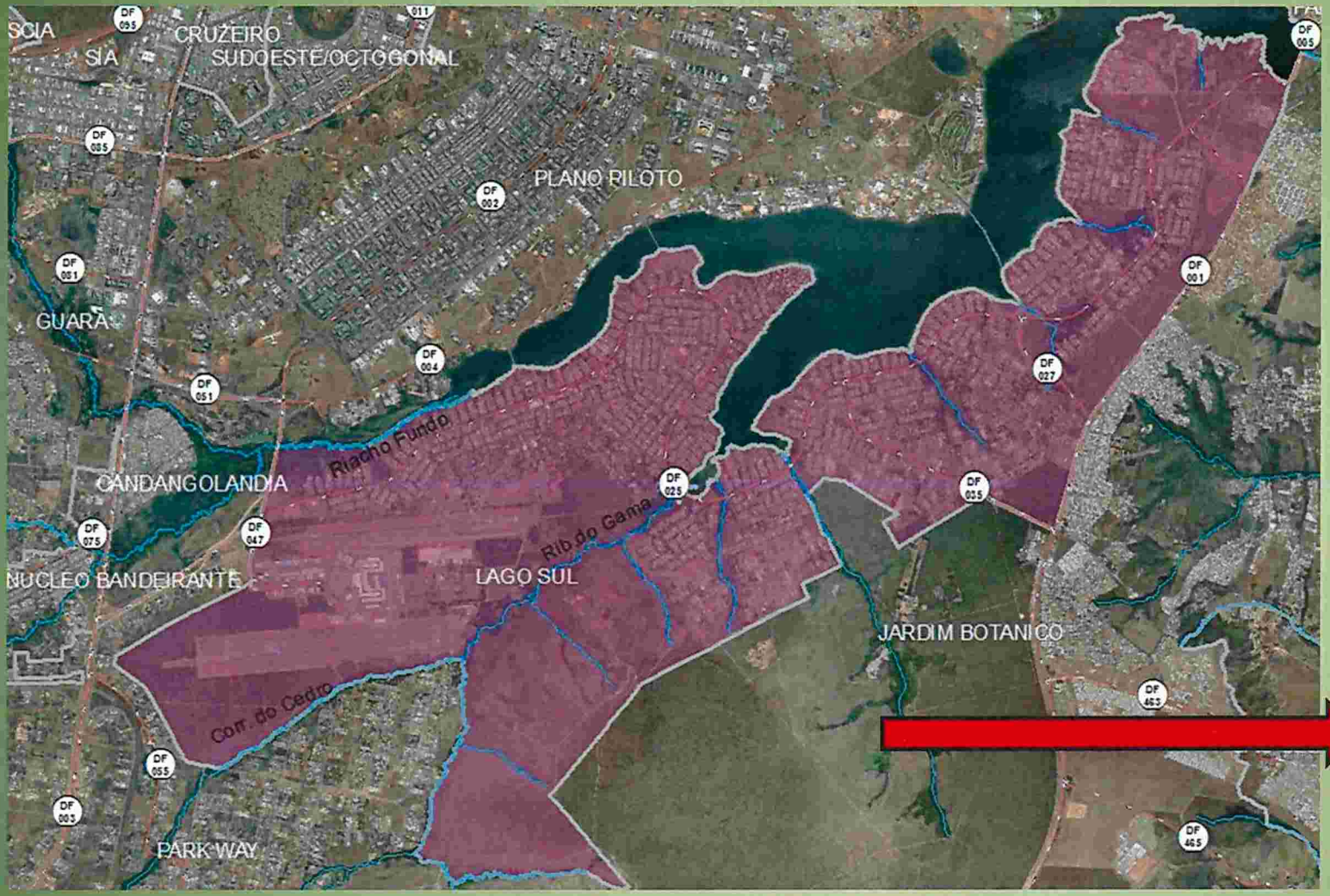


Reserva Ecológica do IBGE

e Fazenda Água Limpa

RA do Jardim Botânico

e Park Way.

Proposta da Conferência Distrital das Cidades Extraordinária.

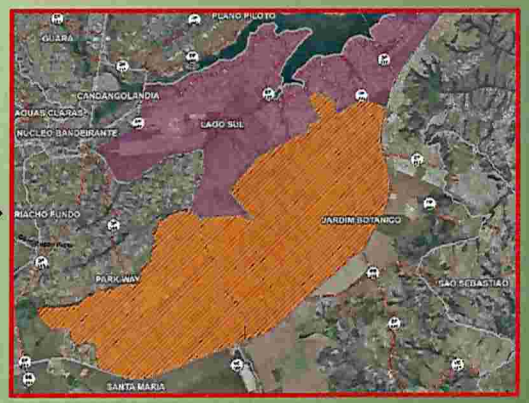


Secretaria de Estado de Gestão do Território e Habitação
Secretaria de Estado das Cidades

**RA XVI - LAGO SUL**

SPL - PLC 0019/2019 folha 000520

Limite oeste

RA XXI – Riacho Fundo II

Os demais limites não foram alterados.

Secretaria de Estado de Gestão do Território e Habitação
Secretaria de Estado das Cidades

# RA XVII - RIACHO FUNDO

SPL - PLC 0019/2019 folha 000521

Teve seu limite alterado a partir da criação da RA XXIV – Varjão e incorporação do Torto

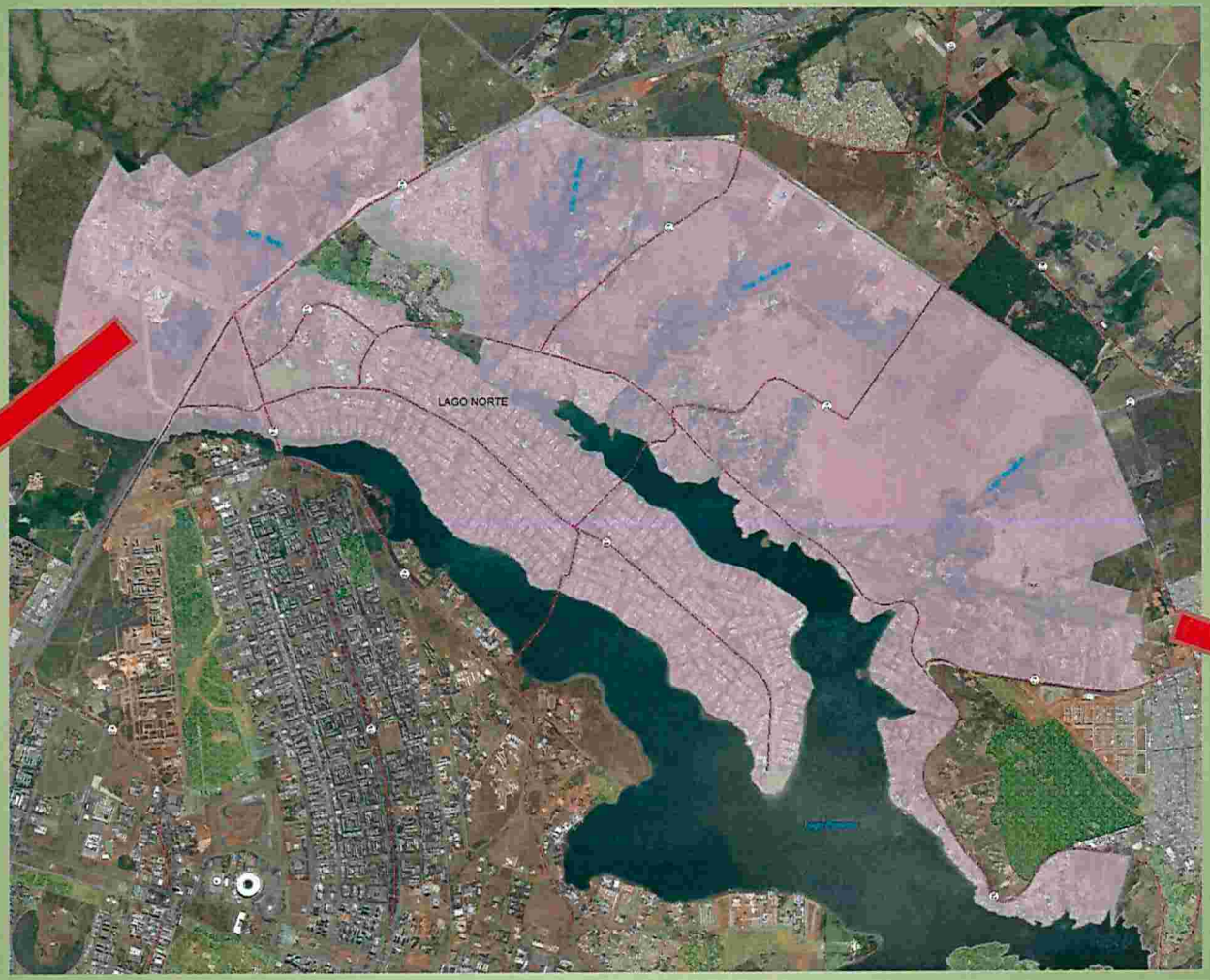


Alteração do limite Leste para incorporação de área de equipamento público ao Itapoã.

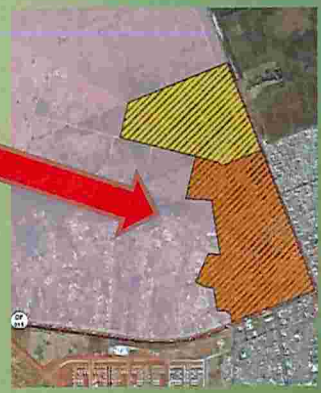

Secretaria de Estado de Gestão do Território e Habitação
Secretaria de Estado das Cidades

# RA XVIII - LAGO NORTE

SPL - PLC 0019/2019 folha 000522

Sem alteração no limite.

Secretaria de Estado de Gestão do Território e Habitação
Secretaria de Estado das Cidades

# RA XIX - CANDANGOLÂNDIA

SFL - PLC 0019/2019 folha 000523

Constituída a partir de áreas das RAs de Taguatinga e Guará

**Limite norte** - EPTG

**Limite oeste** - Estrada Parque Contorno (EPCT) e Avenida Aguas Claras

**Limite leste** - limite do Setor Park Way

**Limite sul** - Estrada Parque Núcleo Bandeirante (EPNB)

Secretaria de Estado de Gestão do Território e Habitação
Secretaria de Estado das Cidades

# RA XX - ÁGUAS CLARAS

SPL - PLC 0019/2019 folha 000524

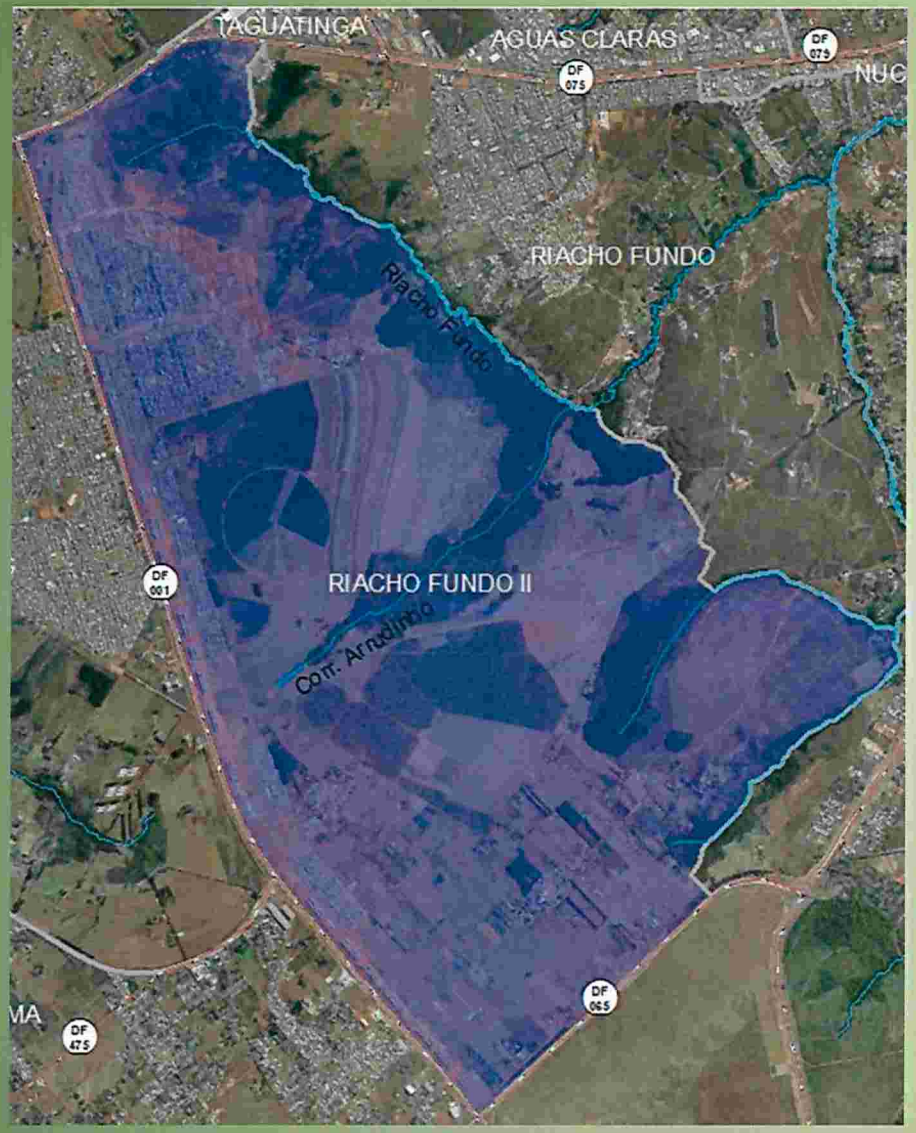


Origina-se a partir do desmembramento da RA Riacho Fundo, tendo o curso do Riacho Fundo, o córrego Coqueiros e seus afluentes como delimitadores entre as duas regiões.

Os demais limites da nova RA conservam o formato original da antiga RA Riacho Fundo.

Secretaria de Estado de Gestão do Território e Habitação
Secretaria de Estado das Cidades

# RA XXI - RIACHO FUNDO II

SPL - PLC 0019/2019 folha 000525

Foi constituída a partir do desmembramento das RAs Plano Piloto e Cruzeiro.

Limite oeste - Avenida das Jaqueiras, contornando a área do Hospital das Forças Armadas (HFA) até alcançar a rodovia DF-003, Estrada Parque Indústria e Abastecimento (EPIA)

Os limites norte e sul conservam o formato original da antiga RA Cruzeiro

No limite leste foi realizado um ajuste para a incorporação do Setor de Indústrias Gráficas (SIG), à RA.

Secretaria de Estado de Gestão do Território e Habitação
Secretaria de Estado das Cidades

# RA XXII – SUDOESTE/OCTOGONAL

SPL - PLC 0019/2019 folha 000526

**Limite norte** definido pela poligonal do Projeto urbanístico do Varjão

**Limite sudeste** definido pelos limites da ARINE Prive Lago Norte

**Limite sul** definido pelo Ribeirão do Torto

# RA XXIII - VARJÃO

Secretaria de Estado de Gestão do Território e Habitação
Secretaria de Estado das Cidades

SFL - PLC 0019/2019 folha 000527

Delimitada a partir de áreas das RAs Núcleo Bandeirante e Lago Sul.

**Limite oeste** = limite original da antiga RA Núcleo Bandeirante, seguindo na direção sul pelo córrego Coqueiros e, em seguida, pela DF-065.

A região entre a EPVP e Córrego Vicente Pires foi incorporada em um novo polígono

**Limite sul** - alterado pela incorporação da área da Fazenda Água Limpa (FAL/UnB) para a RA do Park Way.

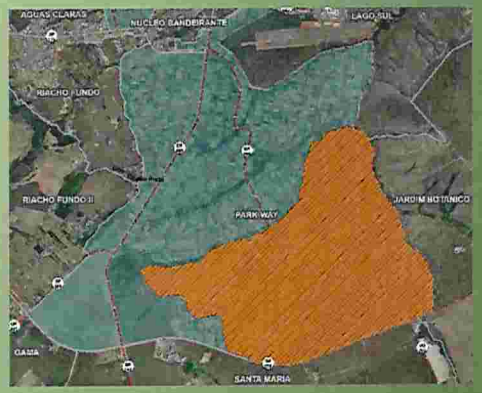


Secretaria de Estado de Gestão do Território e Habitação
Secretaria de Estado das Cidades

# RA XXIV - PARK WAY

SFL - PLC 0019/2019 folha 000528

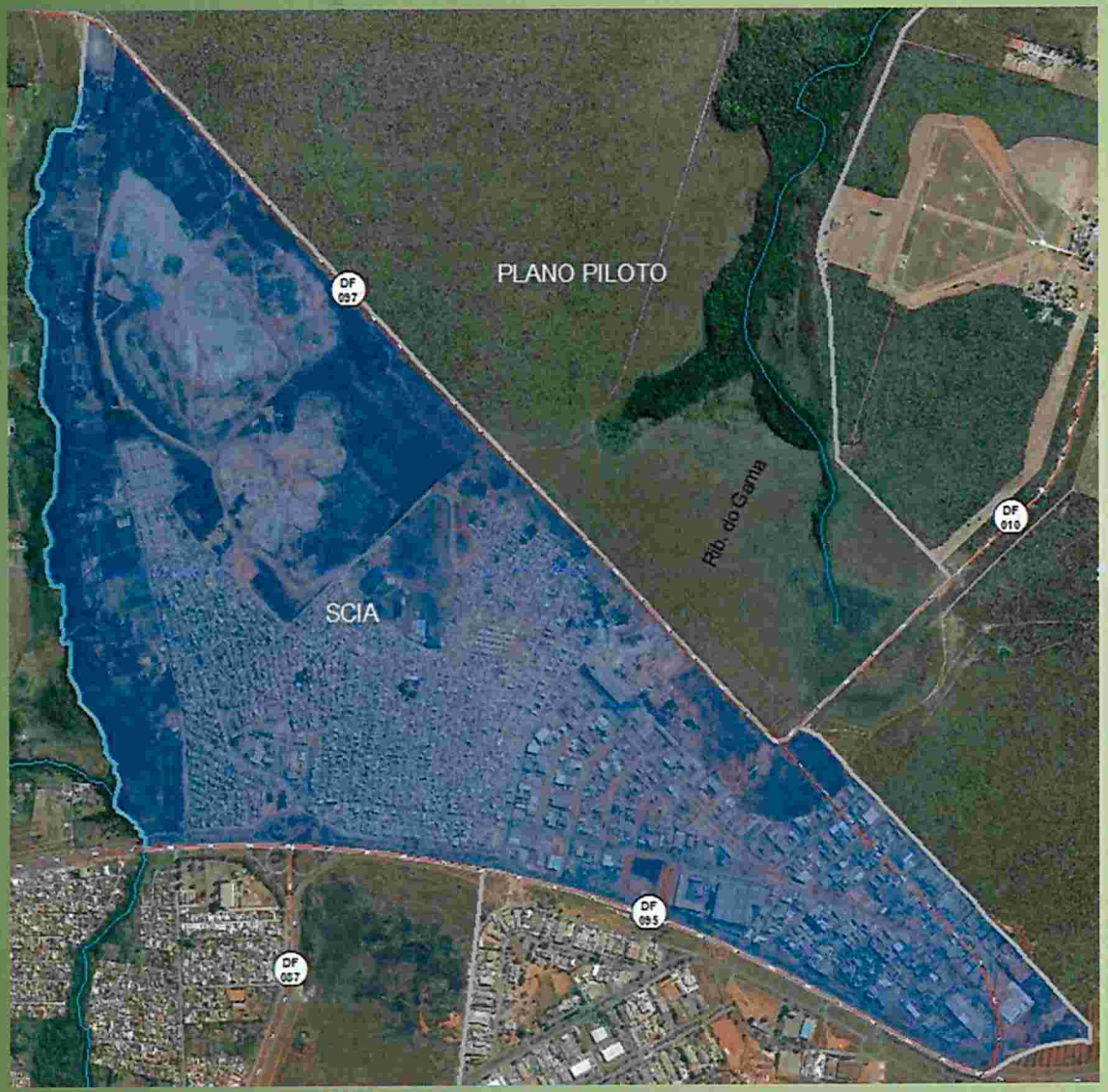


Delimitada a partir de áreas da RA Guará.

**Limite Oeste** - córrego do Valo

**Limite Sul** - DF-095

**Limite Leste** - Estrada Parque Ceilândia (EPCL), conhecida como Via Estrutural, e a DF-097, Estrada Parque Acampamento (EPAC)

Secretaria de Estado de Gestão do Território e Habitação
Secretaria de Estado das Cidades

## RA XXV - SCIA

SFL - PLC 0019/2019 folha 000529

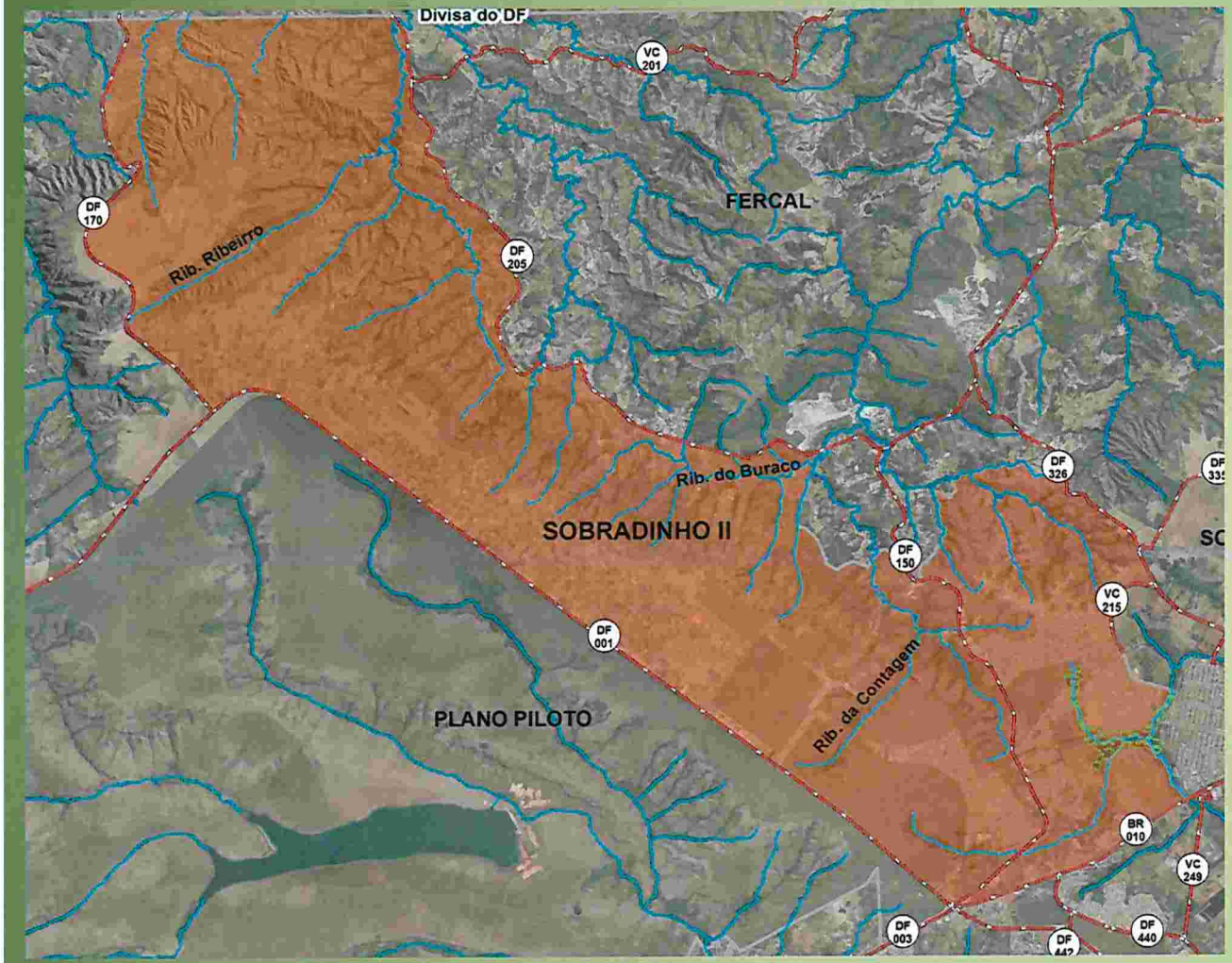


Delimitada a partir de áreas da RA de Sobradinho, conservando os limites originais desta à oeste.

**Limite leste** - rodovia DF205, Córrego Maria Antônia, rodovia VC215 e Ribeirão Sobradinho.

**Limite sul** - rodovias DF440 e VC263

**Limite Oeste** – DF001 e DF170

Secretaria de Estado de Gestão do Território e Habitação
Secretaria de Estado das Cidades

# RA XXVI - SOBRADINHO II

SFL - PLC 0019/2019 folha 000530

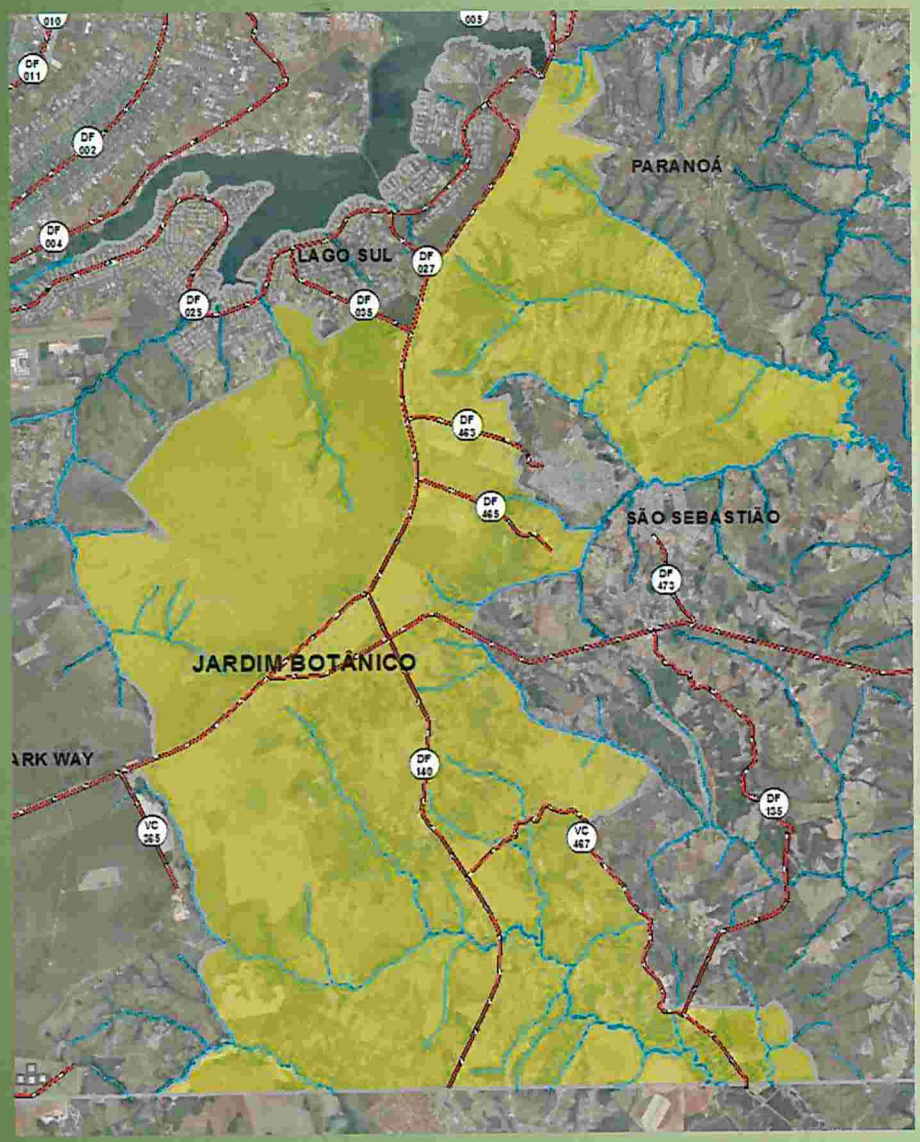


**Norte:** Entroncamento entre a DF001 e o Rio Paranoá, seguindo sentido leste até o Rio Paranoá até o Rio São Bartolomeu e limites do Setor Habitacional Jardim Botânico;

**Leste:** Córrego Taboquinha, Ribeirão Sto. Antônio da Papuda, Córrego Mato Grande e Limite da Macrozona Rural do PDOT;

**Sul:** Limite Sul do Distrito Federal;

**Oeste:** Rib. Água Quente, Córrego Fundo, Rib. Santana, DF001 e Córr. Taquara

# RA XXVII - JARDIM BOTÂNICO

Secretaria de Estado de Gestão do Território e Habitação
Secretaria de Estado das Cidades

SPL - PLC 0019/2019 folha 000531

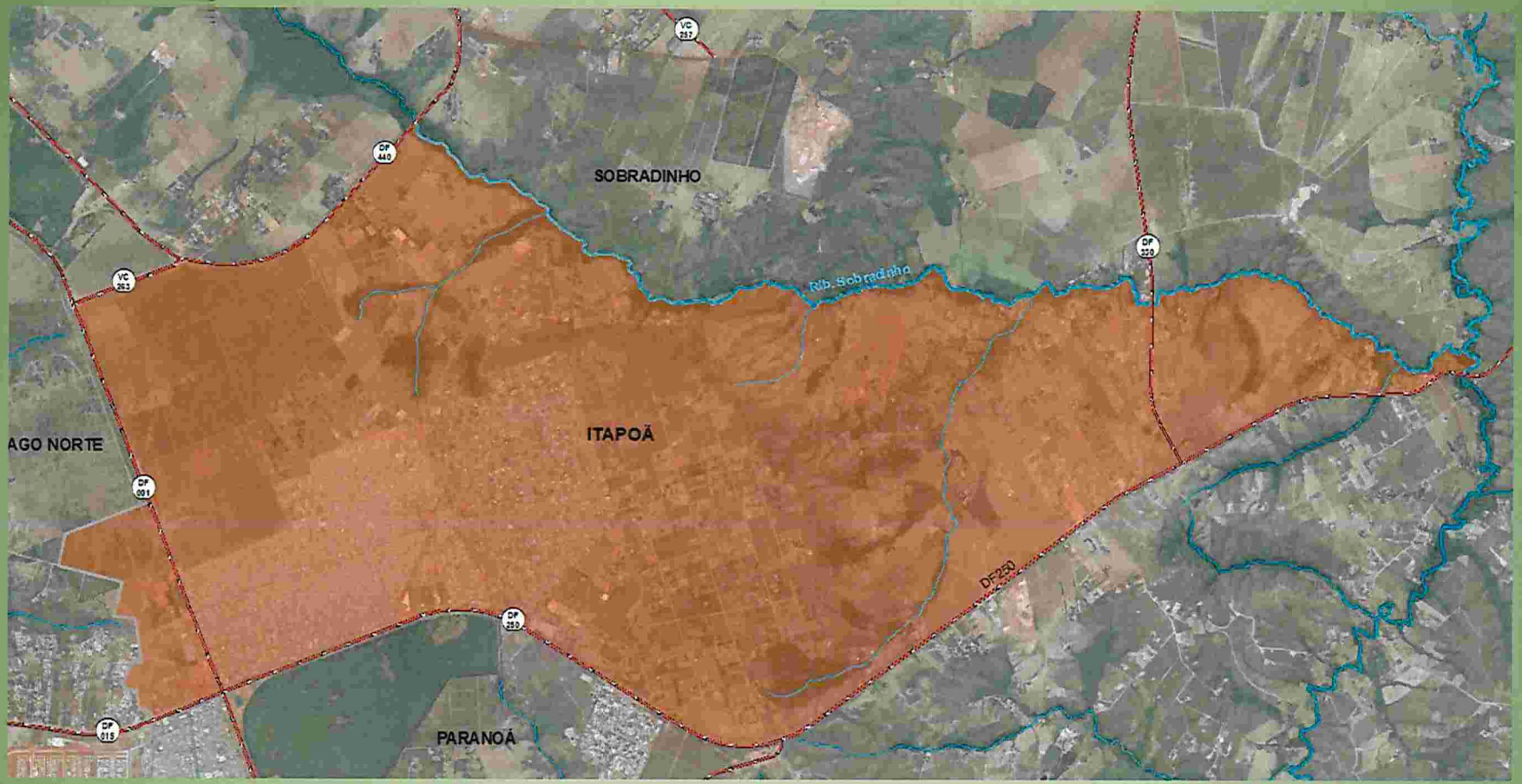


**Limite oeste** - incorporada pequena parcela de território do Lago Norte, considerando a existência de equipamento público que atenderá a população do Itapoã. ( Proposta apresentada na 1ª Audiência Pública parcialmente atendida )

**Limite norte** - DF440, VC263 e Ribeirão Sobradinho.

**Limite sul** - limite original da antiga RA Sobradinho.

Secretaria de Estado de Gestão do Território e Habitação
Secretaria de Estado das Cidades

# RA XXVIII - ITAPOÃ

SPL - PLC 0019/2019 folha 000532

Foi constituída a partir de áreas das RAs Guará e Plano Piloto.

**Limite norte:** DF-095 e o Parque Nacional.

**Limite leste:** DF-003 até o cruzamento com a DF-085 (EPTG) no viaduto.

**Limite sul:** segue pela EPTG até o encontro com o Parque do Guará seguindo até a linha férrea.

**Limite oeste:** definido pelo limite do Parque Nacional e na parte inferior pela via paralela à DF-087 ou Estrada Parque do Vale (EPVL).

Secretaria de Estado de Gestão do Território e Habitação
Secretaria de Estado das Cidades

## RA XXIX - SIA

SPL - PLC 0019/2019 folha 000533

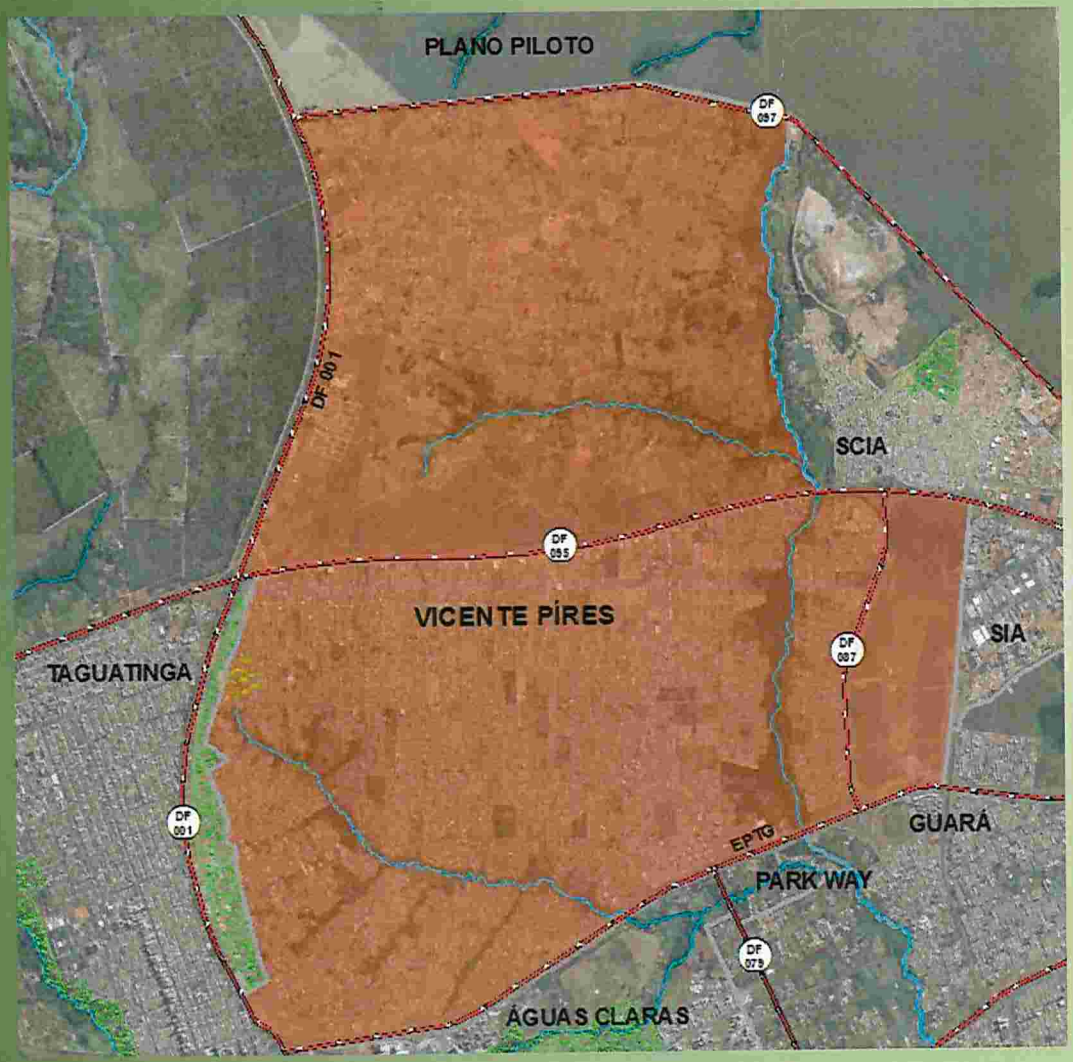


Foi constituída a partir de áreas das RAs Taguatinga e Guará.

**Limite leste:** pelo córrego do Valo e pela via paralela à DF-087 ou Estrada Parque do Vale (EPVL), incluindo toda a área do Jóquei Clube nesta RA.

**Limite sul:** DF-085

**Limite oeste:** DF-001 e limite do Taguaparque.

**Limite norte:** DF-097.

Secretaria de Estado de Gestão do Território e Habitação
Secretaria de Estado das Cidades

# RA XXX - VICENTE PIRES

SPL - PLC 0019/2019 folha 000534

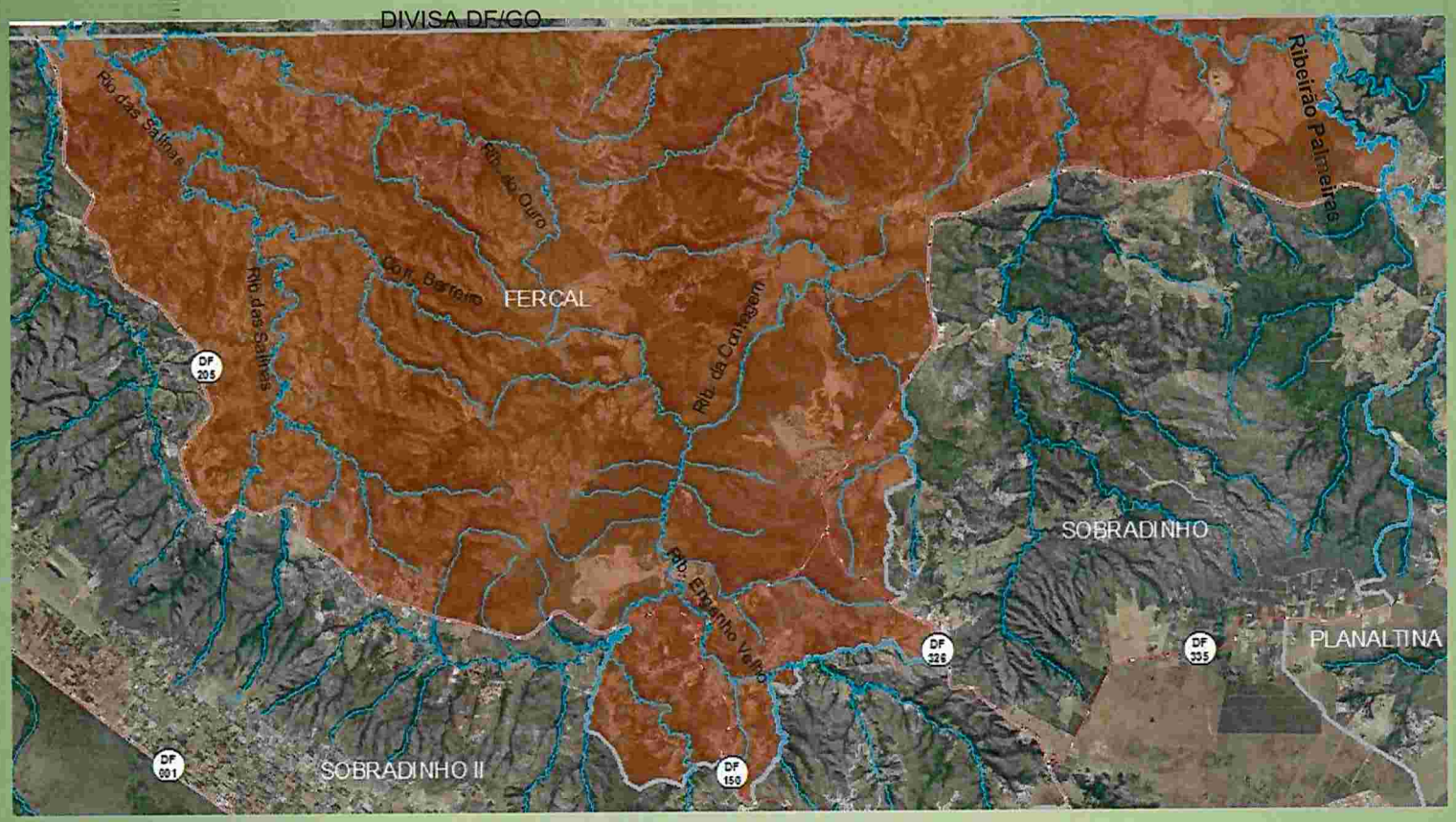


A RA Fercal foi delimitada a partir de áreas da RA Sobradinho, compreendidas entre a rodovia DF-205 e o córrego Maria Antônia a Oeste, e pelo Ribeirão Palmeiras a Leste.

Esta configuração considerou a manutenção do Setor Habitacional Fercal, definido no PDOT, além de pequenos núcleos urbanos da região.

## RA XXXI - FERCAL

Secretaria de Estado de Gestão do Território e Habitação
Secretaria de Estado das Cidades

SPL - PLC 0019/2019 folha 000535

# Obrigado


## Litz Mary Lima Bainy

e-mail: litz.mary@segeth.df.gov.br





SPL - PLC 0019/2019 folha 000536

# RELATÓRIO E VOTO

Referência : Processo SEI 0121-000308/2013
Interessado : Secretaria de Estado das Cidades - SECID
Assunto : Projeto de Lei Complementar que Define as Poligonais (limites oficiais) das trinta e uma Regiões Administrativas do Distrito Federal

## HISTÓRICO

O processo em referência foi encaminhado ao Conselho de Planejamento Territorial e Urbano do Distrito Federal – CONPLAN para apreciação da proposta de Projeto de Lei Complementar que Define as Poligonais das trinta e uma Regiões Administrativas do Distrito Federal - RA.

Até o final da década de 80, o Distrito Federal era constituído de oito Regiões Administrativas: Brasília, Gama, Taguatinga, Brazlândia, Sobradinho, Planaltina, Paranoá e Jardim.

A Lei nº 049 de 25/10/89 extinguiu a Região Administrativa Jardim, dividindo sua jurisdição às RA de Planaltina e Paranoá. Pela mesma lei, cinco novas RA surgiram por desmembramento de outras já existentes, totalizando doze RA: Brasília, Gama, Taguatinga, Brazlândia, Sobradinho, Planaltina, Paranoá, Núcleo Bandeirante, Ceilândia, Guará, Cruzeiro e Samambaia.

No período de 1992 a 1994, sete novas regiões foram criadas, perfazendo dezenove: Brasília, Gama, Taguatinga, Brazlândia, Sobradinho, Planaltina, Paranoá, Núcleo Bandeirante, Ceilândia, Guará, Cruzeiro, Samambaia, Santa Maria, São Sebastião, Recanto das Emas, Lago Sul, Riacho Fundo, Lago Norte e Candangolândia.

Ocorre que, a partir de 2003, doze novas Regiões Administrativas foram criadas sem a delimitação oficial de suas poligonais: Águas Claras, Riacho Fundo II, Sudoeste/Octogonal, Varjão, Park Way, SCIA, Sobradinho II, Jardim Botânico, Itapoã, SIA, Vicente Pires e Fercal. Atualmente o Distrito Federal é composto de 31 Regiões Administrativas.



Secretaria de Estado de Gestão do Território e Habitação - SEGETH
SCS Quadra 06 Bloco A Lotes 13/14 CEP 70.036-918 - Brasília - DF
Fone(s): (61) 3214-4105 e 3214-4109 - Fax: (61): 3214-4106
CVC_desp



SFL - PLC 0019/2019 folha 000537

## HISTÓRICO DO PROCESSO

Visando a regularizar a delimitação oficial das RA, o Governo do Distrito Federal, por meio do decreto nº 35.020, de 26 de dezembro de 2013, instituiu um Grupo de Trabalho - GT com o intuito de elaborar o anteprojeto de Lei Complementar sobre a definição das poligonais das 31 Regiões Administrativas do Distrito Federal. Coordenado pela CODEPLAN, o GT era constituído por representantes da Casa Civil, da Governadoria do Distrito Federal, da Secretaria de Estado de Desenvolvimento Urbano e Habitação – SEDHAB, hoje SEGETH, da Agência de Desenvolvimento do Distrito Federal – TERRACAP, da Companhia de Saneamento Ambiental do Distrito Federal – CAESB e da Companhia Energética de Brasília – CEB. No período compreendido entre 26 de dezembro de 2013 e 25 de março de 2014, o GT realizou diversas reuniões e elaborou o relatório final, que apresentou a proposta da definição das poligonais das 12 RA sem limites oficiais no DF e dos ajustes das demais 19 poligonais, bem como da minuta da Lei Complementar.

Em 2016, de forma a dar continuidade ao procedimento de definição das poligonais e da respectiva Lei Complementar, o referido processo foi encaminhado à Secretaria de Gestão do Território e Habitação – SEGETH. Primeiramente, foram realizadas reuniões com todos os Administradores Regionais com objetivo de apresentar a proposta das poligonais constante no relatório final do Grupo de Trabalho. Posteriormente, com o intuito de articular e mediar as decisões onde havia impasses, a coordenação dos trabalhos foi transferida para a Secretaria das Cidades, a qual também realizou diversas reuniões, direcionadas a solucionar tais pontos de conflito entre específicas Regiões Administrativas.

Em outubro de 2017, após aprovação prévia do Governador do DF, a proposta foi apresentada à sociedade, por meio da primeira audiência pública no Museu Nacional da República, no dia 29 de novembro, às 19h. Com a presença de 115 cidadãos, 42 pessoas se inscreveram para manifestação oral durante a audiência pública. Em cumprimento aos requisitos dispostos na Lei 3.827/2006, a qual prevê a realização de no mínimo duas audiências públicas com intervalo superior a trinta dias para delimitação de novas poligonais no Distrito Federal, a segunda audiência pública foi realizada no dia 23 de março de 2018, às 19h, também no Museu Nacional da República, com a participação de 89 cidadãos e 36 inscrições de fala. Ressalta-se que o procedimento de ambas as audiências públicas respeitou as recomendações



Secretaria de Estado de Gestão do Território e Habitação - SEGETH
SCS Quadra 06 Bloco A Lotes 13/14 CEP 70.036-918 - Brasília - DF
Fone(s): (61) 3214-4105 e 3214-4109 - Fax: (61): 3214-4106
CVC_desp



SFL - PLC 0019/2019 folha 000538

advindas do Ministério Público do Distrito Federal, e seu histórico está publicitado tanto no processo SEI 0121-000308/2013, quanto no site institucional da SEGETH. A participação popular também foi exercida por meio da divulgação das poligonais no Geoportal (https://www.geoportal.segeth.df.gov.br/mapa/#) e em consulta *on line*, onde o cidadão pôde manifestar, via cadastro de e-mail, sua sugestão ou crítica à proposta. A consulta ficou disponível no site da Secretaria no período de 06 de novembro de 2017 a 26 de março de 2018, totalizando 89 manifestações.

RELATO

A delimitação oficial das 31 Regiões Administrativas vem sendo requerida há anos por vários órgãos públicos e privados, dada a importância que representa no âmbito da sociedade, do planejamento regional e também na sistematização dos indicadores socioeconômicos. No que tange ao cidadão, ele necessita se reconhecer inserido em uma RA, à qual se possa reportar. Outrossim, e não menos importante, o gestor precisa ter segurança jurídica sobre sua área de atuação.

A indefinição sobre os limites das Regiões Administrativas acarreta à gestão do território, das políticas públicas e administrativa uma série de problemas, dentre os quais:

a) Dúvidas nas Administrações Regionais quanto à sua área de atuação. Atualmente, algumas áreas não possuem RA definida, dificultando a prestação de serviços das Administrações Regionais como emissão de Alvará de Construção, Alvará de Funcionamento, Aprovação de Projetos e Carta de Habite-se;
b) Insegurança da população para resolver suas demandas junto à Administração Regional, que muitas vezes tem atribuições sobrepostas ou se omitem diante das indefinições de competências;
c) Os órgãos do GDF trabalham seus dados estatísticos com diferentes limites das RA, de acordo com a peculiaridade de suas atividades;
d) Frequentemente, a Secretaria das Cidades e a Secretaria de Gestão do Território e Habitação são questionadas por órgãos do judiciário para definição da circunscrição judiciária;



Secretaria de Estado de Gestão do Território e Habitação - SEGETH
SCS Quadra 06 Bloco A Lotes 13/14 CEP 70.036-918 - Brasília - DF
Fone(s): (61) 3214-4105 e 3214-4109 - Fax: (61): 3214-4106
CVC_desp



SPL - PLC 0019/2019 folha 000539

e) No censo demográfico realizado em 2010, o levantamento no DF levou em consideração a existência de somente 19 RA, constituindo-se em prejuízo nas análises necessárias ao planejamento;

f) Problemas na criação do Código de Endereçamento Postal (CEP) para as localidades do DF ainda não atendidas pelos Correios;

g) Dificuldades encontradas pelos professores quanto ao ensino e atualização dos livros didáticos referentes ao tema "Divisão Administrativa do DF";

h) Impacto nas estimativas e projeções de população no DF realizadas pela Codeplan em parceria com o IBGE desde a década de 1990. Uma vez definidas as poligonais das regiões em questão, será possibilitada à Codeplan elaborar estimativas populacionais que atendam às demandas nos períodos intercensitários e projeções mais a longo prazo;

i) Para o cumprimento de suas atividades previstas anualmente, a Secretaria de Estado de Saúde necessita de dados populacionais mais precisos e fragmentados, principalmente para suprir às suas demandas nas campanhas de vacinação por regional de saúde;

Diante das adversidades acima expostas, é clara a expectativa das esferas institucionais distritais e federais, da academia, e acima de tudo, da sociedade brasiliense na regularização dessa matéria.

A proposta inicial das trinta e uma poligonais foi resultado do Grupo de Trabalho coordenado pela Codeplan em 2014. Ficou estabelecido pelo GT que toda discussão, análise e definição técnica, quanto aos limites das Regiões administrativas, teriam como base referencial as delimitações consideradas pela Codeplan para realização da Pesquisa Distrital por Amostra de Domicílios — PDAD 2011 e a proposta de delimitação elaborada pela então SEDHAB, atual SEGETH. Ficou também estabelecido que as delimitações propostas pelo GT deveriam conter fundamentos pautados nos critérios técnicos consagrados e elencados pelo GT. Ademais, ficou definido considerar, quando pertinente, os resultados das manifestações populares constantes da Conferência Distrital das Cidades Extraordinária, realizada em 2011.



Secretaria de Estado de Gestão do Território e Habitação - SEGETH
SCS Quadra 06 Bloco A Lotes 13/14 CEP 70.036-918 - Brasília - DF
Fone(s): (61) 3214-4105 e 3214-4109 - Fax: (61): 3214-4106
CVC_desp



SPL - PLC 0019/2019 folha 000540

Definidos e elencados os critérios técnicos pelo GT, procedeu-se, então, à sobreposição das delimitações elaboradas pela Codeplan e pela SEDHAB, onde foram identificados 41 pontos de divergência, sobre os quais o GT se debruçou para analisar e debater ponto a ponto, durante sete reuniões, realizadas para definição da situação mais coerente e defensável, segundo os critérios técnicos empregados. Os trabalhos retomados em 2016 consideraram os critérios definidos pelo GT como base para definição das poligonais das RA.

Alguns princípios de caráter geral e fundamental, detalhados abaixo, serviram de base para o desenvolvimento da proposta do Grupo de Trabalho:

- As decisões pautadas, exclusivamente, pelo interesse público;
- As decisões disciplinadas, também, pela necessidade de facilitar a identificação dos limites e, por conseguinte, da própria Administração Regional;
- Os setores censitários do IBGE ficam mantidos inalterados, sempre que possível, visando à manutenção das séries históricas dos indicadores socioeconômicos existentes. Fica admitido o fracionamento de setores somente em situações específicas e necessárias, de acordo com os critérios adotados, contando com o acompanhamento do IBGE para registro e providências junto àquela instituição;
- São considerados os princípios de acessibilidade e mobilidade;
- Os limites novos e antigos devem ser ajustados tomando por base a cartografia oficial do Distrito Federal, de acordo com o Decreto nº 32.575 de 10 de dezembro de 2010.

Além disso, sobre os critérios empregados na definição dos limites foram estabelecidos os seguintes pontos:

1. Utilizar feições geográficas, tendo em vista a facilidade de percepção e identificação destas como limites (sistema rodoviário, ferroviário, metroviário, hidrografia, relevo, faixas de domínio);
2. Manter núcleo urbano secundário na RA com núcleo urbano principal mais próximo;



Secretaria de Estado de Gestão do Território e Habitação - SEGETH
SCS Quadra 06 Bloco A Lotes 13/14 CEP 70.036-918 - Brasília - DF
Fone(s): (61) 3214-4105 e 3214-4109 - Fax: (61): 3214-4106
CVC_desp



SPL - PLC 0019/2019 folha 000541

3. Manter as áreas destinadas a equipamentos públicos nas RA para as quais esses equipamentos foram destinados;
4. Considerar as áreas definidas no Plano Diretor de Ordenamento Territorial, tendo em vista que o PDOT reflete a política de Estado sobre o planejamento do território.
5. Considerar sugestões da Conferência Distrital das Cidades Extraordinária, quando apropriados ao ordenamento territorial previsto pelo Governo;
6. Manter ocupações com morfologia urbana semelhantes na mesma RA;
7. Manter a continuidade do território nas RA com o objetivo de garantir a produção de estatística a partir de dados amostrais e otimização da gerência das RA;
8. Considerar a manutenção de núcleos rurais, glebas rurais e lotes urbanos numa mesma RA sem repartir as unidades;
9. Considerar o endereçamento existente.

Ressalta-se que a proposta apresentada pelo Grupo de Trabalho em seu relatório final foi alterada ao longo do processo, com a realização das reuniões com os Administradores Regionais e com a participação popular nas Audiências Públicas e Consulta Pública, conforme relatado mais acima no histórico do processo.

A seguir é apresentado o mapa do Distrito Federal (figura 01), contendo as 31 poligonais das respectivas Regiões Administrativas, fruto da consolidação do processo de técnico e político, com a devida participação popular.



Secretaria de Estado de Gestão do Território e Habitação - SEGETH
SCS Quadra 06 Bloco A Lotes 13/14 CEP 70.036-918 - Brasília - DF
Fone(s): (61) 3214-4105 e 3214-4109 - Fax: (61): 3214-4106
CVC_desp



SFL - PLC 0019/2019 folha 000542

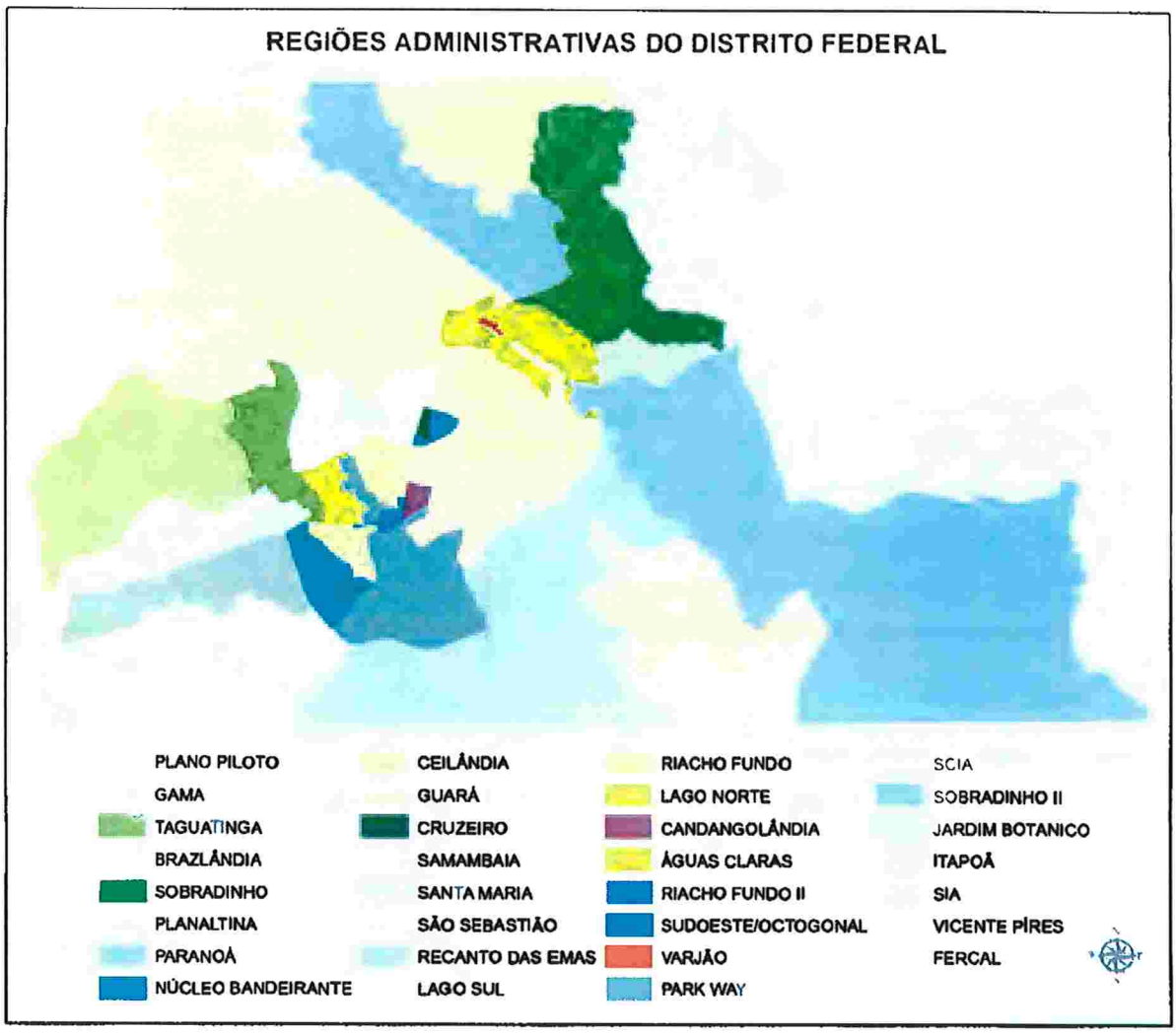


Figura 01 – Mapa do DF com a divisão das 31 RA.

## VOTO

Considerando que é iniciativa do Governador definir os limites administrativos e territoriais das RA, posto que compete ao Poder Executivo a administração dos bens públicos distritais, conforme Lei Orgânica do DF.

Considerando que é prerrogativa do Poder Executivo iniciar os debates relativos à ocupação de área pública e espaços urbanos, à destinação do solo, bem como ao planejamento urbano.



Secretaria de Estado de Gestão do Território e Habitação - SEGETH
SCS Quadra 06 Bloco A Lotes 13/14 CEP 70.036-918 - Brasília - DF
Fone(s): (61) 3214-4105 e 3214-4109 - Fax: (61): 3214-4106
CVC_desp



SPL - PLC 0019/2019 folha 000543

Considerando que a proposta converge no mesmo sentido de outras ações implementadas e em execução pelo atual Governo, no sentido de trazer regularidade fundiária, como é exemplo o projeto de Lei da LUOS.

Considerando que a delimitação das 31 poligonais do DF possibilitará a realização dos projetos de planejamento e gestão do território e das políticas públicas com maior eficiência.

Considerando que as dificuldades enfrentadas pela indefinição dos limites das Regiões Administrativas refletem diretamente na qualidade de serviços prestados à população, sendo esta a maior prejudicada.

Considerando, ainda, que houve audiências públicas realizadas nos dias 29 de novembro de 2017 e 23 de março de 2018, assegurando, assim, a participação popular prevista no art. 56 do Ato das Disposições Transitórias da Lei Orgânica do Distrito Federal.

**Voto favoravelmente à aprovação** do Projeto de Lei Complementar que define as poligonais (limites oficiais) das trinta e uma Regiões Administrativas do Distrito Federal a ser submetido à Câmara Legislativa do Distrito Federal.

Brasília, 7 de junho de 2018.

**LUIZ OTAVIO ALVES RODRIGUES**
Secretário Adjunto da SEGETH – Conselheiro Suplente



Secretaria de Estado de Gestão do Território e Habitação - SEGETH
SCS Quadra 06 Bloco A Lotes 13/14 CEP 70.036-918 - Brasília - DF
Fone(s): (61) 3214-4105 e 3214-4109 - Fax: (61): 3214-4106
CVC_desp



SPL - PLC 0019/2019 folha 000544

Art. 1º Estabelecer critérios e procedimentos quanto à prestação de serviços que envolvam a utilização da Patrulha Mecanizada, intitulada "Patrulha Mecanizada Porteira Para Dentro - PMPD", sob acompanhamento dos Conselhos Regionais de Desenvolvimento Rural Sustentável - CRDRS e das entidades de produtores rurais que os compõem.
§ 1º A Patrulha Mecanizada a que se refere o caput é composta pelas máquinas e veículos constantes da tabela objeto do anexo I.
§ 2º A Patrulha Mecanizada será operacionalizada pela SEAGRI/DF.
Art. 2º Caberá aos CRDRS à formalização dos critérios de utilização da PMPD por cada Entidade que os compõe.
Art. 3º Poderão demandar a utilização da PMPD, as entidades e os produtores filiados às entidades regularizadas nos CRDRS.
Art. 4º Para solicitar o uso da PMPD, a entidade deverá formalizar pedido em formulário próprio constante do Anexo II, dirigido ao Conselho Regional a qual é vinculada, que avaliará e, caso de acordo, encaminhará a Subsecretaria de Desenvolvimento Rural - SDR.
Art. 5º Recebida à solicitação, a SDR encaminhará um vistoriador para levantamento dos serviços solicitados.
Parágrafo único. Havendo necessidade, serão dadas sugestões de adequações para a execução dos serviços.
Art.6º A SDR será responsável pela guarda, condução, manutenção e conservação da PMPD constante do anexo I desta Portaria.
Art. 7º. O cronograma de utilização da PMPD, definida em reunião do Conselho de Desenvolvimento Rural Sustentável do Distrito Federal - CDRS, consta do anexo III.
Parágrafo único. O tempo de utilização anual, proporcional à quantidade de agricultores familiares de cada Conselho, consta da tabela do anexo III, sendo 15 dias o período mínimo para cada região.
Art. 8º A PMPD será disponibilizada à entidade solicitante, sob as regras, condições e responsabilidades definidas em reunião do Conselho de Desenvolvimento Rural Sustentável do Distrito Federal, e em conformidade com esta Portaria.
Art.9º Esta Portaria entra em vigor na data de sua publicação.

ARGILEU MARTINS DA SILVA

ANEXO I
(Portaria nº 22/2018 - SEAGRI-DF)
EQUIPAMENTOS QUE COMPÕE A PATRULHA MECANIZADA

| Equipamentos | Quantidade | Marca | Modelo |
|---|---|---|---|
| Motoniveladora | 01 | New Holland | MN21 140.8 VGP |
| Retroescavadeira | 01 | JCB | 3CX |
| Mini escavadeira | 01 | Yanmar | VI-030 |
| Caminhão Pipa | 01 | Ford | 1719S |
| Caminhão Basculante | 01 | Ford | 1419S |

ANEXO II

| CONSELHO REGIONAL DE DESENVOLVIMENTO RURAL SUSTENTÁVEL DE | |
|---|---|
| PROPONENTE | NOME:<br>ENDEREÇO:<br>NÚCLEO RURAL:<br>TELEFONE:<br>TAMANHO DA ÁREA: |
| ASSOCIAÇÃO | NOME: |
| SOLICITAÇÃO: | Solicito, conforme disposição da Portaria_____, a utilização da patrulha mecanizada. |
| Serviço a executar | Descrição: |
| DATA: | |
| ASSINATURA DO PROPONENTE: | |
| ASSINATURA DO REPRESENTANTE DO CRDRS: | |

ANEXO III

| Tempo de utilização da Patrulha Rural/proporcional às propriedades | | | |
|---|---|---|---|
| CONSELHOS | Número de Agricultores Familiares (*) | % | Tempo Efetivo (dias/ano) |
| Paranoá | 999 | 13 | 45 |
| São Sebastião | 835 | 11 | 30 |
| Lago Norte * | 18 | 00 | 15 |
| Ceilândia | 642 | 08 | 30 |
| Planaltina | 2.617 | 33 | 95 |
| Brazlândia | 1.557 | 20 | 75 |
| Gama | 464 | 06 | 30 |
| Vargem Bonita * | 204 | 03 | 15 |
| Sobradinho | 605 | 08 | 30 |
| TOTAIS | 7.941 | 100 | 365 |

* Conforme informado pela EMATER/DF

# SECRETARIA DE ESTADO DE INFRAESTRUTURA E SERVIÇOS PÚBLICOS

## COMPANHIA URBANIZADORA DA NOVA CAPITAL DO BRASIL

PORTARIA CONJUNTA Nº 08, DE 22 DE MAIO DE 2018
OS TITULARES DOS ÓRGÃOS CONCEDENTE e EXECUTANTE, no uso de suas atribuições legais, estatutárias e regimentais, e ainda, de acordo com o Decreto nº 37.427, de 22 de junho de 2016, alterado pelo Decreto 37.471, de 08 de julho de 2016, que dispõe sobre a descentralização da execução de créditos, bem como, nos termos da Lei nº 6.060, de 29 de dezembro de 2017, RESOLVEM:
Art. 1º Descentralizar o crédito orçamentário na forma que especifica:
DE: UO 22201 - Companhia Urbanizadora da Nova Capital do Brasil
UG 190201 - Companhia Urbanizadora da Nova Capital do Brasil
PARA: UO 59104- Administração Regional do Gama - RA II
UG 190104 - Administração Regional do Gama - RA II
PLANO DE TRABALHO NATUREZA DA DESPESA FONTE VALOR
27.812.6206.3440.9651 44.90.51 100 R$ 200.000,00
OBJETO: Descentralização de crédito orçamentário para reforma de quadra esportiva - Rua Caldeira nº 1, em frente ao Centro de Ensino Fundamental Engenho das Lajes - CEFEL - GAMA, conforme Ofício Eletrônico nº 3779 - 18/05/2018, do Deputado Júlio César, autor da emenda constante do Programa de Trabalho 27.812.6206.3440.9651.
Art. 2º Esta Portaria Conjunta entra em vigor na data de sua publicação, e, vigorará até 31/12/2018.

JULIO CÉSAR MENEGOTTO
Presidente da NOVACAP
Titular da UO Concedente

TEREZINHA MARIA DO ROSÁRIO DO NASCIMENTO
Administradora Regional do Gama
Titular da UO Executante

## COMPANHIA DE SANEAMENTO AMBIENTAL DO DISTRITO FEDERAL

DOCUMENTO DECISÓRIO - DT Nº 111/2018
O Presidente e o Diretor de Suporte ao Negócio da Companhia de Saneamento Ambiental do Distrito Federal - CAESB, no uso das atribuições que lhes confere o Estatuto Social da Empresa, tendo em vista o que consta no Processo nº 092.002643/2018 que trata do Pregão Eletrônico nº 069/2017, Ata de Registro de Preços nº 075/2017 - Aquisição de material elétrico e com base na Resolução de Diretoria Colegiada nº 13/2018, de 12/03/2015, RESOLVEM aplicar sanções administrativas à Empresa WALLNOX DO BRASIL COMÉRCIO DE MÁQUINAS E EQUIPAMENTOS LTDA, inscrita no CNPJ sob o nº 07.323.661/0001-05, nos termos da legislação vigente: I - MULTAR em 15% (quinze por cento), sobre o valor não realizado das Notas de Empenho nos 2469, 2554 e 2555/2017, que corresponde ao total de R$ 20.379,75 (vinte mil e trezentos e setenta e nove reais e setenta e cinco centavos), em consonância com o Inciso IV, do artigo 4º, do Decreto Distrital nº 26.851/2006; II - SUSPENDER de participar em licitações e impedir de contratar com esta Estatal, pelo prazo de 12 (doze) meses, em consonância com o Inciso III, do Artigo 87, da Lei nº 8.666/93; III - AUTORIZAR a publicação do ato no DODF, em conformidade com o § 2º, do Artigo 5º do Decreto Distrital nº 26.851/2006; IV - DAR CONHECIMENTO do presente ato às áreas de interesse da Companhia; IV - DISPOR que a presente Determinação é considerada em vigor a partir desta data. ASSINATURA: 11 de maio de 2018. Maurício Leite Luduvice - Presidente e Fábio Albernaz Ferreira - Diretor de Suporte ao Negócio.

# SECRETARIA DE ESTADO DE GESTÃO DO TERRITÓRIO E HABITAÇÃO

## CONSELHO DE PLANEJAMENTO TERRITORIAL E URBANO DO DISTRITO FEDERAL

DECISÃO Nº 13/2018 - 64ª REUNIÃO EXTRAORDINÁRIA
O Conselho de Planejamento Territorial e Urbano do Distrito Federal, no uso das atribuições que lhe confere a Lei Complementar nº 889, de 25 de julho de 2014, bem como o Regimento Interno, concomitante com o Plano Diretor de Ordenamento Territorial - PDOT/2009, e Lei Complementar nº 854/2012, em sua 64ª Reunião Extraordinária, realizada em 7 de junho de 2018, DECIDE:
PROCESSO Nº 121-000.308/2013; INTERESSADO: Secretaria de Estado das Cidades - SECID; ASSUNTO: Projeto de Lei Complementar que Define as Poligonais (limites oficiais) das trinta e uma Regiões Administrativas do Distrito Federal; RELATORA: Luiz Otavio Alves Rodrigues - SEGETH.
1. APROVAR, relato e voto, consoante ao Processo nº 121-000.308/2013 que trata da aprovação do Projeto de Lei Complementar que Define as Poligonais (limites oficiais) das trinta e uma Regiões Administrativas do Distrito Federal a ser submetido à Câmara Legislativa do Distrito Federal, considerando:

Este documento pode ser verificado no endereço eletrônico http://www.in.gov.br/autenticidade.html, pelo código 50012018061200006

Documento assinado digitalmente conforme MP n 2.200-2 de 24/08/2001, que institui a Infraestrutura de Chaves Públicas Brasileira - ICP-Brasil.

SPL - PLC 0019/2019 folha 000545

a) Que é iniciativa do Governador definir os limites administrativos e territoriais das RA, posto que compete ao Poder Executivo a administração dos bens públicos distritais, conforme Lei Orgânica do DF;
b) Que é prerrogativa do Poder Executivo iniciar os debates relativos à ocupação de área pública e espaços urbanos, à destinação do solo, bem como ao planejamento urbano;
d) Que a proposta converge no mesmo sentido de outras ações implementadas e em execução pelo atual Governo, no sentido de trazer regularidade fundiária, como é exemplo o projeto de Lei da LUOS;
e) Que a delimitação das 31 poligonais do DF possibilitará a realização dos projetos de planejamento e gestão do território e das políticas públicas com maior eficiência.
f) Que as dificuldades enfrentadas pela indefinição dos limites das Regiões Administrativas refletem diretamente na qualidade de serviços prestados à população, sendo esta a maior prejudicada;
g) E considerando, ainda, que houve audiências públicas realizadas nos dias 29 de novembro de 2017 e 23 de março de 2018, assegurando, assim, a participação popular prevista no art. 56 do Ato das Disposições Transitórias da Lei Orgânica do Distrito Federal.
2. Dessa forma, registra-se a votação do Colegiado com 27 (vinte e sete) votos favoráveis, nenhum voto contrário e 01(um) voto de abstenção em nome do Conselheiro José da Silva Ramos - Representante da FAPE/DF.
LUIZ OTAVIO ALVES RODRIGUES, Suplente - SEGETH; GUILHERME ROCHA DE ALMEIDA ABREU, Suplente - CACI; JOSÉ AGMAR DE SOUZA, Suplente - SEPLAG; ANDERSON DO CARMO DINIZ, Suplente - SEAGRI; FELIPE AUGUSTO FERNANDES FERREIRA, Titular - SEMA; MARCIO FARIA JUNIOR, Suplente - SEDICT; SINESIO LOPES SOUTO, Suplente - SINESP; LUÍS GUILHERME ALMEIDA REIS, Titular - SECULT; HEBER NIEMEYER BOTELHO, Suplente - SEF; CARLOS ANTONIO LEAL, Suplente - TERRACAP; JÚNIA SALOMÃO FEDERMAN, Suplente - CODHAB; ALDO PAVIANI, Suplente - CODEPLAN; ALDO CÉSAR VIEIRA FERNANDES, Titular - IBRAM; EDUARDO DE OLIVEIRA VILLELA, Titular - ADEMI;JOSMAILTON INÁCIO LOPES, Titular - ASPRE; ANTONIO BATISTA DE MORAIS, Titular - ASTRARSAMA; JOSE LEME GALVÃO JUNIOR, Titular - ICOMOS; TONY MARCOS MALHEIROS, Suplente - CAU/DF; FABIO PAIÃO CORREIA DE SOUSA, Suplente - CREA/DF; JOSE MANOEL MORALES SANCHES, Titular - FAU/UnB; JOSÉ DA SILVA RAMOS, Titular - FAPE/DF; EDUARDO ALVES DE ALMEIDA NETO, Suplente - FECOMÉRCIO; ADÉLIA QUEIROZ NERI, Suplente - FID/DF; REINALDO TEIXEIRA VIEIRA, Titular - FNE; CÉLIO DA COSTA MELIS JÚNIOR, Titular - IAB/DF; JOÃO GILBERTO DE CARVALHO ACCIOLY, Titular - SINDUSCON/DF; SONIA RODRIGUES DE MIRANDA SILVA, Titular - OCDF; ANA FLÁVIA BITTENCOURT DE LIMA, Titular - UNICA/DF.

THIAGO TEIXEIRA DE ANDRADE
Secretário de Estado
Presidente em exercício

## SECRETARIA DE ESTADO DAS CIDADES

### ADMINISTRAÇÃO REGIONAL DO GUARÁ

ORDEM DE SERVIÇO Nº 45, DE 07 DE JUNHO DE 2018
O ADMINISTRADOR REGIONAL DO GUARÁ DO DISTRITO FEDERAL, no uso de suas atribuições que lhe confere o artigo 42, inciso XI do Regimento Interno da Administração Regional do Guará, aprovado pelo Decreto nº 38.094, de 28 de março de 2017, RESOLVE:
Art. 1º Tornar sem efeito a partir desta data, a Ordem de Serviço nº 10 de 27 de janeiro de 2017, publicada no Diário Oficial do Distrito Federal nº 22 de 31/01/2017, página 22;
Art. 2º Esta Ordem de Serviço entra em vigor na data de sua publicação.
LUIZ CARLOS DELFINO DO NASCIMENTO JUNIOR

## SECRETARIA DE ESTADO DO MEIO AMBIENTE

### AGÊNCIA REGULADORA DE ÁGUAS, ENERGIA E SANEAMENTO BÁSICO DO DISTRITO FEDERAL

DESPACHO Nº 74, DE 11 DE JUNHO DE 2018.
Fixa os valores da Taxa de Fiscalização sobre os Serviços Públicos de Abastecimento de Água e Esgotamento Sanitário (TFS) e Taxa de Fiscalização dos Usos dos Recursos Hídricos (TFU) do mês de ABRIL/2018, a ser repassado pela Companhia de Saneamento Ambiental do Distrito Federal - CAESB.
O DIRETOR-PRESIDENTE SUBSTITUTO DA AGÊNCIA REGULADORA DE ÁGUAS, ENERGIA E SANEAMENTO BÁSICO DO DISTRITO FEDERAL, designado pela Portaria nº 151, de 01 de julho de 2016, no uso de suas atribuições e tendo em vista o disposto nos arts. 1º, 3º e 12 da Lei Complementar nº 711, de 13 de setembro de 2005, alterada pela Lei Complementar nº 798, de 26 de dezembro de 2008; nos incisos I e III do art. 33 da Lei nº 4.285, de 26 de dezembro de 2008; nas Resoluções nºs 159 e 160, de 12 de abril de 2006; e de acordo com o que consta no Processo SEI nº 00092-00004025/2018-38 RESOLVE:
Art. 1º Fixar o valor da Taxa de Fiscalização sobre os Serviços Públicos de Abastecimento de Água e Esgotamento Sanitário (TFS), relativa ao mês de ABRIL/2018, a ser repassado pela Companhia de Saneamento Ambiental do Distrito Federal - CAESB, em R$ 1.250.902,45 (um milhão, duzentos e cinquenta mil novecentos e dois reais e quarenta e cinco centavos).
Art. 2º Fixar o valor da Taxa de Fiscalização dos Usos dos Recursos Hídricos (TFU), relativa ao mês de ABRIL/2018, a ser repassado pela Companhia de Saneamento Ambiental do Distrito Federal - CAESB, em R$ 3.245.076,35 (três milhões, duzentos e quarenta e cinco mil setenta e seis reais e trinta e cinco centavos).
Art. 3º As Taxas fixadas nos art. 1º e 2º terão como vencimento o dia 15 de junho de 2018.
Art. 4º Este Despacho entra em vigor na data de sua publicação.
ISRAEL PINHEIRO TORRES

DESPACHO Nº 75, DE 11 DE JUNHO DE 2018.
O DIRETOR-PRESIDENTE SUBSTITUTO DA AGÊNCIA REGULADORA DE ÁGUAS, ENERGIA E SANEAMENTO BÁSICO DO DISTRITO FEDERAL, designado por meio da Portaria nº 151, de 01 de julho de 2016, no uso das atribuições regimentais, conforme o disposto no inciso VII do artigo 14 da Lei nº. 4.285, de 26 de dezembro de 2008, Lei nº. 8.666/93 e suas alterações posteriores, Lei nº. 10.520/2002, conforme deliberação da Diretoria Colegiada, tendo em vista o que consta nos autos do Processo SEI nº. 00197-00001506/2018, referente ao Pregão Eletrônico nº. 04/2018, que versa sobre a contratação de empresa especializada na prestação de serviços de fornecimento de jornais e revistas, impressos e por meio de assinaturas eletrônicas para acesso digital irrestrito aos veículos de comunicação, para a ADASA, tendo em vista a adjudicação do seu objeto, pelo pregoeiro, em favor da empresa Eldex Distribuidora de Jornais e Revistas Ltda. - ME, CNPJ 10.719.671/0001-60, RESOLVE: HOMOLOGAR o certame.
ISRAEL PINHEIRO TORRES

## SECRETARIA DE ESTADO DE CULTURA

### SUBSECRETARIA DE ADMINISTRAÇÃO GERAL

RETIFICAÇÃO
Na Portaria nº 156, de 08 de junho de 2018, publicado no DODF nº 109, de 11 de junho de 2018, página 32, para que ONDE SE LÊ: "...§ 1º As funções a serem desenvolvidas pelos servidores convoca dos por meio desta Portaria...", LEIA-SE: ".. § 1º As funções a serem desenvolvidas pelos servidores convocados por meio desta Portaria...".

## DEFENSORIA PÚBLICA DO DISTRITO FEDERAL

PORTARIA Nº 212, DE 07 DE JUNHO DE 2018
A DEFENSORA PÚBLICA-GERAL DA DEFENSORIA PÚBLICA DO DISTRITO FEDERAL, nos termos do art. 134, §§ 1º, 2º e 3º, da Constituição Federal; art. 114, §1º, da Lei Orgânica do Distrito Federal; art. 2º, §7º, da Emenda à Lei Orgânica nº 61/2012; e no uso das atribuições que lhe conferem os artigos 97-A, incisos I e III, e 100, da Lei Complementar Federal nº 80/94, e nos artigos 9º, inciso XII, e 21, inciso I e XIII, da Lei Complementar Distrital nº 828/2010 c/c com a Lei Complementar Distrital nº 908/2016; observado, ainda, o disposto na Decisão nº 1111/2015 do Tribunal de Contas do Distrito Federal nos autos do Processo nº 3910/2015-e, RESOLVE:
Art. 1º Fica extinto, na estrutura administrativa da Defensoria Pública do Distrito Federal: 01(um) Cargo em Comissão, Símbolo DFG-12, de Chefe, da Seção de Documentação e Movimentação Processual, do Núcleo de Assistência Jurídica da Infância e Juventude (COD. SIGRH 04000110), da Defensoria Pública do Distrito Federal.
Art. 2º Fica criado, sem aumento de despesa, na estrutura Administrativa da Defensoria Pública do Distrito Federal: 02 (dois) Cargos em Comissão, Símbolo DFA-07, de Assessor Técnico, do Núcleo de Assistência Jurídica da Infância e Juventude, da Defensoria Pública do Distrito Federal.
Art. 3º O saldo proveniente da transformação de cargos constante nesta Portaria passa a compor o saldo remanescente de cargos da Defensoria Pública do Distrito Federal.
Art. 4º Esta Portaria entra em vigor na data de sua publicação.
Art. 5º Revogam-se as disposições em contrário.
MARIA JOSÉ SILVA SOUZA DE NÁPOLIS

## TRIBUNAL DE CONTAS DO DISTRITO FEDERAL

INFORMAÇÃO Nº: 075/2018 - SEGEDAM (AA)
PROCESSO: 17500/2018-e; ASSUNTO: Inexigibilidade de licitação - Participação de servidores no "XVI Curso de Segurança de Acervos Culturais", de 11 a 15.06.2018, no Rio de Janeiro - RJ. RATIFICO a realização da despesa por meio de inexigibilidade de licitação, com base no inciso II, art. 25, c/c o inciso VI, art. 13, ambos da Lei nº 8.666, de 21 de junho de 1993, bem como a consequente emissão de nota de empenho no valor de R$ 600,00 (seiscentos reais), em favor da Fundação de Apoio ao Desenvolvimento da Computação Científica (FACC), para atender despesa com inscrições de servidores no "XVI Curos de Segurança de Acervos Culturais", a ser realizado no Rio de Janeiro - RJ, no período de 11 a 15 de junho de 2018.
Brasília/DF, 07 de junho de 2018.
ANILCÉIA MACHADO
Presidente

### SECRETARIA DAS SESSÕES

DECISÃO Nº 1156/2018 (*)
PROCESSO Nº 7645/2018-e - Edital nº 05/18, da Secretaria de Estado de Saúde do Distrito Federal - SES/DF, que tornou pública a realização de concurso para provimento de vagas e formação de cadastro reserva para o cargo de Técnico em Saúde, do quadro de pessoal daquela Pasta. DECISÃO Nº 1156/2018 - O Tribunal, por unanimidade, de acordo com o voto do Relator, decidiu: I - tomar conhecimento da Portaria nº 685/17, publicada no DODF de 2.1.2018 (e-doc D9FC44F4-e) e do Edital nº 05/18, publicado no DODF de 5.3.2018 (e-doc 64410BCC-e); II - determinar à Secretaria de Estado de Saúde do Distrito Federal - SES/DF que, no prazo de 5 (cinco) dias, relativamente ao Edital nº 05/18: a) inclua no

Este documento pode ser verificado no endereço eletrônico http://www.in.gov.br/autenticidade.html, pelo código 50012018061200007

Documento assinado digitalmente conforme MP n 2.200-2 de 24/08/2001, que institui a Infraestrutura de Chaves Públicas Brasileira - ICP-Brasil.

SPL - PLC 0019/2019 folha 000546

## SECRETARIA DE ESTADO DA SEGURANÇA PÚBLICA E DA PAZ SOCIAL

### DEPARTAMENTO DE TRÂNSITO DO DISTRITO FEDERAL

PORTARIA Nº 58, DE 29 DE MARÇO DE 2018 (*)

O DIRETOR-GERAL DO DEPARTAMENTO DE TRÂNSITO DO DISTRITO FEDERAL, Interino, no uso de suas atribuições legais previstas nos Artigos 211 e 214 da Lei Complementar nº 840, de 23 de dezembro de 2011, incisos VIII e XL do Artigo 100 do Decreto nº 27.784/2007 e, considerando o exposto pelo Presidente da Comissão de Sindicância nº 055.033036/2014, instaurada pela Portaria nº 249, de 15/10/2014, publicada no DODF nº. 247, de 26/11/2014, não foi possível concluir os trabalhos no prazo legal, RESOLVE:

Art. 1º Prorrogar, de acordo com o § 2º do artigo 214 da Lei Complementar nº 840, de 23 de dezembro de 2011, o prazo para conclusão dos trabalhos, por 30 (trinta) dias, a contar de 16 de abril de 2018, a fim de dar continuidade à apuração dos fatos relacionados no Processo nº 055.033036/2014.

Art. 2º Esta Portaria entra em vigor na data de sua publicação.

SILVAIN BARBOSA FONSECA FILHO

PORTARIA Nº 59, DE 29 DE MARÇO DE 2018 (*)

O DIRETOR-GERAL DO DEPARTAMENTO DE TRÂNSITO DO DISTRITO FEDERAL, Interino, no uso de suas atribuições legais previstas nos Artigos 211 e 214 da Lei Complementar nº 840, de 23 de dezembro de 2011, incisos VIII e XL do Artigo 100 do Decreto nº 27.784/2007 e, considerando o exposto pelo Presidente da Comissão no Processo Administrativo Disciplinar nº 055.041192/2017, instaurado pela Portaria nº 173, de 05/10/2017, publicada no DODF nº 198, de 16/10/2017, RESOLVE:

Art. 1º Prorrogar, de acordo com o parágrafo único do artigo 217 da Lei Complementar nº 840, de 23 de dezembro de 2011, o prazo para conclusão dos trabalhos da Comissão, por 60 (sessenta) dias, a contar do dia 12 de abril de 2018, a fim de dar continuidade à apuração dos fatos relacionados no Processo nº 055.041192/2017.

Art. 2º Esta Portaria entra em vigor na data de sua publicação.

SILVAIN BARBOSA FONSECA FILHO

(*) Republicadas por terem sido encaminhadas com incorreção no original, publicadas no DODF nº 66, de 06/04/2018, pág. 11

INSTRUÇÃO Nº 199, DE 18 DE ABRIL DE 2018

O DIRETOR-GERAL DO DEPARTAMENTO DE TRÂNSITO DO DISTRITO FEDERAL, Interino, no uso das atribuições que lhe confere o Artigo 100º, Inciso XLI, do Regimento aprovado pelo decreto nº 27.784 de 19 de março de 2007, RESOLVE:

Art. 1º Designar para compor a Comissão Examinadora de Trânsito do Detran/DF, a partir de 01 de março de 2018, nas seguintes funções e períodos: 1-Coordenador teórico-prático: a) Por três meses: Adeilton Rocha de Sousa; Catia Guedes Evangelista; Jurandir Moreira Duarte; Luiz Alves de Brito; Romero Jose da Silva. 2- Examinador teórico-prático: a)Por três meses: Acassio Teixeira Machado; Adriano Ferreira Moita; Agnaldo Alves Vieira; Alan Carlos de Sousa Santos; Alexandre Alves Medeiros; Alexandro Alves do Prado; Aline Campos Perpetuo Braga; Almir Freires da Silva; Amado Pio Alves Moreira; Andreia Soares Almeida; Aneci Gonçalves Mancio; Arabela Araujo Paes Landim; Arivaldo Rodrigues Dutra; Carla Cintia da Silva Lima; Carlos Alberto Ramão C Junior; Carlos Roberto Ribeiro; Clara Novais Silva; Cleusa Evangelista Ferreira; Danilo Martins de Queiroz; Darcilio Veloso Junior; Denise de Carvalho Oliveira; Djacir Ferraz Marques; Domingos do Trabalho Amaral Rosa; Ender Albeto de Sousa Carvalho; Enio Brito Lopes; Evelin Ferreira de Oliveira Bernardes; Fabricio Araujo Barros; Fatima Elizabeth da Silva; Flavio da Silva Souza; Flavio Henrique Alves Germano de Oliveira; Francisco Pereira da Silva; Francisco Wilson de Araujo Teixeira; Frank Viana dos Santos; Gabriella Alves da Cunha; George Luis Barros; Heitor Luiz Souza Folgierini; Horacio Grangeiro Neto; Inalgi dos Santos Medeiros; Janaina Machado Ramos; Jean Pierre de Souza; Joao Gabriel Carneiro Portela; Jose Carlos Araujo da Silva; Jose Carlos Sobrinho; Jose Nildo Gomes da Silva; Julio Alves; Karina Bonadio Albino; Lizani de Liz Tavares; Luiz de Souza Freire; Manoel Sacramento Porcidonio; Marcelo Alvim Guedes; Marcelo Ferreira Brandao; Marcelo Vinicius Granja; Marcos Aurélio Freire Alves; Maria Antonia Pinheiro Nogueira; Maria Julia da Silva; Mary Mabel de Oliveira Moriani; Natha Ferreira Vaz; Pedro Alves Monteiro Filho; Pedro Silvano de Queiroz Junior; Peniel Sousa Prata ; Regina Basilio Bacarias; Ricardo Silva de Castro; Rita de Cássia Gomes De Sousa; Romildo de Souza Oliveira; Rosilene de Souza Fonseca Ribeiro; Sidinei Ferreira de Andrade; Thalles Vilarino de Resende; Vaberlene Soares Bezerra; Waldeju Gomes da Luz; Wanderleya dos Santos; Washington Soares Moreira; Wellington Euler Alves dos Santos; Wilton Junior Alves Cabeceira. 3-Secretário de Apoio: a) Por três meses: Adelita Tavares da Silva; Adenildes Alves Leão; Ailton da Silva; Alcir Batista de Oliveira; Alex Dias; Claudia Cristina Alves; Francilourdes Gomes de Oliveira; Joselita Pereira de Souza de Sousa; Lucia Fernandes da Silva Veras; Maria Cristina de Lima do Nascimento; Maria Helena Chagas Ferreira; Valdete Dias Araujo. 4-Secretário de Apoio Logístico: a) Por três meses: Ailton Dombroski; Aldelvandro Vaz dos Reis; Antonia Carmem Nascimento; Flaviano Paulo Macedo; Flavio Sena Suzano; João Costa Carvalho; Jonas da Silva. 5- Coordenador teórico-prático da Banca Especial: a) Por três meses: Jamarks Gonçalves da Silva.6- Examinador teórico-prático da Banca Especial: a) Por três meses: Ana Claudia Gnone de Oliveira.7- Secretário de Apoio da Banca Especial: a) por três meses: Luiza Barros dos Santos. 8- Desconsiderar as nomeações dos Examinadores teóricos - práticos Luiza de Marilac da Silva Guthier, Núbia Rufino de Oliveira, Daniel José Leão da Silva a partir de março de 2018 e do Examinador Erandi da Cruz Silva a partir de fevereiro de 2018. 9- Membro do CONTRANDIFE da Banca Especial: a) por três meses: Nael Cardoso de Pinho.

Art. 2º Esta Instrução entra em vigor na data de sua publicação.

SILVAIN BARBOSA FONSECA FILHO

INSTRUÇÃO Nº 200, DE 18 DE ABRIL DE 2018

O DIRETOR-GERAL DO DEPARTAMENTO DE TRÂNSITO DO DISTRITO FEDERAL, Interino, no uso das atribuições que lhe confere o art. 9º, inciso XV do Regimento aprovado pelo Decreto 27.784 de 26 de março de 2007, e o §1º do Art. 263 da Lei 9.503/97, que institui o CTB, e considerando o processo administrativo SEI nº 0055.00111429/2018-41, RESOLVE:

Art. 1º Cancelar a Carteira Nacional de Habilitação em nome de ELIEL DA SILVA RODRIGUES, CPF 977.811.347-53, especificamente o Renach DF752818724, emitida por este Departamento, em 11/01/2018, por se tratar de fraude.

Art. 2º Esta Instrução entra em vigor na data de sua publicação.

SILVAIN BARBOSA FONSECA FILHO

## SECRETARIA DE ESTADO DE INFRAESTRUTURA E SERVIÇOS PÚBLICOS

### SERVIÇO DE LIMPEZA URBANA DO DISTRITO FEDERAL

INSTRUÇÃO Nº 100, DE 03 DE ABRIL DE 2018

A DIRETORA-PRESIDENTE DO SERVIÇO DE LIMPEZA URBANA-SLU, no uso de suas atribuições conferidas pelo Regimento Interno, aprovado pelo Decreto nº 35.972/2014, e tendo em vista o disposto no artigo 255, §1º, inciso II da Lei Complementar nº 840, de 23 de dezembro de 2011, RESOLVE:

Art. 1º Com fulcro na Decisão de julgamento exarada nos autos do Processo nº 094.000.328/2017, APROVAR o Parecer Jurídico nº 211/2017-PROJU/SLU, exarado por Assessor da Procuradoria Jurídica, às fls. 119/123, por seus próprios e jurídicos fundamentos, assim como a Cota de Aprovação (fl. 124).

Art. 2º Acatar o Despacho nº 130/2017-CONTR/SLU, fl. 126 dos autos.

Art. 3º Acolher o Relatório Conclusivo apresentado pela Comissão Especial de Sindicância, fls. 112/116, constituída mediante a Instrução nº 114, de 31 de agosto de 2017, publicada no DODF nº 180, pág. 32, de 19/09/2017.

Art. 4º Arquivar o presente Processo Sindicante, com fulcro no artigo 215, inciso I da Lei Complementar nº 840/2011, por não restar comprovada a materialidade da transgressão disciplinar.

Art. 5º Esta Instrução entra em vigor na data de sua publicação.

HELIANA KÁTIA TAVARES CAMPOS

## SECRETARIA DE ESTADO DE GESTÃO DO TERRITÓRIO E HABITAÇÃO

PORTARIA Nº 45, DE 18 DE ABRIL DE 2018

O SECRETÁRIO DE ESTADO DE GESTÃO DO TERRITÓRIO E HABITAÇÃO DO DISTRITO FEDERAL, no uso das atribuições que lhe foram conferidas pelo artigo 105, parágrafo único, incisos III e V da Lei Orgânica do Distrito Federal, e com fundamento na Lei Complementar nº 840/2011, RESOLVE:

Art. 1º Prorrogar por mais 30 (trinta) dias, a contar do dia 13 de Abril de 2018, o prazo para a conclusão dos trabalhos da Comissão de Sindicância designada a apurar os fatos constantes dos autos do processo SEI/GDF nº 390.00006884/2017-06, instituída por intermédio da Portaria nº 85, de 04 de julho de 2017, publicada no DODF nº 126, de 4 de julho de 2017, página 33, modificada pela Portaria nº 93, de 18 de julho de 2017, publicada no DODF nº 137, de 19 de julho de 2017, página 44, e prorrogada pela Portaria 104, de 31 de julho de 2017, publicada no DODF nº 148, de 3 de agosto de 2017, página 190.

Art. 2º Esta Portaria entra em vigor na data de sua publicação.

THIAGO TEIXEIRA DE ANDRADE

## SECRETARIA DE ESTADO DAS CIDADES

### ATA DA SEGUNDA AUDIÊNCIA PÚBLICA COM VISTAS À APRESENTAÇÃO E DEBATE DO PROJETO DE LEI COMPLEMENTAR QUE DEFINE AS POLIGONAIS (LIMITES OFICIAIS) DAS TRINTA E UMA REGIÕES ADMINISTRATIVAS DO DISTRITO FEDERAL

Às dezenove horas e trinta minutos do vigésimo terceiro dia do mês de março do ano de dois mil e dezoito, no Museu Nacional, foi aberta a Segunda Audiência Pública com vistas à apresentação e debate do Projeto de Lei Complementar que define as Poligonais (limites oficiais) das trinta e uma Regiões Administrativas do Distrito Federal. A pauta segue transcrita: 1. Leitura do Regulamento; 2. Apresentação Técnica; 3. Participação e Questionamento da Plenária; 4: Encerramento. O Cerimonial cumprimentou os presentes e informou que o aviso de convocação foi publicado no Diário Oficial do Distrito Federal dos dias 22 de fevereiro e 8 de março de 2018, respectivamente, bem como em jornais de grande circulação nesta data. Prosseguiu para composição da mesa, convidou, a Assessora Especial da Secretaria das Cidades, Adriana Marques Seixas, a Coordenadora do Sistema de Informação Territorial e Urbana do DF/SEGETH, Litz Mary Lima Bainy, e o Secretário de Estado das Cidades, Marcos de Alencar Dantas. Em seguida passou ao item 1. Leitura do Regulamento. Em ato contínuo, procedeu à leitura do Regulamento que define o procedimento a ser adotado para o andamento desta Audiência Pública. Ressaltou que a Audiência Pública é aberta a todos os cidadãos e que será registrada por gravação de áudio, e o material produzido comporá a memória do processo, tendo como objetivo discutir e angariar contribuições da população. Comunicou que a Ata da Audiência Pública será disponibilizada, em até 30 dias, no site da Segeth e publicada no Diário Oficial do Distrito Federal. Passou a palavra e a coordenação dos trabalhos ao Secretário, Marcos de Alencar Dantas, que agradeceu a presença dos Administradores Regionais Charles Guerreiro e Cláudia, do representante da Deputada Telma Rufino, de todas as representações da sociedade e os dos membros da mesa. Comunicou que o Secretário da Segeth, Thiago, estava a caminho para compor a mesa. Informou que em 2017, foi realizada a 1ª Audiência Pública. Reiterou a importância da aprovação desse projeto de lei, e informou como seria apresentado o projeto pela arquiteta Litz da Segeth. Relembrou aos presentes a importância de se ater ao tema apresentado, quando aberto o debate, com finalidade de lograr uma audiência produtiva. A Coordenadora da Cosit/Segeth Litz Mary Lima Bainy iniciou a apresentação do projeto das 31 poligonais do DF. Inicialmente fez uma breve cronologia do processo e explicou como vem se dividindo as RAs. Deu início informando que em 1964 o DF foi dividido em 8 Regiões Administrativas: Brasília, Gama, Taguatinga, Brazlândia, Sobradinho, Planaltina, Paranoá e Jardim. Em 1989, foi extinta a RA Jardim, e foram criadas mais cinco: Núcleo Bandeirante, Ceilândia, Guará, Cruzeiro e Samambaia, totalizando doze RAs. Entre 92 e 94, passaram a existir 19 Regiões Administrativas, acrescentando Santa Maria, São Sebastião,

Este documento pode ser verificado no endereço eletrônico http://www.in.gov.br/autenticidade.html, pelo código 50012018042000029

Documento assinado digitalmente conforme MP n 2.200-2 de 24/08/2001, que institui a Infraestrutura de Chaves Públicas Brasileira - ICP-Brasil.

SFL - PLC 0019/2019 folha 000547

Recanto das Emas, Lago Sul, Riacho Fundo, Lago Norte e Candangolândia. Acrescentou também que a partir de 2003, outras 12 Regiões Administrativas foram criadas, porém sem poligonais definidas. Listou vários problemas da não definição dessas poligonais ao longo do tempo. Primeiramente os Órgãos do GDF trabalham com diferentes definições, de acordo com a peculiaridade de suas atividades. Informou o recebimento na Segeth de vários processos advindos dos tribunais questionando a definição de qual RA está para verificação do fórum de atendimento. Esclareceu que foi realizado um acordo entre a Segeth e o TJ, com um mapa de jurisdição, porém ainda é muito indefinido. Expressou a insegurança da população em saber qual RA reportar para resolver suas demandas. Informou também o problema de ensino nas escolas do DF: há anos não se atualizam os livros didáticos em relação à divisão Administrativa do DF. Passou para a definição dos critérios para determinação dos limites das RAs. Afirmou que preferencialmente utiliza-se limites de setores censitários de forma a manter as séries históricas dos dados socieconômicos, que são importantíssimos para o planejamento. Os limites naturais e sistema viário de forma a facilitar a percepção do limite. Informou que evita-se a divisão de setores habitacionais que são definidos pelo nosso plano diretor de núcleos rurais e glebas rurais, de condomínios, limites de áreas definidas pelo plano diretor em geral, zoneamento, setores habitacionais, áreas de regularização de interesse social, de interesse específico, áreas econômicas. Manutenção preferencialmente DOS núcleos urbanos na Região Administrativa em que se localiza o núcleo urbano principal mais próximo. E áreas destinadas a equipamentos públicos nas Regiões Administrativas para as quais esses equipamentos foram destinados. Explicou sobre as mudanças em cada RA, começando pela RA Plano Piloto, que expressou ter havido alteração alguma da primeira audiência para segunda. Seguiu para a RA Gama, e informou que a Vila DVO foi inserida na RA Santa Maria, pois tem uma ligação física muito maior com a outra RA. Em relação à RA Taguatinga, informou que o Taguaparque permanece em Taguatinga, que foram mantidas as quadras QS01, QS03 e QS05 e o terreno da Universidade Católica que pertence à QS07, em Taguatinga, e que o Parque Boca da Mata ficou para RA Samambaia. Informou que a RA Brazlândia se manteve exatamente como já era na proposta das 19 RAs, que não teve nenhuma alteração. Seguiu para RA Sobradinho, que teve seus limites Oeste e Sul alterados a partir da criação de Sobradinho II e Fercal. Os demais limites não foram alterados, apenas a cartografia aperfeiçoada. Informou que a RA Planaltina não tem nenhuma alteração a partir das 19 RAs. Seguiu para a RA Paranoá, que teve a proposta apresentada na primeira audiência incorporada no projeto: parte da área rural foi incluída na RA Paranoá. Na apresentação do Núcleo Bandeirante, informou que também não teve nenhuma alteração da 1ª para a 2ª audiência. A RA da Ceilândia não tem nenhuma alteração também, ela se manteve como já era nas 19 RAs. No que concerne a RA Guará, seu limite Norte foi alterado a partir da criação do SCIA, do SIA e do Vicente Pires. Informou que a demanda registrada na primeira audiência solicitando que o Parque do Guará ficasse inteiramente dentro do Guará já estava anteriormente atendida. Explanou que a RA Cruzeiro foi na realidade reduzida devido a criação da RA Sudoeste e Octogonal, e foi seguida rigidamente pelo seu endereçamento. No que diz respeito a RA Samambaia, relembrou que o Parque Urbano Boca da Mata foi incluído em Samambaia devido ao seu acesso por essa RA. Relembrou também que a Vila DVO foi incorporada à Santa Maria, e parte do limite leste da RA Santa Maria foi passado para a RA Jardim Botânico, justificando que o Setor Habitacional Tororó está completamente descolado do núcleo urbano de Santa Maria, tendo mais ligação com o próprio Jardim Botânico. Explanou que a parte oeste da RA São Sebastião foi transferida para o Jardim Botânico. No que se refere à RA Recanto das Emas, informou que parte do bairro Água Quente ficava em Samambaia e outra no Recanto das Emas, logo foi unificado, colocando todo o setor habitacional em uma única RA. Explanou que conforme proposta apresentada na Conferência Distrital das Cidades, a poligonal da RA Lago Sul foi reduzida devido à transferência da reserva ecológica do IBGE e a Fazenda Agua Limpa para as RAs Jardim Botânico e Park Way. Em relação ao Riacho Fundo, relatou que apenas o seu limite oeste foi alterado para a criação do Riacho Fundo II. Informou que o Lago Norte teve a esquerda do seu limite alterado a partir da criação da RA Varjão e incorporação do Torto, proposta essa apresenta já na primeira audiência. Um trecho do limite leste foi passado para a RA Itapoã para atender a demanda apresentada formalmente na primeira audiência para equipamentos públicos. Explanou que foi usado o limite do zoneamento do PDOT para transferir a área para o Itapoã, e a outra parte da proposta apresentada, que era zona rural, manteve-se dentro da RA Lago Norte. Esclareceu que a RA Candangolândia não houve nenhuma alteração de limite, principalmente por causa da existência de um tombamento. Portanto a demanda registrada na primeira audiência de transferência do Setor de Concessionárias para a Candangolândia não foi atendida. Em relação à Ra Águas Claras, ressaltou que a foi constituída a partir das RAs Taguatinga e Guará. Tem no limite Norte a EPTG, limite Oeste a Estrada Parque Contorno e Avenida Águas Claras embaixo, limite Leste o limite do setor Park Way, e limite Sul a Estrada Parque Núcleo Bandeirante. Explicitou que a RA Riacho Fundo II se originou a partir do desmembramento do Riacho Fundo, e foi utilizado o Córrego Coqueiros e seus afluentes para separar as duas Regiões Administrativas. Informou que na RA Sudoeste e Octogonal foi utilizada basicamente o endereçamento para definição de poligonal. Explanou que a RA Varjão mantém o limite que foi apresentado na Conferência das Cidades. Informou que a RA Park Way permaneceu com duas poligonais: o limite Oeste é o original da antiga RA Núcleo Bandeirante, seguindo na direção sul pelo Córrego Coqueiro, em seguida a DF 065; e a região entre a EPVT e o Córrego Vicente Pires. Informou que a RA SCIA tem sua poligonal construída a partir de uma área pertencente antes ao Guará. O limite Oeste é o Corrego do Valo, limite Sul é a DF 095, e o limite Leste é a Estrada Parque Ceilândia, conhecida como Via Estrutural e a DF 097. Em relação a RA Sobradinho II, explanou que a poligonal foi delimitada tendo o limite Leste a Rodovia DF 205, o Córrego Maria Antônia, a rodovia vicinal 215 e o Ribeirão Sobradinho, como limite Sul as rodovias DF 440 e a vicinal 263, e como limite Oeste a DF 001 e a DF 170. Reafirmou a transferência de área rural do Altiplano Leste da RA do Jardim Botânico para o Paranoá, e explanou que grande parte da RA do Jardim Botânico foi delimitada pelo Plano Diretor. Sobre a RA Itapoã, informou novamente a absorção parcial da demanda apresentada na 1ª Audiência, ampliando a área para o equipamento, somente onde o Plano Diretor previa como zona urbana. Explanou que a RA SIA foi constituída tendo como limite norte a DF 095 e o Parque Nacional, como limite leste a DF 003 até o cruzamento com EPTG, no viaduto, limite sul segue pela EPTG até o encontro com o Parque do Guará, e limite oeste pelo limite do Parque Nacional e na parte inferior pela Estrada Parque do Vale. Explicou que a RA Vicente Pires foi construída à partir das áreas das RAs de Taguatinga e Guará, e tem a limite Leste o Córrego do Vale, e pela via paralela a DF 087, incluindo toda a área do Jóquei Clube nesta RA. E por último, informou que a RA Fercal foi delimitada à partir das áreas também da RA de Sobradinho, sendo compreendida entre a Rodovia DF 205 e o Córrego Maria Antônia a oeste, e pelo Ribeirão Palmeiras a leste. Essa configuração considerou a manutenção do Setor Habitacional Fercal definido no PDOT, além de pequenos núcleos urbanos da região. O Secretário Marcos de Alencar Dantas agradeceu a apresentação, registrou a presença da Deputada Distrital Telma Rufino, bem como a Administradora Regional de Taguatinga, Karolyne Guimarães. E passou a palavra para o Secretário de Gestão do Território e Habitação, Thiago Gomes de Andrade, que inicialmente pediu desculpas por não ter chegado no início da audiência, devido a outra reunião do governo. O Secretário Thiago de Andrade agradeceu primeiramente a equipe da Segeth e Secid pelo trabalho e articulação, e posteriormente a todos presentes. Seguiu explicando as regras de fala: são 2 minutos para as pessoas físicas e 4 minutos para os representantes de entidades e associações. Abriu a palavra para as manifestações, conforme as inscrições realizadas. A Senhora Janaina Bezerra Silva, moradora do Mangueiral e síndica do Condomínio Jardins dos Angelins afirmou que são favoráveis a inserção na RA do Jardim Botânico, devido ao atendimento do Administrador Alessandro Paiva às demanda a ele reportadas. O Senhor Hilton de Queiroz Júnior, representando o Movimento Comunitário do Jardim Botânico, primeiramente agradece aos secretários por tudo que tem ocorrido no bairro, e ressalta a preocupação da falta de equipamento público na região, e o erro do IBGE em a relação suas bases censitárias, sem que se possa obter uma projeção real da população da RA Jardim Botânico. Solicita também que o governador cumpra uma promessa que foi feita para a Oscip em questão, de que assim que o governo saísse da Lei de Responsabilidade Fiscal, a representatividade administrativa fosse retomada. A Senhora Marta Celina, moradora de Taguatinga e membro do Conselho de Segurança, ressaltou que Taguatinga perdeu ao longo da história área para Ceilândia, Samambaia, Vicente Pires e Águas Claras. Afirmou ser inconstitucional passar o parque Boca da Mata para Samambaia, porque possui um documento da Presidência da República que reporta que o Parque é área especial de Taguatinga. Afirma também que o parque Boca da Mata possui 4 acessos pela RA Taguatinga. Defende que a poligonal de Taguatinga passe pela pista de trás do Taguaparque para dentro do Pistão Norte -uma linha imaginária, a pista de circulação de ônibus, de dentro da via após o Taguaparque. O Secretario Marcos Dantas e a Coordenadora Litz Bainy explanaram que após a aprovação da Lei Complementar das Poligonais, o IBGE vai trabalhara com as 31 RAs, e não com as 19 poligonais atualmente registradas. O Secretário Thiago de Andrade afirma que a Constituição é que dá o poder do município, e no caso do Distrito Federal, se organizar autonomamente. Relembra que a gestão do território é exclusivamente competência municipal. O Senhor Rodrigo Abreu, da Associação de Moradores e Amigos de Águas Claras - AMAC, afirma a estranheza dos limites entre Águas Claras e Taguatinga, ressaltando que ao longo da mesma via há pedaços que pertencem à uma RA, e pedaços que pertencem à outra RA, dificultando a localização, dificultando a divisão exata entre uma RA e a outra, e que questão históricas não são justificativas para delimitação de RA. Defendeu ao longo de todo Pistão Sul pertencer à Águas Claras. O Senhor Justo defendeuprosseguir a linha da poligonal de Taguatinga da subestação até a Estrada Parque, para evitar o "dente" no desenho; traçando uma linha reta. Defendeu também a inclusão do Península em Taguatinga, desenhando uma linha reta na poligonal, descendo até o Café do Sítio. Afirmou que o Boca da Mata sempre foi de Taguatinga. Em seguida, a Senhora Theresilda Ribeiro da APRALB - Associação dos Produtores Rurais do Altiplano Leste agradeceu que o pedido realizado na primeira audiência foi atendido. O Secretario Thiago de Andrade ressalta que não se trata de um limite administrativo de arrecadação, é limite de votos, etc. Afirmou que principalmente que nenhuma unidade de preservação muda qualquer status ou qualquer nível de preservação em função de estar em uma RA ou noutra, e nem o combate às invasões. O Secretário Marco Dantas afirma que a questão histórica é uma diretriz técnica sim de delimitação de poligonal. A Senhora Zulmira Inês Gomes assegurou que o projeto apresentado não respeita a diretriz do sistema viário entre Águas Claras e Taguatinga. Defendeu o pertencimento de todas as quadras do Areal para Águas Claras, e informou que fez uma escola de samba - Lordes de Areal em Águas Claras, respeitando uma lei distrital que limita uma escola de samba em cada RA. Afirmou que com a proposta apresentada a escola de samba vai encerrar para respeitar a lei anteriormente mencionada. Defendeu que o Boca da Mata pertence à Taguatinga. O Senhor George Aure do Altiplano Leste agradeceu o atendimento do pleito realizado na primeira audiência e relembrou da questão dos mananciais, das áreas de recarga de aquíferos, da qualidade da água de toda a área circundante. A Senhora Marinice Rocha do Altiplano Leste também agradeceu o atendimento da demanda. O Secretário Thiago de Andrade afirmou que o pleito do Altiplano leste era bastante razoável e que houve, na primeira audiência pública, uma diluição de conflitos ali em loco. Parabeniza a comunidade do Altiplano Leste pelas justas manifestações. Prometeu também pesquisar sobre a legislação das escolas de samba no DF. A Administradora de Taguatinga Karolyne Guimarães primeiramente defendeu que por motivos históricos e culturais o Parque Boca da Mata pertence à Taguatinga. Sustentou a proposta de seguir uma linha reta na poligonal de Taguatinga pelo Pistão Norte. Em relação ao Pistão Sul, defendeu a poligonal passando pela linha do metrô, sendo da QS05 para baixo Águas Claras, e do metrô para cima Taguatinga. O Senhor Jorge Bento, Presidente da Atua Tororó (Associação dos Moradores Unidos do Tororó) agradece a iniciativa do governo e pela inclusão do Tororó no Jardim Botânico. O Senhor José Camilo Kafino, presidente da associação comunitária dos proeminentes compradores moradores do Mini-Chácaras, também advogado presidente da Comissão de Regularização Fundiária da Associação Brasileira de Advogados, parabenizou os secretários e afirmou que a definição da poligonal é de extrema importância para reivindicação dos direitos dos moradores do Altiplano Leste e Condomínio Mini -Chácaras, e implantação de políticas públicas em geral. O Senhor Leobertino Rodrigues, da APRALB do Altiplano Leste, agradeceu o trabalho da Comissão e o atendimento das reivindicações. E ressaltou que o crescimento do Jardim Botânico pode afetar a economia do Paranoá e do Itapoã. O Senhor Edvaldo, morador do Areal, informou a dificuldade de definir em qual RA encontra sua residência na QS 11, e as devidas implicações, e questionou essa definição na proposta. O Senhor Daniel Leite, morador do Jardim Mangueiral, expressou a satisfação com o projeto e da inclusão da área no Jardim Botânico. O Senhor Alfredo Junior, representante do condomínio Mini-Chácaras, agradeceu a conciliação que foi feita entre o Altiplano Leste e a nova poligonal do Jardim Botânico. E questionou se a região rural do Altiplano Leste com a nova divisão vai ter outro nome. O Secretário Thiago de Andrade imediatamente respondeu que limite de RA não altera nome de bairro, de unidade de conservação, de quadra, de nome popular etc. O Senhor Deliomar, do CLP de Itapoã, questionou a nova proposta da poligonal de Itapoã, e defendeu que a poligonal deveria atravessar uma estrada de terra (vicinal) que se inicia na 015, e ofereceu a ida de um técnico da Administração Regional posteriormente para mostrar a via no mapa. Reivindicou parte da área rural com a finalidade de transformar em um parque vivencial do Itapoã. O Senhor Charles Guerreiro, Administrador de Vicente Pires, primeiramente elogiou o projeto e a equipe e afirma que a área do 26 de setembro a RA abraça com muito carinho. O Senhor Rosalvo, presidente da Associação dos Artistas do Itapoã e Paranoá, defendeu a mesma ideia do Senhor Deliormar: necessidade de inclusão de um parque em Itapoã. O Senhor José Aguiar agradeceu pela atenção que foi dada ao Altiplano Leste. A Senhora Ivanete Oliveira, prefeita comunitária trecho II do Sol Nascente, questionou a situação do Sol Nascente e das área que ficaram de fora do projeto da poligonais. O Secretário Thiago de Andrade respondeu que isso é uma questão de regularização fundiária, e que foge ao tema da audiência, e prometeu uma futura conversa para esclarecimentos. A Senhora Ivanete Oliveira afirmou o desejo de criação de uma Região Administrativa para o Sol Nascente. O Secretário Thiago de Andrade rebateu que o rito de criação de RA é diferente desse da definição das poligonais que já existem, e que a poligonal da Ceilândia não sofreu alterações. A Senhora Edna Pereira, membro da prefeitura comunitária trecho II do Sol Nascente, afirmou que não há luz, água e nem asfalto na região. O Secretário Thiago de Andrade respondeu afirmando que há um posto de assistência técnica da Codhab que está mediando todo esse conflito, inclusive com as concessionárias. A Senhora Maria do Socorro, da comissão de moradores do Areal, afirmou que o Areal está sendo fatiado ilogicamente na proposta apresentada. Defendeu que todas as QSs façam parte da RA de Águas Claras. A Senhora Eliandra Martins, presidente da Associação de moradores do Jardins Mangueiral, agradeceu pela inclusão do Mangueiral no Jardim Botânico, e ques-

Este documento pode ser verificado no endereço eletrônico http://www.in.gov.br/autenticidade.html, pelo código 50012018042000030

Documento assinado digitalmente conforme MP n 2.200-2 de 24/08/2001, que institui a Infraestrutura de Chaves Públicas Brasileira - ICP-Brasil.

SFL - PLC 0019/2019 folha 000548

tionou com a falta de equipamentos públicos na RA, se há alguma solução imediata. A Senhora Francisca Beriguo questionou se a quadra 02 do Park Way estava dentro da Poligonal do Park Way. O Secretário Thiago de Andrade e a Coordenadora Litz Bainy esclareceram que e todos os lotes que tem endereçamento Park Way ficam na RA Park Way, dividido a poligonal em duas porções. O Senhor José do Egito Alves de Souza, do SIA Park, reconheceu o Taguaparque e parte do Pistão Sul pertencentes a Taguatinga, conforme a proposta apresenta. E reivindicou o Parque Boca da Mata para a RA Taguatinga. O Secretário Thiago de Andrade afirmou que, embora a questão dos equipamentos públicos não digam respeito exatamente a essa audiência, uma RA não tem nenhuma lei que diga que numa RA tem que ter um número mínimo de equipamentos. Exemplificou que a minoria das RAs tem hospitais regionais e informou que a definição das poligonais não afetará o dia a dia em termos de uso dos equipamentos, das escolas e etc. Afirmou que existem planos e projetos e até orçamentos para começar implantar diversos equipamentos na região do Jardim Botânico O Senhor Jaasiel Xavier, morador do Areal, afirmou que para ele o Areal é da QS 05, do metrô até o Café do Sitio, e reiterou que o verdadeiro nome é Vila Areal. E afirmou que o Taguatinga Shopping fica em Águas Claras. A Senhora Karolyne Guimarães, Administradora de Taguatinga, defendeu que a área 26 de setembro seja de Taguatinga, porque atualmente a RA de Taguatinga é responsável por essa área. O Senhor Justo ressaltou a importância da luta de cada RA por que acredita e parabeniza o evento. O Secretário Thiago de Andrade e Secretário Marcos Dantas agradeceram a presença de todos e parabenizaram as manifestações e colaborações realizadas. O Secretário Marcos Dantas informou que após agregação de todo o trabalho, o PLC segue para o CONPLAN e posteriormente para Câmara Legislativa. Esgotados os questionamentos e não havendo mais assuntos a tratar, encerrou a Audiência Pública, totalizando 02h33min de duração.

MARCOS DE ALENCAR DANTAS
Secretário de Estado das Cidades
THIAGO TEIXEIRA DE ANDRADE
Secretário de Estado de Gestão do Território e Habitação

LITZ MARY LIMA BAINY
Coordenadora do Sistema de Informação Territorial e Urbana do DF
COSIT/UNTEC/SEGETH

ADRIANA MARQUES SEIXAS
Assessora Técnica da Secretaria de Estado das Cidades

### ADMINISTRAÇÃO REGIONAL DE TAGUATINGA

ORDEM DE SERVIÇO Nº 41, DE 18 DE ABRIL DE 2018

A ADMINISTRADORA REGIONAL DE TAGUATINGA DO DISTRITO FEDERAL, no uso de suas atribuições legais e com fundamento no que dispõe o Inciso XI e LXVI, do Artigo 42, Decreto 38.094/2017, do regimento Interno das Administrações Regionais. RESOLVE:

Art. 1º Prorrogar, a contar de 18/04/2018, por mais 60 (sessenta) dias, o prazo para continuidade dos trabalhos da Comissão Especial de Processo Administrativo Disciplinar, designada pela Ordem de Serviço nº 81, de 29 de agosto de 2016, publicada no Diário Oficial do Distrito Federal nº 166, de 01 de setembro de 2016, página 44, e outros atos, Reconduzida pela Ordem de Serviço nº 09, de 24 de janeiro de 2018, publicada no Diário Oficial do Distrito Federal nº 22, de 31 de janeiro de 2018, página 63; referente ao processo de Tomada de Contas Anual dos Ordenadores de Despesa, Termo de Auditoria 106/2011 DIRAG/CONT (nº 132.001.106/2012).

Art. 2º Esta Ordem de Serviço entra em vigor na data de sua publicação.

KAROLYNE GUIMARÃES DOS SANTOS BORGES

### ADMINISTRAÇÃO REGIONAL DE SÃO SEBASTIÃO

ORDEM DE SERVIÇO Nº 20, DE 19 DE ABRIL DE 2018

O ADMINISTRADOR REGIONAL DE SÃO SEBASTIÃO DO DISTRITO FEDERAL, no uso das atribuições legais instituídas pelo artigo 42, do Regimento das Administrações Regionais, aprovado pelo Decreto n.º 38.094, de 28 de março de 2017 e com base no art. 12, §2º do Decreto Distrital nº 30.634/2009, RESOLVE:

Art. 1º Tornar sem efeito a Ordem de Serviço nº 17, de 11 de abril de 2018, publicada no DODF nº 73, de 17 de abril de 2018.

Art. 2º Dispensar o pagamento do preço público correspondente a ocupação de área pública, da instalação de Canteiro de Obras, onde, de acordo com o projeto, constam duas praças (Praça 1 - 1.905 m² e Praça 2 - 7.483m²) e um Equipamento Livre de Uso Público (ELUP 1 - 3.074m²), ocupando uma área total de 12.462,00 m², localizado no empreendimento habitacional Bairro Crixá - São Sebastião, promovida pela Companhia de Desenvolvimento Habitacional de Brasília - CODHAB, para a construção de 3.120 unidades habitacionais de cunho social, para atendimento a famílias com renda até R$ 1.800,00, através do Programa Habita Brasília e do Programa Minha Casa Minha Vida, para o período até o dia 31 de dezembro de 2018, objeto dos autos do processo administrativo eletrônico SEI nº 00392-00003296/2018-37.

Art. 3º Esta Ordem de Serviço entra em vigor na data de sua publicação.

ALEXLEY GONÇALVES PIRES

## SECRETARIA DE ESTADO DO MEIO AMBIENTE

### CONSELHO DE MEIO AMBIENTE DO DISTRITO FEDERAL

DECISÃO Nº 06, DE 13 DE ABRIL DE 2018

O PRESIDENTE DO CONSELHO DE MEIO AMBIENTE DO DISTRITO FEDERAL, no uso das competências que lhe são conferidas pelo art. 42, inciso I, da Lei nº 041, de 13 de setembro de 1989, que dispõe sobre a Política Ambiental do Distrito Federal, e nos termos do Decreto nº 38.001, de 07 de fevereiro de 2017, que aprova o Regimento Interno do Conselho de Meio Ambiente do Distrito Federal - CONAM/DF e, de acordo com as deliberações da 69ª Reunião Extraordinária, torna publica a deliberação mediante decisão do CONAM, a saber :

I - O CONSELHO DE MEIO AMBIENTE DO DISTRITO FEDERAL aprova a licença ambiental para regularização do parcelamento de solo para fins urbano denominado "Condomínio Belvedere Green", objeto do Processo de Licenciamento nº 391.00014599/2017-22, com a concessão de Licença de Instalação, nos termos do relatório da Conselheira Hellen Cristina Paulino.

FELIPE FERREIRA
Presidente do Conselho

## AGÊNCIA REGULADORA DE ÁGUAS, ENERGIA E SANEAMENTO BÁSICO DO DISTRITO FEDERAL

SUPERINTENDÊNCIA DE RECURSOS HÍDRICOS

DESPACHO EXTRATO DE OUTORGA

O SUPERINTENDENTE DE RECURSOS HÍDRICOS DA AGÊNCIA REGULADORA DE ÁGUAS, ENERGIA E SANEAMENTO BÁSICO DO DISTRITO FEDERAL - ADASA torna públicas as outorgas:

DESPACHO/SRH Nº 265/2018: VALDIR MENEZES DA SILVA, concede outorga de direito de uso de água superficial por meio de um caminhão-pipa, Bacias Hidrográficas Múltiplas, Terraplanagem, BRASÍLIA/DF. Processo SEI nº 00197-00001044/2018-25.

O inteiro teor dos Despachos de Outorga encontra-se disponível no sítio eletrônico www.adasa.df.gov.br.

RAFAEL MACHADO MELLO

## SECRETARIA DE ESTADO DE POLÍTICAS PARA CRIANÇAS, ADOLESCENTES E JUVENTUDE

PORTARIA Nº 73, DE 16 DE ABRIL DE 2018

O SECRETÁRIO DE ESTADO DE POLÍTICAS PARA CRIANÇAS, ADOLESCENTES EJUVENTUDE DO DISTRITO FEDERAL, no uso das atribuições que lhe confere artigo 105, parágrafo único, inciso III, da Lei Orgânica do Distrito Federal, e o art. 4º, inciso XXIV do Decreto no 36.236, de 1º de Janeiro de 2015, considerando a necessidade de lotação de servidores de acordo com o interesse da Administração Pública, as diretrizes e parâmetros previstos no Decreto 34.517 de 11 de Julho de 2013, RESOLVE:

Art. 1º Estabelecer requisitos específicos a serem observados pelos servidores para opção de lotação no Centro de Atendimento Integrado 18 de Maio, cumulativos aos critérios ordinários constantes do Regulamento de Lotação e Remanejamento Interno dos Servidores.

Art. 2º Para lotação de Especialista Socioeducativos - Assistentes Sociais, Psicólogos e Pedagogos, no Centro de Atendimento Integrado 18 de Maio, será exigido o requisito do inciso primeiro e, pelo menos, mais um requisito dos demais incisos deste artigo.

I - Apresentação de certificado de conclusão do Curso de Formação para Atendimento em Centros Integrados - ofertado pela Childhood Brasil, no ato da escolha presencial da lotação.

II- Apresentação de certificado de conclusão do Curso de Formação Continuada em prevenção à Violência Sexual - organizado pela Secriança e oferecido pela EAPE, no ato da escolha presencial da lotação.

III - Apresentação de certificado de participação no Encontro Nacional dos Centros de Atendimento Integrado de Crianças e Adolescentes e/ou Certificado de participação no Seminário sobre a Lei 13.431/2017 e o Atendimento Integrado às Crianças e Adolescentes Vítimas de Violências e o Encontro Nacional dos Centros de Atendimento Integrado;

V - Comprovação, por meio de declaração ou publicação em Diário Oficial, de experiência profissional no atendimento especializado a crianças e adolescente vítimas de violência sexual em órgão/instituição que desenvolva trabalho específico com esta temática.

Art. 3º Para lotação dos demais servidores no Centro de Atendimento Integrado 18 de Maio será exigido, no ato da escolha presencial da lotação, a apresentação de certificado de conclusão do Curso de Formação para Atendimento em Centros Integrados - ofertado pela Childhood Brasil.

Art. 4º Os casos omissos desta Portaria serão analisados e decididos pela Subsecretária de Promoção de Políticas para Criança e Adolescente - Subpolíticas, com base na legislação em vigor.

Art. 5º Esta Portaria entra em vigor na data de sua publicação.

RICARDO DE SOUSA FERREIRA

## TRIBUNAL DE CONTAS DO DISTRITO FEDERAL

### SECRETARIA DAS SESSÕES

EXTRATO DE PAUTA Nº 26/2018, SESSÕES PLENÁRIAS DO DIA 24 DE ABRIL DE 2018 (*)

Processos ordenados, sequencialmente, por tipo de sessão, Relator, assunto e interessado.

Sessão Ordinária Nº 5033 CONSELHEIRO MANOEL PAULO DE ANDRADE NETO: 1) 704/2002, Auditoria de Regularidade, SECRETARIA DE SAÚDE; 2) 7259/2006, Auditoria de Regularidade, RA-RA-XXV - SCIA; 3) 13468/2009, Tomada de Contas Especial, SES; 4) 20076/2010, Contrato, Convênios e outros ajustes, 3ª ICE; 5) 10333/2013, Aposentadoria, José Domingos de Araujo; 6) 19691/2013, Tomadas e Prestações de Contas Anuais e Extraordinárias, RA-XXV; 7) 6613/2016, Aposentadoria, BENEVENUTO AUGUSTO DE CARVALHO; 8) 10345/2016-e, Pensão Civil, SIRAC; 9) 18486/2016, Tomada de Contas Especial, BRASILIATUR; 10) 30087/2016-e, Aposentadoria, SIRAC; 11) 1507/2018-e, Representação, SINDICATO; 12) 4930/2018-e, Aposentadoria, SIRAC; 13) 6037/2018-e, Aposentadoria, SIRAC; 14) 6258/2018-e, Aposentadoria, SIRAC; 15) 6657/2018-e, Aposentadoria, SIRAC; 16) 7459/2018-e, Aposentadoria, SIRAC; 17) 8110/2018-e, Aposentadoria, SIRAC; 18) 9907/2018-e, Aposentadoria, SIRAC; 19) 10077/2018-e, Aposentadoria, SIRAC;

CONSELHEIRO ANTONIO RENATO ALVES RAINHA: 1) 560/2015, Auditoria de Regularidade, VARIOS ORGAOS/ENTIDADES; 2) 26379/2015, Tomada de Contas Especial, DETRAN; 3) 7270/2018-e, Aposentadoria, SIRAC; 4) 7467/2018-e, Aposentadoria, SIRAC; 5) 9869/2018-e, Aposentadoria, SIRAC; 6) 9966/2018-e, Aposentadoria, SIRAC; 7) 10239/2018-e, Aposentadoria, SIRAC;

CONSELHEIRO JOSÉ ROBERTO DE PAIVA MARTINS: 1) 13320/2012, Representação, Secretaria de Saúde; 2) 9340/2017-e, Reforma (Militar), SIRAC; 3) 9359/2017-e, Reforma (Militar), SIRAC; 4) 15503/2017-e, Admissão de Pessoal, Sec. de Estado de Saúde - SES; 5) 7092/2018-e, Aposentadoria, SIRAC; 6) 7190/2018-e, Aposentadoria, SIRAC; 7) 7432/2018-e, Aposentadoria, SIRAC; 8) 7483/2018-e, Aposentadoria, SIRAC; 9) 8161/2018-e, Aposentadoria, SIRAC; 10) 8218/2018-e, Pensão Civil, SIRAC; 11) 8242/2018-e, Pensão Militar, SIRAC; 12) 8277/2018-e, Aposentadoria, SIRAC;

CONSELHEIRO MARCIO MICHEL ALVES DE OLIVEIRA: 1) 3067/1999, Dispensa / Inexigibilidade de Licitação / Adesão, 3ª ICE - Div. Acompanhamento; 2) 17418/2008, Licitação, SEL; 3) 35793/2008, Representação, MPjTCDF; 4) 22294/2011, Tomada de Contas Especial, Secretaria de Saúde; 5) 25840/2014, Tomadas e Prestações de Contas Anuais e Extraordinárias, RA XXIII Varjão; 6) 41121/2017-e, Aposentadoria, SIRAC; 7) 2503/2018-e, Aposentadoria, SIRAC; 8) 2520/2018-e, Aposentadoria, SIRAC; 9) 2562/2018-e, Pensão Civil, SIRAC; 10) 3488/2018-e, Análise de Concessão, SIRAC; 11) 3534/2018-e, Acompanhamento de Gestão Fiscal, Tribunal de Contas do DF; 12) 4727/2018-e, Aposentadoria, SIRAC; 13) 4840/2018-e, Aposentadoria, SIRAC; 14) 5952/2018-e, Pensão Civil, SIRAC; 15) 7831/2018-e, Pensão Civil, SIRAC; 16) 8099/2018-e, Pensão Civil, SIRAC; 17) 8307/2018-e, Pensão Civil, SIRAC;

Sessão Reservada Nº 1170

CONSELHEIRO JOSÉ ROBERTO DE PAIVA MARTINS: 1) 1333/1995, Tomada de Contas Especial, BRB S/A; 2) 6167/1995, Tomada de Contas Especial, BRB; 3) 2419/1998, Tomada de Contas Especial, BRB; 4) 41245/2017-e, Denúncia, DENUNCIANTE;

(*) Elaborado conforme o art 116, § 3º do RI/TCDF.

Emissão em 19/04/2018

Este documento pode ser verificado no endereço eletrônico http://www.in.gov.br/autenticidade.html, pelo código 50012018042000031

Documento assinado digitalmente conforme MP n 2.200-2 de 24/08/2001, que institui a Infraestrutura de Chaves Públicas Brasileira - ICP-Brasil.

SFL - PLC 0019/2019 folha 000549

Setor Protocolo Legislativo
PLC Nº 19 / 2019
Folha Nº 550

Setor Protocolo Legislativo
SEM EFEITO
Folha Nº 650



fundamentada e amparada pela legislação urbanística vigente. Sendo assim, fica difícil justificar a relevância da discussão perante os membros do conselho, a não ser pela necessária democrática convalidação que esse órgão traduz e expressa, estamos aqui apenas corrigindo um erro processual. Portanto, o meu voto, em vista do exposto, sem mais delongas, é pela aprovação. O Secretário Mateus Leandro de Oliveira agradeceu e passou a palavra a Senhora Eliane Pereira Victor Ribeiro Monteiro - após cumprimentar a todos os presentes apresentou alguns desenhos que ajudam a entender melhor o que o conselheiro já expôs de forma bem clara. Essa é a situação, a localização das Áreas Especiais 1 e 2 em Samambaia e como explicado, no projeto inicial, estavam invertidos, a Área Especial 1 que era do Jardim Infância ficava para o lado da Avenida Principal e a Central Telefônica para a área interna do parcelamento. Após explanação sugeriu que só fosse acompanhando o registro cartorial para não ficar de novo essa pendência. Posto em votação o Secretário encaminhou pela aprovação da URB MDE 31/2019. Votação: foi aprovado por unanimidade pelos presentes o processo 0039000009119/201730, que trata do ajuste de locação, Área Especial 1 e 2, da QN 206 de Samambaia. Propôs a inversão da pauta em razão do atraso justificado pela relatora do processo 2.1 - que trata dos lotes da Embaixada da República Federal da Alemanha para o Item 3. Processo para Distribuição, o Conselheiro Ovídio Maia Filho, Fecomércio, e a Conselheira Carolina Baima Cavalcanti, IAB/DF, se candidataram a relatar o processo constante do Subitem 3.2 Processo nº: 00390-00000885/2019-09. Interessado: SEDUH. Assunto: Flexibilização de usos e atividades para o Setor de Indústrias Gráficas - SIG, na Região Administrativa Plano Piloto - RA I. A Senhora Secretária Executiva e Conselheira Giselle Moll Mascarenhas informou que a área técnica se dispõe a fazer uma apresentação de esclarecimento antes do relato final. Foi aprovada a relatoria dos representantes do IAB/DF e FECOMÉRCIO para o processo em questão. A previsão para apresentação dos relatos ficou para o 25/07, bem como a possibilidade de haver uma Reunião Extraordinária, caso necessário. Já para o processo descrito no Subitem 3.1 Processo nº: 0260-034732/2004. Interessado: Água Branca Empreendimentos Imobiliários. Assunto: Parcelamento de Solo, Setor Habitacional Boa Vista, Região Administrativa de Sobradinho - RA V foi aprovada a Relatoria do Conselheiro Márcio Faria Júnior - SDE. O próximo Subitem deliberado foi o 2.1 Processo nº 00020-00015256/2017-01. Interessado: PGDF. Assunto: Proposta de deslocamento dos lotes 3 e 3B, da QL 12 do Lago Sul, da Embaixada da República Federal da Alemanha, que apresentam interferência com a poligonal do zoneamento ambiental da Área de Preservação Permanente - APP e Zona de Preservação da Vida Silvestre - ZPVS da Área de Proteção Ambiental - APA do Paranoá. Relatores: José Sarney Filho e Maria Silvia Rossi - SEMA, com a apresentação do processo a palavra foi franqueada a Senhora Eliane Pereira Victor Ribeiro Monteiro que informou que esse projeto foi desencadeado a partir de tratativas conciliatórias no âmbito da Câmara de Conciliação e Arbitragem da Administração Pública Federal, decorrentes de impasse entre o GDF e a União, por causa das medidas para desobstrução da orla do Lago Paranoá. A proposta de ajuste de locação dos lotes 3 e 3B foi elaborada considerando o zoneamento ambiental e as redes das concessionárias de serviços públicos existentes. Os lotes foram relocados para a área verde contígua, de modo que não há interferência com as redes e suas faixas de servidão, tampouco com a Área de Preservação Permanente - APP e a Zona de Preservação da Vida Silvestre - ZPVS da Área de Proteção Ambiental - APA do Paranoá. Os lotes 3 e 3B permanecem com as mesmas dimensões e endereçamento, apenas em nova localização. Os usos e normas de ocupação permanecem os mesmos definidos pela norma vigente - Lei de Uso e Ocupação do Solo - LUOS. Com a palavra a Conselheira Maria Silvia Rossi que cumprimentou a todos os presentes e justificou o atraso. Teceu algumas considerações referente ao atendimento dos condicionantes para a consecução das alterações e áreas de lotes registrados, dentre elas o comum acordo, a não alteração de uso, a não alteração do tamanho de área, considerando ainda que foram cumpridos os requisitos de levantamentos topográficos, planialtimétrico cadastral, expedição do memorial descritivo com os parâmetros urbanísticos alinhados com a LUOS em atendimento à lei 6766 de 79, a Lei Orgânica de 93, a Lei 992/95 e o Decreto 28864/2008. Considerando ainda que a submissão ao Conselho de Planejamento Territorial e Urbano, CONPLAN, obedece ao disposto na Lei Distrital 4164/ 2008 é que diante da análise realizada, a relatoria pela Secretaria de Estado do Meio Ambiente apresenta voto favorável à aprovação do projeto urbanístico - URB MDE 029/2019, pelo Pleno do CONPLAN para posterior publicação de decreto governamental, de modo à correção das coordenadas ou cotas de amarração em cartório de registro de imóveis competentes. Assina o Secretário de Estado, José Sarney Filho e, eu mesma, a subsecretária. Em ato contínuo pôs em votação o Relato e Voto referente ao Processo nº 0020-00015256/2017-01. Votação: registra-se a votação do Colegiado considerado aprovado por unanimidade o processo que trata do deslocamento dos lotes 3 e 3B da Embaixada da Alemanha, com 24 votos dos presentes mais 2 votos favoráveis dos Conselheiros representantes da TERRACAP, Carlos Leal, e do IAB, Carolina Baima Cavalcante, os quais se ausentaram, mas deixaram os votos registrados. O Senhor Secretário Mateus Leandro de Oliveira passou ao Item 4. Assuntos Gerais parabenizando o novo Presidente da Associação de Empresas do Mercado Imobiliário do Distrito Federal - ADEMI/DF, o Senhor Eduardo Aroeira. Com a palavra o Senhor Eduardo Aroeira Almeida, Presidente da ADEMI/DF, que agradeceu os cumprimentos e falou que continuaria trabalhando e lutando pelo desenvolvimento social e econômico da cidade e se colocou a disposição. Com a palavra o Conselheiro Ovidio Maia Filho da Federação do Comércio de Bens, Serviços, Turismo do Distrito Federal - FECOMÉRCIO sugeriu criar um modelo para dar celeridade, ou fizesse um mutirão para analisar processos que envolve a questão de deslocamento como estes que foi analisado agora. O Secretário Mateus Leandro de Oliveira informou que a Conselheira Joara Cronemberger Ribeiro Silva, Faculdade de Arquitetura e Urbanismo da Universidade de Brasília, representante da UnB na CPCOE, Comissão Permanente de Monitoramento do Código de Obras e Edificações do Distrito Federal solicitou uma visita técnica de alunos da FAU/UnB na Central de Aprovação de Projetos - CAP e que será realizado um workshop/oficina relativa à aprovação de projetos e legislação do código de obras. Informou que será no 24/09 das 9 às 12 horas. Aproveitou para anunciar que no dia em curso desta reunião foi publicado no Diário Oficial do Distrito Federal um Decreto que faz um aprimoramento de questões pontuais do Código de Obras. Também foi feito um nivelamento de informação pelo Secretário Mateus Leandro de Oliveira acerca da preocupação sobre a regularização fundiária de Vicente Pires. Relatando acerca do Artigo 153 do Código de Obras, que definiu um artigo para tratar da regularização de edificações para situações como a de Vicente Pires, casas no Jardim Botânico ou no Colorado. Informou ainda, que no dia 17/07 terá a Reunião Ordinária da CPCOE. Talvez ela seja uma reunião específica e complementou que todos seriam avisados para que possam trazer as preocupações e propostas de forma bem objetiva. A Conselheira Ruth Stéfane Costa Leite, da Associação do projeto Mulher, Inquilinos e Moradores - ASMORAR, justificou a falta da Conselheira Júnia Bitencourt - UNICA/DF, a pedido, por se encontrar fora do país. Expôs também sua preocupação quanto a situação do Decreto nº 39.301, de 22 de agosto de 2018, no qual aprova o projeto de parcelamento do solo das quadras ímpares e subcentro da Região Administrativa de Samambaia, conforme a Decisão 20/2017 no CONPLAN, no projeto urbanístico MDE 051/2009, pois declarou que a sensação seria de poucos avanços dentro do governo. O Secretário Mateus Leandro de Oliveira consentiu a preocupação confirmando a ocorrência de reuniões com representantes das entidades e a dedicação em busca de soluções de pendências. Discutidos todos os assuntos da pauta, o Secretário Mateus Leandro de Oliveira agradeceu aos relatores, aos indicados à relatoria e a todos os presentes encerrando a reunião. MATEUS LEANDRO DE OLIVEIRA, Secretário de Estado, Presidente em Exercício; GISELLE MOLL MASCARENHAS, Suplente - SEDUH; THIAGO VINICIUS PINHEIRO SILVA, Suplente - CACI; AFONSO FARIAS DE SOUSA JÚNIOR, Suplente - SERINS; VILMAR ANGELO RODRIGUES, Suplente - SEAGRI; MARIA SILVA ROSSI, Suplente - SEMA; MARCIO FARIA JUNIOR, Suplente - SDE; JANAÍNA DE OLIVEIRA CHAGAS, Suplente - SO; LUIZ FELIPE CARDOSO DE CARVALHO, Suplente - SEMOB; RUCHELE ESTEVES BIMBATO, Suplente - SEFP; CARLOS MENEZES, Titular - FNE: GEOVANI MULLER POLETTI, Titular - IHG/DF; ALESSANDRA COSTA LEITE, Titular - ASMORAR; CAROL aprovada na 163ª Reunião Ordinária realizada no

MATEUS LEAN
Secretá
Presidente do Cc

DECISÃO Nº 05/2019 - 163ª REUNIÃO ORI TERRITORIAL E URBANO DC

O Conselho de Planejamento Territorial e Urbar confere a Lei Complementar nº 889, de 24 de jull setembro de 2014, a Portaria nº 75, de 14 de out Decreto nº 39.706, de 11 de março de 2019, Territorial - PDOT/2009, e Lei Complementar nº 2 25 de julho de 2019, decide:
Processo nº: 0260-034532/2004
Interessado: Água Branca Empreendimentos Imol
Assunto: Parcelamento urbano do solo, denominad Administrativa de Sobradinho - RA V
Relator: Márcio Faria Junior - SDE
Apresentação: Geanina Picado Maykall - Direcio
1. APROVAR, relato e voto, consoante ao Proc Projeto de Urbanismo de Parcelamento do Sc Habitacional Boa Vista na Região Administrativa estabelecidos no PDOT/2009 e sua atualização, e solo.
2. Dessa forma, registra-se a votação do Colegiad contrário, 02 (dois) votos de abstenção em n CODEPLAN e Júnia Maria Bittencourt Alves de MATEUS LEANDRO DE OLIVEIRA, Secretário MASCARENHAS, Suplente - SEDUH; VILM THIAGO VINICIUS PINHEIRO DA SILVA, S Suplente - SEFP; CARLOS ANTONIO LEAL Suplente - SEMA; MARCIO FARIA JUNIOR, S Suplente - SO; AFONSO FARIAS DE SOUSA JU DE CARVALHO, Suplente - SEMOB; JUNIA SA WINGE, Suplente - CODEPLAN; GEORGEAN EDSON GONÇALVES DUARTE, Titular - ASMUVIRF; RICARDO TREVISAN, Titular - CAU/DF; MARIA DE FÁTIMA RIBEIRO CÓ, T KLAVDIANOS, Titular - SINDUSCON/DF; EI OVIDIO MAIA FILHO, Suplente - FECOM ALESSANDRA ALVES LOPES, Titular - OCI UNICA/DF; CAROLINA BAIMA CAVALCA MENEZES, Titular - FNE: RUTH STÉFANE CO MEDEIROS, Suplente - IHG/DF.

MATEUS LEAN
Secretá
Presidente do Cc

DECISÃO Nº 06/2019 - 163ª REUNIÃO ORI TERRITORIAL E URBANO DC

O Conselho de Planejamento Territorial e Urbar confere a Lei Complementar nº 889, de 24 de ju setembro de 2014, a Portaria nº 75, de 14 de out Decreto nº 39.706, de 11 de março de 2019, Territorial - PDOT/2009, e Lei Complementar nº 2 25 de julho de 2019, decide:
Processo nº: 00390-00000885/2019-09
Interessado: SEDUH
Assunto: Projeto de Lei Complementar que define Indústrias Gráficas - SIG, da Região Administrat
Relatores: Carolina Baima Cavalcanti - IAB DF
Apresentação: Fernanda Figueiredo Guimarães SUPLAN/SEDUH
1. APROVAR, relato e voto, consoante ao Proces do Projeto de Lei Complementar que define pa Indústrias Gráficas - SIG, da Região Administr SEDUH incorporar ao projeto as sugestões do C
a) O Setor de Indústrias Gráficas, em razão consolidado de forma mais ou menos espontânea prestação de serviços não permitidas pelas norma sua dinâmica urbana;
b) A legislação recente de tombamento menciona ao fixar apenas dois critérios de preservação pa ocupação, "gabarito máximo de 5 pavimentos"), ir do Conjunto Urbanístico de Brasília;
c) O Parecer Técnico nº. 26/2019 do IPHAN c processo histórico de ocupação do local e não col Brasília, visto tratar-se de setor de baixa repres reconhecimento de Brasília como patrimônio nac
d) Os estudos realizados pelo GDF no local comerciais e das atividades de prestação de serviç Outorga Onerosa da Alteração de Uso - ONALT
e) O Setor de Indústrias Gráficas foi destacado n Federal - PDOT (Lei Complementar nº 803/2009, Complementar nº 854/2012) como área prioritári pressupõe a revisão e diversificação de usos e ati aplicação de instrumentos de planejamento urban
f) O diagnóstico elaborado para o Plano de Pres identifica o Setor de Indústrias Gráficas como ár assim como para a revisão de parâmetros de oc demandas identificadas nos estudos técnicos ante

Setor Protocolo Legislativo
PLC Nº 19 /2019
Folha Nº 551
Setor Protocolo Legislativo
PL SEM EFEITO
Folha Nº
Setor Protocolo Legislativo
PLC Nº 18 /2019
Folha Nº SEM EFEITO



MATEUS LEANDRO DE OLIVEIRA, Secretário de Estado, Presidente em Exercício; GISELLE MOLL MASCARENHAS, Suplente - SEDUH; VILMAR ANGELO RODRIGUES, Suplente - SEAGRI; THIAGO VINICIUS PINHEIRO DA SILVA, Suplente - CACI; RUCHELE ESTEVES BIMBATO, Suplente - SEFP; CARLOS ANTONIO LEAL, Suplente - TERRACAP; MARIA SILVIA ROSSI, Suplente - SEMA; MARCIO FARIA JUNIOR, Suplente - SDE; JANAÍNA DE OLIVEIRA CHAGAS, Suplente - SO; AFONSO FARIAS DE SOUSA JÚNIOR, Suplente - SERINS; LUIZ FELIPE CARDOSO DE CARVALHO, Suplente - SEMOB; JUNIA SALOMÃO FEDERMAN, Suplente - CODHAB; ERIKA WINGE, Suplente - CODEPLAN; GEORGEANO TRIGUEIRO FERNANDES, Titular - DF LEGAL; EDSON GONÇALVES DUARTE, Titular - IBRAM; ELIANE TORQUATO ALVES, Titular - ASMUVIRF; RICARDO TREVISAN, Titular - FAU/DF; PEDRO DE ALMEIDA GRILO, Titular - CAU/DF; MARIA DE FÁTIMA RIBEIRO CÓ, Titular - CREA/DF; DIONYSIO ANTONIO MARTINS KLAVDIANOS, Titular - SINDUSCON/DF; EDUARDO AROEIRA ALMEIDA, Titular - ADEMI; OVIDIO MAIA FILHO, Suplente - FECOMERCIO; GEOVANI MULLER, Titular - SRDF; ALESSANDRA ALVES LOPES, Titular - OCDF; JÚNIA MARIA BITTENCOURT ALVES LIMA, UNICA/DF; CAROLINA BAIMA CAVALCANTI, Titular - IAB/DF; RONILDO DIVINO DE MENEZES, Titular - FNE; RUTH STÉFANE COSTA LEITE, Titular - ASMORAR; TARCIZIO DINOÁ MEDEIROS, Suplente - IHG/DF.

MATEUS LEANDRO DE OLIVEIRA
Secretário de Estado
Presidente do Conselho, Em Exercício

# SECRETARIA DE ESTADO DO MEIO AMBIENTE

## INSTITUTO DO MEIO AMBIENTE E DOS RECURSOS HÍDRICOS DO DISTRITO FEDERAL - BRASÍLIA AMBIENTAL

DECISÃO Nº 39, DE 25 DE JULHO DE 2019 - IBRAM/PRESI

O Instituto do Meio Ambiente e dos Recursos Hídricos do Distrito Federal - Brasília Ambiental, por meio de seu presidente, Sr. EDSON GONÇALVES DUARTE, nos termos da Lei nº 3.984, de 28 de maio de 2007, dá publicidade - conforme preconiza a Resolução CONAMA nº 237/1997 - à decisão de INDEFERIR o pedido de Consulta Prévia para atividade de cultivo e criação de aves e ovelhas, localizada acima da rodovia DF-005 no Trecho 05, Chácara 215/Salmo 91, Lago Norte-DF, de interesse de Maria de Fátima Goulart Duarte, nos termos do Despacho SEI-GDF IBRAM/PRESI/SULAM 24390469.

EDSON DUARTE
Presidente

# SECRETARIA DE ESTADO DE DESENVOLVIMENTO SOCIAL

## CONSELHO DE ASSISTÊNCIA SOCIAL DO DISTRITO FEDERAL

ATA DA 287ª REUNIÃO ORDINÁRIA

Aos treze dias do mês de Dezembro de dois mil e dezoito, às 9h30min (nove horas e trinta minutos), foi realizada no Conselho de Assistência Social a Ducentésima Octogésima sétima Reunião Ordinária do Conselho de Assistência Social do Distrito Federal - CAS/DF, e compareceram os (as) seguintes Conselheiros (as): Marta de Oliveira Sales (Secretaria de Estado do Trabalho, Desenvolvimento Social, Mulheres, Igualdade Racial e Direitos Humanos - SEDESTMIDH); Kariny Geralda Alves Veiga (Secretaria de Estado do Trabalho, Desenvolvimento Social, Mulheres, Igualdade Racial e Direitos Humanos - SEDESTMIDH); Orlando Ilorca (Secretaria de Fazenda do Distrito Federal ; Ana Paula do Nascimento da Silva (Obras Sociais do Centro Espírita Batuira); João Donadon (Casa de Ismael); Eliane Alves da Silva (Secretaria de Estado de Justiça e Cidadania; Marcelo Henrique do Carmo Moura ( Secretaria Adjunta do Trabalho - SEDESTMIDH), Edijanes Rosa Araújo (Segmento de Usuários); Giane Rodrigues Costa Ribeiro (Secretaria de Estado de Saúde); Sônia Alves de Lemos (Secretaria de Estado de Agricultura); Francisco Rodrigues Corrêa (Sindicato dos Empregados em Instituições Beneficentes, Religiosas e Filantrópicas do DF); Ismael Ferreira de Oliveira (ASCOM); Zilmar Pereira de Souza (Secretaria de Estado da Casa Civil, Relações Institucionais e Sociais do Distrito Federal); Fabiana Ferreira de Moraes (Associação Casa Santo André ); Vitor Hugo Araújo ( Secretaria de Cultura); Naum Rosivaldo dos Santos (secretaria de Planejamento ,Orçamento e Gestão ; Bianca Regina Salomão ( Secretaria de Educação); Patrícia Andrade de Mello (Aldeias Infantis SOS); Neidiane Adriana Jerônimo da Cunha (casa do caminho); Lenice Neres Santos (Usuários); Ícaro de Jesus Maia Cavalcanti (OAB-DF) e a equipe da Secretaria Executiva. Justificaram ausência os (as) Conselheiros: José Donizetti de Melo (OASSAB); Nathália Eliza de Freitas (CRESS); Edijanes Rosa Araújo (usários); Janaina Conceição Queiroz (Usuários) Rosalba Prado (Sindicato dos Assist. Sociais. Havendo quórum regimental para a instalação da reunião. conforme previsto no artigo 37 do Regimento Interno, Resolução nº 79, de 16 de dezembro de 2010, a Presidente do CAS ,Conselheira Kariny Geralda Alves iniciou a plenária com aprovação da ata 286º reunião plenária do CAS , em seguida justificou a ausência da Conselheira Marta Salles , comunicando que esta viria participar da plenária mais tarde; seguindo a pauta foi apresentado o Relato das comissões , iniciado pela comissão de orçamento e finanças-COF , relatado pelo conselheiro Zilmar Pereira de Souza, informou que a COF elegeu a conselheira Adriana para a Vice Coordenadoria, passou então para a análise da execução financeira do exercício de Janeiro a dezembro de 2018, a execução do Fundo de Assistência Social foi destinado R$ 70.004.207.00,00 milhões e devido a necessidade foi suplementado em R$ 45.208.816,00 milhões, a SEPLAG fez uma revisão e suplementação de R$2.763.737,00 , desta forma a receita para o orçamento foi de 47.972.553,00 milhões, desta forma as despesas autorizadas foram no montante de 112.449.826,00 milhões, R$ 87.892.708,00 milhões foram empenhados e R$76.079.369,00 milhões liquidados até novembro de 2018;com previsão de pagamento de mais 6.000.000,00 milhões para custear as despesas e fechar dezembro de 2018; foram gastos na Proteção social Básica R$ 16.805.980,00 milhões com custeio das despesas principais , tais como aluguel - R$ 130.163,00, diárias- R$ 25.969,00, refeições e lanches-R$ 1.751.223,00, nas mortuárias- R$ 306.819,00 ; na Proteção social especial foram gastos 46.053.396,00 milhões das OSC , também com custeio das despesas principais tais como material de consumo-R$ 229.540,00 acolhimento e centros POP's , aluguel-R$ 44.094,00, lanches e refeições na rede parceira- R$ 3.091.016,00 e energia elétrica das unidades- R$ 161.000,00 Relatoria de processos: Processo SEI-GDF nº 00431-0002412/2018-04. Comitê Brasileiro de Organizações Representativas das Pessoas com Deficiência o relato foi realizado pela conselheira Patrícia , ao término do relato, sugeriu DEFERIMENTO e concessão de registro para entidade, apesar de parecer contrário da assessoria técnica

Adolescentes -Solicitação de mudança da modalida
DEFERIDO, votado e aprovado pelos conselheiro
SEI/GDF nº 00431-00016113/2018-49: FALE - I
Entidade e Organização de Assistência Social (C
conselheiros , conforme parecer da relatora. neste
DO CONSELHO DE ASSISTÊNCIA SOCIAL D
as informações foram coletadas através das resol
finalização da sessão por parte da Secretaria Exec
encerramento a plenária; excepcionalmente , a p
servidora do CAS Marcia F. Pimenta-EAS/SEDES
Relato da Reunião da última reunião da COF em I
ausência da parte final do áudio da reunião ; e:
Presidente atual do CAS/DF, Conselheiro Eduardo
EDUAR
President

LOUI
Secretária Exe

ATA DA 56ª REUNI
Aos 11 dias do mês de julho de dois mil e deze
realizada no Conselho de Assistência Social a Qu
de Assistência Social do Distrito Federal - CAS/D
Eduardo Alexandre Zaratz Vieira da Cunha (Secr
Daniela Cristina Jinkings Sant'ana (Secretaria de
Marlene Lemes do Prado (Secretaria de Estado de
de Educação); Orlando Silva Ilorca (Secretaria de
de Estado de Relações Institucionais); Roseli de
Faria Júnior (Secretaria de Estado de Desenvolv
Estado de Desenvolvimento Econômico); Hélvia
Agricultura, Abastecimento e Desenvolvimento I
Trabalho); Daisy Rotavio Jansen Watanabe (Secr
Silva (Secretaria de Estado de Justiça e Cidadania
Moraes Silva (Associação Casa Santo André); Jos
Serviço Social da Arquidiocese de Brasília - (
usuários); Edijanes Rosa Araújo (Segmento dos
usuários); Nathália Eliza de Freitas (Conselho R
Santos (Conselho Regional de Psicologia do DF -
Advogados do Brasil Seção Distrito Federal - O.
ausências os (as) Conselheiros (as): Patrícia Andra
Adriana Jerônimo da Cunha (Sociedade Espírita
Castro Rodrigues (Centro de Ensino e Reabilita
Comunitária de São Sebastião - ASCOM); Ana Pa
Espírita Batuíra); Anecilda Vieira Soares (Segi
(Segmento dos usuários). Convidados (as): Raphae
CSA), Alexandre Pedroso (SEDES). Havendo qu
previsto no artigo 37 do Regimento Interno, Resol
CAS/DF, Conselheiro Eduardo Alexandre Zaratz
aprovação do Superávit de 2018/2019. Inicialmente
Paranaguá Fraga representante da Secretaria de E
Rural do Distrito Federal na qualidade de conselhe
a Secretaria de Estado de Relações Institucionai
vindas aos novos conselheiros passou-se a Aprec
Superávit Financeiro apurado no exercício de 2(
Reprogramação abriu-se a discussão sobre a temá
Programa Federal Criança Feliz, feito pela Consel
Execução do dito Programa. E solicitou apresentaç
foram finalizados.

EDUAR
President

LOUI
Secretária E

# SECRETARIA DE I

PORTARIA CONJUNTA Nº
A SECRETÁRIA DE ESTADO DA MULHER
ESTADO DE TRABALHO DO DISTRITO FEI
o art. 105, parágrafo único, incisos I, III e V
Art. 1° Estabelecer o presente instrumento de co
a SMDF e a SETRAB, visando à implementa
qualificação profissional do público de ambas as
autonomia financeira destes.
Art. 2° Fica assegurada às partes a prerrogativa
controle e da fiscalização sobre a execução d
fundamento nela.
Art. 3° Cada partícipe designará 2 (dois) servido
deste (ambos pessoas físicas), em até 30 (trinta)
constituírem a Comissão Técnica de Gerenciam
acompanhamento e o monitoramento das ações
Parágrafo Primeiro: Aos Gestores da Portaria
execução, dando ciência e comunicando, tempes
tomem as providências cabíveis.
Parágrafo Segundo: Os Gestores da Portaria
relacionadas com a execução do objeto, determi
ou defeitos observados.
Art. 4º Nenhuma das partes poderá ceder ou tr
e obrigações decorrentes desta Portaria, sem pr
Art. 5º A presente Portaria não envolve transfe
partícipes.
Parágrafo Primeiro - Caso seja necessário o
realização de ação conjunta decorrente deste i

**GOVERNO DO DISTRITO FEDERAL**

SECRETARIA DE ESTADO DE DESENVOLVIMENTO URBANO E HABITAÇÃO DO DISTRITO FEDERAL

Coordenação de Orçamento e Finanças

# DECLARAÇÃO DE ORÇAMENTO

Em referência a minuta do Projeto de Lei Complementar (10334092), que visa propor a definição e atualização das Poligonais de todas as Regiões Administrativas do Distrito Federal, observada a legislação vigente, atendendo ao disposto nos incisos I e II do artigo 16 da Lei Complementar nº 101, de 04/05/2000, e mediante a informação emitida pela Coordenação de Orçamento e Finanças (26166969), de que não há a expansão da ação governamental, e que não acarretará aumento da despesa para esta Secretaria, não necessitando assim da estimativa de impacto orçamentário-financeiro no exercício em que deva entrar em vigor e nos dois subsequentes, **DECLARO** a adequação orçamentária e financeira para fins de cumprimento do Decreto nº 39.680, de 21 de fevereiro de 2019.

**ADRIANA ROSA SAVITE**

Subsecretária de Administração Geral

SUAG/SEDUH

Documento assinado eletronicamente por **ADRIANA ROSA SAVITE - Matr.273627-6, Subsecretário(a) de Administração Geral**, em 05/08/2019, às 17:05, conforme art. 6º do Decreto n° 36.756, de 16 de setembro de 2015, publicado no Diário Oficial do Distrito Federal nº 180, quinta-feira, 17 de setembro de 2015.

A autenticidade do documento pode ser conferida no site: http://sei.df.gov.br/sei/controlador_externo.php?acao=documento_conferir&id_orgao_acesso_externo=0 verificador= **26168424** código CRC= **348A1702**.



Criado por josenilda.rocha, versão 2 por josenilda.rocha em 05/08/2019 16:54:48.

Setor Protocolo Legislativo
PLC Nº 19 /2019
Folha Nº 552

Setor Protocolo Legislativo
SEM EFEITO
Folha Nº 552

# CÂMARA LEGISLATIVA DO DISTRITO FEDERAL

Unidade responsável: Assessoria de Plenário e Distribuição

**Assunto:** Distribuição do **Projeto de Lei Complementar nº 19/19** que "Define os limites físicos das Regiões Administrativas do Distrito Federal e dá outras providências".

**Autoria: Poder Executivo**

Ao **SPL** para indexações, em seguida ao **SACP**, para conhecimento e providências protocolares, informando que a matéria tramitará, em Regime de Urgência (art. 73 da LODF), em análise de mérito, na **CAF** (art. 68, I, "c", "e", "f", "h" e "i") e **CDESCTMAT** (RICL, art. 69-B, "j") e, em análise de admissibilidade na **CCJ** (RICL, art. 63, I).

Em 10/10/19

MARCELO FREDERICO M. BASTOS
Matrícula 13.821
Assessor Legislativo

Setor Protocolo Legislativo
PLC Nº 19 /2019
Folha Nº 553

Setor Protocolo Legislativo
PLC Nº 19 /2019
Folha Nº 653
SEM EFEITO